



انجنييري پوهنځی

د موادو میخانیک

لومړی ټوک

د موادو میخانیک لومړی ټوک

حفیظ الله وردک او زر جان بها

حفیظ الله وردک او زر جان بها

۱۴۰۲

پلورل منع دی



Shaikh Zayed University, Khost, Engineering Faculty

Afghanic

Hafizullah Wardak & Zarjon Baha

Mechanics of Materials I

دا کتاب په امریکا کې په ډېرو مشهورو پوهنتونونو کې تدریس کېږي. له نېکمرغه دا کتاب حفیظ الله وردک او زر جان بها په ډېر مهارت، په ساده او روانه ژبه ژباړلی او د ځینو برخو انگلیسي اصطلاحات په قوسونو کې کارولي دي.

دا کتاب په څوارلس (۱۴) فصلونو او په دوو ټوکونو کې لیکل شوی دی. په هر فصل کې موضوعگانې په روښانه برخو وېشل شوي، وروسته له هغو تشرېحي پوښتنې او په پای کې کورنۍ دندې پوښتنې راغلي دي.

د دې کتاب لومړی ټوک د اته فصلونو درلودونکی دی. د کتاب مهمې موضوعگانې د سټیټیک اړین موضوعات، نارمل او شېر سټریس تعریف، د موادو ځینې اړین خواص، د محوري، تاوېدونکي او کرېدونکي بار او همدارنگه د عرضي شیبې او یو ځای شوي بارونه په اړه بحث شوي دي.

حفیظه الله وردک د حاجي بسم الله خان زوی، د وردکو جغتو ولسوالۍ کې زېږېدلی دی.

نوموړي خپل لېسانس سند د امریکا له هاوایي پوهنتون، ماسټري سند یې له کیس وسترن ریزور پوهنتون او دوکتورا در سونه یې په الباما پوهنتون کې بشپړه کړي.



ښاغلی حفیظ الله شپږ کاله د کابل پوهنتون په انجنييري پوهنځي کې استاد و. له هغه وروسته په امریکا کې شپږ کاله د سارجنت لنډي د اتومي انرژي کمپني، بیا د بوینگ له کمپني سره د پرش کاله د عالي رتبې انجنیر په حیث، د فضايي هډي (International Space Station) د ناسا (NASA) مربوطه او هم د بوینگ کمپني د ډول ډول موډلونو د نویو الوتکو په انجنييري کارونو کې د مشر سټرکچر انجنیر په حیث، د عالي رتبې انجنیر (تکنیکل فیلو) په صفت کار کړی. د بوینگ سره یوه اختراع هم لري او دا اختراع د امریکا د پټنټ په اداره کې رسمي ثبت شوې ده.

په کال ۲۰۲۲ کې د انجنييري په مسلک کې د رهبري اولاسته راوړلو پر بنسټ د نړۍ د انجنیرانو د سترت مور په لسټ (Who's Who Worldwide) کې د انجنیر په توګه پېژندل شوی دی.

زر جان بها د بهاول زوی دی، د وردک سیدآباد ولسوالۍ کې زېږېدلی دی. نوموړي خپل لوړې زده کړې د کابل پوهنتون په انجنييري پوهنځي کې بشپړه کړي دي، همدارنگه د ماسټري سند له واشنگتن پوهنتون او دوکتورا سند له نارت کرلینا پوهنتون څخه ترلاسه کړي دي.



ښاغلی بها د کابل پوهنتون د انجنييري استاد، د زراعت او سیول دیپارټمنټ مشر، د یاد پوهنځي رییس، د کرنې په وزارت کې د احصایي او وترنري کورسونو استاد، د یاد پوهنځي په CECSAR کې مشاور، په پورډو پوهنتون کې د مېلمه پروفیسور په توګه، د پورډو انټرنشنل پروګرام کې د Resident Program Coordinator په توګه دندې ترسره کړي دي.

ISBN 978-9936-622-66-1



Funded by
Kinderhilfe-Afghanistan

Not for Sale

بسم الله الرحمن الرحيم

اقراً باسم ربك الذي خلق

د موادو میخانیک

لومړی ټوک

لومړی چاپ

حفيظ الله وردک او زرجان بها

د کتاب نوم
ژباړونکي
خپرنډوی
وېب پاڼه
د چاپ کال
چاپ شمېر
مسلسل نمبر
ډاونلوډ

د موادو میخانیک (لومړی ټوک)
حفیظ الله وردک او زرجان بها
شیخ زاید پوهنتون، خوست، انجنیري پوهنځی
www.szu.edu.af
۱۴۰۲، لومړی چاپ
۱۰۰۰
۳۸۷
www.ecampus-afghanistan.org



دا کتاب د افغان ماشومانو لپاره د جرمني کمېټې، په جرمني کې د Eroes کورنۍ یوې خیریه ټولنې لخوا تمویل شوی دی. اداري او تخنیکي چارې یې د افغانیک لخوا ترسره شوي دي. د کتاب د محتوا او لیکنې مسوولیت د کتاب په ژباړن او اړوند پوهنځي پورې اړه لري. مرسته کوونکي او تطبیق کوونکي ټولنې په دې اړه مسوولیت نه لري.

د تدریسي کتابونو د چاپولو لپاره له مور سره اړیکه ونیسئ:
ډاکتر یحیی وردک، د لوړو زده کړو وزارت، کارته ۴، کابل
موبایل ۰۷۰۶۳۲۰۸۴۴، ۰۷۸۰۲۳۲۳۱۰
ایمپل info@ecampus-afghanistan.org

د چاپ ټول حقوق له مؤلف سره خوندي دي.

ای اس بی ان ۱-۶۶-۶۲۲-۹۹۳۶-۹۷۸

د درسي کتابونو چاپول

قدرمنو استادانو او گرانو محصلينو!

د افغانستان په پوهنتونونو کې د درسي کتابونو کموالی او نشتوالی له لویو ستونزو څخه گڼل کېږي. یو زیات شمېر استادان او محصلین نویو معلوماتو ته لاسرسی نه لري، په زاړه مېتود تدریس کوي او له هغو کتابونو او چپترونو څخه گټه اخلي چې پخواني دي او په بازار کې په ټیټ کیفیت فوتوکاپي کېږي.

موږ د ۲۰۱۰ څخه تر ۲۰۲۳ کال پورې د ننگرهار، خوست، کندهار، هرات، بلخ، البیروني، کابل پوهنتون، د کابل طبي پوهنتون او د کابل پولي تخنیک پوهنتون لپاره ۳۸۹ عنوانه مختلف درسي کتابونه د طب، ساینس، انجنیري، اقتصاد، ژورنالېزم او کرهڼې پوهنځیو لپاره چاپ کړي دي.

د یادونې وړ ده، چې نوموړي چاپ شوي کتابونه د هېواد ټولو اړوندو پوهنتونونو او یو زیات شمېر ادارو او موسساتو ته په وړیا توگه وپشل شوي دي. ټول چاپ شوي کتابونه له

www.ecampus-afghanistan.org ویب پاڼې څخه ډانلود کولی شئ.

دا کړنې په داسې حال کې ترسره کېږي چې د افغانستان د لوړو زده کړو وزارت د (۲۰۱۰-۲۰۱۴) کلونو په ملي ستراتیژیک پلان کې راغلي دي چې:

"د لوړو زده کړو او د ښوونې د ښه کیفیت او زده کوونکو ته د نویو، کره او علمي معلوماتو د برابرولو لپاره اړینه ده، چې په دري او پښتو ژبو د درسي کتابونو د لیکلو فرصت برابر شي، د تعلیمي نصاب د ریفورم لپاره له انگریزي ژبې نه دري او پښتو ژبو ته د کتابونو او درسي موادو ژباړل اړین دي، له دغو امکاناتو پرته د پوهنتونونو محصلین او استادان عصري، نویو، تازه او کره معلوماتو ته لاسرسی نه شي پیدا کولای."

موږ غواړو چې د درسي کتابونو په برابرولو سره د هېواد له پوهنتونونو سره مرسته وکړو او د چپتر او لکچرنوټ دوران ته د پای ټکی کېږدو. د دې لپاره اړینه ده چې د افغانستان د پوهنتونونو لپاره هر کال لږ تر لږه ۱۰۰ عنوانه درسي کتابونه چاپ شي.

له ټولو درنو استادانو څخه هيله کوو، چې په خپلو مسلکي برخو کې نوي کتابونه وليکي، ويې ژباړي او يا هم خپل پخواني ليکل شوي کتابونه، لکچرنوټونه او چپټرونه اېډېټ او د چاپ لپاره تيار کړي، زموږ په واک کې يې راکړي چې په ښه کيفيت چاپ او وروسته يې د اړوند پوهنځيو، استادانو او محصلينو ته په واک کې ورکړو. همدارنگه د يادو ټکو په اړه خپل وړاندیزونه او نظريات له مور سره شريک کړي، چې په گډه په دې برخه کې اغېزمن گامونه پورته کړو.

د ليکوالانو او خپروونکو له خوا پوره زيار ايستل شوی، چې د کتابونو محتويات د نړيوالو علمي معيارونو پر اساس برابر شي، خو بيا هم کېدای شي د کتاب په محتوا کې ځينې تېروتنې او ستونزې وليدل شي، نو له درنو لوستونکو څخه هيله لرو چې خپل نظريات او نيوکې ليکوال او يا مور ته په ليکلې بڼه راولېږي، چې په راتلونکي چاپ کې اصلاح شي.

د افغان ماشومانو لپاره د جرمني کمېټې او د هغې له مشر ډاکټر اېروس څخه ډېره مننه کوو چې د دغه کتاب د چاپ لگښت يې ورکړی دی. دوی تر دې مهاله د ننگرهار پوهنتون د ۲۵۰ عنوانه طبي او غير طبي کتابونو د چاپ لگښت پر غاړه اخيستی دی.

د پوهنتونونو رئيسانو، د پوهنځيو رئيسانو او استادانو څخه مننه کوم چې د کتابونو د چاپ لړۍ يې هڅولې او مرسته يې ورسره کړې ده. د دغه کتاب له ليکوال نه ډېر مندوی يم او ستاينه يې کوم، چې د کلونو - کلونو زيار محصول يې په وړيا توگه گرانو محصلينو ته وړاندې کړ.

همدارنگه د خپل دفتر له همکارانو هر يو ښاغلي حکمت الله عزيز، ښاغلي فهيم حبيبي، ښاغلي گل آغا احمدي او ښاغلي هېواد صافی څخه هم مننه کوم، چې د کتابونو د چاپ په برخه کې يې نه سترې کېدونکې هلې ځلې کړې دي.

ډاکټر يحيی وردک

د لوړو زده کړو وزارت، کابل، جون، ۲۰۲۳

د دفتر ټيليفون: ۰۷۰۶۳۲۰۸۴۴، ۰۷۸۰۲۳۲۳۱۰

ايميل: info@ecampus-afghanistan.org

د موادو د میخانیک بنیادي معادلي

Fundamental Equations of Mechanics of Materials

Axial Load

Normal Stress

$$\sigma = \frac{N}{A}$$

Displacement

$$\delta = \int_0^L \frac{N(x)dx}{A(x)E}$$

$$\delta = \sum \frac{NL}{AE}$$

$$\delta_T = \alpha \Delta TL$$

Torsion

Shear stress in circular shaft

$$\tau = \frac{Tp}{J}$$

where

$$J = \frac{\pi}{2} c^4 \quad \text{solid cross section}$$

$$J = \frac{\pi}{2} (c_o^4 - c_i^4) \quad \text{tubular cross section}$$

Power

$$P = T\omega = 2\pi fT$$

Angle of twist

$$\phi = \int_0^L \frac{T(x)dx}{J(x)G}$$

$$\phi = \sum \frac{TL}{JG}$$

Average shear stress in a thin-walled tube

$$\tau_{avg} = \frac{T}{2tA_m}$$

Shear Flow

$$q = \tau_{avg}t = \frac{T}{2A_m}$$

Bending

Normal stress

$$\sigma = \frac{My}{I}$$

Unsymmetric bending

$$\sigma = -\frac{M_z y}{I_z} + \frac{M_y z}{I_y}, \quad \tan \alpha = \frac{I_z}{I_y} \tan \theta$$

Shear

Average direct shear stress

$$\tau_{avg} = \frac{V}{A}$$

Transverse shear stress

$$\tau = \frac{VQ}{It}$$

Shear flow

$$q = \tau t = \frac{VQ}{I}$$

Stress in Thin-Walled Pressure Vessel

Cylinder

$$\sigma_1 = \frac{pr}{t}, \quad \sigma_2 = \frac{pr}{2t}$$

Sphere

$$\sigma_1 = \sigma_2 = \frac{pr}{2t}$$

Stress Transformation Equations

$$\sigma_{x'} = \frac{\sigma_x + \sigma_y}{2} + \frac{\sigma_x - \sigma_y}{2} \cos 2\theta + \tau_{xy} \sin 2\theta$$

$$\tau_{x'y'} = -\frac{\sigma_x - \sigma_y}{2} \sin 2\theta + \tau_{xy} \cos 2\theta$$

Principal Stress

$$\tan 2\theta_p = \frac{\tau_{xy}}{(\sigma_x - \sigma_y)/2}$$

$$\sigma_{1,2} = \frac{\sigma_x + \sigma_y}{2} \pm \sqrt{\left(\frac{\sigma_x - \sigma_y}{2}\right)^2 + \tau_{xy}^2}$$

Maximum in-plane shear stress

$$\tan 2\theta_s = -\frac{(\sigma_x - \sigma_y)/2}{\tau_{xy}}$$

$$\tau_{max} = \sqrt{\left(\frac{\sigma_x - \sigma_y}{2}\right)^2 + \tau_{xy}^2}$$

$$\sigma_{avg} = \frac{\sigma_x + \sigma_y}{2}$$

Absolute maximum shear stress

$$\tau_{abs_{max}} = \frac{\sigma_{max}}{2} \text{ for } \sigma_{max}, \sigma_{min} \text{ same sign}$$

$$\tau_{abs_{max}} = \frac{\sigma_{max} - \sigma_{min}}{2} \text{ for } \sigma_{max}, \sigma_{min} \text{ opposite signs}$$

د هندسي شكونو د مساحت خاصيتونه

Geometric Properties of Area Elements

Material Property Relations

Poisson's ratio

$$\nu = -\frac{\epsilon_{lat}}{\epsilon_{long}}$$

Generalized Hooke's Law

$$\epsilon_x = \frac{1}{E} [\sigma_x - \nu(\sigma_y + \sigma_z)]$$

$$\epsilon_y = \frac{1}{E} [\sigma_y - \nu(\sigma_x + \sigma_z)]$$

$$\epsilon_z = \frac{1}{E} [\sigma_z - \nu(\sigma_x + \sigma_y)]$$

$$\gamma_{xy} = \frac{1}{G} \tau_{xy}, \gamma_{yz} = \frac{1}{G} \tau_{yz}, \gamma_{zx} = \frac{1}{G} \tau_{zx}$$

where

$$G = \frac{E}{2(1 + \nu)}$$

Relations Between w , V , M

$$\frac{dV}{dx} = w(x), \quad \frac{dM}{dx} = V$$

Elastic Curve

$$\frac{1}{\rho} = \frac{M}{EI}$$

$$EI \frac{d^4v}{dx^4} = w(x)$$

$$EI \frac{d^3v}{dx^3} = V(x)$$

$$EI \frac{d^2v}{dx^2} = M(x)$$

Buckling

Critical axial load

$$P_{cr} = \frac{\pi^2 EI}{(KL)^2}$$

Critical stress

$$\sigma_{cr} = \frac{\pi^2 E}{(KL/r)^2}, \quad r = \sqrt{I/A}$$

Secant formula

$$\sigma_{max} = \frac{P}{A} \left[1 + \frac{ec}{r^2} \sec \left(\frac{L}{2r} \sqrt{\frac{P}{EA}} \right) \right]$$

Energy Methods

Conservation of energy

$$U_e = U_i$$

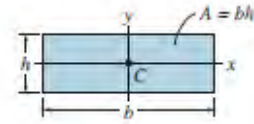
Strain energy

$$U_i = \frac{N^2 L}{2AE} \quad \text{constant axial load}$$

$$U_i = \int_0^L \frac{M^2 dx}{2EI} \quad \text{bending moment}$$

$$U_i = \int_0^L \frac{f_s V^2 dx}{2GA} \quad \text{transverse shear}$$

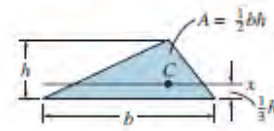
$$U_i = \int_0^L \frac{T^2 dx}{2GJ} \quad \text{torsional moment}$$



Rectangular area

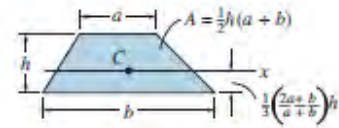
$$I_x = \frac{1}{12} bh^3$$

$$I_y = \frac{1}{12} hb^3$$

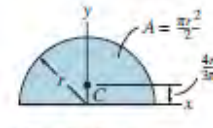


Triangular area

$$I_x = \frac{1}{36} bh^3$$



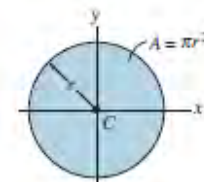
Trapezoidal area



Semicircular area

$$I_x = \frac{1}{8} \pi r^4$$

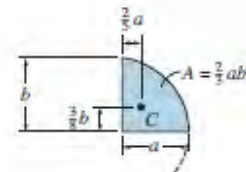
$$I_y = \frac{1}{8} \pi r^4$$



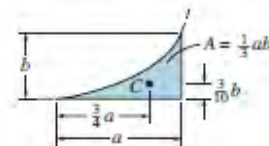
Circular area

$$I_x = \frac{1}{4} \pi r^4$$

$$I_y = \frac{1}{4} \pi r^4$$



Semiparabolic area



Exparabolic area

د موادو میخانیک

پښتو ژبی ژباړنه

د دی کتاب (د موادو میخانیک) ژباړنه پښتو ژبی ته، د پیرسن کمپنی په اجازه سره شوی ده. پښتو ژباړنه له انگلیسی نسخې د کال 2017 ، د موادو میخانیک لسمه نسخه رسل هیبلر ، کوم چی د پیرسن (Pearson Education, Inc. Hoboken, NJ 07030) لخوا چاپ شوی بشپړه شوی ده. خپرول یی د نسخې © 2017 حق دی . [د انگلیسی ژبی د چاپ حق د پیرسن کمپنی سره خوندي دي].

ټول حقونه خوندي دي. د دی کتاب د انگلیسی ژبی چاپ شوی نسخې هیخ برخه یی په هره بڼه یا په هره وسیله، بیا تولید یا لیردول شوی، الکترونیکی یا میخانیکي، د فوتوکاپی په گډون، ثبت کول یا د هر ډول معلوماتو ذخیره کولو سیستم له لاری، بدون له اجازی د Pearson Education, Inc له خوا مجاز ندي او د چاپ حق © خوندي دي. د پښتو ژبی چاپ کال 2023.

Library of Congress Cataloging-in-Publication Data

Hibbeler, R. C. ,

Mechanics of materials / R.C. Hibbeler.

Tenth edition. | Hoboken, NJ: Pearson, 2015. | Includes index.

LCCN 2015044964 | ISBN 9780134319650

Materials. | Mechanics, Applied. | Strength of materials. | Structural analysis

(Engineering) | Materials—Problems, exercises, etc. | Mechanics, Applied—Problems,

exercises, etc. | Strength of materials—Problems, exercises, etc. | Structural analysis

(Engineering)—Problems, exercises, etc.

LCC TA405.H47 2015 | DDC 620.1/123—dc23

LC record available at <http://lcn.loc.gov/2015044964>

10 9 8 7 6 5 4 3 2 1

ISBN 10: 0-13-431965-6

ISBN 13: 978-0-13-431965-0

زده کوونکیو ته:

د دې امید سره چې دا کار به د موادو میخانیک کی علاقه رامینځته کړي او د پوهیدو لپاره به د منلو وړ لارښود چمتو کړي.

سریزه (PREFACE)

دلته هدف دادی چی زده کونکي په ډیره واضح او مکمله توگه د موادو د میخانیکیت په تیوری او دهغو په استعمال وپوهیږی. ددی موخی د رسیدولپاره، د ډیروکلونو په اوردوکی د سلهاووپوهنتون استادانود وړاندیزونو او د کتاب لیکونکي زده کونکیوله تبصروڅخه گټه اخستل شوی. لسم چاپ د پخوانیو چاپونونه خورا ښه شوی دی او هیله ده چی زدکونکي او استادان به لدی ښه توب نه گټه واخلي.

ددی چاپ نوی شیان (NEW TO THIS EDITION)

. **د موادو نوی کول.** ډیر عنوانونه پدی کتاب کی له سره لیکل شوی تر څو پوهیدل یی اسانه شی. ځنی انځورونه لوی او ښه شوی دی تر څو د ډول بدلیدونه گټور تمام شی.

. **د نوی ډیزاین طرحه.** د ډیزاین نوری ځانگړتیاوی اضافه شوی تر څو مواد ښه وښودلشی. ډیری عنوانونه په یوه او یا دووموخی راغلی تر څو د ډیرو مخونو اړولوته ضرورت نه وی.

. **د لمرنیزو او بنسټیزو سوالونو ښه کول.** دا ډول پوښتنی د مثالونو دحل نه وروسته راغلی. زدکونکیو ته د هری برخی د مفهومو عملیکول وړښی تر څو وکرلیشی د سوالونه دحلولو توان پیدا کړی پخوا لدی چی معیاری سوالونو ته ورسیری. دا شمیر سوالونه هم کیدی شی د مثالو په ډله کی راشی ځکه چی مکمل حل یی د کتاب په پای کی راغلی. همدارنگه ددی سوالونو حل د زدکونکیو د پاره دا موقع برابره وی چی د ازموینی د پاره یی وگوری او حتی د انجینری مسلکی لایسنس اخستو د پاره د بنسټیزی برخی د ازموینی د پاره کار تری واخستل شی.

. **نوی عکسونه.** د ښی پوهی د پاره ۱۴ نوی او یا ښه شوی د واقعی ژوندعکسونه ددی چاپ د پاره اضافه شوی دی. دا عکسونه ښی چی په څه ډول ددی مضمون اساسات د واقعی ژوند په حالاتو کی کارکوی او مواد تر بار لاندی په څه ډول عکسالعمل ښی.

. **نوی سوالونه.** ددی چاپ د پاره، ۳۰٪ یا ۴۳۰ نوی سوالونه اضافه شوی چی د مختلفو انجینری ساحو د پاره تری گټه اخستل کیدی شی.

. **د بیا کتنی نوی سوالونه.** نوی د بیا کتنی سوالونه دهر څبرگی په پای کی په ځای شوی، تر څو ښونکی وکرلی شی د زدکونکیو د ازموینی د تیاری لپاره د کورنی کار په توگه ورکا.

محتویات (CONTENTS)

محتویات په ۱۴ فصلونو کی ترتیب شوی. اول فصل د سټیټیک مهم موضوعات بحثکوی چی ورپسی په اساسی توگه نارمل او شیر سټیریس تعریفوی، چی نارمل سټیریس په هغو اعضاوو کی

چی د محور په اوږدوالی بار ورباندی پلې شوی او اوسط شیر ستریس چی د مستقیم شیر له امله پینیری، بحث کوی.

په دوهم فصل کی نارمل او شیر ستریس تعریف شوی، په ۳ فصل کی د موادو ځنی مهم خواص بحث شوی دی. په ځانگری توگه د محوری بار، تاویدونکی، او کزیدونکی په ۴، ۵ او ۶ فصلونو کی په ترتیب سره معامله شویدی. په ټولو فصلونو کی دواړه، خطی الاستیکی او پلاستیکی حالت د موادو په نظر کی نیول شوی کله چی ستریس د یوځای شوی بار نه پیداشوی. په ۹ فصل کی د څو اړخیزه ستریسو اړول وړاندی شوی. په همدی ډول ۱۰ فصل د سترین اړول او د ماتیدو مختلفی تیوری گانی وړاندی شوی. ۱۱ فصل یو ځل بیا د بیمونو او شافتونو د ډیزاین له لاری د موادو بیا کتنه کوی. په ۱۲ فصل کی مختلفی لاری څیرل شوی چی د بیمونو او شافتونو بیخایه کیدنه (Deflection) معلومه کړی. همدارنگه د دی ډول غریو ریکشنونه پیداکوی که سټیکلی نا معلوم وی. ۱۳ فصل د ستنی (Column) په بیخایه کیدنه یا بکلینگ (Buckling) باندی بحث کوی، او به ۱۴ فصل کی د امپکت (Impact) موضوع او د انرژي مختلفی طریقې د بیخایه کیدنی د پاره بحث کوی.

هغه حصی ددی کتاب چی پر مختللی موضوعات څیری، د ستوری علامه ورباندی لگیدلی، چی کی وختوی په مضمون کی داخلیدی شی. همدارنگه دا مواد کیدی شی د ریفرینس مناسب مواد د لمرنیو اساساساتو د پاره حساب شی کله چی د نورو مضمونو او یا پروژو د پاره تری گار واخستل شی.

ددی مضمون دویلو دپاره بله لاره: ځنی استادان ممکن اول دستریس او سترین اړول لمری بحثکا پخوا لدی چی د محوری بار، تاویدل، کزیدل او شیر استعمال وڅیری. یوه لاره ممکن دا وی چی ستریس او د هغو اړول په ۱ او ۹ فصلو کی اوبیا د سترین اړول چی په ۲ فصل او په اوله برخه د ۱۰ فصل کی راغلی. ددی فصلونو بحث او مثالونه داسی ترتیب شوی چی دا کار کیدونکی دی. د سوالونو سټ داسی ویشل شوی چی بیله دی چی مخکنی بوهه ولری دا کار کیدی شی. د ۳ نه تر ۸ څیر گیو بیا داسی ویل کیری چی نارمل دوام ته کومه ستونزه نه پینیری.

مهم عناصر (HALLMARK ELEMENTS)

ترتیب اوتگلاره. په هر فصل کی موضوعگانی په روبنانه برخو ویشل شوی چی مواد بحث شوی، تشریحی سوالونه، او په پای کی د کورنی کار سوالونه راغلی. عنوانونه په هره برخه کی په ځانته گروپو ویشل شوی. ددی کار موخه داده چی نوی تعریفونه او موضوعگانی وښودل شی، او کتاب د ماخذ او بیا کتنی د پاره آسانتیا راولی.

د فصلونو مواد. هر فصل په پوره مخکی چی عمومی تطبیقونه د فصل تشریحکوی شروع کیری. د فصل موخی وړاندی شوی تر څوپه عمومی توگه د فصل مواد وښودل شی.

د تحلیل کرنلاری. پس د ډیروبرخو د کتاب نه دا روښانه شوی، چی دا تگلاره د زدکونکیو دپاره ښه لاره ده چی نظریه به عملی توگه استعمال کری. تشریح شوی سوالونه همدا تگلاره تعقیبوی تر څو نظریه په شمیرنی سوالونو پلی شی. دابنایی چی وپوهیدل شی کله چی زدکونکی وپوهیږی او په ځان ډاډه شی، کری شی دخپله ځانه د سوالونو د حل لاری د ځان د پاره انتخاب کری.

انځورونه. ډیر انځورونه په کتاب کی راغلی تر څو زدکونکی وپوهیږی چی د موادو دمیکخانکیت اساسات په څه ډول د واقعی ژوند اړوند ستونزی حلکوی.

مهم تکی. دا برخه دبیباکتنی اولنډیزد مهمو موضوعگانو په هره برخه کی په گوته کوی تر څو زدکونکی وکری شی له نظریو څخه د سوالونو د حل د پاره گټه واخلي.

مثالی سوالونه. ټول مثالی سوالونه په ډبره واضحه توگه ښودل شوی چی په اسانی وپوهیدلشی.

د کورنی کار سوالونه. پدی کتاب کی برسیره پر لومړنی، اساسی، او مفهومی سوالونو، یو شمیر عددی معیاری سوالونه شته چی دانجینری واقعی حالتوته ورته دی. هیله ده چی زدکونکی ددی واقعیت نه گټه پورته کری او دا توان پیداکی چی د موضوع د شرحی او فزیکي ما ډل د پاره د اساساتو د استعمال نه گټه واخلي. په کتاب کی کوشش شوی چی د بین المللی واحدو (SI) او فټ، پونډ، او ثانیه (FPS) واحدو سیستمو څخه د انډول په توگه کار واخستل شی. همدارنگه په هره برخه سوالو کی کوشش شوی چی د سختوالی اندازه یی په تدریجی ډول اضافه شی. د سوالو ځوابونه بیله هر څلورم سوال نه د کتاب په اخر کی راغلی. ددی د پاره چی زدکونکی وپوهیږی د هغو سوالو د پاره چی ځواب یی په کتاب کی نشته د سوال سره د ستوری (*) علامه ایښودل شوی. ځوابونه تر دریو مهمو شمیر راغلی که څه هم د موادو د خواصو مهمه شمیره به تر دریو کمه وی. که څه هم دا به ښه کار نه وی خو لدی کبله چی ټول وکړلی شی چی زدکونکی په دوامداره توگه وکړیشی خپل ځوابونه مقایسه کری .

ضمیمی (Appendices). ضمیمی د دی کتاب د بیباکتنی دپاره او یو لړ د کار وړ جدولونه لری. د A ضمیمه د ساحی د مرکز او د انرشیا د مومنت په هکله معلومات لری. د B او C ضمیمی د ساخمنانی څیرو جدولونه د یو شمیر بیمو او شافتو انحنو او میلان په گوته کوی.

د دروستی کتل. لسم چاپ د کتاب د جدی دریخله درستی کتلو څخه تیر شوی. برسیره د کتاب د لیکونکی چی ټول مخونه او ارت یی کتلی، دا لاندی کسانو هم کتلی دی:

Scott Hendrick, Virginia Polytechnic University

Karim Nohra, University of Florida

Kurt Norlin, Bittner Development Group

Kai Beng Yap, Engineering Consultant

يادونه او مننه (ACKNOWLEDGEMENTS)

د کلونو په اوږدو کې دا کتاب د ډيرو دوستانو چې درسونه ورکوي د پاملرنې وړ او پر بڼه توب کې يې برخه اخستې. د دوی تشويق او د بڼه توب دپاره انتقادونو زه منندوی کړی يم او هيله ده چې دا بينامه منندویي قبوله کړي. چا چې دا کتاب کتلی زمامنه ورته وړاندې ده.

S. Apple, Arkansas Tech University

A. Bazar, University of California, Fullerton

M. Hughes, Auburn University

R. Jackson, Auburn University

E. Tazel, Alfred State College

H. Zhao, Clemson University

يو شمير کسان دی چې دلته د ځانگړتيا مننه تری کوم. زما ډير پخوانی ملگري او همکار، Kai Beng Yap، چې زما سره يې د سوالونو په حلولو کې خورا مرسته کړې. خاصه مننه په همدې هکله Kurt Norlin ته وړاندې کيږي. د Rose Kernan څخه مننه کوم چې دډيرو کلو راهيسې زما دچاپيدو ايډيټر دی، او زما له ميرمنې چې دا کتاب يې تايپ کړی چې د چاپ دپاره تيار شې.

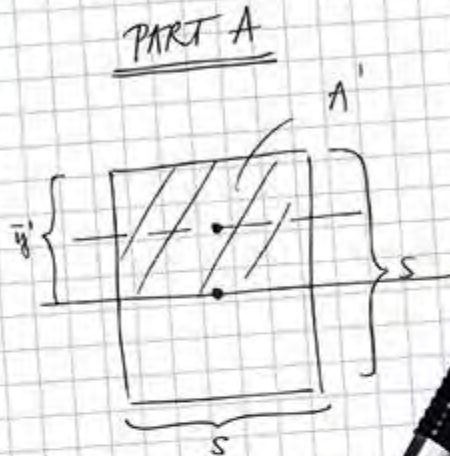
زه غواړم چې د هغوټولو زدکونکيو څخه مننه وکړم چې پخوانی چاپ يې لوستلی او د بڼه توب وړانديزونه يې کړي او په خاصه توگه هغه پخوانی زدکونکي چې اوس درس ورکوي او له هغوچې ماته يې بريښنا ليکونه راستولی او په خاصه توگه له G. H. Nazari څخه.

زه به ډير خوشحاله شم که تاسو ددی چاپ د بهبود لپاره خپلی نيوکی او تبصری را سره شريکي کړي.

Russell Charles Hibbeler

hibbeler@bellsouth.net

your work...



$$s = 6.75 \text{ in}$$

$$\bar{y}' = \frac{s}{2} = \frac{6.75 \text{ in}}{2} = 3.375 \text{ in}$$

$$A' = s \times 0.5 \times s = 6.75 \text{ in} \times 0.5 \times 6.75 \text{ in} = 22.8 \text{ in}^2$$

$$Q = \bar{y}' A' = 3.375 \text{ in} \times 22.8 \text{ in}^2 = 76.9 \text{ in}^3$$

$$Q = 76.9 \text{ in}^3$$

ددى كتاب پښتو ترجمه

ددى كتاب د ژباړې لپاره مور (حفيظ الله وردك او زرجان بها) دوه فكتورنه په نظر كې نيولي: (۱) داچې په دې رشته كې تحول په كرارې سره دى، او ډير وخت نيسي چې كوم بنيادى تحول پكې راشي. (۲) داچې دا كتاب په امريكايي بنه شهرت لري او په ډيرو معتبرو پوهنتونونو كې اوس تدريس كيږي. د موادو ميخانكيټ داسې يوه موضوع ده چې زموږ اول شرط يې پوره كړي. ممكن هغه بنه كتابونه چې پنځوس كاله مخ كې پدې ساحه كې ليكل شوي وي اوس هم د گټې وړ وي. همدا رنگه دا كتاب چې مورږ خو بسكړي په ډيرد پوهنتونو كې تدريس كيږي چې زموږ دوهم شرط پوره كوي. ددې كتاب پوره معلومات په انگليسي ژبه په لاندې ډول دي:

Mechanics of Materials

By Hibbeler , 10th edition 2017

Publisher is Pearson

دا كتاب ر.س. هيبيلر ليكلي چې د پيرسن كمپني چاپ كړي او لسم چاپ يې په ۲۰۱۷ كال كې راوتلي.

لمړي مورباید د نشرونكي كمپني نه د ترجمي اجازه واخيستله چې ډيره اوږده مرحله وه او نيږدې درې كاله وخت يې ونيو. كه څه هم مورږ يو اندازه پيښي هم وركړي چې د ترجمي اجازه واخلو خو دا زموږ د پاره كوم دياډولو وړ خبره نه وه. مورږ دواړه ژباړونكي د پيرسن كمپني د صلاحيت لرونكيو څخه، په خاصه توگه دښاغلي رندينا پابلو (Rendina, Pablo) نه، د زړه له كومي مننه كوو چې مورږ ته يې اجازه راكړه (9780134319650_Mechanics of Materials) چې ددوي يو مشهور كتاب د افغانستان په ملي ژبه پښتو تر جمه كړو. هيله ده چې په افغانستان كې اوسني او راتلونكي انجينران ترې پوره گټه پورته كړي.

په امريكا كې دا كتاب د سيول انجينري او ميخانيك انجينري زده كونكيو دپاره دى، هيله ده چې په افغانستان كې هم پدې دوو انجينري رشتو كې تدريس شي. پدې كتاب كې په كافي اندازه مواد شته چې د دوو سمټرو د پاره كار وركا. دا ممكن په استاد او رشته پوري اړه ولري چې كوم څپرگي په يوه سمستر كې وړاندې شي.

مورږ كوشش كړي چې به ډيرو ځايو كې په قوسو كې د انگليسي لغتونه هم استعمال كړو چې زموږ د ترجمي پوره معنا لوستونكي وپوهيږي. مورږ كوشش ندې كړي چې پدې برخه كې نور اثار چې په پښتو ليكل شوي دي ولولو او يا دهغو اصطلاحات استعمال كړو. كوشش مو كړي چې په ډيره رواجي ژبه دا كتاب وليكو. هيله ده چې د ټولو افغانانو د پاره اسانه وي چې د موضوع مطلب ترې تر لاسه كړي.

منن لیک (حفیظ الله وردک)

ډیر خوشحاله یم ، الحمد لله ، چی الله (ج) دا توانایي راکړه چی د موادو میخانیک کتاب (Mechanics of Materials by R.C. Hibbeler) ژباړنه په ساده او روانه پښتو ژبه، د خپل فامیل په مرسته، د یو شمیر محترمو او معززو استادانو او ملگرو په لارښودنه او هڅونو، د گران افغانستان د انجینری محصلینو او د افغانستان انجینرانو د زدکړي او ریفینس لپاره تکمیل کړم . ددی کتاب په ژباړنه کی زما گران او محترم استاد د کابل پوهنتون د انجینری پوهنځی پخوانی ریئس او د پورډو یونیورسیتی پخوانی پروفیسور ډاکتر زرجان بها چی په انډیانا کی ژوند کوي زما سره ملگری وه او د هغه په مرسته موددی کتاب ژباړنه تکمیل کړه.

دلته غواړم چی له له ډیر قدرمن د کابل پوهنتون دانجینری پوهنځی پخوانی زما استاد او د ژوند ملگری محترم پروفیسور ډاکتر سورگل وردک، چی اوس په گلپورنیا یونیورسیتی کی پروفیسور دی او هلته ژوند کړي د هغه له ارزښت ډکو لارښونو، د یو څو فصلونو بیا کتنه، هڅونو او نظریاتو او ملاتړ په ډیر قدر یاده ونه او مننه کړم.

له خپلی میرمنی ثریاجانی چی په ډیره حوصله مندی په کور کی یی هر ډول آسنتیاووی ماته برابرې کړي او ملاتړي کړي په ډیر قدریادونه او مننه کوم. زما دوه زامنو د طبی پوهنتون پروفیسور ډاکتر ذبیح الله وردک او میرمن یی ډاکتر انجیلا فاروقی ، او بل زوی ډاکتر نجیب الله وردک او میرمن یی لانه میره کی ، او دوه لورگانو ډاکتر لمیا وردک او خاوند یی پروفیسور ډاکتر بنالان ، او بله لور می انجینره وژمه وردک او اولادونه یی ، ددوی له بیحده مرستو ، هڅونو، او دعاگانو په قدر یادونه او مننه کوم. زما دکور د دفتر وسایل په پښتو او انگلیسی ژبوسمبالول او زما د کمپیوتری ستونزو له مینځه وړل د څو کلونورا پدی خوا کله چی ما خپل رسمی کار له بوینگ کمپنی سره وروسته له دیرش کلونو بس کړي، ماته د قدر او مننی وړ دی او له دوی ټولو د محبت ډکه مننه کوم.

په آخر کی غواړم چی د محترم ډاکتر صاحب یحیی وردک او د هغوی له ټیم څخه چی ددی کتاب په چاپ کی یی مرسته کړي ډیره مننه کوم. او هم د گران افغانستان د خوست ولایت د شیخ زاید پوهنتون محترم رییس حسین گل آریوبی، د انجینری پوهنځی له محترم رییس ریدی گل همدرد، او د سیول انجینری دیپارتمنت مشر نصرت الله نصرت څخه ډیره مننه کوم، چی دا کتاب یی په کوریکیم د انجینری پوهنځی کی شامل کړي. او هم له پیرسن (Pearson) کمپنی ډیر مننه کوم چی د دی با ارزښته کتاب د ژباړني پښتو ژبی ته یی اجازه راکړه.

له ټولو لوستونکیو زما هیله دا ده چی خپل نظریات او انتقادات زمور سره شریک کړی تر څو به بل چاپ کی هغه په نظر کی ونیسو. او که چیری کوم اشتباحات شوی له ټولو بښنه غواړو.

په درناوي حفیظ الله وردک

من لیک (زر جان بها)

تر هر څه د مخه زه د کایناتو د جوړوونکي **الله سبحان الله و تعالیٰ** دی بی ساریه لورینونه چی په ماباندی یی کری منند وی یم.

زما په ژوند کی زما پلار ډیر مثبت رول لوبولی چی په کوچنوالی کی یی ماته واک راکا چی کری شم ددینی زده کړو د پاره د طالبی لار ونیسم او یا د عمومی زده کړو د باره بنونخی ته ولاړ شم چی ما بنونخی خوښکا او د تکیی په بنونخی کی داخل شوم. او پدی کار کی زما تره چی ملک واک هم رول در لود چی ارزو یی وه چی زه په بنونخی کی لیک او لوست زده کړم تر څو وکړی شم د خپل پلار په څیر د وولس د پاره گتور تمام شم. زما پلار زمور د تولی که لی (قلعی) بنونکی واک چی نجونی او هلکان به هر سهار زمو کورته د درس ویلو د پاره راتلل. لږ تر لږه به تولو د قران مجید لوستل زده کړل. د سبق ویلو د پاره یو شمیرنوری نجونی او بنخی د نورو نیردی که لونه هم را غلی دی. دقران مجید له لوستلو نه پس که چا غوښتل نور درس وواپی په هلکانو به یی پنجکتاب چی په دری ژبه واک او په نجونو به یی رشید بیان چی په پښتو ژبه واک شروع کړل او دا دده دپاره اخری مرحله د تدریس وه.

په دوهمه مرحله کی زما میرمنی فاطمی (گول) زما به ژوند کی مثبت رول درلود چی په دوامداره توگه یی په ډیره حوصله رېږونه پر ځان قبول کری وو تر څو زه وکړی شم د ارزو سره سم خپلو زده کړوته دوام ورکړم. همدارنگه نوموړی د دریسو اولادو په روزنه کی د کورنی د نورو غړیو په مرسته پوره ونډه اخستی وه چی ډیر وخت ځان ملامت بولم چی زه د افغانستان په جوړولو کی دومره مصروف وم چی دوی ته می ډیر کم وخت درلود او بیننه تری غواړم.

زه ډیر طالع من یم چی اولادونو می عبدالغفور چی د ژوند شریکه یی ملالی، عبد الرؤف چی د ژوند شریکه یی هیلی. او وسیمه چی د ژوند شریک یی عبدالحکیم دی، نه یواخی په کوچنوالی کی ماته هیڅ تکلیف ندی راکړی، او اوس چی لوی شوی او دژوند د شریکانو او اولادوسره په خپلو کورونو کی ژوند کوی زما او د گول بی نهایته احترام او هر اړخیزه پام لرنه لری.

یو ډیر نیردی ملگری می ډاکتر محمد رسول وردگ چی مور دواړه په یوه وخت کی د کابل په پوهنتون کی وو او پس له پوهنتونه دواړه په پوهنتون کی د استادانو په توگه پاتی شوو. نوموړی څو کاله پخوا په سویس کی چی ډاکتر واک وفات شو. نوموړی دما دپاره د صداقت او دیانت نمونه واک او زما په ژوند کی چی وکړی شم پر خپلو کړنلارو کی بریالی شم مثبت اغیزه درلوده.

ددی کتاب به لیکلو کی زما خواخوږی ملگری چی د کابل د انجینری پوهنخی په استادانو کی یی خاص او ډیر پیاوړی ځای در لود، حفیظ الله وردگ، ددی کتاب په لیکلو کی بی ساریه زیاریستلی او زه تری مننه کوم چی ماته یی ددی کتاب په لیکلو کی برخه راکړه. هیله لرو چی په راتلونکی وخت کی مور په گډه سره وکړی شو د افغانستان د پاره د نورو علمی پروژو په تکمیلولو کی بریالی شو.

لیکچر

1

ستریس (Stress)

1

2 د فصل موخې (Chapter Objective)

1.1 پیژندنه (Introduction) 2

3 د ارتجاعی جسمونو تعادل (Equilibrium of a Deformable Body) 1.2

1.3 ستریس (Stress) 32

1.4 نارمل اوسط ستریس په یوه محوری بارشویي میله کی (Average Normal Stress in

35 an Axially Loaded Bar)

1.5 اوسط مماسی (غوڅوونکی) ستریس (Average Shear Stress) 47

1.6 د منلو وړ د ستریس ډیزاین (Allowable Stress Design) 73

1.7 د محدود حالت ډیزاین (Limit State Design) 76

106

سترین (Strain)

2

107 د فصل موخې (Chapter Objective)

2.1 د شکل بدلون (Deformation) 107

2.2 سترین (Strain) 108

134	(Chapter Objective)	د فصل موخي
134	(Tension and Compression Test)	3.1 کشش (کشکولو) او د کمپرشن (تیلوهلو) آزمیني
136	(The Stress-Strain Diagram)	3.2 د سترس- سترین ډایگرام
143	Behavior of Ductile and Brittle Material)	3.3 د سترس- سترین چلند د غوژیدونکیو او ماتیدونکیو موادو (Stress -Strain)
150	(Strain Energy)	3.4 سترین انرژي
169	(Poisson's Ratio)	3.5 د پویسان (پویزان) تناسب
173	(The Shear Stress Strain Diagram)	3.6 د شپیر سترس- سترین ډایگرام
178	Creep and Fatigue)	3.7 د موادو خرابیدل د کریپ او ستر یا له امله (Failure of Materials Due to

- د فصل موخي (Chapter Objective) 196
- 4.1 د سنت وینانت اصول (Saint-Venant's Principle) 197
- 4.2 د یوه محوري بار شوی غړی د شکل ارتجاعی بدلون: Elastic (Deformation of) 199
An Axially Loaded Member
- 4.3 د سوپر پوزیشن اصول (Principle of Superposition) 224
- 4.4 ستاتیکی مجهول محوري بار شوی غړی (Statically Indeterminate Axially Loaded Members) 225
- 4.5 د محوري بار شویو غړیو لپاره د قوو د تحلیل طریقه (The Force Method of Analysis for Axially Loaded Members) 237
- 4.6 حرارتي سترس (Thermal Stress) 254
- 4.7 د ستریس غلظت (Stress Concentrations) 267
- 4.8* محوري غیر ایلستیکی بی حایه کیدل (Inelastic Axial Deformation) 271
- 4.9* پاتي شوي سترس (Residual Stress) 274

- د فصل موخي (Chapter Objective) 300
- 5.1 د تاویدو له امله د دایرووی غوڅی شافت د شکل تغیر (Torsional Deformation of a Circular Shaft) 301
- 5.2 د تاویدني فورمول (The Torsion Formula) 303
- 5.3 د توانايي لیردول (Power Transmission) 315
- 5.4 د تاویدني زاویه (Angle of Twist) 337
- 5.5 په ستیا تیکلی نا معلوم غریو د تورک بار (Statically Indeterminate Torque-Loaded Members) 363
- 5.6* جامد (پک) شافتونه چی غوڅه برخه یی کرده نده (Solid Non-Circular Shafts) 375
- 5.7* د نازک ضخامت شافتونه کوم چی ترلشوی غوڅی برخی لری (Thin-Walled Tubes Having Closed Cross Sections) 379
- 5.8 د سترس غلظت (Stress Concentration) 396
- 5.9* غیر ارتجاعي تورژن (Inelastic Torsion) 401
- 5.10* پاتیکیدونکی ستریس (Residual Stress) 405

432 کرونکی (انحنایي) مؤمنت (Bending)

د فصل موخي (Chapter Objective) 432

- 6.1 شیبیر او مؤمنت ډایگرامونه (Shear and Moment Diagrams) 433
- 6.2 د شیبیر او مؤمنت ډایگرامونو جوړه ول په گرافیکی طریقہ (Graphical Method for Constructing Shear and Moment Diagrams) 443
- 6.3 دیوه مستقیم غړی د کړیدو بیخایه کیدنه (Bending Deformation of a Straight Member) 477
- 6.4 د کړیدو فورمول (The Flexure Formula) 482
- 6.5 نامتناظر کوروالي (Unsymmetric Bending) 514
- 6.6* مرکب بیمونه (Composite Beams) 532
- 6.7* د وسپنیز کانکریټ بیمونه (Reinforced Concrete Beams) 536
- 6.8* کاره (منحنی) بیمونه (Curved Beams) 544
- 6.9 د سټریس غلظت (Stress Concentration) 555
- 6.10 غیر ایلاستیکی کوریدنه (Inelastic Bending) 574

د فصل موخي (Chapter Objective) 614

7.1 په مستقيمو غړيو كې شپير (Shear in Straight Members) 615

7.2 د شپير فورمل (Shear Formula) 617

7.3 د شپير بهير په جوړ شويو (مركب) غړيو كې (Shear Flow in Built-Up Members) 646

7.4 شپير بهير د نازك ديوال په غړيو كې (Shear Flow in Thin-Walled Members) 665

7.5* شپير مركز د نري ديوال خلاصو غړيو كې (Shear Center for open Thin-Walled Members) 674

695 يوځاي شوي بارونه (Combined Loadings)

د فصل موخي (Chapter Objectives) 695

8.1 د نري ديوال د فشار مخزنونه (Thin-Walled Pressure Vessels) 696

8.2 ستريس حالت د يوځاي شويو بارونو له امله (State of Stress Caused by Combined Loading) 707

د فصل موخي (Chapter Objective) 756

- 9.1 د سطحی سٹریس بدلون (Plane Stress Transformation) 757
- 9.2 د سطحی سٹریس د بدلون عمومی معادلہ (General Equation of Plane Stress Transformation) 764
- 9.3 مهم (اصلی) سٹریسونہ او پہ - داخلی سطحہ کی اعظمی شیئر سٹریس (Principal Stresses and Maximum In-Plane Shear Stress) 771
- 9.4 د موہر دایرہ - سطحی سٹریس (Mohr's Circle- Plane Stress) 805
- 9.5 مطلق اعظمی شیئر سٹریس (Absolute Maximum Shear Stress) 830

د فصل موخي (Chapter Objective) 848

- 10.1 سطحی سٹرین (Plane Strain) 849
- 10.2 د سطحی سٹرین بدلون عمومی معادلات (General Equations of Plane-Strain Transformation) 849
- 10.3* موہر دایرہ- سطحی-سٹرین (Mohr's Circle- Plane Strain) 864
- 10.4* مطلق اعظمی شیئر سٹرین (Absolute Maximum Shear Strain) 879
- 10.5 د روزیتونو سٹرین (Strain Rosettes) 882
- 10.6* د موادو د خاصیتونو اړیکي (Material Property Relationships) 891
- 10.7* د رنگیڈو تیورئ (Theories of Failure) 911

938 د بيمونو او شافتونو ډيزاين (Design of Beams and Shafts)

د فصل موخي (Chapter Objectives) 939

11.1 د بيم ډيزاين اساسات (Basis for Beam Design) 940

11.2 د پريزماتيک بيم ډيزاين (Prismatic Beam Design) 942

11.3* په بشپړ ډول ستريس شوي بيمونه (Fully Stressed Beams) 967

11.4* د شافت ډيزاين (Shaft Design) 973

991 د بيمونو او شافتونو بيخايه كيدل (Deflection of Beams and Shafts)

د فصل موخي (Chapter Objective) 992

12.1 ايلستيک منحنی (The Elastic Curve) 993

12.2 ميلان او بيخايه كيدنه په انتيگریشن سره (Slope and Displacement by Integration) 997

12.3* غوڅ توابع (Discontinuity Functions) 1026

12.4* ميلان او بيخايه كيدنه د مؤمنت-مساحت په طريقه (Slope and Displacement by Moment-Area Method) 1044

12.5 د سوپر پوزیشن طريقه (Method of Superposition) 1070

12.6 ستاتيکلی نامعلوم بيمونه او شافتونه (Statically Indeterminate Beams and Shafts) 1082

12.7 ستاتيکلی نامعلوم بيمونه او شافتونه-د انتيگریشن په طريقه (Statically Indeterminate Beams and Shafts--Method of Integration) 1083

12.8* ستاتيکلی نامعلوم بيمونه او شافتونه-د مؤمنت-مساحت په طريقه (Statically Indeterminate Beams and Shafts-Moment-Area Method) 1091

12.9 ستاتيکلی نامعلوم بيمونه او شافتونه-د سوپر پوزیشن په طريقه (Statically Indeterminate Beams and Shafts-Superposition Method) 1100

- د فصل موخي (Chapter Objective) 1124
- 13.1 بحراني بار (Critical Load) 1125
- 13.2 خيالي کالم د پين اتکاو سره (Ideal Column with Pin Supports) 1127
- 13.3 کالمونه چي مختلفي اتکاوي لري (Columns Having Various Types of Supports) 1137
- 13.4* د سيکنټ فورمول (The Secant Formula) 1164
- 13.5* غير ايلستيکي کړو پيدل (Inelastic Buckling) 1173
- 13.6* د کالم ډيزاين د متمرکز بار لپاره (Design of Columns for Concentric Loading) 1188
- 13.7* د کالم ډيزاين د نا متمرکز بارونو لپاره (Design of Columns for Eccentric Loading) 1207

د فصل موخې (Chapter Objective) 1230

14.1 بهرنی کار او سترین انرژی (External Work and Strain Energy) 1231

14.2 د مختلف ډول بارونو ایلستیکی سترین انرژی (Elastic Strain Energy for Various Types of Loading) 1237

14.3 د انرژی زیرمه یا ساتنه (Conservation of Energy) 1260

14.4 د تکر بار (Impact Loading) 1274

14.5* د مجازی کار اصول (Principal of Virtual Work) 1294

14.6* د مجازی قواوو پلی کیدل په ترس (Method of Virtual Forces Applied to Trusses) 1299

14.7* د مجازی قوا وود طریقی تطبیق په بیمونو (Method of Virtual Forces Applied to Beams) 1314

14.8* د کاستگیانو قضیه (Castigliano's Theorem) 1330

14.9* د کاستگیانو قضی پلی کول په ترس (Castigliano's Theorem's Applied to Trusses) 1332

14.10* د کاستگیانو قضی پلی کول په بیم (Castigliano's Theorem's Applied to Beams) 1338

ضمیمي (Appendix)

1355 A د یوی ساحی هندسي خاصیتونه (Geometric Properties of an Area)

B د ساختماني شکلونو هندسی خاصیتونه (Geometric Properties)

1380 (of Structural Shapes)

1388 C د بيمونو ميلان او بيخايه كيدنه (Slopes and Deflections of Beams)

د ابتدایي سوالونو حل او ځوابونه د لومړنی پوښتنې (Solutions and Answers for Preliminary Problems)

1390

Preliminary Problems)

بنسټيز سوالونو جزوی حلونه او ځوابونه (Fundamental Problems Partial Solutions and Answers)

1401

and Answers)

1424 د انتخاب شويو سوالونو ځوابونه (Selected Answers)

اول فصل

(CHAPTER 1)



(© alexskopje/Fotolia)

د دې فولادی چوکاټ د نښلولو لپاره له بولټوکار اخستل شوی چی هر یو یی د سټریس سره مخامخ دي. پدې فصل کې به مور پدې اړه بحث وکړو چې څنگه انجینران د ا ډول بندونکي (بندونکیونه) او بولټونه ډیزاین کوي

ستریس (STRESS)

CHAPTER OBJECTIVES

د فصل موخي

§ په دې فصل کې به د ستاتیک ځینو مهمو اصولو ته بیاکتنه وکړو او و به بڼیو چې ددی اصولوپه مرسته په څه ډول د جسم د داخلی لودونو (loads) محصله (resultant) پیدا کړي . وروسته به د نارمل فشار (ستریس stress) او د مماسي فشار یا شیر (shear) مفهوم معرفي شي، بیا به د ځانگړیو غړیو په تحلیل او ډیزاین کې محوري بار یا مستقیم شیر ورباندی عمل کړی بحث وکړو.

1-1 پیژندنه (INTRODUCTION)

د موادو میخانیک (*Mechanics of material*) د میخانیک یوه څانگه ده چې د ستیرس او ستیرین داخلی اغیزه په یو ثابت کلک بدن (solid body) کې بحث او مطالعه کوي . ستیرس د جسم د موادو په مقاومت کې له هغې څخه جوړیږي تر او لري، پداسې حال کې چې ستیرین (strain) د بدن د شکل بدلون (deformation) اندازه ده. د دې موضوع په اړه د اساساتو بشپړه پوهه د ډیزاین لپاره حیاتي اهمیت لري ځکه چې د هر ماشین یا جوړښت د ډیزاین ډیری فورمولونه او قواعد چې په انجینرۍ کوډونو کې ذکر شوي د دې موضوع د اصولو پر اساس دي.

تاريخي پرمختگ (Historical Development)

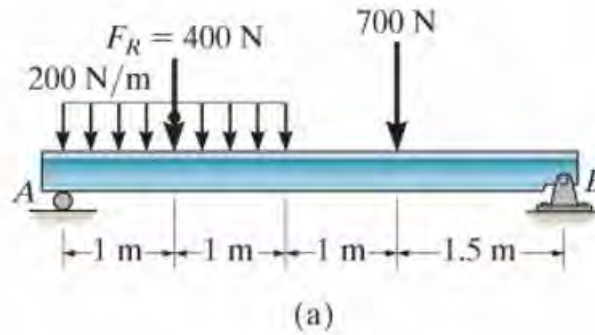
د موادو د ميکانيزم اصل د اولسمې پېړۍ په پيل کې، کله چې گليليو گليلي (Galileo Galilei) داسې تجربې ترسره کولې ترڅو په راډ (ميلو) او بيمونو باندې چې د مختلفو موادو څخه جوړ شوي وه د بارونو اغيزې مطالعه کړي. د موادو د آزموينو ميتودونه په پيل د نولسمې پېړۍ کې په پراخه کچه ښه شول. په هغه وخت کې ډيرې تجربې او په دې موضوع کې نظرياتي مطالعات هم ترسره شول، په عمده توگه په فرانسې کې، د داسې مشهورو عالمانو لخوا لکه سينټ وينټ (Saint-Venant)، پويسان (Poisson)، لامې (Lame) او نویر (Navier).

د کلونو په اوږدو کې، وروسته له دې چې ډيرې بنسټيزې ستونزې حل شوي، دا اړينه شوه چې د ډيرو پيچلو ستونزو د حل کولو لپاره د پرمختللي رياضي او کمپيوټر نه کار واخستل شي. د پايلې په توگه، د موادو ميکانيزم د ميخانیک نورو برخو ته پراختيا موندلې، لکه د ايلستيسټي تيوري (theory of elasticity) او د پلاستيک تيوري (theory of plasticity).

1-2 د ارتجاعي جسمونو تعادل (EQUILIBRIUM OF A DEFORMABLE BODY)

له هغه ځايه چې ستاتيک د موادو د ميخانیک په پرمختگونو او پلي کولو کې مهم رول لوبوي، دا خورا مهم دي چې دلته يې اساسات په ښه توگه درک کړو. لدې کبله به موږ اوس د ستاتيک پر ځيني اصلي اصولو چې په ټول متن کې کار ترې اخستل شوي بياکتته کړو.

بارونه (Loads). د يو جسم بدن باندې دواړه سطحي بارونه او بدني بارونه عمل کړی شي. **سطحي بارونه:** که يو وی په کوچنی ساحه د تماس کې عمل کوي او په **متمركز قوه** ښودل کېدی شي، پداسې حال کې چې **ويشل شوي (Distributed)** بارونه په لوی سطح باندې عمل کوي. کله چې بارونه په عين سطحه کې وی کوپلینر (coplanar) ورته وايي، لکه څنگه چې په انځور (1-1a) کې ښودل شوي، بيا محصله قوه F_R د ويشل شوي بار مساوی ده په ويشل شوي بار شميره په يوه واحد د اوږدوالي ضرب د ساحې د اوږدوالي چې دا بار پری عمل کړی. دا پایله بار يا محصله به د هندسي مرکز په ټکی کې يا د ثقل په مرکز کې عمل کوی.



انځور 1-1

د بدن قوه هغه وخت رامینځته کیږي کله چې یو بدن په بل باندې پرته له مستقیم فزیکي تماسه یوه قوه ولگوي. مثال یی د ځمکې د جاذبې یا د هغې له مقناطیسی ساحی امله رامینځته شوي تاثیرات




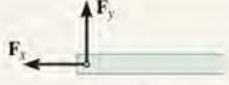



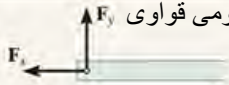
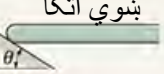

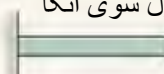
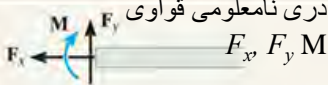
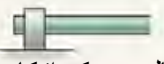


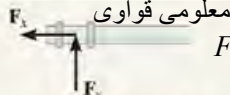


شامل دي . که څه هم دا قواوی په ټولو ذراتو دجوړښت د بدن اغیزه کوي، اما دوی عموماً په یو واحد چې په بدن باندې عمل کوي بنودل کیږي. او د جاذبې په حالت کې، دا قوه د بدن وزن (W) بلل کیږي او د بدن د ثقل په مرکز کی عمل کوي.

د اتکا غبرگون (Support Reactions). هغه

اجسام چې د کولینر یا عین سطحه (coplanar) قواوو سیستم ورباندی عمل کړی په جدول 1-1 کی د اتکاوو سره بنودل شوی. په عمومي قاعده، که اتکا په ټاکل شوي لوري د خوځیدو مخه ونیسي، بیا یو قوه په غړي باندې په هغه لوري رامینځته کیږی. په ورته ډول، که چیرې د تاویدو مخنیوی وشي مؤمنت باید شتون ولري. د مثال په توگه، گاډی (رولر) اتکا یوازی د عمودی یا نارمل په سطح خوځیدلو مخه نیسي. له همدې امله، رولر یوه نارمل قوه F په غړي باندې د تماس په ځای کې جوړوي. ځکه چې غړی کولی شي په آزاده توگه د رولر (roller) په سطحه کی حرکت وکړی. پدی هکله بله قوه او مؤمنت یا کپل (couple) وده نشي کولی .

د ماشین ډیری غړی د پین په وسیله سره وصل دي د دې لپاره چې ازاد گردش په تړل شوی ټکی کی ولري. دا اتکا یو قوه په غړي کې جوړه وی، مگر هیڅ مؤمنت نه شی جوړه وی.

جدول 1-1			
ریکشن		د اتکا ډول	
Type of connection	Reaction	Type of connection	Reaction
 کابل Cable	یو نامعلومه قوه F  One unknown: F	 بهرنی پین اتکا External pin	دوه نامعلومه قواوې F_x, F_y  Two unknowns: F_x, F_y
 رولر اتکا Roller	یو نامعلومه قوه F  One unknown: F	 داخلي پین اتکا Internal pin	دوه نامعلومه قواوې F_x, F_y  Two unknowns: F_x, F_y
 بنوي اتکا Smooth support	یو نامعلومه قوه F  One unknown: F	 تړل شوی اتکا Fixed support	درې نامعلومه قواوې F_x, F_y, M  Three unknowns: F_x, F_y, M
 جورنال بیرینگ اتکا Journal bearing	یو نامعلومه قوه F  One unknown: F	 تړل شوی ترست اتکا Thrust bearing	دوه نامعلومه قواوې F_x, F_y  Two unknowns: F_x, F_y



د دې لپاره چې ددی ودانۍ دچوکاټ غړي یې دیزاین کړي ، لومړی اړین دی چې داخلي بار په مختلفو نقطو کې د دوی په اوږدوالی کې پیدا شي.

د توازن معادلي (Equations of Equilibrium)

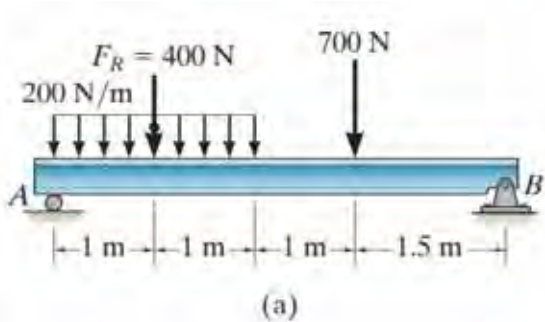
د جسم توازن دوو حالتونو ته اړتیا لري. اول د قواو توازن، ترڅو د جسم د بیخایه کیدني او یا دا چې د مستقیم یا منحنی لارې په اوږدو کې د تگ د تیزوالی او یا وروکیدو مخه یې ونیول شي. دوهم د مؤمنت توازن دی چې د جسم د څرخیدو مخه ونیول شي. پورته شرایط د ریاضی له مخی په لاندی ډول د توازن د معادلو سره بنودل شوي :

$$\begin{aligned} \sum F &= 0 \\ \sum M_O &= 0 \end{aligned} \quad (1-1)$$

دلته، $\Sigma \mathbf{F}$ د ټولو قواو د مجموعی استازیتوب کوي چې په جسم باندې عمل کوي، او $\Sigma \mathbf{M}_O$ مجموعه د ټولو قواو د مؤمنت په هرې نقطه O کې، په جسم کې او یا د جسم نه بهر.

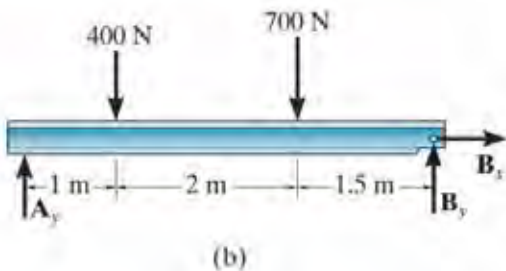
که د x, y, z محوري سیستم چې مرکز یې په نقطه O کې دی، په نظر کې ونیسو، قواوو او مؤمنت ویکتورونه کیدی شي چې په هر محورولیکل شي او پدې توګه پورته دوه معادلي په لاندې ډول د شپږو معادلو په توګه لیکل کیدی شي:

$$\begin{aligned} \Sigma F_x = 0 \quad \Sigma F_y = 0 \quad \Sigma F_z = 0 \\ \Sigma M_x = 0 \quad \Sigma M_y = 0 \quad \Sigma M_z = 0 \end{aligned} \quad (1-2)$$



ډیری وختونه د انجینرۍ تحلیلونو پروسه کې د هم سطحې قواوو (coplanar forces) بنودنه په $x-y$ سطحه کې بنودل کېږي. په دې صورت کې د توازن معادلي یوازې په دې لاندې دريو توازن مساواتو سره مشخص کیدی شي

$$\begin{aligned} \Sigma F_x = 0 \\ \Sigma F_y = 0 \\ \Sigma M_O = 0 \end{aligned} \quad (1-3)$$



انځور 1-1

د مساواتو بریالي پلي کولو لپاره مخکې له دې چې د

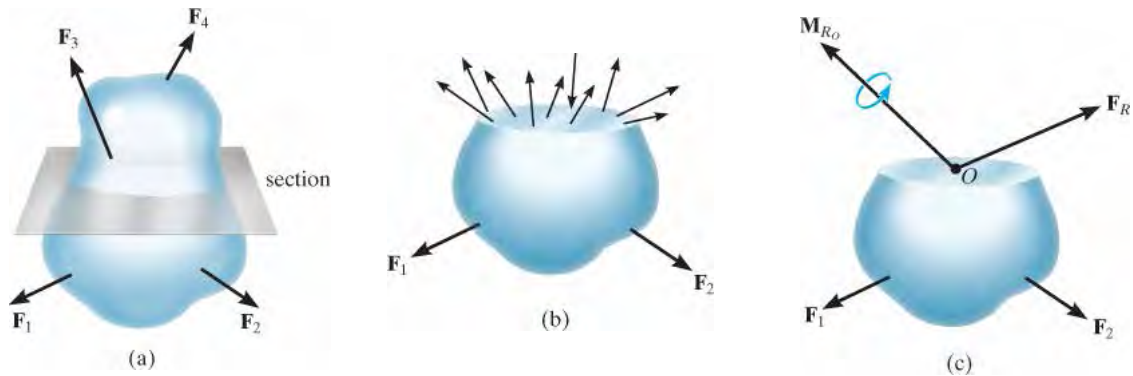
توازن معادلي پلي کړي، باید ټول پیژندل شوي او

نامعلومی قواو چې په جسم باندې عمل کوي په معادلو کې شمولیت

ومومي. غوره لاره دا ده هغه بارونه چې په جسم عمل کوي د جسم په آزاد ډیاګرام (free-body

diagram) کې باید ټول وښودل شي. د مثال په توګه، د بېم 1-1 a آزاد ډیاګرام په انځور 1-1b کې

ښودل شوی. دلته دهرې قوه اندازه، سمت، او د جسم ابعاد پیژندل شوي.



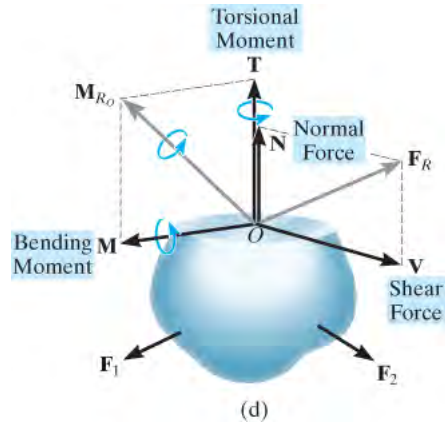
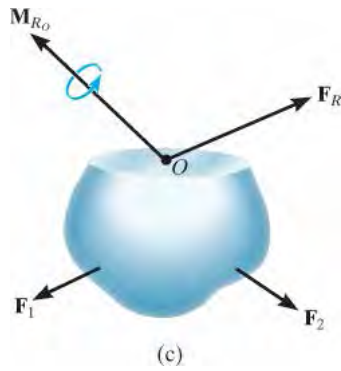
انځور 1-2

داخلي محصله بارونه (Internal Resultant Loadings).

د موادو په میخانیک کې، ستاتیک په ابتدایي توګه د محصله بارونو ټاکلو لپاره چې په جسم کې عمل کوي کارول کیږي. په جسم کې دا **دغوڅو برخو د طریقې** په مرسته تر سره کیږي. د مثال په ډول، په انځور 1-2a کې ښودل شوي جسم څلورو بهرني قواوو په توازن کې ساتلي. د جسم دننه په هغه ځانګړې سیمه کې د داخلي بارونو تر لاسه کولو لپاره اړینه ده چې یو خیالي برخه یوه غوڅه یا "cut" د دی سیمې له لارې تیره شي. بیا د بدن دوی برخې جلا شوی، او د یوې برخې آزاد ډیاګرام رسم شوی. دلته د داخلي قواوو ویش چې د برخې په "پاتې" ساحه عمل کړي لیدل کیږي. او دا په انځور 1-2b کې ښودل شوي. دا قواوی په حقیقت کې د جسم د پورتنۍ برخې د موادو اغیزې استازیتوب په لاندې برخه کوي.

که څه هم د دې داخلي بارونو دقیق ویش ممکن نامعلوم وي، د هغې پایلې محصلی F_R او M_{RO} ، چې په انځور 1-2c کې ښودل شوي، د توازن معادلو په واسطه له انځور 1-2c ټاکل کیږي. دلته دا بار په O نقطه کې عمل کوي؛ که څه هم، دا ټکی اکثراً د قطع شوي ساحې په مرکز ثقل (سنټروید centroid) کې غوره کیږي.

*دلته د بدن وزن ندی ښودل شوی، ځکه چې دا خورا کوچنی ګڼل کیږي، او له همدې امله د نورو بارونو په پرتله د پام وړ ندی.



انخور 1-2 (ادامه)



دري ابعاد (Three Dimensions). د موادو ميخانيک د فورمولونو پلي کولو لپاره، مور به د F_R او M_{RO} اجزای چی په غوڅه شوی ساحه، انخور 1-2d نارمل او مماسي عمل کړي په پام کې ونيسو. بيا محصلی د څلور مختلف ډوله بارونو په لاندې ډول تعريف کیدی شي:

نارمل قوه، (Normal force) N . دا قوه په په غوڅ مخ عمودي عمل کوي. دا هغه وخت وده کوي کله چې بهرني بارونه په دواړو برخو د جسم کش يا تيله کړي.

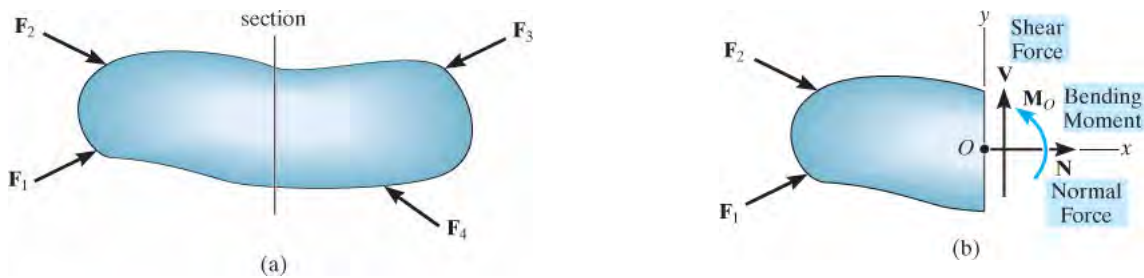
د شير قوه، (Shear force) V . د شير قوه په غوڅ مخ کی پرته او دمماس په توگه عمل کوي. دا هغه وخت مينځ ته راځي کله چی د جسم يوه برخه پر بله برخه د بنويدوه (slide) حالت کی وي.

د دي نښي وزن او د باد بار چې ور باندي عمل کوي هغوی به نورمال، شيز، مؤمنت او تورژن په پایه کی مينځ ته راولي.

تاويدونکی مؤمنت يا تورک (Torsional moment or torque, T). دا اغيزه هغه وخت رامینځته کيږي کله چې د بهرني بارو له امله د جسم يوه برخه پر بله برخه په هغه محور چی په سطحه عمود وی را و څرخيږي.

انځايي مؤمنت (Bending moment M). دا مؤمنت هغه شيبه مينځ ته راځي کله چی يو بهرنی بار د جسم د ننه په محور چی په سطحه کی پروت وي جسم تاو کړي.

په ياد ولړئ چې مؤمنت يا تورک (torque) گرافيکي نمايش په انځور کې چې درې ابعاده لری د ویکتور (غیثی) په توگه بنودل شوي . د بني لاس قاعدی په اساس، غټه گوته د غیثی د سر احساس ورکوي (انځور 1-2d).



انځور 1-3 . کویلر بارونه (Coplanar Loading).

که چیرې په یو ه جسم باندی کوپلنر سیستم (coplanar system) قواوي ، انځور 1-3a ، عمل وکړي بیا به یوازی نارمل قوه، شیر قوه، او مؤمنت په غوڅه برخه کې شتون ولري. انځور 1-3b که مور له x ، y او z محورو کار واخلو ، لکه څنگه چې په چپه برخه کې بنودل شوي، بیا N د معادلي $\Sigma F_x = 0$ له پلي کیدو ترلاسه کیدی شي. V د معادلي $\Sigma F_y = 0$ له پلي کیدو څخه ترلاسه کیدی شي. په پای کې، د مؤمنت M_O مجموعه د مؤمنت په نقطه (O) د z دمحور په خوا ټاکل کیدی شي ، د دې لپاره چې رامنځته شوي مؤمنت د نامعلومو N او V لخوا پیداشوی له منځه یوسو.

مهم ټکي

(IMPORTANT POINTS)

- د موادو ميخانيک د هغه اړيکو مطالعه ده کله چې بهرني بارونه د جسم په بدن باندې پلي شي سترين او ستريس د جسم د بدن د ننه له دې امله رامینځته کيږي.
- بهرني قواوې يا بارونه د جسم په بدن د ویشل شوی يا متمرکز بار، او يا دا چې د بدنې بار په توگه د بدن په ټول حجم کې عمل کوي .
- خطي توزیع شوي بارونه يو پایله قوه جوړه وي چې اندازه يې د بار د ډاياگرام لاندې ساحې سره مساوي، او داسې موقعيت لري چې د دې سيمي له مرکز څخه تيریږي.
- يو اتکا په يو ځانگړي لوري، د تړل شوی غړی، قوه توليدوي تر څو دا په هغه سمت د غړي د بيخايه کيدو مخه ونيسي. او دا په غړي کې يو جوړه مؤمنت (couple moment) چې د گردش مخه ونيسي توليدوي.
- د توازن مساوات $\Sigma F = 0$ او $\Sigma M = 0$ بايد وي، تر څو د جسم د بدن د گړندی حرکت او د څرخيدو څخه مخنيوي وشي.
- د برخو طريقه د داخلي قواوو پيدا کولو لپاره کارول کيږي، تر څو د پایلی محصله بار چې د يوې برخې شوي بدن په سطح باندې عمل کوي پيدا شي. په عمومي توگه، دا پایلی محصله د نارمل قوه، شير قوه، تورژن (torsional) مؤمنت، او تاويدونکی مؤمنت دی.

د تحلیل کرنلاره

PROCEDURE FOR ANALYSIS

د پایلی د/خلي محصله قوه چی په یوه ټکي د جسم په برخه کې موقعیت لري د برخو د غوڅیدو له لاری تر سره کیږی چی دی لاندی گامونو ته اړتیا لري.

د اتکا غیرگونونه (Support Reactions)

- کله چی د جسم بدنی برخه جوړه شی، پریکړه وکړی چی کومه برخه باید په پام کې ونیول شي. که چیرې برخه په بل جسم اتکا یا تړل شوی وی، نو مخکې له دې چی د جسم بدن قطع شي، اړین ده چی د عکس العملونو (reactions) ارزښتونه د یو جسم پر بل پیدا شي. ددی ټاکلو لپاره اړین دي چی د بشپړ بدن ازاد ډیاگرام (free body diagram) رسم کړی، او بیا د د توازن مساوات معادلي پلي کړی تر څو د غیرگونونو قوی یا ریکشنونه ترلاسه کړی.

د جسم آزاد ډیاگرام (Free-Body Diagram)

- ټول بهرنی توزیع شوي بارونه، جوړه مؤمنت (couple moments)، تورک او نوری قواوي په هغه ټکی چی د داخلی بارونو محصله باید و ټاکل شي په خپلو دقیقو ځایونو کې وساتی. بیا د جسم بدن په برخو غوڅ شي.
- د غوڅ شوی برخي آزاد ډیاگرام رسم کړی او په برخه کې نامعلوم پایلي محصلي N ، V ، M ، او T په گوته کړی. دا پایلي محصلي معمولاً په هغه ځای کې ځای پرځای کیږي چی هغه د برخي شوی ساحی د جیومیټریک مرکز یا مرکز ثقل استازیتوب کوي.
- که په غری کو پلنر (coplanar) قواوو سیستم عمل کړي وي، په هغه حالت کې یوازي N ، V ، او M په مرکز کې عمل کوي.
- په جیومیټریک سنتر کې x ، y ، z محورونو مرکز جوړ کړی. او پایله لرونکي محصلي د داخلی بارونو وښيي چی د محور سره عمل کوي.

د توازن مساواتو معادلي (Equations of Equilibrium)

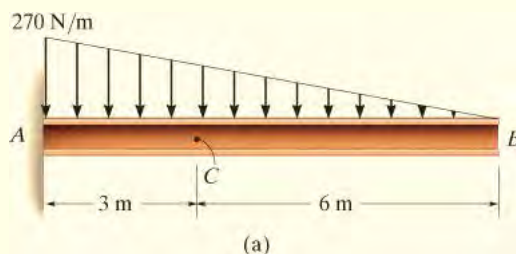
- د مؤمنت مجموعه د برخي په هر محور چی پایلي محصله عمل کړی لنډیز شي. دا کار کول نامعلوم قوتونه N او V له منځه وړي او د M او T پیدا کولو لپاره مستقیم حل ته اجازه ورکوي.
- که چیرې د د توازن معادلي حل د منفي لاسته راشي، د نتیجه ورکونکي جهت د هغه برعکس چی د آزاد بدن ډیاگرام کې ښودل شوي دی.

دا لاندې مثالونه دا کرنلاره په عددي شکل روښانه کوي او هم د ستاتیک د ځینو مهمو اصولو بیاکتنه وړاندې کوي.

مثالونه

مثال 1.1

د لاندې کنټیلیور بیم (cantilever beam) په ټکی C د مقطع کی داخلی بار محصله پیدا کړی. بیم په انځور 1-4 کی ښودل شوي.



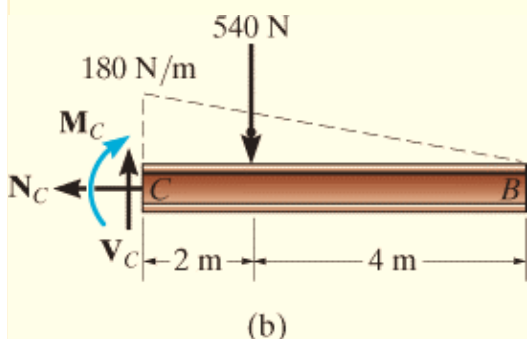
انځور 1-4

حل (SOLUTION)

د اتکا غبرگون (Support Reactions)

که چیری CB برخه په پام کی ونیول شي بیا ریکشنونه په A کی چی لدی حصی وتلی دی په پام کی نه نیول کیری.

د بیم د جسم آزاد دایگرام (Free-Body Diagram)



په انځور 1-4b کی د CB د حصی آزاد دایگرام ښودل شوی. دا مهمه ده چې توزیع شوي بار په هغه برخه چی په نظر کی نیول شوی وساتو او بیا یی د یوه متمرکز بار په شان معامله کړو. په یاد ولری چې د توزیع شوی بار اندازه په C کی د تناسب له مخی موندل کیری.

د مثال په توگه، د انځور 1-4a څخه لیکلی شو

$$w/6 \text{ m} = (270 \text{ N/m})/9 \text{ m}, w = 180 \text{ N/m}.$$

د توزیع شوی بار پایلي محصلی اندازه مساوی ده په مساحت د توزیع شوي بار، د بار لاندې ساحې (مثلث) . او محصله د دې سیمې د ثقل په مرکز کې عمل کوي. په دې توگه

$$F = \frac{1}{2} (180 \text{ N/m})(6 \text{ m}) = 540 \text{ N}$$

کوم چې په $1/3 (6\text{m}) = 2\text{m}$ د C څخه عمل کړی او په 1-4b انځور کې ښودل شوي.

د توازن معادلی (Equations of Equilibrium)

د توازن مساوات معادلی پدې لاندې ښودل کيږي

$$\pm \Sigma F_x = 0;$$

$$-N_C = 0$$

$$N_C = 0$$

Ans.

$$+ \uparrow \Sigma F_y = 0;$$

$$V_C - 540 \text{ N} = 0$$

$$V_C = 540 \text{ N}$$

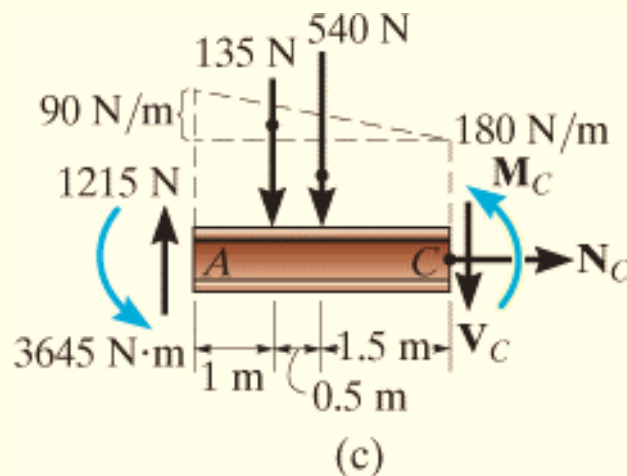
Ans.

$$\zeta + \Sigma M_C = 0;$$

$$-M_C - 540 \text{ N}(2 \text{ m}) = 0$$

$$M_C = -1080 \text{ N} \cdot \text{m}$$

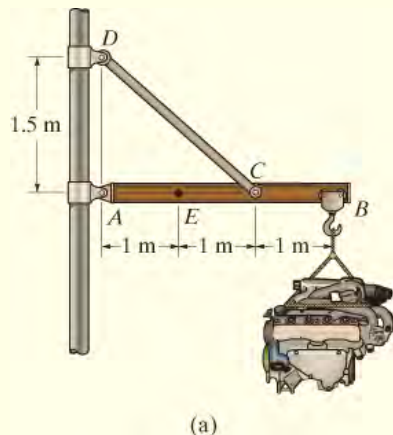
Ans.



دا پورتنی منفی علامه داسی ښيي چې M_C په مخالف لوري د هغه چې په ډیاگرام کې ښودل شوي عمل کوي . تاسو کوشش وکړی چې د دې ستونزې د حل کولو د AC برخه له لاری هڅه وکړئ . لومړی ریکشن په A کې چک (check) کړي کوم چې په شکل کې 1-4c ورکړل شوي.

مثال 1.2

یو 500 کیلو گرام (kg) د موټر ماشین چی په 1-5a انځور کې بنودل شوی له یو کرین څخه ځورند شوی. د داخلي بار پایله قوی چی د E په ټکی کی عمل کړی معلومی کړی .



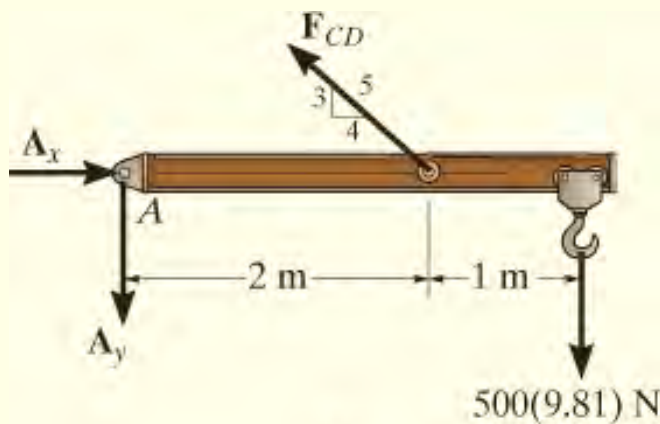
(a)

انځور 1-5

حل (SOLUTION)

د اتکا غبرگون یا ریکشنونه (Support Reactions)

د جوړښت AE برخه په پام کې ونیسو. دا ددی لپاره چی باید لومړی د پین اتکا عکس العمل په A کې وټاکو ځکه چی غړی CD د دوو قوو غړي دی، او دا د کیبل په څیر عمل کوي. له همدې امله د F_{CD} قوه یو پیژندل شوی جهت لري. د ویم، د بدن آزاد ډیاگرام په انځور 1-5b کې بنودل شوی. د توازن د مساوات معادلی په دی لاندی ډول پلي کوو.



(b)

$$\zeta + \Sigma M_A = 0; \quad F_{CD} \left(\frac{3}{5} \right) (2 \text{ m}) - [500(9.81) \text{ N}] (3 \text{ m}) = 0$$

$$F_{CD} = 12\,262.5 \text{ N}$$

$$\pm \rightarrow \Sigma F_x = 0; \quad A_x - (12\,262.5 \text{ N}) \left(\frac{4}{5} \right) = 0$$

$$A_x = 9810 \text{ N}$$

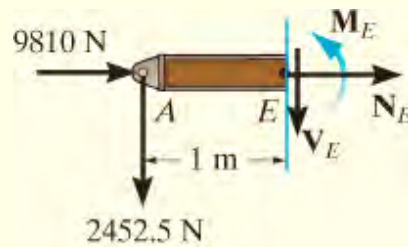
$$+ \uparrow \Sigma F_y = 0; \quad -A_y + (12\,262.5 \text{ N}) \left(\frac{3}{5} \right) - 500(9.81) \text{ N} = 0$$

$$A_y = 2452.5 \text{ N}$$

د جسم آزاد دایگرام (Free-Body Diagram).

د جوړښت د AE برخې آزاد دایگرام په انځور 1-5c کی ښودل شوي.

د توازن معادلي (Equation of Equilibrium)



(c)

$$\pm \rightarrow \Sigma F_x = 0; \quad N_E + 9810 \text{ N} = 0$$

$$N_E = -9810 \text{ N} = -9.81 \text{ kN}$$

Ans.

$$+ \uparrow \Sigma F_y = 0; \quad -V_E - 2452.5 \text{ N} = 0$$

$$V_E = -2452.5 \text{ N} = -2.45 \text{ kN}$$

Ans.

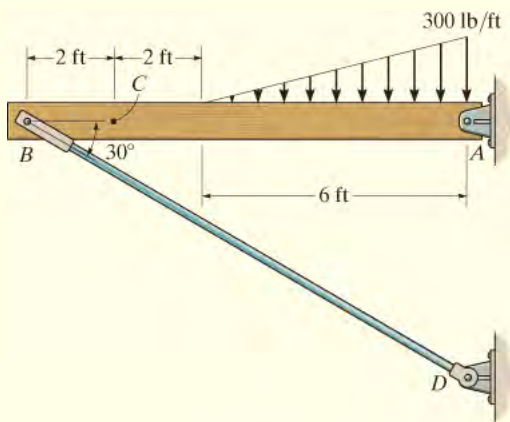
$$\zeta + \Sigma M_E = 0; \quad M_E + (2452.5 \text{ N})(1 \text{ m}) = 0$$

$$M_E = -2452.5 \text{ N} \cdot \text{m} = -2.45 \text{ kN} \cdot \text{m}$$

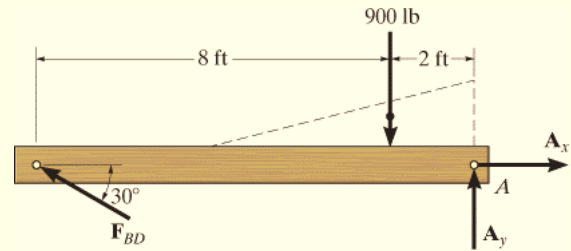
Ans.

مثال 1.3

ددی لاندی بنودل شوی بیم په C ټکی کی ددخلي لودونو محصله پیدا کوو.



(a)



(b)

انخور 1-6

حل (SOLUTION)

د اتکا غبرگون یا ریکشنونه (Support Reactions)

دلته اول باید ریکشن د A په اتکا کی پیدا کرو او بیا به د BC برخه په پام کی ونیسو.

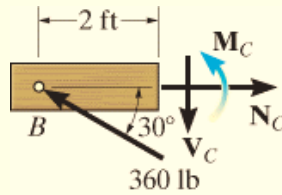
د ټول بیم آزاد ډیاگرام د 1.6b په انخور کی بنودل شوی. څرنګه چې د BD غړی د دوو قواوو غړی دی (د مثال 1.2 غړی CD په څیر) قوه په B کې یو پیژندل شوی جهت لري (انخور 1-6b). مور لیکلی شو:

$$\zeta + \sum M_A = 0; (900\text{lb})(2\text{ft}) - (F_{BD} \sin 30^\circ)10\text{ft} = 0 \quad F_{BD} = 360\text{lb}$$

د جسم آزاد ډیاگرام (Free-Body Diagram)

د دې پایلې په کارولو سره، د بدن آزاد ډیاگرام د BC برخه په انخور 1.6c کې بنودل شوی.

د توازن معادلې (Equation of Equilibrium)



(c)

$$\rightarrow +\Sigma F_x = 0; \quad N_C - (360\text{lb})\cos 30^\circ = 0$$

$$N_C = 312\text{lb} \quad \text{Ans.}$$

$$+\uparrow \Sigma F_y = 0; \quad (360\text{lb})\sin 30^\circ - V_C = 0$$

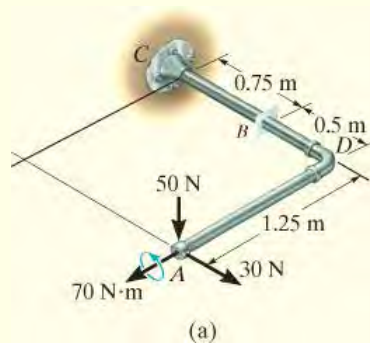
$$V_C = 180\text{lb} \quad \text{Ans.}$$

$$\curvearrow + \Sigma M_C = 0; \quad M_C - (360\text{lb})\sin 30^\circ (2\text{ft}) = 0$$

$$M_C = 360\text{lb}\cdot\text{ft} \quad \text{Ans.}$$

مثال 1.4

د داخلي بارونو پایله محصله چی د پایپ (pipe) د B برخه کی عمل کوي معلومه کړئ. دا ټکی د پایپ په انځور 1.7a کی بنودل شوی. د پایپ د A په سر کی یوه عمودی بار چی 50N دی عمل کړي. او هم پدی پای کی یوه بله افقي قوه د 30N په ارزښت او یوه جوړه مؤمنت (couple moment) په اندازه د 70 N.m عمل کړي. د پایپ وزن د پام وړ ندي.



(a)

انځور 1-7

حل (SOLUTION)

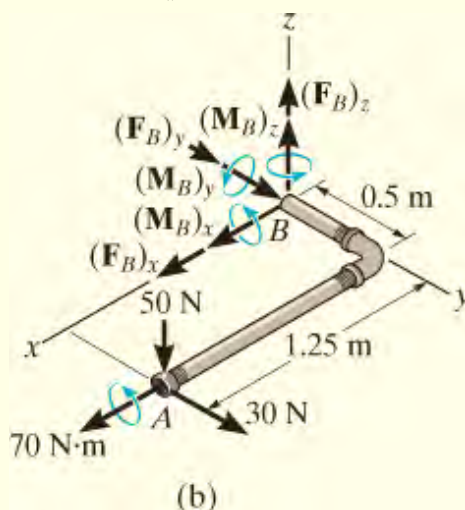
د داخلي بارونو پایله محصله چې د B په ټکی د پایپ عمل کوي د یوازی AB برخې په پام کې نیولو سره حل کیدی شي. دلته موږ اړتیا نلرو د C د اتکا عکس العملونه محاسبه کړو.

د جسم آزاد دیاگرام (Free-Body Diagram)

د AB برخې د جسم آزاد دیاگرام په انځور 1.7b کې ښودل شوی. محورونه x, y, z په B کې جوړ شوی. محصله قواوي او مؤمنونه په دې برخه کې داسې فرض شوی چې په مثبت جهتونو عمل کوي، او دوی د B برخې د ثقل مرکز (*centroid*) نه تیریري.

د توازن معادلي (Equations of Equilibrium)

د توازن شپږ سکيلر (scaler) معادلي پدې لاندې ډول پلي کوو موږ لرو*



$\Sigma F_x = 0;$		$(F_B)_x = 0$	<i>Ans.</i>
$\Sigma F_y = 0;$	$(F_B)_y + 30 \text{ N} = 0$	$(F_B)_y = -30 \text{ N}$	<i>Ans.</i>
$\Sigma F_z = 0;$	$(F_B)_z - 50 \text{ N} = 0$	$(F_B)_z = 50 \text{ N}$	<i>Ans.</i>
$\Sigma (M_B)_x = 0;$	$(M_B)_x + 70 \text{ N}\cdot\text{m} - 50 \text{ N} (0.5 \text{ m}) = 0$		
		$(M_B)_x = -45 \text{ N}\cdot\text{m}$	<i>Ans.</i>
$\Sigma (M_B)_y = 0;$	$(M_B)_y + 50 \text{ N} (1.25 \text{ m}) = 0$		
		$(M_B)_y = -62.5 \text{ N}\cdot\text{m}$	<i>Ans.</i>
$\Sigma (M_B)_z = 0;$	$(M_B)_z + (30 \text{ N})(1.25) = 0$		
		$(M_B)_z = -37.5 \text{ N}\cdot\text{m}$	<i>Ans.</i>

یادونه: د $(F_B)_y$ ، $(M_B)_x$ ، $(M_B)_y$ ، او $(M_B)_z$ په ځواب کې منفي نښې څه په گوته کوي؟

نارمل قوه $N_B = |(F_B)_y| = 30 \text{ N}$ ، پداسې حال کې چې شیر قوه مساوی ده په :
 $V_B = \sqrt{(0)^2 + (50)^2} = 50 \text{ N}$ همدارنگه د تورژن مؤمنت داسې لیکلی شو:

او تاویدونکی مؤمنت عبارت دی په $T_B = |(M_B)_y| = 62.5 \text{ N} \cdot \text{m}$

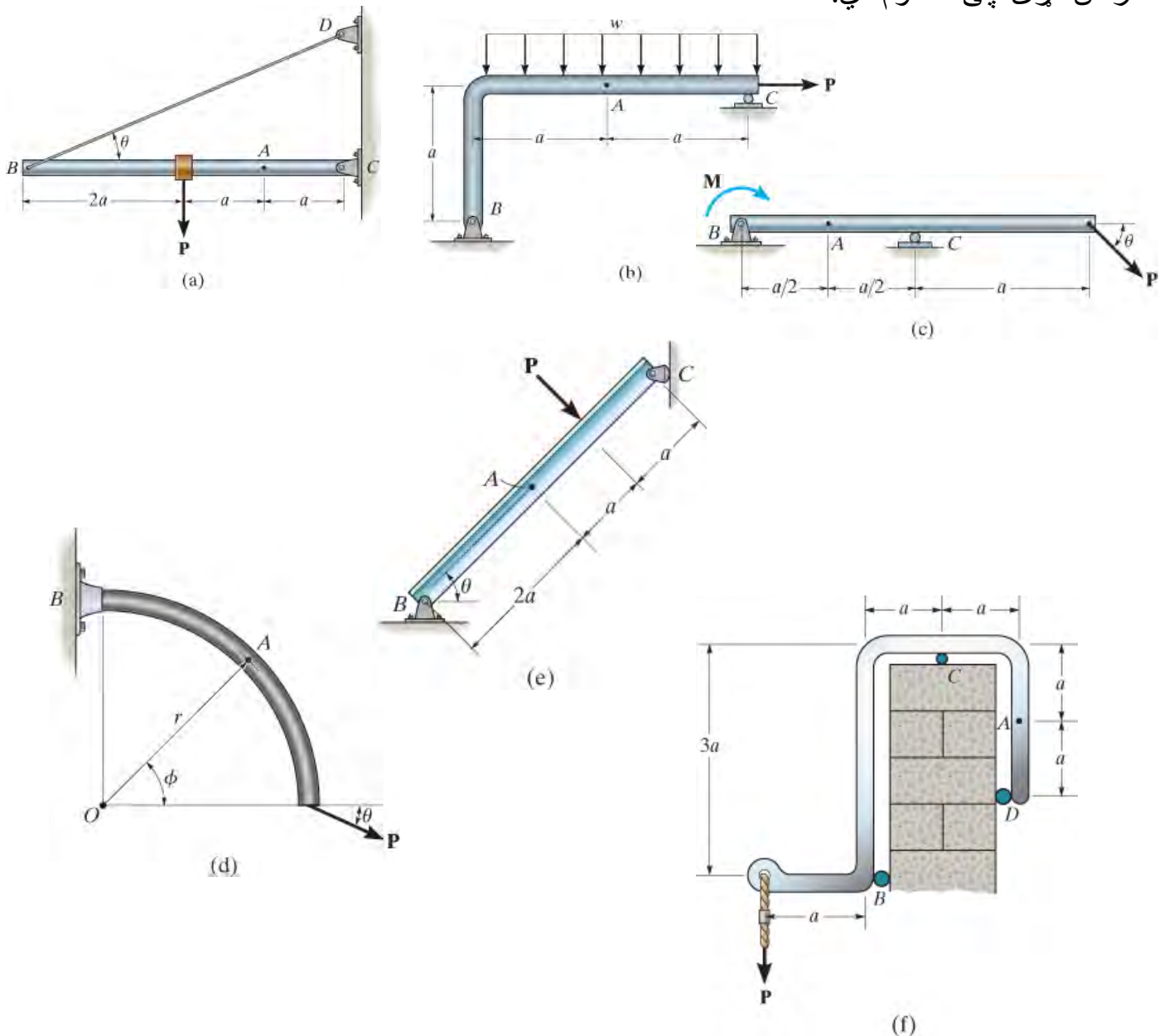
$$M_B = \sqrt{(45)^2 + (37.5)^2} = 58.6 \text{ N} \cdot \text{m}$$

*یادونه: دهر مؤمنت اندازه په x, y, z یا z محور سره مساوي ده د قوه مقدار ضرب دی عمودی فاصلی له محور څخه د قوي د عمل کرښې پورې. د هر مؤمنت جهت د دښې لاس قاعدې (right-hand rule) په کارولو سره ټاکل کېږي، مثبت مؤمنت د غټې گوټې (thumb) د مثبت محور سره لارښوونه کېږي .

وړاندیز کېږي چې تاسو د دې مثالونو په حلونو باندې ځان وپوهوئ، او بیا د دې په اړه فکر او هڅه وکړي چې کومې د توازن معادلې او په څه ډول پلې شې تر څو نامعلومی قواوې پیدا شي. د حل کولو دمخه، لومړی هڅه وکړئ چې خپل مهارتونه جوړ کړئ او دا د اولی برخې سوالونه چې په حقیقت کې لږ یا هیڅ محاسبو ته اړتیا نلري حل کړي. او بیا ځینې بنسټیز سوالونه چې په لاندې پانو کې بنودل شوي حل کړي. د دې ټولو سوالونو حل او ځوابونه د کتاب په آخر کې ورکړل شوي دي. په حل ددی ډول سوالونو، د ټول کتاب په اوږدو کې، د تیوري د پلي کولو او څرنگوالي په پوهیدو کې خورا مرسته کوي، او پدې توګه به وده وکړي تر څو ستاسو د سوالونو د حل کولو مهارتونه به زیادت شي.

PRELIMINARY PROBLEMS

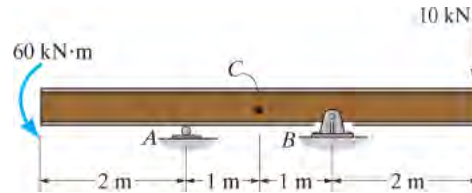
ل-1. په دی لاندی انځورونو کی تشریح کړئ چی څنگه به داخلي محصله قوای په تکی A کی ومومی. ټول هغه اړین آزاد دایگرامونه رسم کړئ، او اړونده د توازن معادلي په گوته کړي . ارزښتونه مه محاسبه کوئ. لیکل شوی ابعاد، زاویې، او بارونه چی په حروفو بنودل شوی داسی فرض کړی چی معلوم دي.



بنسٹیز سوالونہ

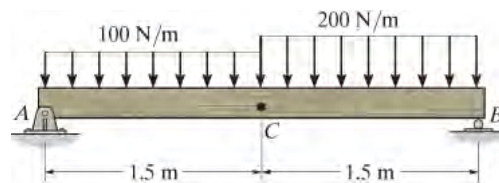
FUNDAMENTAL PROBLEMS

ب 1.1. په ټکی C د لاندی بیم، داخلی محصله نارمل قوه، شيرقوه، او مؤمنت پيدا کړي.



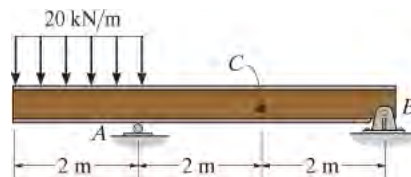
انخور ب 1-1

ب 1.2. په ټکی C د لاندی بیم، داخلی محصله نارمل قوه، شيرقوه، او مؤمنت پيدا کړي.



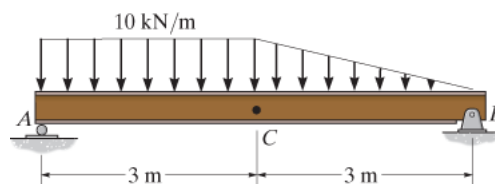
انخور ب 1-2

ب 1.3. په ټکی C د لاندی بیم، داخلی محصله نارمل قوه، شيرقوه، او مؤمنت پيدا کړي.



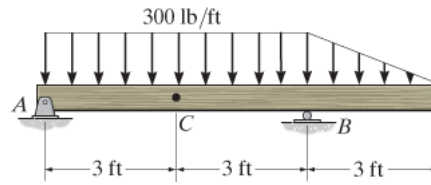
انخور ب 1-3

ب 1.4. په ټکی C د لاندی بیم، داخلی محصله نارمل قوه، شيرقوه، او مؤمنت پيدا کړي.



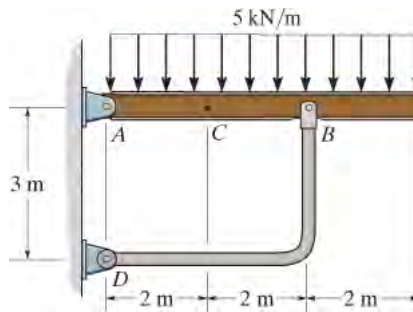
انخور ب 1-4

ب 1.5 د C په ټکی د لاندې بیم کی د داخلی بار د نارمل قوي، شیر، او مومنت محصله پیدا کړي.



انځور ب 1-5

ب 1.6 د C په ټکی کی د لاندې بیم د داخلی بار د نارمل قوي، شیر، او مومنت محصله پیدا کړي.

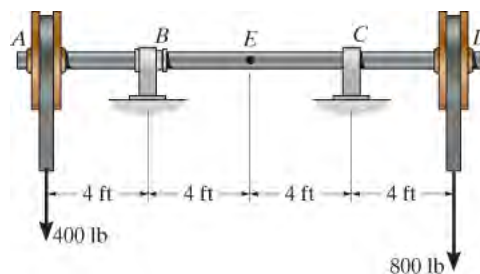


انځور ب 1-6

سوالونه

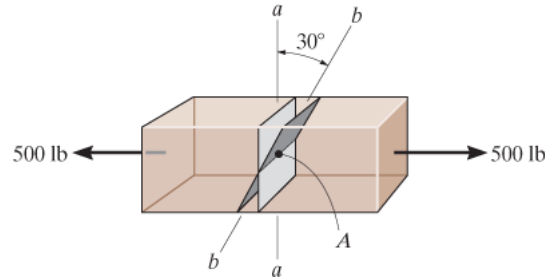
PROBLEMS

س 1-1. دا لاندې بنودل شوی شافت (shaft) په اوار سټریس بییرنگ B (stress bearing) او په جورنال (journal) سټریس بییرنگ C کې تکیه لري. د داخلی بارونو محصله د E په غوڅه کی معلوم کړئ.



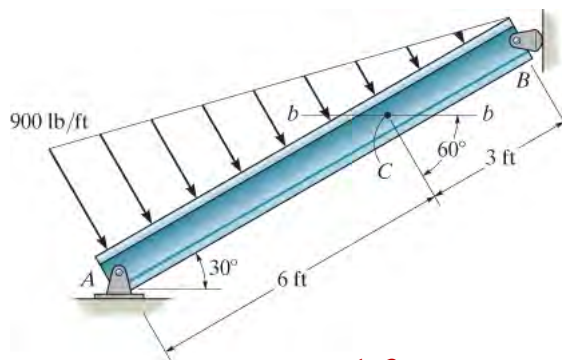
س 1-1

س 1-2. د داخلي بارونو محصله د نارمل، او شیر قواو په لاندی غړي کی: (الف) په غوڅه د $a-a$ او (ب) په غوڅه د $b-b$ کی پیدا کړي. هر یو ددی محصلو د د غوڅی د ثقل له مرکز نه تیریري. هغه 500 lb بار په مرکزي محور د غړی عمل کړي.



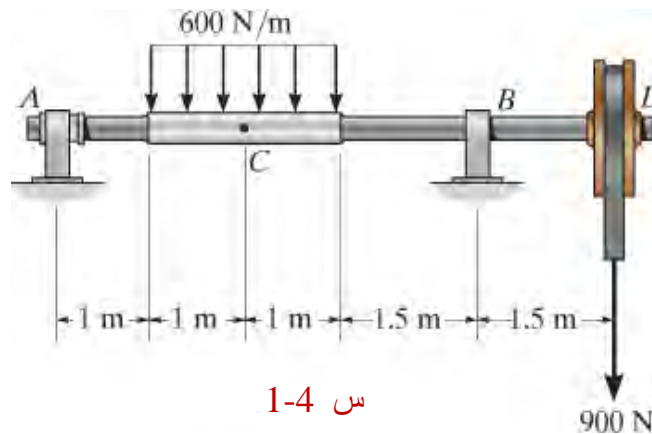
س 1-2

س 1-3. د داخلي بار محصله د C په ټکی کی د $b-b$ په غوڅه د بیم کی پیدا کړي.



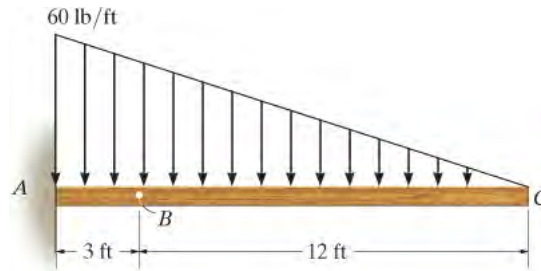
س 1-3

س 1-4*. دا لاندی بنودل شوی شافت په حواره تریست (smooth thrust) بیرنگ په A کی او په حواره جورنال بیرنگ B کی تکیه لري. د داخلي بارونو محصله په غوڅه برخه د C په ټکی کی پیدا کړی.



س 1-4

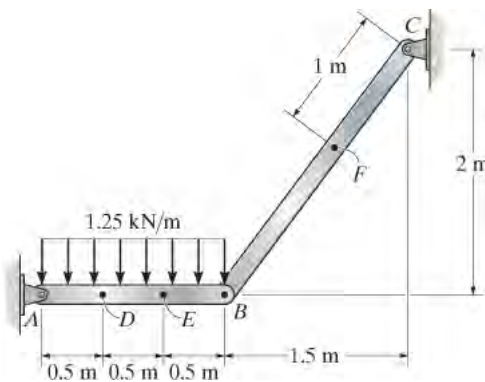
س 1-5 . ددی لاندی بیم د B په ټکی کی د داخلی بارونو محصله پیدا کری.



س 1-5

س 1-6 . په ټکی B کی د داخلی بارونو محصله په لاندی جوړښت کی پیدا کری.

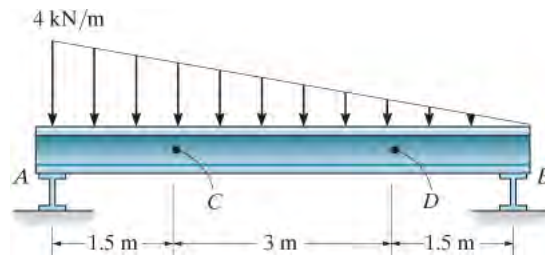
س 1-7 . په دی لاندی جوړښت کی د E او F په ټکیو کی د داخلی بارونو محصله پیدا کری.



س 1-6/7

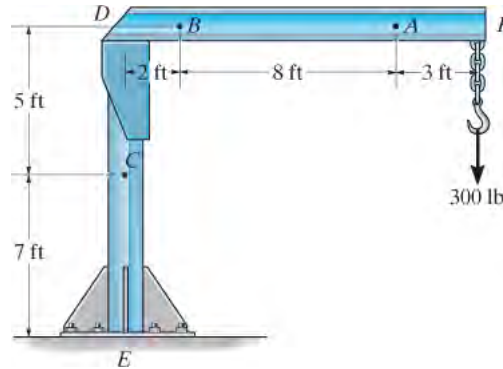
س 1-8* . په دی لاندی بیم یو ویشلشوی بار عمل کری د C په ټکی کی د داخلی بارونو محصله کوم چی عمل کری پیدا کری. فرض کری چی د A او B په اتکاوو کی غیرگونونه عمودی عمل کری.

س 1-9 . په دی لاندی بیم یو ویشلشوی بار عمل کری. د بیم په ټکی D کی د داخلی بارونو محصله کوم چی عمل کری پیدا کری. فرض کری چی د بیم د A او B په اتکاوو کی غیرگونونه عمودی عمل کری.



س 1-8/9

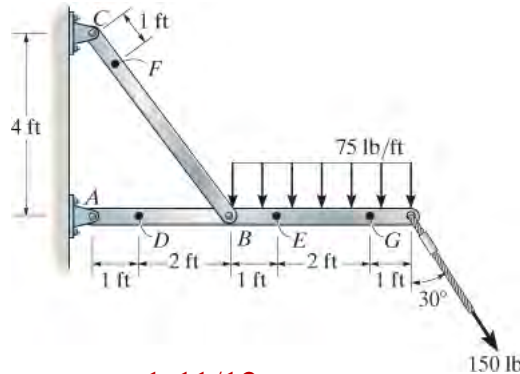
س 1-10 . دا لاندی بوم (boom) د جیب کرین (jib crane) DF او ستني DE ویشلشوي بدنۍ وزن 50 lb/ft لري. که چیری بهرنی بار 300 lb وی، د داخلی لودونو محصله په A , B , او C کی پیدا کړي.



س 1-10

س 1-11 . په دی لاندی جوړښت کی د D او E په ټکیو کی د داخلی بارونو محصله پیدا کړي.

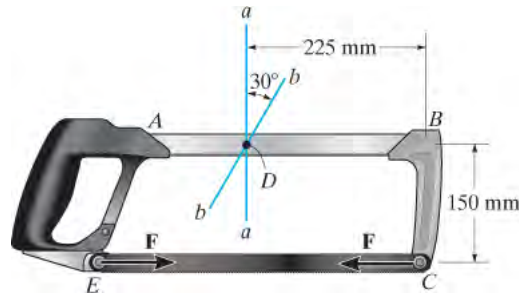
س 1-12 . په دی لاندی جوړښت کی د F او G په ټکیو کی د داخلی بارونو محصله پیدا کړي.



س 1-11/12

س 1-13 . دیوی اري په تیغ کی یوه مخکنی کش (pretension) شوي قوه $F = 100 \text{ N}$ شتون لري. د داخلی بارو محصله د D په ټکی کی د $a-a$ پر غوڅه معلومه کړئ .

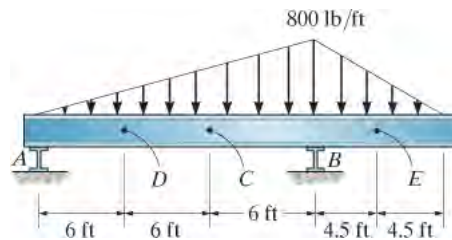
س 1-14. د یو اري په تیغ کی یوه مخکنی کش شوي قوه $F = 100 \text{ N}$ شتون لري. د داخلي بارو محصله په ټکی D کی د $b-b$ پر غوڅه کی معلومه کړئ



س 1-13/14

س 1-15. په دا لاندی بیم یو ویشلشوی مثلثی بار عمل کړي. د داخلي بارو پایله محصله د C په ټکی کی معلومه کړي. فرض کړي چی د اتکا ریکشنونه عمودي عمل کړي.

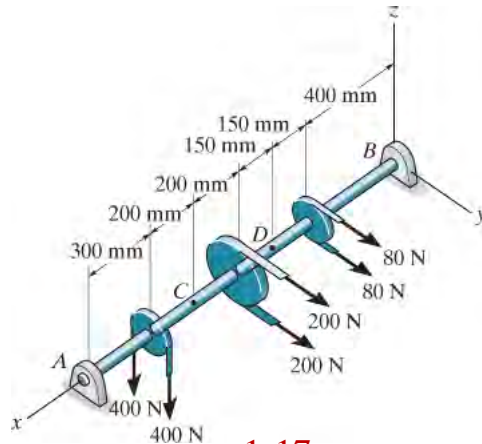
س 1-16*. په دا لاندی بیم یو ویشلشوی مثلثی بار عمل کړي. د داخلي بارو پایله محصله په D او E ټکیوکی معلومه کړئ. فرض کړي چی د اتکا ریکشنونه عمودي عمل کړي.



س 1-15/16

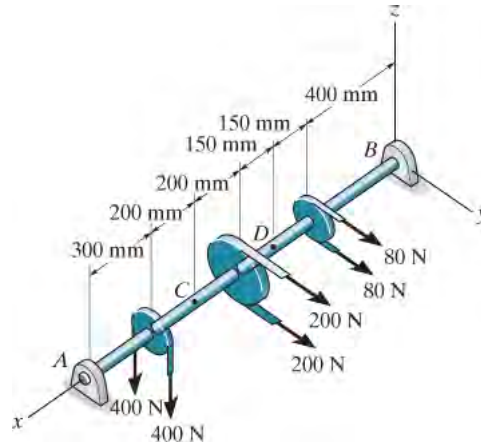
س 1-17. د یو میلی (shaft) په دواړو سرو A , B کی دوه بیرینگونو اتکاوې شتون لري او بهرنی بارونو د پولې (pulley) په واسطه چی په میله باندی تړل شوی عمل کړي. د داخلي بارو پایله محصله د D په ټکی کی پیدا کړئ. د 400 N قوه په z -جهت او د 200 N او 80 N قواوی د

$+y$ په خوا عمل کوي. د A او B جورنل بیرنگو باندی یوازی د y او z په سمت ریکشنونه جوړیږي.



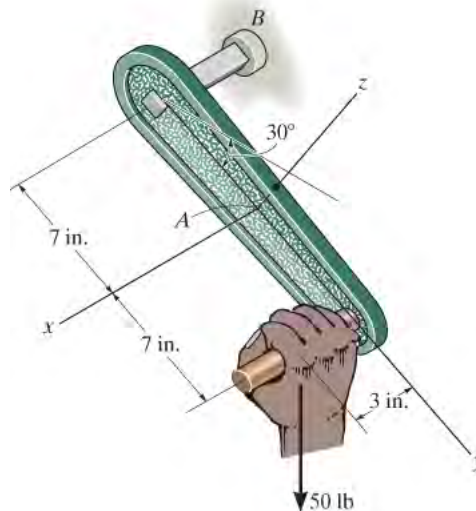
س 1-17

س 1-18. د یو میلی (shaft) یا شافت په دواړو سرو کی د بیرنگونو اتکاوې (A او B) شتون لري او بهرنی بارونه د پولې (pulley) په واسطه چی په میله باندی تړل شوی عمل کړي. د داخلي بارو پایله محصله د C په ټکی کی معلوم کړی. د 400N قوه په z -جهت او د 200N او 80N قواوی د $+y$ په سمت عمل کوي. په A او B کې د جورنال بیرنگ یوازې y او z سمت ریکشنونه جوړه وي.



س 1-18

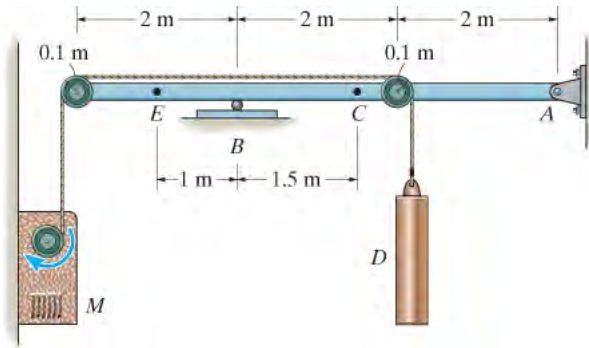
س 1-19. د لاسي کرینک (crank) چې ابعاد یې په لاندی انځور کی بنودل شوي، یوه عمودی قوه د 50N په لاس ورباندی پلی کيږي. د داخلي بارونو پایله محصله د A په ټکی کی معلومه کړی. فرض کړئ چې کرینک په B کې د شافت سره کلک تړلي دي.



س 1-19

س 1-20* . د داخلي بارو محصله په ټكي C د بيم كوم چي په لاندی كی بنودل شوی معلوم كړی. بهرنی بار D یوه 300 kg كتله لری او د M موټر په زریعه په یوه ثابت سرعت پورته خیري.

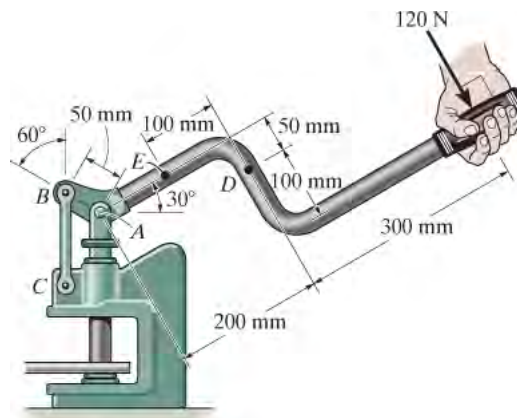
س 1-21 . د داخلي بارو محصله په ټكي E د لاندی بنودل شوی بيم معلوم كړی. بهرنی بار D یوه 300 kg كتله لری او د M موټر په زریعه په یوه ثابت سرعت پورته خیري



س 1-20/21

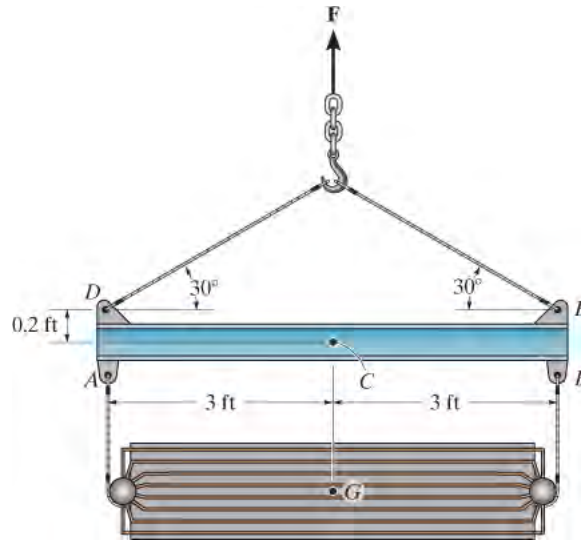
س 1-22 . فلزي سټیډ پنچ (stud punch) چي لاندی بنودل شوی د لاس په زریع یو 120 N قوه پری عمل كړی. د عكس العمل قووي شدت په پین A او په لنډه عضوه BC كی معلوم كړی. همدارنگه، د داخلي بارو محصله چي د D په ټكي كی عمل كړي معلوم كړی.

س 1-23 . د داخلي بارونو محصله چي د لاستی په ټكي E كی او هم د لنډی عضوی BC په غوڅه كی عمل كړي معلومه كړی



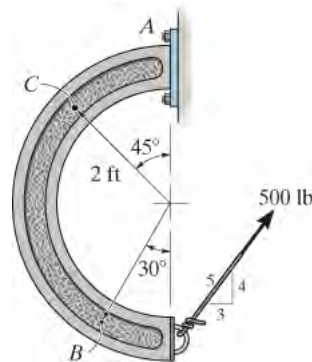
س 1-22/23

س 1-24. د داخلي بارونو محصله چی په ټکی C کی عمل کړي معلوم کړئ. د سپړیدو ماشین 52 kips دروند دی او د ثقل مرکز یی د G په ټکی کی دي.



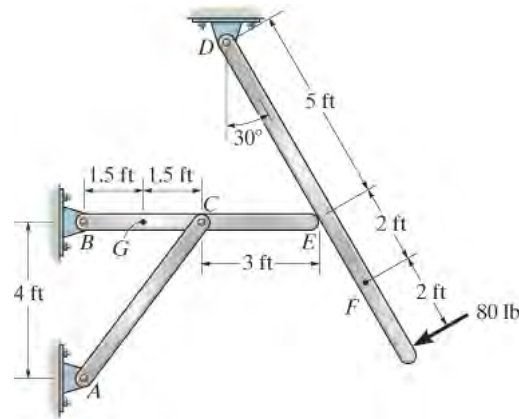
س 1-24

س 1-25. د داخلي بارونو محصله چی د کاره بیم په B او C ټکیو کی یی عمل کړي معلومه کړي.



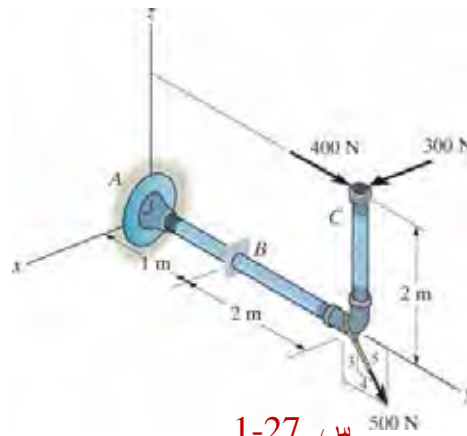
س 1-25

س 1-26. د داخلي بارونو محصله چی په تگیو F او G د لاندی چوکاټ کی عمل کړي معلومه کړي.



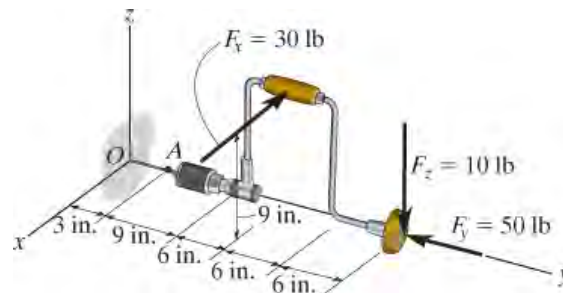
س 1-26

س 1-27. په دی لاندی انځور کی بنودل شوی پایپ 12 kg/m کتله لري. دا پایپ په دیوال د A په برخه کی کلک تړل شوي، د داخلي بارونو محصله چی د B په غوڅه کی عمل کوی معلوم کړئ.



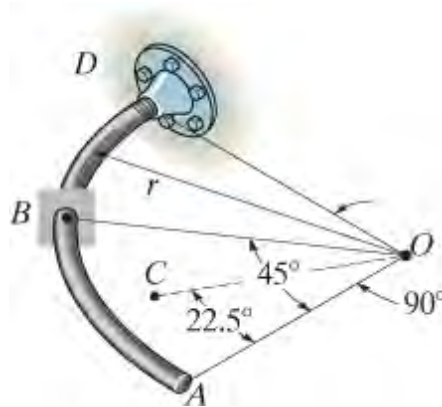
س 1-27

س 1-28*. یوه لاسی برمه په لاندی انځور کی بنودل شوي، او په تکی O کی د سوروي کولو لپاره تری کار اخستل کیږی. که چیري دا برمه ددی لاندی شویو قواو په واسطه د دریدو یا جام حالت ته رسېږي، د داخلي بارونو محصله نتیجه د برمی په A غوڅه کی معلومه کړئ.



س 1-28

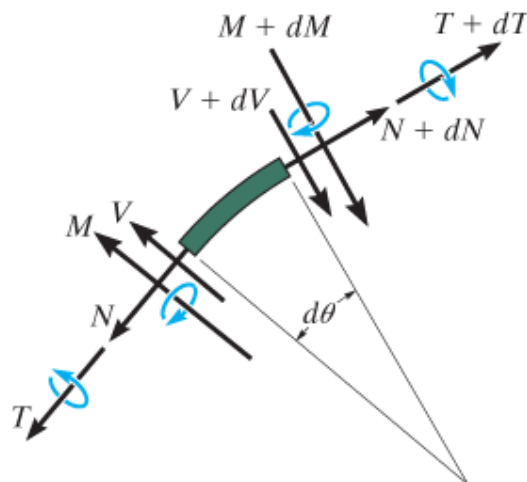
س 1-29. د کور راد AD چې r یی د غوڅی شعاع او وزن یی په اوږدوالی باندی w دی او په افقی توگه پروت دی. د داخلی بار محصله چې د B په غوڅه کی عمل کوی پیدا کړی. اشاره: د برخه AB د سینټروید (مرکز ثقل) C څخه تر O پوری فاصله راکړل شوی چی: $CO = 0.9745r$ ده.



س 1-29

س 1-30. یو وړوکی برخه له منحنی بار یا راد (rod) بیله شوی او په دی لاندی انځور کی بنودل شوی. وښایي چی لاندی معادلی صحیح دی.

$$\frac{dN}{d\theta} = V, \quad \frac{dV}{d\theta} = -N, \quad \frac{dM}{d\theta} = -T, \quad \frac{dT}{d\theta} = M.$$

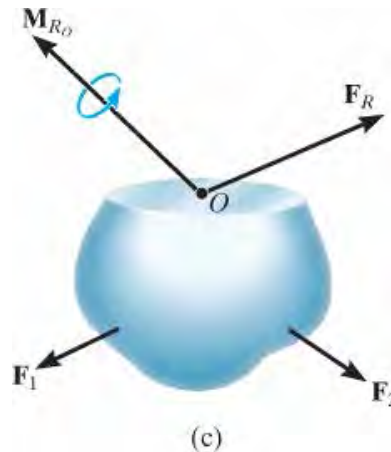


س 1-30

1.3 سټریس (Stress)

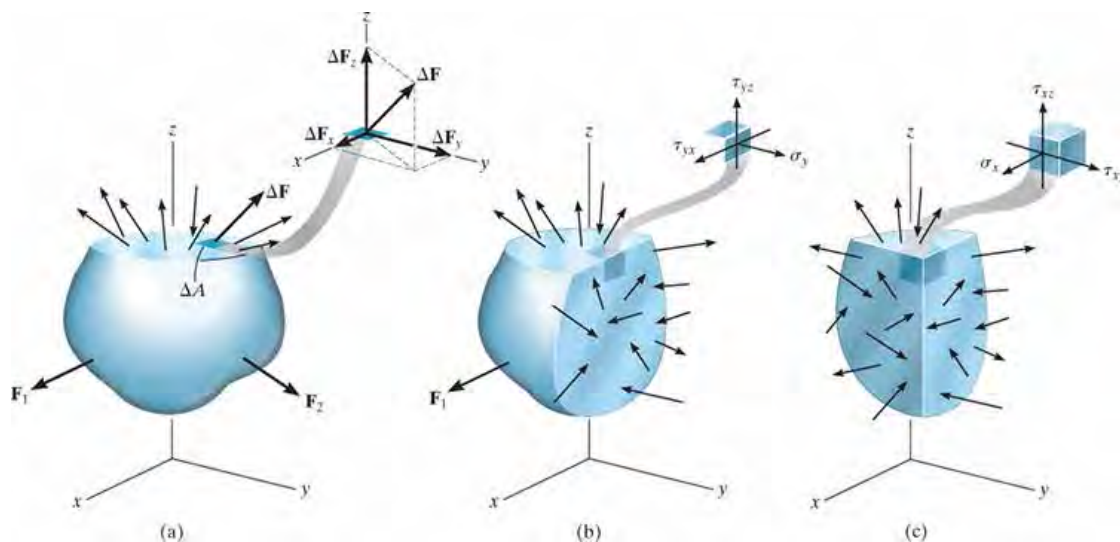
د اول فصل په 1.2 برخه کې وښودل شول کله چې یوه قوه او مؤمنت په یو مشخص ډول د جسم په غوڅه شوي ساحه د O ټکی کې عمل کوي، انځور 1-8، دا قوه استازیتوب کوي د هغه محصولی چې د ویشل شوي بار له کبله چې په یوه ساحه د انځور 1-9a یې عمل کوي. د دې ویش تر لاسه کول د موادو د میخانیک لپاره مهم دي. د دې سوال د حل لپاره په لومړي سر کې اړین دی چې د فشار یا سټریس (stress) په مفهوم ځان و پوهه وو.

مور دا غوڅه شوي ساحه داسې په پام کې ونیسو چې په ورو فرعي ساحو لکه ΔA ویشل شوي، چې د 1-9a په انځور کې ښودل شوي. لکه څنګه چې مور ΔA اندازه په ورو ورو را کمه وو، مور به د موادو د ځانګړتیاوو په اړه دوی انګیزی په پام کې ونیسو.



انځور 1.8

مواد دوامداره (*continuous*) دي، یعنې مواد په ټول بدن کې یو ډول جوړه شوي او هغه نیردی تداوم (*continuum*) لري پدې معنی چې په منځ کې هیڅ خلا نلري. همدارنګه، مواد باید همغږي (*cohesive*) وي، په دې معنی چې د هغې د بدن ټولې برخې پرته له وقفې نه یوځای سره تړلي دي، درزونه، یا جلا کیدل شتون نلري. یوه معینه او خورا کوچنی قوه ΔF په یوه وړوکی ساحی ΔA عمل کوي چې د 1-9a په انځور کې ښودل شوی. دا قوه، د نورو ټولو په څیر، به یو ځانګړی سمت ولري، مګر د نورو ټولو قواو سره په پرتله کولو لپاره، مور به یې د هغې په دريو برخو بدل کړو، یعنې ΔF_x ، ΔF_y ، او ΔF_z . که ΔA صفر ته نږدې کيږي، نو ΔF او د هغې برخې به هم کوچنی کيږي. پدې حالت کې د قوی او ساحه ضریب یو محدود حد ته رسيږي. دې حاصل ته فشار یا سټریس (*stress*) ویل کيږي، او دا د داخلي قوی شدت بیانوي چې په یوه ځانګړې سطحه باندې عمل کوي او د یوې نقطې څخه تیريږي.



انځور 1.9

نارمل سټریس (Normal Stress) د هغه قووی شدت چې په ساحه ΔA عمودی یا نارمل عمل کوي د **نارمل سټریس** یا سټرس (S) په نوم یادېږي، S (سیگما).

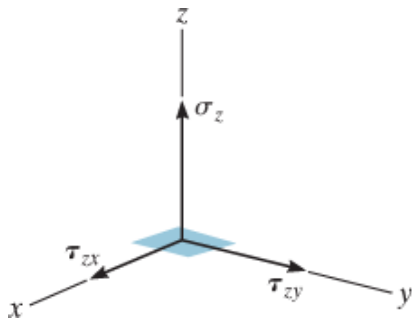
ځکه چې ΔF_z عمود دی په ساحه باندی او د ریاضی په توگه په لاندی ډول ده:

$$\sigma_z = \lim_{\Delta A \rightarrow 0} \frac{\Delta F_z}{\Delta A} \quad (1-4)$$

که چیری نارمل قوه یا سټریس د ΔA په ساحه کی کشش جوړ کړی په نامه دی کششی سټریس (tensile stress) او که چیری په ساحه ټیله کول وکړی په نامه دی ټیلوونکی سټریس (compressive stress) یا ډیری.

شیر یا مخنی سټریس (Shear stress) د قووی شدت چی د ΔA په سطحه (مخ) باندی مماسی عمل کوی د **مخنی سټریس** یا **شیر** (t) (ټو) په نامه بلل کیږی. دا لاندی دمخنی سټریس دوی برخی بنودل شوی:

دلته دا ټیټه علامه (subscript) د z موقعیت د ΔA مخ څنګه چې په 1-10 انځور کې ښودل شوي ښیي. هغه ټیټه علامه د x او y هغه محورونه په ګوته کوي چې هر محني سټریس یا شیر په هغه جهت عمل کوي.



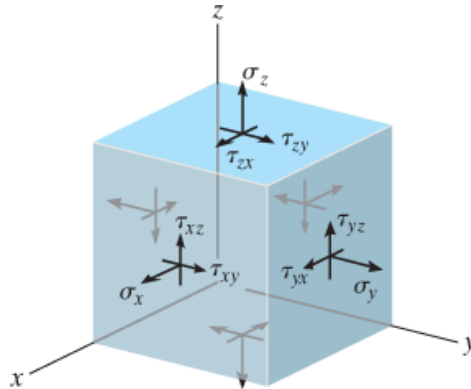
$$\tau_{zx} = \lim_{\Delta A \rightarrow 0} \frac{\Delta F_x}{\Delta A}$$

$$\tau_{zy} = \lim_{\Delta A \rightarrow 0} \frac{\Delta F_y}{\Delta A}$$

(1-5)

انځور 1.10

د سټریس عمومي حالت (General State of Stress): کله چې یو جسم د یو سطحی په واسطه چې موازی په سطح $x-z$ وی غوڅ شي چې دا په 1-9b انځور کې ښودل شوی. او که جسم په سطحه چې موازی په $y-z$ سطحه وی غوڅ شي چې په 1-9c انځور کې ښودل شوی. د دی غوڅیدو حاصل بیا یو مکعب حجم جوړوی چې د ټاکل شوي ټکي د شاوخوا **د سټریس حالت** چې هلته شتون لری لاس ته راوړل کیږي. د سټریس درې اجزا وی په هر سطحه د مکعب عمل کوي. دا سټریسونه په 1-11 انځور کې ښودل شوي.



انځور 1.11

واحدونه (Units): د سټریس واحد په نړیواله کچه په SI سیستم کې د نارمال او مماسي سټریس (شیر) شدت په نیوټن په یوه مربع متر (N/m^2) واحدونو سره مشخص شوي. د دی واحدونو ترکیب ته پاسکل هم ویل کیږي ($1 \text{ Pa} = 1 \text{ N/m}^2$)، او دا کوچني مخففونه لکه کیلو- (10^3)، مخفف یي k، میگا- (10^6) مخفف یي د M په حرف، یا گیگا (10^9) د G په حرف ښودل شوی چې په انجینرۍ کې تری کار اخستل کیږی او د سټریس د حقیقي ارزښتونو استازیتوب کوی.

* د فوټ – پونډ، ثانيی واحدونو په سيستم کې، انجنيران معمولاً سٽريس په پونډ پر يوه مربع انچ (psi) يا کيلوپونډ پر مربع انچ، (ksi) بڼی او زر پونډه په (kip = 1000 lb,) په کيب بڼوډل کيدی شي.

*کله ناکله د SI په سيستم کې سٽريس د N/mm^2 په واحدونو کې څرگنديږي، چيرته چې $1\text{ mm} = 10^{-3}\text{ m}$. په هر صورت، په SI سيستم کې، مخکينی برخي (prefixes) ته په مخرج کې اجازه نه ورکول کيږي، او له همدې امله دا غوره ده چې داسی وليکل شي: $1\text{ N/mm}^2 = 1\text{ MN/m}^2 = 1\text{ MPa}$ چې ميگا پيسکل دی.

1.4 نارمل اوسط سٽريس په يوه محوري بارشوي ميله کې (AVERAGE NORMAL STRESS IN AN AXIALLY LOADED BAR)

مور به اوس اوسط سٽريس، د يوی ميلي (bar) په غوڅه چې د محوري بار عمل کولو له امله مينځ ته راغلي، تشریح کړو. او دا په 1-12a انځور کې بڼوډل شوی. په ځانگړي توگه، دا غوڅه په عمود ډول د ميلي د محور په اوږدوالي اخیستل شوي. څنگه چې د ميلي ټوله غوڅه يو شان يا پريزماتيک (prismatic) ده نو ټولی برخي د ميلي په اوږدو کې يو شان غوڅه لري. د ميلي موادو هم يو شان يا هموجنیس (homogeneous) او په ټولو جهتو يو شان يا ايسوټروپيک (isotropic) دي، پدی معني چې په ټول حجم کې يو شان فزيکي او ميخانيکی خاصيت لري او هم د غوڅی ساحه يي په هر اوږدوالي يو شان ده. بيا کله چې بار P په مرکز د غوڅی عمل وکړي دا ميله به په ټول اوږدو کې يو ډول تغير ومومي. دا په لاندی انځور کې بڼوډل شوي.

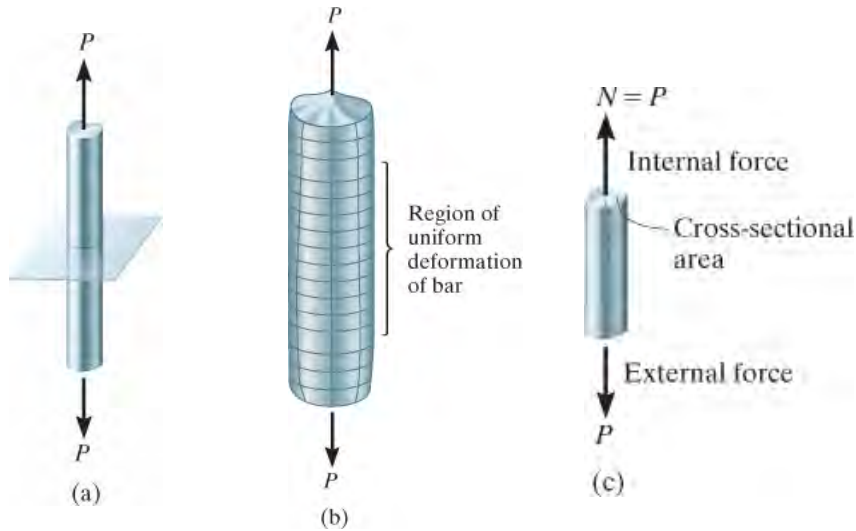
بايد پوه شئ چې ډيری انجنيري مواد يو شان او ايسوټروپيک اټکل کيږي. فولاد، د مثال په توگه، په هر مکعب ملی متر حجم کې په زرگونو تصادفي کرسټالونه فزيکي اندازه په هر لور لري، او ځکه هغه جسم چې د دې موادو څخه جوړ شوي فزيکي اندازه يي د کريستلو په اندازه د يو واحد کرسټال څخه خورا لوی دی، پورته انگيرنه د موادو د جوړښت په اړه خورا حقيقت دی.

په ياد ولرئ چې ان ايسوټروپيک مواد چې خواص يي په لوری پوری تړلی لکه لرگي، مختلف خاصيتونه په مختلفو جهتو لري؛ اما که د لرگیو داني د بار د محور په لور ځای په ځای شي (د مثال په توگه د لرگی په يوه عادي تخته کې) بيا به ميله هم کله چې د محوري بار P سره مخ شي په مساوي ډول تغير ومومي.

د اوسط نارمل سٽريس ویش (Average Normal Stress Distribution). که مور

يوه برخه يا سطحه له ميلي تېره کړو، او ميله له دی لارې په دوو برخو جلا شي، بيا توازن لپاره

اړتيا ده چې د نارمل قوه پايله محصله N په دې برخه کې د P سره مساوي وي. دا په 1-12c انځور کې بنودل شوي. او ځکه چې مواد يونيفورم تغير مومي، دا اړينه ده چې د غوڅې برخه د دوامداره نارمل سٽريس ویش سره مخ وي.



انځور 1.12

د پايلې په توگه، د يوې کوچنۍ ساحه ΔA په غوڅه کې يوه قوه $\Delta N = s \Delta A$ عمل کړي لکه په 1-12d انځور کې، او د دې قواوو مجموعه چې په ټوله ساحه عمل کوي بايد مساوي د \mathbf{P} قوې پدې برخه کې شي. که موږ اجازه ورکړو چې $\Delta A \rightarrow dA$ او $\Delta N \rightarrow dN$ ، نو د s قيمت ثابت دي او موږ ليکلی شو:

$$+\uparrow F_{Rz} = \Sigma F_z; \quad \int dN = \int_A \sigma dA$$

$$N = \sigma A$$

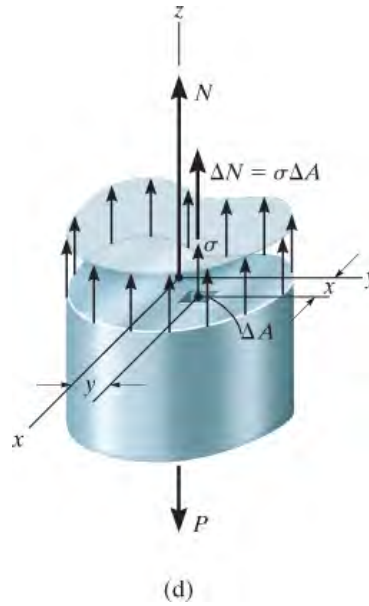
$$\sigma = \frac{N}{A}$$

(1-6)

دلته s منځنی سٽريس په هره ټکي د غوڅې کې

$N =$ د نارمل بار داخلي پايله لرونکي محصله، کوم چې د مرکز ثقل له لارې عمل کوي. د N ارزښت د برخي میتود او د توازن معادلو په کارولو سره ټاکل کيږي او په دې اساس $N = P$ لاس ته راځي.

$A =$ دمیلې د غوڅې ساحې مساحت ده چې s ورباندې ټاکل کيږي



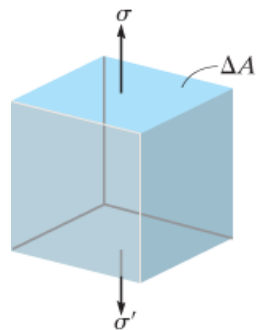
انځور 1.12 (دوام)

توازن (Equilibrium). د سٽريس ویش څنگه چې په 1-12 انځور کې په گوته شوي يو نارمل سٽريس د جسم د موادو په هر کوچني حجم کې شتون لري . پدې توگه که مور عمودی توازن د یوی برخی په پام کې ونیسو او بیا د توازن معادلی پلی کړو څنگه چې په 1-13 آزاد دایگرام کې ښودل شوی

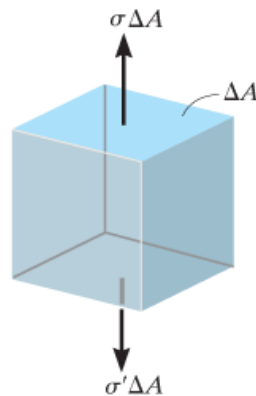
$$\sum F_z = 0;$$

$$\sigma(\Delta A) - \sigma'(\Delta A) = 0$$

$$\sigma = \sigma'$$

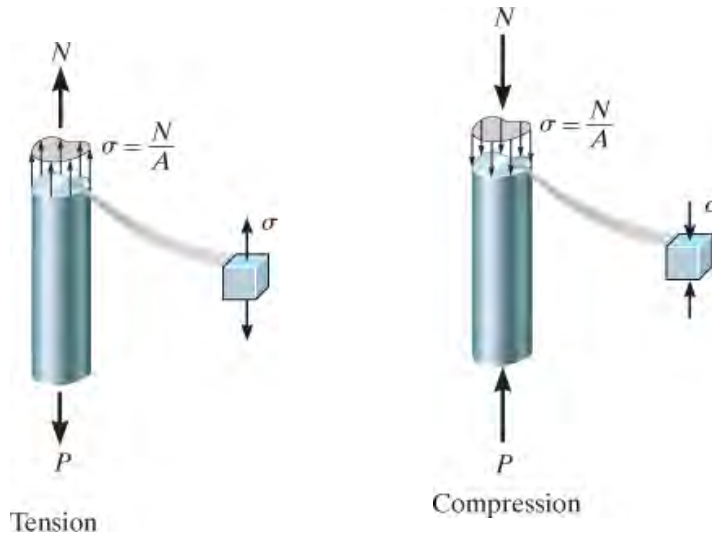


Stress on element



Free-body diagram

انځور 1.13



انځور 1.14

په بل عبارت، په عنصر کې د نارمل سٽريس اندازه په شدت کې مساوي مگر په جهت کې مخالف وي. په دې حالت کې مواد د يوه محوري سٽريس (*uniaxial stress*) سره مخ دي، او دا تحليل هغه غړو ته پلي کيږي چې د عنصر مواد په حالت د کشش يا ټيل وهلو سٽريس سره مخ وي، لکه څنگه چې په انځور 1-14 کې ښودل شوي.



که څه هم مور د تحليل د پريزماتيک ميلو لپاره رامینځته کړی، دا انگیرنه يو څه نرم کيدی شي ترڅو هغه ميلي شامل کړو چې لږ څه تغير په ضخامت کې (*taper*) لري. د مثال په توگه د دی حالت د دقيق تحليل (د ايليستي تيوري) په کارولو سره ښودل کيدی شي. که يو ميله چې مستطيل غوڅه ولری که چيري چې د دوه نږدې اړخونو تر مينځ زاويه 15 درجې وي، اوسط نارمل سٽريس څنگه چې $S = N/A$ لخوا حساب شوی، يوازي د موندل شوي ارزښت د ايلستي تيوري څخه به 2.2% کم دی.

د زیني يوه برخه له دی فولادو تاي راد څره ول شوی. په نتیجه کې د ا تاي راد د کشش سٽريس سره مخ کيږي

اعظمي اوسط نارمل سٽريس (Maximum)

(Average Normal Stress). زموږ د تحليل لپاره دواړه، داخلي قوه N او د ميلي د غوڅی ساحه A د ميلي د محور په اوږدوالي کې ثابت وو. په پایله کې نارمل سٽريس $S = N/A$ هم د ميلي په اوږدو کې ثابت دی. کله ناکله ميله کيدای شي د څو خارجي محوري بارونو درلودلو سره

مخ شي، يا د هغو غوڅه ساحه ممکن بدلون ولري. د پایلي په توگه، نارمل سټریس ممکن د میلی له یوې برخې څخه بلې برخې ته توپیر ولري، او که چیرې اعظمي اوسط سټریس غوښتل شوي وي بیا دا مهم کیري چی هغه ځای وموندل شی چیرې چې د N/A ارزش اعظمي دی. په 1.5 مثال کی دا کرنلاره روښانه شوی. یوځل چی داخلي بار د میلی په اوږدو کی و پیژندل شي، د N/A اعظمي نسبت په اسانی پیژندل کیدی شي.

مهم ټکي

IMPORTANT POINTS

- کله چی په یو جسم خارجي بارونه عمل وکړي او هغه د یوی سطحی پواسط غوڅ او برخه شي، هلته په غوڅ شوی برخه یو لږ قواوی عمل کوي کوم چی هره برخه په توازن کی ساتي. د دې قواو شدت ته په هغه یوه نقطه کی د داخلي قواوو فشار ویل کیري.
- فشار په یوه ساحه کی چی بار هلته عمل کړی عبارت دی په ارزښت د بار تقسیم د ساحی پر واحد، کله چی ساحه صفر ته نږدې کیري. د دې تعریف لپاره، مواد باید دوامداره او همغږي وي.
- په یوه ټکی کی د فشار د اجزاوو اندازه د بار په ډول، چی په بدن باندي عمل کوي او په جهت د ټکی اړه لري.
- کله چی یو پریزماتیک میله له همجنس او ایسوتراپیک موادو څخه جوړه شوی وي، او یو محوري قوه چی په مرکز د ثقل د ساحی عمل وکړي د میلی مرکز ساحه په یو ډول تغیر ومومي. په پایله کی، مواد به یوازي تر نارمل فشار لاندې وی. دا فشاریو شانتته یا اوسط دی په غوڅ د ساحه کی.

د تحلیل کرنلاره

PROCEDURE FOR ANALYSIS

د $S = N/A$ معادله د یو غړي په غوڅه اوسط ډول نارمل سټریس جوړوی، کله چې په ساحه یو داخلي د نارمل بار N محصلی عمل کړی وی. د دې معادلې د تطبیق پاره دا لاندې گامونو اړتیا لري.

داخلي بارونه (Internal Loading)

- غړي د خپل اوږدوالي محور سره په عمودي برخه کې، هغه نقطه چیرې چې نارمل فشار باید وټاکل شي غوڅ یې کړي. او بیا د غوڅ شوی یوې برخې آزاد دیاگرام رسم کړئ. د داخلي محوري قوی N ترلاسه کولو لپاره د توازن معادلې تطبیق کړئ .

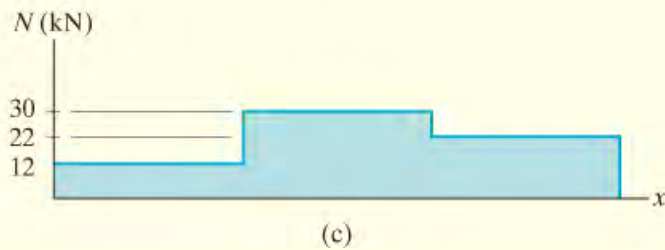
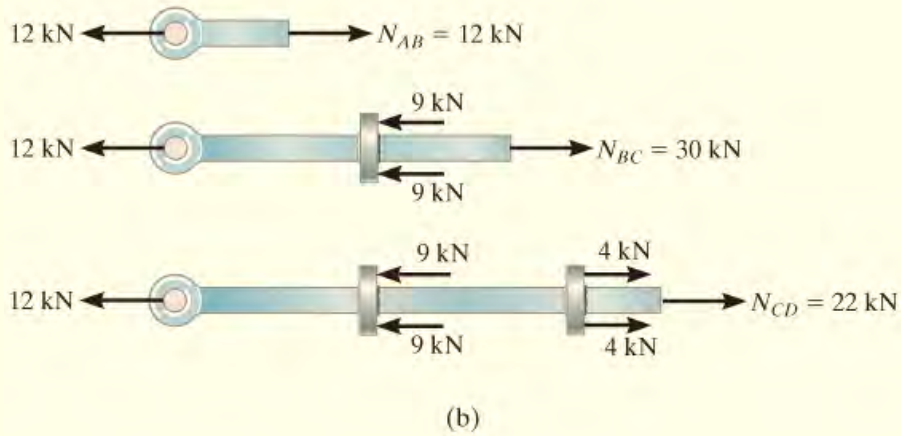
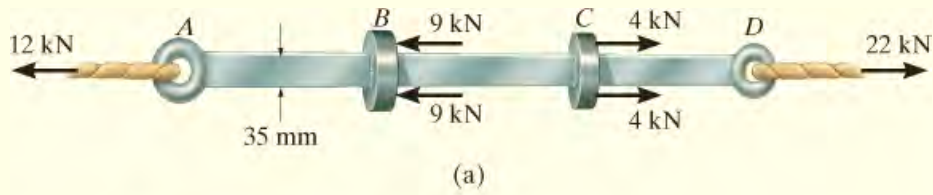
اوسط نارمل فشار (Average Normal Stress)

- په غوڅه برخه کې د غړي د غوڅی ساحه مشخص کړئ او اوسط نارمل فشار د لاندې معادلې نه معلوم کړئ: $S = \frac{N}{A}$
- دا وړاندیز کيږي چې S د غړي د موادو په هغه کوچني حجم باندې وبنودل شي چیرې چې د فشار محاسبه غوښتل شوي. د دې کولو لپاره، لومړی د غړي په غوڅه شوی ساحه A پر مخ S رسم کړئ. دلته په قطع شوي ساحې سټریس به په ورته جهت د داخلي محصله N عمل کړي. ځکه چې ټول نارمل سټریسونه په دې غوڅه برخه دا محصله جوړه کړي ده، او نارمل سټریس S د غړی په مقابل مخ په مخالف لوري عمل کوي .

مثالونه

مثال 1.5

دا لاندی یوه میله چی په انځور 1-15a کی بنودل شوي 35mm سوراو 10 mm پینډوالی لري. غواړو چی اعظمی اوسط نارمل سټریس په میله کی کله چی بنودل شوی بارونه پری عمل وکړي پیدا کړو.



انځور 1-15

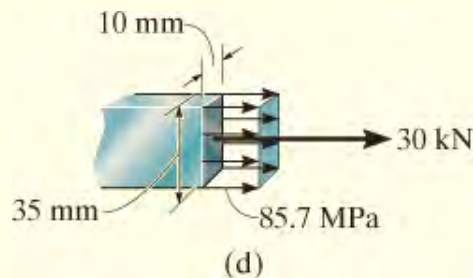
حل (SOLUTION)

داخلي بارونه (Internal Loading) په پورته انځور کې ښکاري چې داخلي محوري بارونه په AB ، BC ، او CD برخو کې ثابت مگر بيا هم په هره برخه کې مختلفې اندازې لري. د برخو په طريقه دا بارونه په آزاد دايگرام د کين اړخه په $1-15b^*$ انځور کې ښودل شوي. د نارمل بار دياگرام د ميلې د پاره د گرافیک په ډول په $1-15c$ انځور کې ښودل شوي. ښکاره ده چې تړولو لوی بار د BC په سيمه کې دی، چيرې چې $N_{BC} = 30 \text{ kN}$. له هغه ځايه چې دمیلې غوڅه يو شان او ثابته ده، تړولو لوی اوسط نارمل ستریس هم د ميلې په دې سيمه کې واقع کيږي .

اوسط نارمل ستریس (Average Normal Stress)

له معادلې 1-6 گټه اخلو او داسې ليکلی شو

$$\sigma_{BC} = \frac{N_{BC}}{A} = \frac{30(10^3) \text{ N}}{(0.035 \text{ m})(0.010 \text{ m})} = 85.7 \text{ MPa} \quad \text{Ans.}$$

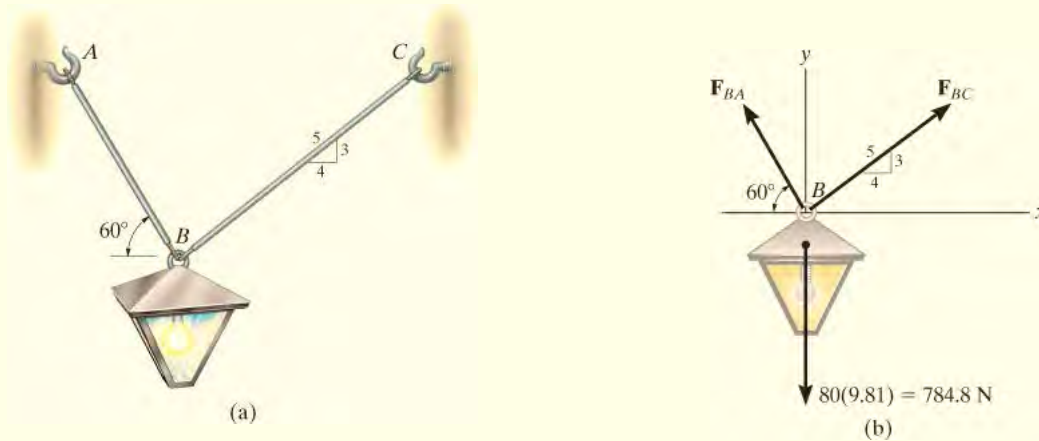
**انځور 1.15**

د ستریس توزیع چې د ميلې په غوڅه د BC په سيمه کې عمل کړی په $1-15d$ انځور کې ښودل شوي.

* که چيرې تاسو د بني لور له سيمې کار واخلي و به غورې چې تاسو به ورته پایلي ترلاسه کړئ .

مثال 1.6

په دی لاندی انځور کی یو د 80 kg څراغ په دوو رادونو AB او BC تړل شوي . د راد AB قطر 10 mm او د راد BC قطر 8 mm دي. په هر راد کې اوسط نورمال سټریس وټاکئ



انځور 1.16

حل (SOLUTION)

داخلي بارونه (Internal Loading). اول باید محوری قوه په رادو کی پیدا کړو. په 1- 16b انځور کی د څراغ آزاد ډایاگرام بنودل شوي. کله چی د توازن معادلی پلوی کړو دا لاندی معلومات په لاس راځي.

$$\begin{aligned} \pm \rightarrow \Sigma F_x = 0; & \quad F_{BC} \left(\frac{4}{5}\right) - F_{BA} \cos 60^\circ = 0 \\ + \uparrow \Sigma F_y = 0; & \quad F_{BC} \left(\frac{3}{5}\right) + F_{BA} \sin 60^\circ - 784.8 \text{ N} = 0 \\ & \quad F_{BC} = 395.2 \text{ N}, \quad F_{BA} = 632.4 \text{ N} \end{aligned}$$

د نیوټن دریم قانون له مخې، هر عمل مساوي او مخالف غبرگون لري. دا قواوی په رادونو کی سټریس جوړوی.

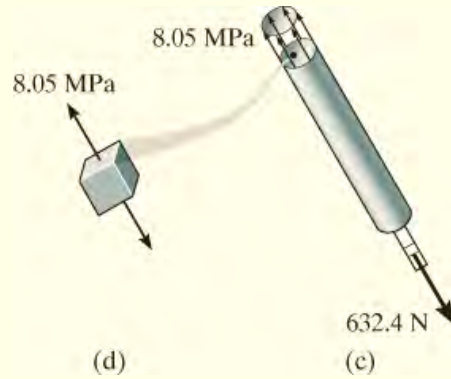
اوسط نارمل سټریس (Average Normal Stress). د 1-6 معادلی له مخی په لاندی ډول پیدا کړی:

$$\sigma_{BC} = \frac{F_{BC}}{A_{BC}} = \frac{395.2 \text{ N}}{\pi(0.004 \text{ m})^2} = 7.86 \text{ MPa}$$

Ans.

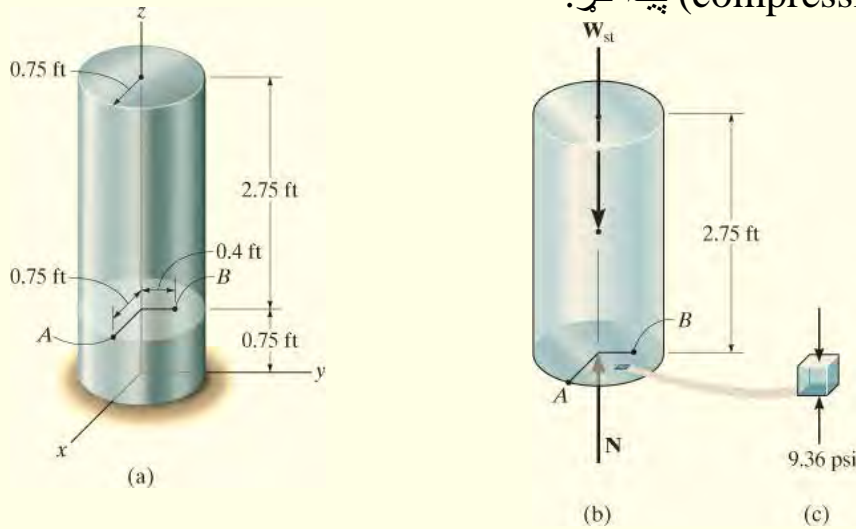
$$\sigma_{BA} = \frac{F_{BA}}{A_{BA}} = \frac{632.4 \text{ N}}{\pi(0.005 \text{ m})^2} = 8.05 \text{ MPa}$$

Ans.



مثال 1.7

په لاندی 1-17a انځور کی یو فولادی سلنډر چی کثافت وزنی یی (specific weight) $\gamma_t = 490 \text{ lb./ft}^3$ دی بنودل شوي. د A او B په ټکیو کی تیلوهونکي یا کمپرسر سټریس (compressive stress) پیدا کری.



انځور 1.17

حل (SOLUTION)

داخلي بارونه (Internal Loading). د سلندر د پورتنی برخې آزاد دایگرام په 1-17b انځور کې ښودل شوي. ددی برخې وزن داسې پیدا کولای شو چې $W_{st} = \rho_{st} V_{st}$ او دا وزن داخلي محوری قوه N جوړوي.

$$+\uparrow \Sigma F_z = 0; \quad N - W_{st} = 0$$

$$N - (490 \text{ lb/ft}^3)(2.75 \text{ ft})\pi(0.75 \text{ ft})^2 = 0$$

$$N = 2381 \text{ lb}$$

اوسط تیلوهونکی ستیریس (Average Compressive Stress). د مقطع مساحت پدی برخه کې $A = \pi (0.75 \text{ ft})^2$ دی، او اوسط تیلوهونکی یا کمپرسو ستیریس (compressive stress) په لاندی ډول پیدا کیږی:

$$\sigma = \frac{N}{A} = \frac{2381 \text{ lb}}{\pi(0.75 \text{ ft})^2} = 1347.5 \text{ lb/ft}^2$$

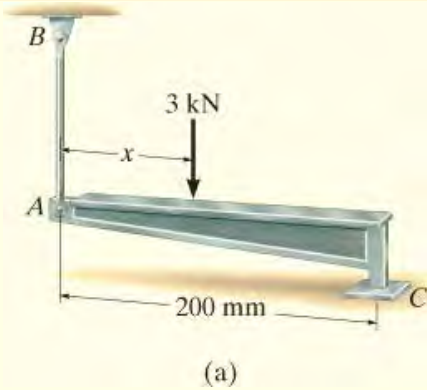
$$\sigma = 1347.5 \text{ lb/ft}^2 (1 \text{ ft}^2/144 \text{ in}^2) = 9.36 \text{ psi}$$

Ans.

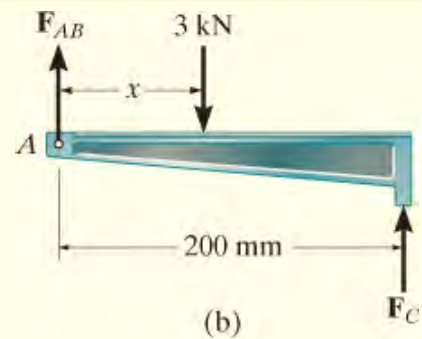
هغه ستیریس چې په 1-17c انځور کې د جسم د موادو د حجم استازیتوب کوی د A او B په ټکیو کې یو شان دی. په پام کې ونیسئ چې دا ستیریس د جسم په ښکته یا سیوري شوي مخ کې پورته لور عمل کوي او پایله لرونکی محصله قوه N پورته خوا ته عمل کوی چې د نیوټن قانون پری پلي کیږی.

مثال 1.8

په انځور 1-18a کې د AC په غړی باندی یو 3 kN بار عمل کړي. فاصله x په دی غړی داسې پیدا کړی کله چې اوسط کمپرسو (تیلوهونکی) ستیریس په C ساوی په کششي ستیریس په تاي راد AB (tie rod) کې شي. د تاي راد د غوڅی مساحت 400 mm^2 او د C د اتکا مساحت 650 mm^2 دي.



انځور 1.18

**حل (SOLUTION)**

داخلي بارونه (Internal Loading). په ټکی A او C د نا معلومو قواو پيدا کولو لپاره آزاد دايگرام د AC د غړی په پام کی نیسو. دلته دری نامعلوم F_{AB} , F_C او x شتون لري. د حل لپاره له نیوتن او ملی میتر واحدو (SI system) کار اخلو او داسی لیکلی شو:

$$+\uparrow \Sigma F_y = 0; \quad F_{AB} + F_C - 3000 \text{ N} = 0 \quad (1)$$

$$\zeta + \Sigma M_A = 0; \quad -3000 \text{ N}(x) + F_C(200 \text{ mm}) = 0 \quad (2)$$

اوسط نارمل سټریس (Average Normal Stress). دریمه ضروری معادله داسی لیکلی شو چی ټیلوهونکی سټریس په C ټکی کی مساوی په کششي سټریس په تاي راد AB کی وی:

$$\sigma = \frac{F_{AB}}{400 \text{ mm}^2} = \frac{F_C}{650 \text{ mm}^2}$$

$$F_C = 1.625F_{AB}$$

د F_C مقدار په معادله (1) کی ځای په ځای کوو او د F_{AB} مقدار داسی لیکلی شو:

$$F_{AB} = 1143 \text{ N}$$

$$F_C = 1857 \text{ N}$$

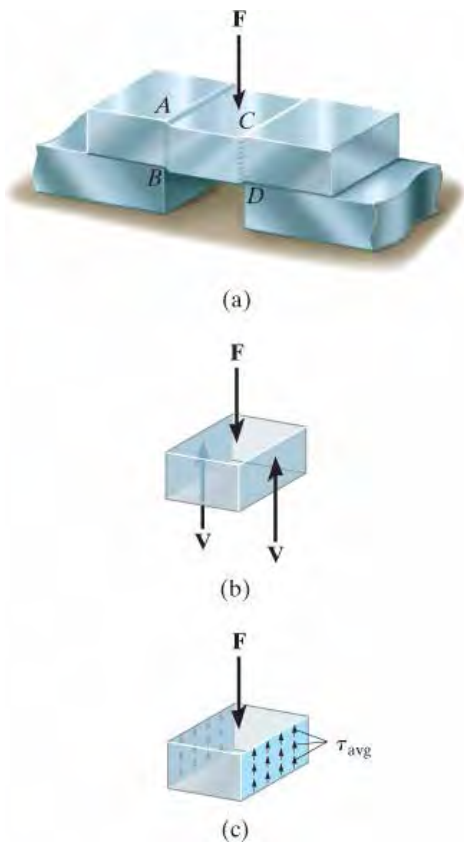
د بهرنی بار موقعیت له (2) معادلی داسی پيدا کوو:

$$x = 124 \text{ mm}$$

Ans.

وینو چی د فاصلی ارزښت $0 < x < 200 \text{ mm}$ دي

1.5 اوسط مماسي ستريس (AVERAGE SHEAR STRESS)



مماسي ستريس يا شيبير (Shear stress) په 1.3 برخه کې د ستريس برخې په توګه تعريف شوی او هغه په ګوڅه شوي برخه د سطحې عمل کوي. د بنودلو لپاره چې دا ستريس څنگه وده کوي د يوه پلي شوی بار F اغيزه په پام کې نيسواو دا په انځور-1 19a کې بنودل شوي. که بار F په کافي اندازه لوی وي، کولی شي د ميلي موادو د خرابيدو لامله د AB او CD په سطحو کې مات او ړنګ شي. د ميلي د يوی برخې چې اتکا نلری په انځور 1-19b آزاد دياگرام کې بنودل شوي. پدی انځور کې وینو ددی لپاره چې دا برخه په توازن کې پاتی شي $V = F/2$ په هره برخه باید پلي شي. اوسط مماسی ستريس يا شير ويشل شوی په هره برخه پدی لاندی ډول تعريف شوی :

$$\tau_{avg} = \frac{V}{A}$$

(1-7)

انځور 1.19

دلته

t_{avg} = اوسط شيبير په ګوڅه سطحه باندی دی، کوم چې ورته فرض کيږي په هره برخه کې
 V = د داخلی شيبير محصله ده او د توازن له معادلی پيدا کيږي.
 A = د ګوڅی برخي مساحت دی

د اوسط شيبير ويش چې په برخو کې عمل کوي په انځور 1-19c کې بنودل شوي. په یاد ولری چې t_{avg} د V په څير په ورته جهت کې دی، ځکه چې شيبير ستريس باید اړوند قوی رامینځته کړي چې د ټولو پایله محصله مساوی په V شي.



د بارولو قضیه چی دلته بحث شوه یو ساده یا مستقیم مثال د شییر دی، ځکه چی شییر د پلي شوي بار F مستقیم عمل له امله رامینځته کیږي. دا ډول شییر ډیری وختونه په مختلفو ډولونو ساده ترونکیو (connections) کې واقع کیږي. په دې ټولو قضیو کې بولټونه، میخ، د ویلډینګ مواد او داسې نور کارول کیږي. پدی ټولو حالتو کې 1-7 معادله یوازې اټکل دی. ډیر دقیق تحقیق له مخی د شییر ستریس ویش اکثرا په موادو کې د دې معادلې په پرتله خورا زیات محاسبه کیږي. که څه هم 1-7 معادله په عمومی توګه د ډیرو ستونزو د حل لپاره د منلو وړ ده. د مثال په توګه د انجینری کودونه اجازه ورکوي چی د دی معادلې له مخی د بولټونو اندازه او مساحت او یا دا چی د سرینس تاو شوی مقاومت د برخو چی شییر ورباندی عمل کړي پیدا شي.

پین A لینک ددی تراکتور نېبلولي ، او دی پین باندی ډبل شییر عمل کوي، ځکه چی شییر ستریس په سطحه د پین په B او C کی پلی کیږي. انځور 1-21c وګورئ .

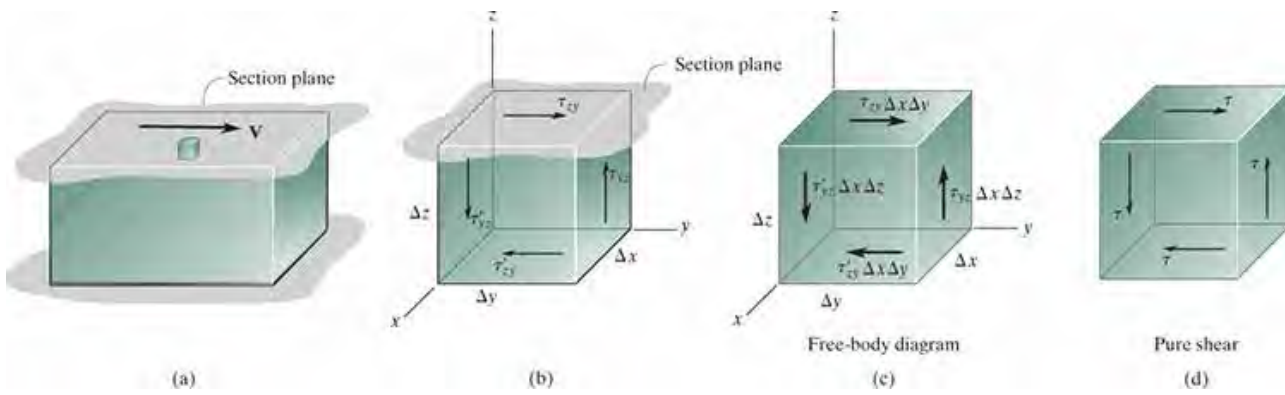
د مماسی ستریس توازن (Shear Stress Equilibrium).

انځور 1-20a کی بنودل شوی په پام کې ونیسو. دا بلاک په یوه سطحه غوڅ شوی او مماسی قوه V ورباندی عمل کړي. یو عنصر حجم له یوی نقطی چی په سطحه کی موقعیت لری اخیستل شوی ، لکه څنګه چی په انځور 1-20b کی بنودل شوي . پدی حجم یو مستقیم مماسی ستریس t_{zy} عمل کړي. د دې عنصر توازن اړتیا لري چی مماسی ستریس یا شییر ستریس د عنصر په دریو نورو اړخونو هم رامینځته شي. ددی بنودلو لپاره لومړی اړین دی چی د عنصر د بدن آزاد ډیاگرام رسم شی. او دا په انځور کی بنودل شوي. توازن په y لوري د قواو لیکلی شو:

$$\sum F_y = 0;$$

$$\frac{\text{force}}{\text{stress area}} \tau_{zy} (\Delta x \Delta y) - \tau'_{zy} \Delta x \Delta y = 0$$

$$\tau_{zy} = \tau'_{zy}$$



انخور 1.20

په ورته توگه توازن په z لور لیکلی شو تر څو $t_{yz} = t'_{yz}$. مؤمنت د x په محور نیسو:

$$\sum M_x = 0;$$

moment

force arm

stress area

$$-\tau_{zy} (\Delta x \Delta y) \Delta z + \tau_{yz} (\Delta x \Delta z) \Delta y = 0$$

$$\tau_{zy} = \tau_{yz}$$

په بل عبارت داسی لیکلی شو:

$$\tau_{zy} = \tau'_{zy} = \tau_{yz} = \tau'_{yz} = \tau$$

او په دې توگه، ټول څلور مماسی ستیریسونه باید مساوي اندازه ولري او د عنصر په مخالفو څنډو کې د یو بل په لور یا لیرې یوله بل نه، څنگه چی په انخور 1-20d کی بنودل شوي جهت لری. دا د مماسی ستیریس د تکمیلی خواص (complementary property) په نامه هم یادیری او په دې حالت کې په عنصر باندی خالص مماسی ستیریس عمل کړي.

مهم ټکي

IMPORTANT POINTS

- که دوه نازکي يا کوچنی برخي يو بل سره يوځای شي، پلی شوی بارونه کیدای شي داسی مماسی فشار پیدا کړي چی د کوروالی ارزښت به يي د اهمیت وړ نه وي. نو عموماً داسی انگیرل کيږي چی يو اوسط مماسی فشار په غوڅه عمل کړی.
- کله چی مماسی فشار t په يوه سطحه کې عمل وکړي، نو د عنصر د حجم د توازون اړتیا ده چی په دريو نورو اړخونو باندې د ورته شدت سره عمل وکړی.

د تحلیل کرنلاره

PROCEDURE FOR ANALYSIS

په $t = V/A$ معادله کې د یو غړي په غوڅه برخه کې اوسط ډول مماسی ستیریس ورکوي . د دې معادلې تطبیق د پاره دا لاندې کړنوته اړتیا لري.

داخلي مماسی ستیریس (Internal Shear)

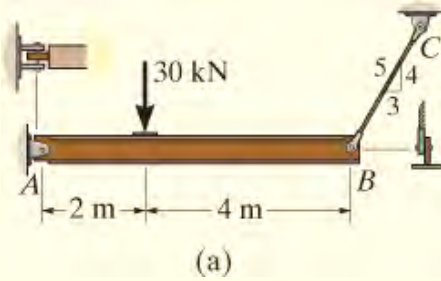
- غړي په هغه نقطه کې غوڅ کړی چیرې چې اوسط شیبیر ټاکل کیري.
- د بدن آزاد ډیاگرام رسم کړی، او داخلي مماسی قوه V چې په هغه برخه کې عمل کوي د توازن له معادلې محاسبه کړی .

اوسط شیبیر ستیریس (Average Shear Stress)

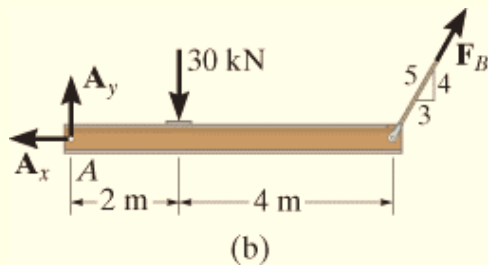
- د برخې غوڅه شوی مساحت A مشخص کړی او اوسط مماسی فشار $t_{avg} = \frac{V}{A}$ محاسبه کړی.
- دا وړاندیز کیري چې t_{avg} د غړي د موادو په هغه کوچني حجم باندې وښودل شي چیري چې د مماسي ستیریس محاسبه غوښتل شوي. د دې کولو لپاره، لومړی د غړي په غوڅه شوی ساحه A پر مخ t_{avg} رسم کړی . په غوڅه شوي ساحې مماسی ستیریس په ورته جهت د داخلي محصلی د V عمل کوي. مماسی ستیریس چې په دريو نورو سطحو عمل کوي مساوی او د جهت ټاکلو دپاره کړي شی $1-20d$ انځور په پام کې ونیسبي.

مثالونه

مثال 1.9



په دی لاندی انځور 1-21a کی د AB بیم د A او B په اتکاوو کی د پین په واسطه تړل شوي ده. غوارو په پین A کی مماسی ستزیس پیدا کړو. د بنودل شوی پین A قطر 20-mm او د هغه پین چی په B کی دی قطر یی 30 mm دي.



حل (SOLUTION)

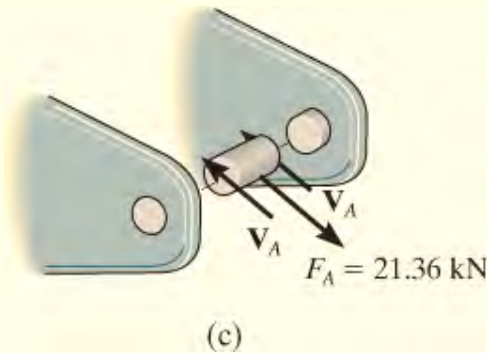
داخلي بارونه (Internal Loading). په پین باندی داخلي بارونه د توازن د معادلو په پلی کولو د AB په بیم چی په انځور 1-21b کی بنودل شوي په دی لاندی ډول پیدیا کوو.

$$\zeta + \sum M_A = 0;$$

$$F_B \left(\frac{4}{5} \right) (6 \text{ m}) - 30 \text{ kN} (2 \text{ m}) = 0 \quad F_B = 12.5 \text{ kN}$$

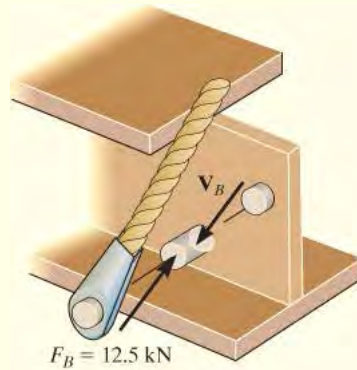
$$\rightarrow \sum F_x = 0; \quad (12.5 \text{ kN}) \left(\frac{3}{5} \right) - A_x = 0 \quad A_x = 7.50 \text{ kN}$$

$$+\uparrow \sum F_y = 0; \quad A_y + (12.5 \text{ kN}) \left(\frac{4}{5} \right) - 30 \text{ kN} = 0 \quad A_y = 20 \text{ kN}$$



محصله د بارونو په پین A کی عبارت ده

$$F_A = \sqrt{A_x^2 + A_y^2} = \sqrt{(7.50 \text{ kN})^2 + (20 \text{ kN})^2} = 21.36 \text{ kN}$$



(d)

انځور 1.21

پین A په دوه ثابتو "پانو" تړل شوي. د پین د مرکزي برخې آزاد ډیاگرام په 1-21c انځور کې بنودل شوی، او دا دوه مماسی سطحی په مینځ د بیم او هره پانه کی بنودل شوي دي. د بیم بار 21.36 kN بار د پین په هر دوو سطحو عمل کوي، او دې ته دوه **خله مماسی بار** ویل کیږي او په دې توگه،

$$V_A = \frac{F_A}{2} = \frac{21.36 \text{ kN}}{2} = 10.68 \text{ kN}$$

په 1-21a انځور کې پین B تر یوه مماسی بار لاندی دی، او دا **یواځنی مماسی بار** په هغه برخه چی د کیبل او بیم تر مینځ ده په 1-21d انځور کې بنودل شوي. او مور لیکلی شو:

$$V_B = F_B = 12.5 \text{ kN}$$

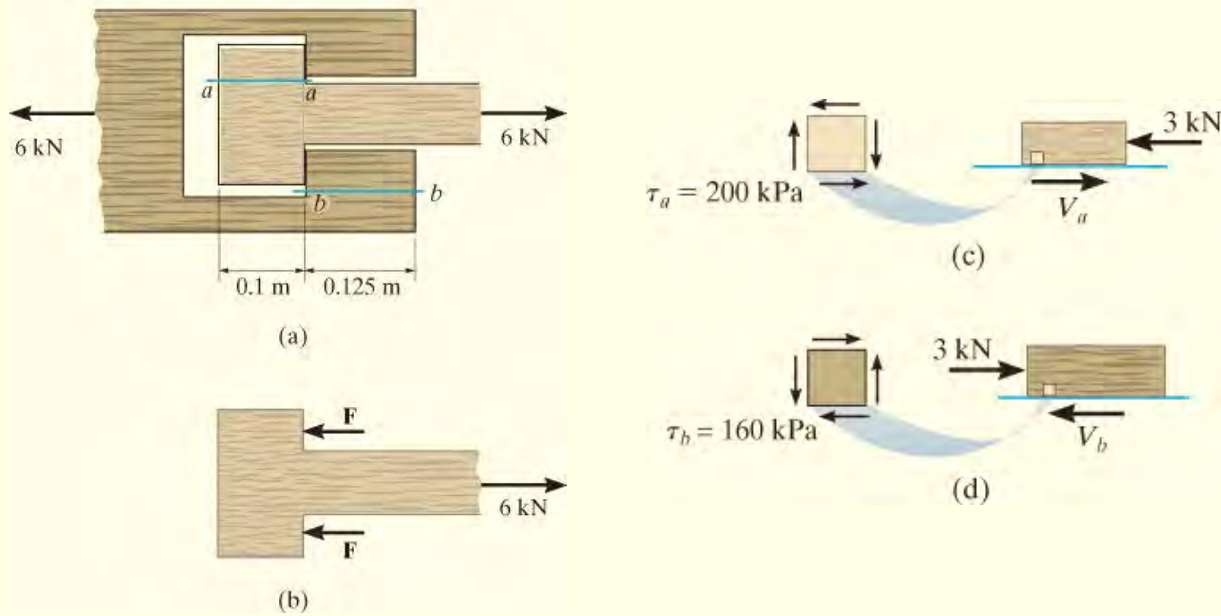
اوسط مماسی ستیریس (Average Shear Stress):

$$(\tau_A)_{avg} = \frac{V_A}{A_A} = \frac{10.68(10^3) \text{ N}}{\frac{\pi}{4}(0.02 \text{ m})^2} = 34.0 \text{ MPa} \quad \text{Ans.}$$

$$(\tau_B)_{avg} = \frac{V_B}{A_B} = \frac{12.5(10^3) \text{ N}}{\frac{\pi}{4}(0.03 \text{ m})^2} = 17.7 \text{ MPa} \quad \text{Ans.}$$

مثال 1.10

په 1-22a انځور کې د لرگیو یو بندونکي (joint) بنودل شوي. ددی بندونکي یا جاینټ پیندوالی 150 ملي میتره دي. مماسی ستیریس په a-a او b-b سطحو د وصل شوی غړي معلوم کری. په هره سطحه د ستیریس حالت و بنایي



انځور 1.22

حل (SOLUTION)

داخلي بارونه (Internal Loading). آزاد دايگرام د غړی وینو

Fig. 1-22b,

$$\rightarrow \Sigma F_x = 0; \quad 6 \text{ kN} - F - F = 0 \quad F = 3 \text{ kN}$$

اوس د توازن له معادلو د $a-a$ او $b-b$ سطحو لپاره چی په 1-22c او 1-22d انځورونو کی بنودل شوی کار اخلو

$$\rightarrow \Sigma F_x = 0; \quad V_a - 3 \text{ kN} = 0 \quad V_a = 3 \text{ kN}$$

$$\rightarrow \Sigma F_x = 0; \quad 3 \text{ kN} - V_b = 0 \quad V_b = 3 \text{ kN}$$

اوسط مماسی ستیریس (Average Shear Stress):

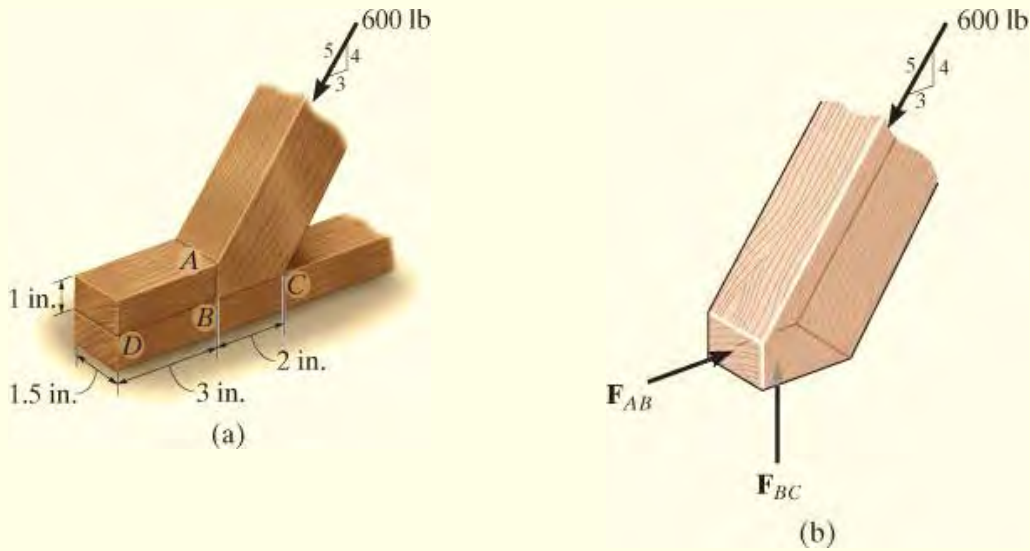
$$(\tau_a)_{\text{avg}} = \frac{V_a}{A_a} = \frac{3(10^3) \text{ N}}{(0.1 \text{ m})(0.15 \text{ m})} = 200 \text{ kPa} \quad \text{Ans.}$$

$$(\tau_b)_{\text{avg}} = \frac{V_b}{A_b} = \frac{3(10^3) \text{ N}}{(0.125 \text{ m})(0.15 \text{ m})} = 160 \text{ kPa} \quad \text{Ans.}$$

د ستیریس حالت د $a-a$ او $b-b$ په سطحو په انځور 1-22c او 1-22d کی بنودل شوي.

مثال 1.11

په انځور 1-23a کی یو مایل (inclined) غړی د کمپرسو (تیلوهونکی) 600 lb قوی لاندی راغلي. اوسط تیلوهونکی ستیریس په همواره سطحو د AB او BC معلوم کړي. او هم په سطحه DB اوسط مماسی ستیریس پیدا کړي.



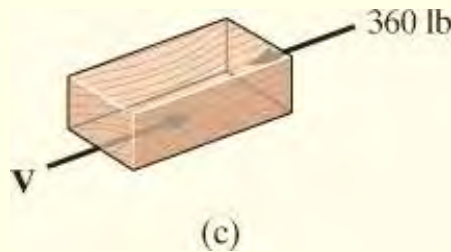
انځور 1.23

حل (SOLUTION)

داخلي بارونه (Internal Loading). د مايل سطحی آزاد دايگرام په 1-23b انځور کی بنودل شوي. تیلوهنکي ستریس به د تماس په سطحه عبارت وی په

$$\begin{aligned} \rightarrow \Sigma F_x = 0; & \quad F_{AB} - 600 \text{ lb} \left(\frac{3}{5}\right) = 0 & \quad F_{AB} = 360 \text{ lb} \\ + \uparrow \Sigma F_y = 0; & \quad F_{BC} - 600 \text{ lb} \left(\frac{4}{5}\right) = 0 & \quad F_{BC} = 480 \text{ lb} \end{aligned}$$

همدارنگه، د ABD برخي د جسم آزاد دياگرام څخه، 1-23c انځور، په افقي سطحه DB مماسی ستریسچی عمل يي کړي عبارت دی له :



$$\rightarrow \Sigma F_x = 0; \quad V - 360 \text{ lb} = 0 \quad V = 360 \text{ lb}$$

اوسط سترييس (Average Stress):

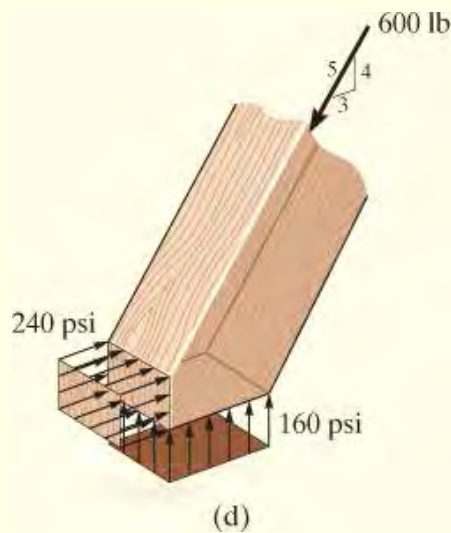
اوسط تيلوهونكي سترييس په عمودي او افقي سطحو د مايل غري پدی ډول دی:

$$\sigma_{AB} = \frac{F_{AB}}{A_{AB}} = \frac{360 \text{ lb}}{(1 \text{ in.})(1.5 \text{ in.})} = 240 \text{ psi} \quad \text{Ans.}$$

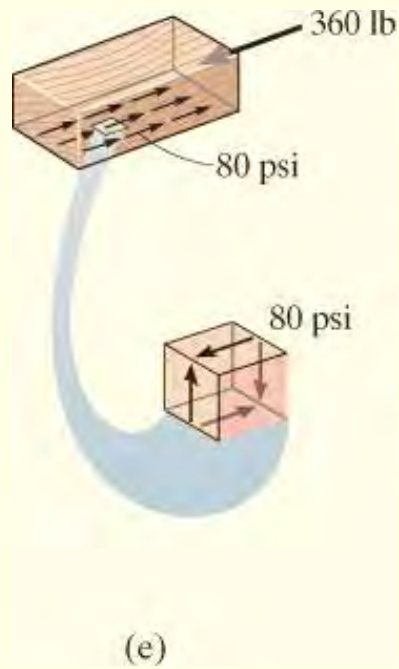
$$\sigma_{BC} = \frac{F_{BC}}{A_{BC}} = \frac{480 \text{ lb}}{(2 \text{ in.})(1.5 \text{ in.})} = 160 \text{ psi} \quad \text{Ans.}$$

د سترييس دا ویشل په 1-23d انځور کې بنودل شوي. په افقي سطحه اوسط مماسی سترييس داسی تعريف شوی

$$\tau_{\text{avg}} = \frac{360 \text{ lb}}{(3 \text{ in.})(1.5 \text{ in.})} = 80 \text{ psi} \quad \text{Ans.}$$



دا سټریس په مساوي ډول په غوڅه شوی برخو او د موادو په عنصر ویشل شوي او په 1-23e انځور کی دا لیدل کیږي .

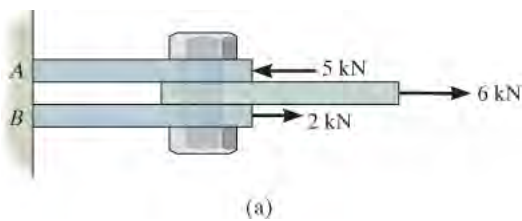


لومړنی پوښتنی

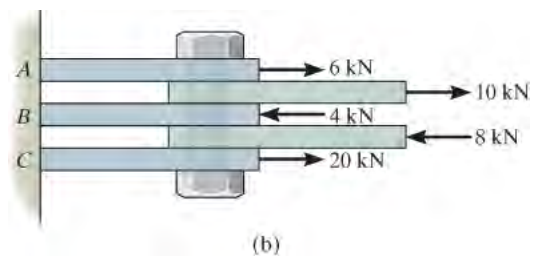
PRELIMINARY PROBLEMS

پوښتنه (ل) 1-2

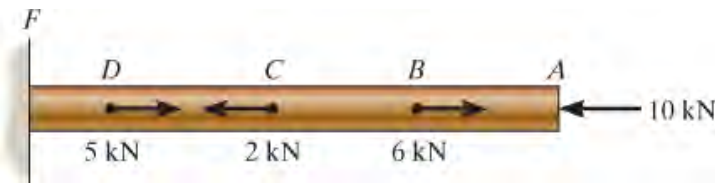
په دی لاندی حالتو کی، ترتولو لوی داخلي مماسی قوه په بولټ کی وټاکئ . ټول اړین د جسم آزاد دایگرمونه شامل کړئ .



پوښتنه 1-2

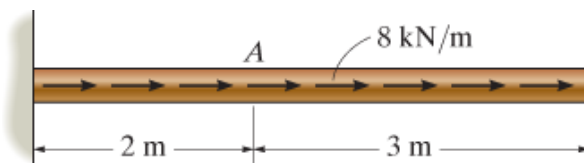


ل 1-3 په میله کی لوی داخلی بار معلوم کړی.



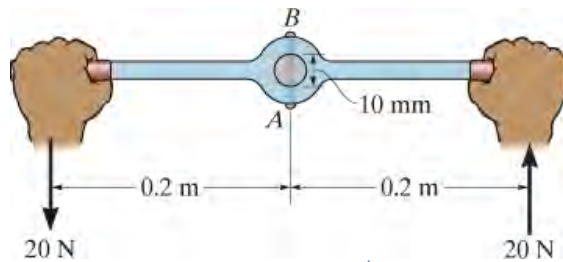
ل 1-3

ل 1-4 داخلی نارمل قوه په برخه د A کی د بنودل شوی میلی مشخص کړی. پر میله یو یونیفورم ډول توزیع شوي بهرنی بار د 8 kN/m په اوږدوالي د میلی عمل کړی.



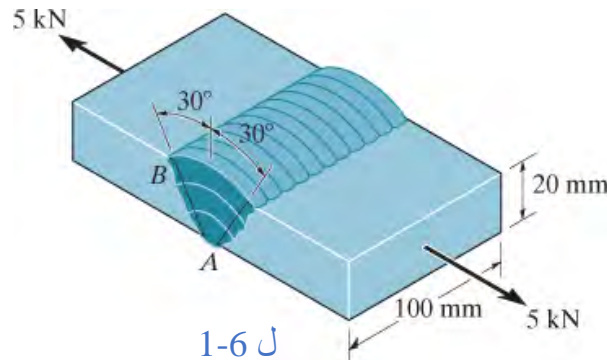
ل 1-4

ل 1-5 پدی لاندی انځور کی لیور (lever) په یو شافت د پن AB په ذریعه ټینگ ساتل کیري. که چیری کپل په لیور عمل وکړی مماسی قوه په پن کی مشخص کړی.



ل 1-4

ل 1-6 یو V-بت بندونکی (butt joint) یوه د 5 kN قوه له یوی میلی نه بلی میلی ته لیردوي. اوس د AB د ویلد (weld) په سطحه باندی نارمل یا عمودی او مماسی قواوي پیدا کړی.

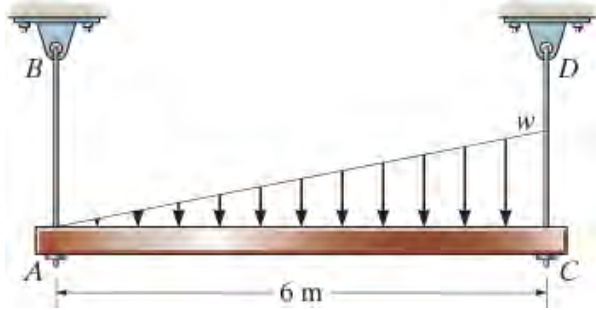


ل 1-6

بنسټيز سوالونه

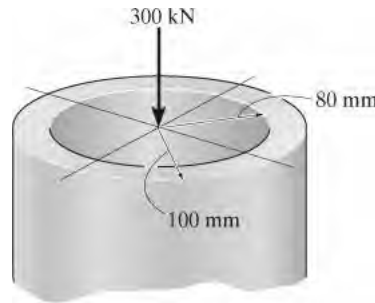
(FUNDAMENTAL PROBLEMS)

ب 1-7 يو بيم د دوو راډو AB او CD پواسطه تړل شوي . د AB د غوڅي مساحت 10 mm^2 او د CD مساحت 15 mm^2 دي. د توزیع شوي بار شدت w مشخص کړئ ترڅو په هر میله کې اوسط نارمل ستريس له 300 kPa څخه ډیر نشي.



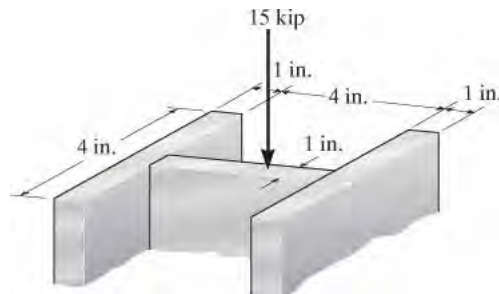
ب 1-7

ب 1-8 په غوڅه اوسط نارمل ستريس پيدا کړي. دا نارمل ستريس ویشل په غوڅه وښايي.



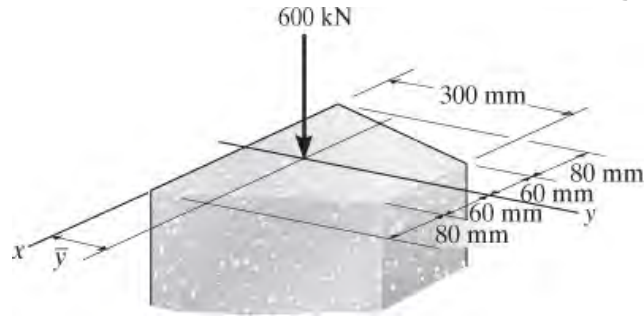
ب 1-8

ب 1-9 په غوڅه اوسط نارمل ستريس پيدا کړي. ددی نارمل ستريس ویشل په مقطع رسم کړی.



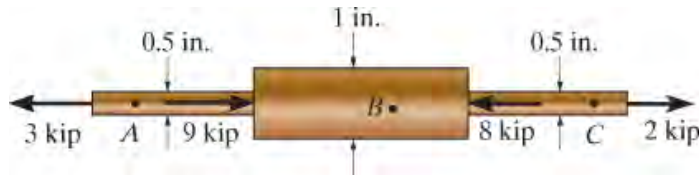
ب 1-9

ب 1-10 که چيرې يو 600-kN بار د غوڅي د ثقل په مرکز عمل وکړي، د ثقل د مرکز موقعيت y مشخص کړئ او هم په غوڅه برخه کې اوسط نارمل سټريس معلوم کړي. همدارنگه، په غوڅه برخه کې ددى نارمل سټريس وپشل به غوڅه سکيچ کړئ .



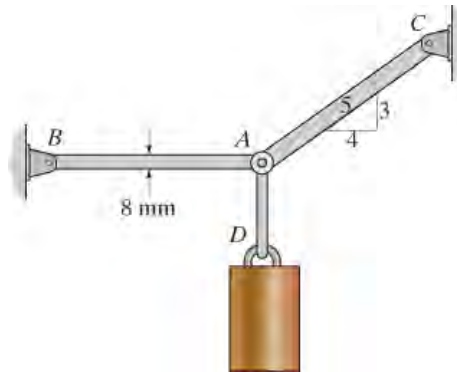
ب 1-10

په تکیوکی پیدا کړي. قطر د هرې برخې په انځور کې بنودل شوي. A ، B او C ، اوسط نارمل سټريس د **ب 1-11**



ب 1-11

ب 1-12 اوسط نارمل سټريس د AB په میله کې پیدا کړي. د څوړند کتلې وزن 50 کیلو گرام دی. د AB میلی قطر 8 متره دی.



ب 1-12

سوالونه

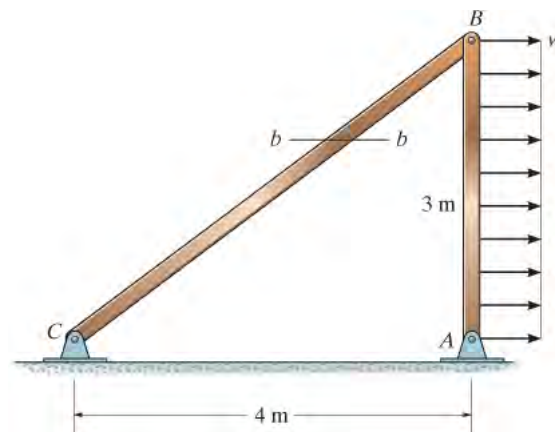
PROBLEMS

سوال 1-31. دیوی خوازی (سکه فولد) د پینی په څرخ چی په پین ترلشوی او د پین قطر 4 mm دی چی به لاندی انځور کی بنودل شوی. که چیری په څرخ یوه 3 kN نارمل قوه عمل و کړي، اوسط مماسی ستریس په پین کی معلوم کړی. فرض کړی چی په پین یوازی دا عمودي بار 3-kN عمل کړی.



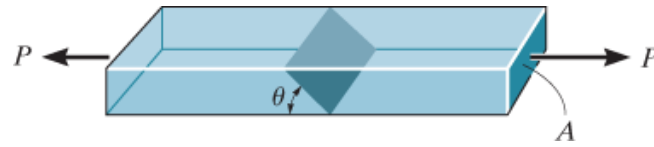
سوال 1-31

س 1-32*. په لاندی بنودل شوی انځور کی د یو ډول بار شدت (w) داسی وټاکي چی د b-b په غوڅه کی اوسط نارمل ستریس له $s = 15 \text{ MPa}$ او اوسط مماسی ستریس له $t = 16 \text{ MPa}$ څخه ډیر نشي. د CB غری مربع غوڅه لري چی هر اړخ یی 30 ملي متره دی.



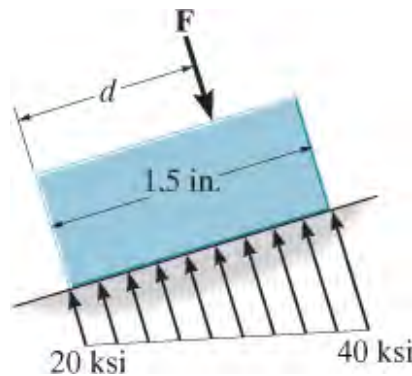
س 1-32

س 1-33. یو میله چی د غوڅی سطحې A ده، یو محوری بار P ورباندی پلی شوي. اوسط نارمل او مماسی سټریسونه په سیوري شوي سطحه مشخص کړئ. دا سطحه د q زاویه د افقی جهت سره جوړوی. د سټریسونو توپیر د q په توپیرونو سره رسم کړی. ($0 \leq q \leq 90^\circ$)



سوال 1-33

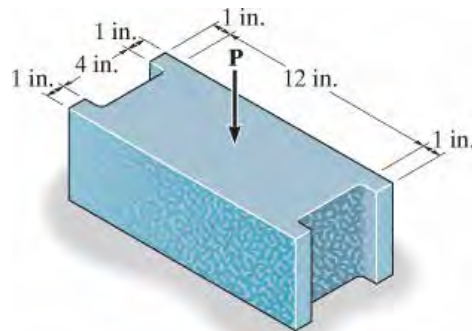
سوال 1-34. د یوه کوچنی بلاک پینډوالی 0.5 انچه دي. که په اتکا کی توپیر لرونکي ویشل شوی سټریس د بار لخوا رامینځته شوي لکه چی په لاندی انځور کی ښودل شوی. د F بار ارزښت و ټاکی او هم د دی بارد پلی کیدو فاصله x پیدا کړي.



سوال 1-34

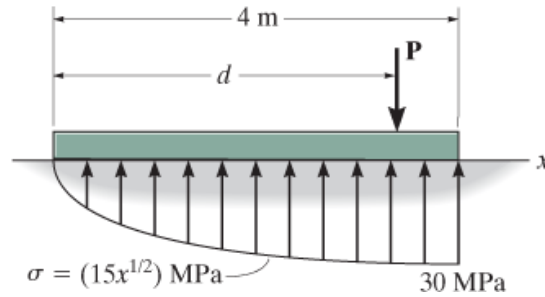
س 1-35. که چیری دیو بلاک مواد هغه وخت ماتیری کله چی د اوسط عادي سټریس 120 psi ته ورسې. بهرنی عمودي لوي بار P وټاکی چی دا بلاک کولی شي ویی زغمی.

س *1-36. که پدی بلاک یو مرکزي بار $P = 6$ kips پلی شوي وی، اوسط نارمل سټریس په موادو کی مشخص کړئ. او هم دا سټریس چی په یوه کوچنی حجم ددی بلاک یی عمل کړی ښکاره کړئ.



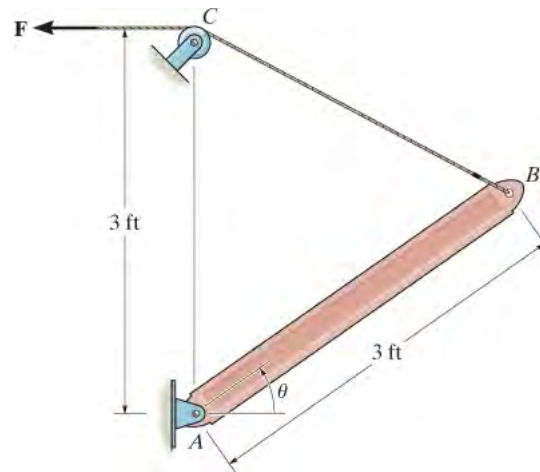
س 1-35/36

س 1-37. په لاندې انځور کې چې بنودل شوی تخته 0.5 متره سور لری. که د ستریس ویش څنگه چې په اتکا کې بنودل شوی دی وی، د بهرنی بار، P ، ارزښت او هم ی د d فاصله معلومه کړي.



س 1-37

س 1-39. په لاندې انځور کې یو بوم (boom) چې یو شان 600 lb ټول وزن لري بنودل شوي او د BC کیبل په مرسته سره اوسنی موقعیت ته پورته شوی. کیبل 0.50 انچه قطر لري. اوسط نارمل ستریس په کیبل کې چې د بوم د زاويې تابع دی رسم کړی. $0^\circ \leq \theta \leq 90^\circ$.

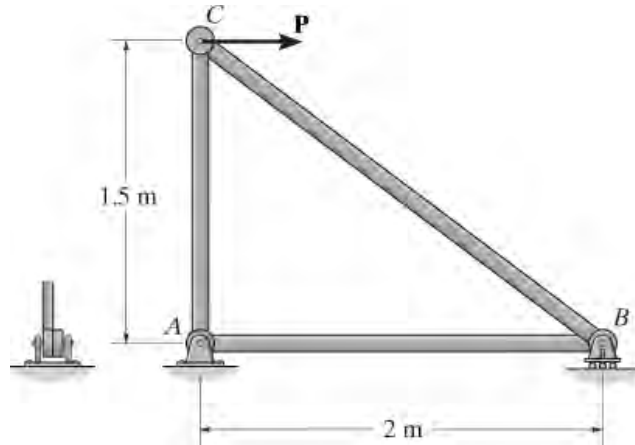


س 1-39

س 1-40*. اوسط نارمل ستریس په هر یو غړي د قیچي (truss) کې پیدا کړی. د هر غړی قطر 20 ملي متر او بهرنی بار $P = 40 \text{ kN}$ دي.

س 1-41. که په هر یوه 20 mm غړي کې اوسط نارمل ستریس له 150 MPa زیادت ونکړي د بهرنی بار P اعظمي حد چې په بندونکي C کې پلي کیدی شي وټاکئ.

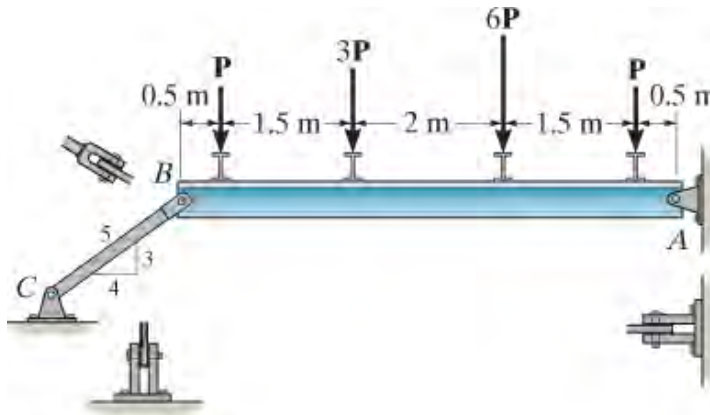
س 1-42. د پین A اعظمي اوسط شیبیر ستریس مشخص کری. یوه افقي بار $P = 40 \text{ kN}$ په بندونکي C کی پلی شوي. هر پین په جا ینت کی 25 mm قطر لري او په پین کی دوه شیر (ډبل شیر) حالت لري.



س 1-40/41/42

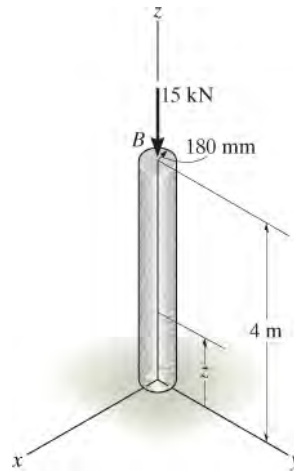
س 1-43. که $P = 5 \text{ kN}$ وي، اوسط مماسی ستریس (شیر) په A, B, C پینو کی په گوته کری. ټول پینونه په دوه اړخیزو شیر حالت کی دی، او هر یو 18 mm قطر لري.

س 1-44*. د بارونو اعظمي اندازه P چی بیم کولای شی تحمل یي کړي معلوم کری. که چیرې په هر پین کی اوسط مماسی ستریس له 80 MPa څخه ډیر نه وي. ټول پینونه په دوه گونی شیر کی دي، او هر یو د 18 mm قطر لري.



س 1-43/44

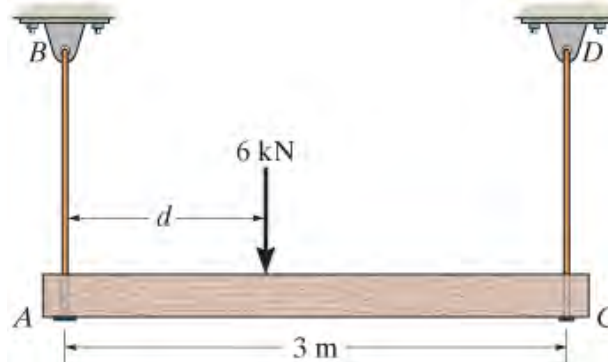
س 1-45 . دا لاندی کالم د کانکریټ څخه جوړ شوی او 2.30 Mg/m^3 کثافت لري. د هغې په پورتنۍ برخه B کې یو محوري بار 15 kN پلي شوي. اوسط نارمل سټریس په کالم کې چې د z فاصلې تابع دی له بنسټ څخه معلوم کړئ .



س 1-45

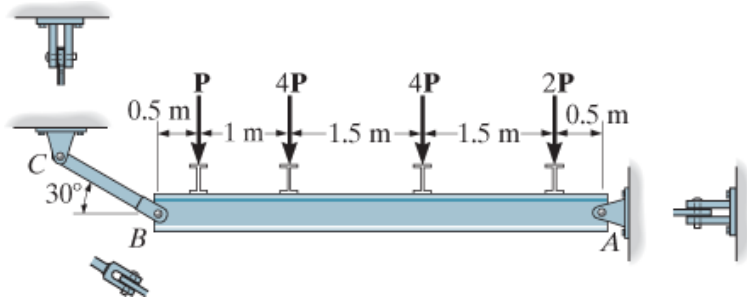
س 1-46 . بيم AC د دوو رادونو AB او CD لخوا چې په ترتيب سره 12 mm^2 او 8 mm^2 مساحت لري ځورنده شوي. . که $d = 1$ متر وي، په هر راد کې اوسط نارمل سټریس وټاکئ.

سوال 1-47 . بيم AC د دوه رادونو AB او CD لخوا چې په ترتيب سره 12 mm^2 او 8 mm^2 مساحت لري ځورند شوي. . د 6 kN بار موقعیت d مشخص کړئ ترڅو په هر راد کې اوسط نارمل سټریس یو شان وی .



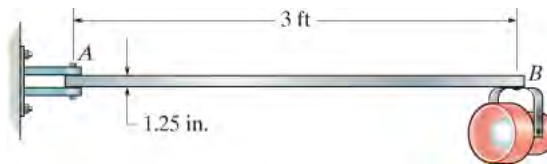
س 1-46/47

س 1-48 . که $P = 15 \text{ kN}$ وي، اوسط مماسی ستريس په A ، B ، او C پینونو کې مشخص کړئ . ټول پینونه په دوه اړخیزو مماسی ستريس حالتونو کې دي، او هر یو 18 ملي میتره قطر لري.



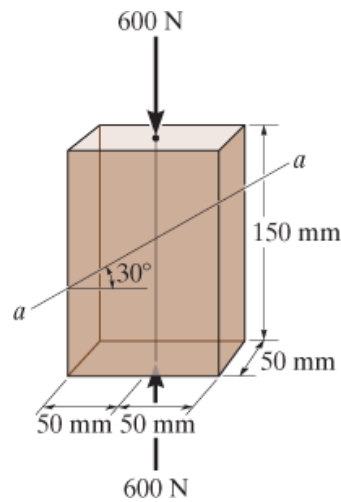
سوال 1-48

س 1-49 . د ریل د دریدو چراغ د یوه پین چی قطري 1/8 انچه دی د A په اتکا کې څرېدلی. که چراغ 4 پونډه وزن ولري، او د اوږدی شوی میلی AB وزن 0.5 lb/ft وی، اوسط مماسی ستريس په پین کې داسی معلوم کړي چی د چراغ ټول واخلی . د حل توصیه: په پین کې د شپیر قوه د مؤمنت له کبله رامینځ ته کيږي او په A کې د توازن له معادلی کار واخلی.



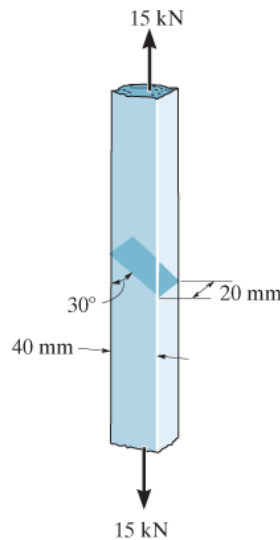
س 1-49

س 1-50 . پلاستيکي بلاک د محوري 600 N کمپرسو بهرنی بار سره مخ دی. داسی انگیرل کيږي چی د بلاک پوښونه په پورتنی او بنسکته برخه کې بار په مساوي ډول په ټول بلاک کې توزیع کړئ ، اوسط نارمل او اوسط مماسی ستريس چی د $a-a$ په سطحه عمل کوی وټاکئ .



س 1-50

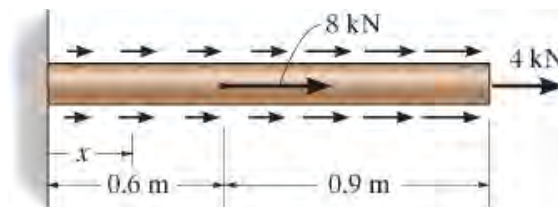
سوال 1-51. دوه فولادی غړی د یو بل سره د یوه 30° ویلډینګ (weld) په واسطه یو ځای شوي. اوسط نارمل او اوسط مماسی سټریس چی د ویلډینګ په سطحه کی عمل کوی وټاکئ .



س 1-51

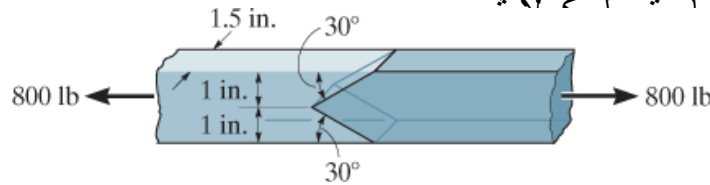
س 1-52*. یو میله $400 (10^{-6})\text{m}^2$ د غوڅی مساحت لري. که دا د یوه مثلثی محوری ویشل شوي بار سره په اوږدوالی مخ شي پدی معنی چی په $x=0$ اندازه یي صفر او په $x=1.5\text{ m}$ اندازه یي 0.9 kN/m وی، او برسیره پر دی دوه تمرکزي بارونه څنکه چی په انځور کی بنودل شوي ورباندی عمل کړی. تاسو معلوم کړي اوسط نارمل سټریس په میله کی چی د x فاصلی تابع وی. $0 \leq x \leq 0.6\text{ m}$.

س 1-53. یو میله $400 (10^{-6})\text{m}^2$ د مقطع مساحت لري. که دا د یوه محوری یو شان ویشل شوي بار چی اندازه یي 9 kN/m سره په اوږدوالی مخ شي، او برسیره پر دی دوه تمرکزي بارونه څنکه چی په انځور کی بنودل شوي ورباندی عمل وکړي، تاسو اوسط نارمل سټریس په میله کی چی د x تابع وی پیدا کړی کله چی $0.6 \leq x \leq 1.5\text{ m}$ وی.



س 1-52/53

س 1-54. دوه غړي د یوې الوتکې فیوزولاج (fuselage) په جوړولو کې کارتری اخستل شوی، او د 30° فیش موت (fish-mouth) ویلد (weld) په زریع نینلول شوی دی. اوسط نارمل ستیریس او اوسط مماسی ستیریس په هر ه سطحه د ویلد معلوم کړي. فرض کړي چې هر ه کبه سطحه یو 400 lb افقی



سوال 1-54

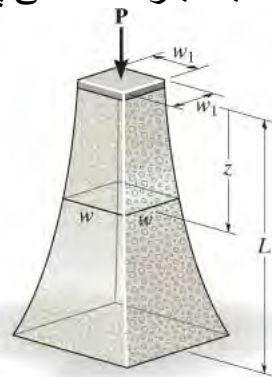
س 1-55. د 2-Mg کانکریت پایپ مرکز ثقل په G نقطه کې دي که چیرې دا د AB او AC د کیلونو څخه وځړول شي، په نوموړیو کیلونو کې اوسط نورمال ستیریس وټاکئ. د AB او AC قطرونه په ترتیب سره 12 mm او 10 mm دي.

س 1-56*. د 2-Mg کانکریت پایپ مرکز ثقل په نقطه G کې دی. که چیرې دا د AB او AC کیلونو څخه وځړول شي، د AB د کیبل قطر داسی و ټاکئ ترڅو اوسط نامل ستیریس به یی د AC د کیبل چې 10 mm قطر لري یو شان وی.



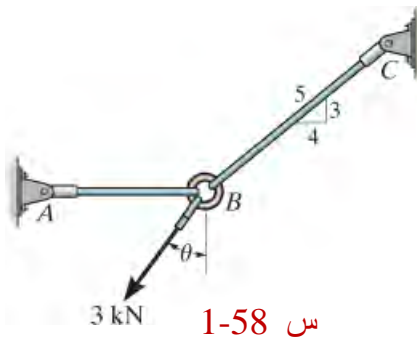
س 1-55/56

س 1-57. دا لاندی پایپ د هغه موادو څخه جوړ شوی چې ځانگړی وزن یې g دی. که چیرې دا پایپ مربع غوڅه برخه ولري، د هغې پلنوالی w تابع د z داسی وټاکئ چې اوسط نارمل ستیریس په پایپ کې ثابت پاتي شي. په پایپ یو ثابت بار P د هغې په سر کې چیرې چې د هغې عرض w_1 دی عمل کوي.



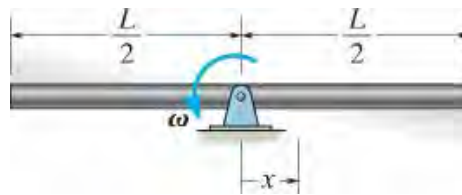
س 1-57

س 1-58. د AB او BC میلی په ترتیب سره 4 ملي متره او 6 ملي متره قطر لري. که چیرې د 3 kN قوه په حلقه باندې به B کې عمل وکړی، د q زاویه داسې مشخص کړئ ترڅو اوسط نارمل سټریس په هر میله کې مساوي وی.



س 1-58

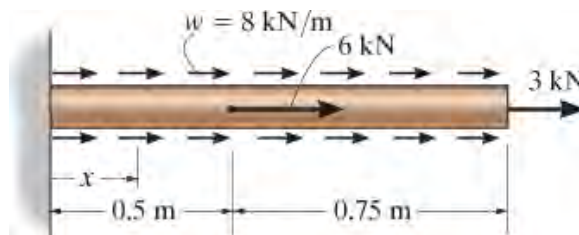
س 1-59. یوشانته میله چې غوڅه یې A او کتله یې m په هر واحد اوږدوالي کې ده چې د ثقل په مرکز کې په یوه پین تړل شوي. که چیر دا میله په یوه افقی سطحه کې په یوه ثابت زاویوی سرعت w و څرخیزې، اوسط نارمل سټریس په میله کې چې د x تابع وی مشخص کړئ.



س 1-59

س 1-60. یوه میله د غوڅی مساحت یې $400 (10^{-6}) \text{ m}^2$ دی. که چیرې یو شانته محوري توزیع شوي بار او هم د هغې په اوږدوالي دوه متمرکز بارونو عمل وکړی، په میله کې اوسط نارمل سټریس چې د x تابع وی معلوم کړی. $0 < x \leq 1.25 \text{ m}$.

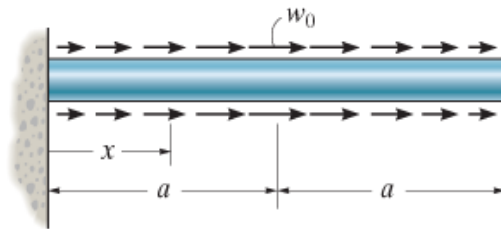
س 1-61. یوه میله چې د غوڅی مساحت یې $400 (10^{-6}) \text{ m}^2$ دی په نظر کې ونیسی. که چیرې یو شانته محوري توزیع شوي بار او هم د هغې په اوږدوالي دوه متمرکز بارونو عمل وکړی، په میله کې اوسط نارمل سټریس چې د x تابع وی معلوم کړی. $0.5 \text{ m} < x \leq 1.25 \text{ m}$.



س 1-60/61

س 1-62. یو پریز ماتیک میله چی A غوڅه لري. یو توزیع شوي محوري بار تابع د فاصلی x په خطي ډول زیادت مومي پلی کیري $w=0$ کله چی $x=0$ او په $x=a$ کی اندازه یي بیا $w=w_0$ او وروسته په خطی ډول کمیږي چی د $x=2a$ فاصله کی $w=0$ ده. اوسط نارمل ستریس په میله کی تابع د x کله چی x پدی حد کی وي: $0 \leq x < a$. پیدا کری.

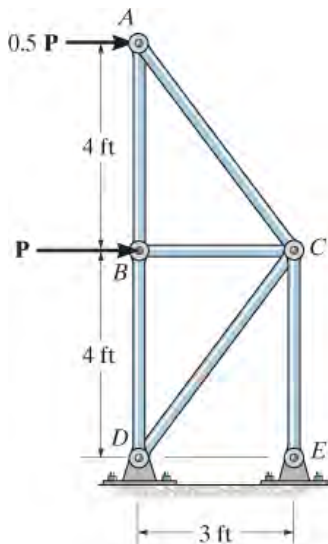
س 1-63. یو پریز ماتیک میله چی A غوڅه لري. یو توزیع شوي محوري بار تابع د فاصلی x په خطي ډول زیادت مومي پلی کیري $w=0$ کله چی $x=0$ او په $x=a$ کی اندازه یي بیا $w=w_0$ او وروسته په خطی ډول کمیږي په فاصله $x=2a$ کی $w=0$ ده. اوسط نارمل ستریس په میله کی تابع د x کله چی x پدی حد کی وي $a \leq x < 2a$ پیدا کری.



س 1-62/63

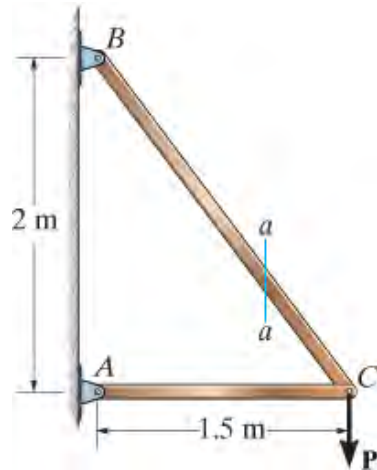
س 1-64*. د بنودل شوی قیچی د هر غړی د غوڅی مساحت 1.25 in^2 دي. اوسط نارمل ستریس په غړیو AB, BD او CE د بهرنی بار $P = 6 \text{ kips}$ له امله معلوم کری. او هم دا په گوته کری چی ستریس په هر غړی کی کشش یا تیلوهونکی دی.

س 1-65. د بنودل شوی قیچی د هر غړی د غوڅی مساحت 1.25 in^2 دي. که چیري د اوسط نارمل ستریس اعظمی حد له 20 ksi نه لوړ نه شي، اعظمی اندازه د P چی په قیچی پلی کیدی شي وټاکئ.



س 1-64/65

س 1-66. ترتولو لوی بار د P داسی مشخص کری چې په دی چوکات پلي کیدی شي، پرته له دي چې د اوسط نارمل او مماسی ستريس د $a-a$ په سطحه کی له $t = 60$ MPa نه زیات نشي. غری CB مربع غوڅه لری او هر اړخ يي 25 mm ورد والی لري.



س 1-66

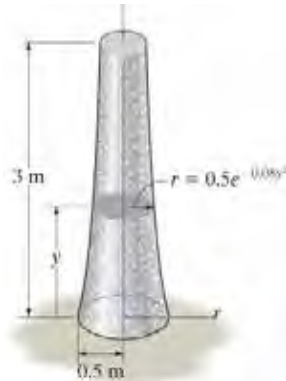
سوال 1-67. ترتولو لوی ثابت دوراني سرعت w د بنودل شوی څرخ داسی معلوم کری تر خو د هغی په بهرنی څنډه کی اوسط نارمال ستريس له $s = 15$ MPa څخه پیر نه شي. فرض کری چې بهرنی څنډه یو حلقه ده چی 3 ملي میتره پینډوالی، 20 ملي میتره سور، او کتله يي 30 kg/m ده. تاویدل په افقی سطحه کی واقع کیري. هغه میلی چی د څرخ مرکز د هغی د بهرنی څنډی سره نښلوي تاثیر يي مه حسابوي.

کومکي یادونه: د نیمه دایروي برخی آزاد دایگرام د حلقی په پام کی ونیسئ. د دی برخی د کتلی د ثقل مرکز له مرکز په $r^* = 2r/\pi$ کی موقعیت لري.



سوال 1-67

س 1-68* . په لاندی انځور کی بنودل شوي پایي شعاع (r) تعریف شوي $r = (0.5e^{-0.08y^2})$ m ، چیرته چي د y واحد په مترو دی. که د موادو کثافت 2.5 Mg/m^3 وی اوسط نارمل سټریس په اتکا کی معلوم کړي.



س 1-68

1.6 د منلو وړ د سټریس ډیزاین (ALLOWABLE STRESS) (DESIGN)



کرینونه اکثرا د جوربنتونو په ودانولو کی کارول کيږي او بیبرنگ تختی دوی ته ثبات ورکوي. پاملرنه باید وشي چي ملاتړکونکی سطحه دلته د هغه لوی سټریس چي د سطحی او تختی ترمینځ رامینځته کيږي مات نشي.

- د دی لپاره چي د ساختماني یا میخانیکي غړیو له خونديتوب ډاډمن وو، اړینه ده چي پلي شوي بارونه له هغه حده چي غړی یی وړی شی کم وي. د دې کار لپاره ډیری دلیلونه شته.
- ممکن د جوربنت یا ماشین تعین شوي اندازی دقیقې نه وي . ممکن د غړیو په جوړولو او یا یوځایکیدوکی دا بدلون راغلی وی.
- نامعلوم اهتزازات، د وهلو اغیزې، یا داسی بارونه چي په ډیزاین کی حساب شوی نه وی کیدای شي واقع شي.
- د جوربنت مواد په هواکی د زنگ، او تدریجی تخریب د ساختمان د خرابیدو امکانات راوړی.
- ځینی مواد لکه لرگی، کانکریت یا تقویه شوی فایبر کی خاصیتونه ډیر بدلون لری.

یوه لار چی د غړی د منلو وړ بار وټاکلشی د خونديتوب د فکتور (factor of safety = F.S.) لاره ده. دا فکتور د ماتیدو بار او د موادو د منلو د بار له نسبت نه پیدا کیږی.

$$F.S. = \frac{F_{fail}}{F_{allow}} \quad (1-8)$$

دلته F_{fail} د موادو د تجربوي ازمویني څخه موندل کیږي.

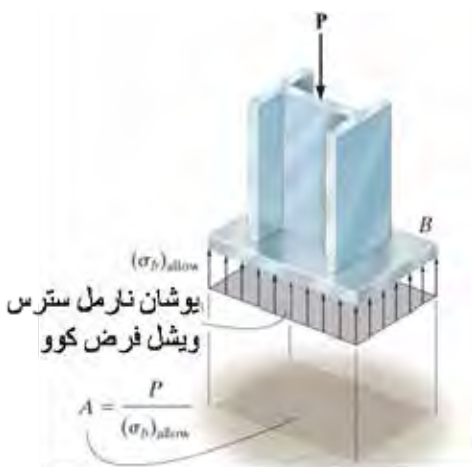
که چیرې په غړي باندې پلي شوي بار په خطي ډول د غړي د داخلي سټریس سره تړاو ولري، لکه څنگه چی $S = N/A$ او $t_{avg} = V/A$ بنودل شوی، بیا مور کولی شو د خونديتوب فکتور د بهرنی بار ماتونکی سټریس (S_{fail} یا t_{fail}) د موادو منلو وړ سټریس (S_{allow} یا t_{allow}) په تناسب پیدا کړو.

دلته د A ساحه به دواړو کی یو شان ده او په تناسب کی له منځه ځی (حذف کیږی)

$$F.S. = \frac{\sigma_{fail}}{\sigma_{allow}} \quad (1-9)$$

$$F.S. = \frac{\tau_{fail}}{\tau_{allow}} \quad (1-10)$$

یا



د کالم ټیټه تختی B ساحه د کاتکرپټ له منل شوی بیرینگ سټرس څخه ټاکل کیږي

د خونديتوب فکتور (F.S.) ځانگړي ارزښتونه لری چی د موادو په ډولونو، او د جوړښت یا ماشین په مطلب او هدف پورې اړه لري. د دی فکتور په تعینولو کی هغه مخکنی ذکر شوي ناڅرگندتیاوی او نیمگړتیاوی د محاسبې پر مهال په نظر کی نیول کیږی. د مثال په توگه، د خونديتوب فکتور د الوتکې یا فضايي وسایطو په ډیزاین کې د وزن کمولو لپاره ممکن د 1 (یو) سره نږدې وي. همدارنگه د اتومي بریښنا فابریکو د ډیزاین په صورت کې، د ځینو برخو لپاره د خونديتوب فکتور ممکن وي د بارولو یا موادو خاصیتونو ناڅرگندتیا له امله تر 3 پورې لوړ وی.

په عامه توگه د خونديتوب فکتور او د منلو وړ سټریس له ډیزاین کوډونو او انجینری لاسي کتابونو نه موندل کیږی شي. د جوړښت

هغه ډیزاین چی د منلو وړ سټریس پر بنسټ ډیزاین شي د منلو وړ سټریس ډیزاین (ASD) بلل

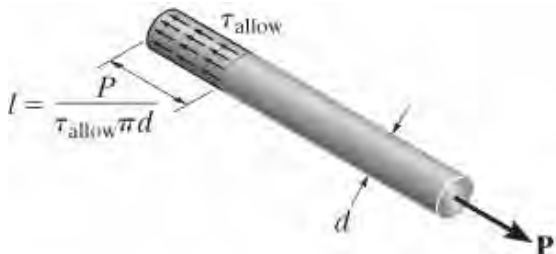
کیري . د دې طریقې نه گټه اخستل به د خلکو او چا پیریال ساتنه او اقتصادي ملحوظات په توازن کی وساتی.

ساده تړونکي (Simple Connections). د تحلیل او دیزاین ساده کولو لپاره د موادو د خاصیت په نظر نیولو سره لدی معادلو $s = N/A$ او $t_{avg} = V/A$ گټه اخستل کیدی شی. د مثال په توگه، که په یوه برخه د غړی نارمل بار عمل کړي وي، د هغې د اړتیا ساحه له دی معادلي ټاکل کیري



$$A = \frac{N}{\sigma_{allow}} \quad (1-11)$$

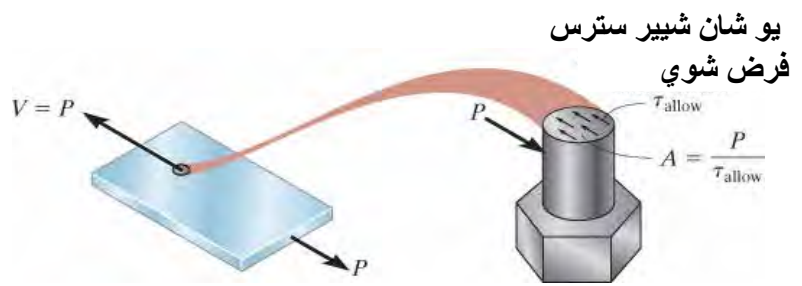
یا دا چی که په یوه برخه اوسط شیر بار پلی شوي، د برخی ساحه پدی لاندی معادله پیدا کیدی شی



$$A = \frac{V}{\tau_{allow}} \quad (1-12)$$

د دې میلی هغه اوږدوالی (l) چی په کانکریت کی داخل شوی د منلو وړ شیر په کارولو سره ټاکل کیدی شی .

دري مثالونه چیري چی پورته معادلي پلی کیري په انځور 1-24 کی بنودل شوي. لومړی شمیره نارمل ستریس چی په لاندی برخه د تختي عمل کوی بنیي. دا فشاري ستریس چی له یوي سطحی له امله پر مقابل سطحه رامینځته اووړل کیری په نامه **دوړلو فشار** (bearing stress) بلل کیري.



د دې لیپ جوینت (lap joint) بولټ ساحه له شیر سترس چی ددوړو تختو ترمنځ شتون لری ټاکل کیري

انځور 1-24

1.7 د محدود حالت ډیزاین (LIMIT STATE DESIGN)

مور په تیره برخه کې وویل چې په سمه توګه ډیزاین شوی غړی باید هغه ناڅرګندتیاوې او نیمګړتیاوې په نظر کې ونیسي چې د موادو خاصیتونو او پلي شوي بارو د بدلون له امله رامینځته کیږي. هر یو د دې بې باورۍ کیدو شي د احصایوې او احتمالي تیوري په کارولو سره وڅیړل شي. د جوړښتونو انجینر تمایل لري چې د بار ناڅرګندتیاوې د موادو ناڅرګندتیا څخه جلا کړي او دا تمایل مخ په زیاتیدو دي. * د ډیزاین دې طریقې ته د **محدود حالت ډیزاین** ویل کیږي (LSD)، یا په ځانګړې توګه، په متحده ایالاتو کې دا د **د بار او مقاومت فکتور (LRFD)** په نوم یادېږي. مور به اوس بحث وکړو چې دا طریقه څنګه پلي کیږي.

د بار ضریبونه یا فکتورونه (Load Factors). مختلف ډولونو بارونه R کولی شي په

جوړښت یا د جوړښت په غړي باندې عمل وکړي، او هر یو د **د بار فکتور g** (ګاما) سره ضرب کیدی شي چې د بارونو بدلون یا نیمګړتیاوو لپاره حساب شي. په بارونو کې **مړ بار (dead load)** شامل دی، کوم چې د جوړښت ثابت وزن دی، او **ژوندي بارونه (live load)** لکه خلک یا موټر چې حرکت کوي پکې شامل دي. د ژوندي بارونو نور ډولونه دي باد، زلزه او د واورې بارونه. د مړو بار D په واسطه د نسبتاً کوچنی فاکتور لکه $g_D = 1.2$ ضرب کیږي، ځکه چې دا نسبتاً په ډیر ډاډ سره ټاکل کیدی شي. د مثال په توګه د ژوندي بار L د خلکو لخوا بار یا ټول شیان چې په حرکت وي رامینځته شوی، کوم چې فکتور یې $g_L = 1.6$ دي.

د ودانیو کوډونه ډیری وخت دی ته اړتیا لري چې د مختلفو بارونو ترکیب یا ګډوالي لپاره ډیزاین شي، او په ترکیب کې به یې هر ډول بار یو ځانګړی بار فکتور ولري. د مثال په توګه، د یو ډول بار ترکیب کې که مړو (D)، ژوندي (L)، او د واورې بار (S) شامل وي نو ټول بار R په لاندې معادله کې بنودل شوی.

$$R = 1.2D + 1.6L + 0.5S$$

دا فکتورونه د بارونو د ترکیب لپاره /احتمال د شتون په بار R کې منعکس کوي چې د ټولو بیان شویو پېښو لپاره پېښیږي. په دې معادله کې، د بار فکتور ته پام وکړئ $g_S = 0.5$ چې تر ټولو کوچنی دی، پدې معنی ده چې لږ احتمال لري چې اعظمي واوره به له دا ډیر مړ او ژونديو بارونو سره په ورته وخت کې پېښه شي.

د مقاومت ضریبونه یا فکتورونه (Resistance Factors). د مقاومت فکتورونه یا ضریبونه

f (فی phi) د موادو د شکست د احتمال څخه ټاکل کیږي. او د شکست احتمال د موادو له کیفیت او د هغې د استحکام دوام سره تړاو لري. دا فکتورونه په همدې دلیل د مختلفو موادو لپاره توپیر

لري. د مثال په توګه، کانکريټ د فولادو په پرتله کوچني ضريب لري، ځکه چې انجنيران د فولادو د چلند په اړه تر کانکريټو ډير باور لري. د مقاومت يو عادي ضريب $f = 0.9$ د فولادو غږي لپاره چې د کشش په حالت کې کارول کيږي.

* ASD دا ناڅرګندتيا د خونديتوب فکتور يا د منلو وړ فشار سره يوځای کوي

د ډيزاين معيارونه (Design Criteria). يوځل چې د بار او مقاومت ضريبونه g او f د کوډ په کارولو سره مشخص شي، بيا د جوړښت غږي مناسب ډيزاين اړتيا لري چې د دې وړاندوينه شوي توانايي، fP_n ، د وړاندوينې بار څخه چې ورباندې پلي به شي ډير وي. په دې توګه، د LRFD معيار په توګه ويل کيدی شي

$$\phi P_n \geq \sum \gamma_i R_i \quad (1-13)$$

دلته P_n د غږي نومول شوی توانايي يا مقاومت ده، پدې معنی، کله بار په غږي باندې پلي شي، د دې لامل کيږي چې غږي شکست وکړي (زورور بار ultimate load)، يا تغير د شکل يوداسی حالت ته ورکړي چې غږي نور د خدمت وړ نه وي. په لنډيز کې، د مقاومت يا توانايي فکتور f د غږي نومي مقاومت کموي او اړتيا لري چې دا د پلي شوي ترکيب شوی بار چې د فکتورونو g په کارولو سره محاسبه شوي ورسره مساوي يا لوی وي.

مهم ټکي

IMPORTANT POINTS

- د غږي ډيزاين د مقاومت درلودلو لپاره د منلو وړ سټريس يا د خونديتوب فکتور استعمالیږی چې د (ASD) په نامه ياديږي، يا د بار او د موادو د مقاومت فکتورونو سره چې د موادو د مقاومت اوبار په تعديل سره چې د (LRFD) په ناميږي، دی.

د تحلیل کرنلاره

PROCEDURE FOR ANALYSIS



د خوندیتوب مناسب فکتورونه د کرنونو او کیلونو چی د درنو بارونو لیردولو لپاره کارول کیږي د ډیزاین کولو پرمهال باید په پام کی ونیول شي

کله چې غواری د اوسط نارمل او اوسط شیبیرستریس معادلو په کارولو سره ستونزې حل کړی، لومړی هغه برخه چې مهم ستریس ورباندی عمل کوي باید په احتیاط سره وموندل شي. یوځل چی دا برخه وټاکل شي، غړی بیا ډیزاین کړي ترڅو کافي ساحه د غوڅی په هغه برخه کی چی دا مهم ستریس ور باندی عمل کوي ولري. دا ساحه د لاندی گامونو په کارولو سره ټاکل کیږي.

داخلي بارونه (Internal Loading)

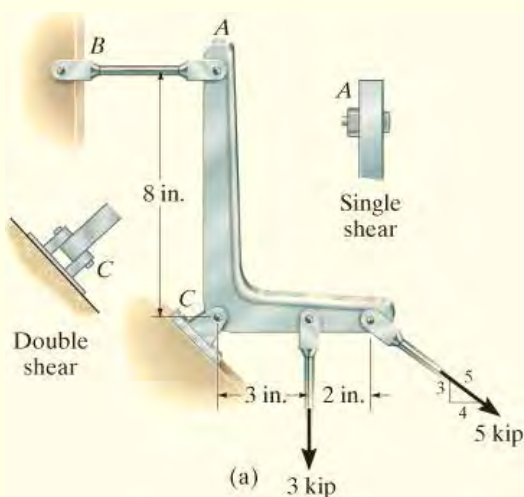
- غړي د مساحت له لاري غوڅ کړی او د غړي برخي آزاد دایگرام رسم کړی. بیا د توازن معادلو په ذریعه د برخی داخلي پایله قوه وټاکي.

د اړتیا وړ مساحت (Required Area)

- د منلو وړ ستریس، یا بار او د مقاومت فکتورونه باید وپیژندل شي یا و ټاکل شي، بیا اړین مساحت چې د محاسبی شوي بار یا فکتور شوي بار د وړلو لپاره اړتیا لري د تعادل له معادلو $A = N/s$ یا $A = V/t$ څخه ټاکل کیږي .

مثالونه

مثال 1.12



یو د کنترول بازو چی په دی لاندی انځور 1-25a کی بنودل شوی دوه بهرنی بارونه ورباندی پلی شوي. که چیری د شیر سترس د خونديتوب فکتور $F.S. = 1.5$ او ماتیدونکی حد پی $t_{fail} = 12 \text{ ksi}$ وی، تاسو د فولادو د پینونو اړین قطر په A او C کی پیدا کړی. د قطر اندازه تر $1/4$ د انچ ته نیردی وټاکي.

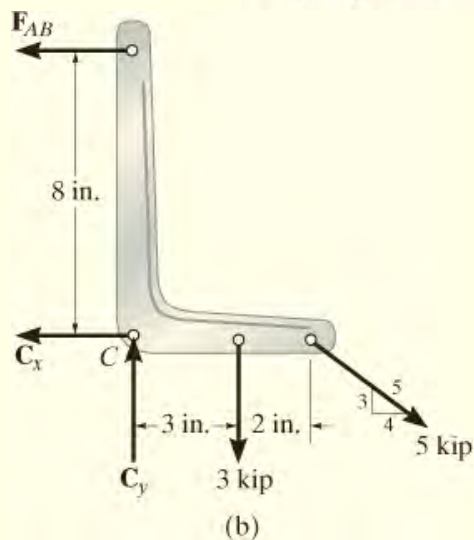
حل (SOLUTION)

پین قواوي (Pin Forces). د کنترول د بازو آزاد دایگرام

جوړه وو، انځور 1-25b، د توازن لپاره داسی لیکلی شو:

$$\begin{aligned} \zeta + \sum M_C &= 0; \\ F_{AB}(8 \text{ in.}) - 3 \text{ kip}(3 \text{ in.}) - 5 \text{ kip} \left(\frac{3}{5}\right)(5 \text{ in.}) &= 0 \\ F_{AB} &= 3 \text{ kip} \end{aligned}$$

$$\begin{aligned} \pm \sum F_x &= 0; & -3 \text{ kip} - C_x + 5 \text{ kip} \left(\frac{4}{5}\right) &= 0 & C_x &= 1 \text{ kip} \\ + \uparrow \sum F_y &= 0; & C_y - 3 \text{ kip} - 5 \text{ kip} \left(\frac{3}{5}\right) &= 0 & C_y &= 6 \text{ kip} \end{aligned}$$



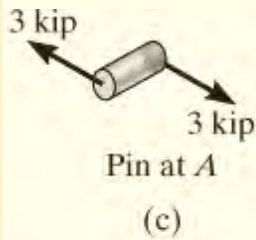
د C په پین کی د مقاومت محصله قوه په لاندی ډول ده:

$$F_C = \sqrt{(1 \text{ kip})^2 + (6 \text{ kip})^2} = 6.083 \text{ kip}$$

د منلو وړ شپير سټريس (Allowable Shear Stress)

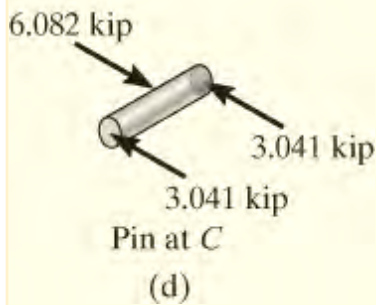
مور لرو

$$F.S. = \frac{\tau_{fail}}{\tau_{allow}}; \quad 1.5 = \frac{12 \text{ ksi}}{\tau_{allow}}; \quad \tau_{allow} = 8 \text{ ksi}$$



پين A. دا پين يو شپير لري چې په انځور 1-25c بڼودل شوی:

$$A = \frac{V}{\tau_{allow}}; \quad \pi \left(\frac{d_A}{2} \right)^2 = \frac{3 \text{ kip}}{8 \text{ kip/in}^2}; \quad d_A = 0.691 \text{ in.}$$



د پين تقريبي قطر به په لاندې ډول وي:

$$d_A = \frac{3}{4} \text{ in.}$$

Ans.

انځور 1-25

پين C. څرنگه چې پر دې پين شپير دوه گوني (double shear) ډول دی او د شپير يوه قوه د 3.041 kip په غوڅه، چې د بازو او ملا تړی پانيو تر منځ ځای لري عمل کوي، لکه چې په 1-25d انځور کې بڼودل شوي. مونرليکلی شو:

$$A = \frac{V}{\tau_{allow}}; \quad \pi \left(\frac{d_C}{2} \right)^2 = \frac{3.041 \text{ kip}}{8 \text{ kip/in}^2}; \quad d_C = 0.696 \text{ in.}$$

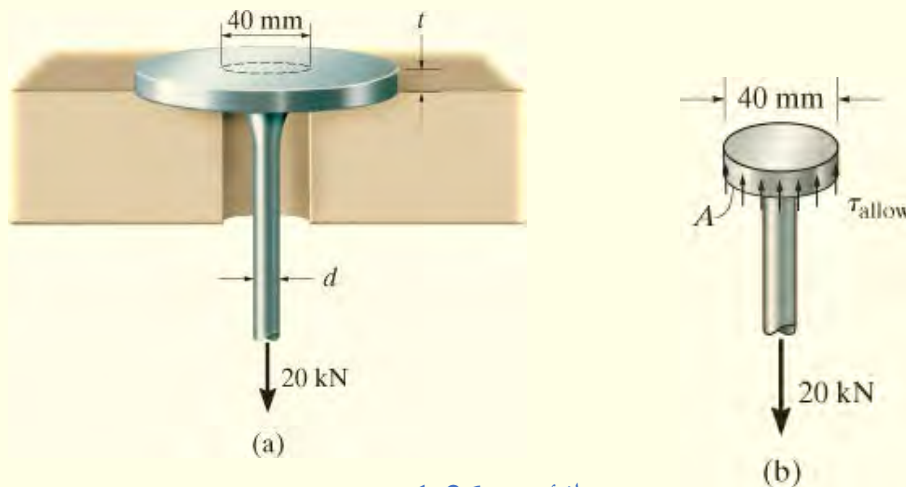
د پين تقريبي قطر عبارت دی

$$d_C = \frac{3}{4} \text{ in.}$$

Ans.

مثال 1.13

يو څرېدلی راد په سر کې په يو ثابت دایروي ډیسک (disk) لکه څنګه چې په انځور 1-26a کې ښودل شوي وصل شوی. که چیرې راد د 40 ملی میتر قطر سوري څخه تیرېږي، د راد لږ تر لږه اړین قطر او لږ تر لږه ضخامت د ډیسک داسې وټاکئ تر څو د 20 kN بار یو وری شی. د راد لپاره د منلو وړ نارمل سټریس $s_{\text{allow}} = 60 \text{ MPa}$ ، او د منلو وړ شیبیر سټریس د ډیسک لپار $t_{\text{allow}} = 35 \text{ MPa}$ دی.



انځور 1-26

حل (SOLUTION)

د راد قطر (Diameter of Rod). د معاینې له مخې په راد کې محوری قوه 20kN ده. په دې توګه د راد اړین غوڅه مساحت په لاندې توګه پیدا کېږي:

$$A = \frac{N}{\sigma_{\text{allow}}}; \quad \frac{\pi}{4} d^2 = \frac{20(10^3) \text{ N}}{60(10^6) \text{ N/m}^2}$$

پدې حساب د راد قطر عبارت دی:

$$d = 0.0206 \text{ m} = 20.6 \text{ mm}$$

Ans.

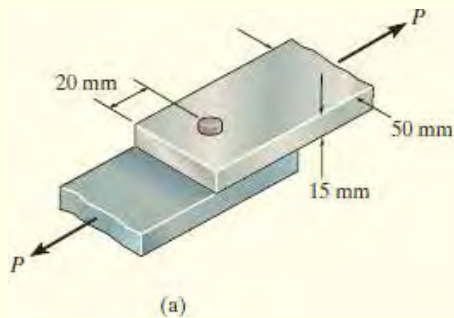
د ډیسک ضخامت (Thickness of Disk). لکه څنګه چې په انځور 1-26b کې د جسم آزاد ډایاګرام بنودل شوي، د ډیسک مواد په قطع شوي مساحت کې باید د شیبیر سټریس سره مقاومت وکړي تر څو د سوروي له لارې د ډیسک د حرکت مخه ونیول شي. که دا شیبیر سټریس داسې انگیرل کیږي چې په مساوي ډول په ساحه کې ویشل شوي، $V = 20 \text{ kN}$ او دا لاندی معادله کې مور لرو :

$$A = \frac{V}{\tau_{\text{allow}}}; \quad 2\pi(0.02 \text{ m})(t) = \frac{20(10^3) \text{ N}}{35(10^6) \text{ N/m}^2}$$

$$t = 4.55(10^{-3}) \text{ m} = 4.55 \text{ mm}$$

Ans.

مثال 1.14



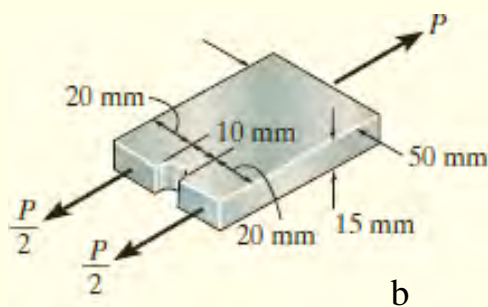
انځور 1-27

په انځور 1-27 کې یوه تخته پر بله تخته د یوه بولټ په واسطه یو ځای شوی. تر ټولو هغه لوی بار P مشخص کړئ کوم چې پلي کېدی شي. د بولټ قطر 10 ملي میټره او د منلو وړ شیبیر سټریس 80 MPa دي. د هری تخته د منلو وړ کششی سټریس یی 50 MPa ، بیرینګ سټریس یی 80 MPa ، او شیبیر سټریس یی 30 MPa دی.

حل (SOLUTION)

د دی سوال د حل لپاره به مور د هری احتمالي ماتیدو لپاره P وټاکو. بیا به مور ، د P تر ټولو کوچنی ارزښت غوره کړو. که چیرې د بار اندازه له هغه کوچنی قیمت زیاته شي دا یو ځایوالی به له منځه ولاړ شي.

د پلټ ناکامي یا ماتیدل په کشش حالت کې (Failure of Plate in Tension).



د پلټ ماتیدل په کشش سره

که تخته په کشش حالت کې ماتېږي نو دا قوه په لاندی ډول په لاس راځی:

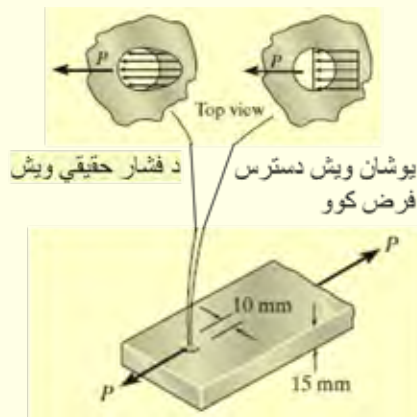
انځور 1-27b وګوري .

$$(\sigma_{\text{allow}})_t = \frac{N}{A}; \quad 50(10^6) \text{ N/m}^2 = \frac{P}{2(0.02 \text{ m})(0.015 \text{ m})}$$

$$P = 30 \text{ kN}$$

د بیرنگ له امله د تختی ماتیدل (Failure of Plate by Bearing) :

د پورتنی تختی آزاد دیاگرام ، په 1-27c انځورکی ښيي چې بولټ یو پیچلي ویشلشوی ستریس په هغه برخه کی چی بولټ د پلیټ د منحنی مرکزي ساحې په اوږدو کی په تماس کی دی جوړه وی.* د تحلیل ساده کولو لپاره د وړو برخو د یو ځای کیدو چې پڼونه یا بولټونه لري ، د ډیزاین کوډونه د بیرینگ ستریس محاسبه کولو اجازه ورکوي چې د بولټ اټکل شوي ساحه وکارول شي له همدې امله:



$$(\sigma_{\text{allow}})_b = \frac{N}{A}; \quad 80(10^6) \text{ N/m}^2 = \frac{P}{(0.01 \text{ m})(0.015 \text{ m})}$$

$$P = 12 \text{ kN}$$

*د بولټ یا پن د موادو قوت عموماً د پلیټ له موادو څخه ډیر وي، نو د غړي بیرینگ ماتیدل د لوی اندیښني وړ دي

c

انځور 1-27

د تختی ماتیدل د شیبیر پواسطه (Failure of Plate by Shear) :

امکان ددی شته چی بولټ، په اوږدوالي د برخی څنګه چی په آزاد دیاگرام کی ښودل شوي، تخته څیری کړی. د هغه برخی آزاد دیاگرام په انځور 1-27 d کی ښودل شوي. دلته $V = P/2$ ده او داسې لیکلی شو:

$$(\tau_{\text{allow}})_p = \frac{V}{A}; \quad 30(10^6) \text{ N/m}^2 = \frac{P/2}{(0.02 \text{ m})(0.015 \text{ m})}$$

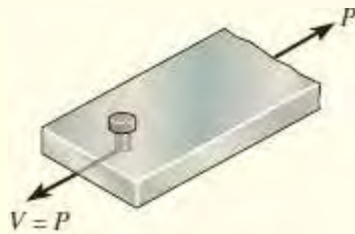
$$P = 18 \text{ kN}$$

د بولټ ماتیدل د شیبیر پواسطه (Failure of Bolt by Shear):

بولټ کیدی شي چی د سطحی په اوږدو ترمنځ د دو تختو کې مات شي. دا آزاد ډایگرام په انځور 1-27e کې دې ته اشاره کوي $V = P$ ، نو داسې

$$(\tau_{\text{allow}})_b = \frac{V}{A}; \quad 80(10^6) \text{ N/m}^2 = \frac{P}{\pi(0.005 \text{ m})^2}$$

$$P = 6.28 \text{ kN}$$



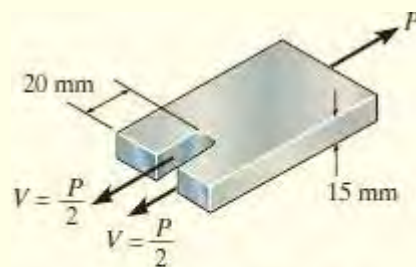
Failure of bolt by shear

(e)

د پورته پایلو پرتله کول، ترتولو لوی د منلو وړ بار د بولټ شیبیر پورې اړه لري. له همدې امله د سوال ځواب پدی ډول دی:

$$P = 6.28 \text{ kN}$$

Ans.



Failure of plate by shear

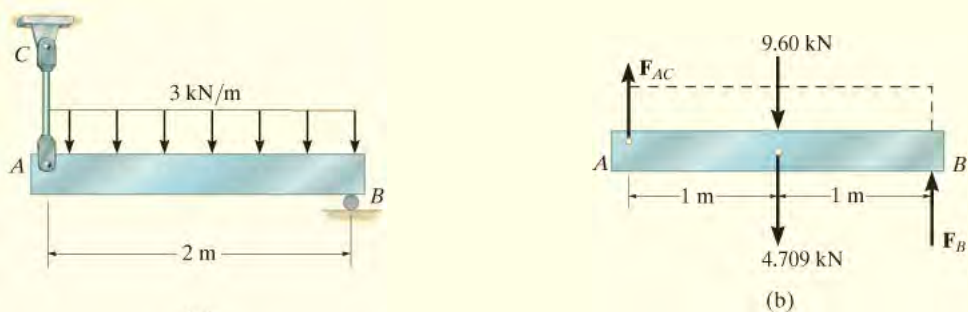
(d)

د بولټ ماتیدل د شیبیر په واسطه

د انځور 1-27 تکرار

مثال 1.15

یوه 400 kg یوشان میله AB چی په 1-28a انځور کې بنودل شوی د دیوه فولادی راد AC لخوا ځورند او په B کې یو رولر اتکا لري. که چیرې یو ژوندی ویشل شوی بار 3 kN/m ورباندې پلې شي، د راد اړین قطر وټاکئ. د راد د فولادو لپاره د ماتیدو سټریس $s_{fail} = 345 \text{ MPa}$ دی. د LRFD طریقې نه کارواخلئ، چیرته چې د مقاومت فکتور د کشش لپاره $f = 0.9$ دی او د ساکن او ژونديو بارونو لپاره فکتورونه په ترتیب سره مساوی دی په $g_u = 1.6$ او $g_D = 1.2$.



انځور 1-28

حل (SOLUTION)

فکتور شوی بارونه (Factored Loads).

دلته د ډنډی د مر بار وزن D دی $D = 400(9.81), N = 3,924 \text{ kN}$

فکتور شوی بار عبارت دی په $1.2 D = 4,709 \text{ kN}$

د ژوندی بار محصله مساوی ده په $L = (3 \text{ kN/m})(2\text{m}) = 6\text{kN}$

د ډنډی ازاد دایگرام په انځور کې بنودل شوي او فکتور شوی بارونه په راد کې په دی لاندی ډول پیدا کیدی شي:

$$\zeta + \sum M_B = 0; \quad 9.60 \text{ kN}(1\text{m}) + 4.709 \text{ kN}(1\text{m}) - F_{AC}(2\text{m}) = 0$$

$$F_{AC} = 7.154 \text{ kN}$$

مساحت (Area).

د راډ نومي (nominal) قوت له $P_n = s_{fail} A$ څخه ټاکل کېږي، او څنگه چې نومول شوي د مقاومت فکتور $f = 0.9$ لخوا تعریف شوی، مور اړتیا لرو

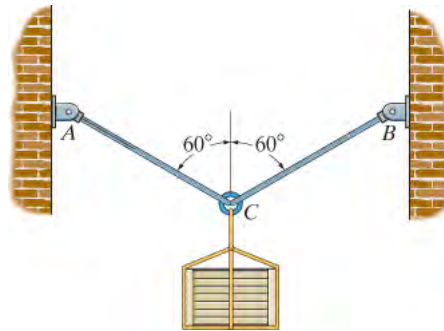
$$\phi P_n \geq F_{AC}; \quad 0.9[345(10^6) \text{ N/m}^2] A_{AC} = 7.154(10^3) \text{ N}$$

$$A_{AC} = 23.04(10^{-6}) \text{ m}^2 = 23.04 \text{ mm}^2 = \frac{\pi}{4} d_{AC}^2$$

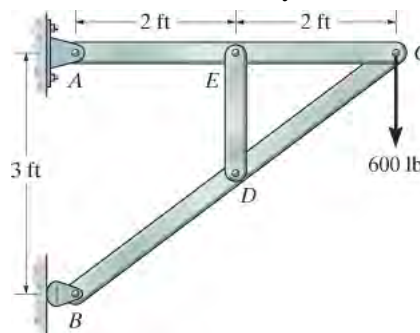
$$d_{AC} = 5.42 \text{ mm}$$

*Ans.***بنسټيز پوښتنې****(FUNDAMENTAL PROBLEMS)**

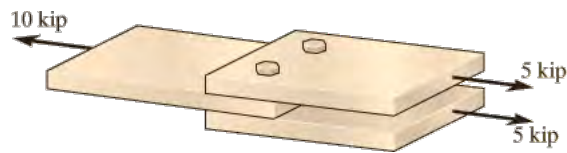
ب 1-13 راډونه AC او BC د 200 کیلو گرامه کتلې د څړه ولو لپاره جوړ شوي. که هر راډ له داسې موادو څخه جوړه شوي وي چې اوسط نارمل سټریس یې له 150 MPa څخه پیر نه شي، د هر راډ لږ تر لږه اړین قطر تر نږدې ملي میټر پورې مشخص کړئ.

**ب 1-13**

ب 1-14 په اتکا A کې پین 0.25 انچ قطر لري. که چیری دا دوه گونی شیبیر سټریس هلته موجود وی، په پین کې اوسط شیبیر مشخص کړئ.

**ب 1-14**

ب 1-15 اعظمي اوسط شپير سټريس په هر بولټ کې چې $\frac{3}{4}$ mm قطر لري مشخص کړئ



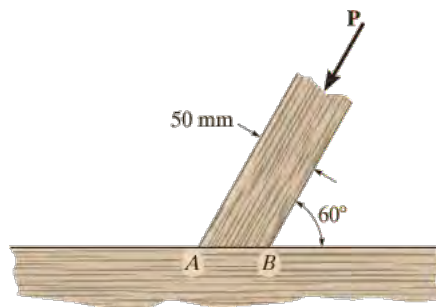
ب 1-15

ب 1-16 په دې لاندې تخته کې قطر د هر يوه د دريو ميخونو 4 ملي ميټره دي ، او کولی شي چې د 60 MPa اوسط شپير سټريس مقاومت ولري. د P اعظمي قوه چې د تختې پر پای پلي کيدی شي معلومه کړئ



ب 1-16

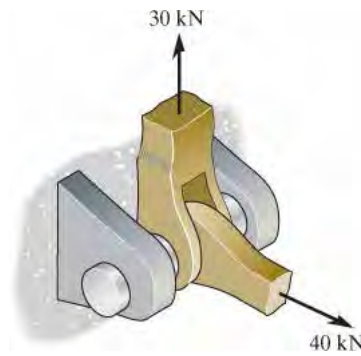
ب 1-17 سټرټ (strut) په يوه افقی غړي د AB په سطحه کې سرپين شوی. که د سټرټ پنډوالی 25 ملي متره او که سرپين په اوسط ډول د 600 kPa شير سټريس مقاومت ولري، د P اعظمي قوه چې په سټرټ باندې پلي کيدی شي معلومه کړئ .



ب 1-17

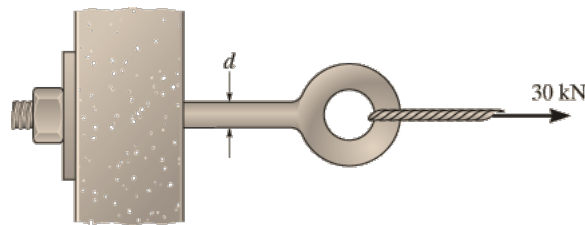
ب 1-18

اوسط اعظمي شپير سټريس په 30 mm قطر پين کې معلوم کړي.



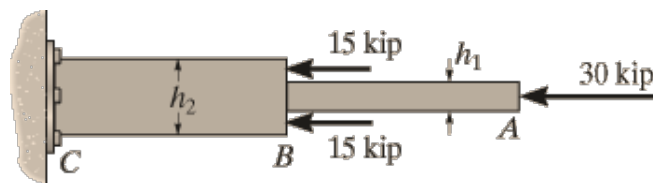
ب 1-18

ب 1-19 که چیرې د آی- بولټ (eyebolt) له داسې موادو څخه جوړې شوی وي چې بیلډ سټریس یې $s_Y = 250 \text{ MPa}$ وي، لږ تر لږه اړین قطر د هغې د لنگې (shank) و ټاکی . د خونديتوب فکتور $F.S. = 1.5$ د بیلډ (yield) د پاره ټاکی دی.



ب 1-19

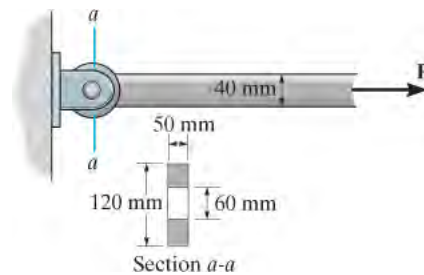
ب 1-20 که د میلی اسمبلي له یوه داسې موادو څخه جوړ شوی وي چې د بیلډ سټریس یې $s_Y = 50 \text{ ksi}$ وي ، د اړتیا وړ لږ تر لږه د h_1 او h_2 اړین ابعاد $1/8$ انچو ته نیږدې و ټاکی. د خونديتوب فکتور $F.S. = 1.5$ د بیلډ لپاره تطبیق کړئ . هر میله 0.5 میلی متر ضخامت لري.



ب 1-20

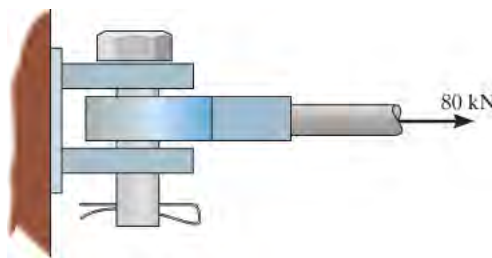
ب 1-21 اعظمي قوه P چې په دی لاندی راډ باندی پلی کیدی شي معلومه کړئ . که چیرې دا راډ د داسې موادو څخه جوړ وي چې د بیلډ مقاومت یې $s_Y = 250 \text{ Mpa}$ وي. د ماتیدو احتمال په

راډ او د $a-a$ په برخه کې په نظر کې ونیسئ. د خونديتوب فکتور د یلډ په مقابل کې $F.S. = 2$ دی.



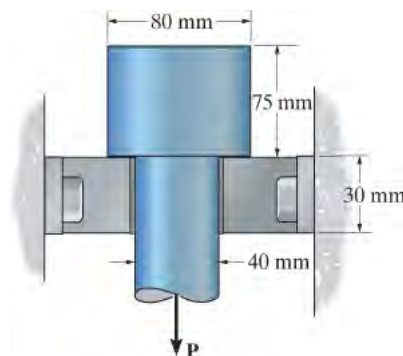
ب 1-21

ب 1-22 دا لاندې ښودل شوی پین د داسې موادو څخه جوړ شوی دی چې د ماتیدو مماسی سټریس یې $t_{fail} = 100 \text{ Mpa}$ دي. د اړتیا وړ د پین د قطر اندازه ملي متر ته نیردی وټاکئ. د خونديتوب فکتور $F.S. = 2.5$ د مماسی سټریس په وړاندې تطبیق کړئ



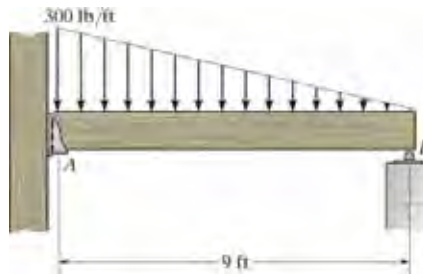
ب 1-22

ب 1-23 د بولټ سر او د ملاتړ برکیت (bracket) یې د ورته موادو څخه جوړ شوی، د ماتیدو شیبیر سټریس یې $t_{fail} = 120 \text{ Mpa}$ دي. اعظمي قوه د P د بولټ لپاره داسې معلومه کړئ تر څو بولټ له برکیته و نوزي. د خونديتوب فکتور $F.S. = 2.5$ د شیبیر سټریس لپاره تطبیق کړئ.



ب 1-23

ب 1-24 شپير بولټونه په برخه A کې د انگر (hanger) اتکا ساتلو لپاره د سنتي سره کارول شوي. که چيری د بولټونو موادو د ماتيدو ستريس يې $t_{fail} = 16 \text{ ksi}$ وی لږ تر لږه اړين قطر د هر بولټ نږدې $1/16 \text{ inch}$ انچو ته و ټاکي. د خونديتوب فکتور $F.S = 2$ تطبيق کړئ.

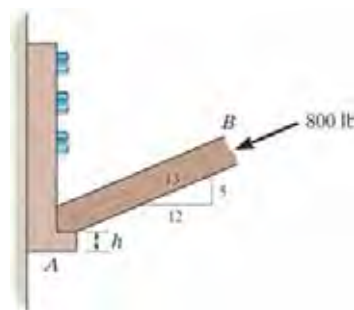


ب 1-24

سوالونه

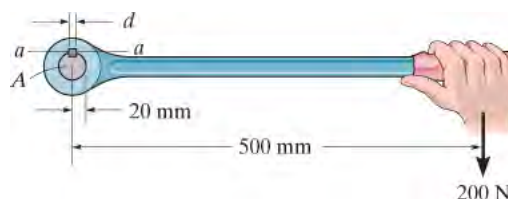
PROBLEMS

س 1-69. که A او B دواړه د لرگيو څخه جوړ شوي او $3/8 \text{ inch}$ پنډ والی لری، تر ټولو کوچنی اندازه د h نږدې $1/4$ انچ ته د عمودی برخې مشخص کړئ چې دا په شپير کې ماته نشي. د د برخې لپاره د منلو وړ شپير ستريس مساوی دی په $t_{allow} = 300 \text{ psi}$.



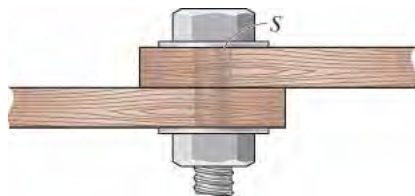
س 1-69

س 1-70. يوه ميله د کلې (key) پواسطه په شفت A ټينگ ترلی شوی وصل شوی ده. هغه په لاندی انځور کې بنودل شوي. د کلې پلنوالي d او اوږدوالی يی 25 ملي ميتره دي. که چيری په ميله يوه عمودی قوه 200 N څنگه چې په لاندی انځور کې بنودل شوي تطبيق شوی وی، د d پلنوالی معلوم کړئ. د منلو وړ شپير ستريس د کلې لپاره $t_{allow} = 35 \text{ MPa}$ دي.



س 1-70

س 1-71. دا لاندی دوه غړي د بولټ او نټ (bolt and nut) او دوو واشرو (washers) پواسطه سره تړل شوي، که چیرې د واشرونو د منلو وړ بیرینگ سټریس د تختی په سر او د منلو وړ کششي سټریس د بولټ په لینگی کی عبارت دی په $(S_b)_{\text{allow}} = 2 \text{ ksi}$ ، د بولټ په لینگی کی اعظمی کششی قوه پیدا کړی. د بولټ لنگی 0.31 انچه قطر لري، او د واشر بهرنی قطر 0.75 انچه او داخلي قطر (سوری) 0.50 انچه دی.



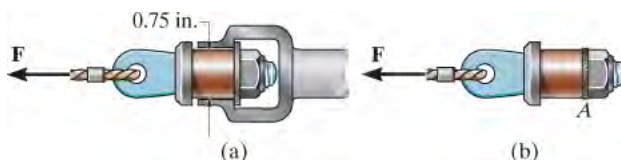
س 1-71

س 1-72*. د کشش غړی د دوو بولټونو په واسطه چی یو د غړی په هر اړخ کی دی تړل شوی لکه چی په انځور کی بنودل شوي. هر بولټ 0.3 انچه قطر لري. د اعظمی بار P اندازه معلومه کړی. د منلو وړ شییر سټریس د بولټ لپاره $t_{\text{allow}} = 12 \text{ ksi}$ او د منلو وړ نارمل سټریس یی $S_{\text{allow}} = 20 \text{ ksi}$ دی.



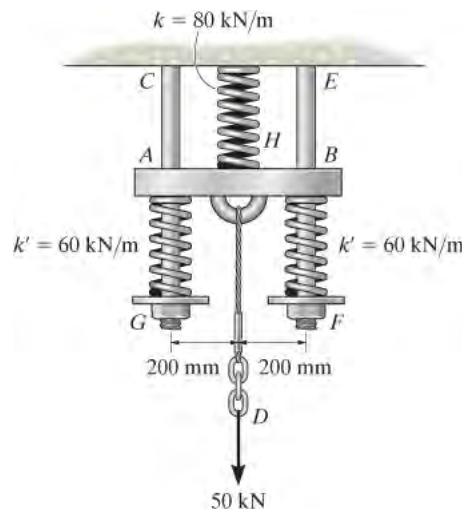
س 1-72

س 1-73. په الوتکه کی د ایلویټر (elevator) کنټرول د یوه فولادی سواپول بوشینگ (swivel bushing) په واسطه چی د نټ او واشر په واسطه په های سائل کیری، لکه چی د (a) په انځور کی بنودل شوي. د واشیر A ماتیدل کولی شي د تیلو هلو راډ جلا کړي، لکه څنګه چی په انځور (b) کی بنودل شوي. که اعظمی اوسط شیر سټریس $t_{\text{max}} = 21 \text{ ksi}$ وی، د F قوه چی باید په بوشینگ باندې تطبیق شي مشخص کړی. واشر 1/16 انچه پنډوالی لري.



س 1-73

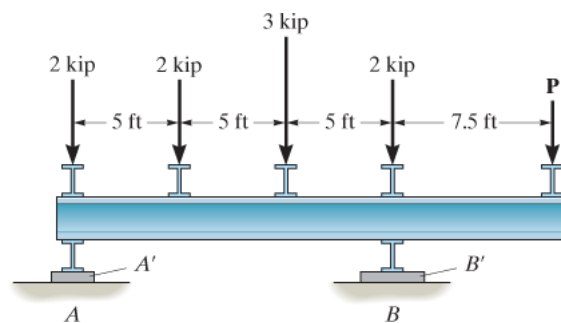
س 1-74 . د فنر میکانیزم د شاک جذبونکي (shock absorbing) په توګه د هغه بار لپاره چې په میله AB باندې پلي کېږي کارول کېږي . که چیرې یوه قوه 50 kN پلي شي په هر فنر کې قوه مشخص کړئ . فنرونه کش شوی ندی او میله د CG او EF پوستو په اوږدوالی حرکت کړی شی. د فنروسرونه لکه چې بنودل شوی په غړیو اتکالری. د EF او CG بولټونو د لنګیو قطر پیدا کړی کله چې د منلو وړ سټریس د بولټونو لپاره $s_{\text{allow}} = 150 \text{ MPa}$ دی .



س 1-74

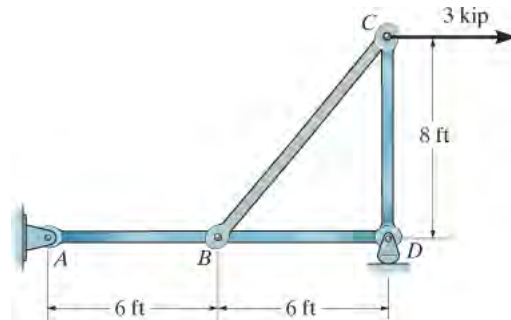
س 1-75 . د مربع بیړینګ تختو A' او B' اندازې چې د باروړلو توان ولری معلومی کړی. دلته بار $P = 1.5 \text{ kip}$ دي. د تختو اندازه $1/2$ انچ ته نیردی پیدا کړی. په اتکاوکی ریکشنونه عمودی دی . د منلو وړ بیړینګ سټریس دتختو لپاره $(s_b)_{\text{allow}} = 400 \text{ psi}$ دي

س 1-76* . اعظمي بار P چې کیدی شي په بیم باندې تطبیق شي معلوم کړئ. د بیړینګ تختی A' او B' اندازې په ترتیب سره 2 انچ مربع (2×2) او څلور انچ مربع $(4 \text{ in} \times 4 \text{ in})$ دی. د تختو لاندی موادو د منلو وړ د بیړینګ سټریس $(s_b)_{\text{allow}} = 400 \text{ psi}$ دي.



س 1-75/76

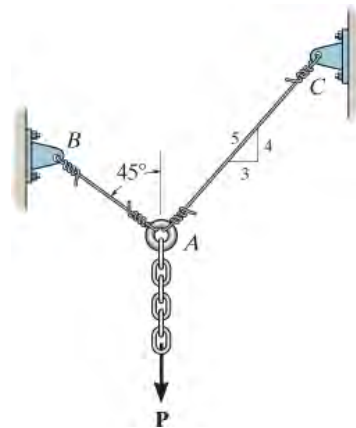
س 1-77. د پینونو اړین قطر په A او B کې $1/16$ in ته نیردی معلوم کړی، که چیرې د موادو د منلو وړ شیبیر سټریس $t_{\text{allow}} = 6$ ksi وي. پین A د دوه گونی شیبیر سره مخ دی، پداسې حال کې چې پین B د واحد شیبیر سره مخ دی.



س 1-77

س 1-78. د منلو وړ کششی سټریس د AB او AC سیمونو کې $s_{\text{allow}} = 200$ MPa دی، د اړتیا وړ قطر د هر سیم وټاکئ. پلي شوی بار $P = 6$ kN دي.

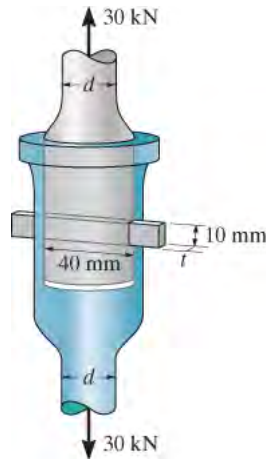
س 1-79. که د AB او AC سیمونو د منلو وړ کششی سټریس $s_{\text{allow}} = 180$ Mpa وي، او که د سیم AB قطر 5 ملی متره او د AC تار قطر 6 ملي میتر وي، ترتولو لویه قوه P وټاکئ چې په زنجیر کې پلي کیدی شي.



س 1-78/79

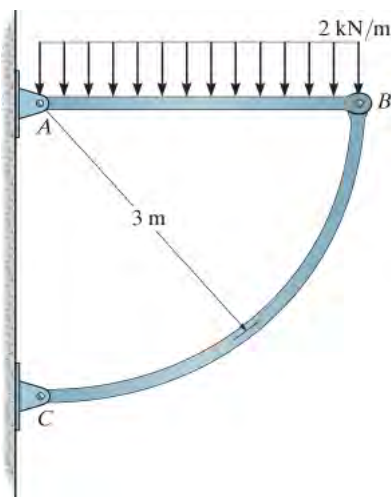
س *1-80. یوه میله د دوو راډو د یوځای کیدلو د پاره کارول شوي. د میلی ترتولو کوچنی پنډوالی او د راډ ترتولو کوچنی قطر په گوته کړئ. ټولې برخې د فولادو څخه جوړی شوي دي،

کوم چې د ماتیدونارمل ستیریس $s_{fail} = 500 \text{ MPa}$ او د ماتیدو شییر ستیریس $t_{fail} = 375 \text{ MPa}$ دی. د خونديتوب فکتور د نارمل ستیریس $(F.S)_t = 2.50$ او د شییر خونديتوب فکتور $(F.S)_s = 1.75$ دي.



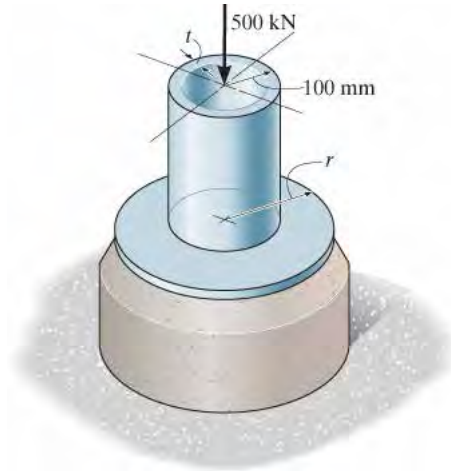
س 1-80

س 1-81. د پینونو اړین قطر په A او B کی په گوته کړئ. د موادو لپاره د منلو وړ شییر ستیریس $t_{allow} = 100 \text{ MPa}$ دی. په دواړه پنونو دوه گوني شییر عمل کړي.



س 1-81

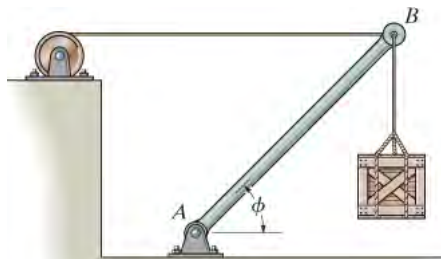
س 1-82. د فولادو پایپ په یوه دایروی تخته اوبیا په کانکریټی سټني اینسودل شوي. که د پایپ پندوالی $t = 5 \text{ mm}$ وی او د دایروی تختی شعاع 150 میلی متر وي، د فولادو او کانکریټو د ماتیدو په وړاندې د خونديتوب فکتور وټاکئ. بهرنی پلي شوی قوه 500 kN ده. او د فولادو او کانکریټو د ماتیدو نارمل سټریسونه $(s_{fail})_{st} = 350 \text{ MPa}$ او $(s_{fail})_{con} = 25 \text{ MPa}$ په ترتیب سره دی.



س 1-82

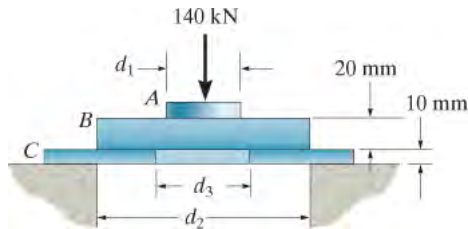
س 1-83. یو بازو د کشیدونکی کیبل لخوا ملاتړ کیږي، او ددی کیبل قطر 0.25 انچ او د منلو وړ نارمل سټریس یې $s_{allow} = 24 \text{ ksi}$ دی. د بنودل شوی کریټ (crate) ترټولو لوی هغه وزن معلوم کړئ چې پرته له دې چې د کیبل د شکیدو لامل شي. زاویه $f = 30^\circ$ ده. کیبل وزن د اندازې نه دی.

س 1-84*. یو بازو په کشیدونکی کیبل پوری تړل شوی لکه چې په لاندی انځور کی بنودل شوی. که د کیبل د منلو وړ نارمل سټریس یې $s_{allow} = 24 \text{ ksi}$ ، د کریټ وزن 5000 پونډه او د بازو زاویه $f = 20^\circ$ وي، د کیبل ترټولو کوچنی قطر 1/16 انچ ته نیردی پیدا کړي.



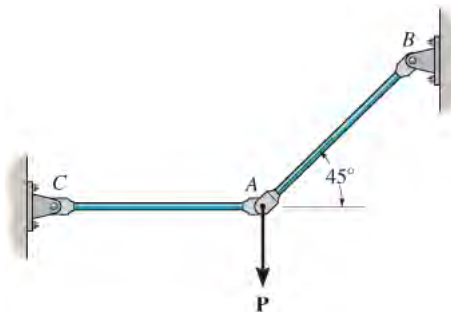
س 1-83/84

س 1-85. دا لاندی بنودل شوی اسامبلي له دريو برخو A ، B او C څخه جوړ شوی ده، او د 140 کیلو نیوتن بار د پلي کیدو د پاره کار تری اخستل کیري. ترتولو کوچنی قطر d_1 ، لوی قطر d_2 ، او د سوروي ترتولو لوی قطر d_3 په لاندې غړی کې وټاکي. د منلو وړ د موادو د بیرینگ ستیریس $(s_b)_{allow} = 350 \text{ MPa}$ دی او د منلو وړ د شیریر ستیریس دی $t_{allow} = 125 \text{ MPa}$ دی.



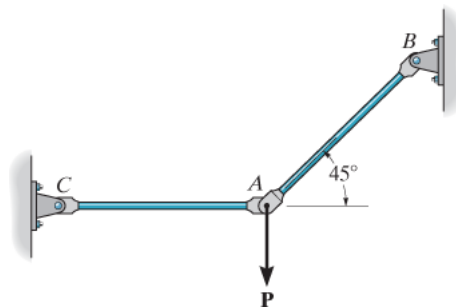
س 1-85

س 1-86. په لاندی انځور کې، دوه المونیم راپونه د یوی عمودی قوه $P = 20 \text{ kN}$ د وړلو توان لری. که چیرې د المونیم لپاره د منلو وړ کششی ستیریس $s_{allow} = 150 \text{ MPa}$ وی د دوی اړین قطر ونه مشخص کړی.



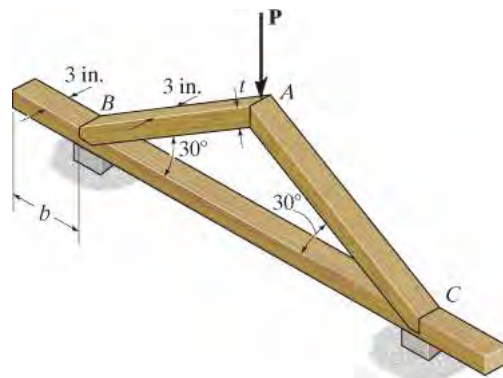
س 1-86

س 1-87. دوه المونیم راپونه AB او AC د 10 میلی متر او 8 میلی متر په ترتیب سره قطر لري. ترتولو لوی عمودی بار P چې وری شی معلوم کړی. د منلو وړ کششی ستیریس د المونیم لپاره $s_{allow} = 150 \text{ MPa}$ دی.



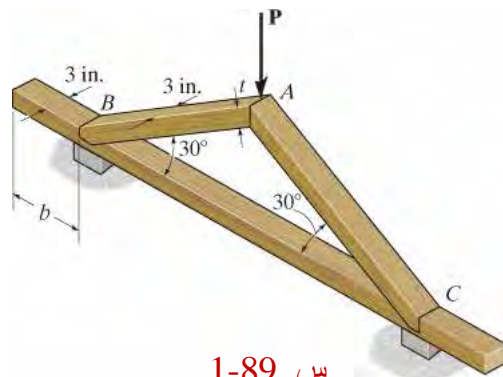
س 1-87

س 1-88. د اړتیا وړ لږ تر لږه ضخامت د غړي AB او د چوکاټ د څنډې فاصله b و ټاکي . بهرنی بار $P = 9 \text{ kip}$ او د ماتیدو په وړاندې د خونديتوب فکتور 2 دی. د لرگي د نارمل ماتیدو ستړیس $s_{fail} = 6 \text{ ksi}$ ، او د شپیر د ماتیدو ستړیس $t_{fail} = 1.5 \text{ ksi}$ دی .



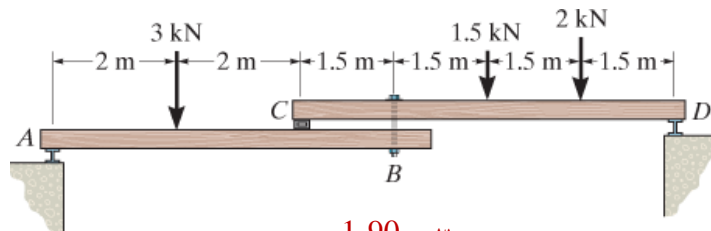
س 1-88

س 1-89. په دی لاندی انځور کی یو د لرگیو چوکاټ بنودل شوي. که چیری $t = 1.25 \text{ in}$ او b او 3.5 in وی اعظمي بار P مشخص کړئ چې وکولی شي د چوکاټ لخوا په خوندي ډول انتقال شی. د لرگي ماتیدو نارمل ستړیس $s_{fail} = 6 \text{ ksi}$ دي، او د شپیر د ماتیدو ستړیس $t_{fail} = 1.5 \text{ ksi}$ او د خونديتوب فکتور په وړاندې 2 دی.



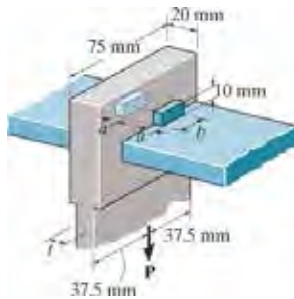
س 1-89

س 1-90. د لرگیو دوه بيمونه د یو بل سره په B کې د بولټ په واسطه وصل شوی دی . داسي انگیرل کيږي چې په A ، B ، C او D کې یوازې عمودی قووی عمل کوی. د بولټ د اړتیا وړ قطر په B او د واشیر اړین بهرنی قطر معلوم کړی. د منلو وړ کششی ستړیس د بولټ $(S_t)_{allow}$ او د منلو وړ بیرینگ ستړیس د لرگي لپاره $(S_b)_{allow} = 28 \text{ MPa}$ دی. فرض کړئ چې د واشیر سوروي د بولټ د قطر په اندازه دی.



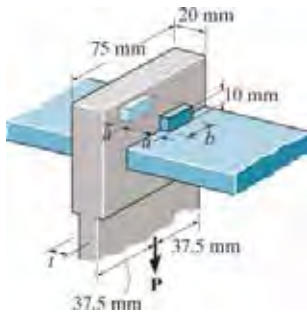
س 1-90

س 1-91. دا لاندی هنگر (hanger) د مستطیلی پین په واسطه تړل شوی. د منلو وړ بار P اندازه معلومه کړئ، که د منلو وړ بیرینگ ستریس $(s_b)_{\text{allow}} = 220 \text{ MPa}$ ، او د منلو وړ کششی ستریس $(s_t)_{\text{allow}} = 150 \text{ MPa}$ ، او د منلو وړ شپیر ستریس $t_{\text{allow}} = 130 \text{ MPa}$ وی. دلته $t = 6 \text{ mm}$ ، $a = 5 \text{ mm}$ او $b = 25 \text{ mm}$ بنودل شوی.



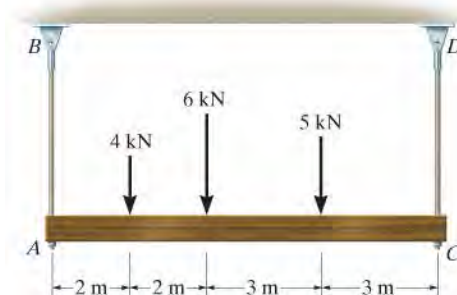
س 1-91

س 1-92. دا لاندی هنگر د مستطیلی پین په واسطه تړل شوی. د منلو وړ د هنگر پنډوال t او a او b اندازی و ټاکئ، کله چی پلی شوي بار $P = 60 \text{ kN}$ وی. د منلو وړ بیرینگ ستریس $(s_b)_{\text{allow}} = 290 \text{ MPa}$ ، او د منلو وړ کششی ستریس $(s_t)_{\text{allow}} = 150 \text{ MPa}$ ، او د منلو وړ شپیر ستریس $t_{\text{allow}} = 125 \text{ MPa}$ دی.



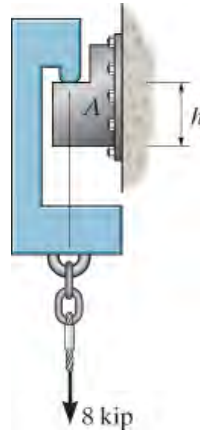
س 1-92

س 1-93. رادونه AB او CD له فولادو څخه جوړ شوي دي. ترتولو کوچنی قطر د دوی معلوم کړئ ترڅو دوی لاندی بنودل شوی مړه بارونو یو وړی شی. داسې انگیرل کیري چی بیم په A او C کې د پین سره وصل شوی. د LRFD میتود څخه کار واخلئ، چیرته چی د مقاومت فکتور په کشش کې د فولادو لپاره $f = 0.9$ دی، او د مړه بار فکتور $\phi_b = 1.4$ او د ماتیدو ستریس $s_{\text{fail}} = 345 \text{ MPa}$ دی.



س 1-93

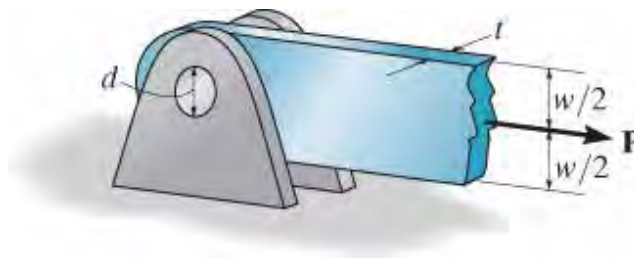
س 1-94. د المونیم بریکت A د 8 کیپ وزن د وړلو د پاره جوړ شوی. که دبرگیت پندوالی 0.5 انچه وی، تر ټولو کوچنی لوړوالی h وټاکئ ترڅو د شیبیر د ماتیدو مخه ونیسي. د شیبیر د ماتیدو سټریس $t_{fail} = 23 \text{ ksi}$ او د شیبیر د خونديتوب فکتور $F.S = 2.5$ دی.



س 1-94

س 1-95. که چیرې د میلی لپاره د منلو وړ کششی سټریس $(S_t)_{allow} = 21 \text{ ksi}$ ، او د پین لپاره د منلو وړ شیبیر سټریس $t_{allow} = 12 \text{ ksi}$ وی د پین قطر په دې توگه مشخص کړئ چې بار P به اعظمي ارزښت ولري. دا بار څه شی دی؟ فرض کړئ چې په میله کې سوري د پین د قطر په اندازه دی. په انځور کې بنودل شوی ابعادو پدی ډول دی: $t = 14 \text{ in.}$ او $w = 2 \text{ in.}$

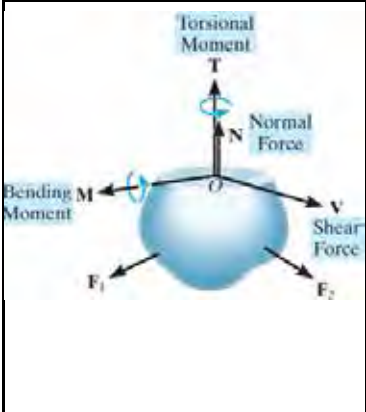
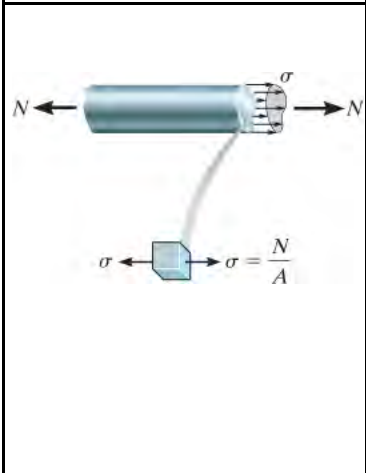
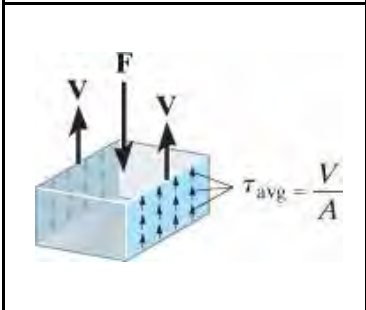
س 1-96*. دا لاندی میله د پین په واسطه چې $d = 1$ انچ قطر لري د اتکا سره وصل ده. د منلو وړ کششی سټریس د میلی لپاره $(S_t)_{allow} = 20 \text{ ksi}$ او د منلو وړ بیرینگ سټریس د پین او میلی تر مینځ $(S_b)_{allow} = 30 \text{ ksi}$ دی. د w او t ابعاد داسی وټاکئ ترڅو د غوڅی برخې مساحت $wt = 2 \text{ in}^2$ وی او بار P اعظمي حد ولري. دا اعظمي بار څومره دی؟ فرض کړئ چې په میله کې سوري د پین د قطر په اندازه دی.



س 1-95/96

د فصل بیا کتنه

CHAPTER REVIEW

	$\begin{aligned} \Sigma F_x &= 0 \\ \Sigma F_y &= 0 \\ \Sigma F_z &= 0 \\ \Sigma M_x &= 0 \\ \Sigma M_y &= 0 \\ \Sigma M_z &= 0 \end{aligned}$	<p>د جسم په داخلي باروکی نارمل قوه، شپير قوه، کروونکی مؤمنت، او تاویدونکی مؤمنت شاملدی. دوی د دواړو نارمل او شپير قوی چی په غوڅه برخه عمل کوی استازیتوب کوی. د دې محصولی ترلاسه کولو لپاره، د برخو له طریقی او د توازن د مساواتوله معادلو کار اخیستل کیږي.</p>
	$s = \frac{N}{A}$	<p>که یو میله له یو شان او ایسو تراپیک (isotropic) موادو څخه جوړ شوی وي او یو شمیر خارجي محوري بارونه لری چی د غوڅی برخی د ثقل د مرکزله لاری تیرشي، بیا یو شان نارمل ستیریس په غوڅه برخه عمل کوي. دا اوسط نارمل ستیریس له $s = N/A$ معادلی څخه، چیرته چی N په برخه داخلي محوری بار دی ټاکل کیدی شي.</p>
	$t = \frac{V}{A}$	<p>د اوسط شپير ستیریس کیدی شي د $t_{avg} = V/A$ معادلی سره وټاکل شی، چیرته چی V د شپير قوه په غوڅه برخه عمل کوي. دا فورمول اکثرا د اوسط شپير ستیریس موندلو لپاره په بولتونو او د نښلولو برخو لپاره کارول کیږي.</p>
	$F.S. = \frac{\sigma_{fail}}{\sigma_{allow}} = \frac{\tau_{fail}}{\tau_{allow}}$	<p>د ASD طریقی په اساس هر ساده ډیزاین د پیوست شویو برخو د اوسط شپير ستیریس او اوسط نارمل ستیریس پیدا کولو له پاره اړتیا لري چی ستیریس په غوڅه برخه کی د منلو وړستیریسو s_{allow} او t_{allow} څخه زیات نه</p>

		وي . دا د منلو وړ ستړس ارزښتونه په کوډونو کې راپور شوي او د آزموينو او کارۍ تجربو له لارې خوندي گڼل کيږي. ځيني وختونه د خونديتوب فکتور راپور شوی هغه حالت ته چې د ماتيدو ستړيس معلوم وي.
	$\phi P_n \geq \sum \gamma_i R_i$	د LRFD طريقه هم د جوړښتونو د غړيو د ډيزاين لپاره کارول کيږي. په دې طريقه کې په جلا توگه بار او د موادو مقاومت ته په جلا توگه بدلون ورکوی چې د بار او مقاومت له فکترو گټه اخلي.

مفهومی پوښتنې

CONCEPTUAL PROBLEMS

- م 1-1.** ددی لويې لارې نښه طوفاني بادونو را چپه کړي ده. فرض کړئ چې باد يوشان فشار 2 kPa پدی نښه رامینځته کړي. د دی نښې لپاره مناسب ابعاد معلوم کړی او محصله د شیر او مؤمنت په هر یوه تړل شوی برخه کې چی مات شوی و ټاکي .



م 1-1

م 1-2. لوړ پونده (heel) بوتان اکثرا نرم لرگي يا لاینولیم (linoleum) فرشونو ته زیان رسوي. د یو مناسب انسان وزن او عادی ابعاد د عادی بوتانو او د لوړ پونده بوتانو په نظر کې ونیسی. که چیرې وزن یوازې د یوې پښې بوت ته ولیږدول شي، تر هره پوندې لاندې د بیرینگ فشار مشخص کړی.



م 1-3. دلته بولټ د یو ګونی شپیر تابع دی او د دی شپیر له امله مات شوي. د بولټ مناسب آزاد ډیاګرامونو کارولو سره تشریح کړی چې ولې بولټ د تختو تر مینځ برخې په اوږدو کې مات شو، او ولې په $a-a$ برخه کې مات نه شو.



م 1-3

م 1-4. په چنگک باندې یو عمودی بار 1000 پونده پلي شوی دی. مناسب د بدن آزاد ډیاګرامونه رسم او اعظمي اوسط شپیر اندازه په A ، B ، او C پینونو کې معلوم کړی. په یاد ولری چې د همغږي له کبله د پټلی څلور څرخونه د بار وړلو لپاره کارول شوي.

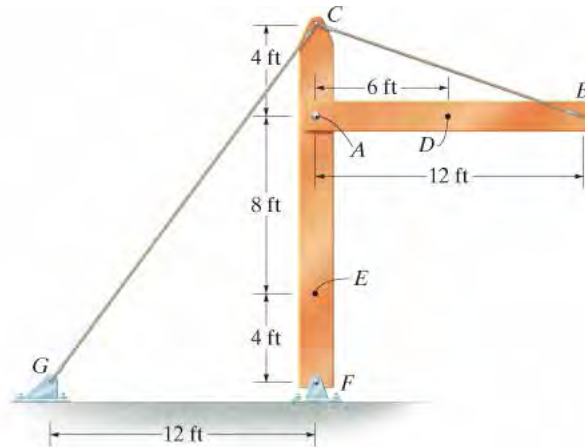


م 1-4

بیا کتنی پوښتنی

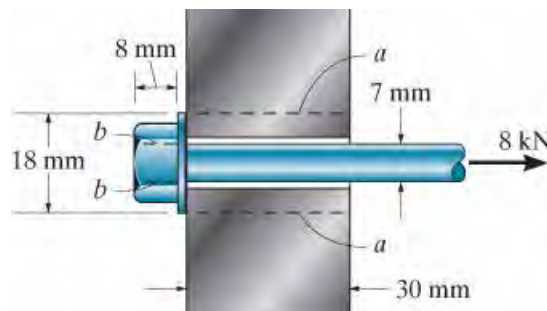
REVIEW PROBLEMS

ب 1-1. بيم AB د يو پين په ذريعه په اتکا A کې او په يو کيبل BC تړل شويدي. او هم د يو جلا کيبل CG سره دا چوکاټ ساتل گيږي. که چيرې د غړی AB ويشلی وزن 120 lb/ft وي او د ستنې FC وزن 180 lb/ft وي، د داخلي بارو پایله په غوڅه برخود D او E کې معلومه کړئ.



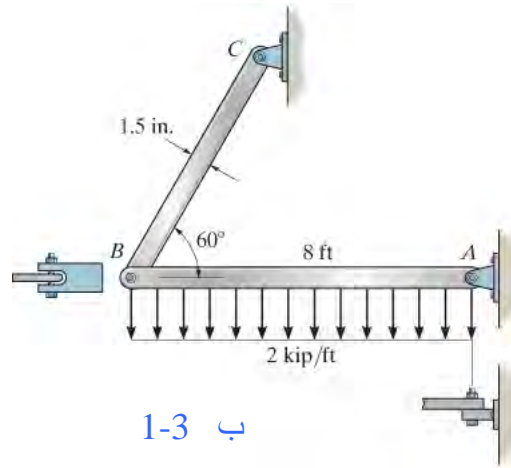
ب 1-1

ب 1-2. يو اوږد بولټ له 30 ملي متر پنډی پليټ (تختی) څخه تيریږي. که چيرې د بولټ په لينگي کې قوه 8 كيلو نيوتن وي، اوسط نارمل سټريس د بولټ په لينگي کې او اوسط شير سټريس د پليټ په سلنډري ساحه چې په کرښو $a-a$ ښودل شوی معلوم کړئ. او هم د بولټ په سر د سلنډري (cylindrical) ساحه چې په کرښو $b-b$ ښودل شوی اوسط شير سټريس پيدا کړي.



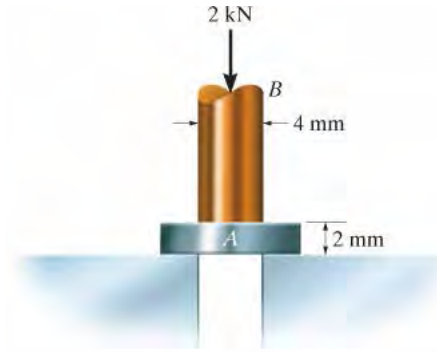
ب 1-2

ب 1-3. د غړی BC اړین پنډوالی $1/16$ انچ ته نیردی معلوم کړئ. ، او د پینونو قطر په A او B کې پیدا کړی که چیرې د BC غړي لپاره د منلو وړ نارمل سټریس $s_{\text{allow}} = 29 \text{ ksi}$ ، او د پینونو لپاره د منلو وړ شیبیر سټریس $t_{\text{allow}} = 10 \text{ ksi}$ وي.



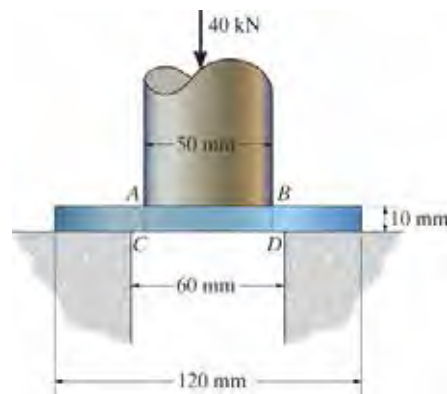
ب 1-3

ب 1-4*. یو دایروی میخوهونکی B (punch) یوه 2 کیلو نیوټن قوه د پلیټ (تختی) A په سر برخه اچوي. په پلیټ کې اوسط شیبیر سټریس ددی بار له امله معلوم کړئ.



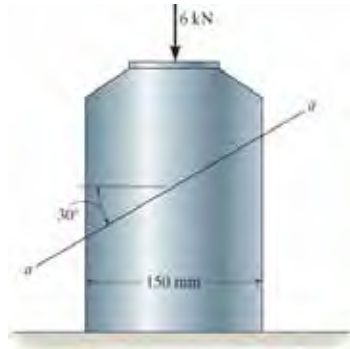
ب 1-4*

ب 1-5. اوسط میخوهونکی شیبیر سټریس د AC او BD فلزی پلیټ کې چی دایروی شفټ یې جوړه وی معلوم کړی. اوسط بیرینگ سټریس چی د پلیټ پر سطحه تر شفټ لاندی جوړیږي هم پیدا کړي.



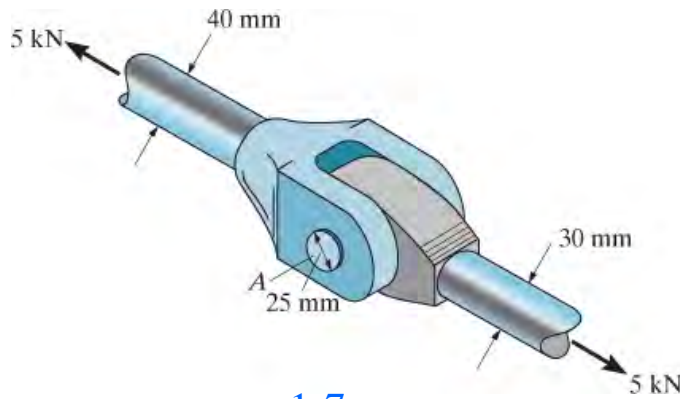
ب 1-5

ب 1-6. د المونیم 150 میلی متر په 150 میلی متر بلاک د 6 کیلو نیوټن تیلو هونکی بار سره مخامخ دی. اوسط نارمل او شییر سټریس چی د $a-a$ په سطحه عمل کوي معلوم کړئ. پایلې یی د یوه واره حجمی عنصر په سطحو وښایاست.



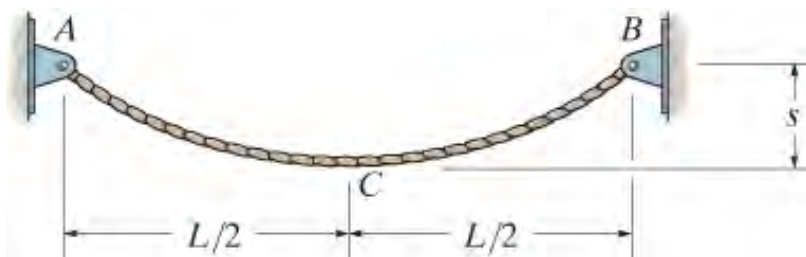
ب 1-6

ب 1-7. د ژغ او راډ په یوځایوالی یو کششی بار 5 کیلو نیوټن پلی شوي. اوسط نارمل سټریس په هر راډ او اوسط شییر سټریس په پین A کې د غرو ترمنځ معلوم کړئ.



ب 1-7

ب 1-8*. په لاندی انځور کی بنودل شوی کیبل یو ځانگړی وزن g (وزن/حجم) لري، او د غوڅی برخی مساحت یی A ده. فرض کړئ چې لویدنه s (sag) کوچنی ده. د کیبل اوږدوالی تقریباً L دی او وزن یی کولی شي د افقی محور سره په مساوي ډول وویشي، په کیبل کې اوسط نارمل فشار په خپله ټیټه نقطه د C کې پیدا کړئ.



ب 1-8

دوهم فصل

(CHAPTER 2)



(© Eyebite/Alamy)

د ډیر ستړیس له امله د دې زنځیر په کړي کې د پام وړ تخریب
رامینځته شوی او د ماتیدو لامل شو

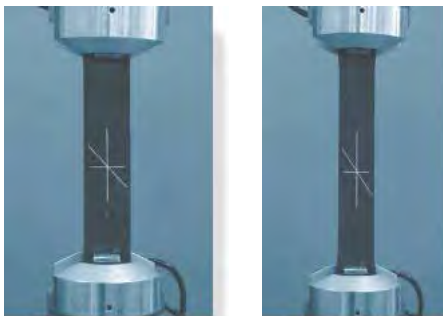
سترين

(STRAIN)

(CHAPTER OBJECTIVES)

د فصل موخي

§ په انجینرۍ کې، د جسم رنګیدل د نارمل او شیبیر ستړین د مفهوم په کارولو سره مشخص کیږي. په دې فصل کې به دا مفهومونه تعریف کړو او و به بڼیو چی ستړین دمختلفو ستونزو د حل له پاره څنگه ټاکل کیدی شي .



په دې رېر ټوټې باندې دريو کرښو مخکې او وروسته حالتونو ته کله چی چی کششی قوه سره مخ کیږي پام وکړئ . عمودی کرښه اوږده شوی، او افقی کرښه لنډ شوی . او مایل کرښه خپل اوږدوالی بدلوي او څرخي .

2.1 د شکل بدلون (Deformation)

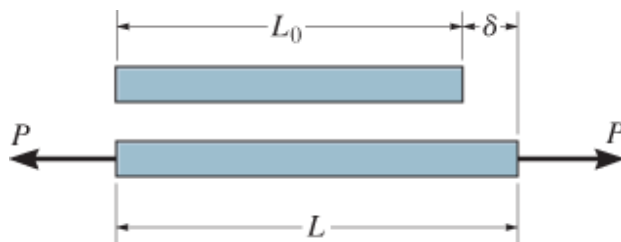
هرکله چې یو قوه په جسم پلي شي هغه جسم بدلون مومي. شکل او اندازه یې بدلیږي او دا د شکل د بدلون (*deformation*) په نامه یادېږي. کیدای شي چې بدلونونه ډیر ښکاره وي یا په عملي توګه د پام وړ نه وي. د مثال په توګه، یوه د رېر حلقه کله چې و غځول شي په شکل کې یې ډیر لوی بدلون راځي، پداسې حال کې کله چې په یو ودانې کې اوسیدونکی ژوند کړي د ساختماني غړو بدلونونه د لیدو وړ نه وي منځ ته راتلي شي . کله چې د تودوخې درجه د جسم بدلون مومي د جسم بدن تغیر کوي. یو

ځانگړی مثال د جوړښت د بام بدلون چې د هوا د دودوخي درجې د تغیر له کبله راځي.

په عمومي توگه د جسم په بدن کې بدلون ټول یو شان نه وي، او د بدن دننه د هرې کرښې برخې د جیومیټري په اوږدوالي کې بدلون کیدای شي د پام وړ توپیر ولري. له همدې امله، د بدلون مطالعې لپاره، موږ هغه برخې د کرښې په پام کې نیسو کوم چې خورا لنډې دي او د نظر ټکی ته نږدې موقعیت لري. په هر صورت، باید پوه شئ چې بدلون په یوه نقطه کې د کرښې په لور پورې هم اړه لري. د مثال په توگه، لکه څنګه چې په دې عکسونو کې ښودل شوي، د کرښې یوه برخه په یوه طرف کېدای شي اوږده شي، پداسې حال کې که چېرې په بل لور شي دا ممکن لنډه شي.

2.2 سترين (STRAIN)

ددې لپاره چې د یو جسم د شکل بدلون د کرښې په اوږدوالي او د دوی تر مینځ د زاویو بدلونونه تشریح کړو موږ به د سترين مفهوم ته وده ورکړو. سترين په حقیقت کې د تجربې لخوا اندازه کېږي، او یو ځل چې سترين ترلاسه شي، په راتلونکي فصل کې به وښودل شي چې د جسم په بدن کې د سترين سره څنګه تړاو لري.



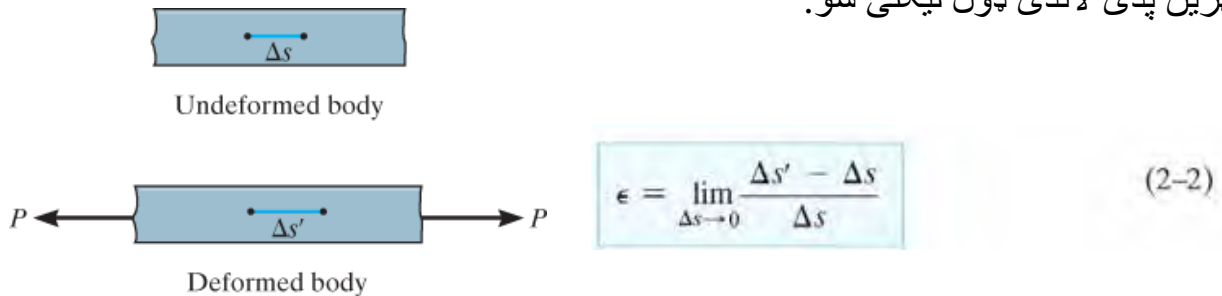
انځور 2-1

نارمل سترين (Normal Strain). که چېرې محوری بار P په میله چې په انځور 2-1 کې ښودل شوي تطبیق شي، د میلی اوږدوالي L_0 به په اوږدوالي L بدل شي. موږ اوسط نارمل سترين ϵ (ایپسلان epsilon) تعریف کوو چې هغه عبارت دی د اوږدوالي په بدلون $d = L - L_0$ (دیلټا) چې ویشل شي په اصلي اوږدوالي د میلی، او هغه داسې لیکلی شو:

$$\epsilon_{\text{avg}} = \frac{L - L_0}{L_0} \quad (2-1)$$

نارمل سترين په یو ټکی د یوه جسم چې اختیاری شکل ولري په ورته ډول تعریف کېدی شي. د مثال په توگه په انځور 2-2 کې، د یوې کرښې خورا کوچنۍ برخې Ds ته چې په یوه نقطه کې موقعیت لري پام وکړئ. د بدلون وروسته دا Ds' شوی، او بدلون په اوږدوالي کې له دې امله

Δs - $\Delta s'$ دی. کله چې د Δs ارزښت صفر ته نږدې شي د حد يا لیمت له لاری په نقطه کې نارمل سترين پدی لاندی ډول لیکلی شو:

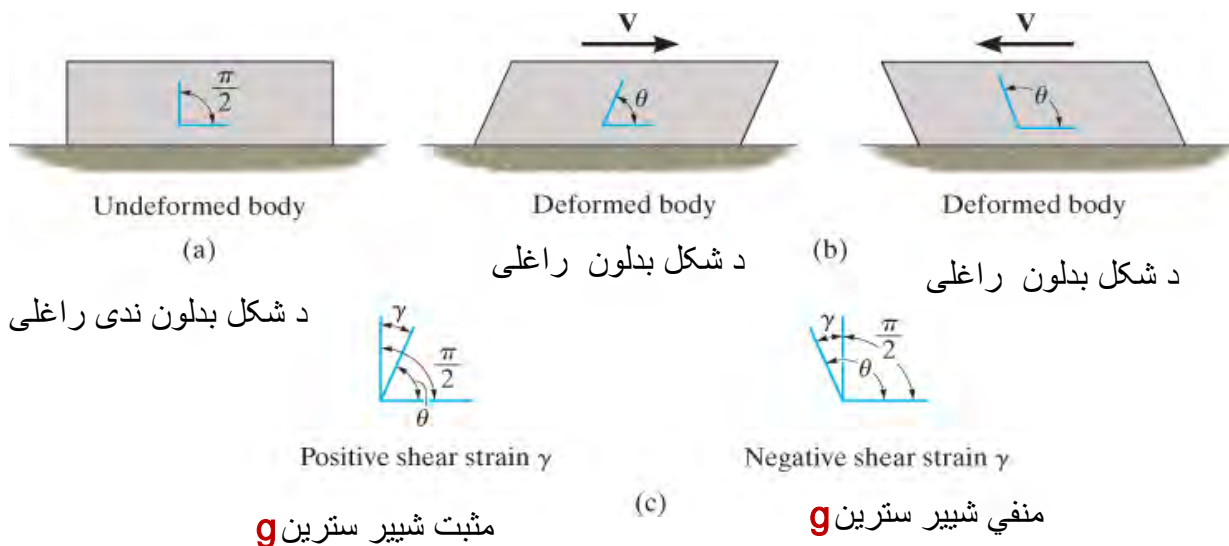


انځور 2-2

په دی حالتونو کې e (یا e_{avg}) بدلون په هر واحد د اوږدوالي کې دی، او دا مثبت دی کله چې لومړنی کرنه اوږده شي، او منفي کله چې کرنه لنډه شي.

واحدونه (Units). لکه څنګه چې بنودل شوي، نارمل سترين یو بی ابعاده مقدار دی، ځکه چې دا دی دوو اوږدوالي تناسب دی. په هر صورت، واحد یې ځیني وختونه د اوږدوالي واحدونو د تناسب له مخې هم ویل کېد شي. که چېرې د SI سیستم وکارول شي، چېرته چې د اوږدوالي واحد متر (m) دي، پدی حالت کې د e (ایپسلان) ارزښت په عامه توګه خورا کوچنی دی. په انجینری غوښتنلیکونو کې په مایکرو میتر په هر متر (mm/m) چېرته چې $1\text{mm} = 10^{-6}\text{m}$ بنودل کیږی.

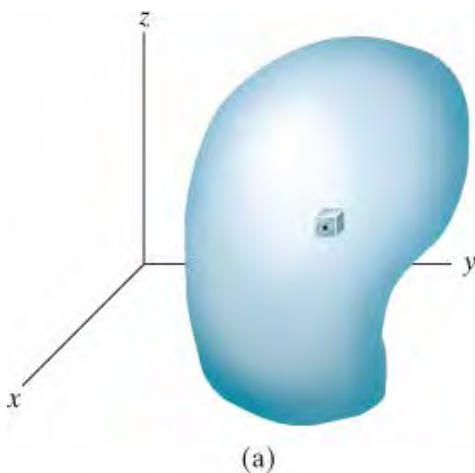
د فوټ - پونډ - ثانیه سیستم کې، سترين ډیری وختونه په هر انچ په انچو واحدونو کې بنودل کیږي (in./in.)، او په ازموینو کې سترين ځیني وختونه د فیصدي په توګه څرګندیږي. د مثال په توګه، یو نارمل سترين د $480(10^{-6})$ راپور ورکول کېدلی شي د $480(10^{-6})$ in/in یا 480 mm/m او یا 0.0480% توګه راپور کېدی شي. یا یو څوک کولی شي سترين په ساده ډول 480 (میکران) (480 "میکرو") بیان کړي.



مثبت شیبیر سترين γ

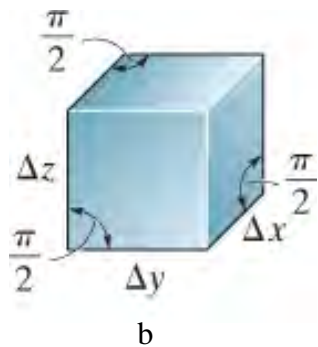
منفي شیبیر سترين γ

انځور 2-3



انځور 2-4

شپير سترين (Shear Strain). د شکل بدلون يوازي د کرښي اوږدوالي يا لنډوالي لامل نه دي، بلکه هغه د جهت بدلون سبب هم کيږي. که موږ دوه کرښي چې په اصل کې يو بل ته عمودي دي وټاکو، بيا په زاويه کې بدلون چې د کرښو ترمنځ يې واقع کيږي. دی ته **شپير سترين (shear strain)** ويل کيږي. دا زاويه په **g** (گاما) مشخص کيږي او تل په radians (rad) اندازه کيږي چې ابعاد نلري. د مثال په توگه، دوه عمودي کرښي برخي چې د بلاک په يوه نقطه کې په انځور 2-3a بنودل شوي په پام کې ونيسئ. که چيرې پلي شوي بار د بلاک د بنويدو لامل شي او هغه په انځور 2-3b کې بنودل شوي، د لمړنيو کرښو ترمنځ زاويه q ده، بيا شپير سترين پدی ټکي کې عبارت دی په:



b

د شکل بدلون ندی راغلی

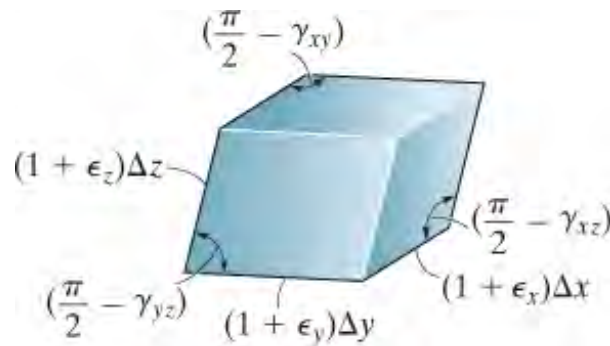
انځور 2-4 (تکرار)

$$\gamma = \frac{\pi}{2} - \theta \quad (2-3)$$

که زاويه کوچنی شوه مثبت شپير سترين او که لويه شوه منفي شپير سترين بلل کيږي.

د کارتيون سترين اجزای (Cartesian Strain Component). موږ کولی شو خپل د نارمل او شپير سترين تعريفونه عمومي کړو. انځور 2-4a په پام کې نيسو. څرنگه چې د عنصر ابعاد خورا کوچني دي د شکل له بدونه وروسته له هغه يوه کرښه څلور اړخيزه ورځيني جوړه شوی او دا په انځور 2-4b کې بنودل شوي. دلته د نارمل سترين د عنصر اړخونه بدلشوي

$$(1 + \epsilon_x)\Delta x \quad (1 + \epsilon_y)\Delta y \quad (1 + \epsilon_z)\Delta z$$



(c) د شکل بدلون راغلی

انځور 2-4 (تکرار)

او کوم چې د عنصر په حجم کې بدلون رامینځته کوي. او شپږ سترين د عنصر د اړخونو تر مینځ زاویه بدل کړي په

$$\frac{\pi}{2} - \gamma_{xy} \quad \frac{\pi}{2} - \gamma_{yz} \quad \frac{\pi}{2} - \gamma_{xz}$$

کوم چې د عنصر په شکل کې بدلون رامینځته کوي.

د کوچنی سترين تحلیل (Small Strain Analysis). په ډیری انجینري ډیزاین غوښتنلیکونو

کې د شکل کوچني بدلونونه منل شوي او اجازه لري. په دې متن کې، له همدې امله، موږ فرض کړی چې بدلونونه چې په بدن کې واقع کېږي بی نهایت کوچینی دي. د مثال په توګه، نارمل سترين چې په موادو کې واقع کېږي د 1 (یو) په پرتله خورا کوچني دي، نو ځکه $e \ll 1$. دا انگیرنه په انجینری عملي غوښتنلیکونو کې پراخه ده، او دا ډیری وختونه د کوچني سترين تحلیل په توګه یاد شوي. دا هم کارول کېدی شي کله چې په زاویه کې بدلون، Dq ، خورا کوچنی وي، نو: $\sin Dq \sim Dq$ ، $\cos Dq \sim 1$ او $\tan Dq \sim Dq$.

په دې ربرې بیبرنگ کې چې د کانکریټي پله د ګرډر لاندې یې اتکا جوړه کړی په هغه کې شپږ او نارمل سترين دواړه مینځ ته راځي. نارمل سترين د ټول هغه بارونوله امله چې له پله پر ګاډر باندې عمل او ریکشن جوړه کړی مینځ ته راځي. شپږ سترين له افقی حرکت د ګاډر چې د هوا د درجې د تغیر له امله را مینځ ته کېږي جوړېږي.



مهم ټکي

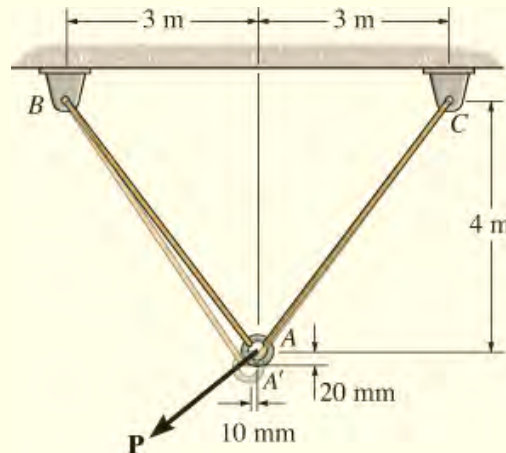
IMPORTANT POINTS

- بارونه په موادو کې د بدن د بدلونو لامل کېدی شي، او په پایله کې ټکي په بدن کې بې ځایه کېږي او په موقعیت کې یې بدلون مینځ ته راځي.
- **نارمل سترین** عبارت له غزیدني او یا لنډیدني نه دی چې به یوه واحد د اوږدوالي د یوې کرښې کې حسابیږي. پداسې حال کې **شپير سترین** د زاوي په منځ کې د بدلون اندازه ده. زاویه په منځ د دوو کوچنیو کرښو د برخې چې په اصل کې یو بل ته عمودي وي ده.
- په یوه ټکي کې د سترین حالت د شپرو سترین اجزاوو لخوا مشخص کېدی شي، او دسترین اجزاوي عبارت دی په: درې نارمل سترینونه e_x, e_y, e_z او درې د شپير سترین اجزاوي g_{xy}, g_{yz}, g_{xz} . دا ټول اجزا د کرښې برخې په اصلی جهت او د دوی په موقعیت د جسم په بدن کې اړه لري.
- سترین هغه جیومیټریک مقدار دی چې د آزمینو په کارولو سره پیدا کېږي. یوځل چې سترین تر لاسه شي، په بدن کې سټریس د موادو له خاصیتونو او اړیکو څخه ټاکل کېدی شي، په راتلونکي څپرکي کې به په دی باره کې بحث وشي.
- پیری انجینري موادو کې د شکل خورا کوچني بدلونونه پیشیږي، او په دې توگه نارمل سترین خورا کوچنی دی $e \ll 1$. دا انگیرنه د "کوچني سترین تحلیل" عادي سترین محاسبې ته اجازه ورکوي چې ساده شي، ځکه چې د لومړي ترتیب اټکل د هغې د اندازې په اړه کېدی شي.

مثالونه

مثال 2.1

دی لاندی دوو سیمو کی چی په انځور 2-5 کې بنودل شوي اوسط نارمل سترین معلوم کړئ. حلقه A له بنودل شوی ځای A' ته حرکت کوي.



انځور 2-5

حل (SOLUTION)

د سیمو هندسه (Geometry). د هر سیم اصلی اوږدوالی پدی ډول دی

$$L_{AB} = L_{AC} = \sqrt{(3 \text{ m})^2 + (4 \text{ m})^2} = 5 \text{ m}$$

اوږدوالي د هر سیم عبارت دی په

$$L_{A'B} = \sqrt{(3 \text{ m} - 0.01 \text{ m})^2 + (4 \text{ m} + 0.02 \text{ m})^2} = 5.01004 \text{ m}$$

$$L_{A'C} = \sqrt{(3 \text{ m} + 0.01 \text{ m})^2 + (4 \text{ m} + 0.02 \text{ m})^2} = 5.02200 \text{ m}$$

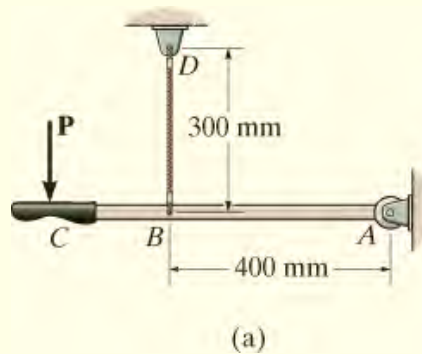
اوسط نارمل سترین (Average Normal Strain).

$$\epsilon_{AB} = \frac{L_{A'B} - L_{AB}}{L_{AB}} = \frac{5.01004 \text{ m} - 5 \text{ m}}{5 \text{ m}} = 2.01(10^{-3}) \text{ m/m} \quad \text{Ans.}$$

$$\epsilon_{AC} = \frac{L_{A'C} - L_{AC}}{L_{AC}} = \frac{5.02200 \text{ m} - 5 \text{ m}}{5 \text{ m}} = 4.40(10^{-3}) \text{ m/m} \quad \text{Ans.}$$

مثال 2.2

کله چې قوه P په یوه کلک بازو ABC پلي شي، بازو په پین A د 0.05 درجی زاویې له لارې د ساعت په مخالف سمت حرکت کوي، او دا په انځور 2-6a کې ښودل شوي. په تار BD کې نارمل سترین معلوم کړي.



انځور 2-6

حل I (SOLUTION I)

هندسه (Geometry). د بازو لوري وروسته له دې چې دا په ټکی A راتاو شي په انځور 2-6b کې ښودل شوي. د دې انځور له هندسی داسی لیکلی شو:

$$\alpha = \tan^{-1}\left(\frac{400 \text{ mm}}{300 \text{ mm}}\right) = 53.1301^\circ$$

$$\phi = 90^\circ - \alpha + 0.05^\circ = 90^\circ - 53.1301^\circ + 0.05^\circ = 36.92^\circ$$

له مثلث ABD د پیتاگورین تیورم په اساس لیکلی شو

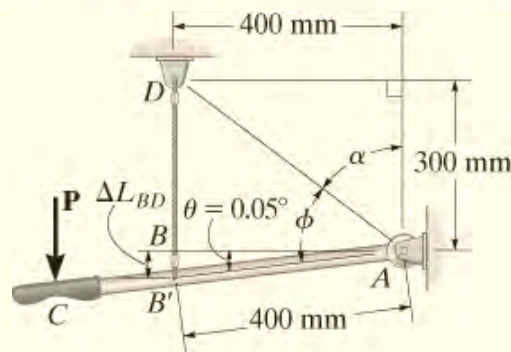
$$L_{AD} = \sqrt{(300 \text{ mm})^2 + (400 \text{ mm})^2} = 500 \text{ mm}$$

اوس د کوساین قانون په اساس له مثلث $AB'D$ دا لاندی په لاس راځي

$$\begin{aligned} L_{B'D} &= \sqrt{L_{AD}^2 + L_{AB'}^2 - 2(L_{AD})(L_{AB'}) \cos \phi} \\ &= \sqrt{(500 \text{ mm})^2 + (400 \text{ mm})^2 - 2(500 \text{ mm})(400 \text{ mm}) \cos 36.92^\circ} \\ &= 300.3491 \text{ mm} \end{aligned}$$

نارمل سترین (Normal Strain).

$$\begin{aligned} \epsilon_{BD} &= \frac{L_{B'D} - L_{BD}}{L_{BD}} \\ &= \frac{300.3491 \text{ mm} - 300 \text{ mm}}{300 \text{ mm}} = 0.00116 \text{ mm/mm} \quad \text{Ans.} \end{aligned}$$



(b)

انځور 2-6

حل (SOLUTION II) II

ځکه چی سترین کوچنی دی، په تقریبی توگه د تار BD اوږدوالي $DLBD$ به ورته پایلی په لاس راځي، انځور 2-6b و گوری.

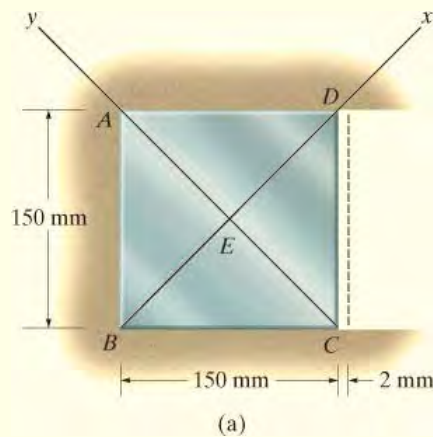
$$\Delta L_{BD} = \theta L_{AB} = \left[\left(\frac{0.05^\circ}{180^\circ} \right) (\pi \text{ rad}) \right] (400 \text{ mm}) = 0.3491 \text{ mm}$$

له همدی امله

$$\epsilon_{BD} = \frac{\Delta L_{BD}}{L_{BD}} = \frac{0.3491 \text{ mm}}{300 \text{ mm}} = 0.00116 \text{ mm/mm} \quad \text{Ans.}$$

مثال 2.3

یو پلیټ چې په انځور 2-7a کې ښودل شوی، اړخ AB یې کلک او ټینګ نښلول شوی. او په پورتنی AD اړخ او ښکته اړخ BC کې افقی متحرک لارښودنه کیدلای شي. که ښي اړخ ته 2 (دوه) ملي میټر یوشان افقی ښي ځایه کیدنه ورکړل شي، مشخص کړئ (a) اوسط نارمل سترین د قطر AC په اوږدو کې، او (b) شپږ سترین په E کې د x ، y محورونو په پرتله.



انځور 2-7

حل (SOLUTION)

اوله برخه (Part a).

کله چې تخته بیځایه شي، له قطر AC کرښه AC' جوړیږي انځور 2.7b ویني. اوږدوالي د قطرونو AC او AC' د پیتاګورین تیوریم څخه موندل کیدی شي. مونږی لرو

$$AC = \sqrt{(0.150 \text{ m})^2 + (0.150 \text{ m})^2} = 0.21213 \text{ m}$$

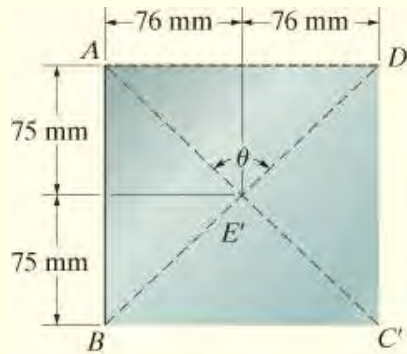
$$AC' = \sqrt{(0.150 \text{ m})^2 + (0.152 \text{ m})^2} = 0.21355 \text{ m}$$

له همدی امله اوسط نارمل سترین پر AC عبارت دی په

$$(\epsilon_{AC})_{\text{avg}} = \frac{AC' - AC}{AC} = \frac{0.21355 \text{ m} - 0.21213 \text{ m}}{0.21213 \text{ m}}$$

$$= 0.00669 \text{ mm/mm}$$

Ans.



(b)

انځور 2-7 (تکرار)

دوهمه برخه (Part b). د x او y محورونو په پرتله په E کې شیبیر سترین موندلو لپاره، کوم چې 90° درجی له یو بل څخه جلا دي، اړینه ده چې په E کې د زاویو بدلون وموندل شي. وروسته د بیخایه کیدنی انځور 2-7b وویښی

$$\tan\left(\frac{\theta}{2}\right) = \frac{76 \text{ mm}}{75 \text{ mm}}$$

$$\theta = 90.759^\circ = \left(\frac{\pi}{180^\circ}\right)(90.759^\circ) = 1.58404 \text{ rad}$$

له معادلی 2-3 گټه اخلو او شیبیر سترین په E کې عبارت دی په تغیر د زاویه AED کې

$$\gamma_{xy} = \frac{\pi}{2} - 1.58404 \text{ rad} = -0.0132 \text{ rad}$$

Ans.

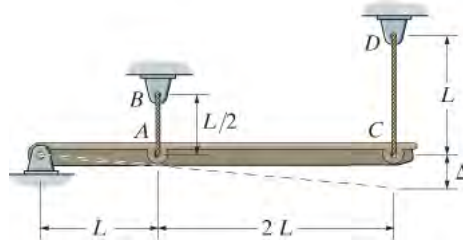
منفي علامه دا بنایي چې 90° درجی زاویه لویږي.

نوټ: که چیرې x او y محورونه په E کې افقی او عمودي وی، بیا د 90° درجی زاویه په بین ددی دواړو محورونو کې تغیر نه مومي او په دی دلیل په E کې شیبیر سترین صفر دی ، $g_{xy} = 0$.

لمرني سوالونه

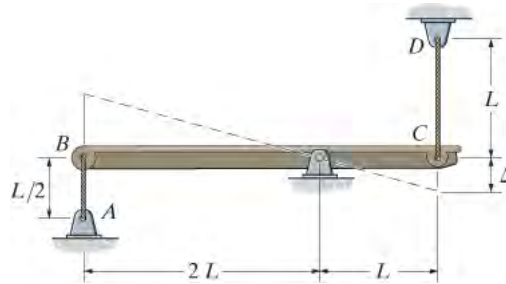
PRELIMINARY PROBLEMS

ل 2-1. د بار له امله د غړو بيخايه كيدنه په ټوټه شوي كرنبنه په لاندې انځور كې بنودل شوي. تشریح كړئ چې څنگه نارمل سترينو نه θ_{CD} او θ_{AB} مشخص كړو. بي خايه شوي D او ليكل شوي ابعاد معلوم دي.



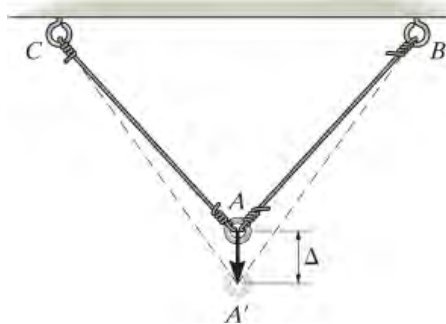
ل 2-1

ل 2-2. د بار له امله د غړو بيخايه كيدنه په ټوټه شوي كرنبنه په لاندې انځور كې بنودل شوي. تشریح كړئ چې څنگه نارمل سترينو نه θ_{CD} او θ_{AB} مشخص كړو. بي خايه كيدنه D او ليكل شوي ابعاد معلوم دي.



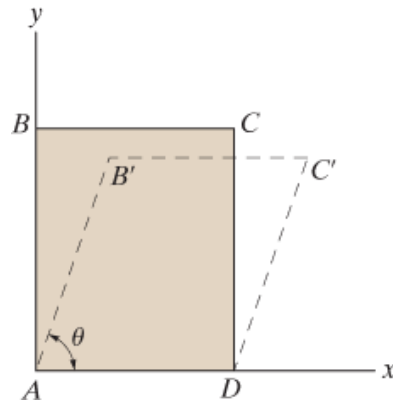
ل 2-2

ل 2-3. د بار له امله د تارونو اوږدوالي منځ ته راغلي، دا اوږدوالي په ټوټه شوي كرنبنه په لاندې انځور كې بنودل شوي. تشریح كړئ چې څنگه نارمل سترين θ_{AB} په تار AB كې معلوم كيدی شي. بي خايه كيدنه D او فاصلي د ټولو ليكل شويو ټكو ترمنځ معلوم دي.



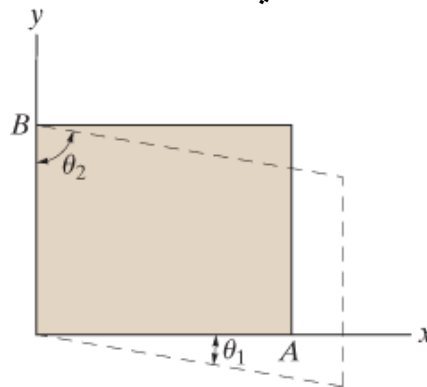
ل 2-3

ل 2-4. بار پلي كيدل د بلاك د شكل تغير لامل شوي اودا د شكل په توتپه شوي كرنه پدي لاندې انخور كې بنودل شوي. تشریح كړئ چې څنگه سترين e_{AB} , e_{AC} , e_{BC} , $(g_A)_{xy}$ پيدا كيږي. زاويې او د ټولو ترمنځ فاصلي معلومې دي.



ل 2-4

ل 2-5. بار پلي كيدل د بلاك د شكل د تغير لامل شوي اودا د شكل په توتپه شوي كرنه پدي لاندې انخور كې بنودل شوي. تشریح كړئ چې څنگه سترين $(g_B)_{xy}$ او $(g_A)_{xy}$ پيدا كيږي. زاويې او د ټولو ترمنځ فاصلي معلومې دي.

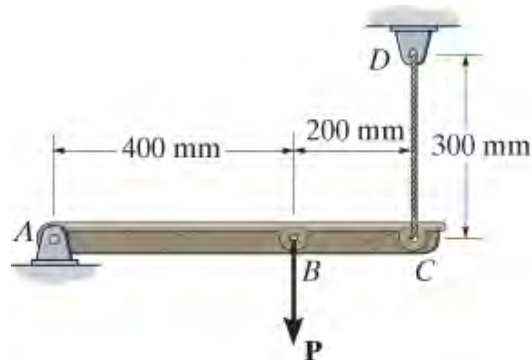


ل 2-5

بنسټيز سوالونه

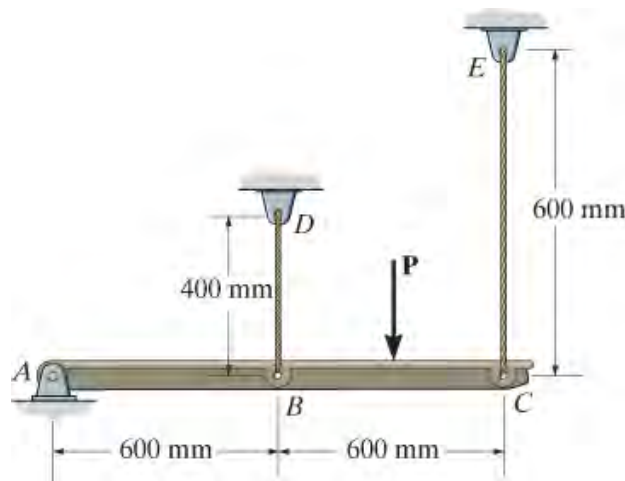
FUNDAMENTAL PROBLEMS

ب 2-1. کله چې قوه P په کلک بازو ABC باندې پلې شي، ټکی B د فاصلې له لارې په عمودي توګه بنسټه خوا ته په فاصله دی 0.20 mm بې ځایه کيږي، په تار CD کې نارمل سترين معلوم کړئ.



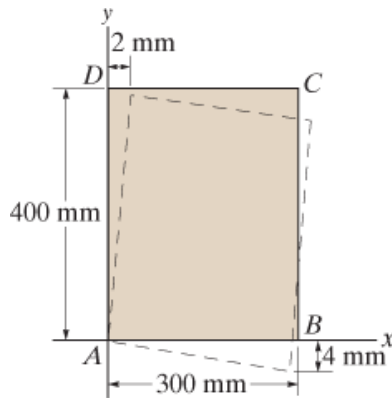
ب 2-1

ب 2-2. کله چې قوه P په کلک بازو ABC پلې شي بازو په پین A کې په زاویه 0.02 درجه د ساعت په لور څرخيږي، نارمل سترين په تارونو BD او CE کې مشخص کړئ.



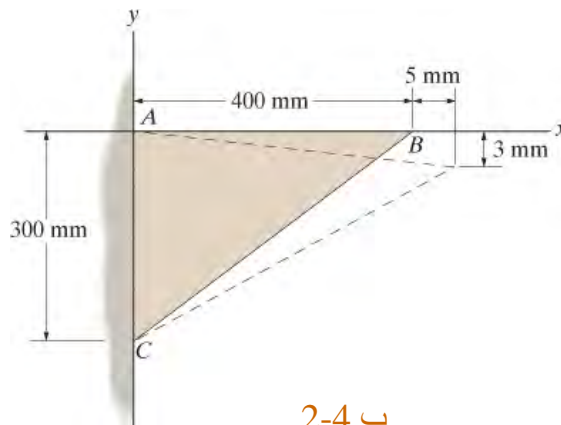
ب 2-2

ب 2-3. يو مستطیلی شکل تخته په متوازی الاضلاع بدله او په لاندی انخور کی د ټوټه شوی کرښي لخوا بنودل شوي . اوسط شیبیر سترین په کونج A کی د x او y محورونو په پام کی نیولو سره معلوم کړئ .



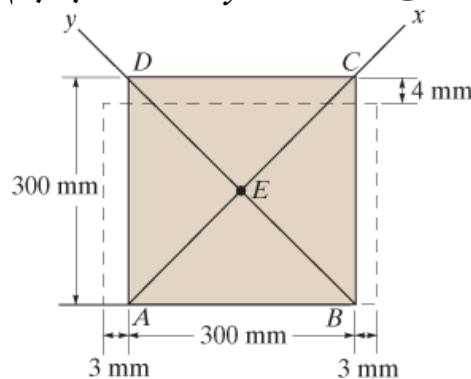
ب 2-3

ب 2-4. د مثلثی تختي شکل بدلون موندلي، چی په لاندی انخور کی په ټوټه شوي کرښي په واسطه بنودل شوي . نارمل سترین د BC په څنډه کی او اوسط شیبیر سترین د A په کونج کی د x او y محورونو په پام کی نیولو سره معلوم کړئ .



ب 2-4

ب 2-5. د مربع تختی شکل چی په ټوټه کرښو بنودل شوي بدلون موندلي. د اوسط نارمل سترین په قطر AC کی او هم شیبیر سترین په ټکی E کی د x او y محورونو په پام کی نیولو سره مشخص کړئ .



ب 2-5

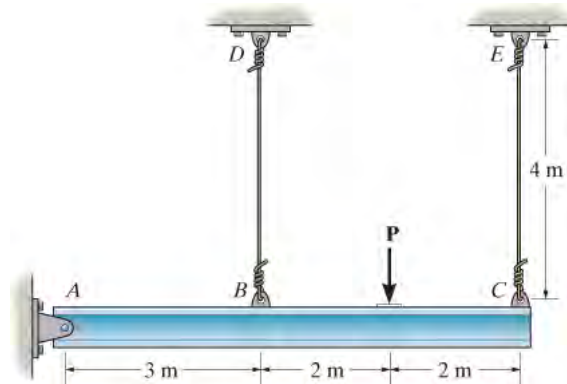
سوالونه

PROBLEMS

س 2-1. یو د ربر توپ چی 6 انچ قطر لري له هوا څخه پک دی. که چیری د توپ دننه د هوا فشار تر هغه حد لوړ شی چی قطر یی 7 انچه شی په ربر کی اوسط نارمل سترین و ټاکی.

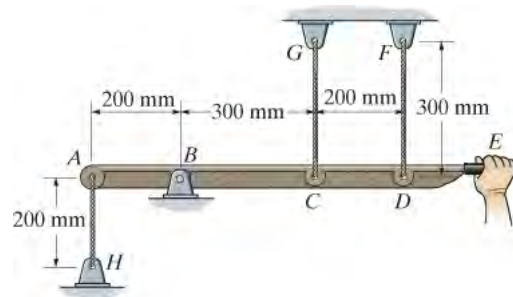
س 2-2. د ربر یو پتلی چی کشیدلی نده 15 انچه اوږدوالی لري. که چیری دا د پایپ شاوخوا وغزول او تاو شی تر څو بهرنی قطر یی 5 انچه شی په پتلی کی اوسط نارمل سترین و ټاکی.

س 2-3. که چیری بار P په لاندی بیم باندې ټکی C له اصلی ځایه 10 mm بنکته خوا ته بی ځایه کړی، نارمل سترین په تارونو CE او BD کی پیدا کړی.



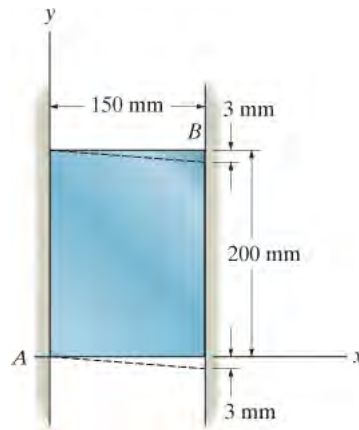
س 2-3

س 2-4. په کلک بازو څنگه چی په لاندی انځور کی بنودل شوی د لاس په واسطه په ټکی E کی یوه قوه پلی شوی، بازو په پین B په 2 (دوه) درجو زاویه په جهت د ساعت څرخیدلی. په هر یوتار کی اوسط نارمل سترین مشخص کړی کله چی بازو په افقی موقعیت کی وي تارونه کش شوی نه وی.



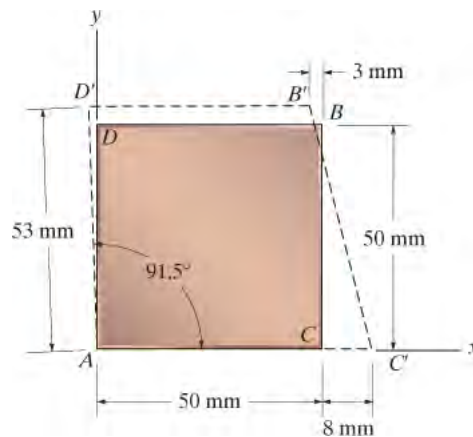
س 2-4

س 2-5. د یو مستطیل تختی په شکل کی بدلون راغلي چی د توتیه شوی کرنسوله لاری په لاندی انخور کی بنودل شوي. په تخته کی اوسط شیبیر g_y سترین وټاکي.



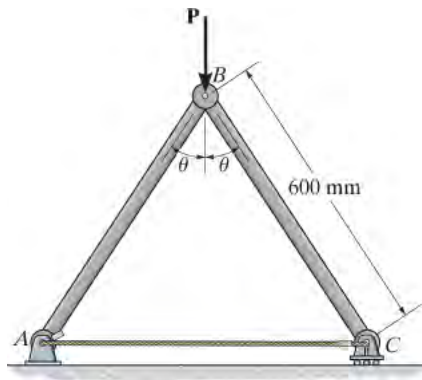
س 2-5

س 2-6. د یو مربع په شکل کی بدلون راغلي او د هغه نوی موقعیت د توتیه شوی کرنسولخواپه لاندی انخور کی بنودل شوی. شیبیر سترین د A ، B ، C ، او D په کنجونوکی چی د x ، y محورونو سره تړاو لري پیدا کړي. اړخ $B'D'$ په افقی حالت کی پاتې کيږي.



س 2-6

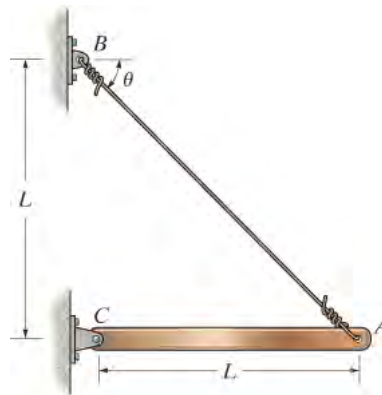
س 2-7. دوه کلک راډونه AB او BC یو بل سره د میلان په زاویه $q = 30^\circ$ ، د پین پواسط چی بار ورباندی عمل کړی وصل شوی دی. کله چی قوه P پلی شي نوموړی زاویه $q = 30.2^\circ$ کیږي. اوسط نارمل سترین په تار AC کی معلوم کړئ.



س 2-7

س 2-8*. تار AB هغه وخت نه غځول کیږي کله چی $q = 45^\circ$ وي. که یو بار په AC باندی داسی پلی شي چی د $q = 47^\circ$ لامل شي، په تار کی نارمل سترین معلوم کړئ.

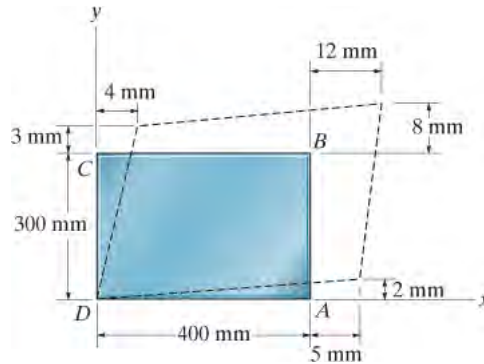
س 2-9. که چیری یو افقی بار په AC عمل وکړي چی تکی A په اندازه د DL بني لور ته بیخایه شی. نارمل سترین په تار AB کی پیدا کړي. زاویه q اصلاً $q = 45^\circ$ وه.



س 2-8/9

س 2-10. د A او B په کونجونو کی شییر سترین g_y مشخص کړئ که چیری د پلاستیک تختی بیخایه کیدنه په ټوټه شوی کرښو بنودلشوی وی.

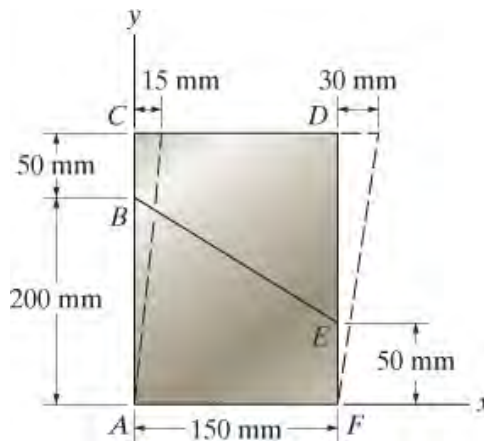
س 2-11. شیبیر سترین g_{xy} په کونجونو D او C کې مشخص کړئ که چیرې د پلاستیک تختی بیخایه کیدنه په ټوټه شوی کربنو بنودل شوی وی.



س 2-10/11

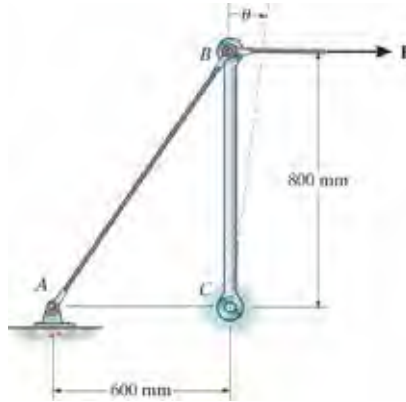
س *2-12. د یوې تختی بیخایه شوی موقعیت په ټوټه شوی کربنو په لاندی انخوړ کې بنودل شوي. اوسط نارمل سترین ϵ_x, ϵ_y او شیبیر سترین g_{xy} په ټکی A کې او اوسط نارمل سترین په کربنه BE پیدا کړي.

س 2-13. د یوې تختی بیخایه شوی موقعیت په ټوټه شوی کربنه په لاندی انخوړ کې بنودل شوي. اوسط نارمل سترین په اوږدو د ډایگنلونو AD او CF کې مشخص کړئ.



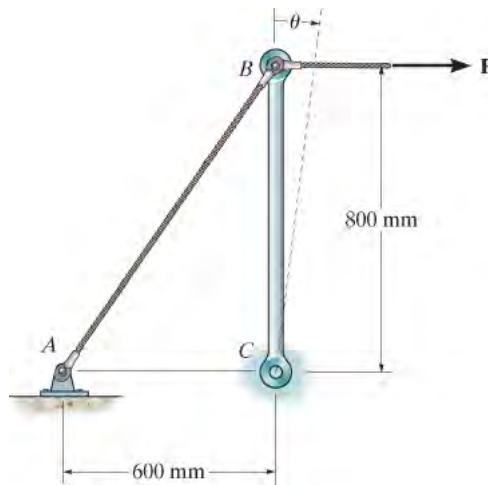
س 2-12/13

س 2-14. د الوتکې د کنټرول اړیکې یوه برخه له کلک غړی CB او یو د انعطاف وړ کیبل AB څخه جوړه ده. که یو قوه په پای B د غړي پلي شي او هغه په زاویه $q = 0.5^\circ$ د څرخیدو لامل شي، په کیبل کې نارمل سترین معلوم کړئ. کیبل په اول کې خوځیدلی نه دی.



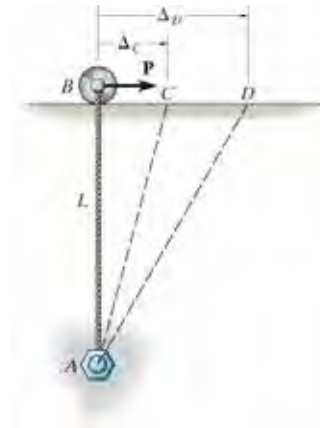
س 2-14

س 2-15. د الوتکې د کنټرول اړیکې یوه برخه له کلک غړی CB او یو انعطاف وړ (flexible) کیبل AB جوړه ده. که یو قوه د B په پای دغړي پلي شي او په هغه کې نارمل سترین 0.004 mm/mm جوړ کړي د ټکی B بې ځایه کېدنه مشخص کړئ. کیبل په اول کې خوځیدلی نه دی.



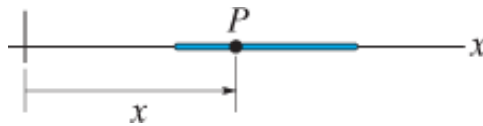
س 2-15

س 2-16*. د نیلون تار اصلي اوږدوالی L دی، او په A کې په بولټ او په B کې په رولر تړل شوی. که چیرې قوه P په رولر پلي شي، په تار کې نورمال فشار مشخص کړئ کله چې رولر په C ، او D کې وی. که چیرې تار په اصل کې کله چې په C کې وی خوځیدلی نه وی نارمل سترین e_D مشخص کړئ کله چې رولر D ته حرکت وکړي. وښيي چې که چیرې بې ځایه کېدنه (D) په C او D کې کوچني وي، بیا $e_D = e_C - e_B$



س 2-16

س 2-17. یو نازک تار، په ایکس (x) محور پروت دی، داسی غځول شوی چی په هره ټکی د تار بیخایه کیدنه عبارت ده په $Dx = kx^2$. دلته k یو ثابت ارزښت دی. نارمل سترین په هر ټکی P د تار په اوږدو په تار کی پیدا کړي؟

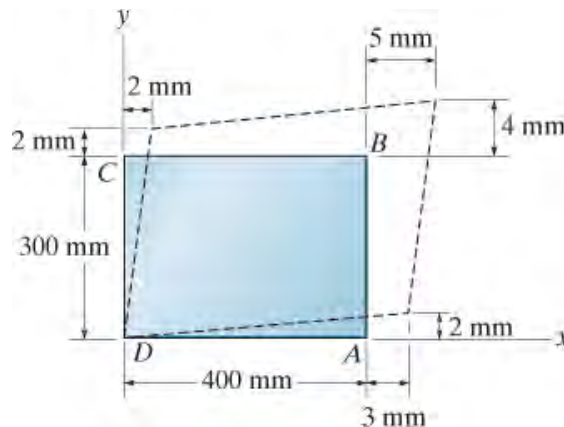


س 2-17

س 2-17. د یوی تختی په کنجونو A او B کی د شیبیر سترین g_y مشخص کړئ. د تختی تغیر شکل په ټوټه شوی کرښو پدی لاندی انځور کی بنودل شوي.

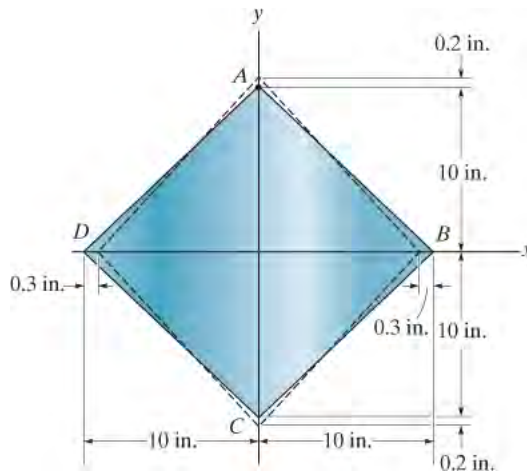
س 2-18. د یوی تختی په کنجونو C او D کی د شیبیر سترین g_y مشخص کړئ. د تختی تغیر شکل په ټوټه شوی کرښو پدی لاندی انځور کی بنودل شوي.

س 2-19*. اوسط نارمل سترین په دایگنلونو AC او DB پیدا کړي.



س 2-18/19/20

س 2-21. د یو مربع شکل تختی بیخایه شوی کنجونه پدی لاندی انخور کی په گوته شوي. اوسط نارمل سترین e_x , e_y په x او y محورونو په جهت معلوم کړي .

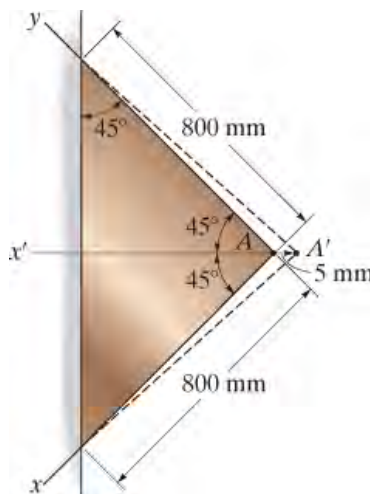


س 2- 21

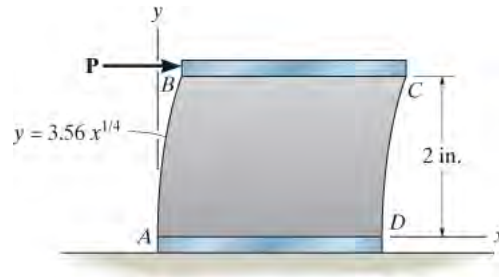
س 2-22. مثلثي تخته په خپل پایه کی ټینګه تړل شوی، او د هغې سر A ته د 5 mm په اندازه په افقی جهت بی خایه کیدنه ورکړل شوي. شپیر سترین e_{xy} په ټکی A کی معلوم کړي.

س 2-23. مثلثي تخته په خپل پایه کی ټینګه تړل شوی، او د هغې سر A ته د 5 mm په اندازه په افقی جهت بی خایه کیدنه ورکړل شوي. اوسط نارمل سترین e_x د x محور په اوږدو کی معلوم کړي.

س 2-24. مثلثي تخته په خپل پایه کی ټینګه تړل شوی، او د هغې سر A ته د 5 mm په اندازه په افقی جهت بی خایه کیدنه ورکړل شوي. اوسط نارمل سترین $e_{x'}$ د x' محور په اوږدو کی معلوم کړي.

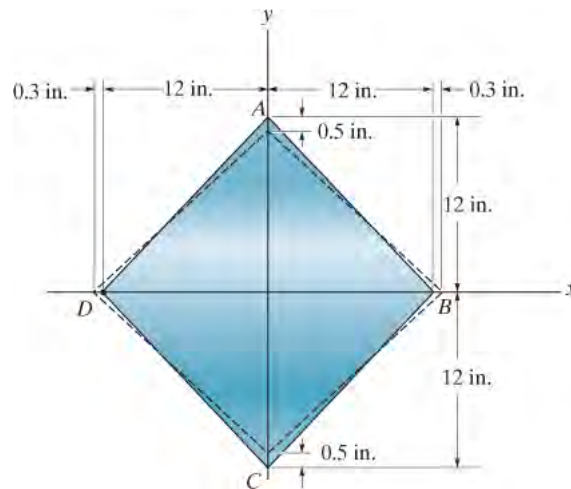


س 2-25. د پولی سلفون (polysulfone) پلاک په پورتنی او بنکته برخو کې د کلکو تختو سره سرپین شوی دی. که چیرې یو ه افقی قوه په دی کلکه تخته عمل وکړي ، د موادو د بیخایه کیدو لامل کيږي او د هغې د اړخونو بیخای کیدنه د $y = 3.56 x^{1/4}$ معادلی بواسطه بنودل شوی. د شیر سترین اندازه د A او B په کنجونوکی مشخص کړئ .



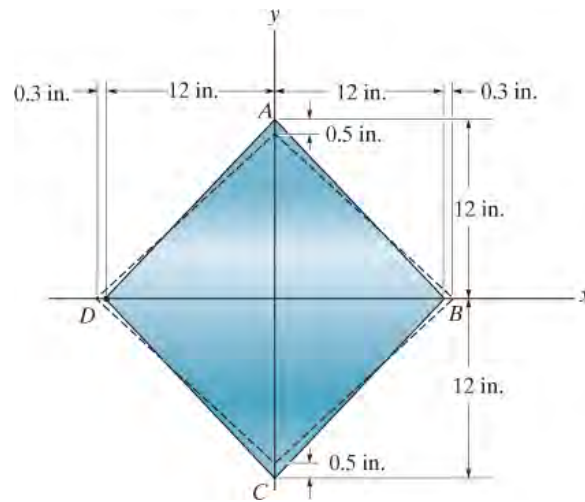
س 2-25

س 2-26. د مربع تختی کونجونو ته چی په لاندی انخوړ کی بنودلشوی بی خایه کیدل په گوته شوي . په ټکی A کی شیر سترین د AB او AD محورو په اوږدوالی مشخص کړئ. او هم شیر سترین په ټکی B کی چی د BC او BA محورونو په اوږدوالی معلوم کړي.



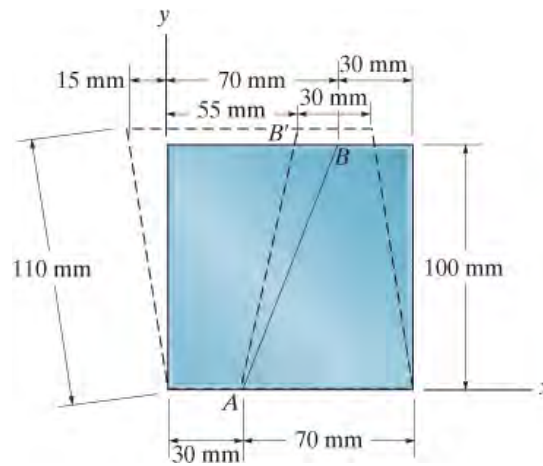
س 2-26

س 2-27. د مربع تختی کونجونو ته چی په لاندی انخوړ کی بنودلشوی بی خایه کیدل په گوته شوي . اوسط نارمل سترین د AB په اوږدوالی او دایگنلونو AC او BD په جهت معلوم کړي.



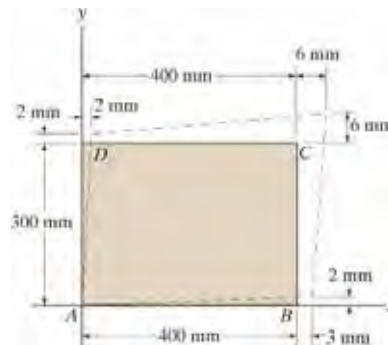
س 27-2

س 28-2. د دی لاندی بلاک بیخایه کیدنه په ټوټه شویو کرښو بنودل شوي. اوسط نارمل سترین د AB کرښی په اوږدوالی پیدا کړي.



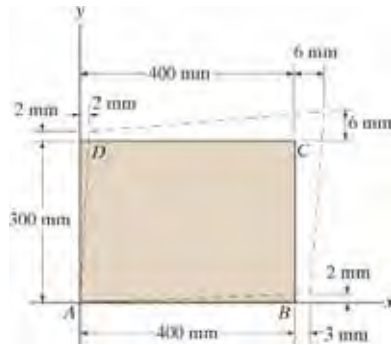
س 28-2

س 29-2. د مستطیل تختی بدل شوی شکل پدی لاندی انځور کی په ټوټه شوی کرښو بنودل شوی. اوسط نارمل سترین په دایگنل AC او اوسط شیبیر سترین په کونج A کی د x ، y محور په لور معلوم کړئ.



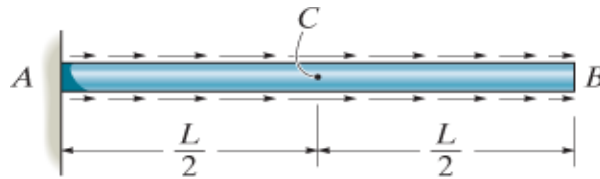
س 29-2

س 2-30. د مستطیل تختی بدل شوی شکل پدی لاندی انځور کی په ټوټه شوی کرینو بنودل شوی. اوسط نارمل سترین په دایگنل BD او اوسط شییر سترین په کونج B کی د x ، y محور په لور معلوم کړی.



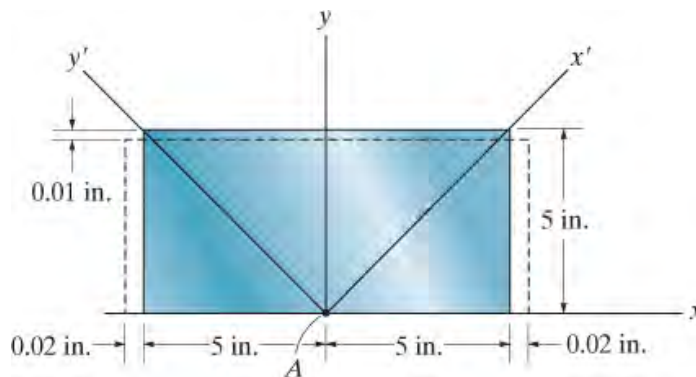
س 2-30

س 2-31. غیر یونیفورم بار په میله باندی د نارمل سترین لامل کیږي. او دا سترین په میله کی پدی معادله $e_x = k \sin\left(\frac{\pi}{L}x\right)$ سره بنودل کیدی شي. چیرته چې k ثابت ارزښت لری. بی ځایه کیدنه په وسط C ټکی کی مشخص کړی او هم په ټول راد کی اوسط نارمل سترین معلوم کړي.



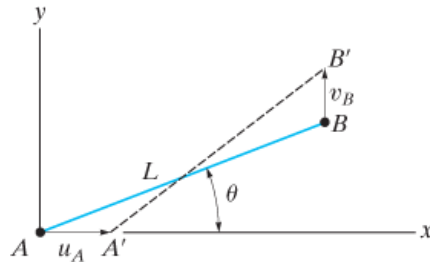
س 2-31

س 2-32. د یو مستطیل تختی شکل کی بدلون راغلي او دا بدلون په دی لاندی انځور کی په ټوټه شوی کرینو بنودل شوی. شییر سترین g_{xy} او g_{yx} د A په ټکی کی مشخص کړی.



س 2-32

س 2-33. یو تار AB (fiber) اوږدوالی L او q جهت لري. که د دی تار پای A او B کوچني بي خایه کید نه u_A او v_B په ترتیب سره وويني، په فايبر کې نارمل سترين په $A'B'$ موقعیت کې مشخص کړئ .



س 2-33

س 2-34. که چیرې نارمل سترين نظر آخری اوږدوالي $\Delta s'$ ته په عوض د اولی يا اصلي اوږدوالي، چی په معادله 2-2 پیدا کيږی، په دی لاندی معادله تعريف شي

$$\epsilon' = \lim_{\Delta s' \rightarrow 0} \left(\frac{\Delta s' - \Delta s}{\Delta s'} \right)$$

تاسو ويني چی تفاوت ددی دواړو سترينو په منخ کې به دوهمه درجه ارزش ولری چی په لاندی ډول به وی. $e - e' = e e'$

دریم فصل

(CHAPTER 3)



(© Tom Wang/Alamy)

د دی کانکریټ ستنې تخریب کیدل د ځمکې افقي بې ځایه کیدلو د زلزلې له امله رامینځته شوي. د فولادو او کانکریټو د موادو ځانګړتیاوې او پیژندنه باید په پام کې ونیول شي ترڅو انجینران وکولی شي په سمه توګه کالم د اړوند مقاومت لپاره ډیزاین کړي

د موادو میخانیکي خاصیتونه

MECHANICAL PROPERTIES OF MATERIALS

د فصل موخي (CHAPTER OBJECTIVES)

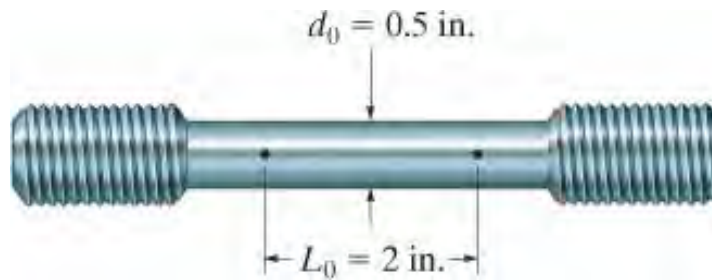
په دې فصل کې د سترس او سترین په بنسټیزو مفاهیمو بحث کیری او مور به وښیو چې سترس د سترین سره څه تړاو لري او د آزموینو له لاري د سترس - سترین ډیاگرام د ځانگړیو مواد لپاره څنگه جوړیږي. نور میخانیکي ځانگړتیاوې او آزمویني چې د موادو د میخانیکي خواصو د مطالعې سره تړاو لري بحث به ورباندې وشي.

3.1 کشش او د تیلوهلو آزمویني

(THE TENSION AND COMPRESSION TEST)

د موادو پیاوړتیا د هغوي په توانايي پورې اړه لري تر څو د بهرنی بار له امله خراب یا له منځه لاړ نشي. دا پیاوړتیا په موادو کې ذاتي خاصیت دی او د تجربې له لاري ټاکل کیری. یو خورا مهم آزموینه پدې برخه کې د کشش (ټینشن) او تیلوهل (کمپریشن) آزموینه ده. یوځل چې دا آزموینه ترسره شي، بیا مور کولی شو چې د سترس او سترین ترمنځ اړیکې وټاکو. او دا په انجینری کې د اکثر موادو لکه فلزات، سیرامیک، پولیمر، او د گډ شویو موادو (کمپازیت) لپاره اجرا کیری.

د کشیدو یا تیل و هلو آزمویني ترسره کولو لپاره، د موادو نمونه بنای یی چی په یو "معیاري" شکل او اندازه جوړه شی، څنگه چی په انځور شکل 3-1 کی بنودل شوي. لکه څنگه چی بنودل شوي دا نمونه یوه ثابت دایروی غوڅه برخه لري چی د راډ په سرو کی لویه شوي ده. کله چی آزموینه وشي، د نمونی ماتیدل یا شکل بدلیدل به د مرکزي سیمي په اوږدو کی واقع شي. د آزمویني دمخه، دوه کوچني نښانی د راډ په اوږدوالي کی پرځای کیري چی گيج ورته وایی. د نموني د غوڅی برخی مساحت لومړني اندازه A_0 او د گيج اوږدوالي، L_0 ، لمرنی فاصله د نښان شویو ټکیو تر منځ ده چی اندازه یی پخوا له آزمویني معلومه شي. د مثال په توگه، کله چی فلزي نمونه د کشیدو په آزموینه کی تری کار اخستل کیری، په عمومی ډول لمرنی قطر یی $d_0 = 0.5 \text{ in. (13 mm)}$ او د گيج (gage) اوږدوالي $L_0 = 2 \text{ in. (51 mm)}$ وی، انځور 3-1.



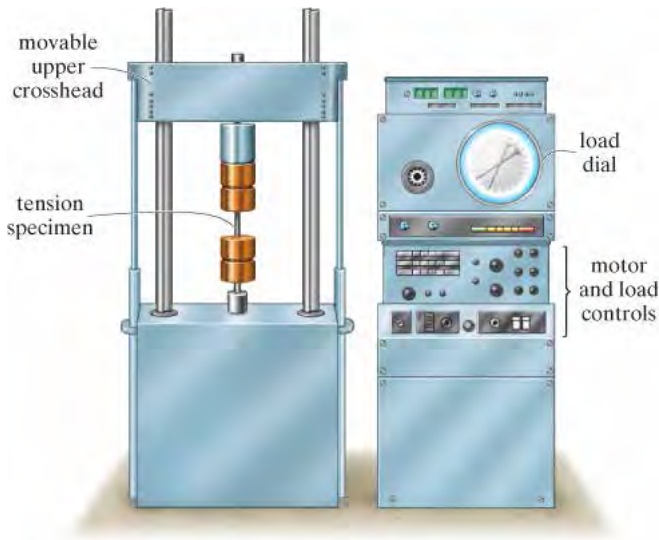
انځور 3-1

د آزمویني ماشین لکه څنگه چی په انځور 3-2 کی بنودل شوی د کش کیدو لپاره کارول کیری. دا نمونه په خورا ورو او دوامداره توگه غځول کیری تر څو هغه ماته شي. ماشین د دې یوشان غځیدنی ساتلو او اړین بار لوستلو لپاره ډیزاین شوی تر څو غځول په پرله پسې وقفو کی، او د پلي شوي بار P معلومات ثبت شي.

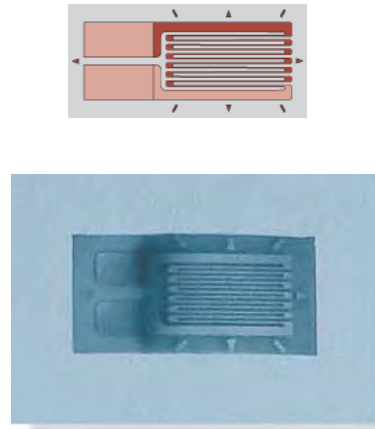
همدارنگه، د اوږدوالي تغیر $d = L - L_0$ د نمونی د نښان شویو ټکیو ترمنځ اندازه شي. ډاکار د کلیپر، میخانیکي، یا نوری وسیلې په کارولو سره چی **ایکسنسامتر** (*extensometer*) په نوم یادیري تر سره کیری. د دې اندازه کولو په پرتله بیا د نمونی سترین محاسبه کیدی شي. دا هم ممکنه ده چی نارمل سترین د **بریبنايي مقاومت سترین گيج** په کارولو سره په مستقیم ډول ولولئ لکه څنگه چی په 3-3 شکل کی بنودل شوي. لکه څنگه چی په لاندی عکس کی بنودل شوي، گيج د نمونی په اوږدو کی سیمنت کیری، ترڅو دا گيج د نموني یوه برخه شي. کله چی نمونه کی سترین د گيج په جهت راوړل شي، دواړه تار او نمونه به ورته سترین وینی. د بریبنا د تار مقاومت د بدلون اندازه او گيج ممکن کلیبریت شي تر څو نارمل سترین په نمونه کی په مستقیم ډول ولوستل شي.



د فولادو ځانگړي نمونه چې سترين گيج ورسره وصل شوي.



انځور 3-2



انځور 3-3

3.2 د سترس- سترين ډايگرام (THE STRESS-STRAIN DIAGRAM)

يوځل چې د ازمويني سترس او سترين ډيټا معلومه شي ، بيا له پايلې ديتا كيداى شي چې گراف ورځينى جوړ شي. دا گراف د سترس - سترين گراف په نوم يادېږي. دا ډياگرام خورا گټور دى ځكه چې دا د جوړ شوي موادو د هرې اندازي نموني لپاره تطبيق كيږي. دلته دوه لارې شتون لري چې د سترس-سترين ډياگرام په عام ډول تشرېح كيداى شي.

دوديز سترس- سترين ډايگرام (Conventional Stress-Strain Diagram)

دوديز يا د انجينيږى سترس عبرت دى په پلي شوي بار P چې وويشل شى د غوڅى برخي د نموني په لمړنى مساحت A_0 . دا محاسبه داسې انگيري چې سترس په غوڅه برخه او د گيج په اوږدوالى كې ثابت دى. مونږي لرو

$$\sigma = \frac{P}{A_0}$$

(3-1)

په ورته ډول، دوديز يا انجنيري سترين په مستقيم ډول د سترين گيج له لوستلوڅخه هم موندل کيږي شى . د نموني او د گيج اوږدوالي بدلون d چې وويشل شى په لمړنى اوږدوالي د گيج L_0 ، په دې توگه ليکلى شو،

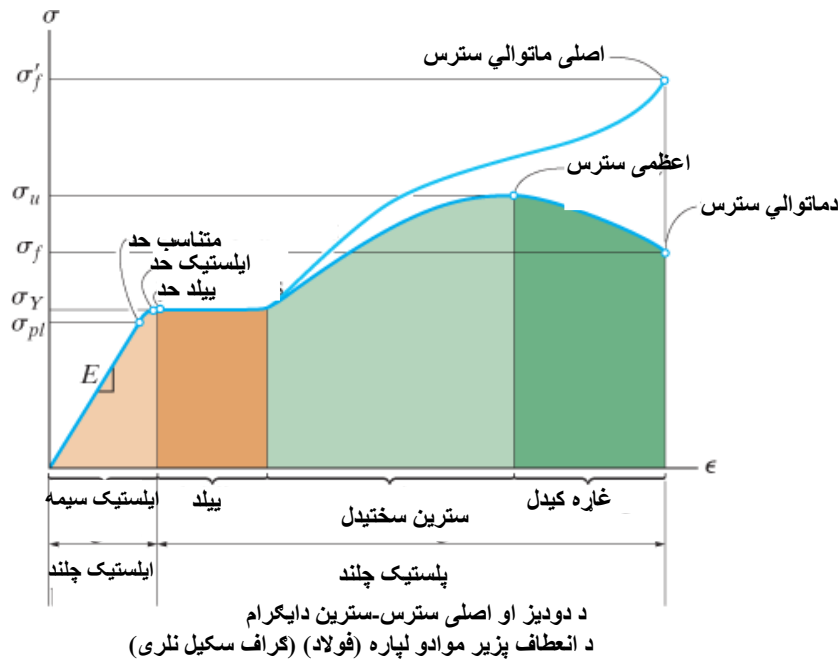
$$\epsilon = \frac{\delta}{L_0} \quad (3-2)$$

کله چې د s او e دا ارزښتونه په گراف کې رسم شى، چېرته چې عمودى محور سترس او افقى محور سترين دى، پايله لرونکى گراف **دوديز سترس – سترين دايگرام (conventional stress-strain diagram)** په نوم ياديږي . د دې منحنى يو عادي مثال په انځور 3-4 کې ښودل شوي. په هر صورت، پوه شى چې دوه د سترس-سترين دايگرامونه د ځانگړي مواد په ورته وي، مگر هيڅکله به دقيق يو شان نه وي. دا ځکه چې پايلې په حقيقت کې په ورته د نمونى په حالتونو پورې اړه لري، لکه د موادو جوړښت، مايکروسکوپي نيمگړتياوې، د نمونى جوړيدل، د بارولو کچه، او د تودوخې درجه د ازموينې په وخت کې.

په انځور 3-4 کې، مور کولى شو څلور مختلفى سيمي په گوته کړو کوم چې مواد په ځانگړي ډول چلند کوي، او دا پدې پورې اړه لري چې په کومه اندازه سترين په موادو کې عمل کوى.

ارتجايي چلند (Elastic Behavior) . د دايگرام لومړنى سيمه چې په رڼا نارنجي رنگ

ښودل شوي ده دى ته ايلستيکى سيمه ويل کيږي. دلته گراف مستقيمه کرښه دي تر هغه ځاى پورې چې د سترس حد S_{pl} (proportional limit) ته رسيږي. کله چې سترس يو اندازه د دې ارزښت څخه ډير شي، گراف لږ څه منحنى کيږي تر څو سترس ايلستيک حد S_y پورې رسي. د ډيرى موادو لپاره، دا ټکي د يو بل سره خورا نږدې وي او له همدې امله د دوى دقيق توپير کول خورا ستونزمن کيږي. کوم چې د ايلستيک حد سيمه او ارزښت ځانگړي کوي هغه دا دى گه سترس تر دى سيمي S_y پورې ورسيرى او بيا بار له نموني ليرې شي، نمونه به خپل اصلي شکل بيرته ترلاسه کړي ، په بل عبارت، موادو ته به هيڅ زيان ونه رسيږي.



انخور 3-4

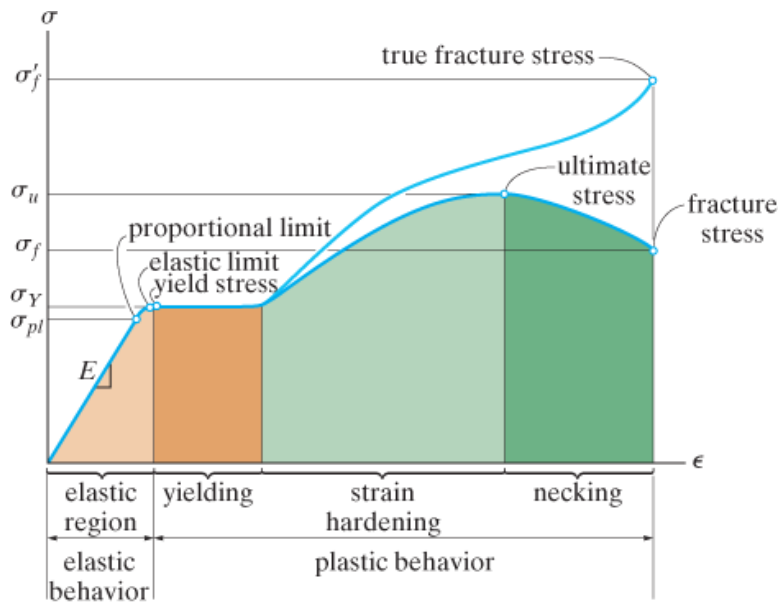
خکه چي په سترس دایوگرام کی وینو کرښه ترمتناسب (پروپورشنل) حد σ_{pl} پوري مستقیمه کرښه ده، تر هغه خایه هر ډول زیاتوالی په سترس کې به به متناسب ډول د سترین د زیاتوالي لامل کیږي. دا حقیقت په 1676 کې د رابرت هوک لخوا د فنر په کارولو سره کشف شو، او د **هوک قانون (Hook's Law)** په نوم پیژندل کیږي. دا په ریاضي سره په لاندی ډول بنودل شوي:

$$\sigma = E\epsilon$$

(3-3)

دلته E یو ثابت تناسب څرگندوي، کوم چي په نامه **درتجاعیت ماجولس (Modulus of Elasticity)** یا **یانگ ماجولس (Young's modulus)** یادېږي. تامس ینگ (Thomas Young) په 1807 کال کی په دی لړ یو مقاله خپره کړه او وروسته له هغه دا د هغه په نوم نومول شوی.

لکه څنگه چي په انخور 3-4 کې بنودل شوي د ارتجاعیت ماجولس د یو مستقیمي کرښي د میلان استازیتوب کوي. خکه چي سترین ابعاد نه لری نو د 3-3 معادلی نه E به د سترس په څیر ورته واحدونه ولري، لکه ksi ، psi ، یا پاسکالونه.



Conventional and true stress–strain diagram for ductile material (steel) (not to scale)

انځور 3-4 (تکرار)

بيلدینگ (Yielding) . که چیری سترس د ارتجاعیت حد څخه لږ زیاتوالی و مومي په پایله کې به د موادو ماتول او د تل لپاره د دځیری د بدلون لامل کیږي. دی حالت ته **بيلدینگ (yielding)** ویل کیږي، او دا په انځور 3-4 کې په نارنجی مستطیل سیمه ښودل شوي. هغه سترس چې د بیلد سترس σ_Y حاصلولو لامل کیږي په نوم د بیلد سترس یا بیلد ټکی یادېږي. او هغه بدلون چې په لمړنی څیره کې واقع کیږي **پلاستیکی بدلون** بلل کیږي. که څه هم په انځور 3-4 کې د ټیټ کاربن فولادو یا هغه مواد چې سور رول شوي وي نه دی ښودل شوي چې د بیلد ټکی په دوه (2) ارزښتونه ولری. **پورتنی بیلد ټکی** لومړی واقع کیږي، وروسته د ناڅاپي کمښت سره د بار ورلو ظرفیت ټیټ ټکی ته چې **ټیټ بیلد ټکی** یادېږي ځی. یوځل چې د بیلد ټکی ته ورسید، بیا لکه څنگه چې په انځور 3-4 کې ښودل شوي، د نمونی خوځیدل (سترین) به دوام و مومي پرته له دی چې بار زیات شی. کله چې مواد پدې طریقه چلند کوي دا ډیری وختونه د **بشپړ پلاستیک** په توګه ویل کیږي .

د سترین سختیدل (Strain Hardening). کله چې بیلدینگ پای ته ورسیري، یو ځل بیا نمونه کړی شی نور بار واخلی چې دی سترس د زیاتوالی لامل کیږي، په پایله کې کرښه په منحنی ډول پرله پسې لوړیږي تر هغه اعظمي سترس حد ته چې د نهایی سترس σ_u (ultimate stress) په نوم یادېږي ورسیري او پس له هغو بیرته هوارېږي. دا ډول د منحنی کرښی زیاتوالی په دایگرام کې د **سترین سختول (strain hardening)** په نوم یادېږي، او دا په 3-4 انځور کې په رڼا شنه سیمه پیژندل شوی.

د غوڅی برخې کمښت یا غاړه کیدل (necking). تر نهایی سترس S_u پورې نمونه اوږدېږي او د نمونې د غوڅی برخې ساحه د گيچ په اوږدوالي کې په کافي اندازه په یوشان ډول کمېږي. وروسته له دې چې نهایی سترس ته ورسېږي د غوڅی برخې په یوه حصه کې مساحت شروع په لږیدو کوی او هلته د سترس ډیروالي پیل کېږي. د پایلې په توگه، یو نریتوب یا "غاړه" د گيچ په اوږدوالي کې جوړېږي او دا په انځور 3-5a کې ښودل شوي. دا سیمه د غاړې له امله په انځور 3-4 کې په تیاره شنه رنگ ښودل شوي. دلته د سترس-سترین ډیاگرام کرښه ښکته خوا ته دوام لری تر څو نمونه ماتېږي او دی سترس ته د ماتیدو سترس S_f (fracture stress) او دا په انځور 3-5b کې ښودل شوي.



عادي غاړه کیدل یا د غوڅی برخې کمښت چې د فولادو نمونه کې مخکې له ماتیدو ښودل شوي

ریښتیني سترس-سترین ډا ډیاگرام (True Stress-Strain Diagram). د غوڅی برخې د لمړنۍ مساحت A_0 او د نمونې د لمړنۍ اوږدوالي L_0 پرځای چې د (انجینري) سترس او سترین محاسبه کولو لپاره مو ورځیني کار واخست، مور کولی شو چې د غوڅی برخې اصلي مساحت A او د نمونې اوږدوالي L په هغه لحظه کې چې سمدستي توگه بار اندازه کېږي کار واخلو. د سترس ارزښتونه او د دې اندازه کولو څخه موندل شوي سترس د ریښتیني سترس او سترین د ریښتیني سترین په نوم یادېږي، او د دوی د ارزښتونو دایگرام د ریښتیني سترس-سترین ډیاگرام په نوم یادېږي. کله چې دا ډیاگرام جوړ شي، دا یو شکل لري چې په انځور 3-4 کې په پورتنۍ نیلي منحنی ښودل شوي. په یاد ولری چې دودیز او ریښتیني $s-e$ ډیاگرامونه په عملي توگه د کوچنی سترین لپاره یو شان ښکاري. توپيرونه هغ وخت پیل کېږي کله چې د سترین سختوالی حصی ته ورسېږي، چېرې چې د سترین اندازه ډیرېږي.

د پام وړ خبره داده چې له دوديز $s-e$ دياگرام څخه داسې بنکاري چې د نمونې سترس يا بار مخ په کمیدو دی، ځکه چې A_0 ثابت ده او $s = N/A_0$. په حقیقت کې، ریښتیني $s-e$ دیاگرام بنیې چې د غاړې سیمې مساحت A تر هغه وخته پورې چې د نمونې ماتیدل s_f پیل مومي کوچنی ده او په دې توګه مواد په حقیقت کې د سترس زیاتوالی وینی ځکه چې $s = N/A$.

که څه هم د دې دوو دیاگرامونو ترمنځ دا توپیر شتون لري، مور کولای شو چې ددی اغیزې ته پام ونکړو ځکه چې پیری انجینري پیزاین یوازې د ایلسټیک په سیمه کې تر سره کیږي. دا به په عمومي توګه د موادو د شکل تغیر پیر کوچنیو ارزښتونو ته محدود کړي، او کله چې بار لري شي مواد به بیرته پخپله خپل اصلي شکل ته راشي. د دودیز سترس - سترين دیاگرام کیدی شي په ایلسټیک لرونکي سیمه کې وکارول شي ځکه چې ریښتیني سترين دایلسټیک تر حده پورې په کافي اندازه کوچنی او د s او e تپرونه په انجینري ارزښتونو کې د دوی د ریښتیني ارزښتونو په پرتله خورا کوچنی (شاوخوا 0.1%) دی.



د (غاړې) جوړیدل (Necking)

د نرمو (ductile) موادو ماتیدل

(a)

انځور 3-5

(b)



دا د فولادو نمونه په واضح ډول د غاړې جوړیدل مخکې له ماتیدو بنیې. دا د "پیالی مخروط" په ماته سیمه کې جوړوي کوم چې دی د نرمو موادو ځانګړتیا ده.

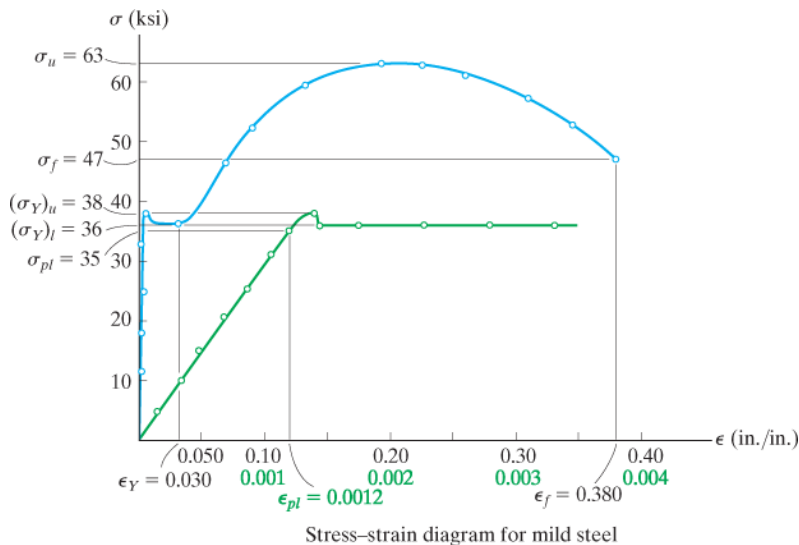
فولاد (Steel).

د معتدل فولادو لپاره يو عادي دوديز سترس – سترين دياگرام نمونه په انځور 3-6 کې بنودل شوي. د توضيحاتو لورولو لپاره ايلستيک ساحه د سترين په شنه رنگ بنودل شوي. د دې منحنی کرښی په تعقيب، لکه څنگه چې بار (سترس) زیادت مومي د تناسب حد $s_{pl} = 35 \text{ ksi} (241) \text{ MPa}$ کيږی، چیرته چې $\epsilon_{pl} = 0.0012 \text{ in./in.}$. که چېرې بار نور هم زیات شي سترس پورتنی بیلد ټکي $(s_Y)_u = 38 \text{ ksi} (262 \text{ MPa})$ ته رسي، په تعقيب کې سترس د ټیټی بیلد ټکی $(s_Y)_l = 36 \text{ ksi} (248 \text{ MPa})$ ته راکم کيږی. آخربرخه د بیلد کې سترين $\epsilon_Y = 0.030$ دی، کوم چې 25 ځله ډیردی له تناسب حد (ϵ_{pl}) سترين څخه . په دوام سره نمونه د سترين سختوالي څخه تیريږي تر څو هغه وروستي آخری لور سترس ته ورسیري $s_u = 63 \text{ ksi} (434 \text{ MPa})$; بیا تر ماتیدو پورې غاړه جوړیدل یا د غوڅی برخي کمیدل پیل کيږي او د نموني ماتیدل $s_f = 47 \text{ ksi} (324 \text{ MPa})$ پیل کيږي، د ماتیدو سترين د $\epsilon_f = 0.380 \text{ in./in.}$ دی چې د ϵ_{pl} په پرتله 317 ځله لوی دی.

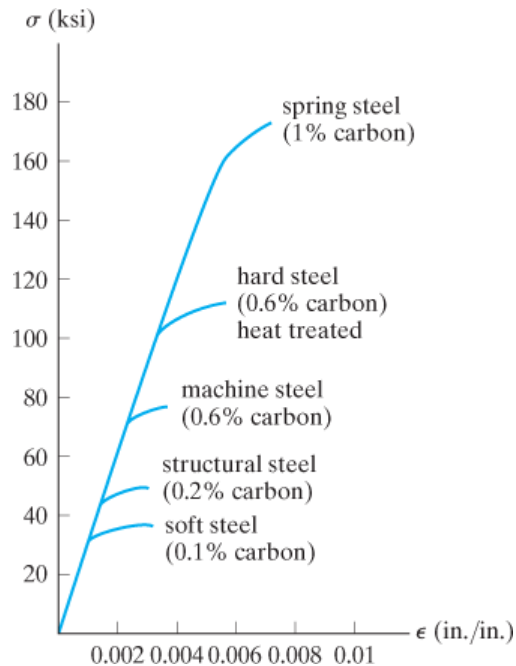
څرنگه چې $s_{pl} = 35 \text{ ksi}$ او $\epsilon_{pl} = 0.0012 \text{ in./in.}$ ، مور کولی شو چې د ایلستیسټی ماجولس مشخص کړو چې د هوک د قانون له مخی دا دی

$$E = \frac{\sigma_{pl}}{\epsilon_{pl}} = \frac{35 \text{ ksi}}{0.0012 \text{ in./in.}} = 29 (10^3) \text{ ksi}$$

که څه هم د فولادو ډولونه مختلف کاربن مواد لري، ډیری درجي فولاد، له نرم رول شوي فولادو څخه تر خورا سخت وسیلي فولادو پورې، د ایلستیسټی ماجولس یي کابو یو شان دی، لکه څنگه چې په انځور 3-7 کې بنودل شوي .



انځور 3-6



انځور 3-7

3.3 د سترس- سترين چلند دغوژيدونكي او ماتيدونكي مواد و (STRESS - STRAIN BEHAVIOR OF DUCTILE AND BRITTLE) (MATERIAL)

د موادو طبقه بندي په دې پورې اړه لري چې غوژيدونكي دي او يا ماتيدونكي او دا د دوی د سترس – سترين د خاصیتونو سره تړاو لري.

غوژيدونكي مواد (Ductile Materials). هر هغه مواد مخکې له دې چې مات شي د لوی سترين توانايي ولري. غوژيدونكي فولاد، لکه مخکې بحث پری و شوی يو عادي مثال دی. انجيران په ډيزاين کې اکثرا غوژيدونكي مواد غوره کوي ځکه چې دا مواد شاک يا د انرژي د جذب وړ دي. او که دوی بار شي، دوی به معمولاً مخ کې لږې مات شي د لوی بدلون توانايي لري.

يوه لاره چې د موادو غوژيدل مشخص شي داده چې د ماتيدو په وخت کې د غړی اوږدوالی يا د مساحت کمښت په سلنه د ماتيدو په لحظه کې راپور ورکول کیدی شي. د نموني د ماتيدو په وخت کې د سترين په سلنه توگه څرگند کیدی شي. که د نموني اصلي گيج اوږدوالی L_0 وي او د ماتيدو اوږدوالي په L_f وبنودل شي، بيا

$$\text{Percent elongation} = \frac{L_f - L_0}{L_0}(100\%) \quad (3-4)$$

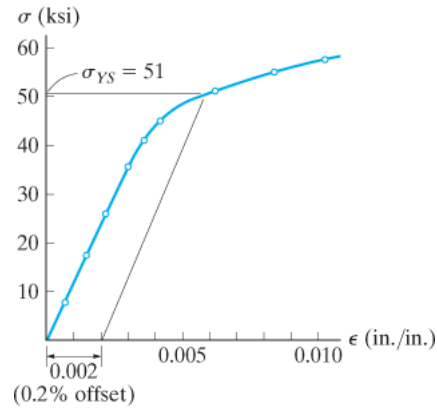
د مثال په توگه په انځور 3-6 کې د ماتيدو سترين $e = 0.380$ دی، دا ارزښت 38% د متعدل فولادو د نمونې دی.

په مساحت کې د فیصدو کمښت د غوړيدونکيو موادو د مشخص کولو لپاره بله لاره ده. دا د غاړې په سيمه کې په لاندې ډول تعريف شوی :

$$\text{Percent reduction of area} = \frac{A_0 - A_f}{A_0}(100\%) \quad (3-5)$$

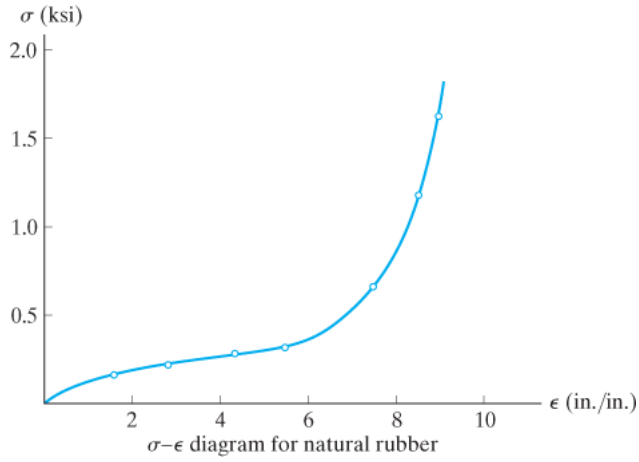
دلته A_0 د نمونې اصلي غوڅه برخې ساحه ده او A_f ساحه د غاړې د ماتيدو په وخت کې ده. په معتدلو فولادو کې دا عدد معمولاً 60% ارزښت لري.

د فولادو تر څنګ نور فلزات لکه برنج (brass)، موليبډينم (molybdenum) او زينک (zinc) کيدای شي همدارنگه د فولادو په شان د غوړيدونکيو موادو د سترس – سترين ځانگړتياوې لری. په ثابت سترس کې بيلد، د سترين سختوالي او په پای کې غاړه کيدل تر ماتيدو د مخه لري. په ډيرو نورو فلزاتو او ځينې پلاستيکونو کې، وروسته له ايلستیک سيمې ثابت بيلد شتون نه لری. يو فلز چې ددی قضیې سره مطابقت لری هغه المونيم دی، او د سترس – سترين ډايگرام يې په انځور 3-8 کې ښودل شوي. په حقيقت کې، دا فلز اکثراً ښه تعريف شوي بيلد نقطه نلري، او د بيلد مقاومت معلومولو لپاره له گرافيکي کرنلاری چې د *آفسټ میتود* په نوم ياديري کار اخيستل کيري. عموماً په ډيزاين کې يو 0.2% سترين (0.002 in / in) غوره شوی، او له دې ځای څخه په e محور يو کرښه موازی په اوله مستقيمې برخه د ډايگرام رسم کيري. هغه نقطه چې دا کرښه د ډايگرام منحنی سره يو ځای کيري هغه ټکی بيلد مقاومت تعريفوي. د گراف څخه، د بيلد مقاومت $s_{YS} = 51 \text{ ksi} (352\text{MPa})$ دی.

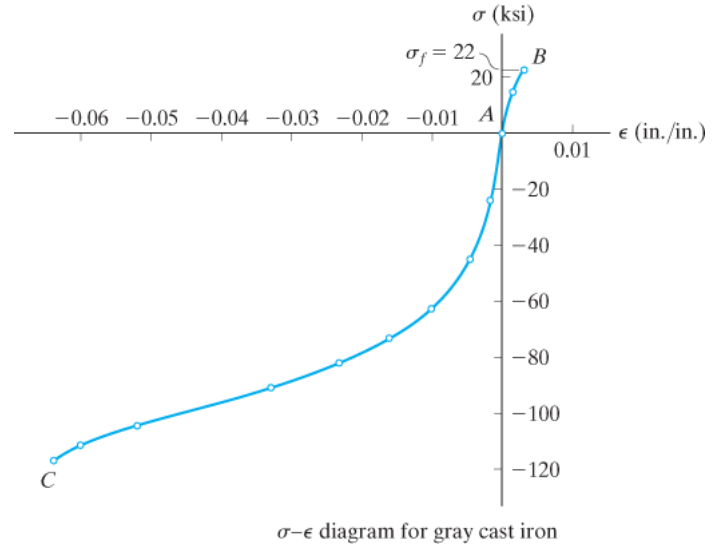


د المونيم سترس - سترين گراف

انخور 3-8



انخور 3-9



انخور 3-10



بايد پوه شو چې د بيلد مقاومت د موادو فزيکي خاصيت ندي، ځکه چې دا يو سترس دی چې په موادو کې داسې ټاکل شوي د دايمي سترين لامل کيږي. په هر صورت، پدې متن کې به موږ فرض کړو چې د بيلد مقاومت، د بيلد نقطه، ايلستیک حد، او متناسب حد ټول سره يو ځای په يوه ټکي کې دي. يو استثنا ربر دي، کوم چې په حقيقت کې يو متناسب حد نه لري، ځکه چې سترس او سترين په خطي توگه تړاو نلري. پر ځای يې، لکه څنگه چې په انځور 3-9 کې ښودل شوي، دا مواد چې د پوليمر په نوم پيژندل کيږي، غير خطي ايلستیک چلند ښيي.

لرگي يو داسې مواد دی چې ډيری وختونه په معتدل ډول غوژيدونکی دی، او د پايلې په توگه معمولا يوازې د ايلستیک بار لپاره ډيزاين کيږي. د لرگيو مقاومت ځانگړتياوې له يو ډول څخه بل ته خورا توپير لري، او په يوه ډول کې هم مقاومت يې په لنډوالي، عمر، په اندازه او څرنگوالي د خنډو تړاو لري. له هغه ځايه چې لرگي فايبر دی او په غوڅه کې کانی حلقې لري، مقاومت يې د بار د جهت سره چې په لرگي عمل کوی پراخ توپير لري. که په يوه لرگي د کشش داسې قوه عمل وکړي چې په حلقو (ليکو) عمودي جهت ولري، لرگي به په اسانۍ جدا شي.

کانکريټ د ساختماني موخو لپاره کارول کيږي بايد په کمپريشن کې ازموينه وشي ډاډه ده چې دا خپل وروستي ډيزاين ته رسيږي د 30 ورځو درملني وروسته سترس .

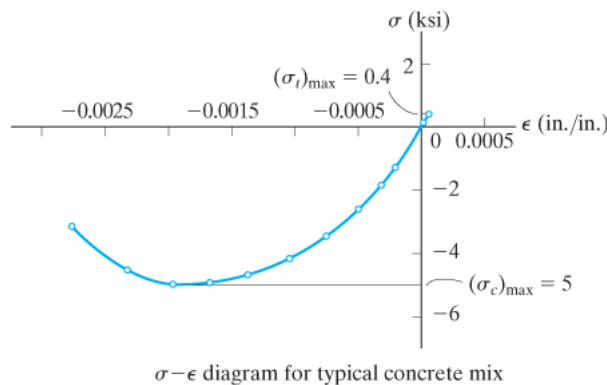


Tension failure of a brittle material
(a)



Compression causes material to bulge out
(b)

انځور 3-11



انځور 3-12

ماتيدونکي مواد (Brittle Material). هغه مواد چې لږ يا هيڅ بيلد حد نه مخکي مات شي، دا ډول مواد په نامه د ماتيدونکي مواد يادېږي. خړه کاسټ وسپنه (Gray cast iron) يو مثال دی چې په کشش کې يې د سترس – سترين ډياگرام په انځور 3-10 کې په AB بنودل شوي. دلته په سترس $s_f = 22 \text{ ksi} (152 \text{ MPa})$ کې د مايکروسکوپي درز له امله ماتيدل رامینځته شوی، چې بيا په چټکۍ سره په ټوله نمونه کې خپور شوی او د نمونې د بشپړ ماتيدلو لامل شوي. په يوه نمونه کې درزونه او پيل يې خورا تصادفي دي. په ماتيدونکي مواد کې بڼه تعريف شوي کششي ماتيدونکي سترس نه لري. پرځای يې اوسط ماتيدونکي سترس له ليدل شوي ازموينو راپور ورکول کېږي. يو عادي تخريب شوی نمونه په انځور 3-11a کې بنودل شوي. پدې انځور کې په ماته حصه کې غاړه نده جوړه شوی لکه په فولادی نمونه کې چې وه.

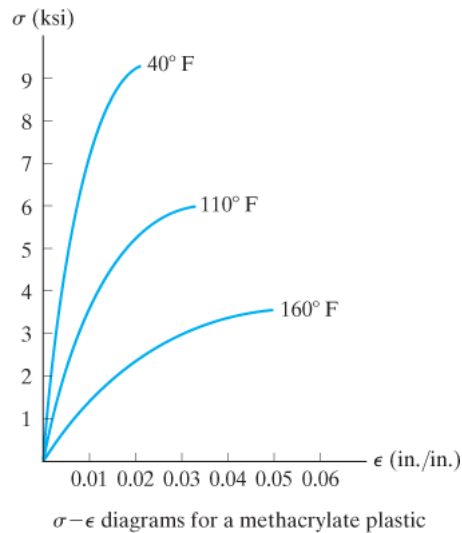


فولاد په چټکۍ سره خپل قوت له لاسه ورکوي کله چې گرم شي. د دې دليل لپاره ډيری وختونه انجنيران اصلي جوړښتي غړو ته اړتيا لري چې د اور په صورت کې عايق ولری. شی.

د کشش چلند په پرتله، ماتيدونکي مواد د محوري کمپريشن په وړاندې خورا لوړ مقاومت لري، لکه څنگه چې د خړی کاسټ وسپني منحنی AC په انځور 3-10 کې بنودل شوی. د دې قضیې لپاره هر ډول درزونه په نمونه کې څنگه چې بار زیاتېږي نږدې کېږي. مواد په عموم ډول کله چې سترين زیات شي پرسوب کوی او د بېرل په څير څنگه چې په انځور 3-11b کې بنودل شوی وده کړي.

د خړی کاسټ وسپني په څير، کانکريټ د ماتيدونکيو مواد په توگه په کشش کې د تيبټ قوت ظرفيت لري. د هغې ځانگړتياوي د سترس – سترين ډياگرام په عمده ډول د کانکريټو په مخلوط پورې اړه لري (اوبه، شگه، ريگ او سيمنت) او پخيدو (curing) چې په وخت او تودوخه پورې تړاولری. د کانکريټ لپاره د "بشپړ" سترس – سترين ډياگرام د مثال په توگه په انځور 3-12 کې ورکړل شوی. د معاینې په واسطه، د هغې اعظمي تخته کيدو قوت يې شاوخوا 12.5 ځله د خپل کششي قوت څخه ډير دي، $(s_c)_{\max} = 5 \text{ ksi} (34.5 \text{ MPa})$ په تناسب د کشش 0.40 ksi $(s_t)_{\max} = (2.76 \text{ MPa})$. په همدې خاطر، کانکريټ په عمومي توگه د فولادو بارونو يا نورو ريښو سره تقويه کېږي کله چې د کششي بارونو د وړلو لپاره ډيزاين شوی.

په عموم ډول ويل کيدی شي چې ډيری مواد دواړه نرم او ماتيدونکی خاصیتونه لری. د مثال په توگه، فولاد گله چې لوړه اندازه د کاربن ولری کلک او ماتيدونکی وی، او کله چې د کاربن مقدار يې لږ وی نرم خاصیت لري. همدارنگه، په تيبټ حرارت کې مواد سخت او ډير توتېه کيدونکی حالت غوره کوی، په داسې حال کې چې کله د تودوخې درجه لوړه شي دوی نرم او د نرمی خاصیت غوره کوی. دا اغيزی په 3-13 انځور کې د میتاکریلیت پلاستیک لپاره بنودل شوی.



انځور 3-13

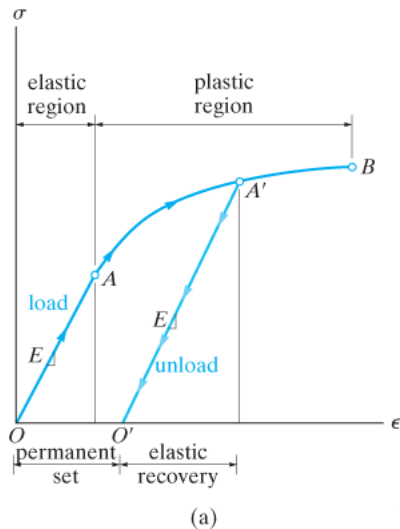
شخي (stiffness). ایلستیستی ماجولس یو میخانیکي خاصیت دی چې د موادو سختوالی په گوته کوي. هغه مواد چې ډیر سخت یا کلک وي، لکه فولاد، د $E [E_{st}]$ یی لوی ارزښت لري، $E [E_{st} = 29(10^3) \text{ ksi or } 200\text{GPa}]$ ، په داسې حال کې چې سپنج لرونکي مواد لکه ولکانیز شوي ربر ماجولس یی تیبټ ارزښت لري $[E_r = 0.10 \text{ ksi or } 0.69 \text{ Mpa}]$. د عام استعمال شوي انجینري موادو لپاره د E ارزښتونه اکثراً په انجینری جدولونو او کوډونو کې بنودل شوي. نمونیی ارزښتونه یی ددی کتاب آخر په داخلي پوښ کې لیست شوي دي.

د ایلستیستی ماجولس یو له خورا مهم میخانیکي خاصیتونوڅخه دی چې دهغه ځانگړتیاوې په متن او د معادلوکې په جوړولو کې دلته وړاندې شوي. دا باید تل په یاد وساتل شي، که څه هم، هغه E ، چې د هوک قانون له لارې، Eq. 3-3، په لاس راځی یوازی هغه وخت کارول کیدي شي چې مواد خطي ایلستیکی چلند ولري. همدارنگه، که په موادو کې سترس له تناسب حد څخه ډیر شي، د سترس - سترين ډیاگرام په مستقیم کرښه کې نه پاتې کیري، او د هوک قانون نورد اعتبار وړ نه دی.

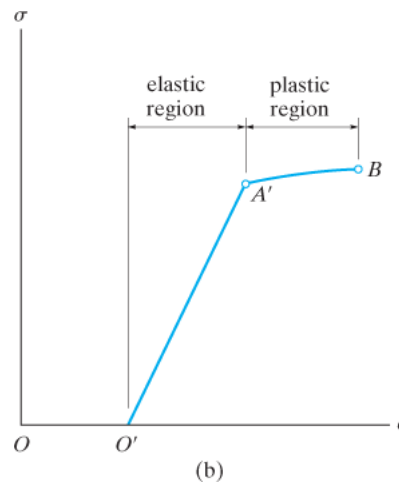
د سترين سختيدل (Strain Hardening). که د نرمو موادو نمونه، لکه فولاد، تر پلاستيک

حد پوري بار شي او بيا بار ورځيني لري شي، ايلستيک سترين بيرته تر لاسه کيږي کله چې مواد خپل توازن حالت ته راستون شي. پلاستيک سترين پاتي کيږي، او د پايلې په توگه په مواد و کې يوه دايمي کيناسته يا تغير (permanent set) منځ ته راځي. د مثال په توگه، يو سيم کله چې تاو شي (پلاستيکي) کله چې بار تری لری شي يو څه بيرته (په ايلستيکي ډول) خپل حالت راځي؛ اما په بشپړه توگه خپل اصلي حالت ته نه راستون کيږي. دا چلند دسترس- سترين دايگرام سره په انځور 3-14a کې بنودل شوی. دلته نمونه بار شوي ده له خپل ايلستيک نقطې A څخه د A' نقطې ته. ځکه چې بار بايد په بين الاتومي قواوو غالب شي تر څو نمونه ايلستيکي و غځول شي، بيا ورته قواوی کله چې بار لري شي اتومي قوی بيرته نمونه لنډوی، چې دا په انځور 3-14a کې بنودل شوي. په پايله کې، د ايلستيکي ماچولس، E ، ورته دی، او له همدې امله د $O'A'$ کرښی ميلان د OA کرښی سره ورته دی. د بار لري کولو سره، دايمي کيناسته OO' منځ ته راځي.

که بار بيا عمل وکړی اتومونه به بيخايه شي او بيلد به د A' سره واقع شي او د ستريس- سترين دايگرام به په پخوانی لاره لاړ شي، لکه چې په Fig. 3-14b انځور کې بنودل شوی. دا نوی ستريس- سترين دايگرام چې په $O'A'B$ بنودل شوی تر پخوا لور بيلد ټکی (A') لری چې دا کار د سترين سختوالی له کبله شوی دی، چې اوس د غوژيدونکي يا پلاستيکي ساحه يی نسبت اولی ته کوچنی شوه.



انځور 3-14



دا پين د سخت فولاد څخه جوړ شوی و، يعني هغه يو چې لور کاربن لري. دا د ماتيدو نکی موادو په توگه دوی ټوټي شو.

3.4 سترين انرژي (STRAIN ENERGY)

لکه څنگه چې مواد د بهرني بار لخوا تغیر کوي، بهرني بار کار کوي، کوم چې په پایله کې په موادو کې د داخلي انرژي په توګه زيرمه کيږي. دا انرژي په موادو کې د سترينونو سره تړاو لري، او له همدې امله دا د **سترين انرژي** په نوم يادېږي. د سترين انرژي محاسبه کولو څرنگوالي او بنودلو لپاره، د موادو يو کوچني ټوټه د حجم، چې د کشش سترس ازمويني نموني څخه اخیستل شوي، په پام کې نيسو. او دا حجم د نمومي په انځور 3-15 بنودل شوي. په دی حجم يو محوری کششی سترس s عمل کوي. دا کششی سترس يو قوه جوړه وي او هغه عبارت ده په

$$DF = s DA = s(Dx Dy)$$

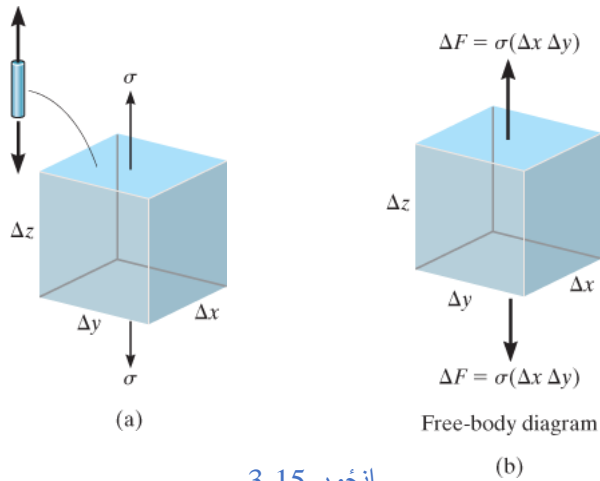
چې د عنصر په پورته او بنکته مخونو عمل کوي، کوم چې د عنصر د عمودي بې ځايه کيدو eDz لامل کيږي، دا په انځور 3-15b کې ليدل کيږي. د تعريف له مخې، کار د قوی او د قوی په لوری د بيځايه کيدنی لخوا ټاکل کيږي. دلته قوه په مساوي ډول له صفر څخه وروستي حد ته DF ته لوړ شوی کله چې بې ځايه کيدنه eDz ده. او همداسې بې ځايه کيدنه د قوی لخوا په عنصر باندې کار ترسره کوي او مساوی دي په اوسط قوه $(DF/2)$ ضرب د بې ځايه کيدو eDz . د انرژي ساتنی قانون په اساس د عنصر په اړه دا "بهرنی کار" ته اړتيا ده چې په عنصر کې زيرمه شوي "داخلي کار" يا سترين انرژي سره مساوي وي، داسې انگيرل کيږي چې هيڅ انرژي د تودوخې په بڼه نه ضايع کيږي. په پایله کې، سترين انرژي $DU = (1/2DF) e$ هيڅ انرژي د تودوخې په بڼه نه ضايع کيږي. په پایله کې، سترين انرژي $DU = (1/2DF) e$ د عنصر يا ټوټی حجم $DV = Dx Dy Dz$ دی، نو د سترين انرژي به $DU = 1/2 s eDV$.

د انجینري کارو لپاره، ډیری وختونه اسانه ده چې د سترين انرژي د موادو په هر واحد د حجم کې مشخص شي. دې ته **دایليستيک سترين انرژي تراکم (strain energy density)** ويل کيږي، او دا په دی توګه بيان کيدی شي:

$$u = \frac{\Delta U}{\Delta V} = \frac{1}{2} \sigma \epsilon \quad (3-6)$$

په نهایت کې، که چېرې د موادو چلند خطي ایلستيک وي، نو د هوک قانون تطبيق کيږي، $s = E$ ، او له همدې امله مور کولی شو **دایليستيک سترين انرژي تراکم** د محوری سترس سره بيان کړو

$$u = \frac{1}{2} \frac{\sigma^2}{E} \quad (3-7)$$

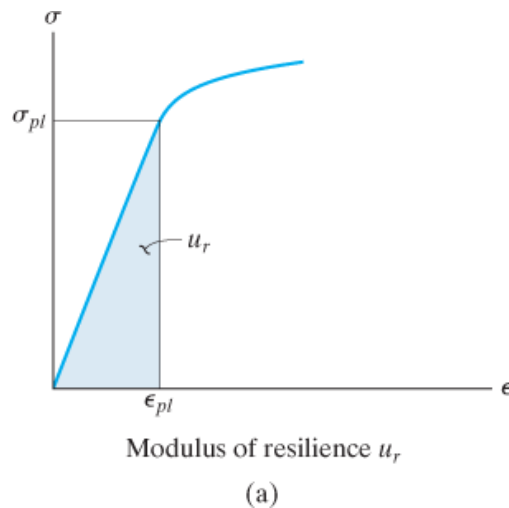


انځور 3-15

د انعطاف ماجولس (Modulus of Resilience). کله چې په موادو کې سترس د تناسب حد ته ورسېږي، د سترين انرژي تراکم، لکه څنګه چې د معادلی 3-6 او یا 3-7 لخوا محاسبه کېږي د انعطاف ماجولس (modulus of resilience) په نوم یادېږي. دا دی

$$u_r = \frac{1}{2} \sigma_{pl} \epsilon_{pl} = \frac{1}{2} \frac{\sigma_{pl}^2}{E} \quad (3-8)$$

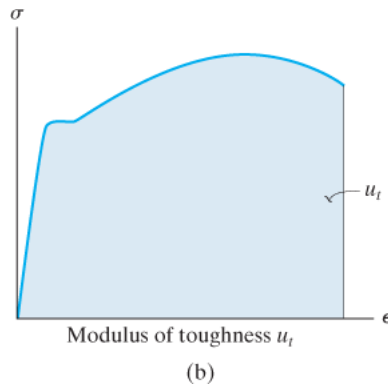
دلته u_r د ایلیسټیک برخه د سترس- سترين ډایگرام کې سیوري شوي مثلث ساحې سره مساوي ده او دا په انځور 3-16a کې ښودل شوی. په فزیکي ډول د انعطاف ماجولس ترټولو لوی مقدار سترين انرژي په هر واحد حجم د موادو کې ده چې مواد کولی شي جذب یې کړي پرته له دې چې د موادو د دايمي زیان لامل شي. یقیناً دا خاصیت به د بمپرونو یا شاګ جذبونکیو ټوټو د ډیزاین پرمهال مهم کېږي.



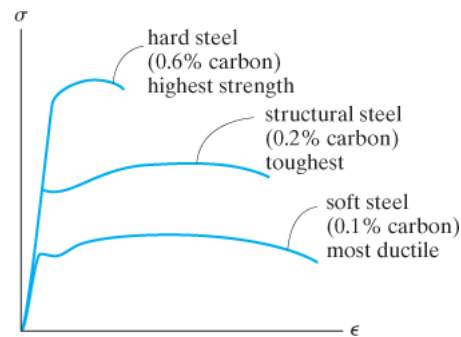
انځور 3-16

د سختی ماجولس (Modulus of Toughness).

د موادو بل مهم خاصیت د سختی ماجولس u_t دی. دا مقدار د سترس-سترین ډایگرام لاندې ټوله ساحه څرنگه چې په انځور 3-16b کې ښودل شوی، او له همدې امله دا د هر واحد حجم د سترین انرژي اعظمي اندازه په گوته کوي او مواد کولی شي د ماتیدو دمخه یې جذب کړي. البته دا د ډیزاین کولو د هغه غړیو چې ممکن په ناڅاپي ډول ډیر بار پری را شي، په وخت کې مهم کيږي. د فلزاتو په مخلوطی سره، انجنیران کولی شي انعطاف او سختی په فلزاتو بدل کړي. د مثال په توګه، په فولادو کې د کاربن سلنه بدلولو سره، نتیجه په انځور 3-17 کې د سترس-سترین ډیاګرامونه ښيي چې څنګه انعطاف او سختی بدلیږي شي.



انځور 3-16



انځور 3-17



دا ناپلان نمونه لوړه کچه سختی ښکاره کوي لکه څنګه چې دلته لیدل کيږي، نمونه لویه اندازه د غاړې جوړیدل مخه د ماتیدو

مهم ټکي

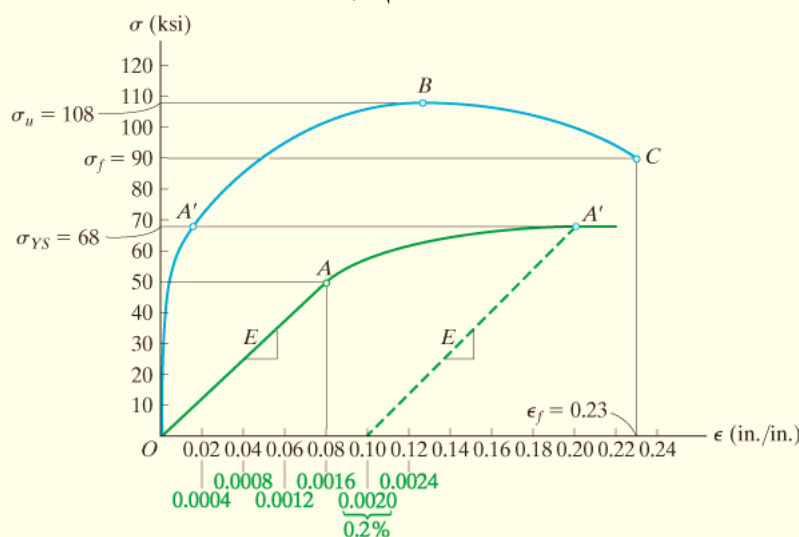
(IMPORTANT PONTS)

- دودیز سټرس – سټرین ډیاگرام په انجینرۍ کې مهم دی، ځکه چې دا د موادو په اړه د کششې یا تیلوهونکې مقاومت معلومات پلاس راوړی پرته له دې چې د موادو فزیکي اندازه او شکل ته پام وکړي .
- د انجیري سټرس او سټرین د پاره د اصلي غوڅې برخې ساحه او د نمونې لمرنی اوږدوالی په کارولو سره محاسبه کېږي.
- غوڅېدونکې مواد، لکه نرم فولاد، کله چې بار شی څلور جلا چلندونه یې لیدل کېږي. دا عبارت دی له ایلسټیک چلند، بیلد، سټرین سختیدل، او غاړه جوړیدل.
- که چیرې سټرس د سټرین سره متناسب وي مواد خطي ایلسټیک دی. دا چلند د هوک قانون لخوا تشریح شوی $s = E e$ ، چیرته چې د ایلسټیک ماجولس E د کرنې میلان دی.
- د سټریس – سټرین ډیاگرام مهم ټکي عبارت دی په: متناسب حد، ایلسټیک حد، بیلد سټرس، اعظمی سټرس، او د ماتیدو سټرس.
- د موادو غږیدل د نمونې د اوږدوالی په سلمه واسطه، یا د ساحې په سلنه کمښت مشخص کیدی شي.
- که چیرې یو مواد د بیلد ځانگړی نقطه ونلري، د بیلد مقاومت د گرافیکي له لاری لکه د آفسیټ طریقه په کارولو سره پیدا کیدی شي.
- مواد چې په آسانی ماتېږي، لکه خره کاسټ و سپنه، بیلد یې ډیر لږ یا هیڅ شتون نه لري او په دې توگه دوی ناڅاپه ماتېږي.
- د سټرین سختیدل د بیلد لوړوالي لپاره کارول کېږي. مواد له ایلسټیک حد څخه اضافه سټرین کېږي او بیا بار تری لری کېږي. د ایلسټیک ماجولس همداسې پاتې کېږي. په دی صورت کې، د موادو نرمښت کمېږي.
- سټرین انرژي هغه انرژي ده چې په موادو کې د شکل د بدلون له امله ذخیره کېږي. دا انرژي په هر واحد حجم کې په نامه د سټرین انرژي تراکم یادېږي. که دا د تناسب ترحدو اندازه شي د انعطاف ماجولس ورته ویل کېږي، او که د ماتیدو تر نقطې پورې اندازه شي، دې ته د سختی ماجولس ویل کېږي. اودا دواړه د $s-e$ ډیاگرام لاندې ساحې څخه ټاکل کیدی شي .

مثالونه

مثال 3.1

د فولادو د کشش ازموینی حاصل دا لاندی سترس-سترین ډیاگرام چی په انځور 3-18 کی بنودل شوی دی. د ایلستیستی ماجولس او بیلد مقاومت په اساس دی 0.20% آفسیت محاسبه کړی. په گراف کی نهایی سترس او د ماتیدو سترس معلوم کړی.



انځور 3-18

حل (SOLUTION)

د ارتجاعیت ماجولس (Modulus of Elasticity). مور باید اول میلان د ابتدایی مستقیمې کرښې برخی د غټ شوی ډایگرام محاسبه کړو. دا منحنی په شنه رنگ کی بنودل شوي. دا کرښه د O نقطې څخه A نقطې ته غځول شوی، کوم چی دا مختصات (0.0016in/in, 50 ksi) لري له همدې

$$E = \frac{50 \text{ ksi}}{0.0016 \text{ in./in.}} = 31.2 (10^3) \text{ ksi}$$

Ans.

امله

معادله د OA کرښی داسی ده $s = 31.2 (10^3) e$

د بیلد مقاومت (Yield Strength). د 0.20% آفسیت لپاره، مور له سترین د 0.20% یا 0.0020 in/in څخه پیل کوو او په گرافیک ډول موازي په OA د ټوټه ټوټه شوي کرښه پراخه کړی تر هغه چی په A کی د s-e منحنی قطع کړي. حاصل د بیلد د مقاومت تقریباً دی

$$\sigma_{YS} = 68 \text{ ksi}$$

Ans.

نهایی مقاومت (Ultimate Strength) . دا لوره نقطه د سترس سترين $s-e$ گراف چي په انځور 3-18 کی په B بنودل شوی.

$$\sigma_u = 108 \text{ ksi}$$

Ans.

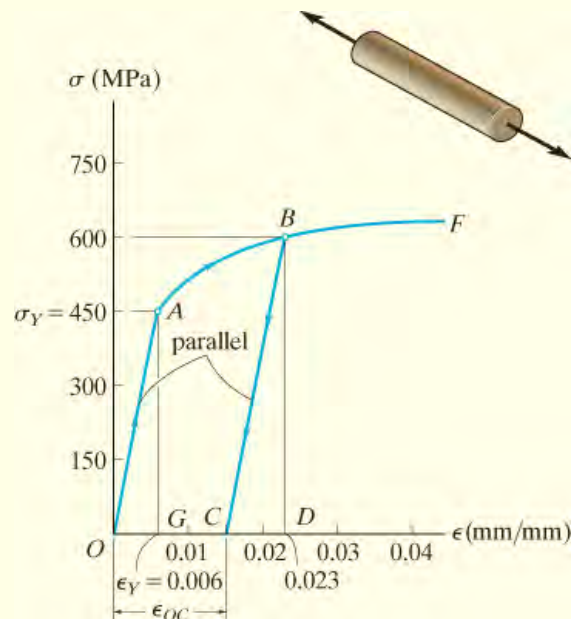
د ماتیدو حد (Fracture Strength) . کله چي نمونه د سترين اعظمی حد $\epsilon = 0.23 \text{ in/in}$ ته ورسیري نمونه په ټکی C کی ماتیري.

$$\sigma_f = 90 \text{ ksi}$$

Ans.

مثال 3.2

د المونیم مخلوط سترس – سترين ډیاگرام چي د الوتکي یو برخي جوړولو لپاره کارول کیري په انځور 3-19 کی بنودل شوي. که د دي موادو یوه نمونه تر $s = 600 \text{ MPa}$ سترس لاندی وی، او کله چي بار خوشي شي دایمي کیناسته (permanent Set) چي پاتی کیري مشخص کړی . همدا رنگه، د انعطاف ماجولس د بار کولو دمخه او وروسته د بار کولو ومومی .



انځور 3-19

حل (SOLUTION)**دایمي سترين (Permanent Strain)**

کله چې په نمونه بار عمل وگړي، دا نمونه هغه وخت سترين سختوالي مومي کله چې ټکی B ته چې په سترس-سترين ډايگرام $s-e$ دی ورسیري. سترين په دی نقطه کی تقریبا 0.023 mm/mm دی. کله چې بار بیسته شی، مواد د مستقیم کرښه BC په تعقیب سره چلند کوي، کوم چې موازي دي د OA کرښې ته. له دې امله چې دا دواړه کرښې یو شان میلان لري، سترين په نقطه C کی په تحلیلي ډول ټاکل کیدی شي. د کرښه OA میلان د ارتجاعیت ماجولس ده.

$$E = \frac{450 \text{ MPa}}{0.006 \text{ mm/mm}} = 75.0 \text{ GPa}$$

له مثلث CBD داسي لیکلی شو

$$E = \frac{BD}{CD}, \quad 75.0(10^9) \text{ Pa} = \frac{600(10^6) \text{ Pa}}{CD}$$

$$CD = 0.008 \text{ mm/mm}$$

دا سترين د بیرته ترلاسه شوي ارتجاعي سترين اندازه څرگندوي. دایمي بدلو د شکل یا سترين ، ϵ_{OC} ، په دې توگه دی

$$\epsilon_{OC} = 0.023 \text{ mm/mm} - 0.008 \text{ mm/mm}$$

$$= 0.0150 \text{ mm/mm}$$

Ans.

یادونه: که چیرې په نمونه کې د گيچ نښه په اصل کې د 50 ملي میتره فاصله وي، نو بیا وروسته له دې چې بار بیسته شی دا نښې چې 50 ملي میتره لری وی اوس به نښان شوی ټکی به لاندی واټن لری: $(50 + 0.0150)(50 \text{ mm}) = 50.75 \text{ mm}$.

د انعطاف ماجولس (Modulus of Resilience). له معادلي 3-8 گټه اخلو مساحت د منحنی OAG او CBD لاندی په انځور 3-19 کی پدی لاندی ډول دی:

$$(u_r)_{\text{initial}} = \frac{1}{2} \sigma_{pl} \epsilon_{pl} = \frac{1}{2} (450 \text{ MPa}) (0.006 \text{ mm/mm})$$

$$= 1.35 \text{ MJ/m}^3 \quad \text{Ans.}$$

$$(u_r)_{\text{final}} = \frac{1}{2} \sigma_{pl} \epsilon_{pl} = \frac{1}{2} (600 \text{ MPa}) (0.008 \text{ mm/mm})$$

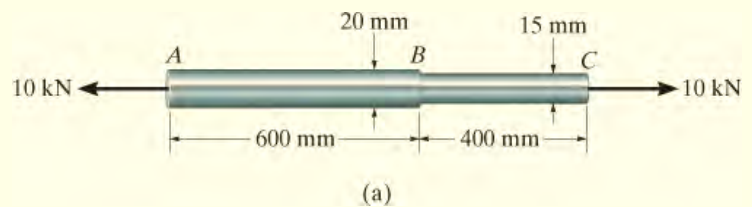
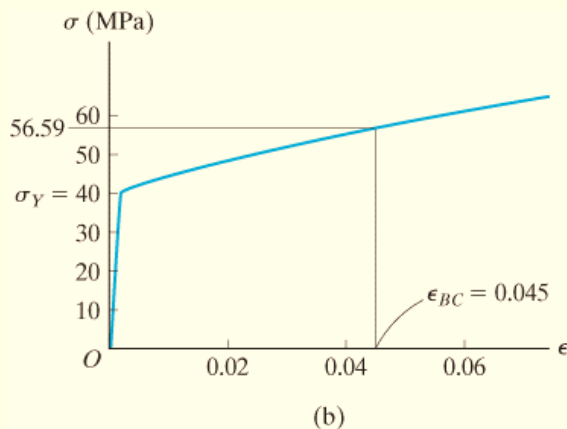
$$= 2.40 \text{ MJ/m}^3 \quad \text{Ans.}$$

یادونه: په پرتله کولو سره، د موادو د سترین سختیدل د انعطاف په انډول اغیز لري او د زیاتوالي لامل شوی؛ په هر صورت، دا په یاد ولری د موادو لپاره کلک والی ماجولس (Modulus of toughness) انډول یې کم شوی، له دی خاطر ه چی د اصلي منحنی لاندي ساحه، $OABF$ ، له لاندي ساحي د منحنی CBF لویه ده.

* کار په اندازه کولو سیستم د SI کی په جول (joules) سره اندازه کیری کله چی یو جول مساوی دی په یو تن متر ($1\text{J} = 1 \text{ N.m}$).

مثال 3.3

د المونیم میله، چې په انځور 3-20a کی بنودل شوی، یو گردی غوڅه برخه لري او دا دی د 10 kN محوری بار سره مخامخ شوی. که د سترس-سترین یوه برخه په انځور 3-20b کی بنودل شوی وی، د میلی د اوږدوالی اندازه معلومه کری کله چې محوری بار ورباندی پلي شي. د $E_{al} = 70 \text{ GPa}$ راکړل شوی.



انځور 3-20

حل (SOLUTION)

د دې لپاره چې د میلی اوږدوالی وموندل شي، مور باید لومړی سترین ترلاسه کړو. اول باید سترس محاسبه کړو بیا به له سترس- سترین ډایگرام کار واخلو تر څو سترین پیدا کړو. په هره برخه کې نارمل سترس عبارت دی په

$$\sigma_{AB} = \frac{N}{A} = \frac{10(10^3) \text{ N}}{\pi(0.01 \text{ m})^2} = 31.83 \text{ MPa}$$

$$\sigma_{BC} = \frac{N}{A} = \frac{10(10^3) \text{ N}}{\pi(0.0075 \text{ m})^2} = 56.59 \text{ MPa}$$

له سترس- سترین ډایگرام داسی معلومېږي چې مواد د AB په برخه د ډایگرام کې سترین ایلسټیک دی ځکه $s_{AB} < s_Y = 40 \text{ MPa}$ ، د هوک قانون په اساس لیکلي شو

$$\epsilon_{AB} = \frac{\sigma_{AB}}{E_{al}} = \frac{31.83(10^6) \text{ Pa}}{70(10^9) \text{ Pa}} = 0.0004547 \text{ mm/mm}$$

د BC په برخه کې مواد په پلاستیکي ډول سترین شوي، ځکه چې $s_{BC} > s_Y = 40 \text{ MPa}$. د گراف څخه، د $s_{BC} = 56.59 \text{ MPa}$ لپاره، $\epsilon_{BC} = 0.045 \text{ mm/mm}$. له همدې امله د میلی اوږدوالی

$$\begin{aligned} \delta &= \sum \epsilon L = 0.0004547(600 \text{ mm}) + 0.0450(400 \text{ mm}) \\ &= 18.3 \text{ mm} \end{aligned}$$

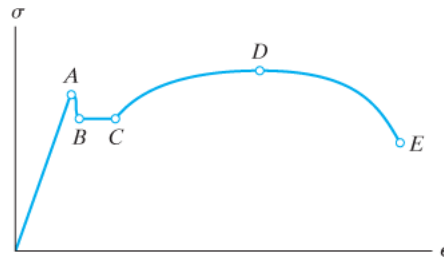
Ans.

بنسټيز سوالونه

FUNDAMENTAL PROBLEMS

ب 3-1. يو متجانس مواد تعريف كړئ.

ب 3-2. په سټرس-سټرين ډاياگرام كې متناسب حد او نهايي يا اعظمي سټرس ټكي په گوته كړئ



ب 3-1

ب 3-3. د ارتجاعيت ماجولس (modulus of elasticity) تعريف كړئ.

ب 3-4. د خونې په حرارت كې، معتدل فولاد يو نرم مواد دی. سم دی يا ناسم؟

ب 3-5. انجنيري سټرس او سټرين په کارولو د لمرني غوڅي برخي مساحت او د نموني اوږدوالي سره محاسبه کيږي. سم دی يا ناسم؟

ب 3-6. کله چی د حرارت درجه لوړه شي د ارتجاعيت ماجولس به زیات شي. سم دی يا ناسم؟

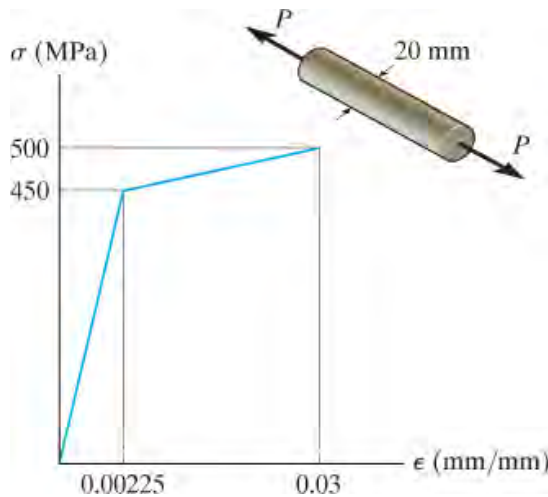
ب 3-7. يو 100 ملی میتر اوږده میله 15 ملی میتر قطر لري. که یو د 100 kN محوري کشونکی بار ورباندی پلي شي، د هغې په اوږدوالي كې بدلون مشخص كړئ. خطي ارتجاعي چلند فرض كړئ $E = 200 \text{ GPa}$.

ب 3-8. يو ډنډه د 8 انچ اوږدوالي او د غوڅي برخي مساحت يي 12 مربع انچه دی. د موادو ارتجاعيت ماجولس معلوم كړئ په داسی حالت كی چی دا د 10 کیپ محوري کششی بار سره مخ وي او 0.003 انچه اوږدوالی مومي. مواد د خطي ارتجاعيت چلند لري.

ب 3-9. يو د 10 mm قطر لرونکی ډنډه د ارتجاعيت ماجولس يې $E = 100 \text{ GPa}$. که دا 4 متره اوږد وي او يو 6 kN محوري کششي بار ورباندې عمل کړي، د هغې اوږدوالي مشخص کړئ. مواد خطي ارتجاعيت وړ چلند فرض کړئ

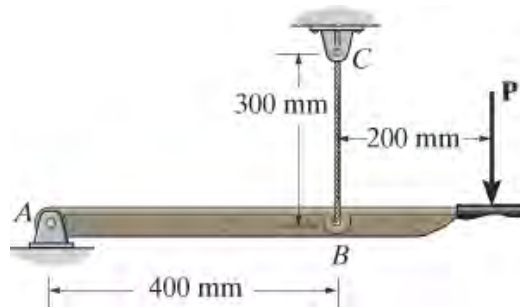
ب 3-10. د يو 50 mm اوږد نموني موادو لپاره د لاندي ستړس – ستړين ډايگرام بنودل شوی. که $P = 100 \text{ kN}$ وي، د نموني اوږدوالي معلومه کړئ

ب 3-11. د يو 50 mm اوږد نموني موادو لپاره د لاندي ستړس – ستړين ډايگرام بنودل شوی. که $P = 150 \text{ kN}$ تطبيق شي او بيا دا بار بېسته شي، دايمي اوږدوالي د نموني مشخص کړئ.



ب 3-10/11

ب 3-12. که د BC سيم 0.2 ملي متره اوږد شی کله چی د P قوه پری پلي کيږي، د P اندازه معلومه کړي. سيم A-36 فولاد دی او د 3 ملي ميتره قطر لري.



ب 3-12

سوالونه PROBLEMS

3-1. د کشش ازموینه د فولادو په یوه نمونه باندې ترسره شوي. د نمونې اصلي قطر 0.503 انچه او د گيج اوږدوالی 2.00 انچه دی. د ازموینې اخیستل شوي معلومات په لاندې جدول کې بنودل شوي. سترس - سترین ډیاگرام جوړ کړي. او د ارتجاعیت ماجولس، د بیلد سترس، د آخری مقاومت سترس، او د ماتیدو سترس اندازې مشخص کړئ. $1 \text{ in} = 20 \text{ ksi}$ او $1 \text{ in} = 0.05$ in/in اندازه وکاروئ. د ورته سترس معیار په کارولو سره ایلسټیک لرونکي سیمه بیا رسم کړئ مگر د سترین اندازه $0.001 \text{ in/in} = 1$ انچ کار واخلي.

بهرنی بار (kips)	غزیدل (انچ)
0	0
1.50	0.0005
4.60	0.0015
8.00	0.0025
11.00	0.0035
11.80	0.0050
11.80	0.0080
12.00	0.0200
16.60	0.0400
20.00	0.1000
21.50	0.2800
19.50	0.4000
18.50	0.4600

س 3-1

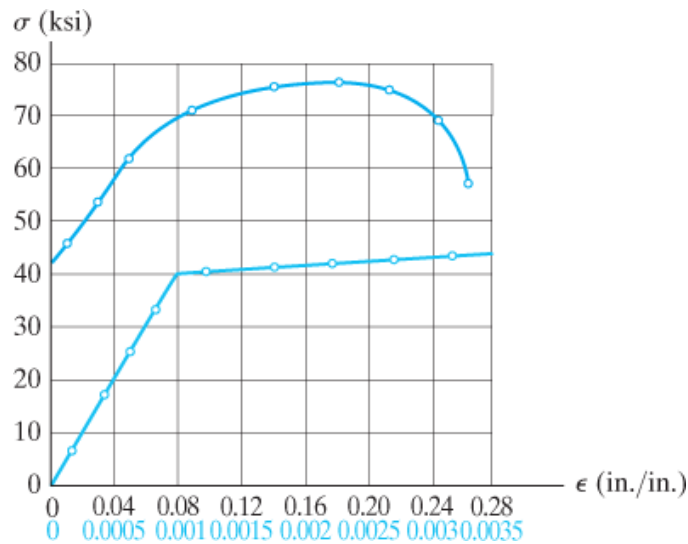
س 3-2. د سیرامیک (ceramic) لپاره د سترس-سترین ازموینې څخه اخیستل شوي معلومات په لاندې جدول کې ورکړل شوي. منحنی خط د اصل مبدا او تر لومړی ټکی ترمنځ خطی ده. ډایاگرام پلاټ کړئ، د ارتجاعیت ماجولس او د انعطافیت ماجولس وټاکئ.

س 3-3. د سیرامیک لپاره د سترس-سترین ازموینې څخه اخیستل شوي معلومات په لاندې جدول کې ورکړل شوي. منحنی خط د اصل مبدا او تر لومړی ټکی ترمنځ خطی ده. ډایاگرام پلاټ کړئ، د سختی ماجولس وټاکي. د ماتیدو ستریس $\sigma_f = 53.4 \text{ ksi}$ دی.

سترس s (ksi)	سترین e (in/in)
0	0
33.2	0.0006
45.5	0.0010
49.4	0.0014
51.5	0.0018
53.4	0.0022

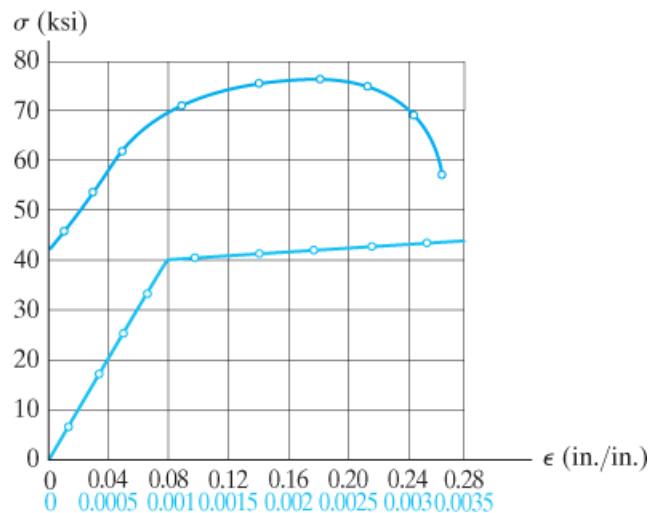
س 3-2/3

س 3-4* د فولادو الياژ لپاره د سترس-سترين ډاياگرام د يوې نمونې لپاره چې اصلي قطر 0.5 انچه او د گيچ اوږدوالی 2 انچه دی بنودل شوي. د موادو لپاره د انعطاف ماجولس معلوم کړئ، او هم په نمونه باندې هغه بار چې د بيلد سترس او نهايي اعظمی سترس جوړ کړي پيدا کړي.



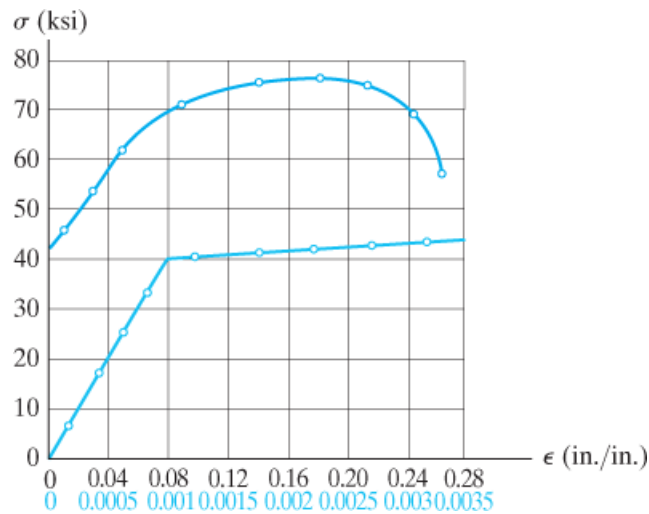
س 3-4

س 3-5 د فولادو الياژ نمونې لپاره د سترس-سترين ډاياگرام په لاندې انځور کې بنودل شوي. د نمونې اصلي قطر 0.5 انچه او د گيچ اوږدوالی 2 انچه دی. که په نمونه باندې يو بار تر هغه لحظې پلې شې تر څو سترس په اندازه دی 70 ksi شې. کله چې بهرنی بار ورځینی لری شي ایلستیک بیرته تگ او د گيچ زیاتوالي وروسته له لری کیدو د بار پيدا کړي.



س 3-5

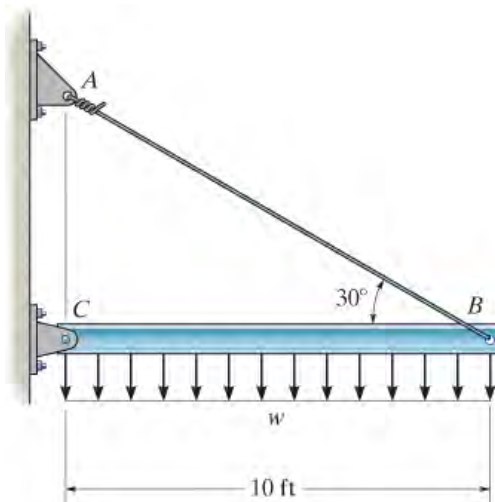
س 3-6. د فولادو الیاژ یوه نمونه چې اصلي قطر یې 0.5 انچه او د گیج اوږدوالی 2 انچه دی ورکړل شوی او په لاندې انځور کې یې د سترس-سترنین ډایاگرام بنودل شوی. د انعطاف ماجولس او د موادو د سختی ماجولس اندازی معلومه کړئ .



س 3-6

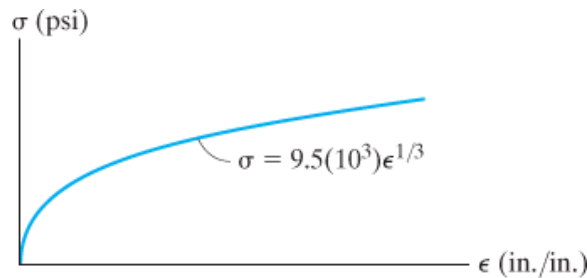
س 3-7. یو سخت بیم په پین C او له $A-36$ فولادی سیم لخوا ملاتړ کېږي. که سیم د 0.2 انچه قطر ولري، دا معلومه کړئ چې دا څومره اوږدېږي کله چې توزیع شوي بار $w = 100 \text{ lb/ft}$ په بیم باندې عمل کوي. مواد ایلستیکي پاتې کېږي.

س 3-8*. یو سخت بیم په پین C او له $A-36$ فولادی سیم لخوا ملاتړ کېږي. که سیم د 0.2 انچه قطر ولري، ویشل شوی بار w وټاکئ که چیرې پای B په اندازه دی 0.75 انچه بنسټه لور ته بې ځایه شي .



س 3-7/8

س 3-9. د اسیټل (acetal) پلاستیک د سترس-سترین ډایاگرام په لاندی انخور کی بنودل شوي. که د دی موادو میله 3 فوټ اوږدوالی او غوڅی برخی مساحت د 0.875 مربع انچه مساحت ولری، او د 2.5 کیپ محوری بار سره مخ کیږي، اوږدوالی یې د بار له کبله مشخص کړی .

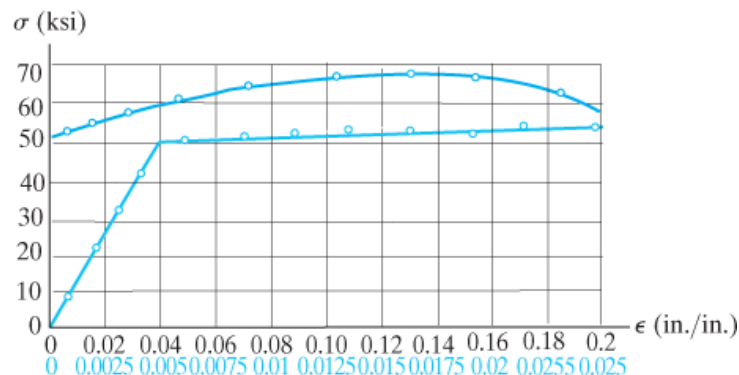


س 3-9

س 3-10. د المونیم الیاژ د یوی نموني د سترس-سترین ډایاگرام یې په دی لاندی انخور کی بنودل شوي. ددی نموني اصلي قطر یې 0.5 انچه او د گیج اوږدوالي 2 انچه لري. د موادو ایلسټیک ماجولس د موادو لپاره مشخص کړی، او هم هغه بار چی په نمونه کی بیلدینگ راولی او اعظمی بار چی دا نمونه کولای شی ملاتړ وکړی پیدا کړي.

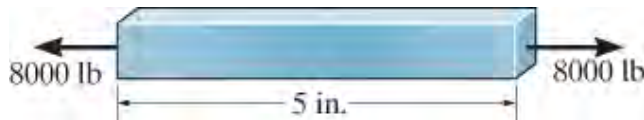
س 3-11. د المونیم الیاژ د یوی نموني د سترس-سترین ډایاگرام یې په دی لاندی انخور کی بنودل شوي. ددی نموني اصلي قطر یې 0.5 انچه او د گیج اوږدوالي 2 انچه لري. که نمونه تر هغه وخته پورې بار شی چی سترس په نمونه کی 60 ksi شی. د گیج اوږدوالي او ایلسټیک بیرته راتلنه وروسته له دی چی بار لری شی پیدا کړي.

س 3-12*. د المونیم الیاژ د یوی نموني د سترس-سترین ډایاگرام یې په دی لاندی انخور کی بنودل شوي. ددی نموني اصلي قطر یې 0.5 انچه او د گیج اوږدوالي 2 انچه لري. د انعطاف ماجولس (modulus of resilience) او د سختوالي ماجولس (modulus of toughness) په تقریبی توگه مشخص کړی .



س 3-10/11/12

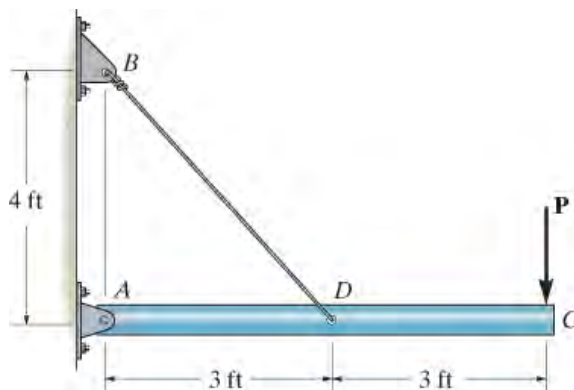
س 3-13. یو میله چې 5 انچه اوږدوالی لري او د غوڅی برخې مساحت یې د 0.70 انچ مربع دی، د یوې محوری قوی 8000 پونډ سره مخ کیږي. که چیرې دا میله 0.002 انچه وغځول شي، د ارتجایي ماجولس یې وټاکي. مواد خطي ارتجایي چلند لري.



س 3-13

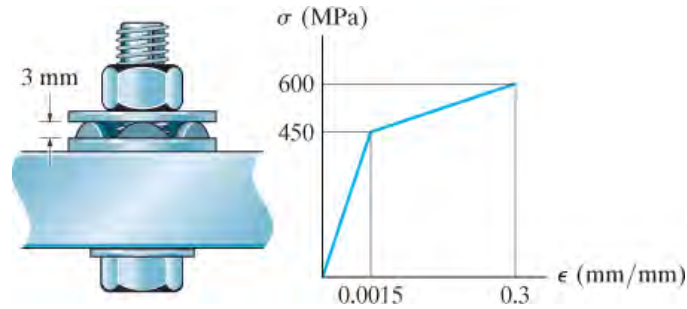
س 3-14. یو سخت پایپ په پین A او له A-36 فولادی سیم BD لخوا ملاتړ شوی. که سیم د 0.25 انچه قطر ولري، معلومه کړئ چې دا سیم څومره اوږدېږي کله چې د $P = 600 \text{ lb}$ په اندازه پدی پایپ عمل وکړي.

س 3-15. یو سخت پایپ په پین A او د A-36 فولادی سیم BD لخوا ملاتړ شوی. که سیم د 0.25 انچه قطر ولري، بار P معلوم کړئ که چیرې پای C، 0.075 in. بنکته خوا ته بې خایه شي



س 3-14/15

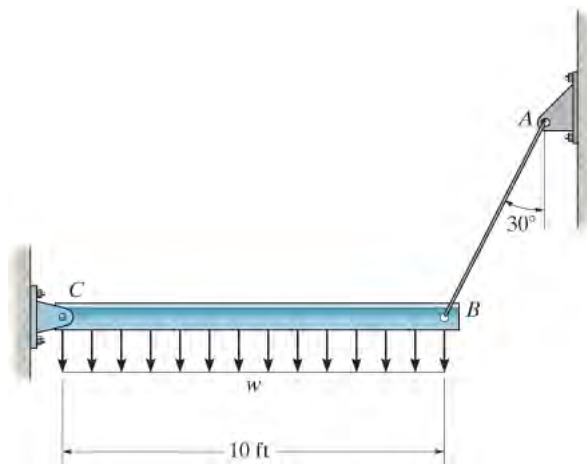
س *3-16. ځینې وختونه د مستقیم کشش شاخصونه د تورک رنچونو پرځای د دې لپاره کارول کیږي تر څو ډاډ تر لاسه شي چې بولټ هغه ټاکل شوی کشش ته رسیدلي دی که نه. که یو نټ پر بولټ داسی کلک شوی ترڅو د شپږ 3 ملي میټر لوړ سرونه د شاخص په اندازه د 0.10 mm/mm سترین شي، او د تماس ساحه په هر سر کې 1.5 mm^2 پریږدی، د بولټ کشش په لنګی کی معلوم کړي. مواد بنودل شوی سترس-سترین ډایگرام لري.



س 3-16

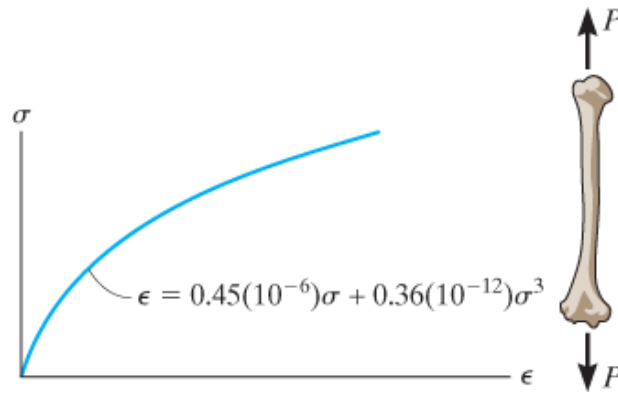
س 3-17. یو سخت بیم په پین A او له $A992$ فولادی سیم AB لخوا ملاتړ شوی. سیم 6 فته اوږدوالی لري. که چیری د سیم قطر 0.20 انچه وی او یو ویشل شوی بار $w = 200 \text{ lb/ft}$ په بیم عمل وکړي معلومه کړئ چې دا سیم څومره اوږدېږي. سیم په ارتجایي حالت کی پاتې کیږي.

س 3-18. یو سخت بیم په پین A او له $A992$ فولادی سیم AB لخوا ملاتړ شوی. سیم 6 فته اوږدوالی لري. که چیری د سیم قطر 0.20 انچه وی، ویشل شوی بار w وټاکئ که پای B د بیم 0.12 انچه بنسټه لورته بې ځایه شی. سیم په ارتجایي حالت کی پاتې کیږي.



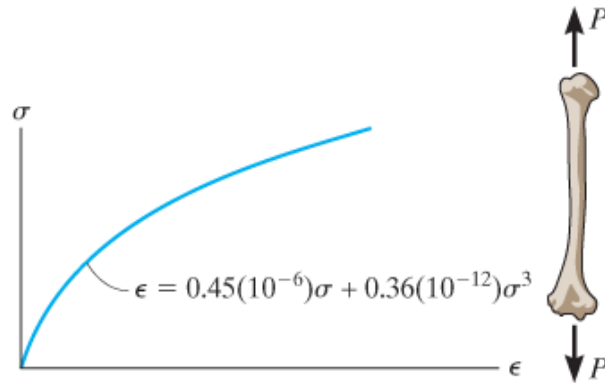
ت 3-17/18

س 3-19. د هډوکي لپاره د سترس-سترین ډیاگرام په لاندی انځور کی بنودل شوی، او دا ډیاگرام پدی معادله $e = 0.45 (10^{-6}) s + 0.36(10^{-12}) s^3$ بنودل کیدی شی، دلته د s واحد kPa دی. د بیلد حد معلومولو لپاره د 0.3% آفسیټ په پام کی ونیسی.



س 3-19

س 3-20* د هډوکي لپاره د سترس-سترین ډیاگرام په لاندی انخوړ کی بنودل شوی. او دا ډیاگرام پدی معادله $e = 0.45 (10^{-6}) s + 0.36(10^{-12}) s^3$ بنودل کیدی شی، دلته د s واحد kPa دی د سختی ماجولس او د یو 200 mm اوږدی برخي غځیدنه، مخکي له دې چې په سترین $e = 0.12 \text{ mm/mm}$ ټوټه ټوټه اومات شي معلوم کړی.

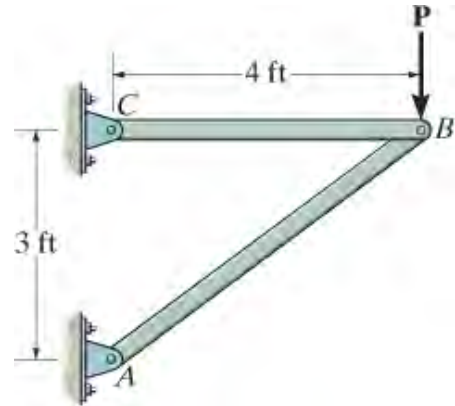
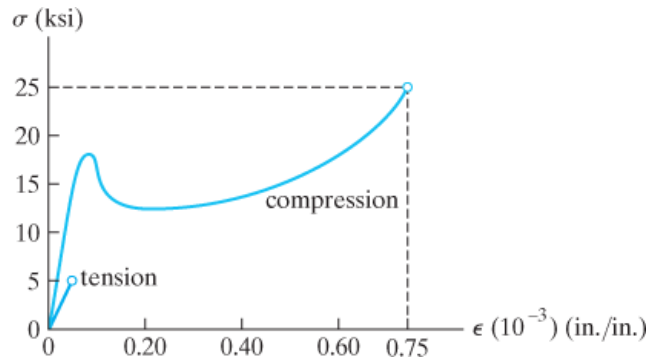


س 3-20

س 3-21 دوه بارونه د هغه موادو څخه جوړ شوي دي چې دا لاندی سترس-سترین ډیاگرام لری. که چیرې د غړي AB د غوڅی برخي مساحت 1.5 انچ مربع وي او د غړي BC مساحت 4 انچ مربع وي، ترټولو لوی قوه P داسی وټاکئ کوم چې یو غړي هم مات نشي. فرض کړی چې هر غړی استوار پاتی کیری او بکلینگ پکی نه پېښیږي.

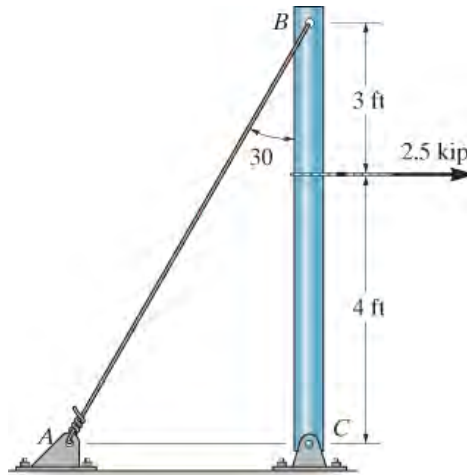
س 3-22 دوه بارونه د هغه موادو څخه جوړ شوي دي چې دا لاندی سترس-سترین ډیاگرام لری. د غوڅی برخي مساحت د هر یوه غړي داسی مشخص کړی ترڅو بارونه په ورته وخت کی

يو خای مات شي کله چې بار $P = 3$ کيپ وي. فرض کړئ چې هر غړی استوار پاتی کيږی او کروبيدنه پکی نه پيښيږي.



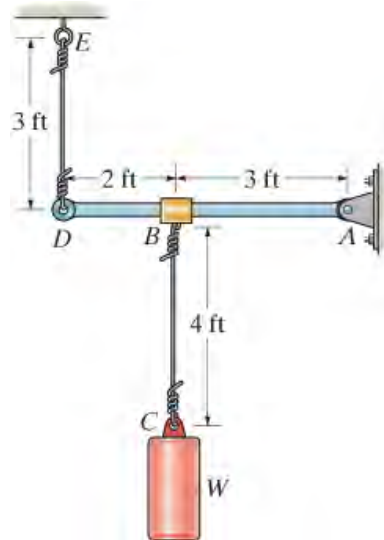
س 3-21/22

س 3-23. یوه پایه په پین C اود $A-36$ فولادو سیم AB لخوا ملاتړ کيږي. که سیم 0.2 انچه قطر ولري، معلومه کړئ چې دا څومره غځيږی کله چې یو افقي 2.5 کيپ قوه په پایه باندي باندي عمل وکړي.



س 3-23

س *3-24. میله DA یو سخت غړي دی او په ابتدا کې وزن W چې په ټکی C کې خورند دي میله یی په افقی حالت کې یی ساتلی ده. که چیرې وزن W د B ټکی په اندازه دی 0.025 انچه په لاندی خوا بیخایه کړی، سترین په DE او BC سیمونو کې معلوم کړئ. همدارنگه، که سیمونه د $A-36$ فولادو څخه جوړ شوي وی او د غوڅی برخې ساحه یی 0.002 انچه مربع وی د W وزن وټاکئ.



س 24-3

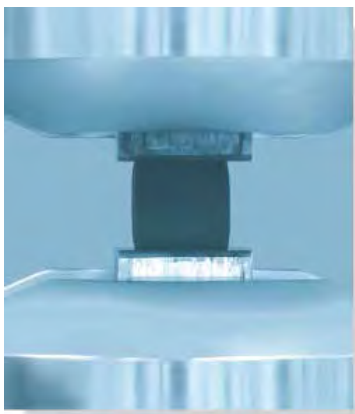
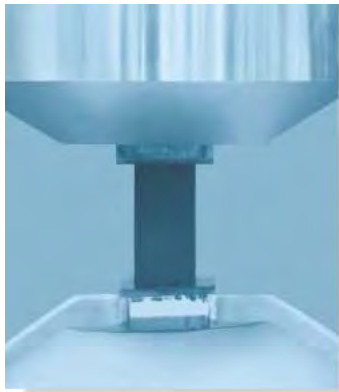
3.5 د پویسان تناسب (Poisson's Ratio)

کله په یو جسم ، چی خرابیدی شی ، یوه قوه عمل وکړي، نه یوازي دا اوږدیري مگر دا په بل لور هم منقبض کیري. د مثال په توگه، په انځور 3-21 کې یو میله په پام کې ونیسئ چې اصلي شعاع یې r او اوږدوالی L لري، او یو کششی بار P ور ل باندی عمل کړي. دا قوه میله په اندازه d اوږدوي او د هغې شعاع په اندازه d' منقبض شوی . سترین په اوږدوالي یا محوري لوري کې او په طرف یا شعاعی لوري عبارت دی په

$$\epsilon_{\text{long}} = \frac{\delta}{L} \quad \text{and} \quad \epsilon_{\text{lat}} = \frac{\delta'}{r}$$

په لومړیو 1800 لسيزي کې، یو فرانسوي ساینس پوه S.D. Poisson په دې پوه شو چې د موادو په ارتجاعي سیمه کې د تناسب ددی سترین ثابت دی، ځکه چې بی ځایه کیدنه d او d' د ورته پلي شوي قوی یا بار سره متناسب دي. دا تناسب د پویسان تناسب u (نیو) (*Poisson's ratio*) ویل کیري، او د هغو موادو لپاره چی متجانس (*homogeneous*) او آیسو ترافیک (*isotropic*) دی ځانگړي ارزشت لري. په ریاضي کې د معادلی په شکل داسی لیکلی شو

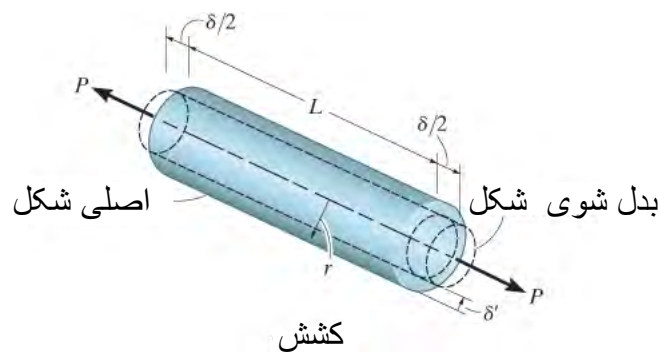
$$\nu = - \frac{\epsilon_{lat}}{\epsilon_{long}} \quad (3-9)$$



منفي نښه دلته ځکه بنودل شوي د اورېدوالي غځېدنه (مثبت سترين) په سبب د اړخ لوري انقباض لامل کيږي (منفي سترين) او برعکس يې. په ياد ولړئ چې دا سترينو نه يوازې د يوه واحد محوري يا اورېدوالي بار P له امله رامېنځته شوي. د بيلگې په توگه، هيڅ قوه په يوه اړخ کې عمل نه کوي تر څو مواد په دې لوري سترين کړي.

د Poisson تناسب ابعادي نه لري، او دا به په 10.6 برخه کې به و بنودل شي چې د هغې اعظمي احتمالي ارزښت 0.5 دی، نو په دې توگه به يې قيمت $0 \leq \nu \leq 0.5$ دی. د ډيري غير قابل نفوذ (nonporous) جامدو ارزښت عموماً د 0.25 او 0.355 تر منځ دی. د عامو انجینري موادو لپاره ځانگړي ارزښتونه د دې کتاب د شا پوښ دننه کې ليست شوي.

کله چې د ربر بلاک تخته شي (منفي سترين)، د هغې اړخونه به پراخ شي (مثبت سترين). د دې سترينو تناسب ثابت دی.

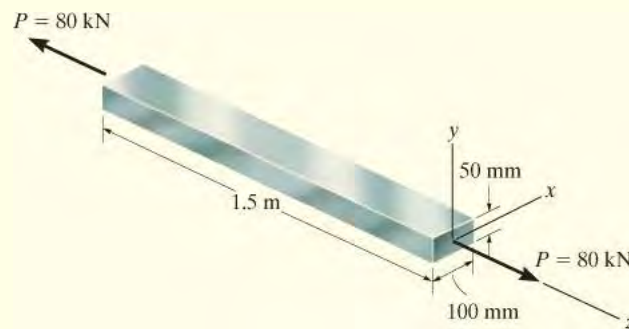


انځور 3-21

مثال

مثال 3.4

یوه میله د A-36 فولادو څخه جوړ شوی او ابعاد یې په انځور 3-22 کې ښودل شوي. که یو د $P = 80 \text{ kN}$ محوری قوه په میله باندې عمل وکړي، بدلون د هغې په اوږدوالي او د غوڅی برخې په ابعادو کې معلوم کړي. مواد په ارتجایي ډول چلند کوي.



انځور 3-22

حل (SOLUTION)

نارمل سترس په میله کې عبارت دی په

$$\sigma_z = \frac{N}{A} = \frac{80(10^3) \text{ N}}{(0.1 \text{ m})(0.05 \text{ m})} = 16.0(10^6) \text{ Pa}$$

له هغه جدول چي ددی کتاب د څټ په پوښ د A-36 فولادو د پاره دی، $E_s = 200 \text{ GPa}$ او بیا سترين په z لور عبارت دی په

$$\epsilon_z = \frac{\sigma_z}{E_{st}} = \frac{16.0(10^6) \text{ Pa}}{200(10^9) \text{ Pa}} = 80(10^{-6}) \text{ mm/mm}$$

محوری خوځیدل د میلی عبارت دی په

$$\delta_z = \epsilon_z L_z = [80(10^{-6})](1.5 \text{ m}) = 120 \mu\text{m} \quad \text{Ans.}$$

له معادلی 3-9 کار اخلو او کله چي د پویسان نسبت $u_{st} = 0.32$ دی نو د اړخ منقبض سترين په لور او جهتونو x او y داسی پیدا کوو

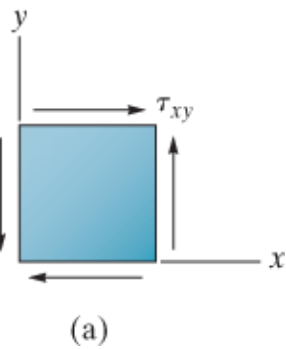
$$\epsilon_x = \epsilon_y = -\nu_{st} \epsilon_z = -0.32[80(10^{-6})] = -25.6 \mu\text{m/m}$$

نو د غوڅی د ابعادو تغیر عبارت دی په:

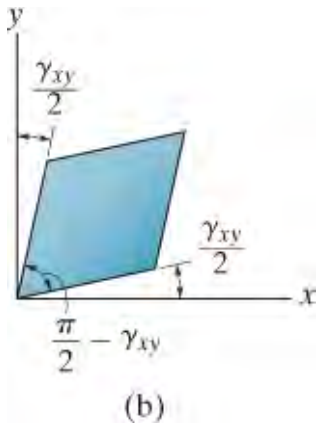
$$\delta_x = \epsilon_x L_x = -[25.6(10^{-6})](0.1 \text{ m}) = -2.56 \mu\text{m} \quad \text{Ans.}$$

$$\delta_y = \epsilon_y L_y = -[25.6(10^{-6})](0.05 \text{ m}) = -1.28 \mu\text{m} \quad \text{Ans.}$$

3.6 د شیبیر سترس-سترین دایگرام (THE SHEAR STRESS-STRAIN DIAGRAM)



په 1.5 برخه کی وښودل شول چې کله د موادو په یوه کوچنی عنصر خالص شیبیر عمل وکړي، د توازن د اړتیا له کبله مساوي شیبیر سترسونه د عنصر په څلورو مخونو کې رامینځته کېږي، او دا په انځور 3-23a کی ښودل شوي. سربیره پردې که مواد هموجنیس او ایسوتراپیک وي، نو دا شیبیر سترس به د عنصر په شکل کی په مساوی ډول بدلون راولي او څنگه چې په انځور 3-23b کی ښودل شوی چې شیبیر سترین په عنصر کی جوړوي.



د دې لپاره چې د هغو موادو چلند چې د خالص شیبیر تابع وي مطالعه کړو، انجینران یوه نازکه نمونه د تیوب په پام کی نیسی او یو تاویدونکی بار (تورژن) ورباندې عمل کوی. که اندازه کول د پلي شوي تاویدونکی بار او د تاو زاویه شي، بیا د هغه میتودونو له مخې چې په 5 څپرگی کی تشریح کېږي، راټول شوی ارقام د شیبیر سترس او شیبیر سترین په تیوب کی پیدا او په دې توگه د شیبیر سترس- شیبیر سترین دایگرام لکه څنگه چې په انځور 3-24 کی ښودل شوي جوړیدی شي. د کشش ازموینې په څیر، دا مواد کله چې شیبیر عمل پری وکړي خطي ارتجايي چلند څرگند کوي او دا یو تعریف شوی متناسب حد t_{pl} لري. همدارنگه، د سترین سختیدل

انځور 3-23

به تر هغه پورې پینښ شي تر څو اعظمی یا نهایی شیبیر سترس t_u ته ورسیري. او بالاخره، مواد به خپل د شیبیر توان له لاسه ورکوی تر څو چې هغه یوې نقطې t_f ته ورسیري چېرې چې نمونه به ټوټه ټوټه شي.

د ډیری انجیري موادو لپاره، لکه څنگه چې تشریح شوه، ارتجايي چلند خطي دی، او له همدې امله د شیبیر لپاره د هوک قانون په توگه لیکل کیدی شي

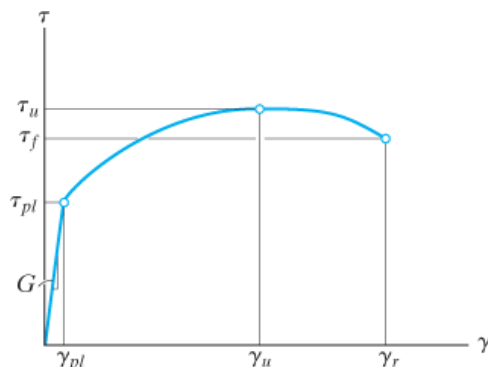
$$\tau = G\gamma \quad (3-10)$$

دلته G ته د شیبیر ارتجايي ماجولس یا د سختي ماجولس ویل کېږي. ارزښت یې د $t-g$ په ډیاگرام کې د کرښې د میلان استازیتوب کوي، دا دی، $G = t_{pl}/g_{pl}$. د واحدونو د G لپاره ورته د شیبیر سترس (t) یعنی (Pa او یا psi) وی، ځکه چې g په ریډین اندازه کېږي، چې یو بی ابعاده مقدار دی. د عامو انجیري موادو لپاره ځانگړي ارزښتونه ددی کتاب شاته پوښ کی لیست شوي دي.

وروسته به په 10.6 برخه کې وښودل شي چې د موادو درې ثابت E , U او G ټول یو بل سره په دې لاندې معادله سره تړاو لري

$$G = \frac{E}{2(1 + \nu)} \quad (3-11)$$

له همدې امله، که E او G وپېژندل شي، نو بیا د U ارزښت ټاکل کېدای شي له دې معادلې څخه نه د تجربې اندازه کولو له لارې.

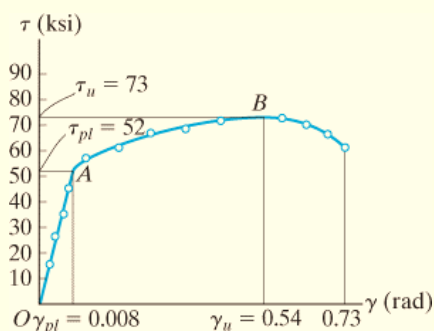


انځور 3-24

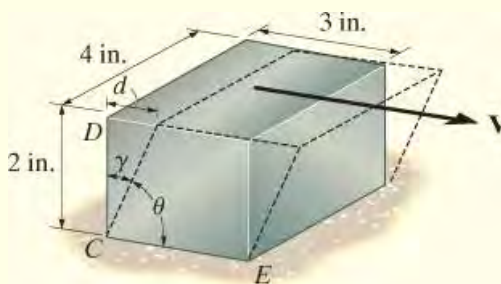
مثالونه

مثال 3.5

د ټایټانیوم یوه نمونه خښته په تاو (torsion) سره ازمول شوی، او د شپږ سترس-ستړین ډایاگرام یې په انځور 3-25a کې ښودل شوی. د شپږماجولس G ، د تناسب حد، او د شپږ اعظمی او یا وروستی لور سترس مشخص کړئ. همدارنگه، اعظمي فاصله d ددی موادو چې د خښتې پورتنۍ برخه کې په نښه شوی او دا په انځور 3-25b کې ښودل شوي. د موادو دا خښته په افقی ډول بې ځایه کېږي کله چې د شپږ یوه قوه V ورباندې عمل وکړي. د V اندازه څومره ده تر څو هغه د دې بې ځایه کېدنې (d) لامل شي؟



(a)



(b)

انځور 3-25

حل (SOLUTION)

د شیبیر ماچولس (Shear Modulus) . عبارت دی په میلان د مستقیمې کرنې OA چې په $t-g$ ډایگرام کې بنودل شوی ، مختصات دی ټکي A عبارت دی په $(0.008 \text{ rad}, 52 \text{ ksi})$. بیا

$$G = \frac{52 \text{ ksi}}{0.008 \text{ rad}} = 6500 \text{ ksi} \quad \text{Ans.}$$

معادله د کرنې OA مساوی ده په $t = Gg = 6500g$ ، او دا د هوک قانون دی د شیبیر لپاره.

د تناسب حد (Proportional Limit) . په لیدو سره ډایگرام له خطي حالت په ټکي A کې خلاصیږي. او بیا

$$\tau_{pl} = 52 \text{ ksi} \quad \text{Ans.}$$

اعظمي حد (Ultimate Stress) . دا ارزښت اعظمي شیبیر سترس په نقطه B کې بنودل شوی.

$$\tau_u = 73 \text{ ksi} \quad \text{Ans.}$$

اعظمي ارتجاعي بي خايه کيدل او د شیبیر قوه (Maximum Elastic Displacement and Shear Force) . شیبیر سترين د خبنتي په کونج C چې په انځور 3-25b کې بنودل شوي له توپير موندلو د 90° درجو او زاويه DCE او زاويه q ، له لاري ټاکل کيږي. دا زاويه عبارت ده په $u = 90^\circ - g$ لکه څنگه چې بنودل شوي. د $t - g$ ډایگرام څخه اعظمي ارتجايي شیبیر سترين 0.008 rad (ریدین) دی، چې دا یو ډیر کوچنی زاويه ده. د بلاک یا خبنتي پورتنی برخه په انځور 3-25b کې به له همدې امله په افقي ډول بي خايه شي او د d فاصله به وی

$$\tan(0.008 \text{ rad}) \approx 0.008 \text{ rad} = \frac{d}{2 \text{ in.}}$$

$$d = 0.016 \text{ in.}$$

په بلاک کې اړونده اوسط شپير سترس $t_{pl} = 52 \text{ ksi}$ دی. په دې توگه، د شپير قوه V چې د بې ځايه کيدو لامل کيږي عبارت ده په

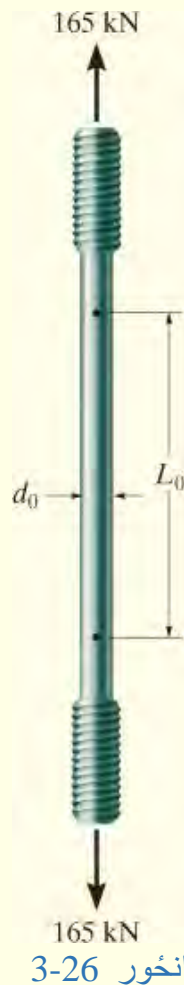
$$\tau_{\text{avg}} = \frac{V}{A};$$

$$52 \text{ ksi} = \frac{V}{(3 \text{ in.})(4 \text{ in.})}$$

$$V = 624 \text{ kip}$$

Ans.

مثال 3.6



د المونيم يوه نمونه چې په انځور 3-26 کې ښودل شوي قطر $d_0 = 25 \text{ mm}$ لري او د گيچ اوږدوالی $L_0 = 250 \text{ mm}$ دی. که يوه قوه چې 165 کيلو نيوتن ده د گيچ اوږدوالی 1.20 ملي ميتر اوږد کړي، د ارتجاعيت ماجولس يې معلوم کړئ. همدارنگه، دا قوه څومره د نموني قطر منقبض کولو لامل کيږي. تاسو له $G_{al} = 26 \text{ GPa}$ او $s_Y = 440 \text{ MPa}$ کار واخلئ

حل (SOLUTION)

د ارتجاعيت ماجولس (Modulus of Elasticity). اوسط نارمل سترس په نمونځ کې عبارت دی په

$$\sigma = \frac{N}{A} = \frac{165 (10^3) \text{ N}}{(\pi/4) (0.025 \text{ m})^2} = 336.1 \text{ MPa}$$

اوسط نارمل سترين پدې لاندې ډول دی

$$\epsilon = \frac{\delta}{L} = \frac{1.20 \text{ mm}}{250 \text{ mm}} = 0.00480 \text{ mm/mm}$$

په پورتنی عملیه کې وینو چې $s < s_Y = 440 \text{ MPa}$ ، مواد په ارتجايي ډول چلند کوي. پس د ارتجايي ماجولس عبارت دی په

$$E_{al} = \frac{\sigma}{\epsilon} = \frac{336.1 (10^6) \text{ Pa}}{0.00480} = 70.0 \text{ GPa} \quad \text{Ans.}$$

د قطر انقباض (Contraction of Diameter) . اول به د پویسان تناسب (Poisson's Ratio) له معادلی 3-11 پیدا کړو

$$G = \frac{E}{2(1 + \nu)}$$

$$26 \text{ GPa} = \frac{70.0 \text{ GPa}}{2(1 + \nu)}$$

$$\nu = 0.347$$

د اوږدوالي سترین $e_{long} = 0.0080 \text{ mm/mm}$ بیا له معادلي 3-9 داسی لیکلی شو

$$\nu = -\frac{\epsilon_{lat}}{\epsilon_{long}}$$

$$0.347 = -\frac{\epsilon_{lat}}{0.00480 \text{ mm/mm}}$$

$$\epsilon_{lat} = -0.00166 \text{ mm/mm}$$

د قطر انقباض پدی لاندی ډول دی

$$\delta' = (0.00166) (25 \text{ mm})$$

$$= 0.0416 \text{ mm} \quad \text{Ans.}$$

3.7* د موادو خرابیدل د کریپ او ستر یا له امله

(FAILURE OF MATERIALS DUE TO CREEP AND FATIGUE)

د موادو میخانیکي ځانګړتیاوې تر دې وخته پورې یوازې د جامد یا ورو پلي شوي بارو لپاره چې د حرارت درجه متغیر نه وی بحث شوی. په ځینو وختو کې، په هر صورت، یو غړی کیدای شي چې په داسې چاپیریال کې تری کار واخستل شي چې بار کول به د اوږدې مودې لپاره دوام ومومي او د تودوخې درجه به تغیر مومي، یا په نورو حالتو کې، بار کول ممکن تکرار یا سایکلونه ولري. مورن دا اغیزې به په دې کتاب کې نه څیرو، که څه هم مورن به په لنډه توګه یادونه وکړو ځنګه یو څوک د دې شرایطو لپاره د موادو قوت یا توانايي ټاکي، ځکه چې په ځینو مواردو کې دوی باید د ډیزاین لپاره په پام کې ونیول شي .

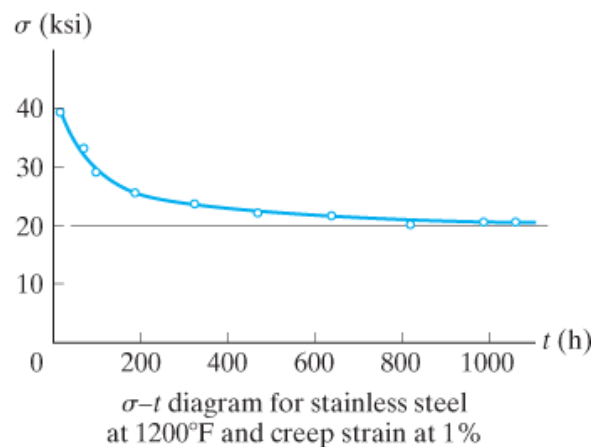
کریپ (Creep). کله چې یو مواد د اوږدې مودې لپاره تر بار لاندې وی ، د وخت په تیریدو سره، دا ممکن تر هغه وخته پورې خرابیدل دوام وکړي تر څو چې ناڅاپه مات شي یا د هغې ګټورتوب زیانمن شي. دا د وخت پورې تړلی خرابوالی د کریپ (Creep) په نوم پیژندل کیږي. په نورمال ډول کریپ هغه په پام کې نیول کیږي کله چې فلزات او سیرامیکونه د ساختماني غړو یا میخانیکي برخو لپاره کارول کیږي چې تابع دي لوړ حرارت وی . د ځینو موادو لپاره، په هر صورت، لکه پولیمر او کمپازیت مواد – د لرګیو یا کانکریت په شمول – د تودوخې درجه نه ده مهم فکتور، او بیا هم د اوږدمهاله بار له امله کریپ رامینځته کیدی شي. د یو عادي مثال په توګه، دا حقیقت په پام کې ونیسی، کله چې د ربر یوه کرې چې د اوږدې مودې لپاره غځیدلی وساتل شي او دا له غځیدلو څخه د خلاصیدو وروسته بیرته خپل اصلي شکل ته نه راستنیري .

د عملي موخو لپاره، کله چې کریپ د یو جولبت لپاره مهم او په نظر کې باید ونیول شي ، هغه باید داسې ډیزاین شي چې د یوې ټاکلې مودې لپاره د ځانګړي کریپ سترین سره مقاومت وکړي. یو مهم میخانیکي خاصیت چې پدې برخه کې کارول کیږي د کریپ مقاومت په نوم یادیري. دا ارزښت د لوړ سترس استازیتوب کوي، مواد کولی شي د یو ټاکلي وخت په اوږدو کې د منلو وړ کریپ سترین حد څخه ډیر مقاومت وکړي . د کریپ توانايي د تودوخې سره توپیر مومي، او د ډیزاین لپاره، د تودوخې درجه، د بار کولو موده، او د منلو وړ کریپ سترین باید ټول مشخص شي. د مثال په توګه، په هر کال کې د % 0.01 د کریپ سترین د فولادو لپاره وړاندیز شوی چې د بولټونو او پایپ لپاره تری کار اخستل کیږي.

د یو ځانگړی موادو د منلو وړ کریپ قوت ټاکلیدلو لپاره ډیری طریقې شتون لري. د یو ځانگړي موادو لپاره. یوه ساده ازموینه داده چې یو لړنمونی د موادو په ورته وخت کې په ثابت تودوخې کې، مگر هر یو د نمونې د مختلف محوری سترس سره مخ وی. د هری نمونې د وخت په اوږدوالي کوم وخت چې د منلو وړ کریپ سترین ته رسیري اندازه شی. او کیدی بنی چې لدی اندازې د وخت په مقابل کې به د (سترس - وخت) گراف تاسیس شی. معمولاً دا ازموینې په اعظمي توگه 1000 ساعتونو وخت نیسي. د مثال په توگه د بی زنگه فولادو لپاره په تودوخې 1200 درجې فارنهایت کې کریپ سترین 1% ټاکل شوي او دا په انځور 3-27 کې بنودل شوي. لکه څنگه چې یادونه وشوه، دا مواد 40 ksi (276 MPa) بیلد قوت لري، چې د خونې په حرارت کې (0.2% آفسیټ) وی، او د کریپ قوت یی په 1000 ساعتونو کې تقریباً $s_c = 20 \text{ ksi}$ (138 MPa) بنودل شوی.



په دې پایه باندې اوږدمهاله د کیبل بار د دې پایي د کریپلو مخ په خرابیدو لامل کریپ شوی



انځور 3-27

د اوږدې مودې لپاره، له منحنې څخه باید اټکل (extrapolations) شي. د دې کار اجرا کولو لپاره معمولاً یو مشخص مقدار تجربه د کریپ چلند، او د موادو د کریپ په اړه ځینې اضافي پوهې ته اړتیا شته. یوځل چې د موادو کریپ قدرت وټاکل شي، د خونديتوب یو مناسب فکتور د دیزاین د منلو وړ سترس ترلاسه کولو لپاره تری کار اخستل کیږي.

ستریا (Fatigue). کله چې په یو فلز تکراری سایکلی سترس یا تکرار سایکلی سترین عمل وکړي، دا د دې سبب گرځي چې داخلي جوړښت مات شي، او په نهایت کې لامل د ماتیدو کیږي. دا چلند د **ستریا** په نوم یادېږي، او دا معمولاً په لویه سلنه ماتیدو د انجنونو د راپونو او کرینشافتونو په نښلولو کې کیږي. همدا راز د بخار یا گاز توربین چاری، د پلونو، ریل پټلۍ لپاره نښلول یا ملاتړ څرخونه او محورونه؛ او نورې برخې د تکراری سایکلی بارونو سره مخ دي. په ټولو دې حالتو کې، تخریب په هغه سترس کې واقع کیږي چې د موادو له ارتجایي (elastic) حد څخه لږ وي.

د دې ناکامۍ ماهیت په حقیقت سره دا دی چې معمولا د غري په سطحه مایکروسکوپي نیمګړتیاوې شتون لري، چېرته سیمه ایز سترس د اوسط سترس عمل کولو په پرتله د غوڅی برخې په اوردو کې خورا لوی کیږي. لکه څنګه چې دا لور سترس سایکل کیږي، دا د وړو درزونو جوړولیدو لامل کیږي. د دې درزونو پېښیدل د سترس د زیاتوالي د درز په څوکه کې لامل کیږي، کوم چې په پایله کې درز د نور پراخیدو خواته ځی کله چې په موادو کې څنګه چې سترس د سایکل چلولو ته دوام ورکوي. په نهایت کې د غري غوڅه برخه ساحه دی ته راتیته کیږي چېری چې د بار نور توان نلري او په پایله کې ناڅاپه ماتیدل واقع کیږي. مواد که څه هم د نرمۍ په توګه پیژندل کیږي، داسې چلند کوي لکه څنګه چې دا ماتیدونکی وو.

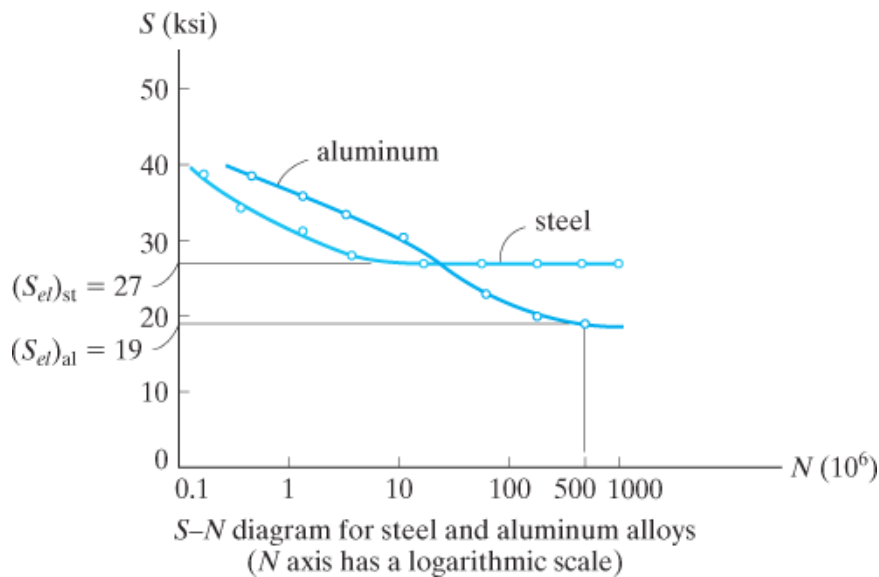


انجینر د تیلو د راستلو د ماشین هغه برخې چې په حرکت کیدی باید د ستریا لپاره په ډیزاین کې په پام کې ونیسي.

د غرو ډیزاین د پارک د تفریحی سواری لپاره تری کار اخستل کیږي، او احتیاط ته اړتیا لري چې سایکلک بارونه کولی شي د ستریا لامل شي

د دی لپاره چې د منلو وړ مقاومت یا توان د فلزی موادو لپاره چې تکراری بار پری عملکوی مشخص شي، اړینه ده چې د یو خوندي سترس حد او سایکلونو حد وټاکل شي چې د دی حد لاندې یې د تکراری بار پلي کیدوسره د ماتیدو شواهد و نه لیدل شي. د دی ستریس حد د *اینډورنس* (*endurance*) یا *ستریا* ستریس په نوم یادېږي. دا حد د ازموینې ماشین کارولو له لاری چې یوه لری نمونه چې هر یو د یو مشخص سترس سره مخ شوي تر هغه چې ماتي شي. د ازموینوله پایلي د ګراف جوړ شي چې په عمودی محور کې سترس S (یا S) استازیتوب کوي او په افقی محور کې د سایکلونو شمیر چې ماتیدل مینځ ته راولي (N) داخل شي. دا ګراف په نامه د *S-N* *ډیاګرام* یا *سترس سایکلی ډیاګرام* په نوم یادېږي، او ډیری وختونه د N ارزښتونه په لوګاریتمیک پیمانته ترتیب کیږي ځکه چې دوی عموما ډیر لوی دي.

د دوه عام انجینري فلزاتو لپاره د $S-N$ ډیاگرامونو مثالونه په انځور 3-28 کې بنودل شوي. د برداشت یا ایندورنس (*endurance*) حد معمولا د هغه سترس په توګه پیژندل کیږي کوم چې د $S-N$ ګراف افقی یا اسمپټوټیک (*asymptotic*) کیږي. لکه څنګه چې یادونه وشوه، دا د فولادو لپاره د $(S_{el})_{st} = 27 \text{ ksi}$ (186 Mpa) بڼه تعریف شوی ارزښت لري. د المونیم لپاره د برداشت حد بڼه نه دی تعریف شوی، او همداسې دلته دا ممکن د سترس په توګه مشخص شي چې 500 ملیون دورې یا سایکل محدودیت لري، $(S_{el})_{al} = 19 \text{ ksi}$ (131 Mpa). یوځل چې به دی ډول یو ځانګړی ارزښت ترلاسه شي، پیری وختونه داسې انگیرل کیږي چې د دې ارزښت لاندې د هر ډول فشار لپاره به د ستریا ژوند لامحدود وي، او له همدې امله د ماتیدو د پاره د باریدو دورې شمیرو ته نور غورنه ورکول کیږي.



انځور 3-28

مهم ټکي

(IMPORTANT POINTS)

د پویسان نسبت u (Poisson's ratio, ν) - دا د یو متجانس او ایسوتراپیک (isotropic) موادو د اړخ د سترین تناسب د اوږدوالي سترین سره دی. په عمومي توګه دا سترینونه مخالفو نښو څخه دي، په بل عبارت سره که یو اوږدوالی ولري، بل به انقباض وکړي .

- د شپیر سترس - سترین ډیاګرام هغه جوړ شوی ډیاګرام دي چې شپیر سترس په مقابل د شپیر سترین کی یوه پلاټ دی. که چیری مواد متجانس او ایسوتروپیک وي، او همدارنګه خطي ارتجاعیت ولري، د مستقیم کرښې میلان په ارتجاعي لرونکي سیمه کی په نامه د سختوالي ماجولس یا شپیر ماجولس G په نوم یادېږي .

- د G, E, ν تر منځ یو د ریا ضی اړیکه شتون لري

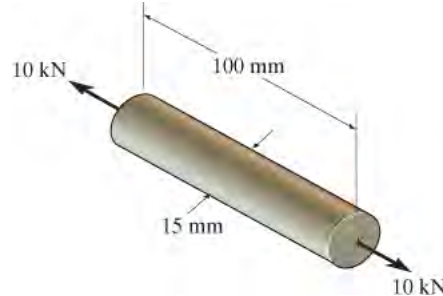
- کریپ (creep) د موادو پر وخت پورې تړلی د شکل بدلون دی کوم چې سترس او/ یا د حرارت درجه پکی مهم رول لوبوي. غږي داسی ډیزاین کیری ترڅو د دوی موادو د کریپ اغیزو سره مقاومت وکړي چې د کریپ پر مقاومت پوری اړه لری. هغه د موادو ترتولو لوی لومړنی سترس دی چې د یو ټاکلي وخت په اوږدو کې تحمل ولری او د ټاکل شوي کریپ سترین له حد څخه زیات نشی.

- ستریا په فلزاتو کې هغه وخت پېښېږي کله چې سترس یا سترین دوری (سایکل) شي. دا پدیده د موادو د ماتیدو لامل کیږي. غږي باید داسی ډیزاین شي چې د ستریا په وړاندې مقاومت وکړي ترڅو ډاډ ترلاسه شي چې سترس او سترین د غږی د خپل برداشت یا ستریا له حد څخه زیادت ونکړي. دا ارزښت له $S-N$ ډیاګرام د اعظمي سترس په توګه ټاکل کیږي چې مواد کولی شي مقاومت وکړي کله چې یو مشخص شوي دورې شمیر د بارولو عمل ورباندی پلی شی.

بنسټيز سوالونه

(FUNDAMENTAL PROBLEMS)

ب 3-13. يو 100 ملي ميټر اوږد راډ يا ميله 15 ملي ميټر قطر لري. که يو د 10 kN محوری کششی بار په دې باندي پلي شي، د قطر بدلون مشخص کړئ $E = 70 \text{ GPa}$ ، $\nu = 0.35$



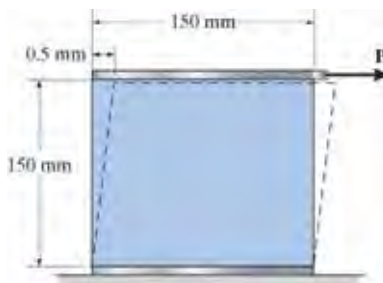
ب 3-13

ب 3-14. يوه کلک ميله يا راډ گرده غوڅه برخه چې قطر يې 20 ملي ميټر او 600 ملي ميټر اوږدوالی لري يو محوری قوه د $P = 50 \text{ kN}$ ورباندی عمل کړيدی. د راډ اوږدوالی $d = 1.40 \text{ mm}$ دی، او د هغې قطر $d' = 19.9837 \text{ mm}$ شوی. ارتجايي ماجولس او هم د سختوالي ماجولس معلوم کړي. مواد بيلد نکړي.



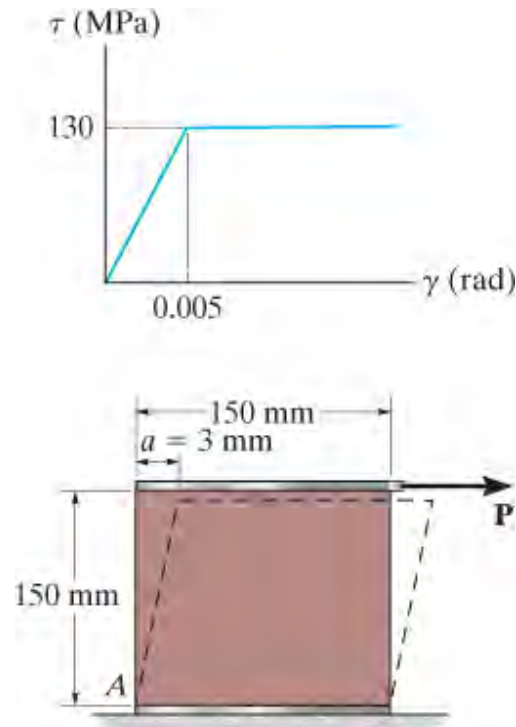
ب 3-14

ب 3-15. يو 20 ملي متره پراخ بلاک په پورتنی او بنکته کې تختې سره تړل شوی دی. کله چې يوه قوه P ورباندی پلي شي د بلاک شکل بدلون مومی او دا بدلون د شکل په ټوټه ټوټه شوی کربني په لاندی انځور کې بنودل شوي. د P ارزښت معلوم کړئ. د بلاک مواد د سختی ماجولس يې $G = 26 \text{ GPa}$. فرض کړئ چې مواد بيلد نه کوي او د کوچني زاويې تحليل و کاروي.



ب 3-15

ب 3-16. یو 20 ملی متره سورور بلاک په پورتنی او بنکته کې تختې سره تړل شوی دی. کله چې یوه قوه P ورباندې پلې شي د بلاک شکل بدلون مومي او دا بدلون په ټوټه ټوټه شوی کرني په لاندې انځور کې ښودل شوي. که $a = 3 \text{ mm}$ او P لری شي، دايمي شپير سترين په بلاک کې مشخص کړئ .

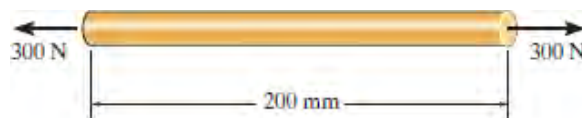


ب 3-16

سوالونه

(PROBLEMS)

3- 25. د اکریلیک (acrylic) پلاستيکي راډ چې 200 ملي میتر اوږد او 15 ملي میتره قطر لري. که چیرې یو بهرنی محوري بار د 300 N په دې باندې تطبیق شي، معلوم کړئ بدلونونه د هغې په اوږدوالي او قطر کې $E_p = 2.70 \text{ GPa}$ ، $u_p = 0.4$



س 3-25

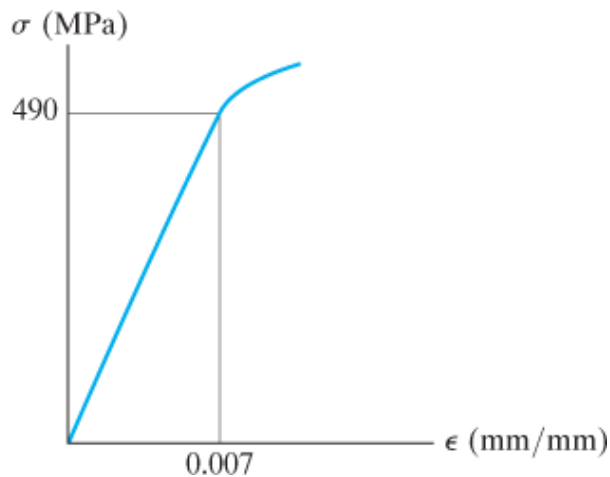
3-26. دا پلگ (plug) 30 ملي ميټر قطر لري او په يو سخت لستونۍ (sleeve) کې چې 32 ملي ميټر داخلي قطر لري داخلې دی شي. دواړه پلگ او لستونۍ 50 ملي متره اوږدوالي لري. محوري فشار p مشخص کړئ چې باید د پلگ په پورتنۍ برخه کې پلي شي ترڅو د دې لامل شي چې د لستونۍ اړخونو سره اړیکه ونيسي. همدارنگه، څومره لري باید د پلگ په کوز لور تخته شي ترڅو د اړخونو سره په اړیکه کې شي؟ پلگ د هغه موادو څخه جوړ شوی چې $E = 5 \text{ Mpa}$ ، $u = 0.45$ دي.



3-26

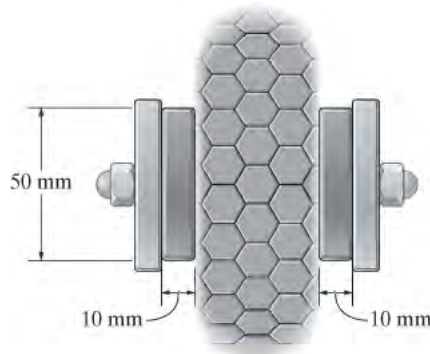
3-27. د المونيم ارتجاعي برخې د سترس- سترين ډياگرام په لاندې انځور کې بنودل شوی. له هغه نمونې چې دا ترلاسه شوی اصلي قطر يې 12.7 mm او د گيج اوږدوالی 50.8 mm دی. کله چې يو د کشش بار 50 كيلو نيوتن ورباندې پلي شي د نمونې قطر 12.67494 mm کېږي. د موادو لپاره د Poisson تناسب معلوم کړئ.

***3-28**. د المونيم ارتجاعي برخې ديو سترس- سترين ډياگرام په لاندې انځور کې بنودل شوی. له هغه نمونې څخه چې دا ترلاسه شوی اصلي قطر يې 12.7 mm او د گيج اوږدوالی 50.8 mm دی. که چېرې يو بار $P = 60 \text{ kN}$ ورباندې پلي شي د نمونې نوی قطر او اوږدوالي وټاکئ. $u = 0.35$ واخله.



س 3-27/28

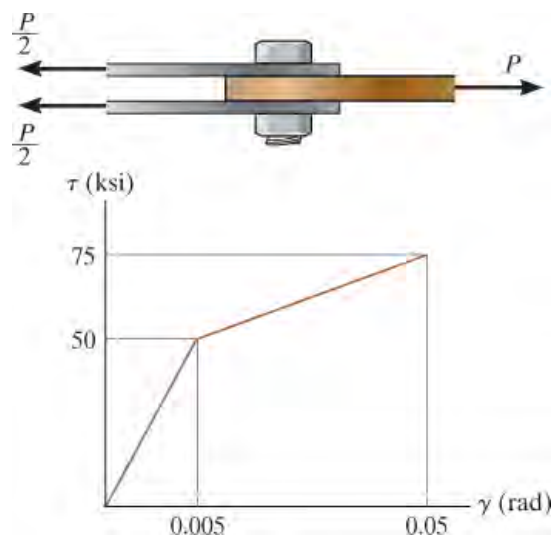
3-29. د بایسکل ټایر د بریک پډونه (pads) له ربر څخه جوړ شوي دي. که چیرې یوه قوه د 50 نیوټن د اصطحاکاک په هر اړخ د ټایر عمل وکړي په ربر کې اوسط شیبیر سترین مشخص کړئ. دهر پډ غوڅه برخه د 20 mm او 50 mm ابعاد لري $G_r = 0.20 \text{ MP}$.



س 3-29

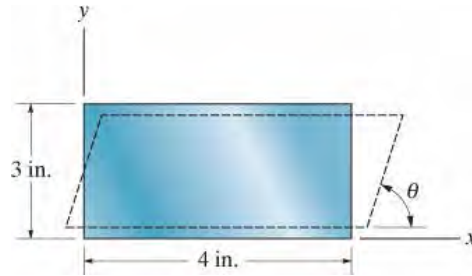
3-30. یو لپ گڼونگي (lap joint) د یوه بولټ چې 1.25 انچه قطر لري په کارولو سره یوځای شوی. او یو بهرنی بار $P = 75 \text{ kips}$ ورباندې عمل کړی. که بولټ د داسې موادو څخه جوړ شوی وي چې د شیبیر سترس – سترین ډایاگرام یې لاندې بنودل شوی، د شیبیر په سطحه کې رامینځته شوی د شیبیر سترس مشخص کړئ.

3-31. یو لپ گڼونگي د یوه بولټ چې 1.25 انچه قطر لري په کارولو سره یوځای شوی. که بولټ د داسې موادو څخه جوړ شوی وي چې د شیبیر سترس – سترین ډایاگرام یې لاندې بنودل شوی، د شیبیر په سطحه کې رامینځته شوی دایمی شیبیر سترین مشخص کړئ، کله چې پلي شوي بهرنی بار $P = 150$ کیپ لیري شي.

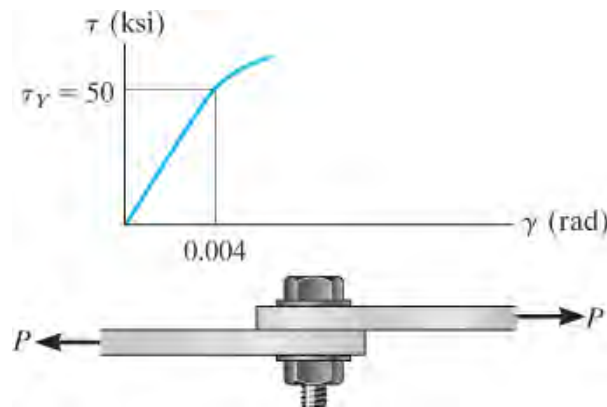


س 3-30/31

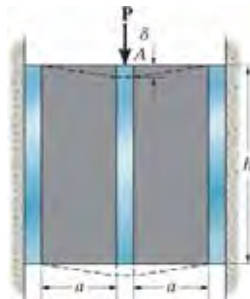
3-32* د ربر بلاک د 0.03 انچه اوږدوالي سره د x محور په اوږدو کې مخامخ دی، او د هغې عمودی مخونه کوروالي د $\theta = 89.3$ پیدا کړي. د سترین e_x ، e_y او g_{xy} ارزښتونه مشخص کړئ. د نیو ارزښت $u_r = 0.5$ دی.



3-33 د یو ډول موادو لپاره د شیبیر سترس – سترین ډیاگرام په لاندې انځور کې ښودل شوی. که یو بولټ د دې موادو څخه جوړ او د 0.25 انچه قطر ولري او د لپ (lap) په ګڼونکې کې کارول کيږي، د ارتجاعي ماجولس حد E مشخص کړئ او هغه قوه P چې لامل کيږي چې مواد بیلد وکړي معلوم کړي. د مواد د نیو ارزښت $u_r = 0.3$ دی.



3-34 یو د شیبیر فنر د ربر له دوه بلاکونو څخه جوړ شوی، هر یو لوړوالی h ، او سور یي b ، او پنډ والی a لري. بلاکونه لکه څنګه چې ښودل شوي په دريو تختو پورې تړلي دي. که تختي سخت وي او د ربر شیبیر ماجولس G دی، د تختي A بې ځایه کیدل کله چې عمودی بار P پلي کيږي معلومه کړئ. فرض کړئ چې بې ځایه کیدنه کوچنۍ ده نو داسې $d = a \tan g = ag$.

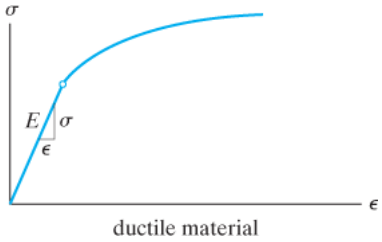
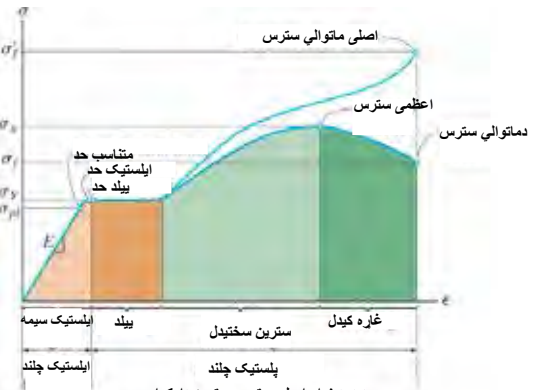


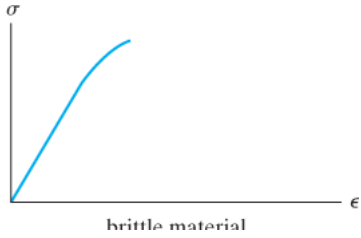
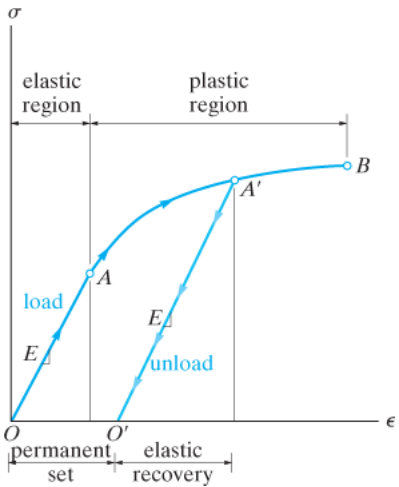
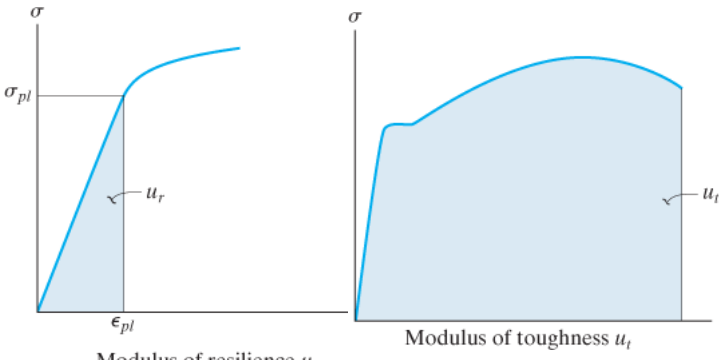
س 3-34

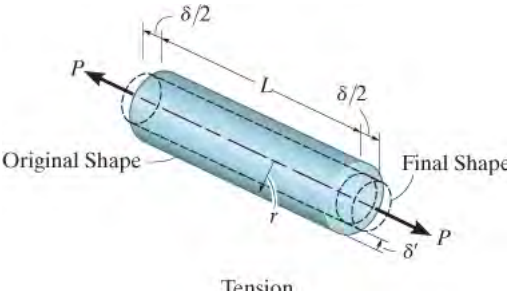
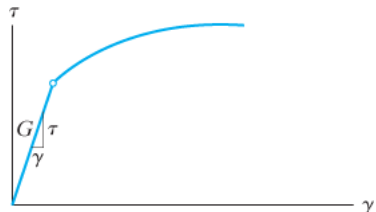
د فصل بیا کتنه

CHAPTER REVIEW

د موادو د توان معلومولو لپاره یو له خورا مهمو ازموینو څخه د کشش ازموینه ده. په نتیجه د غځیدل شوی نمونې کې، په عمودی محور کې د نارمل سترس په توګه او نارمل سترین په افقی محور پلات کېږي .

	$s = E e$	<p>ډیری انجینري مواد ابتدایي خطي ارتجایي چلند لري، په دې توګه سترس د سترین سره متناسب دی، او د هوک قانون $s = Ee$ لخوا تعریف شوی، دلته E د موادو ارتجایي ماجولس نومېږي او دا د خطي کرنې میلان د دې سترس-سترین ډایګرام دي.</p>
		<p>کله چې مواد له بیلد سیمې اضافتر سترس لاندې راشي په موادو کې دایمي د شکل تغیر پېښېږي. په ځانګړې توګه، فولاد د یلد (yield) ساحه لري، کوم ځای چې مواد د سترین زیاتوالي بڼکاره کوی بیلدي چې سترس ورباندې زیات شي. د سترین ساحه سخت کیدل سبب د نور یلدينګ لامل کېږي چې مواد د زیاتوالي د سترس سره مخ کېږي. په نهایت کې، په اعظمی سترس یوه سیمه ایزه سیمه به په نمونه کې تنګیدل یا غاره پیل کړي، او په همدې غاره کې به وروسته نمونه ماتېږي.</p>
$\frac{L_f - L_0}{L_0} (100\%) = \text{سلنه اوږدوالي}$ $\frac{A_0 - A_f}{A_0} (100\%) = \text{سلنه د ساحې کمښت}$		<p>نرم مواد، لکه ډیری فلزات، دواړه ارتجایي لرونکي او پلاستيکي چلند بڼکاره کوي. لرګي په اعتدال ډول نرم دی. نرمښت معمولاً په سلنه د اوږدوالي تر ماتیدو پورې مشخص کېږي یا په سلني کمښت د غوڅې برخې مساحت کې.</p>

	<p>ماتیدونکی مواد لږ یا هیڅ یلد مخ کی له ماتیدو نه ښکاره کوي . کاسټ و سپنه، کانکریت، او شیشی ددی ډول موادو عادي مثالونه دي.</p>
	<p>د موادو د یلد ټکی په A کې کیدی شي د سترس په سختولو سره زیاتوالی ومومي . دا د داسی بار په پلي کولو سره په لاس راتلی شی چی سترس د یلد څخه زیاتوالی وکړي او بیا بار لری شی. دا لوی سترس A' د موادو لپاره نوی د یلد ټکی کیږي.</p>
	<p>کله چې یو بار په غږي باندي پلي شي، د شکل بدلون دسترین انرژي د جوړیدو سبب گرځي او هغه په موادو کې ساتل کیږي. دسترین انرژي په هر واحد حجم، یا دسترین انرژي غلظت د سترس-سترین گراف د لاندی ساحی سره برابر وی. دا ساحه تر یلد ساحی پورې د انعطاف ماجولس په نوم یادېږي . د سترس-سترین لاندې ټوله سیمه د سختی ماجولس په نامه یادېږي.</p>

 <p style="text-align: center;">Tension</p>	$\nu = -\frac{\epsilon_{lat}}{\epsilon_{long}}$	<p>د Poisson تناسب U بی له ابعادو د موادو خاصیت دی چې د اړخ سترین د اوږد والی سترین سره په تړاو کی راولی. د هغی د ارزښتونو اندازه $0 < U \leq 0.5$ ده.</p>
	$G = \frac{E}{2(1 + \nu)}$	<p>د شیبیر سترس-سترین ډیاگرامونه هم کیدی شي د موادو لپاره جوړ شي. په ارتجاعي سیمه کې $t = Gg$، چېرته چې G د شیبیر ماجولس shear modulus، د کرنی له میلان څخه موندل کیږي. د U ارزښت د هغه اړیکو څخه چې د G, E، او U ترمنځ شتون لري ترلاسه کیدی شي.</p>
		<p>کله چې مواد د اوږدې مودې لپاره په خدمت کې وي، د کریپ په نظر کې نیول مهم کیږي. کریپ د وخت په تیریدو د شکل د تغیر عملیه ده، کوم چې د لوړ سترس او/یا لوړ حرارت په شتون کې واقع کیږي. په ډیزاین کې دی ته اړتیا ده چې سترس د مواد د منلو وړ سترس څخه ډیر نه وي کوم چې د موادو د کریپ پر بنسټ تثبیت شوی او دمنلو وړ وی.</p> <p>د موادو ستریا هغه وخت واقع کیدی شي کله چې په موادو باندې لوی شمیر دورې بار عمل وکړي، او دا د دی لامل کیږی چی واره مایکروسکوپي درزونوبه غړی کی جوړیږی، چې په پایله کی د ماتیدو</p>

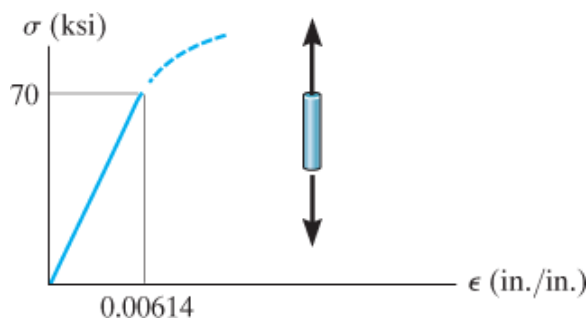
		<p>سبب کیری. د ستریا د مخنیوی لپاره، په موادو کې سترس باید د برداشت یا ایندورنس حد یا مثل شوی حد د ستریا د ستریس څخه ډیر نه شي.</p>
--	--	---

بیا کتنی پوښتنی

REVIEW PROBLEMS

ب 3-1. د ارتجایي برخی د کشش سترس - سترین ډایگرام د المونیم الیاژ لپاره په لاندی انځور کې بنودل شوی. د ازموینې لپاره کارول شوي نمونه 2 انچ اوږدوالی او د 0.5 انچ قطر لري. کله چې یو بار 9 کیپ ورباندی پلي شي د نموني قطر 0.49935 انچه کیری. شیر ماجولس G_{al} د المونیم لپاره محاسبه کړی.

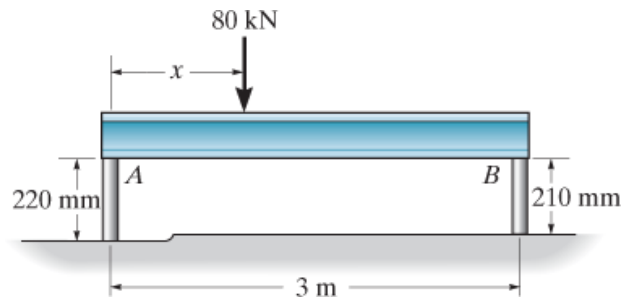
ب 3-2. د ارتجایي برخی د کشش سترس - سترین ډایگرام د المونیم الیاژ لپاره په لاندی انځور کې بنودل شوی. د ازموینې لپاره کارول شوي نمونه 2 انچ اوږدوالی او د 0.5 انچ قطر لري. که چیرې پلي شوی بار 10 کیپ وي، معلوم کړی د نموني نوی قطر. د شیر ماجولس $G_{al} = 3.8 (10^3)$ ksi دی.



ب 3-1/2

ب 3-3. یو سخت بیم په افقی موقعیت کې په دوه 2014 - T6 المونیم سلنډرونو تکیه دی. د سلنډرونو اوږدوالی په انځور کې بنودل شوی. که هر سلنډر د 30 ملي میتر قطر ولري، د پلي

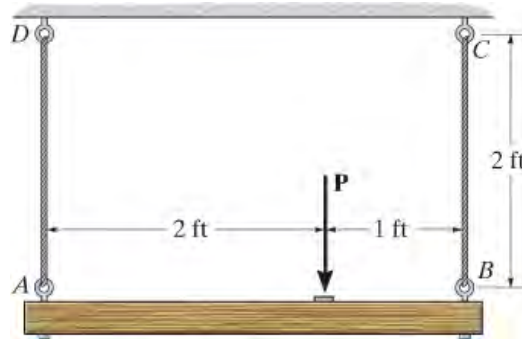
شوي 80 kN بار خای x مشخص کړئ تر څو بيم افقی پاتې شي. وروسته له دې چې بار پلي شي د سلندر A نوی قطر څه شی دی ؟ $U_{al} = 0.35$



ب 3-3

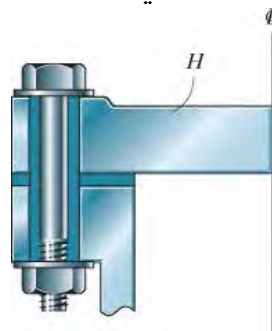
ب 3-4. سیمونه چی هر یو یی 1/2 انچ قطر او اوږدوالی 2 فوټه دی ، له 304 فولادو (دزنگ ضد فولاد) څخه جوړ شوي. که چیری $P = 6 \text{ kip}$ کږه شوي زاویه د سخت بيم AB وټاکي.

ب 3-5. سیمونه چی هر یو یی 1/2 انچ (نیم انچ) قطر او اوږدوالی 2 فوټه دی ، له 304 فولادو (دزنگ ضد فولاد) څخه جوړ شوي. د P قوه اندازه معلومه کړئ تر څو سخت بيم 0.015^0 درجي ته کږه (tilt) شي .



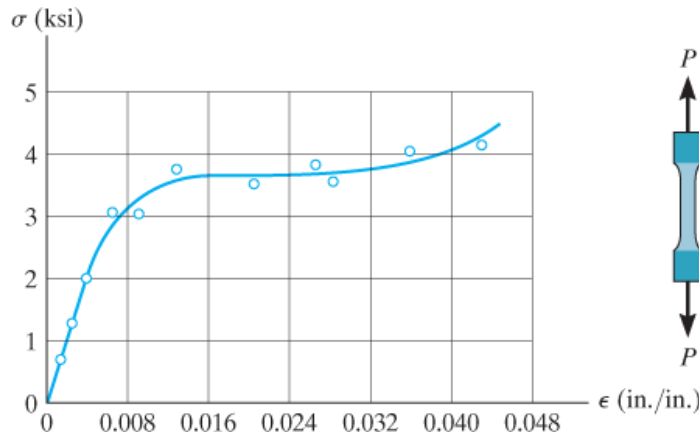
ب 3-4/5

ب 3-6. سر H د شپږ 3/16 in قطر فولادی بولټونو په کارولو سره د کمپرسور سلنډر سره وصل دی. که په هر بولټ کې د کلمپ یا فشار کولو قوه 800 پونډه وي، نارمل سترين په بولټونو کې وټاکي. که $s_Y = 40 \text{ ksi}$ او $E_{st} = 29(10^3) \text{ ksi}$ وي، په هر بولټ کې سترين څومره دی کله چې نټ خلاص شی، تر څو د کلمپينگ قوه لری شي؟



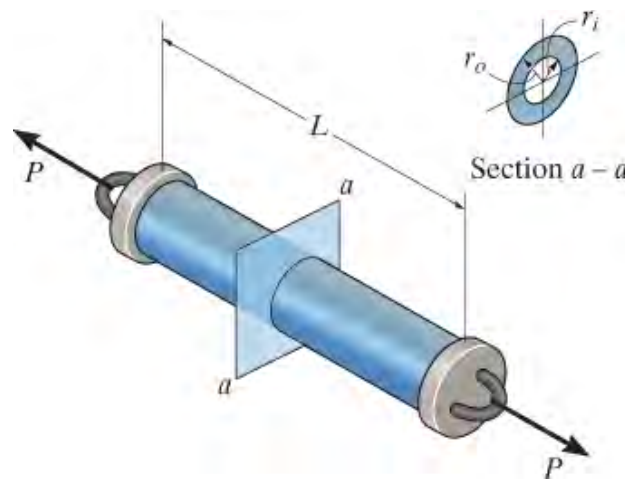
ب 3-6

ب 3-7. د پولیتیلین (polyethylene) لپاره د سترس-سترین ډایاگرام، کوم چې دی د کواکسیل کیلونو پوښ کولو لپاره کارول کیږي، د ازموینې څخه ټاکل کیږي. یوه هغه نمونه چې د گيچ اوږدوالی 10 انچه دی ددی ستر سترین جوړه ولو لپاره کارول شوي دی. که چیرې یو بار P پدی نمونه کی د $e = 0.024 \text{ in/in}$ سترین رامینځته کړي، د نمونې اوږدوالی چی په منځ د گيچ ټکیو کی اندازه کیږي معلوم کړي کله چې بار لیرې شي. فرض کړئ چې نمونه په ارتجاعی ډول بیرته راگرځي.



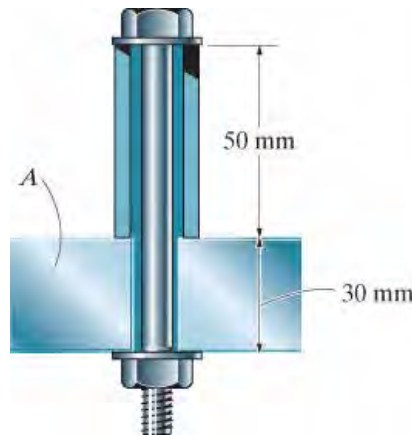
ب 3-7

ب 3-8*. یو جامد راډ، چی قطر یی r ، د دوو سختو سرپوښونو سره چې د هغې په سرو کی دی ټرل کیږي، یو محوري بار P ور باندی پلی شوی. که چیرې راډ د داسې موادو څخه جوړ شوی وي چې د ارتجاعیت ماجولس یی E او Poisson's د پویسان تناسب U ، وی، د موادو په حجم کی بدلون معلوم کړی.



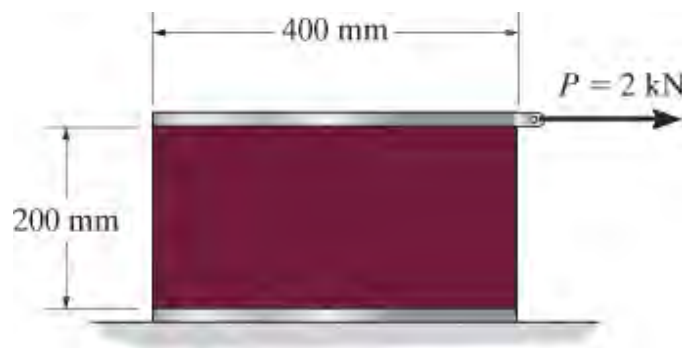
ب 3-8

ب 3-9. د 8 mm قطر بولټ د المونیم الیاژ څخه جوړ شوی. دا د میګنیشیم لستونۍ کی، چی داخلی قطر یې 12 mm او بهرنی قطر یې 20 mm دی، داخلی دی شي . که اصلي اوږدوالی د بولټ او لستونۍ په ترتیب سره 80 mm او 50 mm وي، په لستونۍ او بولټ کی سترین و ټاکی که چیرې په بولټ باندې نټ سخت وي نو په بولټ کی د کشش قوه 8 kN وي . فرض کړئ چی مواد A سخت یا کلک دي ، $E_{al} = 70 \text{ Gpa}$, $E_{mg} = 45 \text{ Gpa}$



ب 3-9

ب 3-10. د اسیټل پولیمر (acetal) بلاک د سختو تختو سره په پورته او ښکته سطحو کی ټینګ شوي . که پورتنۍ تخته یې 2 mm په افقی ډول بی ځایه شي کله چی افقی قوه $P = 2 \text{ kN}$ ، عمل وکړي د پولیمر د شپیر ماجولس مشخص کړئ. د بلاک پندوالی 100 ملي متره دی. فرض کړئ چی پولیمر خطي ارتجاعي لرونکی او د کوچني زاویې تحلیل وکاروئ



ب 3-10

C 4

څلورم فصل

(CHAPTER 4)



(© Hazlan Abdul Hakim/Getty Images)

د تېلو په دې برمه کې پېپونه به د لوی محوري تغیر د شکل (deformation) تابع وي کله چې په سوري کې کينودل شي.

محوري بار

AXIAL LOAD

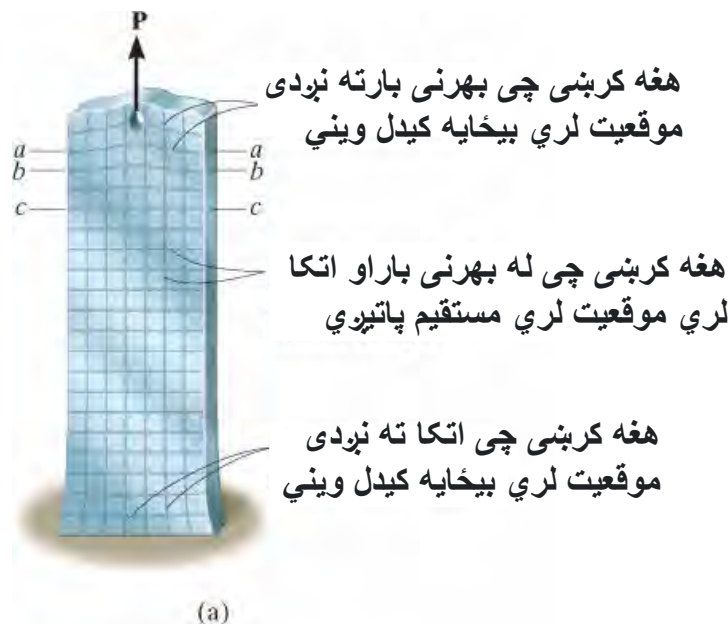
د فصل موخي (CHAPTER OBJECTIVES)

په دې فصل کې به موږ په دې اړه بحث وکړو چې څنګه د محوري بار شوي غړي د شکل تغیر پیدا کړو، او هم موږ به یو طریقه رامینځته کړو چې د اتکا ریکشنونه که چیرې د تعادل او مساواتوله معادلو وټاکل نشي څنګه به یې معلوم کړو. همدارنګه به د حرارتي ستړس اغیزې، د ستړس غلظت، د شکل غیر الاستیک بدلون، او پاتې ستړس په غړی کې به لنډه توګه تحلیل شي.

4.1 د سنت وینانت اصول (SAINT-VENANT'S PRINCIPLE)

په تیرو فصلونو کې، موږ د سټریس مفهوم چې د هغه په ذریعه دغری د بدن دننه د قوو د ویش اندازه او سټرین چې د هغه پواسطه د جسم د شکل تغیر اندازه وینئ بیان کړل. موږ دا هم وښودل چې د سټرس او سټرین تر مینځ ریاضیاتي اړیکه شتون لري او دا تړون د موادو په څرنګوالي پورې اړه لري. په ځانګړې توګه، که موږ په خطي ارتجاعي ډول چلند کوي، بیا د هوک قانون پلي کوي، او یو متناسب اړیکې دی سټرس او سټرین ترمنځ پیدا کوي.

د دې مفکورې په کارولو سره، په پام کې ونیسئ، که چیرې په یوه مستطیل شکل میله باندې یو بهرنی محوری بار P پلي شوی میله په ارتجاعي حالت کې د شکل بدلون مومي، او دا په انځور 4-1a کې ښودل شوي. ځنی افقی او عمودي کرښې چې په میله باندې رسم شويې تاو مومي، او ځایي تغیر د شکل په هر پای کې واقع کيږي چیرته چې بار پري عمل کوي. د میلی د مینځنۍ برخې په اوږدو کې، کرښې افقی او عمودي پاتې دي ځکه چې دا حصه د بار نه لرې ده.

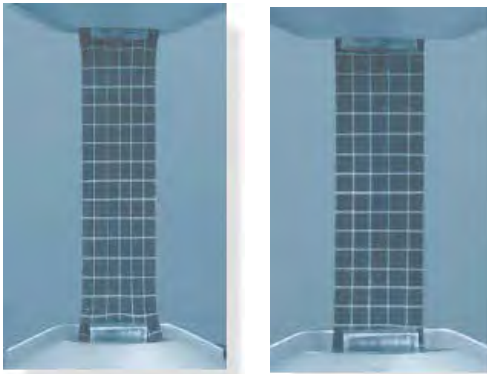


انځور 4-1

که چیرې موږ ارتجاعي حالت کې پاتې شي، نو رامینځته شوي سټرین د دې کشیدو له امله د سټرس سره د هوک د قانون له لارې مستقیم تړاو لري، $s = Ee$. په نتیجه کې د سټریس پروفایل په توپیری ډول د $a-a$ ، $b-b$ ، او $c-c$ په غوڅو په انځور 4-1b کې ښودل شوي. معلومیږي چې فشار د $c-c$ په غوڅه کې یوشان ارزښت ته رسیږي، کوم چې د پای څخه په کافي اندازه لیرې دي، ځکه چې د P لخوا جوړ شوي د شکل ځایي تغیر له مینځه ځي. د بار له پای څخه لږترلږه فاصله چیرې چې دا ځایي پېښیږي د ریاضی په کارولو سره چې د ایلستیسټی تیوري له بنسټ کار اخلي ټاکل کیدی شي. دا معلومه شوی چې دا فاصله باید لږترلږه د بار شوي غوڅی

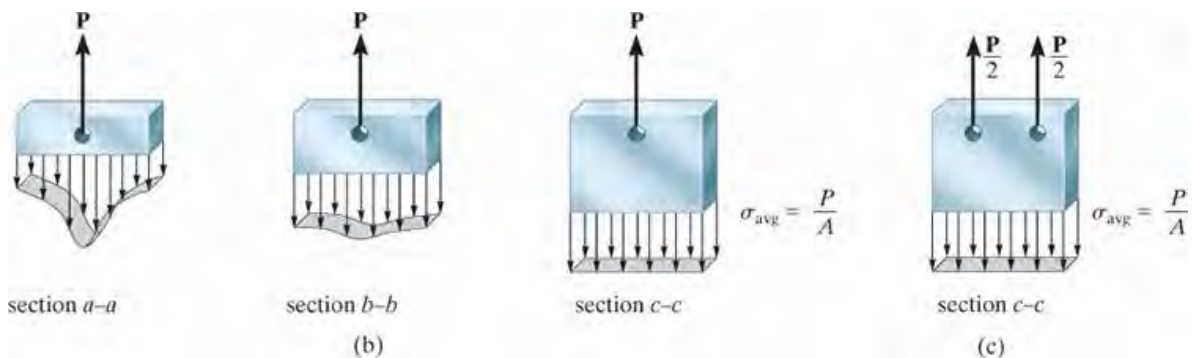
برخي ترتولو لوی ابعاد سره مساوي وي. له همدې امله، برخه $c-c$ باید لږ تر لږه د عرض سره مساوي فاصله کې موقعیت ولري (نه ضخامت) د بار. *
په ورته ډول، په شکل 4-1a کې د سترس ویش په اتکا کې به د غوڅی برخې چې په ورته فاصله کې موقعیت لري یوشان شی.

دا حقیقت چې سیمه ایز سترس او د شکل تغیر په دې ډول چلند کوي د سینټ ویننټ اصول (*Saint-Venant's principle*) ورته ویل کیږي، ځکه چې دا د لومړي ځل لپاره د فرانسوي ساینس پوه، باری ډی سینټ ویننټ (*Barre de Saint-Venant*)، لخوا په 1855 کې لیدل شوی وه. په اصل کې دا وایي چې له بهرنی بار څخه پیدا شوی سترس او سترین د جسم په هغو نقطو کې چې په کافي اندازه د بهرنی پلي شوی بار له ساحی لری وی، دا به د سترس او سترین په څیر چې د کوم بل پلي شوي بهرنی بار لخوا تولید شوی وی مساوی وی کله چې د ابار مساوی محصله ولری او په ورته سیمه د جسم کې پلي شي. د مثال په توگه، که چیرې دوی په متناسب ډول پلي شوي قواوی $P/2$ په میله باندې عمل وکړي، انځور 4-1c، د سترس ویش به په $c-c$ برخه کې به یو شان وي او له همدې امله د $s_{avg} = P/A$ سره مساوي وي لکه څنگه چې په انځور 4-1c کې ښودل شوی.



*کله چې د $c-c$ برخه دومره موقعیت ولري، د ایلیستی تیوري د اعظمي سترس وړاندوینه کوي،
 $s_{max} = 1.02 s_{avg}$

پام وکړئ چې په دې رېږ کې کرښې څنگه د غځولو وروسته تغیر مومي. سیمه ایز بیخایه شوي تحریفونه سم شوی څنگه چې د سینټ ویننټ د اصولو لخوا بیان شوی.



انځور 4-1 (تکرار)

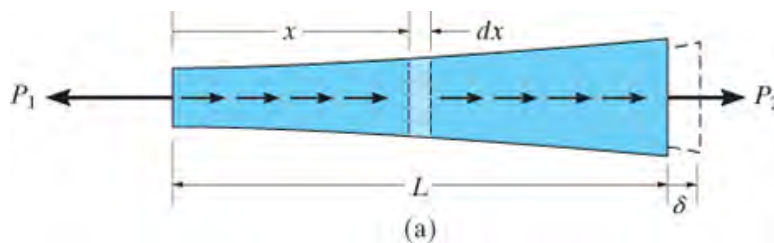
4.2 د یو محوری بار شوی غری د شکل ارتجاعی بدلون (Elastic) (Deformation of An Axially Loaded Member)



د هوک قانون او د سترس او سترین تعریفونو له مخی، مور به اوس یو داسی مساوات رامینځته کړو چی دهغه په واسطه غری چی محوری بار ور باندی عمل کوی نو ارتجاعی بی ځایه کیدنه یی په څه ډول پیدا کیږی. د دی مفهوم عمومي کولو لپاره، هغه بار په پام کی ونیسئ چی په انځور 4-2a کی بنودل شوی، کوم چی د غوڅی برخی ساحه یی په تدریجی ډول د هغی اوږدوالی L سره تغیر کوی، او د داسی موادو څخه جوړ شوی چی متغیره سختی (stiffness) یا ارتجای ماجولس (modulus of elasticity) لري. پدی بار باندی معین متمرکز بارونه په پای کی او یو متغیر خارجی ویشل شوی بار د هغی په اوږدوالی سره عمل کړی. دا توزیع شوی بار کولی شی، د بیلگی په توگه، استازیتوب وکړی د میلی په وزن، که چیری دا په عمودی موقعیت کی وی، دا ویشل شوی بار کیدی شی چی اصطحاککی قوه د بار په سطحه وی.

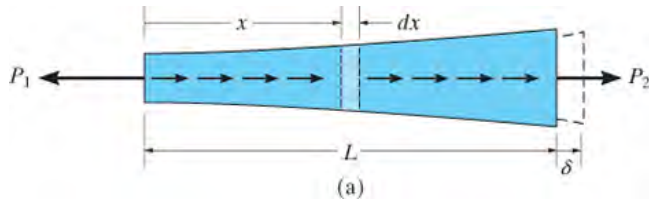
عمودی بیځایه کیدنه د پایي په پور B کی یوازی په هغه قوه چی د راډ AB په اوږدوالی سره عمل کړ اړه لري. په هر صورت، بی ځایه کیدنه د لاندی پور C اړه لري په قواو چی د هغی په ټوله برخه د اوږدوالی ABC پلی کیږی.

دلته مور غواړو د یوه پای نسبی بی ځایه کیدنه d (ډیلټا) نسبت بل پای ته د پلی شوی بار له امله پیدا کړو. مور به د محلی شکل تغیرو څخه سترگی پټی کړو چی د بار د پلیکیدو په نقطو کی واقع کیږی او یا کله چی غوڅه برخه ناڅاپه بدلیری. د سینټ وینانت اصول سره، دا اغیزی د بار په کوچنیو سیمو کی واقع کیږی، او په اوږدوالی د بار کی یی اغیزه له مینځ ځی. له همدی امله به په وروستی پایله کی کومه د پام وړ اغیزه ونلري. ډیری برخه د میلی به په مساوی ډول د شکل تغیر کوی او نارمل ستریس به په مساوی ډول په غوڅه برخه ویشل شوی وی.



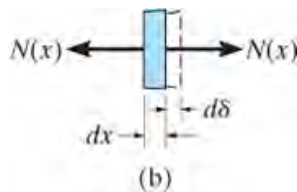
انځور 4-2

د برخو د طریقو له مخی، د اوږدوالي dx او دغوخی برخی مساحت $A(x)$ د میلی څخه په موقعیت x کې جلا کیږي، چیرته چې د ارتجاعي ماجولس $E(x)$ دي. د دې عنصر آزاد دایاگرام په انځور 4-2b کې ښودل شوی. محصله د داخلی محوری قواوو تابع د x دی، ځکه چې بهرنی ویشل شوي بار د میلی د اوږدوالی سره تړاو لري. دا بار، $N(x)$ ، به عنصر په هغه شکل بدل کړي چې په ټوټه ټوټه شوی کربنو ښودل شوی، او له همدې امله د عنصر د یوه پای بی ځایه کیدل نسبت بل پای ته $d\delta$ کیږي. له همدې امله په عنصر کې سترس او سترین پدی ډول دي:



$$\sigma = \frac{N(x)}{A(x)} \text{ and } \epsilon = \frac{d\delta}{dx}$$

په دې شرط چې سترس د تناسب حد څخه زیات نه وي، مور کولی شو د هوک قانون له مخی، د بیلگې په توگه، $s = E(x)e$ او :



$$\frac{N(x)}{A(x)} = E(x) \left(\frac{d\delta}{dx} \right)$$

$$d\delta = \frac{N(x)dx}{A(x)E(x)}$$

انځور (ادامه) 4-2

د بار د اوږدوالی L لپاره، د δ موندل پدی لاندی ډول دی:

$$\delta = \int_0^L \frac{N(x)dx}{A(x)E(x)} \quad (4-1)$$

دلته

d = په میله کې د یوې نقطې بی ځایه کیدل د بل نقطې په پرتله

L = د میلی اصلي اوږدوالی

$N(x)$ = داخلی محوري قوه په یوه برخه چې د x په فاصله کې له یوه پایه موقعیت لري

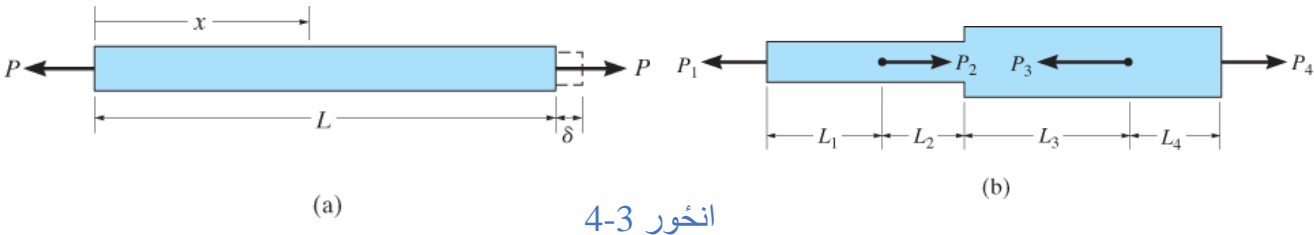
$A(x)$ = د میلی د غوخی برخی ساحه د x په فاصلی

$E(x)$ = د موادو لپاره د ارتجاعي ماجولس چې د x فاصلی تابع په توگه څرگند شوی

دوامداره یا ثابت بار او د غوڅی برخې ساحه (Constant Load and Cross-Sectional Area)

په ډیرو مواردو کې میله به یوه ثابت غوڅه مساحت A ولري؛ مواد به یو شان وي، نو E ثابت دی. سربیره پردې، که یوه ثابت قوه په هر پای کې پلي شي، انځور 4-3a، بیا داخلي قوه N د میلی په اوږدو کې هم ثابت ده. د پایلې په توګه، معادله 4-1 کله چې مدغم شي لاندې معادله تری جوړیږي:

$$\delta = \frac{NL}{AE} \quad (4-2)$$

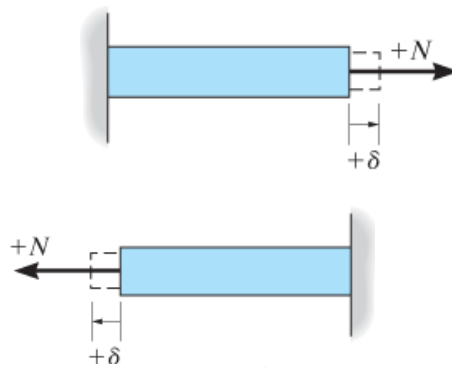


انځور 4-3

که بار د خپل اوږدوالي په اوږدو کې د څو مختلف محوري ځواکونو تابع وي، یا د غوڅی برخې مساحت یا د ارتجاعي ماجولس کې په ناڅاپي ډول د بار له یوې سیمې څخه بلې ته بدلون راشي، لکه څنګه چې په انځور 4-3b کېښودل شوي بیا پورته مساوات د میلی هرې برخې ته چیرې چې دا مقدارونه ثابت وي پلي کېدی شي. د میلی پایلې بې ځایه کېدنه د یو پای نظر بل پای ته بیا د الجبرې یو ځای کولو د هرې برخې د پایلو د بې ځایه کېدلو څخه موندل کېږي. د دې عمومي قضیې لپاره:

$$\delta = \sum \frac{NL}{AE} \quad (4-3)$$

د نښانې کنونشن (Sign Convention): کله چې 4-1 تر 4-3 معادلی پلي کوو دا غوره ده چې د داخلي محوري قوو او بیځایه کېدنې لپاره یو ثابت کنونشن انتخاب کړو. د دې لپاره، که قوه د کشش په حالت کې وي او بیځایه کېدنه د اوږدوالي لامل شي دا به مثبت وي، او که قوه د تیل وړلو او بیځایه کېدنه د لنډوالي لامل شي دا به منفي وي، انځور، 4-4.



انځور 4-4

مهم ټکي

(IMPORTANT POINTS)

- د سینټ وینانټ اصول وایي چې دواړه، خایي د شکل بدلون او سترس چې د بهرنی بار په نیردو سیمو کې پېښیږي په لري واټن کې "اوار کیری" کله چې له دې سیمو څخه په کافي اندازه واټن ولري.
- د محوري بار شوي غړي د یوې پای بې خایه کیدل نظر بل پای ته په کارولو د هغه ترون چې د سترس او بار تر مینځ شتون لري $s = N/A$ ، او هم هغه ترون د سترین له بیخایه کیدنی $e = d$ d/dx سره تړاو لري ټاکل کیدی شی. په نهایت کې دا دوه معادلې د هوک د قانون په کارولو سره یوځای کیري، $s = Ee$ ، کوم چې معادله 4-1 جوړه وی.
- له هغه وخته چې د هوک قانون د بیخایه کیدو مساوات په جوړه ولوکی کار ورځینی اخیستل شوی دا مهمه ده چې داخلي بار په موادو کې بیلد جوړ نه کړی، او مواد یو خطي ارتجاعي چلند ولري.

د تحلیل کرنلاره

PROCEDURE FOR ANALYSIS

د محوري بار شوي غري د هر دوه نقطو A او B ترمنځ نسبي بي ځايه كيدل د معادلي 4-1 يا معادلي 4-2 په پلي كولو سره ټاكل كيدى شي. ددى معادلود پلي كولو د پاره لاندې مرحلو ته اړتيا ده.

داخلي قوواوي (Internal Force)

- د اخلې محوري قوه N د غوڅيدو په طريقه سره په غري كې پيدا كيدى شي.
- كه چيرې محوري قوه د غري په اوږدوالى د بهرنى ويشل شوى بار له امله توپير ولري، يوه برخه بايد په خپل سر په فاصله x د غري له يوه پايله څخه بيله شي، او داخلي قوه تابع د x هلته وبنودل شي، د بيلگي په توگه، $N(x)$
- كه څو پرله پسې بهرني بارونه په غري عمل وكړي، د غرو په هره برخه كې د هر دوو بارو تر منځ داخلي قوه د بهرني بارونو له امله بايد مشخص شي.
- د هرې برخې لپاره، داخلي كشي قوه مثبت ده او داخلي فشاري يا تيلوهونكى قوه منفي ده. د آسانتيا لپاره، د ټول غري داخلي بار پايلې كيدى شي د نارمل قووى دياگرام په جوړولو سره په گرافيك ډول وبنودل شي.

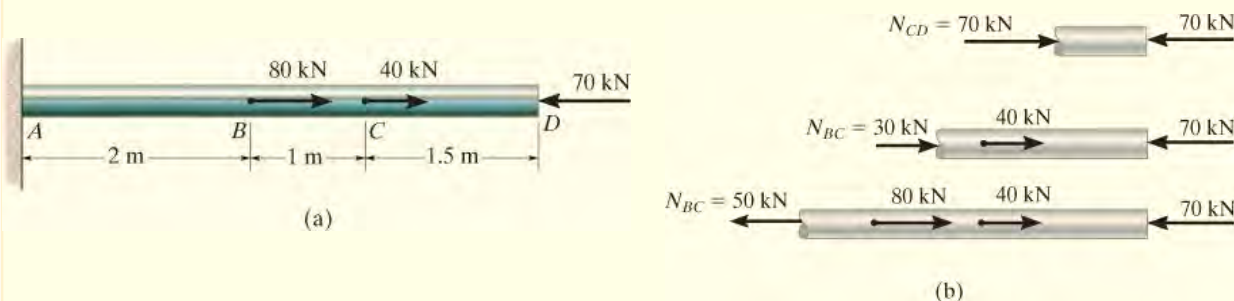
بي ځايه كيدل (Displacement)

- كله چې د غري غوڅى برخې مساحت د هغې اوږدوالى سره توپير ولري، مساحت بايد د خپل موقعيت x تابع په توگه څرگند شي، د بيلگي په توگه، $A(x)$.
- كه د غوڅى برخې مساحت، د ارتجاعيت ماجولس يي، او يا داخلي بار په ناڅاپي بدليري، بيا معادله 4-2 بايد په هرې برخه كې كوم چې دا مقدارونه ثابت دى پلي شي
- كله چې معلومات په معادلو 4-1 تر 4-3 پورې ځاى په ځاى كيريئ ډاډ تر لاسه كړئ قواوى N له مناسبې نښې سره حساب كيري. كشي قواوى مثبت دي او تيلوهونكي قواوى منفي دي. همدارنگه، له واحدونوپه منظم توگه كار واخلي. د هرې برخې لپاره، كه پايله مثبت وي عددي مقدار اوږدوالى په گوته كوي؛ كه دا منفي وي، دا لنډوالى ته اشاره كوي.

مثالونه

مثال 4.1

یوډول د A-36 فولادو میله په انځور 4-5a کې 50 ملی متره قطر لري او بنودل شوي بهرنی بار ورباندې پلي شوي. په ټکی D کې بی ځایه کیدنه ، او هم د ټکی C بیځایه کیدنه نسبت د B ټکی ته معلوم کړي.



انځور 4-5

حل (SOLUTION)

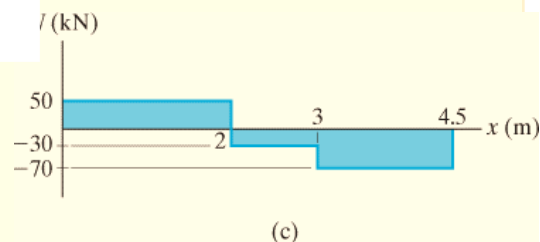
داخلي قواوي (Internal Forces). د بار دننه داخلي قواوی د برخو او افقی توازن طریقو له کارولو ټاکل کيږي. پایلې په انځور 4-5b کې د میلی په آزاد ډایاگرام کې بنودل شوي. د نارمل قوو آزاد ډایاگرام په انځور 5.4c کې د میلی په اوږدو کې د دې قواوو توپیر ښيي.

بي ځایه کیدل. د دی کتاب پای برخه په پوښ کې، د A-36 فولادو لپاره، $E = 200 \text{ GPa}$. د قبول شوی کنوانسیون علامو په کارولو سره، د میلی د پای بی ځایه کیدنه عبارت ده په

$$\delta_D = \sum \frac{NL}{AE} = \frac{[-70(10^3) \text{ N}](1.5 \text{ m})}{\pi(0.025 \text{ m})^2[200(10^9) \text{ N/m}^2]} + \frac{[-30(10^3) \text{ N}](1 \text{ m})}{\pi(0.025 \text{ m})^2[200(10^9) \text{ N/m}^2]} + \frac{[50(10^3) \text{ N}](2 \text{ m})}{\pi(0.025 \text{ m})^2[200(10^9) \text{ N/m}^2]}$$

$$\delta_D = -89.1(10^{-3}) \text{ mm}$$

Ans.



دا منفي پایله ښيي چې ټکی D کين لور ته حرکت کوي.

بیخایه کیدنه د B ، نسبت C ته عبارت ده په $d_{B/C}$ او دا یوازې د داخلي بار له امله چې په BC سیمه کی شتون لري رامینځته کيږي. په دې توگه

$$\delta_{B/C} = \frac{NL}{AE} = \frac{[-30(10^3) \text{ N}](1 \text{ m})}{\pi(0.025 \text{ m})^2[200(10^9) \text{ N/m}^2]} = -76.4(10^{-3}) \text{ mm} \quad \text{Ans.}$$

دلته دا منفي نشانه ښيي چې ټکی B د ټکی C په لور حرکت کوي.

$$\delta_D = \sum \frac{NL}{AE} = \frac{[-70(10^3) \text{ N}](1.5 \text{ m})}{\pi(0.025 \text{ m})^2[200(10^9) \text{ N/m}^2]} + \frac{[-30(10^3) \text{ N}](1 \text{ m})}{\pi(0.025 \text{ m})^2[200(10^9) \text{ N/m}^2]} + \frac{[50(10^3) \text{ N}](2 \text{ m})}{\pi(0.025 \text{ m})^2[200(10^9) \text{ N/m}^2]}$$

$$\delta_D = -89.1(10^{-3}) \text{ mm} \quad \text{Ans.}$$

منفي علامه ددی معنا لري چې د D ټکی کيني خواته حرکت کوي.

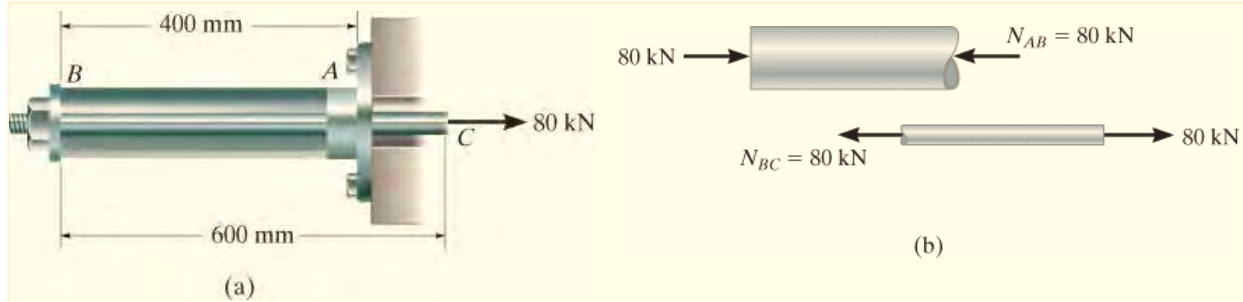
د B د ځای بدلون د C ټکی نه $d_{B/C}$ د هغو داخلي قوی له امله کيږي چې د BC به حصه کی عمل کوي.

$$\delta_{B/C} = \frac{NL}{AE} = \frac{[-30(10^3) \text{ N}](1 \text{ m})}{\pi(0.025 \text{ m})^2[200(10^9) \text{ N/m}^2]} = -76.4(10^{-3}) \text{ mm} \quad \text{Ans.}$$

دلته منفي علامه دا معنا لري چې B د C خواته ځي.

مثال 4.2

يو اسمبلي چې له يوه ټيوب AB د الومنيوم څخه جوړه په لاندې انځور 4-6a کې ښودل شوي. د ټيوب د غوڅې برخې مساحت 400 mm^2 دی. يو فولادي ميله چې 10 ملي ميټر قطر لري په يوه سخت کالر سره نښلول شوي او د ټيوب له لاري تيريږي. که کششي بار 80 kN په ميله باندې تطبيق شي، د ميلي د پای C بي ځايه کيدل مشخص کړئ. لدی معلوماتو کار واخلئ $E_{st} = 200 \text{ GPa}$ ، $E_{al} = 70 \text{ GPa}$.



انځور 4-6

حل (SOLUTION)

داخلي قواوي (Internal Forces). د ټيوب او ميلی برخو آزاد ډاياگرامونه په انځور 4-6b کې بڼي چې ميله باندی د 80 kN کشش عمل کړي او ټيوب باندی 80 kN کمپريشن راغلي.

بي ځايه کيدل (Displacement). اول به بيځايه کيدل د C نسبت B ته معلوم کړو. دلته واحدونه نيوتن او متر دي

$$\delta_{C/B} = \frac{NL}{AE} = \frac{[+80(10^3) \text{ N}](0.6 \text{ m})}{\pi(0.005 \text{ m})^2[200(10^9) \text{ N/m}^2]} = +0.003056 \text{ m} \rightarrow$$

مثبت نښه بڼي چې C په بڼي لور نسبت B ته حرکت کوي، ځکه چې بار اوږدېږي. د B بيځايه کيدل نسبت ثابت پای A ته پدی لاندی ډول ده

$$\begin{aligned} \delta_B &= \frac{NL}{AE} = \frac{[-80(10^3) \text{ N}](0.4 \text{ m})}{[400 \text{ mm}^2(10^{-6}) \text{ m}^2/\text{mm}^2][70(10^9) \text{ N/m}^2]} \\ &= -0.001143 \text{ m} = 0.001143 \text{ m} \rightarrow \end{aligned}$$

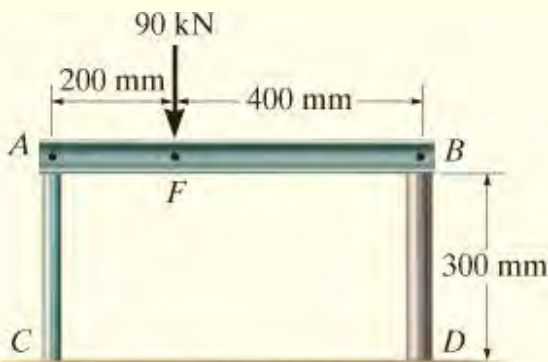
دلته منفي نښه بڼي چې ټيوب لنډېږي، او B حرکت کوي بڼي خوا ته نسبت A ته.

څرنګه چې دواړه بې ځايه کيدل بني خوا ته دي، له همدې امله C بې ځايه کيدل نسبت تړل شوی پای A ته عبارت دی په

$$\begin{aligned}
 (\pm) \quad \delta_C &= \delta_B + \delta_{C/B} = 0.001143 \text{ m} + 0.003056 \text{ m} \\
 &= 0.00420 \text{ m} = 4.20 \text{ mm} \rightarrow \text{Ans.}
 \end{aligned}$$

مثال 4.3

سخت بيم AB په دوه لنډو پایو چې په انځور 4-7a کې ښودل شوي تکیه کړی ده. غړی AC د فولادو څخه جوړ شوی دی او 20 ملي متره قطر لري. او غړی BD د المونيم څخه جوړ شوی او 40 ملي میتر قطر لري. د تکی B چې په بيم AB موقعیت لري، بيځايه کيدنه معلوم کړي. په تکی F باندی یو بهرنی بار د 90 kN عمودی پلي شوي. $E_{al} = 70$ او $E_{st} = 200 \text{ GPa}$.



(a)

حل (SOLUTION)

داخلي قواوي (Internal Forces).

ټيلو هونکي قواوي د هرې پایي په سر کې عمل کوي او د غړي AB د تعادل معادلو څخه ټاکل کيږي، انځور 4-7b. دا قواوي مساوی دی په داخلي قواوو په هره پایه کې، انځور 4-7c. بې ځايه کيدل. بيځايه کيدل په سر د هر پایي کی عبارت دی په

پایه AC

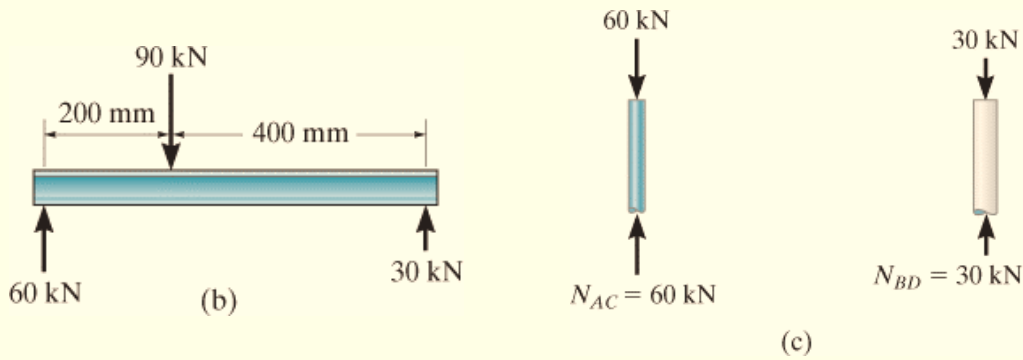
$$\delta_A = \frac{N_{AC}L_{AC}}{A_{AC}E_{st}} = \frac{[-60(10^3) \text{ N}](0.300 \text{ m})}{\pi(0.010 \text{ m})^2[200(10^9) \text{ N/m}^2]} = -286(10^{-6}) \text{ m}$$

$$= 0.286 \text{ mm} \downarrow$$

پایه BD

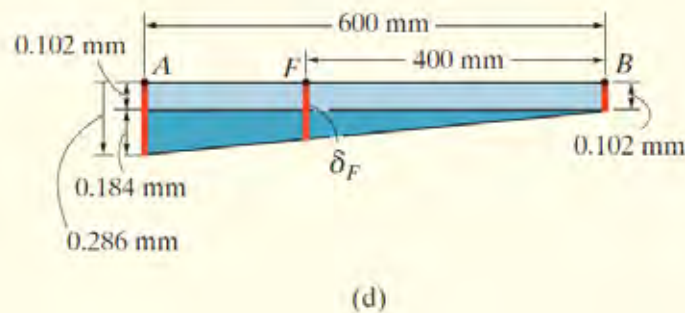
$$\delta_B = \frac{N_{BD}L_{BD}}{A_{BD}E_{al}} = \frac{[-30(10^3) \text{ N}](0.300 \text{ m})}{\pi(0.020 \text{ m})^2[70(10^9) \text{ N/m}^2]} = -102(10^{-6}) \text{ m}$$

$$= 0.102 \text{ mm} \downarrow$$



یو ډیاگرام د بیم په A، B، او F کې د مرکزي کرني بي خايه کيدل بنيې او دا په انځور 4-7d کې بنودل شوی. د نیلي رنگ مثلث په تناسب د F نقطې بي خايه کيدنه:

$$\delta_F = 0.102 \text{ mm} + (0.184 \text{ mm})\left(\frac{400 \text{ mm}}{600 \text{ mm}}\right) = 0.225 \text{ mm} \downarrow \quad \text{Ans.}$$



انځور 4-6

مثال 4.4

یو غری له داسی موادو څخه جوړ شوی چې ځانگړی وزن یی $g = 6\text{kN/m}^3$ او د ارتجاعی ماجولس یی 9 GPa دي. که دا غری د یو مخروط په بڼه وي او ابعاد یی په انځور 4-8a کې ښودل شوي، دا معلومه کړي کله چې دا په عمودی موقعیت کې وځړول شي د هغې پای څومره د خمکی د جاذبې له امله بې ځایه شوی .

حل (SOLUTION)

داخلي قواوي (Internal Forces)

داخلي محوري قوه د غري په اوږدو سره توپیر لري، ځکه دا د لاندې غري د یوې برخې وزن $W(y)$ پورې اړه لري او دا په انځور 4-8b کې ښودل شوی. د بې ځایه کیدو محاسبه کولو لپاره، مور باید . Eq. 4-1 نه کار واخلو. په یوه برخه کې چې د مخروط له آزاد پای څخه یو فاصله y موقعیت لري، د د مخروط شعاع x په نسبت د y د تناسب له مخې ټاکل کيږي. یعنی

$$\frac{x}{y} = \frac{0.3\text{ m}}{3\text{ m}}; \quad x = 0.1y$$

حجم د مخروط چی د پای شعاع یی x او لوړوالي y لری پدی ډول دی

$$V = \frac{1}{3} \pi y x^2 = \frac{\pi(0.01)}{3} y^3 = 0.01047y^3$$

اوس $W = gV$ داخلي قوه د برخې مساوی ده په

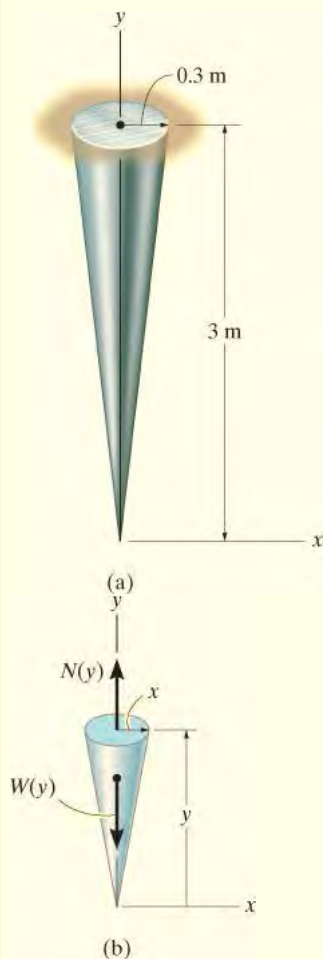
$$+\uparrow \Sigma F_y = 0; \quad N(y) = 6(10^3)(0.01047y^3) = 62.83y^3$$

انځور 4-8

بې ځایه کیدل (Displacement). مساحت دغوڅی برخې هم تابع د موقعیت y دی ، لکه څنگه چی په انځور 4-8b کی ښودل شوي.

$$A(y) = \pi x^2 = 0.03142 y^2$$

له معادلی 4-1 څخه کار اخلو او لیمت د $y = 0$ او $y = 3\text{ m}$ داسی په لاس راځي



$$\begin{aligned}\delta &= \int_0^L \frac{N(y) dy}{A(y) E} = \int_0^3 \frac{(62.83y^3) dy}{(0.03142y^2) 9(10^9)} \\ &= 222.2(10^{-9}) \int_0^3 y dy \\ &= 1(10^{-6}) \text{ m} = 1 \mu\text{m}\end{aligned}$$

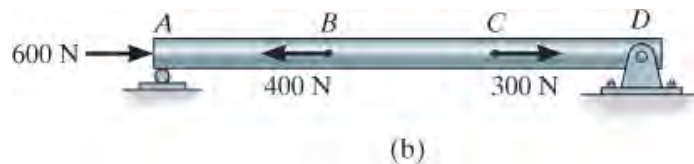
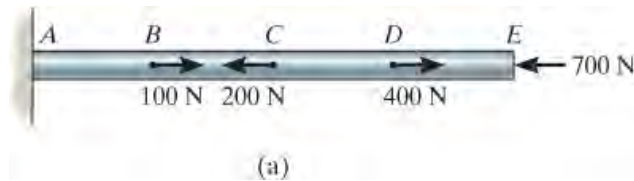
Ans.

يا دونه: دا يوه ډير کوچني اندازه ده.

لمرني سوالونه

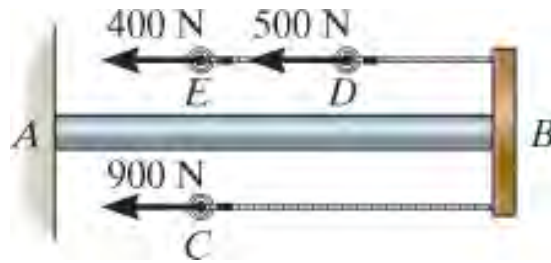
PRELIMINARY PROBLEMS

ل 4-1. دلاندي بنودلشوی ميلي په هر يوه حالت کې، د ليکل شويو تګو ترمينځ داخلي نارمل قوه پيدا کړئ. ټول اړين آزاد ډياگرامونه رسم کړئ.



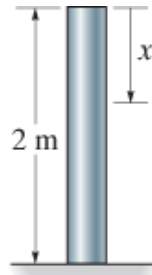
ل 4-1

ل 4-2. داخلي نارمل قوه په بين د بنودل شويو تګيو د کيبل وټاکي. اړونده آزاد ډياگرامونه رسم کړي.



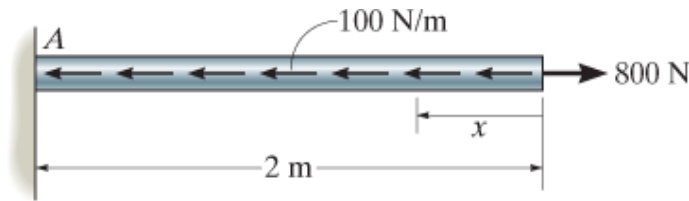
ل 4-2

4-3. د پایي وزن 8 kN/m دی. په پایه کی د نارمل قوی اندازه چی د x تلعب وی، وښیی.



ل 4-3

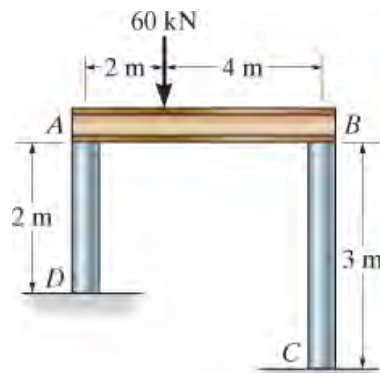
P4-4. لاندی راد باندي په خارجي قوه 800 N او خپور شوی بار 100 N/m عمل کوی. په راد کی داخلی محوری قوه چی د x سره تړاو ولری پیدا کری.



ل 4-4

P4-5

په کلکه بیم 60 kN بار پلی شوی. د B بیخای کیدنه معلومه کری. راکرل شوی:



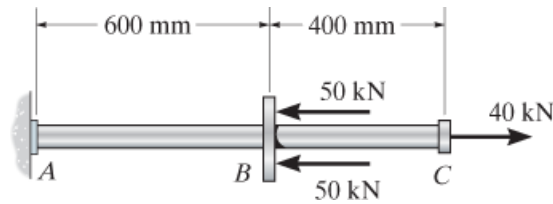
ل 4-5

$$E = 60\text{ GPa}, A_{BC} = 2(10^{-3})\text{ m}^2$$

بنسٹیز سوالونہ

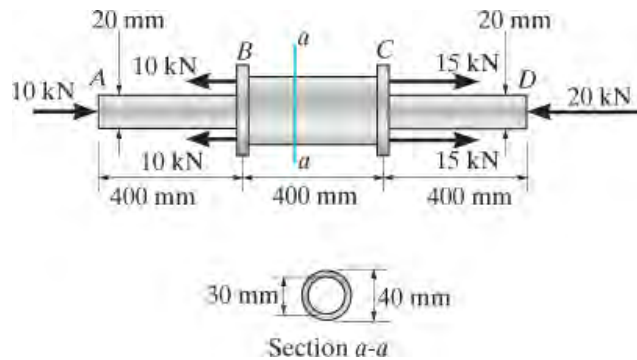
(FUNDAMENTAL PROBLEMS)

ب 4-1 د A36 فولادوپہ یو ہ راد چہ قطر یی 20 mm دی لاندی قوی عمل کوی. د C بیخایہ کیدل د A نہ چہ کلکہ اتکا دہ پیدا کری.



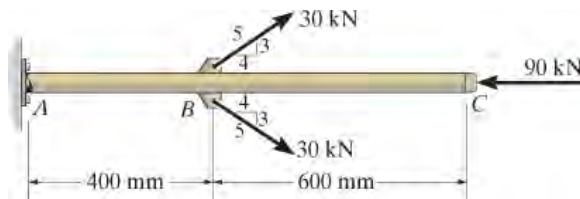
ب 4-1

ب 4-2 د AB او CD سلنڈرونہ پک او BC برخہ یو تیوب وی. کہ دا اسمبلی د 6061-T6 المونیم نہ جوړہ شوی وی، د D بیخایہ کیدل د A پای نہ پیدا کری.



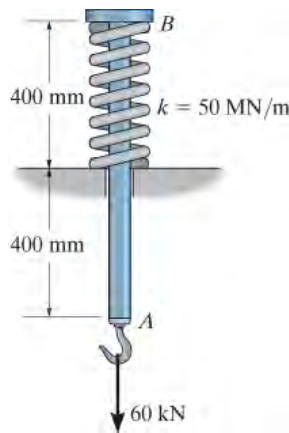
ب 4-2

ب 4-3 یو راد چہ د A992 فولادونہ جوړ شوی او قطر یی 30 mm دی پری لاندی بارونہ پلی شوی. د C د پایلی بیخایہ کیدنه معلومه کری.



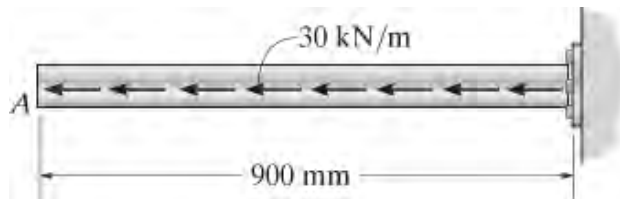
ب 4-3

ب 4-4. که چیری دا بنودل شوی میله له A-36 فولادو څخه جوړه او قطر یې 20-mm میلی متر وی، د تزل شوی فنر شخی $k = 50 \text{ MN/m}$ ده د پای A بیخایه کیدنه معلومه کړی، کله چی بهرنی بار 60-kN پلی شي.



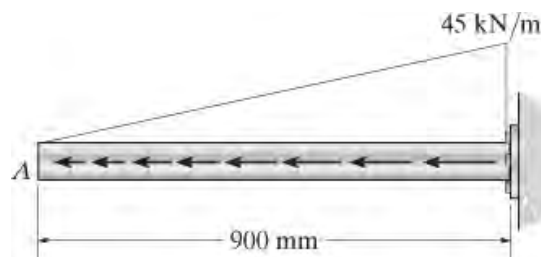
ب 4-4

ب 4-5. په لاندی انځور کی بنودل شوی میله 20-mm ملی متر قطر لري او له الومنیوم 2014-T6 څخه جوړه شوي او یو محوری یوشان ویشل شوی بار ورباندی عمل کړي د پای A بیخایه کیدنه معلومه کړي



ب 4-

ب 4-6. په لاندی انځور کی بنودل شوی میله 20-mm ملی متر قطر لري او له الومنیوم 2014-T6 څخه جوړه شوي او یو مثلثي ویشل شوی بار ورباندی عمل کړي د پای A بیخایه کیدنه معلومه کړي.

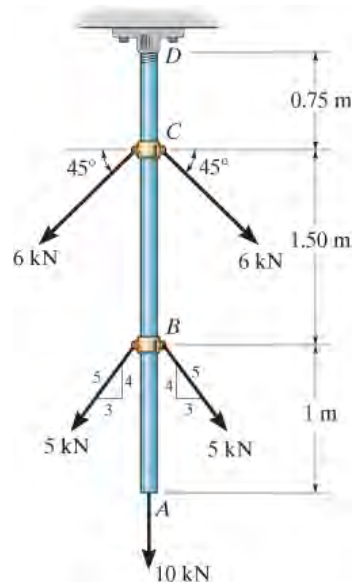


ب 4-6

سوالونه

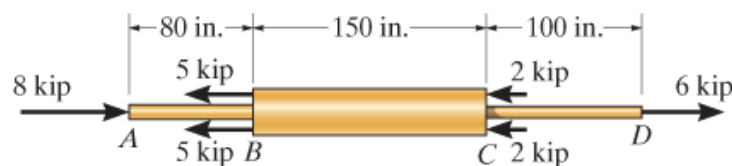
(PROBLEMS)

س 4-1. یو فولادی (A992) میله چې د غوڅی برخی مساحت یې 80-mm^2 دی، په انځور کې بنودل شوی بار وړ باندی پلي شوي بیخایه کیدنه د A او B پیدا کړي. د کپلینگ (couplings) اندازه په B او C کې په پام کې مه نیسي.



س 4-1

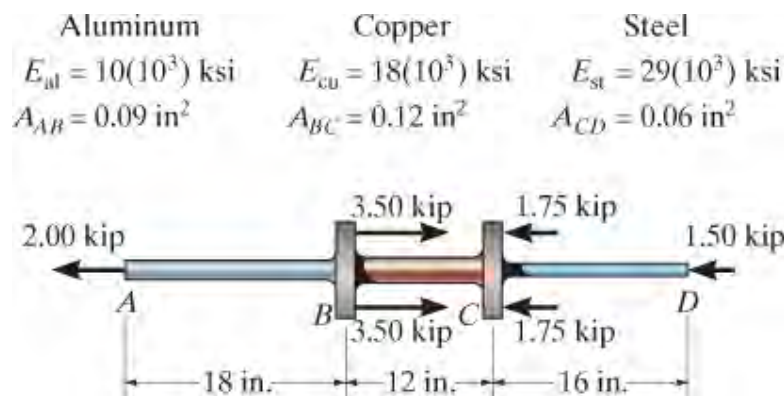
س 4-2. یو مسی شافت چې محوري بار وړ باندی پلي شوي دی په لاندی انځور کې بنودل شوي. بیخایه کیدنه د پای A نسبت پای D ته معلوم کړي، قطرونه د شافت په لاندی ډول دی: $d_{AB} = 0.75\text{ in.}$, $d_{BC} = 1\text{ in.}$, $d_{CD} = 0.50\text{ in.}$ د ارتجاعیت ماجولس $E_{cu} = 18(10^3)\text{ ksi}$ ده.



س 4-2

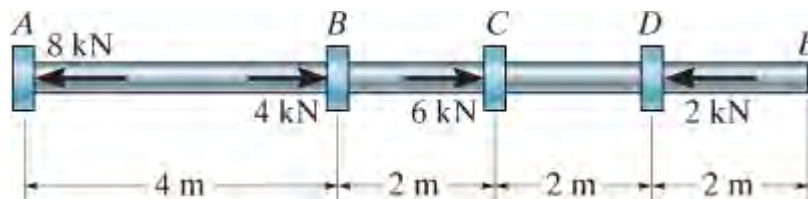
س 4-3. دا لاندی کمپازت شافټ، د المونیم، مسو، او د فولادو برخې لری، او په لاندی انځور کی بنودل شوي بار ور باندی پلی شوي دي. د پای A بی ځایه کیدل نسبت پای D ته مشخص کړئ او په هره برخه کې نارمل سترس معلوم کړي. د غوڅی برخې مساحت د هرې سیمی لپاره د ارتجاعیت ماجولس په لاندی انځور کې بنودل شوي. د کالرونو (collars) اندازی په B او C کې په پام مه نیسي.

س 4-4. دا لاندی کمپازت شافټ، د المونیم، مسو، او د فولادو برخې لری، او په لاندی انځور کې بنودل شوي بار ور باندی پلی شوي دي. د پای B بی ځایه کیدل نسبت C ته مشخص کړئ او په هره برخه کې نارمل سترس معلوم کړي. د غوڅی برخې مساحت د هرې سیمی لپاره او د ارتجاعیت ماجولس په لاندی انځور کې بنودل شوي. د کالرونو (collars) اندازی په B او C کې په پام مه نیسي.



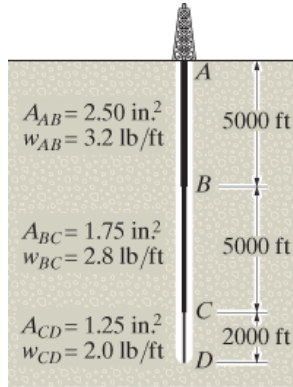
س 4-3/4

س 4-5. د المونیم T6 2014 میله 30 ملي میتر قطر لري او بنودل شوي بار ور باندی پلی شوي. بی ځایه کیدنه د پای A په نسبت د پای E معلوم کړي. د کپلینگ اندازی ته پام مه کړئ.



س 4-5

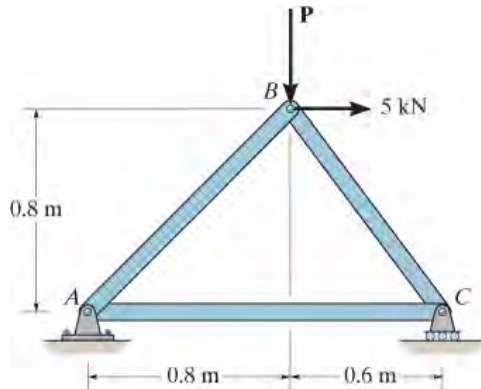
س 4-6. د تېلو څاه د A-36 فولادو برمی شافت 12 000 ft فوټ اوږدوالی سره د ځمکې لاندې ته رسیدلی ده. فرض کړئ چې پایپ د څاه کیندلو لپاره کارول کيږي او په آزاده توګه دکرین له ماشین څخه په A کې ځړلول شوي، په هر پایپ کې اعظمي اوسط نارمل سترس معلوم کړئ. او هم د پای D اوږدیدل نسبت ثابت پای A ته پیدا کړي. شافت له دريو مختلف اندازو پایپونو څخه جوړ دی، AB، BC، او CD، د هر یوه اوږدوالي وزن په اوږدوالي کې او د غوڅې برخې مساحت په انځور کې بنودل شوي.



س 4-6

س 4-7. تراس د دريو A-36 فولادو غړيو څخه جوړه شوی، هر یو غړی د 400 mm^2 غوڅی برخې مساحت لري. د رولر C افقی بې ځایه کیدنه کله چې $P = 8 \text{ kN}$ قوه عمل وکړي و ټاکي.

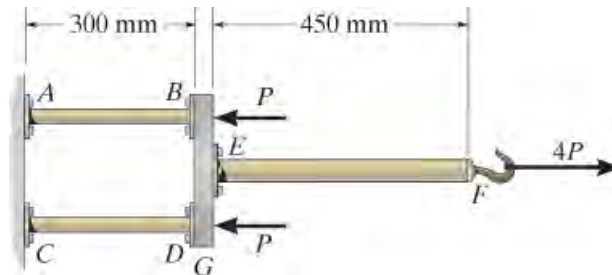
س * 4-8. تراس د دريو A-36 فولادو غړيو څخه جوړه شوی، هر یو غړی د 400 mm^2 غوڅی برخې مساحت لري. د P شدت معلوم کړی کله چې رولر بني لور ته 0.20 ملی متره بې ځایه شي.



س 4-7/8

س 4-9. دا لاندی اسامبلی د دوه 10 mm ملی قطر سره مس C83400 میلو AB او CD، او د 15 mm قطر 304 فولادو میلی EF، او یوی سختی میلی G څخه جوړ دی. که $P = 5 \text{ kN}$ وی، د پای F میلی EF افقی بې ځایه کیدنه مشخص کړئ.

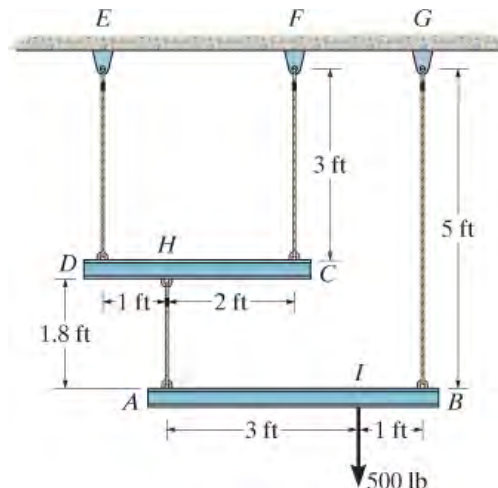
س 4-10. دا لاندی اسامبلی د دوه 10 mm ملی متر قطر سره مس C83400 میلو AB او CD ، او د 15 mm قطر 304 فولادو میلی EF ، او یوی سختی میلی G څخه جوړ دی. که چیری افقی بیخایه کیدل د پای F د میلی EF 0.45 ملی میتره وی، د P شدت مشخص کړئ.



س 4-9/10

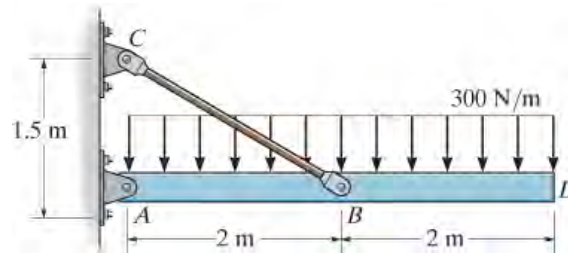
س 4-11. بهرنی بار د څلور 304 فولادی سیمونو لخوا چی په سختو غړو AB او DC سره وصل دي ملاتړ کيږي. د 500 پونډ بهرنی بار عمودی بي خایه کیدل معلوم کړئ که چیری غړي په اصل کی افقی وو. او د هر سیم د غوڅی برخی مساحت 0.025 in^2 وی.

س 4-12*. بهرنی بار د څلور 304 فولادی سیمونو لخوا چی په سختو غړو AB او DC سره وصل دي ملاتړ کيږي. د هر غړي د تاویدو زاویه وروسته له دی چی 500 پونډه بهرنی بار پری پلی شي معلوم کړئ. که چیری غړي په اصل کی افقی وو، او د هر سیم غوڅی برخی مساحت 0.025 in^2 دی.



س 4-11/12

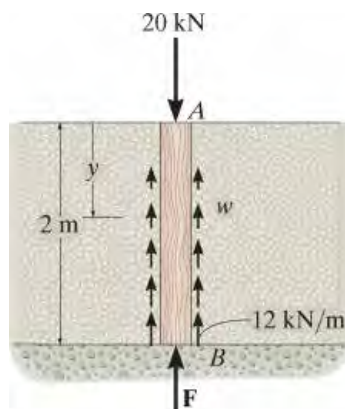
س 4-13. یو سخت بیم د یوه راډ CB په ذریعه په B کې په پین سره وصل شوی. د راډ CB غوڅی برخې مساحت یې 14mm^2 دی او له 6061-T6 المونیم څخه جوړ شوی. د ټکی D عمودی انعطاف معلوم کړئ کله چې لاندی توزیع شوی بار په بیم پلې شي.



س 4-13

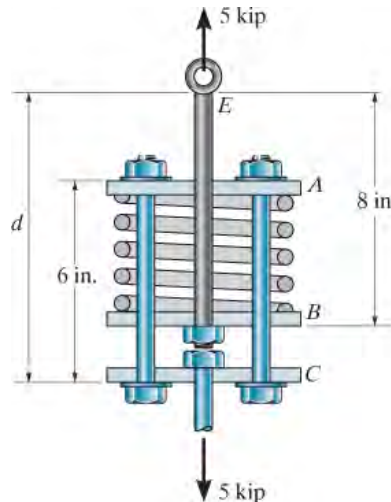
س 4-14. دا لاندی پایه د ډگلاس صنوبر (Douglas fir) څخه جوړ شوی او 100 mm قطر لري. که چیرې په دی پایه 20 kN بهرنی بار عمل وکړي او د خاورې له خوا د پایې په اورږدوالی د ځمکی لاندی د پوست په شاوخوا اړخونو کې توزیع شوي د خاورې سره اصطحاکای مقاومت عمل کړي کله چی په $y = 0$ د اړخ اصطحاکای قوه $w = 0\text{ kN/m}$ او په $y = 2\text{ m}$ کې یی ارزښت $w = 12\text{ kN/m}$ وی د F قوی ارزښت په لاندی پای کې د تعادل لپاره معلوم کړي. همدارنگه، د پایې د پورتنی برخې بی ځایه کول A د پایې په سر کې نسبت پای B ته معلوم کړي. د پایې وزن په پام کې مه نیسئ.

س 4-15. دا لاندی پایه د ډگلاس صنوبر څخه جوړ شوی او 100 mm قطر لري. که چیرې په دی پایه 20 kN بهرنی بار عمل وکړي او د خاورې له خوا د پایې په اورږدوالی د ځمکی لاندی د پوست په شاوخوا اړخونو کې توزیع شوي د خاورې سره اصطحاکای مقاومت عمل کړي کله چی په $y = 0$ د اړخ اصطحاکای قوه $w = 4\text{ kN/m}$ او په $y = 2\text{ m}$ ارزښت $w = 12\text{ kN/m}$ وی د F قوی ارزښت په لاندی پای کې د تعادل لپاره معلوم کړي. همدارنگه، د پایې د پورتنی برخې بی ځایه کول A د پایې په سر کې نسبت پای B ته معلوم کړي. د پایې وزن په پام کې مه نیسئ.



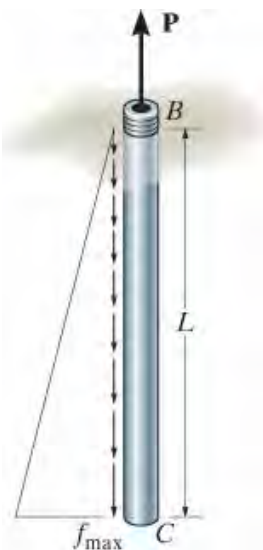
س 4-14/15

س 5-16* د نښلولو راډ باندې د 5 کيپ قوه عمل کړي دی. د d واټن د C او E تر منځ کله چې د فنر د کمپریشن او د بولټ د شکل تغیر تاثیر په نظر کې ونیول شي محاسبه کړي. کله چې هیڅ بار لگول شي نه وی او فنر پراخ شوی نه وی واټن $d = 10$ انچه دی. مواد A-36 فولاد دی او هر بولټ 0.25 انچ قطر لري. تختي په A ، B او C کې سختی دي او د فنر سختوالی $k = 12 \text{ kip/in}$ دی.



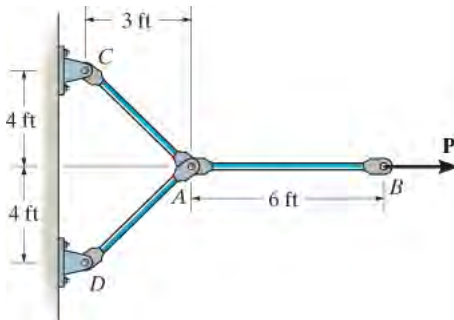
س 4-16

س 4-17. پایپ په ځمکه کې بند خړیدل شوی کله چې په پورته خوا کش شي د اوږدوالي په اوږدو کې اصطحاکي قوه له صفر څخه په B کې تر f_{\max} (قوت/اوږدوالی) په C کې په خطي ډول توپیر لري. د پایپ د ایستلو او د پایپ اوږدوالی لپاره لومړنی قوه P مشخص کړئ یوازې مخکې له دې چې پایپ توتیه توتیه شي. د پایپ اوږدوالی L دی، د غوڅی برخې مساحت یې A ، او د هغه مواد چې له هغې څخه جوړ شوي دي د ارتجاعي ماجولس یې E دي.



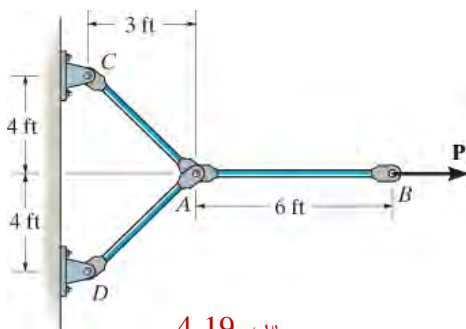
س 4-17

س 4-18 دا لاندی اړیکه د دریو پینوسره وصل شوی او غړی د A992 فولادو څخه جوړ شوی دی چی د هر یوه قطر $1\frac{1}{4}$ in انچه دي . که افقي قوه $P = 60$ کیپ په پای B د غړي AB پلي شي، د B نقطې بی ځایه کیدل معلوم کړی.



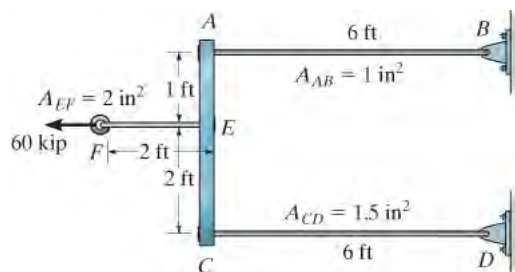
س 4-18

س 4-19 دا لاندی اړیکه د دریو پینوسره وصل شوی او غړی د A992 فولادو څخه جوړه شوی ده چی د هر یوه قطر $1\frac{1}{4}$ in انچه دي . د افقي قوی P ارزښت مشخص کړی کله چی د B د تکی د AB غړی، بی ځایه کیدنه په بني لور 0.25 in انچه وی.



س 4-19

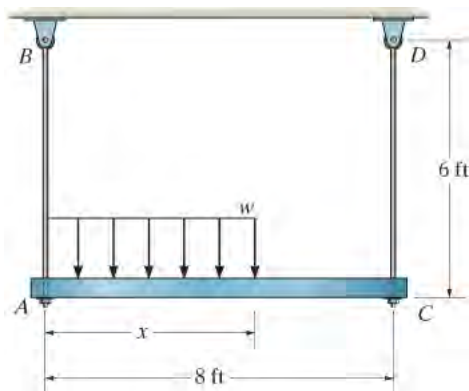
س 4-20* دا لاندی اسمبالی له درې تایتینیم (Ti-6Al-4V) میلونو او یوه سخت غړی AC څخه جوړ دی . د هر میلی غوڅه برخه مساحت په انځور کې ورکړل شوی دی. که چیرې د 60 کیپ قوه په حلقه F کی پلي شي، د F نقطی افقی بی ځایه کیدنه مشخص کړی .



س 4-20

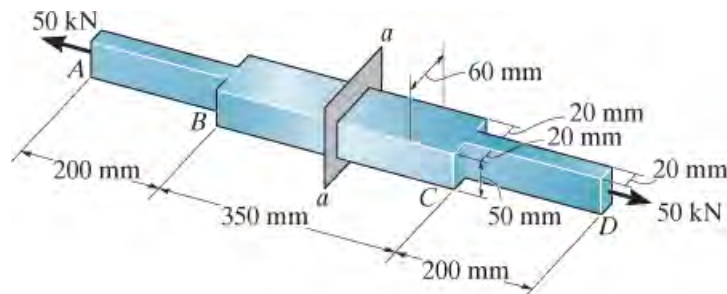
س 4-21. دا لاندی بنودل شوی سخت بیم په دوو A-36 فولادی میلو سره په پای کی تړل شوي ده. که چیرې د فولادو لپاره د منلو وړ سترس $s_{allow} = 16.2 \text{ ksi}$ ، او بهرنی ویشل شوی بار $w = 3 \text{ kip/ft}$ ، او $x = 4 \text{ ft}$ وی، د هر میلی تریولو کوچنی قطر معلوم کړئ ترڅو بیم په افقی موقعیت کې، کله چې بار شوی وي، پاتې شي .

س 4-22. دا لاندی بنودل شوی سخت بیم په دوو A-36 فولادی میلو سره په پای کی تړل شوي ده. د میلی AB قطر $d_{AB} = 0.5$ انچه او د میلی CD قطر $d_{CD} = 0.3 \text{ in.}$ دی. که چیرې د فولادو د منلو وړ فشار $s_{allow} = 16.2 \text{ ksi}$ ، د تر ټولو لوی شدت د ویشل شوی بار w او د هغې اوږدوالی x معلوم کړئ ترڅو بیم په افقی حالت کې پاتې شي کله چې بار وي .



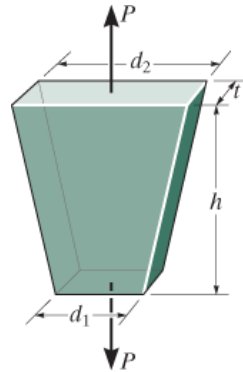
س 4-21/22

س 4-23. د فولادو میله اصلي ابعادي په لاندی انځور کې بنودل شوي. که چیرې یو 50 kN محوری بار ورباندی پلی شي، د هغې په اوږدوالي کې بدلون او د هغې د نوي غوڅی برخې ابعاد په برخه a-a کی وټاکئ. او اټکل کړي چې $E_{st} = 200 \text{ Gpa}$ ، $u_{st} = 0.29$ دی.



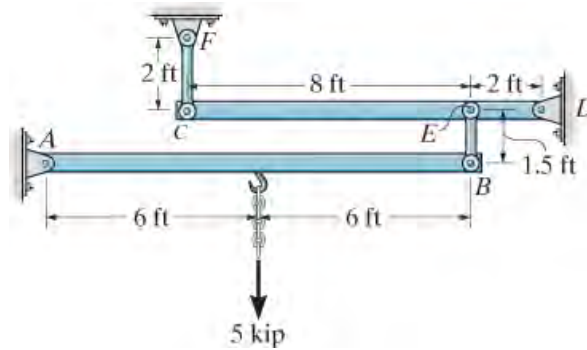
س 4-23

س 4-24* د یوه مخروطي تختي د یوه پای بی ځایه کیدنه نسبت بل پای ته کله چې محوري بار ورباندې پلي شي معلوم کړي.



س 4-24

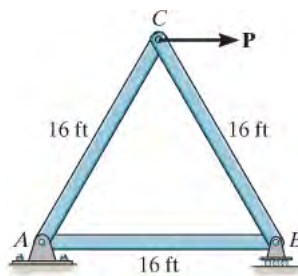
س 4-25. دا لاندې اسامبلې له دو ميلو چې اصلاً افقي حالت کې موقعيت لري جوړه شوي. دوی د پين په ذريعه او فولادې A36 ميلو چې 0.25 in انچه قطر لري اتکا کړي. که چيری يو 5 kips کيپ بار په ميله AB پلي شي د C, B او E بيځايه کيدل معلوم کړي.



س 4-25

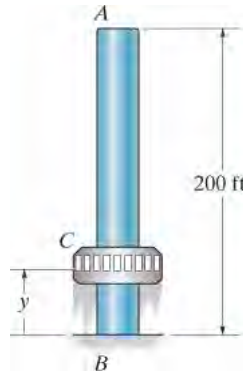
س 4-26. دا لاندې ترس (truss) درې غړي لري، هر یو یې د A-36 فولادو څخه جوړ شوی او د غوڅی برخې مساحت یې 0.75 in^2 دي. ترټولو لوی بار P داسی وټاکئ کله چې پلي شي په B کې د رولر بيځايه کيدنه له 0.03 انچو څخه زیاته نه شي.

س 4-27. سوال 4-26 حل کړئ کله چې بار P په C کې عمودي په بنسټه لور عمل وکړی.



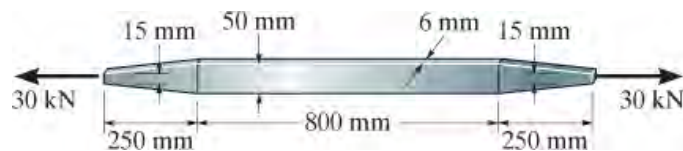
س 4-26/27

س 4-28* د څارني پنجره C ، 250 kips وزن لري او د گيرونو سيستم له لاري پورته لور د فولادي $A36$ پايي په اوږدو کې په ثابت سرعت حرکت کوي. د پايي لوړوالی 200 ft دی. د پايي بهرنی قطر 3 فوټه دي او د فولادو تختو څخه جوړ شوی چې د 0.25 انچه ضخامت لري. د کالم وزن د حساب وړ نه دي. په کالم کې اوسط نارمل سترس په ټيټه برخه B کې تابع د لوړوالي y وټاکي. همدارنگه، د پای A بې ځايه کيدل تابع د y مشخص کړئ.



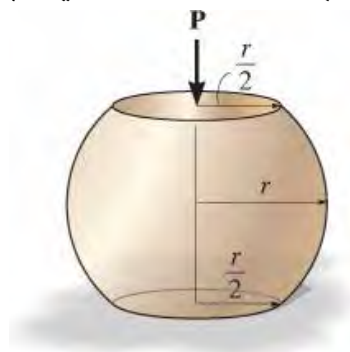
س 4-28

س 4-29 د المونيم ټوټی اوږدديدل معلوم کړي کله چې يو محوري بار 30 kN عمل وکړي. د المونيم ماجولس $E_{al} = 70 \text{ Gpa}$ دی.



س 4-29

س 4-30 د لاندی ټوپ په پای کې لږ لپاره غوڅ شوی تر څو د بیرینگ بار P ملاتړ وکړي. که د ټوپ د موادو ارتجاعي ماجولس E وي د ټوپ په لوړوالي کې کمښت مشخص کړئ کله چې بار پلي شي.



س 4-30

4.3 د سوپر پوزیشن اصول (PRINCIPLE OF SUPERPOSITION)

د سپرپوزیشن اصول اکثراً د سترس یا بیخایه کیدنی ټاکلو لپاره په یوه ټکی د غړي کله چې په غړی پېچلي بار عمل کړی وی کارول کیږي. دا اصول وایي چې پېچلي بار په برخو ویشل کیږی، پایله کې سترس یا بی خایه کیدل په یوه نقطه کې عبارت دي په الجبری مجموعه د فشار یا بی خایه کیدو چې د هر بار اجزاو لخوا په جلا توګه په غړي باندی پلي شوي او لامل شوي وی. د دی اصول منلو لپاره لاندې دوه شرطونه باید پوره شي.

1. بار N باید په خطي ډول د سترس s یا بی خایه کیدل d سره چې باید وټاکل شي تړاو

ولري. د مثال په توګه، په لاندی مساواتو کې $s = N/A$ او $d = NL/AE$ سترس s د بار N سره یو خطي اړیکه ولري او d د بار N سره خطي اړیکه ولري.

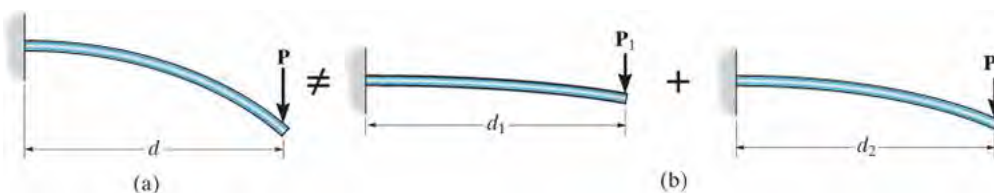
2. بار کول باید د پام وړ اصلي جیومیټري یا شکل د غړي بلل نه کړي. که د پام وړ بدلونونه

واقع شي، د پلي شوي قواوو جهت او موقعیت او د دوی د مؤمنت فاصله به تغیر و مومي. د مثال په توګه، په انځور 4-9a کې یوه نازکه میله چې بار P ورباندی پلي شوی بنودل شوی او په پام کې ونیسئ. په انځور 4-9b کوم چې P بار په دوو اجزاو عوض شوي، د دې اجزاو څخه، $P = P_1 + P_2$. که P د لوی بیخایه کیدنی لامل شي، څنګه چې په انځور کې بنودل شوي، د دې بار مؤمنت، Pd ، به مساوی د هغې د اجزاو مؤمنتونو په دقیقو مجموعو نه وی.

$$Pd \neq P_1d_1 + P_2d_2.$$

ځکه چې

$$d_1 \neq d_2 \neq d.$$



انځور 4-9

4.4 ستاتيکی مجهول محوري بار شوی غري (STATICALLY INDETERMINATE AXIALLY LOADED MEMBERS)

په انځور 4-10a کې بنودل شوي ميله، په دواړو پایلو کې ټينگه ټرل شوی او پام ورته وکړئ. د دې د آزاد ډایاگرام څخه، انځور 4-10b، داسې څرگندېږي چې دوه نامعلوم ریکشنونه په پایلو کې شتون لري. د توازن معادله داسې ده:

$$+\uparrow \Sigma F = 0; \quad F_B + F_A - 500 \text{ N} = 0$$

دا ډول ستونزه د توازن له امله د **ستاتيکی مجهول** (*statically indeterminate*) په نوم یادېږي، ځکه چې د توازن معادله د نامعلومو ریکشنونو د پیدا کولو لپاره کافي نده.

د حل لپاره د اضافي معادلې رامینځته کولو لپاره، دا اړینه ده چې بیخایه کیدنه د میلی په ټکیو کې پیدا کړو. په ځانگړې توگه، یو مساوات چې د بي خایه کیدو شرایط مشخص کوي د *مطابقت* (*compatibility*) یا کینماتیک حالت په توگه پېرندل کېږي. په دې حالت کې، یو مناسب مطابقت شرط ته اړتیا ده، او هغه د میلی په پای *A* کې بي خایه کیدنه نسبت پای *B* ته صفر ده، ځکه چې د پای اتکالو دواړي کلکي ټرل شوی او له دې امله د دوی ترمنځ هیڅ نسبي حرکت نشي واقع کېدی. له دې امله، د مطابقت حالت داسې دی:

$$\delta_{A/B} = 0$$

دا معادله د داخلي بارونو له مخې د داخلي بار او بیخایه کیدنی اړیکو په کارولو سره څرگنده کېدی شي، او هغه د موادو چلند پوری اړه لري. د مثال په توگه، که خطي ارتجاعي چلند ولری، نو $d = NL/AE$ کارول کېدی شي. پدې باید وپوهیږو چې داخلي قوه په برخه *AC* کې $+F_A$ ده، او په برخه *CB* کې دا $-F_B$ ده، دا په انځور 4-10c کې بنودل شوی. بیا د مطابقت مساوات په دې توگه لیکل کېدی شي:

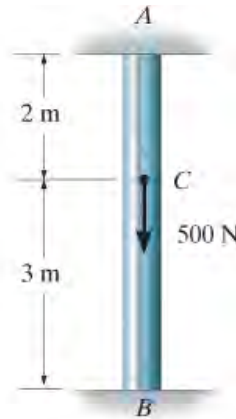
$$\frac{F_A(2 \text{ m})}{AE} - \frac{F_B(3 \text{ m})}{AE} = 0$$

څرنګه چې AE ثابت دی، نو $F_A = 1.5F_B$. په نهایت کې، د پورته مساواتو له مخې، ریکشنونه له همدې امله په لاندې ډول دی.

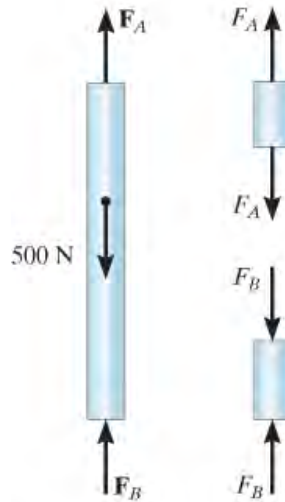
$$F_A = 300 \text{ N} \quad \text{and} \quad F_B = 200 \text{ N}$$

څرنگه چې دا دواړو پایلې مثبتې دي، د ریکشنونو انتخاب چې په آزاد ډایگرام کې بنودل شوی وو سم دي.

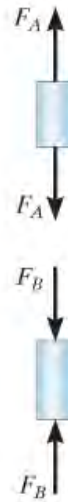
د هر سټیټیکلی ناڅرگند ریکشنو د حل لپاره باید له همدې دواړو د مساوات او او مطابقت معادلو څخه کار واخستل شي. دلته د بار او بي ځایه کیدنی له اړیکو څخه کار اخیستل کیږی.



(a)



(b)



(c)

انځور 4-10

مهم ټکي

IMPORTANT POINTS

- د سوپرپوزیشن (*superposition*) اصول کله کله د دی لپاره چې د بي ځایه کیدنی او سترس د معلومولو دپاره چې د پیچلیو بارو پواسطه منځته راځی کارول کیږي . پلی شوی بار په فرعی برخو ویشل کیږی او پایله یی په الجبریک ډول یوله بل سره یوځای کیږی.
- *superposition* دی ته اړتیا لري چې بار د سترس یا بیځایه کیدنی سره خطی تړاو ولري، او بار کول د غړي په اصلي جیومیټري کی د پام وړ بدلون را نه وړي.
- د ستاتیکی نامعلومو جوړښتونو لپاره چیری چې د توازن معادلي د ریکشنونو معلومولو لپاره کافی نه وي دا یوه ستونزه ده.
- د مطابقت شرایط د بي ځایه کیدو محدودیتونه د غړي په اتکا یا نورو ټکیو کې چې پینځیږي مشخص کوي.

د تحلیل کرنلاره

PROCEDURE FOR ANALYSIS

د اتکا ریکشنونه د ستاتیکی نامعلومو غړو لپاره د توازن له معادلو، مطابقت (compatibility)، او د بار او بی خایه کیدو د اړیکو له مخی ټاکل کیری .

توازن (Equilibrium)

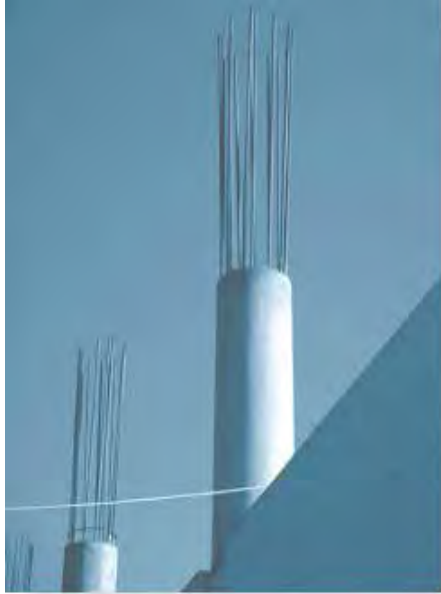
- د پیژندلو لپاره د غړی آزاد دیاگرام رسم کری تر څو ټولی قواوی چې پری عمل کوی وینودلشی.
- غړی د ستاتیکی نامعلوم (statically indeterminate) په توگه طبقه بندی کیدی شی که چیری په آزاد دیاگرام کی د نامعلومو ریکشنوشمیر د مساواتو د معادلو په پرتله ډیر وی.
- د غړی لپاره د توازن مساوات ولیکی.

مطابقت (Compatibility)

- د بی خایه کیدو دیاگرام رسم کری تر څو هغه وڅیری چې غړی د بهرنی بارونو له امله اورډیری یا لنډیری.
- د مطابقت شرایط تابع د هغی بی خایه کیدنی چی د بهرنی بار له امله مینځ تا راغلی څرگند کری.

بار - بیخایه کیدنه (Load-Displacement)

- د بار - بی خایه کیدو اړیکه وکاروی، لکه $d = NL/AE$ ، تر څو د مجهولی بی خایه کیدنی تړاو د ریکشن سره د تطابق په معادله کی و پیژندل شی.
- ټول معادلی د ریکشن پیدا کولو لپاره حل کری. که کومی پایلی منفي ارزښت لری، دا په گوته کوی چې دا قوه په مخلف جهت له هغه چی په آزاد دیاگرام په نښه شوی عمل کوی..

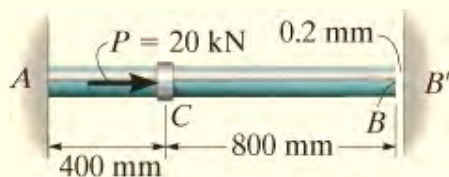


ډیری کانکریټ کالمونه د فولادو سیخونو سره پیاوړی کیری؛ ځکه دا دوه ټوکی یو خای په گډه د پلی شوی بار ملاتړ کوی، په هر یوه موادو کی د قوی پیاد کول د ستاتیکی نامعلومو تحلیل طریقو په کارولو سره ټاکل کیری.

مثالونه

مثال 4.5

د فولادوميله يا راډ چې په انځور 4-11a کې بنودل شوی 10 ملي ميټر قطر لري. دا په پای A کې د دیوال سره کلکه تړل شوي. مخکې له دې چې بار شي، د 0.2 ملي ميټر واټن يا درز په B' کې د دیوال او راډ تر منځ شتون لري. که چیرې یو محوری بار $P = 20 \text{ kN}$ په راډ عمل وکړي، ریکشن په راډ مشخص کړئ. د غاړې پټي وزن او اندازه په C کې دپام نیولو وړ ندی. $E_{st} = 200 \text{ GPa}$.



(a)

انځور 4-11

حل (SOLUTION)

توازن (Equilibrium). لکه څنګه چې په آزاد دایاګرام کې بنودل شوي، انځور 4-11b، مور دا به فرض کړو کله چې P قوی عمل کړی، دا دومره لویه ده چې د راډ پای B به له دیوال سره اړیکه ونیسئ. کله چې دا پېښ شي، دا سوال په ستاتیکي نا معلوم حالت بدلېږي، ځکه یوه معادله د توازن اما دوه نا معلوم ریکشنونه شتون لري.



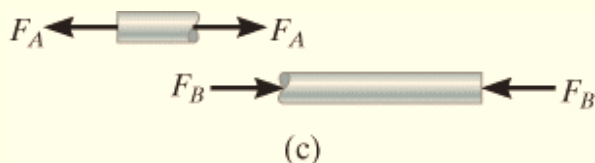
(b)

$$\pm \rightarrow \Sigma F_x = 0; \quad -F_A - F_B + 20(10^3) \text{ N} = 0 \tag{1}$$

مطابقت (Compatibility)

قوه P د B نقطې سبب د حرکت ګرځي او د B' سره اړیکه نیسي، پرته له دې چې نوره بې ځایه شی. له همدې امله د مطابقت شرط دا لاندی دی

$$\delta_{B/A} = 0.0002 \text{ m}$$



انځور 4-11 (تکرار)

بار - بي ځايه کيدل (Load-Displacement).

دا بي ځايه کيدل د نامعلوم ريكشن په شتون سره د بار-او بيځايه کيدنی اړیکو په کارولو سره پيدا کيدی شي. برخه AC او CB څنگه چی په انځور 4-11c کې بنودل شوی په واحدونو نيوتن او مترو، مور لرو

$$\delta_{B/A} = \frac{F_A L_{AC}}{AE} - \frac{F_B L_{CB}}{AE} = 0.0002 \text{ m}$$

$$\frac{F_A(0.4 \text{ m})}{\pi(0.005 \text{ m})^2 [200(10^9) \text{ N/m}^2]} - \frac{F_B(0.8 \text{ m})}{\pi(0.005 \text{ m})^2 [200(10^9) \text{ N/m}^2]} = 0.0002 \text{ m}$$

یا

$$F_A(0.4 \text{ m}) - F_B(0.8 \text{ m}) = 3141.59 \text{ N} \cdot \text{m} \quad (2)$$

له معادلی 1 او 2 داسی په لاس راځي

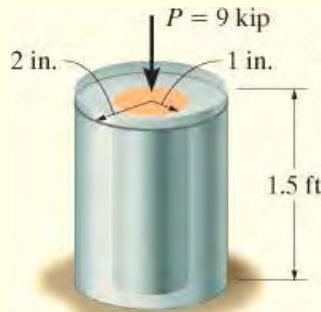
$$F_A = 16.0 \text{ kN} \quad F_B = 4.05 \text{ kN} \quad \text{Ans.}$$

دلته وینو چی F_B مثبت دی، پدی معنی چی پای B د دیوال B سره اړیکه نیسي او هلته د تیلو هلو قوه پيدا کیږی.

یادونه: که چیری F_B منفي عدد راغلي وی، بیا دا سوال ستاتیکی معلوم حالت کیدا. او $F_B = 0$ او $F_A = 20 \text{ kN}$ به وه.

مثال 4.6

د المونیم پایه چی په انځور 4-12 a کې بنودل شوی د برنجو په اضافه کولو په مابین د سلندر کی پیاوړی شوی. که دا اسامبلي باندی یو محوری تیلوهونکی بار $P = 9 \text{ kips}$ په کلک سر پوښ باندی پلي شي، اوسط سترس په المونیم او برنجو کی معلوم کړي. $E_{al} = 10(10^3) \text{ ksi}$ او $E_{br} = 15(10^3) \text{ ksi}$ واخلئ.



(a)

انځور 4-11

حل (SOLUTION)

توازن (Equilibrium). د پایي آزاد بدن دایاگرام په انځور 4-12 b کې بنودل شوی. دلته پایله محور د محصله اجزاوی په پای د سلندر کی په المونیم F_{al} او برنجو F_{br} باندی عمل کړي دی، او دا سوال ستاتیکی نامعلوم دي.

عمودی توازن پدی ډول دی:



(b)

انځور 4-12

$$+\uparrow \Sigma F_y = 0; \quad -9 \text{ kip} + F_{al} + F_{br} = 0 \quad (1)$$

مطابقت (Compatibility) کلک سر پوښ د پايي دواړه المونيم او برنج يو شان بيخايه کوي. ليکلی شو:

$$\delta_{al} = \delta_{br}$$

بار- بيخايه کيدل (Load-Displacement). د بار او بيخايه کيدلو له اړيکو کار اخلو او ليکلی شو:

$$\begin{aligned} \frac{F_{al} L}{A_{al} E_{al}} &= \frac{F_{br} L}{A_{br} E_{br}} \\ F_{al} &= F_{br} \left(\frac{A_{al}}{A_{br}} \right) \left(\frac{E_{al}}{E_{br}} \right) \\ F_{al} &= F_{br} \left[\frac{\pi[(2 \text{ in.})^2 - (1 \text{ in.})^2]}{\pi(1 \text{ in.})^2} \right] \left[\frac{10(10^3) \text{ ksi}}{15(10^3) \text{ ksi}} \right] \\ F_{al} &= 2F_{br} \quad (2) \end{aligned}$$

معادله 1 او 2 حل کوو

$$F_{al} = 6 \text{ kip} \quad F_{br} = 3 \text{ kip}$$

$$\sigma_{br} = 0.955 \text{ ksi}$$

$$\sigma_{al} = 0.637 \text{ ksi}$$



(c)

انځور 4-12

اوسط نارمل سترس په المونیم او برنج کی عبارت دی په

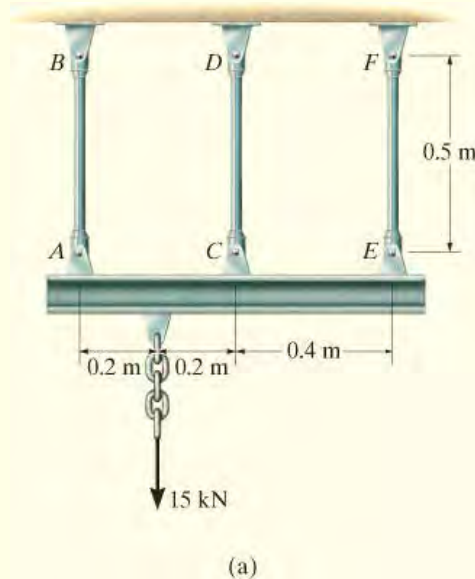
$$\sigma_{al} = \frac{6 \text{ kip}}{\pi[(2 \text{ in.})^2 - (1 \text{ in.})^2]} = 0.637 \text{ ksi} \quad \text{Ans.}$$

$$\sigma_{br} = \frac{3 \text{ kip}}{\pi(1 \text{ in.})^2} = 0.955 \text{ ksi} \quad \text{Ans.}$$

نوټ: پایلی په پام کی نیسو او دسترس ویشل په موادو باندی په انخوړ c 4-12 کی بنودل بنوي. دلته هغه سخت مواد برنج اعظمی سترس ویني.

مثال 4.7

د A992 فولادو دری بارونه (میلی) چې په 4-13 a انخوړکی بنودل شوي د پین پواسط دیو کلک غړي سره وصل دي. که چیرې په غړي باندې یو بار 15 kN پلي شوي وی، په هر بار کې قوه پیداکړی. میله AB او EF هر یو غوڅه برخه مساحت 50 mm^2 ، او د بار CD د غوڅی برخي مساحت 30 mm^2 دی .



انخوړ 4-13

حل (SOLUTION)

توازن (Equilibrium). آزاد ډایگرام د کلک غړي په انځور 4-13 b کی بنودل شوي. دا سوال ستاتیکلی نامعلوم دی ځکه د توازن دوه معادلی اما درې نامعلومه شتون لري.

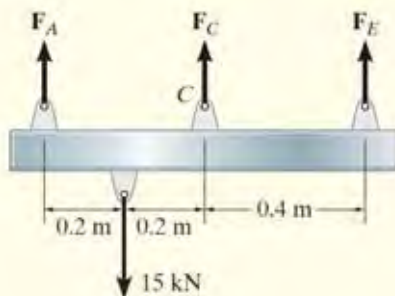
$$+\uparrow \Sigma F_y = 0; \quad F_A + F_C + F_E - 15 \text{ kN} = 0 \quad (1)$$

$$\zeta + \Sigma M_C = 0; \quad -F_A(0.4 \text{ m}) + 15 \text{ kN}(0.2 \text{ m}) + F_E(0.4 \text{ m}) = 0 \quad (2)$$

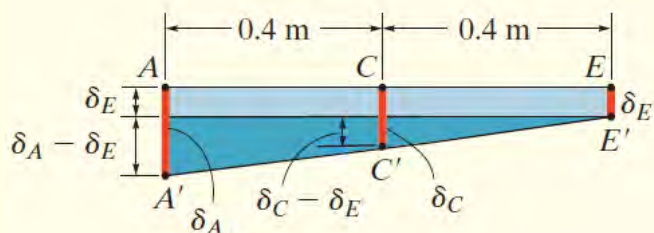
مطابقت (Compatibility) پلي شوی بار به افقی کرښه ACE چی په انځور 4-13 c کی بنودل شوي کاره حالت A`C`E` ته حرکت ورکړي. بیخایه کیدنه d_A, d_C, d_E چی په سره کرښه بنودل شوي په ورته مشابه مثلثونو په شان د یو بل سره تړاو لري. په دې توگه د مطابقت مساوات چی د دې بی خایه کیدو سره تړاو لري په لاندی ډول دی

$$\frac{\delta_A - \delta_E}{0.8 \text{ m}} = \frac{\delta_C - \delta_E}{0.4 \text{ m}}$$

$$\delta_C = \frac{1}{2} \delta_A + \frac{1}{2} \delta_E$$



(b)



(c)

انځور 4-13

بار- بېځايه كيدل (Load-Displacement). د بار او بېځايه كيدلو له اړيكو معادلله 4-2 كار اخلو او ليكلي شو:

$$\frac{F_C L}{(30 \text{ mm}^2)E_{st}} = \frac{1}{2} \left[\frac{F_A L}{(50 \text{ mm}^2)E_{st}} \right] + \frac{1}{2} \left[\frac{F_E L}{(50 \text{ mm}^2)E_{st}} \right]$$

$$F_C = 0.3F_A + 0.3F_E \quad (3)$$

معادلی 1-3 یو ځای حل کوو

$F_A = 9.52 \text{ kN}$ *Ans.*

$F_C = 3.46 \text{ kN}$ *Ans.*

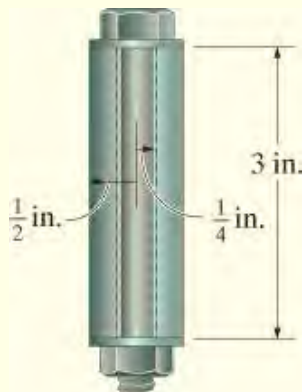
$F_E = 2.02 \text{ kN}$ *Ans.*

مثال 4.8

په انځور 4-14a کې بنودل شوی بولټ د المونیم الیاژ 2014-T6 څخه جوړ شوی دی، او دا له یو سلنډر ټیوب چې له Am 1004-T61 مگنیزیم څخه جوړ شوي تیریري. ټیوب بهرنی $\frac{1}{2}$ in (نیم انچ) شعاع لري، او داسې انگیرل کیري چې د دواړو د ټیوب داخلي شعاع او د بولټ شعاع $\frac{1}{4}$ انچ دي. کله چې بولټ د ټیوب وړاندې ټینګ شي دا په ټیوب کې د حسابولو وړ قوه نه تولیدوي. د رنچ په کارولو سره دا نټ نور هم په نیم تاو سره ټینګ شوي. که چیرې بولټ په هر انچ کې 20 رځې ولری، په بولټ کې فشار مشخص کړئ .

حل (SOLUTION)

توازن (Equilibrium). آزاد ډایگرام د بولټ او ټیوب په انځور 4-14b کې بنودل شوي. او د قوی F_b ترون له قوی F_t سره بنودل شوي. د توازن په پام نیولو سره داسې ليکلی شو



(a) $+\uparrow \Sigma F_y = 0;$ $F_b - F_t = 0$ (1)

مطابقت (Compatibility). څنگه چې په انځور کې ښودل شوي کله چې نېټ نیمه دوره تاوښی دا یوه فاصله د $(1/2)(1/20 \text{ in}) = 0.025 \text{ in}$ جوړه وی. دا لامل د دی کیري چې تیوب په اندازه دی d لنډ او بولټ په اندازه دی d_b اوږدوالي ومومي. تطابق ددی بیځایه کیدنی پدی ډول کیري

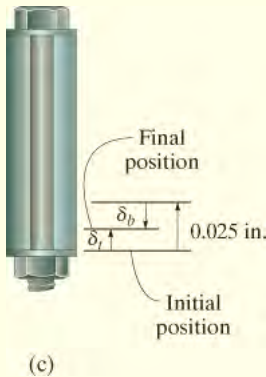


(+↑)

$$\delta_t + \delta_b = 0.025 \text{ in.}$$

بار- بیځایه کیدل (Load-Displacement). د موادو ارتجاعي ماجولس له هغه

جدول چې ددی کتاب په آخری پوښ کې ښودل شوی په لاس راوړو او د بیځایه کیدنی او بار له اړیکو کار اخلو معادله 4-2 داسی لیکو:



انځور 4-14 (تکرار)

$$\frac{F_t (3 \text{ in.})}{\pi[(0.5 \text{ in.})^2 - (0.25 \text{ in.})^2] [6.48(10^3) \text{ ksi}]} + \frac{F_b (3 \text{ in.})}{\pi(0.25 \text{ in.})^2 [10.6(10^3) \text{ ksi}]} = 0.025 \text{ in.}$$

$$0.78595F_t + 1.4414F_b = 25 \quad (2)$$

که معادلی یو په بل پسې حل کړو او دا لاندی پایلی په لاس راځي

$$F_b = F_t = 11.22 \text{ kip}$$

سترس په بولټ او ټیوب کی په دی لاندی ډول دي

$$\sigma_b = \frac{F_b}{A_b} = \frac{11.22 \text{ kip}}{\pi(0.25 \text{ in.})^2} = 57.2 \text{ ksi} \quad \text{Ans.}$$

$$\sigma_t = \frac{F_t}{A_t} = \frac{11.22 \text{ kip}}{\pi[(0.5 \text{ in.})^2 - (0.25 \text{ in.})^2]} = 19.1 \text{ ksi}$$

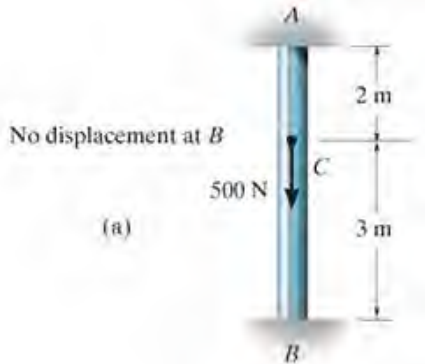
د دواړو موادو د سترسونو اندازه له بیلد سترس څخه لږ دی، $(s_y)_{al} = 60 \text{ ksi}$ او $(s_y)_{mg} = 22 \text{ ksi}$ (د کتاب پوښ په آخر ددی کتاب کی وگوري) "په دی اساس دا ایلسټیکی تحلیل د اعتبار وړ دي.

4.5 د محوری بار شویو غریو لپاره د قوی د تحلیل طریقہ THE FORCE METHOD OF ANALYSIS FOR AXIALLY (LOADED MEMBERS)

دا هم ممکنه ده چې د ستاتیکی نامعلوم سوالونه د مطابقت معادلی له لاری د سوپر پوزیشن اصولو په کارولو سره حل شي. د حل دا طریقہ ډیری وختونه د **انطاف یاد قوی د تحلیل** په نوم یادیري. د دی لپاره چې دا طریقہ وښودل شي چی څنگه پلي کیږي، انځور 4-14 a په پام کی ونیسئ. که مور اتکا B "زائد (redundant)" په توگه وټاکو او په لنډمهاله توگه یې له پایي لري کړو، نو بار به په ستاتیکی معلوم حالت بدل شی، لکه څنگه چې په انځور 4-15b کی لیدل کیږي. د سوپر پوزیشن اصولو په کارولو سره هغه اتکا به بیرته اضافه کړو په نامه د "اضافه قوه" F_B څنگه چې په انځور 4-15c کی ښودل شوي. څرنگه چې د بار P لامله B د یو مقدار d_p ښکته خوا ته بی ځایه کیږي، ریکشن F_B باید د بار پای B په اندازه د d_B پورته خوا ته ځای په ځای کړي، تر څو چې په B کی کله چې دواړه بارونه یو بل باندی کینودل شي (superimposed) هیڅ بی ځایه کیدنه واقع نشي. فرض کوو چې بیځایه کیدنه ښکته خوا ته مثبت ده، مور لرو

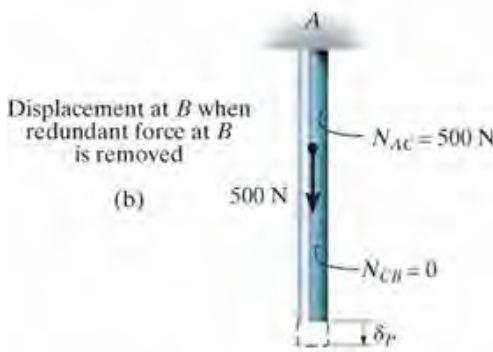
(+↓)

$$0 = \delta_P - \delta_B$$



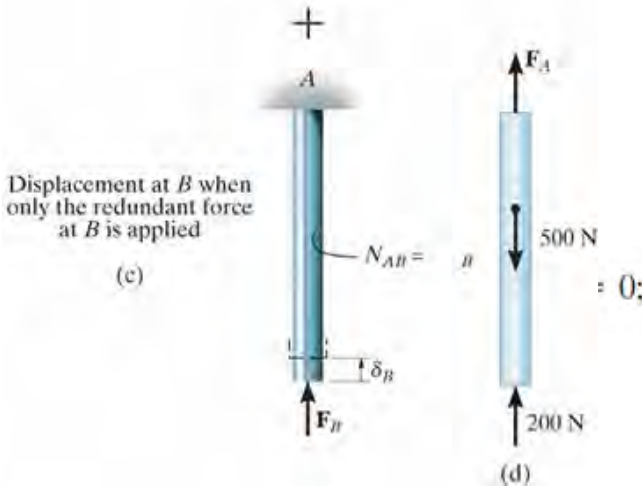
دا حالت $d_p = d_B$ استازیتوب د مطابقت معادلی د بیخایه کیدنی په ټکی B کی کوي.

د بار-بیخایه کیدنی تر او په هر پایه پلی کوو، او بیا داسی لیکلی شو



$$d_B = F_B \quad \text{او} \quad d_p = 500 \text{ N} (2\text{m}) / (AE) \\ (5\text{m}) / (AE) \quad \text{په پایله کی مور لرو}$$

$$0 = \frac{500 \text{ N} (2 \text{ m})}{AE} - \frac{F_B (5 \text{ m})}{AE} \\ F_B = 200 \text{ N}$$



د پایلی له آزاد ډایگرام چی په انخوړ 4-15d کی بنودل شوي توازون غواړي

$$200 \text{ N} + F_A - 500 \text{ N} = 0$$

$$F_A = 300 \text{ N}$$

بیا

د پایلی په توگه دا شمیری د هغو شمیرو سره چی په 4.4 کی وی یو شان دی.

د تحلیل کرنلاره

PROCEDURE FOR ANALYSIS

د قوی د تحلیل طریقې پلی کول لپاره دا لاندې مرحلو ته اړتیا لري.

مطابقت (Compatibility)

یو له اتکاوو څخه د ریډنډېټ (اضافی) په توګه غوره کړی او بیا د مطابقت مساوات په لیکلو د مطابقت شرایط تابع د هغې بی ځایه کیدنی چی د بهرنی بار له امله مینځ تا راغلي څرګند کړی. د دې کولو لپاره، پیژندل شوی بی ځایه کیدل د اتکا، چې معمولاً صفر وي، مساوی دی په بیځایه کیدنه یوازې د بهرنی بار له امله چی په غړی یې عمل کړي جمع (ویکتوري ډول) بیځایه کیدنه پدی اتکا کی یوازې د ریډنډېټ ریکشن له امله چی په غړی یې عمل کوي.

بی ځایه کیدل او بار (Load-Displacement)

- د بهرنی بار او ریډنډېټ (redundant) بی ځایه کیدو اړیکه وکاروی، لکه $d = NL/AE$.
- کله چی د تطابق د معادلو په حل کولو سره اندازه د ریډنډېټ قوی معلومیدی شي.

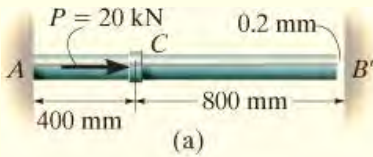
توازن (Equilibrium)

- د پیژندلو لپاره د غړي آزاد ډایاگرام رسم کړی او د توازن معادلي د غړی لپاره د ریډنډېټ محاسبی له حاصلولو نه پس کړی شی، د نورو ریکشنود معلومولو لپاره اړینی معادلي حل کړی.

مثال

4.9 مثال

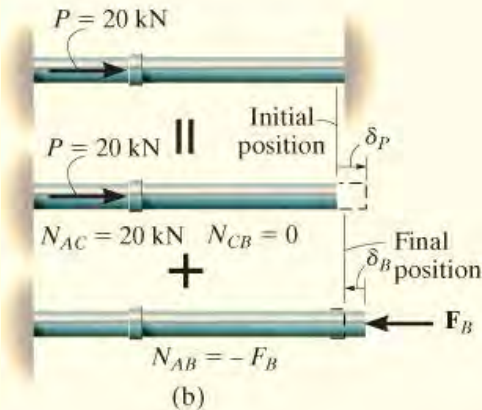
د فولادو A-36 میله یار اډ چې په انځور 4-16a کې بنودل شوی 10 ملي میتر قطر لري. دا په پای A دیوال سره کلکه تړل شوي. مخکې له دې چې بار شي، د 0.2 ملي میتر واټن یا درز په B' کې د دیوال او راډ تر منځ شتون لري. که چیرې یو محوری بار $P = 20 \text{ kN}$ په راډ عمل وکړي ریکشن په A او B' کې مشخص کړئ. د غاړه کې وزن او اندازه په C کې د پام نیولو وړ ندي. $E_{st} = 200 \text{ GPa}$.



(SOLUTION) حل

(Compatibility) مطابقت

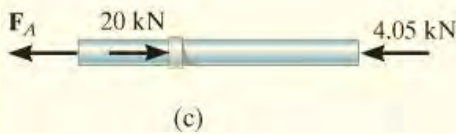
اتکا په B' کې اضافی (redundant) په پام کې نیسو. د سوپر پوزیشن د اساساتو سره د انځور 4-16b لپاره داسې لیکلی شو



(±)

$$0.0002 \text{ m} = \delta_P - \delta_B$$

(1)



انځور 4-16

بار- بیخایه کیدنه (Load-Displacement) له معادلی 2-4 بی خایه کیدنه d_P او d_B پیدا کوو

$$\delta_P = \frac{N_{AC} L_{AC}}{AE} = \frac{[20(10^3) \text{ N}](0.4 \text{ m})}{\pi(0.005 \text{ m})^2 [200(10^9) \text{ N/m}^2]} = 0.5093(10^{-3}) \text{ m}$$

$$\delta_B = \frac{N_{AB} L_{AB}}{AE} = \frac{F_B (1.20 \text{ m})}{\pi(0.005 \text{ m})^2 [200(10^9) \text{ N/m}^2]} = 76.3944(10^{-9}) F_B$$

په معادله 1 کی دا خای په خای کوو او دا لاندی په لاس راځي:

$$0.0002 \text{ m} = 0.5093(10^{-3}) \text{ m} - 76.3944(10^{-9}) F_B$$

$$F_B = 4.05(10^3) \text{ N} = 4.05 \text{ kN} \quad \text{Ans.}$$

توازن (Equilibrium). له آزاد دایگرام چی په انځور کی بنودل شوي دا لاندی پیدا کوو

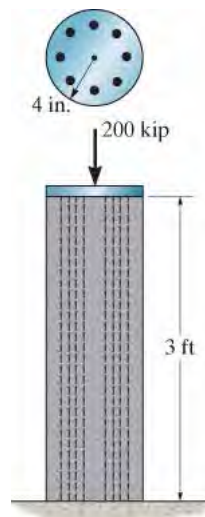
$$\rightarrow \Sigma F_x = 0; \quad -F_A + 20 \text{ kN} - 4.05 \text{ kN} = 0 \quad F_A = 16.0 \text{ kN} \quad \text{Ans.}$$

سوالونه

PROBLEMS

س 4-31. دا لاندی کالم د لوړ توان کانکریټ او اته A992 فولادو تقویه کونکي سیخونو څخه جوړ شوی دی. که په کالم یو بهرنی محوری بار 200 کیپ عمل وکړي، په کانکریټ او په هر فولادی سیخ کې اوسط نارمل سترس معلوم کړي. هر یو راد 1 انچ قطر لري.

س 4-32*. دا لاندی کالم د لوړ توان کانکریټ او اته A992 فولادو تقویه کونکي سیخونو څخه جوړ شوی دی. که په کالم یو بهرنی محوری بار 200 کیپ عمل وکړي، د هر سیخ اړین قطر داسې معلوم کړئ ترڅو د محوری بهرنی بار 60٪ د کانکریټ په واسطه یو وړل شی.



س 4-31/32

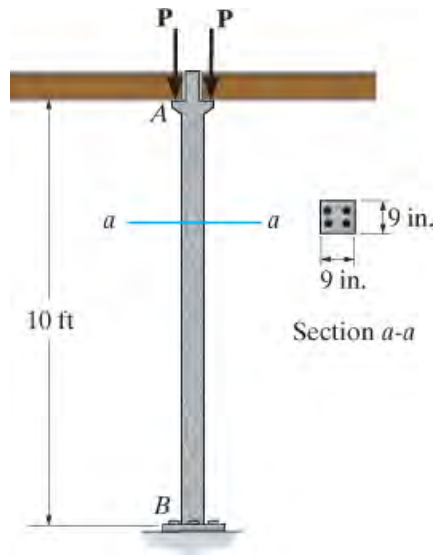
س 4-33. د A-36 فولادو پایپ د 6061-T6 المونیم په منځ کې لري. یو بهرنی کششی قوه 200 kN ورباندې پلي شوي. په المونیم او فولادو کې اوسط نارمل سترس د دی بهرنی بار له امله معلوم کړي. پایپ 80 ملي میتره خارجي قطر او 70 ملي میتره داخلي قطر لري.



س 4-33

س 4-34. کالم AB د لوړ توان پریکاسټ کانکریټ (precast concrete) څخه جوړ شوی او د څلورو 3/4 in انچ قطر فولادی A-36 سیخونو سره تقویه شوی. په کانکریټ او هر سیخ کې اوسط نارمل سترس معلوم کړي. بهرنی بار $P = 75 \text{ kips}$ کیپ دي.

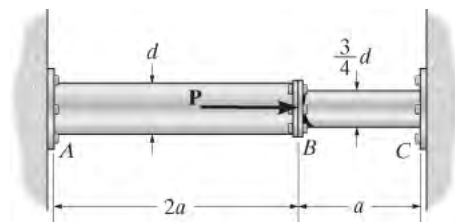
س 4-35. کالم AB د لوړ توان پریکاست کانکریت څخه جوړ شوی او د څلورو $\frac{3}{4}$ in انچ قطر فولادی A-36 سیخونو سره تقویه شوی. د اعظمي اجازه وړلو بار P مشخص کړئ. د کانکریت او فولادو لپاره د منلو وړ نارمل سترسونه په ترتیب سره $(s_{allow})_{con} = 2.5 \text{ ksi}$ او $(s_{allow})_{st} = 24 \text{ ksi}$ دي.



س 4-34/35

س 4-36*. د سخت اتکاو A او C ریکشنونه مشخص کړئ. دا مواد د ایلسټیک ماجولس E لری.

س 4-37. که اتکاو A او C انعطاف منونکي وي او د k سختی ولري، ریکشنونه په A او C کی مشخص کړئ. د موادو د ایلسټیک ماجولس E دی.

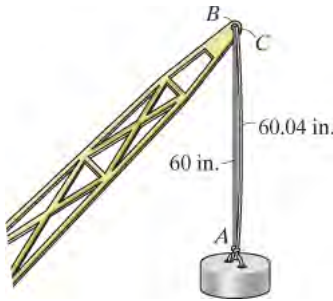


س 4-36/37

س 4-38. د 2000 lb وزن په دوو عمودی فولادی سیمانو چی $s_Y = 70 \text{ ksi}$ لخوا ملاتړ شوی. په اصل کې د سیم AB اوږدوالي 60 انچه دی او د سیم AC اوږدوالي 60.04 in انچ

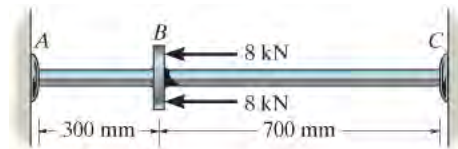
دی. کله چی دا وزن په سیمانو و خړ ول شي هغه قوه چی په هر سیم کی رامینځته کیږي معلومه کړي. د هر سیم غوڅی برخه ساحه 0.02 in^2 ده $E_{st} = 29.0 (10^3) \text{ ksi}$

س 4-39. د 2000 lb وزن په دوه عمودی فولادو سیمانو چی $s_Y = 70 \text{ ksi}$ لخوا ملاتړ شوی. په اصل کې د سیم AB اوږد والی 60 انچه دی او د سیم AC اوږدوالی 60.04 in انچه دی. د AB غوڅی برخه ساحه مشخص کړئ که چیرې بار د دواړو سیمانو ترمینځ مساوي شریک شي. د تار AC غوڅه برخه 0.02 in^2 ساحه لري. $E_{st} = 29.0 (10^3) \text{ ksi}$



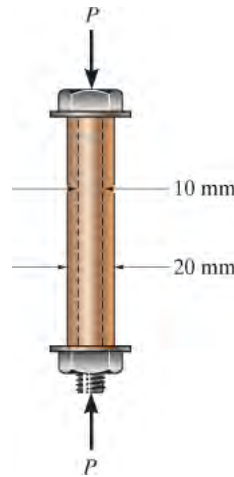
س 4-38/39

س *4-40. د A-36 فولادو پایپ د 20 ملي میتره بهرنی شعاع او د 15 ملي میتر داخلي شعاع لري. که چیرې دا مخکې له دې چې بار شي په دوو دیوالونو سخت (ټینګ) ځای په ځای شوي، په دیوالونو کی ریکشنونه کله چی پایپ د بنودل شوي بار سره مخ کیږي وټاکئ.



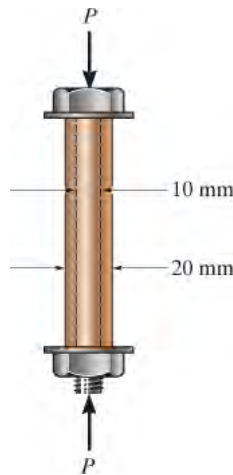
س 4-40

س 4-41. د 10 mm قطر فولاد بولټ د برنجو د پوښ سره پټ شوی. بهرنی قطر د دې پوښ 20 ملي متره دی او داخلي قطري 10 ملي میتره دی. که د فولادو لپاره د بیلد سترس $(s_Y)_{st} = 640 \text{ MPa}$ ، او د برنجو لپاره $(s_Y)_{br} = 520 \text{ MPa}$ وی، ترټولو لوی ارتجاعي بار P چی په اسامبلي پلي کیدی شي وټاکئ. $E_{st} = 200 \text{ GPa}$ ، او $E_{br} = 100 \text{ GPa}$.



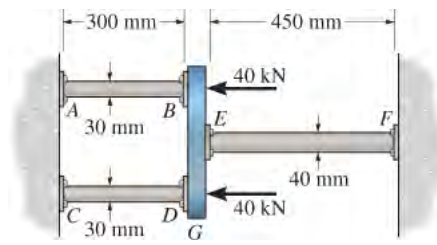
س 4-41

س 4-42. د 10 mm قطر فولاد بولټ د برنجو په پوښ پټ شوی. بهرنی قطر د دې پوښ 20 ملي متره دی، او داخلي قطر يې 10 ملي متره دی. که چیرې په بولټ باندې یوه تیلوهونکی قوه $P=20 \text{ kN}$ پلې شي، اوسط نارمل سټرس په فولادو او برنجو کې معلوم کړي. $E_{st} = 200 \text{ GPa}$ ، او $E_{br} = 100 \text{ GPa}$.



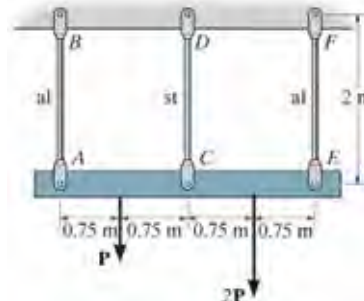
س 4-42

س 4-43. دا لاندې اسامبلي د دووسره رنگو برنجو C83400 مسی راډونو AB او CD چې 30 ملي میتر قطر لري، د 304 فولادو راډ EF چې 40 میلی میتره قطر لري او یو کلکی سر تختی G څخه جوړ دی. که چیرې اتکا A ، C ، او F کلک ټینګ وي، په راډونو کې رامینځته شوي اوسط نارمل سټرس و ټاکي .



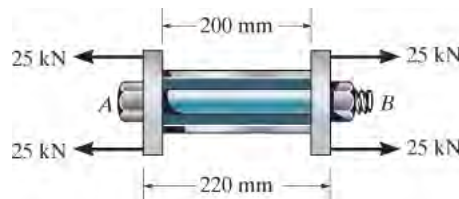
س 4-43

س 4-44* دا لاندی یوسخت بیم په دریو میلو خړولشوی. میلی AB او EF له المونیم څخه جوړی او میله CD د فولادو څخه جوړه شوی ده. که هر میله د 450 میلی میتر مربع غوڅی برخه ساحه ولري، د P اعظمي ارزښت مشخص کړئ که چیرې د منلو وړ فشار د فولادو لپاره $(s_{allow})_{st} = 200\text{MPa}$ وي او د المونیم لپاره $(s_{allow})_{al} = 150\text{MPa}$ وي. اټکل کړی چی $E_{al} = 70\text{GPa}$ ، او $E_{st} = 200\text{GPa}$.



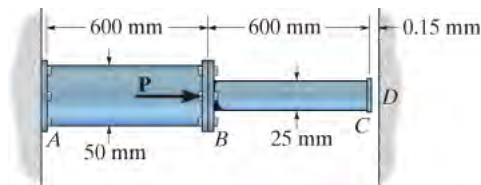
س 4-44

س 4-45 بولټ AB چی 20 ملي میتر قطر لري د یوه پوښ نه چې د 40 ملي میتر داخلي قطر او 50 ملي متر بهرنی قطر لري تیریري. بولټ او پوښ له A-36 فولاد څخه جوړ شوي دي او په یوه سخت بره کيټ خوندي شوي چی په لاندی انځور کی بنودل شوي. که د بولټ اوږدوالی 220 ملي میتره وی او د پوښ اوږدوالی 200 ملي میتر وی، په بولټ کی کشش معلوم کړئ، کله چې بهرنی قوه 50kN په برکیتونو پلي شي.



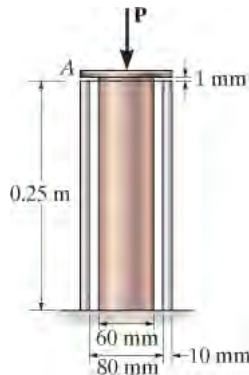
س 4-45

س 4-46. که چیرې د C او سخت دیوال تر مینځ په پیل کې فاصله په D کې 0.15 میل متر وي، کله چې قوه $P = 200$ kN عمل وکړي په A او D کې د ملاتړ ریکشنونه مشخص کړئ. اسامبلی د جامد A-36 فولادی سلنډرونو څخه جوړ شوی .



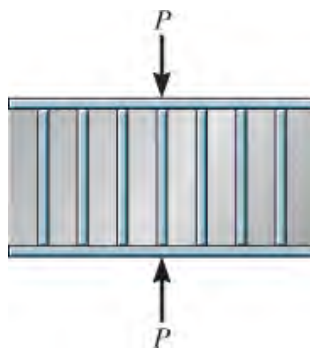
س 4-46

س 4-47. یو پایه له جامد سور رنگ مسی برنجو C83400 چې د 304 فولادو په تیوب سره نغښتل شوی جوړه شوی ده. مخکې له دې چې بار ورباندې پلي شي د دې دوو برخو تر مینځ خلا 1 (یو) ملي میتر ده. ټول ابعاد په لاندې انځور کې ښودل شوي او هغوی ته په پام سره ، ترټولو لوی بهرنی محوری بار چې په کلکه سر تخته A باندې پلي کیږي داسی وټاکئ پرته له دې چې د کوم یو مواد بیلد وکړي.



س 4-47

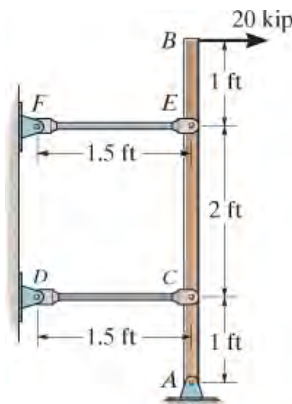
س *4-48. نمونه د تقویه شويی فلیمینټ (filament-reinforced) میټریکس سیستم استازیتوب کوي چې له پلاستیک (میټریکس) اود شیشي (فایبر) څخه جوړه شوی. که چیرې n فایبرونه شتون ولري، دهر یوه غوڅی برخي مساحت A_f او ایلسټیک ماجولس یې E_f وی او دا ټول په یوه میټرکس کې ځای پر ځای شوی چې د غوڅی برخي ساحه یې A_m او ایلسټیک ماجولس یې E_m دی. مشخص کړي سترس په میټرکس او په هر فایبر کې کله چې بهرنی بار P په نمونه کې پلي کیږي .



س 4-48

س 4-49. سخت میله AB په A کې د پین اتکا سره تړلی ده، او د دوو المونیم راپونوله خوا یې هم ملاتړ کيږي. د هر یو راد قطر 1 (یو) انچ دی او دایلسټیستی ماجولس یې $E_{al} = 10(10^3)$ ksi، او د بیلد سترس یې $(s_Y)_{al} = 40$ ksi دي. که میله په پیل کې عمودی وي، کله چې د 20 کیپ قوه پلي شي د میلی د پای B بې خایه کیدنه پیدا کړی.

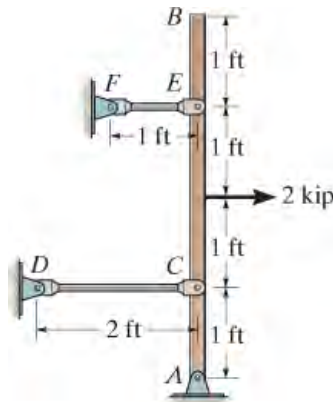
س 4-50. سخت میله AB په A کې د پین اتکا سره تړلی ده، او د دوو المونیم راپونوله خوا یې هم ملاتړ کيږي. د هر یو راد قطر 1 (یو) انچ دی او دایلسټیستی ماجولس یې $E_{al} = 10(10^3)$ ksi، او د بیلد سترس یې $(s_Y)_{al} = 40$ ksi دي. که میله په پیل کې عمودی وي، کله چې د 20 کیپ قوه پلي شي، د میلی دکوروالي زاویه پیدا کړی.



س 4-49/50

س 4-51. یوه سخته میله AB په پای A کې د پین اتکا سره تړلی ده او د دوو المونیم راپونو لخوا یې ملاتړ کيږي، هر یو راد 1 (یو) انچ قطر او د ایلستیک ماجولس یې $E_{al} = 10(10^3)$ ksi دي. که میله په پیل کې عمودی وي، د 2 کیپ قوه ورباندې پلي کيږي د پای B بې خایه کیدنه مشخص کړی.

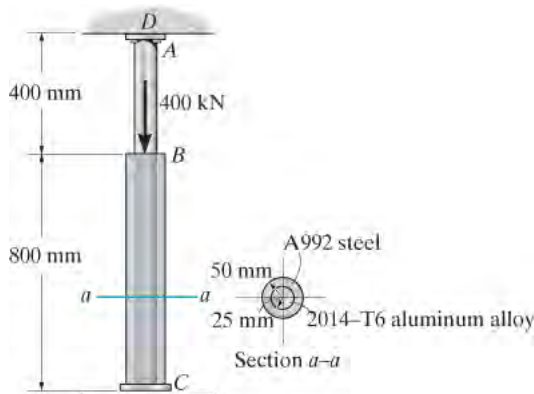
س *4-52. یوه سخته میله په پای A کې د پین اتکا سره تړلی ده او د دوو المونیم راپونو لخوا یې ملاتړ کيږي، هر یو راد 1 (یو) انچ قطر او د ایلستیک ماجولس یې $E_{al} = 10(10^3)$ ksi دي. که میله په پیل کې عمودی وي، د 2 کیپ قوه ورباندې پلي شي، په هر راد کې قوه پیدا کړی.



س 4-51/52

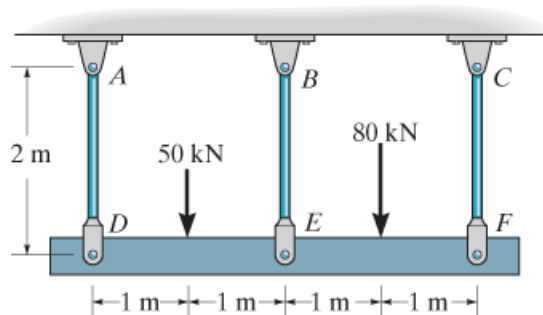
س 4-53. د المونیم 2014-T6 راډ AC د A992 فولادو ټیوب BC سره تقویه شوی. که چیری دا اسمبلی داسی ټرل شوی وی ترڅو په C کې هیڅ خلا شتون ونلري، د اتکا ریکشنونه مشخص کړئ کله چې یو محوری قوه 400 kN پری عمل وکړي. اسمبلی په D کې نښلول شوی ده.

س 4-54. د المونیم 2014-T6 راډ AC د A992 فولادو ټیوب BC سره تقویه شوی. کله چې بهرنی بار په اسمبلی عمل نه وی کړي د پای C او سختی اتکا تر منځ فاصله 0.5 ملي متره ده. د اتکا ریکشنونه مشخص کړئ کله چې د 400 kN محوری قوه پری تطبیق شي.



س 4-53/54

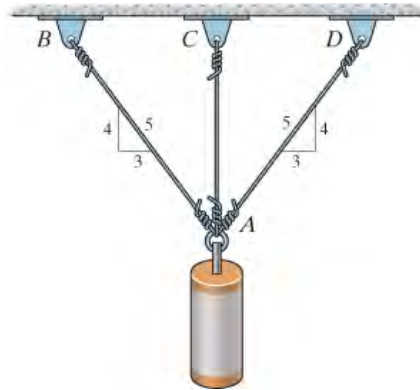
س 4-55. درې څړلول شوي میلی د A992 فولادو څخه جوړی شوي او مساوي د 450 میلی متره مربع د غوڅی برخي مساحت لری. په هر میله کې اوسط نارمل سترس معلوم کړئ که چیری په سخت بیم بنودل شوي بهرنی بار عمل وکړي.



س 4-55

س * 4-56. درې A-36 فولادی سیمونه، هر یو د 2 ملي میتر قطر لري، او مخ کی لیدی چی بهرنی بار عمل وکړي اوږدوالی یې $L_{AC} = 1.60 \text{ m}$ او $L_{AB} = L_{AD} = 2.00 \text{ m}$ دی. په هر سیم کی قوه معلومه کړي کله چې په حلقه A باندی 150 کیلو گرام وزن وڅړول شی.

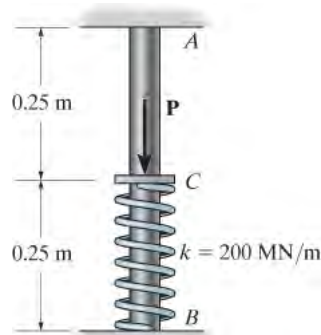
س 4-57. د A-36 فولادو سیمونه AB او AD هر یو د 2 ملي میتر قطر لري او او مخکی لدی چی بهرنی بار عمل وکړي اوږدوالی یی $L_{AC} = 1.60$ m او $L_{AB} = L_{AD} = 2.00$ m دی. د سیم AC اړین قطر داسي مشخص کړئ ترڅو په هر سیم کی ورته قوه جوړه شی کله چی په حلقه A باندی 150 کیلو گرام وزن وځړول شی.



س 4-56/57

س 4-58. دا لاندی پایه له المونیم 6061-T6 څخه جوړه شوی او 50 ملي میتر قطر لري، او په A او B کې په اتکا سره کلکه تړل شوي. دپایی په منځ C کی یو فنر شتون لري چی د یو سختی غاړي تختی (یا کالر) سره وصل دی. که فنر په اصل کې کمپریس شوی نه وی، ریکشنونه په A او B کې مشخص کړئ کله چی قوه $P = 40$ kN په کالر باندې پلی شي.

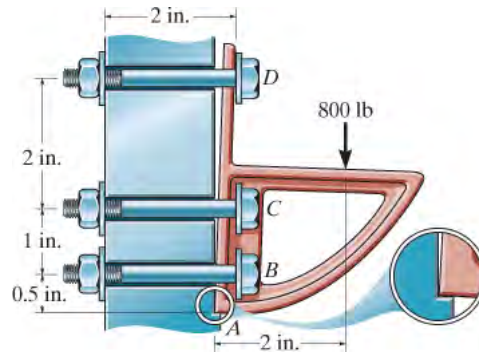
س 4-59. دا لاندی پایه له المونیم 6061-T6 څخه جوړه شوی او 50 ملي میتر قطر لري، او په A او B اتکا وو کی کلکه تړل شوي. دپایی په منځ C کی یو فنر شتون لري چی د یو سختی غاړي تختی (یا کالر) سره وصل دی. که فنر په اصل کې کمپریس شوی نه وی، کمپرشن قوه په فنر کې مشخص کړئ کله چی قوه $P = 40$ kN په کالر باندې پلی شي.



س 4-58/59

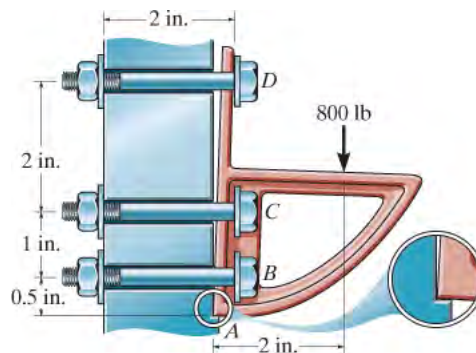
س *4-60. دالاندی برکیټ په دیوال کې د دریو A-36 فولادی بولټونو په کارولو سره په B ، C او D کې ساتل کيږي. د هر بولټ قطر 0.5 انچه او اوږدوالی یی 2 انچه دی. که یوه قوه د

800 پونډه په برکیت کې، لکه څنګه چې بنودل شوي، په هر بولټ کې قوه پیدا کړی. د محاسبې لپاره، دا فرض کړئ چې بولټونه هیڅ شپیر قوه نه لري؛ بلکه دا 800 lb عمودی قوه د کنج A (toe) لخوا ملاتړ کیږي. همدارنګه، فرض کړئ چې دیوال او برکیت سخت دي. د بولټونو خورا مبالغه شوی بیخایه کیدل بنودل شوی.



س 4-60

س 4-61. دالاندی برکیت په دیوال کې د دریو A-36 فولادی بولټونو په کارولو سره په B ، C او D کې ساتل کیږي. د هر بولټ قطر 0.5 انچه او اوږدوالی یې 2 انچه دی. که یوه قوه د 800 پونډه په برکیت لکه څنګه چې بنودل شوي کینودل شي، فاصله s د برکت پورتنی خوا په بولټ D کې له دیواله څومره لري کیږي. د محاسبې لپاره، دا فرض کړئ چې بولټونه هیڅ شپیر قوه نه لري؛ بلکه دا 800 lb عمودی قوه د کنج A (toe) لخوا ملاتړ کیږي. همدارنګه، فرض کړئ چې دیوال او برکیت سخت دي. د بولټونو خورا مبالغه شوی بیخایه کیدل بنودل شوی

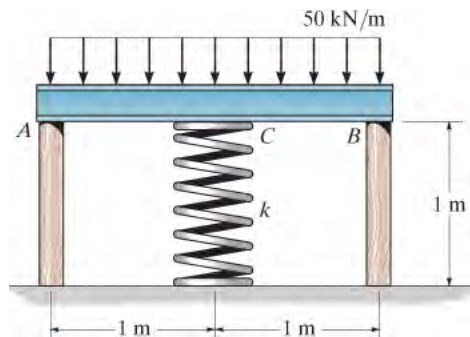


س 4-61

س 4-62. یوې سختې میلی په دوو لنډو سپینو سپروس لرګیو پایو او فنر سره تکیه کړی. که دهر یوې پایې مخ کې له دی چې وزن ورباندې عمل وکړی، اوږدوالی 1 متر او د غوڅې برخې ساحه یې 600 میلی متر مربع، او د فنر سختوالی $k = 2 \text{ MN/m}$ او اوږدوالی یې مخ کې لدی چې

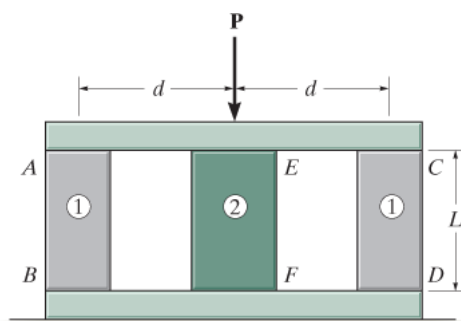
پراخ شی 1.02 متره وی ، په هر پایه کې قوه مشخص کړئ وروسته له دې چې بنودل شوی بهرنی بار بری تطبیق شي.

س 4-63. یو سختی میلی په دوو لنډو سپینوپروس لرگیو پایو او فنر سره تکیه کړی. که هر یوه پایه مخ کې له دې چې وزن ورباندې عمل وکړی اوږدوالی یې 1 متر او د غوڅی برخې ساحه یې 600 میلی متر مربع ، او د فنر سختوالی $k = 2 \text{ MN/m}$ او اوږدوالی یې مخ کې لدې چې پراخ شی 1.02 متر وی، عمودی بیخایه کیدل د A او B وروسته له دې چې بار پلي شي معلوم کړي.



س 4-62/63

س *4-64. دا لاندی اسمبلی له دریو پایو او دوو تختو جوړه شوي. دوی پایي AB او CD یې هر یو د دې دوو پایو 1 موادو څخه جوړی شوی چې ماجولس ایلستیسیتی E_1 او د غوڅی برخې ساحې A_1 دي. او دریمه پایه (مرکزي پایه) د 2 موادو جوړه شوی چې د ایلستیسیتی ماجولس یې E_2 او غوڅی برخې ساحه A_2 لري. که یو بهرنی بار P په سخت سر تخته کې پلي شي، په هر موادو کې قوه مشخص کړئ .

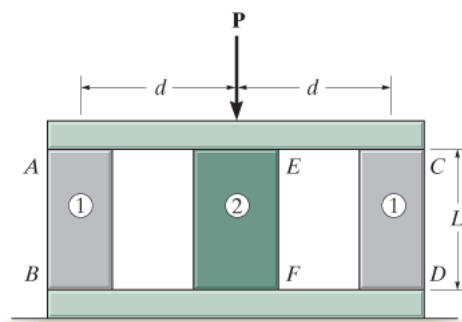


س 4-64

س 4-65. دا لاندی اسمبلی له دریو پایو او دوو تختو جوړه شوي. دوه پایي AB او CD یې هر یو د دې دوو پایو 1 موادو څخه جوړی شوی چې ماجولس د ایلستیسیتی E_1 او د غوڅی برخې ساحې A_1 دي. او دریمه مرکزی پایه EF چې مواد یې 2 او د ایلستیسیتی ماجولس یې E_2 او

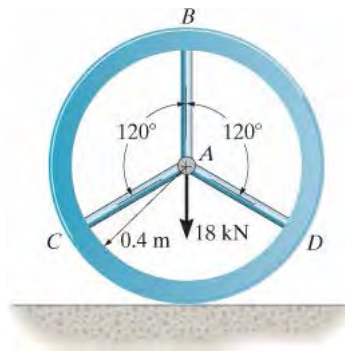
غوڅه برخ ساحه A_2 لري. که AB او CD پایي له موادو 2 څخه جوړی شی او هغه ځای په ځای شي، اړین ساحه د غوڅی برخی ددی نویو پایو لپاره داسی مشخص کړی ترڅو دواړه اسمبلی کله چی بهرنی بار ورباندی پلي شي ورته مقدار بي ځایه کیدل ولري.

س 4-66. دا لاندی اسمبلی له دریو پایو او دوه تختو جوړه شوي. دوه پایي AB او CD یي هر یو ددی دوه پایو له 1 موادو څخه جوړ شوی چې ماجولس د ایلستیسیتی E_1 او د غوڅی برخی ساحي A_1 دي. او دریمه مرکزی پایه EF چې مواد یي 2 او د ایلستیسیتی ماجولس یي E_2 او غوڅه برخ ساحه A_2 لري. که پایه EF عوض شی په مواد 1 او هغه ځای په ځای شي، اړین ساحه د غوڅی برخی ددی نوی پایي لپاره داسی مشخص کړی ترڅو دواړه اسمبلی کله چی بهرنی بار ورباندی پلي شي ورته مقدار بي ځایه کیدل ولري.



س 4-65/66

س 4-67. دا لاندی څرخ باندی د اکسل A څخه د 18 کیلو نیوټن قوه عمل کړی. په هر یو شاخه (spoke) کې قوه مشخص کړی. فرض کړی چې رم (rim) سخت دی او شاخی د ورته موادو څخه جوړی او هر یو د ورته غوڅی برخی مساحه لري.



س 4-67

4.6 حرارتی سترس (THERMAL STRESS)

د تودوخي بدلون کولی شي د جسم ابعاد بدل کړي. عموماً، که د تودوخي درجه لوړه شي، بدن به پراخ شي، پداسې حال کې چې که د تودوخي درجه راټیټه شي، دا به لنډ شي. * معمولاً دا پراختیا یا لنډوالی د تودوخي له زیاتوالي یا کمیدو سره خطي تړاو لري. له تجربو معلومه شوی کله چې مواد متجانس او ایسوترافيک وی د پای بیخایه کیدنه د یو غړی له اوږدوالي L سره په دی لاندی فارمول محاسبه کیدلی شي



$$\delta_T = \alpha \Delta T L$$

$$(4-4)$$

ډیری ټرافیکي پلونه د پراخیدو جوینټ سره ډیزاین شوي چې د تودوخي درجې له ټیټیدو یا لوړیدو په حالت کې داسې توان ولری چې د حرارتی سترسونه مخ نیوی وشي.

دلته

a = د موادو خاصیت دی چې د تودوخي توسعي خطي ضریب (linear coefficient of thermal expansion) ویل کیږي. دا واحدونه د تودوخي په هره درجې کې د یوه واحد اوږدوالی بدلون اندازه کوي. دوی په FPS سیستم کې $1/F^{\circ}$ (فارن هایت) دي، او په SI سیستم کې $1/^{\circ}C$ (Celsius) یا $1/K$ (کیلوین). د ضریب نمونه یی ارزښتونه ددی کتاب په آخر کې بنودل شوي.

$$DT = \text{په غړي کې د حرارت درجې الجبریک بدلون}$$

$$L = \text{د غړي اصلي اوږدوالی}$$

$$d_T = \text{د غړي په اوږدوالي کې د الجبریک بدلون}$$



د نالیو (ډکتونه) او پایپونو اوږده حالتونه چې مایعات لیردوي د حرارت د درجی تغیراتو سره مخ دي چې د دوی د پراختیا یا لنډوالی لامل کیږي. ددی دپاره چی د حرارتی سترس مخنیوی وشید دوی په اوږدوالی کی جاینتونه جوړیږی.

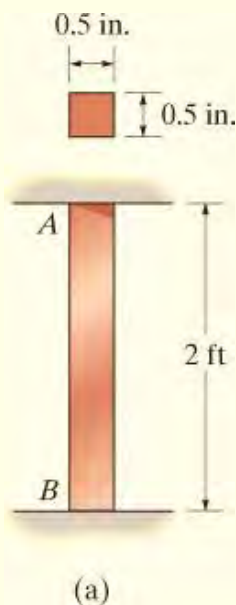
د ستاتیکلی معلومو غړیو په اوږدوالی کی د تودوخې له امله بدلون په اسانی سره دمعادلی 4-4 په کارولو سره محاسبه کیدی شي، ځکه چې غړی د تودوخې د بدلون په وخت کی د ابعادو د بدلون لپاره آزاد دي. له هغه ځایه چی د ستاتیکلی نامعلوم غړی لپاره، دا حرارتی بی ځایه کیدل به محدود وي ځکه دوی په اتکا کی تړلی دی. په دې توگه د تودوخې سترسونه تولیدوي چې باید په ډیزاین کی په پام کی ونیول شي. په تیرو برخو کی تشریح شوي میتودونو په کارولو سره ، دا ممکنه ده چې دا حرارتی سترسونه مشخص کړی شی، لکه څنگه چې په لاندې مثالونو کی بنودل شوي .

*دلته ځینې مواد شتون لري، لکه انوار (Invar) ، د اوسپني او نکل الیاژ، او سکینډیم تری فلورايد (scandium trifluoride)، چې په مخالف ډول چلند کوی، مگر مور به دلته هغه په پام کی نه نیسو.

مثالونه

مثال 4.10

د A-36 فولادو میله چې په شکل 4-17a کی بنودل شوی په $T_1 = 60^\circ F$ درجه حرارت کی د دوو اتکاوو تر منځ جفت ځای په ځای شوي، که چیرې د تودوخې درجه $T_2 = 120^\circ F$ ته لوړه شی، اوسط نارمل حرارتی سترس چې په میله کی رامینځته شوی پیدا کړی.



حل (SOLUTION)

توازن (Equilibrium). د میلی ازاد ډایگرام په انځور 4-17b کی بنودل شوي. بهرنی بار عمل نه دی کړي، قوه په A کی مساوی په قوه چې په B کی ده او جهت یی سرچپه دی. او داسی لیکلی شو:

$$+\uparrow \sum F_y = 0; \quad F_A = F_B = F$$

دا سوال ستاتیکلی نامعلوم دي ، ځکه د توازن له معادلی نشي موندل کیدی.

مطابقت (Compatibility)

څرنګه چې نهایې بیځایه کیدل صفر ($d_{A/B} = 0$) دی. هغه بیځایه کیدل چې د حرارت د تغیر له کبله (d_T) په A نمځ ته کیری یوه معادل قوه F به په مخالف جهت عمل وکړی چې بیځایه کیدنه بیرته لمړی حالت ته راوړی. د مطابقت حالت په A کی مور دا لاندی ډول لیکلی شو:

$$d_{A/B} = 0 = d_T - d_F$$

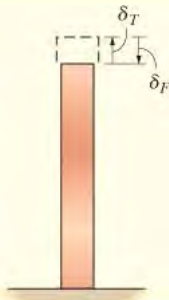


بار- بیځایه کیدل (Load-Displacement). د بار او بیځایه کیدلو اړیکې له حرارت څخه کار اخلو او لیکلی شو:

$$0 = \alpha \Delta T L - \frac{FL}{AE}$$

د a ارزښت چې په آخر ددی کتاب کی دی تری کار اخلو او مور لرو:

$$\begin{aligned} F &= \alpha \Delta T A E \\ &= [6.60(10^{-6})/^\circ\text{F}](120^\circ\text{F} - 60^\circ\text{F})(0.5 \text{ in.})^2 [29(10^3) \text{ kip/in}^2] \\ &= 2.871 \text{ kip} \end{aligned}$$



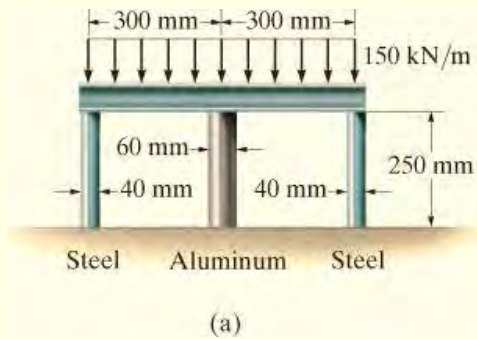
څرنګه چې F هم د میلی د داخلي محوري قووی استازیتوب کوي، اوسط نارمل تیلو هونکی سترس په دی توګه دی

$$\sigma = \frac{F}{A} = \frac{2.871 \text{ kip}}{(0.5 \text{ in.})^2} = 11.5 \text{ ksi} \quad \text{Ans.}$$

انځور 4-17

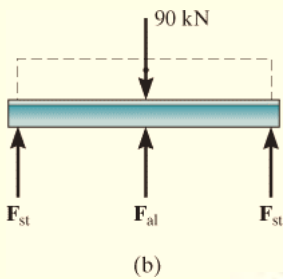
یادونه: دا مقدار دا بنه یې چې د حرارت درجی بدلون، لویه داخلی قوه په ستاتیکلی نامعلوم غړی کی جوړه وي.

مثال 4.11



يو سخت بيم چى په انځور 4-18a كى بنودل شوي په دريو پايو چى له 2014-T6 المونيم او A992 فولادو جوړى شوى تړلى دي. كله چى بهرنى بار عمل نه وي كړي هره يوه پاڼه 250 ميلي متره اوږدوالي لري او د تودوخې درجه پدې حالت كى $T_1 = 20^\circ C$ وي. كه چيرى په بيم باندى يو وپشل شوى بار د 150 kN/m پلى شي او د تودوخې درجه $T_2 = 80^\circ C$ ته لوړه شى، قوه په هر پاڼه كى قوه پيدا كړئ .

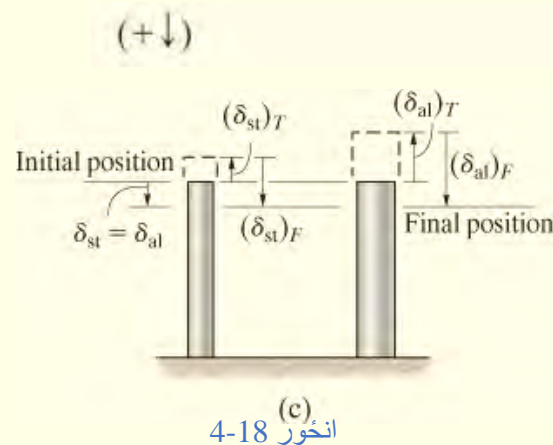
حل (SOLUTION)



توازن (Equilibrium). د بيم ازاد ډايگرام په انځور 4-18b كى بنودل شوي. كى چيرى مؤمنت د بيم په وسط كى وگورو دواړه اټكاوو ريكشنونه به يو شان وي. مجموعه د قواوو پدې ازاد ډايگرام كى لرو

$$+\uparrow \sum F_y = 0; \quad 2F_{st} + F_{al} - 90(10^3) \text{ N} = 0 \quad (1)$$

مطابقت (Compatibility). د بار، جيوميټري، او د موادو همغږي له امله، پورته برخه د هرې پاڼي په مساوي مقدار كى بي ځايه كيږي. له همدې امله



$$\delta_{st} = \delta_{al} \quad (2)$$

د هرې پاڼي د سر وروستى موقعيت د هغې د بي ځايه كيدو سره مساوي دى په بيځايه كيدل د تودوخې د زياتوالي له امله او جمع هغه بي ځايه كيدل د داخلي محوري تيلوهونكى داخلي قووچى په انځور 4-18 c كى بنودل شوي. په دې توگه، د فولادو او د المونيم پايو كى، مور لرو

انځور 4-18 (c)

$$\begin{aligned} (+\downarrow) \quad \delta_{st} &= -(\delta_{st})_T + (\delta_{st})_F \\ (+\downarrow) \quad \delta_{al} &= -(\delta_{al})_T + (\delta_{al})_F \end{aligned}$$

له پورته (2) معادلی کار اخلو او لیکلی شو:

$$-(\delta_{st})_T + (\delta_{st})_F = -(\delta_{al})_T + (\delta_{al})_F$$

بار- بېخايه کيدل (Load-Displacement). له معادلو 4-2 او 4-4 او د موادو له خاصیتونو کار اخلو، دا لاندی په لاس راځي:

$$\begin{aligned} & -[12(10^{-6})/^{\circ}\text{C}](80^{\circ}\text{C} - 20^{\circ}\text{C})(0.250 \text{ m}) + \frac{F_{st} (0.250 \text{ m})}{\pi(0.020 \text{ m})^2 [200(10^9) \text{ N/m}^2]} \\ & = -[23(10^{-6})/^{\circ}\text{C}](80^{\circ}\text{C} - 20^{\circ}\text{C})(0.250 \text{ m}) + \frac{F_{al} (0.250 \text{ m})}{\pi(0.030 \text{ m})^2 [73.1(10^9) \text{ N/m}^2]} \\ & F_{st} = 1.216F_{al} - 165.9(10^3) \quad (3) \end{aligned}$$

د دی لپاره چی یو شان وو، ټول شمیري معلومات په نیوتن، متر، او درجی سانتي گریډ څرگند شوي . معادلي 1 او 3 په ورته وخت کي حل کوو او حاصل یي دی:

$$F_{st} = -16.4 \text{ kN} \quad F_{al} = 123 \text{ kN} \quad \text{Ans.}$$

منفي ارزښت د F_{st} بنیایي چی قوه خلاف جهت د هغه چی په انځور کی بنودل شوي ده، پدی معنی چی د فولادو پایي په حالت د کشش کی او د المونیم پایي په ټیلوهلو کی دی.

مثال 4.12

د المونيم 2014-T6 تيوب چې د 600 ميلي متر مربع غوڅی برخي ساحه لري د A-36 فولادو بولت لپاره چې دغوڅی برخي ساحه یی 400 ميلي متر مربع ده د پوښ په توگه کله چې د تودوخي درجه $T_1 = 15\text{ C}$ وي کارول کيږي. او دا په انځور 4-19a کی ښودل شوي. نټ دا اسامبلي په دی موقعيت کې ټينگ ساتلي او په دی حالت کې د بولت محوری قووه د پام وړ نه ده. که د تودوخي درجه $T_2 = 80\text{ C}$ ته لوړه شي، په بولت او پوښ کې يې قوی پيدا کړی.

حل (SOLUTION)

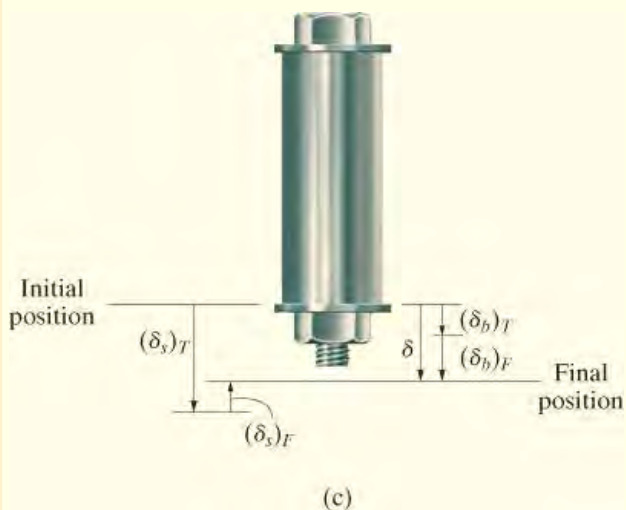
توازن (Equilibrium). د اسمبلي پورتنی برخي آزاد ډایاگرام په انځور 4-19b کې ښودل شوي. قواوي F_b او F_s د پوښ څخه پيدا شوي ځکه چې د پوښ ضريب د تودوخي پراخيدلو په پرتله د بولت لوړ دی، او له همدې امله کله چې تودوخه لوړه شي پوښ به نور پراخ شي. دا دي ته اړتيا لري

$$+\uparrow \Sigma F_y = 0; \quad F_s = F_b \quad (1)$$

مطابقت (Compatibility). د تودوخی

لوړوالي بولت او پوښ دواړه پراخيري $(\delta_s)_T$ او $(\delta_b)_T$ انځور 4-19c ووينی.

په هر صورت، تکراری قواوي F_b او F_s بولت اوږدوي او پوښ لنډوي. په پایله کې، اسمبلي وروستي حالت ته رسي، کوم چې د هغې ابتدايي سره ورته نه وي. له دې امله، د مطابقت حالت داسی کيږي



$$(+\downarrow) \quad \delta = (\delta_b)_T + (\delta_b)_F = (\delta_s)_T - (\delta_s)_F$$

بار- بېخايه كيدل (Load-Displacement). له معادلو 4-2 او 4-4 او د موادو له خاصيتونو كار اخلو ، دا لاندی په لاس راځي:

$$\begin{aligned}
 & [12(10^{-6})/^{\circ}\text{C}](80^{\circ}\text{C} - 15^{\circ}\text{C})(0.150 \text{ m}) + \\
 & \frac{F_b (0.150 \text{ m})}{(400 \text{ mm}^2)(10^{-6} \text{ m}^2/\text{mm}^2)[200(10^9) \text{ N/m}^2]} \\
 = & [23(10^{-6})/^{\circ}\text{C}](80^{\circ}\text{C} - 15^{\circ}\text{C})(0.150 \text{ m}) \\
 & - \frac{F_s (0.150 \text{ m})}{(600 \text{ mm}^2)(10^{-6} \text{ m}^2/\text{mm}^2)[73.1(10^9) \text{ N/m}^2]}
 \end{aligned}$$

له معادلی 1 كار اخلو او حل كووی چی دا لاندی په لاس راځي

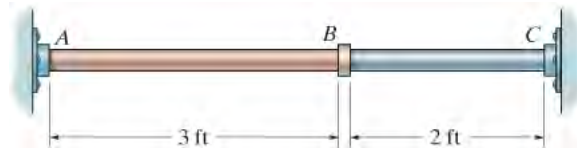
$$F_s = F_b = 20.3 \text{ kN} \quad \text{Ans.}$$

يادونه: ځكه چې په دې په تحليل كی مو خطي ارتجاعي چلند د موادو فرض كړی و، اوسط نارمل سترسونه بايد د ډاډ تر لاسه كولو لپاره وڅيرل شي چې دوی د موادو له متناسب حد (proportional limit) نه نه دی تير شوي .

سوالونه

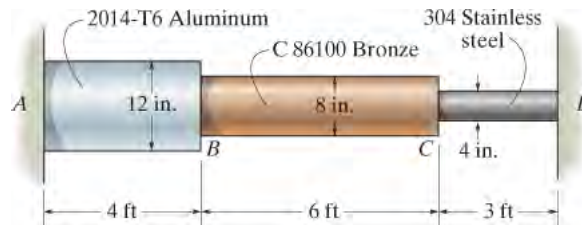
PROBLEMS

س 4-68* یو سور رنگ برنجی C83400 راډ AB او د المونیم 2014-T6 راډ BC په کالر (پټي) B کې یوځای شوی او په پایونو کې په اتکا کلک وصل شوي، کله چې د تودوخې درجه $T_1 = 50^\circ \text{F}$ وي په غړيو کې بار نه وي. کله چې $T_2 = 120^\circ \text{F}$ شي په هر یو غړي کې اوسط نارمل سترس وټاکئ. همدارنگه، د غاړي پټي څومره بي ځایه شوي؟ د هر غړي غوڅی برخه ساحه 1.75 انچ مربع ده.



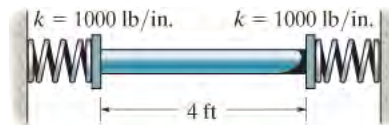
س 4-68

س. 4-69 ددی لاندی اسمبلي مواد او ابعاد په انځور کې بنودل شوی. کله چې د حرارت درجه $T_1 = 70^\circ \text{F}$ وي غړی له اتکا سره جفت ساتل کيږي. اوسط نارمل سترس په موادو کې کله چې د حرارت $T_2 = 110^\circ \text{F}$ درجې شي، پیدا کړی.



س 4-69

س 4-70 دا لاندی راډ چې له فولادو A992 جوړ شوی قطر يې 0.25 in انچ دی. کله چې فنرونه 0.5 انچه کمپرس (compressed) شي او بردوالي يې 4 ft دی او درجه حرارت $T = 40^\circ \text{F}$ وي. قوه په راډ کې کله چې د تودوخې درجه $T = 160^\circ \text{F}$ ته لوړه شي معلوم کړي.

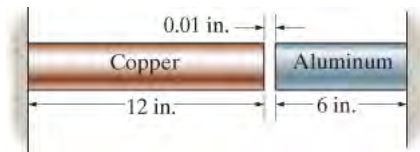


س 4-70

س 4-71 دوه سلنډر راډونه له دوو سخت ديوالونو سره داسی ټرل شوی د چې د دوی تر مینځ د 0.01 انچ فاصله شتون لري، په دی حالت کې د تودوخې درجه $T_1 = 60^\circ \text{F}$ ده. ددی لپاره چې

یوای دا خلا ورکه شي څومره لوی تودوخې T_2 ته اړتیا ده؟ هر راد د 1.25 انچ قطر لري. که چیر د حرارت درجه $T_2 = 300^\circ \text{F}$ وی په هر راد کې اوسط نارمل سترس معلوم کړئ. که چیرې $a_{\text{cu}} = 9.4(10^{-6})/^\circ\text{F}$ ، $(s_Y)_{\text{al}} = 40 \text{ ksi}$ ، $E_{\text{al}} = 10(10^3) \text{ ksi}$ ، $a_{\text{al}} = 13(10^{-6})/^\circ\text{F}$ ، او $(s_Y)_{\text{cu}} = 50 \text{ ksi}$ ، $E_{\text{cu}} = 15(10^3) \text{ ksi}$ ،

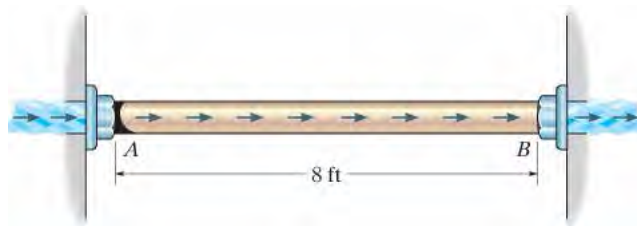
س 4-72* دوه سلنډر رادونه له دوو سخت دیوالونه سره داسی تړل شوی چې د دوی تر مینځ د 0.01 انچه فاصله شتون لري، په دی حالت کې د تودوخې درجه $T_1 = 60^\circ\text{F}$ ده. هر راد د 1.25 انچ قطر لري. په هر راد کې اوسط نارمل سترس مشخص کړئ که $T_2 = 400 \text{ F}$ ، او همدارنگه نوي اوږدوالی د المونیمو برخې محاسبه کړئ. چیرې چې $a_{\text{al}} = 13(10^{-6})/^\circ\text{F}$ ، $(s_Y)_{\text{al}} = 40 \text{ ksi}$ ، $E_{\text{al}} = 10(10^3) \text{ ksi}$ ، او $(s_Y)_{\text{cu}} = 50 \text{ ksi}$ ، $E_{\text{cu}} = 15(10^3) \text{ ksi}$ ، $a_{\text{cu}} = 9.4(10^{-6})/^\circ\text{F}$ ،



س 4-71/72

س 4-73 دا لاندی پایپ د A992 فولادو څخه جوړ شوی او په غاړه پټی په A او B کې وصل دی. کله چې د تودوخې درجه 60°F وي، په پایپ کې محوری بار شتون نلري. که گرم گاز د پایپ له منځه چې تیریری د تودوخې د لوړیدو لامل کیږي $DT = (40 + 15x)^\circ \text{F}$ ، چیرته x په فټ اندازه کیږی، په پایپ کې اوسط نارمل سترس وټاکئ. داخلي قطر د پایپ 2 انچه دی، او د دیوال ضخامت 0.15 انچه دی.

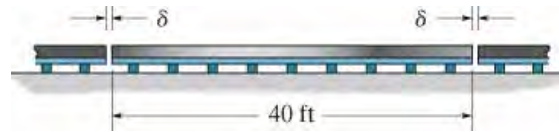
س 4-74 د برونزو C86100 پایپ داخلي شعاع 0.5 انچه او د دیوال ضخامت یې 0.2 انچه دي. که گاز پکی جریان ولري د پایپ تودوخه په مساوي ډول بدلوي له $T_A = 200 \text{ F}$ څخه په A کې $T_B = 60 \text{ F}$ په B کې، محوری قوه چې دا په دیوالونو لگوي وټاکي. کله چې پایپ د دیوالونو په منځ کې نصب شو د تودوخې درجه $T = 60^\circ\text{F}$ وه.



س 4-73/74

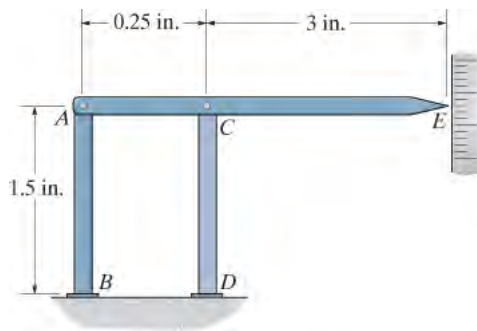
س 4-75 د اورگاډي د A-36 فولادو پټلی چې 40 فوټه اوږدوالی لري، د یو کوچني خلا سره ایښودل شوي تر څو د تودوخې پراختیا لپاره اجازه ورکړي. د اړتیا وړ خلا مشخص کړئ ترڅو پټلی کله چې د تودوخې درجه له $T_1 = -20^\circ \text{F}$ څخه $T_2 = 90^\circ \text{F}$ ته لوړه شي یو بل سره ولگی.

په پټلیوکي به محوری قوه څومره وي که د تودوخي درجه $T_3 = 110^\circ\text{F}$ ته لوړه شي؟ د هر ی پټلی غوڅی برخي ساحه 5.10 انچه مربع ده.



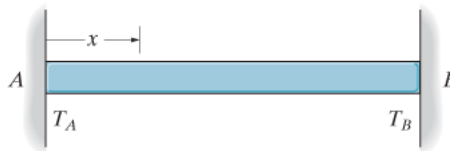
س 4-75

س 4-76* دا لاندی وسیله د تودوخي درجي د بدلون اندازه کولو لپاره کارول کيږي. د حرارت پايي AB او CD د A-36 فولادو او المونيم الياژ 2024-T6، څخه په ترتيب سره جوړ شوي دي. کله چې د حرارت درجه په 75°F کې وي، ACE په افقی موقعيت کې وي. د اشاره کونکی (pointer) عمودی بي ځايه کيدل په E کې کله چې د تودوخي درجه 150°F ته لوړيږي پيدا کړي.



س 4-76

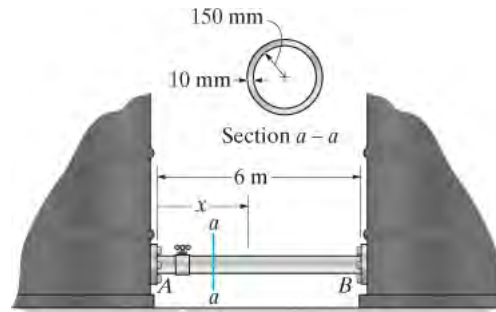
س 4-77 د لاندی میلی غوڅه برخ A ، اوږدوالي L د ارتجاعيت ماجولس E او تودوخي پراخوالي ضريب a لری. د تودوخي درجه په مساوی ډول (uniformly) په اوږدوالي کې له T_A په A کې تر T_B په B کې اوپه هره نقطه کې په اوږدوالي د بار $T = T_A + x(T_B - T_A) / L$ هغه قوه چې بار يي په سختو ديوالونو جوړه وي معلومه کړي. په ابتدا کې کله چې د تودوخي درجه حرارت T_A وي.



س 4-77

س 4-78 دا لاندی د فولادو A-36 پايپ کله چې د تودوخي درجه 30°C ده د دو د تیلو ټانکونو په منځ کې جوت ځای په ځای شوي. کله چې تیل په پايپ کې جريان پيدا کړي د تودوخي درجه په

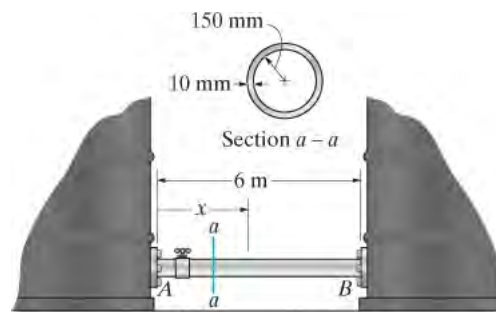
پای A او B کی 130°C او 80°C ته په ترتیب سره لورېږي. که چیرې د حرارت درجې ټیټوالي په پایپ کې خطي وي او په پایپ کې پیدا کړي. فرض کړي چې هر ټانک په A او B کې کلکې اتکا وي لري.



س 4-78

س 4-79. دا لاندې د فولادو A-36 پایپ کله چې د تودوخې درجه 30°C ده د دو تیلو ټانکونو تر منځ جوت ځای په ځای شوي. کله چې تیل په پایپ کې جریان پیدا کړي د تودوخې درجه په پای A او B کې 130°C او 80°C ته په ترتیب سره لورېږي. که چیرې د حرارت درجې ټیټوالي په پایپ کې خطي وي او په پایپ کې پیدا کړي. فرض کړي چې د هر ټانک دیوالونه لکه فنر عمل کوي، چې هر یوه $k = 900 \text{ MN/m}$ سختوالی لري.

س 4-80*. دا لاندې د فولادو A-36 پایپ کله چې د تودوخې درجه 30°C ده د دو تیلو ټانکونو په منځ کې جوت ځای په ځای شوي. کله چې تیل د پایپ له لارې تیرېږي، د دې سبب کېږي چې د حرارت درجه په پایپ کې په لاندې ډول توپیر $T = (\frac{2}{3}x^2 - 20x + 120)^\circ\text{C}$ وکړي، چېرته چې x په مترو کې دی. نارمل سترس چې په پایپ کې رامینځته شوی مشخص کړئ. فرض کړئ هر ټانک په A او B کې کلکه اتکا لري.

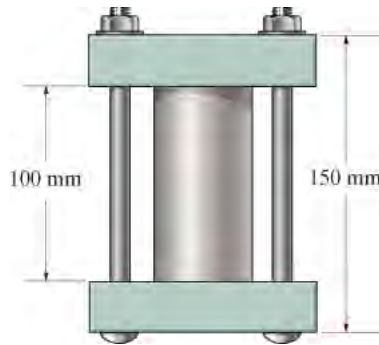


س 4-79/80

س 4-81. د 50 mm قطر سلنډر له میګنیشیم Am 1004-T61 څخه جوړ شوی دی او کله چې د تودوخې درجه $T_1 = 20^\circ\text{C}$ ده په کلمپ (clamp) کې ځای پر ځای شوي. د کلمپ د بار

وړلو دوه بولټونه چې هر یو 10 ملي میتر قطر لري او له 304 فولادو جوړ شوی، او دوی سلنډر ټینګ په یوه قوت سره چې د محاسبی وړه نه ده نیسي، په سلنډر کې قوه مشخص کوي کله چې د تودوخې درجه $T_2 = 130^\circ \text{C}$ ته لوړیږي.

س 4-82. د 50 mm قطر سلنډر له میګنیشیم Am 1004-T61 څخه جوړ شوی دی او کله چې د تودوخې درجه $T_1 = 15^\circ \text{C}$ ده په کلمپ (clamp) کې ځای پرځای شوي. د کلمپ د بار وړلو دوه بولټونه چې هر یو 10 ملي میتر قطر لري او له 304 فولادو جوړ شوی، دوی سلنډر ټینګ په یوه قوت سره چې د محاسبی وړه نه دی نیسي. د تودوخې درجه مشخصوي چې په میګنیشیم یا فولاد کې اوسط نارمل سترس په لومړی ځل 12 MPa ته ورسېږي.

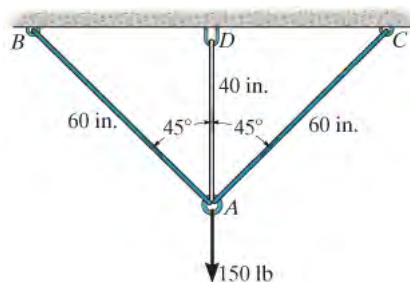


س 4-81/82

س 4-83. دوه سیمان AB او AC له فولادو جوړ شوی، او دریم سیم AD له مسو جوړ دي.

مخ کې لدی چې یوه بهرنی قوه 150 lb پلې شی د سیم AB او AC اوږدوالي 60 انچه او د سیم AD اوږدوالي 40 in انچه دی. که د تودوخې درجه 80°F درجی زیاتوالي ومومي قوه په هر سیم کې چې دا بهرنی وزن یو وړلی شی پیدا کړي. هر سیم غوڅه برخه 0.0123 in^2 مربع انچه مساحت لري.

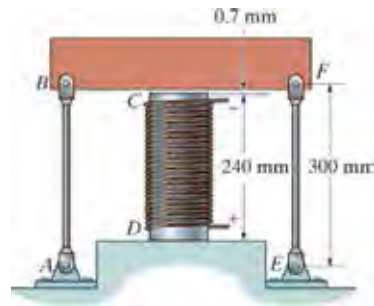
$$E_{cu} = 17(10^3) \text{ ksi}, a_{st} = 8(10^{-6})/^\circ \text{F} \text{ او د مسو } a_{cu} = 9.6(10^{-6}) / ^\circ \text{F}$$



س 4-83

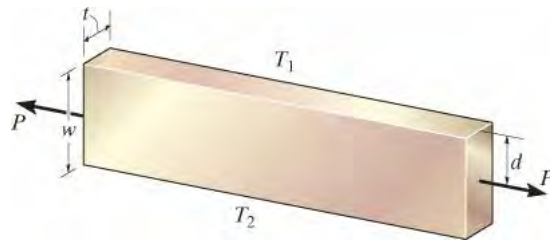
س 4-84* سلنډر CD له تودوخه درجی $T_1 = 30^\circ C$ څخه تر $T_2 = 180^\circ C$ د بریښنایی مقاومت په کارولو سره حرارت ورکړل شوي. په ټیټه درجه د تودوخی T_1 خلا د C او سختی میلی تر مینځ 0.7 mm ده. په راپونو AB او EF کی هغه قوه چی د تودوخی درجی د زیاتوالي له امله رامینځته کیږي په گوته کړئ. راپونه AB او EF له فولاد څخه جوړ شوي دي، او دهر یوه د غوڅی برخي 125 میلی متر مربع ساحه لري. CD د المونیم څخه جوړ شوی او د 375 میلی متر مربع غوڅی برخه ساحه لري. راکړل شوی $E_{al} = 70 \text{ GPa}$ ، $E_{st} = 200 \text{ GPa}$ ، او $a_{al} = 23(10^{-6})/^\circ C$

س 4-85 سلنډر CD له تودوخه درجی $T_1 = 30^\circ C$ څخه تر $T_2 = 180^\circ C$ د بریښنایی مقاومت په کارولو سره حرارت ورکړل شوي. همدارنگه، دوه پایي راپونه AB او EF له $T_1 = 30^\circ C$ تر $T_2 = 50^\circ C$ درجی حرارت ورکول کیږي. په ټیټه درجه د تودوخی T_1 خلا د C او سختی میلی تر مینځ 0.7 mm دی. قوه په راپونو AB او EF چی د تودوخی د زیاتوالي له امله رامینځته کیږي کی مشخص کړئ. راپونه AB او EF د فولادو څخه جوړ شوي، او دهر یوه غوڅه برخه 125 میلی متر مربع مساحت لري. CD د المونیم څخه جوړ شوی او د غوڅی برخي مساحت یي 375 میلی متر مربع لري. اټکل کړي $E_{al} = 70 \text{ GPa}$ ، $E_{st} = 200 \text{ GPa}$ ، او $a_{al} = 23(10^{-6})/^\circ C$ ، $a_{st} = 12(10^{-6})/^\circ C$



س 4-84/85

س 4-86 دا لاندی فلزي ټوټه چی ضخامت یي t او پلنوالی یي w دي، د تودوخی درجی د T_1 څخه تر T_2 ($T_1 < T_2$) پورې تابع دي. دا توپیر (gradient) د تودوخی درجی لامل شوی چی دموادو د ایلسټیستي ماجولس په پورتنی برخه کی له E_1 څخه یو کوچني مقدار E_2 ته په لاندی برخي کی په خطي ډول توپیر مومي. په نتیجه کی د هر عمودی موقعیت y لپاره، کله چی اندازه شي د پورتنی سطحی څخه د ایلسټیستي ماجولس $E = [(E_2 - E_1)/w]y + E_1$. هغه موقعیت d داسی معلوم کړي که چیري محوری ځواک P پلي شي بار په مساوي ډول په غوڅه برخه وغځول شی.



س 4-86

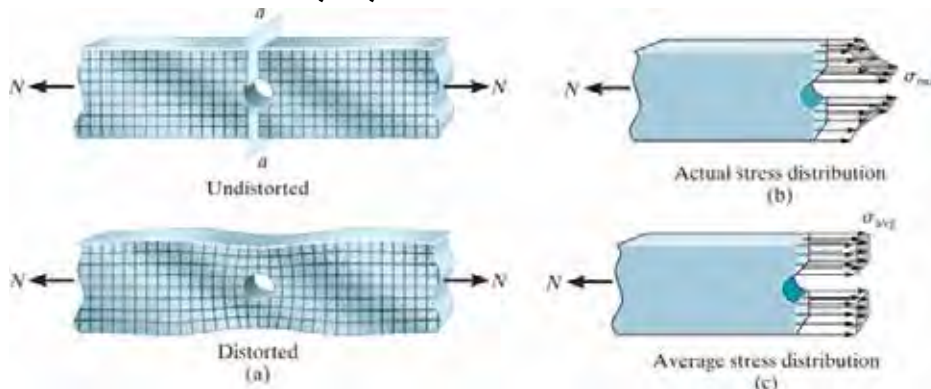
4.7 د ستریس غلظت (STRESS CONCENTRATIONS)



د دې آری تیغ دې چی غوڅ شوی کرښی لري د دې لپاره چې دواړه متحرک سترسونه کم کړي چی د هغی دننه وده کوي کله چې دا گردش کوي او د تو دوخی سترس چی له حرارت پیداش کوي. او د تودوخی سره وده کوي. توجو وکړي هغه کوچنی دایروی د یو ټکی په شکل چی په غوڅ کرښه کی لیدل کیري، د هر یو په پای کی کوچنی حلقی په پام کی ونیسی دا د سترس د غلظت د کمولو کار کوي.

په 4.1 برخه کی مو وویل کله چی یوه محوری قوه په یوه بار باندې پلي شي، دا قوه په هغه ټکی چی پلي کیري په شاوخوا کی یی یو پیچلي ویشل شوی ستریس رامینځته کوي. په هر صورت، د پیچلي سترس ویش نه یوازې په نقطه کی چی متمرکز لود عمل کړی رامنځته کیري بلکی کیدی شي په نورو برخو کی چی غوڅه برخه بدلون ولري هم راپورته کیري. د مثال په توگه، بار چی په انځور 4-20a کی بنودل شوی په پام کی ونیسی کوم چی یو ی محوری قوی N پری عمل کړي دی. دلته د هغه افقی او عمودی کرښی چی پخوا لدی چی قوه پری پلي شي اوس دسوروي شاوخوا د بار په مرکز کی په غیر منظم شکل انعطاف کوي. په بار کی اعظمی نارمل سترس په برخه a-a کی پینیري، ځکه چی غوڅه برخه د بار پدی ځای کی تر ټولو کوچنی ساحه لري. که د موادو چلند خطي ایلیستیک وی، د سترس ویش په دی برخه کی د ریاضیاتی تحلیل په کارولو سره ټاکل کیدی شي کله چی د ایلیستی تیوري څخه کار واخیستل شي، یا په تجربوي توگه نارمل سترین په دی برخه a-a کی اندازه شی بیا د هوک قانون په کارولو سره سترس محاسبه کیدی شي $\sigma = E\epsilon$ پرته له دې چی کومه طریقه په پام کی ونیول شي، د سترس ویش عمومی بڼه به د هغه په څیر وي

لکه چی په انځور 4-20b کی بنودل شوي. که پرځای ددی د بار په یوه برخه کی د غوڅی برخه کی کمښت ولري، لکه څنگه چی په انځور 4-20 a کی بنودل شوی، بیا تر ټولو کوچنی غوڅی برخي ساحه د a-a په برخه کی ده او د ستریس ویش به لکه چی په 4-21b شکل کی بنودل شوی، عمل وکړ.



انځور 4-20

په دی دواړو حالتو کی د قواوو توازن اړین بولی چی مقدار د قواوو محصله چی د سترس σ ویش په برخه کی رامنځ ته شوی باید مساوی په N وي. یا په بل عبارت

$$N = \int_A \sigma dA \quad (4-5)$$

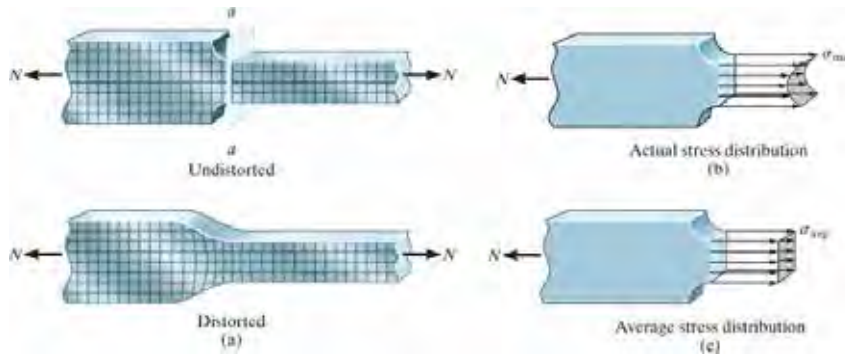


دا انتیگرال په گرافیک ډول د سترس- ویشلو ډایگرام لاندې ټول حجم څرگندوي او دا په انځور 4-20b او 4-21b کې بنودل شوي. سربیره پردې، نتیجه اخیستونکی محصله N باید د دې هر حجم د ثقل له مرکز له لارې عمل وکړي.

د انجینرۍ په عادی کارونو کې، د اصلي سترس ویش د انځور 4-20b او انځور 4-21b اړتیا وړ ندی چی مشخص شي. پرځای یې، د ډیزاین هدف لپاره، یوازې په دې برخو کې اعظمي سترس باید وپیژندل شي. مشخص اعظمي نارمل ارزښتونه د سترس د مختلفو ابعادو لپاره ټاکل شوي، او پایلې په گرافیکي ډول د سترس غلظت فکتور K په نامه په انځورونو 4-23 او 4-24 راپور شوي. تعریف د فکتور K عبارت دی په نسبت د اعظمي سترس په اوسط نارمل سترس په غوڅه برخه د یو تناسب په توگه عمل کوي یعنی

$$K = \frac{\sigma_{\max}}{\sigma_{\text{avg}}} \quad (4-6)$$

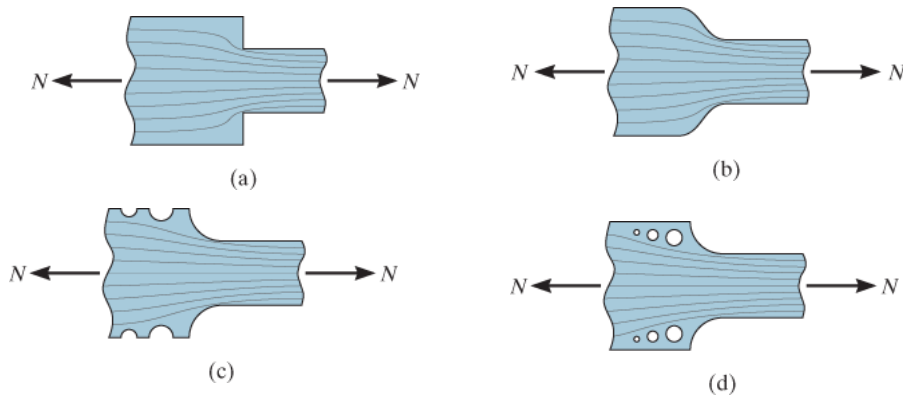
یو ځلی چی د K ارزښت له گرافه پیدا شو، او اوسط نارمل سترس پدی معادله $S_{\text{avg}} = N/A$ معلوم شو کله چی A کوچنی غوڅه برخه مساحت دی، انځور 4-20c او 4-21c، بیا اعظمي نارمل سترس په غوڅه برخه کی عبارت کیږی په $S_{\text{avg}} = K(N/A)$



انځور 4-21

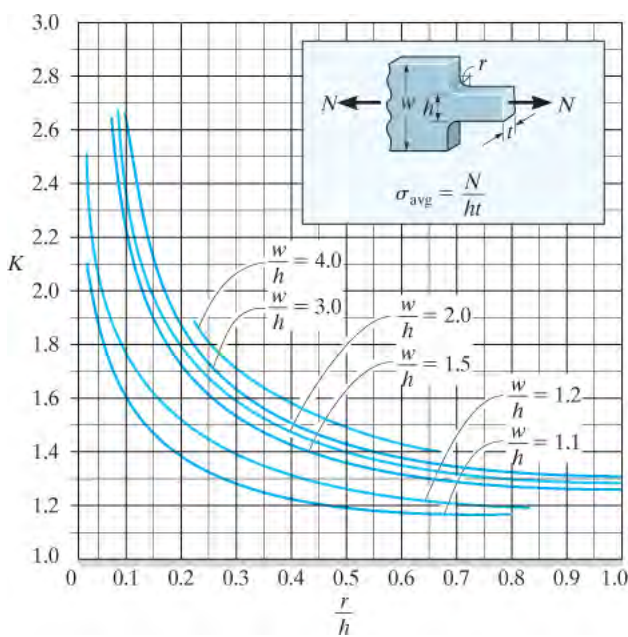
په انځور 4-23 کې لیدل کیږي کله چې شعاع r ، کم شي د سترس غلظت زیاتېږي. د مثال په توګه، که یو بار یو تیز کونج ولري، انځور 4-22a، دلته $r = 0$ ، په دې توګه د سترس غلظت فکتور به څو ځله ډیر شي په بل عبارت، اعظمي نارمل سترس په کوچني غوڅه برخه کې به د اوسط نارمل سترس څخه له دريو څخه ډیر وي. مناسب ډیزاین کولی شي دا د ګردي څنډې په معرفي کولو سره کم کړي، انځور 4-22b . او نور کمښت هم د کوچنیو سوریو په واسطه رامینځته کیدی شي انځور 4-22c او 4-22d .

په دې ټولو ډیزاینونو کې د موادو سختوالي د کونجونو په شاوخوا کې کم شوي، تر څو دواړه سترین او سترس په مساوي ډول په ټول بار کې خپور شي .

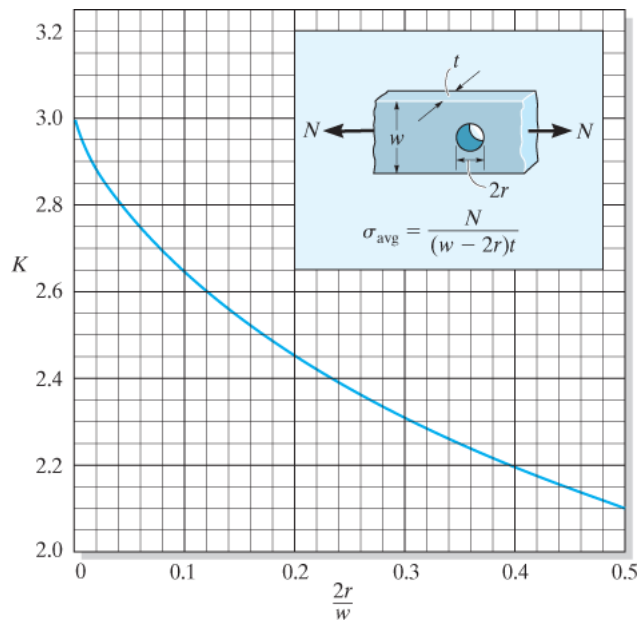


انځور 4-22

په یاد ولری چې د سترس غلظت فکتورونه چی په انځور 4-23 او 4-24 کې ورکړل شوي انگیرنه دا وه چی د جامد و (static) بارو په پلی کیدو پر بنسټ داسی ټاکل شوي وه، چې په موادو کې سترس له متناسب حد (proportional limit) څخه زیات نه وي . که مواد پیرماتیدونکی (brittle) وي، د متناسب حد کیدای شي د فریکچر سترس په حد کی وي، او د دې موادو ماتیدل به د سترس غلظت په ټکی کی (S_{max}) پیل شي . په اصل کې په دې نقطه کی چی سترس اعظمی شی درز پیل کیږي، او د لوړ ستر غلظت به د درز په څوکه کی وده ومومي. دا لامل د درز د خپریدو کیږي په غوڅه برخه کی او په پایله کی ناڅاپه ماتیدل را منځ ته کیږي. په دې دلیل، د غړو ډیزاین د ماتیدونکیو موادو لپاره د سترس غلظت فکتورونو کارول مهم دي. له بلي خوا، که مواد نرم وي او د سټیټیک بار سره مخ وي، پیری وختونه د غلظت فکتورونو کارولو ته اړتیا نلري ځکه هر ډول سترس چې له متناسب حد څخه ډیر وي د درز جوړیدو لامل نشي کیدلی. پرځای یې، لکه څنگه چې به په راتلونکی برخه کې وښودل شي، مواد د بیلد (yield) کوی اود سترین سختیدو له امله ذخیره شوی توان لري .



4-23 انځور



4-24 انځور

IMPORTANTNT POINTS

- کله چی د یو غړي غوڅه برخه په نا څاپی ډول بدلون ومومي د سترس غلظت په هغه برخو کی منځ ته راځی. د غلظت زیاتوالی د بدلون سره تړاو لری.
- د ډیزاین یا تحلیل لپاره یوازې دا اړین دی چی اعظمی سترس په کوچنی غوڅه برخه کی معلوم کړی . او دا کیدی شی چی د سترس غلظت فکتورونو K چی د آزموینو له لاری معلوم شوي کار واخیستل شي. دا فکتور د غړی په جیومتری پوری اړه لري.
- په عادی چلندونو کی د نرمو موادو د ډیزاین او تحلیل لپاره کله چی سټیټیک بار پلی شوی وی د سترس غلظت فکتور کارول اړین نه دی. اما که مواد ماتیدونکی وی یا د سټریا (fatigue) پر له پسې بارونو پری عمل وکړی بیا د سترس د غلظت فکتور کارول ضروری دی.



دا فولادی پایپ د کشش له امله په کوچني غوڅه برخه کی چی د سوروی په حصه کی ده ماته منځ ته راغله. د مواد بیلد کیدل په ماته برخه کی د لیدو وړ ده.

4.8* محوری غیر ایلستیکی بی ځایه کیدل (INELASTIC AXIAL DEFORMATION)

تر دې دمه پورې مور یوازې هغه بارونه په پام کې نیولي وو چې د موادو چلند ایلستیکی و. ځینی وختونه، یو غړی ممکن داسې ډیزاین شي چې د بهرنی بار له امله مواد یې بیلد وکړي او په دایمي توگه د شکل بدلون ورته پیدا شي. دا ډول غړي اکثراً د خورا نرم فلز څخه لکه انیلد (annealed) تیبټ کاربن فولاد چیرته چی د سترس – سترین ډیاگرام یې 3-6 انځور ته ورته دی، او د لږ بیلد کیدو په حالت سره کیدای شي یو ماډل شي لکه څنگه چې په انځور 4-25b کې ښودل شوي. هغه

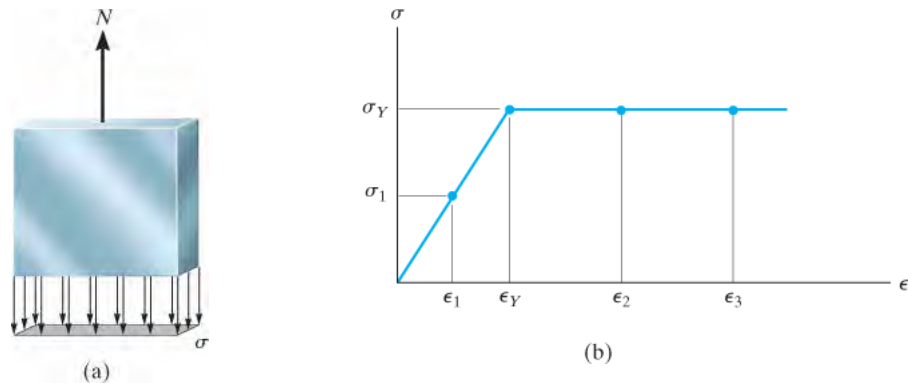
مواد چې دا چلند څرگندوي هغه ته **ایلستیک په بشپړه توګه پلاستیک یا ایلستوپلاستیک** (elastoplastic) ویل کیږي.

د فزیکي روښانه کولو لپاره چې دا ډول مواد څنګه چلند کوي، هغه بار په پام کې ونیسئ چې په انځور 4-25a کوم چې محوري بار N ورباندې پلي شوي. که بار د ایلستیک سترس سبب شي

$$N = \int \sigma_1 dA = \sigma_1 A$$

بیا د توازن اړتیا ده چې $S = S_1$ باید په بار کې رامینځته شي،

دا سترس د دې لامل کیږي چې بار e_1 سترین وویښی او دا د 4-25b انځور په ستریس – سترین ډایګرام کې ښودل شوي. که N اوس دومره زیات شوی وي چې دا د موادو د بیلد لامل شي، بیا دې بار ته N_p **پلاستیک** (plastic) ویل کیږي، ځکه چې دا د هغه اعظمي بار استازیتوب کوي چې ایلستیک پلاستیک (elastoplastic) مواد کولای شي ملاتړ یې وکړي. د دې قضیې لپاره، سترینونه به ساري ندي تعریف شوي. پرځای یې، په سمدستي توګه S_Y ترلاسه کیږي، بار به بیلد سترین e_Y ویني دا په انځور 4-25b کې لیدل کیږي. هغه بار بیلد کیدو ته دوام ورکوي (یا اوږد یږي) او سترین e_2 ، بیا e_3 ، او نورو ته دوام کوي. زموږ د موادو "موډل" په بشپړ ډول د پلاستیکي موادو چلند څرګندوي، دا اوږدوالی تمه کیږي تر نامعلوم وخته دوام وکړي. په هر صورت، مواد به وروسته له څه نور بیلد کیدو څخه سترین سخت کیدل پیل کړي، نو دا اضافي سترین به ودریږي او په دې توګه بار ته اجازه ورکوي چې د اضافي بار ملاتړ وکړي.



انځور 4-25

د دې بحث د پراخولو لپاره، اوس د بار قضیه چې بار سوری لري په پام کې نیسو او دا په انځور 4-26a کې ښودل شوي. کله چې N پلي شي، د سوري په څنډه کې د $a-a$ په برخه موادو کې د فشار غلظت واقع کیږي. دلته سترس به $S_{max} = S_1$ اعظمي ارزښت ته ورسیري او اړوند سترین به یې e_1 وي دا په انځور 4-26b کې ښودل شوي.

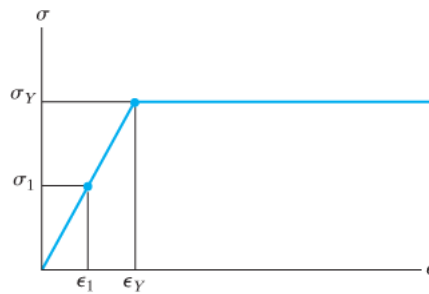
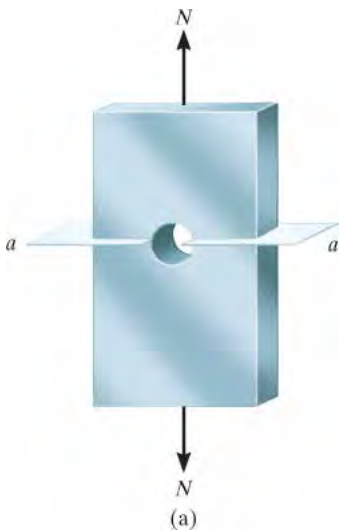
سترسونه او اړوند سترینونه په نورو نقطو د غوڅی برخو کی څنگه چی د سترس ویش شکل په انځور 4-26c کی بنودل شوی کوچنی به وی. د توازن له پاره بیا اړتیا ده چی $N = \int \sigma dA$ ، کوم چی په جیومیتریک ډول مساوی په د ویش شوی ستریس په "حجم" دی .

که بار نور هم N' ته لوړ شي، نو $s_{max} = s_Y$ ، نو بیا مواد به د سوري څخه بهر ته بیلد پیل کړي، تر هغه پورې چی د توازن حالت $N' = \int \sigma dA$ برقرار شي او دا په انځور 4-26d کی بنودل شوي .

لکه څنگه چی بنودل شوي دا نوی د ویشلشوی ستریس د جیومیتریک له پلوه ډیر "حجم" لري چی په انځور 4-26c کی بنودل شوي. د بار نور زیاتوالی په پای کی د موادو ټوله غوڅه برخه بیلد کوی، انځور 4-26e وگوري. کله چی دا پینښ شي باردا عظمی بار ورلو حد ته رسیدلی او تر دی زیات بار نشي وړلی. اوس دی ته د **پلاستیک بار** N_p ویل کیږی چی خورا زیات دی نسبت هغه بار ته چی په 4-26(d) انځور کی بنودل شوی.

$$N_p = \int_A \sigma_Y dA = \sigma_Y A$$

دلته A د بار دغوڅی برخی ساحه د $a-a$ په برخه کی ده.



(b)



(c)



(d)



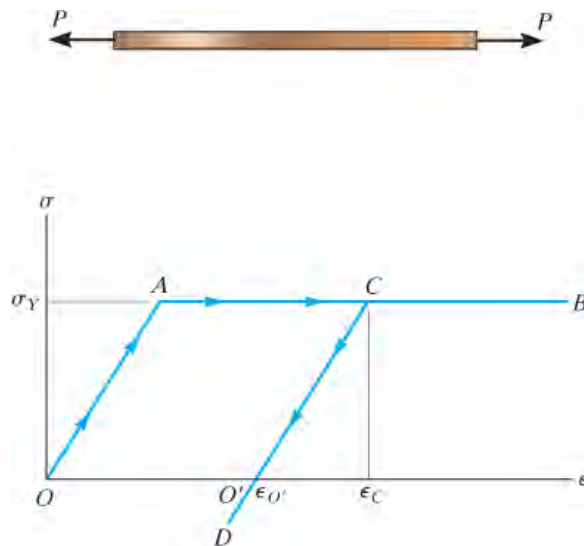
(e)

انځور 4-26

4.9* پاتي شوي سترس (RESIDUAL STRESS)

يو پريزماټيک غري چي د اليستوپلاستيک موادو څخه جوړ شوی په پام کې ونيسئ ، د سترس او سترين ډياگرام يي په 27-4 انځور کې بنودل شوی. که محوري بار په موادو کې سترس σ_Y او ورته سترين ϵ_0 جوړ کړي، بيا کله چې بار لري شي، مواد به په الاستيکي صورت سره حرکت وکړي او د يو څه سترين د بيرته تر لاس کولو د پاره به د CD کرښه تعقيب کوي. بيرته تگ (recovery) ټکی O' ، يعنی صفر سترس ته هغه وخت به ممکنه وي که چيرې غري ستاتيکي معلوم وي، او کله چې بهرنی بار ليري شي ریکشنونه صفر کيږي. په دې شرايطو کې غري به دايمي بدلون وکړي او په غري کې به دايمي سيټ (set) يا سترين ϵ_0 پاتي شي.

که چيرې غري ستاتيکي نا معلوم وي، ليري کول يا مينځه وړل د بهرنی بار به د دې لامل شي چې د اتکاو ریکشنونه به ارتجايي بيرته تگ د CD کرښې په مسير عکسالعمل وښيي. ځکه چې دا قواوی به غري له بشپړ بيرته تگ لاری څخه منع کړي، او په غري کې به پاتي سترسونه (*residual stresses*) جوړ کړي. د دې ډول سوالونو د حل کولو لپاره ، بشپړه توگه د بارولو او بيا د بار لری کولو دوره په پام کې نيول کيږي، سوپر پوزيشن (superposition)، د مثبت بار (لود کول) پر منفي بار (د لود ليري کول) په غري باندې گڼل کيدی شي. د O څخه تر C پوری بار کول، پلاستيکي سترس ویش جوړه وي ، پداسې حال کې چې ليري کول د بار د CD کرښې سره ايلستيک ویش د سترس جوړه وي. د سوپر پوزيشن په اساس دا بارونه بايد يو بل سره کنسل کړي، اما د سترس ویش، يو بل له منځه نه وړي يا د سترس ویش به لغوه نشي، لدی کبله سترس په غري کې پاتي کيږي. مثالونه 4.14 او 4.15 په عددي توگه به دا حالت روښانه کړي.



انځور 4-27

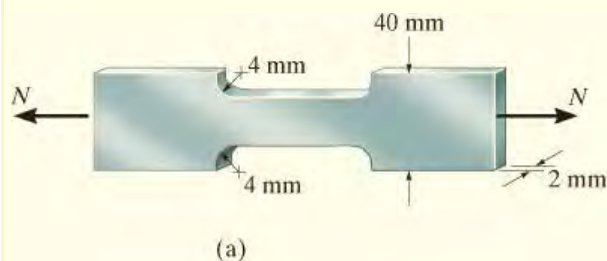
مثالونه

مثال 4.13

په دی لاندی انځور 4-28a کې یو بار یا میله له فولادو څخه جوړ شوی، چې دلته په بشپړ ډول ایلسټیک پوره پلستیک فرض شوی، او $s_Y = 250 \text{ Mpa}$. وټاکي (a) اعظمي ارزښت د هغه پلي شوي بار N چې په فولادو کې لامل د بیلد نشی. (b) د N اعظمي ارزښت چې بار یې ملاتړ کولی شي. د سترس ویش په مهمه برخه د بار کې د هر حالت لپاره سکچ کړي.

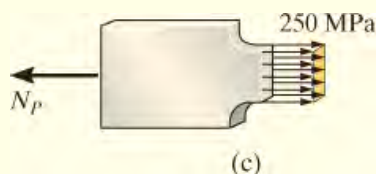
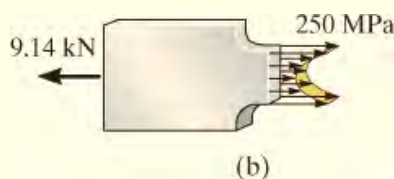
حل (SOLUTION)

برخه (a). کله چې مواد ارتجاعي چلند ولري مور باید د سترس له غلظت فکتور چې په انځور 4-23 کې ښودل شوی کار واخلو. دلته



$$\frac{r}{h} = \frac{4 \text{ mm}}{(40 \text{ mm} - 8 \text{ mm})} = 0.125$$

$$\frac{w}{h} = \frac{40 \text{ mm}}{(40 \text{ mm} - 8 \text{ mm})} = 1.25$$



له انځور پیدا کوو $K \sim 1.75$. اعظمی بار چې بیلد په موادو کې منځ ته را نه وړي هغه وخت واقع کیږي چې $s_{\max} = s_Y$. اوسط نارمل سترس عبارت دی په $s_{\text{avg}} = N/A$ د 4-6 معادلی نه داسی لیکلی شو:

انځور 4-28

$$\sigma_{\max} = K\sigma_{\text{avg}}; \quad \sigma_Y = K\left(\frac{N_Y}{A}\right)$$

$$250(10^6) \text{ Pa} = 1.75 \left[\frac{N_Y}{(0.002 \text{ m})(0.032 \text{ m})} \right]$$

$$N_Y = 9.14 \text{ kN}$$

Ans.

د میلی د پار بار کله چی له کوچني غوڅی برخی کار اخستل شوی پیدا شو. د ستریس ویش په انځور 4-28b کی بنودل شوي. د توازن لپاره، هغه حجم چی په داخل د ستریس د ویش دایگرام کی بنودل شوی باید مساوی په 9.14 kN وي.

برخه (b). اعظمی لوډ په بار باندی هغه وخت رایی چی په کوچنی برخه د غوڅی کی ټول مواد بیله وکړی. کله چی د N ارزښت پلستیک لوډ N_p ته لوړ شي دا د سترس ویش له ایلستیک حالت نه چی په انځور 4-28b کی بنودل شوی د پلستیک حالت ته لکه چی په 4-28c انځور کی بنودل شوی بدلوي او مور لیکلی شو.

$$\sigma_Y = \frac{N_p}{A}$$

$$250(10^6) \text{ Pa} = \frac{N_p}{(0.002 \text{ m})(0.032 \text{ m})}$$

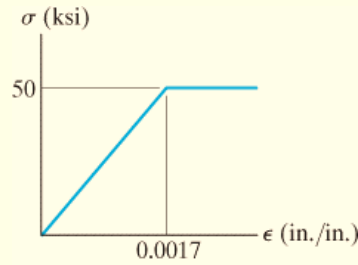
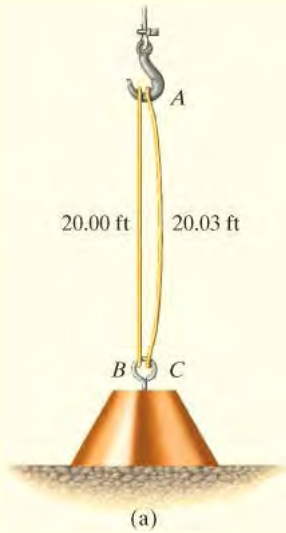
$$N_p = 16.0 \text{ kN}$$

Ans.

دلته N_p مساوی په حجم داخل د سترس ویش دی ، چی په دی برخه کی $N_p = s_Y A$

مثال 4.14

دوه فولادي کیبلونه د 3 کیپ وزن پورته کولو لپاره کارول کیری، انځور 4-29a. د کیبل AB اوږدوالي له غزیدو مخ کی 20.00 فوټه دي ، او کیبل AC اوږدوالي مخ کی له غزیدو 20.03 فوټه دي . که دهر یوه کیبل دغوڅی برخی ساحه 0.05 انچ مربع وي، او فولاد لکه څنگه چی بنودل شوي ایلستیک-په بشپړ ډول - پلاستیک و گنل شي او د $s - e$ گراف یی په انځور 4-29b کی بنودل شوی. په هر یو کیبل کی قوه او غزیدل یی معلوم کړي.

حل (SOLUTION)

(b)
انخور 4-29



کله چی وزن پورته شي قوه (یا سترس) په هر کیبل کی تراو لری د سترین سره چی په هر کیبل کی دی.

دلته درې امکانات شتون لري: سترین په دواړو کې ایلسټیک دي، سترین په کیبل AB کی پلاستیکی حد لري پداسې حال کې چې سترین په کیبل AC کی ایلسټیک دي، یا سترین په دواړه کیبلونو کی په پلاستیکی حد کی شوي. مور به فرض کړئ چې AC ایلسټیک پاتې کيږي او AB په پلاستیکی توگه سترس لري.

د خوړند شوي وزن آزاد دیاگرام څیړنه، انخور 4-29c، په گوته کوي چې سوال ستاتیکی نا معلوم دی. د توازن مساوات په دی لاندی ډول دی

$$+\uparrow \Sigma F_y = 0; \quad T_{AB} + T_{AC} - 3 \text{ kip} = 0 \quad (1)$$

په کیبل AB کی پلاستیکی سترین هغه وخت جوړ شوي کله چی هغه د اعظمی بار ملا تر وکړي

$$T_{AB} = \sigma_Y A_{AB} = 50 \text{ ksi} (0.05 \text{ in}^2) = 2.50 \text{ kip} \quad \text{Ans.}$$

له معادله 1 داسی پیدا کوو

$$T_{AC} = 0.500 \text{ kip} \quad \text{Ans.}$$

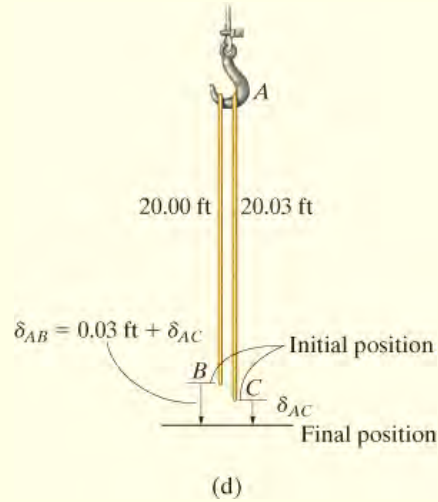
څنگه مو چي فرض کړي وه کيبل AC ایلستیک پاتی کيږي ، سترس پدی کيبل کی

$$s_{AC} = 0.500 \text{ kip}/0.05 \text{ in}^2 = 10 \text{ ksi} < 50 \text{ ksi}$$

او ایلستیک سترین له تناسب پیدا کوو انځور 4-29b

$$\frac{\epsilon_{AC}}{10 \text{ ksi}} = \frac{0.0017}{50 \text{ ksi}}$$

$$\epsilon_{AC} = 0.000340$$



انځور 4-29 (تکرار)

اوردوالي د کيبل AC عبارت دي په

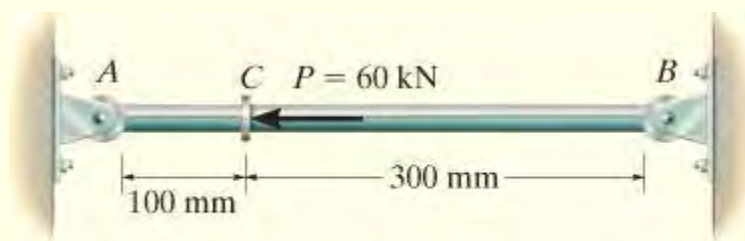
$$\delta_{AC} = (0.000340)(20.03 \text{ ft}) = 0.00681 \text{ ft} \quad \text{Ans.}$$

او له انځور 4-29d اوردوالي د AB داسی دی

$$\delta_{AB} = 0.03 \text{ ft} + 0.00681 \text{ ft} = 0.0368 \text{ ft} \quad \text{Ans.}$$

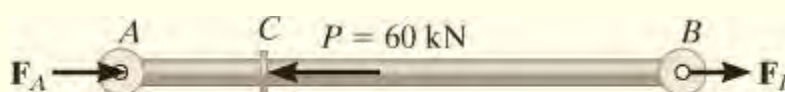
مثال 4.15

په انځور 4-30a کې یوه میله یا راډ بنودل شوي. دا راډ 5 mm میلی متر شعاع لری او له پوره ایلستیکی - پلستیکی موادو جوړه شوي. $E = 70 \text{ GPa}$, $s_Y = 420 \text{ MPa}$. که یوه قوه $P = 60 \text{ kN}$ ورباندې پلي شي او بیا ورځینی لیری شي، پاتې شوی ستریسونه په راډ کې معلوم کړي.



(a)

حل (SOLUTION)



(b)

انځور 4-29

د راډ آزاد ډایگرام په انځور 4-30b کې بنودل شوي. کله چې بهرنی قوه پلي شي دري امکانات کیدی شي چې پیدا شي. دواړه AC او CB ایلستیکی وی، AC به پلستیکی او CB به ایلستیکی، او یا دواړه AC او CB به پلستیکی وی.*

ایلستیک تحلیل لکه هغه چې په برخه 4.4 کې ورباندې بحث وشو $F_A = 45 \text{ kN}$ او $F_B = 15 \text{ kN}$ په اتکا ووکی حاصل شي. دا لاندی ستریسونه په لاس راځي

$$\sigma_{AC} = \frac{45 \text{ kN}}{\pi(0.005 \text{ m})^2} = 573 \text{ MPa (compression)} > \sigma_Y = 420 \text{ MPa}$$

$$\sigma_{CB} = \frac{15 \text{ kN}}{\pi(0.005 \text{ m})^2} = 191 \text{ MPa (tension)}$$

څرنګه چې په AC برخه کې به مواد بیلد وکړي ، مور به د AC حصه فرض کړو چې په پلاستيکي حالت بدلېږي، پداسې حال کې چې CB ایلستيکي پاتې کېږي.
د دې حالت لپاره، په AC کې ترټولو ممکنه لوی ځواک رامینځته شوی

$$(F_A)_Y = \sigma_Y A = 420(10^3) \text{ kN/m}^2 [\pi(0.005 \text{ m})^2] = 33.0 \text{ kN}$$

د راډ توازن چې په انځور 4-30b کې ښودل شوي لیکلي شو

$$F_B = 60 \text{ kN} - 33.0 \text{ kN} = 27.0 \text{ kN}$$

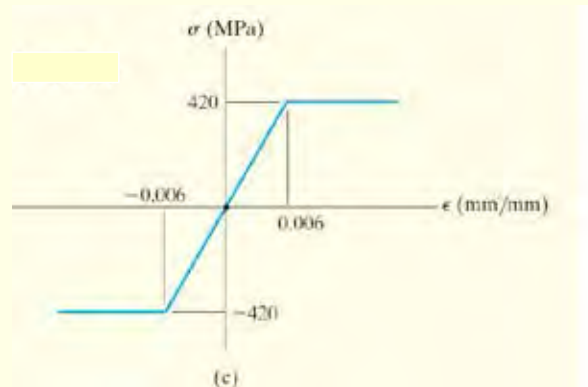
سترس په هره برخه د راډ کې عبارت دی په

$$\sigma_{AC} = \sigma_Y = 420 \text{ MPa (compression)}$$

$$\sigma_{CB} = \frac{27.0 \text{ kN}}{\pi(0.005 \text{ m})^2} = 344 \text{ MPa (tension)} < 420 \text{ MPa (OK)}$$

*د AC څخه دمخه د CB پلاستيکي کېدو احتمال نشته ځکه کله چې نقطه C حرکت کوي، په AC کې ستړین (ځکه چې دا لنډ دی) به تل د CB ستړین څخه لوی وي .

پاتې شوی ستړس (Residual Stress). ددی لپاره چې پاتې شوی ستړس پیدا کړو دا ضرور ده چې ستړین په هره برخه کې معلوم کړو. لږینه چې غړی CB ایلستيکي حالت لري، لیکلي شو



$$\delta_C = \frac{F_B L_{CB}}{AE} = \frac{(27.0 \text{ kN})(0.300 \text{ m})}{\pi(0.005 \text{ m})^2 [70(10^6) \text{ kN/m}^2]} = 0.001474 \text{ m}$$

$$\epsilon_{CB} = \frac{\delta_C}{L_{CB}} = \frac{0.001474 \text{ m}}{0.300 \text{ m}} = +0.004913$$

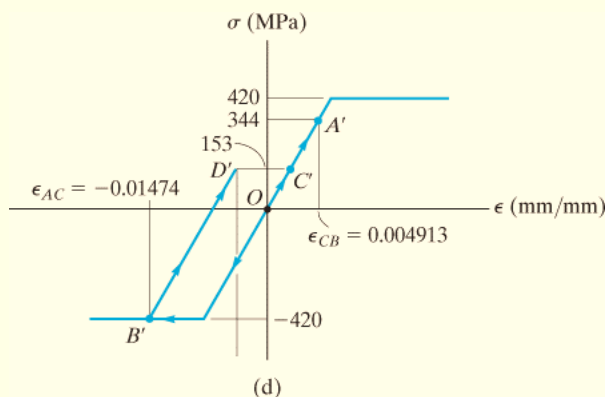
$$\epsilon_{AC} = \frac{\delta_C}{L_{AC}} = -\frac{0.001474 \text{ m}}{0.100 \text{ m}} = -0.01474$$

دلته بيلد سترين ، انځور 4-30c له مخی:

$$\epsilon_Y = \frac{\sigma_Y}{E} = \frac{420(10^6) \text{ N/m}^2}{70(10^9) \text{ N/m}^2} = 0.006$$

کله چی P پلی شي، د موادو د سترس - سترين چلند په برخه CB کی له تکی O حرکت کړي تکی A` ته انځور 4-30d، او د سترس-سترين چلند د موادو په برخه AC کی حرکت کړي له تکی O تکی B` ته.

کله چی بهرنی بار P په خلاف جهت پلی شي ، په بل عبارت دا بهرنی بار ليري شي، بیا ایلستیکی حالت منح ته راځي او دا خلاف جهت قوه $F_A = 45 \text{ kN}$ او $F_B = 25 \text{ kN}$ باید په هره برخه عمل وکړي. او دا قواوی دا ډول سترس جوړي ($s_{AC} = 573 \text{ Mpa}$ (tension) او $s_{CB} = 191 \text{ Mpa}$ (compression))، په نتیجه کی پاتی شوی سترس په هر غړی کی عبارت دی په



انځور 4-30 (تکرار)

$$(\sigma_{AC})_r = -420 \text{ MPa} + 573 \text{ MPa} = 153 \text{ MPa}$$

Ans.

$$(\sigma_{CB})_r = 344 \text{ MPa} - 191 \text{ MPa} = 153 \text{ MPa}$$

Ans.

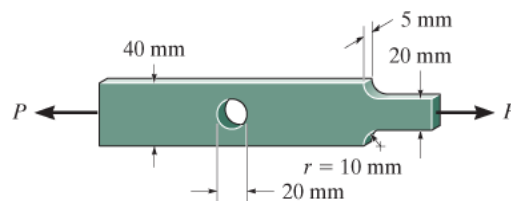
څنگه چې پوهیدلو دا پاتې شوی سترس یو شان دی په دواړو برخو کې. همدا رنگه سترس-ستریڼ چلند د برخې AC حرکت کړی له ټکي B څخه ټکي D ته، انځوز 4-30d، او سترس-ستریڼ چلند د برخې CB حرکت کړی له ټکي A څخه ټکي C ته کله چې بهرنی بار لیری شي.

سوالونه

PROBLEMS

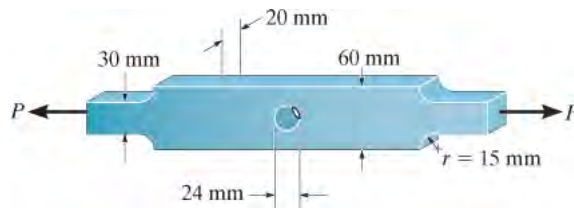
س 4-87. اعظمی نارمل سترس پدی لاندی بار کی کله چې بهرنی لود $P = 8 \text{ kN}$ ورباندی پلي شي معلوم کړي.

س 4-88. که چیری د منلو وړ نارمل سترس په دی لاندی بار کی $\sigma_{\text{allow}} = 120 \text{ Mpa}$ وی، اعظمی بهرنی بار P چی په بار پلی کیدی شي پیدا کړي.



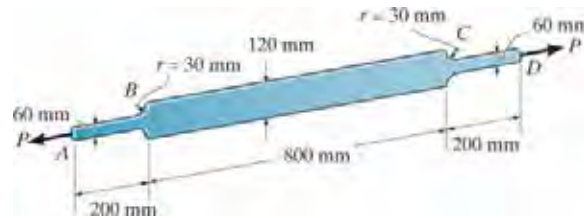
س 4-87/88

س 89-4. د فولادی بار ابعاد په دی لاندی انځور کی بنودل شوی. اعظمی نارمل قوه P داسی پیدا کری تر څو د منلو وړ کششی سترس له $s_{allow} = 150 \text{ MPa}$ څخه زیات نشی.



س 4-89

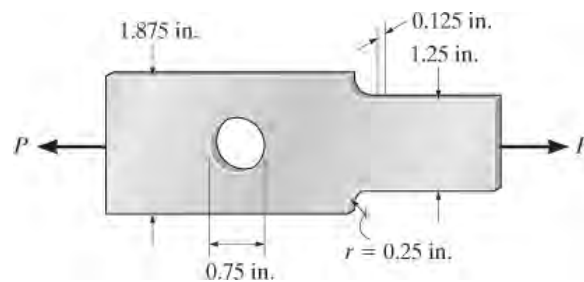
س 90-4. د فولادو A-36 تختی ضخامت 12 mm دی. که چیری $s_{allow} = 150 \text{ MPa}$ وی، اعظمی بهرنی لوډ چی کیدی شی په دی تخته عمل وکړی پیدا کړی. او هم اوریدیدل ددی تختی پیدا کړی، د فیلت (fillets) تاثیر د ارزش وړ ندی.



س 4-90

س 91-4. اعظمی محوری قوه P چی په دی لاندی بنودل شوی بار باندی پلی کیدی شی مشخص کړی. بار د فولادو څخه جوړ دي او د منلو وړ سترس $s_{allow} = 21 \text{ ksi}$ دی.

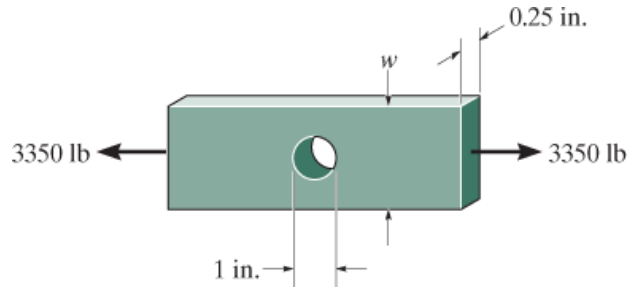
س 92-4. اعظمی نارمل سترس په دی لاندی بار کی پیدا کړی کله چی بهرنی کششی بار $P = 2 \text{ kips}$ ورباندی پلی شی.



س 4-91/92

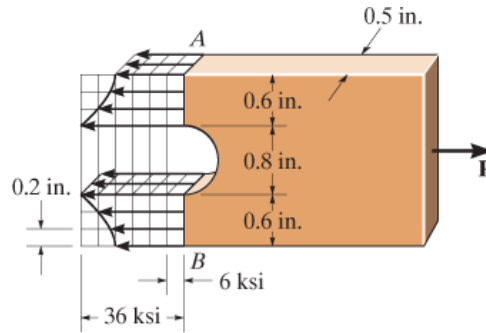
س 93-4. دا لاندی غړی د فولادو له تختی څخه جوړ شي او 0.25 انچه ضخامت لري. که د 1-in. سوري د تختی په مرکز کی جوړ شي، د تختی پنډ والي w وټاکئ ترڅو دا د یو محوری قوی

3350 پونډ ملاتړ وکولی شي. د منلو وړ سترس ددی تختی د پاره $s_{allow} = 22 \text{ ksi}$ دی



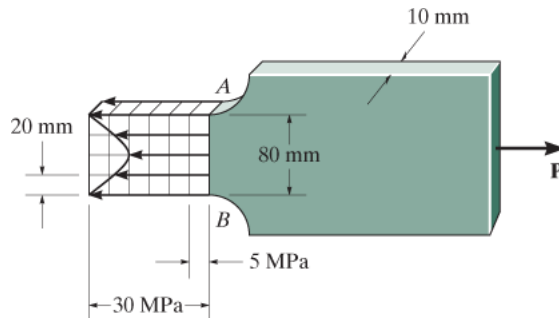
س 4-93

س 4-94. دسترس د محصلی ویش په سطحه AB په دی لاندی انځور کی بنودل شوي . له دی دسترس ویش اعظمی محوری بهرنی بار P چی کیدی شی په دی بار پلی شي معلوم کړي . او هم د دسترس د غلظت فکتور معلوم کړی.



س 4-94

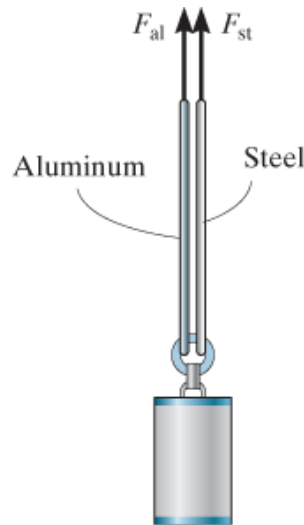
س 4-95. دسترس د محصلی ویش په سطحه AB په دی لاندی انځور کی بنودل شوي . له دی دسترس ویش اعظمی محوری بهرنی بار P چی کیدی شی په دی بار پلی شي معلوم کړي . او هم د دسترس د غلظت فکتور معلوم کړی.



س 4-95

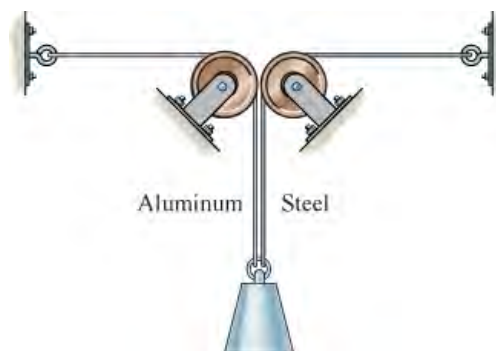
س 96* 4- یو وزن د فولادو او المونیم کیلونو څخه ځړول شوی ، هر یو ورته ابتدایي اوږدوالی 3 متر او د غوڅي برخي ساحه 4 میلی متر مربع ده. که مواد په بشپړ ډول ایلستیکي-پلستیکي فرض کړل شي او $(s_Y)_{st} = 120 \text{ MPa}$ او $(s_Y)_{al} = 70 \text{ MPa}$ وي، په هر کیبل کې قوه معلومه کړئ که وزن یې 600 N (a) او 720 N (b) وي، $E_{al} = 70 \text{ GPa}$ ،

$$E_{st} = 200 \text{ GPa}.$$



س 4-96

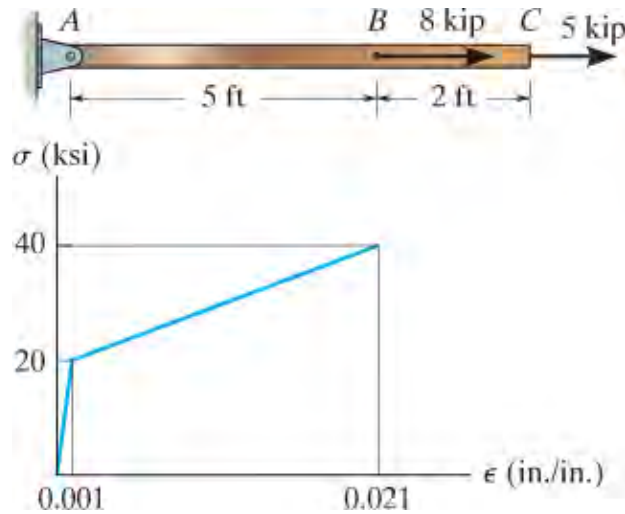
س 97 4- یو وزن د فولادو او المونیم کیلونو څخه ځړول شوی ، هر یو ورته ابتدایي اوږدوالی 3 متر او د غوڅي برخي ساحه 4 میلی متر مربع ده. که مواد په بشپړ ډول ایلستیکي-پلستیکي فرض کړل شي او $(s_Y)_{st} = 120 \text{ MPa}$ او $(s_Y)_{al} = 70 \text{ MPa}$ وي، په هر کیبل کې قوه معلومه کړئ که وزن یې 600 N (a) او 720 N (b) وي $E_{al} = 70 \text{ GPa}$ ، $E_{st} = 200 \text{ GPa}$.



س 4-98

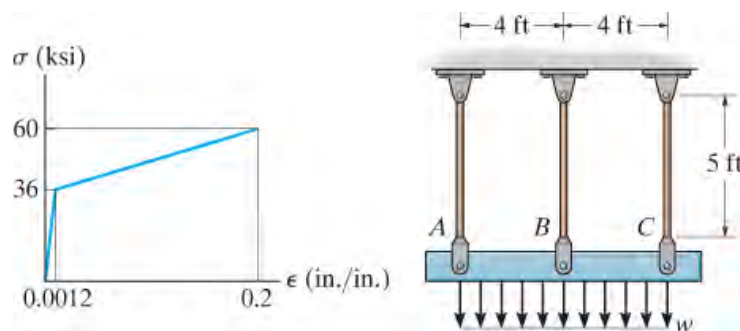
س 98 4- دا لاندی بنودل شوی بار 0.5 انچ مربع دغوڅي برخي مساحت لري او له داسي موادو څخه جوړ شوی چې په انځور کې بنودل شوی د سترس - سترين ډیاگرام لري، چې کیدی

شي په دوو سيده (مستقيمو) كرننو برخو سره اټكل شي. د بار اوږدوالی د پلي شوي بار له امله پيدا كړي .



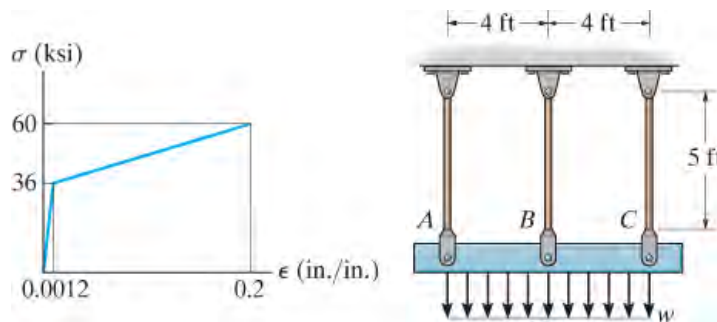
س 4-98

س 4-99. ويشل شوي بار په دی لاندی کلک بيم پلي شوي ، او دی بيم د دريو بارونو لخوا ملاتړ كيږي. د هر بار د 1.25 انچ مربع غوڅه برخه ساحه لري او داسی موادو څخه جوړ شوی چی د سترس – سترين ډاياگرام يي دوه سيده كرنبي برخي لري او په لاندی انځور کی بنودل شوي. که چيرې د $w = 25 \text{ kip/ft}$ بار په بيم پلي شي ، په هر بار کی سترس او عمودی بي ځايه كيدل د بيم وټاکي .



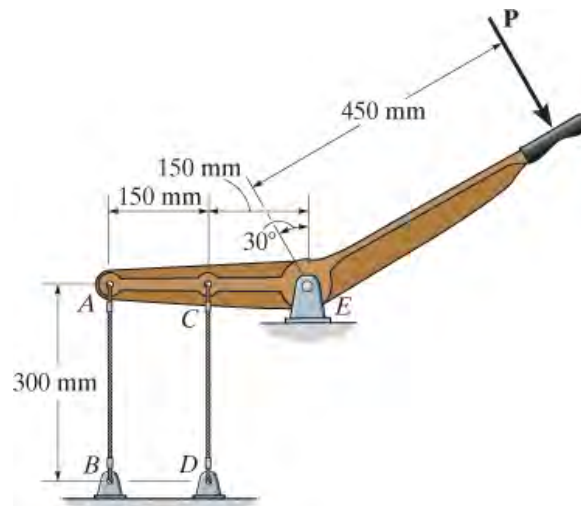
س 4-99

س 100-4. ویشل شوي بار په دی لاندی سخت بیم پلي شوي ، او دی بیم د دریو بارونو لخوا ملاتړ کيږي. هر بار د 0.75 انچ مربع دغوخی برخی مساحت لري او د داسی موادو څخه جوړ شوی چی د سترس – سترین ډایاگرام یې دوه سیده کرنې برخی لري او په لاندی انځور کی ښودل شوي. که چیرې ویشل شوی لود w په بیم باندی پلي شي معلوم کړي چی بیم ټیټی خواته 1.5 in انچه عمودی بی ځایه کړي .



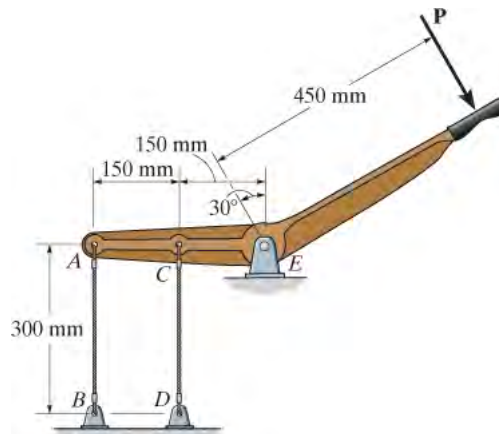
س 100-4

س 101-4. یو کلک لیور (lever) مت د دوو A-36 فولادی کیلونو لخوا ملاتړ کيږي چې د هر یوه قطر 4 میلی متره دی . که چیرې د $P = 3 \text{ kN}$ قوه په مت باندې تطبیق شي، قوه په دواړو کیلونو کی او د دوی اړونده اوږدوالي مشخص کړی. فولاد A-36 داسی پام وکړی چی له بشپړ ایلستیکي او پلستیکي موادو دی.



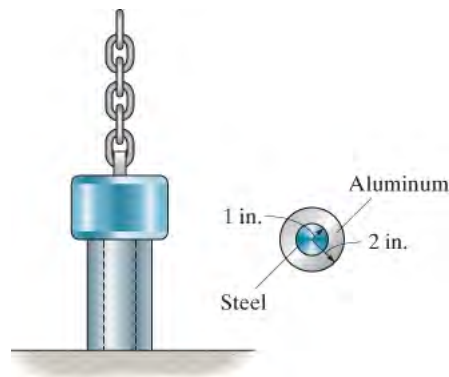
س 101-4

س 102-4. کلک لیور (lever) مت د دوو فولادی کیلونو لخوا ملاتړ کیري چې د هر یوه قطر 4 میلی متره دی. کوچنی بهرنی لوډ P داسی پیدا کړي چې (a) یوازي یو کیل بیلد وکړي (b) دواړه کیلونه بیلد وکړلایشی. فولاد A-36 داسی پام وکړئ چې له بشپړ ایلستیکی او پلستیکی موادو څخه دی.



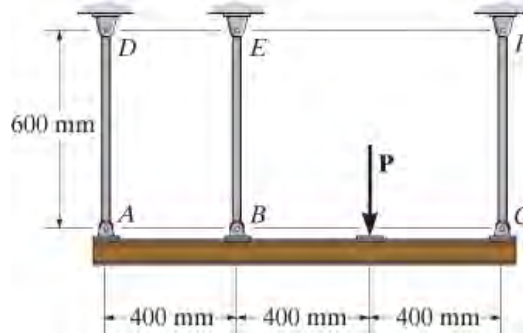
س 4-102

س 103-4. په دی لاندی انځور کی یو 300 کیپ وزن ورو ورو د پایي په سر ایښودل کیري. پایه له A-36 فولادو داخلی برخه او وتلی برخه یی المونیم 2014-T6 څخه جوړ شوی. که دواړه مواد په بشپړ ډول ایلستیکی او پلستیکی و گڼل شی، په دواړو موادو کی اوسط نارمل سترس وټاکئ.



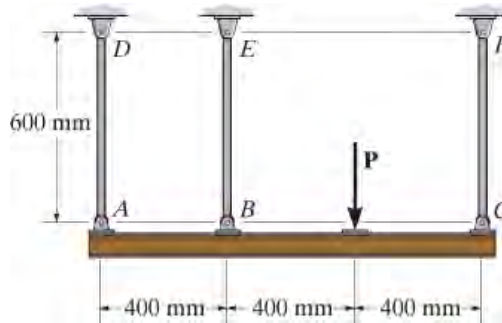
س 4-103

س *104-4. یو کلک بیم په دريو راډونو چی 25-mm میلی متر قطر لري او له A-36 فولادو څخه جوړ شوی د بیم ملاتړ کوي. که چیری یو بهرنی لوډ $P = 230\text{kN}$ په بیم پلی شی، په هر راډ کی قوه معلومه کړي. پام وکړي چې فولاد په بشپړ توگه ایلستیکی- پلستیکی حالت لری.



س 4-104

س 4-105. یو کلک بیم په دريو راډونو چي هر یو 25-mm میلی متره قطر لري او له A-36 فولادو جوړ شوی د بیم ملا تر کوي. که چیري یو بهرنی لود $P = 230\text{kN}$ په بیم پلی شي او بیا لیری شي پاتی شوی سترس په هر راډ کی معلوم کړي. پام وکړي چي فولاد په بشپړ توگه ایلسټیکي-پلسټیکي حالت لری.

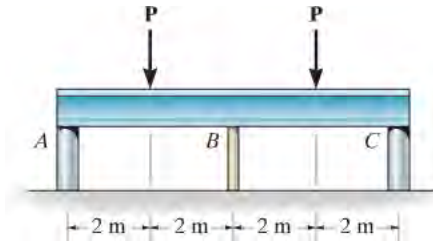


س 4-105

س 4-106. یو کلکی بیم په دريو پایو A ، B ، او C اتکا کړي او دري واړه مساوي اورډوالي لري. د پایو A او C قطر 75 میلی متر او د هغه موادو څخه جوړ شوي چې $E = 70\text{ GPa}$ او $s_Y = 20\text{ MPa}$ دی. د پایي B قطر 20 ملي میتر او د هغه موادو څخه جوړ شوی چې $E = 100\text{ GPa}$ او $s_Y = 590\text{ MPa}$ دی. کوچنی اندازه د P معلوم کړئ چې (a) یوازي د A او C پایي بیلد وکړي او (b) ټولی پایي بیلد وکړي.

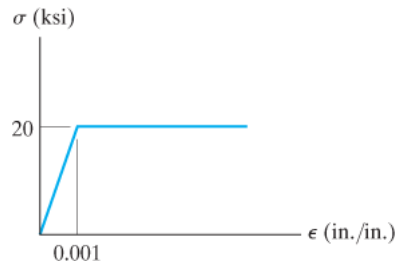
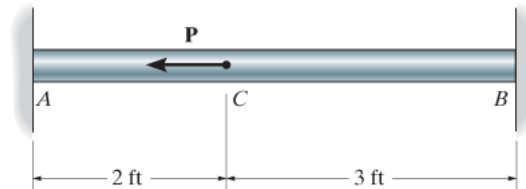
س 4-107. یو کلکی بیم په دريو پایو A ، B ، او C اتکا کړي. پایي A او C 60 ملي میتر قطر لري او د داسې موادو څخه جوړ شوی چې $E = 70\text{ GPa}$ او $s_Y = 20\text{ MPa}$ دی. د B

پایه د هغه موادو څخه جوړ شوی چې د $E = 100 \text{ GPa}$ او $s_Y = 590 \text{ MPa}$ دي. که $P = 130 \text{ kN}$ وي، د پایي B قطر وټاکئ ترڅو ټولې درې پایي بیلد وکړي.



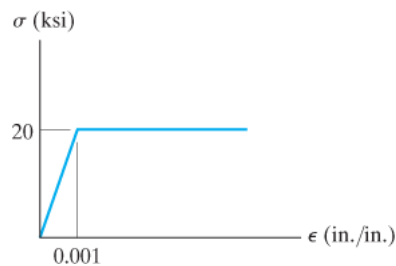
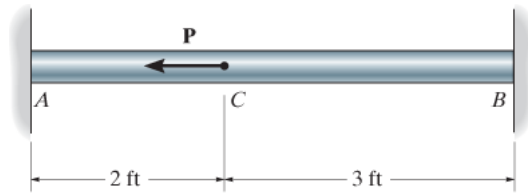
س 4-106/107

س * 4-108. یو بار چې 2 انچ قطر لری او دواړو سرو کی سخت تړل شوی، یو بهرنی محوری لود P ورباندې عمل کړي. که چیری مواد یې ایلستیکی - بېنېر پلستیکی وی او په انځور کی بنودل شوی سترس-ستریڼ ډایگرام لري، هغه کوچنی قوه P چې برخه CB کی بیلد جوړ کړي معلومه کړي. که چیری دا لود لیری شي هغه دایمی بیخایه کید نه په ټکی C کی معلومه کړي.



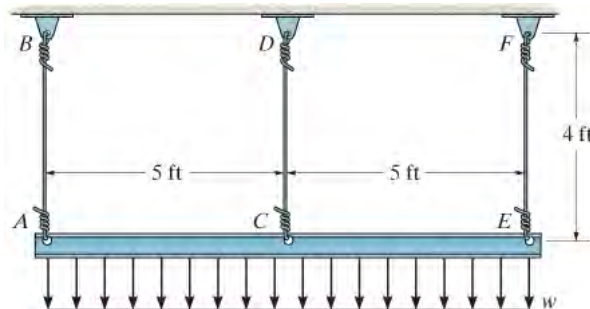
س 4-108

س 4-109. په سوال 4-108 کې د میلی اوږدوال معلوم کړی کله چې بهرنی بار او اتکاوی لیری شي.



س 4-109

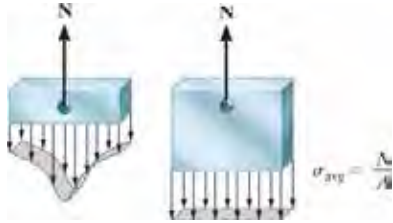
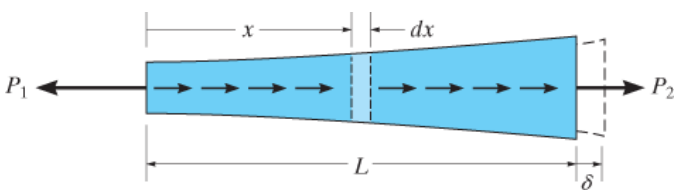
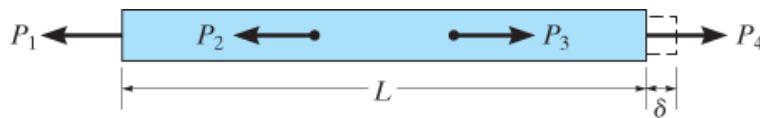
س 4-110. یو کلک بیم په دريو A-36 فولادی سیمانو چې څلور فته اوږدوالي لری ملا تر شوي. دغوڅی برخی مساحت د هر یو AB او EF سیمانو دپاره 0.015 مربع انچه دی، او د سیم CD دغوڅی برخی مساحت 0.006 مربع انچه دی. هغه لوی ویشل شوی بهرنی لود w مخکی لدی چې هر یو د دريواره سیمانو بیلد وکړي پیدا کړي. که چیر د سیمانو مواد ایلسټیکي- بشپړ توگه پلاسټیکي وی د بیم بیخایه کیدنه ټیټي خواته مخ کی لدی چې بیلد شروع شي پیدا کړي.



س 4-110

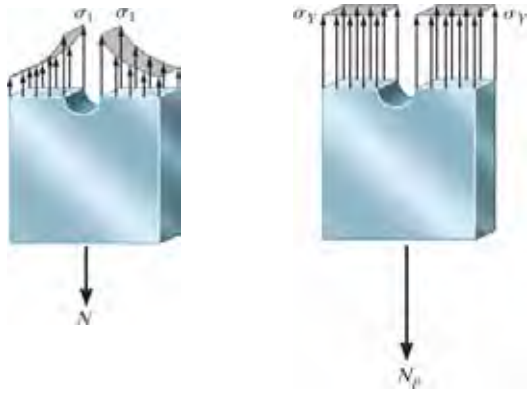
د فصل بیا کتنه

CHAPTER REVIEW

	<p>کله چې بهرنی بار د جسم په یوه نقطه کې پلي کيږي، دا په جسم کې د سترس ویش رامینځته کوي چې د بار د پلي کیدوو نقطې څخه لرې سیمو کې یوشان ډول ویشل جوړيږي. دې ته د سینټ وینانټ اصول ویل کيږي</p>
	<p>د یو محوری غړي د یوه پای نسبي بې ځایه کیدل د بهرنی بار له امله د غړی بل پای ته لږ لاندی معادلی ټاکل کیدلی شي</p> $\delta = \int_0^L \frac{N(x)dx}{A(x)E(x)}$
	<p>که چیرې یو لږ بهرنی بارونه په یو غړی عمل وکړي او AE هم په ټولو ټوټو کې ثابت وی بیا لیکلی شو</p> $\delta = \sum \frac{NL}{AE}$
	<p>د داخلی لود N او بیځایه کیدنی d لپاره اړینه ده چې د علامی کنوانسیون وکاره وو. کششی لود او غزیدنه به مثبت ارزش وی. او همدا راز مواد باید بیلد ونکړي اړین دی چې دوی خطی ایلسټیکي پاتی شي.</p>
	<p>سوپرپوزیشن د بارونو او بیځایه کیدنی په دی شرط د منلو وړ دی چې مواد خطی ایلسټیکي چلند ولري او د غړو په</p>

	<p>جیومتری کی کوم مهم بدلون د بار دپلی کیدو وروسته پېښ نه شی.</p>
--	---

	<p>د ستاتیکی ناخرگند غړی ریکشنونه کیدی شي د توازن د مساواتو او د بیخایه کیدنی د مطابقت شرایطو په مرسته په اتکا کی و ټاکل شي. دا بی خایه کیدل بیا د بارونو سره تړاو لري . د لوډ - بی خایه کیدو اړیکې په کارولو سره لکه $d = NL/AE$</p>
	<p>یو متجانس او ایسوتراپیک غړی د تودوخی درجی تغیر له امله بی په اوږدوالي کی بدلون راخی چی په لانندی ډول بنودل شوی.</p> $\delta = \alpha \Delta TL$
	<p>په غوڅه برخه کی سوري او تیز بدلونونه د سترس غلظت رامینځته کوی. د ډیزاین لپاره هغه غړی چی د ماتیدونکی موادو څخه جوړ شوی وي د سترس غلظت فکتور K له گراف څخه کوم چی له آزموینو څخه ټاکل شوی ترلاسه کړي. په غوڅه برخه کی داعظمی سترس حاصل کولو لپاره اړوندی چی دا ارزښت بیا ضرب د اوسط سترس شي.</p> $\sigma_{\max} = K \sigma_{\text{avg}}$

	<p>که یو غړی د نرم موادو څخه جوړ شوي وي او د بهرنی بار له امله مواد بیلد وکړي بیا د سترس ویش چې منځ ته راځی د سترین له ویش او د سترس-سترین ډایگرام او ترون څخه ټاکل کیدی شي. فرض کړئ چې مواد په بشپړ ډول پلاستيکي دي، بیلد لامل ددی کیری چی د غوڅی برخه د سوروی یا تیز بدلون څخه لیری د سترس ویش یونیفورم (یو ډول) شي.</p>
	<p>که یو غړي محدود شوی وی او بهرنی لوډ سبب د موادو د بیلد شي ، بیا که بهرنی بار لیری شي پدی حالت کی پاتی شوی ستریسونه په غړی کی منځ ته راځي.</p>

مفهومي پوښتني

CONCEPTUAL PROBLEMS

م 4-1. په لاندې عکسونو کې کانکریټ تداوونه (footings) A د کالم د مخه اچول شوی وو. وروسته د کانکریټ فرش واچول شو. تشریح کړئ چې ولې 45 درجې درزونه په هر کونج د مربع تداو کې رامنځ ته شوی او په دایروي تداو کې درخ نشته دی.



م 4-1

م 4-2. یو سرطاق د کړکې په پورتنی برخه کې د تقوي لپاره د خښتو قطار د سمښتی مسالی او فولادی سیخونو ایښودلو په مرسته د هغو خښتو د بار وړلو چې د سرطاق نه بری دی جوړ شوی. دا سرطاق په یوه ودانۍ کې په بهرنۍ دیوال کې د هوا کشی د کړکې په پورتنی برخه کې دي چې پدی لاندې انځور کې ښودل شوي. تشریح کړئ چې د خښتو د ماتیدو لامل لکه چی ښودل شوی، څه کیدی شي .



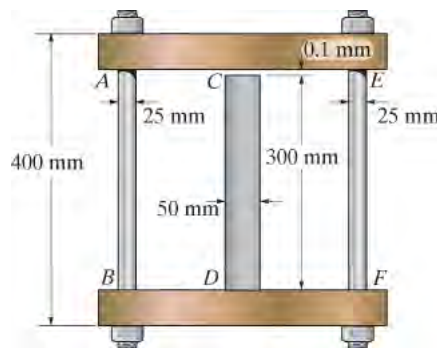
م 4-2

د بيا کتنی سوالونه

REVIEW PROBLEMS

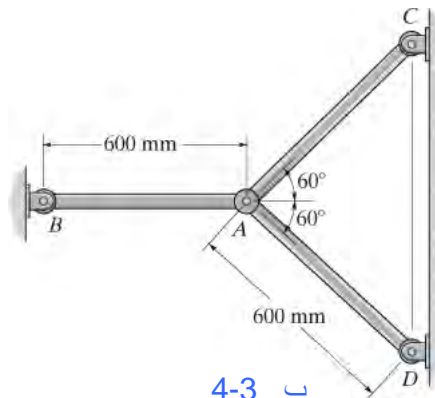
ب 4-1. دا لاندی اسمبلي د دوو A992 فولادی بولتونو AB او EF او د 6061-T6 المونیم CD څخه جوړ شوی دي. کله چې د تودوخې درجه 30 سانتي گراډه وي، د راډ او کلک غړي AE ترمنځ فاصله 0.1 میلی متر ده. په بولتونو او راډ کې رامینځته شوي نارمل سترس معلوم کړئ که چیرې تودوخه تر 130 درجو د سانتي گريد ته لوړه شي. فرض کړئ BF هم کلک غړی دی.

ب 4-2. دا لاندی اسمبلي د دوو A992 فولادی بولتونو AB او EF او د 6061-T6 المونیم راډ CD څخه جوړ شوی دي. کله چې د تودوخې درجه په 30 سانتي گراد کې وي، د راډ او کلک غړي AE ترمنځ فاصله 0.1 میلی متر ده. د اسمبلي لپاره ترتولو لوړه تودوخې درجه معلومه کړئ پرته له دې چې راډ او بولتونه بیلد وکړي. فرض کړئ BF هم کلک غړی دی.



ب 4-1/2

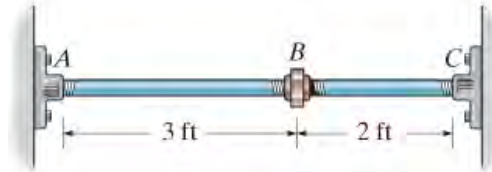
ب 4-3. په دی لاندی انځور کې هر یو راډ 25 ملی میتر قطر او 600 میلی متر اوږدوالی لري. که دوی د A992 فولادو څخه جوړ شوي وي، مشخص کړئ قوه په هر راډ کې کله چې د تودوخې درجه د 50 سانتي گراډه زیاتوالی ومومی.



ب 4-3

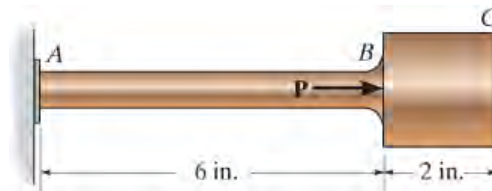
ب 4-4. د فولادو A992 دوه پایپونه چې د هر یو یې دغوخی برخې مساحت 0.32 انچ مربع ده، په B کې د یونین (union) په کارولو سره یوځای پیچل شوي. په اصل کې دا اسمبلی داسې تنظیم شوی ترڅو هیڅ قوه په پایپ کې وجود نلري. کله چې یونین ټینګ شي ترڅو د هغې پیچ رځي 0.15 انچ مخ په وړاندې دی، دوه بشپړه تاو وخورې، په پایپ کې اوسط نارمل سترس چې رامینځته شوی مشخص کړئ. دا فرض کړئ چې یونین او په A او C کې کپلنگ (couplings) کلک دي. د یونین اندازه د حساب وړ نه ده، له پامه غورځول کیدی شي.

یادونه: مخ په وړاندې تګ د پایپ کله چې یونین یوه دوره څرخ وخورې او لوډ ورباندې نه وی، لامل د 0.15 انچ لنډېدو کېږي.



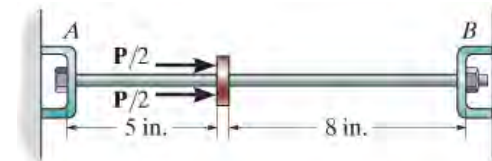
ب 4-4

ب 4-5. قوه P په لاندې راډ باندې پلې شوي. راډ له داسې موادو جوړ شوی چې ایلسټیک بشپړ پلیسټیک چلند لري. یو داسې گراف جوړ کړئ او وبنایاست چې په هره برخه AB او BC (عمودی محور) کې قوه څنگه توپیر مومي کله چې P (افقی محور) زیاتېږي. دا بنودل شوی بار په AB سیمه کې د 1 انچ مربع او په سیمه BC کې 4 انچ مربع غوڅه برخه لري. د موادو د بیلد سترس $s_y = 30 \text{ ksi}$ دی.



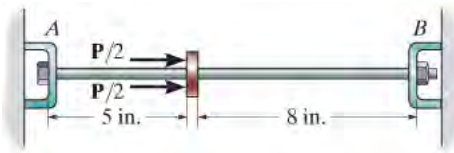
ب 4-5

ب 4-6. د 2014-T6 المونیم راډ 0.5 انچ قطر لري او په نرمې سره په کلکه اتکا A او B کې داسې وخت وصل شوی کله چې $T_1 = 70^\circ \text{ F}$. که د تودوخې درجه $T_2 = -10^\circ \text{ F}$ شي، او د P محوری قوه = 16 پونډ په کلکه غاړه (collar) باندې چې په انځور کې بنودل شوي تطبیق شي، ریکشنونه په کلکو اتکا A او B کې وټاکئ.



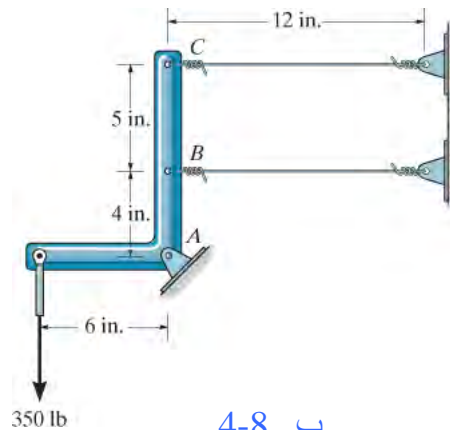
ب 4-6

ب 4-7. د 2014-T6 المونیم راد 0.5 انچ قطر لري او په نرمی سره په کلکو اتکاوو A او B کې هغه وخت وصل شوی دی، کله چې $T_1 = 70^\circ \text{F}$. هغه قوه P داسی پیدا کړي کله چې په غاړه (collar) عمل وکړي او د تودوخي درجه $T = 0^\circ \text{F}$ او ریکشن په B کې صفر وی.



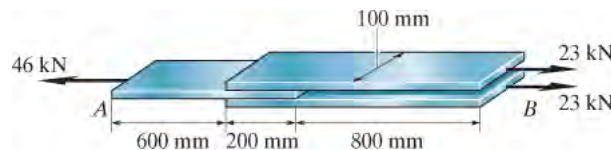
ب 4-7

ب 4-8*. په دی لاندی انځور کې یو کلک لینک بنودل شوي. دا کلک لینک په A کې په پن اتکا لری، او هم په دوو فولادی A-36 سیمونو چې هر یو یې 12 انچه اوږدوالی لري او د 0.0125 انچ مربع غوڅی برخه ساحه لری تړلي دی. په سیمانو کې رامینځته شوي قوه، کله چې په لینک یو بهرنی لوډ د lb 350 عمودی عمل وکړي، وټاکي.



ب 4-8

ب 4-9. دا لاندی جاینټ د دریو A992 فولادو تختو څخه جوړ شوی چې دوی په درز کې یو بل سره یوځای تړل (bonded) شوي. د پای A بې ځایه کیدل په نسبت د پای B کله چې محوري بهرنی لوډ ورباندی پلي شي مشخص کړئ. هر ه تخته 5 ملي میتره ضخامت لري.



ب 4-9

پنجم فصل

(CHAPTER 5)



(© Jill Fromer/Getty Images)

د خاوري برمی تاویدونکی سترس او د تاو زاویه د ماشین په تاویدونکی توان او همدارنگه د خاوري تماس مقاومت د برمی د شافت سره تړون لری.

تاویدنه

(TORSION)

د فصل موخي (CHAPTER OBJECTIVES)

په دې فصل کې به مور د تاویدونکې مؤمنت (Torsion) اغیزی په اوږده مستقیم غړی لکه شافت یا تیوب بحث وکړو. په پیل کې به مور هغه غړی په پام کې ونیسو چې گردې غوڅه برخه (مقطع) ولري. مور به وښیو چې څنگه د غړی دننه د سترس ویش اود تاویدو زاویه (angle of twist) پیدا کړو. ستاتیکلی نا معلوم تحلیلونه به د شافتونو او تیوبونو د پاره بحث شی او هم به په ځانگړی توگه هغه موضوعات چې غړی گردی غوڅه و نلری پکې شامل شی. په پا کې به د سترس غلظت او پاتې سترسونه چې د تویدونکې لوډ له امله رامینځته کیري ځانگړي پاملرنه وکړو.

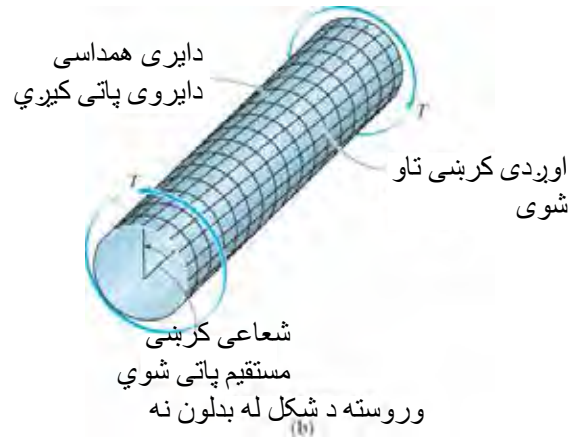
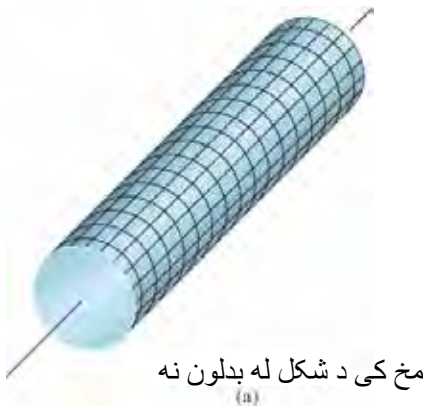
5.1 د تاویدو له امله د دایروي غوڅی شافت د شکل تغیر (TORSIONAL DEFORMATION OF A CIRCULAR SHAFT)

تورک (Torque) هغه تاویدونکي مؤمنت دی چې یو غړی په اوږده محور تاوه وی. د موټرو او ماشینو شافتونو په ډیزاین کې اړوند دی چې د تاو سټرسونه او تاویدو اندازه چې د تاویدو د بار له امله مینځته کیږي معلوم شي.

مور کولی شو په فزیکي توګه روښانه کړو کله چې تورک پلي کیږي څه پېښیږي. ددی لپاره یو شافت چې د ایروي غوڅه لری او له داسی موادو جوړ شوی وی چې په اسانی د څیږی تغیر کوی لکه ربر په پام کې نیسو. کله چې تاو ورباندی پلي شی هغه د ګرید کر بنی چې د شافت په اوږدوالی کې په نښه شوي وی، انځور 5-1a، په هیلکس (helix) چې په انځور 5-1b کې ښودل شوی تحریف کیږي، او دایري یې په مساوی زاویوسره قطع کړي. همدارنگه، ټولی غوڅی د شافت اواری پاتې شوي – په دی معنی چې دوی بلې خوا ته، بیرون یا داخل ته حرکت او تغیر د انځور نه کوي. د شعاعو کرښو لینونه مستقیم پاتې کیږي اود تاو له کبله ګرزی. کله چې د تاو زاویه کوچنی وي، بیا د شافت اوږدوالی او د هغی شعاع به په عملي توګه نه بدلیدونکي پاتې وي.

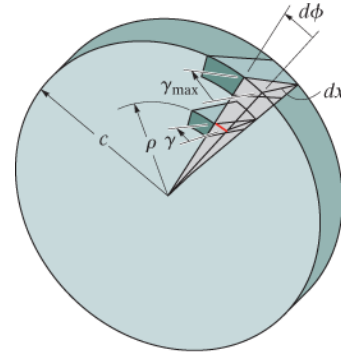
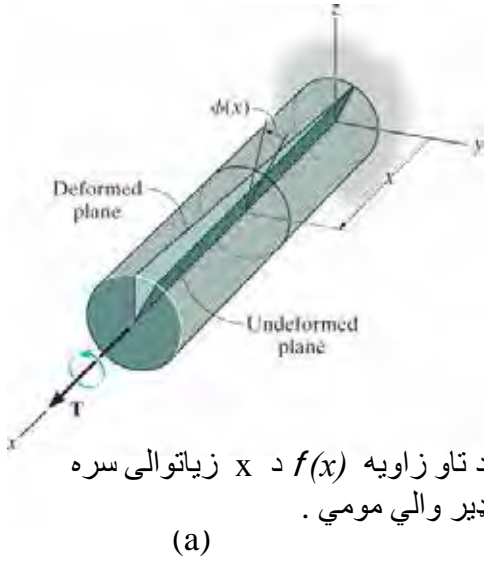
که شافت په یوه پای کې تړل شوی وي او په بل سر کې تورک ورباندی عمل وکړي، بیا په انځور 5-2a کې تیاره شنه سطحی تحریف او کور شکل نیسي. دلته شعاعی کرښه په غوڅه برخه کې چې په فاصله x له تړل شوی پای موقعیت لري په زاویه $f(x)$ څرخ خوري. دا زاویه په نامه د تاو زاویه (*angle twist*) یادېږي. دا د x په موقعیت پورې اړه لري او د شافت په اوږدو کې لکه څنګه چې ښودل شوي توپیر کوی.

د دی لپاره چې پوه شو، دا تحریف څنګه سترین په مواد و کی منځ ته راوړي، مور به یوه کوچنی ټوټه د عنصر جلا کړو. دا ټوټه د شافت له تړل شوی پای په فاصله د x موقعیت لري، انځور 5-2b وګوري. د شکل بدلون له امله، د عنصر مخکینی او شاته مخونه څرخ مومي - شاته مخ په اندازه د $f(x)$ او او مخکی مخ په اندازه د $f(x) + df$ څرخ خوري. د پایلي په توګه، په دی څرخونو کې توپیر، df ، د دی لامل کیږي چې عنصر د شیر سترین g سره مخ کیږي، (انځور 3-25b وګوری).



د رپر بار کله چی تورک ورباندی پلی شی د یومستطیل برخی د شکل بدلون لیدل کیري.

انځور 5-1



شیر سترین په یوه نقطه د غوڅي برخی کی په خطی ډول له g زیاتوالی مومي
($\gamma = (\rho/c)\gamma_{max}$)

(b)

انځور 5-2

دا زاویه (یا شیر سترین) کیدی چی د زاویه df سره ترون ولری که اورډوالی د سره قوس په انځور 5-2b کي ووینو داسی لیکلی شو

$$\rho d\phi = dx \gamma$$

$$\gamma = \rho \frac{d\phi}{dx} \quad (5-1)$$

څرنګه چې dx او df د ټولو ټوټو لپاره یو شان دي، نو df/dx د ټولی غوڅی برخی په اورډو کي ثابت دی، اود معادلی 5-1 په اساس اندازه د شیر سترین توپیر پیدا کوی یوازي د شعاع په فاصله r د شافت له محور څخه. څرنګه چې $df/dx = gr = g_{max}/c$ ، بیا

$$\gamma = \left(\frac{\rho}{c}\right) \gamma_{max} \quad (5-2)$$

په بل عبارت شیر سترین په شافت کی په خطي ډول تغیر مومی د شعاع په کرښه، له صفر نه په مرکز د محور تر اعظمی حد g_{max} په بیرونی سرحد کی، انځور 5-2b و وینی.

5.2 د تاویدنی فورمول (THE TORSION FORMULA)

کله چې یو بهرنی تاو (تورک) په شافت پلي شي، دا یو داخلي تورک د شافت دننه رامینځته کوي. په دې برخه ددی فصل کي، مور یوی معادلی ته پراختیا ورکوو چی هغه داخلي تورک، کوم چی د شافت په غوڅه برخه یي عمل کړي، د شیر سترس ویش سره څه ډول تراو لری.

که مواد خطي ایلسټیک چلند لرونکي وي، نو د هوک قانون تطبیق کیري، $t = Gg$ ،

یا $t_{max} = G g_{max}$ ، او پایله کي په شیر سترین کي یو خطي توپیر، لکه څنګه چی په مخکینی برخه کي یادونه وشوه، لامل کیري د اړونده شیر سترس خطي توپیر د هر شعاعی کرښی په اورډو کي. له دې امله، t به له صفر څخه د شافت په اورډه محور توپیر ولری تر اعظمي ارزښت، t_{max} ، په بهرنی سطحه کي، انځور 5-3. له همدې امله معادله 5-2، مور لیکلی شو

$$\tau = \left(\frac{\rho}{c}\right) \tau_{max} \quad (5-3)$$



شپير سترس په اوږدو د شعاعي کرښي
د غوڅي برخي خطي توپير لري

انځور 5-3

هره برخه د ساحی dA چی په فاصله r موقعیت لری یوه قوه $dF = t dA$ ، انځور 5-3 ، ورباندی عمل کوي. او دا قوه تورک جوړه وی چی عبارت دی په $dT = r (t dA)$. چی د ټولی غوڅي برخي لپاره په لاندی ډول کيږي:

$$T = \int_A \rho (\tau dA) = \int_A \rho \left(\frac{\rho}{c} \right) \tau_{\max} dA \quad (5-4)$$

دلته t_{\max}/c یو ثابت عدد دي پدی اساس لیکلی شو:

$$T = \frac{\tau_{\max}}{c} \int_A \rho^2 dA \quad (5-5)$$

دا انتیگرال استازیتوب د پولرانرشيايي مؤمنت (*polar moment of inertia*) د شافت دغوڅی برخي په اوږده محور کوي. په راتلونکی صفحه کی به د دی ارزښت معلوم کړو او سمبول یې J دي. په پایله کی پورتنی معادله په لنډه توگه داسی لیکلی شو:

$$\tau_{\max} = \frac{Tc}{J} \quad (5-6)$$

په دی معادله کی:

$$t_{max} = \text{اعظمی شیر سترس د شافت په بیرونی سطحه کی}$$

$T =$ د داخلی تورک محصله چی په غوڅه برخه عمل کوی. ارزښت یی د برخی په طریقه د مؤمنت توازن حالت نه د شافت په اوږده محور

$$J = \text{د غوڅی برخی د ساحی پولر انرشیایی مؤمنت}$$

$$c = \text{د شافت وتلی شعاع}$$

که چیری معادله 5-6 په معادله 5-3 کی ځای پر ځای شي شپیر سترس په فاصله د r د غوڅی برخی پیدا کیدی شی.

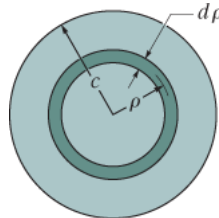


$$\tau = \frac{T\rho}{J}$$

(5-7)

شافت چی په مرکز ددی څرخ سره وصل دی تورک ورباندی پلی کیری، او اعظمی سترس چی رامینځته کوي باید د شافت لخوا مقاومت وشي ترڅو د ماتیدو مخه ونیول شي .

هر یو ددی دو معادلو په نامه دی **تورژن فورمول** یاده ول کیری. په یاد ولری چی شافت باید دایروی غوڅه برخه ولری او مواد یی متجانس او ایلستیک چلند ولری، ځکه چی معادله 5-3 د هوک قانون په اساس جوړه شوي.



انځور 5-4

قطبي انرشيايي مؤمنت (Polar Moment of Inertia)

که چیری شافت جامده دایروی غوڅه برخه ولری د انرشيايي پولر مؤمنت J پیدا کولو لپاره د غوڅی یوه حلقی ساحه په پام کی نیسو. د حلقی ضخامت یې dr او محیط یې $2\pi r$ او د حلقی مساحت $dA = 2\pi r dr$ دی، انځور 5-4، چی دا لاندی په لاس راځي.

$$J = \int_A \rho^2 dA = \int_0^c \rho^2 (2\pi \rho d\rho)$$

$$= 2\pi \int_0^c \rho^3 d\rho = 2\pi \left(\frac{1}{4} \rho^4 \right) \Big|_0^c$$

$$J = \frac{\pi}{2} c^4$$

(5-8)

Solid Section

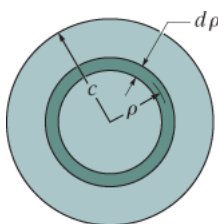
J همیشه مثبت دی. او واحد د اندازي یې mm^4 یا in^4 .

که چیری غوڅه برخه د شافت تیوب وی، داخلی شعاع c_i او وتلی شعاع c_o وی انځور 5-5. ددی حالت لپاره له 5-8 معادلی نه گټه اخلو چی اول پولر انرشيايي مؤمنت J د شافت چی شعاع یې c_o دی پیدا کوو، او لدی د هغه شافت J چی شعاع یې c_i وی تفریق کوو. پایله به داسی وی:

$$J = \frac{\pi}{2} (c_o^4 - c_i^4)$$

(5-9)

Tube



انځور 5-5



شیر سترس په اوردو د هری شعاعی کرښی
د غوڅی برخي سره خطی توپیر مومي

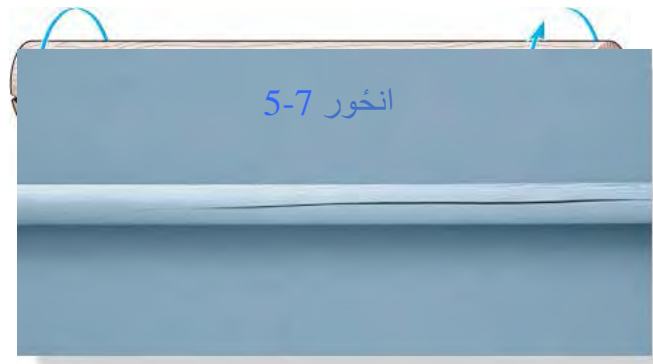
(b) انځور 5-6

د شیر سترس ویش (Shear Stress Distribution)

که د یوه شافت یا تیوب د غوڅی (مقطع) برخي له موادو یو برخه جلا شي، بیا د د شیر سترس متمیت له امله، مساوي شیر سترسونه باید د هغی په څلورو مخونو باندی هم عمل وکړي ، لکه څنگه چې په انځور 5-6a کی بنودل شوي. د پایلی په توگه، داخلي تورک T د شیر سترس خطی ویش د شعاع د کرښی په اوردو د غوڅی برخي په سطحه کی جوړه وی، او همدارنگه دا ډول شیر سترس ویش په محوری سطحه کی رامینځته کیږي، انځور 5-6b. دا په زړه پورې یادونه ده د شیر سترس محوری ویش له امله د لرگیو جوړ شوی شافتونه کله چې ډیر تورک سره مخ شي په محوری سطحه سره په دوو برخو جدا کیږي، انځور 5-7. دا ځکه چې لرگی یو ان ایسوتروپیک مواد دی، چې د شیر مقاومت موازی په فایبر د محوری کرښی په اوردو د هغه مقاومت نه چی د فایبر په عمودی جهت د غوڅی برخي په سطحه کی وی ډیر لږ دی.



پورته تیوبی ډرایو شافت د دی لاری د ډیر تورک سره مخ شوی چی په پایله کی د شکل بدلیدل د موادو د بیلد له امله رامنځته شوی. انجینران په قصدي ډول ډرایو شافتونه داسی ډیزاین کوي چی مات شي ، مخکی لدی چې د انجن کومه برخي ته زیان رامینځته شي .



مهم ټکي

(IMPORTANT POINTS)

- کله چې یو شافټ چې گردی غوڅه برخه (مقطع) لري اوکه تاویدونکی مؤمنت (تورک) ورباندی پلي شي، د غوڅی مخ اوار پاتي کيږي پداسې حال کې چې په مخکی شعاعی (radial) کرښي گززی. او دا د موادو دننه د شیبیر سترین د جوړیدو لامل کيږي چې د هر شعاعی کرښي سره په خطي ډول توپیر لري. پدی معنی چې د شافټ په محور کې صفر او اعظمي حد ته په بهرنی برخه کې رسیږی.
- د خطي ایلسټیک، متجانس موادو لپاره، د شافټ د هرې شعاعی کرښي په اوږدو سره شیبیر سترس هم په خطي توگه توپیر لري، په دی معنی چې په محور کې صفر او اعظمي حد په بهرنی برخه کې وی. دا اعظمي شیبیر سترس باید له متناسب حد (proportional limit) څخه ډیر نه وي.
- د شیبیر د متمیمیت خاصیت له امله، د خطی شیبیر سترس ویش د شافټ د مقطع دننه سطحه کې چې وی به ورته ډول په نږدې محوري سطحه ویشل کيږي.
- د تورژن فورمول دې اړتیا پر اساس چې په مقطع کې پایله لرونکی تورک مساوي دي په هغه تورک چې د شیبیر ویش د شافټ په اوږده محور جوړ کړي دی. دلته اړینه ده چې شافټ یا تیوب گردی غوڅه ولري او د متجانسو موادو څخه جوړ شوی وي کوم چې خطي ایلسټیک چلند لري.

د تحلیل کرنلاره

PROCEDURE FOR ANALYSIS

د تورژن فورمول دکارولو لپاره له د لاندی طریقې کار اخستل کیږی.

د اخلی تاویدونکی مؤمنت (Internal Torque)

- په هغه ټکی یا برخه کی چی شیبیر سترس باید وټاکل شی هلته شافت عمود په خپل محور غوڅ کړی د اړین وړ آزاد ډایگرام جوړاود توازن معادلو په مرسته داخلي تاویدونکی مؤمنت یا تورک تر لاسه کړی.

د غوڅی برخی خاصیتونه (Section Property)

- پولرانرشیای مؤمنت د مقطع و ټاکي. د جامد برخی شعاع c پولرانرشیایي مؤمنت J عبارت دی په $J = pc^4/2$ ، او د تیوب لپاره چی بیروني شعاع یې c_0 او داخلي شعاع c_i وی، پولرانرشیایي مؤمنت یې $J = p(c_0^4 - c_i^4)/2$ دی.

شیبیر سترس (Shear Stress)

- عرضانی (radial) فاصله r و بنایي ، دا فاصله له مرکز د مقطع تر هغه ټکی چی د سترس ټاکل غوښتل شوي ده. بیا د تورژن فورمول $t = Tr/J$ او یا که اعظمی شیبیر ټاکیدل هدف وی لدی معادلی $t_{max} = Tc/J$ کار واخلي. د ارقامو واحدو ته باید پام وکړي .

- شیبیر سترس چی په مقطع عمل کړي همیشه عمود په r وی. هغه قوه چی دا رامینځته کوي باید د شافت د محوری تورک سره مرسته وکړي او د داخلي تورک په څیر T چی په مقطع عمل کړی یو شان جهت ولري. یوځل چی دا سمت رامینځته شي ، هغه نقطه د برخی چی چیري t وټاکل شی جلا کیدی شي ، او د t جهت په پاتي دريو نږدې مخونو د توتی حجم باندي عمل کړی بنودل کیدی شي.

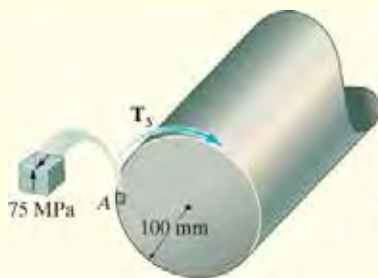
مثالونه

مثال 5.1

یوجامد شافت او یو تیوب چی د موادو منل شوی شیبر سترس یې 75 Mpa دی په دی لاندی انخوړ (5-8) کی بنودل شوی . اعظمی تورک وټاکی ترخو هغه د هر شافت په غوڅه برخه پلي شي. او سترس په یوه وړه ټوټه په ټکی A د جامد شافت او په ټکی B او C د تیوب و بنیایي.

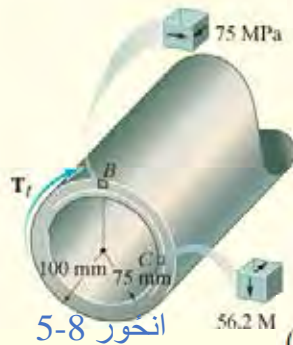
حل (SOLUTION)

د برخی خاصیتونه (Section Properties). پولر انرشیايي مؤمنت د جامد او تیوب شافتو پدی لاندی ډول محاسبه کیږي:



$$J_s = \frac{\pi}{2} c^4 = \frac{\pi}{2} (0.1 \text{ m})^4 = 0.1571(10^{-3}) \text{ m}^4$$

$$J_t = \frac{\pi}{2} (c_o^4 - c_i^4) = \frac{\pi}{2} [(0.1 \text{ m})^4 - (0.075 \text{ m})^4] = 0.1074(10^{-3}) \text{ m}^4$$



شیبر سترس (Shear Stress). اعظمی تورک په هره قضیه کی عبارت دی په

$$(\tau_{\max})_s = \frac{Tc}{J}$$

$$75(10^6) \text{ N/m}^2 = \frac{T_s(0.1 \text{ m})}{0.1571(10^{-3}) \text{ m}^4}$$

$$T_s = 118 \text{ kN} \cdot \text{m} \quad \text{Ans.}$$

$$(\tau_{\max})_t = \frac{Tc}{J}$$

$$75(10^6) \text{ N/m}^2 = \frac{T_t(0.1 \text{ m})}{0.1074(10^{-3}) \text{ m}^4}$$

$$T_t = 80.5 \text{ kN} \cdot \text{m} \quad \text{Ans.}$$

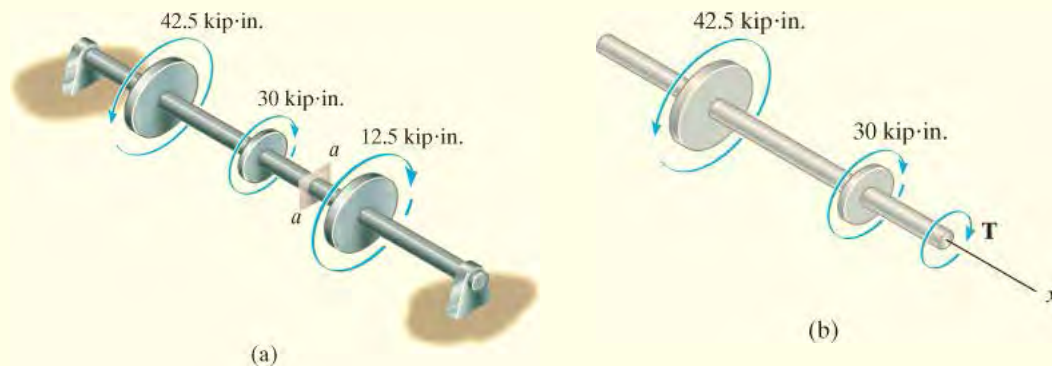
او هم شیر سترس په داخلی شعاع د تیوب عبارت دی په

$$(\tau_i)_t = \frac{80.5(10^3) \text{ N} \cdot \text{m} (0.075 \text{ m})}{0.1074(10^{-3}) \text{ m}^4} = 56.2 \text{ MPa}$$

ددی پایلی په انځور 5-8 کې په کوچنیو توتو بنودل شوي. پام وکړئ چې شیر سترس دتوتی په مخ سطحه (سیوري شوي) د تورک په جوړه ولو کی مرسته کوي. د پایلی په توگه، د شیر سترس برخی په نورو دریو مخونو باندې هم عمل کوي. د شافت یا تیوب په بهرنی سطحو کې هیڅ شیبیر سترس عمل نه کوي، او هم د تیوب په داخلی سطحه کې شیبیر سترس شتون نلری ځکه چې دا باید له سترس څخه آزاد وي.

مثال 5.2

یو شافت چې 1.5 in قطر لری په دوه بیرینگ اتکاو تری شوی دی. پدی شافت دری تورک ورباندی پلی شوي او دا په انځور 5-9a کی بنودل شوي. شیر سترس په ټکیو A او B چی په برخه a-a د شافت، انځور 5-9c، موقعیت لری وټاکي.



حل (SOLUTION)

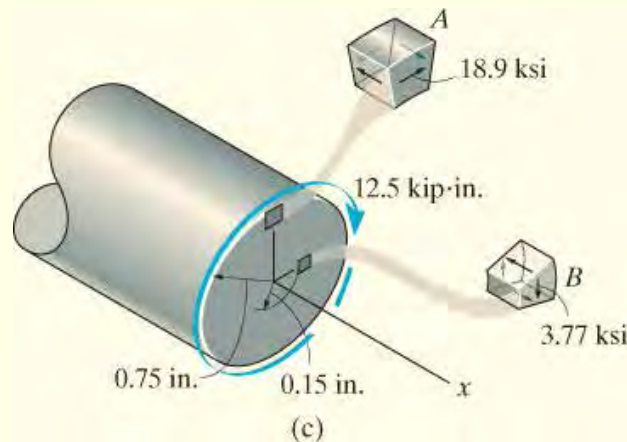
داخلي تورک (Internal Torque). د بیرینگ ریکشنونه د شافت تاویدو ته کوم مقاومت نه بڼه یي. پلی شوی تورکونه د مومنت توازن د شافت په محور سره جوړوی.

داخلي تورک په برخه a-a کې به د چپي خوا له آزاد ډايگرامه چي په انځور 5-9b کې ښودل شوي پيدا شي.

$$\Sigma M_x = 0; \quad 42.5 \text{ kip} \cdot \text{in.} - 30 \text{ kip} \cdot \text{in.} - T = 0 \quad T = 12.5 \text{ kip} \cdot \text{in.}$$

د برخي خاصيتونه (Section Property). پولرانر شيايي مؤمنت د شافت عبارت دی په:

$$J = \frac{\pi}{2} (0.75 \text{ in.})^4 = 0.497 \text{ in.}^4$$



انځور 5-9

شير سترس (Shear Stress). په ټکي A کې $r = c = 0.75 \text{ in}$

$$\tau_A = \frac{Tc}{J} = \frac{(12.5 \text{ kip} \cdot \text{in.})(0.75 \text{ in.})}{(0.497 \text{ in.}^4)} = 18.9 \text{ ksi} \quad \text{Ans.}$$

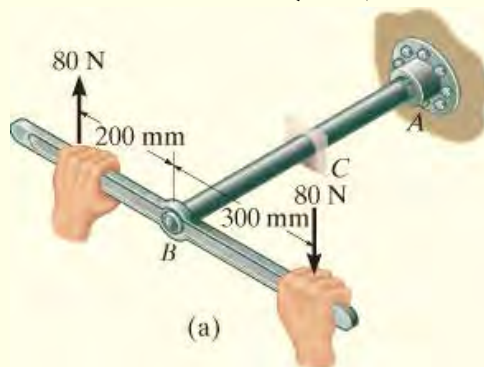
همداسي په ټکي B کې $r = 0.15 \text{ in.}$ او مور لرو:

$$\tau_B = \frac{T\rho}{J} = \frac{(12.5 \text{ kip} \cdot \text{in.})(0.15 \text{ in.})}{(0.497 \text{ in.}^4)} = 3.77 \text{ ksi} \quad \text{Ans.}$$

يادونه: ددی سترسونو جهتونه په هر يو عنصر A او B، انځور 5-9c، په سطحه د هر عنصر داسي ښودل شوي چي د پلي شوي تورک سره چي د ساعت د حرکت په شکل دی يو ډول وي.

مثال 5.3

يو پایپ چی داخلی شعاع يي 40 mm او بهرنی شعاع يي 50 mm ده په دی لاندی انخوړ 5-10a کی بنودل شوي. د دی پایپ پای په A کی تړل شوي . د یو رنچ په واسطه پدی پایپ تورک ورباندی پلی گیری، شیر سترس ددی پایپ په موادو کی په بیرونی او داخلی برخه د پایپ چی د پایپ د امتداد په مرکزی حصه کی وی معلوم کړي.



حل (SOLUTION)

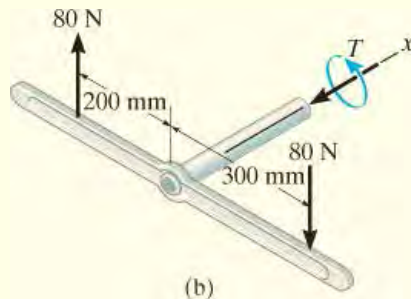
داخلي تورک (Internal Torque). پایپ د C په ټکی کی په یوه سطحه چی د پیپ په محور عمود ده غوڅ شوی ، انخوړ 5-10b. تنها مجهول دلته داخلی تورک T دی. د توازن له معادلی داسی لیکلی شو:

$$\sum M_x = 0; \quad 80 \text{ N}(0.3 \text{ m}) + 80 \text{ N}(0.2 \text{ m}) - T = 0$$

$$T = 40 \text{ N} \cdot \text{m}$$

د غوڅی خاصیتونه (Section Property). انرشیايي پولر مؤمنت د پایپ د غوڅی عبارت دی په:

$$J = \frac{\pi}{2} [(0.05 \text{ m})^4 - (0.04 \text{ m})^4] = 5.796 (10^{-6}) \text{ m}^4$$



انخوړ 5-10

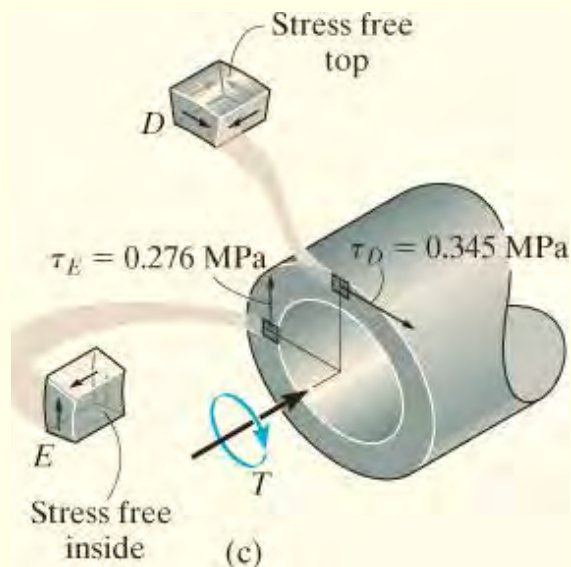
شیر سترس (Shear Stress). د هر ټکي چی د پایپ په بهرنی سطحه موقعیت لری $r = c_o$ او مور لرو: 0.05m

$$\tau_o = \frac{Tc_o}{J} = \frac{40 \text{ N} \cdot \text{m} (0.05 \text{ m})}{5.796 (10^{-6}) \text{ m}^4} = 0.345 \text{ MPa} \quad \text{Ans.}$$

او هر ټکی چی په داخلی سطحه د پایپ موقعیت لری $r = c_i = 0.04\text{m}$ او لیکلی شو:

$$\tau_i = \frac{Tc_i}{J} = \frac{40 \text{ N} \cdot \text{m} (0.04 \text{ m})}{5.796 (10^{-6}) \text{ m}^4} = 0.276 \text{ MPa}$$

پایلی ددی تحلیل په دوو وړو ټوټو په انځور 5-10c کی بنودل شوي.



انځور 5-10

یادونه: څنگه چی پورتنی مخ د عنصر په D او داخلی مخ په E کی له سترس پاک دی لدی کبله شیر سترس پدی مخونو او نورو اړینو مخونو شتون نلری.

5.3 د توانايي ليردول (POWER TRANSMISSION)

شافتونه او ټيوبونه چې گرده غوڅه برخه لري اکثرا د توانايي (power) ، چې د ماشين په زريعه را مينځ ته شوی، د ليردولو لپاره کارول کيږي . کله چې د دې هدف لپاره وکارول شي، دوی باندی تورک عمل کوي او هغه (تورک) د ماشين په توانايی او د شافت په زاويه یی سرعت سره تړاو لری. دلته توان يا پاور (Power) داسی تعريف کيږی چه هغه کار کرل دی په يوه واحد د وخت کی. همدارنگه کار چې د تاويدونکی شافت لخوا ليردول کيږي مساوی دی په تورک ضرب د تاويدلو زاويی سره. له همدې امله، که په يوه شيبه د وخت dt کی تورک T په شافت کی dq

زاويه منځته راوری، نو کار چې تر سره کيږی هغه مساوی دی په Tdq سره، او لحظوی توان عبارت دی په:

$$P = \frac{T d\theta}{dt}$$

څرنگه چې د شافت تاويدونکی سرعت $w = dq/dt$ نو توانايي (پاور) عبارت دی په:

$$P = T\omega$$

$$(5-10)$$



تورک دبرقی ماشين په مرسته د کمر بند خوځيدونکی تسمی پواسطه شافت ته په A کی ليردول کيږی. په شافت کی د سترس منځ ته راتلل له هغه توانايي چې له ماشينه ليردول شوی او په تناسب د گردش د شافت تړون لري $P = TW$.

په SI سيستم کی توانايي په واتس (watts) کله چې د تورک واحد نيوتن متر (N.m) وی او w په راديان په ثانيه کی (rad/s) $(1 W = 1 N.m/s)$.

په FPS سيستم کی د توانايي واحد فوټ-پوند په ثانيه (ft.lb/s) دی. اگر چې په انجینری پرکټس کی هارس پاور (horsepower (hp)) استعمالیږی او مور لرو:

$$1 \text{ hp} = 550 \text{ ft} \cdot \text{lb/s}$$

په ماشينونو کی استعمال د فريکونسی f (frequency) د شافت د تاويدو راپور ورکول شوي. دا اندازه د شافت د تاويدو يا سایکل (cycles) په دقیقه کی ده او هغه په هرټز (hertz) $(1 \text{ Hz} =)$

داسی ليکلی شو: 1 cycle/s بنودل کيږي. څرنگه چې $1 \text{ cycle} = 2\pi \text{ rad}$ بيا $w = 2\pi f$. نو د توانايي فورمول

$$P = 2\pi fT \quad (5-11)$$

شافت ډيزاين (Shaft Design). کله چې توانايي (پاور) د شافت په واسطه وليږدول شي او د تاویدو فریکونسي يې معلومه وي هغه تورک چې په شافت کې منځ ته راځي د 5-11 معادلی نه په لاس راتلی شي چې عبارت دی په $T = P/(2\pi f)$. کله چې تورک معلوم شو او د موادو د منلو وړ سترس t_{allow} معلوم وي بيا د شافت دغوڅه برخي ابعاد پيدا کيدی شي. په ځانگړی توگه د ډيزاين يا هندسی پراميترونه J/c عبارت کيږی په:

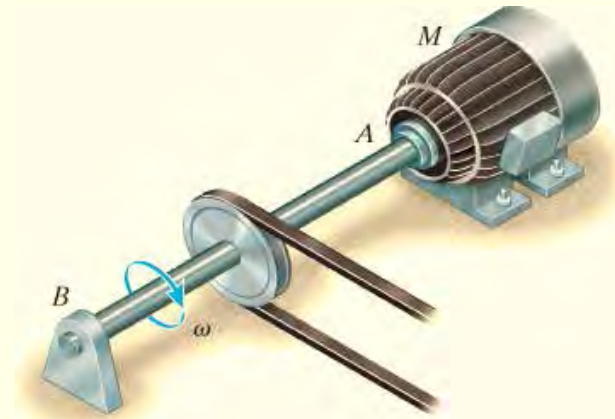
$$\frac{J}{c} = \frac{T}{\tau_{\text{allow}}} \quad (5-12)$$

د جامد شافت لپاره $J = (p/2)c^4$ کله چې په معادله کې ځای په ځای شي يو خاص ارزښت د شافت د شعاع پيدا کيږي. او که چيري شافت تيوبی وي بيا

$J = (p/2)(c_o^4 - c_i^4)$ او ددی حل يو زياد شمير د ډيزاين امکانت منځ ته راوړي. او دا لدی کبله چې يو فرضی انتخاب د c_i يا c_o کيږی او بيا هغه بل له معادلی 5-12 پيدا کيږي.

مثال 5.4

د یو جامد فولادی شافت AB ، انځور 5-11، په واسطه 5 hp له یوه ماشین M چی ورباندی تړلی دی، لیردول کیږي. که چیری شافت په $w = 175 \text{ rpm}$ سرعت وگرزی او د فولادو د منلو وړ شپیر سترس یې $t_{allow} = 14.5 \text{ ksi}$ وی د شافت قطر تر $1/8$ انچ ته نیردی معلوم کړي.



انځور 5-11

حل (SOLUTION)

له معادلې 5-10 تورک په شافت کی پیدا کوو، او هغه عبارت دی په $P = T \omega$. دلته P په فوت - پوند په هر ثانیه او w په رادیان په هر ثانیه کی اندازه کیږي او مور لرو:

$$P = 5 \text{ hp} \left(\frac{550 \text{ ft} \cdot \text{lb/s}}{1 \text{ hp}} \right) = 2750 \text{ ft} \cdot \text{lb/s}$$

$$\omega = \frac{175 \text{ rev}}{\text{min}} \left(\frac{2\pi \text{ rad}}{1 \text{ rev}} \right) \left(\frac{1 \text{ min}}{60 \text{ s}} \right) = 18.33 \text{ rad/s}$$

پدی توگه

$$P = T\omega; \quad 2750 \text{ ft} \cdot \text{lb/s} = T(18.33 \text{ rad/s})$$

$$T = 150.1 \text{ ft} \cdot \text{lb}$$

د معادلی 5-12 نه کار اخلو:

$$\frac{J}{c} = \frac{\pi c^4}{2 c} = \frac{T}{\tau_{\text{allow}}}$$

$$c = \left(\frac{2T}{\pi \tau_{\text{allow}}} \right)^{1/3} = \left(\frac{2(150.1 \text{ ft} \cdot \text{lb})(12 \text{ in./ft})}{\pi(14\,500 \text{ lb/in}^2)} \right)^{1/3}$$

$$c = 0.429 \text{ in.}$$

دلته وینو چی ارزښت د $2c = 0.858$ انچ کیري له دی امله مور به د شافت قطر په دی لاندی ډول انتخاب کړو:

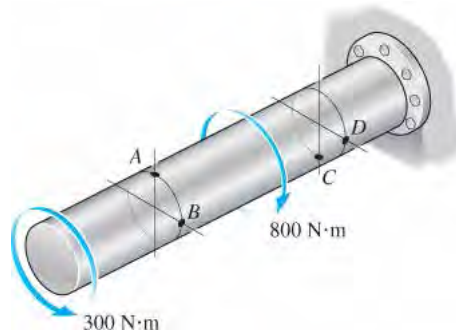
$$d = \frac{7}{8} \text{ in.} = 0.875 \text{ in.}$$

Ans.

لومرنی پوینتتی

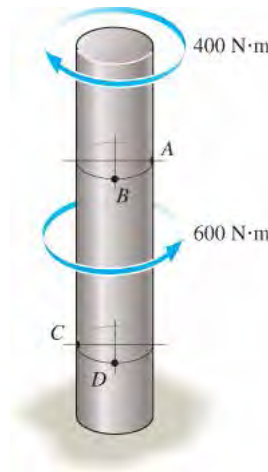
PRELIMINARY PROBLEMS

ل 5-1. په دی لاندی انځور کی داخلی تورک په هره غوڅه کی پیدا کړی، اوشییر سترس په هره حصه حجمی ټوټه چی په A , B , C , and D بنودل شوی معلوم کړی.



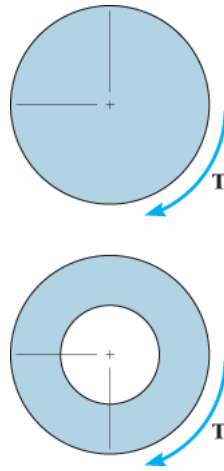
ل 5-1

ل 5-2. داخلی تورک په هره برخه او شییر سترس په هره حصه حجمی ټوټه چی په A , B , C او D کی واقع شوی معلوم کړی.



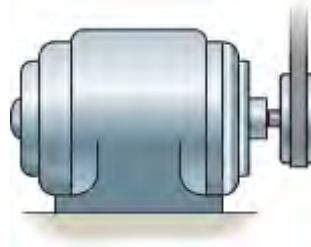
ل 5-2

ل 5-3. په یوه منځ خالي او بل جامد شافتونو باندی تورک T پلی شوي. په هر یوه د شیر سنترس ویش د شعاع په امتداد سکیچ کړي.



ل 5-3

ل 5-4. یو موتور 10 hp یو شافت ته لیردوي. که دی په 1200 rpm سرعت وگرزی، هغه تورک چی دا موتور جوړه وی معلوم کړي.

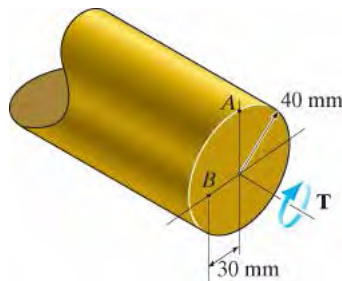


ل 5-4

بنسټيز پوښتنې

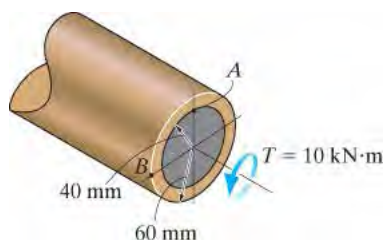
FUNDAMENTAL PROBLEMS

ب 5-1. په یو جامد گرد شافت داخلی تورک $T=5 \text{ kN}\cdot\text{m}$ عمل کړي. په ټکیو A او B کی شیبیر سترس معلوم کړي. د سترس هر حالت په حجمی ټوټه وښايي.



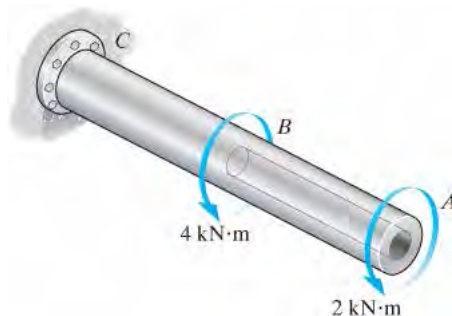
ب 5-1

ب 5-2. په دی لاندی منخ خالی گرد شافت تورک $T=10 \text{ kN}\cdot\text{m}$ پلی شوي. په ټکیو A او B کی شیبیر سترس معلوم کړي. د سترس هر حالت په حجمی ټوټه وښايي.



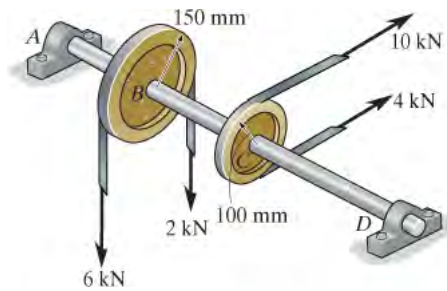
ب 5-2

ب 5-3. دا لاندی شافت له A تر B پوري منخ خالی دی او له B تر C پوري جامد دی. اعظمی شیبیر سترس په شافت کی و مومي. د شافت بهرنی قطر 80 mm او د دیوال ضخامت په خالی برخه کی 10 mm دی.



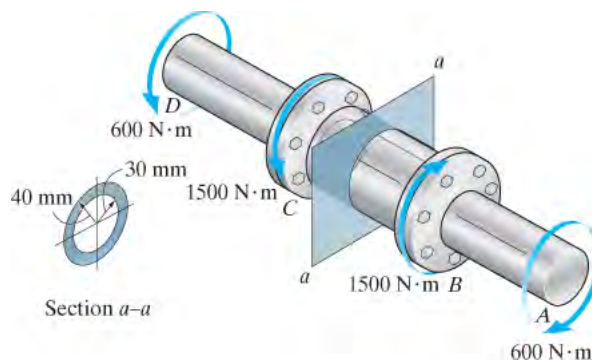
ب 5-3

ب 5-4. اعظمی شییر سٹرس پہ دی لاندی شافت کی چہ 40 mm قطر لری پیدا کری.



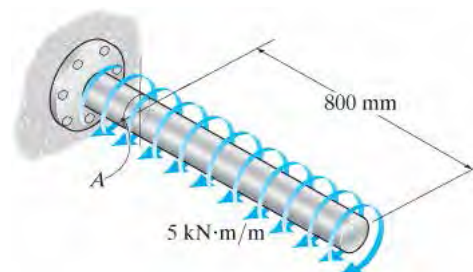
ب 5-4

ب 5-5. اعظمی شییر سٹرس پہ دی لاندی شافت کی د $a-a$ پہ غوٹہ کی پیدا کری.



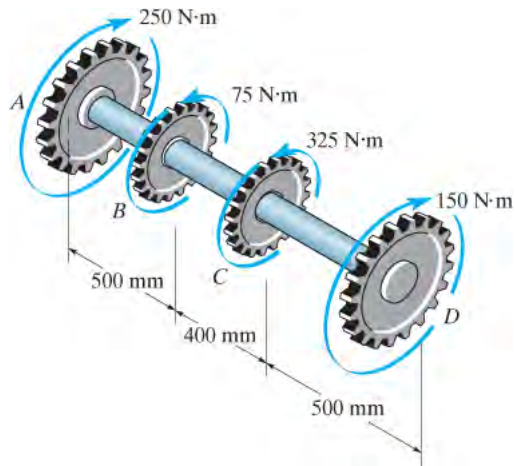
ب 5-5

ب 5-6. پہ دی لاندی انخور کی پہ سطحہ د شافت پہ تکی A کی شییر سٹرس معلوم کری. د سٹرس حالت پہ حجمی توتہ پدی تکی کی وبنایی. د شافت قطر 40 mm دی.



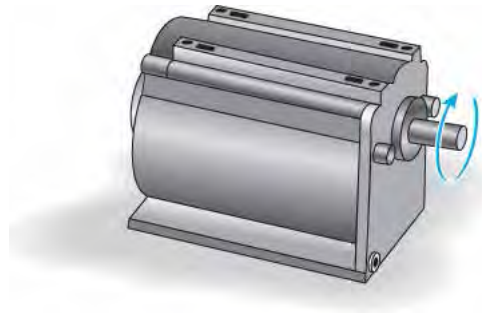
ب 5-6

ب 5-7. جامد شافت 50-mm قطر لري او د گيرونو په واسطه تورک ورباندې پلي شوي. اعظمی مطلق شير په شافت کې معلوم کړي.



ب 5-7

ب 5-8. د گير موتور کله چې په 150 rev/min څرخي 3 hp جوړه وي. که چيرې منل شوی شير سترس د شافت $t_{allow} = 12 \text{ ksi}$ وي وروکې قطر د شافت تر 1/8 in. نيردي پوري پيدا کړي.



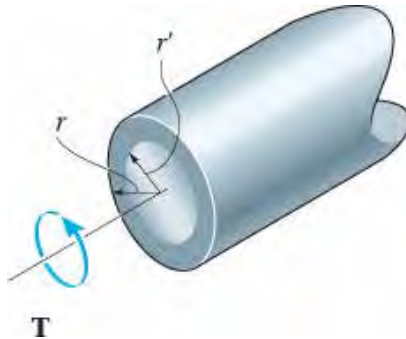
ب 5-8

سوالونه

PROBLEMS

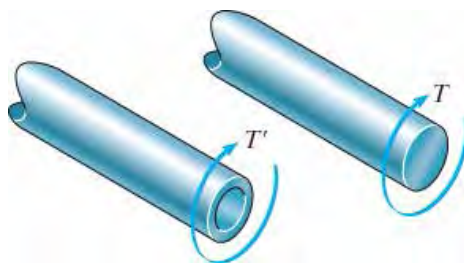
س 1-5. یو جامد شافت چی شعاع یې r ده تورک T ور باندی پلي شوی دی. د شافت داخلي شعاع r' داسی په گوته کړی چی د تطبیق شوي تورک نیمایي برخه $(T/2)$ مقاومت ولری. د حل له پاره له دوو لارو کار واخلي (a): د تورژن فارمول په کارولو سره، (b) د شپیر سترس د ویش د محصولی له موندلونه.

س 2-5. یو جامد شافت چی شعاع یې r دی تورک T ور باندی پلي شوی دی. د شافت داخلي شعاع r' داسی په گوته کړی چی د تطبیق شوي تورک څلورمه برخه $(T/4)$ مقاومت ولری. د حل له پاره له دوو لارو کار واخلي (a): د تورژن فارمول په کارولو سره، (b): د شپیر سترس د ویش د محصولی له موندلونه.



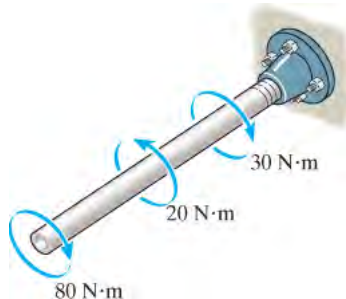
س 1-5/2

س 3-5. یو شافت چی له المونیم الیاژ څخه جوړ دی منل شوی شپیر سترس یې $t_{allow} = 100$ Mpa دی. د شافت قطر 100 mm دی اعظمی تورژن T چی ور باندی پلي کیدی شي معلوم کړي. که چیری یو سوری چی قطر یې 75 -mm وی په دی شافت کی جوړ شي اعظمی تورک T چی په دی شافت پلي کیدی شي معلوم کړي. د شپیر سترس ویش د شعاع په اوږدود دواړو لپاره رسم کړي.



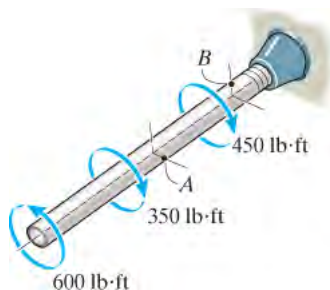
س 3-5

س 4-5. دا لاندی د میسو پایپ چی بهرنی قطری 40 mm او داخلی قطری 37 mm دی په نظر کی ونیسی. که چیری دا پایپ په یوه پای کی کلک ټینگ شوی وی او دری تورکه ورباندی پلي شي، مطلق اعظمی شیر سترس په پایپ کی پیدا کړي.



س 4-5

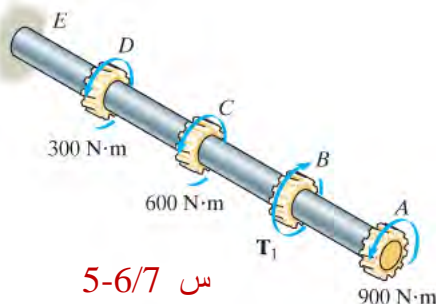
س 5-5. دا لاندی د میسو پایپ چی بهرنی قطری 2.5 in او داخلی قطری 2.30 in دی په نظر کی ونیسی. که چیری دا پایپ په یوه پای کی د دیوال سره کلک ټینگ شوی وی او دری تورکه ورباندی پلي شي، اعظمی شیر سترس د A او B ټکیو کی پیدا کړي. دا ټکی په بیروني سطحه د پایپ موقعیت لري. د شیر سترس په حجمی ټوټه د A او B په برخه کی رسم کړی.



س 5-5

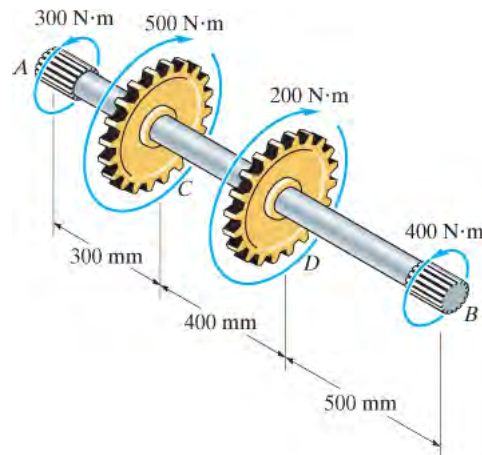
س 6-5. د المونیم جامد شامت 50 mm قطر لري او د منلو وړ شییر سترس یې $t_{allow} = 60$ Mpa دي. اعظمی تورک T_1 چی برسیره په هغه پلیوشویو تورکو کیدی شي په دی شافت پلي شي پیدا کړي. داسی انگیرل شوی چی T_1 په بنودلشوی جهت عمل کوی. همدارنگه اعظمی شیر سترس چی د CD او DE په ساحو کی عمل کوی پیدا کړی.

س 7-5. د المونیم جامد شامت 50 mm قطر لري. مطلق اعظمی شیر سترس په دی شافت کی معلوم او په شعاع ددی شافت شیر سترس په هغه برخه کی چی اعظمی دی رسم کړي. دلته $T_1 = 2000$ N.m.



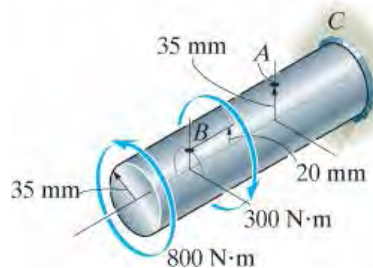
س 5-6/7

س 5-8* دا لاندی جامد شافت 30-mm قطر لري او بنودل شوی تورکونه چی په گپرو عمل کوی لیردوي. مطلق اعظمی شپیر سترس په شافت کی معلوم کړي.



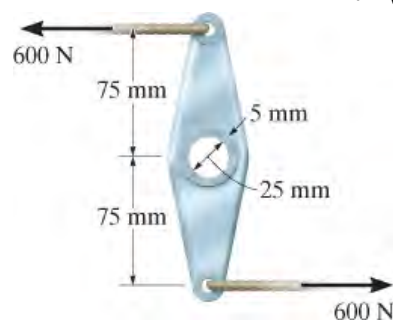
س 5-8

س 5-9 دا لاندی جامد شافت په پای C کی کلک تړل شوي او بنودل شوي تورک ورباندی پلی شوي. اعظمی شپیر سترس په ټکی A او B چی په سطحه د شافت موقعیت لری پیدا کړي. او شپیر سترس په حجمی توتو په دی ټکیو کی و بنایي.



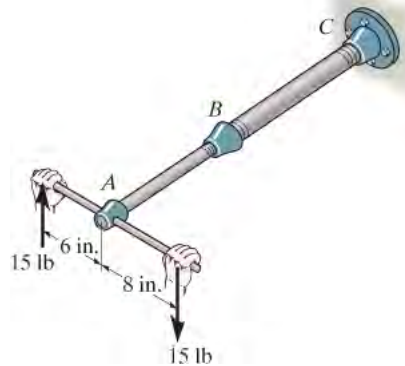
س 5-9

س 5-10 دا لاندی لینک (link) دیوی کوچنی الوتکی ایلیوتر (elevator) کنترول یو جز دی. که چیري د المونیم تړل شوی تیوب داخلی قطر 25 mm او دیوال ضخامت یی 5 mm ولري، اعظمی شپیر سترس په تیوب کی، کله چی یو قوه 600 N په کیبل عمل کړي پیدا کړي. همدارنگه د شپیر سترس ویش په غوڅه رسم کړی.



س 5-10

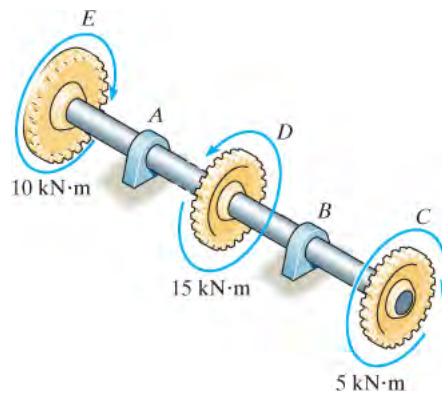
س 5-11. دا لاندی اسامبلی دوي برخى د گلونایزد (galvanized) فولادی پایپونه د یو بل سره د کمونکی کپلینک (coupling) په واسطه په B کی تړل شوي دی. د وړوکی پایپ بیروني قطر 0.75 in دي او داخلی قطر یې 0.68 انچه دی. د لوی پایپ بیروني قطر 1 in او داخلی قطر یې 0.86 in دی. که چیری پایپ په دیوال C کی کلک تړل شوي وی. اعظمي شیر سترس په هره برخه د پایپ کی معلوم کړی کله چی د رینچ په ذریعه یو بیروني کپل عمل وکړي.



س 5-11

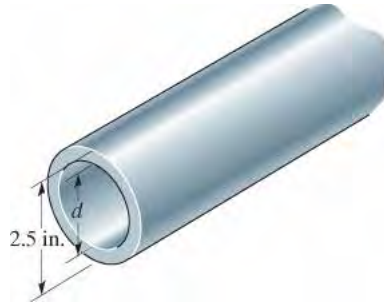
س 5-12* په لاندی انځور کی بنودل شافت بیروني قطر 100 mm او داخلی قطر 80 mm لری. که چیری دری بنودل شوي تورک عمل وکړي مطلق اعظمي شیر سترس په شافت کی معلوم کړي. اواره یا نرم بیرینگ A او B کی د تورک توانايي نلري.

س 5-13. په لاندی انځور کی د بنودل شافت بیروني قطر 100 mm او داخلی قطر 80 mm دی. که چیری دری بنودل شوي تورکونه پری عمل وکړي د شیر سترس ویش د شعاع په اوږدوالی د CD برخى د شافت په غوڅه کی رسم کړي. اواره بیرینگ A او B د تورک مقاومت توانايي نلري.



س 5-12/13

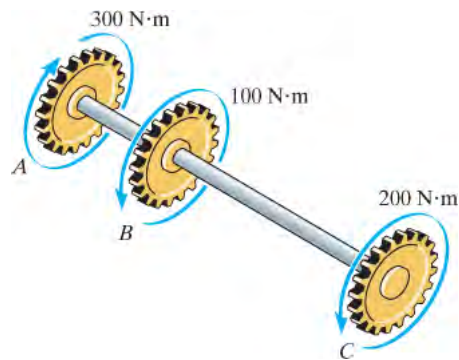
س 5-14 یو فولادی تیوب بهرنی قطر 2.5 in لری او 9 hp لیردوی کله چی 27 rev/min دور خوری. د اخلی قطر د تیوب d تر 1/8 in نیږدی حد پوری معلوم کړي. منل شوی شیبیر سترس $t_{allow} = 10 \text{ ksi}$ دی.



س 5-14

س 5-15 په دی لاندی گیرونو په انځور کی بنودل شوی تورکونه پلی شوی، اعظمی شیبیر سترس د AB او BC برخو کی د A-36 فولادو د پاره پیدا کړي. د شافت قطر 40 mm دی.

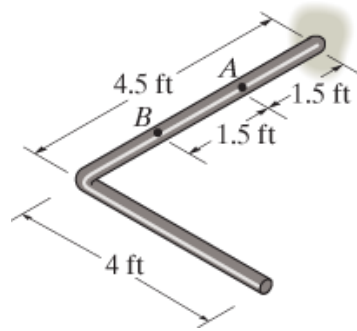
س 5-16 په دی لاندی گیرونو په انځور کی بنودل شوی تورکونه پلی شوی، اړین قطر د فولادی A-36 شافت لپاره، یوه ملی متر ته نیږدی پیدا کړي. منل شوی شیبیر سترس $t_{allow} = 60 \text{ Mpa}$ دی.



س 5-15/16

س 5-17 د لاندی راد قطر 1 in (یو انچ) او دروند والی یی 10 lb/ft دی. د تورژن اعظمی سترس په ټکی A د راد کی د خپل دروندوالی له امله معلوم کړي.

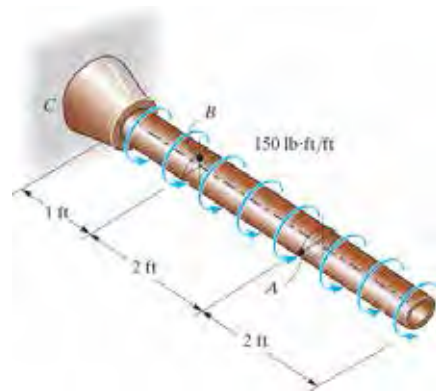
س 5-18 د لاندی راد قطر 1 in (یو انچ) او دروندوالی یی 15 lb/ft دی. د تورژن اعظمی سترس د B په برخه د راد کی د خپل دروندوالی له امله معلوم کړي.



س 5-17/18

س 5-19 د لاندې میسو پایپ بهرنی قطر 3 in او داخلی قطر یې 2.5 in دي. دا پایپ په ټکی C کې په دیوال کلک تړل شوي . او مساویانه ویشل شوی تورک څنگه چې په انځور کې ښودل شوی ورباندې پلي شوي. په ټکیو A او B کې شپیر سترس معلوم کړي. دا ټکی په بیرونی سطح د پایپ موقعیت لري. شپیر سترس په حجمی توټوډ A او B په ټکیو کې و ښایي.

س 5-20 د لاندې میسو پایپ بهرنی قطر 3 in او داخلی قطر یې 2.5 in دي. دا پایپ په ټکی C کې په دیوال کلک تړل شوي . او مساویانه ویشل شوی تورک څنگه چې په انځور کې ښودل شوی په اوږدوالي د راډ پلي شوي. مطلق اعظمی شپیر سترس په پایپ کې معلوم کړي. د خپلي پایلی د صحت په هکله معلومات ورکړي.

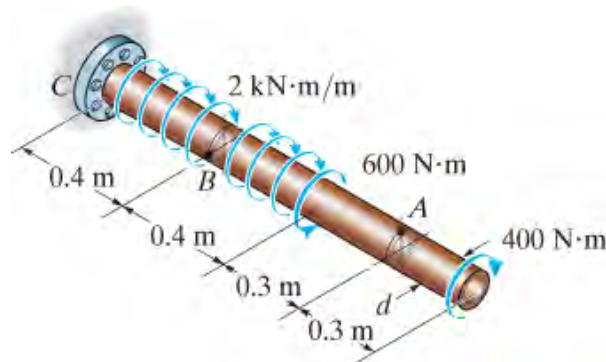


س 5-19/20

س 5-21 دا لاندې 60-mm جامد شافت ویشل شوی او ثابت تاویدونکی بار څنگه چې په انځور کې ښودل شوي ورباندې پلي شوي. شپیر سترس په ټکیو A او B کې معلوم کړي، او شپیر سترس په حجمی توټو په دی ټکیو کې رسم کړي.

س 5-22 دا لاندې 60-mm جامد شافت ویشل شوی او ثابت تاویدونکی بار څنگه چې په انځور کې ښودل شوي ورباندې پلي شوي. مطلق اعظمی او لږ تر لږ شپیر سترس د پایپ په سطحه معلوم کړي، او ځا یونه یې له ټکی C وښایي.

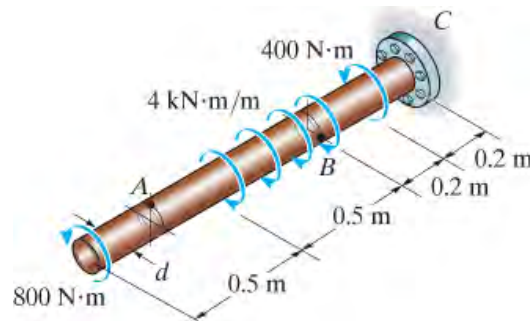
س 5-23 په دی لاندی جامد شافت ویشل شوی او ثابت تاویدونکی بار څنگه چی په انځور کی بنودل شوي ورباندی پلي شوي. که چیری د منلو وړ شییر سترس $t_{allow} = 1.6 \text{ Mpa}$ اړین قطر d د شافت معلوم کړي.



س 5-21/22/23

س 5-24* دا لاندی 60-mm جامد شافت ویشل شوی او ثابت تاویدونکی بار څنگه چی په انځور کی بنودل شوي ورباندی پلي شوي. مطلق اعظمی او لږ تر لږ شییر سترس د پایپ په سطحه معلوم کړي، او ځای یی له ازاد (خوشی) پایه وبنایي.

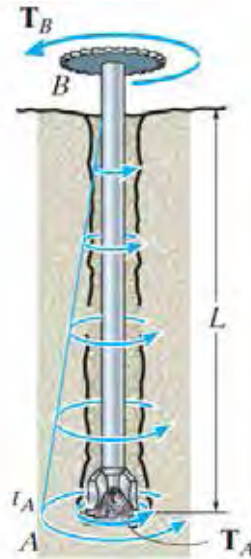
س 5-25 په دی لاندی جامد شافت ویشل شوی او ثابت تاویدونکی بار څنگه چی په انځور کی بنودل شوي ورباندی پلي شوي. که چیری د منلو وړ شییر سترس $t_{allow} = 60 \text{ Mpa}$ وی اړین قطر d د شافت معلوم کړي.



س 5-24/25

س 5-26 یوه برمه په ثابت دورانی سرعت سره څاه کیندی، د برمی پایپ لاندینی پای د تورژن مقاومت T_A سره مخ کیري. همدارنگه، د پایپ په اوږدو کی د خاوری اصطحاکاکی تورک په ویشل شوی توگه د پایپ په اوږدو کی جوړیږی، او ددی خطی ویشل شوی تورک ارزبنت په سطح B کی صفر او په پای A د پایپ کی t_A دی. لږ تر لږه تورک T_B د برمی د ډرایو

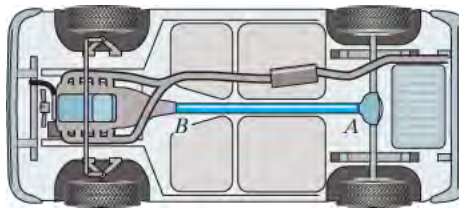
پیداگری تر خو له مقاومتی تورکونو ډیر شي، او هم اعظمی شیبیر سترس په پایپ کی پیدا کړي. د پایپ بهرنی شعاع r_o او داخلي شعاع يي r_i دی.



س 5-26

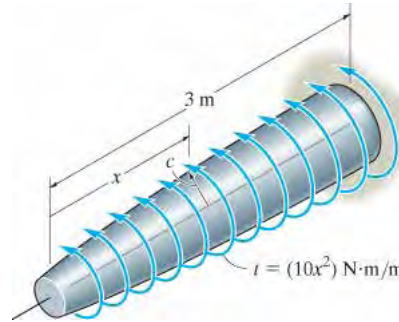
س 5-27 د موټر چلولو شافت AB له فولادو څخه جوړ شوی چی د منلو وړ شیبیر سترس $t_{allow} = 8 \text{ ksi}$ دی. بهرنی قطر د شافت 2.5 انچه دی او انجن کله چی 1140 rev/min دورانی سرعت گزری شافت ته 200 hp توان لیردوی، د شافت دیوال لبرتر لږه اړین ضخامت مشخص کړئ .

س* 5-28 د موټر چلولو ډرایو شافت دنازگ-تیوب په شکل ډیزاین کیري. کله چی شافت 1000 rev/min دورانی سرعت گزری، انجن 150 hp توانايي لیردوی . که د شافت بیرونی قطر 2.5 انچ وی لبر تر لږ ضخامت د شافت د تیوب معلوم کړي. د موادو د منلو وړ شیبیر سترس $t_{allow} = 7 \text{ ksi}$.



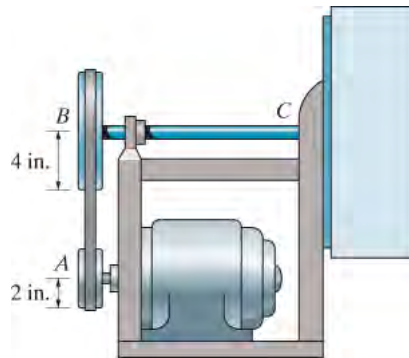
س 5-27/28

س 5-29 په دی لاندی شافت یو ویشل شوی تورک $t = (10x^2) \text{ N}\cdot\text{m}/\text{m}$ په امتداد د اوږدوالی پلی شوی. دلته د x واحد متر دی. که اعظمی سترس په شافت کی ثابت 80 Mpa وی اړین تغیر په شعاع د شافت کی پیدا کړی کله چی $0 \leq x \leq 3 \text{ m}$



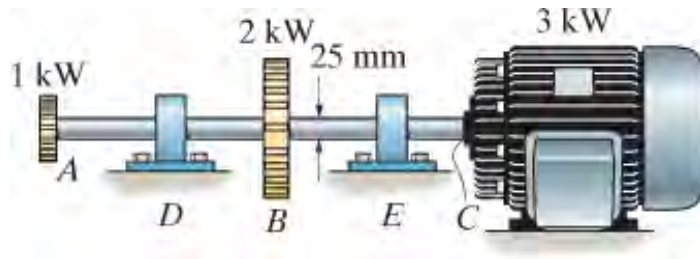
س 5-29

س 5-30 دا لاندی موټور په ثابت دورانی سرعت 1350 rpm په A کی 50 hp توان لیردوي. د کمر بند او پولی (pulley) سیستم په واسطه دا بار د یو فولادی بلور (blower) شافت BC ته لیردول کیري. د شافت لږ تر لږ قطر $1/8 \text{ in}$ ته نیږدی پیدا کړي. د فولادو منل شوی شییر سترس $t_{allow} = 12 \text{ ksi}$ دی.



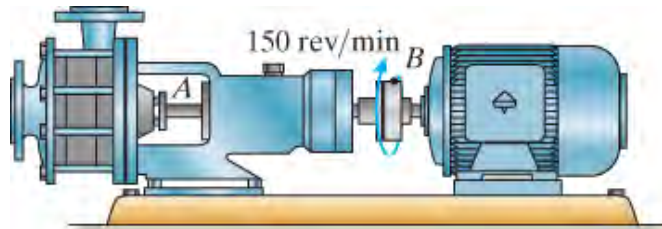
س 5-30

س 5-31 دا لاندی جامد شافت AC چی په انځور کی بنودل شوي 25 mm قطر لري او په دوو اوارو (smooth) بیرینگ په D او E کی ټرل شوي. په C کی، له یوه موټور سره ټرل شوی چی 50 rev/s دورانی سرعت وگرزی او 3 kW توان شافت ته لیردوي. که چیری گیرونه په A او B کی په ترتیب سره 1 kW او 2 kW کم کړی، اعظمی شییر سترس د AB او BC برخو د شافت کی معلوم کړی. شافت په بیرینگ D او E اتکاوو کی په ازاده توگه تاویدی شي.



س 5-31

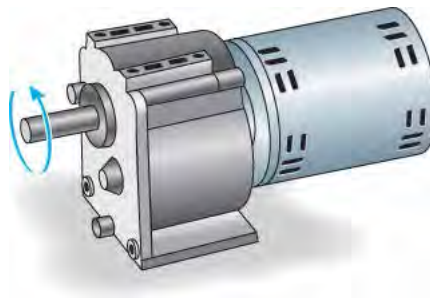
س 5-32 دا لاندی پمپ د یو موتور په واسطه چی 85W پاور لري کار کړي. که چیری گرزیدونکی یا امپلر (impeller) په B کی 150 rev/min دورانی سرعت وگرزی اعظمی شیر سترس د ترانزمیشن (transmission) په شافت A کی چی 20 mm قطر لری پیدا کړي.



س 5-32

س 5-33. دا لاندی گیر موتور کولای شی چی 1/8 hp جوړ کړی کله چی 300 rev/min دورانی سرعت ولری. اعظمی شیر سترس په شافت کی معلوم کړي.

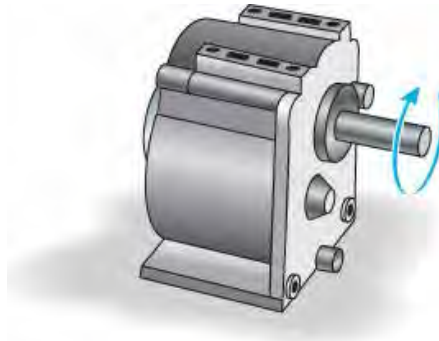
س 5-34. دا لاندی گیر موتور کولای شی چی 1/10 hp جوړ کړی کله چی 80 rev/min دورانی سرعت ولری. که چیری منل شوي شیر سترس د شافت $t_{allow} = 4 \text{ ksi}$ وی، د شافت لږ تر لږ قطر 1/8 in ته نیردی معلوم کړي.



س 5-33/34

س 5-35. دا لاندی گیر موتور کولای شی چی $1/4$ hp جوړ کړی کله چی 600 rev/min دورانی سرعت ولری. که چیری د شافت قطر $1/2$ in وی اعظمی شپیر سترس په شافت کی پیدا کړی.

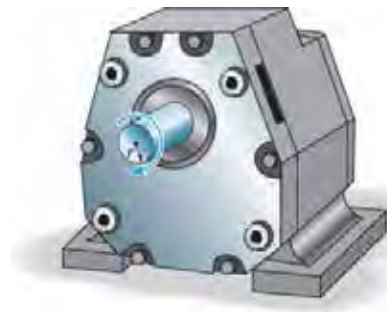
س *5-36. دا لاندی گیر موتور کولای شی چی 2 hp جوړ کړی کله چی 150 rev/min دورانی سرعت ولری. که چیری منل شوي شپیر سترس د شافت $t_{allow} = 8$ ksi وی، د شافت لږ تر لږ قطر $1/8$ in پوری نیږدی معلوم کړی.



س 5-35/36

س 5-37. یو 6-hp کم کیدونکی (reducer) موتور کولای شی چی په 1200 rev/min دورانی سرعت وگرزی. که چیری منل شوي شپیر سترس د شافت $t_{allow} = 6$ ksi وی، د شافت لږ تر لږ قطر $1/16$ in پوری نیږدی معلوم کړی.

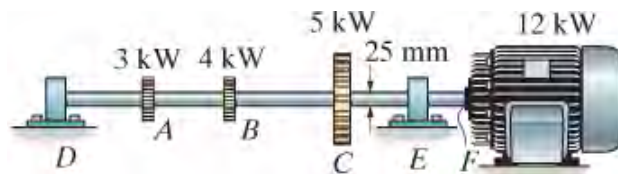
س 5-38. یو 6-hp کم کیدونکی (reducer) موتور کولای شی چی په 1200 rev/min دورانی سرعت وگرزی. که چیری د شافت قطر $5/8$ in وی اعظمی شپیر سترس په شافت کی پیدا کړی.



س 5-37/38

س 5-39. دا لاندی جامد شافت DF چی په انځور کی بنودل شوي 25 mm قطر لري او په دوو اوارو (smooth) بیرینگ په D او E کی تکیه شوي. په F کی، له یوه موتور سره تړلی چی 50 rev/s دورانی سرعت لری، او 12 kW توان شافت ته لیردوي. که چیری گیرونه په A ، B او C کی په ترتیب سره 3kW او 4kW او 5 kW لری کړی، اعظمی شپیر سترس په شافت په CF او BC برخو کی معلوم کړی. شافت د D او E بیرینگ اتکاوو کی په ازاده توگه تاویدی شي.

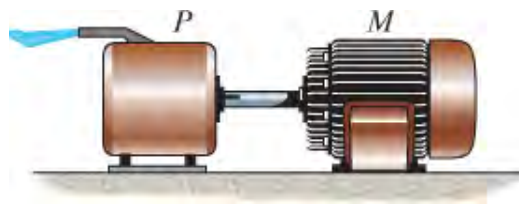
س *5-40. دا لاندی جامد شافت DF چی په انځور کی بنودل شوي 25 mm قطر لري او په دوو اوارو (smooth) بیرینگ په D او E کی تکیه شوي. په F کی، له یوه موتور سره تړلی چی 50 rev/s دورانی سرعت لری، او 12 kW توان شافت ته لیردوي. که چیری په A ، B او C کی گیرونه په ترتیب سره 3kW او 4kW او 5 kW توان کم کړی، مطلق اعظمی شپیر سترس په شافت کی معلوم کړی.



س 5-39/40

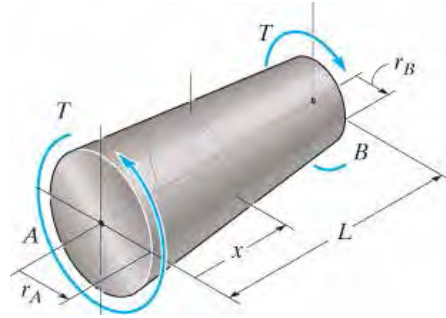
س 5-41. د A-36 فولادو تیوبی (tubular) شکل شافت 2 m اوږد 50 mm بیرونی قطر لري. او له موتور M کله چی په 40 rad/s دورانی سرعت گزری پمپ P ته 25 kW طاقت لیردوي. د تیوب لږ تر لږ ضخامت پیدا کړي، کله چی د منلو وړ شپیر سترس $t_{allow} = 80 \text{ Mpa}$ وی.

س 5-42. د A-36 فولادو تیوبی (tubular) شکل شافت 2 m اوږد او 60 mm بیرونی قطر لري. اړین ده چی 60 kW توانایی (پاور) له موتور M پمپ P ته ولیردوي. لږ تر لږ دورانی (angular) سرعت د شافت معلوم کړي. د منلو وړ شپیر سترس $t_{allow} = 80 \text{ Mpa}$ دی.



س 5-41/42

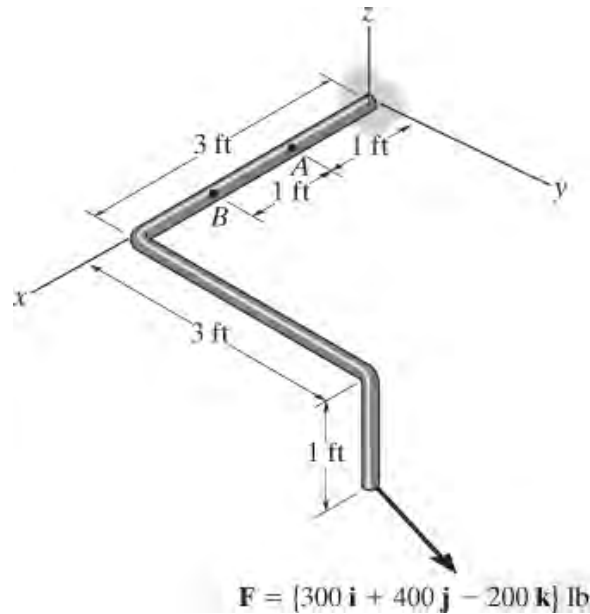
س 5-43. جامد شافت مخروطی شکل لري او په خطی توگه تغیر کوی چی r_A په یو پای کی او په بل پای کی شعاعوی دی. داسی معادله جوړه کړي چی اعظمی شیبیر سترس په شافت کی د x په فاصله د شافت د محور په اوږدوی درکوي.



س 5-43

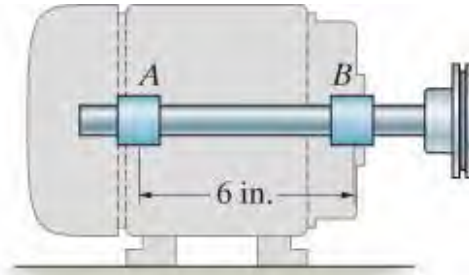
س 5-44*. په انځور کی بنودل شوی لاندی راد یو انچ (1 in) قطر لري او بنودل شوی بهرنی بار ورباندی پلی شوی. د A برخه په غوڅه د راد کی تاویدونکی (torsional) سترس پیدا کړي.

س 5-45. په انځور کی بنودل شوی لاندی راد یو انچ (1 in) قطر لري او بنودل شوی بهرنی بار ورباندی پلی شوی. د B برخه په غوڅه د راد کی تاویدونکی (torsional) سترس پیدا کړي.



س 5-44/45

س 5-46. یو موتور 500 hp توان یو تیوبی شافت ته لیردوی. ددی شافت بیرونی قطر 2 in دی. که چیری په 200 rad/s دورانی سرعت ولری د شافت داخلی قطر 1/8 in ته نیردی معلوم کړي. د موادو منل شوی سترس $t_{allow} = 25 \text{ ksi}$ دي.



س 5-46

5.4 د تاویدني زاویه (ANGLE OF TWIST)

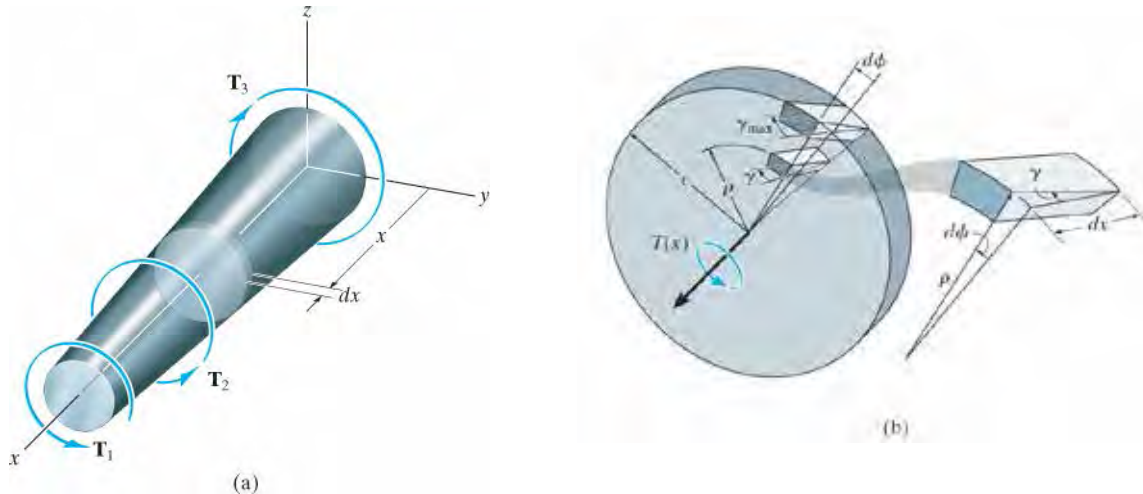
پدې برخه کې به مور د تاو زاويي (angle of twist) د معلومولو لپاره په یوه یو فارمول بحث وکړو. د تاو زاویه په f (phi فی) بنودل کيږي او دا زاویه د شافت یو پایي تاو نسبت د هغې بل پای ته بنایي. د دې پرمختګ عمومي کولو لپاره، مور به فرض کړو چې شافت یوه گردې غوڅه برخه لري او په تدریجي ډول د هغې اوږدوالی سره توپیر پیدا کوي، انځور 5-12a وويني. همدارنگه، داسې انگیرل کيږي کله چې تورک پلي کيږي مواد متجانس او خطي ایلسټیک ډول چلند لري. لکه څنګه چې د محوري بار شوی راد په حالت کې، مور به د ځایی د شکل تغیر څخه، په هغه ټکی کې چې تورک عمل کوي، او یا غوڅه برخه په ناڅاپي ډول بدليږي، سترګی پتی کړو. د سینټ وینانت اصول له مخی، دا اغیزې د شافت اوږدوالی په کوچنیو سیمو کې واقع کيږي، او عموماً دوی په وروستی پایله کې لږ اغیزه لری.



په اوږده شافتونو کې کله چې تورژن ورباندی پلي شي د لیدنی ورتاو واضح لیدل کيږي.

د برخو طریقوپه کارولو سره، یو وړوکی ډیسک چې ضخامت یې dx او په موقعیت x کې واقع دی، له شافت څخه جلا شوی، انځور 5-12 b وويني. په دې ځای کې داخلي تورک $T(x)$ شتون لري، ځکه چې بهرنی بار ممکن د شافت په اوږدو کې د بدلون لامل شي. د $T(x)$ له امله، ډیسک تاو مومي، داسې چې نسبي تاو د یو مخ نسبت بل مخ په اړه df دي. د پایلي په توګه د موادو یو ټوټه د ډیسک دننه چې په یوه فرض شوی برخه کې چې په شعاع r کې موقعیت لري د شپیر سترین ارزښت به g وی. د g او df ارزښتونه په Eq. 5-1 معادله سره تړاو لري، یعنی:

$$d\phi = \gamma \frac{dx}{\rho} \quad (5-13)$$



انځور 5-12

د هوك قانون په اساس، $g = t/G$ ، او شپير سترس د پلي شوی تورک (تاو مؤمنت) له مخی د تورژن فورمول په واسطه داسی څرگند کیدی شي $t = T(x)r/J(x)$ او بیا لیکلی شو $g = T(x)r/J(x)G(x)$. دا په معادله 5-13 کې ځای په ځای کوو، د پيسک د تاو زاویه عبارت کيږي له:

$$d\phi = \frac{T(x)}{J(x)G(x)} dx$$

که انټیگرال ددی معادلی په اوږدوالي د شافت و نیسو نولیکلی شو:

$$\phi = \int_0^L \frac{T(x) dx}{J(x)G(x)} \quad (5-14)$$



کله چی د خاوری برمی ماشین سترس او د تاو زاویه دواړه محاسبه شی، اړین ده چی توپیر لرونکی د تورژن بار په اوږدوالي د برمی په پام کی و نیول شي.

دلته:

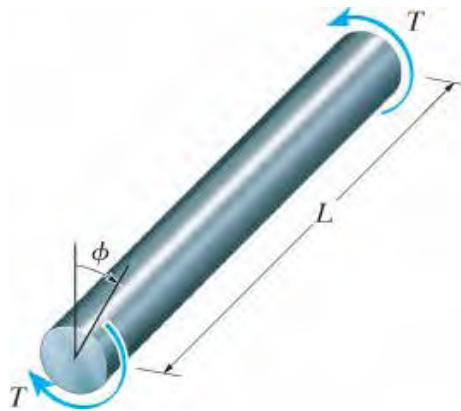
$f =$ د تاو زاویه د یوه پای د شافت نسبت بل پای ته، چی په رادیدیان (radians) اندازه کیږي.
 $T(x) =$ داخلی تاو (torque) په یو فرضی موقعیت x کی . او دا د برخه کیدو په طریقہ د مؤمنت
 د توازن له معادلې د شافت په محور باندی په لاس راځي.
 $J(x) =$ د شافت قطبی انرشیايي مؤمنت (Polar moment of inertia) دی چی د x تابع دی.
 $G(x) =$ د موادو د شییر ایلسٹیک ماچولس دی چی د x تابع دی .

د تاو ثابت مؤمنت او د غوڅی برخی مساحت (Constant Torque and Cross-Sectional Area):

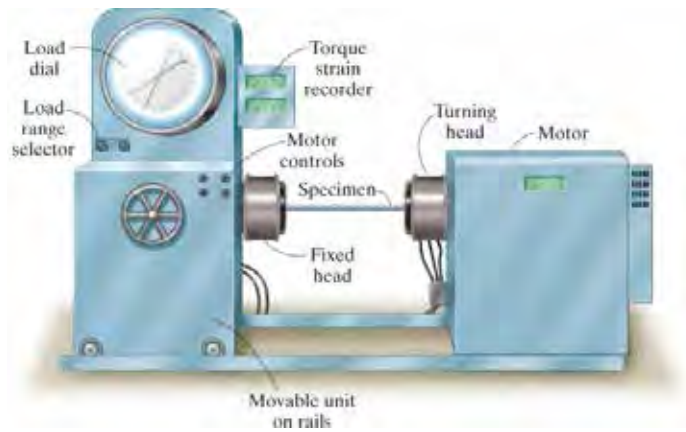
معمولا د انجینری په پرکټس کی مواد متجانس وي نو G ثابت وي. او هم، د غوڅی برخی مساحت او
 بهرنی تورک د شافت په اوږدوالی کی ثابت وی، لکه څنگه چی په انځور 5-13 کی ښودل شوی.
 کله چی دا حالت وي، داخلی تورک $T(x) = T$ ، او قطبي انرشیايي مؤمنت $J(x) = J$ او کله چی
 د Eq. 5-14 معادلي ننگرال ونیسو نو پایله یی داسی لیکلی شو:

$$\phi = \frac{TL}{JG} \quad (5-15)$$

د پورتنیو دوو معادلو ترمنځ ورته والی کتلی شی او د یوه محوري بار شوی میلی سره د فورمولو
 ورته والی د پام وړ دی.

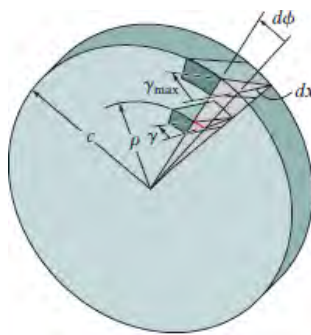


انځور 5-13



انخور 5-14

معادله 5-15 اکثراً د موادو د شیبیر ایلسټیک ماجولس G ، معلومولو لپاره کارول کیږي. د دی کار لپاره یوه نمونه چی پیژندل شوي اوږدوالی او معلوم قطر ولری په تورژن ماشین کی کینودل کیږي. د ازموینې یو ماشین په انخور 5-14 کی بنودل شوی. تطبیق شوی تورک T او د تاو زاویه f بیا د L په اوږدوالي اندازه کیږي. له معادلی 5-15 څخه مور $G = TL/Jf$ ترلاسه کوو. د ډیر باوري G ارزښت لپاره، ډیری ازموینې ترسره کیږي او اوسط ارزښت ټاکل کیږي.



شیر سترین په غوڅه برخه په خطي توگه
د r سره زیاتوالي مومي لکه

$$\gamma = (\rho/c)\gamma_{\max}$$

د انخور 5-12 تکرار

گن شمیر تورکونه (Multiple Torques)

که په شافت څو مختلف تورکونو عمل وکړی، یا د غوڅی برخی ساحه، یا د شیبیر ماجولس په ناڅاپي ډول د شافت له یوې سیمې څخه بلې ته بدلیږي، لکه څنگه چی په انخور 5-12 کی بنودل شوی، بیا 5-15 معادله د شافت د هرې برخی سره چیرې چې دا مقدارونه ټول ثابت وی تطبیق کیږی.

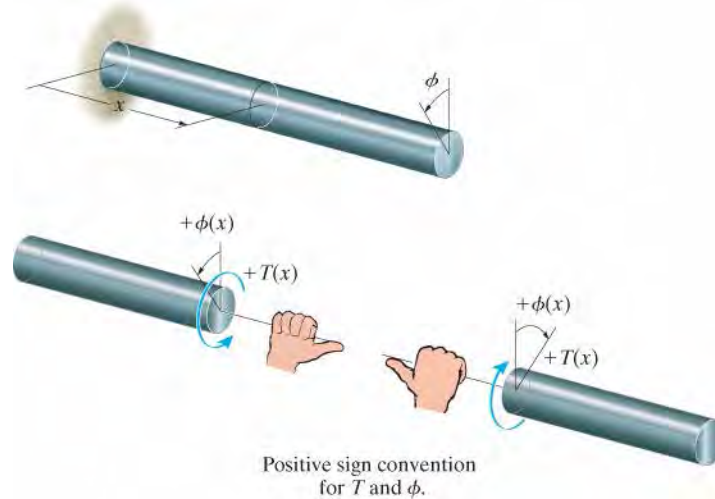
د شافت د یوه پای د تاو زاویه نسبت بل پای ته له الجبری جمعه کولو د تاو د زاویو د هرې برخې څخه لاس ته راځي. د دې قضیې لپاره، موږ لیکلی شو:

$$\phi = \sum \frac{TL}{JG}$$

(5-16)

د علامی یا نښانې کانونشن (Sign Convention)

د دې لپاره چې له دې معادلو د داخلی تورک او تاو زاویې د شافت یوه پای نسبت بل پای ته کار واخلو غوره لاره داده چې د دواړو لپاره د نښانې کانونشن وکارول شي. موږ به د نښانې لاس قاعده پلي کړو، په کوم کې چې تورک او زاویه به مثبت وي، په دې شرط چې **غټه گوته** د شافت څخه بهر لور ته جهت ونیسی پداسې حال کې چې نوری گوتې د لاس د تورک په جهت تر شافت راتاو شي، انځور 5-15 وویښی:



انځور 5-15

مهم ټکي

(IMPORTANT POINTS)

- کله چې له معادلی 5-14 د تاو زاویه پیدا کولو لپاره کار اخلی، دا اړین ده چې تورک د شافت د موادو د بیلد (yield) سبب نه شي. او مواد باید متجانس او خطی ایلسټیک چلند ولري.

د تحلیل کرنلاره

PROCEDURE FOR ANALYSIS

د شافت او یا تیوب د **تاوزاویه** د یوه پای نسبت بل پای ته پیدا کولو لپاره دا لاندې کرنلاره باید وکارول شي.

داخلي تورک (Internal Torque)

- د اخلي تورک د شافت په محور په یوه نقطه کې داسې موندل کېږي چې د برخو میتود په کارولو سره د مؤمنت د توازن معادلی، د شافت په محور باندې تطبیق کېږي.
- که چېرې تورک د شافت په اوږدوالي کې توپیر ولري، یوه برخه د شافت د x په موقعیت کې جداکړی، داخلي تورک هلته د x تابع دی، یعنې د $T(x)$ په توګه ښودل کېږي.
- که څو پرله پسې خارجي تورکونه د شافت د دواړو پایلو په منځ کې عمل کړي وی، د شافت په هره برخه کې داخلي تورک، د هر دوو خارجي تورکونو ترمنځ باید پیدا شي.

د تاویدني زاویه (Angle of Twist)

- کله چې د شافت گردی غوڅی برخې ساحه د شافت د محور په اوږدو توپیر ولري، قطبي انرشیايي مؤمنت (J) باید د محور په اوږدو کې د x موقعیت تابع وی او د $J(x)$ په توګه څرګند شي.
- که چېرې د قطبي انرشیايي مؤمنت (J) او یا داخلي تورک د شافت د پایلونو تر منځ ناڅاپی بدلون راشي، بیا $(\phi = \int (T(x)/J(x)G(x)) dx)$ یا $f = TL/JG$ باید په هره برخه کې چې J ، G ، او T دوامداره یا ثابت وي، پلي شي.
- کله چې په هره برخه کې داخلي تورک ټاکل کېږي، باید چې د شافت یا برخې لپاره یو ثابت د علامی کنوانسیون وکاروئ، لکه څنګه چې په انځور 5-15 کې ښودل شوي. او هم دا د ترلاسه کړی چې د واحدونو د پاره ثابت او یو شان عددي ډیتا په معادلو کې ځای په ځای شي.

مثالونه

مثال 5.5

د A-36 فولادی شافت د پای A د تاو زاویه معلومه کړي. شافت په انځور 5-16 a کی بنودل شوي. همدارنگه د A تاو زاویه نسبت C ته پیدا کړي. د شافت قطر 200 mm دی.

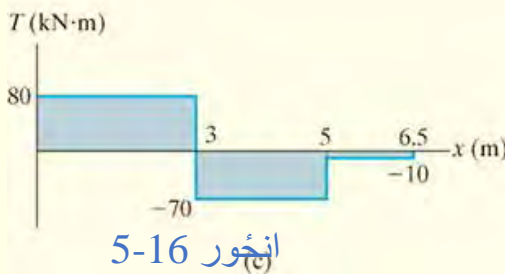
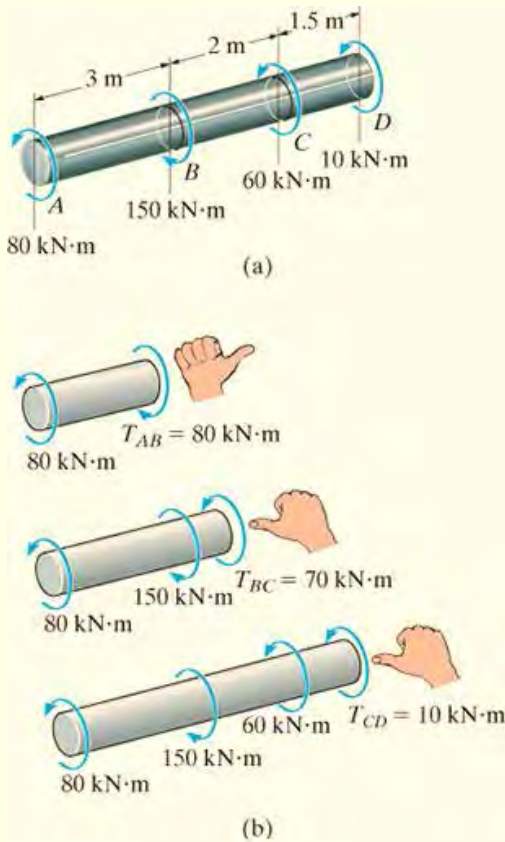
حل (SOLUTION)

داخلي تورک (Internal Torque): د برخوله طریقي کار اخلو او په هره برخه کی **داخلي تورک** پیدا کوو، لکه په انځور 5-16 b کی چی بنودلشوی. د لاس د قانون په اساس د مثبت تورک جهت د شافت برخی په آخرکی بیرون طرف ته لیدل کیږي. مور لرو $T_{CD} = -$ او $T_{AB} = +80\text{kN}\cdot\text{m}$, $T_{BC} = -70\text{kN}\cdot\text{m}$. دا د تورک په ډایگرام کی هم بنودل شوي، او د تورک توپیر د شافت د محور په اوږدو بنسکاره کوی، انځور 5-16c وگوري.

د تاویدني زاویه (Angle of Twist): قطبي انرشیایی مؤمنت د شافت عبارت دی په:

$$J = \frac{\pi}{2}(0.1\text{ m})^4 = 0.1571(10^{-3})\text{ m}^4$$

د A-36 فولادو لپاره $G = 76\text{GPa}$ (د کتاب د اخر په جدول کی). نو پای A د شافت دا لاندی تاو لری:



انځور 5-16 (c)

$$\phi_A = \sum \frac{TL}{JG} = \frac{80(10^3) \text{ N} \cdot \text{m} (3 \text{ m})}{(0.1571(10^{-3}) \text{ m}^4)(75(10^9) \text{ N/m}^2)}$$

$$+ \frac{-70(10^3) \text{ N} \cdot \text{m} (2 \text{ m})}{(0.1571(10^{-3}) \text{ m}^4)(75(10^9) \text{ N/m}^2)} + \frac{-10(10^3) \text{ N} \cdot \text{m} (1.5 \text{ m})}{(0.1571(10^{-3}) \text{ m}^4)(75(10^9) \text{ N/m}^2)}$$

$$\phi_A = 7.22(10^{-3}) \text{ rad} \quad \text{Ans.}$$

د پای A د تاو زاویه نسبت C ته، تنها دوی برخی د شافت شاملیری.

$$\phi_{A/C} = \sum \frac{TL}{JG} = \frac{80(10^3) \text{ N} \cdot \text{m} (3 \text{ m})}{(0.1571(10^{-3}) \text{ m}^4)(75(10^9) \text{ N/m}^2)}$$

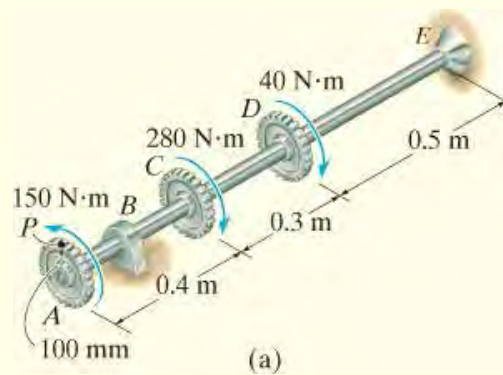
$$+ \frac{-70(10^3) \text{ N} \cdot \text{m} (2 \text{ m})}{(0.1571(10^{-3}) \text{ m}^4)(75(10^9) \text{ N/m}^2)}$$

$$\phi_{A/C} = 8.49(10^{-3}) \text{ rad} \quad \text{Ans.}$$

دواړه نتیجی مثبت دی، په دی معنی چی پای A داسی تاویری لکه د بنی لاس تاو گوتی چی غټه گوته له شافت نه په لري لور لیدل کیږی.

مثال 5.6

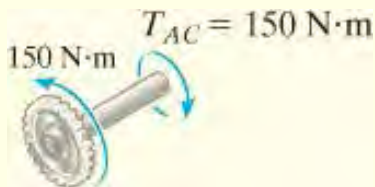
په دی لاندی شافت چی گیرونه ورباندی وصل شوی، بنودل شوی تورک ورباندی عمل کړی. او دا شافت په دیوال کی کلک تړل شوی. انځور 5-17a ووینی. که چیری د شافت قطر 14 mm وی، د غابن P بیخایه کیدنه په گیر A کی معلومه کړی. $G = 80 \text{ Gpa}$



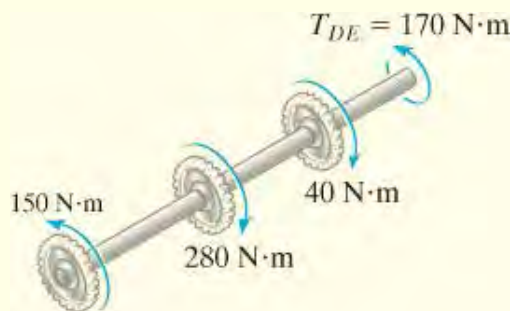
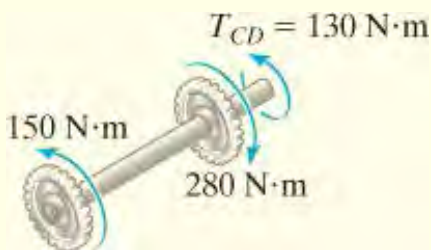
انځور 5-17

حل (SOLUTION)

داخلي تورک (Internal Torque): وینو چی تورک په AC, CD, DE او برخو کی ثابت او له یو بل سره په هره برخه کی توپیر لري . آزاد ډیگرامونه ددی برخو سره له محاسبه شویوداخلی تورکو په انځور 5-17b کی بنودل شوي. په اساس د بنی لاس قانون او قبول شوی نښان د مثبت تورک له پاره چی وتلی جهت د شافت د پای په غوڅه کی وی مور لرو:



$$T_{AC} = +150 \text{ N}\cdot\text{m} \quad T_{CD} = -130 \text{ N}\cdot\text{m} \quad T_{DE} = -170 \text{ N}\cdot\text{m}$$

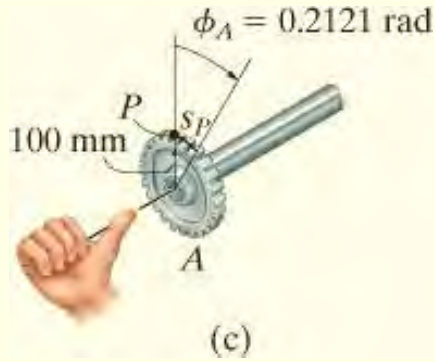


(b)

انځور 5-17

د تاو زاویه (Angle of Twist): قطبي انرشیایی مؤمنت د شافت عبارت دی په

$$J = \frac{\pi}{2} (0.007 \text{ m})^4 = 3.771 (10^{-9}) \text{ m}^4$$



د هری برخی له پاره له معادلی 5-16 کار اخلو اود
الجبری جمع کیدلو وروسته لرو:

انځور 5-17

$$\phi_A = \sum \frac{TL}{JG} = \frac{(+150 \text{ N} \cdot \text{m})(0.4 \text{ m})}{3.771(10^{-9})\text{m}^4 [80(10^9)\text{N/m}^2]} + \frac{(-130 \text{ N} \cdot \text{m})(0.3 \text{ m})}{3.771(10^{-9})\text{m}^4 [80(10^9)\text{N/m}^2]} + \frac{(-170 \text{ N} \cdot \text{m})(0.5 \text{ m})}{3.771(10^{-9})\text{m}^4 [80(10^9)\text{N/m}^2]}$$

$$\phi_A = -0.2121 \text{ rad}$$

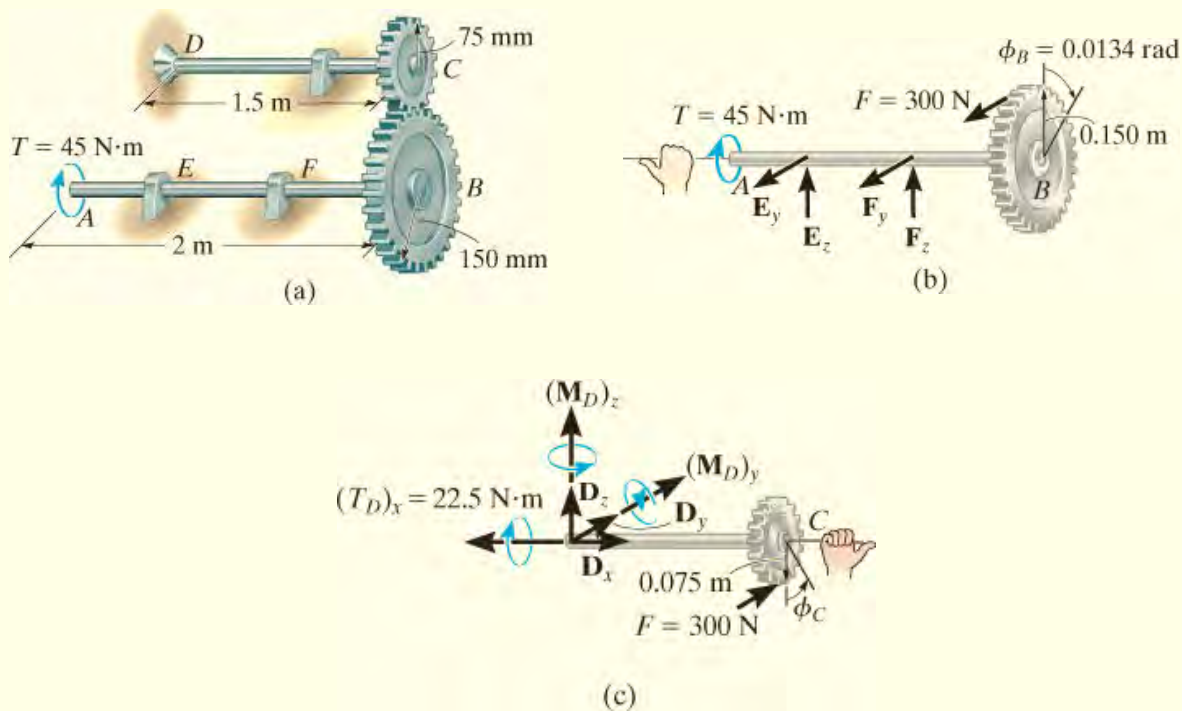
دلته وینو چی خواب منفي راغلي، د بنی لاس قانون له مخی غټه گوته د شافت د اتکا E په لور جهت لری، پدی معنی چی گیر A به په هغه جهت تاو شی کوم چی په انځور 5-17c کی بنودل شوي.

په گیر A کی، د P غاښن بیخایه کیدنه عبارت ده په:

$$s_P = \phi_A r = (0.2121 \text{ rad})(100 \text{ mm}) = 21.2 \text{ mm} \quad \text{Ans.}$$

مثال 5.7

دوه فولادی جامد شافتونه چی په انځور 5-18a کی بنودل شوی د ګیرونو رخیو په واسطه یو بل سره یو ځای شوی . کله چی یو تورک $T=45 \text{ N}\cdot\text{m}$ ور باندی پای شی د تاو زاویه په پای A د شافت AB کی پیدا کړی. شافت DC په D کی کلک تړل شوی. د هر شافت قطر 20 mm دی. $G=80 \text{ GPa}$



انځور 5-18

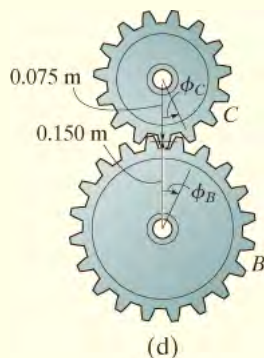
حل (SOLUTION)

داخلي تورک (Internal Torque): آزاد ډایگرام د هر شافت په انځورونو 5-18b او 5-18c کی بنودل شوي. کله چی د مؤمنت مجموعه د شافت AB په محور ونيول شی پایلی یې مماسی ریکشن په بین د ګیرونو کی $F = 45 \text{ N}\cdot\text{m} / 0.15 \text{ m} = 300 \text{ N}$ لاس ته راځی. او مجموعه د مؤمنتونو په محور د شافت DC یوه قوه جوړه وی او دا قوه بیا تورک د $(T_D)_x = 300 \text{ N}$ په شافت DC کی جوړه وی.

د تاو زاویه (Angle of Twist): ددی حل لپاره اول د ګیر C تاویدل د DC په شافت کی د $22.5 \text{ N}\cdot\text{m}$ تورک له

$$\phi_C = \frac{TL_{DC}}{JG} = \frac{(+22.5 \text{ N}\cdot\text{m})(1.5 \text{ m})}{(\pi/2)(0.010 \text{ m})^4 [80(10^9) \text{ N/m}^2]} = +0.0269 \text{ rad}$$

امله چی په انځور 5-18c کی بنودل شوی پیدا کوو. د تاو زاویه مساوی ده په:



انځور 5-18

څرنګه چی ګیرونه د شافتونو په پای کی د یو بل په رخو کی تماس لری، د ګیر C د تاو زاویه f_C سبب دی ګیر B د تاو زاویه f_B کیږي. دا په انځور 5-18d کی وویږو.

$$\begin{aligned}\phi_B(0.15 \text{ m}) &= (0.0269 \text{ rad})(0.075 \text{ m}) \\ \phi_B &= 0.0134 \text{ rad}\end{aligned}$$

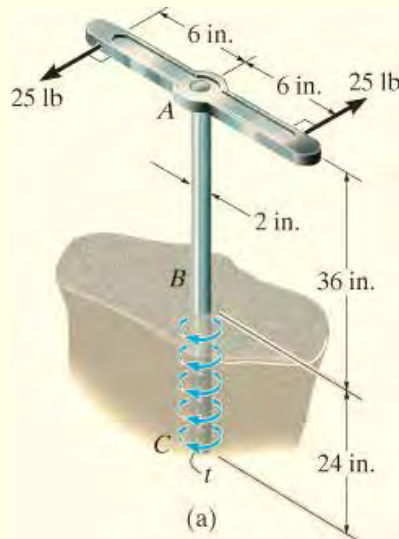
اوس به موږ د تاو زاویه د شافت AB پای A نسبت پای B، د تورک 45 N.m له امله پیدا کوو. دا په انځور 5-18b کی بنودل شوي.

$$\phi_{A/B} = \frac{T_{AB}L_{AB}}{JG} = \frac{(+45 \text{ N}\cdot\text{m})(2 \text{ m})}{(\pi/2)(0.010 \text{ m})^4 [80(10^9) \text{ N/m}^2]} = +0.0716 \text{ rad}$$

کله چی د تاو زاویې f_B او $f_{A/B}$ سره جمع کوو د پای A چرخش پیدا کوو. دواړي زاویې یو شان جهت لری، انځور 5-18b. موږ لرو

$$\phi_A = \phi_B + \phi_{A/B} = 0.0134 \text{ rad} + 0.0716 \text{ rad} = +0.0850 \text{ rad} \quad \text{Ans.}$$

مثال 5.8



د یوه 2-in جامد د کست و سپنی پایه 24 in په خاوره کی ننوتلی ده. که چیری د کلک رینچ په واسط چی د پایي په سر کی دی تورک پلی شی، اعظمی شیرسترس په پایه او د تاو زاویه د رینچ معلوم کړي. فرض کړي چی تورک د پایي لاندی پای گرزیداته تیار کړی او خاوره یو شان تورژن مقاومت د $t \text{ lb. in/in}$ په 24 انچ اوږدوالي د پایي چی په خاوره کی ده جوړه وي. $G = 80 \text{ Gpa}$

حل (SOLUTION)

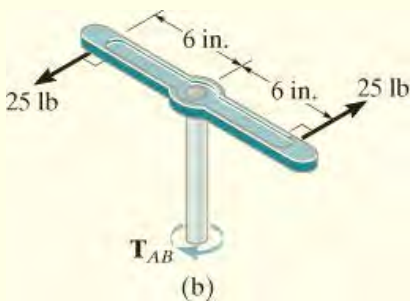
داخلي تورک (Internal Torque): داخلي تورک په برخه AB د پایي کی ثابت دی. له آزاد ډایگرام چی په انځور 5-19b کی ښودل شوي، مور لرو

$$\sum M_z = 0; \quad T_{AB} = 25 \text{ lb} (12 \text{ in.}) = 300 \text{ lb} \cdot \text{in.}$$

د مساوی ویشبل شوی تورک اندازه په خښه شوی برخه BC کی دغونډ پایي د توازن له معادلی پیدا کیري. له انځور 5-19c داسی لیکلی شو

$$\sum M_z = 0 \quad 25 \text{ lb} (12 \text{ in.}) - t(24 \text{ in.}) = 0$$

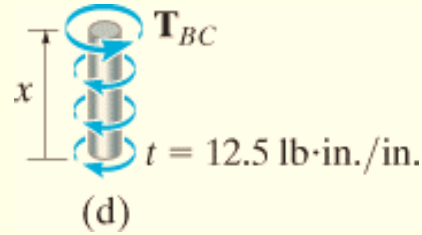
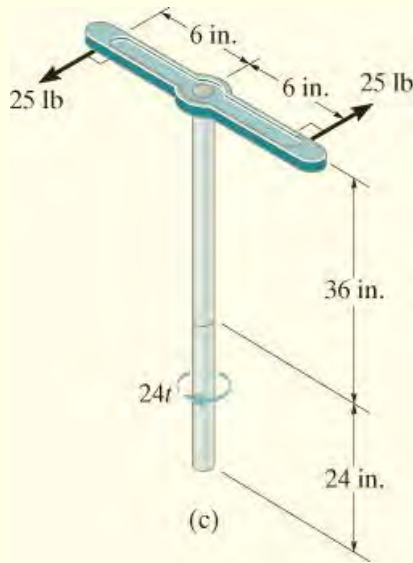
$$t = 12.5 \text{ lb} \cdot \text{in./in.}$$



له همدی امله د پایي لاندی برخی د آزاد ډایگرام څخه په فاصله x ، انځور 5-19d داسی لیکلی شو

$$T_{BC} - 12.5x = 0$$

$$T_{BC} = 12.5x$$



انځور 5-19

اعظمی شیبیر سترس (Maximum Shear Stress).

اعظمی شیبیر سترس د AB په برخه کی دی، ځکه چی تورک دلته اعظمی دی او د J ارزښت د پایي لپاره ثابت دی. د تورژن معادلي په اساس لیکلی شو

$$\tau_{\max} = \frac{T_{ABC}}{J} = \frac{(300 \text{ lb} \cdot \text{in.})(1 \text{ in.})}{(\pi/2)(1 \text{ in.})^4} = 191 \text{ psi} \quad \text{Ans.}$$

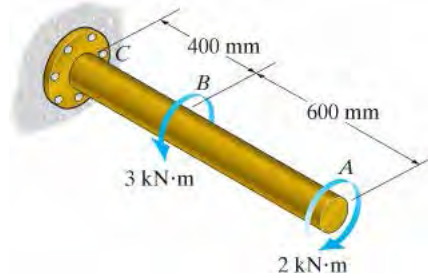
د تاو زاویه (Angle of Twist). د تاو زاویه په سر د پایي کی نسبت لاندی پایي ته پیدا کیدی شي، ځکه چی هغه پای کلک دی او په شروع د څرخیدو حالت کی دی. دواړه برخي AB او BC تاو خوري او مورر دا لاندی لرو

$$\begin{aligned} \phi_A &= \frac{T_{AB} L_{AB}}{JG} + \int_0^{L_{BC}} \frac{T_{BC} dx}{JG} \\ &= \frac{(300 \text{ lb} \cdot \text{in.}) 36 \text{ in.}}{JG} + \int_0^{24 \text{ in.}} \frac{12.5x dx}{JG} \\ &= \frac{10\,800 \text{ lb} \cdot \text{in}^2}{JG} + \frac{12.5[(24)^2/2] \text{ lb} \cdot \text{in}^2}{JG} \\ &= \frac{14\,400 \text{ lb} \cdot \text{in}^2}{(\pi/2)(1 \text{ in.})^4 5500(10^3) \text{ lb/in}^2} = 0.00167 \text{ rad} \quad \text{Ans.} \end{aligned}$$

بنسټيز سوالونه

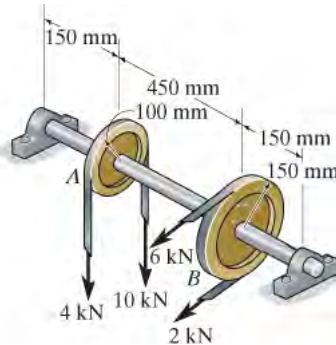
FUNDAMENTAL PROBLEMS

ب 5-9. دا لاندی فولادی شافت 60 mm قطر لري او بنودل شوی تورک ورباندی پلی شوي. د پای A د تاو زاویه نسبت C ته پیدا کړي. $G = 75 \text{ GPa}$.



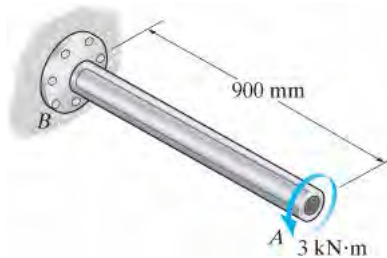
ب 5-9

ب 5-10. د څرخ (ویل) B د تاو زاویه نسبت څرخ (ویل) B ته پیدا کړي. د شافت قطر 40 mm او له فولادو جوړ شوي. $G = 75 \text{ GPa}$.



ب 5-10

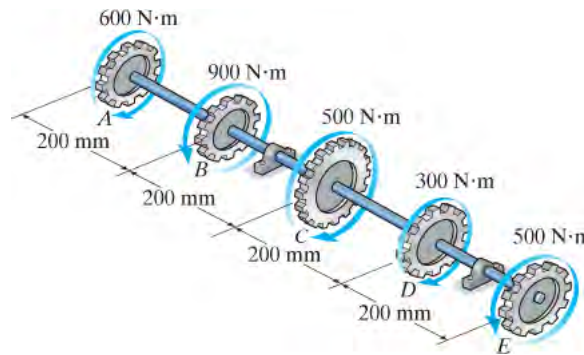
ب 5-11. دا لاندی شافت په شکل د تیوب له المونیم څخه جوړ شوی ، بهرنی شعاع یی $c_o = 40 \text{ mm}$ او داخلی شعاع یی $c_i = 30 \text{ mm}$ ده. د پای A د تاو زاویه معلومه کړي. د B اتکا ارتجاعي لکه تاویدونکی فنر (torsional spring) غوندی ده، چی $T_B = k_B \theta_B$ او تاویدونکی شخي یی $k_B = 90 \text{ kN.m/ra}$ (torsional stiffness) ده.



ب 5-11

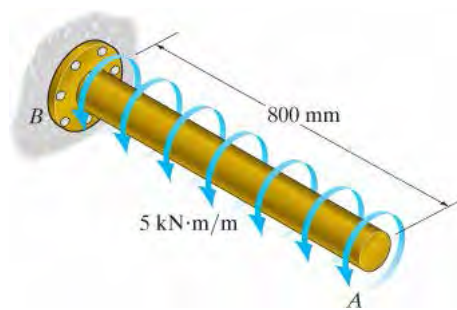
ب 5-12. په یو فولادی شافت یو لړگیرونو وصل شوی او د شافت قطر 40 mm دی. د E د گیر د تاو زاویه نسبت گیر A ته پیدا کړي.

$$G = 75 \text{ GPa}$$



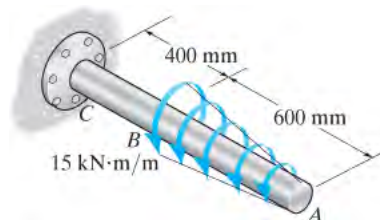
ب 5-12

ب 5-13. د 80-mm قطر شافت له فولادو جوړ شوي. که مساوی ویشل شوی تورک ورباندی پلی شي، د تاو زاویه د پای A پیدا کړي. $G = 75 \text{ GPa}$ دی



ب 5-13

ب 5-14. د 80-mm قطر شافت له فولادو جوړ شوي. که چیری مثلثي ویشل شوی بار ورباندی پلی شي، د تاو زاویه د پای A پیدا کړي. $G = 75 \text{ GPa}$ دی.



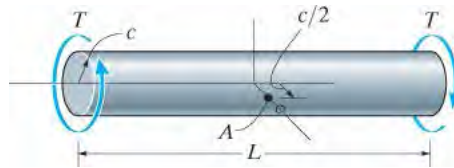
ب 5-14

سوالونه

PROBLEMS

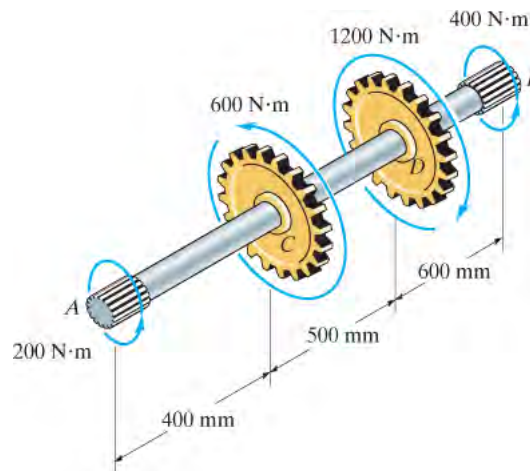
س 5-47. د کښتۍ پروپیلر (propellers) د A-36 فولادو شافت سره وصل دي چې 60 متره اوږدوالی لري او بهرنی قطر یې 340 mm او داخلي قطر یې 260 mm دي. که د بریښنا تولید 4.5 میگاواټه وي کله چې شافت په 20 rad/s دورانی سرعت ګرځي، نو په شافت کې اعظمي تاویدونکی سترس (torsional stress) او د هغې د تاو زاویه معلومه کړئ.

س* 5-48. یو جامد یا کلک شافت چې شعاع یې c ده په دواړو پایلو کې تورک T ورباندې عمل کوي. وښایاست چې په شافت کې اعظمي شیبیر سترین $g_{max} = Tc/JG$ دی. په یوه ټوټه چې د A په ټکی کې چې د شافت له مرکز څخه $c/2$ موقعیت لري، د شیبیر سترین څه شی دی؟ د شیبیر سترین تحریف ددی ټوټې سکيچ (رسم) کړي.



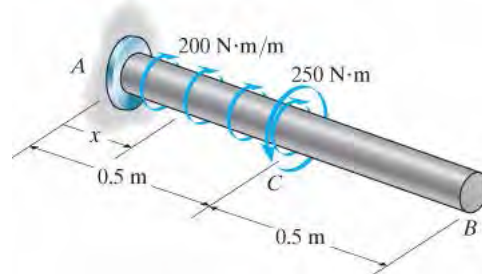
س 5-48

س 5-49. په یوه A992 فولادی شافت چې دواړه پایلی یې سپلانید (splined) او ګیرونه ورباندې وصل دي ښودلشوی تورکونه پلي شويدي. د پای B د تاو زاویه نسبت پای A ته پیدا کړي. د شافت قطر 40 mm دی.



س 5-49

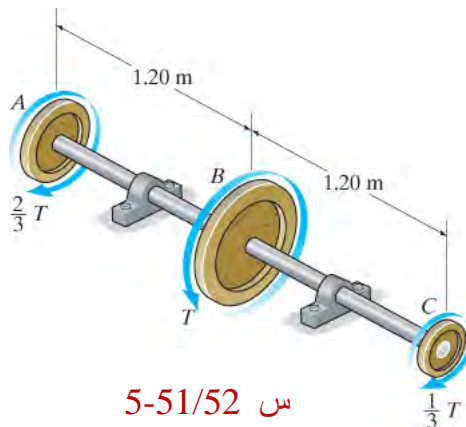
س 5-50. د و A-36 فولاد و شافت چی 50 mm قطر لري یویشلشوی او تمرکزی بار ورباندی پلی شوي. مطلق اعظمی شیر سترس په شافت کی پیدا کړي او د تاو زاویه د شافت په راډیان د x فاصلی په مقابل کی رسم کړي.



س 5-50

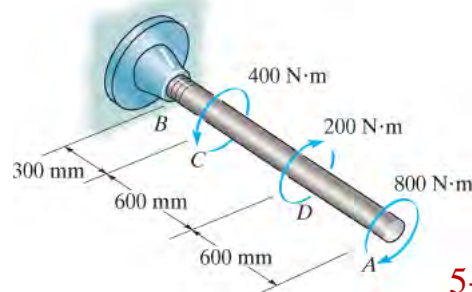
س 5-51. دا لاندی شافت چی 60-mm قطر لری له المونیم 6061-T6 جوړ شوی. د منلو وړ شیبیر سترس $t_{\text{allow}} = 80 \text{ Mpa}$ دی اوس د منلو وړ اعظمی تورک T پکی معلوم کړي. او هم د تاو زاویه د ډیسک A نسبت ډیسک C ته پیدا کړي.

س *5-52. دا لاندی شافت 60-mm قطر لری او له المونیم 6061-T6 جوړ شوی. که چیری د منلو وړ شیبیر سترس $t_{\text{allow}} = 80 \text{ Mpa}$ وی، د تاو زاویه د ډیسک A نسبت ډیسک C ته محدوده شوی چی تر 0.06 rad ډیره نشي، د منلو وړ اعظمی تورک T معلوم کړي.



س 5-51/52

س 5-53. د A992 فولادو جوړ شوی شافت 50-mm قطر لري او بنودل شوی تورک پری پلی شوي. د پای A د تاو زاویه وټاکي.

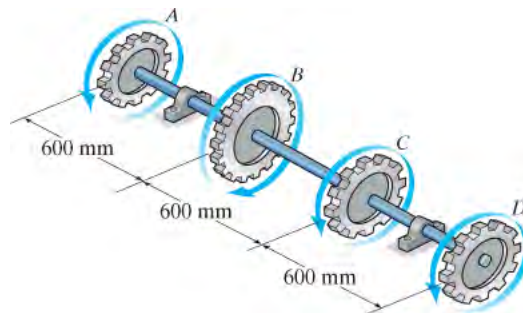


س 5-53

س 5-54. شافت د A992 فولادو څخه جوړ شوی چې د منلو وړ شیبیر سترس

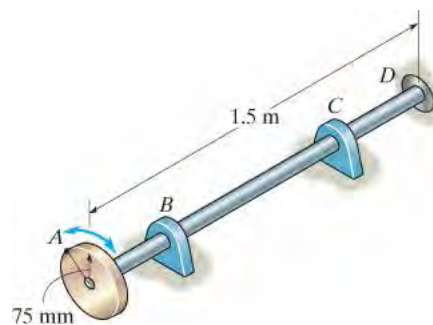
دی. که چیرې گیر B د 15 کیلو واټه توانایي چمتو کړي، پداسې حال کې چې گیر A ، C او D په ترتیب سره 4 kW، 6 kW او 5kW خورې (مصرفوی). د اړتیا وړ لږ تر لږه قطر د شافت نږدې ملی متر ته وټاکئ. همدارنگه، د گیر A د تاو زاویه نسبت گیر D ته ومومئ. شافت په 600 rpm کې گرځي.

س 5-55. گیر B چه په دی لاندی انځور کی بنودل شوي 15 kW توانایي چمتو کوي، پداسې حال کې چې گیر A ، C او D په ترتیب سره 4 kW، 6 kW او 5 kW خورې. که شافت له فولادو څخه جوړ شوی وی چې د منلو وړ شیبیر سترس یې $t_{allow} = 75 \text{ MPa}$ ، او د هر دوو گیرونو تر منځ د تاو زاویه نشي کولی د 0.05 rad څخه ډیره وي، د شافت اړین لږ تر لږه قطر تر نږدې ملی متره پورې مشخص کړئ. شافت په 600 rpm کې گرزی.



س 5-54/55

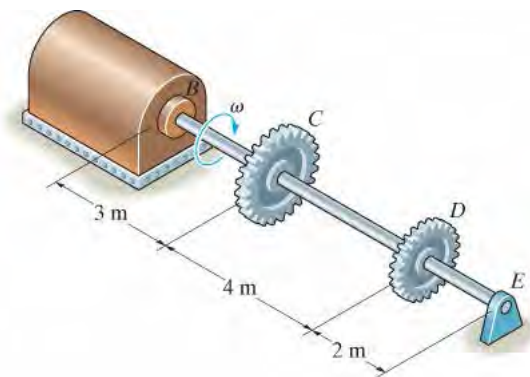
س 5-56*. خرڅیدونکی فلاي ویل (flywheel-and-shaft) او شافت، کله چې په D کې ناڅاپه ودرول شی، د ساعت په لور - د ساعت په مقابل لور په حرکت پیل کوي او A ټکی د فلاي ویل په بهرنی څنډه کې 6 mm قوس په اندازه بې ځایه کيږي. په ټیوبی A-36 فولادی شافت کې رامینځته شوی اعظمي شیبیر سترس د دې حرکت له امله معلوم کړي. د شافت داخلي قطر 24 ملی متره او بهرنی قطر یې 32 میلی متره دی. بیرنگونه په B او C کې شافت ته اجازه ورکوي چې په آزاده توګه وګرځي، پداسې حال کې چې د D په اتکا کې شافت ټینګ تړل شوی.



س 5-56

س 5-57. دا لاندی توربین 150 کیلوواته بریننا رامینخته کوي ، کوم چي گيرونو ته لیږدول کيږي. چي گیر C او D په ترتیب سره 70% او 30% ترلاسه کوي. که شافت د A-36 فولادو څخه جوړ او 100 - mm قطر لري او گردش يي 800 rev/min وي، په دی شافت کي مطلق اعظمي شپير سترس مشخص کړئ. او د شافت د پای E د تاو زاويه نسبت B ته معلومه کړي. په E کې د ژورنال بییرنگ شافت ته اجازه ورکوي چي په خپل محور په آزاده توگه وگرځي.

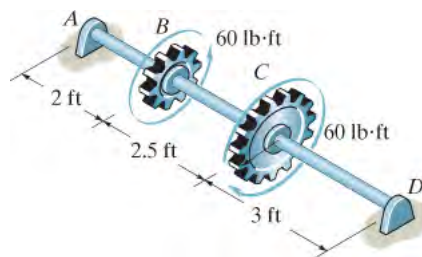
س 5-58. توربین 150 کیلوواته بریننا رامینخته کوي ، کوم چي گيرونو C او D ته مساوی مقدار لیږدول کيږي. که شافت له A-36 فولادو څخه جوړ او 100 - mm قطر ولري، او گردش يي 500 rev/min وي، په دی شافت کي مطلق اعظمي شپير سترس مشخص کړئ. او د شافت د پای B گردش (rotation) نسبت E ته معلومه کړي. ژورنال بییرنگ په E کې شافت ته اجازه ورکوي چي په خپل محور په آزاده توگه وگرځي.



س 5-57/58

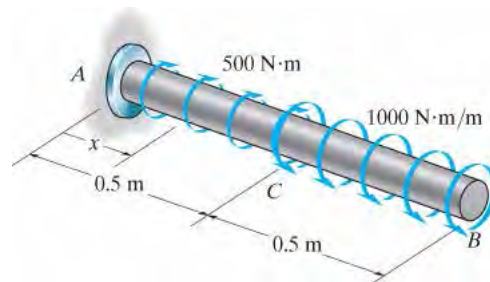
س 5-59. شافت د A992 فولادو څخه جوړ او 1-in قطر لري . په A او D کې يي له بییرنگونو لخوا ملاتړ کيږي، کوم چي اجازه ورکوي په آزاده توگه وگرزی. د B د تاو زاويه نسبت D ته پیدا کړئ.

س 5-60*. شافت د A-36 فولاد جوړ شوی او 1-in قطر لري . په A او D کې يي له بییرنگونو لخوا ملاتړ کيږي، کوم چي اجازه ورکوي په آزاده توگه وگرزی. د گیر C د تاو زاويه نسبت B ته پیدا کړئ.



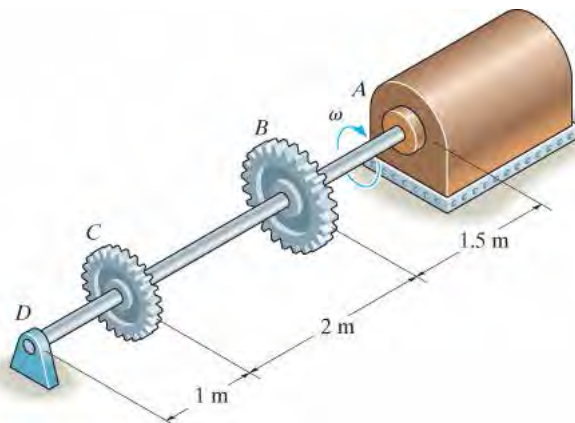
س 5-59/60

س 5-61. شافت د A992 فولادو څخه جوړ او 50-mm قطر لري ، او یو ویشل شوی بهرنی بار ورباندې پلي شوی. مطلق اعظمی شیر سترس په شافت کې مشخص کړی او د تاو زاویه د شافت په رادیان د فاصله x په مقابل کې رسم کړي.



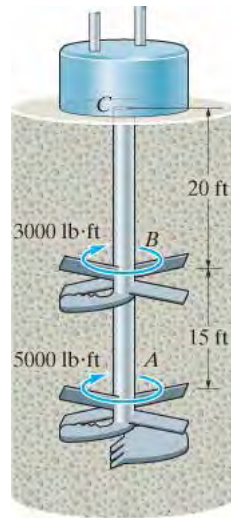
س 5-61

س 5-62. توربین 300 کیلوواته بریښنا رامینځته کوي ، کوم چې ګیرونو C او B ته مساوی مقدار لیردول کيږي. که شافت له A992 فولادو څخه جوړ او 100 - mm قطر ولري، او گردش یې 600 rev/min وي ، په دې شافت کې مطلق اعظمی شیر سترس مشخص کړئ. او د شافت د پای D گردش (rotation) نسبت A ته معلوم کړي. په D کې ژورنال بیبرنگ شافت ته اجازه ورکوي چې په خپل محور په آزاده توګه وګرځي.



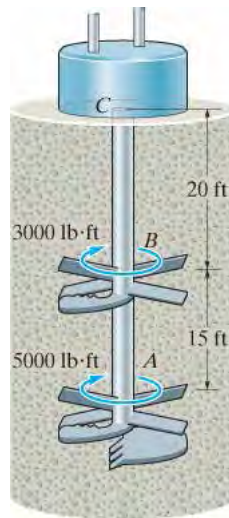
س 5-62

س 5-63. بنودل شوي وسیله د خاوري مخلوط کولو لپاره کارول کيږي تر څو د ساحی خاوري په حالت کې ثبات راولی. مکسر (mixer) له یو A-36 فولادی تیوبی شافت چې د 3 انچ داخلي قطر او 4.5 انچ خارجي قطر لري وصل دی. د تاو زاویه د شافت په A کې نسبت C ته پیدا کړی ، کله چې د میکسر په هر ه تیغه بنودل شوي تورکونو عمل وکړی.



س 5-63

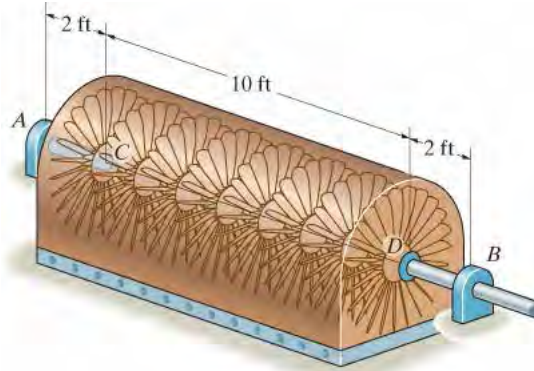
س 5-64* بنودل شوي وسیله د خاوري مخلوط کولو لپاره کارول کيږي تر څو د ساحی خاوري په حالت کی ثابت راولی. مکسر (mixer) له یو A-36 فولادی تیوبی شافت چي د 3 انچ داخلي قطراو 4.5 انچ خارجي قطر لري وصل دی. د تاو زاویه د شافت په A کی نسبت B ته پیدا کړی او هم اعظمی شیبیر سترس په شافت کی معلوم کړي. د میکسر په هره تیغه په لاندی انځور کی د بنودل شوي تورکونو عمل کوی.



س 5-64

س 5-65 د دی لاندی توربین شافت 6-in قطر لري اوله L-2 فولادو څخه جوړ بنوي. د شافت په A او B کی يي د ژورنال بیرنگونو په واسطه ملاتړ کيږي. که په C کی کلک تړل شوی وي، او د توربین تیغونه په شافت کی تورک چي په C کی صفر او په خطي ډول D ته 2000

lb.ft لوريږي، د تاو زاويه د شافت په D کې نسبت C ته مشخص کړئ. همدارنگه، مطلق اعظمي شير سترس په شافت کې محاسبه کړئ. د تيغونو اندازه په پام کې مه نيسئ.



س 5-65

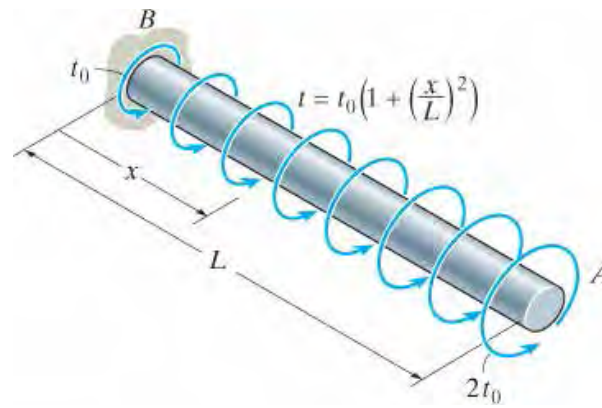
س 5-66. د A-36 فولادو جوړ شوی خالي شافت 2 متره اوږد دی او بهرنی قطري 40 ملي متره دی. کله چې دا په 80 rad/s کې ګرځي له انجن E څخه 32 kW بریښنا جنراتور G ته لیږدوي. د شافت ترتولو کوچنی ضخامت معلوم کړئ که چیرې د منلو وړ شير سترس $t_{\text{allow}} = 140 \text{ MPa}$ وي او شافت تر 0.05 راديان ډیرتاو نشي.

س 5-67. د A-36 جامد فولادو شافت 3 متره اوږد دی او 50 ملي میتر قطر لري. اړتیا ده چې دا 35 کیلووات بریښنا له انجن E څخه جنراتور G ته ولیږدوي. د شافت ترتولو کوچنی تاویدونکی سرعت (angular velocity) معلوم کړئ که چیرې شافت محدود شوی چې له 1° (یو درجې) څخه ډیرتاو و نخوري.



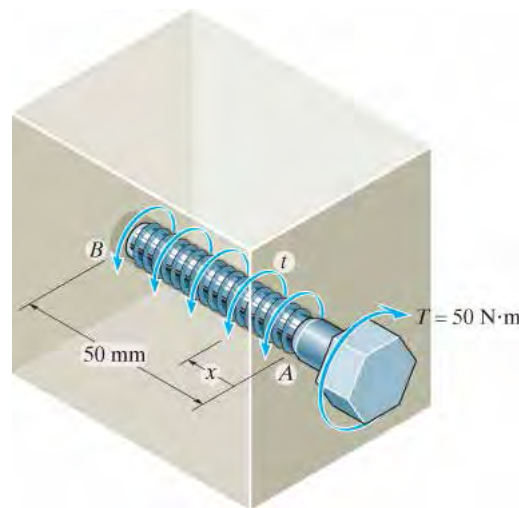
س 5-66/67

س* 5-68. د لاندې شافت شعاع c دی او ویشل شوی تورک t چې اندازه کېږي په تورک/اوږدوالي د شافت. د تاو زاويه په پای A کې معلومه کړي. د شير ماجولس G دی.



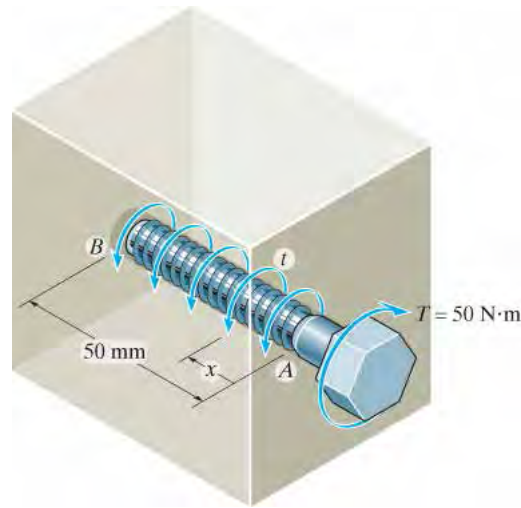
س 5-68

س 5-69. یو د A-36 فولادو بولت په سوری کی داسی ټینگ شوی چی په لنګي (shank) کی یی د ریکشن ټورک په معادله $t = (kx^2) N \cdot m/m$ بنودل شوی. پدی معادله کی x په متر اندازه کیږی. که چیری ټورک $T = 50 N \cdot m$ د بولت په سر پلی شی د ثابت ضریب k ارزشت او د تاومقدار په 50-mm اوږدوالي د بولت کی معلوم کړی. فرض کړی چی د بولت د لنګي شعاع ثابت او 4-mm ده.



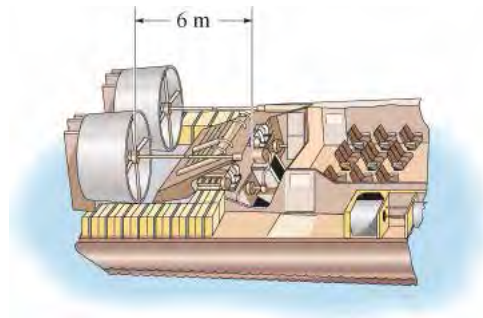
س 5-69

س 5-70. یو د A-36 فولادو بولت په سوری کی داسی ټینگ شوی چی په لنګي (shank) کی یی د ریکشن ټورک په معادله $t = (kx^{2/3}) N \cdot m/m$ بنودل شوی. پدی معادله کی x په متر اندازه کیږی. که چیری ټورک $T = 50 N \cdot m$ د بولت په سر پلی شی 39 کی معلوم کړی. فرض کړی چی د بولت د لنګي شعاع ثابت او 4-mm ده.



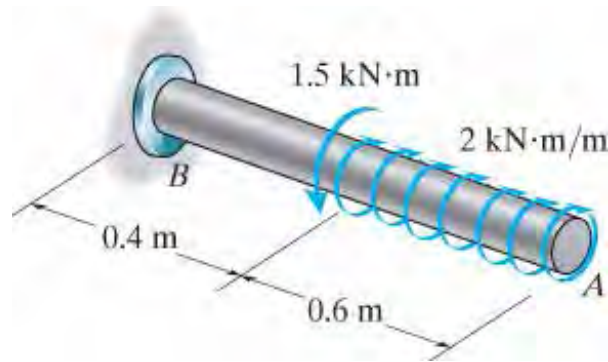
س 5-70

س 5-71. په لاندی انځور کی تیوبي ډرایو شفت د هور بیړي پراپلر (propeller of a hovercraft) 6 متره اوږد والی لری. موتور $4MW$ توانایي شافت ته لیږدوی کله چی پراپلر (propellers) په 25 rad/s سرعت گززی. د شافت داخلی قطر معلوم کړي په داسی حال کی چی بهرنی قطری 250 mm دی. او هم د شافت د تاو زاویه معلومه کړي کله چی گززی. دلته د منلو وړ شپیر سترس $t_{allow} = 90 \text{ Mpa}$ او د $G = 75 \text{ Gpa}$ دي.



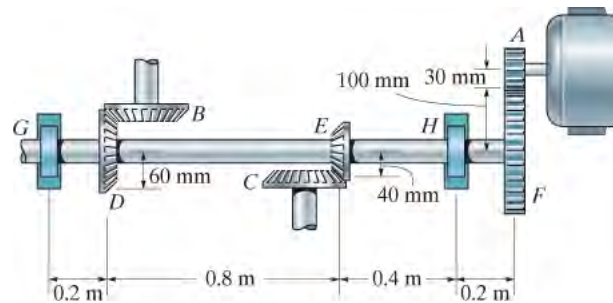
س 5-71

س *5-72. په دی لاندی انځور کی بنودل شوی شافت 60-mm قطر لري او له المونیم-2014 T6 څخه جوړ شوي. په شافت ویشل شوی او یو ثابت تاویدونکی بار پلی شوي. د تاو زاویه د پای A د شافت معلومه کړي.



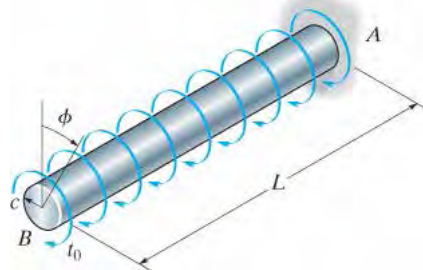
س 5-72

س 5-73. موتور یو تورک $T=20 \text{ N}\cdot\text{m}$ په گیر A پلی کوی. که چیرې گیر C په ناڅاپه و تړل شی چی نورنه تاویري، په داسی حال کی چی گیر B کولی شي په آزاده توگه وگرځي. د تاو زاویه د F نسبت E او D ته د $L2$ فولادو شافت د پاره وټاکي. دا شافت داخلی قطر 30-mm او بهرنی قطر 50 mm دي. هم دا رنگه، په شافت کی د مطلق اعظمي شیبیر سترس محاسبه وکړی. د شافت په H او په G کی د ژورنال بیرینگونو په واسطه ملاتړ کیري.



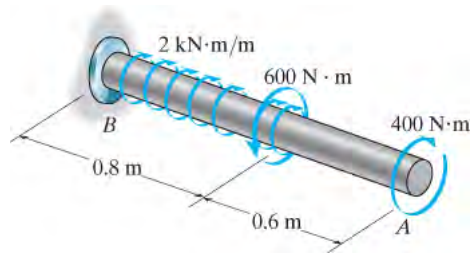
س 5-73

س 5-74. د لاندی شافت شعاع c دی او ویشلسوی تورک په واحد اوږدوالي t_0 د شافت په اوږدوالي L پلی شوی. شافت په پای A کی کلک تړل شوي، د تاو زاویه ϕ په پای B کی معلوم کړي. د شیبیر ماجولس G دی.



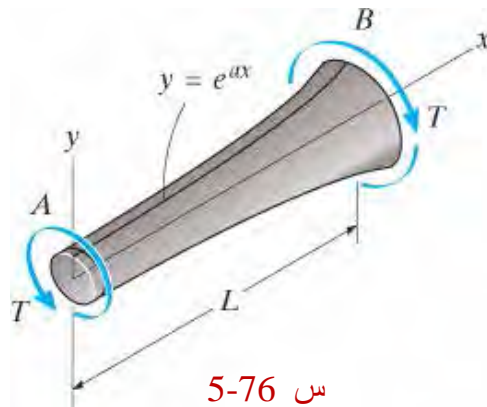
س 5-74

س 5-75. په دی لاندی انخور کی بنودل شوی شافت 60-mm قطر لري او له A-36 فولادو څخه جوړ شوي. په شافت ویشل شوی او ثابت تاویدونکی بارونه پلی شوي. د تاو زاویه د آزاد پای A د شافت ددی بارونو له امله معلومه کړي.



س 5-75

س 5-76*. د شافت د سطحی کنټور (contour) په واسطه د معادله $y = e^{ax}$ تعریف شوی، چیرته چې a ثابت ضریب دی. که د شافت په پایلوکي تورک T پلی شوی و ی، د تاو زاویه د پای A نسبت پای B ته مشخص کړئ. د شیبیر ماجرلس G دی.



س 5-76

5.5 په ستا ټيکلی نا معلوم غړيو د تورک بار (STATICALLY INDETERMINATE TORQUE-LOADED MEMERS)

کله چې د توازن معادلی په تورژن بار شوي شافت پلی شی او دا معادلی کافی نه وی چې نا معلوم تورکونه د شافت وموندل شي، په دی حالت کی شافت ستا ټيکلی نا معلوم حالت لری. یو مثال ددی حالت په انخور 5-20 a کی بنودل شوی. لکه څنګه چې په آزاد ډیاگرام کې بنودل شوي، انخور 5-20b، د تورک ریکشنونه په A او B اتکا ووکي نامعلوم دي. د شافت محور سره، مور اړتیا لروچی:

$$\sum M = 0;$$

$$500 \text{ N}\cdot\text{m} - T_A - T_B = 0$$

د حل د ترلاسه کولو لپاره، مور کړی شو د هغه تحليل نه چی په 4.4 برخه کی بحث شوی گټه پورته کړو. اړین مطابقت دی ته اړتیا لري چی د تاو زاویه د شافت د یوه پای نسبت بل پای ته به صفر وی ځکه چی دواړه پایلونه کلک تړل شوي. له همدې امله:

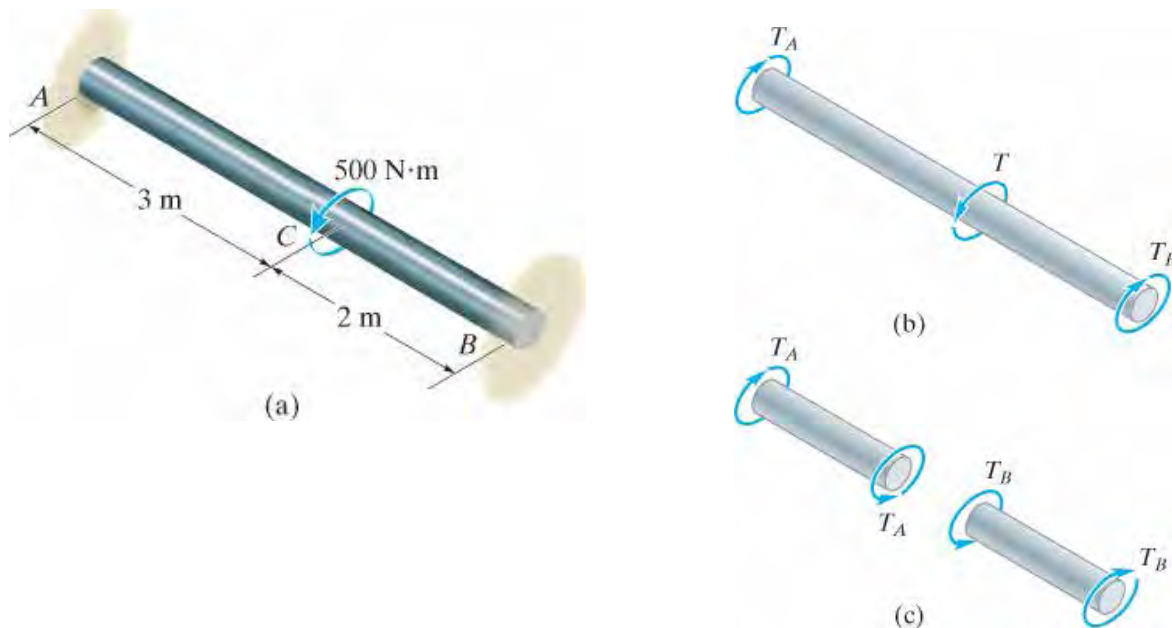
$$\phi_{A/B} = 0$$

په دې شرط چی مواد خطي ایلسټیک چلند ولري، مور بیا کولی شو چی د بار- بیخایه کیدنی اړیکې او د نا معلوم تورکونو څرگند کولو لپاره $f = TL/JG$ معادله پلي کړو. پوهیږو چی په AC برخه کی داخلي تورک $T_A +$ او په CB برخه کی دا $T_B -$ دی. په انځور 5-20c کی ووینو او لیکلی شو:

$$\frac{T_A(3 \text{ m})}{JG} - \frac{T_B(2 \text{ m})}{JG} = 0$$

پورتنی دوی معادلی د ریکشنو دپاره حل کو:

$$T_A = 200 \text{ N} \cdot \text{m} \quad \text{and} \quad T_B = 300 \text{ N} \cdot \text{m}$$



انځور 5-20

د تحلیل کرنلاره

PROCEDURE FOR ANALYSIS

د ستاتیکی نا معلوم شافتونولپاره، نامعلوم تورکونه، د توازن (equilibrium) معادلو، مطابقت (compatibility)، او بار- بیخایه کیدو (load-deflection) اړتیاوو پوره کولو سره پیدا کیدی شي.

توازن (Equilibrium)

د شافت آزاد ډایگرام رسم کړي تر څو ټول نا معلوم تورکونه چی پری عمل کوی معلوم شی. بیا د مؤمنت معادله د توازن لپاره د شافت په محور ولیکی.

مطابقت (Compatibility)

- د مطابقت مساوات ولیکی. دا چي اتکاوی، کله چی شافت تاو و خوري ، څرنګه محدودیتونه جوړه وی په پام کی ونیسی.

بار-بیخایه کیدنه (Load-displacement)

- د مطابقت په حالت کی د تاو زاویه د تورک سره چی د بار- بیخایه کیدو له اړیکو لکه $f = TL/JG$ په لاس رایی تشریح کړي.
- دا معادلی د نا معلوم تورکو ریکشنو لپاره حل کړي. که چیری مقدار د تورک منفي عددی ارزښت ولری، دا په دی معنی چی تورک خلاف د هغه جهت عمل کوی کوم چی په آزاد ډایگرام کی بنودل شوي.

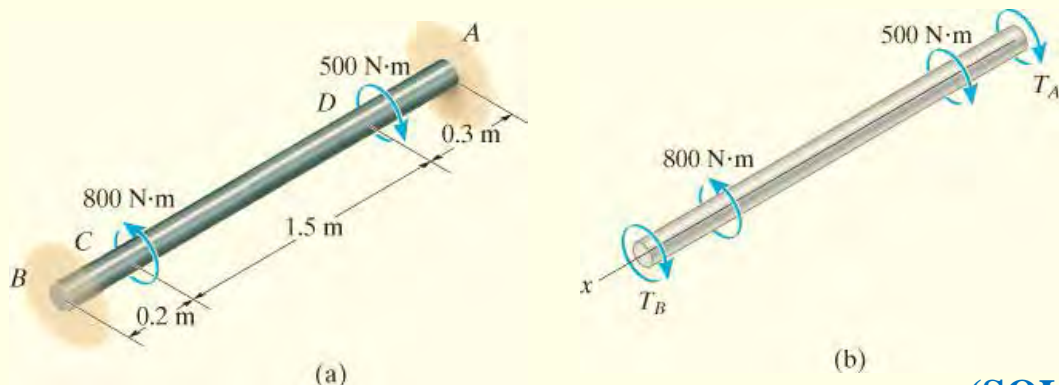


د دی غوڅولو ماشین شافت په دواړو پایلونو کی کلک تړل شوي، او یو تورک په ما بین کی پلي شوي تر څو د تاویدونکی فنر په توګه عمل وکړي.

مثالونه

مثال 5.9

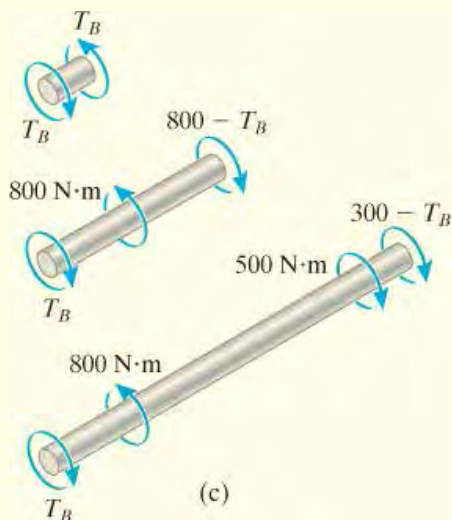
فولادی جامد شافت چی په 5-21a کی انخوری بنودل شوی، قطر لری 20 mm. که چیری دوه تورکونه ورباندی پلی شي، ریکشنونه په دوو کلکو تزل شویو پایلو A او B کی معلوم کړي.



حل (SOLUTION)

توازن (Equilibrium). د آزاد دایگرام په لیدو، انخور 5-21b، دایو ستاتیکی نا معلوم شافت دی، ځکه د توازن یوه معادله لرو او دلته دوه مجهوله دی. اړین دی:

$$\sum M_x = 0; \quad -T_B + 800 \text{ N}\cdot\text{m} - 500 \text{ N}\cdot\text{m} - T_A = 0 \quad (1)$$



انخور 5-21

مطابقت (Compatibility). څرنګه چې دواړه پایلونه د شافت کلک تړل شوي، د تاو زاویه د یو پای نسبت بل پای ته صفر ده. په دې اساس د مطابقت معادله داسې لیکلې شو:

$$\phi_{A/B} = 0$$

بار- بیخایه کیدنه (Load-displacement). دا حالت کیدي شی چې نا معلوم تورکونه د بار- بیخایه کیدو معادله $f = TL/JG$ سره تشریح شی. دلته شافت درې برخې لري چې داخلي تورک په کې ثابت دی. په انځور 5-21c کې آزاد ډاګرم لیدلې شو کوم چې داخلي تورکونه د شافت په چپو برخو پلي شوي. پدې لړ داخلي تورک تنها د T_B تابع دی. له علامو کنوانسیون چې په 5.4 برخه کې تشریح شوی کار اخلو:

$$\frac{-T_B(0.2 \text{ m})}{JG} + \frac{(800 - T_B)(1.5 \text{ m})}{JG} + \frac{(300 - T_B)(0.3 \text{ m})}{JG} = 0$$

پدې توګه:

$$T_B = 645 \text{ N} \cdot \text{m}$$

Ans.

له معادلي 1 کار اخلو:

$$T_A = -345 \text{ N} \cdot \text{m}$$

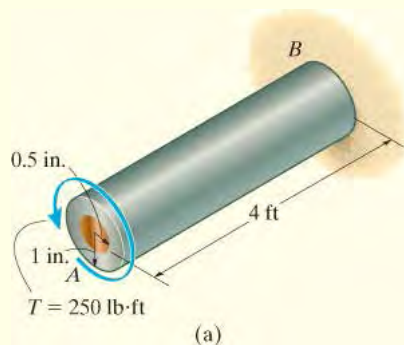
Ans.

دا منفي علامه په دې معني ده چې T_A خلاف دې هغه جهت چې په انځور 5-21b کې ښودل شوی عمل کوي.

مثال 5.10

په انځور 5-22a کې یو فولادی لوله شافت ښودل شوي. د لوله په داخل کې په یوه جامده برنجی هسته پوری تړل شوی. که یو تورک $T = 250 \text{ lb} \cdot \text{ft}$ په پای د شافت کې ورباندې پلي شي، د شیرر سترس ویش د غوڅي برخې په شعاع پلاټ کړي.

$$G_{st} = 11.4 (103) \text{ ksi}, G_{br} = 5.20 (10^3) \text{ ksi}$$



انځور 5-22

حل (SOLUTION)

توازن (Equilibrium). د شافت آزاد ډایگرام په انځور 5-22b کې بنودل شوي. ریکشن په دیوال کې عبارت دی له T_{st} په فولادی برخه کې T_{br} او په برنجی برخه کې. د انچ او پونډ له واحدونو کار اخلو، د توازن حالت داسې لیکلې شو:

$$-T_{st} - T_{br} + (250 \text{ lb} \cdot \text{ft})(12 \text{ in./ft}) = 0 \quad (1)$$

مطابقت (Compatibility). اړین ده چې د تاو زاویه په اخر پای د شافت د دواړو فولادی لولې او برنجی هستې یو شان وي، ځکه چې دواړه سره تړل شوي دي:

$$\phi = \phi_{st} = \phi_{br}$$

بار-بیخایه کیدنه (Load-displacement). د بار-بیخایه کیدو $f = TL/JG$ معادلي کار اخلو

$$\begin{aligned} \frac{T_{st}L}{(\pi/2)[(1 \text{ in.})^4 - (0.5 \text{ in.})^4] 11.4(10^3) \text{ kip/in}^2} \\ = \frac{T_{br}L}{(\pi/2)(0.5 \text{ in.})^4 5.20(10^3) \text{ kip/in}^2} \\ T_{st} = 32.88 T_{br} \end{aligned} \quad (2)$$

1 او 2 معادلي حل کوو:

$$T_{st} = 2911.5 \text{ lb} \cdot \text{in.} = 242.6 \text{ lb} \cdot \text{ft}$$

$$T_{br} = 88.5 \text{ lb} \cdot \text{in.} = 7.38 \text{ lb} \cdot \text{ft}$$

شیر سترس په برنجی هسته کې توپیر لری له صفر نه په مرکز کې تر اعظمی حده پوری چې د فولادی لولې داخلی تماس سطحی سره دی. د تورژن له فارمول کار اخلو:

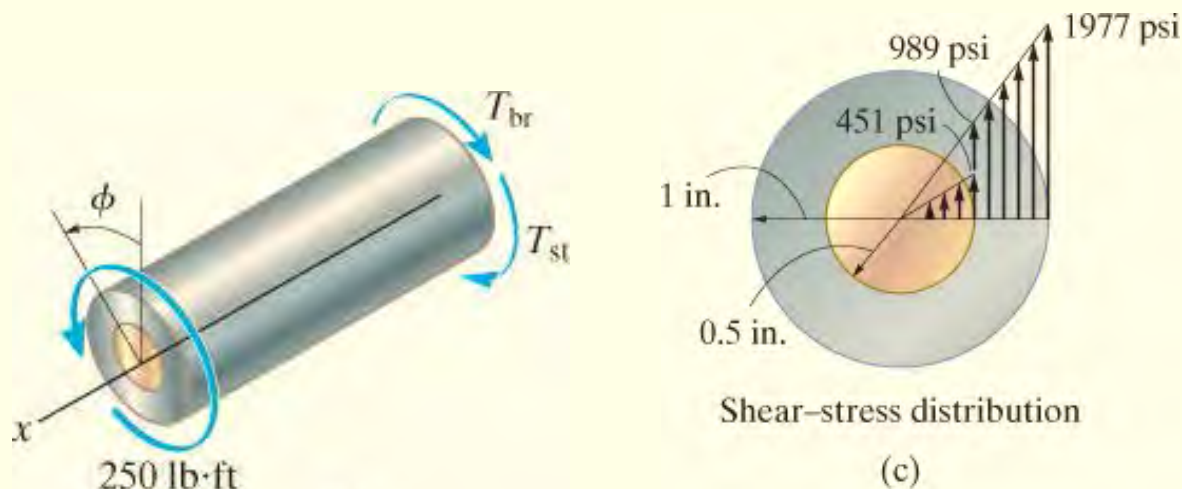
$$(\tau_{br})_{\max} = \frac{(88.5 \text{ lb} \cdot \text{in.})(0.5 \text{ in.})}{(\pi/2)(0.5 \text{ in.})^4} = 451 \text{ psi}$$

د فولادی لولی اعظمی او اصغری شیبیر سترسونه عبارت دی له:

$$(\tau_{st})_{\min} = \frac{(2911.5 \text{ lb} \cdot \text{in.})(0.5 \text{ in.})}{(\pi/2)[(1 \text{ in.})^4 - (0.5 \text{ in.})^4]} = 989 \text{ psi}$$

$$(\tau_{st})_{\max} = \frac{(2911.5 \text{ lb} \cdot \text{in.})(1 \text{ in.})}{(\pi/2)[(1 \text{ in.})^4 - (0.5 \text{ in.})^4]} = 1977 \text{ psi}$$

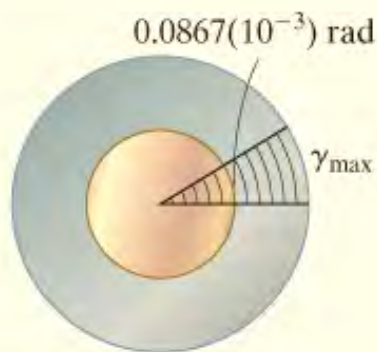
پایلی په انځور 5-22c کې رسم شوی. د فولادو لولی او برنجی هستی د تماس په سطح کې پام وکړی چې شیبیر سترس خطس دوام نلری. دا تمه کیده، ځکه چې د دواړو موادو سختوالی متفاوت دی. فولاد د برنجو په پرتله سخت دی، او پدې توگه دا په انټرفیس یا د تماس سطحه کې ډیر شیبیر سترس لري. که څه هم د شیبیر سترس دلته خطی دوام نلری، اما شیبیر سترس داسی ندی. بلکه، شیبیر سترس د فولادو او برنجو د انټرفیس دواړو خواو ته ورته دي لکه چې په انځور 22-5d کې لیدل کیږی.



(b)

Shear-stress distribution

(c)



Shear-strain distribution

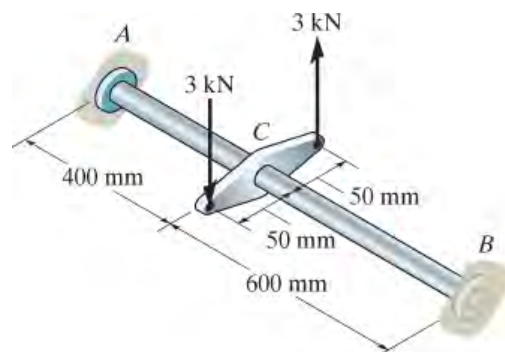
(d)

انځور 5-22 (ادامه)

سوالونه

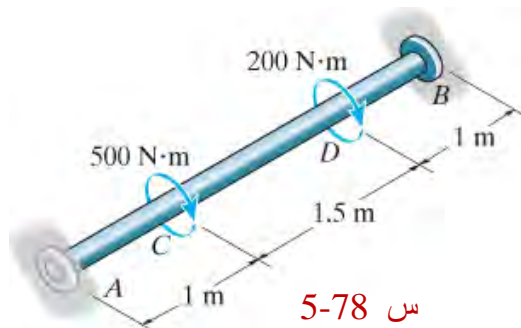
PROBLEMS

س 5-77. له فولادو جوړ شوی شافت 40 mm قطر لري او په دواړو پایلو A او B کې کلک تړل شوی دی. که چیرې بنودل شوی تورک ورباندې پلی شي اعظمی شیر سترس په AB او CB برخو د شافت کې معلوم کړي.



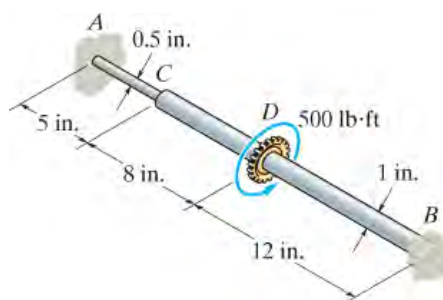
س 5-77

س 5-78. له A992 فولادو جوړ شوی شافت 60 mm قطر لري او په دواړو پایلو A او B کې کلک تړل شوی دی. که چیرې بنودل شوی تورک ورباندې پلی شي مطلق اعظمی شیر سترس په شافت کې معلوم کړي.



س 5-78

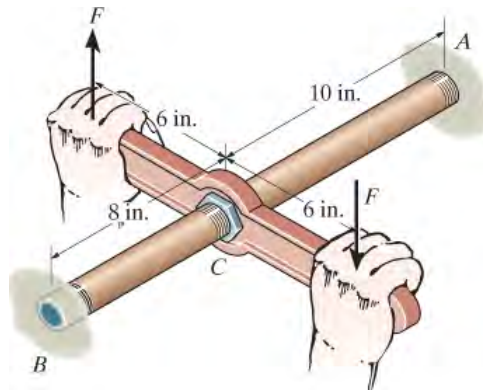
س 5-79. دا لاندی فولادی شافت له دوو برخو جوړ شوی: AC قطر 0.5 in دی، او د CB قطر 1.0 in دی. که چیرې دا شافت په A او B پایلو کې کلک تړل شوی او 500 lb-ft تورک ورباندې پلی شي په شافت کې اعظمی شیر سترس معلوم کړي. $G_{st} = 10.8 (103) \text{ ksi}$



س 5-79

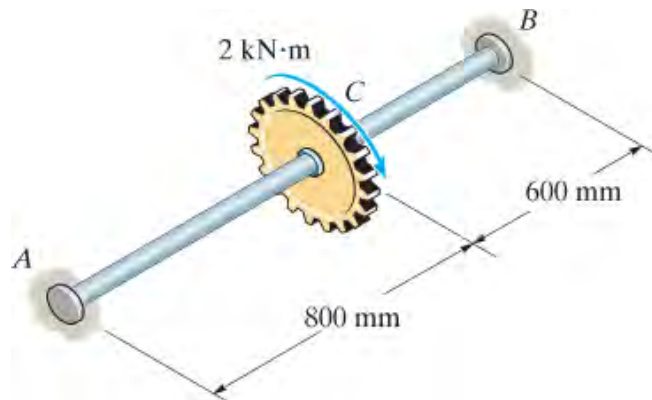
س 5-80* د C86100 برنجو پایپ بهرنی قطر 1.5 in او ضخامت یې 0.125 in لری. په C کی کپلینگ (coupling) د رینچ په ذریعه ټینګیري. که چیری تورک په A کی 125 lb.in جوړ شی مقدار د کپل قووي F معلوم کړي. پایپ په اتکا B کی کلک ټرل شوي.

س 5-81 د C86100 برنجو پایپ بهرنی قطر 1.5 in او ضخامت یې 0.125 in لری. په C کی کپلینگ (coupling) د رینچ په ذریعه ټینګیري. که چیری پلی شوی قوه $F=20$ lb وی. اعظمی شیبیر سترس په پایپ کی معلوم کړي.



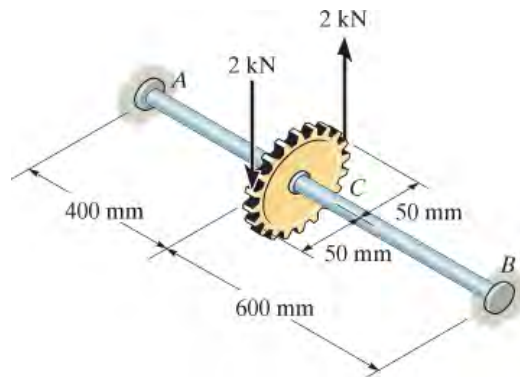
س 5-80/81

س 5-82 دا لاندی شافت له افزاری فولادو L2 څخه جوړ او 40 mm قطر لري، په اتکا A او B کی کلک ټرل شوي. که بنودل شوی تورک ورباندی پلی شی، اعظمی شیبیر ستریس په AC او CB برخو کی معلوم کړي.



س 5-82

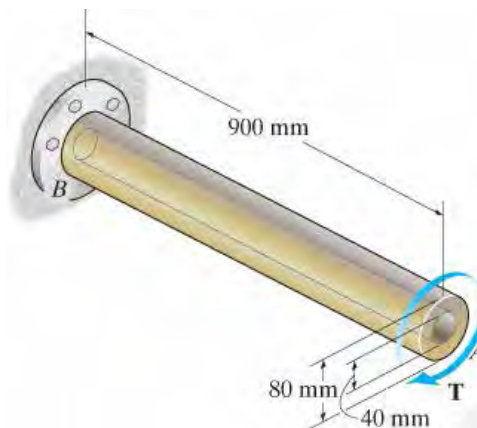
س 5-83. دا لاندی شافت له افزاري فولادو L2 څخه جوړ او 40 mm قطر لري، په اتکا A او B کې کلک تړل شوي. که بنودل شوی کپل قوه ورباندې پلي شي، اعظمی شیبیر ستریس په AC او CB کې معلوم کړي.



س 5-83

س 5-84*. د مگنیزیم Am1004-T61 تيوب د فولادو A-36 راډ سره سرینس (bonded) شوي. که د منلو وړ شیبیر سترس په مگنیزیم او فولادو کې په ترتیب سره $(t_{allow})_{mg} = 45 \text{ MPa}$ او $(t_{allow})_{st} = 75 \text{ MPa}$ وي، هغه اعظمی منل شوی تورک چی کیدی شي په A کې پلي شي پیدا کړي. او هم د تاو زاویه د A په پای پیدا کړي.

س 5-85. د مگنیزیم Am1004-T61 تيوب د فولادو A-36 راډ سره سرینس (bonded) شوي. که یو تورک $T = 5 \text{ kN.m}$ په A کې پلي شي اعظمی شیبیر ستریس په هر یوه موادو کې پیدا کړي. او هم د شیبیر سترس ویش رسم کړي.

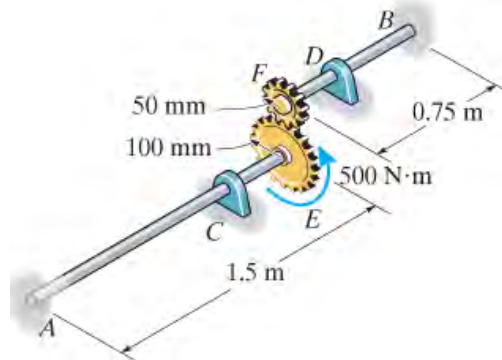


س 5-84/85

س 5-86. دا لاندی دوه شافتونه له فولادو A-36 جوړ شوي، او په پای کې گیرونه ورباندې کلک تړل شوي. دا شافتونه د گیرونو په واسطه د یو بل سره وصل شوي، او په بل پایلونه یې په A او B اتکاو کې کلک تړل شوي. ژورنال بیرینگ C او D دی شافتونو لپاره اتکا هم جوړه کړي

چی کولای شی په بیرینگ کی په آزاده توگه څرخ و مومي. که چیری تورک $500 \text{ N}\cdot\text{m}$ په گیر E پلی شی، ریکشنونه په A او B کی معلوم کری.

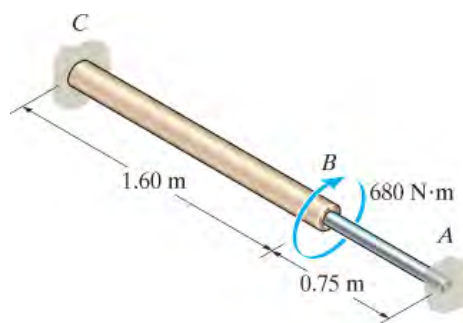
س 5-87. دا لاندی دوه شافتونه له فولادو A-36 جوړ شوي، او په پای کی گیرونه ورباندی کلک تړل شوي. دا شافتونه د گیرونو په واسطه د یو بل سره وصل شوی، او په بل پایونو یی په A او B اتکا وو کی کلک تړل شوي. ژورنال بیرینگ C او D دی شافتونو لپاره اتکا هم جوړه کړي چی کولای شی په بیرینگ کی په آزاده توگه څرخ و مومي. که چیری تورک $500 \text{ N}\cdot\text{m}$ په گیر E پلی شی، ددی گیر د تاو اندازه معلومه کری.



س 5-86/87

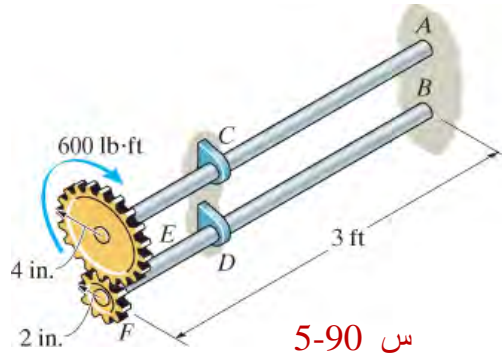
س 5-88*. دا لاندی راډ له دو برخو جوړ شوي: AB برخه فولاد او BC برخه برنجی ده. په پایونو کی کلک تړل شوي او یو تنورک $T = 680 \text{ N}\cdot\text{m}$ ور باندی پلی شوي. که چیری د فولادی راډ قطر 30 mm وی د برنجی برخه قطر په داسی حالت کی معلوم کړي چی د دواړو برخو ریکشنونه په دیوال کی یو شان وی. $G_{st} = 75 \text{ GPa}$ او $G_{br} = 39 \text{ GPa}$ دی.

س 5-89. په سوال 5-88 کی مطلق اعظمی شپیر سترس معلوم کړي.



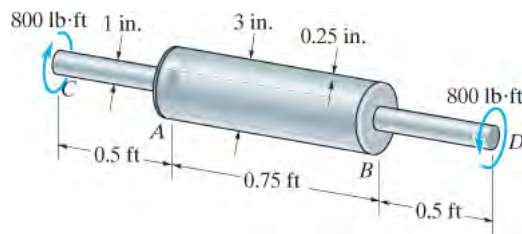
س 5-88/89

س 5-90. دا لاندی دوه دری فته (3-ft) اوږد شافتونه له المونیم 16-2014 څخه جوړ شوی. هر یو 1.5 in قطر لری او په پای کی د ډیرونو په واسطه له یو بل سره کلک تړل شوي. د دوی پاتی پایلونه په اتکا A او B کی کلک تړل شوي. په C او D بیرینگ کی اتکا وی لری چی شافتونه کولای شی په خپلو محورو ازاد وڅرخي. که چیری بنودل شوی تورک 600 lb-ft په برسیرن گیر پلی شی اعظمی شیر ستریس په هر شافت کی پیدا کړي.



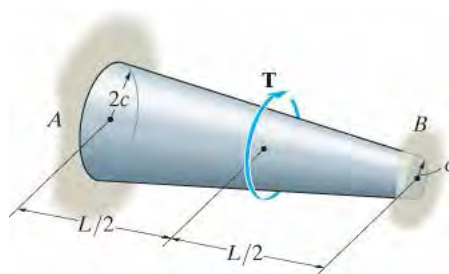
س 5-90

س 5-91. دا لاندی ترکیبی (composite) شافت شامل دی په منحنی برخه او 1-in قطر جامد شافت او یو تیوب چی په سختو فلجونو A او B کی په شافت ویدل شوی. ضخامت د فلنج په پام کی مه نیسي، تاو زاویه د پای C نسبت پای D ته معلومه کړي. په شافت یو تورک 800 lb-ft عمل کړي. مواد A-36 فولاد دی.



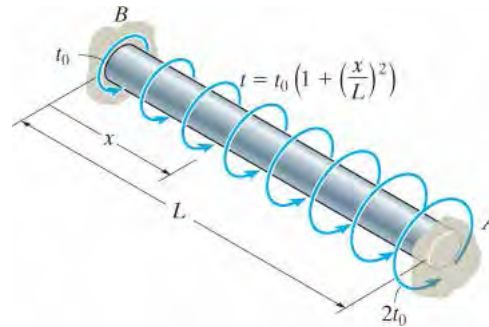
س 5-91

س 5-93. دا لاندی مخروطی شافت په دو کلکو اتکا وو A او B کی محدود شوي. که چیری یو تورک T په منحنی کی پری پلی شی په اتکاوو کی ریکشنونه و مومي.



س 5-93

س 5-94. په دی لاندی انځور کی بنودل شوی شافت شعاع c لری، او ویشل شوی تورک t ورباندی پلی شوی، چی تورک/ په اوږدوالي د شافت اندازه کیږی. په کلکو اتکاوو A او B کی ریکشنونه معلوم کړی.



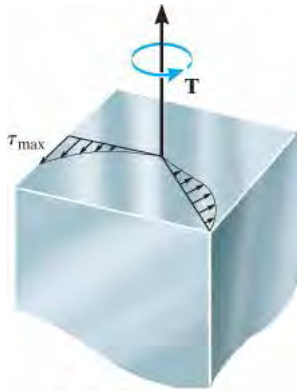
س 5-94

5.6* جامد شافتونه چی غوڅه برخه یی گرده نده (SOLID NON-CIRCULAR SHAFTS)

په 5.1 برخه کی مو ولیدل کله چی شافت گردی غوڅه ولری - دا چی په محورونو متناظروی او تورک ورباندی پلی شي، شپیر سترینونه به په مرکز د غوڅی کی له صفر څخه شروع او تراعتمی حده پورې چی په بهر سطحه وی، په خطی ډول توپیر لري. سربیره پردې، د یووالي له امله، غوڅه برخه تغیر د شکل نه مومي، اود شافت له تاویدو وروسته اواره (plane) پاتی کیږی. هغه شافتونه چی گردی غوڅه نلري، په محورونو نا متناظر حالت لری، کله چی تورک ورباندی پلی شی د دوی غوڅی اواره نه پاتی کیږی، له خپل موقعیت نه بیرون سطحی ته وځي (bulge) یا کور انځور (warp) مومي. دا شواهد د هغه حالت څخه لیدل کیږی شي څنگه چی په انځور 5-23 کی بنودل شوي د یوشافت چی مربع غوڅه برخه لری او ورباندی بنودل شوی څلورخواوی کرینی (grid lines) تغیر د انځور کوی. د دی تغیر د انځور له امله، د تورژن تحلیل د هغه شافتونو چی گردی غوڅه وه نلری خورا پیچلی کیږی او پدی متن کی به پرې بحث ونشي.

د ریاضی تحلیل له مخی چی د ایلستیستی تیوري پر اساس کار کوی د مربع غوڅی شافتونو د پاره د شیر ستریس ویش ټاکل شوی دي. دا چی په مربعی غوڅه کی شیر ستریس په دوو شعاعی کرینو څنگه توپیر لري په انځور 5-24a کی یی مثالونه بنودل شوی. او ځکه چی د دی شیر ستریس ویش توپیر لری، د شیر ستریس چی شیر ستریس رامینځته کوي لکه څنگه چی په انځور 5-24b کی بنودل شوي غوڅه برخه کږیږی.

په ځانگړې توگه، پام وکړي د شافت کونج ټکي ته چی د صفر شییر سترس سره مخ دي او له همدې امله د صفر شییر سترین سره. د دې لامل کیدای شي، د موادو یو عنصر په پام کې نیولو سره چې په دې کونج نقطو کې موقعیت لري په گوته شي. او دا په انځور 5-24c کی بنودل شوی. یو به تمه لري چې د دې عنصر پورتنی مخ به تابع د شییر وی تر څو بهرنی پلي شوی تورک T ته مرسته وکړي. اما دا نشي واقع کیدی، ځکه چې بشپړونکي شیر t او t' په بهرنی سطحه د شافت باید صفر وي.



شییر سترس ویش به دوه شعاعی کرینو

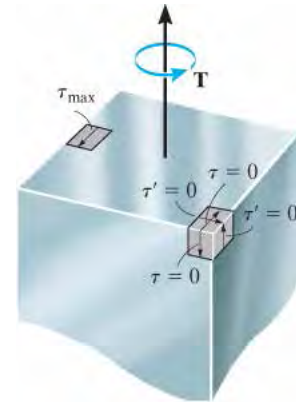
(a)



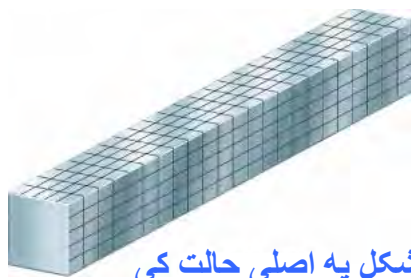
غوڅه برخی پیچ او تاب شوي

(b)

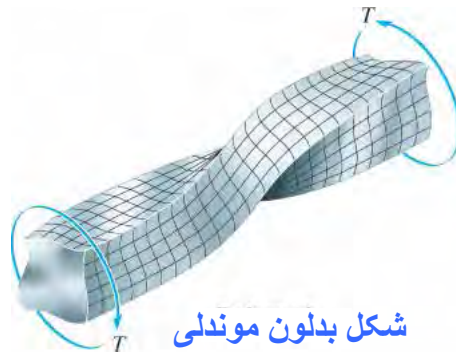
انځور 5-24



(c)

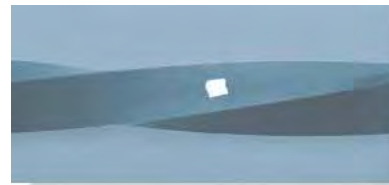


شکل په اصلی حالت کی



شکل بدلون موندلی

انځور 5-23



پام وکړي د مربع توتی د شکل بدلون، کله چی تورک په ربرین غړی پلي شوی

د الاستیستی اساس له مخی، جدول 5-1، د مربع غوڅی برخو، اود هغو شافتونو لپاره چی مثلثی او بیضوی غوڅی برخې لری، د تحلیل نتایج وړاندې کوی . په ټولو قضیو کې، اعظمی شیر سترس د غوڅی برخې په څنډه کې، په هغه ټکی کی چی د شافت مرکزی محور ته نږدې وی پینښیری. همدارنگه د تاو زاویی فورمولونه د هر شافت د پاره ورکړل شوی. د دې پایلو په پراخولو سره، دا کیدی شي وښودل شي چی خورا ډیر موثر شافت هغه دی چی گردی غوڅه ولری، ځکه چی کوچنی د تاو زاویه او کوچنی اعظمی شیر سترس لری، نسبت هغه شافت ته چی گردی غوڅه نلری مگر ورته مساحت لری او یو شان تورک ورباندی عمل وکړی.

جدول 5-1



شافت چی د خاوری د برمی سره ټرل شوی مربع غوڅه لری

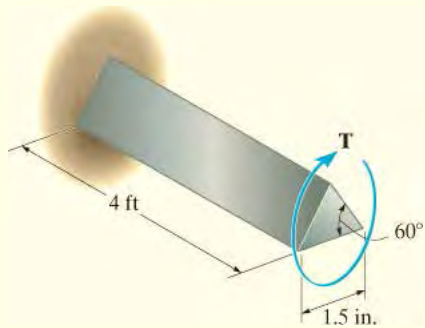
Shape of cross section	τ_{max}	ϕ
<p>Square</p>	$\frac{4.81 T}{a^3}$	$\frac{7.10 TL}{a^4 G}$
<p>Equilateral triangle</p>	$\frac{20 T}{a^3}$	$\frac{46 TL}{a^4 G}$
<p>Ellipse</p>	$\frac{2 T}{\pi ab^2}$	$\frac{(a^2 + b^2) TL}{\pi a^3 b^3 G}$

مثال

مثال 5.11

د 6061-T6 المونیم شافت په انځور 5-25 کی بنودل شوی او د مساوی اضلاعو مثلث په شکل غوڅه برخه لري. که چیری منل شوی شیر سترس $t_{\text{allow}} = 8 \text{ ksi}$ او د تاو زاویه $f_{\text{allow}} = 0.02 \text{ rad}$ محدوده شوی وی تر ټولو غټ تورک د شافت په اخر کی پیدا کړي. همدارنگه که چیری د شافت غوڅه برخه گردی وی څومره تورک په آخر د شافت کی پلی کیدی شي.

حل (SOLUTION)



محصله د داخلی تورک په هره برخه د شافت په امتداد د محوری کرنبي مساوی دی په T . له فورمول د اعظمی شیر t_{max} او f له جدول 5-1 کار اخلو. مور لرو

انځور 5-25

$$\tau_{\text{allow}} = \frac{20T}{a^3};$$

$$8(10^3) \text{ lb/in}^2 = \frac{20T}{(1.5 \text{ in.})^3}$$

$$T = 1350 \text{ lb} \cdot \text{in.}$$

Also,

$$\phi_{\text{allow}} = \frac{46TL}{a^4 G_{\text{al}}};$$

$$0.02 \text{ rad} = \frac{46T(4 \text{ ft})(12 \text{ in./ft})}{(1.5 \text{ in.})^4 [3.7(10^6) \text{ lb/in}^2]}$$

$$T = 170 \text{ lb} \cdot \text{in.}$$

Ans.

په پرتله کولو سره تورک د تاو زاویي له امله محدود دي.

گردی غوځه برخه (Circular Cross Section) که چیری گردی شافت ورته د المونیم اندازه او ورته اوږدوالی ولری بیا د گردی شافت شعاع په دی لاندی ډول محاسبه کیدی شي

$$A_{\text{circle}} = A_{\text{triangle}}; \quad \pi c^2 = \frac{1}{2} (1.5 \text{ in.}) (1.5 \sin 60^\circ)$$

$$c = 0.557 \text{ in.}$$

محدودیت د سترس او د تاوی زوایی اړین لری

$$\tau_{\text{allow}} = \frac{Tc}{J}; \quad 8(10^3) \text{ lb/in}^2 = \frac{T(0.557 \text{ in.})}{(\pi/2)(0.557 \text{ in.})^4}$$

$$T = 2170 \text{ lb} \cdot \text{in.}$$

$$\phi_{\text{allow}} = \frac{TL}{JG_{\text{al}}}; \quad 0.02 \text{ rad} = \frac{T(4 \text{ ft})(12 \text{ in./ft})}{(\pi/2)(0.557 \text{ in.})^4 [3.7(10^6) \text{ lb/in}^2]}$$

$$T = 233 \text{ lb} \cdot \text{in.}$$

Ans.

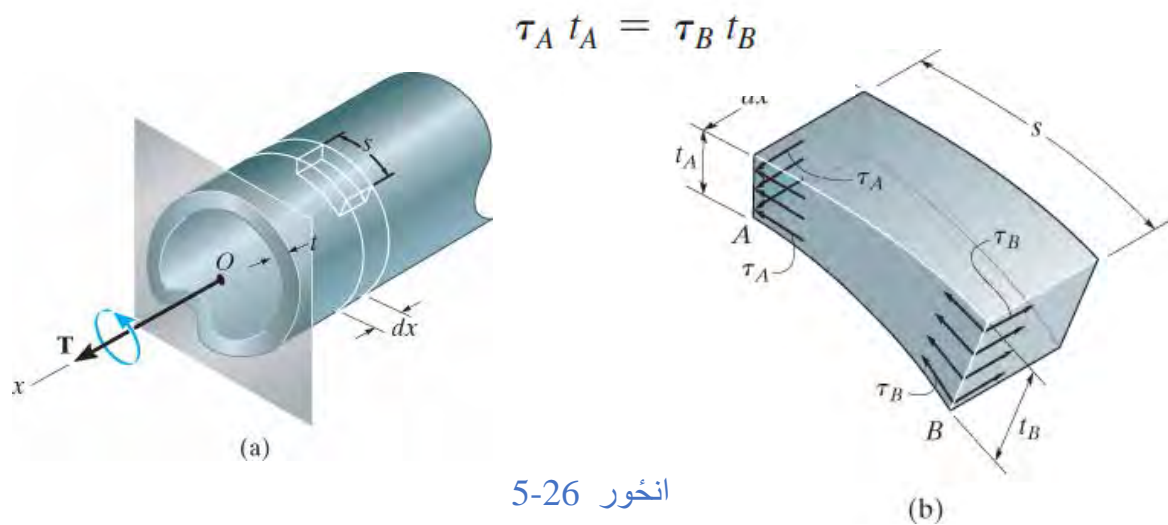
دلته بیا د تاو زاویه په پلی شوی تورک محدودیت لری.

یادونه: د پایلی په پام کی نیولو د (233 lb-in) له (170 lb, in) سره هغه شافت چی گردی غوځه برخه لری 37% ډیر تورک د مثلثی غوځی برخی په پرتله تحمل کولی شی.

5.7* . د نازک ضخامت شافتونه کوم چی ترلشوی غوځی برخی لری (THIN-WALLED TUBES HAVING CLOSED CROSS SECTIONS)

د غیر گردی غوځی برخی د نازک ضخامت تیوبونه اکثراً د سپک وزن چوکاټونو لکه د الوتکو په جوړولو کی کارول کیږی . په ځینو برخو کی ، ممکن د تورژن بار ورباندی عمل وکړی چی دلته به مور پدی غریو د تاویدو اغیزی تحلیل کړو. دلته به مور یو تیوب چی ټرل شوی غوځه برخه ولری په پام کی ونیسو چی دهغو په اوږدوالی کی هیڅ ډول خلا او یا درز نشته لکه په انځور-5-26a . څرنګه چی ضخامت ددی تیوبونو کوچنی دی، مور کړی شو چی د تیوب په ضخامت کی یو شان ویشل شوی شپیر سترس په هره حصه د تیوب کی فرض کړو.

شییر جریان (Shear Flow). په انځور 5-26a او 5-26b کی یوه کوچنی ټوټه د ټیوب چې یو محدود اوږدوالی s او توپیری پلنوالی dx لري بنودل شوي. په یوه پای کې د ټوټی ضخامت t_A دی، او په بل پای کې یی ضخامت t_B دی. د تورک T له امله، شییر سترس د عنصر په مخکینی سطحه کې رامینځته شوی. په ځانگړې توگه، په پای A کې شییر سترس t_A دی، او په پای B کې شییر سترس t_B دی. دا سترسونه یو بل سره تړاو لري چې مساوي په شییر سترسو د t_A او t_B باید د عنصر په اوږدوالي اړخونو کې هم عمل وکړي. دا اړخونه ثابت پلنوالی dx لري، او په دې توگه هغه قوه چې په دوی عمل کوي $dF_A = t_A (t_A dx)$ دي او $dF_B = t_B (t_B dx)$. ځکه تعادل د دې قواوو اړتیا لري چې مساوی شدت ولري مگر مخالف لوري. مور لرو:



دا مهمه پایله بڼیې چې محصول د اوسط شییر سترس او د ټیوب ضخامت د غوڅی برخی په هر ځای کې یو شان دی. دا محصول q د شییر جریان* په نوم یادېږي، او په عمومي اصطلاحاتو کې مور کولی شو په لاندی توگه یی بیان کړئ

$$q = \tau_{avg} t$$

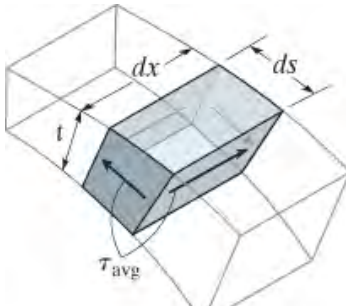
(5-17)

څرنګه چې q د غوڅی برخی په اوږدو کې ثابت دی، ترټولو لوی اوسط شییر سترس باید واقع شي په کوم ځای کې چې د ټیوب ضخامت ترټولو کوچنی وي.

*د "بهر یا جریان" اصطلاح له دې کبله کارول کېږي ځکه چې q لکه د اوبو جریان د مستطیل غوڅی برخی له لاري د یوه لینتی یا چینل، چې ثابت ژوروالی او متغیر سورلري، سره ورته دی.

که چیری یوه کوچنی ټوټه چی ضخامت یې t ، عرض یې dx او اوږدوالي یې ds له ټیوب څخه جلا شی، انځور 5-26c وگوری . بیا د مخی مخ یی چی اوسط شیبیر سترس ور باندي عمل کړی هغه عبارت دی په $dA = t ds$ او قوه $dF = t_{avg}(t ds) = q ds$ او یا $q = dF/ds$ په بل عبارت، د شیبیر جریان اندازه د قوی په هر واحد اوږدود غوڅی برخی $q = dF/ds$ کی ده.

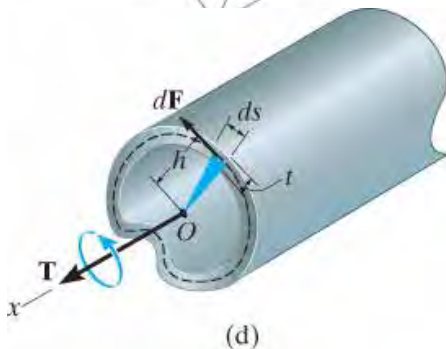
اوسط شیبیر سترس (Average Shear Stress). اوسط شیبیر سترس د ټورک T سره تړاو لري، چی د شیبیر سترس په واسطه چی په یوه ټاکل شوي نقطه O د ټیوب چی د ټیوب په حدودو کې وی ونیولشی، لکه چی په انځور 5-26d بنودل شوي. لکه چی بنودل شوی، شیبیر سترس په یو عنصر د ټیوب یو قوه رامینځته کوي $dF = t_{avg} dA = t_{avg}(t ds)$. دا قوه د مرکزی کربنی د ټیوب په دیوال مماس ده، او که د مؤمنت بازو یې h وي، ټورک عبارت دی په :



$$dT = h(dF) = h(\tau_{avg} t ds)$$

د ټول غوڅی برخی لپاره مور لرو:

$$T = \oint h \tau_{avg} t ds$$



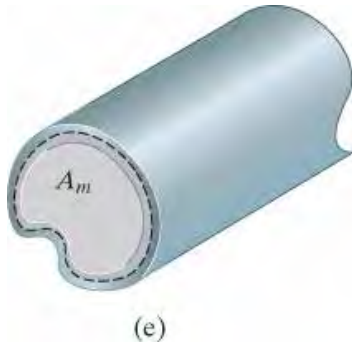
انځور 5-26 (تکرار)

دلته دا خطی انتیگرال داسی دی چی انتیگرال په ټول حدودو کی ونیول شي. څرنګه چی د شیبیر بهیر $q = t_{ave} t$ ثابت دی. او مور یې په دی لاندی ډول لیکلی شو

$$T = \tau_{avg} t \oint h ds$$

دا پورتنی معادله د یوه گراف په جوړیدو سره ساده کیدی شي ، په یاد ولری چی منحنی ساحه، چی په انځور 5-26d کې په نیلي رنگ مثلث په توګه بنودل شوي عبارت ده په $dA_m = (1/2)h ds$ او په دی توګه:

$$T = 2\tau_{\text{avg}} t \int dA_m = 2\tau_{\text{avg}} t A_m$$



اوسط شیبیر سترس t_{avg} لپاره لیکلی شو

$$\tau_{\text{avg}} = \frac{T}{2tA_m} \quad (5-18)$$

دلته

انخور 5-26 (تکرار)

t_{avg} = اوسط شیبیر سترس چی د تیوب په ځانگړي ضخامت عمل کړي

T = محصله د داخلی تورک په غوڅه برخه کی

t = د تیوب ضخامت په هغه برخه کی چی t_{avg} غوښتل شوي.

A_m = منځني ساحه چی مرکزی کربني د تیوب ضخامت ترلی ده ، او دا په انخور 5-26e کی د سیوری په ډول بنودل شوي.

څرنګه چی $q = t_{\text{avg}} t$ دی د شیبیر بهیر په غوڅه برخه کی کيږي

$$q = \frac{T}{2A_m} \quad (5-19)$$

د تاو زاویه (Angle of Twist) . د نازک ضخامت تیوبونو چی L اوږدوالي لری، د انرژي میتودونو په کارولو سره پیدا کیدی شي. د اړوندو فورمولونو جوړه ول به د کتاب په راتلونکی برخه کی راشی. * که چیری مواد خطی ایلیستک چلند ولري او شیر ماجولس G وی بیا زاویه f چی په رادیان اندازه کيږي عبارت ده په:

$$\phi = \frac{TL}{4A_m^2 G} \oint \frac{ds}{t} \quad (5-20)$$

دلته انټیګریشن د تیوب دغوڅی برخی په ټول ټرل شوی حدودی کی نیول کيږي.

مهم ټکي

(IMPORTANT POINTS)

- شپير بهير q حاصل دی ټيوب د ضخامت او اوسط شپير سترس دی. او دا ارزښت د ټيوب د غوڅي برخي په هره نقطه کي يو شان دي. په پايلي کي اعظمي اوسط شپير سترس په هغه برخه د غوڅي کي وي چي هلته ضخامت کوچني وي.
- شپير بهير او اوسط شپير سترس دواړه مماس په توگه د ټيوب د ديوال په هره نقطه کي وي ، او جهت يي د اسي وي چي د داخلي ټورک محصله تری لالس ته راځي.

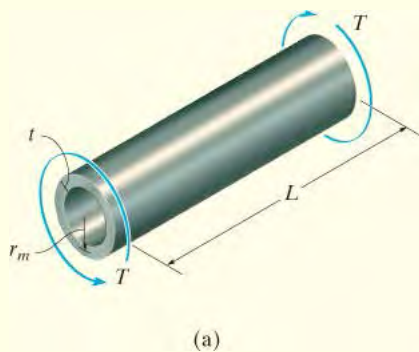
مثالونه

مثال 5.12

يو د نازک ديوال ټيوب چي گردی غوڅه برخه لري په انځور 5-27a کي بنودل شوي. ددی ټيوب متوسط شعاع r_m او ضخامت يي t دی او يو ټورک T ورباندي پلی شوي. اوسط شپير سترس او د تاو زاويه د ټيوب کله چي اوږدوالي يي L وي پيدا کړي.

حل (SOLUTION)

اوسط شپير سترس (Average Shear Stress)



انځور 5-27

منځيني ساحه د ټيوب مساوی ده په $A_m = \pi r_m^2$.

له معادلي 5-18 کار اخلو

$$\tau_{\text{avg}} = \frac{T}{2tA_m} = \frac{T}{2\pi t r_m^2}$$

Ans.

مور کولای شو چی ددی پایلی اعتبار او صحیحوالی یی د تورژن په فورمول سره په دی لاندی ډول و آزمی یو. دلته

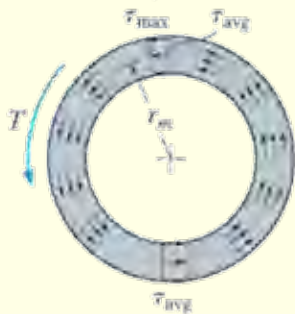
$$\begin{aligned}
 J &= \frac{\pi}{2} (r_o^4 - r_i^4) \\
 &= \frac{\pi}{2} (r_o^2 + r_i^2) (r_o^2 - r_i^2) \\
 &= \frac{\pi}{2} (r_o^2 + r_i^2) (r_o + r_i) (r_o - r_i)
 \end{aligned}$$

Since $r_m \approx r_o \approx r_i$ and $t = r_o - r_i$, $J = \frac{\pi}{2} (2r_m^2) (2r_m) t = 2\pi r_m^3 t$

$$\tau_{avg} = \frac{T r_m}{J} = \frac{T r_m}{2\pi r_m^3 t} = \frac{T}{2\pi t r_m^2} \quad \text{Ans.}$$

دا ځواب له پورتنی پایلی سره یوشان دی.

د شیبیر سترس اصلی ویش
(د تورژن فورمول)



اوسط شیبیر سترس ویش
(د نازک-دیوال تخمین)

(b)

انځور 5-27 (تکرار)

د اوسط شیبیر سترس ویش د تیوب په ټوله غوڅه برخه کی په انځور 5-27b کی بنودل شوی.

همدارنگه په شعاع کرینه د شیبیر سترس ویش چی د تورژن فورمول په واسط محاسبه شوی بنودل شوی. یاداشت کری کله چی د تیوب ضخامت کمیری شیبیر سترس په تیوب کی اوسط شیبیر سترس ته نیژدی کیری.

د تاو زاویه (Angle of Twist). له معادلی 5-20 کار اخلوچی لیکلی شو

$$\phi = \frac{TL}{4A_m^2 G} \oint \frac{ds}{t} = \frac{TL}{4(\pi r_m^2)^2 G t} \oint ds$$

دا انتیگرال د مرکز کربني د حد د اوږدوالي استازیتوب کوي، او هغه عبارت دی په $2\pi r_m$.
د ځای په ځای کولونه لاندی پایلی پلاس راځی.

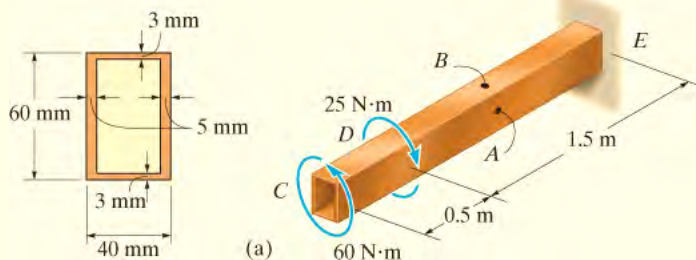
$$\phi = \frac{TL}{2\pi r_m^3 G t} \quad \text{Ans.}$$

تاسو وښایي کله چی له معادلی 5-15 کار واخلو یو شان پایلی به په لاس راشي.

مثال 5.13

دا لاندی تیوب مستطیلی غوڅه برخه لری او له برنجو C86100 موادو جوړ شوی. که چیری دوه
ښودلشوی تورك ورباندی پلی شی اوسط شپیر سترس په ټکیو A او B

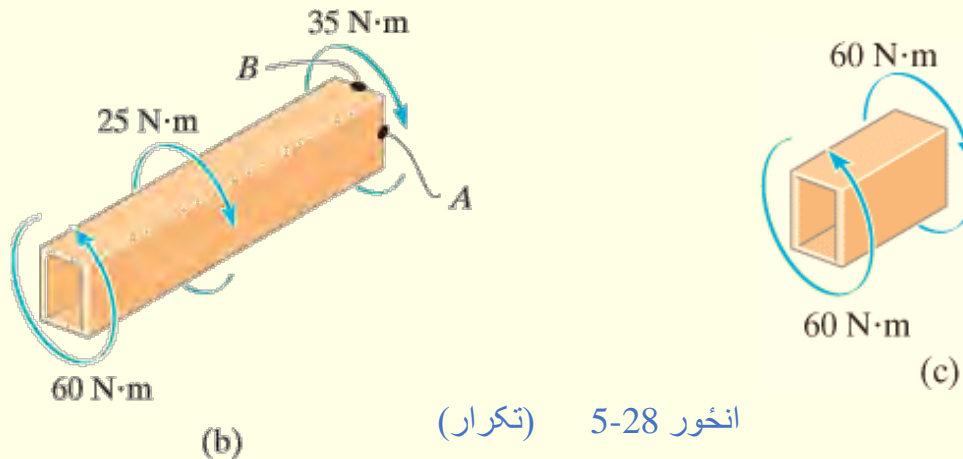
کی معلوم کړي. او هم د تاو زاویه په پای C کی پیدا کړي. تیوب په پای E کی کلک تړل شوی
دی.



انځور 5-28

(SOLUTION) حل

شییر سترس (Average Shear Stress). که چیری تیوب په تکیو A او B کی غوڅ شې، حاصل آزاد ډایگرام په انځور 5-28b کی بنودل شوي. داخلي تورک مساوی کیری په $35 \text{ N}\cdot\text{m}$. منځنی ساحه د تیوب د غوڅی برخې کیری په



$$A_m = (0.035 \text{ m})(0.057 \text{ m}) = 0.00200 \text{ m}^2$$

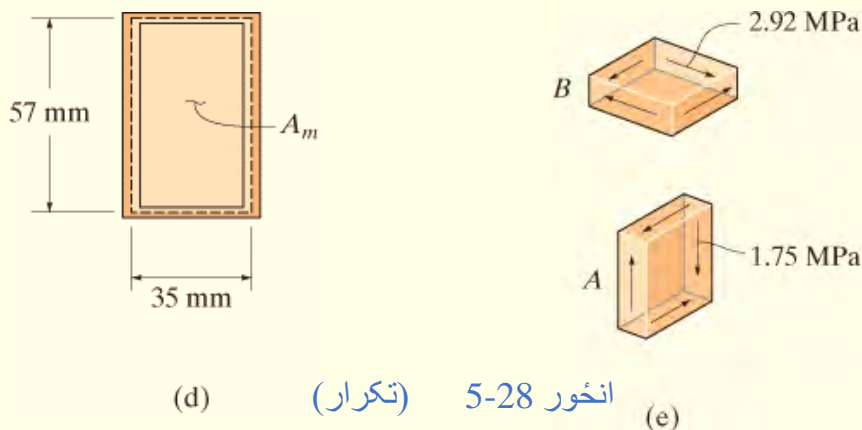
د تکی A لپاره له معادلی 5-18 کار اخلو، دلته $t=5 \text{ mm}$

$$\tau_A = \frac{T}{2tA_m} = \frac{35 \text{ N}\cdot\text{m}}{2(0.005 \text{ m})(0.00200 \text{ m}^2)} = 1.75 \text{ MPa} \quad \text{Ans.}$$

په تکی B کی $t = 3 \text{ mm}$ او لیکلی شو

$$\tau_B = \frac{T}{2tA_m} = \frac{35 \text{ N}\cdot\text{m}}{2(0.003 \text{ m})(0.00200 \text{ m}^2)} = 2.92 \text{ MPa} \quad \text{Ans.}$$

دا پایلی د ټکیو A او B په انځور 5-28e په یوه عنصر د موادو بنودل شوي. پام وکړي څنگه $35\text{ N}\cdot\text{m}$ تورک په انځور 5-28b کی د عنصر په شاه باندی سترس جوړه وی.



د تاو زاویه (Angle of Twist). له آزاد ډایگرامونو چی په انځورونو 5-28b او 5-28c کی بنودل شوی داخلی تورکونه د برخی CD او DE عبارت دی په $35\text{ N}\cdot\text{m}$ او $60\text{ N}\cdot\text{m}$ په ترتیب سره. د علامی کنوانسیون چی په برخه 5.4 کی تفصیل شړ دات تورکونه دواړه مثبت دی. له معادلی 5-20 کار اخلو، لیکلی شو

$$\phi = \frac{TL}{4A_m^2 G} \oint \frac{ds}{t} = \frac{TL}{4(\pi r_m^2)^2 Gt} \oint ds$$

$$= \frac{60\text{ N}\cdot\text{m} (0.5\text{ m})}{4(0.00200\text{ m}^2)^2 (38(10^9)\text{ N/m}^2)} \left[2\left(\frac{57\text{ mm}}{5\text{ mm}}\right) + 2\left(\frac{35\text{ mm}}{3\text{ mm}}\right) \right]$$

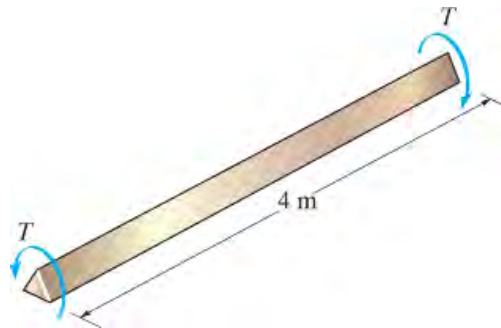
$$+ \frac{35\text{ N}\cdot\text{m} (1.5\text{ m})}{4(0.00200\text{ m}^2)^2 (38(10^9)\text{ N/m}^2)} \left[2\left(\frac{57\text{ mm}}{5\text{ mm}}\right) + 2\left(\frac{35\text{ mm}}{3\text{ mm}}\right) \right]$$

$$= 6.29(10^{-3})\text{ rad} = 0.360^\circ \quad \text{Ans.}$$

سوالونه

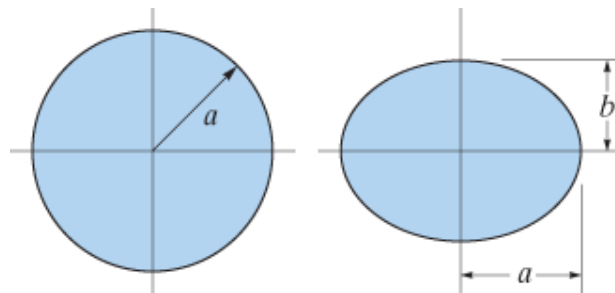
PROBLEMS

5-95 د برنجو موادو جوړ شوی سیم مثلثي غوڅه برخه لري، هر ضلع يې 2mm ده. که چیرې بیلد سترس د برنج موادو $t_y = 205 \text{ MPa}$ وی هغه اعظمی تورک T چی کیدای شی په سیم پلی شي تر څو سیم بیلد ونکړي معلوم کړي. او هم که چیرې دا تورک په 4-m اوږده برخه د سیم پلی شي، اعظمی د تاو زاویه د یو پای نسبت بل پای ته داسی معلوم کړی چی هغه به په سیم کی دایمی د شکل بدلون را نه وړي. $G_{br} = 37 \text{ GPa}$.



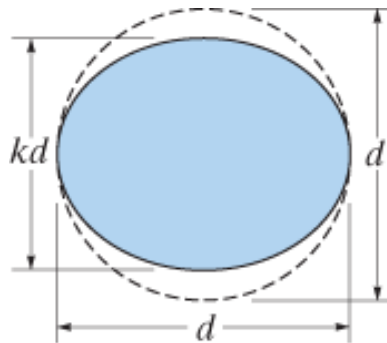
س 5-95

5-96* . په دی لاندی انځور کی $a = 25 \text{ mm}$ او $b = 15 \text{ mm}$ دی. کله چی یو تورک $T = 80 \text{ N.m}$. په گردی او بیضوی شافتونو عمل وکړی اعظمی شیر د هر یوه لپاره پیدا کړي. او هم په کومه سلنه هغه شافت چی گردی غوڅه برخه لری نسبت بیضوی غوڅی برخی لرونکی شافت ته د ډیر تورک توانایی لری.



س 5-96

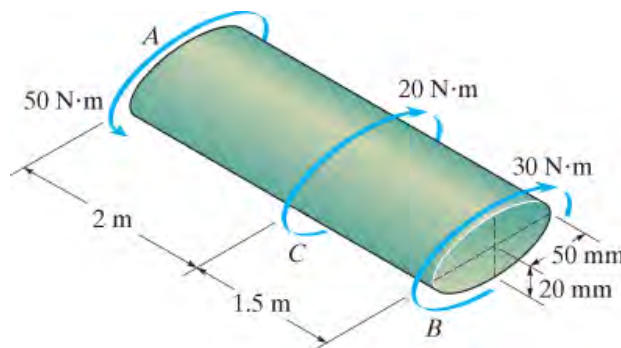
5-97. غواړو چې یو گردی میله جوړه شي، تر څو د تورک توانايي ولري، اما په جوړه ولو کی دا میله بیضوی راغله. یو ه خوا د بلې خوا په پرتله د k فکتور په اندازه کوچنی جوړه شوی. دا فکتور داسی پیدا کړي چې اعظمی شیبیر سترس زیاتوالي و مومي.



س 5-97

5-98. دا لاندی شافت له C83400 سور رنگ برنجو جوړ شوی او بیضوی غوڅه برخه لری. که چیرا دا لاندی بنودل شوي تورک ورباندی پلی شی اعظمی شیبیر سترس د AC او BC په برخو کی پیدا کړی. او هم د تاو زاویه f د پای B نسبت پای A ته معلوم کړي.

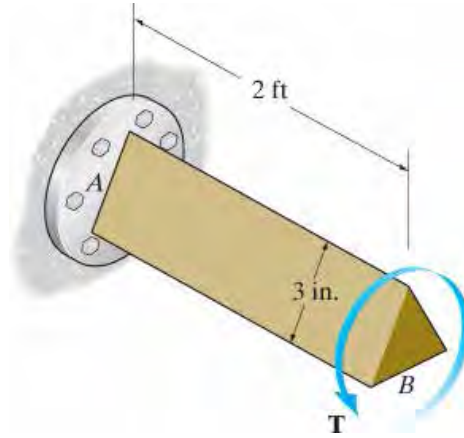
5-99. په سوال 5-98 کی اعظمی شیبیر سترس د AC او BC په برخو کی، او د تاو زاویه f د پای B نسبت C ته معلوم کړي.



س 5-98/99

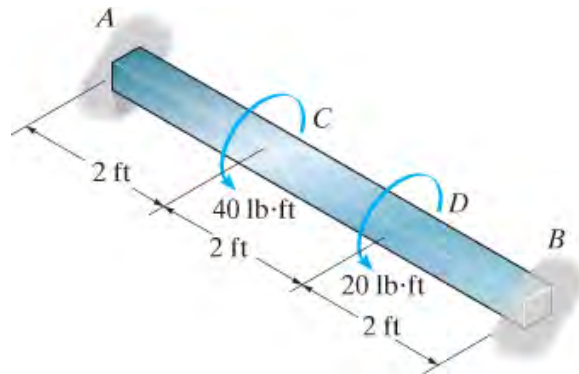
***5-100.** که چیری په پای B د یو مثلثی شافت تورک $T = 900 \text{ lb}\cdot\text{ft}$ عمل وکړي اعظمی شیبیر سترس په شافت کی پیدا کړي. او هم د تاو زاویه په پای B کی معلوم کړي. شافت له 6061-T1 المونیم څخه جوړ شوی.

5-101 . که چیری شافت مثلثی غوڅه برخه چی ټولی ضلعی یی مساوی دی له داسی موادو جوړ شوی وی چی د منلو وړ شیبیر سترس $t_{allow} = 12 \text{ ksi}$ دی، هغه اعظمی تورک چی کیدی شی په پای B پلی شي معلوم کړي.



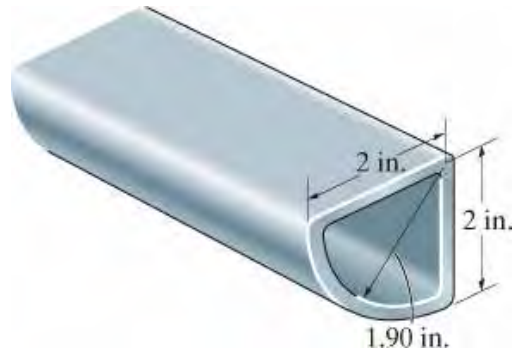
س 5-100/101

5-102 . دا لاندی د 2014-T6 آلومینیم جوړه شوی سترت په A او B ک پایلوکی کلک تړل شوی. که چیری غوڅه برخه ددی سترت مربع 2 in په 2 in وی، او بنودل شوی تورک ورباندی پلی شوی وی ریکشنونه په اتکاوو کی معلوم کړي. او هم د تاو زاویه په C کی معلوم کړي.



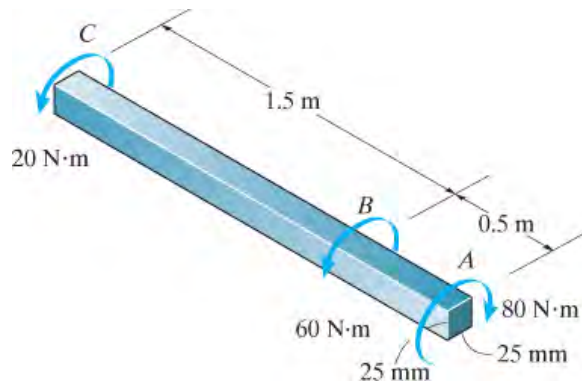
س 5-102

5-103 . په دی لاندی تیوب یو تورک $2 \text{ kip}\cdot\text{in}$ پلی شوی دی. که د دیوال ضخامت 0.1 in وی اعظمی شیبیر سترس په تیوب کی معلوم کړي.



س 5-103

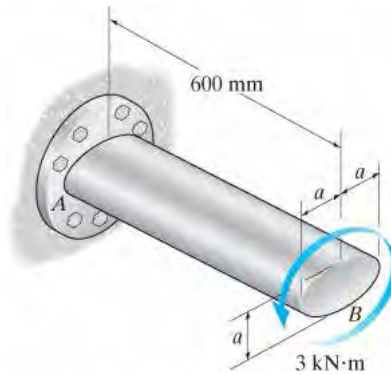
5-104* د 6061-T6 المونیم میله مربع غوڅه برخه 25 mm په 25 mm ده چی په لاندی انځور کی بنودل شوی. که چیر اورډوالي یی 2m وی اعظمی شیبیر سترس په میله کی او هم د یو پای نسبت بل پای ته تاویدل معلوم کړی.



س 5-104

5-105 . دا لاندی شافت باندی یو تورک 3kN.m عمل کړی، اعظمی شیبیر سترس په شافت کی معلوم کړی. او هم د تاو زاویه په پای B کی معلومه کړی. شافت له A-36 فولادو جوړ شوی. ارزښت د $a = 50 \text{ mm}$ دی.

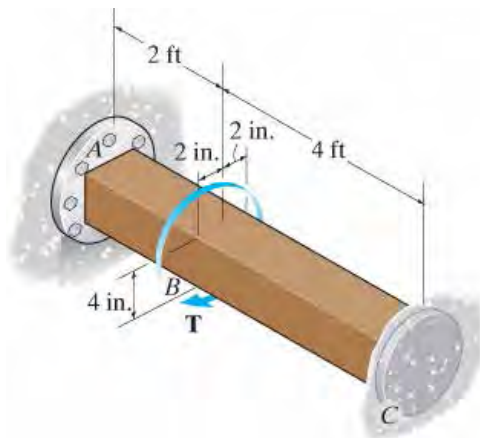
5-106 . که چیری دا لاندی شافت له A-36 فولادو جوړ شوی وی چی منل شوی شیبیر سترس یی $t_{\text{allow}} = 75 \text{ MPa}$ دی. اصغری ارزښت د a د غوڅی برخې، میلی متر ته نیږدی، پیدا کړی، او هم د تاو زاویه په پای B کی معلومه کړی.



س 5-105/106

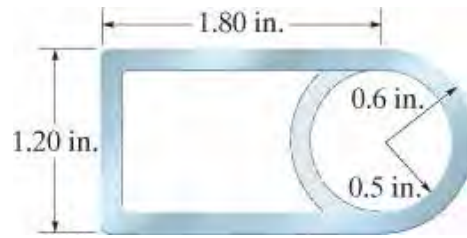
5-107 . که چیری دا لاندی جامد شافت له C83400 سرو برنجو جوړ شوی وی او د منلو وړ شیر سترس یې $t_{\text{allow}} = 4 \text{ ksi}$ وی، اعظمی د منلو وړ تورک T چی په پای B کی پلی کیدی شی معلوم کړي.

5-108* . که چیری دا لاندی جامد شافت له C83400 سرو برنجو جوړ شوی وی او تورک $T = 6 \text{ kip.ft}$ په B کی عمل وکړي اعظمی شیر سترس معلوم کړي.



س 5-107/108

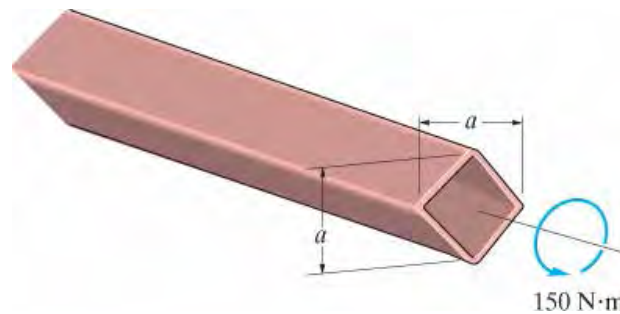
5-109 . د ورکړل شوي اعظمي اوسط شیر سترس لپاره ، داسی فاکتور چی د هغه په واسطه د تورک بار وړلو ظرفیت لوړیږي مشخص کړئ ، کله چی نیمه گردی برخه چی په ټوټه شوي کرښي بنودل شوی بیرته مکمل کرښي ته راوگرځی. ټیوب 0.1 انچه ضخامت لري .



س 5-109

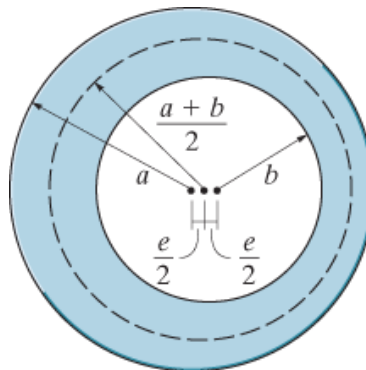
5-110 . په دی لاندی پلاستیکی تیوب باندی $150 \text{ N}\cdot\text{m}$ تورک عمل کړي. که چیری د منلو وړ شپیر سترس $t_{allow} = 60 \text{ MPa}$ وی اوسط اندازه د a معلومه کړی. د هر اړخ ضخامت $t = 3 \text{ mm}$ دی.

5-111 . په دی لاندی پلاستیکی تیوب باندی $150 \text{ N}\cdot\text{m}$ تورک عمل کړي. که چیری اوسط اندازه د $a = 200 \text{ mm}$ وی اوسط شپیر سترس په تیوب کی معلوم کړی. د هر اړخ ضخامت $t = 3 \text{ mm}$ دی.



س 5-110/111

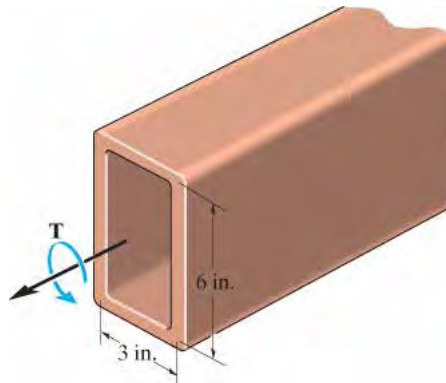
5-112 . د جوړونې تېروتنې له امله د داخلي حلقې د تیوب د بهرنی دایرې په تراو بیخایه (eccentric) شوی. په کوم سلنه (فیصدي) د تورژن توانايي کمه شوی کله چی د ایکسینتریستی (eccentricity) e ارزښت د شعاع په پرتله څلورمه ($1/4$) برخه توپیر ولری.



س 5-112

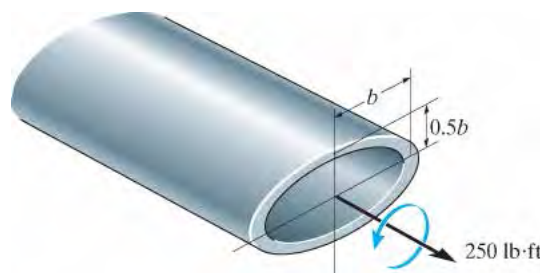
5-113 . کله چی تورک $T = 100 \text{ kip.in}$ په دی لاندی تیوب پلی شی ، په داسی حال کی چی اوسط شیبیر سترس له 12 ksi زیاتوالی ونه مومي ، د تیوب ثابت ضخامت پیدا کړي .

5-114 . په دی لاندی مستطیلی تیوب پلی کیدل د تورک T معلوم کړی کله چی د اوسط شیبیر سترس اندازه له 12 ksi زیاتوالی ونه مومي . د تیوب ابعاد لاندی بنودل شوی او د تیوب ضخامت 0.25 in دی .



س 5-113/114

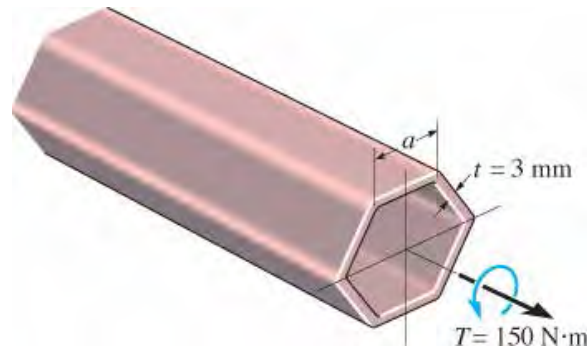
5-115 . دا لاندی فولادی تیوب بیضوی غوڅه برخه او بنودل شوی ابعاد لري . د تیوب ضخامت $t = 0.20 \text{ in}$ دی . که چیری د منلو وړ شیبیر سترس $t_{allow} = 8 \text{ ksi}$ او په تیوب یو تورک $T = 250 \text{ lb.ft}$ پلی شی ، اړوند اندازه د b معلومه کړي . د بیضوی ساحه را کړل شوی . $A_m = pb(0.5b)$ ده .



س 5-115

5-116* . په پلاستیک جوړ شوی شپیر ضلعی (hexagonal) تیوب یو تورک د 150 N.m عمل کړي . که چیری د منلو وړ شیبیر سترس $t_{allow} = 60 \text{ MPa}$ وی ، د منځنی ابعاد a مشخص کړي .

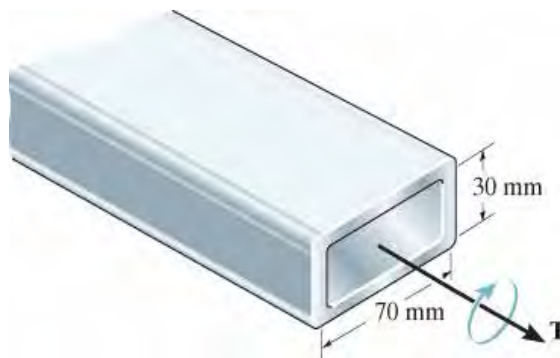
دهر ضلعي ضخامت $t = 3 \text{ mm}$ دی.



س 5-116

5-117 . دا لاندی بنودل شوی تیوب له 304 فولادو چی ضخامت یی 10 mm دی جوړ شوی. که چیری د منلو وړ شیبیر سترس $t_{allow} = 80 \text{ MPa}$ وی اعظمی تورک T چی پلی کیدی شی معلوم کړی. همدا رنگه که چیری تیوب 4 m اوږد وی د تاو زاویه د یوه پای نسبت بل پای ته معلومه کړی. ابعاد په انځور کی بنودل شوی.

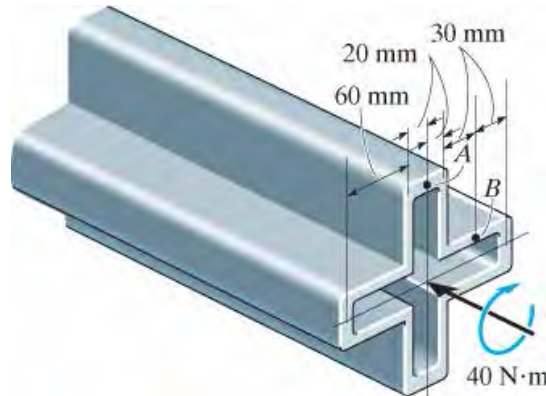
5-118 . دا لاندی بنودل شوی تیوب له 304 فولادو چی ضخامت یی 10 mm دی جوړ شوی. که چیری تورک $T = 50 \text{ N.m}$ ورباندی پلی شی، اوسط شیبیر سترس په تیوب کی معلوم کړی. ابعاد په انځور کی بنودل شوي.



س 5-117/118

5-119 . یو سیمیتریک (symmetric) تیوب له فولادو جوړ شوی، ضخامت یی 5 mm او نور ابعاد یی په لاندی انځور کی بنودل شوي. که چیری یو تورک $T = 40 \text{ N.m}$ ورباندی پلی

شي اوسط شپير سترس د A او B په ټکيو کې پيدا کړي. بيا شپير سترس په يوه حجمی ټوټه په هر ټکی کې وښي .



س 5-119

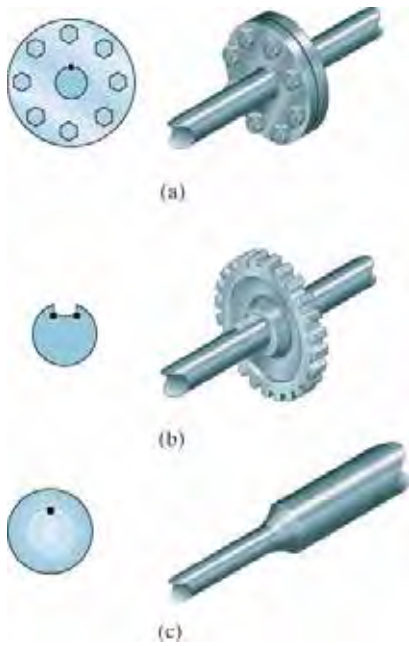
5.8 د سترس غلزت (STRESS CONCENTRATION)

د تورژن فورمول، $t_{max} = Tc/J$ ، د شافټ په هغه سيمو کې چې په غوڅه برخه کې ناڅاپه بدلون راغلی وي، نشي پلي کېدی، ځکه چې په دی سيمو کې د شپير سترس او شپير سترين ویش پېچلي کيږي. اما په هر صورت کېدی شي، د تجربوي طريقو له مخی او يا د رياضي تحليل چې د ايلستيستی تيوری پر بنسټ ولاړ وی پایلی تر لاسه شی.

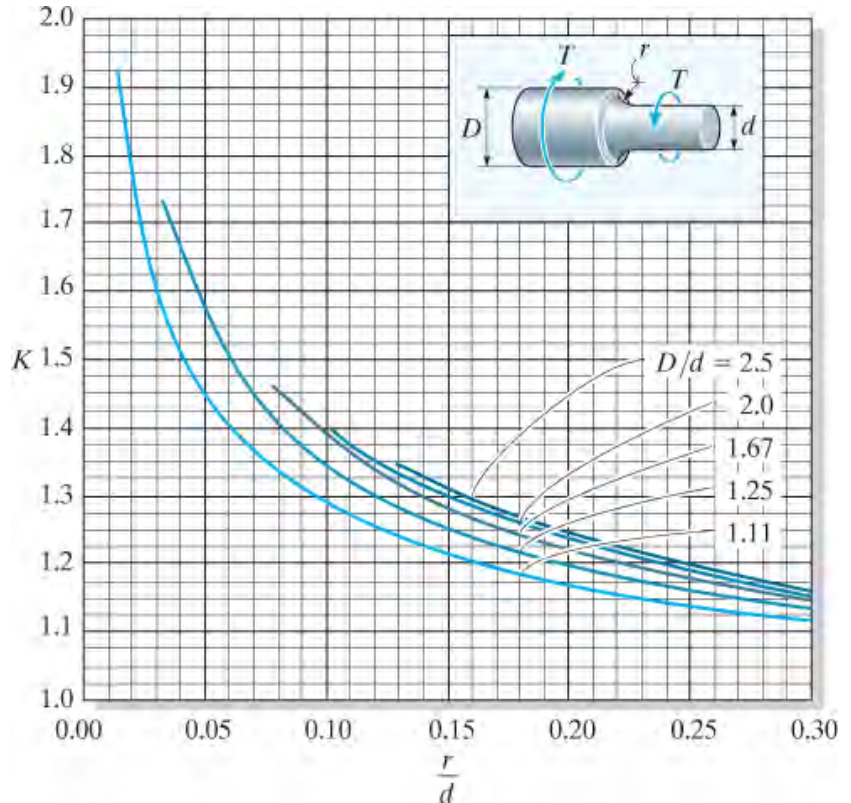
د غوڅی برخي درې عام بدلونونه چې په عمل کې ليدل کيږي په انځور 5-29 کې ښودل شوی. دوی، لکه کپلینگ (couplings) ، چې د داسی حالت لپاره کارول کيږي کوم دوه شافټونه چې ديوی کرښی په اوږدوالی وی د يو بل سره وصل کړی، انځور 5-29a . کلیدی لاري (keyways) کوم چې کيږونه يا پولی (pulleys) له شافټ سره وصل کړی ، انځور 5-29b . او يا د گام شافټ (step shaft) چې له يوه شافټ څخه جوړ يا ماشين شوی وی، انځور 5-29c . په هره قضيه کې اعظمي شپير سترس به په هغه نقطه کې رامینځته شي چې په غوڅه برخه کې ښودل شوي.

ددی لپاره چې له پېچلی سترس تحليل نه مخنیوی و شی ، په هغه شافټونو کې چې په غوڅه کې یی ناڅاپه بدلون راځی، کېدی شی چې د اعظمی شپير سترس تر لاسه کولو لپاره د تورژن د غلظت له فکتور K څخه کار واخستل شي. لکه څنگه چې د محور ی بار شوی غړی په قضيه کې برخه 4.7 برخه کې د K ارزښت معمولاً له هغه گرافونو څخه چې د آزموينو پر بنسټ ولاړ دی اخیستل کيږي .

یوه بیلگه یې د اوږو – فلایت (*shoulder fillet*) شافت لپاره، په انځور 5-30 کې ښودل شوي. د دې گراف کارولو لپاره، یو څوک د جیومیټریک نسبت D/d د مناسب کرښې تعریف کولو لپاره پیدا کوي، او بیا د r/d محاسبه کولو وروسته د K ارزښت د عمودی محور سره موندل شوی.



انځور 5-29



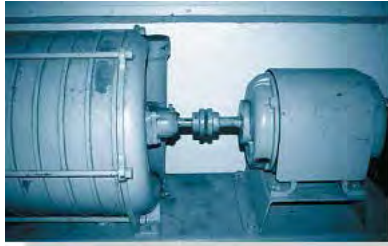
انځور 5-30

اعظمی شپیر سترس بیا مساوی دی په

$$\tau_{\max} = K \frac{Tc}{J}$$

(5-21)

دلته د تورژن فورمول د هغو دوو شافتونو چی یو بل سره وصل شوی د کوچنی شافت د پاره پلی کیری. او اعظمی شییر سترس t_{max} د فیلیت (fillet) په ټیټه برخه کی جوړیږي، انځور 5-29c.



په دی ډول شافتونو کی د سترس غلظت په کپلینک را مینځ ته کیری او د ډیزاین په مرحله کی باید په پام کی ونیول شی.

د گراف په پام کی نیول بنی، کله چی د فیلیت (fillet) شعاع r زیاتوالی ومومی د K د کمښت لا مل کیری. له دې امله اعظمی شییر سترس په شافت په شعاع په زیاتوالی سره کم کیدی شي. همدارنگه، که د لوی برخي قطر کم شي، د D/d نسبت به ټیټ وي او د K ارزښت به هم ټیټ وي او له همدې امله t_{max} به ټیټ وي

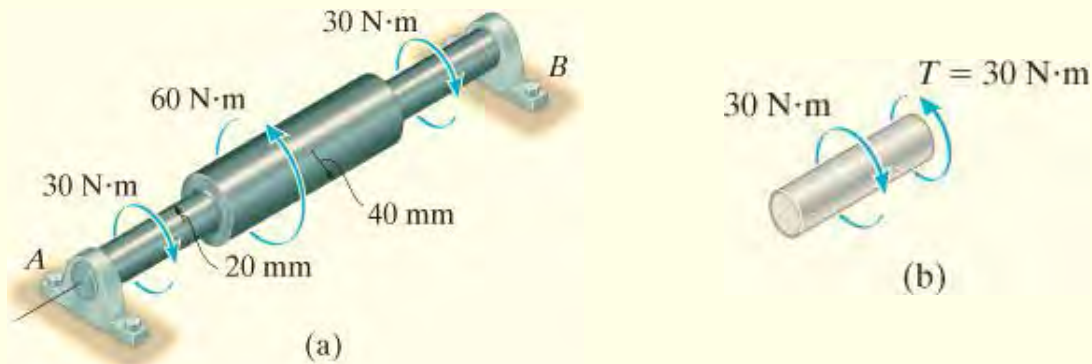
د محوري بار شوي غړو قضیې په څیر، د تورژن سترس شاغلظت فکتورونه باید تل د هغه شافتونو په ډیزاین کی وکارول شي کله چی شافتونه د ماتیدونکیو موادو څخه جوړ شوي وی، یا کله چی شافتونه د سټریا، یا سایکلکلیک تورژن بار ورباندی عمل کړي. دا شرایط لامل کیری چی د فشار غلظت په برخه کی درزونو جوړ او ډیری وختونه د ناڅاپي ماتیدو لامل کیدی شي. له بلې خوا، که چیری لوی سټایټیک تورژن بارونه په هغو شافتونو چی له نرمو موادو څخه جوړ شوی ورباندی پلی شي، نو بی الاستیکه سترینونه به د شافت دننه وده ومومي. دموادو بیلد (yield) کیدل ددی لامل کیری چی د سترس ویش په ټول شافت کی په مساوي ډول توزیع شي، او اعظمی سترس به د غلظت په ساحې پورې محدود نه وي. دا اغیزی به په راتلونکی برخه کی تر بحث لاندې ونیول شي.

(IMPORTANT POINTS)

- په شافت کې د سترس غلظت په هغه ټکيو کې پېښېږي چې غوڅه برخه په ناڅاپه ډول بدلون مومي لکه کپلېنگ (couplings) ، ، يا د کلې لارې (keyways) او يا د گام شافت (*step shaft*) . هر څومره چې د جيومټري يا هندسي بدلون ډير وي هغومره د سترس غلظت هم ډيروې.
- په غوڅه برخه د سترس ویش پوهيدل د ډيزاين او تحليل لپاره اړوند نه دی. کيدی شي چې اعظمی شير سترس د سترس غلظت فکتور K چې له آزمويو لاس ته راځي کار واخيستل شي. د غلظت فکتور ارزښت يوازي د شافت د هندسي څرنگوالي سره تړاو لري.
- په عادي حالتونو کې شافت چې له نرمو موادو (*ductile*) څخه جوړ او ستا تیک تورک ورباندې پلي شي د غلظت فکتور د ډيزاين په مرحله کې اړوند نه دي، اما که چيرې له ماتيدونکيو موادو (*brittle*) جوړ او يا دا چې فتیگ بار ورباندې عمل کوي د غلظت فکتور بيا مهم گڼل کيږي.

مثال 5.14

دا لاندی د گام شافت په پای A او B کی د بیرینگ په واسطه تړل شوی، انځور 5-31a. په انځور کی بنودل شوی بهرنی تورکونه ورباندی پلی شوی، اعظمی شیبیر سترس په شافت کی معلوم کړي. د اوری د فیلیت شعاع په هری برخه کی $r = 6 \text{ mm}$.



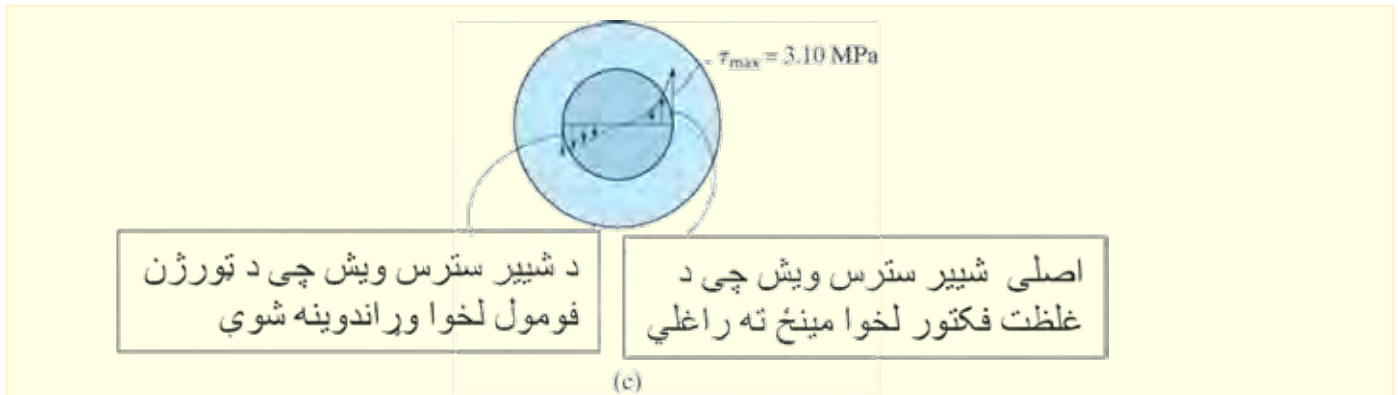
حل (SOLUTION)

داخلي تورک (Internal Torque). دکتی له مخی د مؤمنت توازن د شافت په محور برابر دی. څرنگه چی اعظمی شیبیر سترس د کوچنی قطر شافت په بیخ کی دی چی د بهرنی تورک (30 N·m) له امله که چیری د برخو له طریقی کار واخلو پیدا کیدی شي، او دا په انځور 5-31b کی بنودل شوی.

اعظمی شیبیر سترس (Maximum Shear Stress). د انځور 5-30 په کارولو سره د سترس غلظت فکتور پیدا کیدی شي. د شافت له هندسی نه لرو:

$$\frac{D}{d} = \frac{2(40 \text{ mm})}{2(20 \text{ mm})} = 2$$

$$\frac{r}{d} = \frac{6 \text{ mm}}{2(20 \text{ mm})} = 0.15$$



انځور 5-31

پدی صورت کی ارزښت $K=1.3$ لاس ته راځي.

له معادلی 5-21 کار اخلو او مور لرو:

$$\tau_{\max} = K \frac{Tc}{J}; \quad \tau_{\max} = 1.3 \left[\frac{30 \text{ N} \cdot \text{m} (0.020 \text{ m})}{(\pi/2)(0.020 \text{ m})^4} \right] = 3.10 \text{ MPa} \quad \text{Ans.}$$

یادونه: د آزموینو له څرگندونونه، د سترس اصلی ویش د غوڅی برخی د شعاع په کرښه، په خطرناکه برخه کی ورته دی هغه ته چی په انځور 5-31c کی بنودل شوي. په یاد ولري چی دا ویش د خطی سترس ویش چی له تورژن فورمول پیدا شوی څه رنگه پرتله کیري.

5.9* غیر ارتجاعی تورژن (INELASTIC TORSION)

که چیري په شافت باندی پلي شوي تورژن بارونه ډیر شی، نو بیا مواد ممکن بیلد وکړي، او په دی حالت کی د شیر سترس او د تاو زاویي معلومولو لپاره باید له "پلاستیکی تحلیل" کار واخستل شي.

څنگه چی په برخه 5.1 کی بنودل شوی، پرته له پام نیولود موادو د څرنگوالی نه، شپیر سترس په

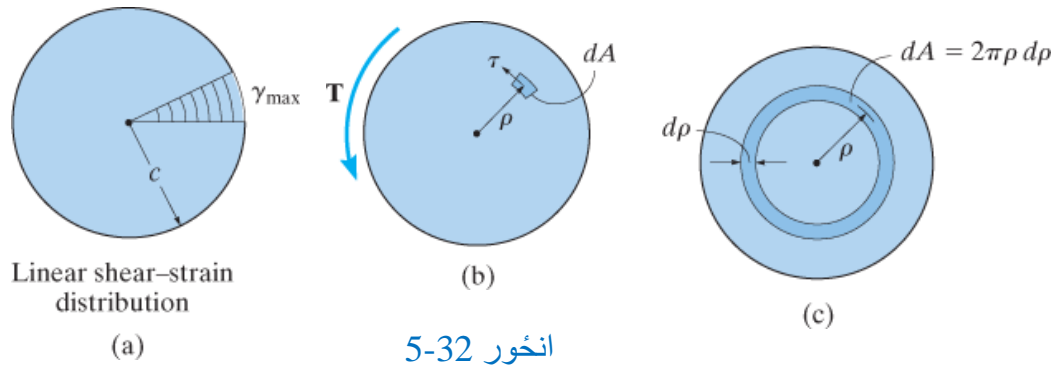


د پلاستیکی تورک کارول لامل د الومینیم نموني شدید تاویدل شوی

گردی شافت کی له صفر څخه په خطی ډول وده او توپیر لري. پدی معنی چی د شافت په مرکز کی صفر او په بهرنی برخه کی اعظمی حد ته رسیږی چی په انځور 5-32a کی بنودل شوی. همدا رنگه، رامینځته شوي تورک په برخه کی باید مساوی وی په هغه تورک سره چی د شپیر-سترس ټول ویش چی په غوڅه برخه یی عمل کړي، جوړوی. کله شپیر سترس t په ساحه dA د عنصر باندی عمل وکړی یوه قوه

، انځور 5-32b جوړه وی . بیا د شافت په محور تورک $dF = t dA$.
 د ټول شافت لپاره مور اړتیا لرو

$$T = \int_A \rho \tau dA \quad (5-22)$$



انځور 5-32

که چیری په ساحه dA شیبیر سنترس t عمل کړي او مور یی حلقه فرض کړو بیا ساحه د حلقی عبارت ده په $dA = 2\rho r dr$ انځور 5-32c بیا پورتنی معادله داسی لیکلی شو

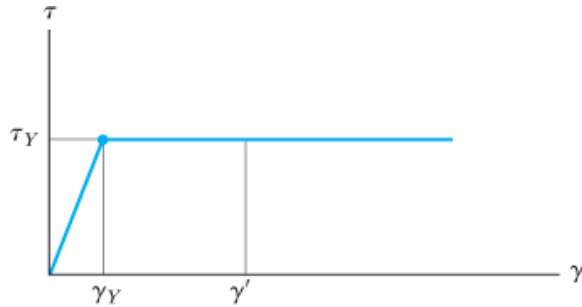
$$T = 2\pi \int_0^c \tau \rho^2 d\rho \quad (5-23)$$

اوس به دا معادله په هغه شافت چی دوه تورکونو ورباندی پلی شوی تطبیق کړو.

ایلاستیک – پلاستیک تورک (ELASTIC-PLASTIC TORQUE)

راځی چی په شافت کی هغه مواد په پام کی ونیسو لکه څنگه چی په انځور 5-33a کی بنودل شوي چی ایلاستیک او بشپړ پلاستیکي چلند ولری.

که داخلي تورک اعظمي ارتجاعي (ایلاستیک) شپير سترين g_Y په بیرونی برخه د شافت کی جوړ کړي ، بیا اعظمي ارتجاعي تورک T_Y چې دا سترين تولیدوي د تورژن له فارمول څخه موندل کیدی



شی ، نو لیکلی شو:

$$t_Y = T_Y c / [(p/2)c^4]$$

(a)

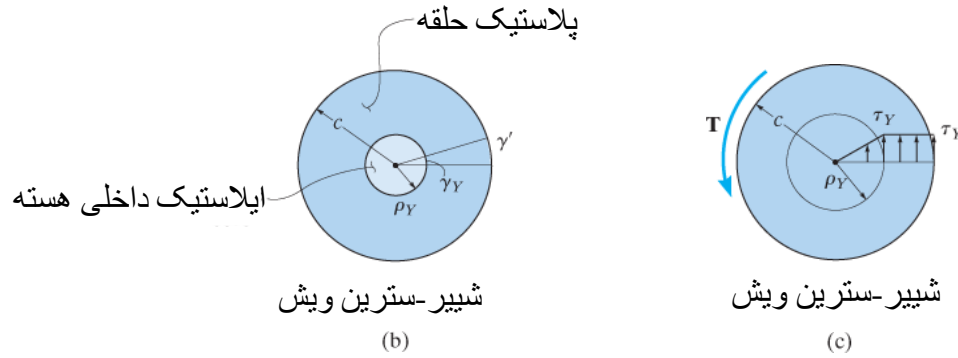
نو بیا

انځور 5-33

$$T_Y = \frac{\pi}{2} \tau_Y c^3 \quad (5-24)$$

که چیرې د پلي شوي تورک اندازه له T_Y څخه زیات شي، نو د شافت په بهرنی سرحد $r = c$ کی مواد به په بیلد پیل وکړی. څنگه چې د شپير سترين اعظمي حد ته لوړیږي لکه g ، نو که چیرې مواد ایلاستیک- بشپړ ډول - پلاستيکي چلند ولري، انځور 5-33a، د بیلد حد به د شافت مرکز په لور پرمختگ ومومي، انځور 5-33b . لکه څنگه چې بنودل شوي، دا یو داخلي ایلاستیک هسته جوړه وی ، چیرې چې د تناسب له مخې، د هستی شعاع $r_Y = (g/g_Y)c$ ده. بهرنی برخه د موادو پلاستيکي حلقه (plastic annulus) جوړوي، ځکه چې په دې سیمه کې د شپير سترينونه g د g_Y په پرتله لوی دی. د شپير سترس ویش د شافت په شعاع کرښه په انځور 5-33c کی بنودل شوي. او دا د پرله پسې ټکو اخیستلو د شپير سترين د ویش نه چې په انځور 5-33b کی شودل شوی او پدی توگه شپير سترس ورته ارزښت موندلو له $t-g$ دایگرام د انځور 5-33a څخه پیدا کیری. د مثال په توگه، په $r = c$ ، د g ارزښت ورکوي t_Y ، او په $r = r_Y$ کې، g هم t_Y ورکوي او داسی نور.

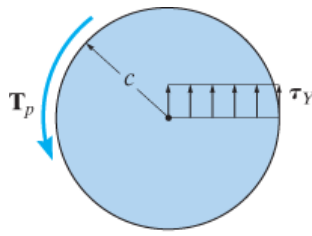
څرنګه چې t په انځور 5-33c کې اوس تابع د r دی، مور کولی شو معادله 5-23 تطبیق او تورک وټاکو. مونږی لرو



انخور 5-33 (تکرار)

$$\begin{aligned}
 T &= 2\pi \int_0^c \tau \rho^2 d\rho \\
 &= 2\pi \int_0^{\rho_Y} \left(\tau_Y \frac{\rho}{\rho_Y} \right) \rho^2 d\rho + 2\pi \int_{\rho_Y}^c \tau_Y \rho^2 d\rho \\
 &= \frac{2\pi}{\rho_Y} \tau_Y \int_0^{\rho_Y} \rho^3 d\rho + 2\pi \tau_Y \int_{\rho_Y}^c \rho^2 d\rho \\
 &= \frac{\pi}{2\rho_Y} \tau_Y \rho_Y^4 + \frac{2\pi}{3} \tau_Y (c^3 - \rho_Y^3) \\
 &= \frac{\pi \tau_Y}{6} (4c^3 - \rho_Y^3) \quad (5-25)
 \end{aligned}$$

پلاستیک تورتون (PLASTIC TORQUE). په T کې نور زیاتوالی د ایلسټیک هستی شعاع کموي تر هغه وخته پوري چې ټول مواد بیلد وکړي، د مثال په توګه، $\tau_Y \geq 0$ ، انخور 5-33b. د شافت مواد به بیا په بشپړ ډول پلاستیکي چلند سره مخ شي او د شپیر سترس ویش د شعاع د کرښې په اوږدوالی کې یوډول کيږي، نو دا چې $t = t_Y$. مورن اوس کولی شو چې معادله 5-23 پلي کړو ترڅو پلاستیکي تورتون T_p ، کوم چې ترټولو لوی احتمالي تورتون استازیتوب کوي چې شافت به یې ملاتړ وکړي، وټاکو.



بشپړ پلاستیک تورک
(d)

$$T_p = 2\pi \int_0^c \tau_Y \rho^2 d\rho$$

$$= \frac{2\pi}{3} \tau_Y c^3 \quad (5-26)$$

انخور 5-33 (تکرار)

کله چی دا له اعظمی ایلستیک تورک T_Y سره پرتله شي معادله 5-24 داسی لیدلی شو

$$T_p = \frac{4}{3} T_Y$$

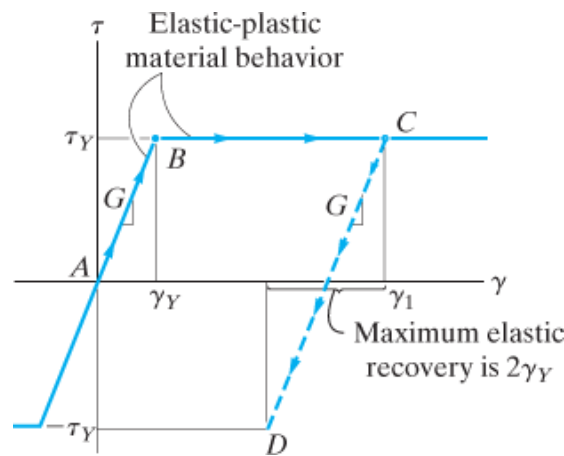
پدی معنی چی پلاستیک تورک د اعظمی ایلاستیک تورک په پرتله % 33 زیات دی.

له بده مرغه، په انخور 5-33d کې د تاو زاویه f د دی ډول شپیر سترس ویش لپاره نشي کیدی په ځانگړي ډول تعریف شی. دا ځکه چې $t = t_Y$ د شپیر سترس له کوم ځانگړي ارزښت سره مطابقت نلري $g \geq g$. د پایلې په توگه، یوځل چې T_p تطبیق شي، شافت به بیخایه کیدو، یا تاویدو ته دوام ورکړي بیله دی چی په شپیر سترس کې کوم ورته زیاتوالی راشی.

5.10* پاتیکیدونکی ستریس (RESIDUAL STRESS)

کله چی په یو شافت تورک پلی شي او پلاستیک سترس جوړ کړي، بیا که تورک هم لیري شي یو اندازه شپیر سترس په شافت کې پاتی کیري. دی پاتی شوی سترس ته پاتی شوی ستریس (*Residual Stress*) ویل کیري او ویش یې د سوپر پوزیشن پواسطه محاسبه کیدی شي.

د مثال په توگه که تورک T_p د شافت بیرونی سطحه مواد په اندازه د g سترس کړي، لکه تکی C په گراف $t-g$ انخور 5-34. لیری کیدل د T_p سبب د بیرته گرزیدو د شپیر سترس کیري، پدی معنی چی یو اندازه شپیر سترس به خوشي شي او دا په مستقیمه کرښه CD بنودل شوي. دا په نامه دی ایلاستیک ریکوری (*elastic recovery*) یادیري او دا کرښه موازي په اولی مستقیمه کرښه AB د $t-g$ دایگرام ده. په بل عبارت دواړه کرښي یو شان میلان G لري.



انخور 5-34

خکه چي د ایلستیک برخی بیرته اخیستل واقع کیږي، مور کولی شو د پلاستیکی تورک سترس ویش باندې اضافه کړوڅنگه چي په انخور 5-35a کی بنودل شوی د سترس خطي ویش چي د پلاستیکی تورک T_p پلي کولو له امله رامینځته کیږي په مخالف لوري خای په خای کړو، انخور 5-35 b وگوري. دلته اعظمي شیبیر سترس t_r د دی ستریس ویش ته ماتونکی ماجولس (*modulus of rupture*) د تورژن لپاره ویل کیږي. او دا د تورژن له فورمول * خخه ټاکل کیږی ، کوم چي ورکوي

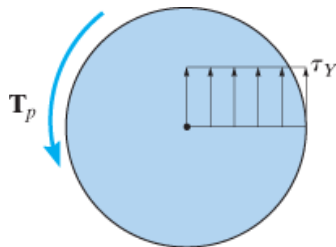
$$\tau_r = \frac{T_p c}{J} = \frac{T_p c}{(\pi/2) c^4}$$

له معادلی 5-26 کار اخلو، لیکلی شو

$$\tau_r = \frac{[(2/3)\pi\tau_Y c^3] c}{(\pi/2) c^4} = \frac{4}{3} \tau_Y$$

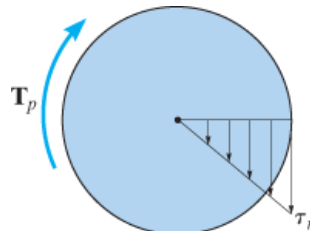
په یاد ولری چي په مخالف لوری د T_p په کارولو سره د شیبیر-سترس د خطی ویش ، انخور 5-35b، ممکن دی خکه چي اعظمی بیرته اخیستنه د ایلستیک شیبیر سترین $2g$ ده، لکه څنگه چي په انخور 5-34 کی یادونه شوي. دا به د اعظمي پلي شوي شیبیر سترس $2t_Y$ سره مطابقت ولري ، کوم چي د پورته حساب شوي $4/3 t_Y$ د اړتیا وړ شیبیر سترس خخه ډیر دی. له همدې امله، په

اضافه کولو (*superposition*) د سترس ویش او بیا بیرته اخیستل د پلاستیک تورک مور کولای شو چی د پاتی شوی شیر سترس ویش (*residual shear-stress*) په شافت کی پیدا کرو، انخوړ 5-35c وگوري. په حقیقت کی د شافت په مرکز کی د شیر سترس د τ_Y په توگه بنودل شوی، هغه باید صفر وي، ځکه چی د شافت په محور سره مواد هیڅکله سترین نه کیري. دلیل یی چی صفر نه دی دا دی مور انگیرل چی د شافت ټول مواد د بیلد له اندازي زیات سترین شوي تر څو پلاستیک تورک پیدا کرو، انخوړ 5-35a. په ریښتیني توگه کله چی د موادو چلند ماډل کیري یو ایلاستیک-پلاستیکي تورک باید په پام کی ونیول شي. او که چیری دا وشي د ستریس ویش سوپر پوزیشن (*superposition*) چی په انخوړ 5-35d کی بنودل شوی په لاس راځي.



پلی شوی پلاستیک تورک په ټول شافت کی پلاستیک شیر سترین جوړه وی

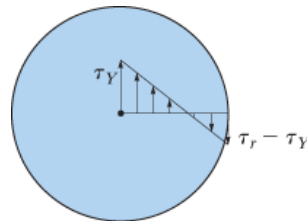
(a)



مخالف جحت پلاستیک تورک ایلاستیک شیر سترین په ټول شافت کی جوړه وی

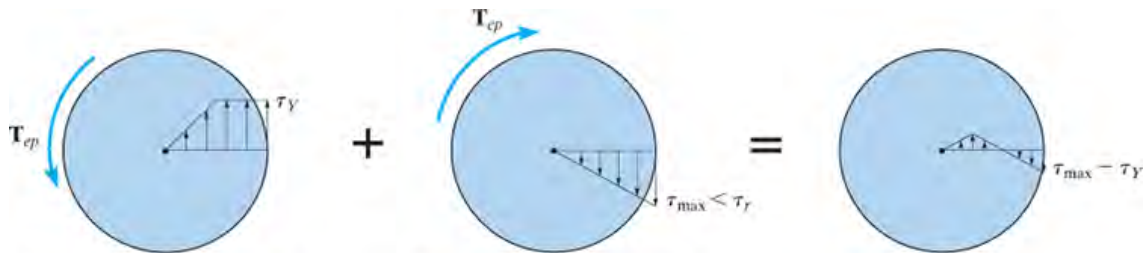
(b)

انخوړ 5-35



د پاتی شوی شیر-سترس ویش په شافت کی

(c)



ایلاستیک-پلاستیک پلی شوی تورک

(d)

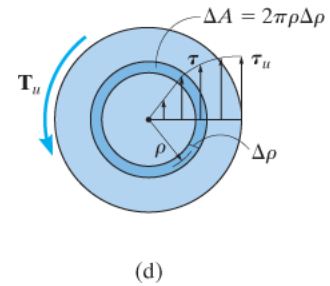
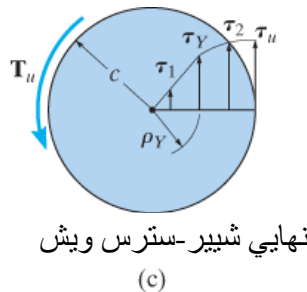
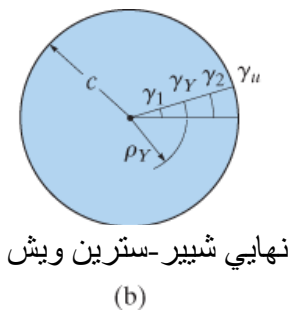
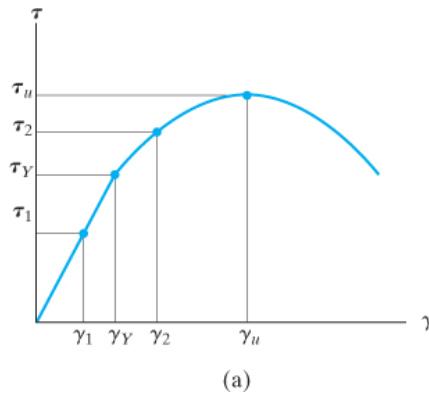
پاتی شوی شیر-سترس ویش په شافت کی

انخوړ 5-35 (تکرار)

* د تورژن فورمول یوازی هغه وخت د اعتبار وړ دی چی مواد خطی ایلاستیک چلند ولری. د ماتیدو ماجولس له دی سبب نومول شوی ځکه دا فکر کیری مواد ایلاستیک چلند لری او بیا ناڅاپه، په متناسب (*proportional limit*) حد کی ماتیري.

نهایی تورک (Ultimate Torque). په عمومي حالت کې، د ډيرو انجنيري موادو سترس-سترين ډايگرام، لکه څنگه چې په انځور 5-36 a کې ښودل شوی، وي. په پایله کې، که تورک T زیات شي نو په دې توگه د اعظمي شیبې سترين په شافت کې $g = g_i$ ، انځور 5-36b کېږي. بیا د تناسب له مخې g_Y واقع کېږي په $r_Y = (g_i/g) c$ ، په ورته ډول، شیبې سترين په $r = r_1$ او $r = r_2$ ، د تناسب له مخې موندل کېدی شي، د بیلگې په توگه، $g = (r_2/g_i) g_i$ او $g = (r_1/c) g_i$ ، که اړونده ارزښتونه t_1, t_Y, t_2 او t_u له ډايگرام $g-t$ څخه واخیستل او پلاټ شي، مور د شیبې سترس ویش تر لاسه کوو، کوم چې عمل کوي د غوڅې برخې د شعاع په کرښه سره، انځور 5-36 c. هغه تورک چې لږ سترس ویش نه پلاس راځي په نامه د **نهایی تورک**، T_u یادول کېږي.

د T_u اندازه د 5-23 معادلې د "گرافیکي" ادغام له لارې ټاکل کېدی شي. د دې لپاره، د شافت غوڅې برخې ساحه په یو محدود شمیر کوچنیو حلقو برخو ویشل شوي ده، لکه د سیوري برخه چې په انځور 5-36 d کې ښودل شوي. د دې حلقې ساحه، $DA = 2\pi r Dr$ ، دا د شیبې سترس t چې په هغې باندې عمل کوي ضرب کېږي، ترڅو قوه $DF = t DA$ وټاکل شي. د دې قوې لخوا رامینځته شوی تورک $DT = r DF = r(t DA)$ (دې اضافه د ټولې کراس برخې د ټولو تورکونو یو ځای کولو څخه نهایی تورک T_u لاس ته راځي یعنې معادله 5-23 داسې لیکل شو د $T_u = 2\pi \int r^2 D t dr$ کېږي. البته، که د سترس ویش د تحلیلي معادلې تابع په توگه څرگند شي لیکل شو، $t = f(r)$ ، لکه څنگه چې د ایلاستیک او پلاستیک تورک قضیو کې، بیا د معادلې 5-23 انټیگرال په مستقیم ډول ترسره کېدی شي.



انځور 5-36

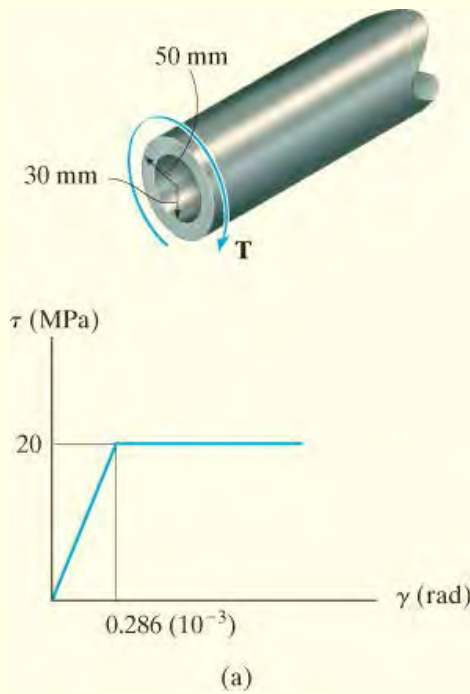
مهم ټکي

(IMPORTANT POINTS)

- د شیر- سټرین ویش د شافت په غوڅه برخې د شعاع په کرښه باندې په هندسي حالت پورې تړون لري او دا هميشه په ډاگه شوی چې د شعاع په کرښه خطي بدلون لري. کله چې دا وټاکل شي د شیر- سټرس ویش له شیر- سټرین ډایگرام موندل کیدی شي.
- کله چې د شیر-سټرس ویش د شافت لپاره وټاکل شو، د ټورک محصله چې دا جوړه وی استازیتوب د داخلي ټورک د محصلې په غوڅه برخه باندې کوي.
- بشپړ پلاستیک چلند دا فرض کوی چې د شیر- سټرس ویش په هره شعاعي کرښه ثابت ارزښت لري. که چیرې عمل وکړي شافت تاو مومی بی لږ چې په ټورک کې زیاتوالی راشي. دا ټورک په نامه دی پلاستیک ټورک یادول کيږي.

مثالونه

مثال 5.15



په انځور 5-37a کې یو تیوبی شافت چې له المونیم څخه جوړ شوی بنودل شوی، او مواد یې بشپړ ایلاستیک - پلاستیک چلند لري، د $t-g$ ډایگرام یې لاندی بنودل شوي. اعظمی تورک چې په شافت پلی کیدی شي پرته له دی چې لا مل د موادو د بیلد شی او هم پلاستیک تورک چې په شافت پلی کیدی شی معلوم کړي. همدا رنگه هغه اصغری شپیر سترین په بهرنی سطحه چې بشپړ پلاستیک سترین جوړه وی پیدا کړي.

حل (SOLUTION)

انځور 5-37

اعظمی ایلاستیک تورک (Maximum Elastic Torque).

موږ په بهرنی فایبر شپیر سترس 20 MPa وی. د تورژن له فورمول داسی لیکلی شو:

$$\tau_Y = \frac{T_Y c}{J}; \quad 20(10^6) \text{ N/m}^2 = \frac{T_Y (0.05 \text{ m})}{(\pi/2) [(0.05 \text{ m})^4 - (0.03 \text{ m})^4]}$$

$$T_Y = 3.42 \text{ kN} \cdot \text{m} \quad \text{Ans.}$$

د شپیر سترس او شپیر سترین ویش په انځور 5-37 b کې بنودل شوی. اربنتونه په داخلی دیوال د تناسب له لاری پیدا کولای شي.

پلاستیک تورک (Plastic Torque)

د شپير سترس ویش په دی حالت کی په انخوړ 5-37c کی بنودل شوي. معادله 5-23 ضرورت لري $t = t_Y$. مور لرو

$$T_P = 2\pi \int_{0.03 \text{ m}}^{0.05 \text{ m}} [20(10^6) \text{ N/m}^2] \rho^2 d\rho = 125.66(10^6) \frac{1}{3} \rho^3 \Big|_{0.03 \text{ m}}^{0.05 \text{ m}}$$

$$= 4.11 \text{ kN} \cdot \text{m}$$

Ans

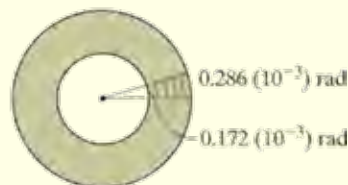
ددی تیوب لپاره T_P د 20% زیاتوالي د تورک په توانایی کی نسبت ایلاستیک تورک T_Y ته بنیسی.

بیرونی شپير سترین په شعاع (Outer Radius Shear Strain)

تیوب بشپړ توگه پلاستیک کیږی کله چی شپير سترین په داخلی دیوال کی $0.286 (10^{-3})$ رادیان شي، او دا په انخوړ 5-37c کی بنودل شوي. خکه چی شپير سترین په خوڅه برخه خطی پاتی کیږي، پلاستیک سترین په بهرنی فایبر د تیوب په انخوړ 5-37c کی له تناسب خخه پیدا کیږی شي.



ایلاستیک شپير-سترس ویش



ایلاستیک شپير-سترین ویش
(b)

$$\frac{\gamma_o}{50 \text{ mm}} = \frac{0.286 (10^{-3}) \text{ rad}}{30 \text{ mm}}$$

$$\gamma_o = 0.477 (10^{-3}) \text{ rad}$$

Ans



پلاستیک شپير-سترین ویش

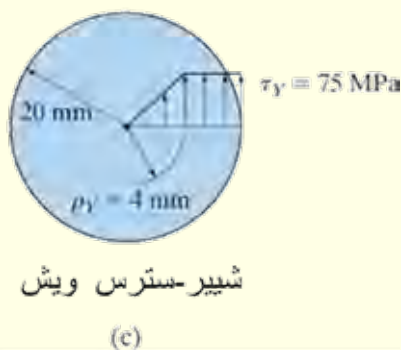
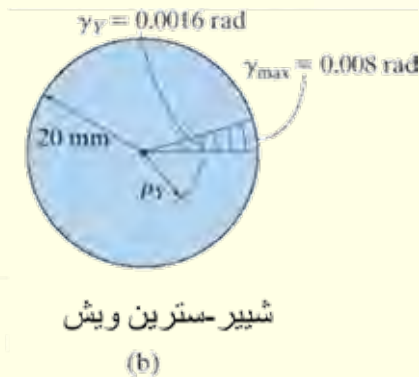
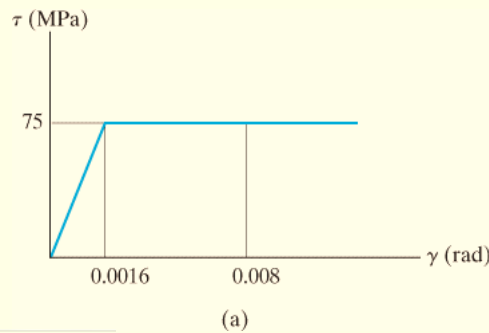
ابتدایی پلاستیک شپير-سترین ویش

(c)

انخوړ 5-37 (تکرار)

مثال 5.16

يو جامد گردی شافت 20mm شعاع او 1.5m اوږدوالي لري. مواد يي ايلاستیک بشپړ پلاستیک $t-g$ چلند لری چی په انځور 5-38a کی بنودل شوي. هغه تورک چی دا شافت $f = 0.6 \text{ rad}$ تاو کړی معلوم کړي.



حل (SOLUTION)

اول به موږ د اړوند تاو لپاره د شپړ-ستړين ویش معلوم کړو او بیا به د شپړ-ستړس ویش پیدا کړو.

عظمی شپړ ستړين په بیرونی سطحه د شافت په $r = c$ سره جوړیږي. څرنگه چی د تاو زاویه $f = 0.6 \text{ rad}$ د ټول اوږدوالي 1.5 متر د شافت لپاره ده، له معادلی 5-13 د ټول اوږدوالي لپاره داسی لیکلی شو

انځور 5-38

$$\phi = \gamma \frac{L}{\rho}$$

$$0.6 = \frac{\gamma_{\max} (1.5 \text{ m})}{0.02 \text{ m}}$$

$$\gamma_{\max} = 0.008 \text{ rad}$$

د شپير-ستريڼ ویش په انځور 5-38b کی بنودل شوی.

ځکه چې $g_{\max} > g_Y = 0.0016 \text{ rad}$ موادو بیلد کړي، انځور

5-38a وگوري. د ایلاستیک هستی شعاع r_Y له تناسب څخه پیدا کیدی شي. له انځور 5-38b داسی لیکلی شو

$$\frac{\rho_Y}{0.0016} = \frac{0.02 \text{ m}}{0.008}$$

$$\rho_Y = 0.004 \text{ m} = 4 \text{ mm}$$

د شپير-ستريڼ ویش پر بنسټ ، د شپير ستريڼ ویش د شعاع په اوږدوالی په انځور 5-38c بنودل شوي. اوس کولای شو چې ټورک له 5-25 معادلی پیدا کړو. کله چې له نومریکل دیتا کار واخلو داسی لیکلی شو.

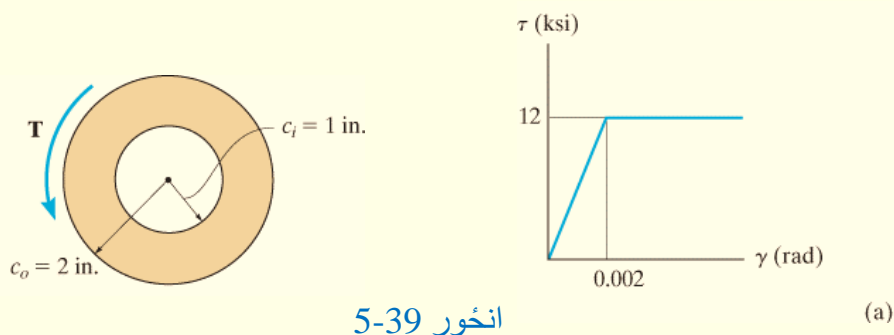
$$T = \frac{\pi T_Y}{6} (4c^3 - \rho_Y^3)$$

$$= \frac{\pi [75(10^6) \text{ N/m}^2]}{6} [4(0.02 \text{ m})^3 - (0.004 \text{ m})^3]$$

$$= 1.25 \text{ kN} \cdot \text{m} \quad \text{Ans.}$$

مثال 5.17

د 5-ft اوږده ټیوب ایلاستیک او بشپړ پلاستیک $t-g$ دایگرام په انځور 5-39a کی بنودل شوی. پلاستیک ټورک T_p معلوم کړي. د پاتی شوی (residual) شپير-سترس ویش په ټیوب کی، کله چې T_p وروسته له هغه لحظی چې ټیوب بشپړ توگه پلاستیک حالت کی شي لری شي، پیدا کړي.



انځور 5-39

(a)

حل (SOLUTION)

پلاستیک تورک (Plastic Torque)

پلاستیک تورک T_p به تیوب داسی سترین کړي چی ټول مواد به بیلد وکړي. له همدی امله د ستر ویش به هغسی شی لکه چی په انخوړ 5-39b کی بنودل شوي. له معادلی 5-23 داسی لیکي شو

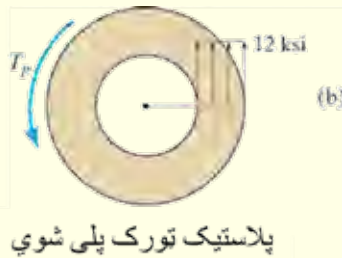
$$T_p = 2\pi \int_{c_i}^{c_o} \tau_Y \rho^2 d\rho = \frac{2\pi}{3} \tau_Y (c_o^3 - c_i^3)$$

$$= \frac{2\pi}{3} (12(10^3) \text{ lb/in}^2) [(2 \text{ in.})^3 - (1 \text{ in.})^3] = 175.9 \text{ kip} \cdot \text{in.} \quad \text{Ans.}$$

کله چی تیوب په بشپړ توگه پلاستیک حالت کی شي داخلی دیوال کی مواد بیلد کړي په $c_i = 1 \text{ in.}$ $\phi = 0.002 \text{ rad}$ انخوړ 5-39a

د تاو زاویه له معادلی 5-13 پیدا کیدی شی، او هغه د ټول تیوب لپاره عبارت ده په

$$\phi_p = \gamma_Y \frac{L}{c_i} = \frac{(0.002)(5 \text{ ft})(12 \text{ in./ft})}{(1 \text{ in.})} = 0.120 \text{ rad,}$$



کله چی T_p لری شی، او یا بیرته په مخالف جهت پلی شي بیا خیالی شیر-سترس ویش چی په انخوړ 5-39c کی بنودل شوي باید په هغه چی په انخوړ 5-39b کی بنودل شوی ور اضافه (superimposed) شی. په انخوړ 5-39c کی اعظمی شیر سترس یا د ماتیدو ماجولس د تورژن له معادلی پیدا کیدی شي



انخوړ 5-39 (تکرار)

$$\tau_r = \frac{T_p c_o}{J} = \frac{(175.9 \text{ kip} \cdot \text{in.})(2 \text{ in.})}{(\pi/2)[(2 \text{ in.})^4 - (1 \text{ in.})^4]} = 14.93 \text{ ksi}$$

او هم په داخلی دیوال دی تیوب کی شیر سترس عبارت دی په

$$\tau_i = (14.93 \text{ ksi}) \left(\frac{1 \text{ in.}}{2 \text{ in.}} \right) = 7.47 \text{ ksi}$$

Ans.



د پاتی شوی شیر-سترس ویش

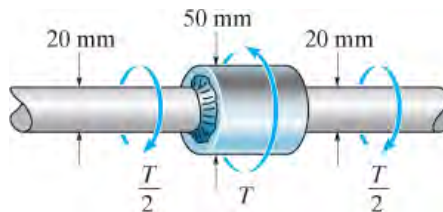
انخور 5-39 (تکرار)

محصله د پاتی شوی شیر-سترس ویش په انخور 5-39d کی بنودل شوي.

سوالونه

PROBLEMS

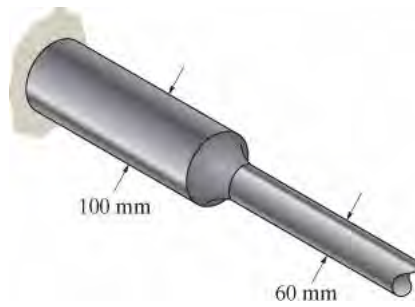
س 5-120* د فولادو د یو گام شافت منل شوی شیر سترس $t_{\text{allow}} = 8 \text{ MPa}$ دی. که چیری په هغه ساحه کی چی په دوو برخو کی بدلون رایی د بدلیدو شعاع یی $r = 4 \text{ mm}$ وی، اعظمی تورک T چی کیدی شی پلی شي معلوم کړي.



س 5-120

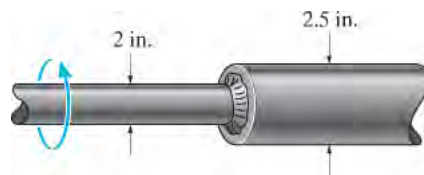
س 5-121. دا جوړشوی شافت چې دورانی سرعت یې 450 rpm دی، ددی لپاره ډیزاین شوی تر څو 230 kW پاور ولیردوي. آیا دا امکان لري؟ منل شوی شپیر سترس $t_{\text{allow}} = 150 \text{ MPa}$ دی.

س 5-122. دا جوړشوی شافت د 450 rpm دورانی سرعت لپاره ډیزاین شوی. که چیرې شعاع د فیلیټ ویلډ (weld) چې دواړه برخې د شافت سره وصل کوي $r = 13.2 \text{ mm}$ وي او منل شوی شپیر سترس د موادو $t_{\text{allow}} = 150 \text{ MPa}$ وي هغه اعظمی پاور چې شافت یې لیردولی شي معلوم کړي.



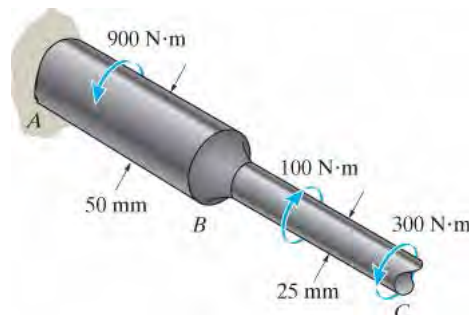
س 5-121/122

س 5-123. دا لاندی شافت په 600 rpm تاویري تر څو 30 hp ولیردوي. اعظمی شپیر سترس په شافت کی معلوم کړي. هغه دوه برخې د فیلیټ ویلډ په واسطه له یو بل سره تړلی چې شعاع یې 0.18 انچه ده.



س 5-123

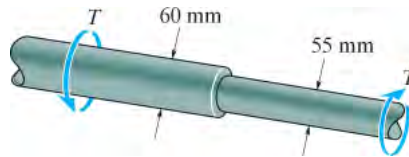
س 5-124*. دا لاندی شافت په ټکی A کی کلک تړلی او بنودل شوی تورک ورباندی پلی شوي. په ټکی B کی دواړی برخې په واسطه د یوه فیلیټ ویلډ چې 2.75 mm شعاع لری سره وصل شوی. اعظمی شپیر سټریس په شافت کی معلوم کړی.



س 5-124

س 5-125. یو ډک (جامد) شافت 40mm قطر او 1m اوږدوالي لري. او دا له موادو چی ایلاستیک-پلاستیک چلند لری جوړ شوي او بیلد ستریس یې $t_Y = 100 \text{ MPa}$ دی. اعظمی ایلاستیک تورک T_Y او د تاو زاویه یې پیدا کړي. که چیری د تورک ارزښت $T = 1.2 T_Y$ ته زیاتوالی و مومي د تاو زاویه پیدا کړي. $G = 80 \text{ Gpa}$

س 5-126. په دی لاندی گام شافت یو تورک T پلی شوی او هغه د لوی قطر حصی په بهرنی سطحه بیلد جوړه وي. د واړه قطر برخی د ایلاستیک هستی شعاع پیدا کړي. د سترس غلظت د فیلیت په برخه کی په نظر کی مه نیسی.

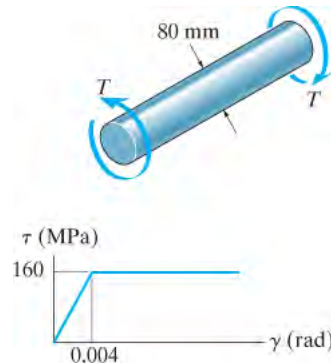


س 5-126

س 5-127. هغه تورک چی یو لنډ 2 mm قطر د فولادو سیم خو واری تاو کړي پیدا کړي. دا سیم له فولادو جوړ شوی او ایلاستیک بشپړ پلاستیک چلند لری او د بیلد سترس یې $t_Y = 50 \text{ MPa}$ دی. فرض کړی چی مواد په بشپړ توگه پلاستیکی حالت لری.

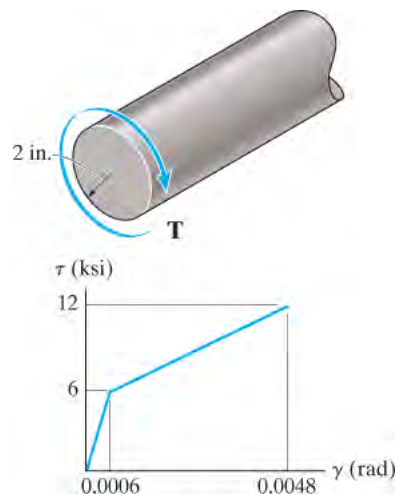
س* 5-128. یو بار (شافت) چی گردی غوڅه برخه لري او قطر یې 3 in انچ دی یو تورک 100 k in ورباندی پیل شوي. که چیری مواد یې ایلاستیک بشپړ توگه پلاستیک چلند ولری او بیلد شپیر سترس $t_Y = 16 \text{ ksi}$ وی د ایلاستیکی هستی شعاع معلومه کړي.

س 5-129. جامد (پک) شافټ له ایلاستیک بشپړ توگه پلاستیک موادو جوړ شوي. هغه ټورک معلوم کړی کله چی یو ایلاستیک هسته په شافټ کی چی $r_Y = 20\text{mm}$ شعاع لری جوړه کړي. که چیری دا شافټ 3 m اوږدوالي ولري د تاو زاویه د یو پای نسبت بل پای ته پیدا کړي. کله چی دا ټورک لري شی، د پاتی شوی سټرس ویش په شافټ کی او د تاو زاویه چی په دایمی توگه پاتی کیږی پیدا کړي.



س 5-129

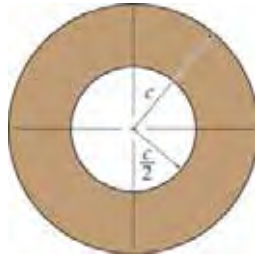
س 5-130. په دی لاندی شافټ اعظمی شپیر سترین 0.0048 rad راغلي. اعظمی ټورک چی په دی لاندی شافټ پلی کیدی شي معلوم کړي.



س 5-130

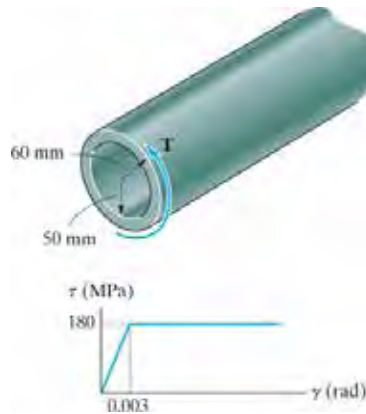
س 5-131. گردی شافټ چی 4 in قطر لري یو ټورک 250 kip. in ورباندی پلی شوي. د شافټ مواد ایلاستیک او بشپړ توگه پلاستیک دی. $t_Y = 16$ ksi. د ایلاستیکی هستی شعاع پیدا کړي.

س 5-132* یو خالي شافت دا لاندی غوڅه برخه لري، او له ایلاستیک بشپړ پلاستیک موادو څخه چی بیلد شیبیر سترس یې t_Y دی جوړ دي. د پلاستیک تورک T_p نسبت، اعظمی ایلاستیک تورک T_Y ته پیدا کړي



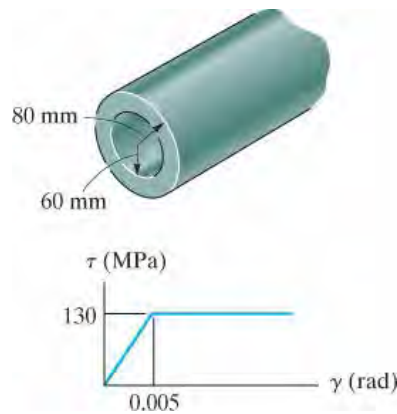
س 5-132

س 5-133. دا لاندی 2-m اوږد شافت له ایلاستیک بشپړ پلاستیک موادو څخه جوړ شوي. بهرنی پلي شوی تورک T پیدا کړی تر څو د تیوب بهرنی سطحه شیبیر سترس $g_{\max} = 0.006 \text{ rad}$ ته ورسیری. کله چی دا تورک لري شي په کوم اندازه دایمی تاو والي زاویه په تیوب کی پاتی گیري. د پاتی شوی سترس ویش په تیوب کی رسم کړي.



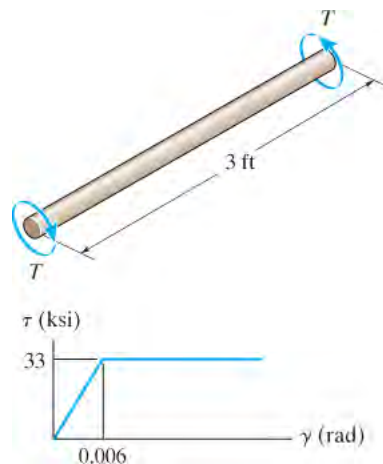
س 5-133

س 5-134. دا لاندی 2-m اوږد شافت له ایلستیک بشپړ پلاستیک موادو څخه جوړ شوي. هغه تورک پیدا کړی چی په موادو کی د بشپړ پلاستیکی حالت سبب شي. کله چی تورک لری شي هغه دايمي د تاو زاويه چی په تیوب کی رامینځ ته کیری معلومه کړي.



س 5-134

س 5-135. دا لاندی 3-in قطر شافت له ایلستیک بشپړ پلاستیک موادو څخه جوړ شوي. د ایلاستیک هستی شعاع پیدا کړي کله چی تورک $T = 18 \text{ kip}\cdot\text{ft}$ پلی شي. که چیری شافت 3 ft اوږد والي ولري د تاو زاويه معلومه کړي.



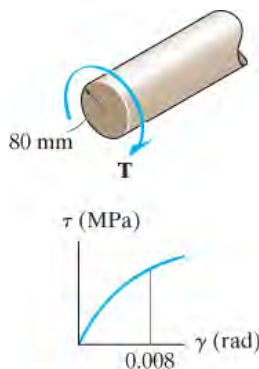
س 5-135

س 5-136* لاندی شافت له ایلستیک بشپړ پلاستیک موادو څخه جوړ شوي. که چیری یو تورک $T = 20 \text{ kN.m}$ ورباندی پلی شی د شیبیر سترس ویش د شعاع په کرښه رسم (پلاټ) کړي. کله چی دا تورک لیری شی د پاتي شوی سترس ویش په شافت کی پیدا کړي.



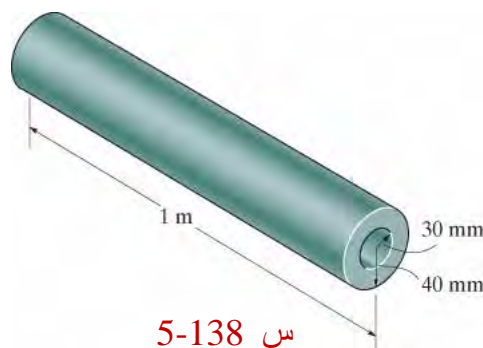
س 5-136

س 5-137 یو تورک په شافت چی شعاع یې 80 mm ده ورباندی پلی شوي. که چیری مواد د شیبیر سترس-سترین د $t = 500 \text{ g}^{1/4} \text{ MPa}$ ترون ولري، هغه تورک چی په شافت کی اعظمی سترین 0.008 rad جوړه وی پیدا کړي.



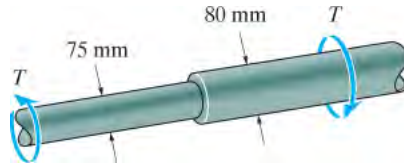
س 5-137

س 5-138 د یو تیوبی شافت داخلي قطر 60 mm او بهرنی قطر یې 80 mm او اوږدوالي یې 1 m دي. دا تیوب له ایلاستیک بشپړ پلاستیک موادو چی بیلد سترس $t_Y = 150 \text{ MPa}$ دي جوړ شوي. هغه اعظمی تورک چی پلی کیدی شی معلوم کړي. د یو پای تاو زاویه نسبت بل پای ته داسی معلومه کړی چی د تیوب داخلی سطحه بیلد ته ورسی. $G = 75 \text{ GPa}$



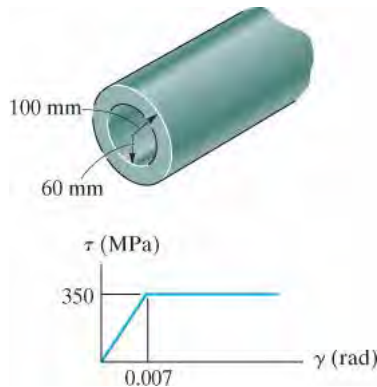
س 5-138

س 5-139. په دی لاندی گام (step) شافت یو تورك T پلی شوی او د لوی قطر برخی په سطحه یی بیلد جوړ کړي. د ایلاستیک هستی شعاع د کوچنی قطر برخی تیوب معلوم کړي. د سترس غلظت په فیلیت کی د حساب وړ مه نیسي.



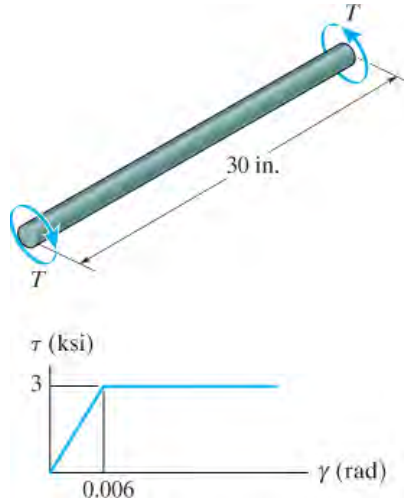
س 5-139

س *5-140. دا لاندی تیوب له ایلاستیک بشپړ توگه پلاستیک موادو جوړ او 2 m اوږدوالي لري. هغه تورك پیدا کړی چی مواد پلاستیکی حالت ته راولی. کله چی تورك لیری شي د دایمی تاو زاویه چی په تیوب کی رامینځ ته کیری معلوم کړي.



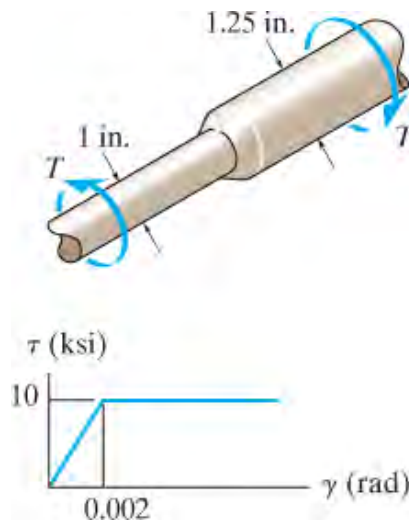
س 5-140

س 5-141. یو شافت چی شعاع یې $c = 0.75 \text{ in}$ له ایلاستیک بشپړ توگه پلاستیک موادو جوړ شوي. هغه تورک T ، چی کیدی شی په شافت عمل وکړي تر څو د ایلاستیک هستی شعاع $r = 0.6 \text{ in}$ جوړ کړي، معلوم کړي.



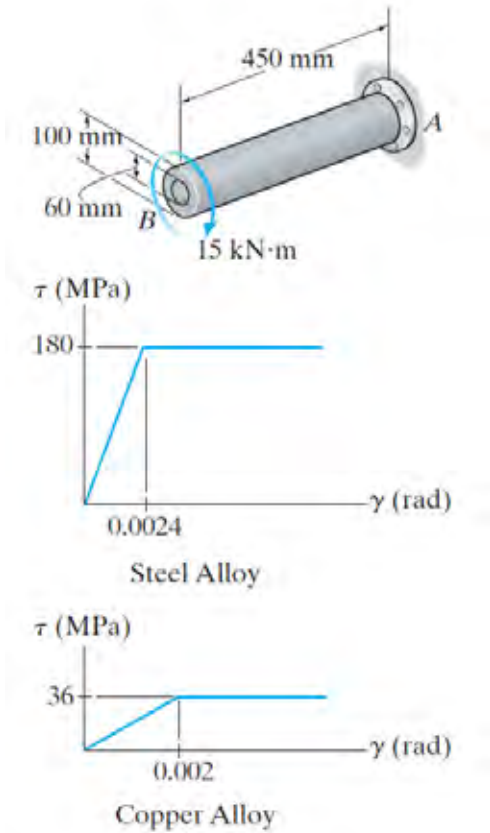
س 5-141

س 5-142. دا لاندی شافت له دو برخو چی یوبل سره سخت نیښلول شوی جوړ شوي. که چیری مواد یې ایلاستیک بشپړ توگه پلاستیک لکه څنگه چی بنودل شوی جوړ وی، اعظمی تورک چی په دی شافت عمل کړی شي معلوم کړي.



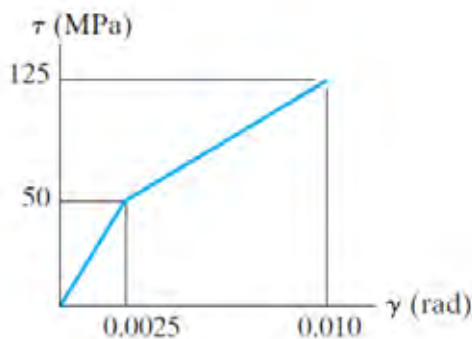
س 5-142

س 5-143. د فولادی الیاژ (alloy) هسته د مسو د ټیوب سره سرپین (bonded) شوی ترڅو یو شافت جوړ کړي. که چیرې د شافت مواد د $t-g$ ډایگرام چی لاندی بنودل شوی ، هغه اعظمی تورک چی په هسته او ټیوب پلی کیدی شی معلوم کړي.



س 5-143

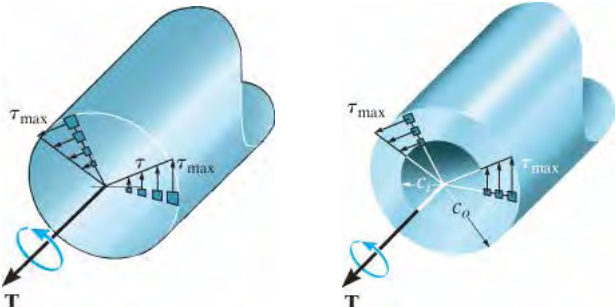
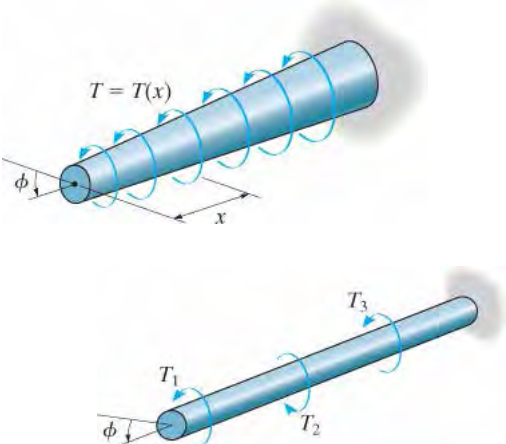
س 5-144. د شپير سترس-سترین ډایگرام د یو ډک (جامد) شافت چی 50-mm قطر لری په لاندی انځور کی بنودل شوي. هغه تورک چی په شافت کی اعظمی شپير سترس 125 MPa جوړ کړي معلوم کړي. که شافت 3 m اوږد وی د تاو زاویه پیدا کړي.



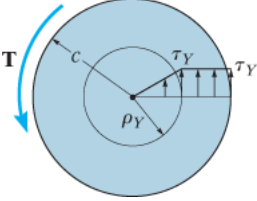
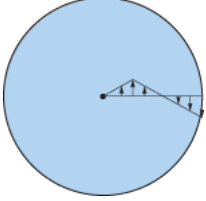
س 5-144

د فصل بیا کتنه

CHAPTER REVIEW

	<p>کله چې تورک په یوه شافت چې گردی غوڅه برخه لری پلی شی، شافت تاو مومي او شیبیر سترین په شافت کی تل متناسب دی د شعاعی په فاصله له مرکز د شافت نه. په دې شرط چې مواد یو شان او خطی ایلاستیکی چلند ولری، بیا د شیبیر سترس د تورژن له فارمول څخه په لاندی ډول ټاکل کیږی</p> $\tau = \frac{T\rho}{J}$ <p>د شافت ډیزاین لپاره اړین دی چې دا لاندی هندسی فکتورونه و موندل شي</p> $\frac{J}{c} = \frac{T}{\tau_{\text{allow}}}$
	<p>کله چې یو شافت چې د پاور P په مرسته دورانی سرعت W ولری نو د تورک ارزښت له دی فورمول نه پیدا کیږی شي</p> $P = TW$
	<p>د هغه شافت چې گردی غوڅه ولري د تاو زاویه یي داسی پیدا کیږی شي</p> $\phi = \int_0^L \frac{T(x) dx}{J(x)G(x)}$ <p>که داخلی تورک او د JG ارزښت په هره برخه کی ثابت وی بیا</p> $\phi = \sum \frac{TL}{JG}$

	<p>د تطبیق لپاره بنایي د داخلي تورک لپاره د علامی له نشانی کارو اخیستل شی او اړینه ده چی د موادو چلند ایلاستیک خطي وی.</p>
	<p>که شافت ستایکلی نامعلوم وی بیا ریکشن تورکونه له توازن او مطابقت د تاو او د بار- اوبیخایه کیدنی ترون لکه $f = TL/JG$ څخه پیدا کیږي.</p>
	<p>جامد غیر گردی شافتونه کله چې د تورک سره مخ شي له سطحی د وتلو په لور بیخایه کیدنه مومي. فورمولونه شته تر څو اعظمي ایلاستیک شیبیر سترس او د تاو زاویه و موندل شی.</p>
	<p>د نازکو دیوالو- ټیوبونو اوسط شیبیر سترس معلومولو لپاره فرض کړی چې د شیبیر جریان په هر ضخامت کی t کی ثابت دي. د اوسط شیبیر ستریس ارزښت له دي فورمول څخه ټاکل کیږي</p> $\tau_{avg} = \frac{T}{2t A_m}$
	<p>کله چې د شافت په غوڅه برخه کی ناخاپه بدلون راشی د سترس غلظت مینځ ته راځی. اعظمی شیبیر سترس د تمرکز فکتور (stress factor) K په کارولو سره ټاکل کیږي. دا فکتور له آزموینو لاس ته راځی او په گرافیکی بڼه بنودل شوي. کله چې د تمرکز فکتور پیدا شو بیا اعظمی شیبیر سترس عبارت دی په</p> $\tau_{max} = K \left(\frac{Tc}{J} \right).$

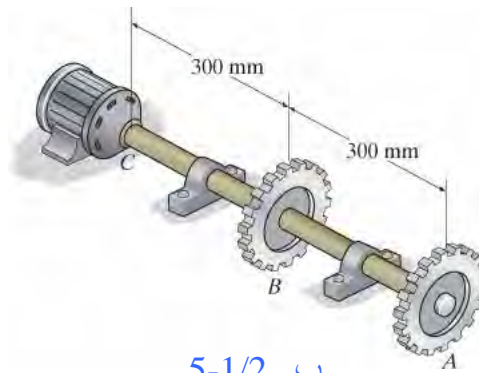
	<p>که چیری پلی شوی تورک د شافت مواد بیلد کړي بیا د سترس ویش متناسب په شعاعی فاصله له مرکز د شافت سره نه دی. پر خای یې د داخلی تورک سترس ویش سره تړاو لری چی د شیر ستریس - شیر سترین ډایگرام او توازن سره تړون لری.</p>
	<p>که چیری یو شافت باندی یو پلاستیک تورک پلی شی او بیا لری شی ، دا سبب ددی کیري چی مواد ایلستیک چلند وښایي ، او پاتی شوی شیر سترسونه په شافت کی جوړیږي.</p>

د بيا کتنی سوالونه

REVIEW PROBLEMS

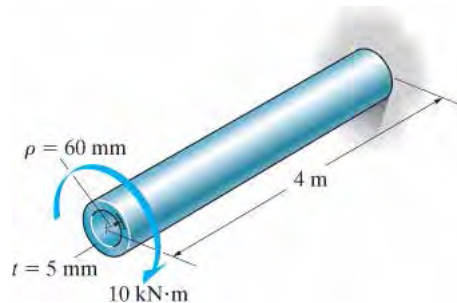
ب 5-1. دا لاندی شافت له A992 فولادو څخه جوړ شوی او د منلو وړ شپير سترس يي $t_{\text{allow}} = 76 \text{ MPa}$ دی. کله چې شافت په 300 rpm ، حرکت کې وي موټور 8 kW بريننا چمتو کوي، پداسې حال کې چې گیر A او B په ترتيب سره 5 kW او 3 kW مصرفوي. وباسي. د شافت لږترلږه قطر ته اړتيا نيردی ملی متر ته و ټاکي . همدارنگه، د گیر A تاو نسبت گیر C ته ومومي.

ب 5-2. دا لاندی شافت له A992 فولادو څخه جوړ شوی او د منلو وړ شپير سترس يي $t_{\text{allow}} = 75 \text{ MPa}$ دی. کله چې شافت په 300 rpm ، حرکت کې وي موټور 8 kW بريننا چمتو کوي، پداسې حال کې چې گیر A او B په ترتيب سره 5 kW او 3 kW مصرفوي . که د گیر A د تاو زاويه نسبت C ته له 0.03 rad ډيره نشي ، د اړتيا وړ لږ تر لږه قطر د شافت نږدې ملی متر ته و ټاکي.



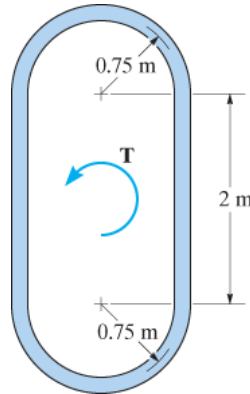
ب 5-1/2

ب 5-3. دا لاندی گرد تيوب چی له A-36 فولادو جوړ شوی يو تورک $10 \text{ kN}\cdot\text{m}$ ورباندی پلی شوي. په منځنی شعاع $r = 60 \text{ mm}$ کی شپير سترس پيدا کړی او که چيری تيوب 4 m اوږدوالي ولری د تاو زاويه د تيوب په پای کی معلومه کړي. د حل لپاره له معادلو 5-7 او 5-15 او هم له معادلو 5-18 او 5-20 کار واخلي.



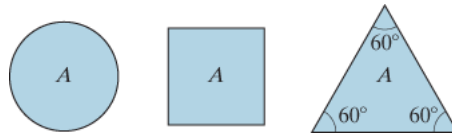
ب 5-3

ب 4-5. د الوتکې د فیوسلاج یوه برخه په دی لاندې غوڅه برخه کې تقریبي بنودل شوی. که د پوستکي 2014-T6 المونیم ضخامت 10 mm وی اعظمی تورک چی کیدی شی په وزر پلی شی معلوم کړي. د منلو وړ شیبیر سترس $t_{\text{allow}} = 4 \text{ MPa}$ دی. همدارنگه په 4-m اوږده برخه د تاو زاویه معلوم کړي.



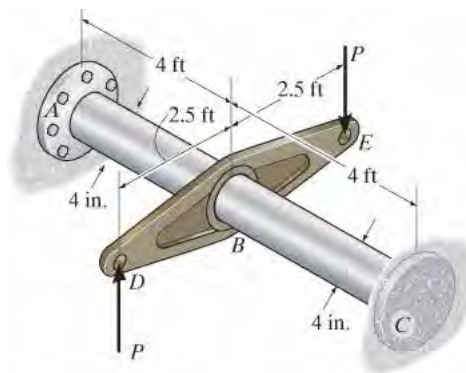
ب 4-5

ب 5-5. درې شافتونه د هغو موادونه چی جور شوی د منلو وړ شیبیر سترس یې t_Y او د شیبیر ماجولس یې G دی. معلوم کړی چی کوم یو له دی بنودل شویو دریو هندسی انځورونوڅخه به د اعظمی تورک تواونایي ولری ترڅو مواد یې بیلد ونکړي. په کومه اندازه (فیصدی) به هغه دوه نور به د دی تورک انتقال کړي. فرض کړی چی هر یو شافت ورته ورته مقدار مواد لري او هم د غوڅی برخی مساحت یې ورته اندازه دی.



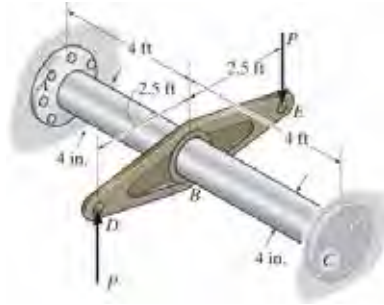
ب 5-5

ب 6-5. د AB او BC حصی په لاندی اسامبلی کی له المونیم 6061-T6 او فولادو A992 څخه په ترتیب سره جور شوي. که یو کیل قوه $P = 3 \text{ kips}$ په بازو پلی شی اعظمی شیبیر سترس په هره برخه کی معلوم کړي. دا اسامبلی په A او C کی کلکه تړل شوي.



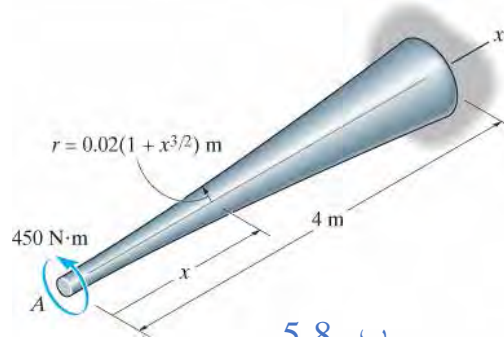
ب 5-6

ب 5-7. د AB او BC برخې د لاندې اسامبلې له المونیم 6061-T6 او فولادو A992 په ترتیب سره جوړ شوي. که منل شوی شیبیر سترس د المونیم $(t_{\text{allow}})_{\text{al}} = 12 \text{ ksi}$ او د فولادو $(t_{\text{allow}})_{\text{st}} = 10 \text{ ksi}$ وي، اعظمی منل شوی کیل قوواوی P چی کیدی شی په بازو پلی شی معلوم کړي. دا اسامبلې په A او C کی کلک تړل شوي.



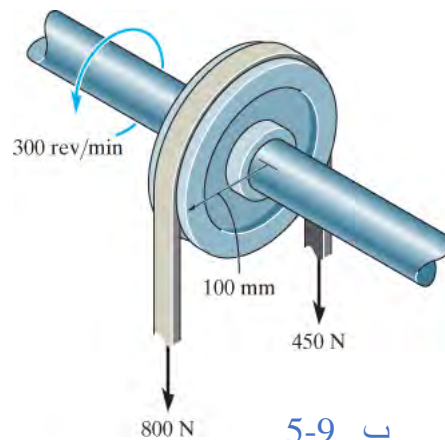
ب 5-7

ب 5-8*. دا لاندې مخروطي شافت له المونیم 2014-T6 الیاږ څخه جوړ شوی، او شعاع يي په معادله $r = 0.02(1 + x^{3/2}) \text{ m}$ سره معلومیدی شي. دلته x په متر اندازه کيږي. د تاو زاویه په پای A کی و ټاکی کله چی تورک $450 \text{ N}\cdot\text{m}$ ورباندې پلی شی.



ب 5-8

ب 5-9. دا لاندې شافت 60-mm قطر لري او 300 rev/min څرخيږي. دا حرکت د غیر مساوی کمر بند کشش له امله 800 N او 450 N په یوه پولی (pulley) کی رامینځ ته کيږي. هغه توانايي چی لیږدوی او هم اعظمی شیبیر سترس چی په شافت کی رامینځ ته کيږی پیدا کړي.



ب 5-9

شپږم فصل

(CHAPTER 6)



(© Construction Photography/Corbis)

د دی پله گادرونه داسی ډیزاین شوی چی د کبریدونکی ستریس په وړاندی مقاومت لری .

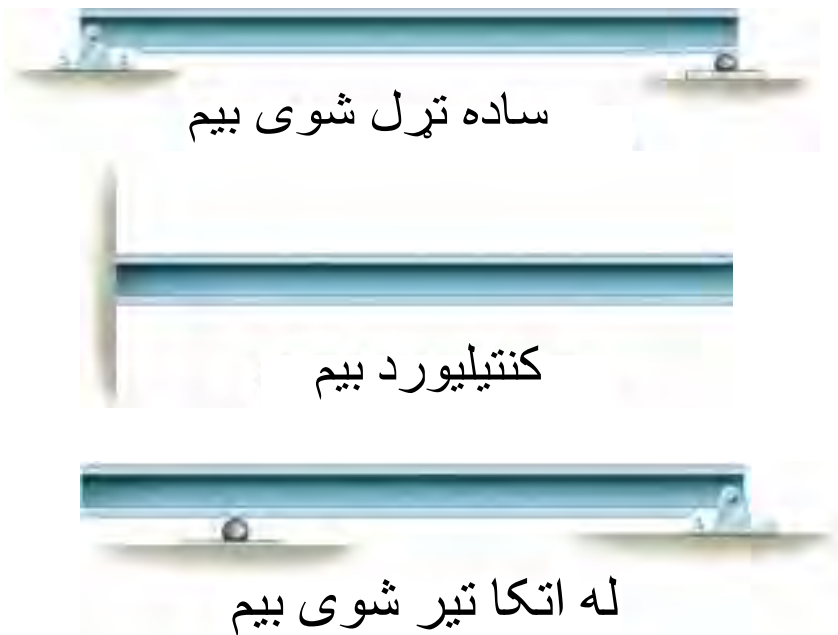
کړونکی (انحنایي) مؤمنت (BENDING)

د فصل موخي CHAPTER OBJECTIVES

په دې فصل کې به مور هغه سټریس چې له کړیدو په بیم یا شفټ کې منځ ته راځي پیدا کړو. دا فصل کې په دې بحث پیل کیری چې د شپیر او مؤمنت توپيرونه په غړیو کې څنگه موندل کیری. یو ځل چې داخلي مؤمنت و ټاکل شي، اعظمي کړیدونکی سټریس محاسبه کیدی شي. لومړی به مور هغه غړی په پام کې ونیسو چې مستقیم دي، یوه متناظره غوڅه لري، او له متجانسو موادو څخه چې خطي ایلاستیکی چلند لري جوړ شوي دي. وروسته به مور د ځانگړیو حالتو په توگه داسی غړی، چې نا متناظره کړیدونکی مؤمنت پری عمل کوی، او له کمپازت موادو څخه جوړ شوي وی وڅیرو. همدارنگه به هغه غړی چې کاره وی، د سټریس غلظت لري، غیر ایلاستیک چلند لری او پاتی شوی سټریسونو لری په پام کې ونیسو.

6.1 شیبیر او مؤمنت دایگرامونه (SHEAR AND MOMENT) (DIAGRAMS)

هغه غړي چې نري يا باريک (slender) دي او په عمده توگه بار د غړی په اوږده محور په عمودی جهت پلي کيږي، په نامه د بيم يادېږی. په عموم کې، بيمونه اوږده دي، مستقيمی ميلي (bars) ثابته مساحت د غوڅی برخي لري. ډيری وختونه دا چی دوی څه ډول اتکاوی (ملاټر) لری په هغه سره طبقه بندي کيږي. د مثال په توگه، يو ساده ملاټر شوی بيم په يوه پای کې پين اتکا لری او په بل سر کې يې رولر ملاټر کوی، انځور 1-6. يو کانتيلیور بيم په يوه پای کې کلک ټرل شوی او په بل سر کې آزاد دی، او يو ځړيدلی (overhang) بيم هغه دی چی يو يا دواړه پایلی یی له اتکانه تیری او په آزاده توگه دوام لری.



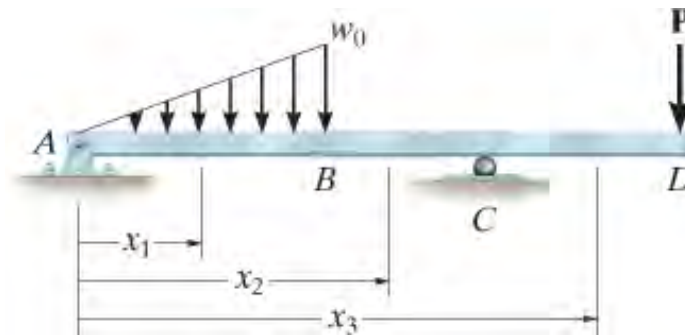
انځور 1-6

بیم په ټولو ساختماني عناصرو کې خورا مهم عنصر گڼل کيږي. هغوی د ودانۍ د پور، د پله فرش، يا د الوتکې د وزر ملاټر کولو لپاره کارول کيږي. همدارنگه، د موټر اکسل، د کرين بوم، حتی د بدن ډيری هډوکي د بيم په توگه کار کوي.

د پلي شوي بار کولو له امله، په بيمونو کې داخلي شیبیر قووه او مؤمنت رامینځته کيږي چې په عمومي ډول، د بيم د محور په اوږدو کې له یوی نقطې څخه بلې نقطې ته توپیر لري. د دې لپاره چې په سمه توگه بيم ډيزاين کړی شي له همدې امله په بيم کې په دقیقه توگه د اعظمي شیبیر او مؤمنت ټاکل کيدل مهم کيږي. د دی هدف ترسره کولو یوه لاره دا ده چی د شیبیر، V او مؤمنت، M د بيم د محور په اوږدو کې د خپل سري موقعیت x تابع په توگه څرگند شی. او بیا دا تابع پلات (رسم) شی. دوی په ترتیب سره د شیبیر او مؤمنت دایگرام استازیتوب کوي. د V او M اعظمي

ارزبنتونه بیا په مستقیم ډول له دې گرافونو څخه ترلاسه کیدی شي. همدارنگه، د شیبیر او مؤمنت دایگرامونه د بیم د محور په اوږدو کې د شیبیر او مؤمنت د توپیر په اړه مفصل معلومات وړاندې کوي. ډیری وختونه انجنیران ددی دایگرامونو په لیدو سره پریکړی کوي چې کومی برخې د بیم دننه د پیاوړتیا مواد ضرورت لري او یا په مختلفو نقطو کې د بیم د اندازې تناسب د هغې په اوږدوالی کې ور اضافه کړي.

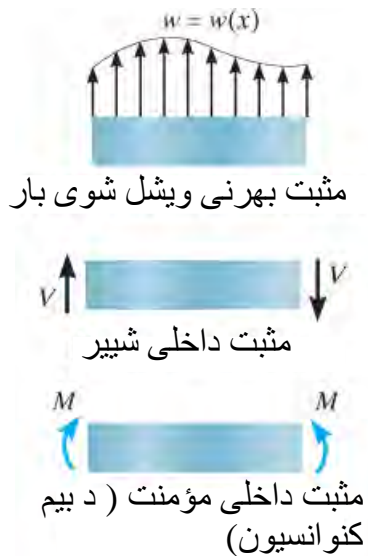
د دی لپاره چې د V او M جوړولو لپاره مور فورمول جوړ کړو، باید د x لپاره مبداء او مثبت لوري غوره کړو. که څه هم دا انتخاب خپل سري دی، ډیری وختونه مبداء د بیم په چپ پای کې موقعیت لري اود مثبت ارزبنتونو سمت د x بني خوا ته وی .



انځور 6-2

کیدې شي په بیم ویشل شوي بار او یا متمرکز قوواوي او یا کپل مؤمنت پلی شي ، په هغه ځایونو کې چې بارونه پلی شوی داخلي شیبیر او مؤمنت به x په نسبت به دوامدار نه وی (discontinuous) ، او یا به د دوی میلان به ناڅاپی تغیر کوی په کوم ځای کې چې بار عمل کوی. له دې امله، دا تابع ارزبنت دواړو خواته چې ارزبنت یې آنی تغیر کوی باید معلوم شي. د مثال په توگه، کوردینوتونه x_1 ، x_2 ، او x_3 باید د V او M د توپیر تشریح کولو لپاره د بیم په اوږدو کې وکارول شي، انځور 6-2 و وینی. دلته کوردینوتونه یوازې د x_1 لپاره له A څخه تر B پورې سیمو کې اعتبار لري، د x_2 لپاره له B څخه تر C پورې، او د x_3 لپاره له C څخه تر D پورې .

د بيم د علامو کنوانسيون (Beam Sign Convention). مخکې له دې چې يو ميتود د شپير او مؤمنت تابع د فاصلي x ټاکلو لپاره وړاندې کړو، او وروسته دا تابع (شپير او مؤمنت ډياگرامونه) پلاټ کړو، لومړی اړين دی چې د علامو يو کنوانسيون د "مثبت" او "منفي" تعريف کولو لپاره



انځور 3-6

رامینځته کړو تر څو مثبت V او M ارزښتونه معلوم شي. که څه هم کیدی شي د کانونسيون انتخاب په خپله خوښه وي، دلته به موږ هغه کانونسيون وکاروو چې ډیری وختونه د انجینرۍ په تمرینو کې کارول کېږي. او دا په انځور 3-6 کې ښودل شوي. **مثبت لارښوونې** په لاندې ډول دي: ویشل شوی بار چې په بيم پورته خوا عمل کوي، داخلي شپير قواوي چې د بيم په برخه د ساعت د عقربو په لور د دوراني حرکت لامل کېږي، او داخلي مؤمنت د بيم برخې په پورتنۍ فایبرونه په کمپرشن حالت کې راولي او دا برخه داسې کورن حالت نیسي چې په هغه کې اوبه تم کیدلي شي یا په بل عبارت اوبه ساتي. هغه بارونه چې د دې برعکس دي منفي گڼل کېږي.

مهم ټکي

(IMPORTANT POINTS)

- بيمونه اوږده مستقیم غړی دی چې بهرنی بار په عمود ډول د محور په اوږدو يي پلی کېږي. دوی په اساس د اتکاوو طبقه بندۍ او نومول کېږي. د مثال په توگه ساده بيم، کنټيلیور بيم، او ځوریدلی یا تر اتکا تیر شوی بيم.
- ددی لپاره چې بيم صحیح ډیزاین شي، ضرور ده چې د شپير او مؤمنت تغیر د محور په اوږدوالی و پېرنو ترڅو هغه ټکی یا برخې چې هلته دا ارزښتونه اعظمی دی معلوم کړو.
- د پېرنډل شویو کنوانسيون علامو له مخې چې د مثبت مؤمنت او شپير د پاره منل شوي د بيم د محور د x په موقعیت د بيم پیدا کیدلي شي، او بیا داهم پلاټ کیدی شي تر څو شپير او مؤمنت ډياگرام جوړ کړي.

د تحلیل کرنلاره

PROCEDURE FOR ANALYSIS

د بیم شپير او مؤمنت ډايگرامونو جوړه ولو لپاره له دې لاندې طريقو کار واخلې

د اتکار ریکشنونه (Support Reactions)

- ټول ریکشنونه او کپل مؤمنتونه چې پر بیم عمل کړي ، او ټولې قواوي په عمودې او موازي اجزاو سره د بیم په محور وېشي.

د شپير او مؤمنت توابع (Shear and Moment Function)

- په جلا توگه محور د x مشخص کړي. ددې محور مبداء په چپ پای د بیم کې وی او په بنی لور تر هغه سیمې دوام لری چې په بیم تمرکزی بار، کپل مؤمنت ، او یا دا چې ویشل شوی بار بدلیدل پیدا کړی.
- بیم په هر x فاصله برخه کړي ، او له برخو آزاد ډايگرام د یوی برخې جوړ کړي. باید ډاډه ووسی چې V او M په مثبت جهت سره څنگه چې په 3-6 برخه کې وویل شول وښودل شي.
- په راټولولو د عمودې قواو په محور د x شپير لاس ته راځي.
- ددې دپاره چې V له منځه یو وړل شي مؤمنت د برخې په پای کې ونیسي او بیا مؤمنت پیدا کړي.

شپير او مؤمنت ډايگرام (Shear and Moment Diagrams)

- پلات کړی شپير ډايگرام (V مقابل د x) ، او مؤمنت ډايگرام (M مقابل د x) . که چیرې عددی ارزښتونه د V او M مثبت وی نو بیا ارزښتونه د محور x د پاسه پلات کړي او که ارزښتونه منفي وی د محور د لاندې پلات کړي.
- په عامه توگه دا آسانه ده چې شپير او مؤمنت ډايگرامونه د آزاد ډايگرام لاندې وښودل شي.

مثالونه

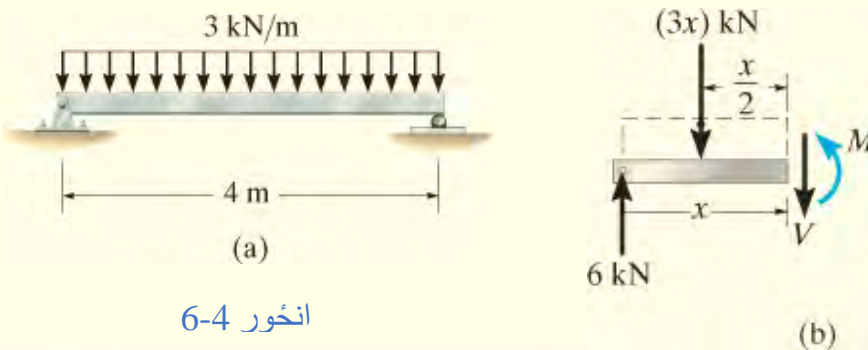
مثال 6.1

شیپیر او مؤمنت ډایگرام د دی بیم چی په انځور 6-4a کی بنودل شوی جوړ کړي.

حل (SOLUTION)

د اتکا ریکشنونه (Support Reactions) . د اتکاء ریکشنونه په انځور 6-4c کی بنودل شوي.

د شیپیر او مؤمنت توابع (Shear and Moment Functions) . د چپی برخی آزاد ډایگرام په انځور 6-4b کی بنودل شوي. د ویشلشوی بار محصله په دی برخه کی په قوه $(3x)$ kN بنودل شوی، او دا قوه کله چی دا برخه په آزاد ډایگرام کی ځانگری شي پیدا کیږی. دا محصله د مرکز ثقل د ویشل شوی بار په فاصله $x/2$ له بني پای څخه موقعیت لري. د توازن دوی معادلی په دی لاندی ډول بنودل شوی



$$+\uparrow \Sigma F_y = 0; \quad 6 \text{ kN} - (3x) \text{ kN} - V = 0$$

$$V = (6 - 3x) \text{ kN} \quad (1)$$

$$\zeta + \Sigma M = 0; \quad -6 \text{ kN}(x) + (3x) \text{ kN} \left(\frac{1}{2}x\right) + M = 0$$

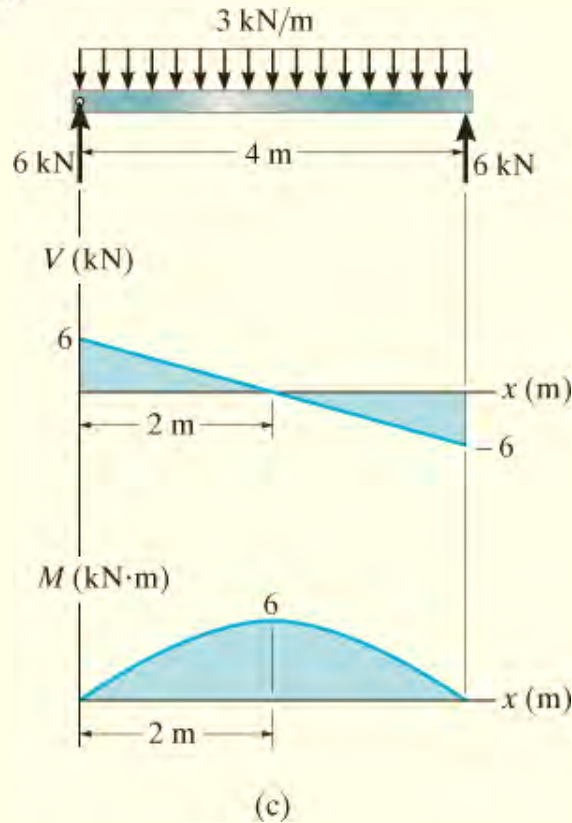
$$M = (6x - 1.5x^2) \text{ kN} \cdot \text{m} \quad (2)$$

د شیبیر او مؤمنت ډایگرامونه (Shear and Moment Diagrams)

شیبیر او مؤمنت ډایگرامونه چې په انځور 6-4c کې بنودل شوی له 1 او 2 معادلو څخه په لاس راغلی. د شیبیر صفر ټکی له معادلي 1 پدې لاندې ډول دی:

$$V = (6 - 3x) \text{ kN} = 0$$

$$x = 2 \text{ m}$$



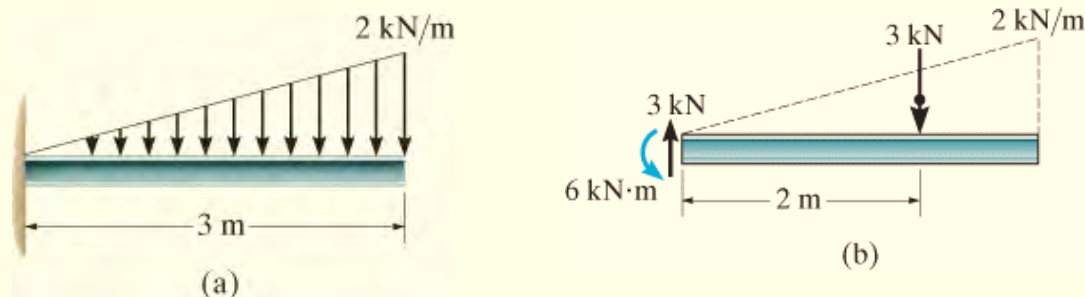
انځور 6-4 (ادامه)

یادونه: له مؤمنت ډایگرام دا ارزښت د x په هغه ټکی د بیم چې مؤمنت اعظمی حد نیسی، معادلي 6-2 (برخه 6.2 وگوری) میلان $V = dM/dx = 0$ له معادلي 2 مور لرو

$$\begin{aligned} M_{\max} &= [6(2) - 1.5(2)^2] \text{ kN} \cdot \text{m} \\ &= 6 \text{ kN} \cdot \text{m} \end{aligned}$$

مثال 6.2

شپير او مؤمنت ډايگرامونه د بيم لپاره چې په لاندی انځور 6-5a کی بنودل شوی جوړ کړي.



انځور 6-5

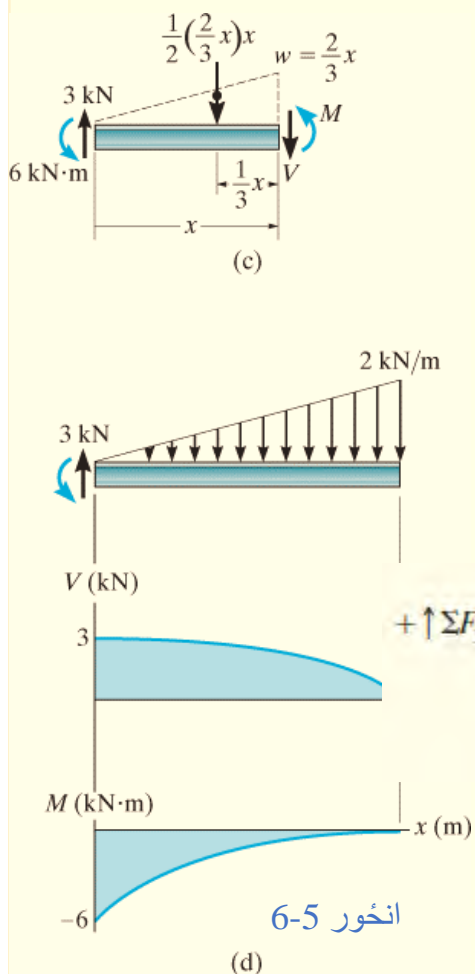
حل (SOLUTION)

د اتکاء ریکشنونه (Support Reactions) . د اتکا ریکشنونه په انځور 6-4b کی بنودل شوي.

د شپير او مؤمنت توابع (Shear and Moment)

(Functions) . آزاد ډايگرام د بيم د یوی برخی چی اوږدوالي یې x دی په انځور 6-5c کی بنودل شوي. د مثلثي بار شدت په دی برخه کی له تناسب څخه پیدا کيږي او هغه عبارت دی په $w = (\frac{2}{3}x) \text{ kN/m}$ او یا $w/x = (2 \text{ kN/m})/3 \text{ m}$.

محصله د ویشل شوی بار له ډايگرام لاندی ساحی څخه په لاندی ډول پیدا کيږي.



$$+\uparrow \Sigma F_y = 0; \quad 3 \text{ kN} - \frac{1}{2} \left(\frac{2}{3}x \right) x - V = 0$$

$$V = \left(3 - \frac{1}{3}x^2 \right) \text{ kN} \quad (1)$$

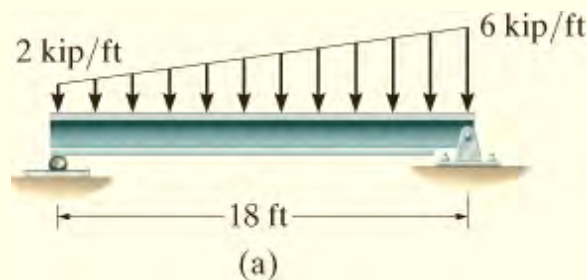
$$\zeta + \Sigma M = 0: \quad 6 \text{ kN} \cdot \text{m} - (3 \text{ kN}) (x) + \frac{1}{2} \left(\frac{2}{3} x \right) x \left(\frac{1}{3} x \right) + M = 0$$

$$M = \left(-6 + 3x - \frac{1}{9} x^3 \right) \text{ kN} \cdot \text{m} \quad (2)$$

شیر او مؤمنت ډایگرامونه (Shear and Moment Diagrams) . د معادلی 1 او 2 گراف په انځور 6-5d کی بنودل شوی.

مثال 6.3

شیر او مؤمنت ډایگرامونه د بیم لپاره چی په انځور 6-6a کی بنودل شوی جوړ کړی.



انځور 6-6

حل (SOLUTION)

د اتکا ریکشنونه (Support Reactions) . ویشل شوی بهرنی بار اول په مثلثی او مستطیل برخو ویشل شوی او بیا دا بارونه په خپلو محصله قواوو سره ځای په ځای شوی. ریکشنونه د بیم له آزاد ډیگرام څخه لکه څنگه چی په انځور 6-6b کی بنودل شوی موندل کیری.

د شیر او مؤمنت توابع (Shear and Moment Functions)

د چپی برخی آزاد ډیگرام په انځور 6-6c کی بنودل شوی. بیضوی بار په مثلثی او مستطیلی ویشلوی بارونو بیل شوی. دلته د مثلثی بار شدت له تناسب پیدا شوی. دلته د ویشل شوی بار محصلی او موقعیت یی هم بنودل شوی. د توازن له معادلو کار اخلو او داسی لیکلی شو

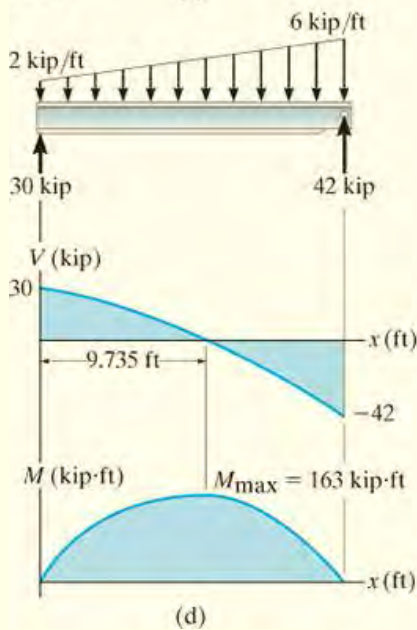
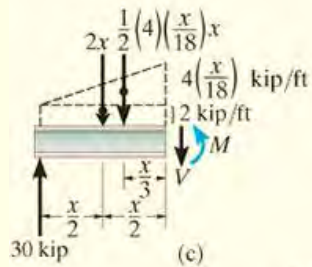
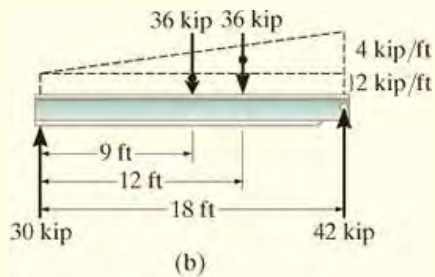
$$+\uparrow \Sigma F_y = 0; \quad 30 \text{ kip} - (2 \text{ kip/ft})x - \frac{1}{2}(4 \text{ kip/ft})\left(\frac{x}{18 \text{ ft}}\right)x - V = 0$$

$$V = \left(30 - 2x - \frac{x^2}{9}\right) \text{ kip} \quad (1)$$

$$\zeta + \Sigma M = 0;$$

$$-30 \text{ kip}(x) + (2 \text{ kip/ft})x\left(\frac{x}{2}\right) + \frac{1}{2}(4 \text{ kip/ft})\left(\frac{x}{18 \text{ ft}}\right)x\left(\frac{x}{3}\right) + M = 0$$

$$M = \left(30x - x^2 - \frac{x^3}{27}\right) \text{ kip} \cdot \text{ft} \quad (2)$$



شپير او مؤمنت ډايگرامونه (Shear and Moment Diagrams)

د معادلو 1 او 2 پلات په انځور 6-6d کې بنودل شوي. ځکه چې د اعظمی مؤمنت ټکی هغه وخت جوړیږي کله چې $dM/dx = V = 0$ (معادله 2) ، بیا له معادلی 1 دا لاندی په لاس راځي

$$V = 0 = 30 - 2x - \frac{x^2}{9}$$

مثبت جذر د پورتنی معادلی انتخاب کوو

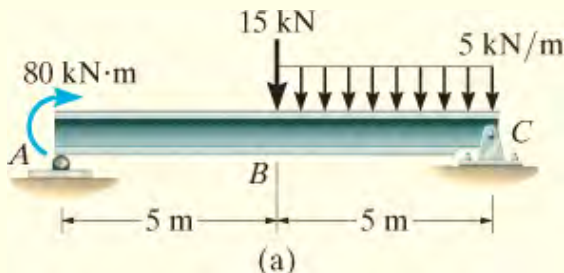
$$x = 9.735 \text{ ft}$$

بیا له معادلی 2 دا لاندی لیکلی شو

$$M_{\max} = 30(9.735) - (9.735)^2 - \frac{(9.735)^3}{27} = 163 \text{ kip} \cdot \text{ft}$$

مثال 6.4

شیر او مؤمنت ډایگرامونه د بیم چی په انځور 6-7a کی بنودل شوی جوړ کړي.



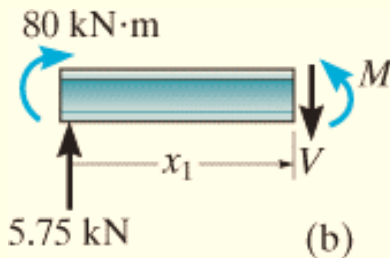
انځور 6-7

حل (SOLUTION)

د اتکاء ریکشنونه (Support Reactions). د اتکاریکشنونه په انځور 6-7d کی د بیم په آزاد ډایگرام کی بنودل شوي.

د شیر او مؤمنت توابع (Shear and Moment Functions).

څرنګه چی د بیم په مرکز کی ویشل شوی بار ادامه نلري او تمرکزی بار هم شتون لری، دوه برخې د x د بیم د شیر او مؤمنت ډایگرامونو د تشریح لپاره په پام کی نیسو



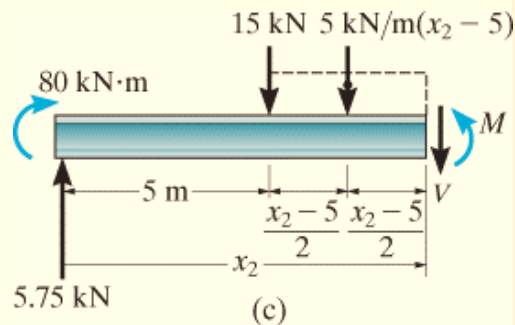
$0 \leq x_1 < 5$ m, Fig. 6-7b:

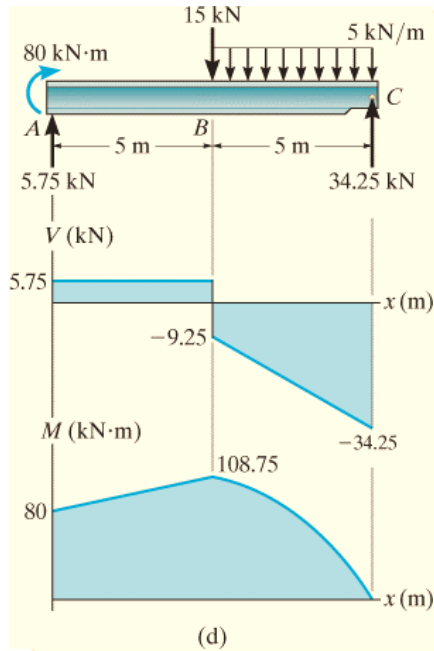
$$+\uparrow \Sigma F_y = 0; \quad 5.75 \text{ kN} - V = 0$$

$$V = 5.75 \text{ kN} \tag{1}$$

$$\zeta + \Sigma M = 0; \quad -80 \text{ kN} \cdot \text{m} - 5.75 \text{ kN} \cdot x_1 + M = 0$$

$$M = (5.75x_1 + 80) \text{ kN} \cdot \text{m} \tag{2}$$





انځور 6-7

$5 \text{ m} < x_2 \leq 10 \text{ m}$, Fig. 6-7c:

$$+\uparrow \sum F_y = 0; \quad 5.75 \text{ kN} - 15 \text{ kN} - 5 \text{ kN/m}(x_2 - 5 \text{ m}) - V = 0$$

$$V = (15.75 - 5x_2) \text{ kN} \quad (3)$$

$$\zeta + \sum M = 0; \quad -80 \text{ kN} \cdot \text{m} - 5.75 \text{ kN} \cdot x_2 + 15 \text{ kN}(x_2 - 5 \text{ m})$$

$$+ 5 \text{ kN/m}(x_2 - 5 \text{ m}) \left(\frac{x_2 - 5 \text{ m}}{2} \right) + M = 0$$

$$M = (-2.5x_2^2 + 15.75x_2 + 92.5) \text{ kN} \cdot \text{m} \quad (4)$$

د شیبیر او مؤمنت ډایگرامونه (Shear and Moment Diagrams)

معادلی 1 تر 4 پوری په انځور 6-7d کی پلات شوی.

6.2 د شیبیر او مؤمنت ډایگرامونو جوړه ول په گرافیکي طریقہ

(GRAPHICAL METHOD FOR CONSTRUCTING SHEAR AND (MOMENT DIAGRAMS



په هغه حالتونو کې چې په بیم څو مختلف بارونه پلي شوی وی، V او M د یو تابع په توگه، کوم چې د x تابع وی، معلومول یې او بیا د دې معادلو پلاټ کول کیدای شي ډیر جنجالي شي. پدې برخه کې د شیبیر او مؤمنت ډایگرامونو جوړولو لپاره یو ساده تگلاره دلته

بحث کیږي - یوه طریقہ چې د دوه مشتقی

اریکو پر بنسټ ولاړه ده. یو یې د ویشبل شوی

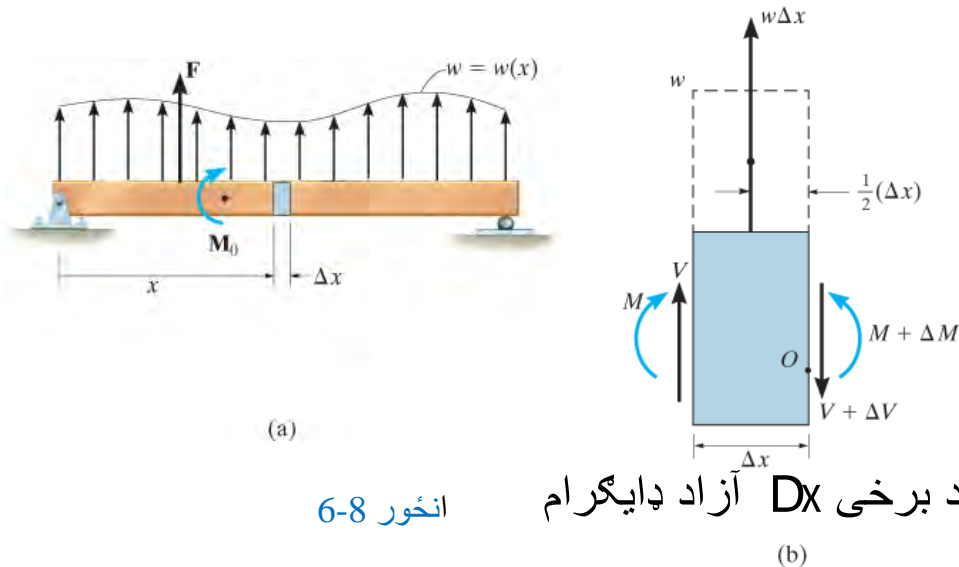
د دې میز رنگیدل په بڼې خوا کې اتکا کی رامنځ ته شوی، که چیرې مؤمنت ډایگرام ددی میز رسم شي، دا به په گوته کړي چې د اعظمي داخلي مؤمنت نقطه هم دا وه.

بار او شیبیر تر منځ او بل د شیبیر او مؤمنت تر منځ تړون لري .

د ویشل شوي بار سیمي (Regions of Distributed Load).

د عمومي موخو لپاره، هغه بیم په پام کې ونیسئ چې په انځور 6-8a کې ښودل شوي، کوم چې یو خپل سري بار ورباندې پلي شوي. د بیم خورا کوچنۍ برخې Δx لپاره آزاد دیاگرام په انځور 6-8b کې ښودل شوي. ځکه چې دا برخه په x موقعیت کې غوره شوې چیرته چې متمرکز قوه یا کپل مؤمنت شتون نلري، ترلاسه شوي پایلې به پدې ډول ټکو کې نه پلي کیږي.

په یاد ولرئ چې ټول ښودل شوي بارونه په برخه کې، د تاسیس شوي نشاني کنوانسیون مطابق اولارښوونې له مخې په مثبت جهت عمل کوي، انځور 6-3. همدارنگه، دواړه داخلي پایله لرونکي شیبیر او مؤمنت، چې د برخې په ښي مخ باندې عمل کوي، د توازن ساتلو لپاره باید په لږه اندازه تغیرو مومي ترڅو د برخې توازن وساتل شي. ویشل شوی بار، کوم چې په Δx باندې ثابت بلل شوی چې محصله قوه $w\Delta x$ پری عمل کوي او موقعیت یې $\frac{1}{2}(\Delta x)$ له ښي خوا څخه دی. په دی برخه د توازن مساوات پلي کوو، مور لرو :



$$+\uparrow \Sigma F_y = 0; \quad V + w \Delta x - (V + \Delta V) = 0$$

$$\Delta V = w \Delta x$$

$$\zeta + \Sigma M_O = 0; \quad -V \Delta x - M - w \Delta x \left[\frac{1}{2}(\Delta x) \right] + (M + \Delta M) = 0$$

$$\Delta M = V \Delta x + w \frac{1}{2}(\Delta x)^2$$

معادله تقسیم پر Dx کوواو بیا لیمت د Dx نیسو $Dx \rightarrow 0$ دا دوه معادلی په دی ډول لیکلی شو

$$\frac{dV}{dx} = w \quad (6-1)$$

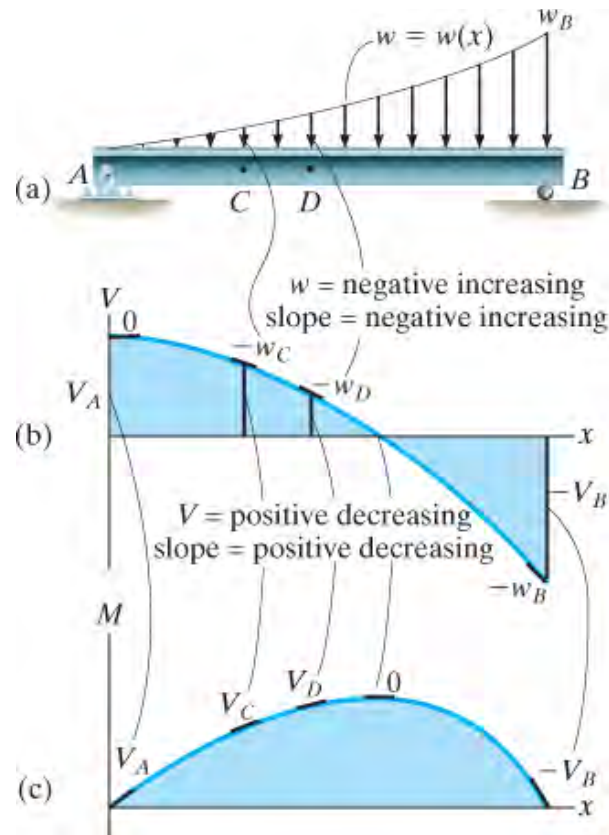
د ویشل شوی بار شدت د شیبیر دایگرام
یا اندازه په هر ټکی میلان په هر ټکی

$$\frac{dM}{dx} = V \quad (6-2)$$

شیبیر په د مؤمنت دایگرام
هر ټکی میلان په هر ټکی

مساوات 6-1 وایي میلان په هر ټکی د شیبیر دایگرام مساوی دی په شدت د ویشل شوی بار. د مثال په توگه، په پام کې ونیسئ بیم په انځور 6-9a کې. ویشل شوی بار منفي دی او له صفر څخه w_B زیاتیري. دا پوهیدل یوه گړندي وسیله د شیبیر دایگرام د رسم کولو لپاره چمتو کوي. دا باید یو منحنی وي چې منفي میلان لري، او له صفر څخه w_B - ته زیاتوالی مومي. په ځانگړي توگه میلان $w_A = 0$ ، w_C ، w_D ، او w_B - په انځور 6-9b کې بنودل شوي.

په ورته ډول، معادله Eq. 6-2 وایي چې په هر وخت کې د مؤمنت دایگرام میلان مساوی دی په شیبیر. په انځور 6-9b کې شیبیر پیل کوي په $V_A +$ او بیا صفر ته راتیټیري، او بیا منفي کیږي او $V_B -$ ته راتیټیري، د مؤمنت دایگرام (یا منحنی) به بیا لومړي $V_A +$ میلان ولري چې صفر ته راتیټیري، بیا میلان منفي کیږي او $V_B -$ ته راتیټیري. په ځانگړي توگه میلان V_D ، V_C ، V_A صفر (0)، او $V_B -$ څنگه چې په انځور 6-9c کې بنودل شوي.



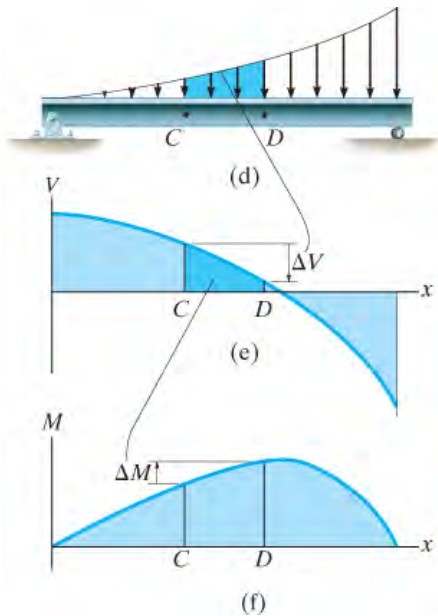
انځور 6-9

6-1 و 6-2 معادلی کیدی شی چی په دی لاندی ډول : $dV = w dx$ او $dM = V dx$ هم و لیکل شی. څرنګه چی $w dx$ او $V dx$ د ساحی له یوه ټوټی استازیتوب کوی چی تر ویشل شوی بار او شیبیر دایگرام لاندی راغلی. مور کولای شو چی انتیګرال ونیسو د بیم د دی ساحو د پاره چی د دوو ټکیو C او D کی واقع دی، انځور 6-9d وگوري او لیکلی شو

$$\Delta V = \int w dx$$

(6-3)

مساحت تر ویشل
شوی بار لاندی
بدلون په شیبیر کی



$$\Delta M = \int V dx$$

(6-4)

مساحت تر شیبیر
ډایگرام لاندی
بدلون په مؤمنت کی

انځور 6-9 (تکرار)

معادله 6-3 وایي چې د شیبیر بدلون د C او D تر مینځ مساوی دی په ساحه د ویشل شوی بار د دغو دوو نقطو تر منځ. انځور 6-9d وگوري. په دې حالت کې بدلون منفي دی ځکه چې ویشل شوی بار بنسټه جهت باندی عمل کوي. په ورته ډول له معادله 6-4 څخه داسی معلومیږی چې د مؤمنت بدلون تر منځ د C او D انځور 6-9f مساوی دی د شیبیر ډایگرام پر ساحه چې د C او D تر منځ ده او دلته بدلون مثبت دی.

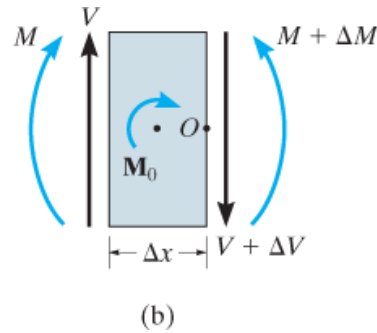
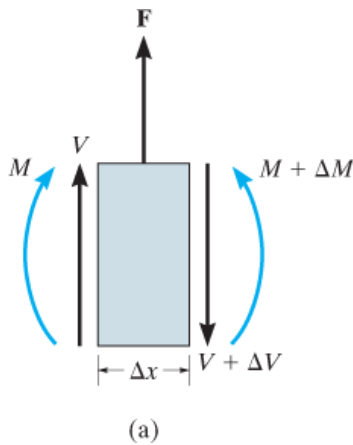
د متمرکز قووی او مؤمنت سیمي (Regions of Concentrated Force and)

Moment. د بیم آزاد ډایگرام چې په انځور 6-8a کی بنودل شوی د یوی کوچنی برخي له قووی لاندی څخه اخیستل شوی او په انځور 6-10a کی بنودل شوی. دلته د قواو انډول ته اړتیا ده

$$+\uparrow \Sigma F_y = 0;$$

$$V + F - (V + \Delta V) = 0$$

$$\Delta V = F \quad (6-5)$$



انخور 6-10

په دې توگه، کله چې F په بیم کې پورته لور عمل کوي، نو بدلون د شیبیر، DV ، هم مثبت دی له دې امله په شیبیر ډایگرام کې به د شیبیر ارزښت پورته خوا ته توپ وکړی. په ورته ډول، که F ښکته عمل وکړي، د (DV) توپ به ښکته خوا ته وي.

کله چې د بیم برخه کې کپل مؤمنت M_0 شامل وي، انخور 6-10b، بیا توازن د مؤمنت لپاره بدلون ته لاندې اړتیا لري

$$\zeta + \Sigma M_O = 0; \quad M + \Delta M - M_0 - V \Delta x - M = 0$$

دلته کله چې $\Delta x \approx 0$ مور لرو

$$\Delta M = M_0 \quad (6-6)$$

دلته که M_0 د ساعت د څرخیدو په جهت پلي شي، بدلون په مؤمنت، DM ، کې مثبت دی او مؤمنت ډایگرام په پورته خوا توپ کړي. همدا رنگه کله چې M_0 ، په خلاف د گړي جهت وی نو DM په ښکته لور توپ ووي.

د تحلیل کرنلاره

PROCEDURE FOR ANALYSIS

د الاندی طریقہ ، د بیم د شیبیر او مؤمنت ډایگرامونو جوړه ولو د پاره له هغه ترون چی د بار ، شیبیر او مؤمنت په منځ کی شتون لری ، ده.

د اتکاریکشنونه (Support Reactions)

- ټول ریکشنونه د بیم معلوم کړی ، او ټولی هغه قواوی چی په بیم پلی شوی د بیم د محور په عمودی او موازی جهت وښی.

د شیبیر ډایگرام (Shear Diagram)

- محورونه د V او x مشخص کړی ، او پیژندلشوی ارزشتونه د شیبیر په دواړو پایلونو د بیم پلات کړی.
- په پام کی ولری چی د ویشل شوي بار ارزښتونه په څه ډول د بیم په اوږدوالی توپیر لری ، لکه مثبت زیاتوالی ، منفي زیاتوالی ، او داسی نور . او دا پرله پسې ارزښتونو هر یو د شیبیر ډیاگرام میلان په گوته کوي $(dV/dx = w)$. دلته w مثبت دی کله چی دا پورته عمل کوي . رسم کول د میلان په پای ټکیو کی پیل کړی .
- که چیری د شیبیر عددی ارزښت په یوه نقطه کی وټاکل شي ، دا ارزښت یا د برخو د میتود او د توازن له معادلو او یا په کارولو د $\Delta V = \int w dx$ سره موندل کیدی شي ، کوم چی وایی د هر دوه ټکی تر مینځ د شیبیر بدلون مساوی دی په د بار ډیاگرام لاندی مساحت د دوه ټکو تر مینځ .

مؤمنت ډایگرام (Moment Diagrams)

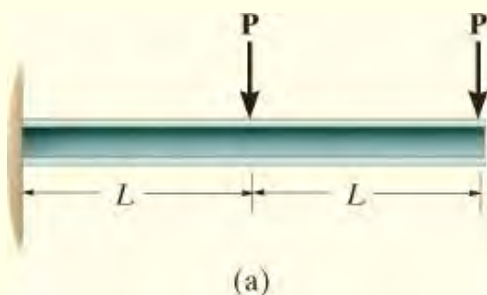
- محورونه د M او x مشخص کړی ، او پیژندلشوی ارزشتونه د مؤمنت په دواړو پایلونو د بیم پلات کړی .
- په پام کی ونیسئ چی څنگه د شیبیر ډیاگرام ارزښتونه د بیم په اوږدوالی سره توپیر لری ، لکه مثبت زیاتوالی ، منفي زیاتوالی ، او داسی نور ، او دا پرله پسې ارزښتونه هر یو د مؤمنت ډیاگرام میلان په گوته کوي $(dM/dx = V)$. رسم کول د میلان په پای ټکیو کی پیل کړی .

- په هغه ټکی کې چې شیبېر صفر وی، $dM/dx = 0$ هلته اعظمی او یا اصغری ټکی د مؤمنت وی.
- که چیرې د مؤمنت عددی ارزښت په یوه نقطه کې وټاکل شي، دا ارزښت یا د برخو د میتود او د توازن له معادلو او یا په کارولو د $\Delta M = \int V dx$ سره موندل کیدی شي، کوم چې وایي د هر دوو ټکیو تر مینځ د مؤمنت بدلون مساوي دی د شیبېر ډیاگرام لاندې مساحت چې د دوو ټکیو تر مینځ وی.
- ځکه چې د w اینټیگرال واخستل شي DV او د V اینټیگرال چې واخستل شي تر څو مؤمنت DM تر لاسه شي. بیا که w د n درجې منحنی وي، V به د درجې $n + 1$ او M به د $n + 2$ درجې منحنی وي. د مثال په توګه، که w مساوی ویشل شوی بار وی (صفر درجه)، V به خطي وي (1 درجه) او M به پارابولیک (2 درجه) وي.

مثالونه

مثال 6.5

شیبېر او مؤمنت ډایگرامونه د بیم چې په انځور 6-11a کې ښودل شوی جوړ کړي.



حل (SOLUTION)

د اتکا ریکشنونه (Support Reactions). د اتکا ریکشنونه په انځور 6-11b کې د بیم په آزاد ډایگرام کې ښودل شوي.

د شیبیر ډایگرام (Shear Diagram) .

لمړي د بیم په پای کی شیبیر ډایگرام پلات کوو، انځور 6-11c وگوري. ځکه چی پر بیم ویشلشوی بار نه دی پلی شوی د شیبیر میلان صفر دی. اوس وینو چی څنګه په مرکز د بیم کی قوه P شیبیر په اندازه P بنکته لور ته لیردوی، دا ځکه چی د بهرنی بار جهت بنکته لور ته دي.

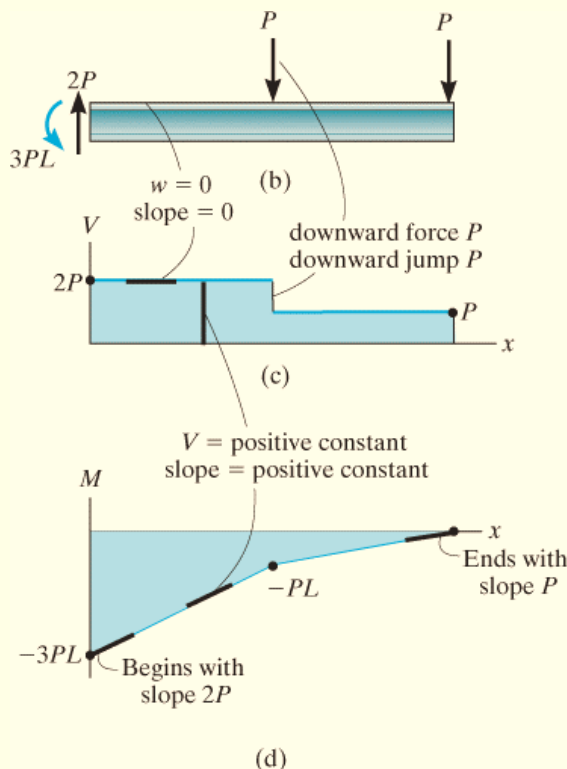
مؤمنت ډایگرام (Moment Diagram) .

د بیم په پای کی مؤمنت ډایگرام پلات کوو، انځور 6-11d وگوري. دلته مؤمنت ډایگرام دوه میلانونه لري، د یوه میلان په اندازه د $2P$ دی او د بل میلان $+P$ دی.

د مؤمنت ارزښت په مرکز د بیم کی د برخو د میتود او یا له مساحت د شیبیر ډایگرام لاندی څخه پیدا کیدی شي. که چیری چپ لور نیم برخه د شیبیر ډایگرام انتخاب کړی مور لرو

$$M|_{x=L} = M|_{x=0} + \Delta M$$

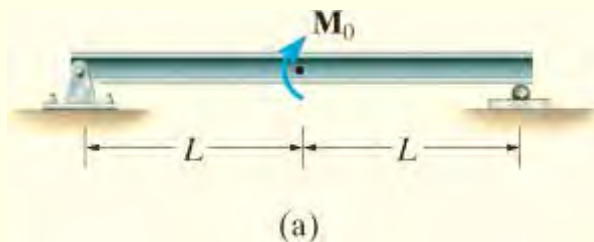
$$M|_{x=L} = -3PL + (2P)(L) = -PL$$



انځور 6-11

مثال 6.6

شیر او مؤمنت ډایگرامونه د بیم چی په انځور 6-12a کی بنودل شوی جور کړي.

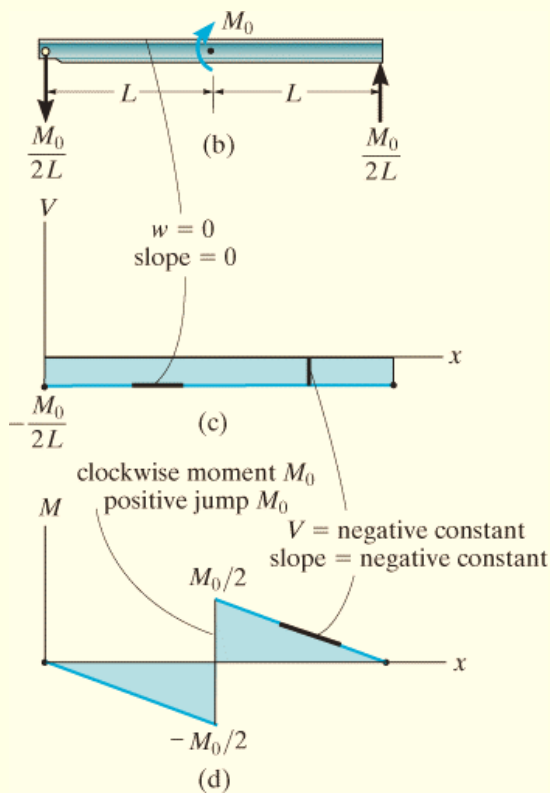


حل (SOLUTION)

د اتکاء ریکشنونه (Support Reactions). د اتکاء ریکشنونه په انځور 6-12b کی د بیم په آزاد ډایگرام کی بنودل شوي.

د شیر ډایگرام (Shear Diagram).

اول شیر په هر پای د بیم کی پلات کوو انځور 6-12c و وینی. ځکه چی پر بیم ویشل شوی بار پر بیم نه دی پلی شوی د شیر میلان صفر دی او هغه یوه مستقیمه کرښه ده.



مؤمنت ډایگرام (Moment Diagram)

په هر پای د بیم کی مؤمنت صفر دی، انځور 6-12d وگوري. مؤمنت ډایگرام یو ثابت منفی میلان $-M_0/2L$ لري، ځکه چی دا شیر په هر پای کی دی. اما دلته په مرکز د بیم بهرنی مؤمنت M_0 شتون لری او دا مؤمنت په دی ټکی کی مؤمنت ته توپ (jump) ورکوي.

انځور 6-12

مثال 6.7

شیر او مؤمنت ډایگرامونه د بیم چی په انځور 6-13a او 6-14a کی بنودل شوی جوړ کړي.

حل (SOLUTION)

د اتکاء ریکشنونه (Support Reactions). د اتکاء ریکشنونه په کلک تړل شوی اتکا کی په انځور 6-13b او 6-14b په هر آزاد ډایگرام کی بنودل شوي.

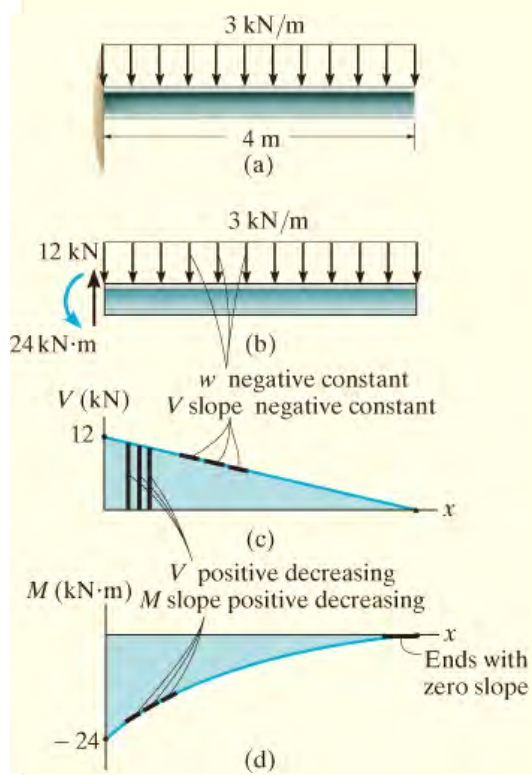
د شیبیر ډایگرام (Shear Diagram).

اول شیبیر په هر پای د بیم کی پلات کوؤ انځور 6-13c او 6-14c و وینی. ویشل شوی بهرنی بار په هر بیم میلان د شیبیر ډایگرام را په گوته کوي او په دی توگه د بنودل شوي ډایگرام شکل جوړه وی.

مؤمنت ډایگرام (Moment Diagram).

اول مؤمنت په هر پای د بیم کی پلات کوؤ انځور 6-13d او 6-14d و وینی.

د شیبیر مختلف ازربنتونه په هر ټکی د بیم میلان د مؤمنت ډایگرام په هغه ټکی کی په گوته کوي. پام وکړی چی دا توپیر څنگه منحنی جوړه وی.

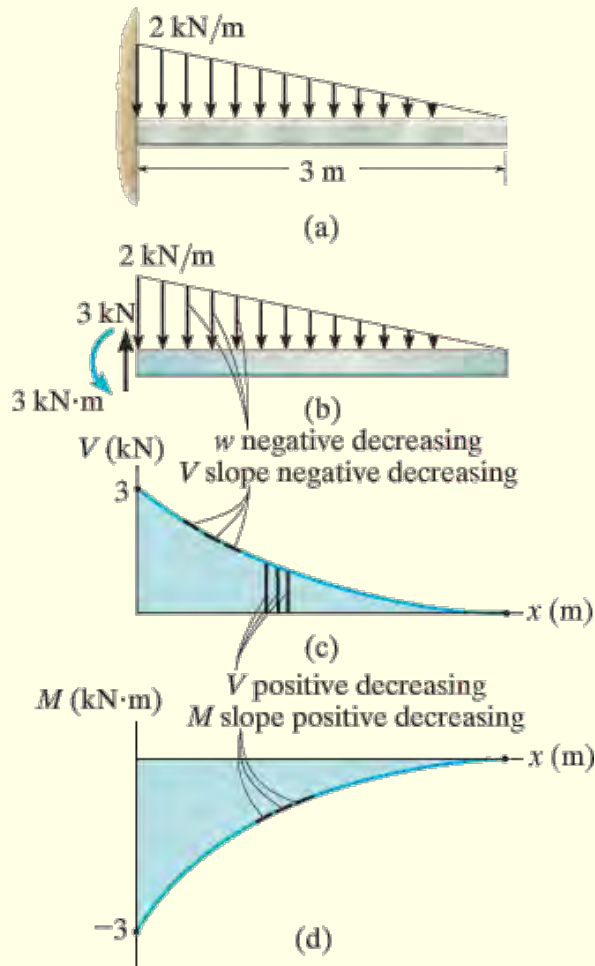


انځور 6-13

یادونه :

وگورئ چی څنگه د W څخه تر V تر M پورې منحنی یوه درجه لوړیږي د $dV = w dx$ او $dM = V dx$. او دا د انتیگریشن له امله دی. د بیلگي په توگه، په انځور 6-14

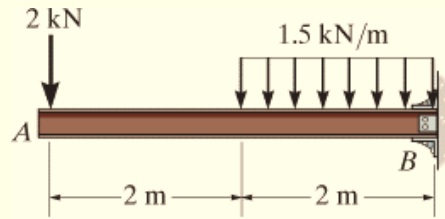
کې، خطی ویشل شوی بار پارابولیک شیپر یې جوړ او په توان د دريو يا کيوبیک (cubic) مؤمنت ډایگرام یې جوړ کړ.



انځور 6-14

مثال 6.8

شیر او مؤمنت ډایگرامونه د بیم چی په انځور 6-15b کی بنودل شوی جوړ کړي.



حل (SOLUTION)

د اتکار ریکشنونه (Support Reactions)

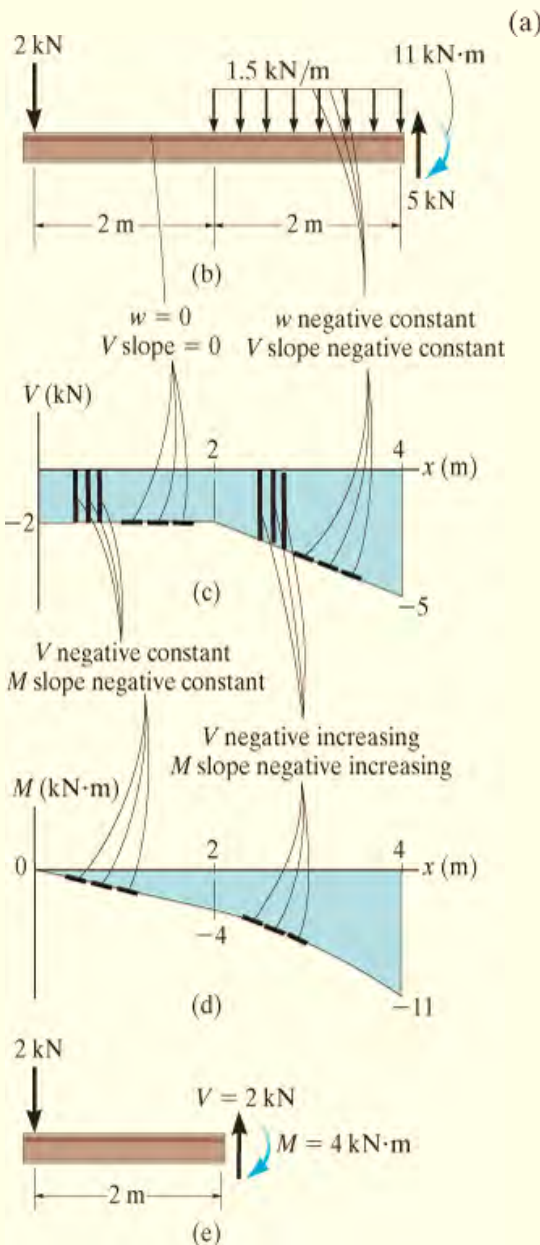
د اتکار ریکشنونه په کلک تړل شوی اتکا B کی په انځور 6-15b کی بنودل شوي.

شیر ډایگرام (Shear Diagram)

اول شیر په هر پای د بیم کی پلات شوی ، انځور 6-15c و وینی. اوس وینی چی څنگه شیر ډایگرام له میلان د بهرنی بار w څخه جوړیږي.

مؤمنت ډایگرام (Moment Diagram)

اول مؤمنت په هر پای د بیم کی پلات کوؤ انځور 6-15d و وینی.



انځور 6-15

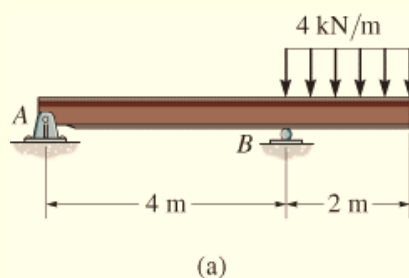
پام وکړی چی څنگه مؤمنت ډایگرام له معلوم میلان جوړیږي او هغه په هر ټکی کی مساوی دی په شیبیر په هغه ټکی. مؤمنت په $x=2\text{ m}$ له مساحت تر شیبیر ډایگرام لاندی لاس ته راځي. او مور لرو

$$M|_{x=2\text{ m}} = M|_{x=0} + \Delta M = 0 + [-2\text{ kN}(2\text{ m})] = -4\text{ kN}\cdot\text{m}$$

البته ورته ارزشت د برخی له طریقې هم پیدا کیده.

مثال 6.9

شیر او مؤمنت ډایگرامونه د بیم چی په انځور 6-16b کی بنودل شوی جوړ کړي.

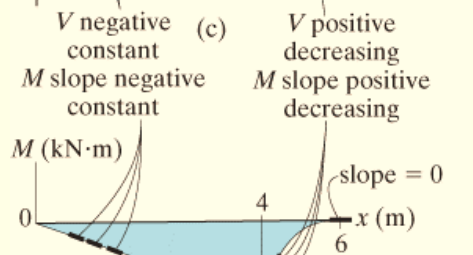
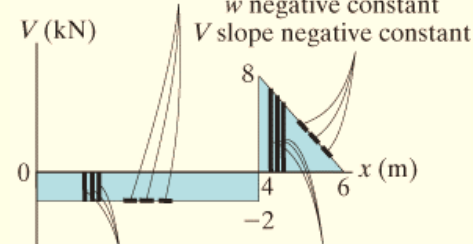
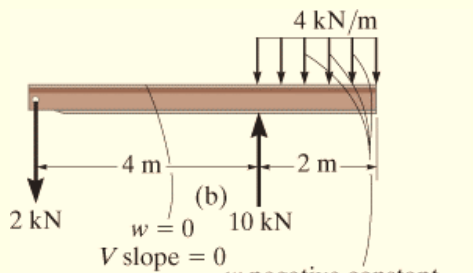


حل (SOLUTION)

د اتکاء ریکشنونه (Support Reactions)

د اتکاء ریکشنونه په کلک ټرل شوی اتکا B کی په انځور 6-16b کی بنودل شوي

شیر دایگرام (Shear Diagram) .



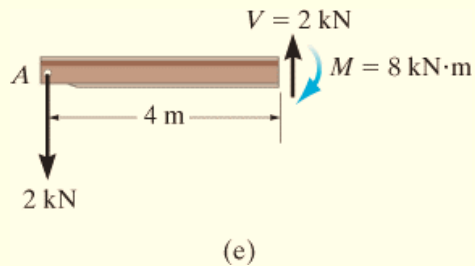
$$M|_{x=4\text{ m}} = M|_{x=0} + \Delta M = 0 + [-2\text{ kN}(4\text{ m})] = -8\text{ kN}\cdot\text{m}$$

اول شیر په هر پای د بیم کی پلات شوی ، انځور 6-16c و وینی. له بهرنی بار څخه میلان پیدا کیری او بیا شیر دایگرام له میلان جوړیږي. وگوری د مثبت لوریدل په 10 kN په $x=4\text{ m}$ د ریکشن د قوی له امله.

مؤمنت دایگرام (Moment Diagram) .

اول مؤمنت په هر پای د بیم کی پلات کوو انځور 6-16c و وینی. بیا د شیر موندل شوی میلان تعقیب کوو تر څو مؤمنت دایگرام پلات کړو. مؤمنت په $x=4\text{ m}$ له ساحی د شیر دایگرام لاندی لاس ته راځي.

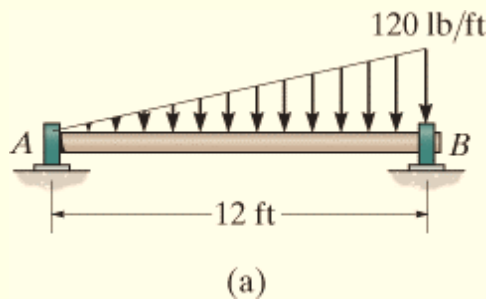
د برخی له میتود هم دا مؤمنت پیدا کولای شو، انځور 6-16e وگوري.



انځور 6-16 (e)

مثال 6.10

دا لاندی شافت چی په انځور 6-17a کی بنودل شوي، په A کی د ترست بیرینگ (thrust bearing) اتکا لري او په B کی جورنال بیرینگ (journal bearing) لري. شیبیر او مؤمنت ډایگرامونه جوړ کړي.



حل (SOLUTION)

د اتکاء ریکشنونه (Support Reactions)

د اتکاء ریکشنونه په کلک تړل شوی اتکا B کی په انځور 6-17b کی بنودل شوي.

شیبیر ډایگرام (Shear Diagram)

لکه څنگه چې په انځور 6-17c کی بنودل شوي شیبیر د بیم په پایلو کی $+240 \text{ lb}$ او -480 lb دي. هغه نقطه چیرې چې $V = 0$ غواړو پیدا کړو. د دې پیدا کولو لپاره مور به د برخو له میتود کار واخلو. د شافت کین برخه، په خپل سري موقعیت x کی قطع کوو او د آزاد بدن ډیاگرام یې په انځور 6-17e کی بنودل شوي. دلته د ویشل شوي بار شدت په x کی $w = 10x$ دی، کوم چې د مثلثونو له تناسب موندل شوي. د بیلگې په توگه، $120/12 = w/x$ په دې توگه، د $V = 0$ لپاره،

$$+\uparrow \sum F_y = 0;$$

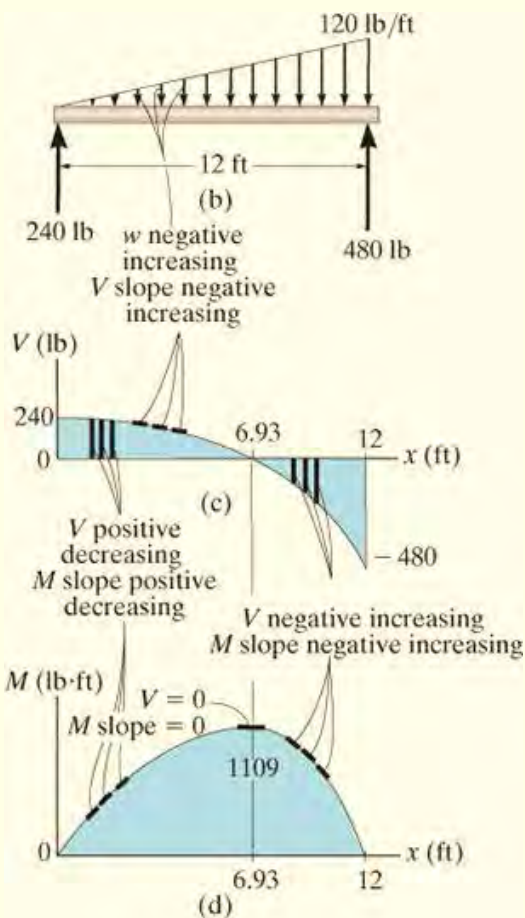
$$240 \text{ lb} - \frac{1}{2}(10x)x = 0$$

$$x = 6.93 \text{ ft}$$

مؤمنت ډایگرام (Moment Diagram) .

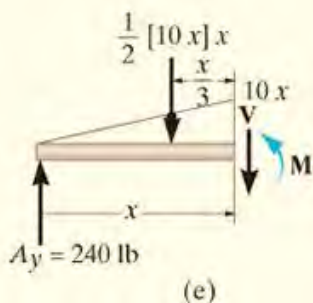
مؤمنت ډایگرام په پای کی له صفر شروع کیږي. او اعظمی مؤمنت په $x = 6.93 \text{ ft}$ چیرته چی شیبیر صفر دی جوړیږي، دا ځکه $dM/dx = V = 0$ انځور 6-17d وویښي. له انځور 6-17e لرو

$$\begin{aligned} \uparrow + \sum M = 0; \quad M_{\max} + \frac{1}{2}[(10)(6.93)] 6.93 \left(\frac{1}{3}(6.93)\right) - 240(6.93) &= 0 \\ M_{\max} &= 1109 \text{ lb} \cdot \text{ft} \end{aligned}$$



په نهایت کی اول انتیگرال د بهرنی بار w چی خطی دی پیدا کوو، او شیبیر ډایگرام چی پارابولیک دی او بیا وروسته له هغه مؤمنت ډایگرام چی کیوبیک دی جوړه وو.

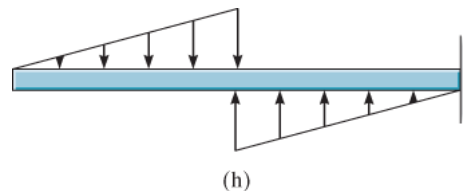
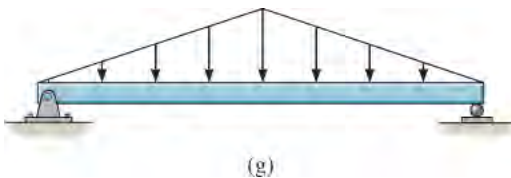
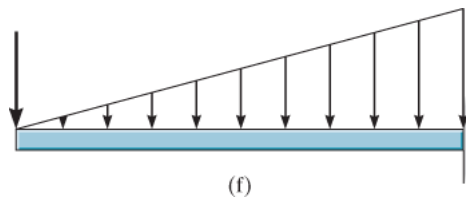
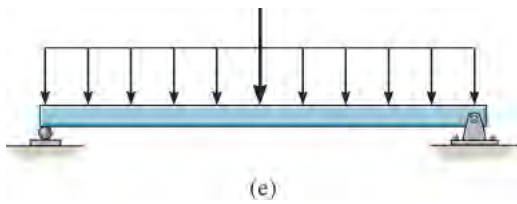
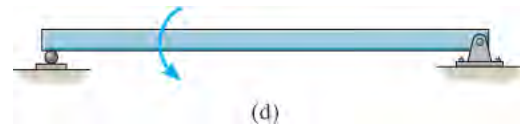
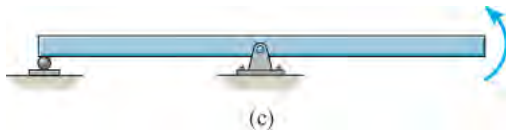
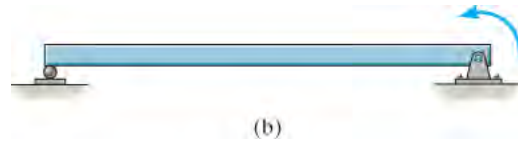
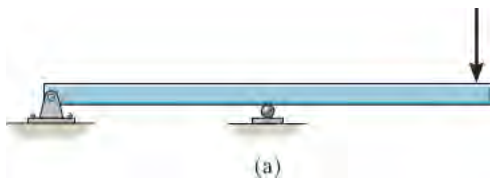
یادونه: اوس خپل ځان و آزمویی، شیبیر او مؤمنت ډایگرامونه د مثال 6.1 تر 6.4 پوری په یاد شوی طریقہ جوړ کړي.



انځور 6-17

PRELIMINARY PROBLEMS

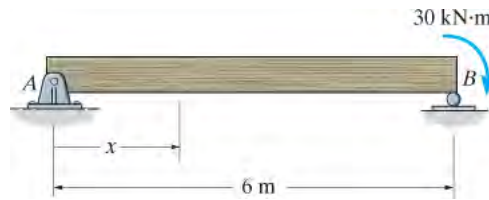
پوښتنه (ل) 6-1 په دی لاندی حالتونو کی په بیم بهرنی بار بنودل شوي. د بیم آزاد ډایگرام رسم کړي او د شییر او مؤمنت عمومي ډایگرامونه جوړ کړي. د بار او بیم جیومتری فرض کړي چی معلوم دی.



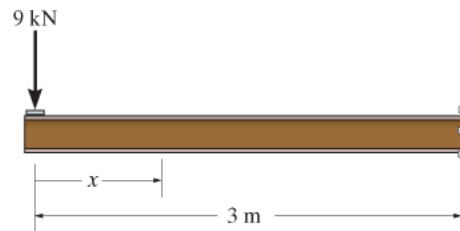
بنسټيز سوالونه

(FUNDAMENTAL PROBLEMS)

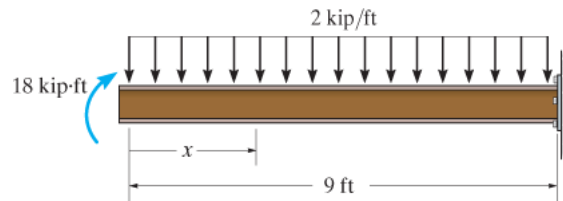
په دې لاندې حالتونو کې شیبیر او مؤمنت تابع د x تشریح کړي او وروسته بیا د شیبیر او مؤمنت ډایگرامونه د بیم لپاره جوړ کړي.



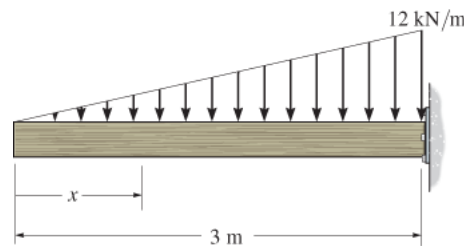
6-1 (ب)



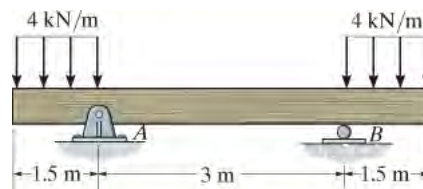
6-2 (ب)



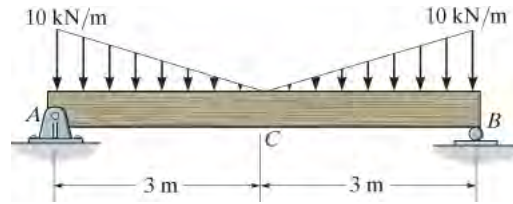
6-3 (ب)



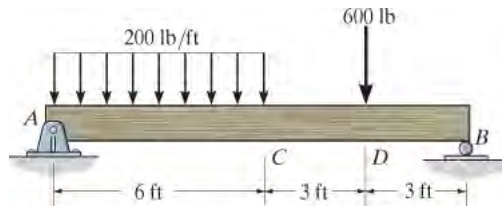
6-4 (ب)



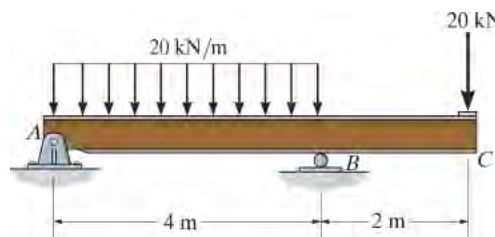
6-5 (ب)



6-6 (ب)



6-7 (ب)

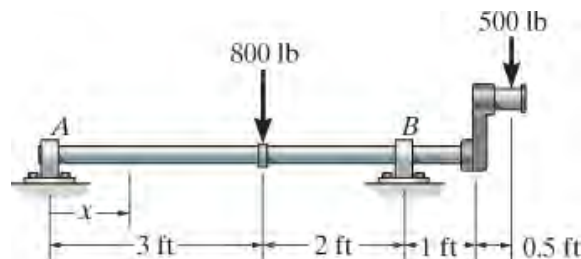


6-8 (ب)

سوالونه

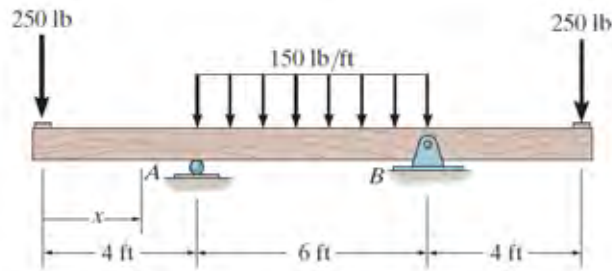
(PROBLEMS)

6-1. ددی لاندی شافت شییر او مؤمنت په اوږدو د شافت تابع د x پیدا کړي. د x ارزښت په حد $0 \leq x < 3\text{ ft}$, $3\text{ ft} < x < 5\text{ ft}$ او $5\text{ ft} < x < 6\text{ ft}$ دی. بیرینگ په A او B کی تنها عمودی ریشکشن په شافت جوړوی.



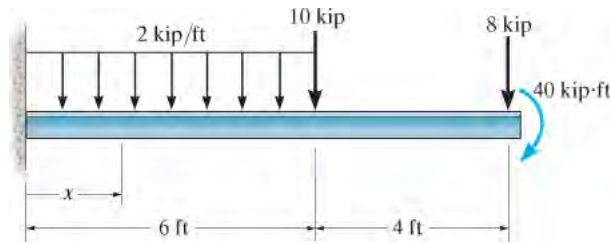
س 6-1

6-2 ددی لاندی بیم شپیر او مؤمنت په اوږدو د بیم تابع د x پیدا کړي، او ډایگرامونه یې رسم کړي. د x ارزښت په حد $0 \leq x < 4\text{ft}$ ، $4\text{ft} < x < 10\text{ft}$ او $10\text{ft} < x < 14\text{ft}$ دی.



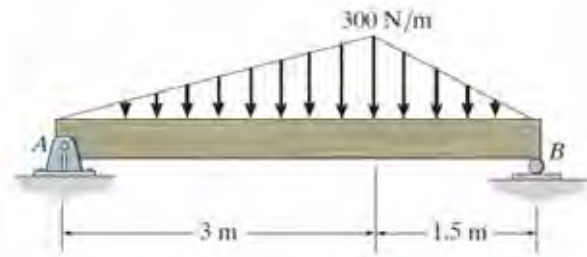
س 6-2

6-3 ددی لاندی بیم شپیر او مؤمنت په اوږدو د بیم تابع د x پیدا کړي، د x ارزښت په حد $0 \leq x < 6\text{ft}$ او $6\text{ft} < x < 10\text{ft}$ دی.



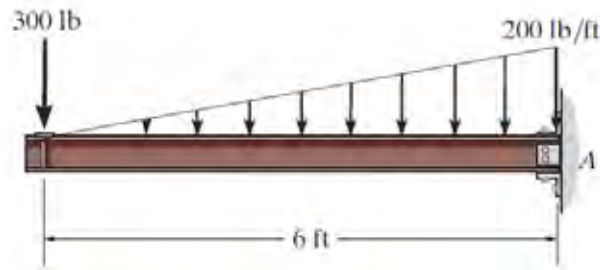
س 6-3

6-4* ددی لاندی بیم شپیر او مؤمنت په اوږدو د بیم تابع د x پیدا کړي، او ډایگرامونه یې رسم کړي. د x ارزښت په حد $0 \leq x < 3\text{m}$ او $3\text{m} < x < 4.5\text{m}$ دی.



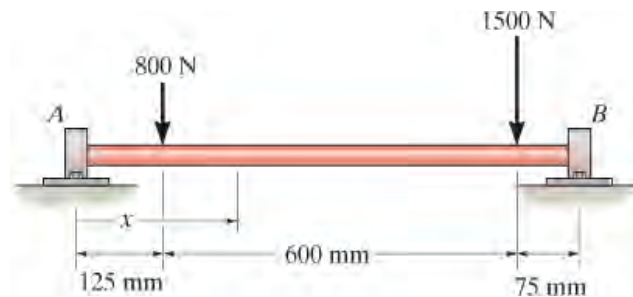
س 6-4

6-5 ددی لاندی کنټیلیور بیم شییر او مؤمنت په اوږدو د بیم تابع د x پیدا کړي، او ډایگرامونه یې رسم کړي.



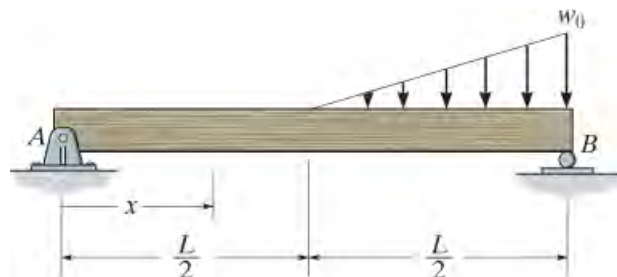
س 6-5

6-6 ددی لاندی شافت شییر او مؤمنت په اوږدو د شافت تابع د x پیدا کړي. د x ارزښت په حد $125\text{ mm} < x < 725\text{ mm}$ دی. بیرینگ په A او B تنها عمودی ریشکشن په شافت جوړوی.



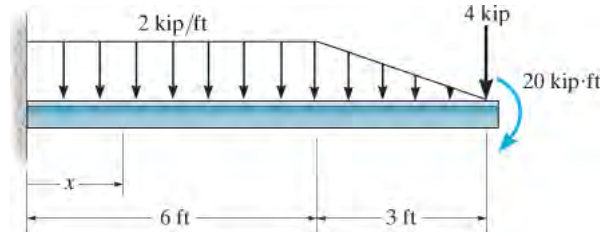
س 6-6

6-7 ددی لاندی بیم شییر او مؤمنت په اوږدو د بیم تابع د x پیدا کړي. د x ارزښت په حد $0 < x < L/2$ او $L/2 < x < L$ دی. بیا شییر او مؤمنت ډایگرام رسم کړي.



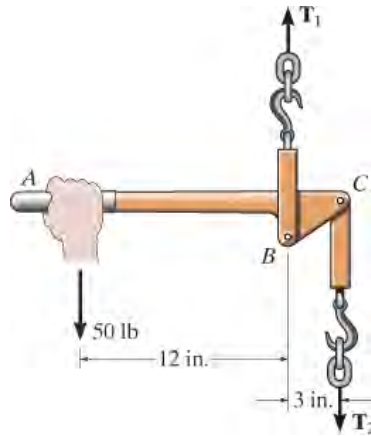
س 6-7

6-8* ددی لاندی کنتیلیور بیم شییر او مؤمنت ډایگرام جوړ کړي، او په اوږدو د بیم تابع د x شییر او مؤمنت پیدا کړي. د x ارزښت په $0 < x \leq 6 \text{ ft}$ او $6 < x \leq 9 \text{ ft}$ کی په نظر کی ونیسي.



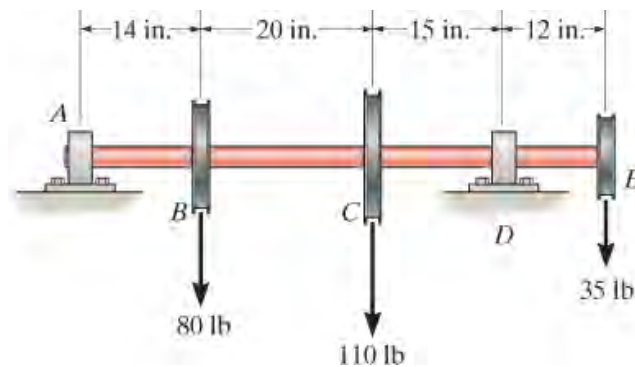
س 6-8

6-9 که چیری قوه د بار جوړیدو په لاس نیونکی 50 پونډ وی کششي قواوی T_1 او T_2 په هر پای د زنجیر کی معلوم کړي او هم شییر او مؤمنت ډایگرامونه د لاس نیونکی ABC رسم کړي.



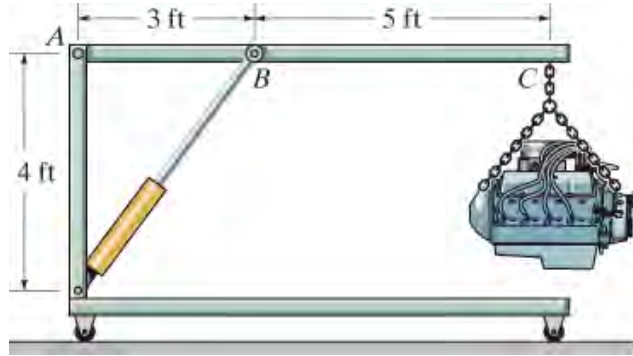
س 6-9

6-10 ددی لاندی شافت شییر او مؤمنت ډایگرامونه رسم کړي. بیرینگ اتکاوی په A او D کی تنها عمودي ریکشنونه په شافت باندی پلی کوی.



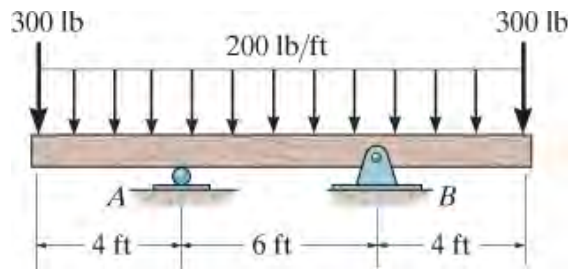
س 6-10

6-11. په دی لاندی کرین یو ماشین چی 1200 lb وزن لری خورند دی. شیبیر او مؤمنت ډایگرامونه د بوم BC کله چی افقی موقعیت ولری رسم کړی.



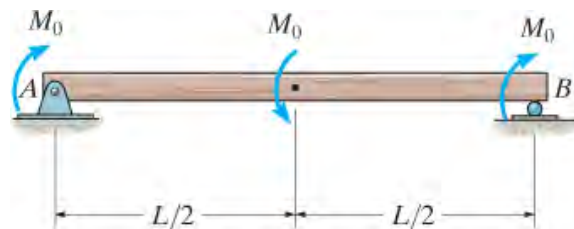
س 6-11

6-12*. د بیم لپاره شیبیر او مؤمنت ډایگرامونه رسم کړی.



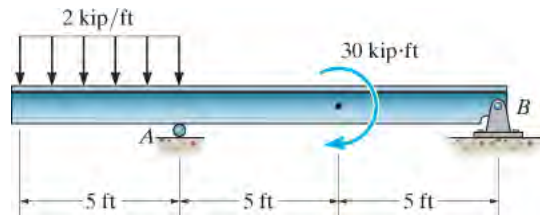
س 6-12

6-13. د بیم لپاره شیبیر او مؤمنت ډایگرامونه رسم کړی.



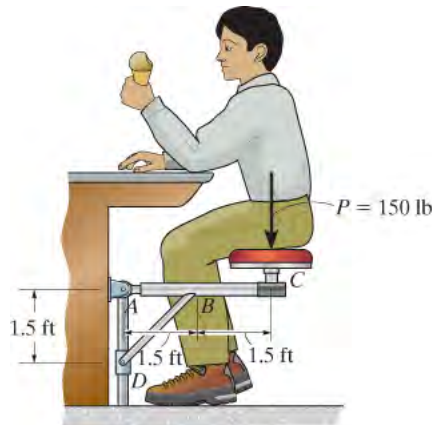
س 6-13

6-14. د بیم لپاره شپير او مؤمنت ډايگرامونه رسم کړي.



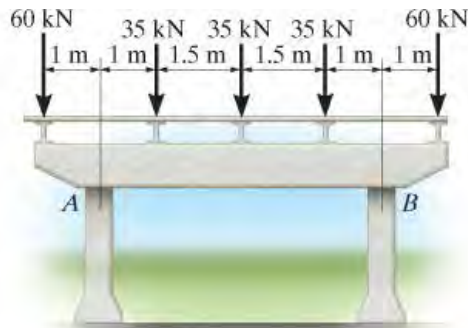
س 6-14

6-15. غري ABC او BD د یوې چوکۍ په B کې په کلکه سره وصل دی او نرم کالر په D کې اجازه لري چې په آزاده توګه پر پایه عمودی حرکت وکړي. شپير او مؤمنت ډايگرامونه د ABC غړی رسم کړئ.



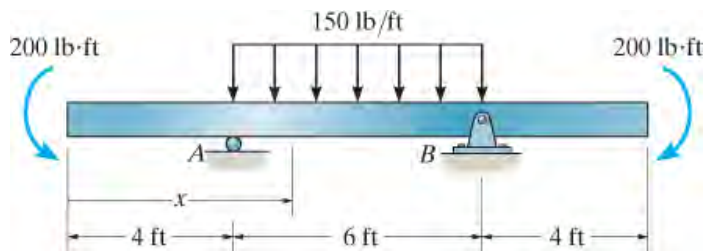
س 6-15

6-16*. یوه په فولادو تقویه شوی کانکریتی پایه د پله د فرش سترینګر (بیم) لپاره اتکا جوړه وی. شپير او مؤمنت ډايگرامونه د پایې لپاره رسم کړي. فرض کړی چې ستنې په A او B کې تنها عمودی ریکشن په پایه جوړه وی.



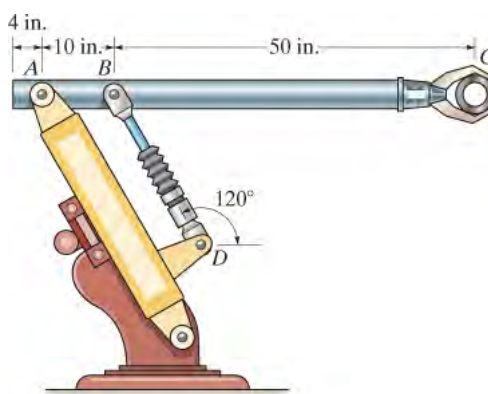
س 6-16

6-17. ددی لاندی بیم شپیر او مؤمنت ډایگرامونه جوړ کړي، او د بیم په اوږد کی شپیر او مؤمنت چی د x تابع وی پیدا کړی کله چی د x ارزښت په $4 \text{ ft} < x \leq 10 \text{ ft}$ حد کی وی.



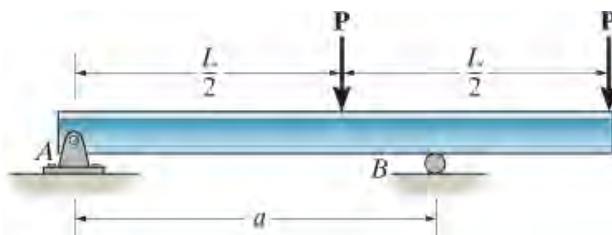
س 6-17

6-18. دا لاندی صنعتی روبات په ساکن حالت کی بنودل شوي. د لاس غړی ABC شپیر او مؤمنت ډایگرامونه رسم کړي، کله چی په A کی د پین اتکا لری او د هایدرا لیک سلنډر BD سره (چی یو دوه قوه پی غړی دی) د پین په واسطه وصل شوي وي. لاس او نیونکی مساوی ویشل شوی وزن 1.5 lb/in لری او 40 lb بار په C کی ورباندی پلی شوي.



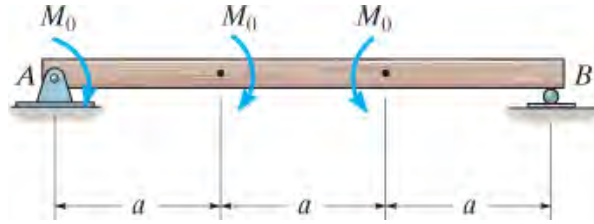
س 6-18

6-19. د رولر اتکاء د ایښودلو فاصله a داسی معلومه کړي کله چی د مؤمنت تر ټولو لوی مطلق ارزښت لږ تر لږ وي. ددی حالت لپاره شپیر او مؤمنت ډایگرامونه رسم کړي.



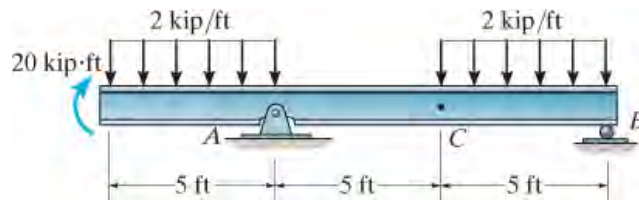
س 6-19

6-20* د بيم لپاره شپير او مؤمنت ډايگرامونه رسم کړي.



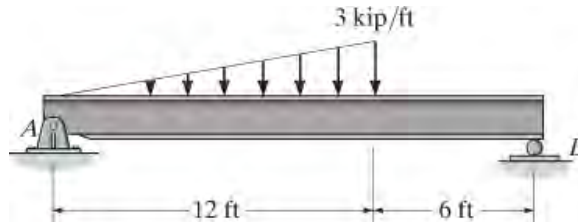
س 6-20

6-21 د بيم لپاره شپير او مؤمنت ډايگرامونه رسم کړي.



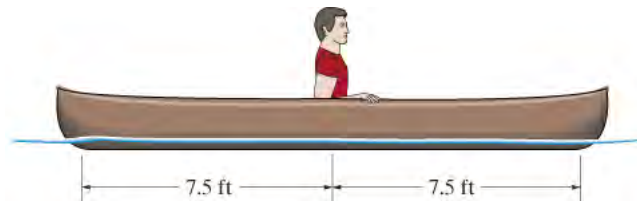
س 6-21

6-22 د بيم لپاره شپير او مؤمنت ډايگرامونه رسم کړي.



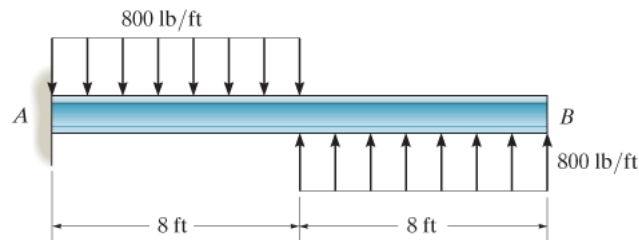
س 6-22

6-23 يو سړی چې 150 lb وزن لري د يو کبنتی په منځنی برخه کې ناست دی، دا کبنتی یونیفورم سور او په هر فټ اوږدوالی کې 3 lb/ft وزن لری. اعظمی داخلی مؤمنت په کبنتی کې معلوم کړي. فرض کړی چې اوبه یو شان ویشل شوی بار په کبنتی پورته لور ته جوړه وی.



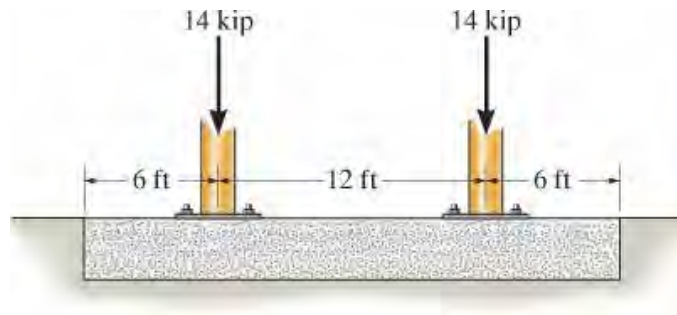
س 6-23

6-24* د بيم لپاره شيبير او مؤمنت ډايگرامونه رسم کړي.



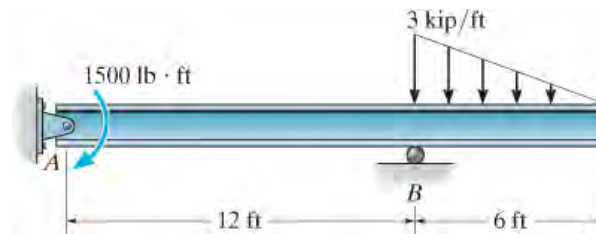
س 6-24

6-25. دا لاندی تهداب د ستنيو د بارونو لپاره اتکا جوړه وی. که چیری د تهداب لاندی خاوری مساویانه فشار په تهداب پلی کړی، د تهداب شیبیر او مؤمنت ډايگرامونه رسم کړي.



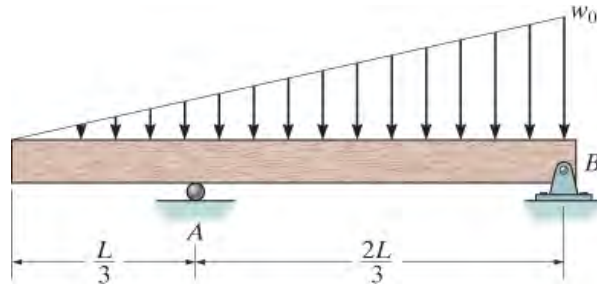
س 6-25

6-26. د بيم لپاره شيبير او مؤمنت ډايگرامونه رسم کړي.



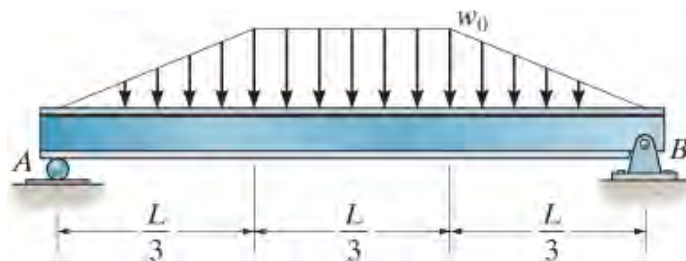
س 6-26

6-27. د بيم لپاره شپير او مؤمنت ډايگرامونه رسم کړي.



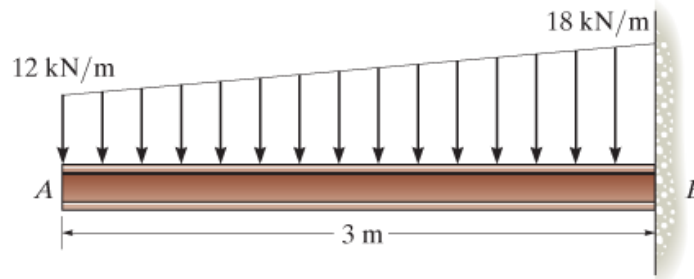
س 6-27

6-28*. د بيم لپاره شپير او مؤمنت ډايگرامونه رسم کړي.



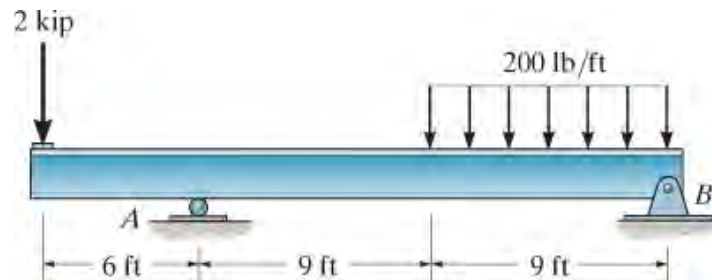
س 6-28

6-29. د بيم لپاره شپير او مؤمنت ډايگرامونه رسم کړي.



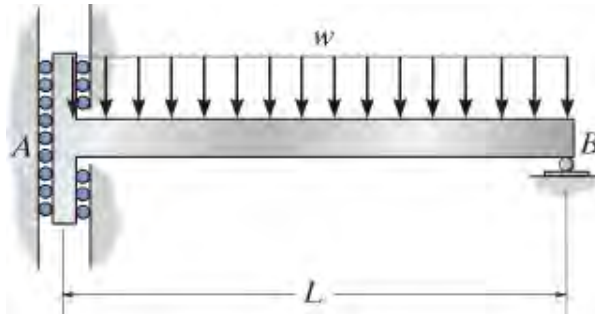
س 6-29

6-30. د بيم لپاره شپير او مؤمنت ډايگرامونه رسم کړي.



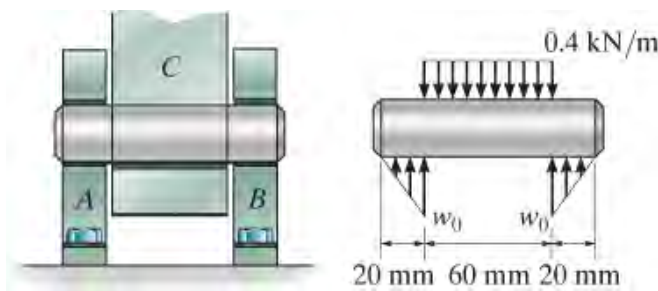
س 6-30

6-31. د اتکاء A په واسطه بیم کولای شي چی په آزاده توگه عمودی حرکت وکړی او عمودی لار بنونکی (guide) بیم نه پریردی چی عمودی بار واخلي. د بیم لپاره شپیر او مؤمنت ډایگرامونه رسم کړي.



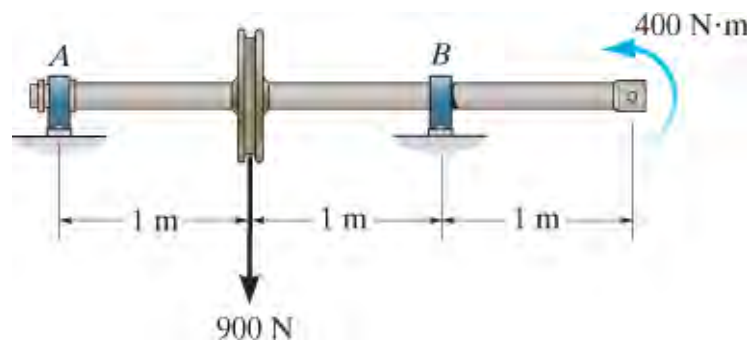
س 6-31

6-32*. دا لاندی هموار پن د دو پانو A او B په واسطه ملاتړ شوي، او میله C تیلوهونکی بار په اندازه 0.40 kN/m ورباندی پلی کوي. د ویشل شوی بار w_0 اندازه د پانو په پن معلوم کړي، شپیر او مؤمنت ډایگرامونه د پن رسم کړي.



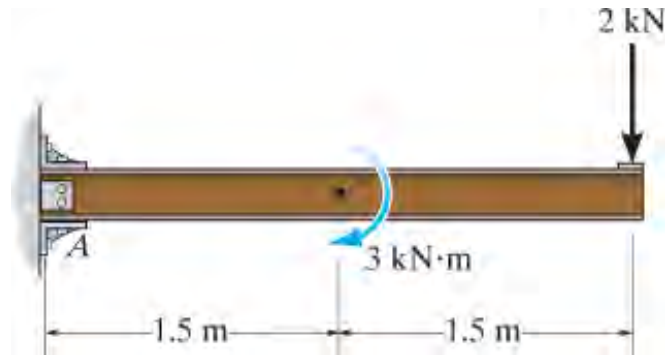
س 6-32

6-33. دا لاندی شافت همواره (smooth) ترست بیرینگ په A او همواره جورنال بیرینگ په B کی اتکاو لري. شپیر او مؤمنت ډایگرامونه د شافت رسم کړي.



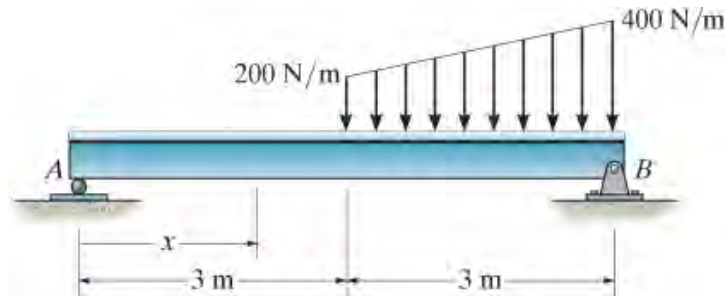
س 6-33

6-34. د کنتیلور بیم لپاره شپير او مؤمنت ډایگرامونه رسم کړي.



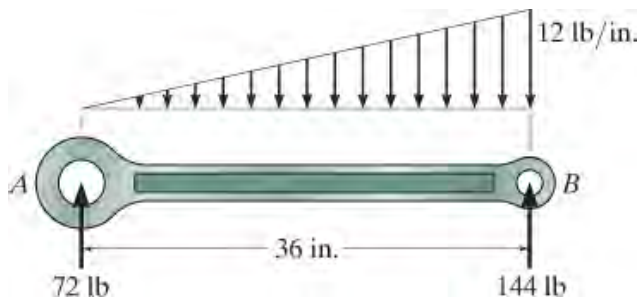
س 6-34

6-35. د بیم لپاره شپير او مؤمنت ډایگرامونه رسم کړي.



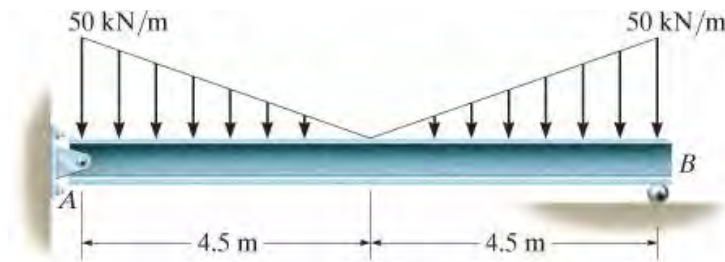
س 6-35

6-36. د لاندې میلی لپاره شپير او مؤمنت ډایگرامونه رسم کړي. تنها عمودی ریکشن په A او B کی جوړیږي.



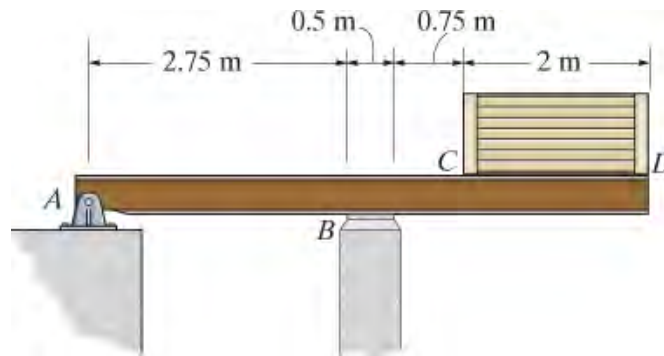
س 6-36

6-37. د بيم لپاره شپير او مؤمنت ډايجرامونه رسم کړي.



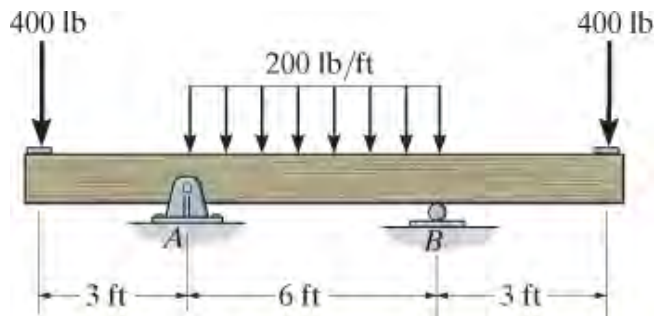
س 6-37

6-38. په دی لاندی بيم یو کریت له C تر D پوری مساوی ویشل شوی بار 6-kN پلی کړي. او ریکشن په اتکاء B کی د اتکا په سور مساوی ویشل شوی دی. د بيم شپير او مؤمنت ډايجرامونه رسم کړي.



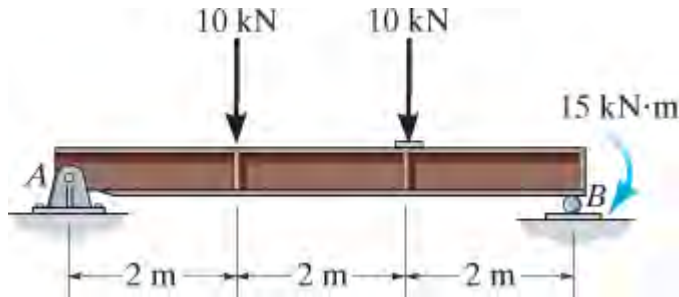
س 6-38

6-39. په دواړو پایلو کی کینتلور شوی بيم لپاره شپير او مؤمنت ډايجرامونه رسم کړي.



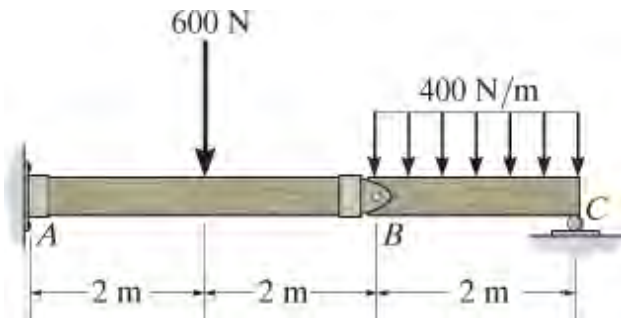
س 6-39

6-40* د ساده اتکاء شوی بیم لپاره د شپير او مؤمنت ډايگرامونه رسم کړي.



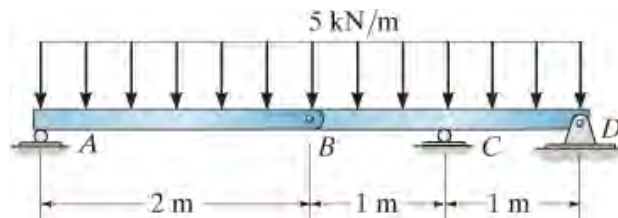
س 6-40

6-41. دا لاندی یوځای شوی بیم په اتکاء A کی کلکه تړل شوی، په B کی پن اتکاء لري او په C کی رولر اتکاء. د بیم شپير او مؤمنت ډايگرامونه رسم کړي.



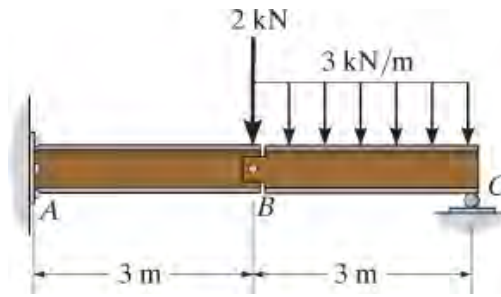
س 6-41

6-42. دا لاندی یوځای شوی بیم شپير او مؤمنت ډايگرامونه رسم کړي.



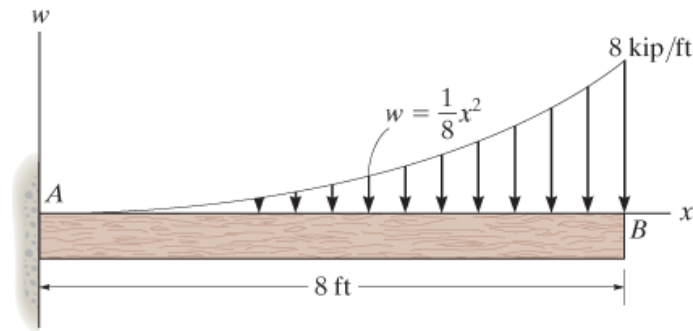
س 6-42

6-43. دا لاندی یوځای شوی بیم په اتکاء A کی کلکه تړل شوی، په B کی پن اتکاء لري او په C کی رولر اتکاء. د بیم شیبیر او مؤمنت ډایگرامونه رسم کړي.



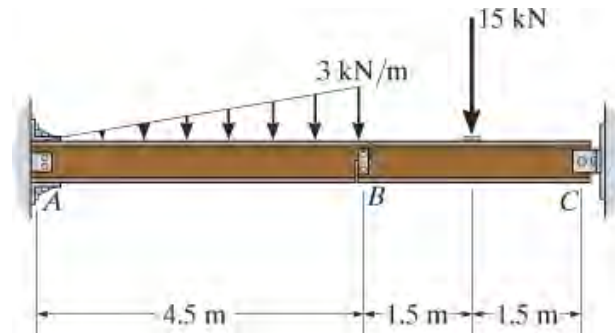
س 6-43

6-44. د بیم لپاره شیبیر او مؤمنت ډایگرامونه رسم کړي.



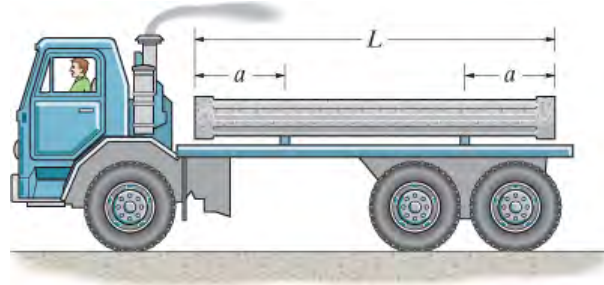
س 6-44

6-45. یو لنډ تړونکونکی په B کی کارول شوی ترڅو بیم AB او BC سره ونیښلوی. اتکاو په A او C کی کلکی او پین دی، شیبیر او مؤمنت ډایگرامونه رسم کړي.



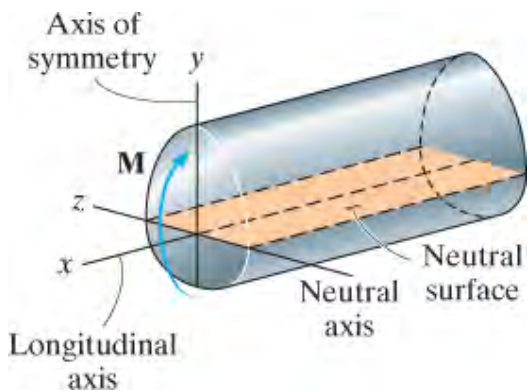
س 6-45

6-46. یو لاری د کانکریټي ستنیو لیردولو لپاره کارول کیږي. که چیری ستنې یو مساوی ویشلشوي وزن w (قوه تقسیم په اوږدوالي) ولري، د ستنې ایښودلو مساوی فاصله a له دواړو پایلو داسی پیدا کړي چی مطلق اعظمی مؤمنت د ستنې لږ تر لږ وی. او هم شییر او مؤمنت ډایگرام د کانکریټي ستنې لپاره رسم کړي.



س 6-46

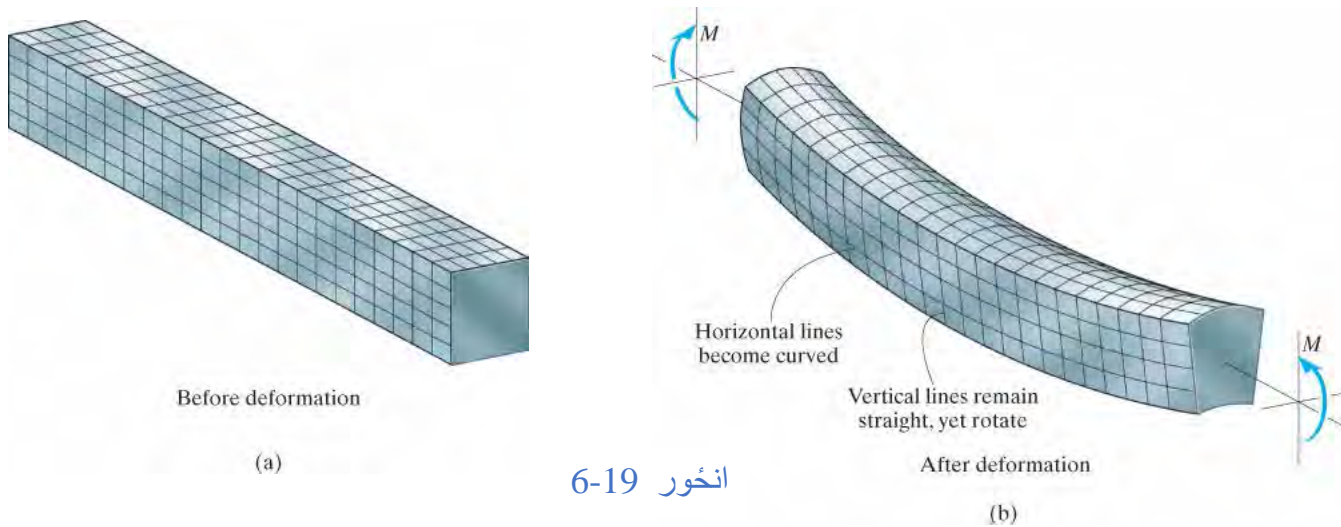
6.3 دیوه مستقیم غری د کړیدو بیخایه کیدنه (BENDING) (DEFORMATION OF A STRAIGHT MEMBER)



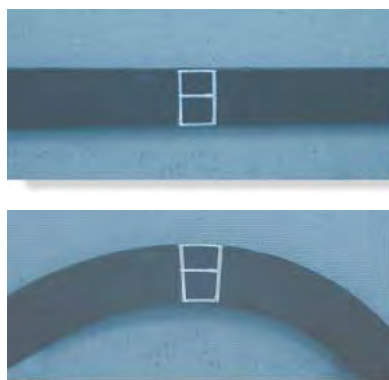
انځور 6-18

په دې برخه کې، مور به هغه بیخایه کیدنو په اړه بحث وکړو کله چې پر یوه مستقیم بیم باندی، کوم چی د هری خوا یوشان خاصیتونه (پرازماتیک) لری او د یو شان موادو څخه جوړ شوی، مؤمنت پلی شی. بحث به د هغو بیمونو پورې محدود وي چې د غوڅی برخي ساحه یي په یو محور همغیږي (symmetry) ولری، او مؤمنت په هغه بل محور چی همغیږي محور ته عمود وی پلي کیږي، لکه څنگه چې په انځور 6-18 کې ښودل شوي. د هغه غړو چلند چې نا همغږی غوڅه برخي لري، یا د ډیرو مختلفو موادو څخه جوړ شوی، د ورته لیدو پر بنسټ سره به په وروستیو برخو کې په جلا توگه ورباندی بحث وشي.

انځور 6-19a کوم چې یو مربع غوڅه برخه لری په پام کې ونیسی، دا جسم بیخایه شوی نه دی او په افقی او عمودی کربنوسره نښه شوی. کله چې یو مؤمنت ورباندی پلي کیري، د دې لینونو کرښي په بڼه کې تحریف راځی څنگه چې په انځور 6-19b کې ښودل شوي. دلته افقي کرښي منحنی کیري، پداسې حال کې چې عمودی کرښي مستقیمې پاتي کیري مگر څرخیري. مؤمنت د بیم په لاندې برخه کې د موادو د پراخیدو لامل کیري او مواد د پورتنی برخي دننه نیږدیدیو (کمپرس) حالت کې کیري. په پایله کې، په منځ کې د دوه سیمو باید یو سطح وي، چې د نه بدلیدونکی مخ (*neutral surface*) په نوم یادیري کوم چې د موادو افقی فایبر به یی د اوږدوالی بدلون سره مخ نشي، انځور 6-18 وگوري. لکه څنگه چې یادونه وشوه، مور به دی z محور چې په نه بدلیدونکی مخ کې پروت دی د نه بدلیدونکی محور یا صفری محور (*neutral axis*) په نامه یاد کړو.



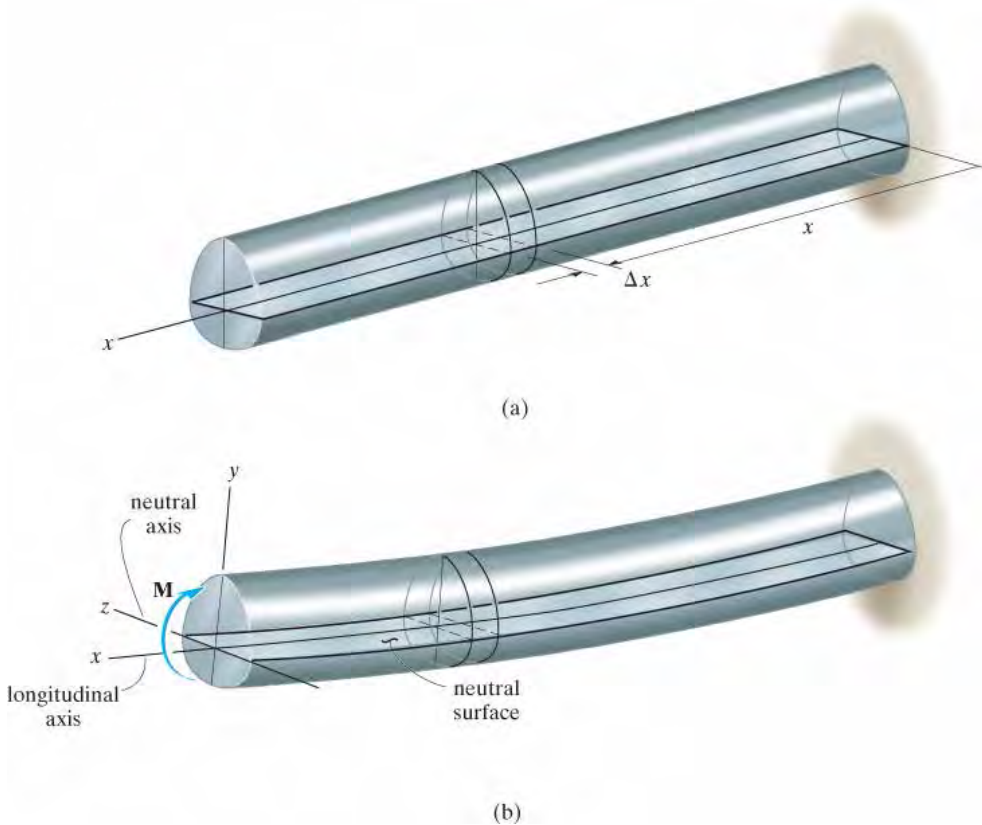
انځور 6-19



له دې کتنو څخه د هغه طریقي په اړه چې مؤمنت څنگه مواد بیخایه کوی مور لاندې درې انگیرني وکړی. لومړی، د اوږدوالی محور، کوم چې په صفری مخ (*neutral surface*) کې موقعیت لري، انځور 6-20a، په اوږدوالی کې یی هیڅ بدلون نه راځی. بلکې مؤمنت به داسی تمایل کوي ترڅو بیم داسی منحنی شي چې په عمودی همغیري سطحه کې موقعیت لري، انځور 6-20b. دوهم، کله چې بیم بیخایه کیري د بیم ټولې غوڅې برخي په همواره او په اوږده محور عمودي پاتي کیري. او دریم، د پویزان (*Poisson*) اغیزې له امله کوچني سترینونه چې په 3.6 برخه کې بحث شوی د نظر نیولو ندي. په بل عبارت، غوڅه برخه په انځور 6-19 کې خپل اولی شکل ساتي.

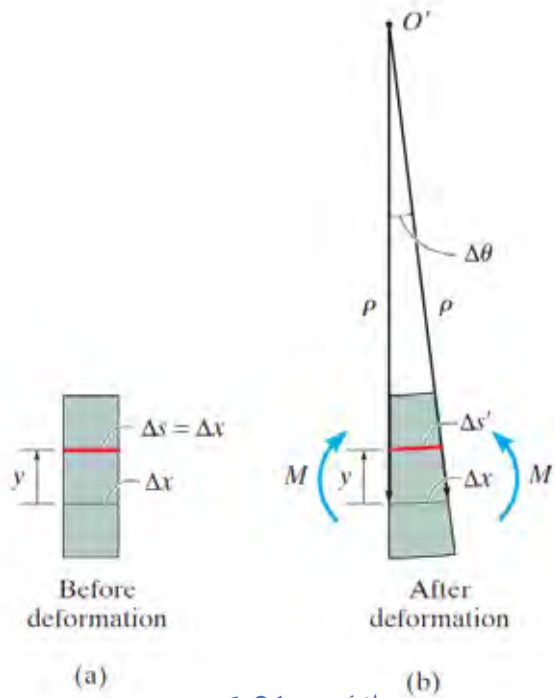
په دی ربري میله کې د مؤمنت له امله د کرښو تحریف وویني. پورتنی کرښه غځول شوی، لاندینی کرښه کمپرس شوی، او مرکزي کرښه ورته اوږدوالی پاتي دی. برسېره پردې، عمودی کرښي څرخي او لاهم مستقیم پاتي دي.

د پورته انگیرنو سره، مور به اوس په پام کې ونیسو چې مؤمنت د بیم یو کوچنی عنصر چې د x په فاصله د بیم په اوږدوالی کې موقعیت لري څرنگه بیخایه کوی، انځور 6-20 وگوري .



انځور 6-20

دا عنصر په بیخایه شوی او نه بیخایه شوی پروفایل کې بنودل شوی، انځور 6-21 وگوري. دلته د کرنې برخه د Dx چې په صفري مخ کې موقعیت لري، تغیر د اوږدوالي نه کوي، اما د کرنې برخه Ds چې په یوه فرضی فاصله y د صفري مخ نه پورته لور کې موقعیت لري هغه وروسته له بیخایه کیدني Ds کېږي. د نارمل سترین تعریف په اساس په اوږدوالی د Ds د معادلی 2-2 په پام کې نیولو سره دا لاندی لیکلی شو:



$$\epsilon = \lim_{\Delta s \rightarrow 0} \frac{\Delta s' - \Delta s}{\Delta s}$$

انخور 6-21

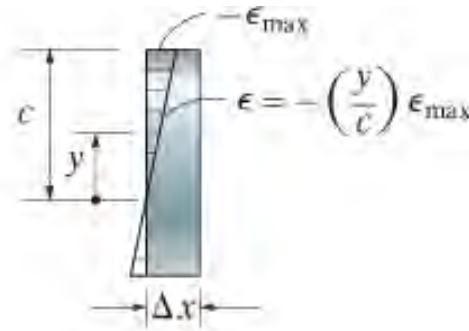
اوس راځئ چې دا سترين د برخي د موقعيت y په شرايطو کي او د انحنا شعاع r د عنصر د اوږدوالي په محور څرگند کړو . مخکي له بيخايه کيدني $Ds = Dx$ ، انخور 6-21a . د بيخايه

کيدو وروسته، Dx شعاع د انحنا r چې د منحنی مرکز يي په O' کی دی انخور 6-21b ووينی. نو $Dx = Ds = r Dq$ همدارنگه، څرنگه چې Ds د انحنا شعاع $r - y$ لري، بيا $Ds = (r - y) Dq$. دا پایلې په پورتنی معادله کي ځای په ځای کول، مور ترلاسه کوو

$$\epsilon = \lim_{\Delta \theta \rightarrow 0} \frac{(\rho - y)\Delta \theta - \rho \Delta \theta}{\rho \Delta \theta}$$

or

$$\epsilon = -\frac{y}{\rho} \quad (6-7)$$



Normal strain distribution

انځور 6-22

څرنګه چې $1/r$ په x کې ثابت دی، دا مهمه پایله، $e = -y/r$ ، په ګوته کوي چې د اوږدوالي نارمل سترین به د y اندازه کولو سره په خطي ډول توپیر ولري د y اندازی سره له صفری محور څخه . یو انقباض ($-e$) به په فایبرونو کې د صفری محور څخه پورته ($+y$) کې واقع کیږی، پداسې حال کې چې اوږدوالی ($+e$) به په فایبرونو کې چې د محور لاندې ($-y$) موقعیت لري واقع کیږی. دا توپیر د سترین په غوڅی برخه کې په انځور 6-22 کې ښودل شوی. دلته اعظمي سترین په بهرنی فایبر کې په فاصله د $y = c$ له صفری محور څخه موقعیت لري . کله چې معادله 6-7 وکارول شي، څرنګه چې $e_{max} = c/r$ نو بیا د ویش له مخی لیکلی شو،

$$\frac{\epsilon}{\epsilon_{max}} = -\left(\frac{y/\rho}{c/\rho}\right)$$

نو بیا

$$\epsilon = -\left(\frac{y}{c}\right)\epsilon_{max} \quad (6-8)$$

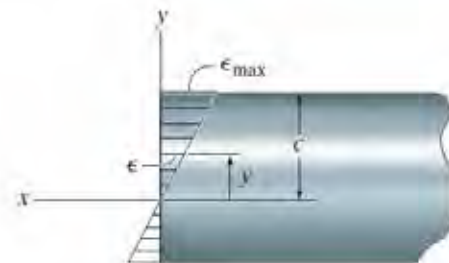
دا نارمل سترین یوازی د بی خایه کیدو په انګرینوپوری اړه لري او باید په پام کې ونیول شي.

6.4 د کړیدو فورمول (THE FLEXURE FORMULA)

پدې برخه کې، مور به یو مساوات رامینځته کړو چې هغه د ستریس د ویش او پلي شوی مؤمنت چې په غوڅی برخه باندې عمل کوي تر او را په گوته کوي. د دې لپاره مور به فرض کړو چې د مواد چلند ایلستیکي دی او د هوک د قانون له مخې خطي توپیر د نارمل سترین ، انځور 6-23a ، باید نارمل خطي توپیر په ستریس کې ولري، انځور 6-23b وويني. له دې امله، د نارمل سترین توپیر په څیر به ستریس (S) توپیر ولري، له صفر څخه د غړي په صفرې محور (neutral axis) کې تر اعظمي ارزښت ، S_{max} ، چې په فاصله c کې دی، چې له صفر محور څخه تر ټولو لري واټن لری. د مثلثونو د تناسب له مخې، انځور 6-23b ، د هوک قانون له مخې ، $S = E\theta$ ، او د معادلي 6-8 له مخې، مور لیکلی شو:

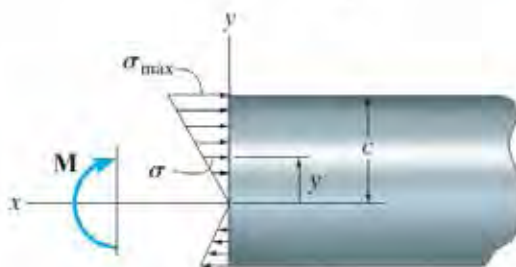
$$\sigma = -\left(\frac{y}{c}\right)\sigma_{max} \quad (6-9)$$

دا معادله د ستریس ویش د غوڅی برخې پر مخ باندې بیانوي. د علامی کنوانسیون دلته د پام وړ دی. د مثبت M لپاره، کوم چې د $+z$ لوري کې عمل کوي، مثبت ارزښتونه د y ، د S ارزښت منفي ورکوي، دا یو تیلوهونکی ستریس دی، ځکه چې دا په منفي x جهت کې عمل کوي. په ورته ډول، منفي y ارزښتونه به د دې لپاره مثبت یا کششي ارزښتونه د S ورکړي



نارمل سترین توپیر (لاندی
بروفایل وگوري)

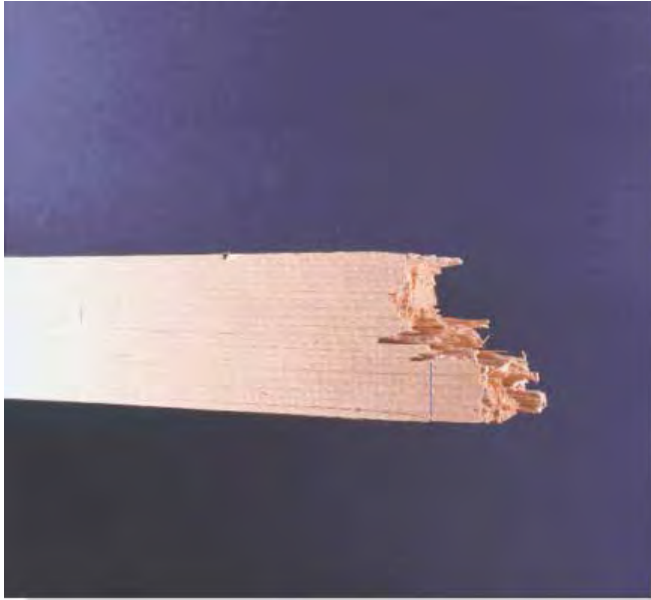
(a)



د مؤمنت سترس توپیر
(پروفایل وگوري)

انځور 6-23

د صفری محور موقعیت (Location of Neutral axis). د صفری محور موقعیت موندلو لپاره، باید د محصله قواو ارزښت چې د ستریس ویش لخوا په غوڅه برخه تولید شوي باید مساوی په صفر وی. د یادولو وړ ده چې قوه $dF = \sigma dA$ په یو اختیاری عنصر dA ساحه باندی عمل کوي



د لرگیو نمونه د مؤمنت له امله چې فیبرونه په پورته خوا کی مات شویس او په لاندی سیمه کی غوڅ شوي.

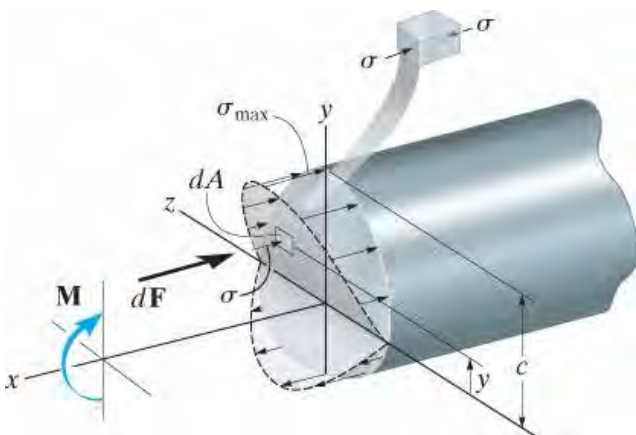
د صفری محور موقعیت (Location of Neutral axis). د صفری محور موقعیت موندلو

لپاره، باید د محصله قواو ارزښت چې د ستریس ویش لخوا په غوڅه برخه تولید شوي باید مساوی په صفر وی. د یادولو وړ ده چې قوه $dF = \sigma dA$ په یو اختیاری عنصر dA ساحه باندی عمل کوي، انځور 6-24 وگوري، لرو:

$$F_R = \Sigma F_x; \quad 0 = \int_A dF = \int_A \sigma dA$$

$$= \int_A -\left(\frac{y}{c}\right) \sigma_{\max} dA$$

$$= \frac{-\sigma_{\max}}{c} \int_A y dA$$



ستریس توپیر د مؤمنت له امله

انځور 6-24

څرنګه چې S_{max}/c مساوی په صفر نده، پس

$$\int_A y dA = 0 \quad (6-10)$$

په بل عبارت، د غړی د غوڅی برخې لومړی مؤمنت په صفر محور باید صفر وي. دا حالت یوازې هغه وخت پوره کېدی شي چې صفر محور هم افقی ثقلی (centroidal) محور د غوڅی برخې* وي. نو ځکه، یوځل چې د غړی د غوڅی برخې لپاره د ثقل مرکز وټاکل شي، د صفری محور موقعیت معلوم دی.

د کوریدو مؤمنت (Bending Moment).

که چېرې په یوه بیم کې د M مومنت مساوی په هغه مومنت وي چې د سټریس ویش په غوڅه کې د صفر پر محور جوړوی، مور کولی شو په بیم کې یې سټریس وټاکو. د dF مؤمنت په انځور 6-24 کې عبارت دی په $dM = y dF$.

څرنګه چې $dF = s dA$ ، نو له معادلی 6-9 د ټولی غوڅی برخې لپاره لرو:

$$(M_R)_z = \sum M_z; \quad M = \int_A y dF = \int_A y (\sigma dA) = \int_A y \left(\frac{y}{c} \sigma_{max} \right) dA$$

or

$$M = \frac{\sigma_{max}}{c} \int_A y^2 dA \quad (6-11)$$

*په یاد ولرئ چې دثقل د مرکز موقعیت y' د یوې سیمې د ساحی لاندی معادلی پیدا کیري،

$$\bar{y} = \int y dA / \int dA. \text{ If } \int y dA = 0, \quad y' = 0 \text{ او په دې توګه د ثقل}$$

مرکز په صفری کرښه پروت دی. ضمیمه A ددی کتاب وګورئ.

دا انټیگرال استازیتوب د غوڅی برخی انرشیايي مؤمنت په صفری کرښه کوی* . مور به د هغی ارزښت د I په توگه سمبول کړو. له همدی امله معادله 6-11 د S_{max} حل لپاره داسی لیکلی شو:

$$\sigma_{max} = \frac{Mc}{I} \quad (6-12)$$

دلته

S_{max} = دغری اعظمی نارمل ستریس، او دا هغه سیمه د غوڅی برخی ده چی له صفری کرښی اعظمی فاصله لري.

M = محصله د داخلی مؤمنت چی د غوڅی برخی په میتود، د توازن له معادلو لاس ته راغلی او په صفری کرښی محاسبه شوي.

c = عمودی فاصله له صفری کرښی تر هغه لری ټکی له صفری کرښی. دا هغه سیمه ده چی اعظمی S_{max} عمل کړي.

I = د غوڅی برخی انرشیايي مؤمنت په صفری کرښه

څرنکه چی $S_{max}/c = -s/y$ معادله 6-9 نارمل ستریس په هر واټن y کی کیدی شی چی په ورته معادلی 6-12 ته پیدا کړو. او مور لرو

$$\sigma = -\frac{My}{I} \quad (6-13)$$

دا پورتنی دوی معادلی اکثرا د **کیریدو فورمول** یا فلکشر فورمول (flexure formula) په نوم یادیري. که څه هم مور داسی انگیرل کړي چی غری پریمتیک دی، مور کولی شو په محافظه کار ډول د کیریدو فورمول د نارمل ستریس معلومولو لپاره هغو غریو ته چی لږڅه مخروطی شکل ولري هم وکاروو. د مثال په توگه، د ریاضی کارول او د ایلسټیک تیوری پر بنسټ تحلیل، یو غری چی مستطیل غوڅه برخه لري او اوږدوالی یی 15 درجی مخروطی دی ددی حقیقی اعظمی نارمل ستریس به شاوخوا 5.4% کم وي له هغه چی د کیریدو فورمول په کارولو سره محاسبه شوی وی.

* د ډول ډول شکلونو د انرشيایي مؤمنت محاسبه کولو لپاره ضمیمه A ددی کتاب وویښی.

مهم ټکي

(IMPORTANT POINTS)

- غوڅه برخه د یوه مستقیم بیم مسطح پاتی کیری کله چی بیم د مؤمنت له امله بیخایه شي. دا لامل د جوړیدو د کششی سټریسونو په یوه برخه د غوڅی برخی او ټیلوهونکی سټریسونه په بله برخه د غوڅی برخی کی کیری . په بین ددی دوو برخو کی یو صفری محور (neutral axis) شتون لری چی په هغه کی سټریس صفر دی.
- د بیخایه کیدو له امله د بیم په اوږدوکی سټرین خطی توپیر لری له صفر په صفری محور تر یو اعظمی ارزښت په لری فایبر د بیم کی. ددی لپاره مواد باید متجانس او خطی ایلسټیک چلند ولری، او بیا سټریس هم په خطی ډول په غوڅه برخه توپیر لری.
- څرنکه چی په غوڅه برخه محصله قوه نشته نو صفری محور له مرکز ثقل د غوڅی برخی تیریری.
- د کوروالي فورمول په دی واقعیت تری دی چی داخلی مؤمنت د غوڅی برخی باید مساوی په هغه مؤمنت وی چی د سټریس ویش یی په صفری محور منح ته راوړی.

د تحلیل کرنلاره

PROCEDURE FOR ANALYSIS

د دی لپاره چی د کوروالی معادلی څخه کار واخیستل شي له دی لاندی طریقې کار اخستلی شی.

داخلي مؤمنت (Internal Moment)

- غړي په هغه نقطه کې قطع کړی چیرې چې د کوروالی مؤمنت یا نارمل فشار ټاکل کیږي، او داخلي مؤمنت M په دی برخه کې ترلاسه کړی. د غوڅی برخې مرکزي یا صفري محور باید پیژندل شوی وي، ځکه چې M د دې محور په اړه محاسبه کیږي.
- که چیرې د ستریس مطلق اعظمي حد د کوروالی مؤمنت له امله ټاکل کیږی نو بیا مؤمنت ډیاگرام په ترتیب سره رسم کړی تر څو په غړي کې اعظمي مؤمنت وټاکي.

د غوڅی برخې مشخصات (Section Properties)

- د غوڅی برخې د ساحی انرشیايي مؤمنت (I) په صفري محور مشخص کړی. د محاسبې کارول شوي میتودونه په ضمیمه A کې تر بحث لاندې نیول شوي، او د څو عام شکلونو لپاره د I ارزښتونو لیست په جدول کې په داخل د اولی برخې پوښ دننه ورکړل شوی.

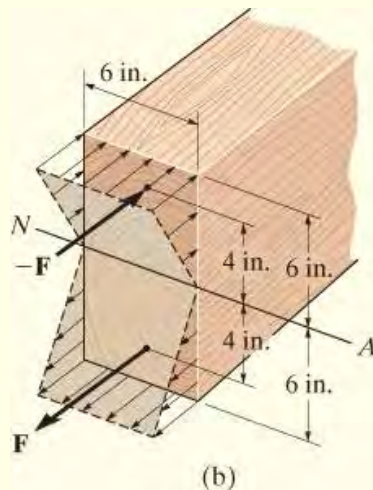
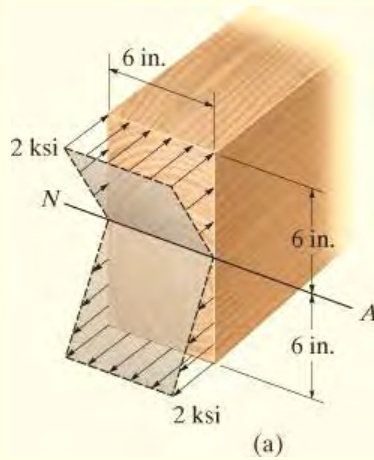
نارمل ستریس (Normal Stress)

- موقعیت د y کرښی عمود په صفري کرښه تر هغه ټکی چیرې چې نارمل ستریس غوښتل شوی مشخص کړی. بیا له معادلي $s = -My/I$ کار واخلي او یا که اعظمي ستریس باید و ټاکل شي دا معادله $s_{max} = Mc/I$ کارول کیږی. کله چې ډیټا ځای په ځای کوي، ډاډ ترلاسه کړی چې واحدونه یو شان دي.
- ستریس په داسې لوري عمل کوي چې هغه را مینځ ته شوی قوه په دی نقطه کې په صفري محور داسې مؤمنت رامینځته کوي چې هغه د داخلي مؤمنت M لور په څیر وي. په دې ډول د ستریس ویش چې په ټوله غوڅه برخه باندې عمل کړي سکیچ کیدی شي، یا د عنصر د موادو حجم جلا کیدی شي او په گرافیک ډول هغه ستریس چې په دی نقطه کې عمل کوي وښودل شي، انځور 24-6 وگورئ.

مثالونه

مثال 6.11

یو بیم مستطیلی غوڅه برخه لری او په انځور 6-25a کی بنودل شوی ستیریس ویش ورباندی پلی شوي. داخلی مؤمنت M چی د دی ستیریس ویش له امله په برخه جوړ پیري پیدا کړي (a) له کوروالي معادلی (Flexure Formula) کار واخلي (b) د ستیریس ویش محصله په اصلی اصولو پیدا کړي.



حل (SOLUTION)

برخه (a). د د کوروالي معادله عبارت ده په $s_{\max} = Mc/I$. له انځور 6-25a ارزشتونه د $c=6$ in. او د $s_{\max} = 2$ ksi دی. صفری محور په کرښه NA بنودل شوی، ځکه چی دا له مرکز ثقل د غوڅی برخی تیریری او د ستیریس ارزشت په دی کرښه باندی صفر دی. د غوڅی برخی شکل مستطیلی دی او د انر شیبایی مؤمنت د ساحی یی په NA له هغو فورمولو چی په داخل د پوش د کتاب کی بنودل شوی پیدا کوو:

$$I = \frac{1}{12}bh^3 = \frac{1}{12}(6 \text{ in.})(12 \text{ in.})^3 = 864 \text{ in}^4$$

له همدی امله

انځور 6-25

$$\sigma_{\max} = \frac{Mc}{I};$$

$$2 \text{ kip/in}^2 = \frac{M(6 \text{ in.})}{864 \text{ in}^4}$$

$$M = 288 \text{ kip} \cdot \text{in.} = 24 \text{ kip} \cdot \text{ft}$$

Ans.

برخه (b). محصله قوه د هر یوه دواړو مثلثی ستیریس ویش چی په انخور 6-25b کی بنودل شوی په گرافیک ډول مساوی دی په حجم د هر ستیریس ویش سره. چی دا حجم عبارت دی په

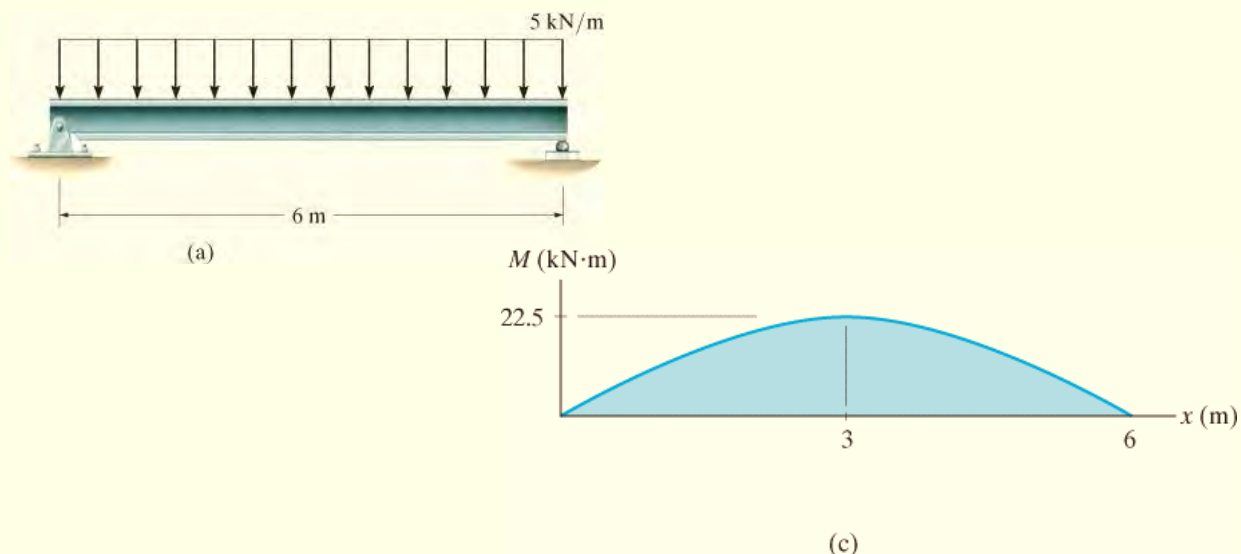
$$F = \frac{1}{2}(6 \text{ in.})(2 \text{ kip/in}^2)(6 \text{ in.}) = 36 \text{ kip}$$

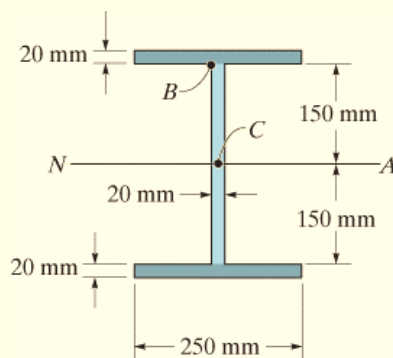
دا قواوی چی یو کپل جوړه وی د هر ستیریس ویش په لور عمل کړي ، انخور 6-25b و گوری. سربیره پر دی دوی د هر حجم د ثقل په مرکز عمل کړي، د بیلگی په توگه $2/3 (6 \text{ in}) = 4 \text{ in}$ بیم له صفری کربني . له همدی امله فاصله د دوی په منخ کی 8 in. لکه څنگه چی بنودل شوي ده. د کپل مؤمنت په دی اساس عبارت دی په:

$$M = 36 \text{ kip}(8 \text{ in.}) = 288 \text{ kip} \cdot \text{in.} = 24 \text{ kip} \cdot \text{ft} \quad \text{Ans.}$$

مثال 6.12

د یو ساده اتکاء بیم په لاندی انخور 6-26a ، او غوڅه برخه یی په انخور 6-26b کی بنودل شوي. مطلق اعظمی ستیریس د کیریدونکی مؤمنت له امله معلوم او د ستیریس ویش په غوڅه برخه رسم کړي. او همدا راز ستیریس په تکی B کی پیدا کړي.





(b)

انځور 6-26

حل (SOLUTION)

اعظمی داخلی مؤمنت (Maximum Internal Moment) .

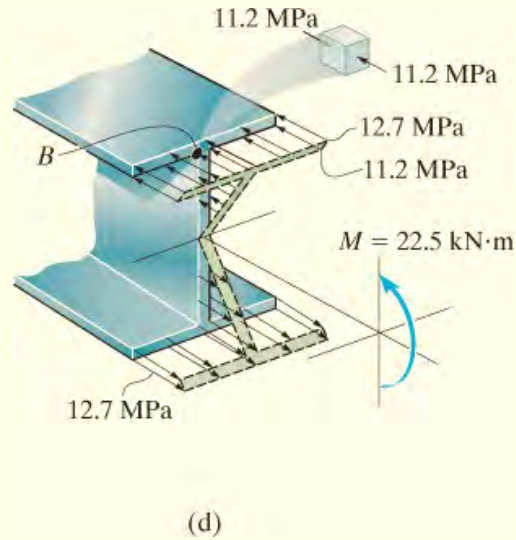
څنگه چې په انځور 6-26c کی بنودل شوي اعظمی مؤمنت په مرکز د بیم کی جوړیږي او هغه عبارت دی په $M = 22.5 \text{ k N.m}$.

د غوڅی برخی مشخصات (Section Properties)

د همغږي لاملونو له مخی صفری کرښه د ثقل له مرکز په C کی چې د بیم د غوڅی نیم لوړوالی دی تیریږي، او دا په انځور 6-26b کی بنودل شوي. ساحه په دريو برخو ویشل شوی او د هری برخی انرشیایي مؤمنت پر صفری کرښه د موازی محور و قضي (parallel-axis theorem) په اصولو (معادله A-5 په ضمیمه A کی وگوری.) د متر له واحد کار اخلو او مور لرو:

$$\begin{aligned}
 I &= \Sigma(\bar{I} + Ad^2) \\
 &= 2 \left[\frac{1}{12} (0.25 \text{ m})(0.020 \text{ m})^3 + (0.25 \text{ m})(0.020 \text{ m})(0.160 \text{ m})^2 \right] \\
 &\quad + \left[\frac{1}{12} (0.020 \text{ m})(0.300 \text{ m})^3 \right] \\
 &= 301.3(10^{-6}) \text{ m}^4
 \end{aligned}$$

$$\sigma_{\max} = \frac{Mc}{I}; \quad \sigma_{\max} = \frac{22.5(10^3) \text{ N} \cdot \text{m}(0.170 \text{ m})}{301.3(10^{-6}) \text{ m}^4} = 12.7 \text{ MPa} \quad \text{Ans.}$$



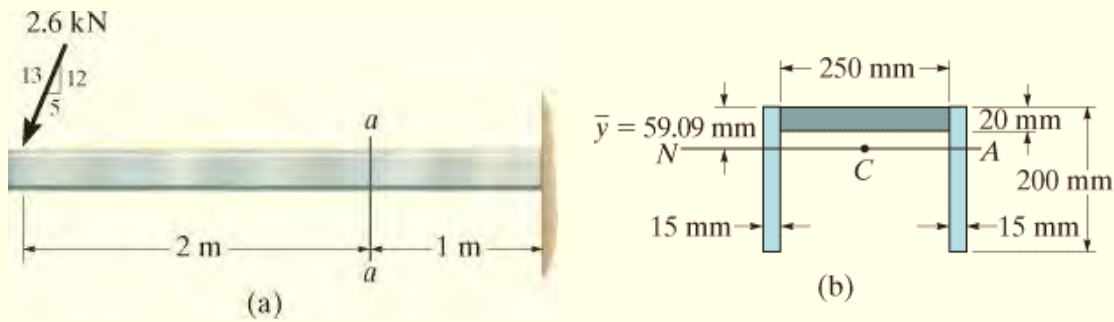
انځور 6-26

د سټریس د ویش درې اړخیز لید په انځور 6-26d کی بنودل شوي. په ځانګړي توګه په ټکی B کی $y_B = 150 \text{ mm}$ لکه څنګه چی په انځور 6-26d کی بنودل شوي .

$$\sigma_B = -\frac{My_B}{I}; \quad \sigma_B = -\frac{22.5(10^3) \text{ N} \cdot \text{m}(0.150 \text{ m})}{301.3(10^{-6}) \text{ m}^4} = -11.2 \text{ MPa } \textit{Ans.}$$

مثال 6.13

په انځور 6-27a کی بنودل شوی بیم غوڅه برخه د چینل (channel) شکل لری او هغه په انځور 6-27b کی بنودل شوي. کیریدونکی مؤمنت د بیم په برخه a-a کی معلوم کړي.



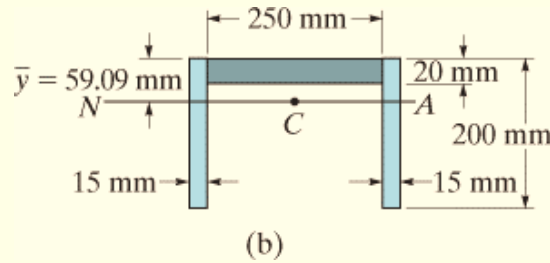
انځور 6-27

حل (SOLUTION)

داخلي مؤمنت (Internal Moment) .

a- دلته د بيم د اتكاء ريکشنونو معلومولو لپاره اړتيا نشته . پر ځای يې د برخې د طريقي له مخې د a- د بيم برخې د کين لوري نه کار اخلو ، انځور 6-27c وويني. دا مهمه ده چې د داخلي محوري قوه N د غوڅي د ثقل د مرکز له برخې تيره شي. همدا رنگه په دې پوه شي چې د داخلي مؤمنت محصله په برخه a-a کې پر صفرې کرښه د بيم محاسبه کيږي.

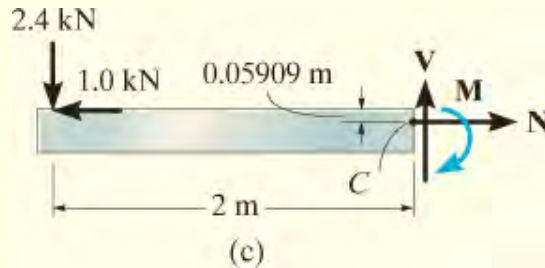
د صفرې محور موقعيت موندلو لپاره د غوڅي برخې ساحه په دريو برخو ويشل شوي، لکه څنگه چې په انځور 6-27b کې ښودل شوي . له معادلي A-2 د ضميمې A نه کار اخلو او مور لرو:



$$\bar{y} = \frac{\sum \bar{y}A}{\sum A} = \frac{2[0.100 \text{ m}](0.200 \text{ m})(0.015 \text{ m}) + [0.010 \text{ m}](0.02 \text{ m})(0.250 \text{ m})}{2(0.200 \text{ m})(0.015 \text{ m}) + 0.020 \text{ m}(0.250 \text{ m})}$$

$$= 0.05909 \text{ m} = 59.09 \text{ mm}$$

دا ابعاد په انځور 6-27c کی بنودل شوي.
د مؤمنت د توازن معادله په صفری محور پلی کوو او مور لرو



انځور 6-27

$$\zeta + \sum M_{NA} = 0; \quad 2.4 \text{ kN}(2 \text{ m}) + 1.0 \text{ kN}(0.05909 \text{ m}) - M = 0$$

$$M = 4.859 \text{ kN} \cdot \text{m}$$

د غوڅی برخی مشخصات (Section Properties)

د غوڅی برخی انرشیایی مؤمنت پر صفری محور پدی فورمول $I = \sum (\bar{I} + Ad^2)$ سره د هرو دریو برخو محاسبه کیري . د متر واحد نه کار اخلو:

$$I = \left[\frac{1}{12} (0.250 \text{ m})(0.020 \text{ m})^3 + (0.250 \text{ m})(0.020 \text{ m})(0.05909 \text{ m} - 0.010 \text{ m})^2 \right]$$

$$+ 2 \left[\frac{1}{12} (0.015 \text{ m})(0.200 \text{ m})^3 + (0.015 \text{ m})(0.200 \text{ m})(0.100 \text{ m} - 0.05909 \text{ m})^2 \right]$$

$$= 42.26(10^{-6}) \text{ m}^4$$

د کوروالي مؤمنت اعظمی ستریس (Maximum Bending Stress) .

تر ټولو زیات د کوروالي ستریس په هغه ټکی کی واقع کیري چی له صفری محور لري فاصله ولري.

دا د بیم په بنکته برخه کی $c = 0.200 \text{ m} - 0.05909 \text{ m} = 0.1409 \text{ m}$ ډیر اغیزناک دی . دلته ستریس کمپرشن دی او مور لرو:

$$\sigma_{\max} = \frac{Mc}{I} = \frac{4.859(10^3) \text{ N} \cdot \text{m}(0.1409 \text{ m})}{42.26(10^{-6}) \text{ m}^4} = 16.2 \text{ MPa (C)} \quad \text{Ans.}$$

تاسو وښایاست چې د بیم په پورتنی برخه کې د کوروالي مؤمنت سټریس عبارت دی په
 $s = 6.79 \text{ MPa}$.

یادونه: نارمل قوه $N = 1 \text{ kN}$ او شیبیر قوه $V = 2.4 \text{ kN}$ به اضافی سټریس په غوڅه برخه کې جوړ کړي. ددی ټولو اغیزه به په 8 فصل کې بحث او وڅیړو.

مثال 6.14

دا لاندی غری چې مستطیلی غوڅه برخه لري د $40 \text{ N} \cdot \text{m}$ مؤمنت لپاره ډیزاین شوي. تر څو قوت او سختی یې زیاته شي دوی وری پوښتی (ribs) په کښته برخه کې اضافه شوي، انځور 6-28b وویښي. د دواړو حالتونو لپاره اعظمی نارمل سټریس پیدا کړي.

حل (SOLUTION)

پرتله له پوښتی (Without Ribs)

په ښکاره ډول صفری محور په مرکز د غوڅی برخه کې دی، انځور 6-28a، چیرته چې

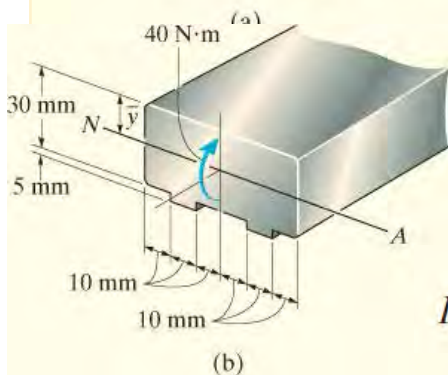
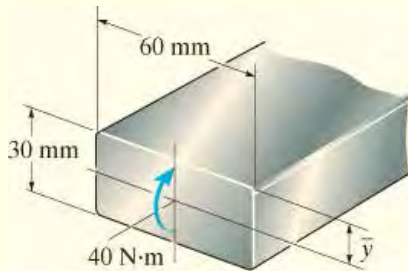
$$y' = c = 15 \text{ mm} = 0.015 \text{ m}$$

له همدی امله اعظمی نارمل سټریس عبارت دی په:

$$I = \frac{1}{12}bh^3 = \frac{1}{12}(0.060 \text{ m})(0.030 \text{ m})^3 = 0.135(10^{-6}) \text{ m}^4$$

انځور 6-28

$$\sigma_{\max} = \frac{Mc}{I} = \frac{(40 \text{ N} \cdot \text{m})(0.015 \text{ m})}{0.135(10^{-6}) \text{ m}^4} = 4.44 \text{ MPa} \quad \text{Ans.}$$



له پوښتی سره (With Ribs) .

څنگه چې په انځور 6-28b کی ښودل شوی ساحه په دوه برخو ویشل شوی ، یوه برخه لوی اصلی مستطیل دی ، او ښکته دوه مستطیلونه (پوښتی) ، د \bar{y} موقعیت د مرکز ثقل او صفري محور پدی لاندی ډول پیدا کیږي:

$$\begin{aligned}\bar{y} &= \frac{\sum \bar{y}A}{\sum A} \\ &= \frac{[0.015 \text{ m}](0.030 \text{ m})(0.060 \text{ m}) + 2[0.0325 \text{ m}](0.005 \text{ m})(0.010 \text{ m})}{(0.03 \text{ m})(0.060 \text{ m}) + 2(0.005 \text{ m})(0.010 \text{ m})} \\ &= 0.01592 \text{ m}\end{aligned}$$

دا ارزښت استازیتوب د c نه کوي . پر ځای یې

$$c = 0.035 \text{ m} - 0.01592 \text{ m} = 0.01908 \text{ m}$$

د موازی-محور (parallel-axis) فرضي په کارولو ، انرشیایي مؤمنت په صفري محور عبارت دی په:

$$\begin{aligned}I &= \left[\frac{1}{12} (0.060 \text{ m})(0.030 \text{ m})^3 + (0.060 \text{ m})(0.030 \text{ m})(0.01592 \text{ m} - 0.015 \text{ m})^2 \right] \\ &+ 2 \left[\frac{1}{12} (0.010 \text{ m})(0.005 \text{ m})^3 + (0.010 \text{ m})(0.005 \text{ m})(0.0325 \text{ m} - 0.01592 \text{ m})^2 \right] \\ &= 0.1642(10^{-6}) \text{ m}^4\end{aligned}$$

Therefore, the maximum normal stress is

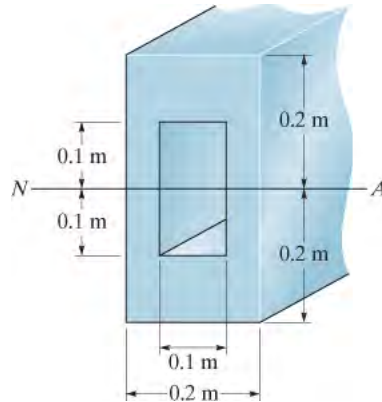
$$\sigma_{\max} = \frac{Mc}{I} = \frac{40 \text{ N} \cdot \text{m}(0.01908 \text{ m})}{0.1642(10^{-6}) \text{ m}^4} = 4.65 \text{ MPa}$$

Ans.

نوټ: دا حیرانونکې پایله په گوته کوي چې د پوښتیو اضافه کول په غوڅه برخه، د دې پر ځای چې اعظمي نارمل سټریس کم کړی دا یې زیات کړی، او په دې دلیل پوښتی باید پرېښودل شي.

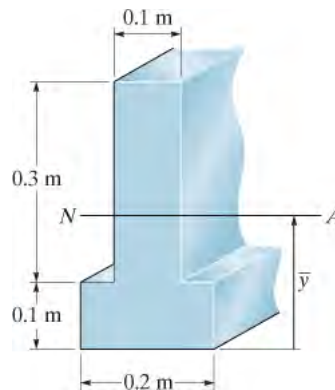
PRELIMINARY PROBLEMS

ل 6-2. د دی لاندی غوڅی برخي انرشيایي مؤمنت په صفری محور پیدا کړي.



ب 6-2

ل 6-3. د ثقل مرکز موقعیت، \bar{y} ، او د غوڅی برخي انرشيایي مؤمنت په صفری محور پیدا کړي.



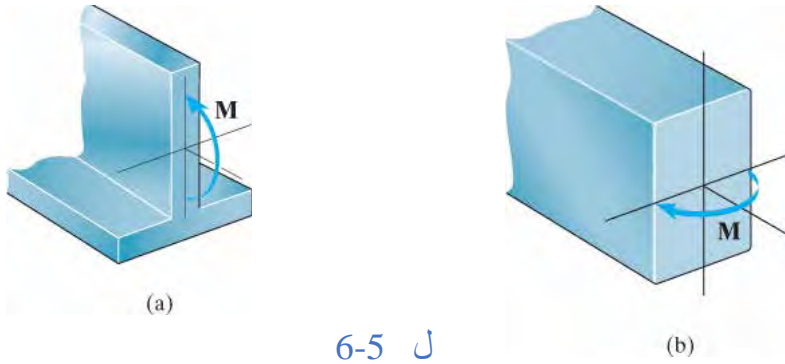
ب 6-3

ل 6-4. په دی لاندی هر حالت لپاره وښایاست چی په کوچنی حجمی توتیه د A او B کی ستریس د کیریدونکی مؤمنت له امله څنگه عمل کړي.



ل 6-4

ل 6-5. پہ دی لاندی ہرہ غوٹہ برخہ د سٹریس ویش د کیریڈونکی مؤمنت لہ املہ سکیچ کری.

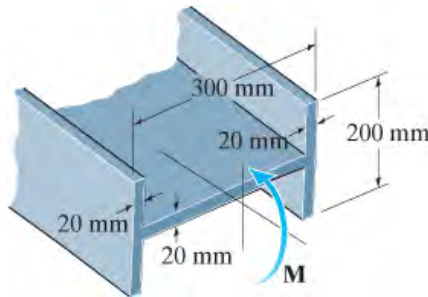


ل 6-5

بنسٹیز سوالونہ

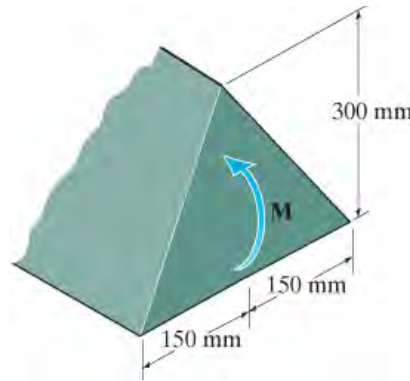
(FUNDAMENTAL PROBLEMS)

ب 6-9 کہ چیری پہ بیم یو کیریڈونکی مؤمنت $M = 20 \text{ kN.m}$ پلی شی اعظمی سٹریس پہ بیم کی معلوم کری.



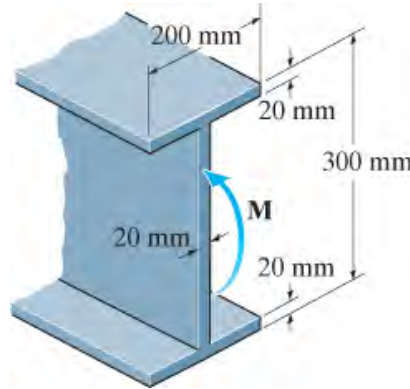
ب 6-9

ب 6-10. که چیری په بیم یو کیریدونکی مؤمنت $M = 50 \text{ kN.m}$ پلی شی د کیریدونکی مؤمنت سټریس ویش د بیم په غوڅه برخه سکیچ کړي.



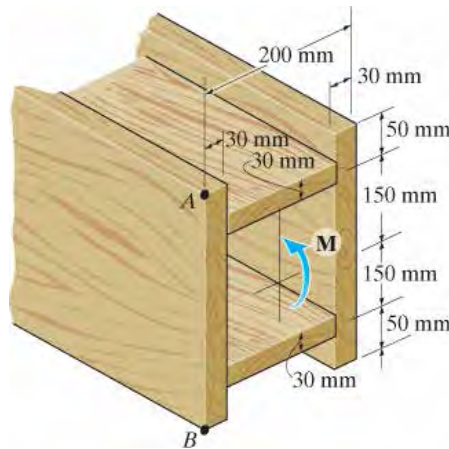
ب 6-10

ب 6-11. که چیری په بیم یو کیریدونکی مؤمنت $M = 50 \text{ kN.m}$ پلی شی اعظمی سټریس په بیم کی معلوم کړي.



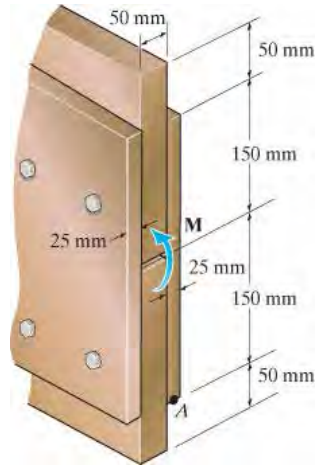
ب 6-11

ب 6-12. که چیری په بیم یو کیریدونکی مؤمنت $M = 10 \text{ kN.m}$ پلی شی د کیریدونکی مؤمنت سټریس په بیم په ټکیو A او B کی معلوم او پایلی یی په یوه واړه عنصر په هر یو د ټکیو کی سکیچ کړي.



ب 6-12

ب 6-13. که چیری په بیم یو کیریدونکی مؤمنت $M = 5 \text{ kN.m}$ پلی شی د کیریدونکی مؤمنت ستریس په بیم په تکیو A او B کی معلوم او پایلی یی په یوه واره عنصر په هر یو د دی تکیو کی سکیچ کری.

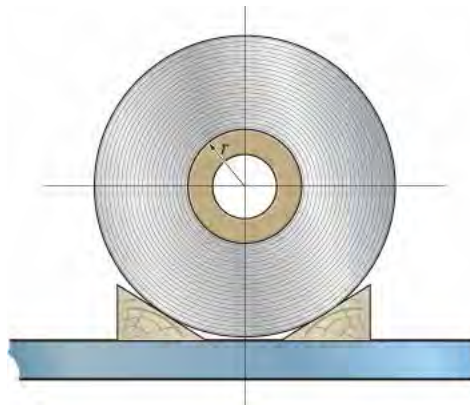


ب 6-13

سوالونه

(PROBLEMS)

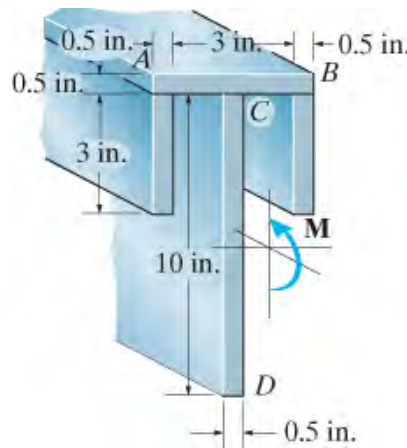
س 6-47. د یو فولادی A-36 تختی د منلو وړ د کیریدونکی مؤمنت ستریس 165 MPa دی. که چیری دا تاو (rolled up) شی کوچنی شعاع r د گوت (spool) معلوم کری، د تختی ضخامت 1.5 mm او سور یی 10 mm دی. همدا رنگه اړونده اعظمی داخلی مؤمنت چی په تخته کی را مینځ ته کیری معلوم کری.



س 6-47

س 6-48*. هغه مؤمنت M چی په غوڅه برخه اعظمی ستریس 10ksi جوړه وی پیدا کری.

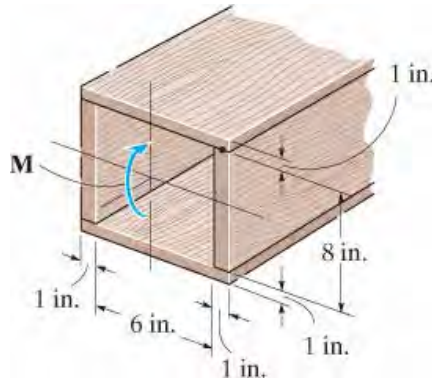
س 6-49. که چیری په بیم مؤمنت $M = 4 \text{ kip}\cdot\text{ft}$ عمل وکړي اعظمی کششي او کمپرشن ستریس په بیم معلوم کړي.



س 6-48/49

س 6-50. یو بیم د لرگیو له څلور ټوټو، چی ټوټي له یو بل سره سرینس شوي جوړ شوي. که چیری مؤمنت $M = 10 \text{ kip}\cdot\text{ft}$ په بیم پلی شی اعظمی ستریس په بیم کی معلوم کړي. دری اړخیزه لید د ستریس ویش په غوڅه برخه سکچ کړي.

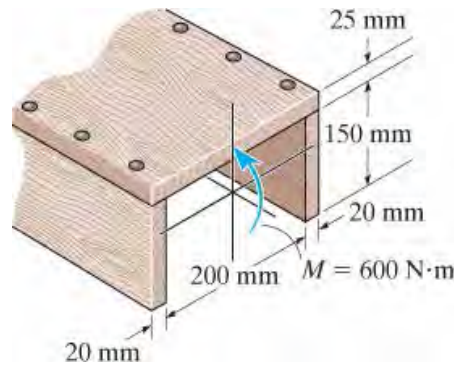
س 6-51. یو بیم د لرگیو له څلور ټوټو جوړ شوي، څنگه چی په انځور کی ښودل شوی ټوټي له یو بل سره سرینس شوي. که چیری مؤمنت $M = 10 \text{ kip}\cdot\text{ft}$ په بیم پلی شی محصله قوه چی دا مؤمنت د بیم په ښکته او پورتنی ټوټو جوړه وی معلوم یي کړي.



س 6-50/51

س 6-52*. بیم له دریو تختو جوړ شوی، دا تختی له یو بل سره میخ شوي دی. که چیری مؤمنت $M = 600 \text{ N}\cdot\text{m}$ د بیم په غوڅه برخه پلی شی اعظمی ستریس په بیم کی معلوم کړي. دری اړخیزه لید د ستریس ویش په غوڅه برخه سکچ کړي.

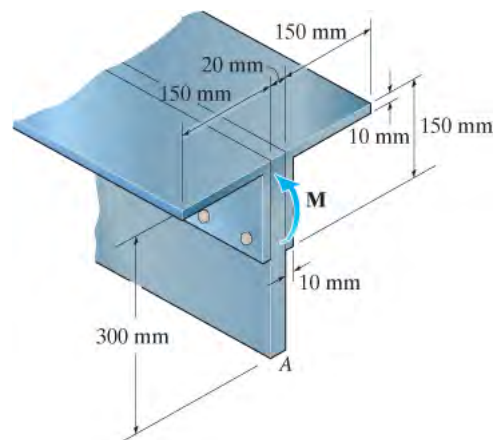
س 6-53. بیم له دريو تختو جوړ شوی، دا تختی له یو بل سره میخ شوي دی. که چیری مؤمنت $M = 600 \text{ N}\cdot\text{m}$ د بیم په غوڅه برخه پلی شی محصله قوه چی دا مؤمنت د بیم په پورتنی تخته کی جوړه وی معلوم یی کړی.



س 6-52/53

س 6-54. که چیری په یوه جوړ شوی بیم یو داخلی مؤمنت $M = 75 \text{ kN}\cdot\text{m}$ پلی شی اعظمی کششی او کمپرشن ستریس چی په بیم کی جوړیږي معلوم کړی.

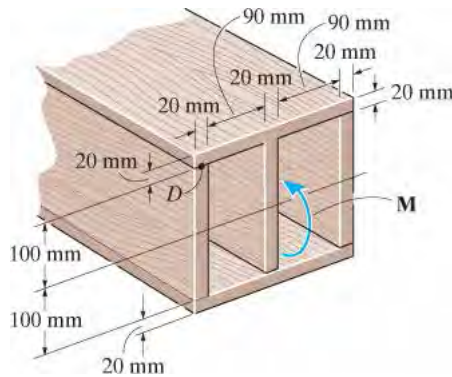
س 6-55. که چیری په یوه جوړ شوی بیم یو داخلی مؤمنت $M = 75 \text{ kN}\cdot\text{m}$ پلی شی، ددی داخلی مؤمنت اندازه چی تخته A یی جوړه وی معلوم کړی.



س 6-54/55

س 6-56*. یو مؤمنت M په بیم پلی شوي. ددی مؤمنت سلیزه چی د پورتنی تختی ستریس او د بنکته تختی ستریس یی جوړه وی معلوم کړی.

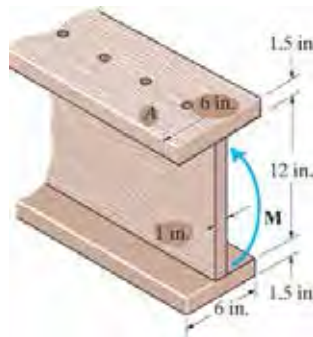
س 6-57. هغه مؤمنت M ، کله چی په بیم پلی شي او په ټکی D کی ستیریس $s_D = 10 \text{ MPa}$ جوړه وی، معلوم کړي. او همدا رنگه د ستیریس ویش په غوڅه برخه سکیچ کړي، او اعظمی ستیریس چی په بیم کی جوړیږي معلوم کړي.



س 6-56/57

س 6-58. دا لاندی بیم له دریو تختو چی یو بل سره میخ شوی دی جوړ شوی دی. که چیری په غوڅه برخه باندی یو مؤمنت $M = 1 \text{ kip.ft}$ پلی شی، اعظمی ستیریس په بیم کی معلوم کړي. دری اړخیزه لید د ستیریس ویش په غوڅه برخه سکیچ کړي.

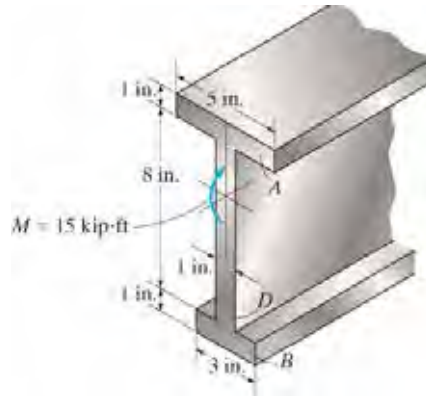
س 6-59. که مؤمنت $M = 1 \text{ kip.ft}$ وی محصله قوه چی کیریږونکی مؤمنت ستیریسونه یی په پورتنی تخته A کی جوړه وی و ټاکي.



س 6-58/59

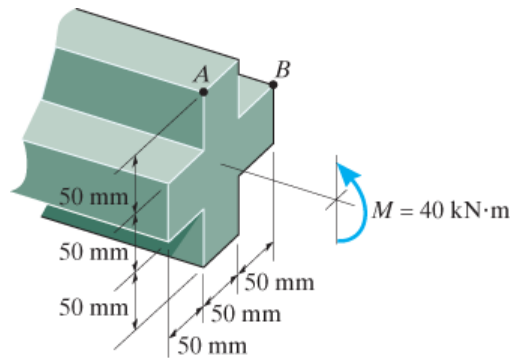
س 6-60*. پر بیم یو مؤمنت د 15 kip.ft پلی شوي. محصله قوی چی ستیریس ددی کیریږونکی مؤمنت له امله د بیم په پورتنی فلنج A او بنکته فلنج B کی جوړه وی معلوم کړي.

س 6-61. پر بیم یو مؤمنت د $15 \text{ kip}\cdot\text{ft}$ پلی شوي. فیصدی ددی مؤمنت چی د بیم ویب (web) یی جوړه وی معلوم کړي.



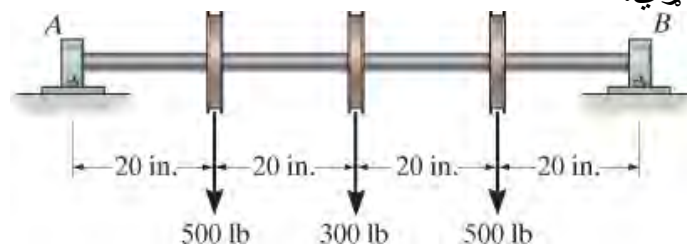
س 6-60/61

س 6-62. پر بیم یو مؤمنت $M = 40 \text{ kN}\cdot\text{m}$ پلی شوي. د کیریدونکی مؤمنت ستریس په ټکیو A او B کی مشخص کړي. او پایلی یی په یوه عنصر په حجمی توگه په هر یو د دی ټکیو کی سکیچ کړي.



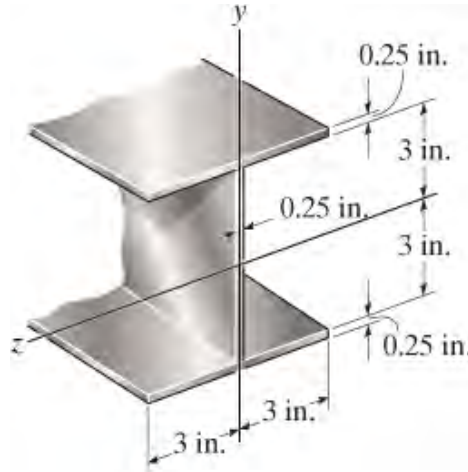
س 6-62

س 6-63. د فولادو شافت دوه انچه (2 in) قطر لری. په A او B کی همواره جورنال بیرینگونه د شافت لپاره اتکاء لری. دا اتکاو یی تنها عمودی ریکشنونه جوړه ولی شي. په شافت کی مطلق اعظمی ستریس د کیریدونکی مؤمنت له امله وټاکي. په شافت باندی په انخور کی بنودل شوی د پولی لودونو عمل کړي.



س 6-63

س 6-64* بیم له فولادو جوړ شوی، او منل شوی سټریس یې $s_{\text{allow}} = 24 \text{ ksi}$ دی. اعظمی داخلی مؤمنت چی بیم وکړای شی تحمل یې کړی په دی دو حالتونو کی و ټاکی (a) په محور z او (b) په محور y .



س 6-64

س 6-65 یو شافت چی بیضوی غوڅه برخه لری له پالیمر (polymer) جوړ شوي. که چیری داخلی مؤمنت $M = 50 \text{ N.m}$ وی اعظمی سټریس د کیردونکی مؤمنت له امله په موادو کی وټاکی (a) له کړیدو (flexure) فورمول کار واخلي، او انرشیایي مؤمنت معادله مساوی ده په

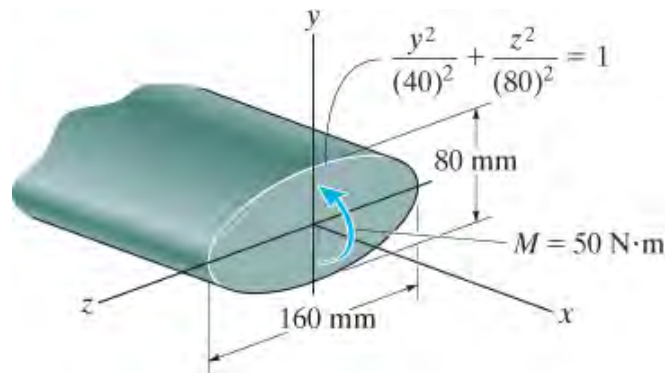
$$I_z = \frac{1}{4} \pi (0.08 \text{ m})(0.04 \text{ m})^3$$

(b) له انتیگریشن کار واخلي. دری اړخیزه لید د سټریس ویش په غوڅه برخه سکیچ کړي. دلته

$$I_x = \frac{1}{4} \pi (0.08 \text{ m})(0.04 \text{ m})^3.$$

س 6-66 سوال 6-65 حل کړی که چیری مؤمنت $M = 50 \text{ N.m}$ د x محور پر خای په

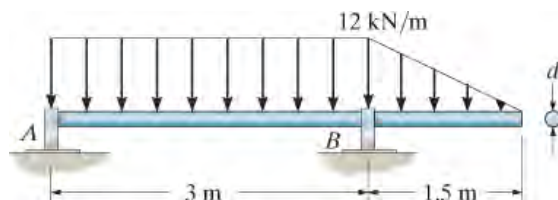
$$I_y = \frac{1}{4} \pi (0.04 \text{ m})(0.08 \text{ m})^3.$$



س 6-65/66

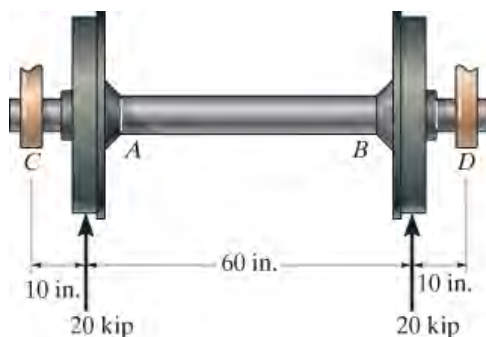
س 6-67. د یو شافت لپاره همواره جورنال بیرینگونه په A او B کی اتکاء جوړه وی. دا اتکاوې تنها عمودی ریکشنونه په شافت باندې پلي کولای شي. که چیری د شافت قطر $d = 90 \text{ mm}$ وی په بیم (شافت) کی مطلق اعظمی ستریس د کیریدونکی مؤمنت له امله وټاکي. دري اړخیزه لید د ستریس ویش په غوڅه برخه سکچ کړي.

س 6-68*. د یو شافت لپاره همواره جورنال بیرینگونه په A او B کی اتکاء جوړه وی. دا اتکاوې تنها عمودی ریکشنونه په شافت باندې پلي کولای شي. په بیم کی مطلق اعظمی ستریس د کیریدونکی مؤمنت له امله وټاکي. که د منلو وړ ستریس $s_{\text{allow}} = 180 \text{ MPa}$ وی تر ټولو کوچنی قطر د شافت پیدا کړي.



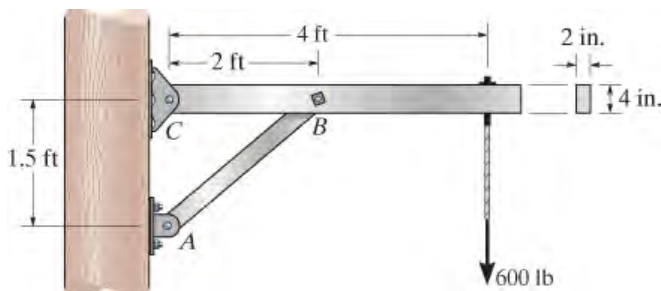
س 6-67/68

س 6-69. د بار وړونکی موټر ټایرونه (wheel) په اکسل باندې 20 kips بار پلي کوي. که چیری جورنال بیرینگونه په C او D کی اتکاء ورته جوړه کړي، د مؤمنت اعظمی ستریس د اکسل په منځنی برخه کی مشخص کړي، د اکسل قطر 5.5 in دی.



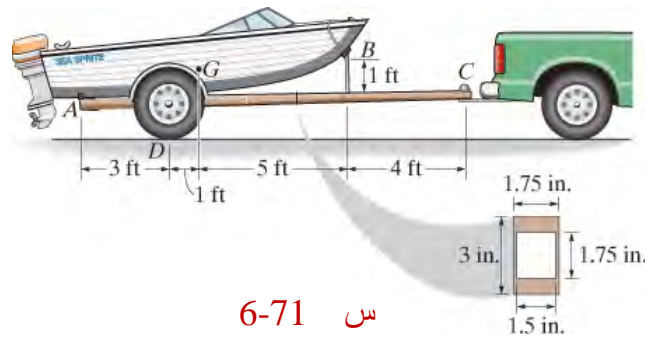
س 6-69

س 6-70. سترت چی په یوه پایه وصل دی، یو 600 lb بار ورباندې پلي شوي. مطلق اعظمی ستریس د مؤمنت له امله په سترت کی وټاکي. A ، B او C د پین په توگه فرض شوي دی.



س 6-70

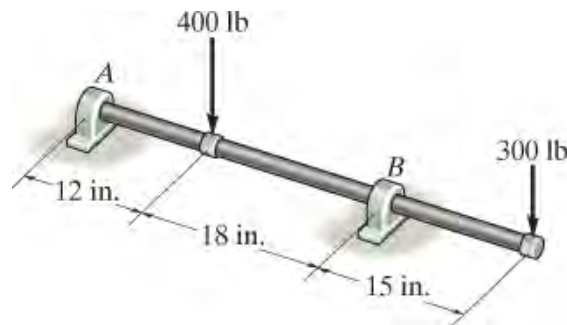
س 6-71. دا لاندی کبنتي 2300 lb وزن لري او مرکز ثقل يي په G کی دی. دا کبنتی په ټکی A کی هوار تماس لری او په B کی پن اتکاء لری. مطلق اعظمی ستريس په سترت کی پیدا کړي. د ټریلر سترت په C کی پن اتکاء لری، او د یوه بکس بیم شکل لری چی ابعاد يي په لاندی انځور کی بنودل شوي.



س 6-71

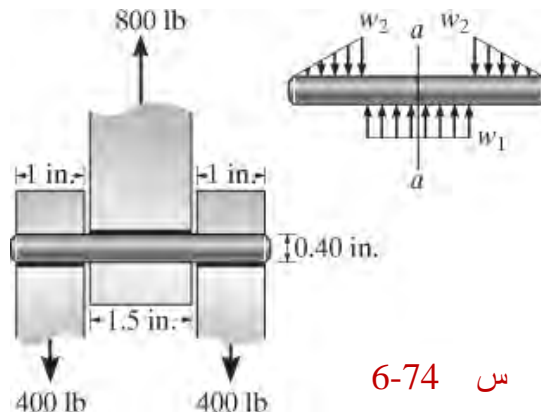
س 6-72*. مطلق اعظمی ستريس د مؤمنت له امله په 1.5 in قطر شافت کی وټاکي. شافت ترست بیرینگ په A کی او جورنال بیرینگ په B کی اتکاوی لری.

س 6-73. تر ټولو کوچنی د منلو وړ قطر د شافت لپاره وټاکي. شافت ترست بیرینگ په A کی او جورنال بیرینگ په B کی اتکاوی لری. د منلو وړ ستريس د مؤمنت له امله $S_{allow} = 22$ ksi دی.



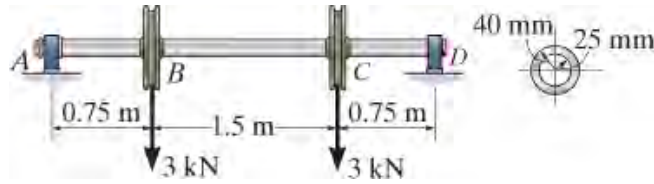
س 6-72/73

س 6-74. له یوه پن کار اخیستل شوی تر څو دری غړی (لینکونه) وصل کړي. د اغوستلو له امله د بار په پورتنی او بنکته برخو د پن ویشل شوی، څنگه چی په آزاد ډایگرام کی بنودل شوي. که چیری د پن قطر 0.40 in وی اعظمی ستريس د مؤمنت له امله د پن $a-a$ په غوڅه برخه کی چی د پین منځ دی معلوم کړي. د حل لپاره دا اړین ده چی اول تاسو د بار ارزښتونه w_1 او w_2 وټاکي.



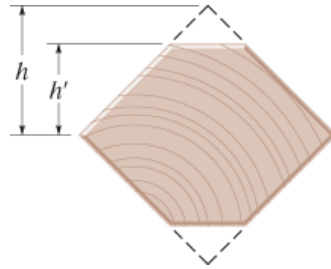
س 6-74

س 6-75. د یو شافت لپاره چی ترست بیرینگ په A او جورنال بیرینگ په D کی اتکاو لری او د شافت غوڅه برخه په لاندی انځور کی بنودل شوي، مطلق اعظمی ستریس د مؤمنت له امله په شافت کی و ټاکي.



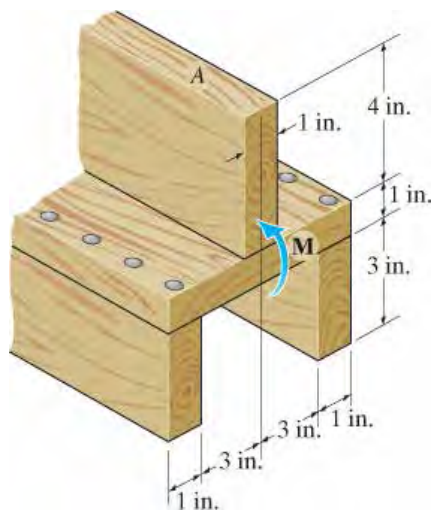
س 6-75

س *6-76. د لرگیو بیم چی په اصل کی مربع غوڅه برخه لري. که چیری دا په لاندی شکل وبنودل شي، د h ابعاد داسی وټاکي تر څو د امکان تر حده د اعظمی مؤمنت توان ولري. په کوم حد دا مؤمنت لوی دی له هغه بیم چی پورته یا کښته برخه یې هواره نشی.



س 6-76

س 6-77. که په بیم یو داخلی مؤمنت $M = 2 \text{ kip.ft}$ پلی شي اعظمی کششي او تیلوهونکی ستریس چی په بیم کی جوړیږي معلوم کړي. د کږیدونکی ستریس ویش په غوڅه برخه رسم کړی.



س 6-78. که منل شوی کششي او تیلوهونکی ستریس په بیم $(S_{allow})_t = 2 \text{ ksi}$ او

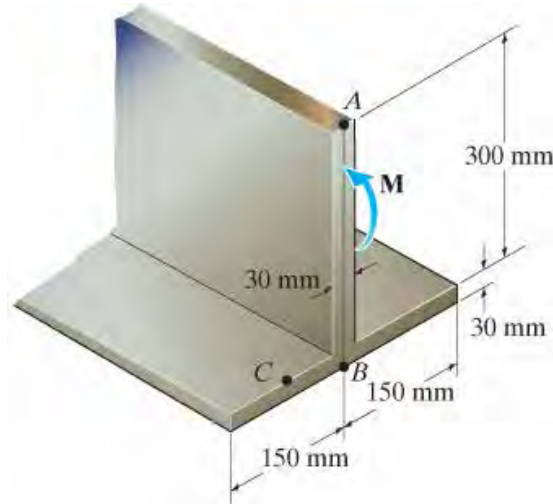
$(S_{allow})_c = 3 \text{ ksi}$ په ترتیب سره وی، اعظمی مؤمنت M چی په غوڅه پلی کیدی شي وټاکي.

س 6-79. که چیری په یوه بیم یو داخلی مؤمنت $M = 2 \text{ kip.ft}$ پلی شي محصله قوه ددی کږیدونکی ستریس ویش له کبله چی په پورتنی تخته جوړیږي معلوم کړي.

س 6-77/78/79

س 6-80* . که چیری په بیم یو مؤمنت $M=100 \text{ kN.m}$ پلی شی کږیدونکی ستریس د بیم په A ، B او C ټکیو کی معلوم کړي . اود ستریس ویش په غوڅه برخه رسم کړی .

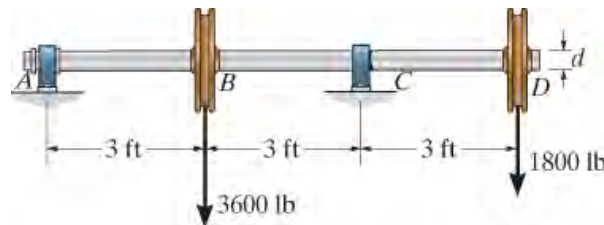
س 6-81 . یو بیم له یو داسی موادو جوړ شوی چی منل شوی کششي او تیلوهونکی ستریسونه یې $(s_{\text{allow}})_t = 125 \text{ MPa}$ او $(s_{\text{allow}})_c = 1560 \text{ MPa}$ په ترتیب سره وی ، اعظمی مؤمنت M چی په بیم پلی کیدی شی وټاکي .



س 6-80/81

س 6-82 . د یو شافت لپاره یو هواره ترست بیرینگ په A او هواره جورنال بیرینگ په C کی اتکاء جوړه وی . د شافت قطر $d = 3 \text{ in.}$ دی ، مطلق اعظمی ستریس د مؤمنت له امله په شافت کی و ټاکي .

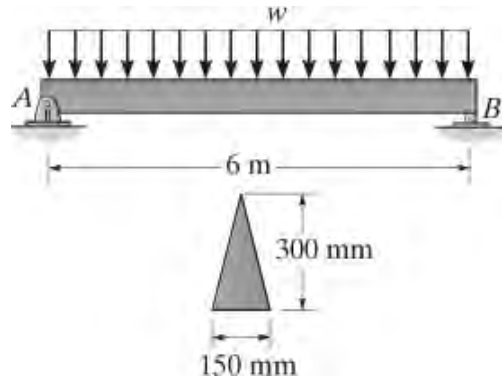
س 6-83 . د یو شافت لپاره یو هواره ترست بیرینگ په A او هواره جورنال بیرینگ په C کی اتکاء جوړه وی . که د موادو د منلو وړ ستریس د مؤمنت له امله $s_{\text{allow}} = 24 \text{ ksi}$ وی تر ټولو کوچنی قطر d د شافت په $1/16 \text{ in}$ حد کی پیدا کړي .



س 6-83

س 6-84* . د ویشل شوی بار شدت $w = 15 \text{ kN/m}$ په دی لاندی بیم دی . مطلق اعظمی کششی او کمپریسو ستریس په بیم کی معلوم کړي.

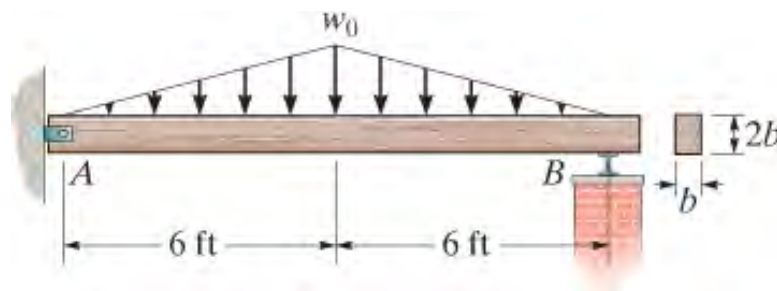
س 6-85 . که د منلو وړ ستریس د مؤمنت له امله $s_{\text{allow}} = 150 \text{ MPa}$ وی، د ویشل شوی بار اعظمی شدت w په بیم باندی وټاکي.



س 6-84/65

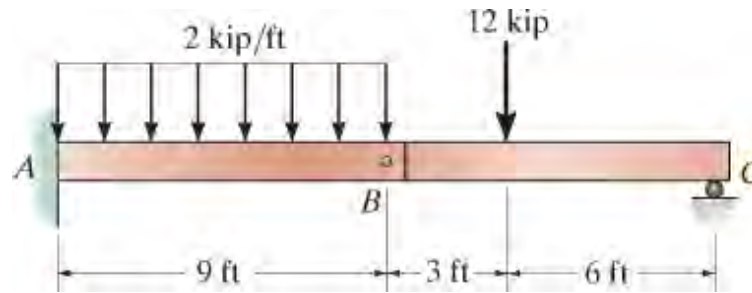
س 6-86 . په لاندی بیم یو مثلثي شکل ویشل شوی بار چی اعظمی شدت یی $w_0 = 300 \text{ lb/ft}$ دی پلی شوی. که د منلو وړ ستریس د مؤمنت له امله $s_{\text{allow}} = 1.40 \text{ ksi}$ وی، د غوخی برخی ضلع b اندازه په حدود د $1/8 \text{ in}$ کی وټاکي. اتکاء په A کی پن او B کی رولر دی.

س 6-87 . دا لاندی بیم یو مستطیلی غوڅه برخه لری او ضلع $b = 4 \text{ in}$ ده. که چیری د منلو وړ ستریس د مؤمنت له امله $s_{\text{allow}} = 1.40 \text{ ksi}$ وی، اعظمی شدت w_0 د مستطیلی ویشل شوی بار معلوم کړي.



س 6-86/87

س 6-88* مطلق اعظمی ستیریس د مؤمنت له امله په بیم کی وټاکی. هر ه برخه مستطیلی غوڅه برخه لری چی ټیټه ضلع یی 4 in. او لوړوالي یی 12 in. دی.



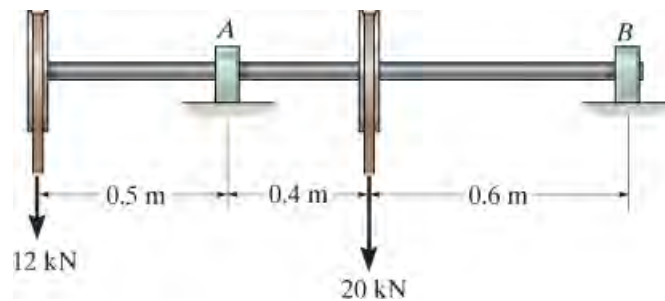
س 6-88

س 6-89 که چیری هغه مرکب بیم په سوال 6-42 کی یو مربع غوڅه برخه ولری او د هری ضلع اندازه یی a وی، او که منل شوی ستیریس د مؤمنت له امله $s_{allow} = 150 \text{ MPa}$ وی د ضلع a ارزښت پیدا کړی.

س 6-90 که چیری هغه بیم په سوال 6-28 کی یو مستطیل غوڅه برخه ولری چی بر یی b او ارتفاع یی h وی، مطلق اعظمی ستیریس د مؤمنت له امله په بیم کی وټاکی.

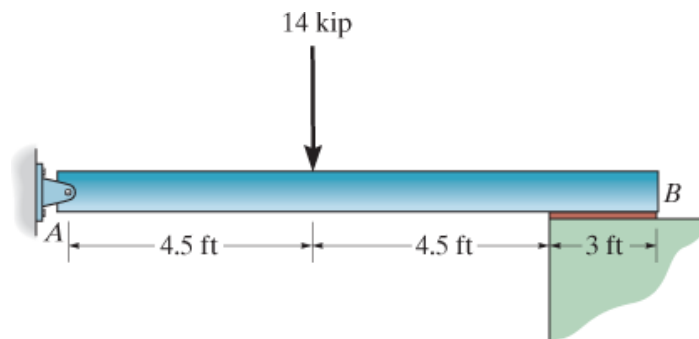
س 6-91 په لاندی شافت کی چی 80-mm قطر لری مطلق اعظمی ستیریس د مؤمنت له امله وټاکی. په دی شافت باندی بنودل شوی متمرکز بار عمل کړی دی. یو جورنال بیرینگ په A او ترست بیرینگ په B کی اتکاء جوړه وی.

س 6-92* د شافت لپاره تر ټولو کوچنی منل شوی قطر په حدود د میلی متر کی معلوم کړی. په دی شافت بنودل شوی متمرکز بار پلی شوی. یو جورنال بیرینگ په A او ترست بیرینگ په B کی اتکاء جوړه وی. د منلو وړ ستیریس د مؤمنت له امله $s_{allow} = 150 \text{ MPa}$ دی.



س 6-91/92

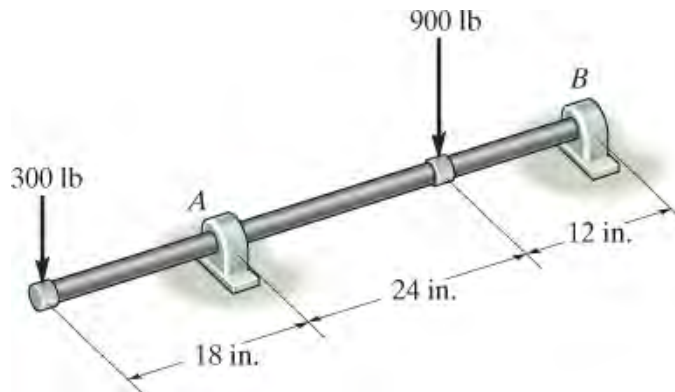
س 6-93. مطلق اعظمی ستیریس په بیم کی د مؤمنت له امله معلوم کړي، اتکاء په B کی مساوی ویشل شوی ریکشن د بیم لپاره جوړه وی. بیم مستطیلی غوڅه برخه لری د تیتی ضلع اندازه یی 3 in. او ارتفاع یی 6 in. دی.



س 6-93

س 6-94. مطلق اعظمی ستیریس په بیم کی د مؤمنت له امله معلوم کړي. د بیم قطر 2-in. دی. یو جورنال بیرینگ په A او ترست بیرینگ په B کی اتکاء جوړه وی.

س 6-95. د شافت لپاره تر ټولو کوچنی منل شوی قطر په حدود د 1/8 in. کی معلوم کړي. یو جورنال بیرینگ په A او ترست بیرینگ په B کی اتکاء جوړه وی. د منلو وړ ستیریس د مؤمنت له امله $s_{allow} = 22 \text{ ksi}$ دی.

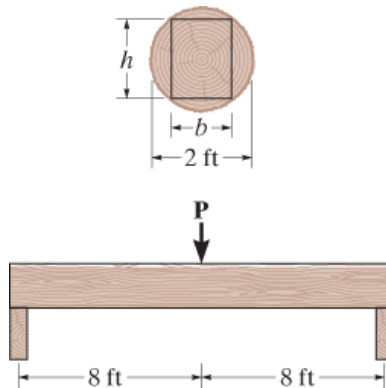


س 6-94/95

س 6-96*. یو تیر (log) چی قطر یی 2 ft دی داسی قطع کیري چی د یو بیم لپاره مستطیلی غوڅه برخه ورځینی جوړه شي، او دا بیم به ساده اتکاوی ولري. که چیری منل شوی

ستریس د مؤمنت له امله $s_{\text{allow}} = 8 \text{ ksi}$ وی اړوند ضلع b او ارتفاع h د بیم داسی معلوم کړی تر څو تر ټولو لوی بار ملا تر وکړي.

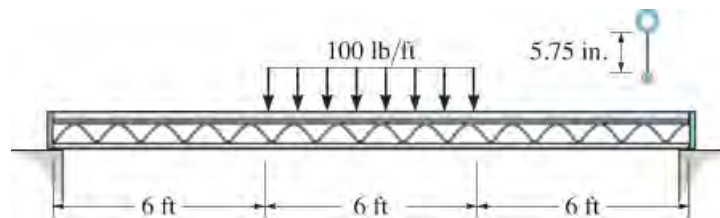
س 6-97. یو تیر (log) چی قطر یې 2 ft دی داسی قطع کیري چی د یو بیم لپاره مستطیلی غوڅه برخه ورځینی جوړه شي، او دا بیم به ساده اتکاوی ولري. که چیری مثل شوی ستریس د مؤمنت له امله $s_{\text{allow}} = 8 \text{ ksi}$ وی لوی بار P چی بیم باندی پلی کیدی شي وټاکي. ضلع $b = 8 \text{ in.}$



س 6-96/97

س 6-98. که چیری هغه بیم په سوال 6-3 کی یو مستطیل غوڅه برخه ولري چی بر یې $b = 8 \text{ in.}$ او ارتفاع یې $h = 16 \text{ in.}$ وی، مطلق اعظمی ستریس د مؤمنت له امله په بیم کی وټاکي.

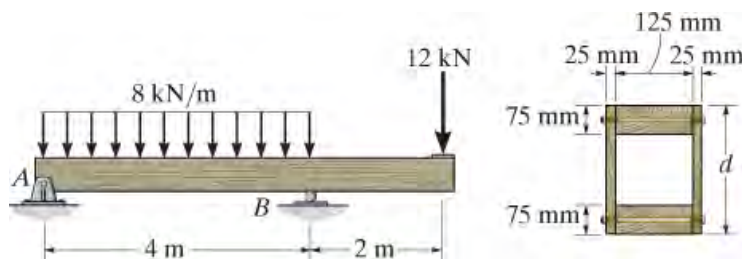
س 6-99. په دی ساده ترس یو مرکزی ویشل شوی بار پلی شوی. د دایگنل لیسینگ (diagonal lacing) وزن د حساب وړ نه دی، مطلق اعظمی ستریس د مؤمنت له امله په ترس کی معلوم کړي. پورتنی غری یو پایپ دی چی بهرنی قطر یې 1 in. او ضخامت یې $3/16 \text{ in.}$ دی، او لاندی غری یو ډک راد دی چی $1/2 \text{ in.}$ قطر لري.



س 6-99

س 6-100* . که $d = 450 \text{ mm}$ ، مطلق اعظمی ستیریس د مؤمنت له امله په وتلی (overhang) برخه د بیم کی معلوم کړي.

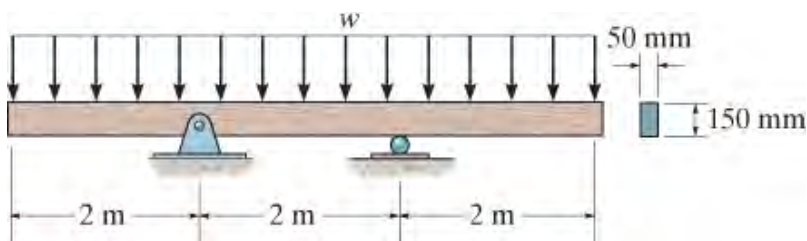
س 6-101 . که منل شوی ستیریس $s_{\text{allow}} = 6 \text{ MPa}$ وی، اصغری اندازه د d په حدود د میلی متر کی د بیم غوڅی برخی ساحی لپاره معلوم کړي.



س 6-100/101

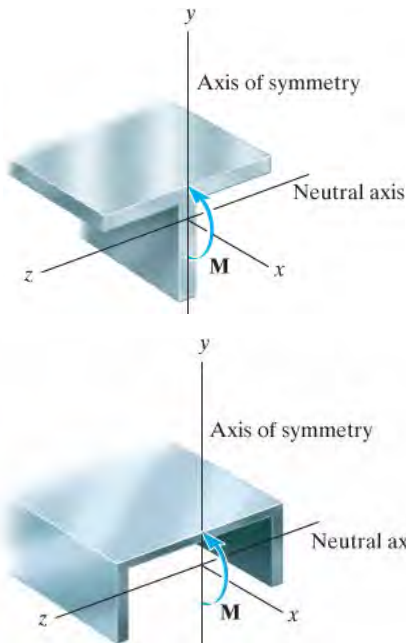
س 6-102 . دا لاندی بیم مستطیلی غوڅه برخه لري. د وینیل شوی بار اعظمی ارزښت w داسی معلوم کړی تر څو د مؤمنت ستیریس په بیم کی له $s_{\text{max}} = 10 \text{ MPa}$ زیات نشی.

س 6-103 . دا لاندی بیم مستطیلی غوڅه برخه لري. که چیری $w = 1 \text{ kN/m}$ وی اعظمی ستیریس د مؤمنت له امله په بیم کی معلوم کړي، او هم په غوڅه برخه باندی د ستیریس وینس سکیچ کړي.



س 6-102/103

6.5 نامتناظر کوروالي (UNSYMMETRIC BENDING)



کله چې د کوروالي فورمول (flexure formula) رامینځته شو ، مور اړتیا درلوده چې د غوڅی برخې ساحه په یو محور همغږي ولري او د مؤمنت محصله M په صفری محور سره عمل وکړي. د دې لپاره دا قضیه په "T" او چینل برخې په انځور 6-29 کې بنودل شوي. په دې برخه کې به مور وښایو چې څنگه د کوروالي فورمول پلي شي په هغه بيم چې غوڅه برخه يي هر شکل ولری او یا هغه بيم چې مؤمنت په هر لوری ورباندې پلي کیدی شي.

مؤمنت په اصلی محور پلي شوي (Moment Applied)

(About Principal Axis). یو داسی بيم ته پام وکړئ چې غوڅه برخه يي غیر متناسب شکل لري ، لکه هغه چې په انځور 6-30a کې بنودل شوي. څنگه مو چې په برخه 6.4 کې ولیدل ، د

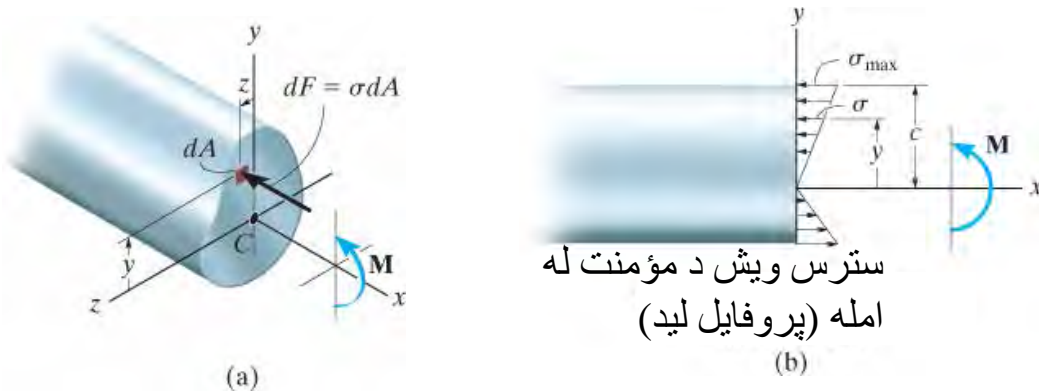
انځور 6-29

بني لاس کوردینات x, y, z داسی تاسیس شوی وه ، چې مرکز يي په مرکز ثقل C د غوڅی برخې کې موقعیت لری، او محصله مؤمنت M په مثبت $+z$ محور عمل کوي. دا اړینه ده چې د ستریس ویش محصله په ټوله ساحه د غوڅی برخه کې صفر وی. همدارنگه، د ستریس ویش په y محور باید صفر وي، او مؤمنت په z محور باید د M سره مساوي وي. دا درې حالتونه په ریاضي ډول داسی څرگند کیدی شي ، که چیرې مور په یوه وړه ساحه dA چې په $(0, y, z)$ کې موقعیت لري، او یوه قوه ورباندې عمل کوي انځور 6-30a وگوري. څرنګه چې دا قوه $dF = s dA$ دی، مور لرو

$$F_R = \Sigma F_x; \quad 0 = - \int_A \sigma dA \quad (6-14)$$

$$(M_R)_y = \Sigma M_y; \quad 0 = - \int_A z \sigma dA \quad (6-15)$$

$$(M_R)_z = \Sigma M_z; \quad M = \int_A y \sigma dA \quad (6-16)$$



انځور 6-30



لکه څنګه چې په برخه 6.4 کې بنودل شوي، معادله 6-14 مطمئن شوی ځکه چې د z محور د ساحی له ثقل مرکز تیريږي. همدارنګه، ځکه چې د z محور د غوڅی برخې د صفری محور استازیتوب کوي، او نارمل سټریس په خطی ډول توپیر لري له صفر په صفری محور تر اعظمي حد پورې په $|y| = c$ ، انځور 6-30b وګوري. له همدې امله د سټریس ویش د $S = S_{max} (y/c)$ - لخوا تعریف شوی. کله چې دا مساوات په معادله

د اکثر ودانیو په چټونو کې د لورضخامت وسپنیز غړی چې Z غوڅه برخه لری کار اخیستل کيږي تر څو د مؤمنت بار تحمل کړي. د ډیزاین په مرحله کې اړین ده چې ددی غوڅو برخو انرشیایي مؤمنت په اصلی محور پیدا شي.

6-16 کی مدغم شي، دا د کوروالي فورمول ته لاره هواروي او لیکلی شو $S_{max} = Mc/I$. کله چې دا په معادله 6-15 کی ځای په ځای شي مور تر لاسه کوو

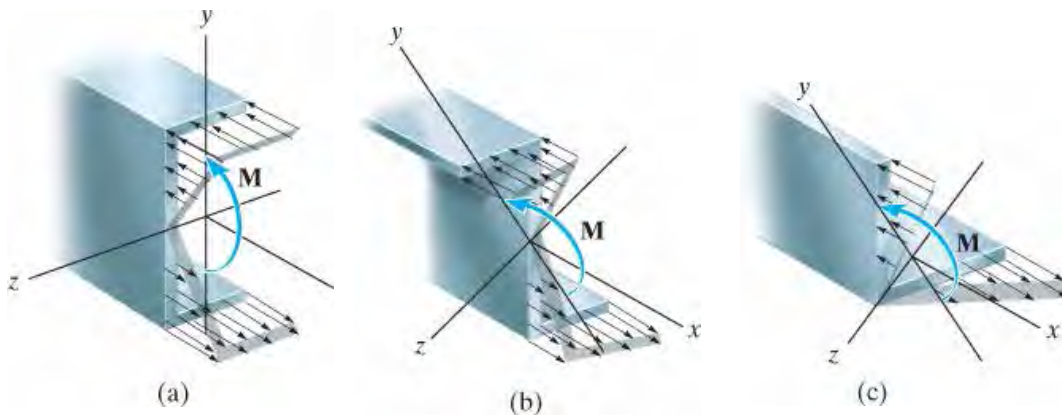
$$0 = \frac{-\sigma_{max}}{c} \int_A yz \, dA$$

دی ته اړین دی

$$\int_A yz \, dA = 0$$

دا انټیګرال د ساحي لپاره په نامه د انرشیایي محصول (*product of inertia*) بلل کيږي. لکه څنګه چې په ضمیمه A کی اشاره شوي، دا به واقعا صفر وي په دې شرط چې د y او z محورونه د ساحي لپاره د انرشیایي اصلي محورونو (*principal axis of inertia*) په توګه غوره شوی وی. د

يو اختياري شکل ساحی لپاره ، لکه په انځور 6-30a کې ، د اصلي محورونو لور ، د انرشيا بدلون معادلي په کارولو سره چې په ضميمه A برخه 4.4 کې تشریح شوی ، تل ټاکل کیدی شي . که چيرې ساحه د همغبري محور ولري، په هر صورت، اصلي محورونه په آسانی سره تاسيس کیدی شي ځکه چې دوی تل موقعیت لری د متناظر محور په لور او په هغې سره عمود وي . د مثال په توگه، هغه غري په پام کې ونیسئ چې په انځور 6-31 کې بنودل شوي. په دې هر یوه قضیې کې ، y او z د غوڅی برخې لپاره د انرشيا اصلي محورونو ، استازیتوب کوي. او په انځور 6-31a کې اصلی محورونه موقعیت په متناظر حالت کې دی او په انځورونو 6-31b او 6-31c د دو موقعیت په هغه میتود چې په ضميمه A کې تعريف شوی په کارولو سره يي ټاکل کیري. ځکه چې M یوازي د یو اصلي محور په اړه کارول کیري (z) محور ، د ستریس ویش یو خطي توپیر لري، او د کوروالي فورمول څخه، $s = -My/I_z$ ، ټاکل کیري لکه څنگه چې د هرې قضیې لپاره بنودل شوي .



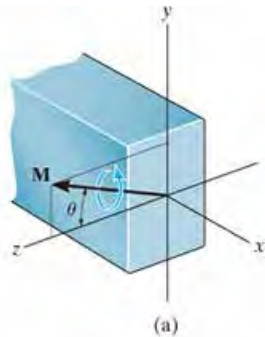
انځور 6-31

مؤمنت په خپله خوبنه پلي شوي (Moment Arbitrarily Applied). ځینې وختونه یو غری کیدی شي داسې بار شوي وی چې M په یو اصلي محورونو د غوڅی برخې عمل نه کوي . کله چې دا پېښ شي، لومړی باید د مؤمنت د اجزاو لارښود په اصلي محورونو سره و شي، بیا د کوروالي فورمول سره د هر جز نارمل ستریس په اصلي محورونو وټاکل شي. په نهایت کې، د سوپرپوزیشن (superposition) د اصولو په کارولو سره، په نقطه کې پایله نارمل ستریس ټاکل کیدی شي.

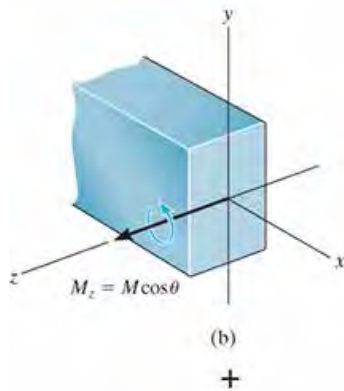
د دې کړنلارې رسمي کولو لپاره، یو بیم په پام کې ونیسئ چې مستطیل غوڅه برخه لري او مؤمنت M ، انځور 6-32a، چیرته چې M د اعظمي اصلی محور z سره یو زاویه q جوړوي، د

بیلگي په توگه، د غوڅی برخی اعظمی انرشیايي مؤمنت محور. مور به فرض کړو چې زاویه q ، مثبت ده کله چې دا د z محور څخه د $+y$ محور لوري ته لیردول کيږي.

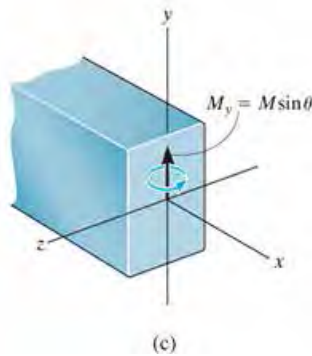
اوس د M اجزای پیدا کوو، او لرو $M_z = M \cos q$ او $M_y = M \sin q$ ، انځورونه 6-36b او 6-32c وگوري. د نارمل ستریس ویش چې M او د هغی اجزای M_z او M_y جوړه وي په انځورونو 6-32d او 6-32e، او 6-32f کی بنودل شوي. او چیرته داسې انگیرل کيږي چې $(S_x)_{\max} > (S'_x)_{\max}$. د لید معاینې په واسطه، اعظمی کششی او کمپرسو ستریسونه $[(S_x)_{\max} + (S'_x)_{\max}]$ د غوڅی برخی په دوه مخالفو کونجونو کې واقع کيږي، انځور 6-32d وگوري.



(a)



(b)



(c)

$$\sigma = -\frac{M_z y}{I_z} + \frac{M_y z}{I_y} \quad (6-17)$$

کله چې د کوروالي فورمول په هر جز د مؤمنت پلي کړو، انځورونه 6-32b او 6-32c، او بیا پایلې په الجبری صورت یو ځای کړو محصله د نارمل ستریس په هر ټکی د غوڅی برخی کی، انځور 6-32d، دی. له همدی امله

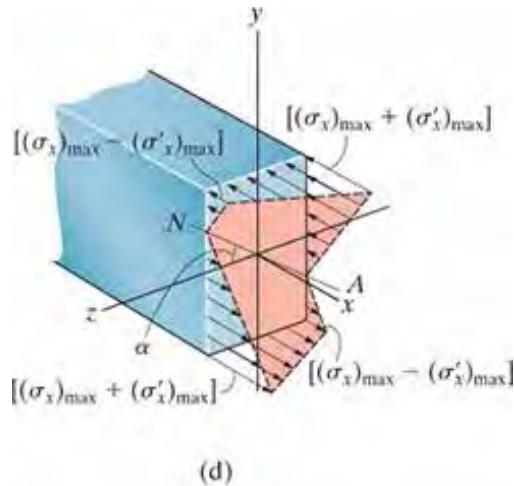
دلته،

$S =$ نارمل ستریس په یو ټکی کی. کششی ستریس مثبت او کمپرسو ستریس منفی دي.

$y, z =$ کوردینات د ټکی، اندازه کيږی له بني لاس کوردینات سیستم x, y, z کوم چې مرکز یې د غوڅی برخی ساحې په مرکز ثقل کی دی. x محور د غوڅی برخی په وتلي لور لید لري، y او z محورونه په ترتیب سره د اصلی محورونو اصغری او اعظمی انرشیايي مؤمنت د ساحې استازیتوب کوي.

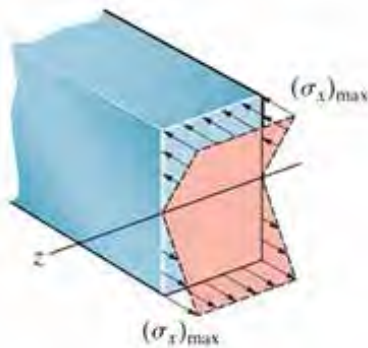
$M_z, M_y =$ محصله د داخلی مؤمنت د اجزاوو، لارښود (directed) یی په امتداد د اصلی محورونو اعظمی z او اصغری y دي. دوی مثبت دی که چیری لیدی په z او y محورونو وی، که نه دوی په منفي وی. او یا په بل عبارت، $M_y = M \sin q$ او $M_z = M \cos q$. دلته د q زاویه مثبت اندازه کیری له z په لور د y محور.

$I_z, I_y =$ اعظمی او اصغری اصلی انرشیايي مؤمنت په z او y محورونو دي.



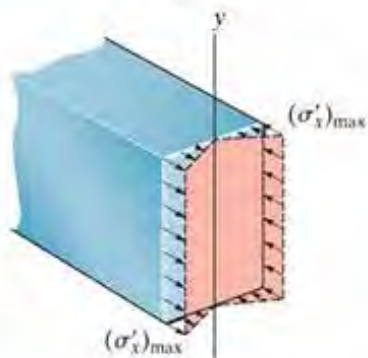
(d)

||



(e)

+



(f)

د صفري محور لور (Orientation of the Neutral Axis)

هغه معادله چی صفری محور

میلان a تعریف کوي، انځور 6-32d، د معادلی 6-

17 په پلي کولو سره په تکیو y, z کله چی $s = 0$ وی.

ځکه په صفری محور د نارمل سټریس ارزښت صفر

دی. مور لرو

$$y = \frac{M_y I_z}{M_z I_y} z$$

ځکه چی $M_z = M \cos q$ او $M_y = M \sin q$ ، بیا لرو

$$y = \left(\frac{I_z}{I_y} \tan \theta \right) z \quad (6-18)$$

ځکه میلان ددی کرښي عبارت دی په $a = y/z$ ، نو لرو

$$\tan \alpha = \frac{I_z}{I_y} \tan \theta \quad (6-19)$$

انځور 6-32 (تکرار)

مهم ټکي

(IMPORTANT POINTS)

- د کوروالي فورمول يوازې هغه وخت پلي کيدی شي کله چې مؤمنت په هغه محورونو پلي وی چه دا محورونه د غوڅی برخي د اصلی انرشيايي محورونو استازيتوب وکړي. د دی محورونو مرکز په ثقل مرکز کی، او ليدیي په امتداد د همغږي محور، که چيری يو شتون ولری، او د هغې سره عمودی دي.
- که چيری مؤمنت په ځيني خپلسري محور پلي شوی وی ، پدی حالت کی بايد د مؤمنت اجزاوی په امتداد د اصلی محورونو معلومی شي. د هر جز ستريس په غوښتل شوي ټکی کی د سوپرپوزيشن په طريقه محاسبه کيدی شي.

مثالونه

مثال 6.15

په يو مستطیلی غوڅی برخه چی په انځور 6-33a کی بنودل شوی يو مؤمنت $M = 12 \text{ kN}\cdot\text{m}$ پلي شوی. په هر کنج د غوڅی برخي کی نارمل ستريس وټاکي او د صفری محور سمت او ميلان (Orientation) پيدا کړي. .

حل (SOLUTION)

د داخلی مؤمنت اجزاوي (Internal Moment Components)

په ليدو سره داسی معلوميری چی y او z محورونه استازيتوب د اصلی انرشيايي محورونو کوي خکه چی دوی د غوڅی برخي د همغږی محورونه دی. لکه څنگه چی اړتيا ده مور د z محور اصلی محور د اعظمی انرشيايي مؤمنت و ټاکه. مؤمنت په اجزاوو ، y او z تجزيه کوو او لرو

$$M_y = -\frac{4}{5}(12 \text{ kN} \cdot \text{m}) = -9.60 \text{ kN} \cdot \text{m}$$

$$M_z = \frac{3}{5}(12 \text{ kN} \cdot \text{m}) = 7.20 \text{ kN} \cdot \text{m}$$

د برخی مشخصات (Section Properties)

انرشیایی مؤمتونه په y او z محورونو عبارت دی په

$$I_y = \frac{1}{12}(0.4 \text{ m})(0.2 \text{ m})^3 = 0.2667(10^{-3}) \text{ m}^4$$

$$I_z = \frac{1}{12}(0.2 \text{ m})(0.4 \text{ m})^3 = 1.067(10^{-3}) \text{ m}^4$$

د مؤمت ستریسونه (Bending Stresses) . په دی توگه

$$\sigma = -\frac{M_z y}{I_z} + \frac{M_y z}{I_y}$$

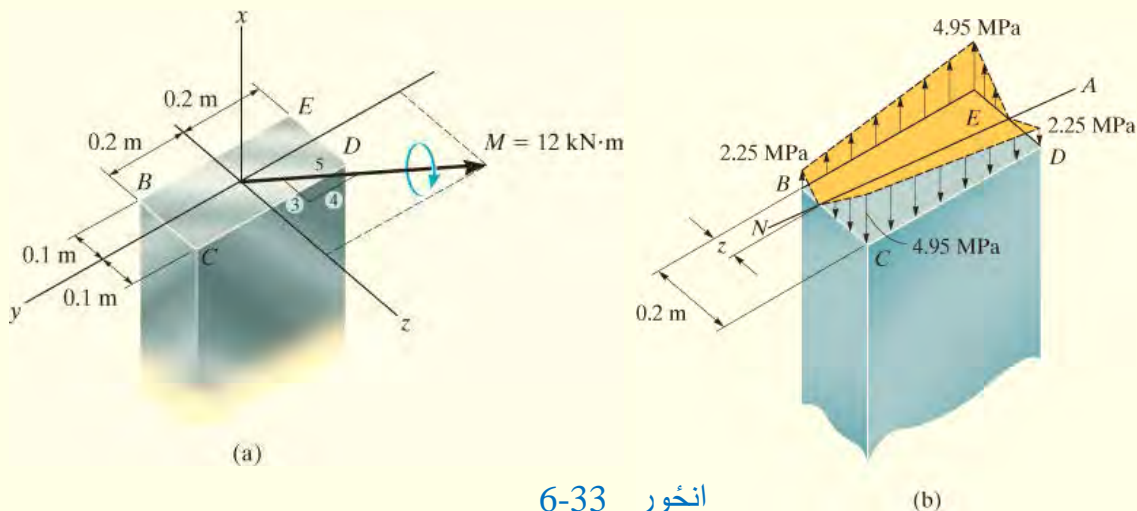
$$\sigma_B = -\frac{7.20(10^3) \text{ N} \cdot \text{m}(0.2 \text{ m})}{1.067(10^{-3}) \text{ m}^4} + \frac{-9.60(10^3) \text{ N} \cdot \text{m}(-0.1 \text{ m})}{0.2667(10^{-3}) \text{ m}^4} = 2.25 \text{ MPa} \quad \text{Ans.}$$

$$\sigma_C = -\frac{7.20(10^3) \text{ N} \cdot \text{m}(0.2 \text{ m})}{1.067(10^{-3}) \text{ m}^4} + \frac{-9.60(10^3) \text{ N} \cdot \text{m}(0.1 \text{ m})}{0.2667(10^{-3}) \text{ m}^4} = -4.95 \text{ MPa} \quad \text{Ans.}$$

$$\sigma_D = -\frac{7.20(10^3) \text{ N} \cdot \text{m}(-0.2 \text{ m})}{1.067(10^{-3}) \text{ m}^4} + \frac{-9.60(10^3) \text{ N} \cdot \text{m}(0.1 \text{ m})}{0.2667(10^{-3}) \text{ m}^4} = -2.25 \text{ MPa} \quad \text{Ans.}$$

$$\sigma_E = -\frac{7.20(10^3) \text{ N} \cdot \text{m}(-0.2 \text{ m})}{1.067(10^{-3}) \text{ m}^4} + \frac{-9.60(10^3) \text{ N} \cdot \text{m}(-0.1 \text{ m})}{0.2667(10^{-3}) \text{ m}^4} = 4.95 \text{ MPa} \quad \text{Ans.}$$

په انځور 6-33b کی محصله د نارمل ستریسونو ویش سکچ شوي. ځکه چی سوپر پوزیشن عملی کیدی شي ، او ویش څنگه چی بنودل شوی خطی دی.



انځور 6-33

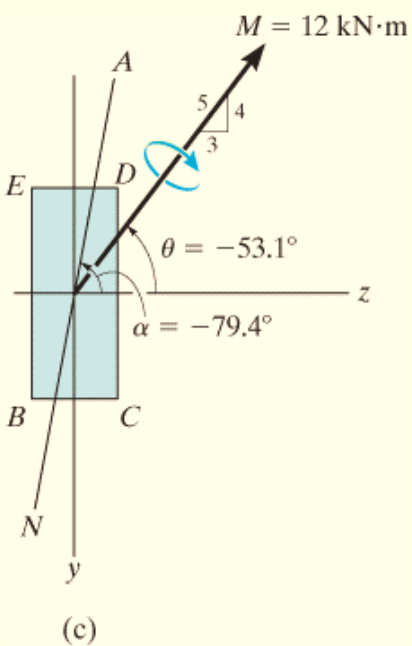
د صفری محور سمت اومیلان (Orientation of Neutral Axis)

موقعیت z د صفری محور (NA) ، انځور 6-33b، د تناسب له مخی پیدا کیدی شي. په څنډه BC کی مور اړتیا لرو

$$\frac{2.25 \text{ MPa}}{z} = \frac{4.95 \text{ MPa}}{(0.2 \text{ m} - z)}$$

$$0.450 - 2.25z = 4.95z$$

$$z = 0.0625 \text{ m}$$



په ورته ډول دا هم فاصله له D تر صفری محور ده.

مور کولی شو چی جهت د NA (صفری محور) په کارولو د معادلي 6-19 سره مشخص کړو، کوم چی د زاویه a ټاکلو لپاره کارول کیږي. هغه زاویه ده چی محوری له z سره یا د اعظمی اصلی محور سره جوړه وي. د مشخص شوی کنوانسیون مطابق، q باید له z + محور څخه د y + محور په لور اندازه شي. په پرتله کولو سره، په انځور 6-33c کی $q = -\tan^{-1} \frac{4}{3} = -53.1^\circ$ (یا $q = +306.9^\circ$) په دې توگه،

$$\tan \alpha = \frac{I_z}{I_y} \tan \theta$$

$$\tan \alpha = \frac{1.067(10^{-3}) \text{ m}^4}{0.2667(10^{-3}) \text{ m}^4} \tan(-53.1^\circ)$$

$$\alpha = -79.4^\circ$$

Ans.

دا پایلی په انځور 6-33c کی بنودل شوي. تاسو د z ارزښت چی پورته کی محاسبه شو کار واخلي، د غوڅی برخی هندسی معلومات کار واخلي، وگوری چی عین جواب حاصل کړي.

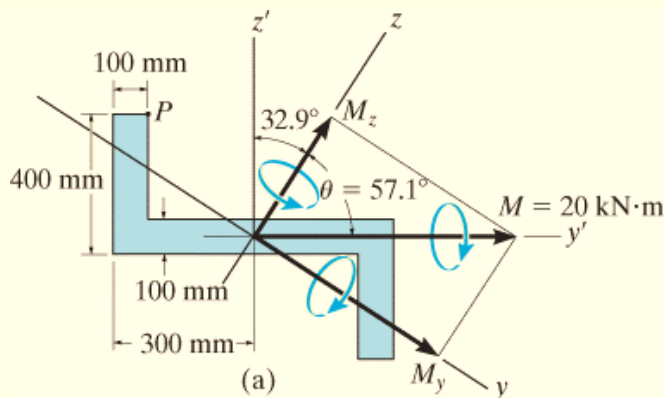
مثال 6.16

په انځور 6-34a کی یو Z غوڅه برخه بنودل شوي او په هغه باندی یو مؤمنت $M = 20 \text{ kN}\cdot\text{m}$ پلی شوي. د اصلی محورونو y او z سمتونه په انځور کی بنودل شوی، او هغوی اصغری او اعظمی اصلی انرشیايي مؤمنت، $I_y = 0.960 (10^{-3}) \text{ m}^4$ او $I_z = 7.54 (10^{-3}) \text{ m}^4$ په ترتیب* سره بنیایي. په ټکی P کی نارمل سټریس او د صفری محور سمت معلوم کړي.

حل (SOLUTION)

ددی لپاره چی معادله 6-19 و کارو دا مهمه ده چی د z محور باید د اعظمی انرشیايي مؤمنت استازیتوب وکړي. (ددی حالت لپاره زیاته ساحه له محور لری موقعیت لری.)

د داخلی مؤمنت اجزای (Internal Moment Components). له انځور 6-34a لرو



$$M_y = 20 \text{ kN} \cdot \text{m} \sin 57.1^\circ = 16.79 \text{ kN} \cdot \text{m}$$

$$M_z = 20 \text{ kN} \cdot \text{m} \cos 57.1^\circ = 10.86 \text{ kN} \cdot \text{m}$$

د کوریدو سټریسونه (Bending Stresses) . د y او z کوردیناتونه د ټکی P باید اول معلوم کړو. وگوری چی د y' او z' کوردیناتونه د ټکی P عبارت دی په $(-0.20 \text{ m}, 0.35 \text{ m})$. له هغه رنگ شوی مثلثونو چی په انځور 6-34b کی بنودل شوی مور لرو

$$y_P = -0.35 \sin 32.9^\circ - 0.2 \cos 32.9^\circ = -0.3580 \text{ m}$$

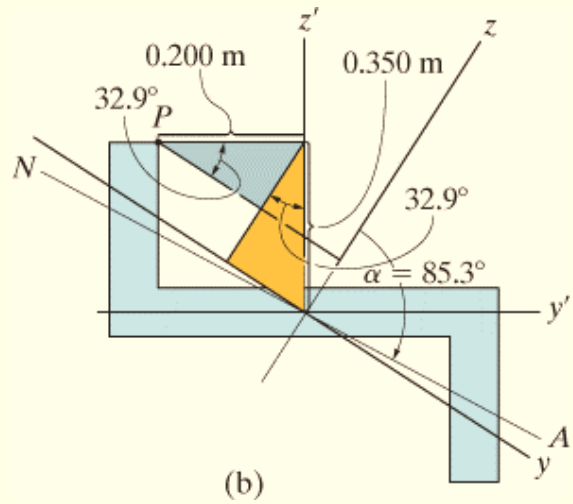
$$z_P = 0.35 \cos 32.9^\circ - 0.2 \sin 32.9^\circ = 0.1852 \text{ m}$$

له معادلي 6-17 کار اخلو

$$\begin{aligned} \sigma_P &= -\frac{M_z y_P}{I_z} + \frac{M_y z_P}{I_y} \\ &= -\frac{(10.86(10^3) \text{ N} \cdot \text{m})(-0.3580 \text{ m})}{7.54(10^{-3}) \text{ m}^4} + \frac{(16.79(10^3) \text{ N} \cdot \text{m})(0.1852 \text{ m})}{0.960(10^{-3}) \text{ m}^4} \\ &= 3.76 \text{ MPa} \end{aligned} \quad \text{Ans.}$$

د صفری محور سمت اومیلان (Orientation of Neutral Axis) .

له زاویي $\phi = 57.1^\circ$ په بین د M او z محور کی انځور 6-34a مور لرو



انځور 6-34

$$\tan \alpha = \left[\frac{7.54(10^{-3}) \text{ m}^4}{0.960(10^{-3}) \text{ m}^4} \right] \tan 57.1^\circ$$

$$\alpha = 85.3^\circ$$

Ans.

د صفری محور سمت په انځور 6-34b کی بنودل شوي.

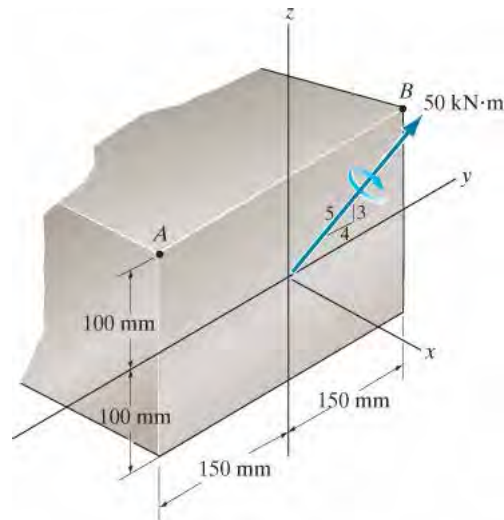
* دا ارزښتونه د ضمیمی A میتودونو په کارولو سره تر لاسه کیږي (مثال A.4 او A.5 وگوري)

بنسٹیز سوالونہ

(FUNDAMENTAL PROBLEMS)

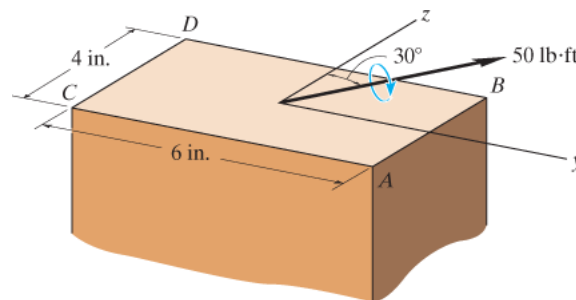
ب 6-14

پہ کنجونو A او B کی سٹریس د مؤمنت له امله و ټاکی. او د صفری محور سمت او میلان معلوم کری.



ب 6-14

ب 6-15 د بيم په غوڅه برخه کی اعظمی سٹریس د مؤمنت له امله معلوم کری.

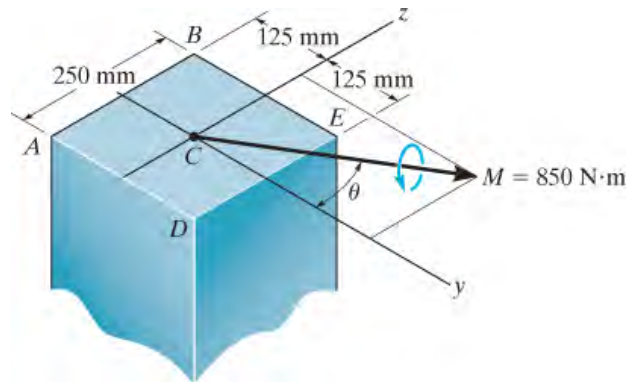


ب 6-15

سوالونه

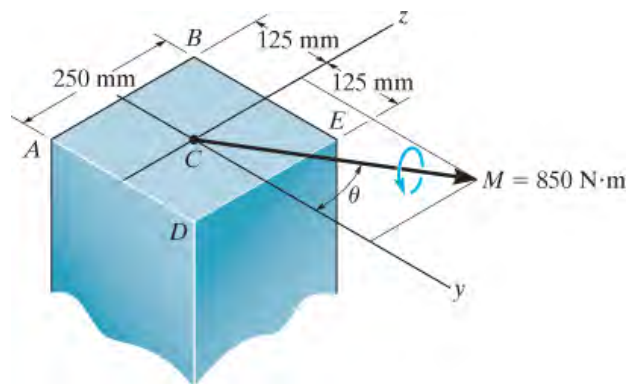
(PROBLEMS)

س 6-104* غری مربع غوڅه برخه لري او یو مؤمنت $M = 850 \text{ N}\cdot\text{m}$ ورباندی پلی شوی. ستریس په کنجونو کی معلوم او د ستریس ویش سکیچ کړي. دلته $q = 45^\circ$



س 6-104

س 6-105 غری مربع غوڅه برخه لري او یو مؤمنت $M = 850 \text{ N}\cdot\text{m}$ ورباندی پلی شوی. ستریس په کنجونو کی معلوم او د ستریس ویش سکیچ کړي. دلته $q = 30^\circ$



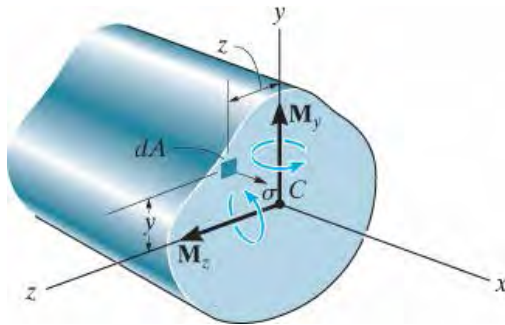
س 6-105

س 6-106. د یو پریزماتیک بیم عمومي قضیه په پام کې ونیسئ کله چې د کوروالي مؤمنت اجزایو M_y او M_z ، ورباندې داسې پلې شوی چې د x, y, z او محورونه د غوڅې برخې له ثقل مرکز څخه تیرېږي. که چیرې مواد د خطي ایلسټیک چلند لرونکي وي، نارمل سټریس په بیم کې خطي تابع د موقعیت دی، لکه دا $s = a + by + cz$.

د توازن شرایطو په کارولو $0 = \int_A \sigma dA$, $M_y = \int_A z \sigma dA$, $M_z = \int_A -y \sigma dA$ سره ثابت ارزښتونه a, b, c او ټاکل کیدی شي او پدې ترتیب نارمل سټریس له دی معادلی

لاس ته راځي، چیرې چې مؤمنت او او محصولات د انر شیا په ضمیمه A کې تعریف شوي.

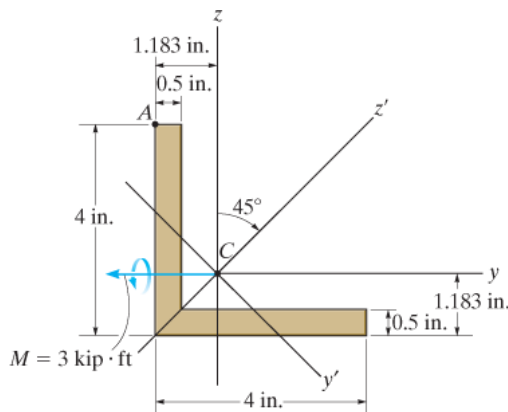
$$\sigma = [-(M_z I_y + M_y I_{yz})y + (M_y I_z + M_z I_{yz})z] / (I_y I_z - I_{yz}^2),$$



س 6-106

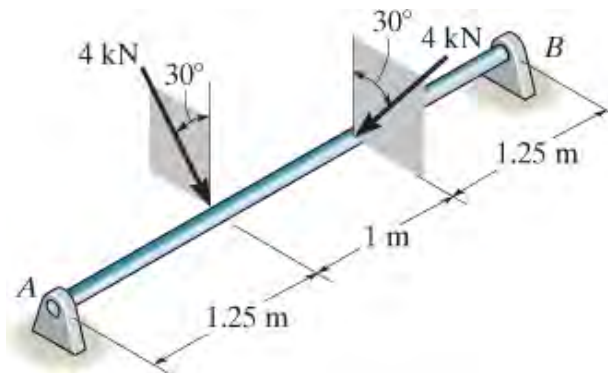
س 6-107. د بیم غوڅه برخه په دی لاندې انځور کې ښودل شوي. په ټکي A کې سټریس د مؤمنت له امله او د صفری محور سمت او میلان وټاکي. د ضمیمی A له میتود کار واخلي. اصلی انرشیايي مؤمنت د غوڅې برخې $I_z = 8.828 \text{ in}^4$ او $I_y = 2.295 \text{ in}^4$ چیرې چې z او y اصلی محورونه دی. د دی سوال حل لپاره له معادله 6-17 کار واخلي.

س 6-108*. په ټکي A کې سټریس د مؤمنت له امله په کارولو د سوال 6-106 پایلی نتیجی وټاکي. انرشیايي مؤمنت د غوڅې برخې په z او y محورونو $I_z = I_y = 5.561 \text{ in}^4$ دی. او انرشیايي ضریب (product of inertia) محصل نظر z او y محورونو ته عبارت دی په $I_{xy} = -3.267 \text{ in}^4$ (ضمیمه A وگورئ).



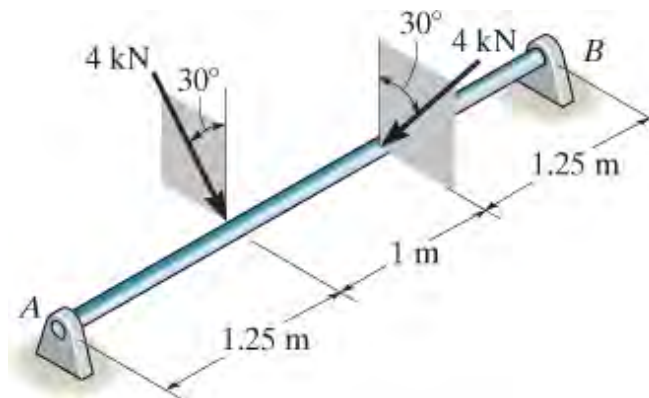
س 6-107/108

س 6-109. په فولادی شافت دوه بهرنی بارونه پلي شوی دی. که چیری جورنال اتکاوی په A او B کی محوری قوه په شافت جور نکړي، د شافت قطر معلوم کړی کله چی $s_{allow} = 180 \text{ MPa}$ وی.



س 6-109

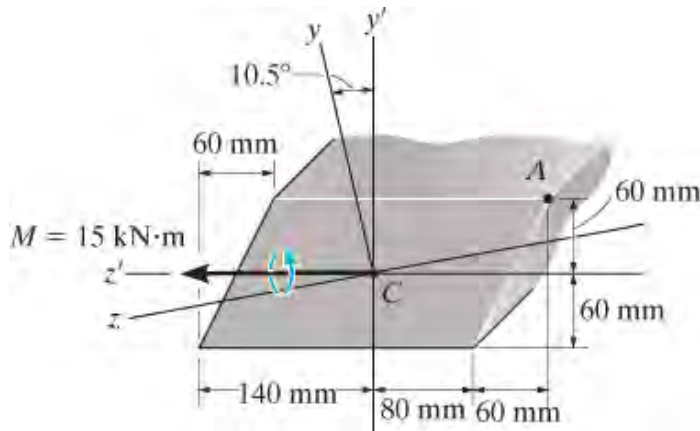
س 6-110. په فولادی شافت چی قطر لری دوه بهرنی بارونه پلي شوی دی. که چیری جورنال اتکاوی په A او B کی محوری قوه په شافت جور نکړي، مطلق اعظمی ستریس د مؤمنت له امله په شافت کی معلوم کړي.



س 6-110

س 6-111. د غوڅی برخي لپاره $I_y = 114(10^{-6})\text{m}^4$, $I_z = 31.7(10^{-6})\text{m}^4$ او $I_{y'z'} = 15.8(10^{-6})\text{m}^4$ دي. د غړی غوڅه برخي ساحی اصلی انرشیايي مؤمنت $I_z = 28.8(10^{-6})\text{m}^4$ او $I_y = 117(10^{-6})\text{m}^4$ د ضمیمی A طریقۍ په کارولو سره په اصلی انرشیايي محورونو محاسبه شوي. که چیری غوڅه برخه باندی یو مؤمنت $M = 15\text{kN} \cdot \text{m}$ پلی شی په تکی A کی ستریس په کارول د معادلی 6-17 معلوم کړي.

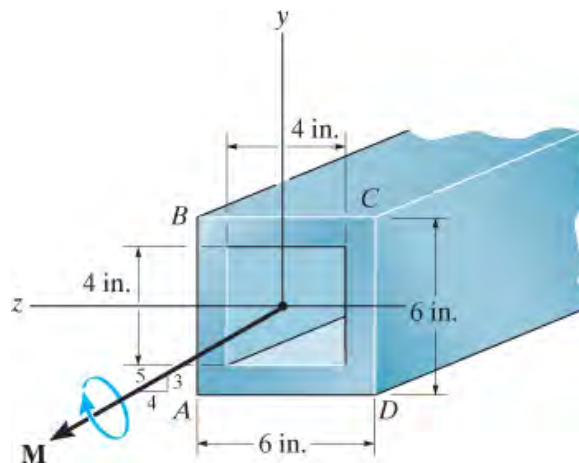
س 6-112. سوال 6-111 په کارولو د معادلی، چی په سوال 6-106 کی پیدا شو، حل کړي.



س 6-111/112

س 6-113. لاندی صندوقی بیم باندی یو مؤمنت $M = 15 \text{ kip}\cdot\text{ft}$ پلی شوي. اعظمی ستریس د مؤمنت له امله په بیم کس او د صفری محور سمت او میلان پیدا کړي.

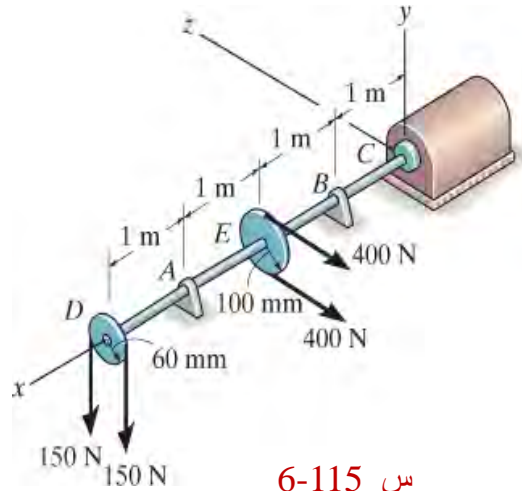
س 6-114. د اعظمی مؤمنت اندازه وټاکي تر څو ستریس د مؤمنت له امله له 15 ksi زیات نشي.



س 6-113/114

س 6-115. دا لاندی انځور کی، د گوټک (pulley) په واسطه یو عمودي بار په D او بل افقي بار په E کی، په بنودل شوی شافت پلی شوي. دا شافت په A او B کی جورنال اتکاوی لري، دا اتکاوی د محوری بار توان نلري. نیپلونکی (coupling) په C کی د یو موټور سره د

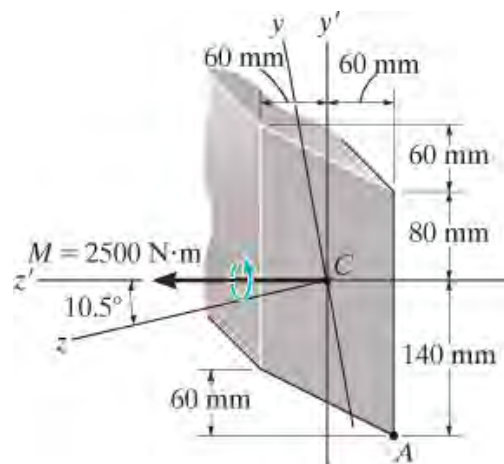
شافت لپاره اتکا نه شي جوړه ولي. که چیری منل شوی ستریس $s_{\text{allow}} = 180 \text{ MPa}$ وی اړین قطر د شافت وټاکي.



س 6-115

س 6-116* د برخي لپاره، $I_{y'z'} = 114(10^{-6}) \text{ m}^4$ ، $I_{y'} = 31.7(10^{-6}) \text{ m}^4$ ، $I_{z'} = 15.8(10^{-6}) \text{ m}^4$ دي. په ضميمه A کې د ذکر شويو تخنيکونو کارولو سره، د غړي غوڅی برخي ساحی اصلی انرشيايي مؤمنت عبارت دی په $I_{y'} = 28.8(10^{-6}) \text{ m}^4$ او $I_{z'} = 117(10^{-6}) \text{ m}^4$ ، چی حساب شوي په y او z ، محورونو په ترتیب سره. که چیری په برخه یو مؤمنت $M = 2500 \text{ N} \cdot \text{m}$ عمل وکړي، تولید شوي ستریس په A نقطه کې په کارولو د معادلی 6-17 معلوم کړی.

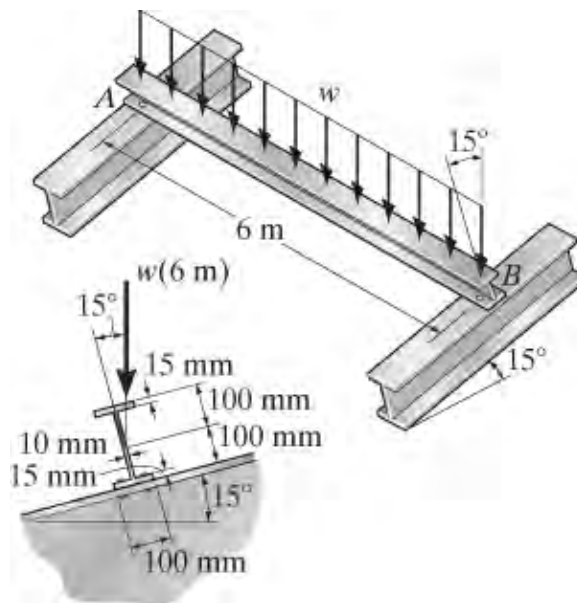
س 6-117 سوال 6-116 په هغه معادلی سره چی په سوال 106 کی جوړه شوه حل کړي.



س 6-116/117

س 6-118. که چیري ویشلي بار $w = 4 \text{ kN.m}$ وی او داسی فرض شی چی دا بار د بیم دغوخی برخی له مرکز ثقل څخه تیریري، تاسو مطلق اعظمی ستریس د مؤمنت له امله په غری جویست (joist) کی معلوم کری، او هم د صفری محور سمت او زاویه وټاکي. بیم په A او B کی ساده اتکاوی لري.

س 6-119. د ویشلی بار اعظمی ارزښت w چی په بیم پلی کیدی شي وټاکي. داسی فرض کری چی دا بار د بیم دغوخی برخی له مرکز ثقل څخه تیریري، بیم په A او B کی ساده اتکاوی لري. منل شوی ستریس د مؤمنت له امله $s_{allow} = 165 \text{ MPa}$ دي.



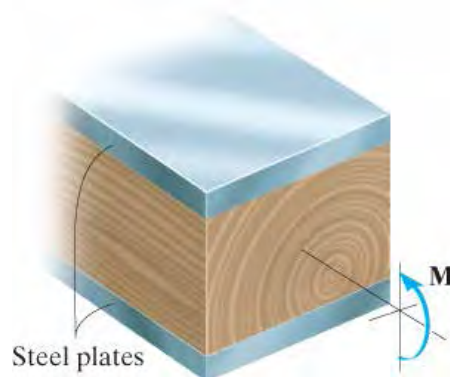
س 6-118/119

6.6* مرکب بيمونه (COMPOSIT BEAMS)

د دوه يا ډيرو مختلف موادو څخه جوړ شوي بيم ته **مرکب بيمونه** ويل کيږي. يو مثال د لرگيو څخه جوړ شوی بيم دی چې د فولادو پټی په پورته او بنسکته برخه کې لری، انځور 6-35 و گوري. انجيران په قصدي ډول په دې طريقه دا ډول بيمونه ډيزاين کوي تر څو د بارونو ملاتړ لپاره د لا اغيزمنې وسيلې رامینځته کړي.

ځکه چې د کوروالي فورمول يوازي د هغه بيمونو لپاره رامینځته شوی چې له همجنس موادو جوړ وي، دا فورمول په مستقيم ډول په مرکب بيمو نشي پلي کیدی تر څو د مؤمنت له امله سټريس مشخص کړی. په دې برخه کې، په هر صورت، مور به د تعديل يا "بدلون" لپاره يو ميتود رامینځته کړو تر څو د مرکب بيم غوڅه برخه په يوه چې د يو واحد موادو څخه جوړه شوې بدله کړو. يوځل چې دا ترسره شي، د کوروالي فورمول بيا د مؤمنت له امله د سټريس ټاکلو لپاره کارول کیدی شي.

د دې تشریح کولو لپاره چې دا څنگه ترسره کړو مور به يو مرکب بيم چې له دوه موادو، 1 او 2، يو بل سره تړل شوي جوړ، لکه څنگه چې په انځور 6-36a کې بنودل شوي، په پام کې ونيسو. که چيری يو کورډونکی مؤمنت په دې بيم باندې پلي شي، بيا د متجانس بيم په څير، د ټول غوڅی برخې ساحه به وروسته د پلي شوی مؤمنت حواره پاتي (*remain plane*) وي، او له همدې امله نارمل سټرينونه به د صفر څخه په صفری محور په خطي ډول توپير ولري تر اعظمي ارزښت تر ليري ټکی پوري، انځور 6-36b وگوري. په دې شرط چې مواد خطي ايلستیک چلند لرونکي وي، بيا په هر وخت کې نارمل سټريس په موادو 1 کې $s = E_1 e$ څخه ټاکل کيږي، او د موادو 2 لپاره سټريس د $s = E_2 e$ څخه موندل کيږي. فرض کړئ مواد 1 په پرتله د مواد 2، سخت دی بيا $E_1 > E_2$ او د سټريس ویش به داسی بنکاري لکه چې په انځور 6-36c يا 6-36d کې بنودل شوي. په ځانگړې توگه، پام وکړئ چې د دو موادو په يو ځای کيدو کرښه کې سټريس يو گام اخلي. دلته سټرين د دواړو موادو يو شان دی، مگر د موادو د ايلستيسټی ماجولس د توپير له امله د موادو سټريس بدلون مومي.



انځور 6-35

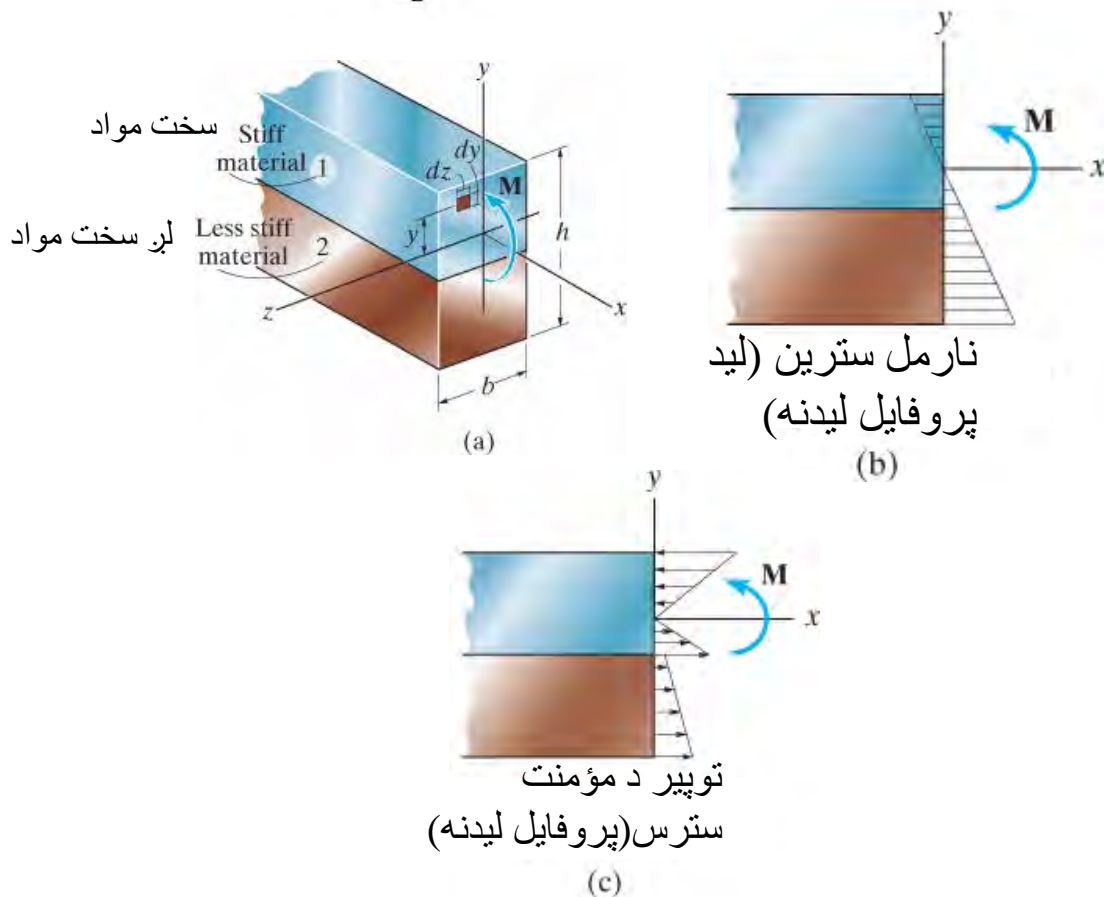
د دې پېچلي ستریس کارولو پرځای ، اسانه ده چې جوړ شوی بيم په يو ډول موادو بدل شي. د مثال په توگه، که چيرې داسې فکر کيږي چې بيم په بشپړه توگه د کم سخت موادو 2 څخه جوړ دی ، نو ستریس په غوڅه برخه به په څير د هغه وی چې په انځور 6-36e کی بنودل شوي. دلته لوړوالی h د بيم يو شان پاتي کيږي، ځکه چې د سترين ویش باید يو شان وی، انځور 6-36b وگوري. په هر صورت، د بيم پورتنی برخه باید پراخه شي ترڅو د سخت موادو 1 سره مساوي بار انتقال کړي، انځور 6-36d وويني. دا اړين عرض د دې لخوا ټاکل کیدی شي چې قوه dF په پام کې ونيسو چې په يوه ساحه $dA = dz dy$ چې په انځور 6-36a کی بنودل شوي عمل کړي. دا $dF = s dA = E_1 e (dz dy)$ فرض کړئ چې عرض د اړوند عنصر لوړوالي dy په انځور 6-36e کې $n dz$ دی، بيا $dF' = s' dA' = E_2 e (n dz dy)$ ده. دا قوای باید سره مساوی وی ترڅو يو شان مؤمنت په صفر محور جوړ کړی ، مور لرو

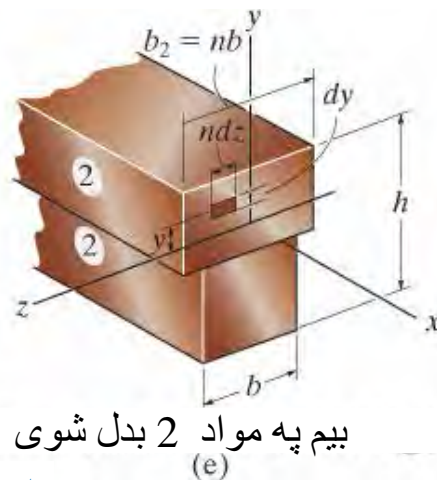
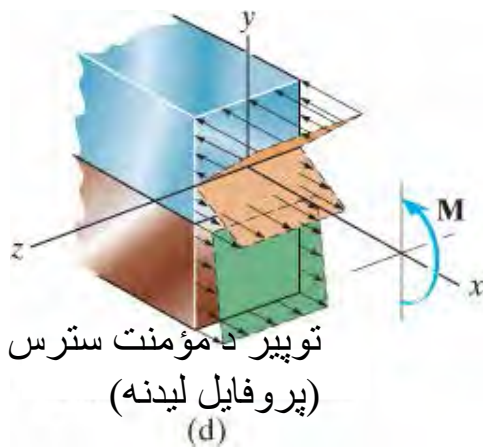
$$E_1 \epsilon (dz dy) = E_2 \epsilon (n dz dy)$$

یا

$$n = \frac{E_1}{E_2}$$

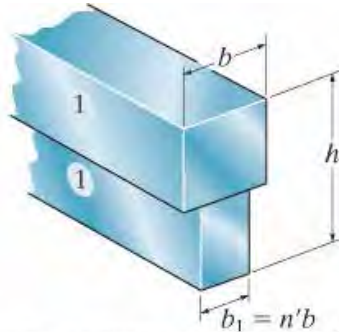
(6-20)





انخور 6-36

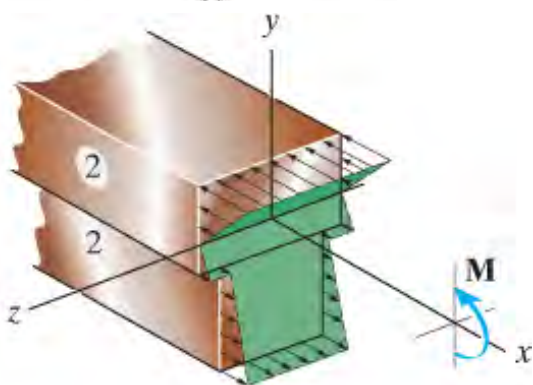
دا بی ابعاده عدد n د بدلون فکتور (*transformation factor*) بلل کيږي. دا په گوته کوي چې



بیم په مواد 1 بدل شوی (f)

غوڅه برخه، په اصلي بیم کې د b طول لري، انخور 6-36a، باید پلنوالی یې په هغه سیمه کې چیرې چې مواد 1 په 2 موادو بدلیږي، $b_2 = nb$ ته لوړ شي، انخور 6-36e وگوري.

په ورته ډول، که لږ سخت مواد 2 بدل شي په سخت مواد 1، غوڅه برخه به په څیر د هغه لکه په انخور 6-36f کې بنودل شوي بنکاري. دلته د موادو 2 پلنوالی $b_1 = n'b$ ته بدل شوی، چیرته $n' = E_2/E_1$. په دې حالت کې د بدلون فکتور n' به له یوه لږ وي ځکه $E_1 > E_2$ دی. په بل عبارت، مور لږ سخت موادو ته اړتیا لرو چې د مؤمنت ملاتړ وکړي.

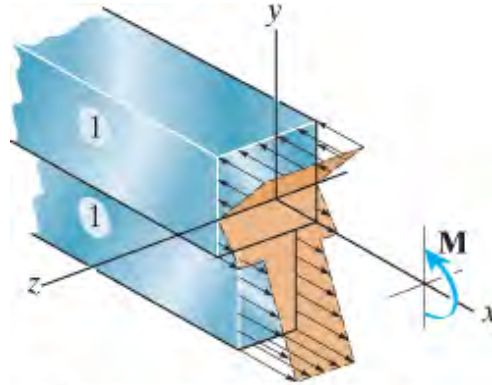


د مؤمنت سترس توپير کله چې بیم په مواد 2 بدل شوی (g)

یوځل چې بیم په یو شان موادو بدل شي چې یو ډول مواد لري، په بدل شوي غوڅه برخه کې د نارمل ستریس ویش به خطي وي، لکه څنگه چې په انخور 6-36g او 6-36h کې بنودل شوي. په پایله کې، اوس د کوروالي فورمول په معمول ډول کارول کیدی شي ترڅو ستریس په هر ټکي د بدل شوي بیم کې معلوم کړي. البته، ستریس په بدل شوي بیم کې به مساوي وي په ستریس په ورته موادو د اصلي بیم؛ په هر صورت، په بدل شوي موادو کې ستریس باید ضرب شي په بدلون فکتور n او یا n' ترڅو په بدل شوي

انخور 6-37

حقيقي موادو کی ستریس ترلاسه کری. دا حُکھ چې د بدل شوي موادو ساحه، $dA' = n dz dy$ ، مساوی ده په n ځله مساحت د حقيقي مواد $dA = dz dy$.



د مؤمنت سترس توپیر کله
چې بيم په مواد 1 بدل شوی
(h)

انځور 6-37 (تکرار)

هغه دی،

$$\begin{aligned} dF &= \sigma dA = \sigma' dA' \\ \sigma dz dy &= \sigma' n dz dy \\ \sigma &= n\sigma' \end{aligned} \quad (6-21)$$

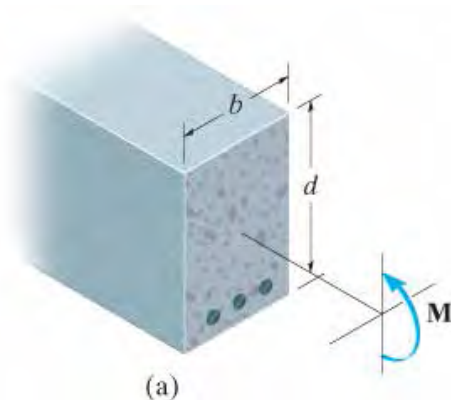
مثال 6-17 د دی میتود عملی کول تشریح کوی.

مهم ټکي

(IMPORTANT POINTS)

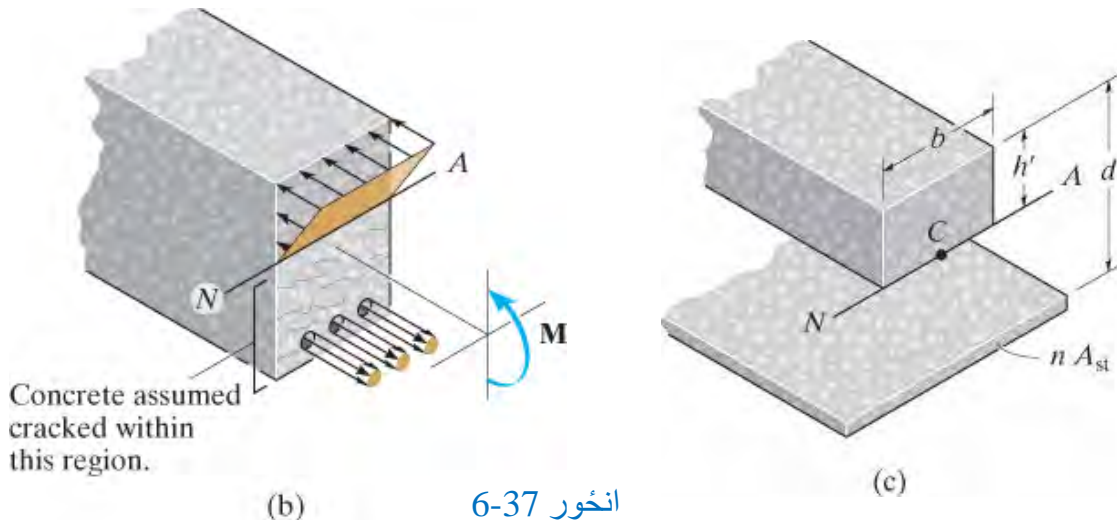
- مرکب بيمونه تر څو په مؤثره توگه بار يوسي، د مختلفو موادو څخه جوړېږي . د کوروالي فورمول پلي کولو ته اړينه ده، چې مواد د بيم يو شان وي. که چيرې دا فورمول د سټريس محاسبه کولو لپاره، چې د مؤمنت له امله وي، وکارول شي د بيم غوڅه برخه بايد په يو ډول موادو بدله شي.
- د بدلون فکتور د مختلف موادو د ماجولس تناسب n دی ، چې بيم ورځيني جوړ شوي. او دا د ضريب په توگه کارول کيږي. دا د مرکب بيم د غوڅي برخي عرض بدلوي، تر څو بيم په يو ډول موادو بدله شي. او دا بيم به د مرکب بيم په څير ورته مقاومت ولري. په دې توگه سخت مواد به نرمو موادو بدل شوي او يا برعکس يي.
- يوځل چې په بدل شوي موادو کې سټريس مشخص شي، بيا دا بايد د بدلون فکتور سره ضرب شي تر څو سټريس په بدل شوي موادو کې د اصلي بيم تر لاسه شي.

6.7* د وسپنيز کانکريت بيمونه (REINFORCED CONCRETE) (BEAMS)



ټول هغه بيمونه چې د خالص مؤمنت ورباندې عمل کړي بايد د دواړو کششي او تيلوهونکي سټريس مقاومت وکړي. په هر صورت، کله چې کانکريت په په کششي حالت کې راشي، د درځ پيدا کيدو امکان يې خورا ډير يږي ، او له همدې امله دا ډول بيم د مؤمنت لپاره مناسبه نه ده چې مقاومت وکړي. * د دې نيمگړتيا د مخنيوي لپاره، انجينران د کانکريت بيم دننه د فولادو تقويه کونکي رادونه په هغه برخه کې چې کانکريت په کشش کې وي ځای په

خای کوي ، انخور 6-37a وگوري. د خورا اغيزمن کيدو لپاره، دا رادونه د بيم له صفری محور څخه خورا ليری موقعيت لري، تر څو د رادونو قواو مؤمنت په صفری محور خورا لوی وی. برسېره پردی، اړين دي چې رادونه يو څه کانکريت پوښښ ولري تر څو د اور په حالت کې او د زنگونو له کبله خپل مقاومت له لاسه ورکولوڅخه و ساتي. هغه کوډونه چې د تقويه شوي کانکريت ډيزاين لپاره کارول کيږي فرض کوي چې کانکريت دکششی بار اخیستلو هيڅ توان نلري او احتمالی درز پيدا کيدو مخ وینه نشی کیدی. د پایلي په توگه، د نارمل سټريس ویش د تقويه شوي کانکريت بيم په غوڅه برخه باندې دا سی فرض کيږي، لکه څنگه چې په انخور 6-37b کې ښودل شوي.



د سټريس تحليل لپاره، د صفری محور موندل ، او د اعظمی سټريس ټاکل په فولادو او کانکريتو کې اړتيا ده. د دې کولو لپاره، د فولادو ساحه، A_{st} لومړی د بدلون فکتور $n = E_{st}/E_{conc}$ په ذريعه لکه څنگه چې په برخه 6.6 کې بحث شوی ، په مساوي ساحه د کانکريت بدل شوی. دا تناسب، کوم چې $n > 1$ د خای پر خای کولو لپاره د "لوی" مقدار کانکريت ته اړتيا لري چې د فولادو ساحه بدله شوی. ساحه nA_{st} او بدله شوي برخه داسې ښکاري لکه چې په انخور 6-37c کې ښودل شوي. دلته d د پورتنی برخي فاصله د بيم تر (بدل شوي) فولادو پټي پوري، او b د بيم عرض دی، او h' د بيم له پورتنی برخي څخه تر صفری محور نامعلومه فاصله ده. د h' تر لاسه کولو لپاره، اړتيا ده چې صفری محور د ثقل مرکز C د غوڅی برخي د بدل شوی برخي څخه تيریږي او دا په انخور 6-37c کې ښودل شوي. سره صفری محور ته مراجعه، له همدې امله، د دوو سيمو مؤمنت يو خای، $\sum \tilde{y}A$ ، بايد صفر وي، ځکه چې

$$\bar{y} = \frac{\sum \tilde{y}A}{\Sigma A} = 0.$$

په دی توگه

$$bh' \left(\frac{h'}{2} \right) - nA_{st} (d - h') = 0$$

$$\frac{b}{2} h'^2 + nA_{st} h' - nA_{st} d = 0$$

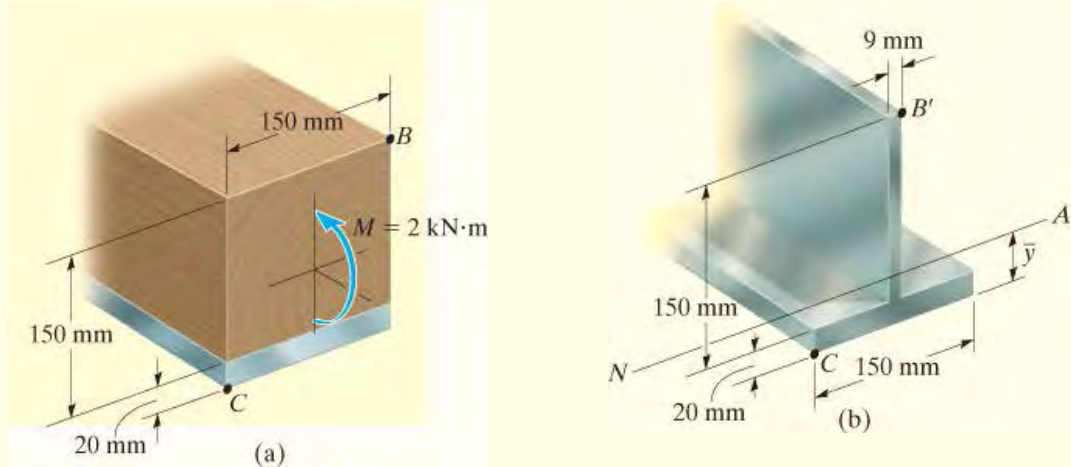
کله چې له دې دوهمې درجې معادلې h' ترلاسه شي، په معمول ډول، د بيم د ستريس د حل ترلاسه کولو لپاره پرمخ ځي. مثال 6.18 په عددي توگه د دې طریقی کارول روښانه کوي.

* په انځور 3-12 کې د ستريس ليدنه دا په گوته کوی چې کانکريت کيدی شي 12.5 واره قوي وی په تيل و هلو حالت کې په پرتله د کششی حالت نه.

مثالونه

مثال 6.17

په دی لاندی انځور 6-38a کې بنودل شوی مرکب بيم له لرگیو او یو فولادی پتی په لاندی برخه کې جوړ شوي. که چیری په بيم باندی یو مؤمنت $M = 2kN.m$ پلی شوی وی، نارمل ستريس به په ټکیو B او C کې پیدا کړي. ددی ارزښتونه کارواخلي. $E_w = 12 \text{ GPa}$ او $E_{st} = 200 \text{ GPa}$



انځور 6-38

حل (SOLUTION)

د غوڅې برخې مشخصات (Section Properties)

که څه هم انتخاب په خپل سرې دی ، دلته به مور برخه په یو بشپړ ډول د فولادو څخه جوړه شوی بدله کړو. څرنګه چې فولاد له لرګیو په پرتله ډیر سختی ($E_{st} > E_w$) لري، د لرګیو پلنوالي لږ کيږي تر څو د فولادو معادل پلنوالی ورځینی جوړشي.

$$b_{st} = nb_w = \frac{12 \text{ GPa}}{200 \text{ GPa}}(150 \text{ mm}) = 9 \text{ mm}$$

بدله شوی برخه په انځور 6-38b کې ښودل شوي.

د مرکز ثقل موقعیت (صفری محور) د برخې له تپت لور محاسب کيږي

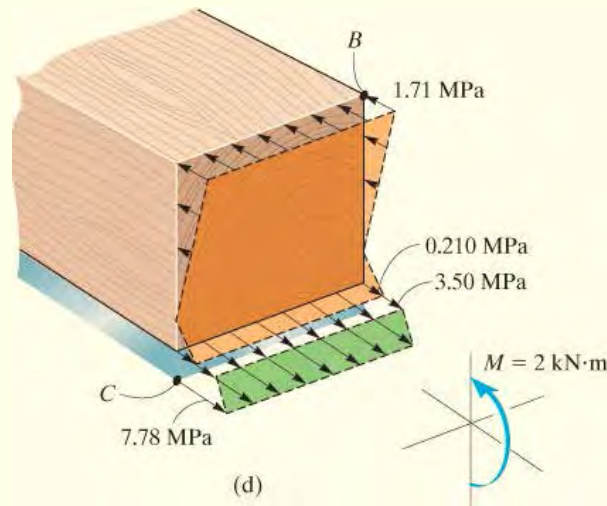
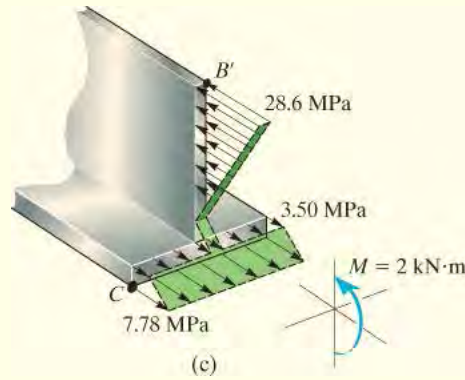
$$\bar{y} = \frac{\sum \bar{y}A}{\sum A} = \frac{[0.01 \text{ m}](0.02 \text{ m})(0.150 \text{ m}) + [0.095 \text{ m}](0.009 \text{ m})(0.150 \text{ m})}{0.02 \text{ m}(0.150 \text{ m}) + 0.009 \text{ m}(0.150 \text{ m})} = 0.03638 \text{ m}$$

انرشيايي مؤمنت په صفری محور عبارت دی په

$$I_{NA} = \left[\frac{1}{12}(0.150 \text{ m})(0.02 \text{ m})^3 + (0.150 \text{ m})(0.02 \text{ m})(0.03638 \text{ m} - 0.01 \text{ m})^2 \right]$$

$$+ \left[\frac{1}{12}(0.009 \text{ m})(0.150 \text{ m})^3 + (0.009 \text{ m})(0.150 \text{ m})(0.095 \text{ m} - 0.03638 \text{ m})^2 \right]$$

$$= 9.358(10^{-6}) \text{ m}^4$$



انخور 6-38 (تکرار)

نارمل سټریس (Normal Stress) .

له کوروالي فورمول کار اخلو او نارمل سټریس په B' او C کی عبارت دی په

$$\sigma_{B'} = \frac{2(10^3) \text{ N} \cdot \text{m}(0.170 \text{ m} - 0.03638 \text{ m})}{9.358(10^{-6}) \text{ m}^4} = 28.6 \text{ MPa}$$

$$\sigma_C = \frac{2(10^3) \text{ N} \cdot \text{m}(0.03638 \text{ m})}{9.358(10^{-6}) \text{ m}^4} = 7.78 \text{ MPa} \quad \text{Ans.}$$

د نارمل سټریس ویش په بدله شوی برخه (ټول فولاد) په انځور 6-38c کی بنودل شوي. نازمل سټریس په لرگی کی په ټکی B کی په انځور 6-38a کی له معادلی 6-21 لاس ته راځي، او هغه دی

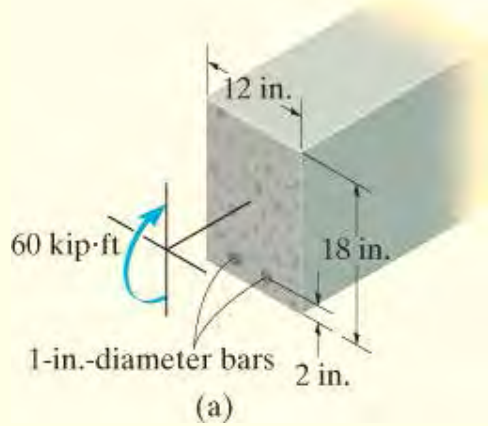
$$\sigma_B = n\sigma_{B'} = \frac{12 \text{ GPa}}{200 \text{ GPa}}(28.56 \text{ MPa}) = 1.71 \text{ MPa} \quad \text{Ans.}$$

ددی مفاهیمو په کارولو سره وینه یی چی په فولاد و او لرگیو په هغه ځای کی چی دوی په تماس کی دی نارمل سټریس $s_{st} = 3.50 \text{ MPa}$ او $s_w = 0.210 \text{ MPa}$ دی، لکه څنگه چی په انځور 6-38d کی بنودل شوي.

مثال 6.18

کانکریټی بیم غوڅه برخه په لاندی انځور 6-39a کی بنودل شوي. که چیری یو مؤمنت $M = 60 \text{ kip} \cdot \text{ft}$ ور باندی پلی شي نارمل سټریس په فولادی رادونو او اعظمی نارمل سټریس په کانکریټ کی و مومي. راکړل شوی: $E_{st} = 29 (10^3) \text{ ksi}$ او $E_{conc} = 3.6 (10^3) \text{ ksi}$.

حل (SOLUTION)

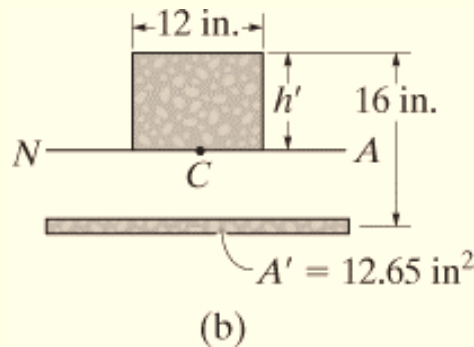


د غوڅی برخی مشخصات (Section Properties)

د فولادو ټوله ساحه ، $A_{st} = 2 [p(0.50 \text{ in})^2] = 1.571 \text{ in}^2$ ،
 به بدله کړو په مساوی ساحه د کانکریتو ، انځور 6-39b وگوري.

دلته

$$A' = nA_{st} = \frac{29(10^3) \text{ ksi}}{3.6(10^3) \text{ ksi}} (1.571 \text{ in}^2) = 12.65 \text{ in}^2$$



مور ته اړتیا ده چی $\sum \tilde{y}A = 0$ ، مرکز ثقل به په صفری
 محور موقعیت ولری. په دی توگه

یا

انځور 6-39

$$12 \text{ in.} (h') \frac{h'}{2} - 12.65 \text{ in}^2 (16 \text{ in.} - h') = 0$$

$$h'^2 + 2.11h' - 33.7 = 0$$

کله چی مثبت جذر پیدا کړو

$$h' = 4.85 \text{ in.}$$

له دی ارزښت د h' لپاره ، انرشیایي مؤمنت د بدل شوی برخی په صفری محور کیري:

$$I = \left[\frac{1}{12} (12 \text{ in.})(4.85 \text{ in.})^3 + 12 \text{ in.} (4.85 \text{ in.}) \left(\frac{4.85 \text{ in.}}{2} \right)^2 \right] + 12.65 \text{ in}^2 (16 \text{ in.} - 4.85 \text{ in.})^2 = 2029 \text{ in}^4$$

نارمل سټریس (Normal Stress)

له کوروالي فورمول د بدل شوی برخی لپاره کار اخلو ، اعظمی نارمل سټریس په کانکریت کی عبارت دی په

$$(\sigma_{\text{conc}})_{\text{max}} = \frac{[60 \text{ kip} \cdot \text{ft}(12 \text{ in./ft})](4.85 \text{ in.})}{2029 \text{ in}^4} = 1.72 \text{ ksi} \quad \text{Ans.}$$

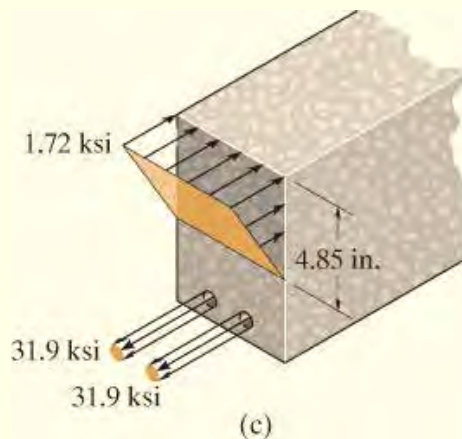
نارمل سټریس په کنکریتی ټوټه کی چی د فولادوځای یی نیولی عبارت دی په

$$\sigma'_{\text{conc}} = \frac{[60 \text{ kip} \cdot \text{ft}(12 \text{ in./ft})](16 \text{ in.} - 4.85 \text{ in.})}{2029 \text{ in}^4} = 3.96 \text{ ksi}$$

نارمل سټریس په هر یوه د دو فولادی راپونو کی عبارت دی په

$$\sigma_{\text{st}} = n\sigma'_{\text{conc}} = \left(\frac{29(10^3) \text{ ksi}}{3.6(10^3) \text{ ksi}} \right) 3.96 \text{ ksi} = 31.9 \text{ ksi} \quad \text{Ans.}$$

د نارمل سټریس ویش په گرافیکی توگه په انځور 6-39c کی بنودل شوي.



انځور 6-39

6.8* کاره (منحنی) بيمونه (CURVED BEAMS)

د کوروالي فورمول په مستقیم غري باندې تطبیق کيږي، ځکه چې نارمل سترین له صفری محور

څخه په خطي ډول توپیر لري. که غری منحنی وی ، سترین به

خطي نه وي، او نو باید د ستریس ویش لپاره یوه بله طریقه

رامینځته شی. په دې برخه کې مور به د منحنی بيم تحلیل په پام

کې ونیسو، په دې معنی غری منحنی محور لری او مؤمنت

ورباندی پلي شوی دی. عادي مثالونو یې چنگک او حلقی دي. په

ټولو قضیو کې، غري باريک (slender) نه دي، بلکې یو تیزه

انحنای لري ، او د دوی د غوڅی برخي اړخونه به د انحنا شعاع په

پرتله لوی وي.



دا چنگک د کرین استازیتوب او بېگه د یو عادی منحنی بيم دی.

لاندې تحلیل داسې انگیري چې غوڅه برخه ثابته ده او د تناظر

محور یې عمود د پلي شوی مؤمنت M سره دی. مؤمنت مثبت

دی که چیرې تمایل ولري چې غری مستقیم کړی. همدارنگه کله

چې بار ورباندی پلي شي ، مواد متجانس ، همغري ، ايسوترافيک

(isotropic) ، او ایلستیک خطي ډول چلند ولری . د مستقیم بيم د

قضیې په څیر ، مور به دا هم فرض کړو چې د غری غوڅه برخه د مؤمنت له پلي کیدو وروسته

سطحی (plane) پاتي کيږي. سربیره پردې، په خپله د غوڅی برخي په سطحه کې هر ډول

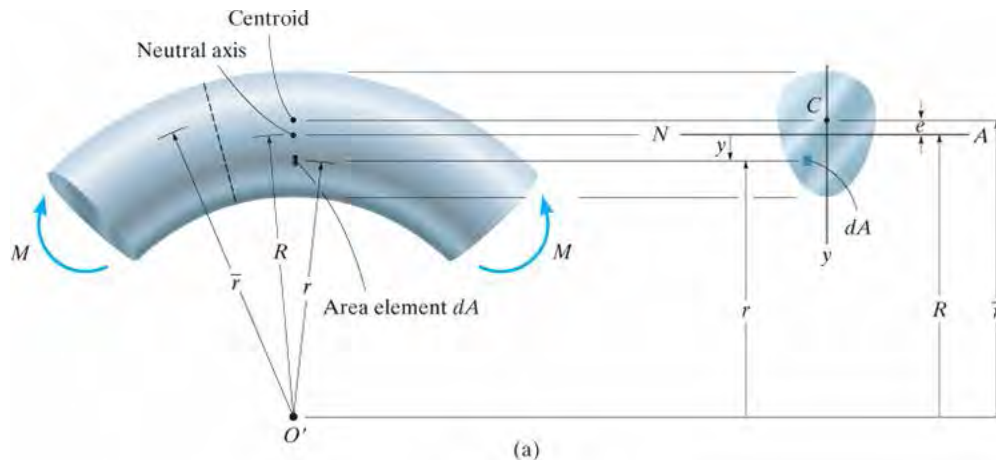
تحریف (distortion) ، لکه د پویسان (Poisson) د اغیزی له امله له پامه غورځیدلی شي.

د تحلیل ترسره کولو لپاره، درې شعای، چې د غری د انحنا له مرکز O' څخه پراخيري او دا په

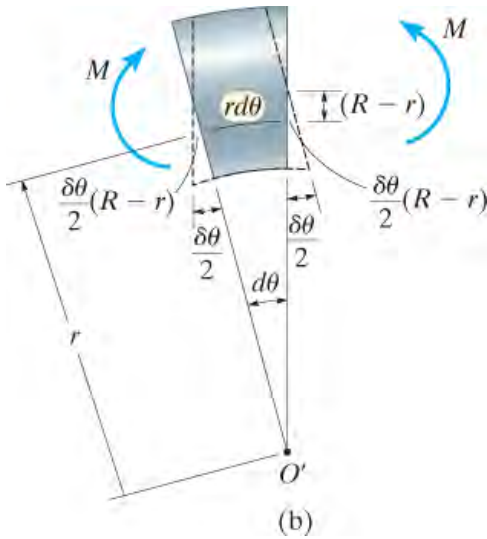
انځور 6-40a کې پیژندل شوي. دلته r' پیژندل شوی منبع د مرکز ثقل د غوڅی برخي ساحي

لپاره R . د صفری محور منبع چې تر اوسه نامعلوم ځای دی اشاره کوي، او r د خپل خوښي ټکي

یا د عنصر ساحه dA په غوڅه برخه کې ځای نیسي.



انځور 6-40



انځور 6-40 (تکرار)

دا لیدل کیدی شي چې نارمل سترين غير خطي تابع د r دی، په حقیقت کې دا د هایپربولیک په څیر توپیر مومي. دا واقع کیري که څه هم د بیم غوڅه برخه د بیخایه کیدو وروسته په یوه سطحه کی پاتي کیري. څرنگه چې مواد خطي چلند لرونکي دي، نو $s = Ee$ ، او بیا

$$\sigma = Ek \left(\frac{R - r}{r} \right) \quad (6-22)$$

دا توپیر هم هایپر بالیک دی، اوس چی دا تاسیس شو، مور کولای شو چی صفري محور پیدا او د داخلی ستریسونو ویش تر او له داخلی مؤمنت M سره جوړ کړو.

د صفري محور موقعيت (Location of Neutral Axis).

ددی لپاره چی د صفري محور موقعيت R و ټاکو ، اړوند ده چی محصله د داخلی قواوو چی د ستریس له امله په غوڅه برخه منځ ته راغلی باید صفر وی، د بیلگی په توگه:

$$F_R = \sum F_x; \quad \int_A \sigma dA = 0$$

$$\int_A Ek \left(\frac{R - r}{r} \right) dA = 0$$

څرنګه چې Ek او R ثابت دي ، بيا ليکيلي شو:

$$R \int_A \frac{dA}{r} - \int_A dA = 0$$

کله چې دا معادله د R لپاره حل کړو موږ لرو

$$R = \frac{A}{\int_A \frac{dA}{r}} \quad (6-23)$$

دلته

$R =$ د صفري محور موقعيت چې د منحنی له مرکز O څخه مشخص شوي.

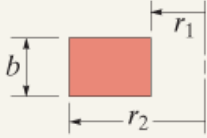
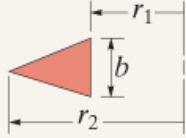

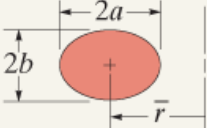
$A =$ د غوڅې برخې ساحه

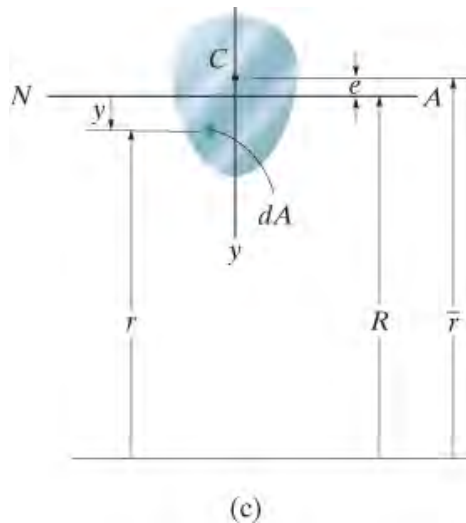
$r =$ په غوڅه برخه اختیاري موقعيت د يو عنصر dA ساحی چې د منحنی مرکز څخه اندازه کيږي

د معادلی 6-23 انتیګرال چې د مختلفو غوڅو د پاره ارزیابی شوی نو د يو ډول معلومو هندسی

غوڅو برخو لپاره په 6-1 جدول کی بنودل شوی

جدول 6-1

Shape	$\int_A \frac{dA}{r}$
	$b \ln \frac{r_2}{r_1}$
	$\frac{b r_2}{(r_2 - r_1)} \left(\ln \frac{r_2}{r_1} \right) - b$
	$2\pi \left(\bar{r} - \sqrt{\bar{r}^2 - c^2} \right)$
	$\frac{2\pi b}{a} \left(\bar{r} - \sqrt{\bar{r}^2 - a^2} \right)$



انخور 6-40 (تکرار)

د کوروالي مؤمنت (Bending Moment).

ددی لپاره چی د ستریس ویش تراو له محصلی د مؤمنت سره وپیرنو، اړتیا ده چی د داخلی مؤمنت محصلی باید مساوی په هغه مؤمنت چی د ستریس ویش له کبله په صفری محور سره وی. له انخور 6-40c، ستریس S ، د عنصر په ساحه dA باندې عمل کوي او د صفری محور څخه د y په فاصله کې موقعیت لري، یو مؤمنت په صفری محور $dM = y(S dA)$ رامینځته کوي. د ټولې غوڅی برخې لپاره، اړتیا لرو

6- $M = \int y \sigma dA$. ځکه چې $y = R - r$ ، او S د معادلی 6-22 لخوا تعریف شوی، مور لرو:

$$M = \int_A (R - r) Ek \left(\frac{R - r}{r} \right) dA$$

دا معادله پراخو، او په دی پوهیرو چی Ek او R ثابت دی، بیا

$$M = Ek \left(R^2 \int_A \frac{dA}{r} - 2R \int_A dA + \int_A r dA \right)$$

اول انتیگرال مساوی دی په A/R چی په معادله 6-23 کی ټاکل شوي، او دوهم انتیگرال د غوڅی برخې ساحه A ده. د غوڅی برخې د ثقل مرکز موقعیت ټاکل کیری له مساوات

$$r' = \int r dA / A$$

دریم انتیگرال کیدی شی چی په $r'A$ بدله شی. پس لیکلی شو

$$M = EkA(\bar{r} - R)$$

په پایله کی معادله 6-22 د Ek لپاره حل کوو، په پورتنی معادله کی یی ځای پر ځای کوو او د ستریس S ارزښت کیری

$$\sigma = \frac{M(R - r)}{Ar(\bar{r} - R)} \quad (6-24)$$

دلته

$S =$ نارمل سټریس په غری کی دی.

$M =$ داخلی مؤمنت، چی پیدا شوی د برخی په طریقه اود توازن له معادلو، او محاسبه شوی د غوخی برخی په صفری محور سره. دا مؤمنت مثبت دی کی چیری د غری د منحنی په شعاع کی زیاتوالی راولی، او په دی توگه غری مستقیم کوی.

$A =$ د غری د غوخی برخی ساحه

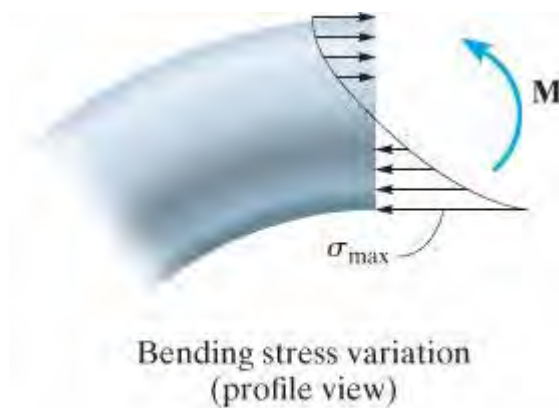
$R =$ فاصله، د منحنی د مرکز نه تر صفری محور چی د معادلی 6-23 په واسط ټاکل کیږی.

$r' =$ فاصله له مرکز د منحنی تر مرکز ثقل د غوخی برخی

$r =$ فاصله له مرکز د منحنی تر هغه ټکی چی سټریس S باید وټاکل شي.

له انځور 6-40a لرو $r = R - y$. همدارنگه دا ثابت او کوچنی فاصله له صفر محور تر مرکز ثقل عبارت ده په $e = r' - R$. کله چی دا ارزښتونه په معادله 6-24 کی ځای په ځای کړو، مور لیکلی شو

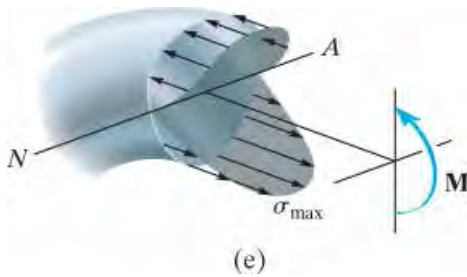
$$\sigma = \frac{My}{Ae(R - y)} \quad (6-25)$$



(d)

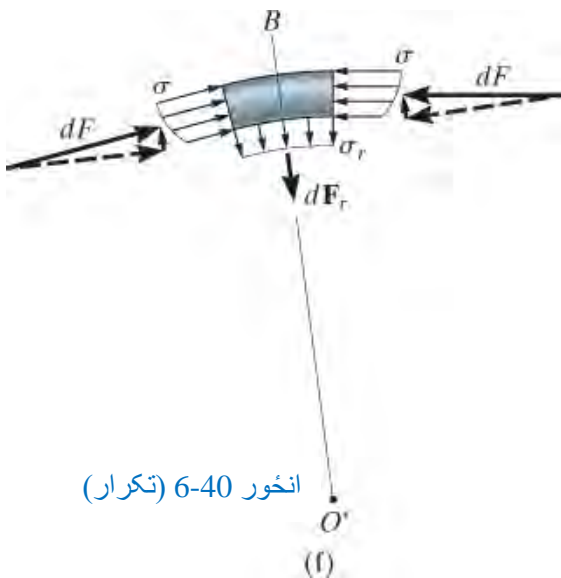
دا دوه معادلي استازیتوب د دوه ډوله منحنی-بیم فورمول کوی، چی د کوروالی فورمول په ډول کولای شو د نارمل سټریس ویش په منحنی بیم کی وټاکو. څنگه مو چی پخوا وویل دا ویش هایپر بالیک دی. ددی مثال په انځور 6-40d او 6-40e کی بنودل شوي. څرنگه چی سټریس په محیط د بیم د غوخی باندي عمل کړي، لدی امله کله دا په نامه دی محیطی سټریس (*circumferential stress*) هم یادیري.

شعاعي ستريس (Radial Stress).



د بيم د انحنا له امله، محيطي ستريس به د شعاعي ستريس اړونده برخه رامینځته کړي. دا محيطي ستريس نوم لدی امله ورکړل شوی، ځکه چې دا برخه د شعاع په لوري عمل کوي. د بنودلو لپاره چې دا څنگه منځ ته راځي د هغه برخي آزاد ډايگرام په انځور 6-40f کې په پام کې ونيسئ. دلته شعاعي ستريس S_r اړين دی، ځکه چې دا قوه dF_r رامینځته کوي. او دا د توازن ساتلو لپاره اړين ده، تر څو د محيطي قواو dF دوو برخو چې په شعاع کرښه $O'B$ عمل کړی توازن وساتي.

محدودیتونه (Limitations).



انځور 6-40 (تکرار)

ځينې وختونه په منحنی بيمونو کې شعاعي ستريسونه کيدای شي د پام وړ وگرځي، په ځانگړې توگه که چيرې غړی له نازکو تختو جوړ شوی وی او مثال يې هغه شکلونه دی چې د I او يا T غوڅی برخي لري. په دې صورت کې شعاعي ستريسونه د محيطي ستريس په څير لوی کيدی شي، او په پايله کې غړی بايد د دواړو ستريسونو مقاومت لپاره ډيزاين شي. په هر صورت، ډيری قضيو لپاره دا فشارونه له پامه غورځول کيدی شي، په ځانگړې توگه که چيرې غړی يو جامد (*solid*) برخه لري. دلته د منحنی- بيم فورمول پایلي خورا نيردی دي د هغو سره چې له تجربو او يا د رياضياتو تحليل په واسطه د ايلستیک تيوری پر اساس ټاکل شوي.

د منحنی- بيم فورمول معمولاً هغه وخت کارول کيږي کله چې د غړی انحنا ډيره څرگند وی، لکه څنگه چې چنگک يا حلقی دی. په هر صورت، که د منحنی شعاع د غړي له ژوروالي څخه پنځه چنده زياته وی، د کوروالي فورمول معمولاً د ستريس ټاکلو لپاره کارول کيدی شي. د مثال په توگه، د مستطیلی برخو لپاره چې دا تناسب د 5 سره مساوي دی اعظمي نارمل ستريس، کله چې د کوروالي فورمول لخوا وټاکل شي، هغه ارزشت به شاوخوا 7% (فيصد) کم وی په پرتله د ډير دقيق ارزشت چې د منحنی بيم فورمول لخوا ټاکل کيږي. دا تېروتنه نوره هم کمه کيږي کله چې تناسب د منحنی د شعاع تر ژوروالي له 5 څخه ډير وی.*

* د مثال لپاره وگوري Boresi, A. P. and Schmidt, R. J. *Advanced Mechanics of Materials*, John Wiley & Sons, New York.

مهم ټکي

(IMPORTANT POINTS)

- د بيم د انحنا له امله، نارمل سترين په بيم کې د مستقيم بيم قضیې په شان په خطي ډول د ژوروالي سره توپير نلري . د پایلي په توگه، صفري محور عموماً د غوڅی برخې له مرکز ثقل څخه نه تیريږي.
- د شعاعی ستریس اجزا چې د مؤمنت له امله رامینځته کيږي په عمومي ډول کیدی شي له پامه وغورځول شي، په ځانگړې توگه که چیرې غوڅه برخه یوه جامده برخه ولري او د نازکو تختو څخه نه وی جوړ شوی.
- د منحنی- بيم فورمول د محیطی ستریس ټاکلو لپاره، په بيم کې، هغه وخت باید وکارول شي کله چې د منحنی شعاع د بيم د ژوروالي څخه پنځه ځله کمه وي.

د تحلیل کرنلاره

PROCEDURE FOR ANALYSIS

د دی لپاره چی د منحنی بیم فورمول څخه کار واخیستل شي له د لاندی پروسیجر کار واخلي

د برخی خاصیتونه (Section Properties)

- د غوڅی برخی ساحه A او مرکز ثقل r' چی د انحناله مرکز اندازه کیږی مشخص کړي.
- د صفری محور موقعیت، R ، له معادلی 6-23 یا جدول 6-1 معلوم کړي. که چیری غوڅه برخه له n مرکب برخو جوړه وی انتیگرال $\int dA/r$ د هری برخی لپاره وټاکي. بیا له معادلی 6-23 د ټول برخی لپاره $R = SA/S(\int dA/r)$ مشخص کړي.

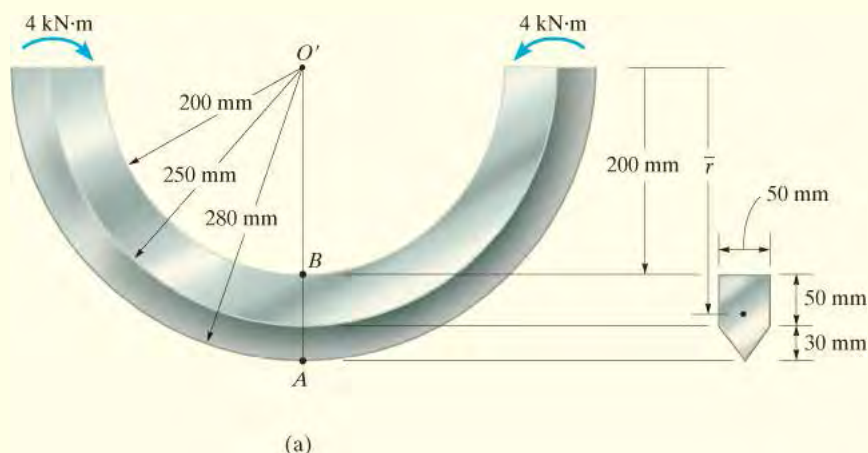
نارمل سټریس (Normal Stress)

- له معادلی 6-24 سټریس په یو ټکی کی چی په فاصله r له مرکز د انحناله موقعیت لری وټاکي. که چیری فاصله y تر ټکی پوری له صفری محور اندازه شوی وی بیا $e = r' - R$ پیدا کړی او له معادلی 6-25 کار واخلي.
- څرنګه چی $r' - R$ ډیر کوچنی ارزښت جوړه وي، دا غوره ده چی r' او R په کافی دقت سره محاسبه شي تر څو حاصل د تفریق لږ تر لږ د پام وړ څلور ارقام ارزښت ولري.
- د تاسیس شوي کنوانسیون په اساس مثبت مؤمنت M غری مستقیم کوي، او که چیری سټریس مثبت وی هغه به کششی وی، او که چیری سټریس منفی وی هغه به غری ټیل وهي.
- په ټول غوڅه برخه دستریس ویش کیدی شی چی په گرافیک حالت وښودل شی، او یا کیدی شی چی یو عنصر حجم د موادو ځانګړي شي تر څو محاسبه شوی په یو نقط کی سټریس ورباندی وښودل شی.

مثالونه

مثال 6.19

په دی لاندی انځور 6-41a کی یو منحنی بار بنودل شوي. که چیری یو کیریدونکی مؤمنت 4 kN.m په دی بیم عمل وکړي، اعظمی نارمل ستریس په دی بار کی معلوم کړي.



انځور 6-41

حل (SOLUTION)

داخلي مؤمنت (Internal Moment) .

هره برخه د بار په یو شان داخلي مؤمنت 4 kN.m پلی شوي. څرنګه چی دا مؤمنت غواړی چی د بار انحنای کم کړي او دا منفي ده. پس $M = -4 \text{ kN.m}$.

د برخی مشخصات (Section Properties) .

دلته به پام کی ونیسو چی غوڅه برخه یوه مستطیل او مثلث دی. ټوله ساحه د غوڅی برخی عبارت ده په

$$\Sigma A = (0.05 \text{ m})^2 + \frac{1}{2}(0.05 \text{ m})(0.03 \text{ m}) = 3.250(10^{-3}) \text{ m}^2$$

د ثقل مرکز موقعیت نظر په مرکز انحنای، ټکی O' ، انځور 6-41a .

$$\begin{aligned}\bar{r} &= \frac{\sum \tilde{r}A}{\sum A} \\ &= \frac{[0.225 \text{ m}](0.05 \text{ m})(0.05 \text{ m}) + [0.260 \text{ m}] \frac{1}{2}(0.050 \text{ m})(0.030 \text{ m})}{3.250(10^{-3}) \text{ m}^2} \\ &= 0.233077 \text{ m}\end{aligned}$$

له جدول 6-1 کولای شو $\int dA/r$ د هر برخې لپاره کار واخلو. د مستطیل لپاره

$$\int_A \frac{dA}{r} = b \ln \frac{r_2}{r_1} = 0.05 \text{ m} \left(\ln \frac{0.250 \text{ m}}{0.200 \text{ m}} \right) = 0.0111572 \text{ m}$$

او د مثلث لپاره

$$\int_A \frac{dA}{r} = \frac{br_2}{(r_2 - r_1)} \left(\ln \frac{r_2}{r_1} \right) - b = \frac{(0.05 \text{ m})(0.280 \text{ m})}{(0.280 \text{ m} - 0.250 \text{ m})} \left(\ln \frac{0.280 \text{ m}}{0.250 \text{ m}} \right) - 0.05 \text{ m} = 0.00288672 \text{ m}$$

د صفری محور موقعیت په لاندی ډول ټاکل کیدی شي

$$R = \frac{\sum A}{\sum \int_A dA/r} = \frac{3.250(10^{-3}) \text{ m}^2}{0.0111572 \text{ m} + 0.00288672 \text{ m}} = 0.231417 \text{ m}$$

محاسبات په ډیر دقت سره اجرا شول

$$\text{په څلور ارقام صحیح ده. } (r - R) = 0.233077 \text{ m} - 0.231417 \text{ m} = 0.001660 \text{ m}$$

نارمل ستریس (Section Properties) .

اعظمی ستریس په ټکیو A او B کی جوړیږي. له منحنی-بیم فورمولڅخه کار اخلو تر څو ستریس په ټکی B کی، $r_B = 0.200$ m لرو

$$\sigma_B = \frac{M(R - r_B)}{Ar_B(\bar{r} - R)} = \frac{(-4 \text{ kN} \cdot \text{m})(0.231417 \text{ m} - 0.200 \text{ m})}{3.250(10^{-3}) \text{ m}^2(0.200 \text{ m})(0.001660 \text{ m})}$$

$$= -116 \text{ MPa}$$

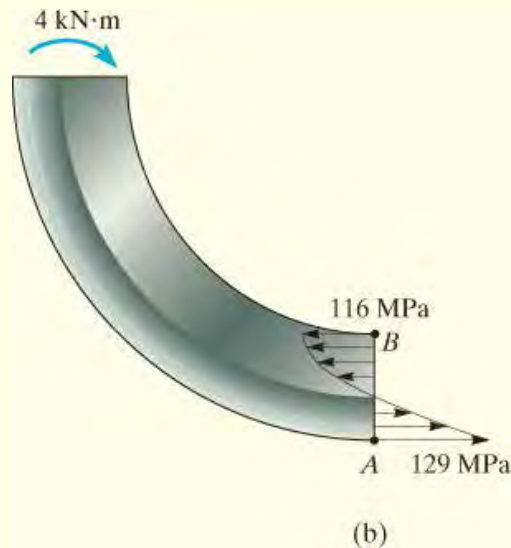
په ټکی A کی $r_A = 0.280$ m او نارمل ستریس مساوی دی په

$$\sigma_A = \frac{M(R - r_A)}{Ar_A(\bar{r} - R)} = \frac{(-4 \text{ kN} \cdot \text{m})(0.231417 \text{ m} - 0.280 \text{ m})}{3.250(10^{-3}) \text{ m}^2(0.280 \text{ m})(0.001660 \text{ m})}$$

$$= 129 \text{ MPa}$$

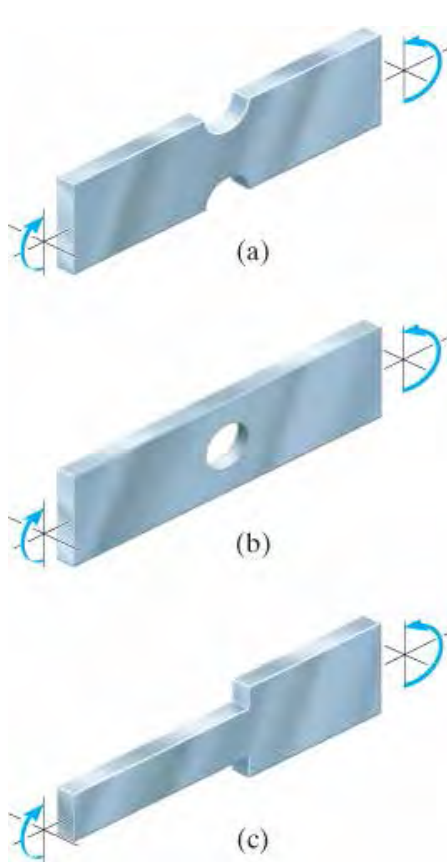
Ans.

په پرتله، اعظمی نارمل ستریس په A کی دی. یو دوه اړخیز ستریس ویش په انځور 6-41b کی بنودل شي.



انځور 6-41 (تکرار)

6.9 د سټریس غلظت (STRESS CONCENTRATION)



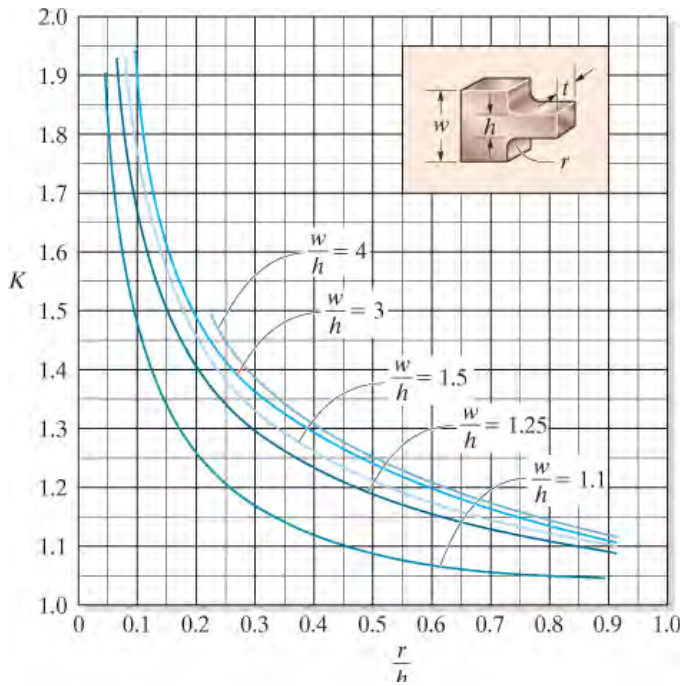
په هغه ساحو د غړی چی غوڅه برخه یې ناڅاپه بدلونونه ولری د سټریس ویش ټاکلو لپاره د کوروالي فورمول نشي کارول کیدی. دا ځکه چی سټریس او سټرین ویش په دی ځای کی غیر خطی دی. پایلې یوازی د تجربې ، یا په ځینو مواردو کی، د ایلسټیستی تیوري په کارولو له لاری ترلاسه کیدی شي. په عام توگه دا ډول بدلونونه یا وقفې په هغه غړي کی شامل دي چې د دوی په سطحو کی، نخبني (notches) یا غوڅی شتون ولري انځور 6-42a ، بولتونو یا نورو شیانو تیریدلو لپاره سوري، انځور 6-42b یا د غړی د غوڅی برخی په بهرنی ابعاد کی ناڅاپي ډول بدلونونه انځور 6-42c راوستل شي. اعظمي نارمل سټریس په دي هر یو بدلون یا وقفې کی هغه وخت پېښیږي چی په دی ساحو کی ترتولو کوچنی غوڅه برخه د تحلیل لپاره په پام کی و نیول شي.

انځور 6-42

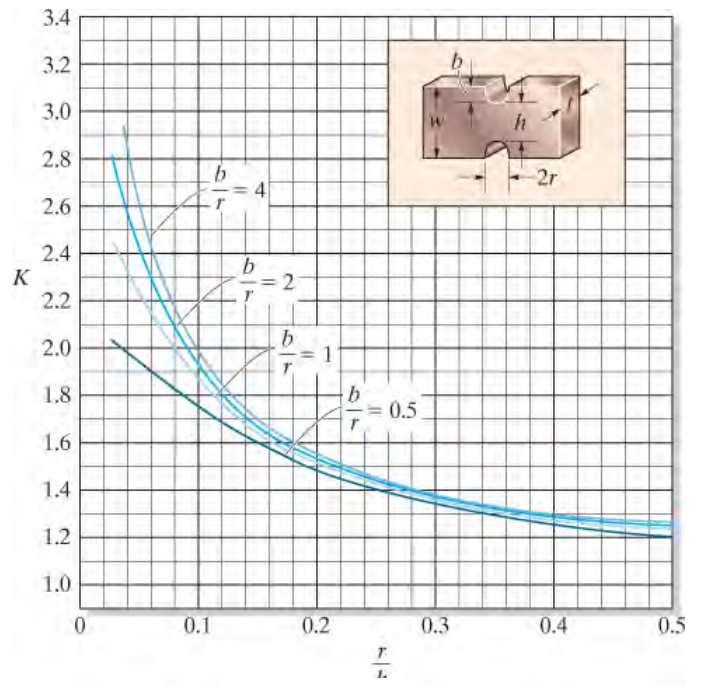
د ډیزاین لپاره، عموماً مهم دي چې په دي برخو کی ، د اعظمي نارمل سټریس ارزښت پوهیدل رامینځته شی ، نه د اصلي سټریس ویش. لکه د محوري غړیو او تاویدونکی شافتونو (torsionally loaded shaft) پخوانی قضیې، چی مور کولی شو دا سټریس د غلظت فاکتور K په کارولو سره د مؤمنت له امله سټریسونه ترلاسه کړو. د مثال په توگه، انځور 6-43 کی د یو اواره (flat) بار لپاره چی غوڅه برخه کی یې بدلون راغلي د K ارزښت ټاکلی شو. د دي گراف کارولو لپاره، په ساده ډول هندسی نسبت د w/h او r/h ومومی ، او بیا د K ارزښت وټاکي. کله چی د K ارزښت یوار پیدا کړي ، وروسته اعظمی سټریس د مؤمنت له امله ځرنگه چی په انځور 6-45 کی ښودل شوي پیدا کیدی شي

$$\sigma_{\max} = K \frac{Mc}{I}$$

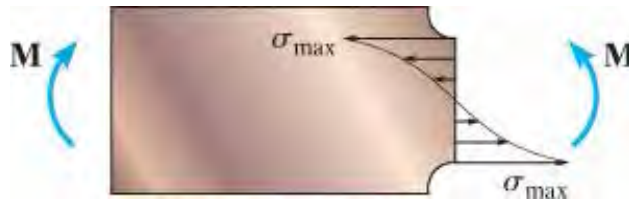
(6-26)



انځور 6-43



انځور 6-44



انځور 6-45

په ورته ډول انځور 6-44 د سطحی وقفی یا غوڅی، انځور 6-44، چی دایروی نخشي یا ژوري (grooves) ولري.

لکه محوری بار او تورژن، سټریس فکتور په ډیزاین کی د کورونکی مؤمنت لپاره د هغو غړیو لپاره د ماتیدونکیو موادو جوړوی، یا هغه غړی چی فټیک یا پر لپسی سایکلک بار ورباندی پلی کیری په پام کی ونیسی. د سټریس فکتور باید هغه وخت وکارول شی چی مواد ایلسټیک چلند

ولری. که چیر پلی شوی مؤمنت بیلدینگ په موادو کی سبب شي، لکه نرم مواد (ductile material)، چی



د ستريس غلظت چی د مؤمنت له امله
جوړیږي د کرکی په تیز کنجونو کی منځ ته
راځي او هڅه سبب د درزونو په کنجونو
کيږي.

ستريس په ټول غړی کی ویشلکيږی او اعظمی ستريس به له هغه، چی د ستريس فکتور په ذریعه
پیدا شوی وی، لږ وی. په راتلونکی برخه کی په دی نور بحث وشي.

مهم ټکي

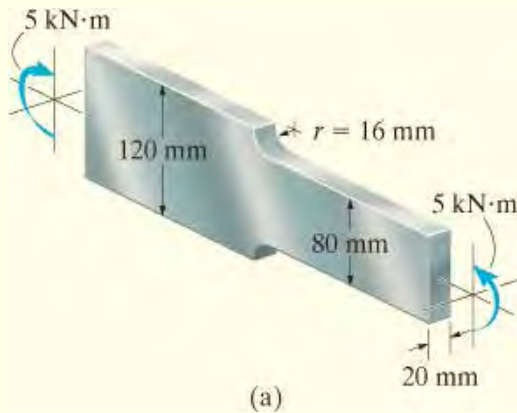
(IMPORTANT POINTS)

- سټریس غلظت په هغو ځایونو کې مینځ ته راځي چې غوڅه برخه تغیر ومومي، لکه سوري، او غوڅه چې په هغه ساحو کې سټریس او سټرین غیر خطي دي. هر څومره چې دا غوڅي او وقفي شديد وي په هغه اندازه د سټریس غلظت پیر دي.
- د ډیزاین او تحلیل لپاره اعظمي نارمل سټریس په کوچني غوڅه برخه کې جوړیږي. دا سټریس د غلظت فکتور K په کارولو سره لاس ته راځي. سټریس فکتور د تجربو په واسطه ټاکل کیږي، او تابع د غړي د هندسي دي.
- په عامه توګه د غلظت فکتور په ماتیدونکیو (ductile) موادو کې چې ستاتیک مؤمنت ورباندې عمل کړي، په کار نه اخیستل کیږي. اما که چیرې مواد ماتیدونکی (brittle) وي او یا فټیګ بار ورباندې عمل کړي د غلظت فکتور کار اخیستل مهم دي.

مثال

مثال 6.20

له فولادو جوړه شوی یوه تخته په انځور 6-46a کی بنودل شوی. ددی تختی په غوڅه برخه کی په کارولو د شعاعی کرنی چی 16mm شعاع لری بدلون راغلي. که چیر دا تخته باندی یو کریدونکی مؤمنت چی 5 kN.m ارزښت لری پلی شي اعظمی نارمل ستریس په فولادوکی وټاکي. بیلد ستریس د موادو $s_y = 500 \text{ MPa}$ دی .



حل (SOLUTION)

مؤمنت لوی ستریس، د تختی د غوڅی (fillet) شعاع په بیخ کی چیرته چی غوڅه برخه کوچنی ساحه لری، جوړه وی. په دی خای کی د ستریس غلظت ارزښ، ډیر دی. د ستریس غلظت فکتور له انځور 6-43 څخه ټاکل کیدی شي، له هندسی د تختی (bar) مور لرو، $w = 120 \text{ mm}$ ، $h = 80 \text{ mm}$ ، $r = 16 \text{ mm}$. په دی توگه

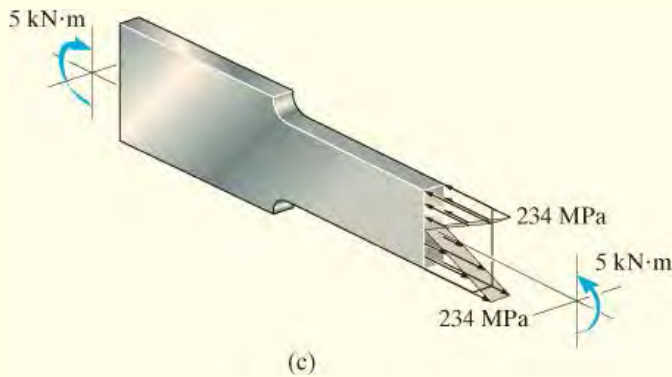
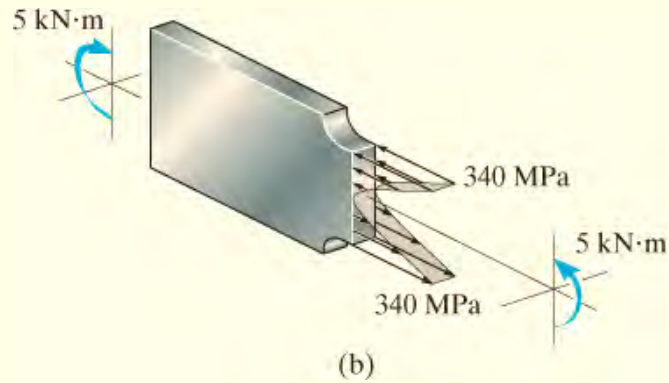
$$\frac{r}{h} = \frac{16 \text{ mm}}{80 \text{ mm}} = 0.2 \quad \frac{w}{h} = \frac{120 \text{ mm}}{80 \text{ mm}} = 1.5$$

لدی ارزښتونو د $K = 1.25$ کیری، او له معادلي 6-36 کار اخلو دا لاندی په لاس راځی

$$\sigma_{\max} = K \frac{Mc}{I} = (1.45) \frac{(5(10^3) \text{ N} \cdot \text{m})(0.04 \text{ m})}{\left[\frac{1}{12}(0.020 \text{ m})(0.08 \text{ m})^3 \right]} = 340 \text{ MPa} \quad \text{Ans.}$$

دا پایلی بنیي چی ستریس په فولادو کی له بیلد ستریس لږ (500 MPa) دی.

نوټ: د سټریس ویش غیر خطي دی ، څنگه چی په انځور 6-46b کی بنودل شوي. پوه شي د سنت-وینانت (Saint-Venant) اصولو له مخي : محلی سټریسونه په فاصله (تخمینی) په حد د 80 mm کی په بني لور نرم او خطي کيږي. د کوروالي فورمول له مخی دا ارزښت عبارت دی په $s_{max} = 234 \text{ MPa}$ انځور 6-46c و گوري.

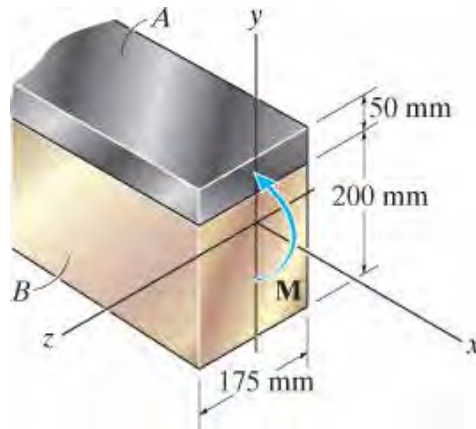


انځور 6-46

سوالونه

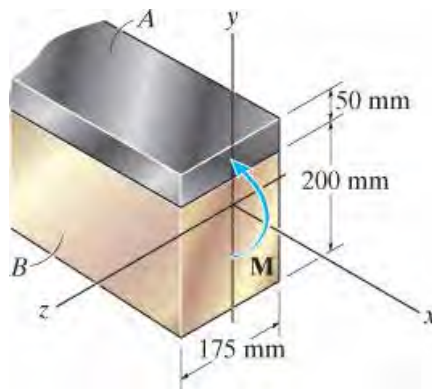
(PROBLEMS)

س 6-120* مرکب بیم جور شوی له فولادو (A) سریش شوی په برنجی موادو چی غوڅه برخی یی لاندی بنودل شوي. که چیری یو مؤمنت $M = 6.5 \text{ kN.m}$ ، اعظمی ستریس د مؤمنت له امله په فولادو او برنجو کی و مومي. همدارنگه ستریس په هر یو موادو کی په هغه ځای کی یو بل سره سریش شوی و ټاکي. $E_{br} = 100 \text{ GPa}$, $E_{st} = 200 \text{ GPa}$.



س 6-120

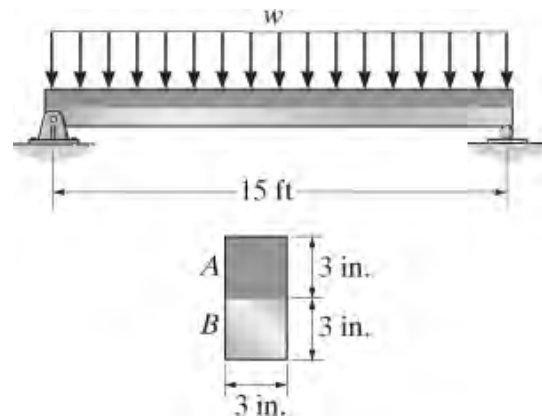
س 6-121 مرکب بیم جور شوی له فولادو (A) سریش شوی په برنجی موادو چی غوڅه برخی یی لاندی بنودل شوي. که منل شوی ستریس د فولادو $(s_{allow})_{st} = 180 \text{ Mpa}$ او د برنجی موادو منل شوی ستریس $(s_{all})_{br} = 60 \text{ Mpa}$ او $E_{st} = 200 \text{ GPa}$ ، $E_{br} = 100 \text{ GPa}$



س 6-121

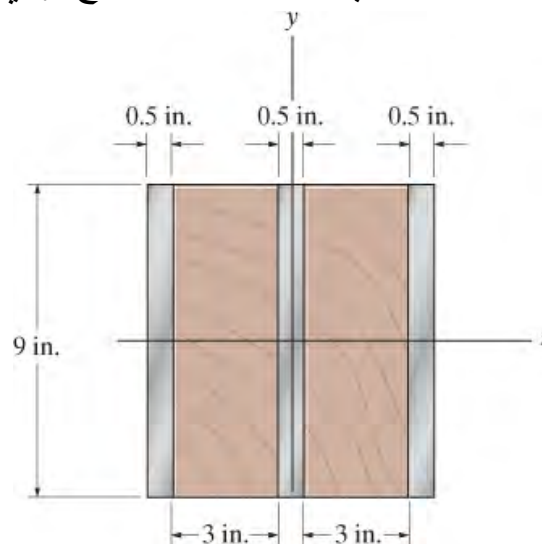
س 6-122. برخه A د مرکب بیم له المونیم 2014-T6 الوی او برخه B له فولادو A-36 جوړ شوي. که چیری $w = 0.9 \text{ kip/ft}$ مطلق اعظمی د مؤمنت ستریس په المونیم او فولادو کی و ټاکی. د ستریس ویش په غوڅه برخه سکیچ کړي.

س 6-123. برخه A د مرکب بیم له المونیم الوی 2014-T6 او برخه B له فولادو A-36 جوړ شوي. منل شوی ستریس د مؤمنت له مله په المونیم او فولادو کی $(s_{\text{allow}})_{\text{al}} = 15 \text{ ksi}$ او $(s_{\text{allow}})_{\text{st}} = 22 \text{ ksi}$ دی. اعظمی منل شوی شدت w مساوی ویشل شوی بار وټاکی.



س 6-122/123

س 6-124*. د سپین سپرس (spruce) لرگی بیم تقویه شوی په فولارو پټو A-992 په مرکز او اړخونو کی. که چیری په بیم یو مؤمنت $M_z = 10 \text{ kip.ft}$ پلی شوی وی اعظمی ستریس په لرگی او په فولادو کی معلوم کړي. د ستریس ویش په غوڅه برخه سکیچ کړي.

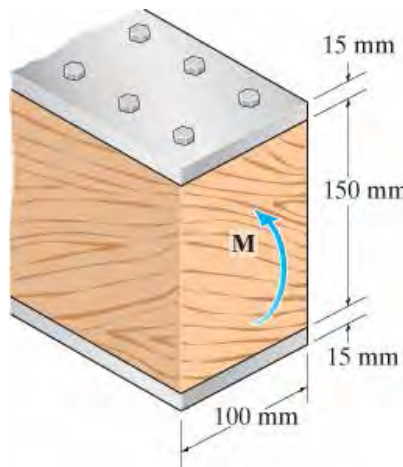


س 6-124

س 6-125. د لرگیو برخه د بیم په دوه پټو د فولادو، لکه څنګه چې بنودل شوي، تقویه شوی. اعظمی مؤمنت M چی کیدی شی په بیم پلی شي و مومي. منل شوی ستیریس په لرگی او فولادو کی عبارت دی په $(s_{allow})_w = 6 \text{ MPa}$ او $(s_{allow})_{st} = 150 \text{ MPa}$ دی. او $E_w = 10 \text{ GPa}$ او $E_{st} = 200 \text{ GPa}$.

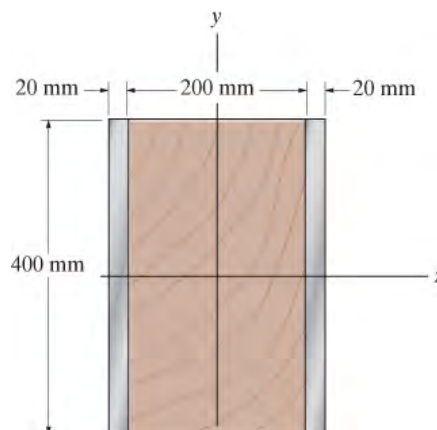
س 6-126. د لرگیو برخه د بیم په دوه پټو د فولادو، لکه څنګه چې بنودل شوي، تقویه شوی. که چیری په بیم یو مؤمنت $M = 30 \text{ kN.m}$ پلی شوی وی اعظمی ستیریس په لرگی او په فولادو کی معلوم کړي. د ستیریس ویش په غوڅه برخه سکیچ کړي. کار واخلي له $E_w = 10 \text{ GPa}$ او

$$E_{st} = 200 \text{ GPa}$$



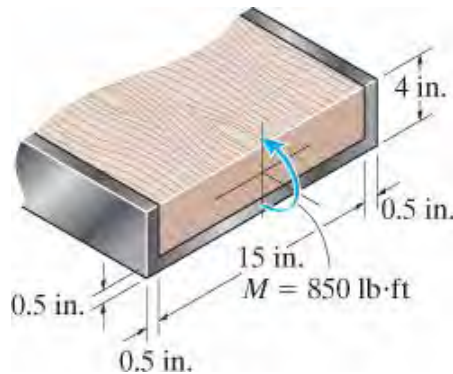
س 6- 125/126

س 6-127. د ډګلس فر (Douglas Fir) بیم د فولادی پټي A-992 په واسطه په اړخونو کی تقویه شوي. اعظمی ستیریس په لرگی او فولادو کی پیدا کړی، په بیم یو مؤمنت $M_z = 80 \text{ kN.m}$ پلی شوی. د ستیریس ویش په غوڅه برخه سکیچ کړي.



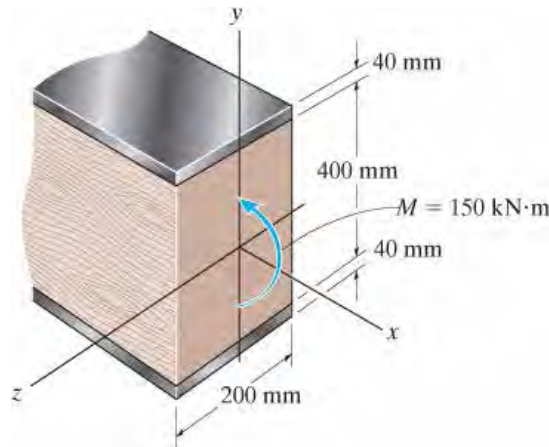
س 6- 127

س 6-128* د فولادو چینل (channel) د لرگیو بیم د تقووي لپاره کارول شوي. که چیری په بیم یو مؤمنت $M = 850 \text{ lb}\cdot\text{ft}$ پلی شي اعظمی ستریس په فولادو او بیم کی پیدا کړي. $E_w = 1600 \text{ ksi}$ او $E_{st} = 29(10^3) \text{ ksi}$ دی.



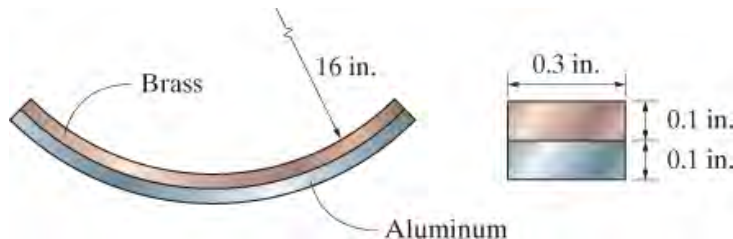
س 6-128

6-129 د لرگیو بیم د فولادو پتی سره په پورته او تیتته خوا کی تقویه شوي. که چیری په بیم یو مؤمنت $M = 150 \text{ kN}\cdot\text{m}$ پلی شي اعظمی ستریس په فولادو او بیم کی پیدا کړي. او د ستریس ویش په غوڅه برخه سکیچ کړي. له $E_w = 10 \text{ GPa}$ او $E_{st} = 200 \text{ GPa}$ کار واخلي.



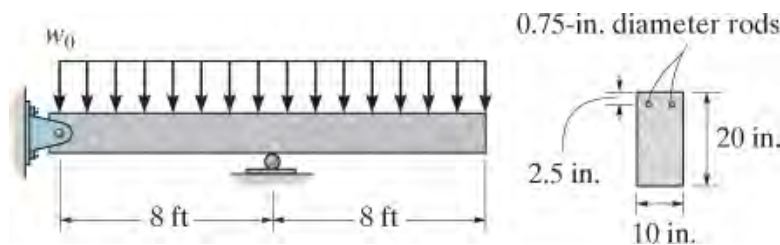
س 6-129

6-130 . د دوه موادو جوړه شوی پټه له المونیم 2014-T6 توتي اوسره برنج C83400 توتي جوړ شوي، غوڅه برخه يي په لاندی انځور کی بنودل شوي. د تودوخی زیاتوالي له لوروالي له امله صفری سطحه په دایروى قوس چی 16 in (انچ) شعاع لری بدله شوي. هغه مؤمنت چی د تودوخی ستیریس له امله په غوڅه برخه پلی شوی و ټاکي.



س 6-129

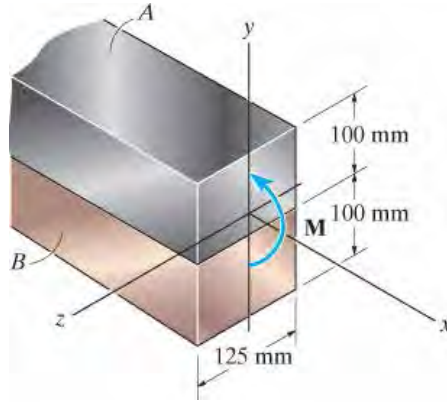
6-131 . که چیری د فولادو د منلو وړ کششی ستیریس $(s_{st})_{allow} = 28 \text{ ksi}$ او د کانکریت د منلو وړ ټیلوهونکی ستیریس $(s_{con})_{allow} = 3 \text{ ksi}$ وی، اعظمی مساوی ویشل شوی بهرنی بار w_0 په کانکریتی بیم کی، چی په فولادو تقویه شوی، معلوم کړي. له $E_{st} = 29(10^3) \text{ ksi}$ او $E_{conc} = 3.6(10^3) \text{ ksi}$ کار واخلی.



انځور 6-131

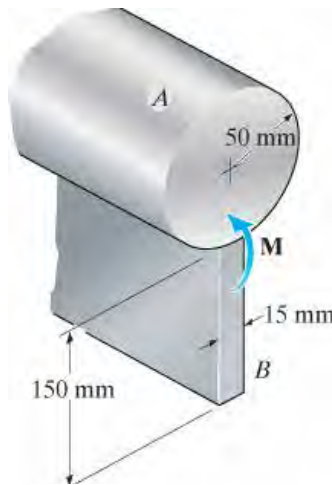
6-132* . لاندی مرکب بیم کی چی له فولادو (A) A-36 او سرینس شوی سرو برنجو C83400 (B) جوړه شوی او بنودل شوی غوڅه برخه لری. په دی بیم یو مؤمنت $M = 6.5 \text{ kN.m}$ پلی شوی، اعظمی ستیریس په فولادو او برجی موادو کی و ټاکي. او همدا رنگه ستیریس په دواړو موادو کی په هغه ټکی کی چی دواړه مواد سره سرینس دی و ټاکي.

6-133. لاندی مرکب بیم کی چی له فولادو (A) A-36 او سرینس شوی سرو برنجو (B) C83400 جوړه شوی او بنودل شوی غوڅه برخه لری. که چیری د منلو وړ ستریس د فولادو $(s_{allow})_{st} = 180 \text{ MPa}$ او د برنجو $(s_{allow})_{br} = 60 \text{ MPa}$ وی، اعظمی مؤمنت M چی په بیم پلی کیدی شی وټاکی.



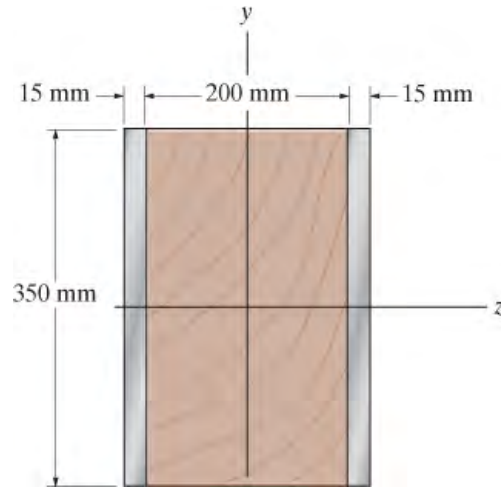
انځور 6-132/133

6-134. که چیری په بیم یو مؤمنت $M = 45 \text{ kN.m}$ پلی شی اعظمی ستریس د کیردونکی مؤمنت له امله په A-36 فولادو برخه A او په المونیم الیاژ 2014-T6 برخه B کی معلوم کړی.



انځور 6-134

6-135. د دگلاس فر (Douglas Fir) لرگی بیم په فولادی پټیو A-36 په اړخونو کی تقویه شوی. که چیری په بیم یو مؤمنت $M_z = 4 \text{ kN.m}$ پلی شوی وی اعظمی ستریس په لرگی او په فولادو کی معلوم کړی. د ستریس ویش په غوڅه برخه سکیچ کړی.

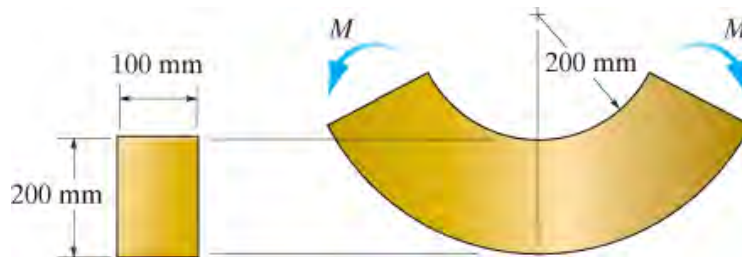


انځور 6-135

6-136* . منحنی بیم چی په انځور 6-40a کی بنودل شوي د انحنای شعاع یې لایتناهي ته تقرب کوی ، او د بیم منحنی فورمول 6-24 په کیږدونکی فورمول 6-13 بدلیری.

6-137 . په منحنی بیم مؤمنت $M = 50 \text{ kN.m}$ پلی شوي. که چیری د مؤمنت له امله د اعظمی ستریس محاسبه کولو له پاره له کوریدونکی فورمول کار واخیستل شی فیصدی د غلطی د محاسبی په پایلی کی معلوم کړي.

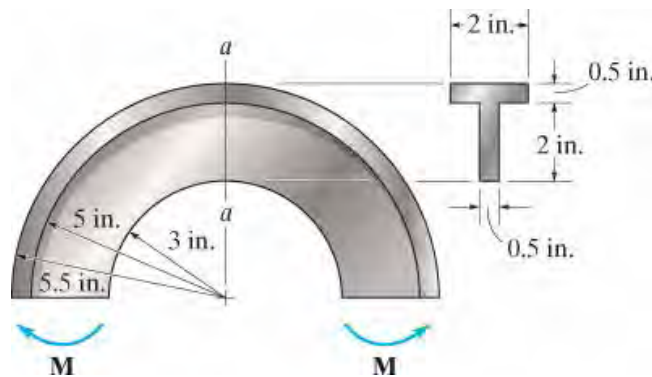
6-138 . منحنی بیم له هغه موادو جوړ شوی چی د منلو وړ ستریس یې $s_{allow} = 10 \text{ MPa}$ دی. د منلو وړ مؤمنت M چی کیدی شی په دی غړی پلی شي وټاکي.



انځور 6-137/138

6-139 . په منحنی بیم یو مؤمنت $M = 40 \text{ lb.ft}$ پلی شوی. اعظمی ستریس د مؤمنت له امله په بیم کی وټاکي. همدارنگه دوه اړخیزه لید د ستریس ویش په برخه $a-a$ سکیچ کړي.

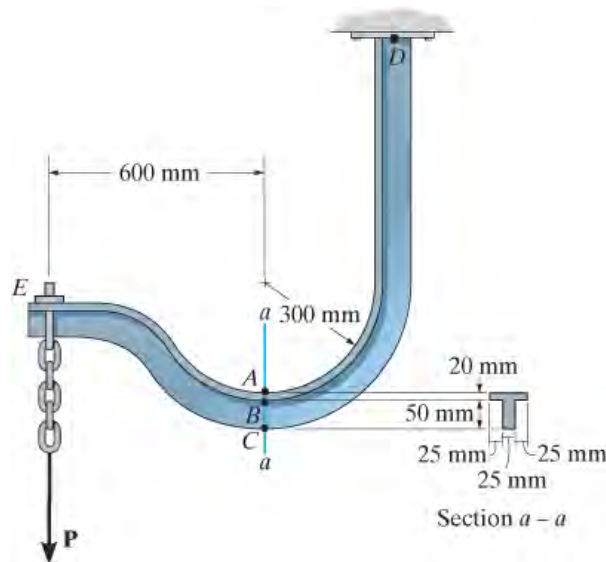
6-140* منحنی بیم له هغه موادو جوړ شوی چې د منلو وړ سټریس یې $s_{allow} = 24 \text{ ksi}$ دی. اعظمی مؤمنت M چې په بیم کیدي شی پلی شي و ټاکي.



انځور 6-139/140

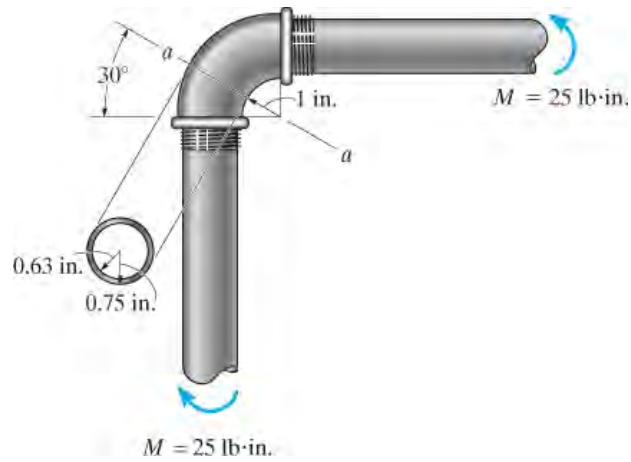
6-141 که چیرې $P = 3 \text{ kN}$ وی په ټکیو A , B , او C د غوڅي برخي په برخه $a-a$ د مؤمنت سټریس معلوم کړي. له دی پایلو کار واخلی او دستریس ویش په برخه $a-a$ سکيچ کړي.

6-142 که چیرې اعظمی سټریس په برخه $a-a$ کی له $s_{allow} = 150 \text{ MPa}$ زیاتوالی و نکړي اعظمی د منلو وړ قوه P چې کیدي شی په پای E پلی شي وټاکي.



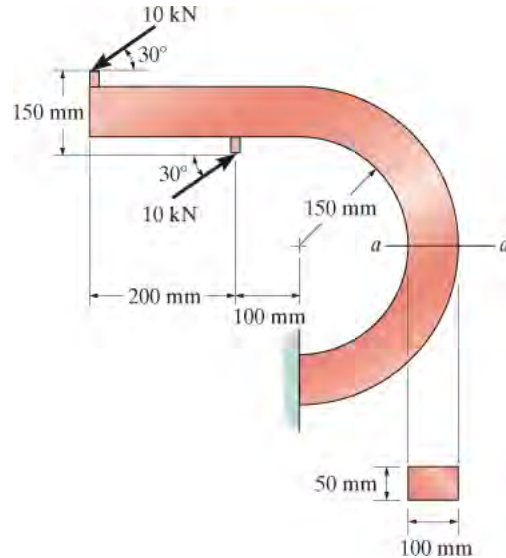
انځور 6-141/142

6-143. د پایپ کبره برخه بهرنی شعاع 0.75 in (انچ) او داخلی ضعاع 0.63 in (انچ) دی. که چیری په اسامبلۍ یو مؤمنت $M = 25 \text{ lb}\cdot\text{in}$ پلی شی په برخه $a-a$ اعظمی ستریس معلوم کړی.



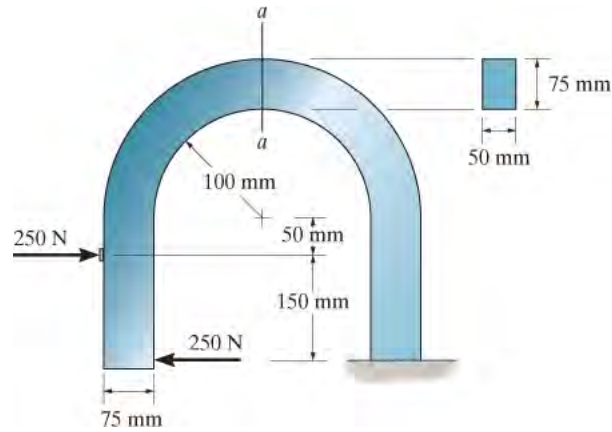
انځور 6-143

6-144*. منحنی بار چی مستطیلی غوڅه برخه لری د یو ماشین لپاره په کار اخیستل شوي. که چیری په دی بار یو بنودل شوی کپل (couple) پلی شي اعظمی کشیشي او تیلوهونکي ستریس په برخه $a-a$ و ټاکی. د ستریس ویش په درۍ اړخیز ډول سکچ کړی.



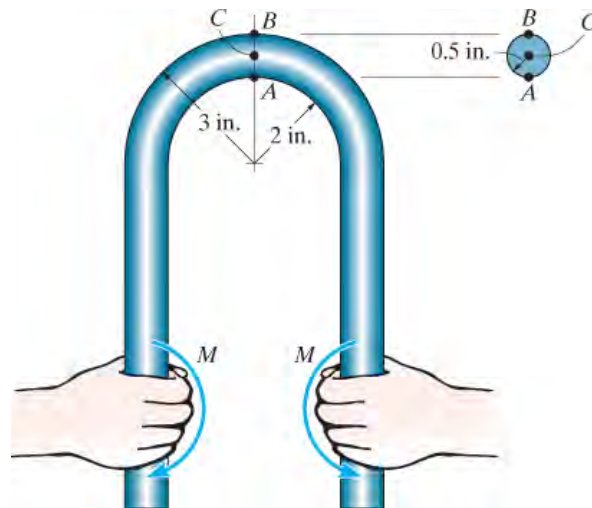
انځور 6-144

6-145. منحنی بار چی مستطیلی غوڅه برخه لری د یو ماشین لپاره جوړ شوي. که چیری په دی بار یو بنودل شوی کپل (couple) پلی شي اعظمی کشیشي او تیلوهونکي ستریس په برخه $a-a$ کی و ټاکی. د ستریس ویش په درۍ اړخیز ډول سکچ کړی.



انځور 6-145

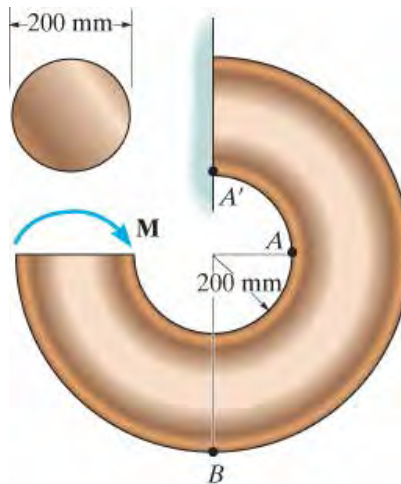
6-146. د فولادو بار دایروی غوڅه برخه لري. که چیری پایپ په پای کی و نیول شی یو کپل مؤمنت $M = 12 \text{ lb. in}$ په هر نیولې ځای کی منځ ته راځي، سنتریس په ټکیو A او B او هم په مرکز C کی و ټاکي.



انځور 6-146

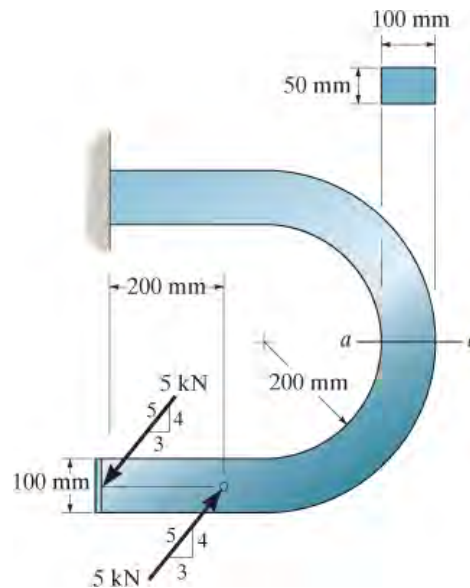
6-147. غړی دایروی غوڅه برخه لري. که چیری یو مؤمنت $M = 5 \text{ kN.m}$ پلی شی په ټکیو A او B کی سنتریس وټاکي. سنتریس په ټکی A چی نیردی دیوال ته موقعیت لری د سنتریس په ټکی A کی څه تفاوت لری یا چی مساوی دی. تشریح ورکړي.

6-147* غړی دایرووی غوڅه برخه لري. که چیری د منلو وړ ستریس $s_{allow} = 100 \text{ MPa}$ وی، اعظمی مؤمنت M چی پلی کیدی شی معلوم کړي.



انځور 6-147/148

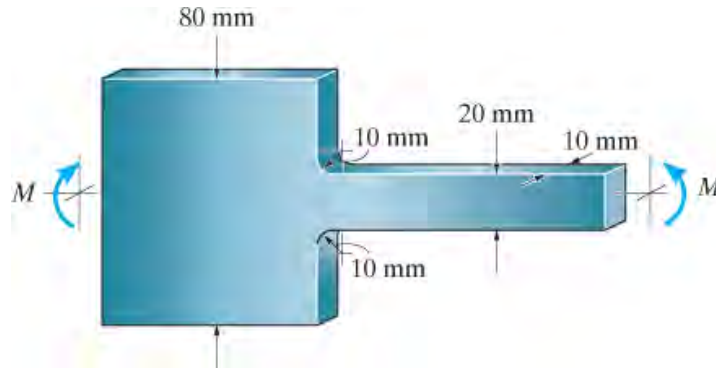
6-149 منحنی بار چی مستطیلی غوڅه برخه لری د یو ماشین لپاره تری کار اخیستل شوي. که چیری په دی بار یو بنودل شوی کپل (couple) پلی شی اعظمی کشیښي او تیلو هونکي ستریس په برخه $a-a$ کی و ټاکی. د ستریس ویش په دری اړخیز توگه سکچ کړی.



انځور 6-149

6-150 په دی لاندی بار یو مؤمنت $M = 100 \text{ N.m}$ پیل شوي. اعظمی ستریس د مؤمنت له امله په بار کی معلوم او تقریبی سکچ کړي چی ستریس پدی برخه کی په څه ډول تغیر مومي.

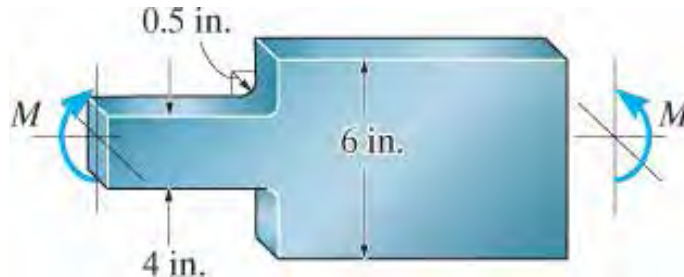
6-151. د منلو وړ سټریس د مؤمنت له امله په بار کی $s_{allow} = 200 \text{ MPa}$ دی. اعظمی مؤمنت M چی په بار پلی کیدی شي معلوم کړي.



انځور 6-150/151

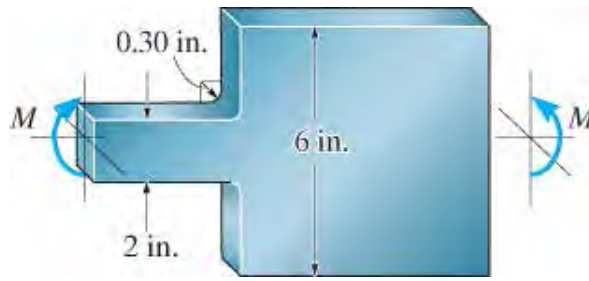
6-152*. دا لاندی بار 1 in (یو انچ) ضخامت لري او منل شوی سټریس $s_{allow} = 30 \text{ ksi}$ دی. اعظمی مؤمنت M چی پلی کیدی شي وټاکي.

6-153. دا لاندی بار 1 in (یو انچ) ضخامت لري او یو مؤمنت 3 kip.ft پری پلی شوی اعظمی سټریس د مؤمنت له امله په بار کی وټاکي.



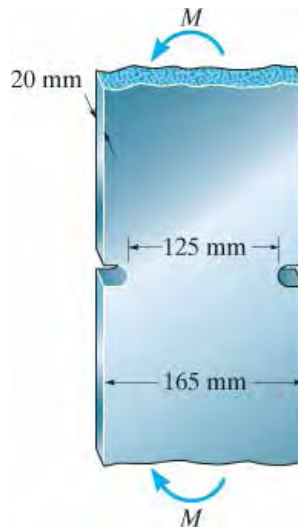
انځور 6-152/153

6-154. دا لاندی بار 0.5 in (نیم انچ) ضخامت لري او د منلو وړ سټریس یې $s_{allow} = 20 \text{ ksi}$ دی. اعظمی مؤمنت M چی کیدای شي پلی شي وټاکي.



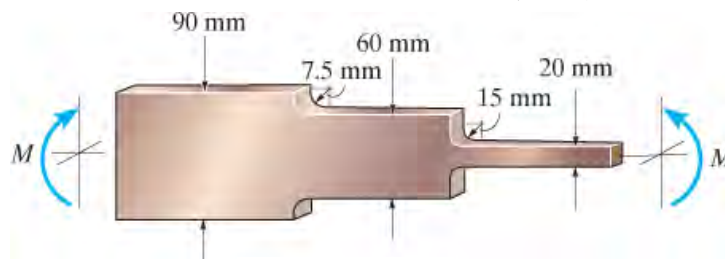
انځور 6-154

6-155 . که چیری شعاع د جری (notch) په تخته کی $r = 10 \text{ mm}$ وی اعظمی مؤمنت M چی پلی کیدی شی معلوم کړي. د منلو وړ ستیریس $s_{allow} = 180 \text{ MPa}$ دی.



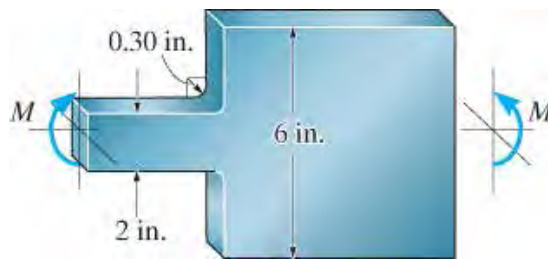
انځور 6-155

6-156* . دا لاندی بنودل شوی زینه یی بار ضخامت 10 mm دی. اعظمی مؤمنت چی په پای د بار پلی کیدی شی معلوم کړي. د منلو وړ ستیریس د مؤمنت له امله $s_{allow} = 150 \text{ MPa}$ دی.



انځور 6-156

6-157. دا لاندی بار 0.5 in (نیم انچ) ضخامت لري او یو مؤمنت 600 lb.ft پری پلی شوی. اعظمی ستریس د مؤمنت له امله په بار کی وټاکی.



انخور 6-157

6* 10. غیر ایلاستیکی کوریدنه (INELASTIC BENDING).

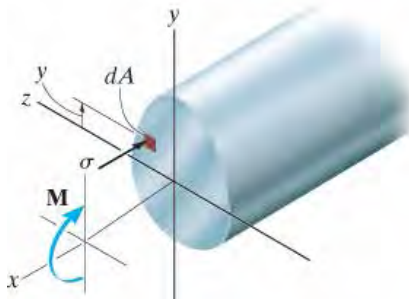
د نارمل ستریس ټاکلو لپاره چی د کزیدو له امله کیری پخوانی معادلی یوازی د اعتبار وړ دي که چیری مواد خطی ایلاستیک ډول چلند ولري. که چیری پلی شوی مؤمنت د موادو د یلید لامل شي، باید پلاستیکی تحلیل د ستریس ویش ټاکلو لپاره وکارول شي. د مستقیم غریو لپاره درې شرطونه باید پوره کړي.

خطی نارمل-سترن ویش (Linear Normal-Strain Distribution).

یوازی د جیومیتریک ملاحظاتو پر اساس، دا په برخه 6.3 کې بنودل شوی، دا چې نارمل سترین په خطی ډول له صفر څخه په صفری کرښه تر اعظمی حد پورې په خطی ډول ترتولو لري نقطه وی توپیر لري.

محصله قوه مساوی په صفرده (Resultant Force Equals Zero).

ځکه چې یوازی یو مؤمنت په غوڅه برخه پلی شوی محصله قوه چی د ستریس ویش له امله رامینځته شوی باید د صفر سره مساوی وي. له هغه وخته چې ستریس S په ساحه dA یوه قوه $dF = SdA$ رامینځته کوي، انخور 6-47، بیا د ټولې غوڅې برخې لپاره، مور لرو



انخور 6-47

$$F_R = \Sigma F_x; \quad \int_A \sigma dA = 0 \quad (6-27)$$

دا مساوات مرسته کوی تر خو د صفری کرښی موقعیت په غوڅه کی پیدا شي.

محصله مؤمنت (Resultant Moment).

مؤمنت په برخه کی باید مساوی په هغه مؤمنت شی چی ویشل شوی ستریس یی په صفری محور جوړه وی. مؤمنت د قوی $dF = \sigma dA$ په صفری محور عبارت دی په $dM = y (\sigma dA)$ انخور 6-47 و گوري، او د ټولی غوڅی لپاره مور لرو

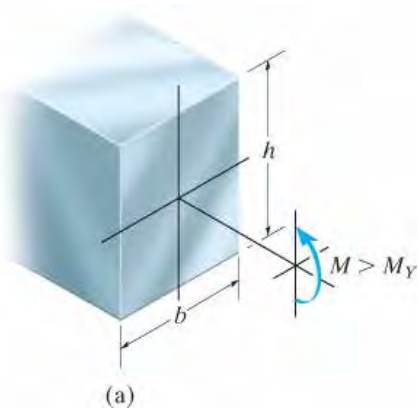
$$(M_R)_z = \Sigma M_z; \quad M = \int_A y(\sigma dA) \quad (6-28)$$

د جیومیټری او بار دا شرایط به اوس د یو بیم د ستریس ویش ټاکلو لپاره وکاره وو، او وه به بنایو چی یو بیم کله چی داخلی مؤمنت یی دموادو د بیلا لامل کیږي ورباندی پلی شی او مور د ستریس ویش یی په داسی حالت کی څنگه وټاکو. په ټول بحث کی مور به فرض کړو چی مواد داسی ستریس-سترین ډیاگرام لري چی کشش یی ورته دی لکه څنگه چی په کمپریشن کی دی. د ساده توب لپاره، مور به یو داسی بیم په پام نیولو سره پیل کړو چی د هغه غوڅه برخه دوه متناظر محورو نه لری. په دې حالت کی د مستطیل لوړوالی h او سوری b ، لکه څنگه چی په انخور 6-48a کی بنودل شوي .

پلاستيک مؤمنت (Plastic Moment).

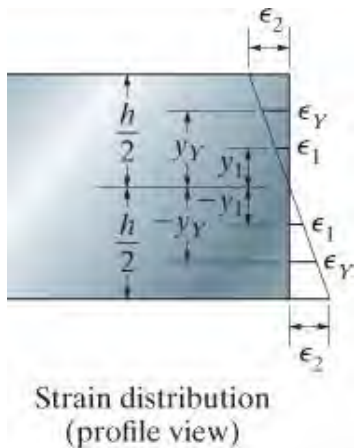
ځيني مواد، لکه فولاد، کله چې سټريس s_y بيلد حد ته ورسيري ايلستيک - بشپړ پلاستيکي چلند بنکاره کوي. کله چې مؤمنت $M = M_Y$ ته ورسيري، د بيم دغوځي پورتنی او بنکتني برخي فايبرونه بيلد سټريس ته ورسيري، بيا مور کولی شود M_Y ارزښت د کوروالي فورمول $s_Y = M_Y(h/2) / (bh^3/12)$ څخه پلاس راوړو، يا

$$M_Y = \frac{1}{6}bh^2\sigma_Y \quad (6-29)$$



انځور 6-48

که چيري د موادو $M > M_Y$ ، په پورتنی او بنکته برخه د بيم کی مواد په بيلد کولو پيل کوي، او دا لامل د سټريس ویش په غوڅه برخه باندې کيري تر هغه وخته پوري چې اړين مؤمنت M رامینځته شي. د مثال په توگه، که M د نارمل سټرين توزیع، څنگه چې په انځور 6-86b کی بنودل شوی لامل شي، بيا د ورته نارمل سټريس توزیع بايد له سټريس - سټرين ډايگرام چې په انځور 83c



Strain distribution (profile view)

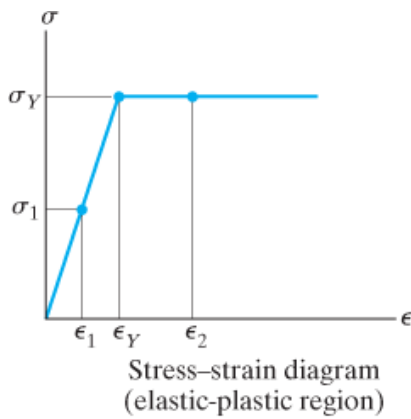
کی بنودل شوی وټاکل شي. که سټرينونه e_1, e_2, e_3 ، مطابقت ولري په ترتيب سره له سټريسونو s_1, s_2, s_3 سره، بيا دا او د دوی په څير نور د

سټريس ویش توليدوي څنگه چې په انځورونو 6-48d يا 6-48e کی بنودل شوی. په پایله کې محصله قواوی او د دوی مستطیلی او مثلثي سټريس برخو بلاکونه مساوي دي د دوی حجمونو ته .

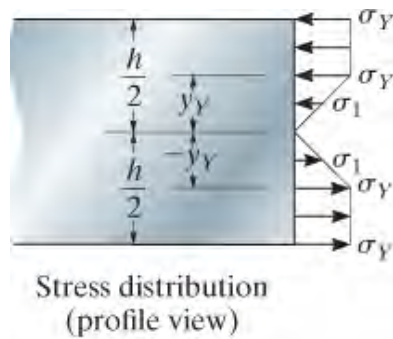
$$(b) \quad T_1 = C_1 = \frac{1}{2}y_Y\sigma_Yb \quad T_2 = C_2 = \left(\frac{h}{2} - y_Y\right)\sigma_Yb$$

د تناظر له امله، معادله 6-27 قناعت لری او صفری محور د غوځي برخي له مرکز تيري لکه څنگه چې بنودل شوي. هغه مؤمنت M کیدی شي چې بيلد سټريس s_Y ته د معادلی 6-28 په کارولو سره وبنودل شي. له انځور 6-48e څخه، مور اړتيا لرو

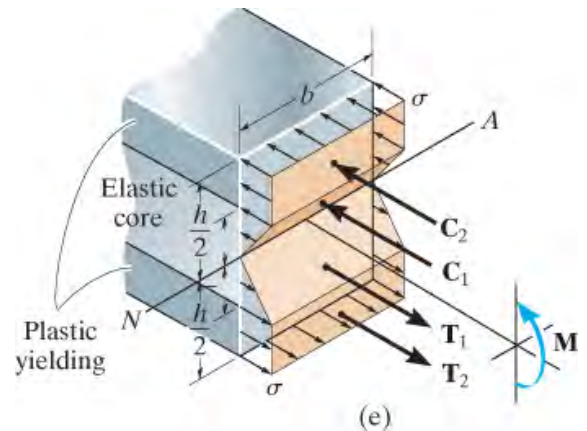
$$\begin{aligned}
 M &= T_1 \left(\frac{2}{3} y_Y \right) + C_1 \left(\frac{2}{3} y_Y \right) + T_2 \left[y_Y + \frac{1}{2} \left(\frac{h}{2} - y_Y \right) \right] \\
 &\quad + C_2 \left[y_Y + \frac{1}{2} \left(\frac{h}{2} - y_Y \right) \right] \\
 &= 2 \left(\frac{1}{2} y_Y \sigma_Y b \right) \left(\frac{2}{3} y_Y \right) + 2 \left[\left(\frac{h}{2} - y_Y \right) \sigma_Y b \right] \left[\frac{1}{2} \left(\frac{h}{2} + y_Y \right) \right] \\
 &= \frac{1}{4} b h^2 \sigma_Y \left(1 - \frac{4}{3} \frac{y_Y^2}{h^2} \right)
 \end{aligned}$$



(c)



(d)



انخور 6-48

او یا له معادلي 6-29 کار واخلو

$$M = \frac{3}{2} M_Y \left(1 - \frac{4}{3} \frac{y_Y^2}{h^2} \right) \quad (6-30)$$

څرنگه چې اندازه د M زیاتوالی مومی فاصله د y_Y څنګه چې په انخور 6-48e کی بنودل شوی صفر ته تقریب کوی. او مواد ټول پلاستیکی حالت کی کیری او دا هغه سټریس ویش جوړه وی څنګه چې په انخور 6-48f کی بنودل شوي. د سټریس بلاک مؤنټ په صفری کرښه کولای شو چې اخیښی حد یی داسی ولیکو

$$M_p = \frac{1}{4} b h^2 \sigma_Y \quad (6-31)$$

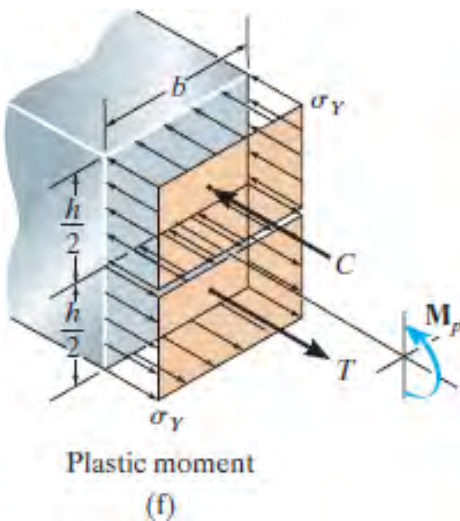
د معادلی 6-29 او یا 6-30 کله چی د $y_Y = 0$ شي مور لرو

$$M_p = \frac{3}{2} M_Y \quad (6-32)$$

دغه مؤمنت په نامه د **پلاستیک مؤمنت** (*plastic moment*) یادول کیږي. د هغې ارزښت یوازي د مستطیل برخې لپاره پلي کیږي، ځکه چې دلته تحلیل د غوڅی برخې په جیومیټري پورې اړه لري.

ځینې وختونه هغه بیمونه چی د فولادو چوکاټونو جوړولو لپاره کارول کیږي مقاومت یي د پلاستیکی مؤمنت لپاره ډیزاین کیدی شي. کله چی له دی قضیې کار واخیستل شي، کوډونه معمولاً د ډیزاین خاصیت چی په نامه دی څیری فکتور (*shape factor*) یادیزی په جدول کی بنایي. د څیری فکتور د تناسب په توگه داسی تعریف شوی

$$k = \frac{M_p}{M_Y} \quad (6-33)$$



انځور 6-48 (تکرار)

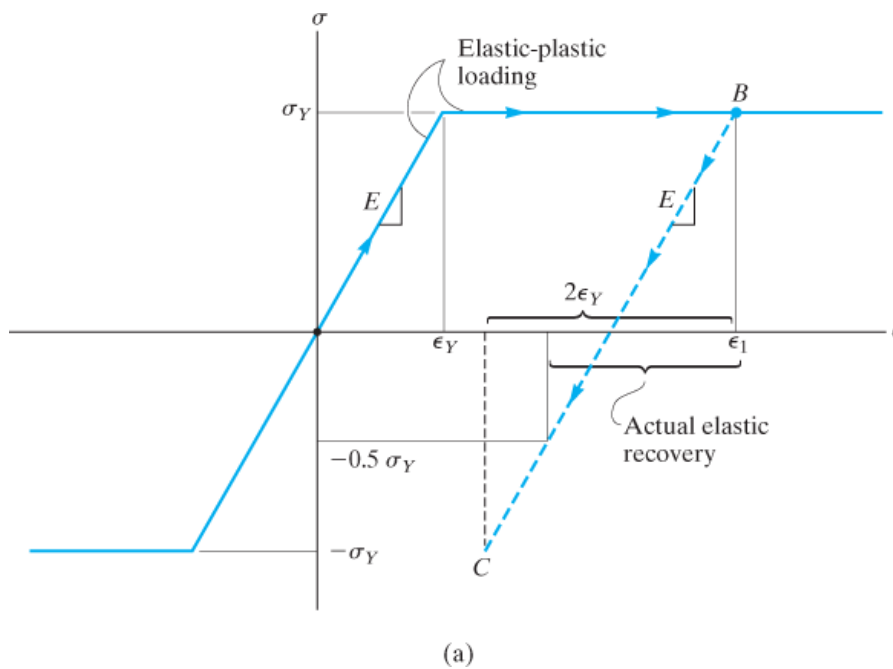
د تعریف له مخې، دا ارزښت د اضافي مؤمنت ظرفیت مشخص کوي کوم چې یو بیم کولی شي د خپل اعظمی ایلسټیک مؤمنت حد څخه پورته توان ولری. د مثال په ډول، له معادلی 6-32، هغه بیم چی مستطیل غوڅه برخه لري د څیری فکتور یي $k = 1.5$ دی. له همدې امله کله چی دا برخه په بشپړ توگه پلاستیک شی، دا برخه به له اعظمی ایلسټیک حد 50٪ نه د ډیر کزیدونکی مؤمنت توان ولری.

پاتی شوي یا ذخیره شوی ستریس (Residual Stress).

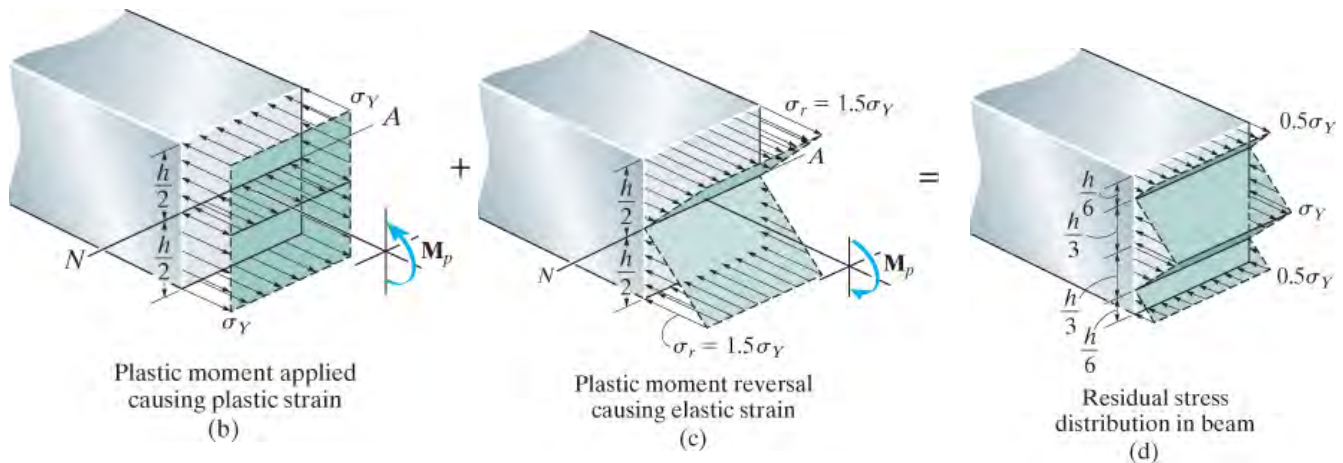
کله چی پلاستیکی مؤمنت کوم چی په انځور 6-48f کی بنودل شوی لري شي، دا به په بیم کی د **پاتی ستریس** (*residual stress*) لامل کیږي. د مثال په توگه، راحی چی ووايو M_p لامل کیږی چی د بیم پورتنی او بنسکته برخې مواد $\epsilon_r (>> \epsilon_t)$ ته سترین شی، لکه څنگه چی په ټکی B د

σ - ϵ په گراف کی په انځور 6-49a کی بنودل شوي. کله چی مؤمنت لري شي دا به لامل شي چې مواد ایلسټیک سترین له لاسه ورکړي او دا په غوڅه کرښه BC په انځور کی بنودل شوي. څرنګه چې دا بیرته تګ ایلسټیکي دی، مور کولی شو چی دا حالت اضافه کړو په ستریس ویش چی په انځور 6-49b بنودل شوی چی یو خطی ستریس ویشدی چی د پلاستیکي مؤمنت له کبله په مخالف جهت دی، انځور 6-49c وګوری. دلته د دي ویش لپاره اعظمي ستریس چی په نامه د **ماتیدو ماجولس** (*modulus of rupture*) د کړیدو ستریس S_r یادیري، کوم چی له کیردونکی فورمول (*flexure formula*) کله چی بیم باندي پلاستیک مؤمنت بارشی ټاکل کیدی شي. مونږی لرو

$$\sigma_{\max} = \frac{Mc}{I} = \frac{M_p \left(\frac{1}{2}h\right)}{\left(\frac{1}{12}bh^3\right)} = \frac{\left(\frac{1}{4}bh^2\sigma_Y\right)\left(\frac{1}{2}h\right)}{\left(\frac{1}{12}bh^3\right)} = 1.5\sigma_Y$$



انځور 6-49



انخور 6-49 (تکرار)

خوشبختانه دا ارزښت له $2s_Y$ څخه کم دی، کوم چې د لوی امکان وړ سترین $2\theta_Y$ له امله رامنځته کيږي انخور 6-49a وگوري.

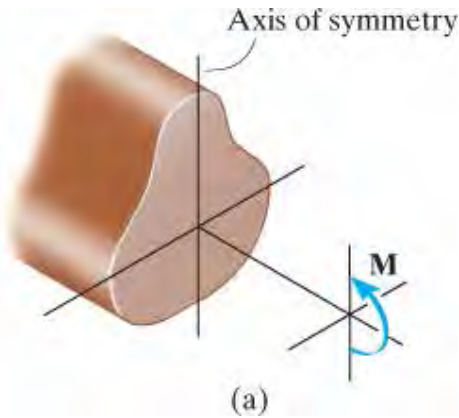
د پلاستيکي مؤمنت سوپر پوزیشن (اضافه کول)، انخور 6-49b، او د هغه لری کول، انخور 6-49c، د پاتی ستریس ویش ورکوی او دا په انخور 6-49d کی بنودل شوي. د مثال په توگه، د ب مثلی برخي "بلاک" چې د دی ستریس ویش استازیتوب کوي وکاروی او و بنیي چې د قوی پایله صفر ده او په غړي باندي د مؤمنت پایله محصله هم صفر ده.

اعظمی او آخری مؤمنت (Ultimate Moment).

اوس د بیم ډیر عمومي قضیه په پام کی نیسو، غوڅه برخه یوازې په عمودی محور تناظر او همغږي لري، پداسې حال کې چې مؤمنت په افقي محور پلي شوي، انخور 6-50a وگوري. دلته مور به فرض کړو چې مواد د سترین سختوالی چلند څرگندوي او د ستریس او سترین ډیاگرامونه د کشش او کمپرشن لپاره له یو بل توپیر لري، انخور 6-50b.

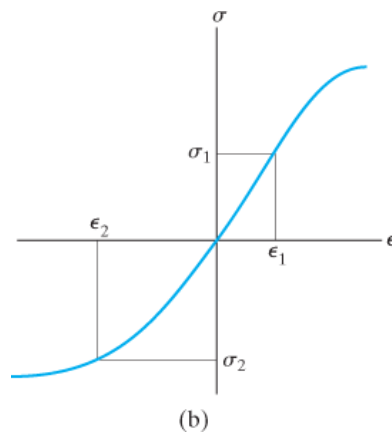
که هغه مؤمنت M په بیم کی بیلد تولیدکړي، دا مشکل رامنځته ته کيږي چې د صفری محور موقعیت او د اعظمي سترین دواړو موندل په بیم کی څنگه پیدا شي. د دې ستونزې د حل لپاره، د آزموینی - او- تیر وتنی (trial-and-error) پروسیجر څخه کار اخلو او دا لاندې گامونو ته اړ تیا ده:

1. د یوه ټاکلي مؤمنت M لپاره، د صفری محور موقعیت او د خطي سترین ویش میلان فرض کړئ، انځور 6-50c .



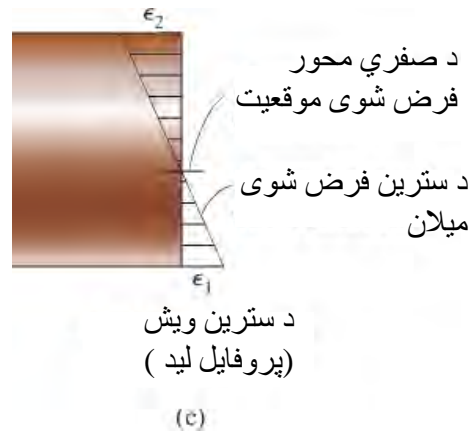
انځور 6-50

2. په گرافیک ډول د ستریس ویش د غړی په غوڅه برخه په کارولود ستریس-سترین گراف پلات کړي. د ستریس ارزښتونه او اړوند سترین ارزښتونه تنظیم او په پلات کولو کی ورځینی کار واخلئ. حاصل شوی سترین ویش، انځور 6-50d ، به د ستریس-سترین ویش گراف ورته شکل ولري .



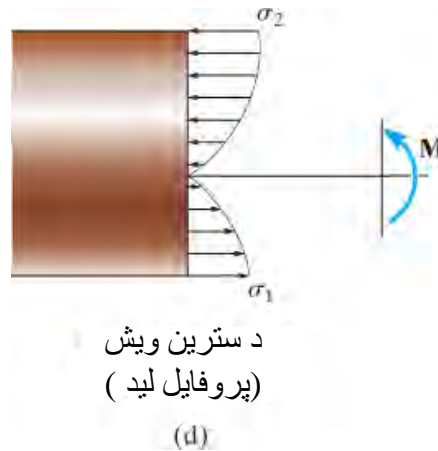
3. تړل شوي حجمونه د کششی او کمپرشنی ستریسونو "بلاکونو" معلوم کړئ . (د اټکل په توگه، دا ممکن اړتیا ولري چی بلاک په جوړ شویو اجزاوو وویشل شي.) کارول د معادلی 6-27 اړتیا لري چی د دې بلاکونو حجم باید مساوي وي، ځکه چې دوی استازیتوب د کششی قوو محصلی T او کمپرشن قواوو محصلی C په غوڅه برخه کی کوی. که چیري دا قواوی مساوي نه وي، د سمون په توگه د صفری محور موقعیت باید

تعدیل شي (د صفر سترین نقطه)، او پروسه تر هغه پوري تکرار شي چی معادله 6-27 قناعت وکا ($T = C$).



انخور 6-50 (تکرار)

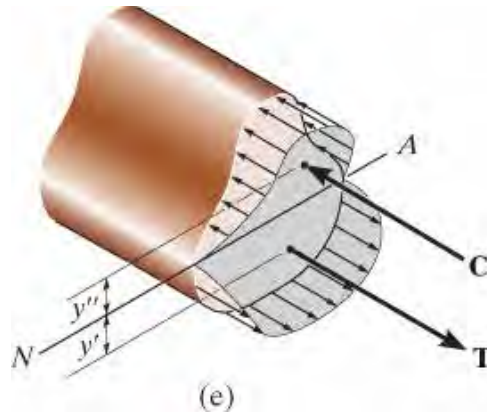
4. یوخل چی $T = C$ ، مؤمنت په صفری محور د T او C لخوا محاسبه کیدای شي. د لته د مؤمنت بازو د T او C لپاره له صفری محور تر مرکز ثقل د حجمونو چی د ستریس د ویش له مخی تعریف شوی دي اندازه کیري، انخور 6-50e. معادله 6-28 اړتیا لري چی $M = T_y' + C_y''$. که دا معادله قناعت یا پوره نه شي، میلان د سترین ویش باید تعدیل شي، او محاسبی د T او C او مؤمنت باید تکرار شي تر هغه چی نږدې توافق ترلاسه شي.



انخور 6-50 تکرار

دا د ازموینی – او- تیر وتنی (trail-and-error) کړنلاره په څرگنده توگه خورا ستریا لری، اما د خوبنی حای دی چی دا پیری وختونه د انجینری په پرکتسونو کي ډیر نه پینډیري. پیری بیمونه په

دوه محورونو همغږي لری، او دوی د داسي موادو څخه جوړ شوي دي چې انگیرل کيږي چې ورته ستریس-سترین ډایگرامونه د کشش او کمپرشن لري. خوشحالی دا ده، کله چې دا پینډیري، صفری محور د غوڅی برخي له مرکز ثقل تیريږي، او په دی ډول د ستریس ویش د اړیکو پروسه له پایلي مؤمنت سره ساده کيږي.



انخور 6-50 (تکرار)

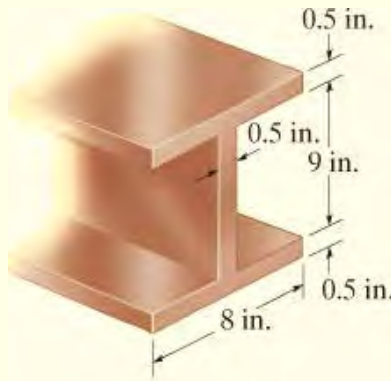
مهم ټکي

(IMPORTANT POINTS)

- د یو بیم په غوڅه برخه د نارمل-سترین ویش په هندسی ملاحظاتو تړلي دي، او پرته له پلي شوي باره همیشه خطی چلند لری. د نارمل-ستریس ویش د موادو له خاصیتونو یا له ستریس-سترین ډایگرام، کله چې د سترین ویش و ټاکل شی، موندل کيږي.
- د صفری محور موقعیت له داسي حالت موندل کيږي کله چې په غوڅه برخه محصله د قوی (force) صفر شي.
- داخلي مؤمنت په غوڅه برخه باید مساوی په مؤمنت د ستریس ویش په صفری محور وي.
- بشپړ ډول پلاستیک چلند فرض کوی چې نارمل ستریس په غوڅه برخه ثابت دی، او بیم بی لډی چې اضافی بار ورباندی پلي شي تاویدل يي دوام مومي. او دا مؤمنت په نامه دی پلاستیک مؤمنت یاديږي.

مثالونه

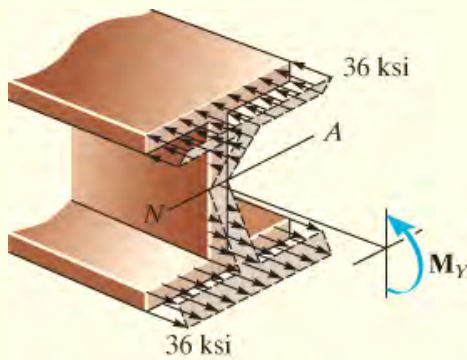
مثال 6.21



(a)

د یو فولادی سورور- فلنج (wide-flange) بییم هندسي ابعاد په انځور 6-51a کی بنودل شوي.

که دا له ایلسټیک-بشپړ توگه پلاستیک موادو جوړه شوی وی چی کششي او تیلوهونکی بیلد مقاومت یې یو شان $S_Y = 36 \text{ ksi}$ دی، د بییم د شیف فکتور (shape factor) پیدا کړي.



(b)

حل (SOLUTION)

د شیف فکتور پیدا کولو لپاره اول باید اعظمی ایلسټیک مؤمنت M_Y او پلاستیک مؤمنت M_P محاسبه کړو.

انځور 6-51

اعظمی ایلسټیک مؤمنت (Maximum Elastic Moment).

د نارمل سټریس ویش د اعظمی ایلسټیک مؤمنت لپاره په انځور 6-51b کی بنودل شوي. انرشایبي مؤمنت په صفری محور عبات دی په

$$I = \left[\frac{1}{12} (0.5 \text{ in.})(9 \text{ in.})^3 \right] + 2 \left[\frac{1}{12} (8 \text{ in.})(0.5 \text{ in.})^3 + 8 \text{ in.} (0.5 \text{ in.})(4.75 \text{ in.})^2 \right] = 211.0 \text{ in}^4$$

دا په د کیریدو فورمول (flexure formula) کی ځای په ځای کوو

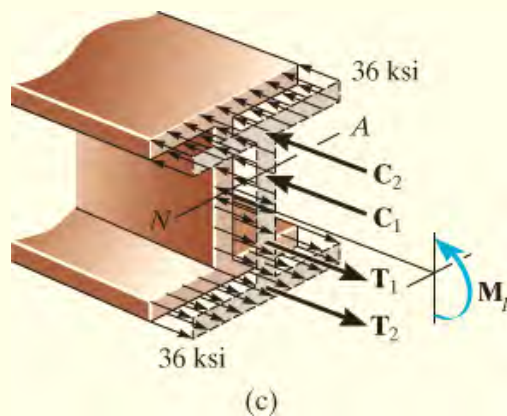
$$\sigma_{\max} = \frac{Mc}{I}; \quad 36 \text{ kip/in}^2 = \frac{M_Y(5 \text{ in.})}{211.0 \text{ in}^4} \quad M_Y = 1519.5 \text{ kip} \cdot \text{in.}$$

پلاستیکی مؤمنت (Plastic Moment)

د پلاستیکی مؤمنت له امله، فولاد د بیم د غوڅی برخی په ټوله سطحه د بیلد حالت مومي، او د دی نارمل سټریس ویش په انځور 6-51c کی ښودل شوي. د غوڅی برخی د متناظر والي له امله کششی او ټیلوهونکی سټریس-سټرین یو شان دی او صفری محور له مرکز ثقل د غوڅی برخی تیریری. ددی لپاره چی پلاستیکی مؤمنت وټاکو د سټریس ویش په څلور ترکیبی مستطیلی بلاکونو ویشواو د هر بلاک قوه مساوی ده په حجم د بلاک. پس مور لرو:

$$C_1 = T_1 = 36 \text{ kip/in}^2 (0.5 \text{ in.})(4.5 \text{ in.}) = 81 \text{ kip}$$

$$C_2 = T_2 = 36 \text{ kip/in}^2 (0.5 \text{ in.})(8 \text{ in.}) = 144 \text{ kip}$$



انځور 6-51 (تکرار)

دا قواوی له مرکز ثقل د هر حجم تیریری. ددی قواوو مؤمنت په صفری محور مور ته پلاستیکی مؤمنت حاصلوي.

$$M_p = 2[(2.25 \text{ in.})(81 \text{ kip})] + 2[(4.75 \text{ in.})(144 \text{ kip})] = 1732.5 \text{ kip} \cdot \text{in.}$$

د شیف فکتور (Shape Factor)

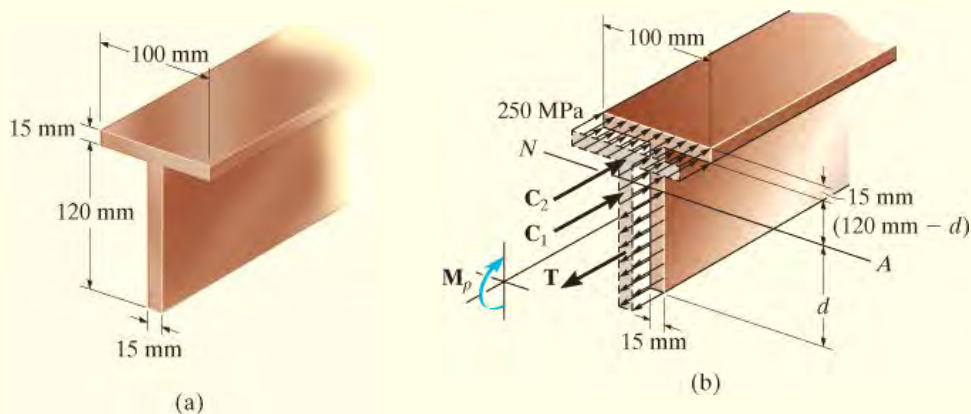
له معادلی 6-33 کار اخلو او لیکلی شو:

$$k = \frac{M_p}{M_Y} = \frac{1732.5 \text{ kip} \cdot \text{in.}}{1519.5 \text{ kip} \cdot \text{in.}} = 1.14 \quad \text{Ans.}$$

یادونه: دلته دا ارزشت یو مهم واقعیت په گوته کوی، د سورور - فلینج (wide-flange) بیم د ایلسټیکي مؤمنت مقاومت لپاره خورا مؤثر دی. زیاتره مؤمنت د فلینج لخوا په پورتنی او بنکته برخو کی جوړیږي په داسی حال کی چی عمودی برخه یا ویب (web) لږ مرسته کوي. پدی خاصه قضیه کی له ایلسټیکي ډول توانایی نه یوازی 14% مؤمنت د بیم په مقاومت کی اضافه کیدی شی.

مثال 6.22

د یو تی-بیم (T-beam) ابعاد په انځور 6-52a کی ښودل شوي. که چیری دا له ایلسټیک او بشپړ توگه پلاستیک موادو جوړ شوی وی، چی کششی او تیلوهونکی بیلد مقاومت یې $s_Y = 250 \text{ MPa}$ دی، هغه پلاستیکي مؤمنت چی دا بیم کولای شی مقاومت وکړی معلوم کړی.



انځور 6-52

حل (SOLUTION)

پلاستیک سټریس ویش چی د بیم په غوڅه برخه پلې شوی په انځور 6-52b کی بنودل شوي. په دی حالت کی د بیم غوڅه برخه متناظره نده او له همدی کبله صفری محور له مرکز ثقل د غوڅی برخي نه تیریري. د دی لپاره چی د صفری محور موقعیت ، d ، وټاکو، اړین ده چی د سټریس ویش په غوڅه برخه د صفر محصله جوړه کړي. فرض کوو چی $d \leq 120 \text{ mm}$ مور لرو:

$$\int_A \sigma dA = 0; \quad T - C_1 - C_2 = 0$$

$$250 \text{ MPa} (0.015 \text{ m})(d) - 250 \text{ MPa} (0.015 \text{ m})(0.120 \text{ m} - d) - 250 \text{ MPa} (0.015 \text{ m})(0.100 \text{ m}) = 0$$

$$d = 0.110 \text{ m} < 0.120 \text{ m} \quad \text{OK}$$

له دی پیلې کار اخلو او قواوی په هره برخه په دی لاندی ډول پیدا کوو

$$T = 250 \text{ MN/m}^2 (0.015 \text{ m})(0.110 \text{ m}) = 412.5 \text{ kN}$$

$$C_1 = 250 \text{ MN/m}^2 (0.015 \text{ m})(0.010 \text{ m}) = 37.5 \text{ kN}$$

$$C_2 = 250 \text{ MN/m}^2 (0.015 \text{ m})(0.100 \text{ m}) = 375 \text{ kN}$$

له همدی امله محصله د پلاستیک مؤمنت په صفری محور عبارت ده په :

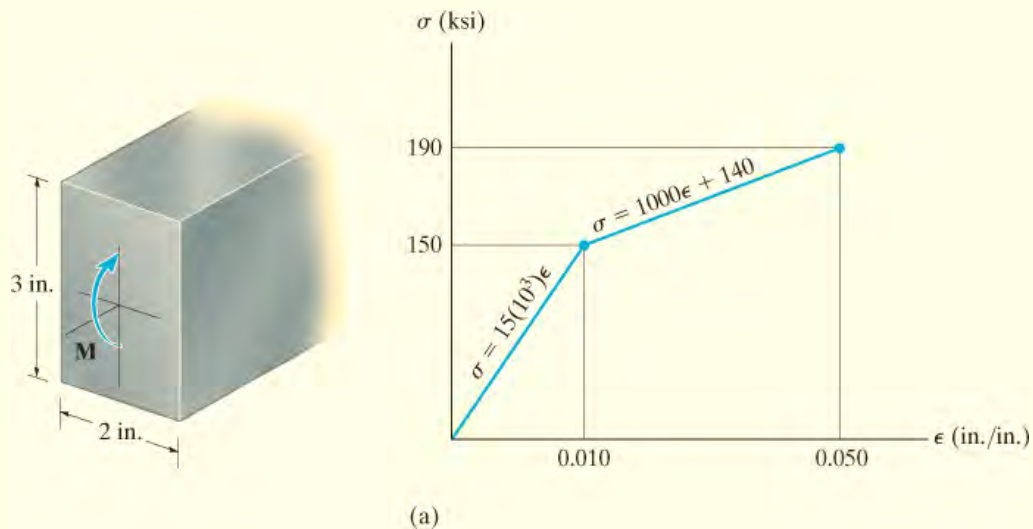
$$M_p = 412.5 \text{ kN} \left(\frac{0.110 \text{ m}}{2} \right) + 37.5 \text{ kN} \left(\frac{0.01 \text{ m}}{2} \right) + 375 \text{ kN} \left(0.01 \text{ m} + \frac{0.015 \text{ m}}{2} \right)$$

$$M_p = 29.4 \text{ kN} \cdot \text{m} \quad \text{Ans.}$$

مثال 6.23

په انځور 6-53a کی، بنودل شوی بیم له تایتینیم الیاژ څخه جوړ شوی ، او سټریس-سټرین گراف یی په دوه مستقیم کرښو تخمین کیدی شي. که چیری د موادو چلند په دواړو کششی او تیلوهونکی

حالتونو کی یو شان وی ، هغه کربیدونکی مؤمنت چی مواد په پورتنی او بنکته برخه د غوڅی برخه کی په سترین 0.05 in/in کی راولي پیدا کړي.

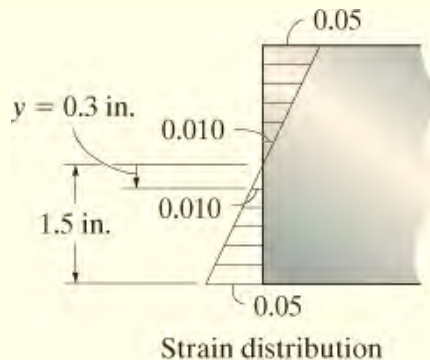


انځور 6-53

حل (SOLUTION)

د ستریس - سترین ډیاگرام په لیدو سره، ویلی شو چې مواد “ایلسټیک-پلاستیک او د سترین سختوالي چلند لري.” ځکه چې غوڅه برخه متناظر ده د کششی - تیلوهونکی $s - e$ ډیاگرامونه یې یو شان دي. او صفری محور باید د غوڅی برخې له مرکز ثقل څخه تیر شي. د سترین - ویش، چې تل خطي وي، په انځور 6-53b کی بنودل شوي. په ځانگړې توگه، هغه نقطه چیرې چې اعظمي ایلسټیک سترین (0.010 in/in) واقع کیږي د تناسب له مخې ټاکل شوی، او هغه دی،
 $y = 0.3 \text{ in}$ او یا $0.05/1.5 \text{ in.} = 0.010/y$ (انچه).

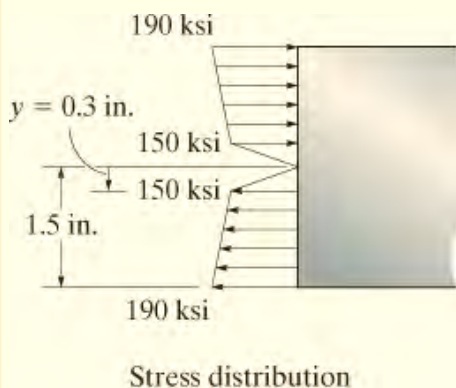
اړونده نارمل-سټریس ویش چې په غوڅه برخه پلي شوی په انځور 6-53c کی بنودل شوي. هغه مؤمنت چې د دې ویش لخوا پیدا شوي د سټریس بلاکونو د "حجم" په موندلو سره محاسبه کیدی شي. مور به په دواړو کششي او ټیلوهونکی سیمو کې دا ویش په دوو مثلث بلاکونو او یو مستطیل بلاک وویشو، انځور 6-53d و گوري. څرنګه چې بيم 2 انچه سوروره ده، پایلي او د هغوی ځایونه په لاندې ډول ټاکل کیري :



(b)

$$T_1 = C_1 = \frac{1}{2}(1.2 \text{ in.})(40 \text{ kip/in}^2)(2 \text{ in.}) = 48 \text{ kip}$$

$$y_1 = 0.3 \text{ in.} + \frac{2}{3}(1.2 \text{ in.}) = 1.10 \text{ in.}$$



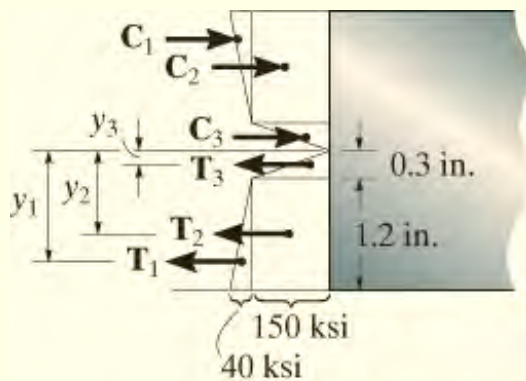
(c)

$$T_2 = C_2 = (1.2 \text{ in.})(150 \text{ kip/in}^2)(2 \text{ in.}) = 360 \text{ kip}$$

$$y_2 = 0.3 \text{ in.} + \frac{1}{2}(1.2 \text{ in.}) = 0.90 \text{ in.}$$

$$T_3 = C_3 = \frac{1}{2}(0.3 \text{ in.})(150 \text{ kip/in}^2)(2 \text{ in.}) = 45 \text{ kip}$$

$$y_3 = \frac{2}{3}(0.3 \text{ in.}) = 0.2 \text{ in.}$$



(d)

انځور 6-53 (تکرار)

له دی نارمل-ستریس ویش په صفری محور جوړ شوی مؤمنت عبارت دی په

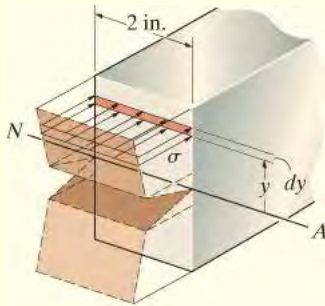
$$M = 2[48 \text{ kip} (1.10 \text{ in.}) + 360 \text{ kip} (0.90 \text{ in.}) + 45 \text{ kip} (0.2 \text{ in.})]$$

$$= 772 \text{ kip} \cdot \text{in.}$$

Ans.

حل II (SOLUTION II)

د پورته نیمایي گرافیک تخنیک پر خای دا امکان شته چی مؤمنت په تحلیلی ډول محاسبه کړو. ددی اجرا کولو لپاره مورن باید ستریس ویش تابع د موقعیت y د بیم په اوږدوکی وینویو، انخوړ 6-53c وگوری. دلته $s = f(\theta)$ په انخوړ 6-53a کی بنودل شوي او هم له انخوړ 6-53b نارمل سترین تابع د موقعیت y د مثلثونو له تناسب پیدا کولای شو.



(e)

انخوړ 6-53 (ادامه)

$$\epsilon = \frac{0.05}{1.5} y \quad 0 \leq y \leq 1.5 \text{ in.}$$

کله چی دا په تابع د $s - e$ چی په انخوړ 6-53a کی بنودل شوی خای په خای کړو. مورن لرو

$$\sigma = 500y \quad 0 \leq y \leq 0.3 \text{ in.} \quad (1)$$

$$\sigma = 33.33y + 140 \quad 0.3 \text{ in.} \leq y \leq 1.5 \text{ in.} \quad (2)$$

له انخوړ 6-53e هغه مؤمنت چی S په ساحه د توتی $dA = 2dy$ جوړ وی عبارت دی په

$$dM = y(\sigma dA) = y\sigma(2 dy)$$

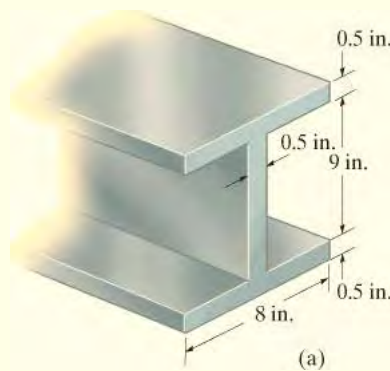
له معادلو 1 او 2 مؤمنت د تولی غوخی برخی عبارت دی په

$$M = 2 \left[2 \int_0^{0.3 \text{ in.}} 500y^2 dy + 2 \int_{0.3 \text{ in.}}^{1.5 \text{ in.}} (33.3y^2 + 140y) dy \right]$$

$$= 772 \text{ kip} \cdot \text{in.} \quad \text{Ans.}$$

مثال 6.24

په سوروره فلنچ بيم ، انځور 6-54a ، يو بشپړ پلاستيک مؤمنت M_p پلي شوي. که چيری دا مؤمنت لري شي هغه پاتی شوی (residual stress) ستريس په بيم کی معلوم کړي. مواد ايلستيکی په بشپړ ډول پلاستيک چلند لري او بيلد ستريس يې $s_Y = 36 \text{ ksi}$ دی.



انځور 6-54

حل (SOLUTION)

د نارمل ستريس ویش په بيم کی د مؤمنت M_p له امله په انځور 6-54b کی بنودل شوی. کله چی مؤمنت M_p لری شي مواد ايلستيک چلند بڼي او د ستريس ویش په انځور 6-54c کی بنودل شوي. د ماتيدو ماجولس، s_r ، (modulus of rupture) له کړيدونکی فورمول (flexure formula) څخه ټاکل کيږی. له $M_p = 1732.5 \text{ kip} \cdot \text{in}$ او $I = 211.0 \text{ in}^4$ چی په مثال 6.21 کی بنودل شوی کار اخلو او ليکلي شو:

$$\sigma_{\max} = \frac{Mc}{I}$$

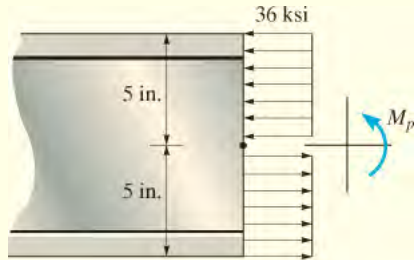
$$\sigma_r = \frac{1732.5 \text{ kip} \cdot \text{in.} (5 \text{ in.})}{211.0 \text{ in}^4} = 41.1 \text{ ksi}$$

لکه څنگه چی تمه کیده $s_r < 2s_Y$ دی.

سوپرپوزیشن د سټریسونو پاتی شوی سټریس ویش ورکوی او هغه په انځور 6-54d کی بنودل شوي. صفری ټکي د سټریس له تناسب یعنی له انځور 6-54b او 6-54c پلاس راځی چی مور ورته اړتیا لرو:

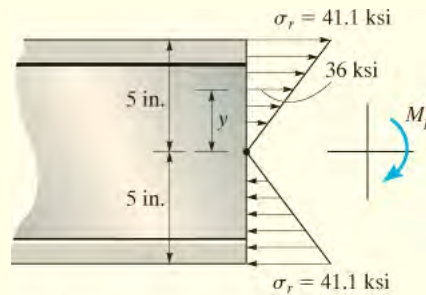
$$\frac{41.1 \text{ ksi}}{5 \text{ in.}} = \frac{36 \text{ ksi}}{y}$$

$$y = 4.38 \text{ in.}$$



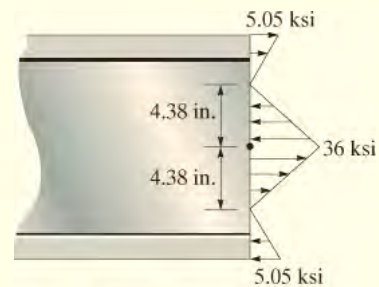
Plastic moment applied (profile view)

(b)



Plastic moment reversed (profile view)

(c)



Residual stress distribution

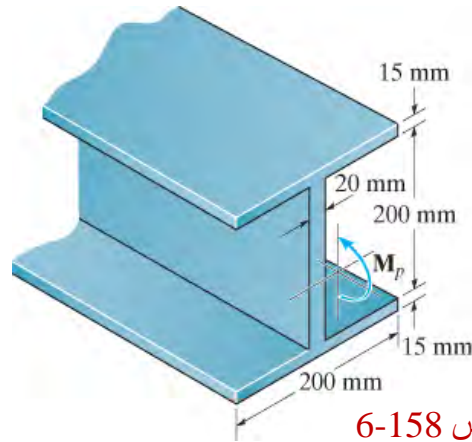
(d)

انځور 6-54 (تکرار)

سوالونه

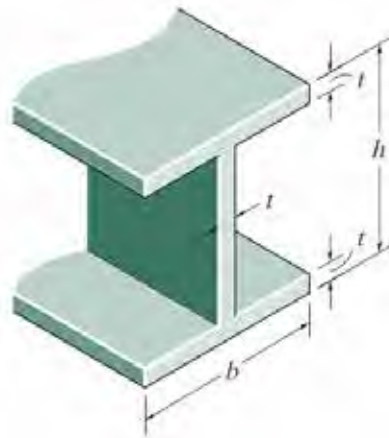
(PROBLEMS)

6-158 . دی لاندی سورور-فلینج لپاره شیف فکتور و ټاکی.



س 6-158

6-159 . دا لاندی سورور- فلینج بیم چی له بشپړ توگه ایلستیک-پلستیک موادو جوړ شوي. د بیم شیف فکتور وټاکی.



س 6-159

*6-160 . دا لاندی بنودل شوی راد، دایروی غوڅه لري. که چیری دا له بشپړ توگه ایلستیک-پلستیک موادو جوړ شوي وي د شیف فکتور یې وټاکی.



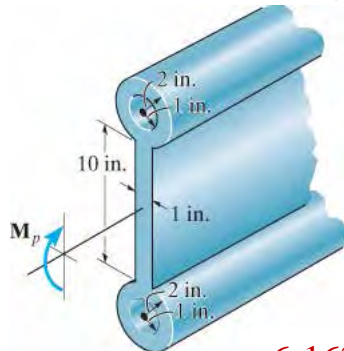
س 6-160

6-161. دا لاندی راد دایروی غوڅه برخه لری. که چیری له ایلسټیک بشپړ توگه پلاستیک موادو جوړه شوی وي او د بیلد مقاومت یې $s_Y = 345 \text{ MPa}$ دی، هغه اعظمی ایلسټیک مؤمنت او پلاستیک مؤمنت ارزښت چی په دی غوڅه برخه پلی کیدی شي و ټاکي.



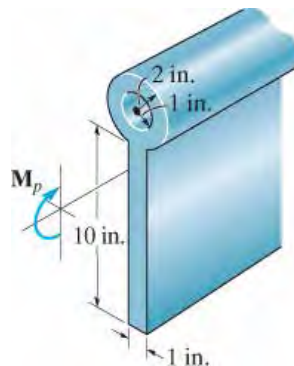
س 6-161

6-162. بیم له ایلسټیک بشپړ توگه پلاستیک موادو جوړه شوی ده. د بیم غوڅه برخه په دی لاندی انځور کی بنودل شوي. هغه پلاستیکی مؤمنت M_P چی په بیم پلی کیدی شي وټاکي. د موادو د بیلد مقاومت $s_Y = 30 \text{ ksi}$ دي.



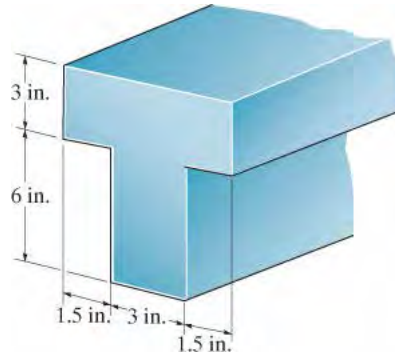
س 6-162

6-163. د بیم غوڅه برخه په دی لاندی انځور کی بنودل شوي. هغه پلاستیکی مؤمنت M_P چی په بیم پلی کیدی شي وټاکي. د موادو د بیلد مقاومت $s_Y = 30 \text{ ksi}$ دي.



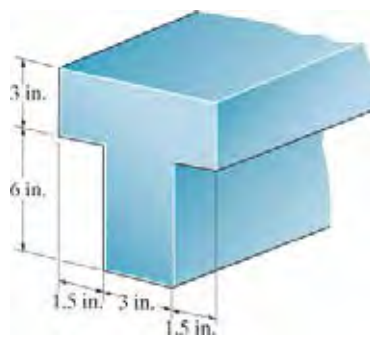
س 6-163

6-164 . د لاندې بيم شيف فكتور وټاكي.



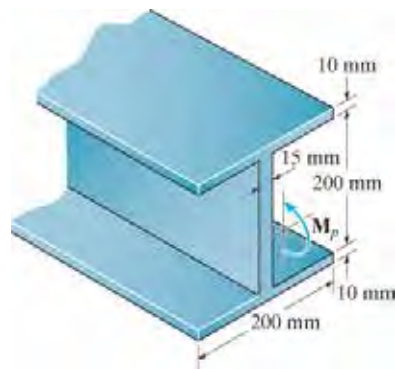
س 6-164

6-165 . بيم له ايلستېك بشپړ توگه پلاستېك موادو جوړه شوی ده. د بيم غوڅه برخه په دی لاندې انځور کې بنودل شوي. هغه پلاستېكي مؤمنت M_p چې په بيم پلي كيدی شي وټاكي. د موادو د بيلد مقاومت $s_Y = 36 \text{ ksi}$ دي.



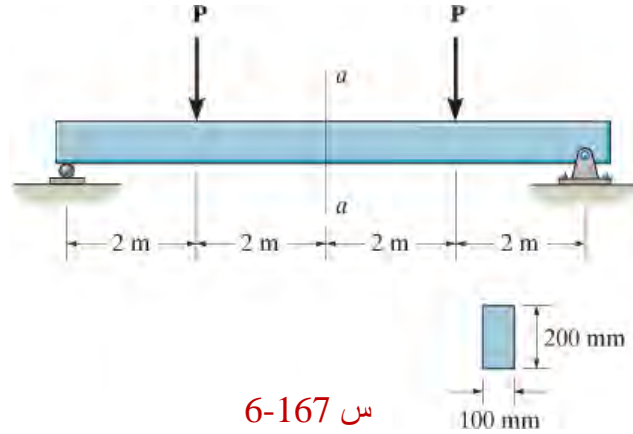
س 6-165

6-166 . د لاندې بيم شيف فكتور وټاكي.



س 6-166

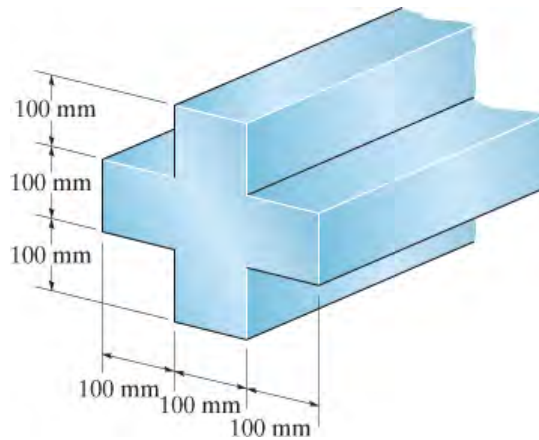
6-167. دا لاندی بیم له ایلستیک بشپړ توگه پلاستیک موادو جوړه شوی ده او د بیلد مقاومت یې $s_Y = 200 \text{ MPa}$ دی. که اعظمی مؤمنت د بیم د اوږدوالي په مابین برخه a-a کی وي د هرې قووی P ارزښت داسې وټاکي چی مؤمنت (a) اعظمی ایلستیک مؤمنت وي، (b) اعظمی پلاستیک مؤمنت وي.



س 6-167

*6-168. دا لاندی بیم له ایلستیک بشپړ توگه پلاستیک موادو جوړه شوی ده او بیلد مقاومت یې $s_Y = 345 \text{ MPa}$ دی. هغه اعظمی ایلستیک مؤمنت او پلاستیک مؤمنت ارزښت چی په دی غوڅه برخه کیدی شي پلی شي و ټاکي.

6-169. د لاندی غوڅی برخی لپاره شیف فکتور وټاکي.



س 6-168/169

6-170. دا لاندی بنودل شوی راد دایروی غوڅه لري. که چیری دا له بشپړ توگه ایلستیک-پلستیک موادو جوړ شوي وي د شیف فکتور يي وټاکي.

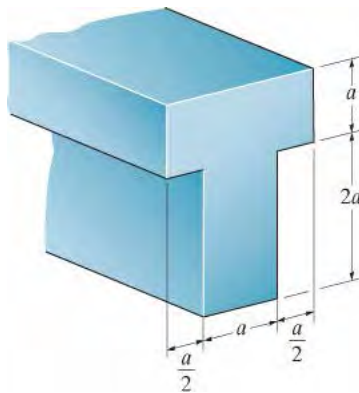
6-171. دا لاندی بنودل شوی راد دایروی غوڅه لري. که چیری دا له بشپړ توگه ایلستیک-پلستیک موادو جوړ شوي وي، د هغه اعظمی ایلستیک مؤمنت او پلستیک مؤمنت ارزښت چی په دی غوڅه برخه کیدی شي پلی شي و ټاکي. دلته $r = 3 \text{ in.}$ او $s_Y = 36 \text{ ksi}$.



س 6-170/171

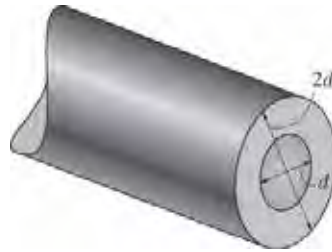
6-172*. د لاندی غوڅی برخی لپاره شیف فکتور وټاکي.

6-173. دا لاندی بیم له ایلستیک بشپړ توگه پلاستیک موادو جوړه شوی. د هغه اعظمی ایلستیک مؤمنت او پلستیک مؤمنت ارزښت چی په دی غوڅه برخه کیدی شي پلی شي و ټاکي. دلته $a = 50 \text{ mm.}$ او $s_Y = 230 \text{ MPa}$.



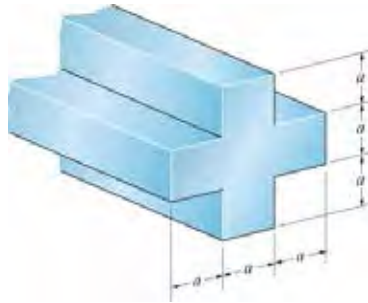
س 6-172/173

6-174. د لاندی غړی لپاره چی تیوبی غوڅه برخه لري، شیف فکتور وټاکي.



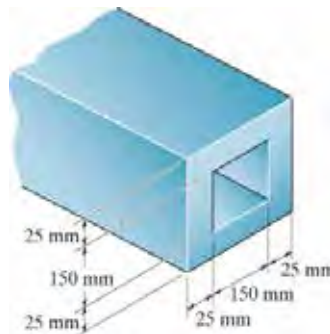
س 6-174

6-175. د لاندی غوڅی برخی لپاره شیف فکتور وټاکي.



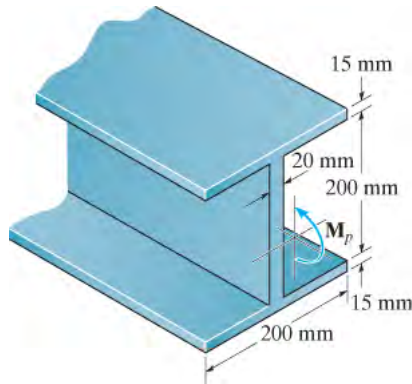
س 6-175

6-176. دا لاندی بیم له ایلسټیک بشپړ توگه پلاستیک موادو جوړه شوی ده اود بیلد مقاومت یی $s_Y = 250 \text{ MPa}$ دي. پاتی شوي سټریس په پورتنی برخه او بنکته برخه د بیم کی کله چی پلاستیک مؤمنت M_p پلی شي او بیا لري شي، وټاکي.



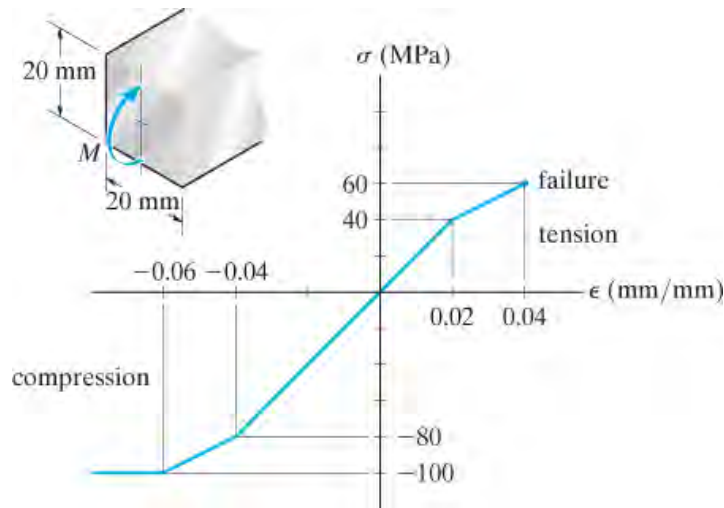
س 6-176

6-177. دا لاندی بیم له ایلستیک بشپړ توگه پلاستیک موادو جوړه شوی ده او د بیلد مقاومت یې $s_y = 250 \text{ MPa}$ دي. پاتی شوي ستریس په پورتنی برخه او بنکته برخه دی بیم کی، کله چی پلاستیک مؤمنت M_p پلی شي او بیا لري شي، وټاکي.



س 6-177

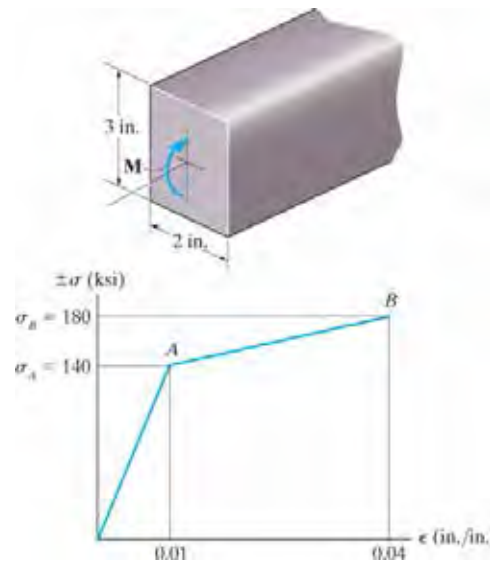
6-178. د پلکسی گلاس (plexiglass) بار ستریس-سترین گراف په لاندی مستقیمو کربنو برخو اټکل شوي. اعظمی مؤمنت M چی کیدی شي په بار مخ کی له دی چی بار مات شي، پلی شي، ویي ټاکي.



س 6-178

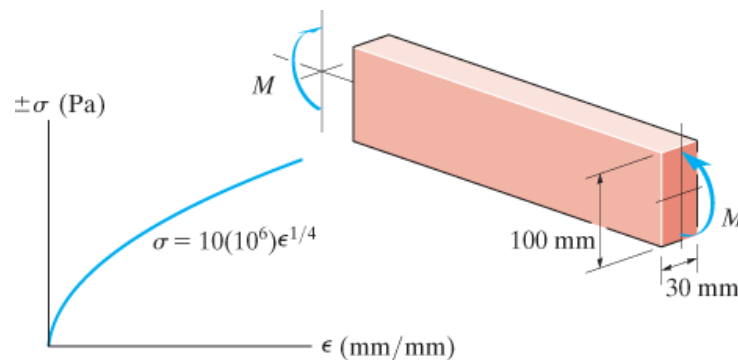
6-179. د تایتینیم الیاژ ستریس-سترین ډایگرام په دی لاندی دوو مستقیمو کربنو اټکل شوي. که چیری یو سترت چی له دی موادو جوړه شوی وی او مؤمنت ورباندی پلی شي، ددی مؤمنت

ارزبنتونه په دی دوو حالتونو کی پیدا کړی کله چی (a) د ستریس ارزشت S_A وی او بیا (b) که د ستریس ارزشت S_B وی.



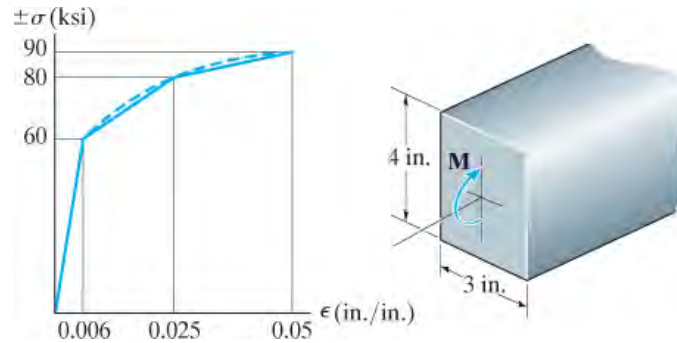
س 6-179

*6-180. یو بیم چی له پالیپروفیلین (polypropylene) پلاستیک څخه جوړ شوی د ستریس سترین ډایگرام یی په دی لاندی ډایگرام کی اټکل شوي. که چیری په دی بیم یو اعظمی کششی او تیلوهونکی سترین $e = 0.02$ mm/mm پلی شی، M مؤمنت پیدا کړی.



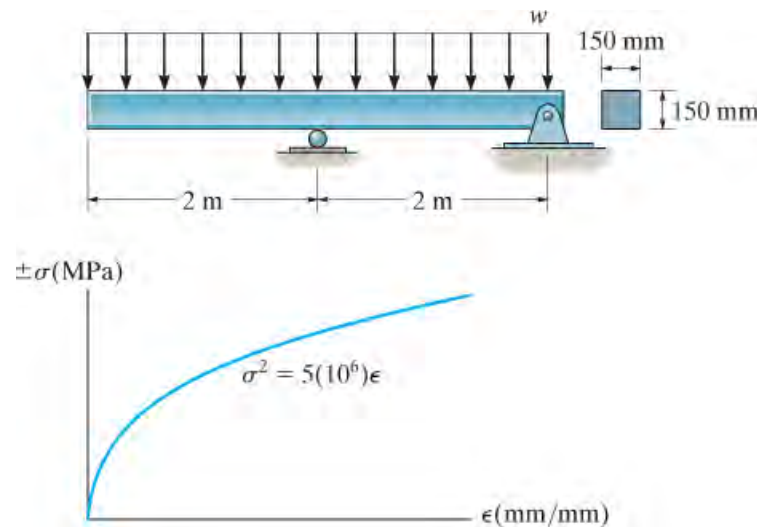
س 6-180

6-181. دا لاندی بار له المونیم الیاژ څخه جوړ شوي او د ستریس-سترین ډایگرام یې په برخو د مستقیم کرنسی اټکل کیدی شي. که چیری فرض کړو چی په دواړو کششی او تیلوهونکی حالت کی دا ډایگرام د قبول وړ وی ، هغه مؤمنت ، چی دا بار کولای شی واخلی په داسی حال کی چی د پورته او بنکته برخو فایبرو سترین اعظمی حد $e = 0.05$ وی ، معلوم کړي.



س 6-181

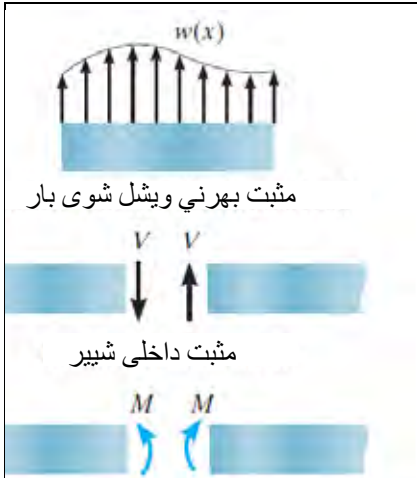
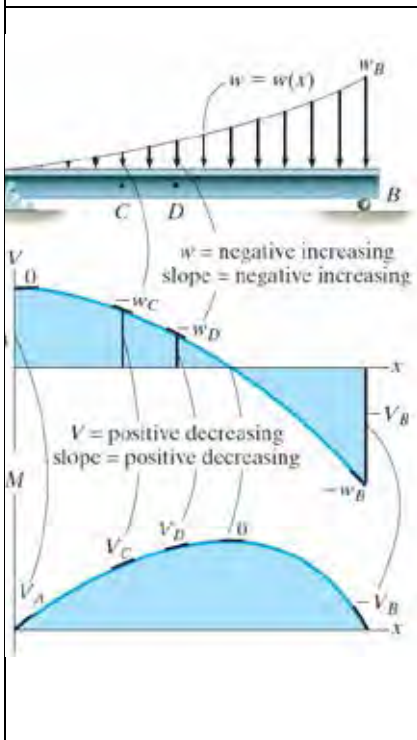
6-182. یو بیم چی له فینالیک (phenolic) پلاستیک څخه جوړ شوی د ستریس سترین ډایگرام یې په دی لاندی ډایگرام کی اټکل شوي . که یوه برخه د ستریس - سترین ډایگرام په معادله $s = (5(10^6)e)^{1/2}$ MPa وښودل شي ، مقدار دی ویشل شوی بار w چی اعظمی سترین په فایبرونو د مهمی برخی کی له $e_{max} = 0.005$ mm/mm زیات نشي معلوم کړي.

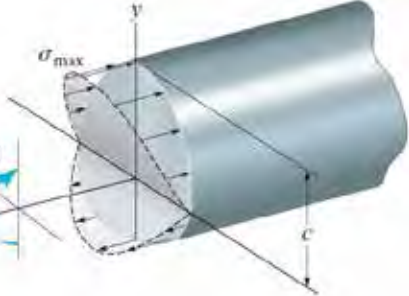
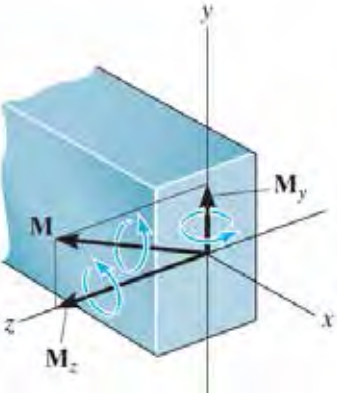


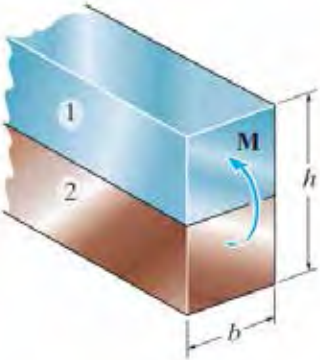
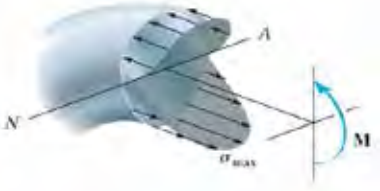

س 6-182

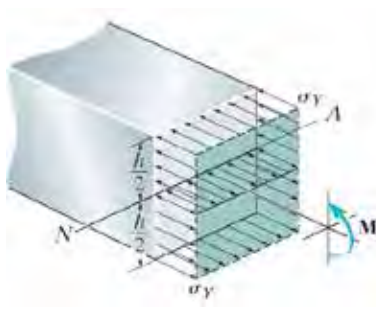
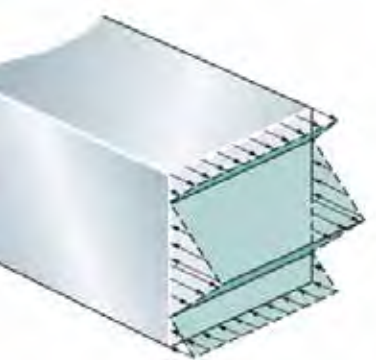
د فصل بیا کتنه

CHAPTER REVIEW

 <p>مثبت بهرني ویشل شوی بار</p> <p>مثبت داخلی شیبیر</p> <p>مثبت داخلی مؤمنت</p> <p>د بیم د نشانی کنوانسیون</p>		<p>شیبیر او مؤمنت ډیاگرامونه گرافیکي استازیتوب د بیم د داخلی شیبیر او مؤمنت په بیم کی دننه کوي. کولی شو د بیم د برخی کولو په واسطه، په خپله خوښه فاصله x چی له کین پای څخه نیول کیږی انتخاب کړو. بیا د مساواتو معادلو په مرسته کړی شو د V او M ارزښتونه وموندل شي، او پایله یی پلات او مؤمنت او شیبیر ډایگرام ورځینی جوړ کړو. منل شوی د نښی کنونشن د مثبت ویشل شوي بار او د شیبیر او مؤمنت لپاره باید تعقیب شي .</p>
 <p>$w = \frac{dV}{dx}$</p> <p>$V = \frac{dM}{dx}$</p> <p>$\Delta V = \int w dx$</p> <p>$\Delta M = \int V dx$</p>		<p>دا هم ممکنه ده چې د اصولو په پوهیدو سره شیبیر او مؤمنت پلات کړو کوم چی په هره نقطه کی میلان د شیبیر ډایگرام مساوي دی په شدت د بهرنی ویشل شوی بار سره په هغه ټکی کی.</p> <p>په همدې توگه، میلان د مؤمنت ډیاگرام مساوی دی په شیبیر په هغه ټکی کی. ساحه د ویشل شوی بار ډایگرام لاندی، د دوو ټکیو تر منځ، استازیتوب د شیبیر د بدلون کوي.</p> <p>او ساحه د شیبیر ډیاگرام لاندی د دوو ټکیو تر منځ په مؤمنت کی د بدلون استازیتوب کوي.</p> <p>شیبیر او مؤمنت په هر ځای کی د برخی میتود په کارولو سره تر لاسه کیدی شي.</p>

		<p>اعظمي يا لږ تر لږه مؤمنت چيرې چې شير صفر وي واقع کيږي.</p>
		<p>د کوروالي مؤمنت په مستقيم بيم کې، د نارمل سترين خطی توپير توليدوي. دا په دې شرط چې مواد متجانس او خطي چلند ولري، نو بيا د بيم د داخلي مؤمنت اړيکې د توازن حالت په واسطه له ستريس ویش سره جوړيدی شي. پايله يې کيردونکی فورمول (flexure formula) دی</p> $\sigma_{max} = \frac{Mc}{I}$ <p>c او I د صفری محور چيرې چې د غوڅی برخې له مرکز ثقل څخه تيریږي ټاکل کيږي.</p>
	$\sigma = -\frac{M_z y}{I_z} + \frac{M_y z}{I_y}$	<p>که چيری غوڅه برخه، د بيم په هغه محور چې صفری کرينه ورباندی عمود وی، متناظر نه وی نو بيا نا متناظر (unsymmetrical bending) کېږدنه منځ ته راځي. په داسی حالت کې اعظمی ستريس د فورمول په واسطه، او يا د کوروالي له سوپرپوزيشن د مؤمنت له اجزاوو M_x او M_y په اصلی انرشيايي محور (principal axes) د ساحی، ټاکل کيدی شي.</p>

	$n = \frac{E_1}{E_2}$	<p>هغه بيمونه چې له مختلفو موادو څخه جوړ شوي وي کيدی شي چې په يو ډول موادو بدل شي، تر څو داسی په پام کې ونیول شي چې غوڅه برخه له يو ډول موادو څخه جوړه شوي. د دې کولو لپاره، د بدلون فکتور n، کوم چې تناسب د موادو د ماجولس ایلستیسټي دی، او د عرض b بدلولو لپاره کارول کيږي.</p> <p>يوځل چې غوڅه برخه د بيم بدله شي، بيا سټريس په بدل شويو موادو کې په کارولو د کيريدلو فورمول له n سره په ضربيدو ټاکل کيږي.</p>
	$\sigma = \frac{M(R - r)}{Ar(\bar{r} - R)}$ <p style="text-align: center;">or</p> $\sigma = \frac{My}{Ae(R - y)}$	<p>کاره بيمونه کله چې د شکل بدلون پيدا کړي، نارمل سټرين له صفری محور څخه په خطي ډول توپير نه مومي. که مواد متجانس او خطی ایلستیک وي او هم په يوه محور متناظر وي، په دې حالت کې د کاره بيم فورمول په کارولو کيريدونکی سټريس ټاکل کيدی شي.</p>
	$\sigma_{\max} = K \frac{Mc}{I}$	<p>د سټريس غلظت په غرو کې هغه وخت منځ ته راځي، کله چې غوڅه برخه يي ناڅاپي بدلون ومومي. د بيلگې په توگه د سوريو، جری، او گندی له امله په بيم کې غلظت واقع کيږي. تر ټولو زیات او اعظمی سټريس په دې ځایونو کې د سټريس غلظت فکتور K گرافونو په کارولو څخه چې له تجربو جوړ شوی، موندل کيږي.</p>

		<p>که ستړیس په موادو کی د کیریدونکی مؤمنت له امله له ییلد حد زیاتوالی و مومی ، نارمل ستړین به خطی پاتی شی، اما د ستړیس ویش توپیر به د ستړیس -ستړین ډایگرام له مخی ټاگل کیری. آخری پلاستیکی مؤمنت چی غری وکرای شی تحمل کړی داسی پیدا کیری کله چی محصله قوه مساوی په صفر شی او محصله مؤمنت برابر په مؤمنت د ستړیس ویش شی.</p>
		<p>که پلی شوی پلاستیکی یا آخری مؤمنت لیری شی مواد به ایلیستیکی چلند وینی او پاتی شوی ستړیس په بیم کی جوړیری.</p>

مفهومي پوښتنې

CONCEPTUAL PROBLEMS

م 6-1. د فولادو کربیدونکی اری تیغ د موتور د ویل د پاسه تیریری. د مناسبو اندازه کولو او معلوماتو اخیتلو نه پس، تشریح کړی چی څنگه به د اری په تیغ کی ستریس معلوم کړی.



م 6-1

م 6-2. د کرین بوم په اوږدو کی د پام وړ مخروطی شکل لري . تشریح کړی چی دا ولی؟ فرض کړی چی بوم افقی موقعیت لری، او په دی پروسه کی ده چی خپل پای کی بار پورته کړی، تر څو چی ریکشن په اتکا A کی صفر شي. د خپل استدلال توجیه کولو لپاره واقعی ابعاد او بار و کاروی .



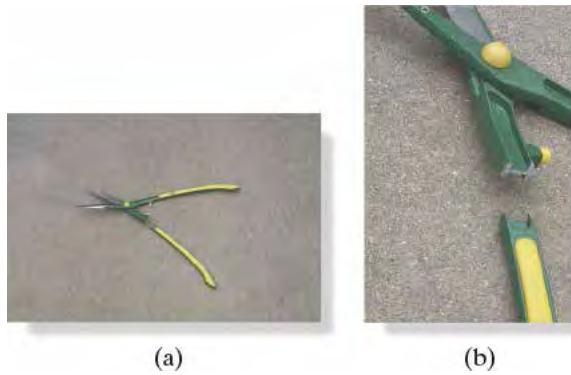
م 6-2

م 6-3. ددی سوټک لپاره مناسب ابعاد او وزن وکاروي او د تحلیل له لاری و بنیي چی ولی دا سوټک په هغه حالت کی چی بنودل شوی مات شو.



م 3-6

م 3-6. د باغ قیچې له تیب کیفیت موادو جوړه شوي. د یو 50 پونډ بار چی عمودي په تیغ یې پلی شي، د قیچې په مناسب ابعادو، مطلق اعظمی تاویدونکی ستریس په موادو کی مشخص کری او وبنایاست چی ولی په دی خاصه برخه د لاستی کی ماتوالي واقع شو.

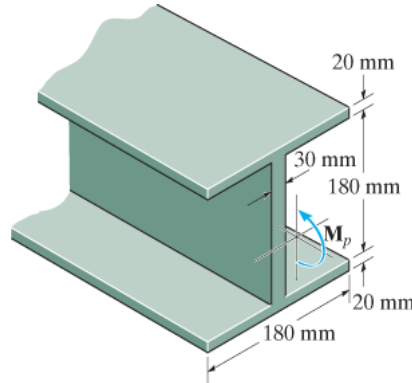


م 4-6

د بیا کتنی سوالونه

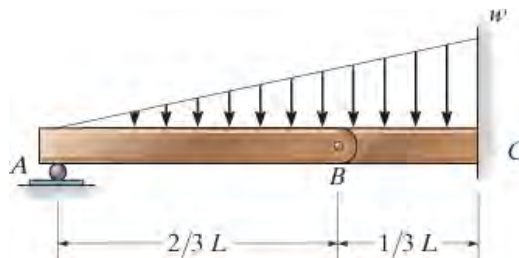
REVIEW PROBLEMS

ب 6-1. شیف (shape) فکتور دلاندى سورور - فلنچ بيم معلوم کړي.



ب 6-1

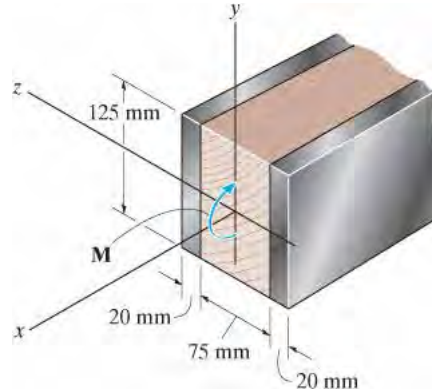
ب 6-2. لاندى بيم له دو برخو جوړ شوى ، او په B كى د پن په واسطه برخى له يو بل سره تړل شوي. شپير او مؤمنت ډايگرامونه ددى بيم جوړ كړي. يو مثلثى شكل وپشل شوى بهرنى بار ورباندى پلى شوي.



ب 6-2

ب 6-3. مركب بيم چى په منځ كى لرگى او خواوو ته دوى فولادى تختى لرى. كه چيرى د لرگى منل شوى د مؤمنت له امله تاويدونكى ستريس $(s_{allow})_w = 20 \text{ MPa}$ او د فولادو منل شوى

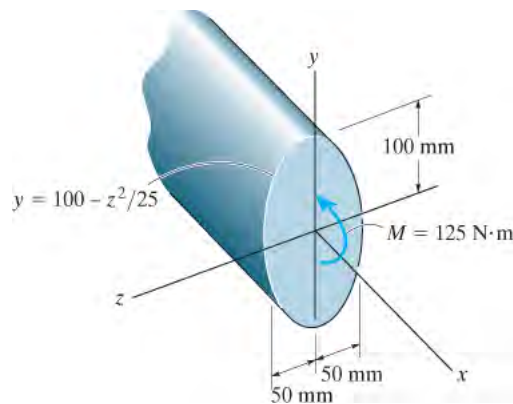
ستریس $(s_{allow})_{st} = 130 \text{ MPa}$ وی، اعظمی مؤمنت چی کیدی شي په دی بیم پلی شي و ټاکی. د لرګي $E_w = 11 \text{ GPa}$ او فولادو $E_{st} = 200 \text{ GPa}$ دي.



ب 6-3

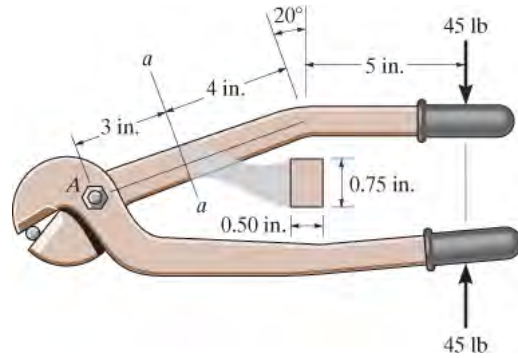
ب 6-4* . یو شافت له پالیمر (polymer) څخه جوړ شوي ، پورته او بنکته برخه یې پارابولیک (parabolic) شکل لري. که یو مؤمنت $M = 125 \text{ N}\cdot\text{m}$ ورباندې پلی شوي وی، د مؤمنت اعظمی تاویدونکی ستریس په موادو کی داسی معلوم کړی (a) له کیریډونکی فورمول (flexure formula) نه او (b) له مشتق (integration) نه کار واخلي. د ستریس ویش دري اړخیز لید په غوڅه برخه رسم کړي.

کومک: د انرشیایي مؤمنت معلومولو لپاره له معادلی A-3 په ضمیمه A کی کار واخلي.



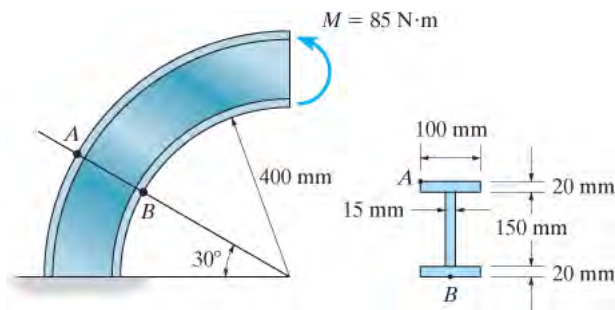
ب 6-4

ب 5-6. اعظمی تاویدونکی ستریس د مؤمنت له امله د کیبل غوڅیدونکی قیچی په برخه $a-a$ کی معلوم کړي. یو 45 lb پوند قوه د قیچی په لاستي یې پلي شوي.



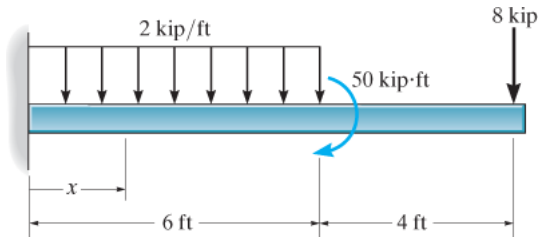
ب 5-6

ب 6-6. په منحنی بیم یو مؤمنت $M = 85 \text{ N}\cdot\text{m}$ څنکه چی په لاندی انځور کی بنودل شوي پلي شوی دی. ستریس په ټکیو A او B کی پیدا کړي او هغه په حجمی ډول په دی ټکیو کی وښيي.



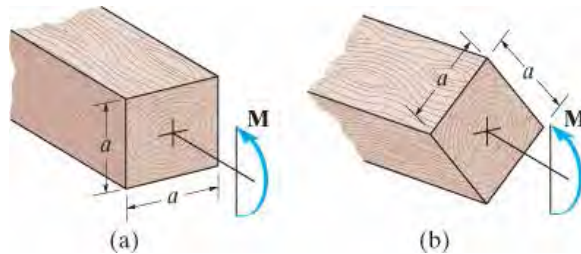
ب 6-6

ب 6-7. شیبیر او مؤمنت په دی لاندی بیم کی چی د x تابع وی، وټاکي، کله چی $0 \leq x < 6 \text{ ft}$ وی، بیا د بیم لپاره شیبیر او مؤمنت ډایگرامونه رسم کړي.



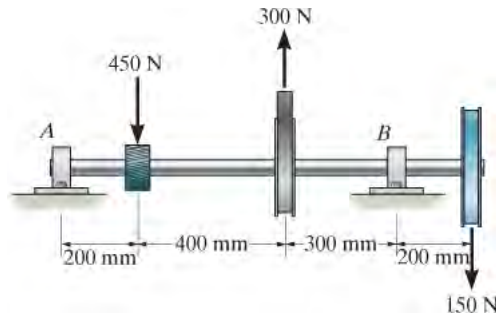
ب 6-7

ب 6-8*. د لرگیو بیم مربع غوڅه برخه لری چی په لاندی انځور کی بنودل شوي. کوم لوری یا جهت د غوڅی برخی اعظمی مقاومت د مؤمنت M لپاره جوړه ولي شي. په دواړو قضیو کی به توپیر د اعظمی سټریسو څومره وي.



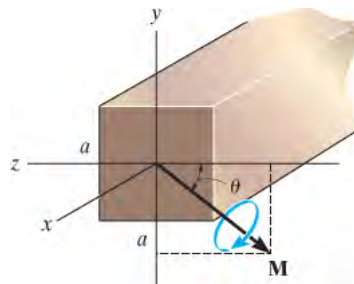
ب 6-8

ب 6-9. د شافت لپاره شپیر او مؤمنت ډایگرامونه جوړ کړي، کله چی بنودل شوی عمودی بارونه ورباندی پلي وي. بیرنگونه په A او B کی تنها عمودی ریکشن لری.



ب 6-9

ب 6-10. دا لاندی سترت مربع غوڅه برخه لري، هره ضلع يي a په a ده او مؤمنت M په زاویه q ورباندی پلي شوي. اعظمی ستریس د مؤمنت له امله تابع دی M ، a او q معلوم کړي. کومه اندازه د زاوی q په سترت کی اعظمی ستریس جوړه وي؟. د صفری محور جهت ددی حالت لپاره و ټاکي.



ب 6-10

اوم فصل

(CHAPTER 7)



(© Bert Folsom/Alamy))

د ریل پټلۍ د بیم په توګه عمل کړی چې د خورا لوی عرضي شپیر بار ملاتړ کوي. په پایله کې، که دوی د لرګیو څخه جوړ شوي وي، په پای کې به درز وکړی، چیرته چې شپیر بارونه ترټولو لوی دي .

عرضی شییر

(TRANSVERSE SHEAR)

د فصل موخې CHAPTER OBJECTIVES

په دې فصل کې به موږ په دې بحث وکړو چې په بیم کې شییر سټریس څنګه موندل کیږي، او هم به پر دې بحث وکړو چې د بیم په اوږدو کې د ترونکیو او یا بولټونو فاصله د بیم په اوږدوالي کې څنګه و ټاکل شي. د شییر بهیر (shear flow) مفهوم به وړاندې شي تر څو د نری دیوال دغږیو د پاره اوسط شییر سټریس وموندل شي. او دا څپرګۍ به په دې بحث ختم کړو چې د بار له امله، د بیم له تاویدو څنګه مخنیوي وشي.

7.1 په مستقیمو غړیو کی شپیر (SHEAR IN STRAIGHT MEMBERS)

په عمومی ډول، بیم د داخلي شپیر او مؤمنت دواړو ملاتړ کړي شي. شپیر V د یوه عرضی *(transverse)* شپیر- ستیریس ویش پایله ده، چې د بیم په غوڅه برخه عمل کوي، انځور 7-1 و گوري. د شپیر بشپړونکي خاصیت له امله دا ستیریس په ورته ډول د بیم په اوږدوالی شپیر ستیریسونه رامینځته کوي.



انځور 7-1



انځور 7-2

ددی لپاره چی رامینځته شوي تاثیر د اورډوالي شپیر له امله روښانه کړو مور به هغه بیم چی په انځور 7-2a کی بنودل شوی په پام کی ونیسو. دا بیم له دریو تختو جوړ شوی. پورته او لاندی سطحی د هرې تختی هواری دي، او تختی د یو بل سره تړل شوي ندي. کله چی بار **P** ورباندی پلي شی، بیم بنسکته کږیری او دا تختی له یو بل بنویری. که چیری دا تختی له یو بل سره سرینس شی، شپیر چی د تختو تر منځ سطحو باندی عمل کړي د بنویدو مخه نیسي او په پایله کی بیم په یو واحد توگه عمل کوي، انځور 7-2b وگوري.

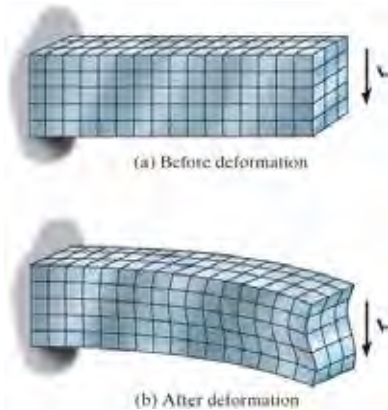
د شپیر ستریس له امله شپیر سترین رامینځته کیري او غوڅه برخه په پیچلي ډول تحریف (distort) کوي. د بیلگي په توگه، په انځور 7-3a کی یو لنډ میله په پام کی ونیسی چی له خورا نرمو موادو څخه جوړ شوی، او افقی او عمودی کربنوسره نښه شوی. کله چی د شیر قوه **V** ورباندی پلي شی، دا کربنی په هغه بڼه بدلوي چی په انځور 7-3b کی بنودل شوي. دا غیر یونیفورم شپیر ستریس ویش به لامل شي چی غوڅه برخه پیچ او تاو (*wrap*) و مومي؛ او د پایلی په توگه، کله چی په بیم مؤمنت او شپیر دواړه عمل وکړي دا غوڅه برخه به په یو ه همواره سطحه څنگه چی د کیریدو فورمول (Flexure formula) لپاره فرض شوی وه، پاتی نشي.



ددی کوروگیتید (corrugated) فلزی پور پوښ (liner) شپیر نښلونکی "تک ویلډ شوي" (tack weld) دي. کله چی کانریت د فرش لپاره اچول کیري دا شپیر نښلونکی به د کانکریتی فرش بنویدل د فلزی پوښ په مخ مخنیوی وکړی. په پایله کی دا دوه مواد به په یو دي توگه د یو مرکب فرش په توگه عمل وکړی.

7.2 د شیبیر فورمل (SHEAR FORMULA)

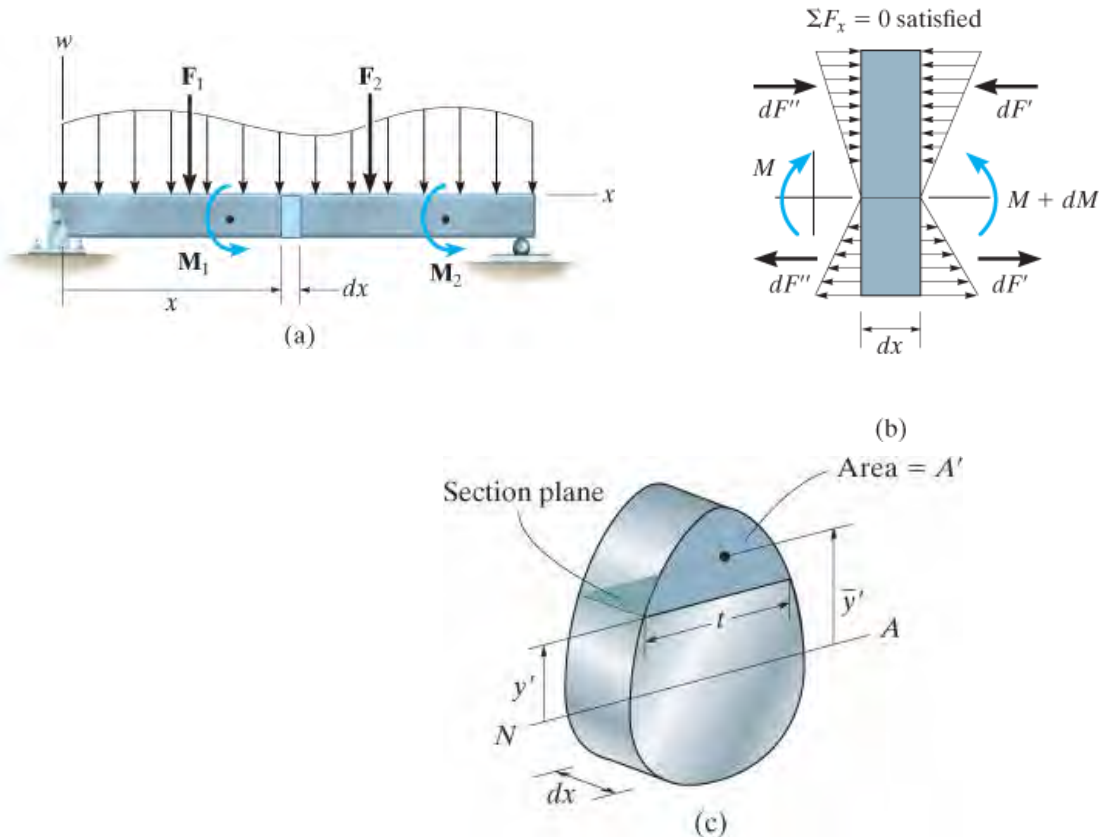
څرنګه چې د شیبیر سترین ویش د شیبیر ستریس له امله په اسانۍ سره نه دی تعریف شوی، لکه



څنګه چې د محوري بار، تورژن، او مؤمنت په حالت کې دی، مور به د شیبیر-ستریس ویش په غیر مستقیم ډول ترلاسه کړو. د دې کار لپاره مور به د بیم د یوه برخه د افقی قواوود انډول لپاره په پام کې ونیسو، انځور 7-4a وګوري. د ټولې برخې آزاد ډیاګرام لکه چې په انځور 7-4b کې ښودل شوی په پام کې نیسو. د نارمل ستریس ویش چې دلته رامینځته کېږي د مؤمنت M او $M + dM$ له امله دي. دلته مور د $V + dV$ ، V ، او اغیزی لري کړی، ځکه چې دا بارونه عمودي دي او له همدې امله د قواوو په افقي مجموعه کې ځای نه

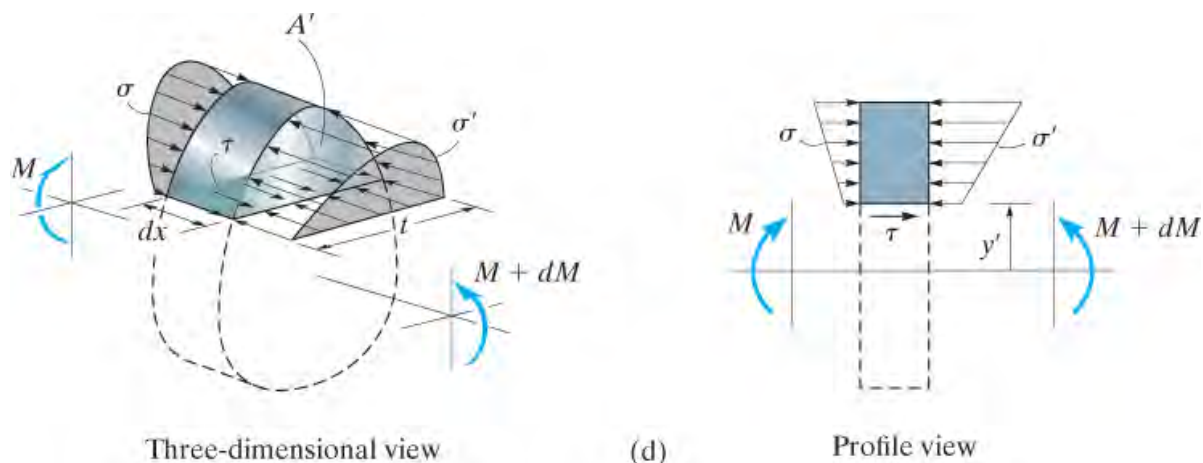
انځور 7-3

لری. په یاد ولری چې انډول د $\Sigma F_x = 0$ برقرار دي، ځکه چې د ستریس ویش په هر اړخ د برخې یا عنصر تنها کپل (couple) مؤمنت جوړه وی او له همدې امله محصله د قوو صفر ده.



انځور 7-4

اوس راځئ د يوه عنصر پورتنی برخه چې په سيوري په انځور 7-4c کې بنودل شوي، په پام کې ونيسو. دا برخه په فاصله د y له صفری محور څخه موقعيت لري. مور غواړو په دې برخه کې په دې سطحه د شپير سټريس پيدا کړو. د پورتنی برخې سور يي t او د غوڅی برخې دوه اړخونه هر يو د A' ساحه لري. د دې برخې آزاد دياگرام چې په انځور 7-4d کې بنودل شوی. په هر اړخ د عنصر د مؤمنت محصله په اندازه د dM توپير لري، نو مجموعه دقواوو $\sum F_x = 0$ ، هلته کيدی شی چې په لاندې سطحه د برخې په اوږدو، شپير سټريس t عمل وکړي. د تحليل ساده کولو لپاره، مور به دا فرض کړو چې شپير سټريس په سور t په لاندې مخ کې ثابت دی. د موندلو لپاره هغه افقي قوه چې د کوروالي مؤمنت لخوا رامینځته کيږي، مور به دا فرض کړو چې د شپير له امله د پيچ او تاب (warping) اغيزه کوچني ده، نو دا په عمومي ډول د محاسبه کيدو نه ده او کيدی شی چې په پام کې ونه نيول شي. دا انگيرنه په ځانگړې توگه د ډيری عام قضیې لپاره لکه د یوی باریک (slender) بيم لپاره ريښتيا ده. باریک بيم هغه بيم دی چې ژوروالی يي د اوږدوالي په پرتله ډير لږ وی. له همدې امله، د کوروالي فورمول معادله 6-13 په کارولو سره، مور لرو



انځور 7-4 تکرار

$$\begin{aligned} \sum F_x = 0; \quad & \int_{A'} \sigma' dA' - \int_{A'} \sigma dA' - \tau(t dx) = 0 \\ & \int_{A'} \left(\frac{M + dM}{I} \right) y dA' - \int_{A'} \left(\frac{M}{I} \right) y dA' - \tau(t dx) = 0 \\ & \left(\frac{dM}{I} \right) \int_{A'} y dA' = \tau(t dx) \end{aligned} \quad (7-1)$$

دا د t لپاره حل کوو، او مور لرو

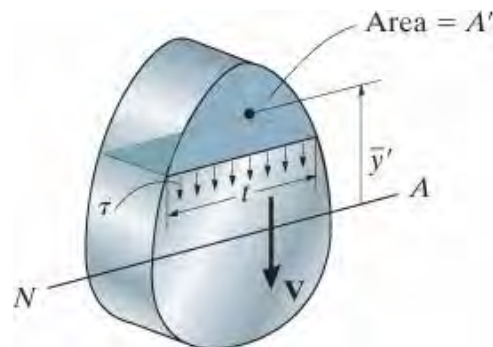
$$\tau = \frac{1}{It} \left(\frac{dM}{dx} \right) \int_{A'} y dA'$$

دلته $V = dM/dx$ معادله 6-2 او هم دا انٹیگرال استازیتوب د مؤمنت د ساحی A په صفری کرښه کوي، چی دا به په سمبول Q سره بنیو. ځکه چی موقعیت د ساحی A له معادلی

$$\bar{y}' = \int_{A'} y dA' / A'$$

څخه پیدا کیري او مور لیکلی شو

$$Q = \int_{A'} y dA' = \bar{y}' A' \quad (7-2)$$



انځور 7-5

وروستی پایله په نامه دی شیبیر فورمول یادیري، یعنی

$$\tau = \frac{VQ}{It}$$

(7-3)

د 5-7 انځور له مخی:

$t =$ د غړي شپير سټريس په يو ټکي چي په فاصله د y له صفری محور موقعیت لري. فرض کيږي چي دا سټريس ثابت دی او اوسط د سټريس په ټول سور د t کی دي

$V =$ د شپير قوه ده، چي د غوڅی په طريقه او د توازن له معادلی پيدا کيږي

$I =$ انرشيايي مؤمنت د ټولی غوڅی برخي ساحی په صفری محور محاسبه کيږي

$t =$ د غړی د غوڅی برخي سور دی په هغه ټکی کی چي شپير سټريس t غوښتل شوي

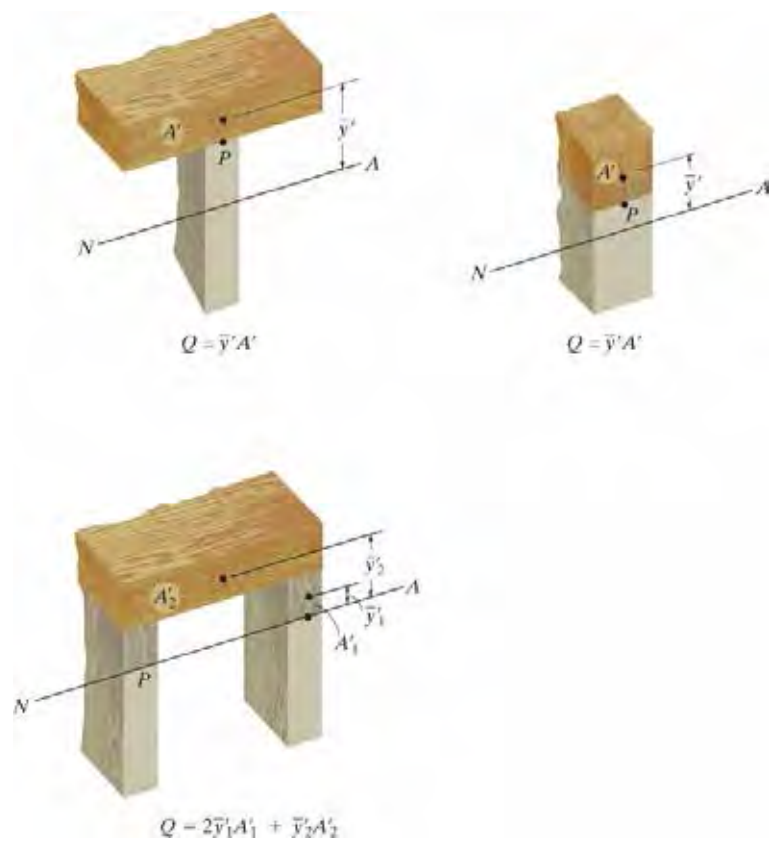
$Q = \bar{y}'A'$ دلته A' ساحه د پورتنی یا لاندنی برخه د غړی د غوڅی برخي ده. پورته یا بنسکتی سطحه د برخي چي سور t يي اندازه شوي، او (\bar{y}') فاصله ده له صفری محور تر مرکز ثقل د A' تر ساحی پوری.

که څه هم د فورمول حاصلولو لپاره مور يوازی شپير سټريس چي په اوږدود بيم د سطحی عمل کړی په پام کی نيولي دي. دا فورمول د بيم د غوڅی برخي د عرضی خوا شپير پيدا کولو لپاره هم کارول کیدی شي، ځکه چي د شير سټريسونه تکميليدونکی او مساويدي.

د Q محاسبه کول (Calculating Q).

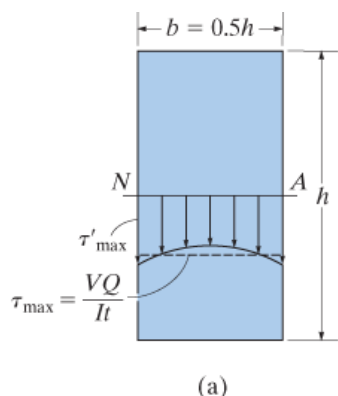
محاسبه کول د Q د شير فورمول په ټولو اجزاوو کی معمولاً خورا ستونزمن وي، چي په سمه توگه تعريف کړی شي. هڅه وکړی چي په ياد ولری چي دا د غوڅی برخي هغه ساحی مؤمنت څرگندوي چي دا ده د هغه نقطی څخه پورته یا لاندی چيري چي د شپير سټريس ټاکل کيږي دی.

A' هغه سيمه ده چي د بيم پاتی برخه، کله چي بيم له کږيدنی تيریږي، د اوږدوالي شپير سټريس په واسطه "نيول کيږي" انځور 7-4d وگوری. مثالونه چي په انځور 7-6 کی ښودل شوي د دی ټکي په روښانه کولو کی به مرسته وکړي. دلته سټريس په نقطه P کی بايد وټاکل شي، او په دې توگه A' د تياره سيوري سيمي استازيتوب کوي. د هر يوی قضيه لپاره د Q ارزښت د هر حالت لپاره لاندی راپور شوي. دا ورته پایلي د A' په پام کی نيولو سره د Q لپاره هم تر لاسه کیدی شي، که چيري د P لاندی روښانه سيوري ساحه په پام کی و نيول شي. که څه هم دلته y مقدار منفي دی ځکه چي د A' برخه د صفری محور لاندی ده.

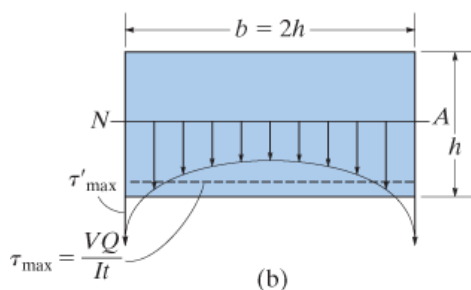


انخور 7-6

د شپير سټريس فورمول په کارولو کې محدودیتونه (Limitations on the Use of the Shear Formula).



يو له عمده انگيرني چې د شپير فارمول په پراختيا کې کارول کېږي دا دی چې شپير سټريس د t برخې په سور کې په مساوي اندازه يا يو شان ویشل شوی. په بل عبارت، منحنی شپير سټريس په سور محاسبه کېږي. مور کولی شو د يوه ډير دقيق رياضيائي تحليل له مخې چې د ایلستیسټی تیوری پر بنسټ ولاړدی دا انگيرني په دقت سره و آزمایو. د مثال په توگه، که د بیم غوڅه برخه مستطیل وي، د شپير سټريس ویش په صفری محور په اوږدو کې په حقیقت کې توپیر لري لکه څنگه چې په 7-7 انځور کې ښودل شوي.



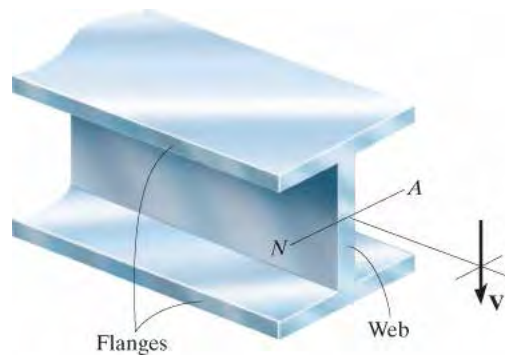
اعظمی ارزښت، t_{max} ، د غوڅې برخې په اړخونو کې واقع کېږي، او د هغې شدت په تناسب b/h (بر/ ژوروالي) پورې اړه لري. د هغو غوڅو لپاره چې $b/h = 0.5$ وی د t_{max} یوازې شاوخوا 3% له هغه چې د شپير فورمول په واسطه محاسبه شوی وی زیاتوالي لري، انځور 7-7a وويني. څرنگه چې، د همواره

برخو لپاره، $b/h = 2$ د اعظمی شپير سټريس، t_{max} شاوخوا 40% ډير **انځور 7-7** له

شپير سټريس t_{max} څخه دی انځور 7-7b وويني. تېروتنه نوره هم زیاته

کيږي کله چې برخه همواره کېږي، دا په دی معني چې نسبت د b/h زیاتېږي. د دی شدت تېروتنې يقینا د زغم ورنه دي که یو هڅه کوي د شپير له فورمول څخه کار واخلي ترڅو د شپير سټريس د سورور- فلنج بیم په فلنج کې معلوم کړي انځور 7-8 وويني.

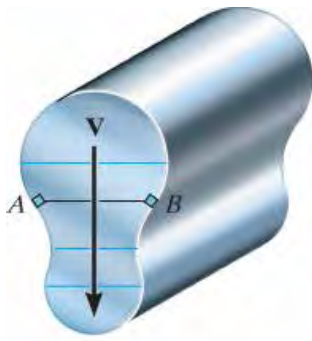
دا هم باید په پام کې ونیول شي چې د شپير فورمول پایلی به دقیق نه وي کله چې د فلنج او ویب په غوڅه کې د شپير سټريس معلومولو لپاره وکارول شي ځکه چې پدی جنکشن کې، په ناڅاپي ډول د غوڅې برخې بدلون راځي، او له همدې امله دلته د سټريس غلظت پېښيږي. خوشبختانه، انجینران باید په بیم کې د اوسط اعظمی شپير سټريس محاسبه کولو لپاره له فارمول څخه کار واخلي، او د سورور فلنج برخې لپاره دا په صفری محور کې واقع کېږي، چیرې چې د ویب لپاره b/h (بر/ ژوروالي) تناسب خورا کوچنی دی، او له همدې امله محاسبه شوې پایله ریښتیني اعظمی شپير سټريس ته خورا نږدې ده لکه څنگه چې پورته تشریح شوي.



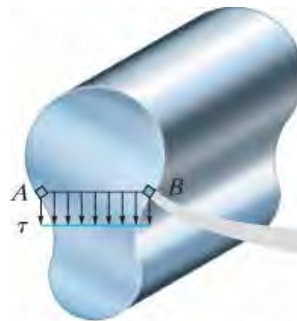
انځور 7-8

د شیبیر فورمول په کارولو کې بل مهم محدودیت کیدی شي انځور 7-9a ته اشاره وشي، کوم چې د یو غړی غوڅه برخه په غیر منظم سرحد سره بنودل شوي. که مور د شیبیر فورمول پلي کړو او د AB کرښې په اوږدو کې د (اوسط) شیبیر سټریس t وټاکو دا به د دی کرښې په اوږدو کې بنکته لوري ته جهت ولری لکه څنګه چې په انځور 7-9b کې بنودل شوي. په هر صورت، یوه وره ټوټه د موادو چې د بیرونی حد له نقطې B څخه اخیستل شوي، انځور 7-9c، باید د هغې په بهرنی سطحه کې کوم شیبیر سټریس شتون و نه لری. په بل عبارت، شیبیر سټریس د دې ټوټې په بهرنی حد باندې باید مماس عمل کوی، او همداسې د AB کرښې په اوږدو کې د شیبیر سټریس ویش په حقیقت کې لکه څنګه چې په انځور 7-9d کې بنودل شوي عمل کوی. د پایلې په توګه، د شیبیر فورمول یوازې په برخو کې پلي کیدی شي چې په انځور 7-9a کې په نیلي کرښو لخوا بنودل شوي، ځکه چې دا کرښې یو بل له مماس سره نښلوي او په سرحد کې په قایمه زاویه سره، انځور 7-9e و گوري.

د پورتنیو ټکو د لنډیز لپاره، د شیبیر فورمول، کله چې غړی لنډ یا همواره غوڅه برخې لري، یا په هغه ځایونو کې چیرې چې غوڅه برخه ناڅاپه بدلیري، پلي کیدل یې دقیقې پایلې نه ورکوي. نه دا باید په هغه یوه برخه کې پلي شي چې د برخې سرحد پرته له 90 درجو په بله زاویه قطع کړي.



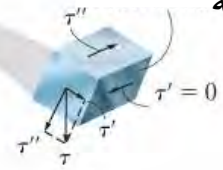
(a)



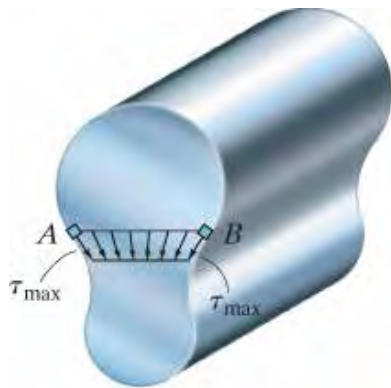
شییر سترس ویش له
شییر فومول

(b)

له سترس آزاد بیرونی
سطحه



(c)



(d)



(e)

انخور 7-9

مهم ټکي

(IMPORTANT POINTS)

- شیبیر قواوي په بیم کی لامل د غیر خطی شیبیر- سترین ویش په غوڅه برخه کېږي او دا لامل د پیچ او تاو (warp) په غوڅه کې کېږي.
- د شیبیر د بشپړونکی خاصیت له امله، هغه شیبیر ستریس چې په بیم کې جوړېږي، هغه په غوڅه برخه د بیم او هم په اوږد والي سطحه د بیم عمل کوي .
- د شیبیر فورمول د یوی ټوټي د بیم د برخی له افقي توازن د قواوو څخه لاس ته راځي.
- د شیبیر فورمول په مستقیم پرزماتیک (prismatic) غږي چې له متجانس موادو جوړ او خطي ایلسټیک چلند ولري ، کارول کېږي. همدارنگه د شیبیر قواوو محصله باید په همغږي محور د غوڅی برخی عمل وکړي.
- د شیبیر فورمول باید د شیبیر ستریس ټاکل کیدو لپاره دهغه حالتونو په شتون سره ونه کارول شي، کله چې غوڅه برخه لنډه یا همواره وی ، او یا دا چې غوڅه برخه په ناڅاپی ډول تغیر کوی، او یا بیروني سطحه د غږي په 90 درجه قطع نکړي.

د تحلیل کرنلاره

PROCEDURE FOR ANALYSIS

د دی لپاره چی د شیبیر له فورمول کار واخیستل شي له دی لاندی تگلاری کار واخلي

داخلي شیبیر (Internal Shear)

- په هغه ټکی کی چی شیبیر سټریس غوښتل شوی غړی په خپل محور په عمودی توگه غوڅ کړي او د شیبیر داخلي قوه V په برخه معلوم کړي.

د غوڅی برخي خاصیتونه (Section Properties)

- د صفری کرښي موقعیت معلوم کړي. وروسته د ټول غوڅی برخي انرشیايي مؤمنت I په صفری کرښه و ټاکي.
- یوه خیالي افقي سطحه له هغه ټکی چیرته شیبیر سټریس غوښتل شوی ، تیره کړي. په همدی ټکی کی د ساحی سور t د غوڅی برخي وټاکي.
- هغه ټوټه د ساحی چی په پورته یا ښکته خوا د دی سور شتون لری هغه A' ده. د Q ارزښت له $Q = \bar{y}'A'$ وټاکي. دلته \bar{y}' فاصله ده د A' د مرکز ثقل نه تر صفری محور کرښی پوری. دا ممکن د پوهیدو لپاره گټور وي چی A' د غړي د غوڅی برخي هغه ساحه ده چی د غړي لخوا "په غړي باندي ساتل کيږي" د هغه شیبیر سټریس پواسطه چی په اوږدوالی د بیم له کړیدو څخه پیدا کيږی، انځور 7-2 او 7-4d وگورئ.

• شیبیر سټریس (Shear Stress)

- له ثابتواو یومخیزه واحدونو کار واخلي او دیتا په شیبیر فورمول کی وکاروي تر څو شیبیر سټریس t محاسبه کړي.
- دا وړاندیز کيږي چی د عرضي شیبیر سټریس t سمت په هغه ځای کی چیري چی محاسبه کيږي ، د موادو حجم په ټوټه یا عنصر باندي تاسیس شي . دا د دي په پوهیدو سره ترسره کیدی شي چی t په غوڅه برخه باندي د V په ورته لوري عمل کوي. له دي څخه، اړونده شیبیر په نورو دريو مخونو باندي چی عمل کوی پیدا کیدی شي.

مثالونه

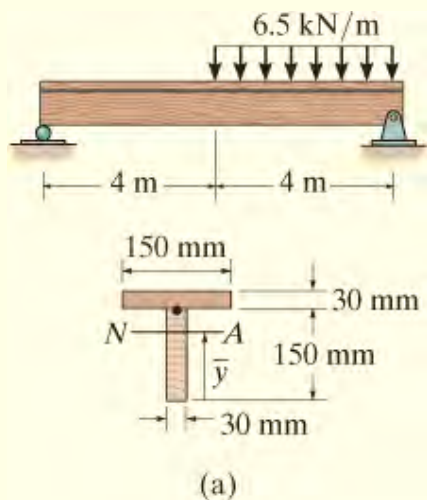
مثال 7.1

په دی لاندی انځور، 7-10a، کی بنودل شوی بیم له دو تختو جوړه شوی. هغه اعظمی شیبیر ستریس چی د تختو د ساتلو لپاره اړین دی چی دواړي تختی په جاینت کی نیبنلولي و ساتي معلوم کړي.

حل (SOLUTION)

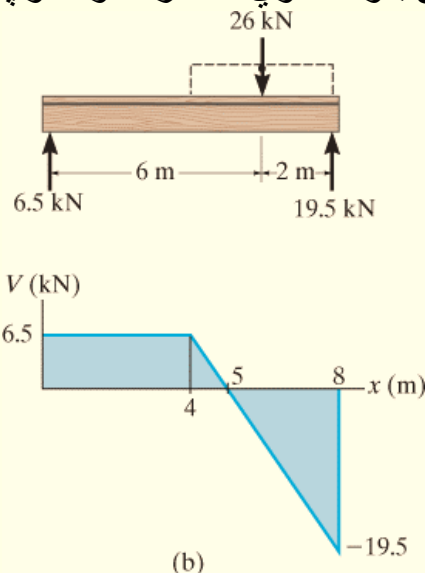
داخلي شیبیر (Internal Shear)

د اتکا ریکشنونه او د بیم شیبیر ډایگرام په انځور 7-10b کی بنودل شوي. داسی معلومیری چی اعظمی شیبیر په بیم کی 19.6 kN دی.



د برخی خاصیتونه (Section Properties)

د ثقل مرکز او له همدی امله صفری محور به له کرښی چی په ټیټه خوا د غوڅی برخی کی بنودل شوي وټاکو. او دا په انځور 7-10a کی بنودل شوي. د متر له واحدو په کار واخلو او مور لرو:



$$\bar{y} = \frac{\sum \bar{y}A}{\sum A}$$

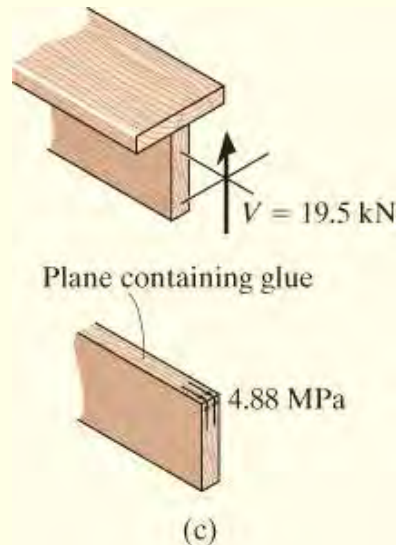
$$= \frac{[0.075 \text{ m}](0.150 \text{ m})(0.030 \text{ m}) + [0.165 \text{ m}](0.030 \text{ m})(0.150 \text{ m})}{(0.150 \text{ m})(0.030 \text{ m}) + (0.030 \text{ m})(0.150 \text{ m})} = 0.120 \text{ m}$$

The moment of inertia about the neutral axis, Fig. 7-10a, is therefore

$$I = \left[\frac{1}{12}(0.030 \text{ m})(0.150 \text{ m})^3 + (0.150 \text{ m})(0.030 \text{ m})(0.120 \text{ m} - 0.075 \text{ m})^2 \right]$$

$$+ \left[\frac{1}{12}(0.150 \text{ m})(0.030 \text{ m})^3 + (0.030 \text{ m})(0.150 \text{ m})(0.165 \text{ m} - 0.120 \text{ m})^2 \right]$$

$$= 27.0(10^{-6}) \text{ m}^4$$



انځور 7-10

دا پورته تخته (فلنج) له ټیټی تختی (ویب) سره د سریش په واسطه چی په ضخامت $t = 0.03 \text{ m}$ (د ویب سور) باندی پروت دي ساتل کیږي. په پایله کی Q پیدا کولو دپار د پورته تختی دساحی نه محاسبه کیږي، انځور 7-10a و گوري.

$$Q = \bar{y}'A' = [0.180 \text{ m} - 0.015 \text{ m} - 0.120 \text{ m}](0.03 \text{ m})(0.150 \text{ m})$$

$$= 0.2025(10^{-3}) \text{ m}^3$$

شییر ستریس (Shear Stress)

د شییر فورمول څخه کار اخلو

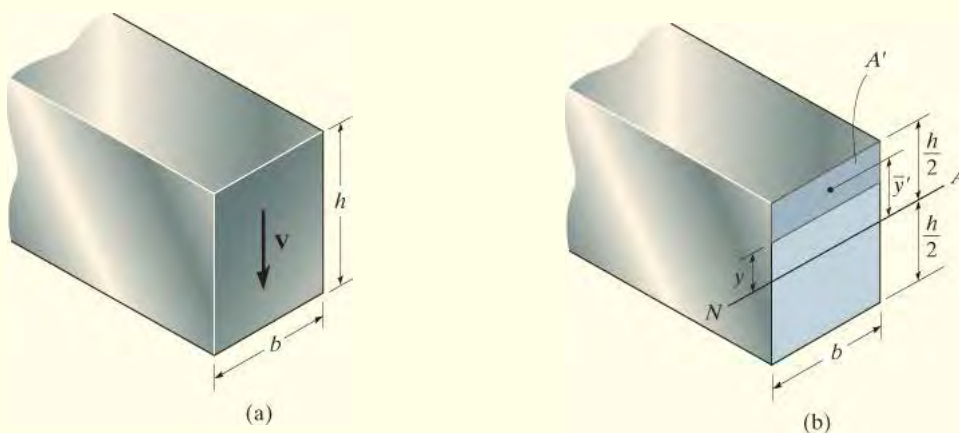
$$\tau_{\max} = \frac{VQ}{It} = \frac{19.5(10^3) \text{ N}(0.2025(10^{-3}) \text{ m}^3)}{27.0(10^{-6}) \text{ m}^4(0.030 \text{ m})} = 4.88 \text{ MPa} \quad \text{Ans.}$$

شییر ستریس چی په پورته او ټیټه تخته پلی شوی په انځور 7-10c کی بنودل شوي.

نوټ: دا سرینس دی چی د بیم په اوږدوالي شییر ستریس سره مقاومت کړي ، او تختي له بنویدو په بني اتکا کی ساتي.

مثال 7.2

د شییر ویش د بیم په غوڅه برخه معلوم کړي چی په انځور 7-11a کی بنودل شوی.



انځور 7-11

حل (SOLUTION)

شییر ستریس په یوه اختیاری ارتفاع، y ، له صفری محور څخه پیدا کوو، انځور 7-11 b وگوري، او بیا به دا تابع پلات کړو. دلته به دا تیاره رنگه ساحه د A' به د Q^* محاسبه کولو لپاره وکارول شي، نو مور لرو:

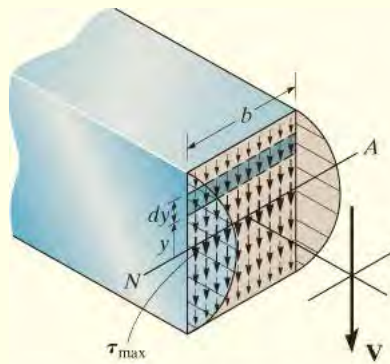
$$Q = \bar{y}'A' = \left[y + \frac{1}{2} \left(\frac{h}{2} - y \right) \right] \left(\frac{h}{2} - y \right) b = \frac{1}{2} \left(\frac{h^2}{4} - y^2 \right) b$$

د شپير له فورمول کار اخلو، او موږ لرو:

$$\tau = \frac{VQ}{It} = \frac{V \left(\frac{1}{2} \right) \left[\left(\frac{h^2}{4} \right) - y^2 \right] b}{\left(\frac{1}{12} b h^3 \right) b} = \frac{6V}{b h^3} \left(\frac{h^2}{4} - y^2 \right) \quad (1)$$

دا پایلي بنیې چې د شپير ستریس ویش په غوڅه برخه د پارابولیک (*parabolic*) په ډول دی. څنگه چې په انځور 7-11c کې ښودل شوي. شدت یې له صفر په پورته او ټیټه برخه ، $y = + -$ ، او اعظمی حد ته په صفری محور $y=0$ کې رسیری. په ځانگړي توگه ، ځکه چې د غوڅی برخى ساحه عبارت ده په $A = bh$ بیا په $y=0$ معادله 1 داسی کیری

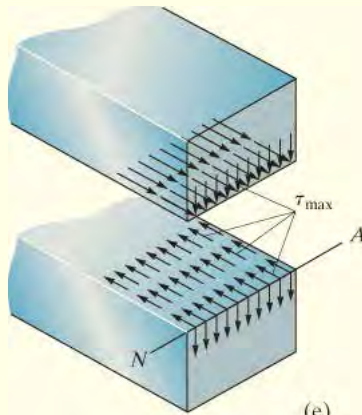
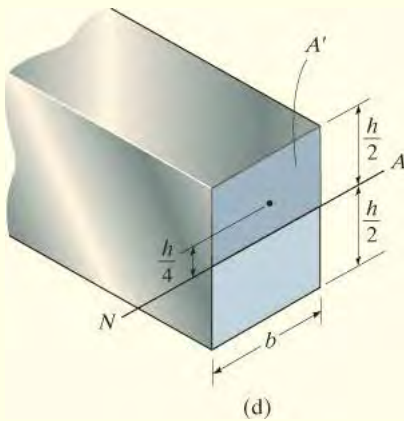
$$\tau_{\max} = 1.5 \frac{V}{A} \quad (2)$$



Shear-stress distribution

انځور 11c] 7 (ادامه)

* له y نه ټیټه ساحه $[A' = b(h/2 + y)]$ هم کیدی شي چې وکارول شي ، اما د هغه کارول یو لږ الجبری محاسباتو ته اړتیا لری.



د لرگیو د بیم ماتیدل په شیر کی په عدی ډول په اتکا کی د غوخی برخی په منځ کی درز کوی

انځور 7-11 (تکرار)

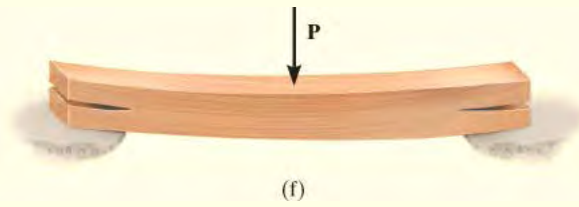
د شیر ستریس t_{max} ورته ارزښت په مستقیم ډول د شیر فورمول $t = VQ/It$ څخه هم ترلاسه کیدی شي. مور باید و پوهیږو چی t_{max} هلته اقع کیږي، چیرې چې Q ترټولو لوی ارزښ ولری. څرنګه چې V ، I ، او t ثابت دي. د لیدو په واسطه، Q به هلته اعظمي وي کله چې ټوله ساحه پورته (یا لاندې) د صفری محور په پام کې ونیول شي؛ یعنی $A' = bh/2$ او $y' = h/4$ ، انځور 7-11d. په دې توګه،

$$\tau_{max} = \frac{VQ}{It} = \frac{V(h/4)(bh/2)}{[\frac{1}{12}bh^3]b} = 1.5 \frac{V}{A}$$

په پرتله کولو سره، t_{max} د منځنی شیر ستریس څخه 50% ډیر دی له معادلي 7-1 څخه ټاکل شوی. یعنی، $t_{avg} = V/A$.

دا مهمه ده چې پوه شي چې t_{max} هم په اوږدوالي د بیم عمل کوي انځور 7-11e وګوري. دا ستریس کولی شي د دې لامل شي چې د لرګي بیم په خپله اتکا کې چی شیر اعظمی وی ویجاړه شي، لکه څنګه چې بنودل شوي، انځور 7-11f. دلته د لرگیو افقی درز د غوخی په محور کی پیل کیږي د بیم په پایونو کی، ځکه چې هلته عمودی ریکشنونه لوی او شیر ستریس ورسره لوی وی. لرگی د هغو په اوږدو کې د شیر لپاره ټیټ مقاومت په رخو کی لري، کوم چې په اوږدو لوري متمرکز دی.

دا لارښوونه ده ، کله چې د شیر ستریس ویش، معادل (1) انٹیگریټ شی د غوڅی برخې پر سر په پایله کی شیر V تولیدوي . د دې لپاره، دیوی توتی ساحه $dA = b dy$ غوره شوي، انځور 7-11c، او له هغه وخته چې t په دې توتیه یا پټي کې یوشان عمل کوي، مور لرو



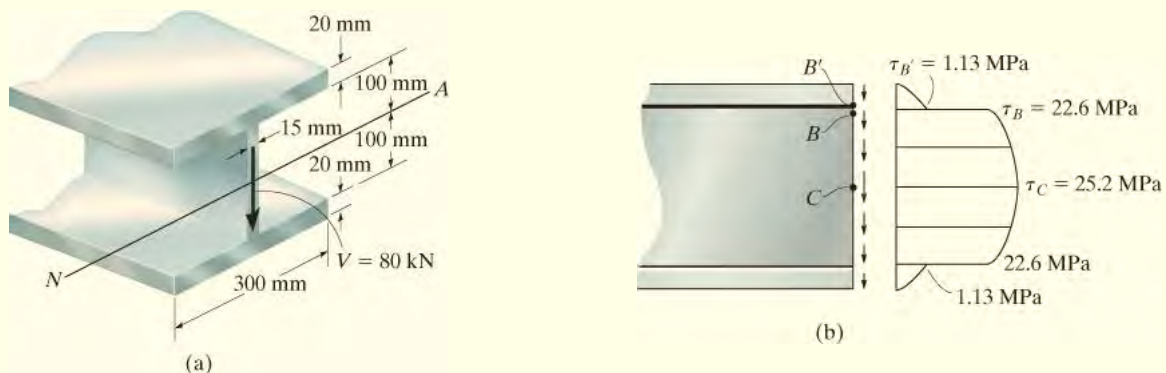
$$\int_A \tau dA = \int_{-h/2}^{h/2} \frac{6V}{bh^3} \left(\frac{h^2}{4} - y^2 \right) b dy$$

$$= \frac{6V}{h^3} \left[\frac{h^2}{4} y - \frac{1}{3} y^3 \right]_{-h/2}^{h/2}$$

$$= \frac{6V}{h^3} \left[\frac{h^2}{4} \left(\frac{h}{2} + \frac{h}{2} \right) - \frac{1}{3} \left(\frac{h^3}{8} + \frac{h^3}{8} \right) \right] = V$$

مثال 7.3

یو فولاندي سوره ورفلنج (wide flange) په انځور 7-12a کی ښودل شوي. که چیری یو شیر $V = 80 \text{ kN}$ پری پلی شي د شیر ستریس ویش په غوڅه برخه معلوم کړي.



انځور 7-12

حل (SOLUTION)

څرنګه چې فلنچ او ویب دواړه غړی مستطیلي شکل لري، لکه تیر مثال، د شیبیر ستریس ویش به پارابولیک وی، او دا په هغه توګه چې په انځور 7-12b کی ښودل شوی دي. د متناظر والی له امله شیبیر ستریس په B، B' او C کی باید معلوم شي. ددی لپاره چې دا ارزښتونه وټاکل شي، لمړي باید انرشیایي مؤمنت د غوڅی برخی په صفري محور پیدا شي. د متر له واحد کار اخلو، مور لرو:

$$I = \left[\frac{1}{12} (0.015 \text{ m})(0.200 \text{ m})^3 \right] + 2 \left[\frac{1}{12} (0.300 \text{ m})(0.02 \text{ m})^3 + (0.300 \text{ m})(0.02 \text{ m})(0.110 \text{ m})^2 \right] = 155.6(10^{-6}) \text{ m}^4$$

په ټکی B' کی، $t_{B'} = 0.300 \text{ m}$ ، او A' ساحه په توره سیوری په انځور 7-12c کی ښودل شوي.

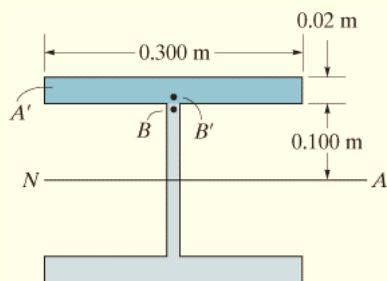
$$Q_{B'} = \bar{y}'A' = [0.110 \text{ m}](0.300 \text{ m})(0.02 \text{ m}) = 0.660(10^{-3}) \text{ m}^3$$

په دی توګه
نوبیا

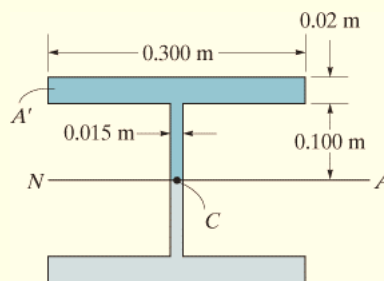
$$\tau_{B'} = \frac{VQ_{B'}}{It_{B'}} = \frac{80(10^3) \text{ N}(0.660(10^{-3}) \text{ m}^3)}{155.6(10^{-6}) \text{ m}^4(0.300 \text{ m})} = 1.13 \text{ MPa}$$

په ټکی B کی، $t_B = 0.015 \text{ m}$ او $Q_B = Q_{B'}$ انځور 7-12c وګوري. پس بیا

$$\tau_B = \frac{VQ_B}{It_B} = \frac{80(10^3) \text{ N}(0.660(10^{-3}) \text{ m}^3)}{155.6(10^{-6}) \text{ m}^4(0.015 \text{ m})} = 22.6 \text{ MPa}$$



(c)



(d)

انځور 7-12 (تکرار)

زموږ د تیر شوی بحث څخه یادونه وکړئ "د شیبې فورمول کارولو محدودیتونه" چې د t_B او t_B' دواړو محاسبه شوي ارزښتونه په حقیقت کې خورا ډیر منحرف کوونکی دی او یا دا چې له حقیقت مو لري کوی، اما ولې؟

د C نقطې لپاره، $t_C = 0.015 \text{ m}$ او A' تیاره سیوري ساحه ده چې په انځور 7-12d کې ښودل شوي. د دې ساحې په پام کې نیولو سره چې د دوه مستطیلونو څخه جوړه شوې وي، مونږی لرو

$$\begin{aligned} Q_C &= \Sigma \bar{y}' A' = [0.110 \text{ m}](0.300 \text{ m})(0.02 \text{ m}) \\ &\quad + [0.05 \text{ m}](0.015 \text{ m})(0.100 \text{ m}) \\ &= 0.735(10^{-3}) \text{ m}^3 \end{aligned}$$

په دې توگه

$$\tau_C = \tau_{\max} = \frac{VQ_C}{It_C} = \frac{80(10^3) \text{ N}[0.735(10^{-3}) \text{ m}^3]}{155.6(10^{-6}) \text{ m}^4(0.015 \text{ m})} = 25.2 \text{ MPa}$$

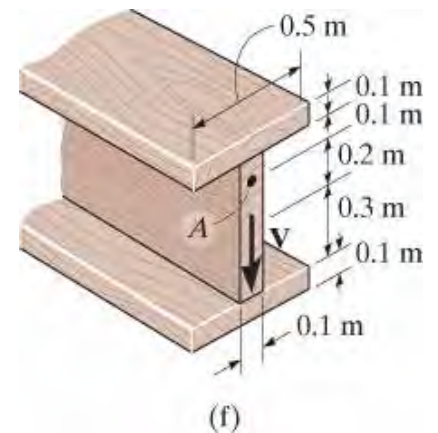
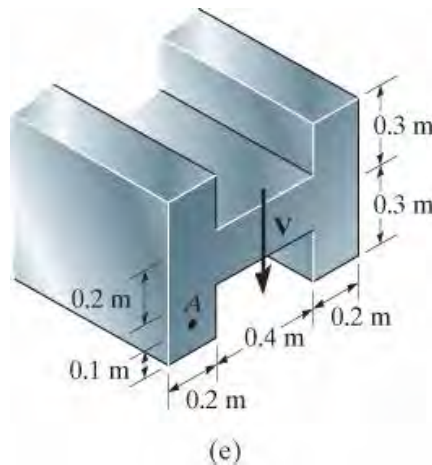
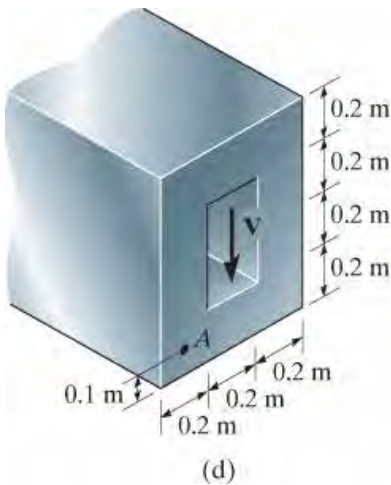
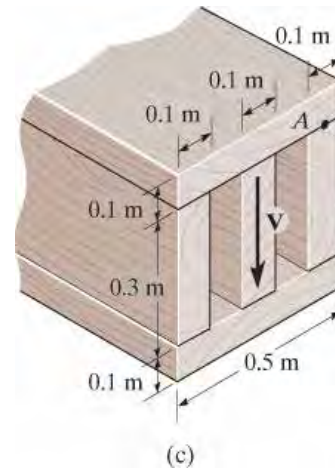
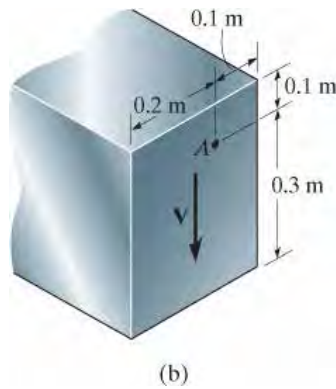
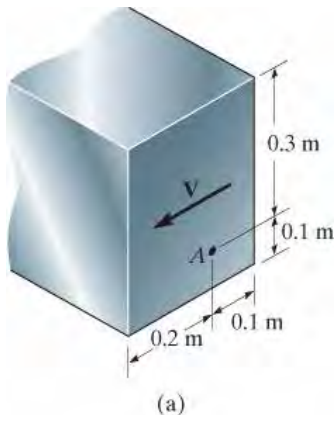
له انځور 7-12b څخه، په یاد ولری چې ترتولو لوی شیبې سټریس په ویب کې واقع کیږي او تقریباً یونیفورم یا یو شان دی د ژوروالي په اوږدو کې، چې له 22.6 MPa څخه تر 25.2 MPa پورې توپیر لري. دا د دې دلیل لپاره دی چې د ډیزاین لپاره، ځینې د ډیزاین کوډونه د ویب په غوڅه برخه کې شیبې سټریس محاسبه کولو لپاره د شیبې فارمول کارولو پرځای د اوسط شیبې سټریس پر ویب د شیبې فارمول کارولو پرځای کارولو ته اجازه ورکوي؛ هغه دی،

$$\tau_{\text{avg}} = \frac{V}{A_w} = \frac{80(10^3) \text{ N}}{(0.015 \text{ m})(0.2 \text{ m})} = 26.7 \text{ MPa}$$

دا به وروسته په یولسم (11) فصل کې تفصیل شي.

PRELIMINARY PROBLEMS

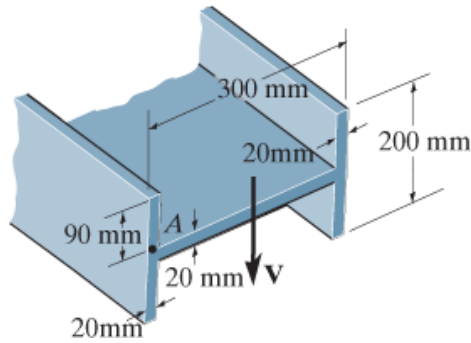
7-1 ل. په دی لاندی حالتونو کی ارزشت د Q او t چی په شپیر فومول کی ورځینی کار اخیستل کیږي تر څو شپیر ستریس په A کی پیدا کړي. هم وښی چی شپیر ستریس په څه ډول عملکوی په یوه کوچنی حجمی ټوټه چی په A کی موقعیت لری.



بنسټيز سوالونه

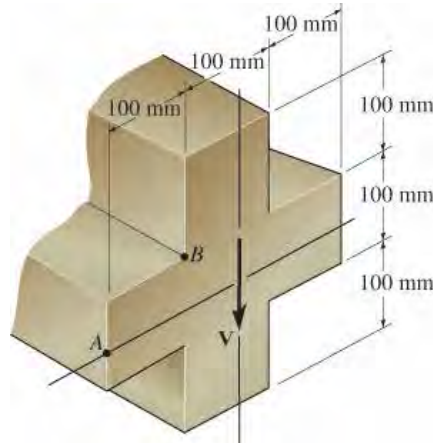
(FUNDAMENTAL PROBLEMS)

ب 7-1. که یوه شپير قوه $V = 100\text{kN}$ په لاندی بیم پلی شي، په ټکی A کی شپير سټریس معلوم کړي. په یوه کوچنی حجمی ټوټه په دی ټکی کی د سټریس حالت و بنیي.



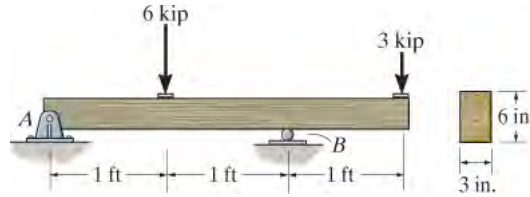
ب 7-1

ب 7-2. په لاندی بیم یوه شپير قوه $V = 600\text{ kN}$ پلی شوي، په ټکیو A او B کی شپير سټریس و ټاکي. په دی ټکیو کی په یوه کوچنی حجمی ټوټه د سټریس حالت و بنیي.



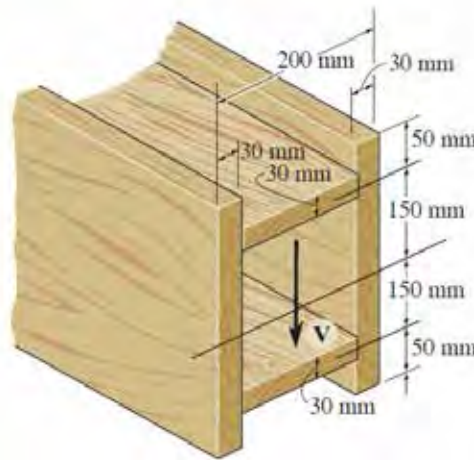
ب 7-2

ب 7-3. په بيم کې مطلق اعظمی شپير سټريس معلوم کړي.



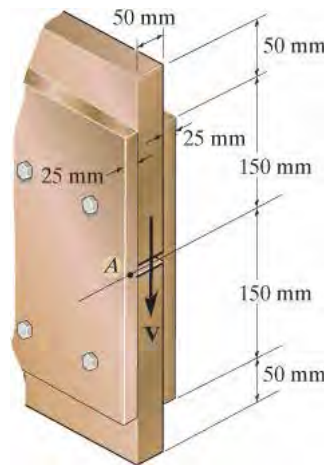
ب 7-3

ب 7-4. په بيم $V = 20 \text{ kN}$ د شپير قوه پلي شوي، اعظمی شپير سټريس په بيم کې معلوم کړي.



ب 7-4

ب 7-5. دا لاندی بيم له څلور تختو جوړ شوي، او يوه د شپير قوه $V = 20 \text{ kN}$ ورباندی پلي شوي. شپير سټريس په ټکی A کې وټاکي، او په يوه کوچنی حجمی ټوټه په دی ټکی کې د سټريس حالت و بنیي.



ب 7-5

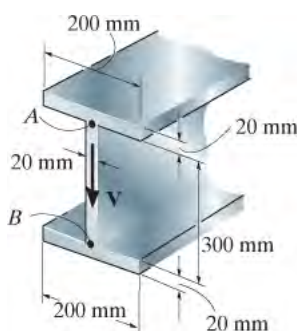
سوالونه

(PROBLEMS)

س 7-1. په لاندی سورور فلنچ بیم د شیبیر قوه $V=20 \text{ kN}$ پلی شوي، د ویب په ټکی A کی شیبیر سټریس معلوم کړي. د شیبیر سټریس اجزاوی په یوه کوچنی حجمی ټوټه په دی ټکی وټاکي.

س 7-2. په لاندی سورور فلنچ بیم د شیبیر قوه $V=20 \text{ kN}$ پلی شوي، اعظمی شیبیر سټریس په بیم کی معلوم کړي.

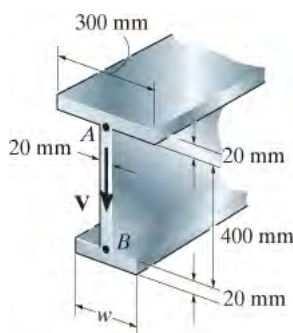
س 7-3. په لاندی سورور فلنچ بیم د شیبیر قوه $V=20 \text{ kN}$ پلی شوي، هغه د شیبیر قوه چی د بیم ویب یی مقاومت کوی معلوم کړي.



س 7-1/2/3

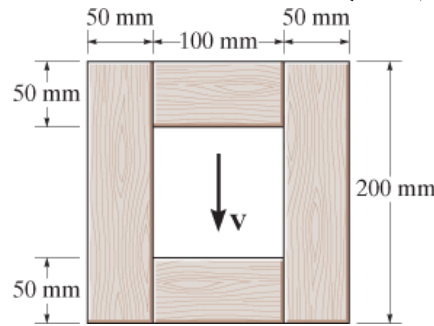
س 7-4*. په بیم یو شیبیر $V=30 \text{ kN}$ پلی شي، د ویب په ټکیو A او B کی شیبیر سټریس وټاکي. او د شیبیر سټریس اجزاوی په کوچنی حجمی ټوټه په دی ټکیو وټاکي. د $w=200 \text{ mm}$ په پام کی ونیسي. و بنیي چی د صفری محور موقعیت $y^- = 0.2433 \text{ m}$ له بنکتی خوا او د $I = 0.5382(10^{-3}) \text{ m}^4$ دی.

س 7-5. په لاندی سورور فلنچ بیم د شیبیر قوه $V=30 \text{ kN}$ پلی شوي، اعظمی شیبیر سټریس په بیم کی معلوم کړي. د $w=300 \text{ mm}$ و ټاکي.



س 7-5

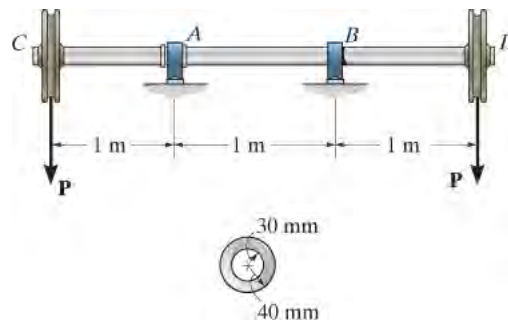
س 7-6. د لرگیو د منلو وړ شیبیر ستریس په بیم کی $t_{\text{allow}} = 7 \text{ Mpa}$ دی. اعظمی شیبیر قوه V چی کیدی شي پدی غوڅه پلی شي معلوم کړي.



س 7-4/5

س 7-7. دا لاندی شافت ترست بیرینگ په A او جورنال بیرینگ په B کی اتکا وی لری. که چیری $P = 20 \text{ kN}$ وی، مطلق اعظمی شیبیر ستریس په شافت کی معلوم کړي.

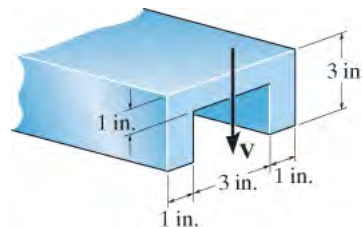
س* 7-8. دا لاندی شافت ترست بیرینگ په A او جورنال بیرینگ په B کی اتکا وی لری. که چیری شافت له هغه موادو جوړ وی چی د منلو وړ شیبیر ستریس یې $t_{\text{allow}} = 75 \text{ MPa}$ وي، اعظمی ارزشت د P وټاکي.



س 7-7/8

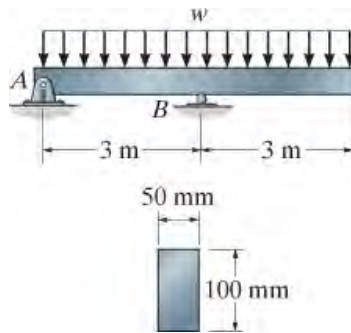
س 7-9. که چیری د منلو وړ شیبیر ستریس $t_{\text{allow}} = 8 \text{ ksi}$ وي، هغه لوی شیبیر قوه چی په دی لاندی بیم کیدی شي و ټاکي.

س 7-10. که پلی شوي د شیبیر قوه $V = 18 \text{ kips}$ وی، اعظمی شیبیر ستریس په غری کی معلوم کړي.



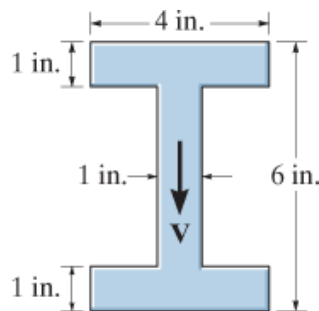
س 7-9/10

س 7-11 په یو وتلی بیم یو شان ویشلشوی بار $w = 50 \text{ kN/m}$ پلی شوي. اعظمی شیر سترس په بیم کی و ټاکی.



س 7-11

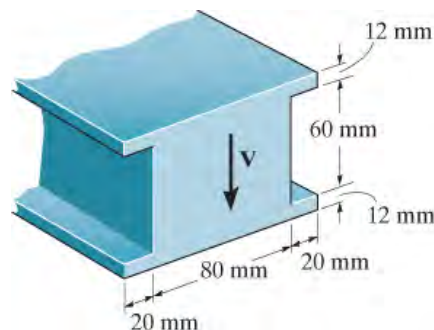
*7-12. بیم له پالیمر څخه جوړ شوی او یو شیر قوه $V = 7 \text{ kips}$ ورباندی پلی شوي. اعظمی شیر ستریس په بیم کی معلوم، او د شیر ستریس ویش په غوڅه برخه پلات کړي. د شیر ستریس ارزښت هر 0.5 انچه د بیم په ژوروالي کی و ټیي.



س 7-12

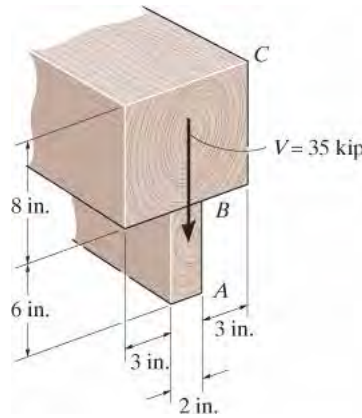
س 7-13. اعظمی شیر ستریس په سترت کی وټاکی، یوه شیر قوه $V = 20 \text{ kN}$ ورباندی پلی شوی وی.

س 7-14. د منلو وړ شیر ستریس د سترت د موادو $t_{\text{allow}} = 40 \text{ MPa}$ دی، هغه شیر قوه چی په دی سترت پلی کیدی ټیي و ټاکی.



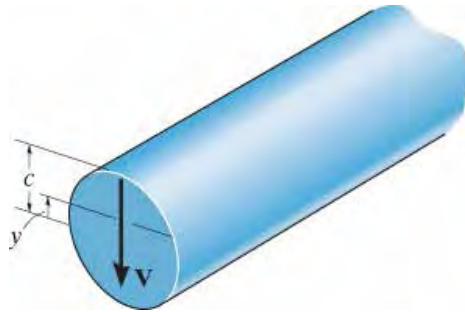
س 13/14

س 7-15. د شپير ستر س د ویش شدت د بیم د غوڅی برخي په ساحه پلات کړي، او په برخه AB د شپير قوی محصله چی عمل کړي وټاکي. شپير قوه چی د بیم په برخه عمل کړي $V = 35 \text{ kip}$ او هم وښيي چی $I_{NA} = 872.49 \text{ in}^4$.



س 7-15

س *7-16. د شپير ستریس ویش په غوڅه برخه د لاندی راد، چی شعاع يي c دی، پلات کړي. په کوم فکتور، اعظمی شپير ستریس له اوسط شپير ستریس چی په غوڅه برخه عمل کړي، لوي دي.



س 7-16

س 7-17. په بیم یو شپير قوه $V = 15 \text{ kN}$ پلی شوي. د ویب په ټکیو A او B کی شپير ستریس معلوم کړي. په یوه کوچنی حجمی ټوټه پدی ټکیو کی د شپير ستر اجزای وښايي. له $w = 125 \text{ mm}$ کار واخلي. وښيي چی د صفری محور موقعیت مساوی دی په $y^- = 0.1747 \text{ m}$ له ښکته خوا د غوڅی او انر شپايي مومنت عبارت دی په $I_{NA} = 0.2182 (10^{-3}) \text{ m}^4$.

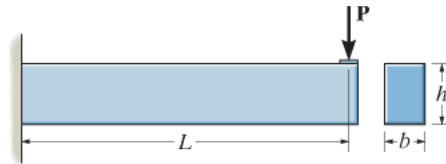
س 7-18. په سورور فلنچ بیم باندی یوه شپير قوه $V = 30 \text{ kN}$ پلی شوی، اعظمی شپير ستریس په بیم کی معلوم کړي. $w = 200 \text{ mm}$ کار واخلي.

س 7-19. په سورور فلنج بيم باندي يوه شپير قوه $V = 30 \text{ kN}$ پلي شوی ، اعظمی شپير قوه په چی د بيم ويب کولاي شی واخلې معلوم کړي. $w = 200 \text{ m}$ کار واخلې



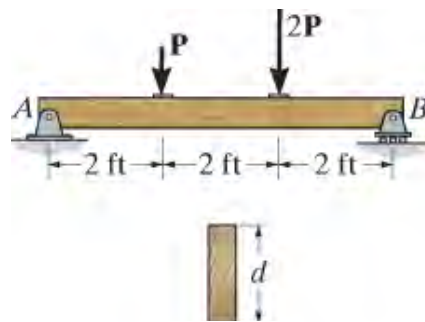
س 7-17/18/19

س 7-20*. د دی لاندی بيم اوردوالي داسې وټاکي چی اعظمی کوریدونکی (bending) سټريس او اعظمی شپير سټريس يو شان وی.



س 7-20

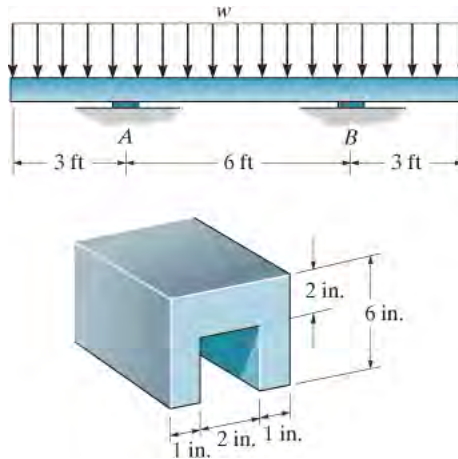
س 7-21. بيم له لرگیو جوړه شوي چی د منلو وړ شپير سټريس يې $t_{\text{allow}} = 400 \text{ psi}$ دي. اعظمی اندازه د P معلوم کړي. د ارزښت $d = 4 \text{ in}$ و ټاکي.



س 7-21

س 7-22. که چیری د منلو وړ شپیر ستریس د یوه بیم $t_{\text{allow}} = 800 \text{ psi}$ وي، اعظمی ارزښت د ویشلشوی بار w چی بیم کولای شي تحمل کړي وټاکي.

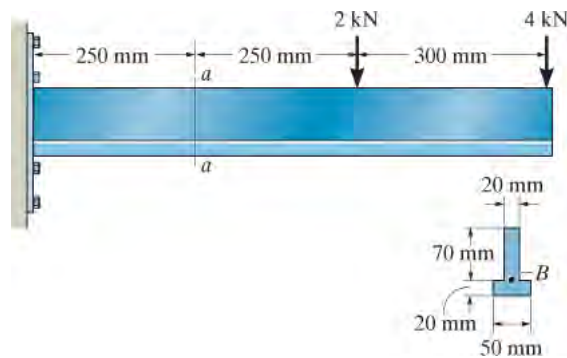
س 7-23. که چیری د ویشلشوی بار ارزښت $w = 800 \text{ lb/ft}$ وي، اعظمی شپیر ستریس په بیم کی معلوم کړي. اتکأوی په A او B کی همواری (smooth) دی.



س 7-22/23

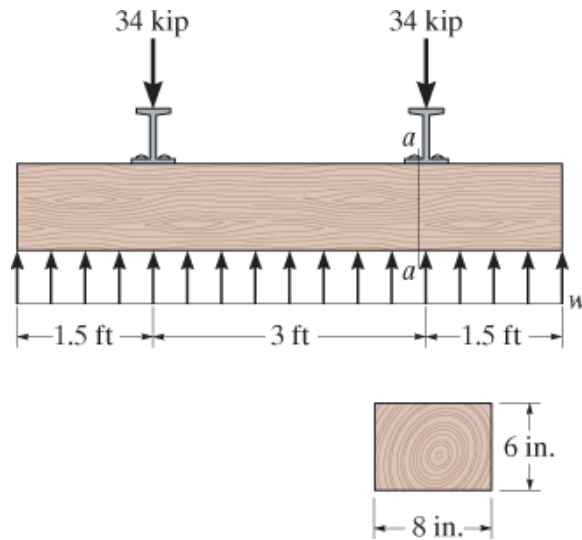
س 7-24*. په پری شوی برخه $a-a$ کی په ټکی B د ویب کی د شیر ستریس په کنټیلیور سترت معلوم کړي

س 7-25. اعظمی شپیر ستریس چی په پری شوی برخه $a-a$ د کنټیلیور سترت عمل کوی معلوم کړی.



س 7-24/25

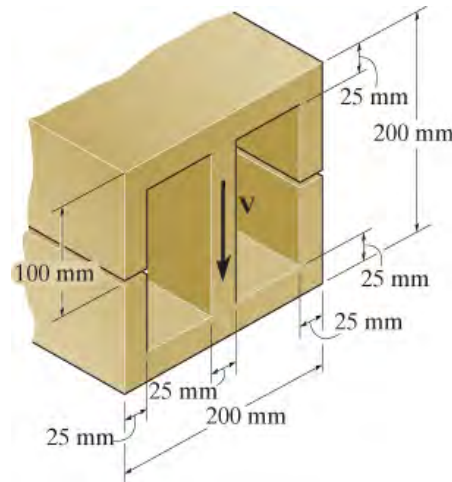
س 7-26. د ریل پټلي نښلونکی (ties) غړي د لوي شیبیر لپاره ډیزاین شوي. که دا نښلونکي غړي باندی 34-kips بار پلی شي او ویشلشوی ریکشن د ځمکی له خوا ورته جوړ شي، د توازن لپاره اعظمی شدت د w وټاکي. او په برخه $a-a$ کی اعظمی شیبیر سټریس د پټلي په نښلونکي غړي کی چی په چپه خوا د پټلي موقعیت لري معلوم کړي.



س 7-26

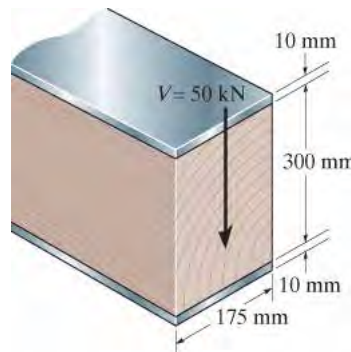
س 7-27. بیم د دواړه خواوو په اوږدوالي کی څرنګه چی په لاندی انځور کی ښودل شوي، غوڅه شوی. که چیری یوه د شیبیر قوه $V = 250 \text{ kN}$ پری پلی شي، اعظمی شیبیر سټریس مخ کی او وروسته له غوڅیدا پرتله کړی.

س *7-28. بیم د دواړه خواوو په اوږدوالي کی څرنګه چی په لاندی انځور کی ښودل شوي، غوڅه شوی. که چیری دا له داسی موادو جوړ شوي وی چی د منلو وړ شیبیر سټریس یې $t_{\text{allow}} = 75 \text{ MPa}$ وی اعظمی شیبیر قوه V چی مخ کی او وروسته له غوڅیدو پری پلی کیدی شي معلوم کړي.



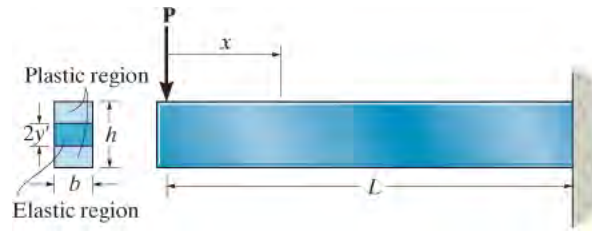
س 7-27/28

س 7-29. دا لاندی بیم چی له لرگیو جوړ شوي، په دوو فولادی پټیو سره تقویه شوي ده. که چیری یوه د شپیر قوه $V = 50 \text{ kN}$ ورباندی پلی شي، اعظمی شپیر سټریس په بیم کی، په هغه طریقه چی په برخه 6.6 کی بیان شوي، معلوم کړي. تاسو له $E_{st} = 200 \text{ GPa}$ او $E_w = 15 \text{ GPa}$ کار واخلي



س 7-29

س 7-30. دا لاندی بیم مستطیلی غوڅه برخه لري، او یو بهرنی بار P ورباندی پلی شوي. د دی بهرنی بار اندازه دومره ده چی په کلکه تړل شوی اتکا کی پلستیک مؤمنت $M_p = PL$ جوړ کړی. که چیر مواد دبیم په بشپړ توگه ایلستیک- پلستیک چلند ولري بیا په فاصله $x < L$ مؤمنت مساوی دی په $M = Px$ یوه ساحه دی پلا سټیک بیلد جوړه وی چی د هغه د ایلستیک هستی ارتفاع $2y'$ ده. دا حالت په معادله 6-30 سره تعریف شوي او مؤمنت M په غوڅه برخه داسی ویشل شوی لکه څنگه چی په انځور 6-48e کی بنودل شوي. ثابت کړي چی اعظمی شپیر سټریس په بیم کی په معادله $t_{max} = (3/2)(P/A)$ بنودل کیدی شي، دلته $A' = 2y'b$ د غوڅی برخي د ایلستیک هستی ساحه ده.



س 7-30

س 7-31. په بيم چی په انځور 6-48f کی بنودل شوی ، بشپړ پلاستیک مؤمنت پلي شوي. ثابت کړی چی د اورډوالي او جانبی شپير ستریسونه په بيم کی مساوی په صفر دی. کمک: له یو ی توتی دبیم لکه چی په انځور 7-4d کی بنودل شوی، کار واخلي.

7.3 د شپير بهير په جور شويو (مرکب) غړيو کی (SHEAR FLOW IN BUILT-UP MEMBERS)

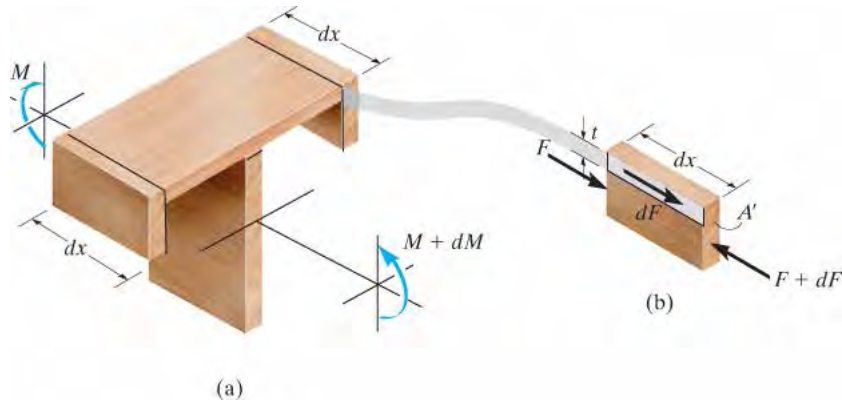


انځور 7-13

کله ناکله د انجینری په کارونو کی، غړي له څو مرکب اجزاوو څخه جوړیږي ، تر څو د بارونو لپاره ډیر مقاومت ولري . یو مثال یی په انځور 7-13 کله چی بار په غړيو کی د کړیدو لامل شي بندونکی لکه میخونه ، بولټونه، ویلډینګ، یا سرینس ته اړتیا وي تر څو د اجزاو برخي د یو بل په پرتله له بنویدو څخه وساتي، انځور 7-2 . د دې بندونکیو ډیزاین کولو یا د دوی فاصله ټاکلو لپاره ، د شپير قواوو پوهیدل اړین دی تر څو چی دوی باید مقاومت ورته وکړي. دا بار کول، کله چی قوه د بيم د هر واحد په اورډوالی په توګه اندازه کیږي، د **شپير بهير** q^* یا **شپير فلو** (*shear flow*) په نوم یادیري.

د شپير بهير د شدت موندل د ورته طرز العمل په کارولو سره ، لکه چی د بيم د شپير ستریس موندلو لپاره په کاروه، تر لاسه کیږي. د روښانه کولو لپاره، په پام کی ونیسئ د شپير بهير موندل په هغه ځای کی چی د انځور 7-14a یوه توتیه د بيم فلانچ سره وصل کیږي. په دې توتیه درې افقی قواوي باید عمل وکړي، انځور 7-14b . دلته دوی قواوي، F او $F + dF$ ، چی د نارمل ستریسونو پایله ده چی د M او $M + dM$ مؤمنتونو له امله، په ترتیب سره، رامینځته شوي. دریمه قوه، د انډول لپاره مساوی ده په dF ، د اتصال په نقط کی عمل کوي. دلته dF پایله د dM ده، بیا، د معادلی 7-1 په څیر مور لرو:

$$dF = \frac{dM}{I} \int_{A'} y dA'$$



انځور 7-14

پورته انتیگرال د Q استازیتوب کوي، یعنی د A' د برخې د ساحې مؤمنت په صفری محور دي. څرنګه چې دا برخه dx اوږدوالی لري، د شپير بهير يا قوه په هر واحد اوږدوالي د بیم عبارت ده په $q = dF/dx$. له همدې امله دواړه خواوي د معادلي ویشوپه dx او یادونه کوو چې $dM/dx = 6-2$ مور لرو:

$$q = \frac{VQ}{I}$$

(7-4)

دلته

$q =$ د شپير بهير ، چی اندازه کيږي قو د بيم په هر واحد اوږدوالي

$V =$ د شپير قوه، چی دغوخی په طریقه او یا د توازن د معادلی له لاری ټاکل کيږي

$I =$ انرشيایي مؤمنت د ټولی غوخی برخي ساحي په صفری محور باندی

$Q = A'y'$ ، چیری چی A' دغوخی برخي ساحه د هغه ټوتی چی د بيم سره د اتصال په برخه کی ټزل شوي ، او چیرته چی شپير بهير محاسبه شوي، او y' فاصله له صفری محور تر مرکز ټقل د ساحی A'

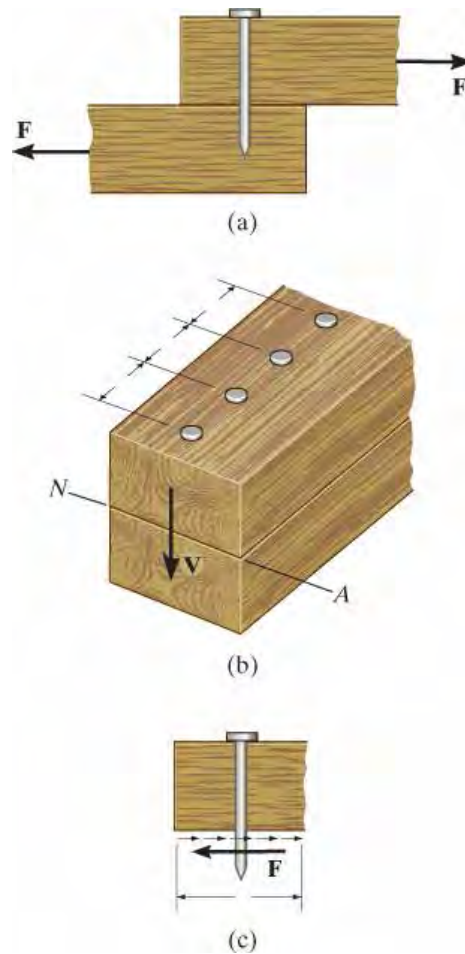
* دلته به د “ بهير “ اصطلاح کارول معنی ولري کوم چی د برخی 7.4 د بحث سره اړه لري

د بندونکیو تر منځ فاصله (Fastener Spacing) . کله چی د بيم برخی د بندونکیو په واسطه

سره یوځای شي، لکه د بولتونو، یا میخونو په واسطه، د دوي تر منځ فاصله د بيم په اوږدو کی ټاکل کیدی شي. د مثال په توگه ، راځی چی ووايو، اعظمی توانايي د یو میخ ، مخ کی لدی چی مات یا له منځه لاړ شي، $F(N)$ د شیر قوه ده، انځور 7-15a و گوري. او که چیری له دی میخونو کار واخلی او له دی دوو تختو بيم جور شي، لکه څنگه چی په انځور 7-15b کی بنودل شوي. بیا دا میخونه باید شپير بهير $q (N/m)$ د تختو تر منځ توانايي ولري. یا په بل عبارت دا میخونه د تختو “ یوځای نیولو “ لپاره کارول شوي. کله چی مؤمنت په بيم کی پلي شي دا پورته او ټیټه خوا تختی یو بل سره ټینگی له بنویدو وساتی. (انځور 7-2a وگوري.) لکه څنگه چی په انځور 7-15c کی بنودل شوی، د میخونو تر منځ فاصله په دي لاندی ډول ټاکل کيږي

$$F(N) = q(N/m) s(m)$$

دا لاندی مثالونه ددی معادلي پلی کول روښانه کوي او هغه تعقیب کړي.



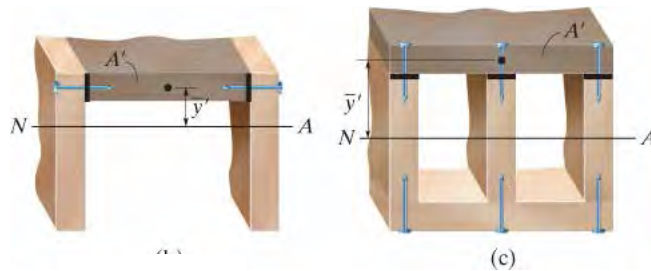
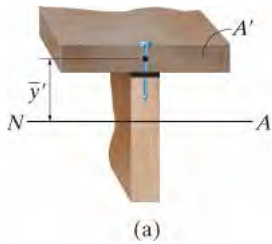
انځور 7-15

په انځور 7-16 کی نور مثالونه چی دبیم برخی یو بل سره د بندیدونکیو په ذریعه وصل شوی بنودل شوي. دلته په هغه ځای کی چی د شپير بهير و موندل شي په پنډه توره کرښه بنودل شوي، او د Q ارزښت په کارولوسره چی د A' او y' به محاسبه کیدو سره ټاکل کیږي، او دا په هر انځور کی بنودل شوي. دا ارزښت د q به د یوه بندیدونکی لخوا مقاومت شي لکه په انځور 7-16 a کی، او په دوو بندیدونکیو لخوا لکه په انځور 7-16b کی، او په دريو بندیدونکیو لخوا لکه په انځور 7-16c کی. په بل عبارت، یو بندیدونکی په انځور 7-16a کی د q حساب شوي ارزښت ملاتړ کوي، او په انځورونو 7-16b او 7-16c کی هریو بندیدونکی په ترتیب سره د $q/2$ او $q/3$ ملاتړ کوي.

مهم ټکي

(IMPORTANT POINTS)

- شپير بهير د قوی اندازه د بيم په يوه واحد اوږد والي د بيم په محور ده . دا ارزښت د شپير فورمول څخه موندل کيږي، او د هغه رامینځته شویو شپيرقوو موندلو لپاره، چی په بنديونکیو او سرش کي کوم چی د جوړی شوی (مرکب) بيم مختلف برخي يي له یوبل سره تړلي او یو ځای يي ساتي، کارول کيږی .

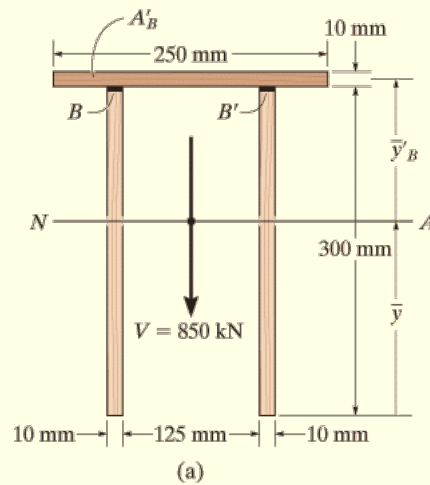


انځور 7-16

مثالونه

مثال 7-4

دا لاندی بیم له دریو تختو جوړه شوی چی یو بل سره سرینس شوی او په انځور 7-17a کی بنودل شوی. که چیری یوه د شپیر قوه $V = 850 \text{ kN}$ پلی شی، شپیر بهیر په B او B' کی کوم چی سریش باید مقاومت وکړي، و ټاکي.



انځور 7-17

حل (SOLUTION)

د غوڅی خاصیتونه (Section Properties). صفری محور (مرکز ثقل) د بیم له بنکتی خوا څخه موقعیت لري. د متر له واحد څخه کار اخلو:

$$\bar{y} = \frac{\sum \tilde{y}A}{\sum A} = \frac{2[0.15 \text{ m}](0.3 \text{ m})(0.01 \text{ m}) + [0.305 \text{ m}](0.250 \text{ m})(0.01 \text{ m})}{2(0.3 \text{ m})(0.01 \text{ m}) + 0.250 \text{ m}(0.01 \text{ m})}$$

$$= 0.1956 \text{ m}$$

انرشيايي مؤمنت د غوڅی برخی په صفری محور عبارت دی په:

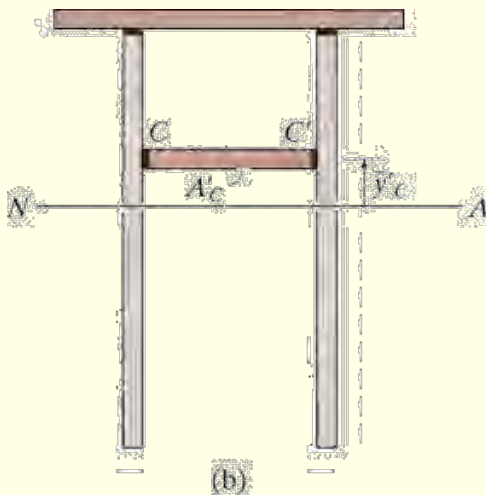
$$I = 2 \left[\frac{1}{12} (0.01 \text{ m})(0.3 \text{ m})^3 + (0.01 \text{ m})(0.3 \text{ m})(0.1956 \text{ m} - 0.150 \text{ m})^2 \right] \\ + \left[\frac{1}{12} (0.250 \text{ m})(0.01 \text{ m})^3 + (0.250 \text{ m})(0.01 \text{ m})(0.305 \text{ m} - 0.1956 \text{ m})^2 \right] \\ = 87.42(10^{-6}) \text{ m}^4$$

سریش په دواړو B او B' لکه په انځور 7-17a کی بنودل شوی پورتنی تخته د بیم سره یو ځای ساتی "نیولی". دلته

$$Q_B = \bar{y}'_B A'_B = [0.305 \text{ m} - 0.1956 \text{ m}](0.250 \text{ m})(0.01 \text{ m}) \\ = 0.2735(10^{-3}) \text{ m}^3$$

شییر بهیر (Shear Flow).

$$q = \frac{VQ_B}{I} = \frac{850(10^3) \text{ N}(0.2735(10^{-3}) \text{ m}^3)}{87.42(10^{-6}) \text{ m}^4} = 2.66 \text{ MN/m}$$



د تختی د خوندي کولو لپاره له دوو درزو کار اخیستل کیري، په دی ډول، په هر متر اوږدوالی د بیم په هر درز کی د شییر بهیر نیمه توانایی باید ولري. په دی توگه

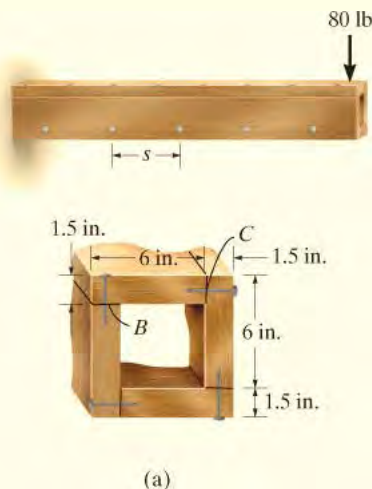
$$q_B = q_{B'} = \frac{q}{2} = 1.33 \text{ MN/m} \quad \text{Ans.}$$

انځور 7-17 (تکرار)

یادونه: که چیری تخته CC' په بیم اضافه شي، انځور 7-17b، بیا y' او I محاسبه کیري، او شییر بهیر په C او C' کی پیدا کیري له $q = Vy'c A'c/I$. په پای کی دا ارزښت په دوو تقسیم کیري تر څو q_c او $q_{c'}$ و ټاکل شي.

مثال 7.5

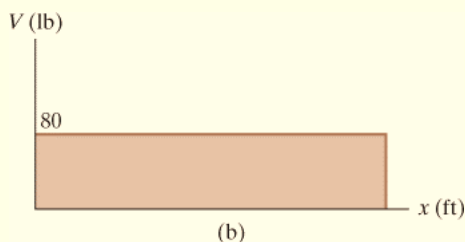
باکس بيم له څلور تختو د يو بل سره د ميخونو په واسطه جوړ شوي او په انځور 7-18a کې بنودل شوي. هر ميخ د 30 پونډ شير قوی توانايي لري. اعظمی فاصله s د ميخونو په B او C کې معلوم کړي تر څو بيم وکولای شي د 80 پونډ قوه ملا تر وکړي.



انځور 7-18

حل (SOLUTION)

د اخلي شير (Internal Shear). که بيم په يو اختياری نقطه کې غوڅ شي، داخلي شير د توازن له مخی $V = 80 \text{ lb}$ دي.

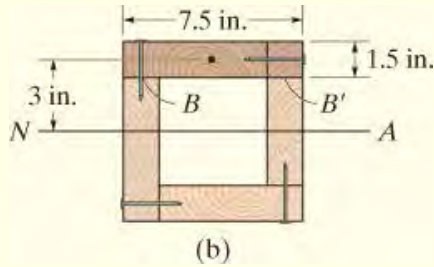


د غوڅی برخی خاصیتونه (Section Properties). انرشيایي مؤمنت د غوڅی برخی په صفری محور معلوم کیدی شي، يو مربع $7.5 \text{ in} \times 7.5 \text{ in}$ منفی يو بل مربع $4.5 \text{ in} \times 4.5 \text{ in}$ په پام کې نیسو.

$$I = \frac{1}{12}(7.5 \text{ in.})(7.5 \text{ in.})^3 - \frac{1}{12}(4.5 \text{ in.})(4.5 \text{ in.})^3 = 229.5 \text{ in}^4$$

شير بهير په B کې له Q_B څخه پیدا کيږي له هغه توره شوی ساحی چې په انځور 7-18b کې بنودل شوي. دا "متناظر والي" د بيم د برخی دی چې "په نظر کې ونيولی شي" پاتی بيم د

میخونو په واسطه په کین اړخ او د بنی لور فایبر د تختی په B' سره.
پس لرو:

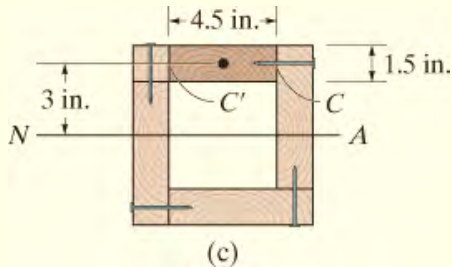


$$Q_B = \bar{y}'A' = [3 \text{ in.}](7.5 \text{ in.})(1.5 \text{ in.}) = 33.75 \text{ in}^3$$

په ورته ډول شپیر بهیر په C کی ټاکل کیدی بنی د ”متناظر والی“
توره شوي ساحه چی په انځور 7-18c کی. مور لرو:

$$Q_C = \bar{y}'A' = [3 \text{ in.}](4.5 \text{ in.})(1.5 \text{ in.}) = 20.25 \text{ in}^3$$

شپیر بهیر (Shear Flow).



$$q_B = \frac{VQ_B}{I} = \frac{80 \text{ lb}(33.75 \text{ in}^3)}{229.5 \text{ in}^4} = 11.76 \text{ lb/in.}$$

$$q_C = \frac{VQ_C}{I} = \frac{80 \text{ lb}(20.25 \text{ in}^3)}{229.5 \text{ in}^4} = 7.059 \text{ lb/in.}$$

دا ارزښتونه استازیتوب د شیر قوی په هر واحد اوږدوالي د بیم کوی، او باید په B کی په میخونو او فایبرو په B' کی، انځور 7-18b، او میخونو په C او فایبرو په C' ، انځور 7-18c، په ترتیب سره مقاومت ولری. له هغه څه چی شپیر بهیر په دوو سطحو مقاومت کوی، او هر میخ کیدی شی 30 پونډ مقاومت ولری، د B لپاره فاصله عبارت دی په:

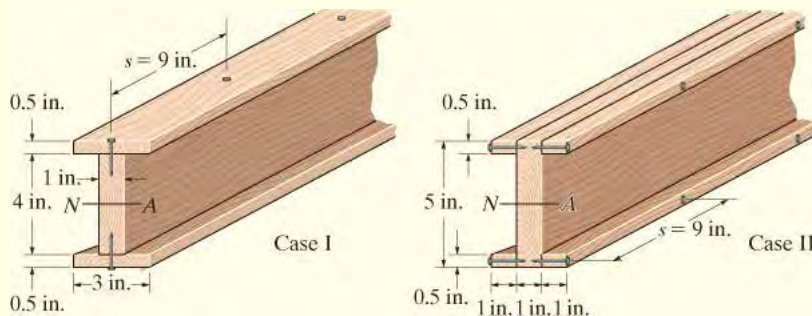
$$s_B = \frac{30 \text{ lb}}{(11.76/2) \text{ lb/in.}} = 5.10 \text{ in.} \quad \text{Use } s_B = 5 \text{ in.} \quad \text{Ans.}$$

او په C کی:

$$s_C = \frac{30 \text{ lb}}{(7.059/2) \text{ lb/in.}} = 8.50 \text{ in.} \quad \text{Use } s_C = 8.5 \text{ in.} \quad \text{Ans.}$$

مثال 7.6

د هر میخ مقاومت 40 پونډ دی، او دا میخونه د حالت I او یا د حالت II د بیم جوړه ولو لپاره کارول شوي، انځور 7-19 وگوري. که چیری فاصله د میخونو 9 انچه وی، اعظمی عمودی شییر قوه چی په هر حالت کی، مخ کی له دی چی میخونه مات شي، و کولای شي مقاومت او تحمل وکړي، معلومه کړي.



انځور 7-19

حل (SOLUTION)

څرنګه چی غوڅه برخه په دواړو حالتونو کی یو شان ده، انرشیایی مؤمنت محاسبه په صفری محور په اړه د یو لوی مستطیل او دوو کوچنیو اړخ مستطیلونو په کارولو سره محاسبه کیري .

$$I = \frac{1}{12}(3 \text{ in.})(5 \text{ in.})^3 - 2 \left[\frac{1}{12}(1 \text{ in.})(4 \text{ in.})^3 \right] = 20.58 \text{ in}^4$$

اول حالت (Case I). د دي ډیزاین لپاره یو قطار میخونه پورتنی یا لاندی فلینج د ویب سره تړلي. له فلینجونو څخه د یوی لپاره:

$$Q = \bar{y}'A' = [2.25 \text{ in.}](3 \text{ in.})(0.5 \text{ in.}) = 3.375 \text{ in}^3$$

نو داسي

$$q = \frac{VQ}{I}; \quad \frac{40 \text{ lb}}{9 \text{ in.}} = \frac{V(3.375 \text{ in}^3)}{20.58 \text{ in}^4}$$

$$V = 27.1 \text{ lb}$$

Ans.

دوهم حالت (Case II). دلته یو قطار میخونو یو اړخ د تختي له ویب سره نیولې دي.

پس

$$Q = \bar{y}'A' = [2.25 \text{ in.}](1 \text{ in.})(0.5 \text{ in.}) = 1.125 \text{ in}^3$$

$$q = \frac{F}{s} = \frac{VQ}{I}; \quad \frac{40 \text{ lb}}{9 \text{ in.}} = \frac{V(1.125 \text{ in}^3)}{20.58 \text{ in}^4}$$

$$V = 81.3 \text{ lb}$$

Ans.

یا، مور داسې ویلای شو چې د میخونو دوه قطارونه دوه اړخونه تختي د ویب سره تړلي دي

$$q = \frac{F}{s} = \frac{VQ}{It}; \quad \frac{2(40 \text{ lb})}{9 \text{ in.}} = \frac{V[2(1.125 \text{ in}^3)]}{20.58 \text{ in}^4}$$

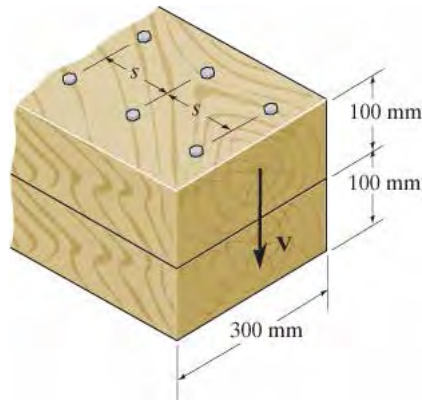
$$V = 81.3 \text{ lb}$$

Ans.

بنسټيز سوالونه

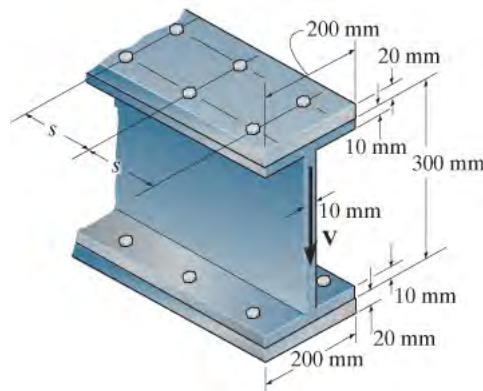
(FUNDAMENTAL PROBLEMS)

ب 7-6. دوه ورته تختې د بيم جوړيدو لپاره د بولټونو په واسطه يوځای شوي دي. د بولټونو اعظمي فاصله s مشخص کړئ نږدې mm ته که چيرې د هر بولټ توان په شپير کې 15 kN قوه ده. په بيم يوه د شپير قوه $V = 50\text{ kN}$ پلي شوي.



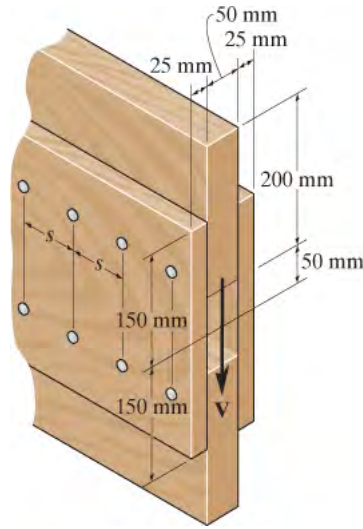
ب 7-6

ب 7-7. دوه ورته 20 ملي متر ضخامت تختې له پورته او بنکته فلج سره بولټ شوي، ترڅو يو بيم ورځيني جوړ شي. که چيرې په بيم يوه د شپير قوه $V = 300\text{ kN}$ پلي شوي وي، د بولټونو اعظمي فاصله s تر نږدې ملي ميټر پورې معلومه کړئ، که هر يو بولټ 30 kN د شپير قوه مقاومت لري.



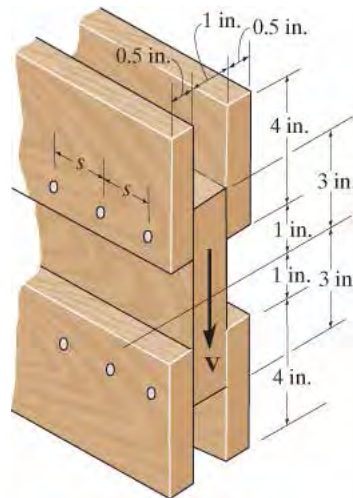
ب 7-7

ب 7-8. تختي د يو بل سره تړل شوي ترڅو بيم جوړ شي. که چيرې په بيم يو شپير قوه $V = 20 \text{ kN}$ پلي شي، نږدې ملي متر ته د بولټ اعظمي فاصله s وټاکي، دهر بولټ د شپير مقاومت 8 kN دي .



ب 7-8

ب 7-9. تختي د يو بل سره تړل شوي ترڅو بيم جوړ شي. که چيرې په بيم يوه د شپير قوه $V = 15 \text{ kips}$ پلي شي، نږدې 1/8 انچ ته د بولټ اعظمي فاصله s وټاکي، دهر بولټ د شپير مقاومت 6 kips دي .



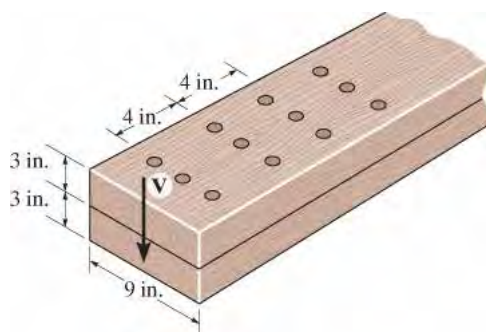
ب 7-9

سوالونه

(PROBLEMS)

س 7-32* یو بیم له دوو تختو جوړ شوی. دا تختی په پورته او ټیټه کی په دری قطاره میخونو چی 4 انچ له یو بل فاصله لري، تړل شوي. که چیری هر میخ د 400 پونډ شیبیر قوه توانایی ولري اعظمی شیبیر قوه چی کیدی شي په دی بیم پلی شي و ټاکی.

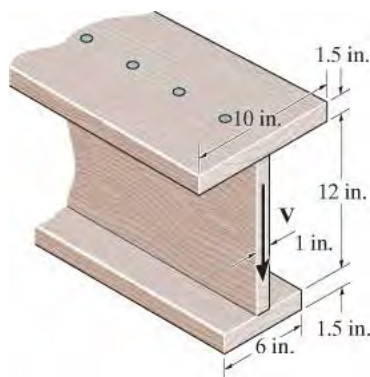
س 7-33 یو بیم له دوو تختو جوړ شوی. دا تختی په پورته او ټیټه کی په دری قطاره میخونو چی 4 انچ له یو بل فاصله لري، تړل شوي. که چیری یو شیبیر قوه $V = 900 \text{ lb}$ په دی تختو پلی شي اعظمی شیبیر قوه چی په هر میخ کی جوړیږی و ټاکی.



س 7-32/33

س 7-34 بیم له دریو تختو جوړه شوی. که چیری یوه د شیبیر قوه $V = 5 \text{ kips}$ ورباندی پلی شي ، اعظمی د منلو وړ فاصله s د میخونو تر منځ وټاکی تر څو وکړای شي پورته فلنج او ټیټه فلنج له ویب سره ټینگ وساتي. هر میخ کولای چی یوه د شیبیر قوه 500 پونډه واخلي.

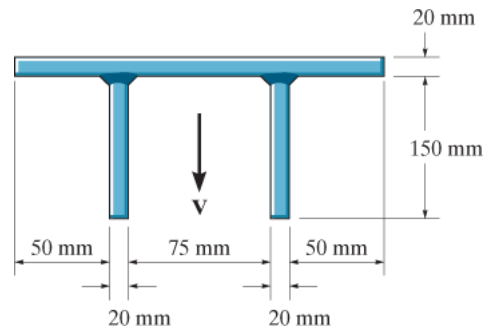
س 7-35 بیم له دریو تختو جوړه شوی. که چیری د لرگیود منلو وړ شیبیر سټریس $t_{\text{allow}} = 400 \text{ psi}$ وی اعظمی شیبیر قوه V چی کیدی شي په دی بیم پلی شي و ټاکی. او هم اعظمی د منلو وړ فاصله s د میخونو تر منځ وټاکی، هر میخ کولای چی یوه د شیبیر قوه 400 پونډه واخلي.



س 7-34/35

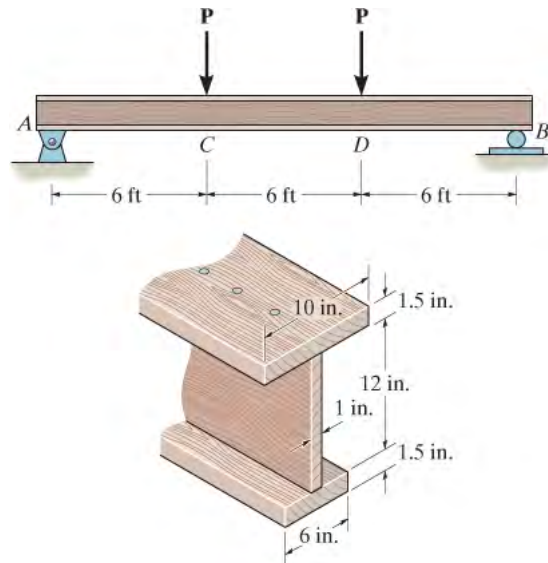
س 7-36* دوه گوني تي بيم له دريو تختو ، چي د يو بل سره ويلډينگ شوي، جوړه شوي. شپير سټريس په ويلد کي وټاکي کله چي يوه د شپير قوه $V = 80 \text{ kN}$ په بيم پلي شي.

س 7-37 دوه گوني تي بيم له دريو تختو ، چي د يو بل سره ويلډينگ شوي، جوړه شوي. که چيري په ويلد کي د منلو وړ شپير سټريس $t_{\text{allow}} = 90 \text{ MPa}$ وي، اعظمي شپير قوه V چي کيدي شي په بيم پلي شي معلومه کړي.



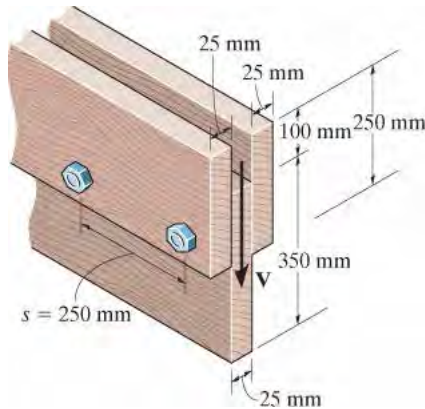
س 7-36/37

س 7-38 بيم له دريو تختو جوړ شوي. که چيري د لرگي د منلو شپير سټريس $t_{\text{allow}} = 400 \text{ psi}$ وي، اعظمي بار P چي کيدي شي په بيم پلي شي وټاکي. او د ميخونو اعظمي فاصله s چي پورته او بنسټه فلنجنونه د ويب سره تړلي وساتي معلوم کړي. هر ميخ د شپير قوه 400 پونډه کولای شي مقاومت وکړي.



س 7-38

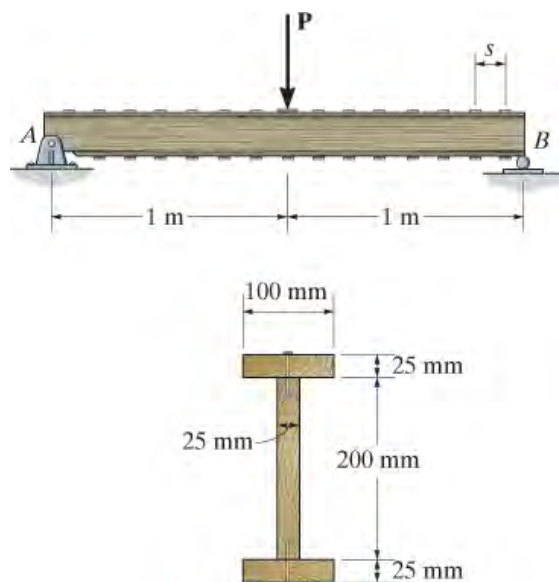
س 7-39. یو بیم له دریو تختو ، چی د یو بل سره بولټ شوی ، جوړ شوي. که چیری د بولټونو فاصله $s = 250 \text{ mm}$ ، له یو بل څخه وي ، د شیبیر قوه په هر بولټ کی وټاکي. په بیم یوه د شیبیر قوه $V = 35 \text{ kN}$ پلي شوي.



س 7-39

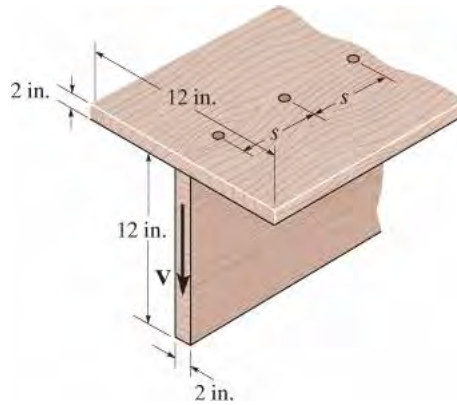
س 7-40*. یوه د ساده اتکا بیم، له دریو تختو چی یو بل سره میخ شوي جوړ شوي ده. د لرگی د منلو وړ شیبیر ستری $t_{\text{allow}} = 1.5 \text{ MPa}$ او د منلو وړ د کړیدو ستریس یي $s_{\text{allow}} = 9 \text{ MPa}$ دی. د میخونو فاصله له یو بل $s = 75 \text{ mm}$ ده، او دهر یوه میخ د شیبیر مقاومت 1.5 kN دي. د منلو وړ اعظمی قوه P چی په بیم پلي کیدی شي وټاکي.

س 7-41. یوه د ساده اتکا بیم، له دریو تختو چی یو بل سره میخ شوي جوړ شوي دی. که چیری $P = 12 \text{ kN}$ وي اعظمی د منلو وړ فاصله s د میخونه چی دا بار په بیم پلی شي وټاکي. هر میخ کولای شي چی 1.5 kN شیبیر قوه واخلي.



س 7-40/41

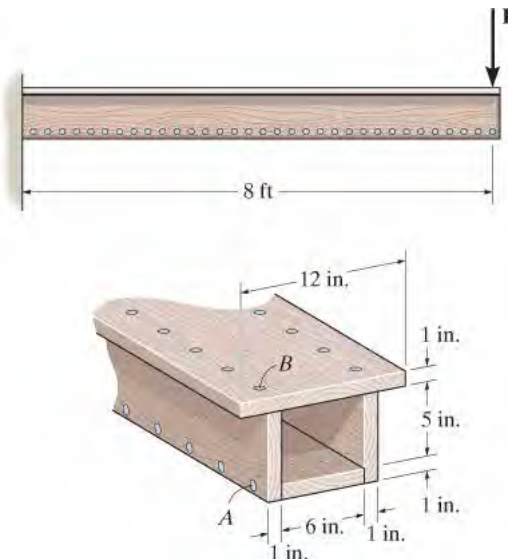
س 7-42. تی بیم لکه څنگه چی په لاندی انځور کی بنودل شوي ، جوړ شوي. که دهر میخ مقاومت د شیبیر قوه 950 پوند وی ، اعظمی شیبیر قوه چی کیدی شي په بیم پلی شي و ټاکی. او هم د میخونو اعظمی فاصله s نږدی $1/8$ انچ ته وټاکی. د لرگی د منلو وړ شیبیر سټریس $t_{\text{allow}} = 450 \text{ psi}$ دي.



س 7-42

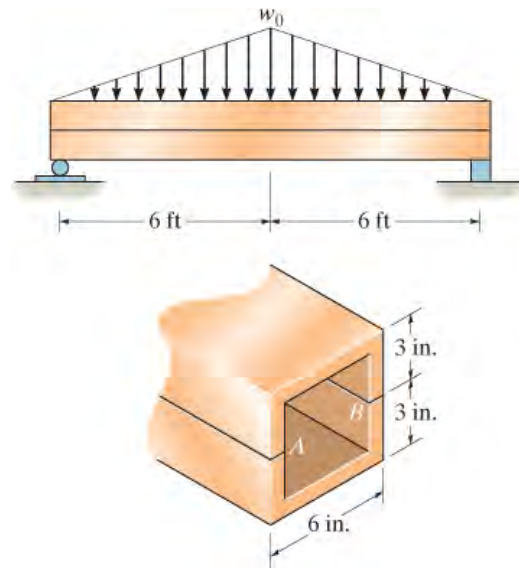
س 7-43. یو باکس بیم له څلورو تختو، چی یو بل سره په فاصله د 2 انچو میخ شوي ، جوړ شوي. که چیری هر میخ د 50 پوند ود شیبیر قوی مقاومت ولری ، لویه قوه P چی کیدی شي په بیم ، مخ کی له دی چی میخونه مات شی، پلی شي و ټاکی.

س *7-44. یو باکس بیم له څلورو تختو، چی یو بل سره په فاصله د 2 انچو میخ شوي ، جوړ شوي. که چیری یوه قوه $P = 2 \text{ kip}$ په بیم پلی شي، اعظمی شیبیر قوه په هر میخ کی په A او B کی معلومه کړي.



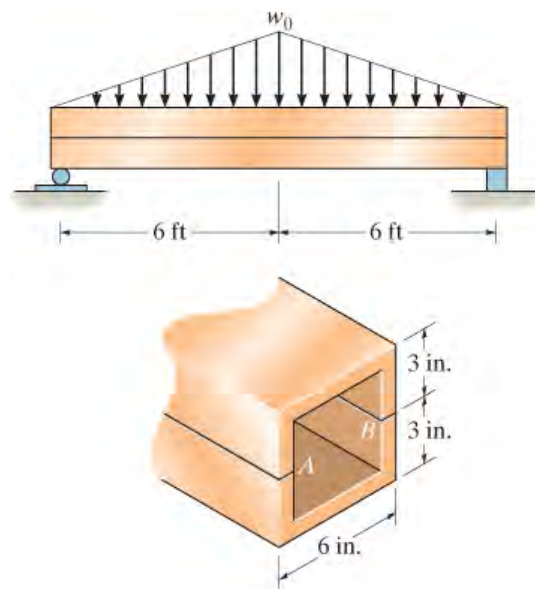
س 7-43/44

س 7-45. دا لاندی غړی له دوو پلاستیکی چنل پتو څخه چی 0.50 انچ ضخامت لری جوړ شوی، او دا پتې په A او B کی یو بل سره سرینس شوي دي. که چیری د ویشل شوی بار شدت $w_0 = 3 \text{ kip/ft}$ وی، اعظمی شییر ستریس په سریش کی وټاکي.



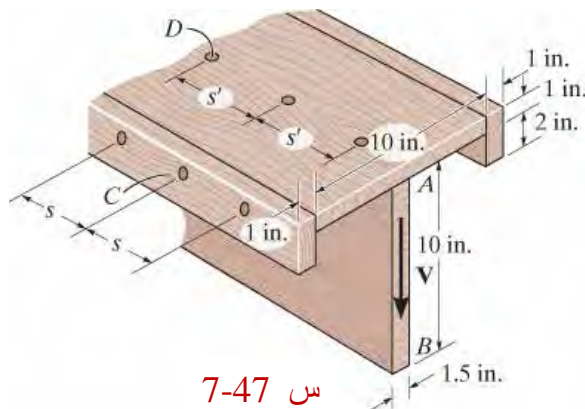
س 7-45

س 7-46. دا لاندی غړی د دوو پلاستیکی چنل پتو یو څخه چی 0.50 انچ ضخامت لری جوړ شوی، او دا پتې په A او B کی یو بل سره سرینس شوي دي. که چیری د منلو وړ شییر ستریس په سرینس کی $t_{\text{allow}} = 600 \text{ psi}$ وي، اعظمی شدت w_0 د مثلثي شکل ویشل شوی بار چی کیدی شي د سرینس مقاومت په بنسټ پلی شي، معلوم کړي.



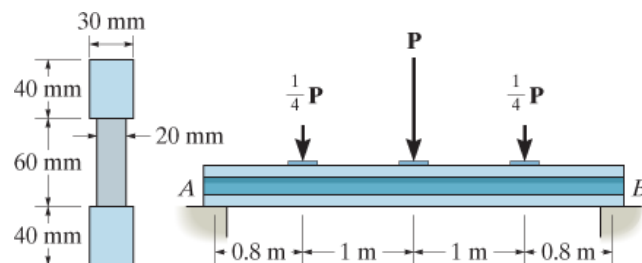
س 7-46

س 7-47. دا لاندی بیم له څلورو تختوچي یوبل سره میخ شوي جوړ شوي. که چیری میخونه وکولای شي چی یوه د شپیر قوه د 100 پوند واخیستل شي، د دوی فاصله s او s' که چیری په بیم یوه د شپیر قوه $V=700\text{lb}$ پلی شي، وټاکي.



س 7-47

س *7-48. بیم له دریو پالیسترین ټوټو، چی د یوبل سره سرین شوی، جوړ دي. که چیری د سرین مقاومت 80 kPa شپیر قوه وی، اعظمی بار P ، مخ کی له دی چی د سرین طاقت له لاسه ورکړي، وټاکي.

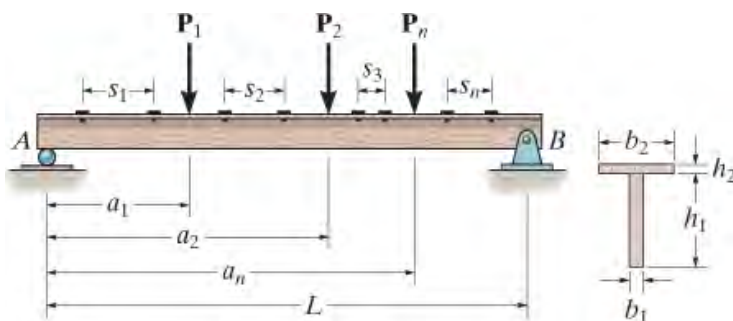


س 7-48

س 7-49. په چنار لرگي تی بیم باندی یو تعداد n متمرکز بارونه P_n پلی شوي که د منلو وړ شپیر V_{nail} د هر میخ معلوم وي، کمپیوټری پرگرام ولیکئ تر څو د هر بار تر مینځ د میخ فاصله مشخصه کړي. د پروگرام عملی کولو د پاره دا لاندی معلومات په نظر کی ونیسی. $L = 15\text{ ft.}$, $a_1 = 4\text{ ft.}$, $P_1 = 600\text{ lb.}$,

$a_2 = 8\text{ ft.}$, $P_2 = 1500\text{ lb.}$, $b_1 = 1.5\text{ in.}$, $h_1 = 10\text{ in.}$, $b_2 = 8\text{ in.}$, $h_2 = 1\text{ in.}$,

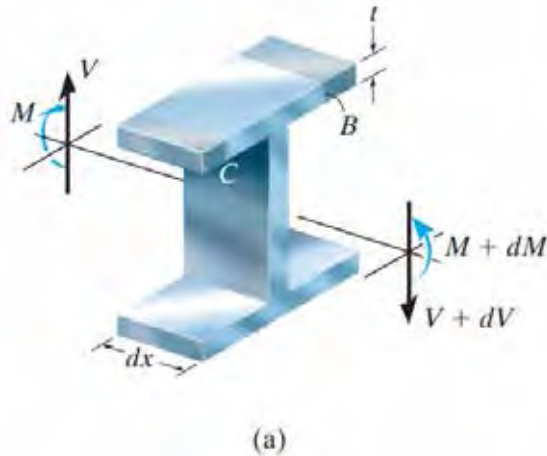
د یو $V_{\text{nail}} = 200\text{ lb.}$ وي.



س 7-49

7.4 شیبیر بهیر د نازک دیوال په غریو کی (SHEAR FLOW IN) (THIN-WALLED MEMBERS)

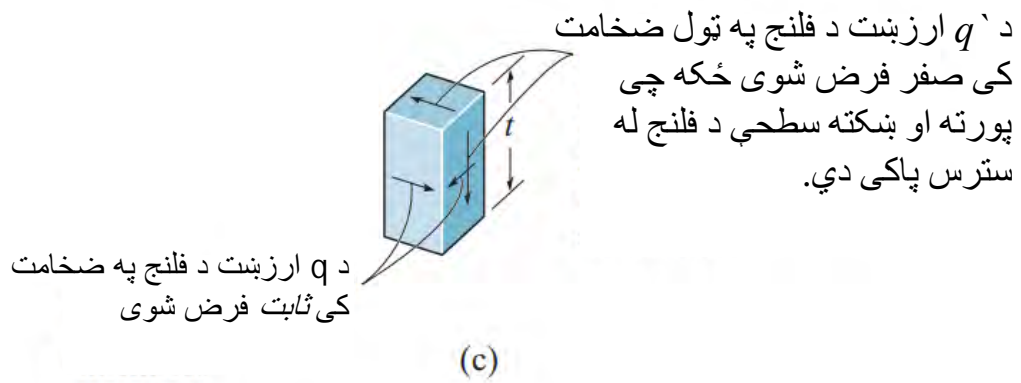
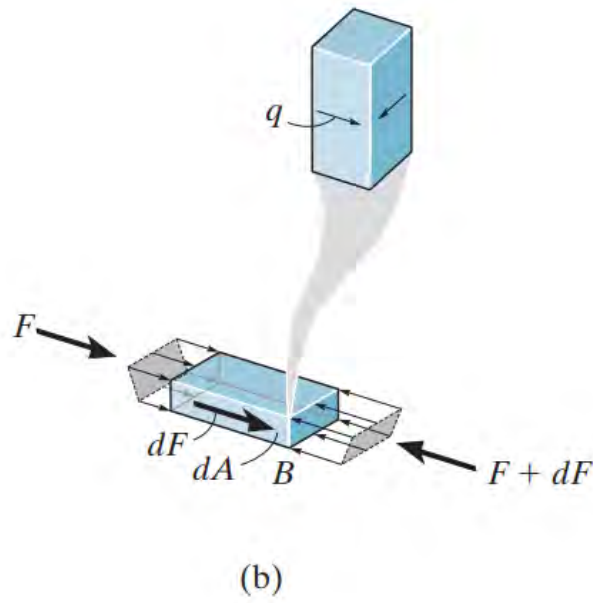
پدې برخه کې به مور وښیو چې د شیبیر جریان په څه ډول د غری د غوڅی برخې په اوږدو کې ویشل کیږی. لکه څنګه چې په ډیرو جوړښتونو غریو کې، مور به فرض کړو چې غری نازک دیوالونه لري، یعنې د دیوال پندوالی د سور اووږدوالی په پرتله کوچنی دی.



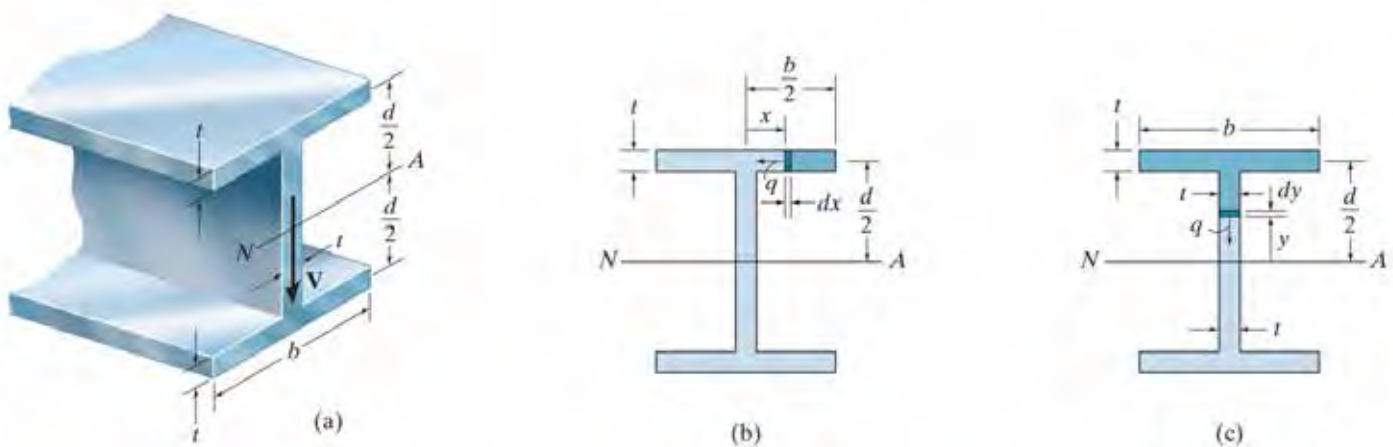
انځور 7-20

مخکې لدې چې د شیبیر بهیر ویش وټاکو ، مور به لومړی وښیو چې څنګه یې جهت تنظیم کړو. د پیل کولو لپاره، په انځور 7-20a کې بیم په پام کې ونیسئ ، او د آزاد ډیاګرام د برخې B چې له پورتنۍ فلنچ څخه اخیستل شوی، انځور 7-20b کې وویښی. قوه dF باید په اوږدوالي لور عمل وکړي، تر څو توازن د نارمل قواوو F او $F + dF$ چې د مؤمنت M او $M + dM$ لخوا په ترتیب سره رامینځته شوي جوړ کړي. څرنګه چې q (او t) بشپړونکي ، عرضی اجزای q دي، او باید په غوڅه برخه باندې لکه څنګه چې د کونج په ټوټه، څرنګه چې به انځور 7-20b کې ښودل شوي، عمل وکړي .

که څه هم دا ریښتیا ده چې $V + dV$ به د عمودی شیبیر بهیر برخه په دی ټوټه رامینځته کړي، انځور 7-20c، دلته به مور د هغې اغیزې له پامه وغورځوو. دا ځکه چې فلانچ نازک دی، او پورتنۍ او ښکته سطحې د فلج له ستیریس څخه خالی دی. بیا د لنډیز لپاره، یوازې د شیبیر بهیر هغه برخه چې د فلانچ اړخونو سره موازي عمل کوي په پام کې نیول شوی .



انځور 7-20 (تکرار)



انځور 7-21

شیر بهیر په فلنجو کی (Shear Flow in Flanges)

د شیر بهیر ویش، د بیم د پورتنۍ فلنج په اوږدو کې، انځور 7-21a، د شیر بهیر q په پام کې نیولو سره موندل کېدی شي. شیر بهیر q په تیاره نیلي برخه dx عمل کړي چې په یوه خپل سري فاصله x د غوڅی برخې د مرکزي کرني څخه موقعیت لري، انځور 7-21b وگورۍ. دلته نو داسې $Q = y A = [d/2](b/2 - x)t$

$$q = \frac{VQ}{I} = \frac{V[d/2](b/2 - x)t}{I} = \frac{Vtd}{2I} \left(\frac{b}{2} - x \right) \quad (7-5)$$

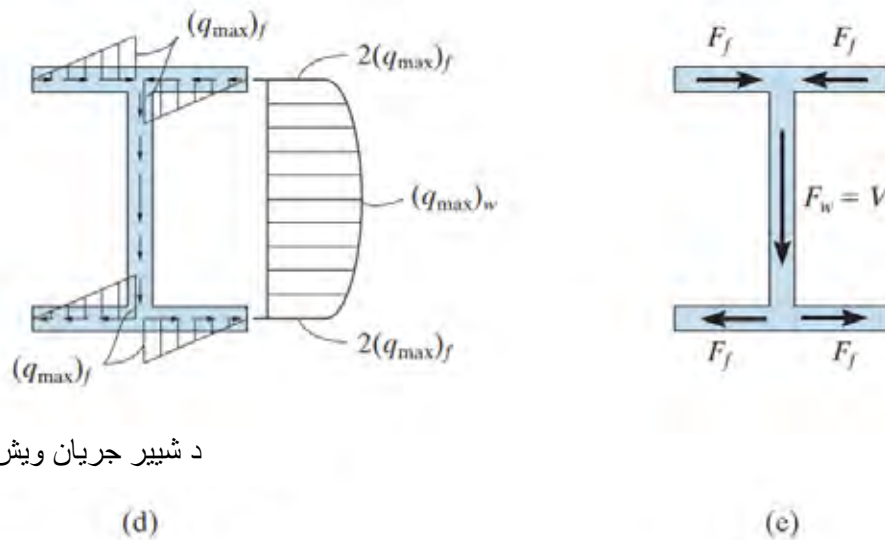
د لیدو په واسطه، دا ویش په خطي ډول د $q = 0$ څخه په $x = b/2$ توپیر لري تر $(q_{\max})_f = Vtdb/4I$ په $x=0$. د $x=0$ محدودیت دلته امکان لري ځکه چې غړی داسې انگیرل کېږي چې "نري دیوا لونه" لري او له همدې امله د ویب ضخامت له پامه غورځول کېږي. د متناظروالي له امله، ورته تحلیل د نورو دريو فلجونو برخو لپاره د شیر بهیر ورته ویش تولیدوي. دا پایلې په انځور 7-21d کې بنودل شوي. په هر فلنج برخه کې رامینځته شوی ټوله قوه د انتیگریشن په واسطه ټاکل کېدی شي. ځکه چې په انځور 7-21b کې د عنصر dx قوه عبارت ده په $dF = q dx$ بیا

$$F_f = \int q dx = \int_0^{b/2} \frac{Vtd}{2I} \left(\frac{b}{2} - x \right) dx = \frac{Vtdb^2}{16I}$$

مور کولای شو دا پایلی د مثلث لاندی ساحی په موندلو سره و ټاکو انځور 7-21d وگوري. له همدی امله لیکلي شو

$$F_f = \frac{1}{2}(q_{\max})_f \left(\frac{b}{2} \right) = \frac{Vt db^2}{16I}$$

دا څلور قواوی په انځور 7-21e کی بنودل شوي، او مور د دوی له جهتہ لیدلی شو چی د افقي قواوو توازن په غوڅه برخه کی ساتلي دي.



د شیر جریان ویش

انځور 7-21 (تکرار)

شیر بهیر په ویب کی (Shear Flow in Web)

ورته تحلیل د ویب لپاره کارول کیدی شي، انځور 7-21c وگوري. دلته q باید په بنکته لور عمل وکړي، په dy ټوټه مور لرو

$$Q = \Sigma \bar{y}' A' = [d/2](bt) + [y + (1/2)(d/2 - y)]t(d/2 - y) =$$

$$bt d/2 + (t/2)(d^2/4 - y^2).$$

نو بیا لیکلي شو

$$q = \frac{VQ}{I} = \frac{Vt}{I} \left[\frac{db}{2} + \frac{1}{2} \left(\frac{d^2}{4} - y^2 \right) \right] \quad (7-6)$$

د ویب لپاره د شیر بهیر په پارابولیک ډول توپیر لري له دی لاندی معادلی

$$q = 2(q_{\max})_f = Vtdb/2I \text{ at } y = d/2 \text{ to } (q_{\max})_w = (Vtd/I)(b/2 + d/8)$$

په $y = 0$ ، انځور 7-21d .

ددی انتیگرال نیسو تر څو قوه F_w په ویب کی لاس ته راوړو ، او مور لرو

$$\begin{aligned} F_w &= \int q \, dy = \int_{-d/2}^{d/2} \frac{Vt}{I} \left[\frac{db}{2} + \frac{1}{2} \left(\frac{d^2}{4} - y^2 \right) \right] dy \\ &= \frac{Vt}{I} \left[\frac{db}{2} y + \frac{1}{2} \left(\frac{d^2}{4} y - \frac{1}{3} y^3 \right) \right] \Big|_{-d/2}^{d/2} \\ &= \frac{Vtd^2}{4I} \left(2b + \frac{1}{3}d \right) \end{aligned}$$

ددی معادلی ساده کول کیدی کله چی مور انرشیایی مؤمنت د غوڅی برخی ساحی په پام کی ونیسو

$$I = 2 \left[\frac{1}{12} bt^3 + bt \left(\frac{d}{2} \right)^2 \right] + \frac{1}{12} td^3$$

د هر فلینج ضخامت کوچنی دی او دا اوله برخه د معادلی له پام غورځیدی شي، بیا لرو

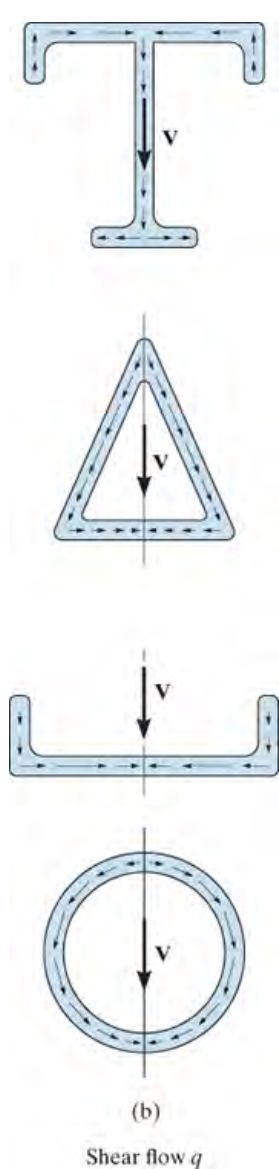
$$I = \frac{td^2}{4} \left(2b + \frac{1}{3}d \right)$$

کله چی دا په پورتنی معادله کی ځای پر ځای کړو ، مور وینو $F_w = V$ ، کوم چی تمه کیري ، انځور 7-21e و گوري.

له پورتنی تحلیل څخه باید دري مهم ټکي په پام کی و نیول شي:

لومړی ، q د فلنج په هغه توتو چی عمودي وي د V لوري ته ، په خطي ډول توپیر ولري ، او په پارابولیک ډول د ویب په برخو سره چی د V سره موازي یا مایل دی .

دوهم ، q به تل د غري دیوالونو سره موازي عمل وکړي ، ځکه چی هغه برخی د توتی په کوم کی چی q محاسبه کیري تل دیوالونو ته عمودي اخیستل کیري.



انځور 7-22

او دریم، د q سمت داسې دی چې شیر داسې بنکاري چې د غوڅی برخې له لارې دننه "بهیري"، د بیم په پورتنۍ برخه کې، "گډون" او بیا "بهیدونکی" بنکته خوا ته د ویب له لارې، ځکه چې دا باید د بنکته شیر قوه V سره مرسته وکړي، انځور 7-22a، او بیا جلا کیری او په بنکته کې بهر ته بهیری "ټیټی فلنج ته". که یو څوک وکولی شي دا "بهیر" "تجسم کړي" دا به اسانه وسیله چمتو کړي د دې لپاره چې نه یوازې د q سمت رامینځته کړي، بلکه ورته هم د t جهت. نور مثالونه چې څنگه د برخو په اوږدو کې لارښود کيږي د نري دیوال لرونکي غږي په انځور 7-22 b کې ښودل شوي. په ټولو قضیو کې، تناظر والي د یو محور چې له V سره په یو شان جهت کې موقعیت ولري (collinear)، او په دې توگه " q بهیري" په داسې سمت چې دا به عمودی قوه V چمتو کړي او بیا هم د غوڅی برخې لپاره د افقی قوه انډول پوره کړي .

مهم ټکي

(IMPORTANT POINTS)

- د شپير بهير فورمول $q = VQ/I$ د نريو ديوالونو غريو د شپير بهير ویش ټاکلو لپاره کار اخیستل کیدی شي، دلته بنایي شپير V په متناظر محور یا په اصلی مرکزی انرشيايي محور د غوڅی برخي عمل وکړي.
- که چيري يو غري د نريو ديوالونو له برخو جوړ شوي وي، نو بيا يوازي د شپير بهير موازي د غريوله ديوالونو سره مهم دي.
- په هغو برخو کی چی د شپير V جهت سره عمود وی، هلته د شپير بهير په خطی ډول توپير لري.
- هغو برخو کی چی د شپير V جهت سره موازی یا مایل وی، د شپير بهير د پارابولیک په توگه توپير لري.
- په غوڅه برخه باندی، د شپير "بهير" د برخو په اوږدوالی داسی عمل کوی چی عمودي شپير قوه V منځ ته راولي، او هم د افقي قواوو انډول جوړه وي.

مثالونه

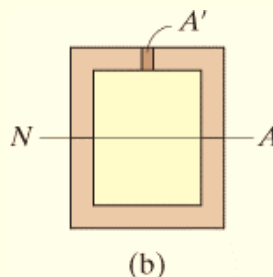
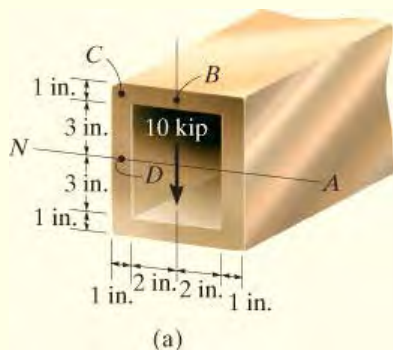
مثال 7.7

د نري ديوال باکس بيم باندی، انځور 7-23a، يو شپير 10 kip پلی شوي. د شپير بهير ویش د بيم په غوڅه معلوم کړی.

حل (SOLUTION)

د متناظر والي له امله صفری محور د غوڅی برخي له مرکز تيريري. د نريو ديوالونو غريو لپاره مرکزی ابعاد د انرشيايي مؤمنت پيدا کولو لپاره کارول کيږي.

$$I = \frac{1}{12}(2 \text{ in.})(7 \text{ in.})^3 + 2 [(5 \text{ in.})(1 \text{ in.})(3.5 \text{ in.})^2] = 179.7 \text{ in.}^4$$



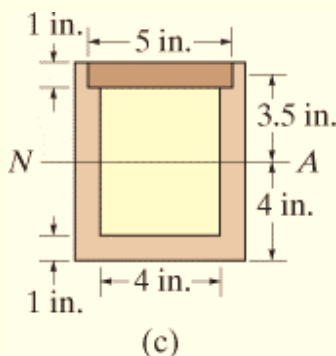
انځور 7-23

شپير بهير په ټکيو B, C او D کې بايد وټاکل شي. د ټکي B لپاره، ساحه $d \sim 0$ ، انځور 7-23b و گوري، ځکه چې دا فکر کيدی شي چې په بشپړ ډول په B کې موقعيت لري. په بدیل توگه A' هم استازيتوب د ټول ساحي دغوڅي برخي کړی شي، چې په دی حالت کې

$$Q_B = y' A' = 0 \text{ ، ځکه چې } Q_B = 0 \text{ نو بيا}$$

$$q_B = 0$$

د ټکي C لپاره ساحه A' په انځور 7-23c په تياری سيوري بنودل شوي. دلته مورن د منځني ابعادو نه کار اخيستي ځکه چې ټکي C په مرکز د کرني د هری برخي موقعيت لري. او مورن لرو

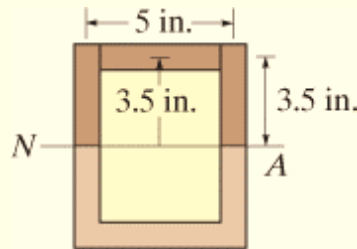


$$Q_C = \bar{y}' A' = (3.5 \text{ in.})(5 \text{ in.})(1 \text{ in.}) = 17.5 \text{ in.}^3$$

څرنګه چې د ضميمی دوه ټکي شتون لري

$$q_C = \frac{1}{2} \left(\frac{VQ_C}{I} \right) = \frac{1}{2} \left(\frac{10 \text{ kip}(17.5 \text{ in}^3)}{179.7 \text{ in}^4} \right) = 0.487 \text{ kip/in.}$$

شپير بهير په D کې له دريو تياره شوي سيوري مستطيلونو چي په انځور 7-23d کې بنودل شوي ټاکو. دلته بيا له منځني ابعادو نه کار اخلو.



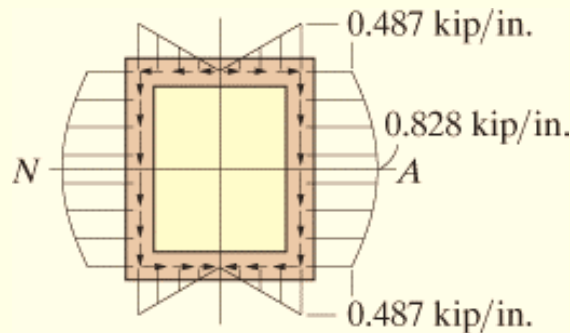
(d)

$$Q_D = \Sigma \bar{y}' A' = 2 \left[\frac{3.5 \text{ in.}}{2} \right] (1 \text{ in.})(3.5 \text{ in.}) + [3.5 \text{ in.}] (5 \text{ in.})(1 \text{ in.}) = 29.75 \text{ in}^3$$

ځکه دلته دوه ضميمه ټکي شتون لري،

$$q_D = \frac{1}{2} \left(\frac{VQ_D}{I} \right) = \frac{1}{2} \left(\frac{10 \text{ kip}(29.75 \text{ in}^3)}{179.7 \text{ in}^4} \right) = 0.828 \text{ kip/in.}$$

له دې پايلو او د غوڅي برخي د تناظروالي کار اخلو، د شپير بهير ویش په انځور 7-23e کې پلاټ کوو. دا ویش په افقي برخو (عمود په V) کې خطي دي، او پارابوليک دي په عمودي برخو کې (موازي په V).



(e)

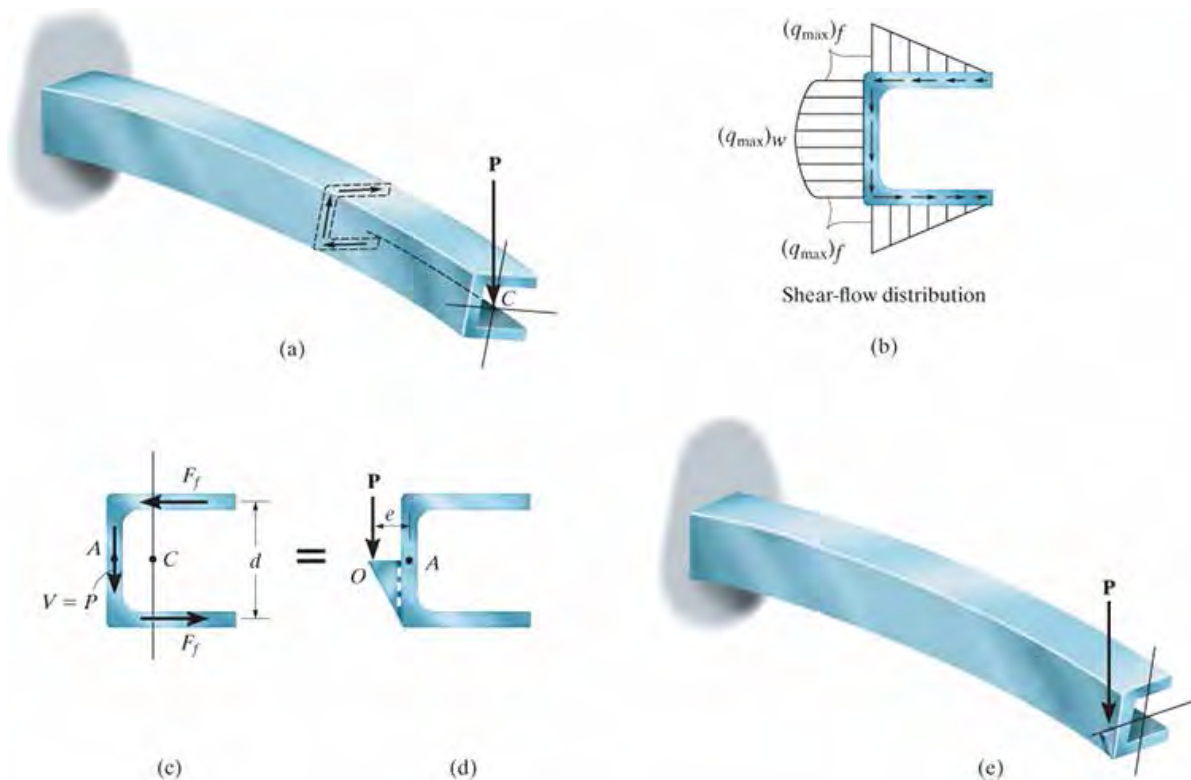
انځور 7-23 (ادامه)

7.5* شپير مرکز د نري ديوال خلاصو غړيو کی (SHEAR)

(CENTER FOR OPEN THIN-WALLED MEMBERS)

په تيره برخه کې، داخلي شپير V په اوږدو د پرنسپل انرشيايي مرکز محور تطبيق شوی و چې د غوڅی برخې لپاره يې د تناظر محور استازيتوب هم کاوه. پدې برخه کې به مورن د شپير د پلي کولو اغيزې داسې په پام کې ونيسو، کله چې شپير په پرنسپل مرکزی محور چې متناظر محور نه وی، عمل وکړي. لکه مخکې، يوازې د خلاص نري ديوال غړي به تحليل شي، چيرته چې د غړو ديوالونو مرکز ی ابعاد به وکارول شي.

د دې قضیې يوه ځانگړې بيلگه هغه چينل دی چې په انځور 7-24A کې ښودل شوی. دلته دا چينل په يو ثابته اتکا تړل شوی چې کينټيلیور دی، او P قوی ورباندې عمل کړي. که چيرې دا قوه د غوڅی برخې د مرکز ثقل C له لاري پلي شي، دا چينل به نه يوازې په ښکته خوا کور (bend) شي بلکه دا به د ساعت په لور تاو (twist) هم شي، لکه څنگه چې په انځور کې ښودل شوي.



انځور 7-24



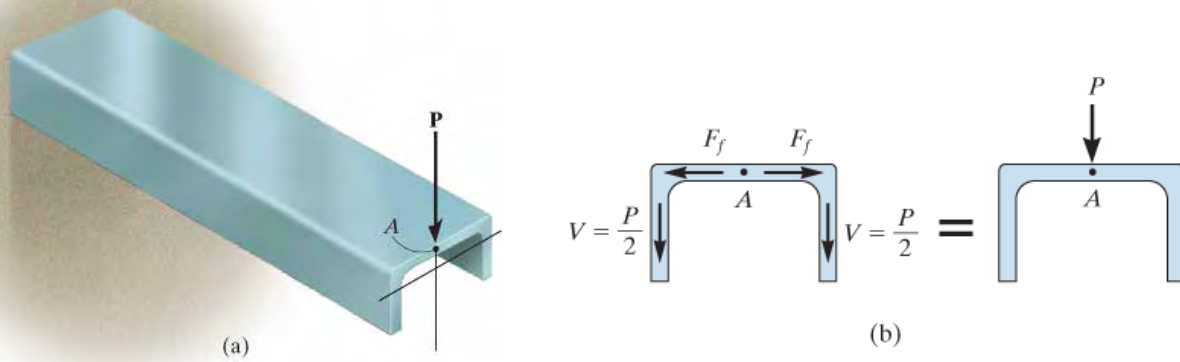
دلیل چې غری تاو شوي علت یې د شیب بهیر ویش په فلیجونو او ویب د چینل کی دی، انځور 7-24b و وینی. کله چې دا ویش د فلانچ او ویب ساحو کی انتیگریت شي، دا به په هر فلانچ کی د F_f پایله لرونکی قوه او په ویب کی د V = P قوه ورکړی، انځور 7-24c. که د دې دريو قواوو مؤمنت په ټکی A کی و نیول شي، غیر متوازن کپل یا تورک د فلنچ قواوولخوا رامینځته کیږي او دا د غری د تاویدلو سبب دي. اصلي تاو د ساعت په لور دی کله چې د بیم د مخ څخه لیدل کیږي، لکه چې په انځور 7-24a کی ښودل شوي، ځکه چې داخلي غبرگون د "توازن" قواوو F_f د تاویدو لامل کیږي. د دې لپاره چې د دې تاویدو مخه و نیول شي او غیر متوازن مؤمنت لغوه شي، دا اړینه ده چې P په هغه نقطه O کی پلي کړی چې د ویب له مرکز نه e فاصله ولري، لکه څنگه چې په انځور 7-24d کی ښودل شوي. مور اړتیا لروچی $M_A = F_f d = P e$ ، یا

$$e = \frac{F_f d}{P}$$

هغه نقطه O چې په دې توگه موقعیت لري د شیب مرکز (shear center) یا د کږیدو مرکز (flexure center) بلل کیږي. کله چې P په دې ټکی کی عمل وکړي، بیم به پرته له دې چې تاو و خوري کږه شي، انځور 7-24e. د دیزاین لاسي کتابونه ډیر وخت د شیب مرکز موقعیت مختلفو نری دیوال بیم غوڅه برخو لپاره لیست کوي، چې معمولاً په عمل کی کارتری اخستل کیږي.

پام وکړی چې دا کینټیلیور بیم څنگه انحراف کوي کله چې وزن د مرکز ثقل له لاری ور باندی بار کیږي (پورته) او د شیب مرکز له لاری (لاندي).

د دې تحلیل څخه، دا باید په پام کی و نیول شي چې د شیب مرکز به تل د غری د غوڅی برخې ساحې په متناظر محور کی پروت وی. د مثال په توگه، که چیرې چینل په 90° تاو و خوری او P په A کی پلي شي، انځور 7-25a، تاویدل به پېښ نه شي ځکه چې په ویب او فلنجونو کی د شیب بهیر دې قضیه کی متناظر دي، او له همدې امله پایله قوه په دې عناصرو کی په ټکی A ، انځور 7-25b، به صفر مؤمنت رامینځته کړي. په ښکاره ډول، که د یوه غری غوڅه برخه دوه متناظر محورونه ولري، لکه څنگه چې د سوروری فلینچ بیم په حالت کی، د شیب مرکز به د دې محورونو د تقاطع (مرکز ثقل) سره سمون ولري.



انځور 7-25

مهم ټکي

(IMPORTANT POINTS)

- شیبیر مرکز هغه نقطه ده کله چی یوه قوه د هغه له لاری پلي شي، بیم کږیږي شی، اما تاو به نه شي.
- د شیبیر مرکز تل د غوڅی برخي په متناظر محور پروت وي.
- د شیبیر مرکز موقعیت د غوڅی برخي په هندسی انځور اړه لری، په پلي شوی بار کوم تړون نلري.

د تحلیل کرنلاره

PROCEDURE FOR ANALYSIS

دا لاندی کرنلاره ددی لپاره ده ، چی د خلاص نري دیوال غړیو د غوڅی برخی لپاره ، د شیبیر مرکز موقعیت څنگه وټاکل شي. دا د داسي حالت لپاره ده کوم چی د داخلي شیبیرجهت په ورته لوري وی کوم چی د غوڅی برخی د پرنسیپل مرکزی محور وي.

د شیبیر-بهیر محصلی (Shear-Flow Resultants)

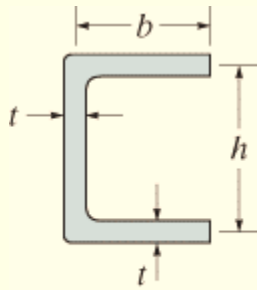
- د کتنې په واسطه، د شیبیر بهیر لوري د غوڅی برخی د مختلفو برخو له لاري مشخص کړی ، او د غوڅی برخی په هره برخه کې د قواوه محصلی سکچ کړي . (د بیلگې په توگه، انځور 7-24c وگورئ.) ځکه چی د شیبیر مرکز د دی قواوو د مومنټ نیولو په واسطه په یوه نقطه A کی ټاکل کیدی شی. دا نقطه په داسي ځای کې غوره کړی چی د ډیرو قواوو مومنټ، د امکان تر حده، له منځه یوسي .
- د قواوو د محصلی شدت، چی په نقطه A مؤمنت جوړه وی، باید محاسبه شي. د هرې برخی لپاره د شیبیر بهیر q په یو خپل سري نقطه کې معلوم کړي او بیا په اوږدوالي د برخی q انټیگریت کړي. پوه شی ، چی V به یو خطي تغیر د شیبیر بهیر ولری په هغه برخو کی چی عمود په V دی، او یو پارابولیک توپیر د شیبیر بهیر ولری په هغو برخو کې چی موازي یا مایل د V سره وي.

شیبیر مرکز (Shear Center)

- د شیبیر بهیر د پایلو مؤمنت په نقطه A کی ونیسی، او دا مؤمنت مساوي کړی په هغه مؤمنت چی V یی په A کی جوړوی. دا معادله حل کړي تر څو د مؤمنت بازو یا له مرکز وټلي فاصله e (eccentric)، کوم چی د V د عمل کرښه د A ټکی څخه پیدا کوي.
- که چیرې غوڅه برخه متناظر محور ولري ، د شیبیر مرکز به په یوه نقطه د دی محور موقعیت ولري.

مثال 7.8

د نری دیوال چینل لپاره ، چی ابعاد یی په انځور 7-26a کی بنودل شوي، د شیبیر مرکز موقعیت و ټاکي.



(a)

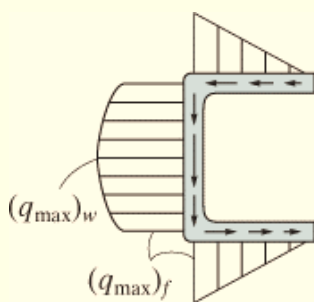
انځور 7-26

حل (SOLUTION)

د شیبیر بهیر محصولی (Shear Flow Resultants)

یو عمودی بنکته لوري شیبیر V په برخه پلي شوي، او دا د دې لامل کیري چی شیبیر بهیر په فلنجونو او ویب کی جور شي، ځنگه چی په انځور 7-26b بنودل شوي . دا په نتیجه کی د پایلي قواوی F_f او V په فلنچو او ویب کی رامینځته کوي، لکه ځنگه چی په انځور 7-26c کی بنودل شوي. مور به مؤمنت په A کی واخلو ترڅو چی یوازي د F_f قوه په بنکته فلنچ کی و ټاکل شي.

د غوڅی برخي ساحه په دریو برخو، مستطیلونو، ویشل کیدی شي یوه ویب او دوه فلجونه. ځکه چی هره برخه نري فرض شوي ، انرشیایي مؤمنت د ساحی په صفری محور عبارت دی په



Shear flow distribution

(b)

$$I = \frac{1}{12}th^3 + 2\left[bt\left(\frac{h}{2}\right)^2\right] = \frac{th^2}{2}\left(\frac{h}{6} + b\right)$$

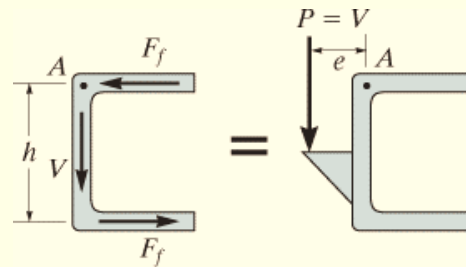
له انځور 7-26d په یوه اختیاری نقطه د x ، د q ارزښت عبارت دی په :

$$q = \frac{VQ}{I} = \frac{V(h/2)[b - x]t}{(th^2/2)[(h/6) + b]} = \frac{V(b - x)}{h[(h/6) + b]}$$

له همدی امله قوه F_f په فلنچ کی عبارت ده په

$$F_f = \int_0^b q \, dx = \frac{V}{h[(h/6) + b]} \int_0^b (b - x) \, dx = \frac{Vb^2}{2h[(h/6) + b]}$$

دا ورته پایله هم پرته له دی چی انتیگرال و نیول شي ، اول $(q_{max})_f$ موندنه، انځور 7-26b ، بیا د مثلث ساحه و ټاکل شي $(1/2)b(q_{max})_f = F_f$.

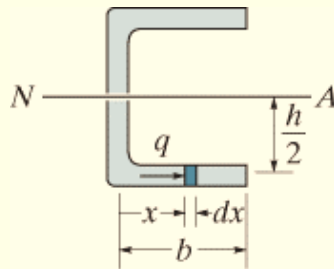


(c)

د شیبیر مرکز (Shear Center) .

مؤمنت په نقطې A راتولو، انځور 7-26c، مور اړتیا لروچی:

$$Ve = F_f h = \frac{Vb^2 h}{2h[(h/6) + b]}$$



(d)

انځور 7-26 (ادامه)

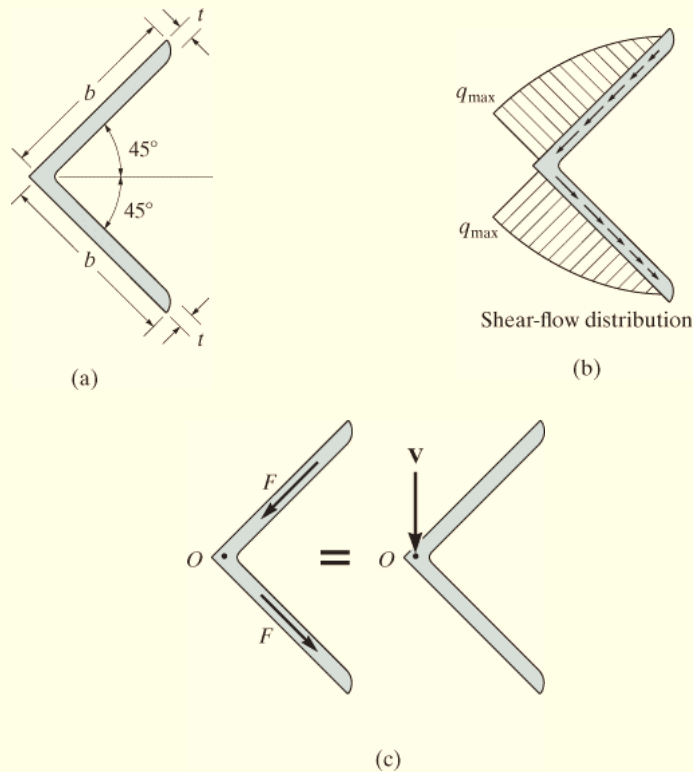
په دی توگه :

$$e = \frac{b^2}{[(h/3) + 2b]}$$

Ans.

مثال 7.9

د يو زاويي لپاره چي مساوي پښي لري د شپير مرکز وټاگي، انځور 7-27a . او هم د شپير قوی محصله په هر پښه کی معلومه کړي.



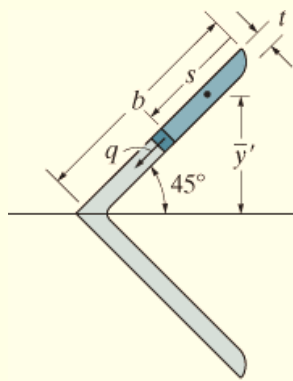
انځور 7-27

حل (SOLUTION)

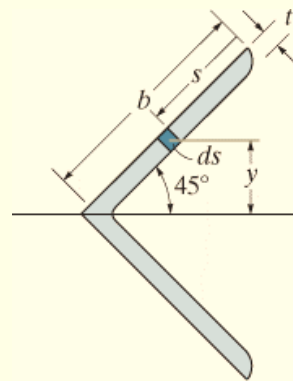
کله چې په غوڅه برخه عمودی بنسټه خوا شپير V پلي شي، د شپير بهير او د شپير بهير محصلي، لکه څنگه چې په انځور 7-27b او 7-27c کې ښودل شوي، په ترتيب سره عمل کوي. په ياد ولری چې په هره پښه کې قوه F بايد مساوي وي، ځکه چې د توازن لپاره د دوی د افقی اجزاوو مجموعه بايد مساوي په صفر سره وي. همدارنگه، د دواړو قواوو د عمل کرښې په نقطه O کې سره يو ځای کيږي. دا نقطه O له همدې امله، بايد د شپير مرکز وي، ځکه مجموعي مؤمنت د دې قواوو او V په O ټکی کې صفر دی، انځور 7-27c .

د F اندازه به د شییر بهیر موندلو سره په یوه خپل سری موقعیت s په پورتنی پینه کی پیداشی، انځور 7-27d و ویني. دلته

$$Q = \bar{y}'A' = \frac{1}{\sqrt{2}} \left((b - s) + \frac{s}{2} \right) ts = \frac{1}{\sqrt{2}} \left(b - \frac{s}{2} \right) st$$



(d)



(e)

انځور 7-27 تکرار)

د زاوي انرشيايي مؤمنت په صفری محور له "المري اصلو" ټاکل شوي ، ځکه چی پيني نظر صفری محور ته مایل دی. د یوه برخي ساحه $dA = t ds$ ، انځور 7-27e ، مور لرو

$$I = \int_A y^2 dA = 2 \int_0^b \left[\frac{1}{\sqrt{2}}(b - s) \right]^2 t ds = t \left(b^2 s - bs^2 + \frac{1}{3}s^3 \right) \Big|_0^b = \frac{tb^3}{3}$$

پدی توگه د شییر بهیر عبارت دی په

$$\begin{aligned} q &= \frac{VQ}{I} = \frac{V}{(tb^3/3)} \left[\frac{1}{\sqrt{2}} \left(b - \frac{s}{2} \right) st \right] \\ &= \frac{3V}{\sqrt{2}b^3} s \left(b - \frac{s}{2} \right) \end{aligned}$$

د q توپیر پارابولیک دی او او اعظمی حد یی کله چی $s = b$ شي لکه چی په انځور 7-27b کی بنودل شوي. له هموی امله قوه F کیري

$$\begin{aligned} F &= \int_0^b q \, ds = \frac{3V}{\sqrt{2}b^3} \int_0^b s \left(b - \frac{s}{2} \right) ds \\ &= \frac{3V}{\sqrt{2}b^3} \left(b \frac{s^2}{2} - \frac{1}{6} s^3 \right) \Big|_0^b \\ &= \frac{1}{\sqrt{2}} V \end{aligned} \quad \text{Ans.}$$

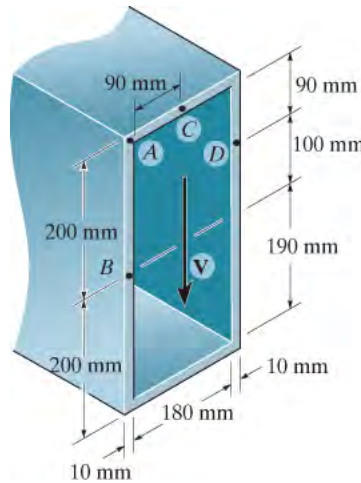
یادونه: دا پایله په اسانی سره تایید کیدی شي، ځکه چی مجموعه د اجزاو د عمودی قوه F په هره پینه کی باید د V سره مساوي وي، او لکه څنگه چی مخکي وویل شول، مجموعی د افقی اجزاوو د صفر سره مساوي دي .

سوالونه

(PROBLEMS)

س 7-50. یوه د شپير قوه $V = 300 \text{ kN}$ په باکس گادر پلي شوي. د شپير بهير په ټکیو A او B کی وټاکي.

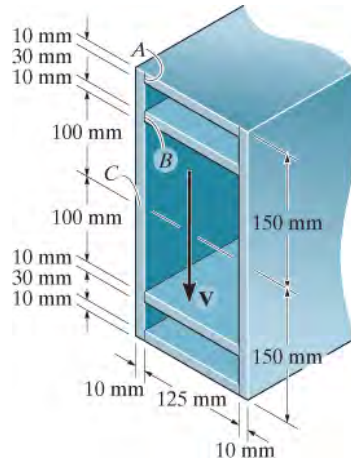
س 7-51. یوه د شپير قوه $V = 450 \text{ kN}$ په باکس گادر پلي شوي. د شپير بهير په ټکیو C او D کی وټاکي.



س 7-50/51

س 7-52*. یوه د شپير قوه $V = 18 \text{ kN}$ په باکس گادر پلي شوي. د شپير بهير په ټکیو A او B کی وټاکي.

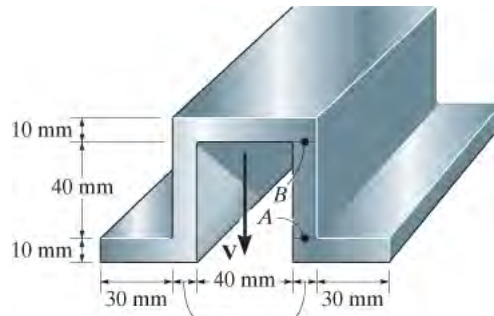
س 7-53. یوه د شپير قوه $V = 18 \text{ kN}$ په باکس گادر پلي شوي. د شپير بهير په ټکی C کی وټاکي.



س 7-52/53

س 7-54. د الومنیم سترت 10 mm پندوالی لری، او غوڅه برخه یې په لاندی انځورکی بنودل شوي. که چیر د شپیر قوه $V = 150 \text{ N}$ ورباندی پلی شي، د شپیر بهیر په ټکیو A او B کی و ټاکي.

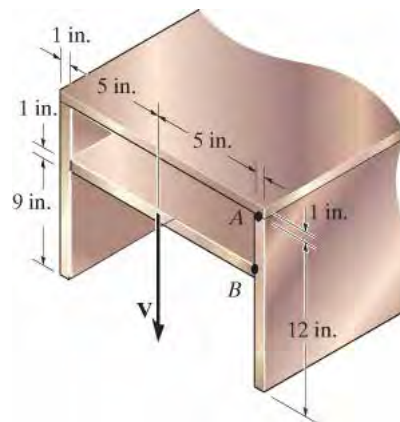
س 7-55. د الومنیم سترت 10 mm پندوالی لری، او غوڅه برخه یې په لاندی انځور کی بنودل شوي. که چیر د شپیر قوه $V = 150 \text{ N}$ ورباندی پلی شي، اعظمی شپیر بهیر په سترت کی و ټاکي.



س 7-54/55

س 7-56*. یوه د شپیر قوه $V = 50 \text{ kN}$ په لاندی بیم پلی شوي. د شپیر بهیر په ټکیو A او B کی وټاکي.

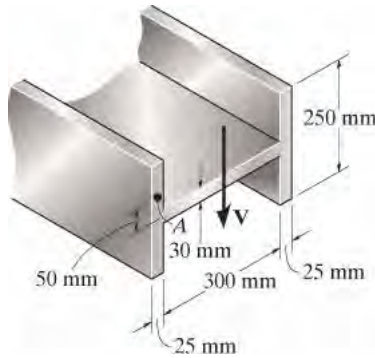
س 7-57. یوه د شپیر قوه $V = 50 \text{ kN}$ په لاندی بیم پلی شوي. اعظمی شپیر بهیر په غوڅه برخه کی وټاکي.



س 7-56/57

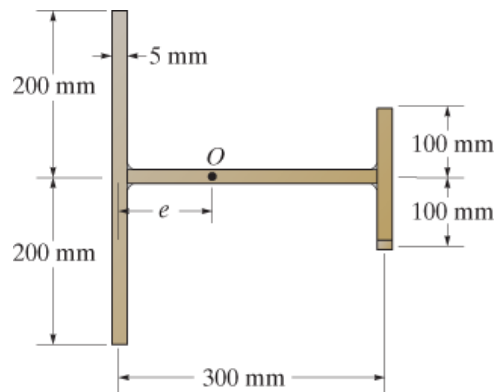
س 7-58. یوه د شیبیر قوه $V = 80 \text{ kN}$ په لاندی اچ- بیم پلي شوي. د شیبیر بهیر په تکی A کی وټاکي.

س 7-59. یوه د شیبیر قوه $V = 80 \text{ kN}$ په لاندی اچ- بیم پلي شوي. د شیبیر سټریس ویش په یوه اړخ سکیچ کړي. ټول لور ارزښتونه په گوته کړئ.



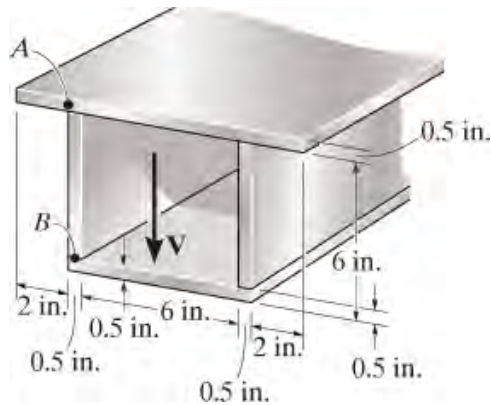
س 7-58/59

س *7-60. جوړ شوي بیم له یو خای کولو، د خو نازکو تختو چی 5 mm پندوالی لری، او د ویلډینګ کیدو په واسطه جوړه شوي. د شیبیر مرکز موقعیت یې وټاکي.



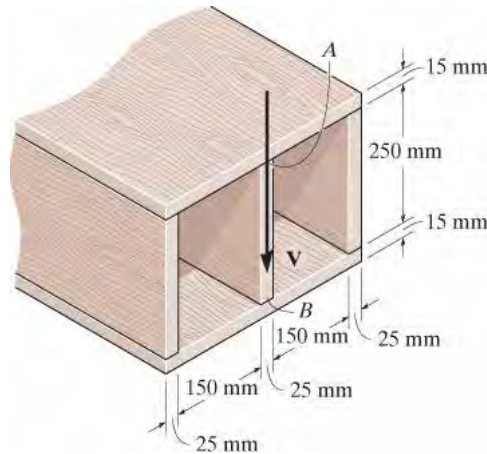
س 7-60

س 7-61. په د لاندې اسامبلې یو عمودی شیبیر $V = 7 \text{ kip}$ پلي شوي دي. د شیبیر بهیر په ټکیو A او B کې وټاکي، او هم اعظمی شیبیر بهیر په دی غوڅه برخه کې پیدا کړي.



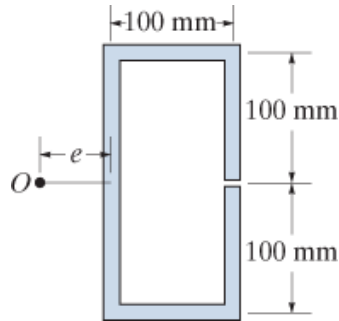
س 7-61

س 7-62. یوه د شیبیر قوه $V = 15 \text{ kN}$ په لاندې باکس گادر باندې پلي شوي. د شیبیر بهیر په ټکی B او هم اعظمی شیبیر بهیر د گادر په ویب AB کې وټاکي.



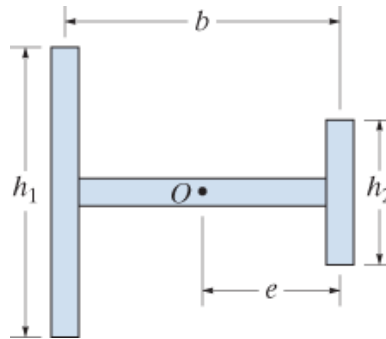
س 7-62

س 7-63. د شیبیر مرکز موقعیت e ، ټکي O ته، د نری دیوال غړی مشخص کړی. څنگه چې په انځور کې بنسودل شوی، دا غوڅه په یوه برخه کې پری شوی.



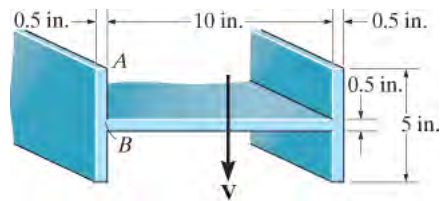
س 7-63

س 7-64* شپير مرکز موقعیت e ، ټکي O ته، د نری دیوال غړی مشخص گړی. د غړی ټوټي یو شان ضخامت t ، لري.



س 7-64

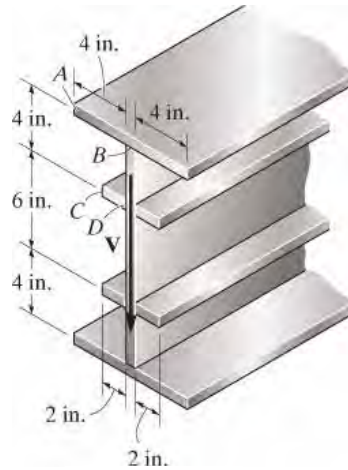
س 7-65 په دی لاندی بیم یو عمودی شپير $V = 7 \text{ kip}$ پلی شوي دي. محصله قوه د AB په برخه د بیم کی وټاکي.



س 7-65

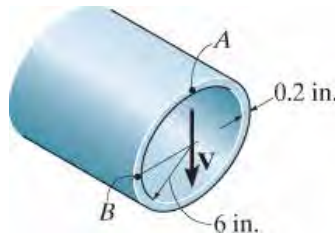
س 7-66 د ا لاندی سخت شوی (stiffened) بیم له تختو چی 0.25 انچ پندوالی لری جوړه شوي ده. که چیری یوه د شپير قوه $V = 8 \text{ kip}$ په لاندی بیم باندی پلی شي، د شپير بهیر د AB او CD

په برخو کی وټاکي. محصله شیبیر چی د دی بيم په برخو پلي شوي مشخص کړي؟ او هم د شیبیر بهیر چی له دی غوڅه برخی تیریري سکيچ کړي. عمودی ابعاد تر مرکز د هری ټوتي اندازه شوي.



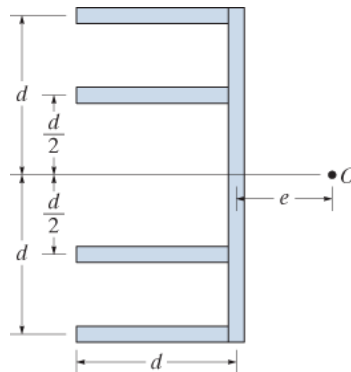
س 7-66

س 7-67. په دی لاندی پایپ یوه شیبیر قوه $V = 8 \text{ kip}$ پلي شوي. د شیبیر بهیر په پایپ کی په ټکیو A او B کی وټاکي.



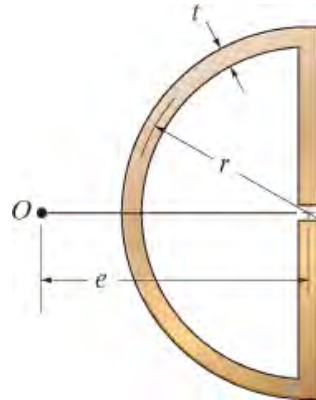
س 7-67

س* 7-68. د شیبیر مرکز موقعیت e ، ټکی O ته، د نری دیوال غری مشخص کړی. د غری ټوتي یو شان پنډوالی، t ، لري.



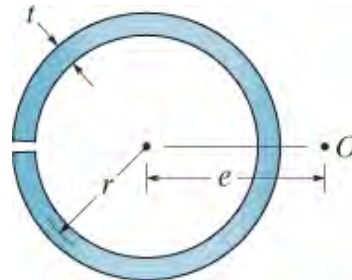
س 7-68

س 7-69. د نازک ضخامت t ، یوه تخته داسې کږه شوي چې د بیم دا لاندې غوڅه برخه ورځیني جوړه شوي. موقعیت د شیبیر مرکز O و ټاکي.



س 7-69

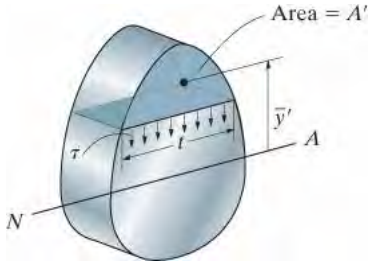
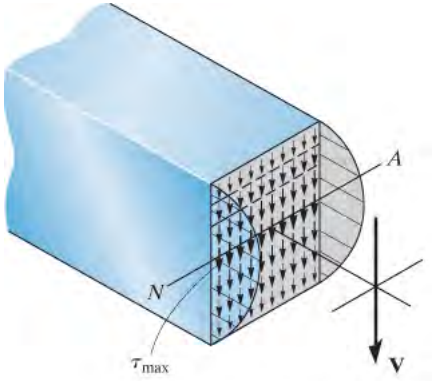
س 7-70. د شیبیر مرکز، ټکی O ، موقعیت e د تیوب لپاره وټاکي. د تیوب غوڅه برخه یوه قطع چې په دی لاندی انځور کی بنودل شوي هم لري.

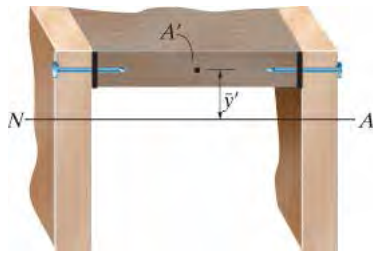


س 7-70

د فصل بیا کتنه

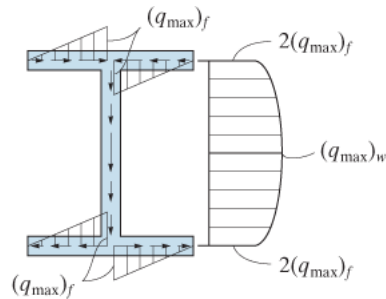
CHAPTER REVIEW

	<p>د بیم عرضي شیبیر ستریس د بیم په غیر مستقیم ډول د کړیدو فورمول (flexure formula) نه او د مؤمنت او شیبیرله تړون ($V = dM/dx$) څخه لاس ته راځي. نتیجه یی د شیر فارمول کیری.</p> $\tau = \frac{VQ}{It}$ <p>په ځانگړي توگه د Q ارزښت عبارت دی په مؤمنت د ساحی A' په صفری محور.</p> $Q = \bar{y}'A'$ <p>دا ساحه یوه برخه د غوڅی برخی د ساحی چی "نیول شوی" په پورته او یا بنکته د بیم ضخامت t چیرته چی t باید و موندل شي.</p>
 <p style="text-align: center;">Shear-stress distribution</p>	<p>که چیری بیم، مستطیلی غوڅه برخه ولري بیا د ستریس ویش به پارابولیک وی، اعظمی حد به په صفری محور وي. ددی خاصی قضیې لپاره شیبیر ستریس په دی لاندی فورمول په واسطه ټاکل کیدی شي.</p> $\tau_{\max} = 1.5 \frac{V}{A}$



تړيدونکي لکه ميخونه، بولتونه او يا ولدينگ څخه د برخي په تړلو کي کار اخيستل کيږي، تر څو مرکب برخي "جوړ شوي" سره وصل کړي. د شپير بهير q ، يا قوه په واحد اوږدوالي، ارزښت په دې تړيدونکيو کي چي د بيم ملاتړ کوي وټاکل شي. د شپير جريان په لاندې ډول دی.

$$q = \frac{VQ}{I}$$



Shear-flow distribution

که چيري بيم، د نري ديوال له برخو جوړ شوي وي، بيا د شپير بهير ویش په هره ټوټه کي پيدا کيږي شي. دا ویش به په خطي ډول توپير ولري په افقي برخو کي، او پاراباليک په مايل يا عمودي برخو کي.

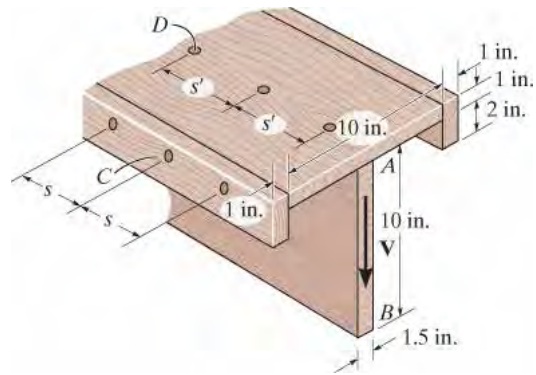


که چيري د شپير د بهير ویش په هره برخ کي معلوم وي، بيا د مؤمنت د توازن په کارولو سره د شپير مرکز (O) موقعيت د غوڅي دپاره معلوميدی شي. کله چي بار لږ تکی تير شي نو غري کبريږي او نه تاوېږي.

د بيا کتنې سوالونه

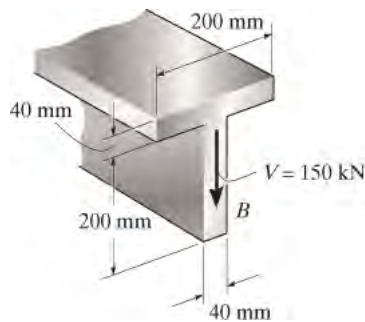
REVIEW PROBLEMS

ب 7-1. دا لاندی بیم له څلورو تختو ، چی یو بل سره میخ شوی دی ، جوړ شوي. شپير قوه په هر میخ کی په اوږدوالي دارخ C او پورته برخه D چی باید مقاومت وکړي وټاکي، دا میخونه په فاصله $s = 3$ in ایښودل شوي. په دی بیم یوه شپير قوه $V = 4.5$ kip پلی شوي.



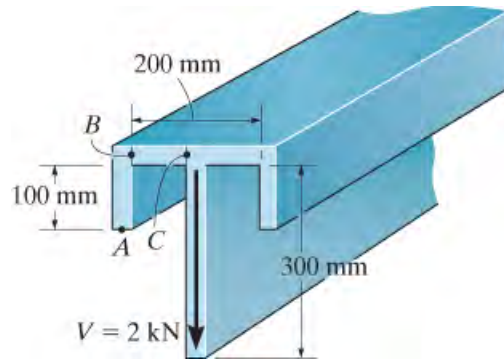
ب 7-1

ب 7-2. په لاندی تی بیم یو شپير $V = 150$ kN پلی شوي. هغه اندازه ددی شپير قوه چی ویب B یې مقاومت کوي وټاکي.



ب 7-2

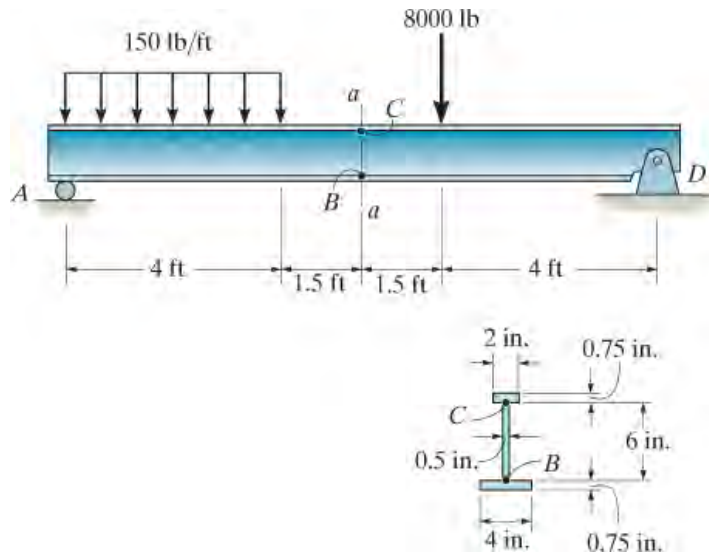
ب 7-3. په دی لاندی غړي یوه شپير قوه $V = 2$ kN پلی شوي. شپير بهیر په ټکیو A , B او C کی وټاکي. د هری برخی د نری دیوال ضخامت 15 mm ملي متره دي.



ب 7-3

ب 7-4*. شپير سټريټس په غوڅه شوی برخه $a-a$ په ټکیو B او C د بيم په ويب کی وټاکي.

ب 7-5. اعظمی شپير سټريټس په غوڅه شوي برخه $a-a$ د بيم کی و ټاکي.



ب 7-4/5

اتم فصل

(CHAPTER 8)



(© ImageBroker/Alamy)

ددی خړېدلي سکی وړونکي کابین په هنګر، یو لړ ترکیبی بارونه لکه محوری قواوي او کرېدونکي مؤمنت عمل کړي.

یوځاي شوي بارونه

COMBINED LOADINGS

د فصل موخي (CHAPTER OBJECTIVES)

دا فصل، د نری دیوال فشاري مخزنونو (pressure vessels) د ستیرس په تحلیل پیل کیري .
بیا به مور د محوری بار، تورژن، کږیدو (bending)، او شیبیرله فارمولو کارواخلو، ترڅو د
یوگری ستیریس کله چی ډیر بارونه پری عمل کوی وټاکو.

8.1 د نری دیوال د فشار مخزنونه (THIN-WALLED) (PRESSURE VESSELS)

سلنډری یا کروی (spherical) د فشار مخزنونه، معمولاً په صنعت کې د بایلرو یا ذخیره ټانکونو په توګه کارول کېږي. د دې جوړښتونو په دیوالو کې د سټریس موندل په ساده ډول تحلیل کېدی شي، په دې شرط چې دا جوړښتونه نری دیوالونه ولري، په دې معنی چې د داخلي شعاع نسبت د دیوال ضخامت سره 10 (لس) یا ډیر ($r/t \geq 10$) وي. په ځانګړې توګه، کله چې $r/t = 10$ د نری دیوال تحلیل پایلې وړاندوینه کوي یو سټریس د مخزن په دیوال کې به له اصلی اعظمی سټریس نږدې 4% کم وي. د لوی r/t تناسب لپاره دا تیر وتنه به نوره هم کوچنی وي.

په لاندې تحلیل کې، مور به دا په ګوته کړو چې د ګاز فشار په مخزن کې د ګیج فشار (gage pressure) دی، په دې معنی چې دا له اتموسفیر فشار څخه پورته فشار دی، ځکه چې د اتموسفیر فشار به دننه او بهر د مخزن په دیوال، مخکې له دې چې مخزن فشار شي شتون لري.



د فشار سلنډری ذخیروی جوړښت لکه پورته د ګازو ټانک ، دواړو خواوو ته د هموار په ځای، نیم کروی سرونه لری تر څو چې په ټانک کې فشار لږ شی.

استوانه یی ټانکونه (Cylindrical Vessels)

سلنډری ټانک چې په انځور 8-1a کې ښودل شوي، د دیوال ضخامت یې t ، داخلي شعاع یې r ، او د داخلي ګاز فشار p سره مخ شوي. د محیطي (circumferential) یا هوپ (hoop) سټریس موندلو لپاره، مور کولی شو ټانک په a, b او c لاندې ډول برخو غوڅ او وویشو. یو آزاد ډایګرام د شا برخې او په دې کې شامل ګاز بیا په انځور 8-1b کې ښودل شوی. دلته یوازې بار په x سمت

سره بنودل شوی. دلته یونیفورم هوپ ستریس S_1 ، د ټانک په دیوال باندې ، او فشار په عمودی سطحه د گاز باندې عمل کوي. د x په لور د توازن لپاره، مور اړتیا لرو:

$$\Sigma F_x = 0; \quad 2[\sigma_1(t dy)] - p(2r dy) = 0$$

$$\sigma_1 = \frac{pr}{t} \quad (8-1)$$

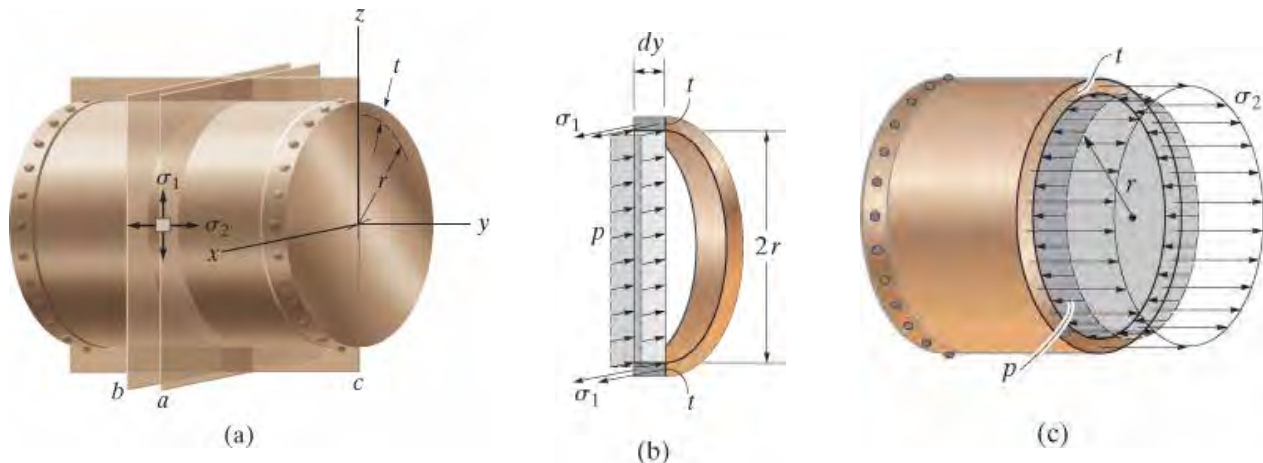
د

اورد والی (longitudinal) سټریسونه داسی پیدا کیری چی د کین لورد b برخه، انخوړ 8-1a ، څخه لاس ته راځي. څنگه چی په آزاد ډایگرام ، انخوړ 8-1c کی بنودل شوي S_2 مساوی ویشل شوي په دیوال او p د شامل گاز په برخه عمل کړي. څرنگه چی اوسط شعاع د ټانک د داخلی شعاع سره

$$\Sigma F_y = 0; \quad \sigma_2(2\pi rt) - p(\pi r^2) = 0$$

$$\sigma_2 = \frac{pr}{2t} \quad (8-2)$$

اټکل کیری، د y په لور د تعادل لپاره اړتیا لرو:



انخوړ 8-1

د دی دوو معادلو لپاره:

$S_1, S_2 =$ نارمل سټریس په هوپ او اوږد و جهتونو په ترتیب سره دی. هر یو یې داسی فرض کیري چی په ټول دیوال د سلنډر یو شان ثابت دی، او هر یو یې مواد د کشش په حالت کی ساتی.

$p =$ داخلی گیچ (gage) فشار د ساتل شوی گاز له امله

$r =$ داخلی شعاع د سلنډر

$t =$ دیوال پندوالی ($r/t \geq 10$)



دا د نری دیوال پایپ د گازو د ډیر داخلی فشار سره مخ شوی وه ، او هغه لامل ددی شو چی پایپ به محیطی او یا هوپ سمت مات (rupture) کړي. سټریس په دی سمت دوه چند د محوري سمت دی ، او دا په معادلو 8-1 او 8-2 کی بنودل شوي.

په پرتله کولو سره، په یاد ولری چی هوپ (حلقوي) یا محیطی سټریس د اوږدوالي په پرتله د محوری سټریس دوه چند لوی دی. په پایله کی، کله چی د سلنډري ټانک له تاو شوي تختو جوړ شوي وي، دا مهمه ده چی د اوږدوالي د ټینگیډو ځایونه یا جاینتونه داسي ډیزاین شي ترڅو دوه چند سټریس د محیطی جوینتونو په پرتله تحمل کړي.

کروی ټانکونه (Spherical Vessels).

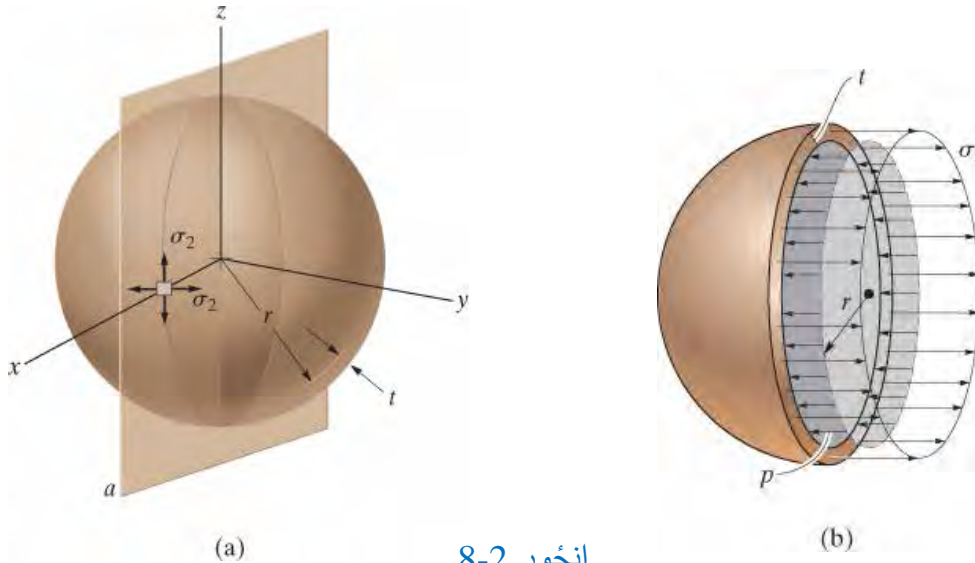
موږ کولی شو چی د کروی فشار ټانکونه په ورته ډول تحلیل کړو. که یو ټانک چی په انځور 8-2a کی په نیمه برخه کی غوڅ شوی، د آزاد ډیاگرام یې په انځور 8-2b کی بنودل شوی. لکه د سلنډر، په r لوري کی توازن ته اړتیا لري

$$\Sigma F_y = 0;$$

$$\sigma_2(2\pi r t) - p(\pi r^2) = 0$$

$$\sigma_2 = \frac{pr}{2t}$$

(8-3)



انځور 8-2

دا ورته نتیجه ده لکه چې د سلنډری فشاری ټانک کی د اوږدو سټریس مو لاس ته راغی ، دا سټریس په یو شان وی بیله دی چې د کروی غوڅی برخی آزاد ډایگرام جهت ته پام وکړو.

محدودیتونه (Limitations).

پورته تحلیل په گوته کوي، که چېری یو ټوټه مواد د سلنډری یا کروی فشار ټانک څخه واخیستل شي، د دوه اړخیز سټریسونو (biaxial stress) سره به مخ کیږي. د بیلگې په توگه، نارمال سټریس یوازې په دوو سمتو کی شتون لري. په حقیقت کې، په هر صورت، فشار هم په موادو شعاعی سټریس (radial stress) ، S_3 ، راولی، چې د شعاع کرښی په جهت عمل کوي. دستریس اعظمی ارزښت په داخل دیوال کې چې د فشار p سره مساوي دی او د پنډوالی به سور کی کمیري تر څو په بهرنی سطحه د دیوال کی صفر ته رسیږي ، ځکه چې بیرونی سطحه د دیوال صفر فشار لری. په هر صورت، د نریو دیوالونو د فشار ټانکونو لپاره، مور به دا سټریس له پامه غورځوو، ځکه چې زموږ د $r/t = 10$ محدود انگیرنه دا بنیې چې S_2 او S_1 په ترتیب سره 5 او

10 ځله له شعاعی ستريس $(s_3)_{\max} = p$ ، څخه لوړدی. په نهایت کې، په یاد ولری که چیری د فشار په ټانک یو بهرني ټیلوهونکی فشار عمل وکړي، په دیوال کی ټیلوهونکی (compressive stress) ستريسونه د ناڅاپه چپکیدل د دیوال په داخل لور او یا کمان کیدل د دیوال منځ ته راځی چی د ماتیدو سبب کیدی شي.

مثال 8.1 .

یوه سلندري فشاري ټانک داخلی قطر 4 ft او ضخامت يي 1/2 in (انچ) دی. هغه داخلی اعظمی فشار داسی معلوم کړی چی محیطی او د اوږدو ستريس له 20 ksi حد تیر نشي. د ورته شرایطو لاندی اعظمی داخلی فشار به په کروی فشاری ټانک کی څومره وی؟

حل (SOLUTION)

سلندری فشاری ټانک (Cylindrical Pressure Vessel)

اعظمی ستريس چی په محیطی سمت جوړیږی، له 8-1 معادلی کار اخلو:

$$\sigma_1 = \frac{pr}{t};$$

$$20 \text{ kip/in}^2 = \frac{p(24 \text{ in.})}{\frac{1}{2} \text{ in.}}$$



Ans.

په یاد ولری کله چی فشار دی حد ته ورسیري ، له معادلی 8-2 ستريس په اوږده سمت عبارت دی په $s_2 = \frac{1}{2} (20 \text{ ksi}) = 10 \text{ ksi}$ او اعظمی ستريس په شعاعی سمت په داخلی دیوال د ټانک کی $(s_3)_{\max} = p = 417 \text{ psi}$ دي. دا حد 48 ځله کوچنی دی له محیطی ستريس نه. څرنگه چی مخ کی مو وویل، ددی اغیزه به په پام کی نه نیسو.

کروی فشاری تانک (Spherical Pressure Vessel)

دلته اعظمی سٹریس په هر دوو عمودی سمتو په یوه توپه د تانک ، انځور 8-2 a ، و گوري. له معادلي 8-3 مور لرو:



$$\sigma_2 = \frac{pr}{2t}$$

$$20 \text{ kip/in}^2 = \frac{p(24 \text{ in.})}{2(\frac{1}{2} \text{ in.})}$$

$$p = 833 \text{ psi}$$

Ans.

یادونه: که څه دا هم ستوزمن دی چی کروي فشاری تانک جوړ شي، اما کروی تانک دوه چند د سالنډری تانک په پرتله داخلی فشار تحمل کولای شي.

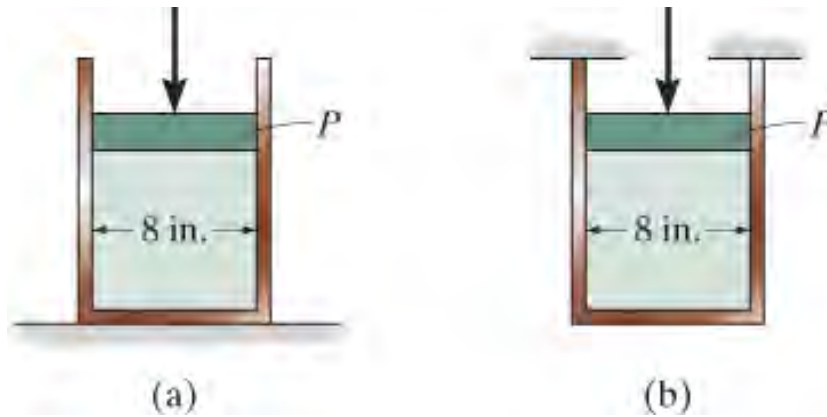
سوالونه

PROBLEMS

س 8-1. د گازو یو کروی تانک داخلی شعاع $r = 1.5$ متره لري. که چیرې دا تانک له داخلی فشار $p = 300 \text{ kPa}$ سره مخ وي، او اعظمي نارمل فشار باید له 12 MPa څخه ډیر نه وي د اړتیا وړ پندوال یی معلوم کړئ.

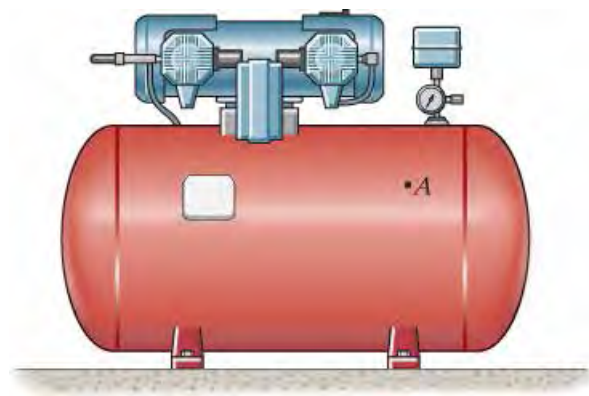
س 8-2. د فشار وړ کروی تانک له فولادو د 0.5 انچ پندوالی څخه جوړ شوی دی. که دا تانک د داخلی فشار $p = 200 \text{ psi}$ ، لاندې وي، او اعظمي نارمل فشار له 15 ksi څخه ډیر نه وي د هغې بهرنی شعاع مشخص کړئ.

س 8-3. دا لاندی، د نري ديوال لرونکی بنودل شوي سلنډر، له دوو بنودل شويو اتکاء لارو، کیدی شي اتکاء ولري. که چیری د دواړو قضیو لپاره د سلنډر پستون P د داخلی فشار 65 psi لامل شي، د ستریس حالت په ديوال کې د دواړو حالتونو لپاره معلوم کړئ. د ديوال ضخامت 0.25 انچه او د سلنډر داخلی قطر 8 انچه دی.



س 8-3

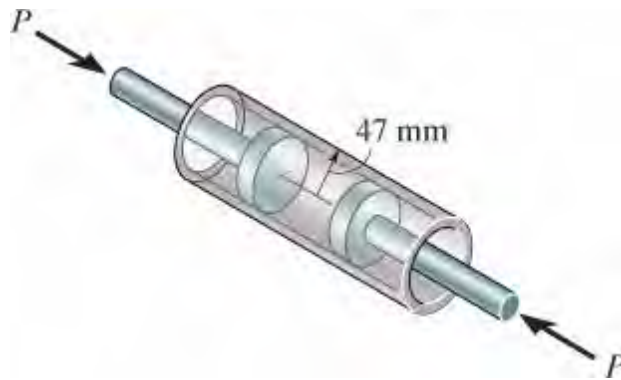
س 8-4*. د هوا کمپرسور تانک داخلی فشار 90 psi دی. د تانک داخلی قطر 22 انچه، او د ديوال ضخامت يي 0.25 انچه دی. د ستریس اجزا چی په A نقطه کې عمل کوي معلوم او د موادو یوه حجمی ټوټه پدی ټکی کې رسم کړئ او په دې باندی دا پایلی بنکاره کړئ.



س 8-4

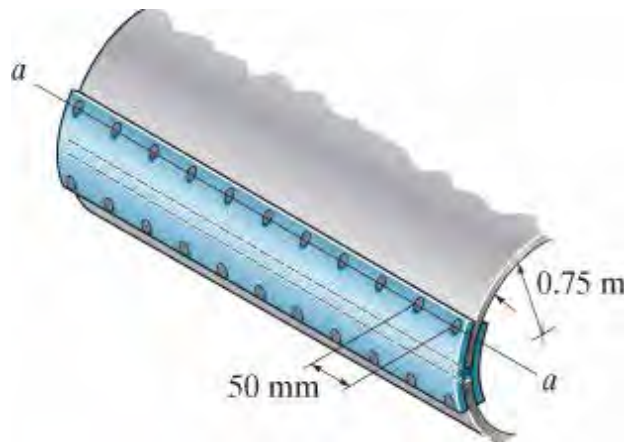
س 8-5. په سلنډر کې د هوا فشار، په پلي کيدو د يوې قوې $P = 2 \text{ kN}$ په دوو پيسټونونو چې هر يو يې 45 mm شعاع لري، لوريري. که سلنډر 2 ملي ميتره د ديوال پنډوالی ولري، د سلنډر په ديوال کې د سټريس حالت معلوم کړئ.

س 8-6. اعظمي P چې کيدی شي په هر يوه د دوه پيسټونو پلي شى مشخص کړئ، تر څو محيطی سټريس په سلنډر کې له 3 MPa څخه ډير نه وي. هر پيسټون 45 ملي ميتره قطر لري او د سلنډر د ديوال پنډوالی 2 ملي متره دي.



س 8-5/6

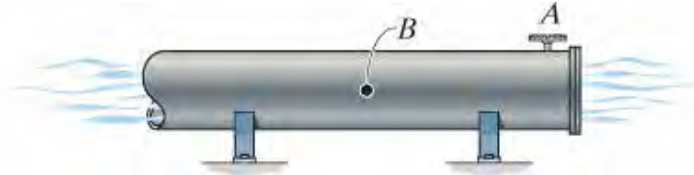
س 8-7. يو بايلر له فولادی تختو څخه چې 8-mm پنډوالی لري جوړ شوی، دا تختي د د ريوټونو د بټ بنديونکي (but joint) په کارولو سره او دوو 8 ملي متره پوښونکيو تختو پواسطه چې په 10 ملي متره شعاع رويتو چې په 50 ملي متره فاصله کې دي، دوی په پای کې سره يوځای شوي دي، څنگه چې په انځور کې ښودل شوي. که په بايلر کې د بخار فشار 1.35 MPa وي، معلوم کړئ (a) د بايلر په تخته کې، لري له درز څخه، محيطی سټريس. (b) په بهرنی پوښ تخته کې محيطی سټريس د ريوټ کرښې $a-a$ په اوږدو کې او (c) شيبير سټريس په ريوټ کې.



س 8-7

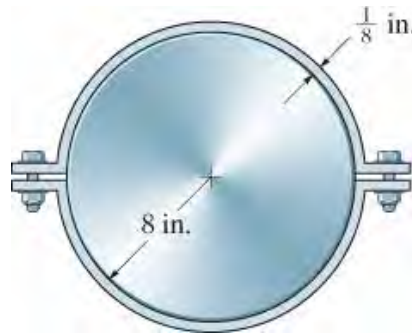
س 8-8* فولادی د اوبو پایپ 12 انچه قطر لري او د دیوال پندوالی یې 0.25 انچه دی. که چیری والو (valve) A خلاص شي د اوبو فشار، کله چی له نقطی B تیریري، 250 psi وي، د اوردو او حلقوی (hoop) ستریس د پایپ په دیوال کی په نقطه B کی معلوم کړي.

س 8-9 فولادی د اوبو پایپ 12 انچه قطر لري او د دیوال پندوالی یې 0.25 انچه دی. که چیری والو (valve) A وتړل شي د اوبو فشار به 300 psi وي. د اوردو او حلقوی (hoop) ستریس په دیوال د دی پایپ کی په نقطه B کی معلوم کړي. او هم د دیوال په حجمی یوه توتیه په تکی B کی د ستریس حالت سکچ کړي.



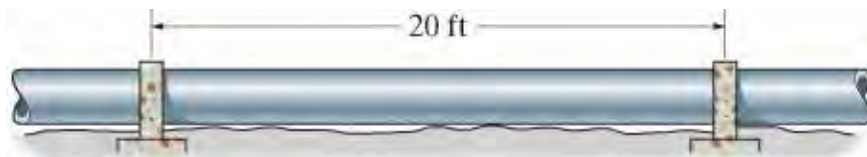
س 8-8/9

س 8-10 د فولادو A-36 تسمی (band) سور 2 in. دی، او دا دیوه سخت سالنډر نه تاو شوی ده. کله چی بولتونه تینگ شي د کشش قوه په بولتونو کی 400 پوند وي. نارمل ستریس په تسمه کی، هغه فشار چی په سلندراخی، او هغه فاصله چی نیمه تسمه غځول کیري معلوم کړي.



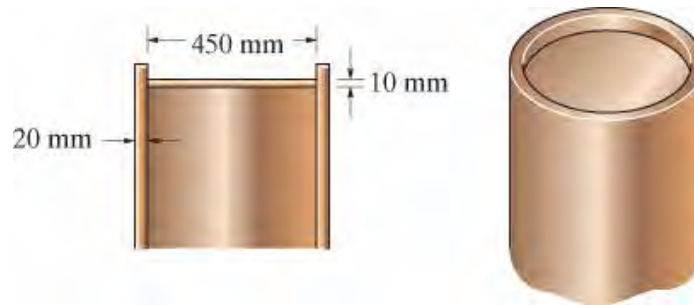
س 8-10

س 8-11 د گازو پایپلین په هر 20 فوټه په کانکریتی پایه او ځمکه باندی ایښودل شوي. که په هره کانکریتی پایه کی سخت ساتونکی شتون ولري تر څو پایپ تینگ وساتي. که چیری د تودوخي درجه $60^0 F$ (درجی د فارنهایت) له هغه درجی چی پایپ ایښودل شوی و، زیاتوالي ومومي د اوردوالي او حلقوی ستریس په پایپ کی معلوم کړي.



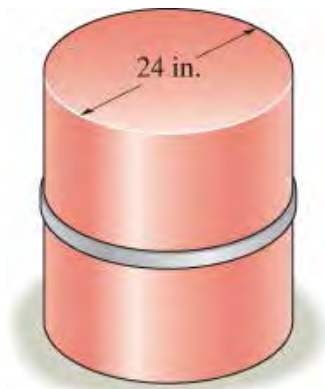
س 8-11

س 8-12* د فشار ساتونکي ټانک په سرکي د گردی تختی په واسطه چی ویلډینگ شوی جوړ شوی، لکه څنگه چی په لاندی انځورکی بنودل شوي. که چیری داخلی فشار په ټانک کی 450 kPa وی، اوسط شپیر ستیریس په ویلډینگ اوحالت د ستیریس د فشار ټانک په دیوال کی معلوم کړي.



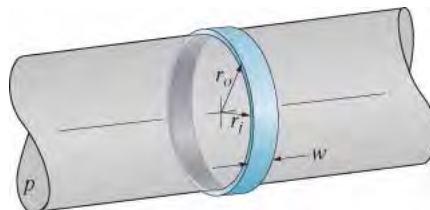
س 8-12

س 8-13 د یو فولادی A-36 حلقی داخلی قطر 23.99 in ، پندوالی یی 0.25 in او سور یی 1 in دی . که چیری د یوه 24 in قطر سخت سلندر د دتودوخی درجه $65^{\circ}F$ وي، د تودوخی هغه درجه مشخص کړي چی حلقه گرمه شی ترڅو وکولای شي تر سلندر تاو او ځای په ځای شي. هغه فشار چی حلقه په سلندر باندی راوری معلوم کړي، او هم کششي ستیریس په حلقه کی کله چی درجه بیرته $65^{\circ}F$ ته را ټیټه شي معلوم کړي.



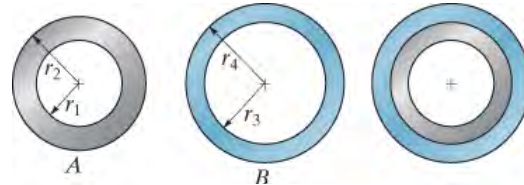
س 8-13

س 8-14 یوه حلقه چی ابعاد یی په لاندی انځور کی بنودل شوي ، په یوه ارتجاعی سلندری پردی تاو شوی چی سلندر د فشار حد ته پمپ شوی . کله چی دا فشار پلی شي د حلقی داخلی شعاع و ټاکي. د حلقی د ایلسټیک ماجولس E ده.



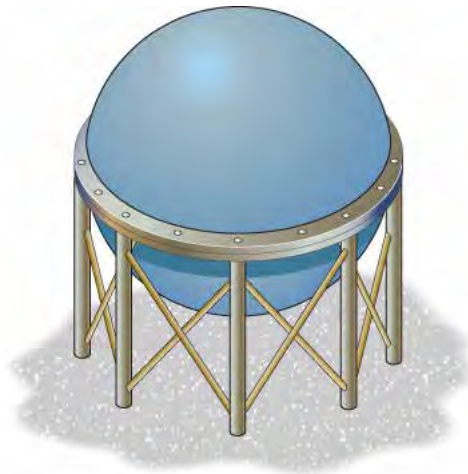
س 8-14

س 8-15. د داخلی حلقي A داخلی شعاع r_1 او بهرنی شعاع یې r_2 دي. د بهرنی حلقي B داخلی شعاع r_3 او بهرنی شعاع یې r_4 دی. $r_2 > r_3$ دي. که چیرې بهرنی حلقي تودوخی درجه لوړه شي او بیا په داخلی حلقي باندې ځای په ځای شي، فشار د دوو حلقو تر منځ کله چې حلقي B د داخلی حلقي تودوخی حد ته ورسیري، و ټاکي. د حلقو د موادو ایلستیستی ماچولس E او د تودوخی د پراخیدو ضریب a دی.



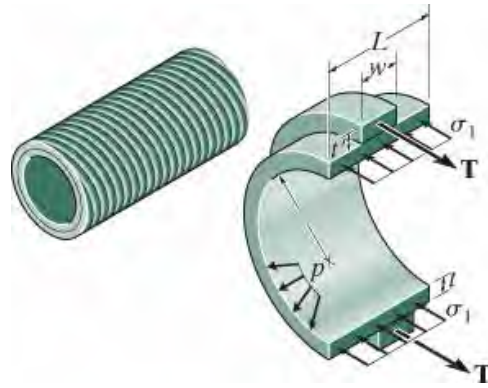
س 8-15

س *8-16. دوی نیم کوری چې داخلی شعاع یې 2 (فټه) او د دیوال پندوالی یې 0.25 انچه دی له یو بل سره یو ځای شوي، او داخلی فشار یې 10 psi- ته ټیټ شوي. که چیرې د اصطحاک فکتور په منځ د دوو کروکی $m = 0.5$ وی معلوم کړي (a) هغه اړین ټورک، T ، تر څو پورتنی نیمه کوره نسبت ټیټی نیم کوری ته تاو کړي. (b) اړینه عمودی قوه تر څو پورتنی نیمه کوره له ټیټی نیمی کوری پورته کړي. (c) اړینه افقي قوه تر څو پورتنی نیمه کوره له ټیټی نیمی کوری و بنویوی.



س 8-16

س 8-17. د فشاری ټانک د مقاومت د پیاوړتیا لپاره، لکه څنګه چې په انځور کې ښودل شوي، د ورته موادو تارونه په محیط د ټانک باندې تاو شوي. که په تارونو کې مخکنی قوه (پریټینشن) T وی، اود ټانک داخلی فشار p وی، حلقوي سټریس په تار او هم د ټانک په ضخامت کې مشخص کړي. هغه آزاد ډایگرام چې په لاندې انځور کې ښودل شوي وکاروی. فرض کړی چې د تار پندوالی t او سور یې w د ټانک اوږدوالي L ته دي.



س 8-17

8.2 ستريس حالت د يوځای شويو بارونو له امله (STATE OF STRESS CAUSED BY COMBINED LOADING)

په تيرو فصلونو کې موږ وښودل چې څنگه په يو غړي چې داخلي محوري قوه، د شپير قوه، يا د کوروالي مؤمنت (bending moment)، او يا د تاو مؤمنت (torsional moment) عمل وکړي، ستريس معلوم کړو. ډير وختونه، د غړي په غوڅه برخه، په يوه وخت کې، د ډيرو بارونو سره مخ وي. کله چې دا پيښ شي، نو د پايلي ستريس معلومولو لپاره بايد د سوپرپوزيشن له طريقي کار واخلو. دا لاندې کرنلاره د دې تحليل لپاره لاره ښيي.



په دې دودکش کې داخلي بارونه، چې د باد او د دودکش خپل وزن له امله منځ ته راځي، عمل کړي.

د تحلیل کرنلاره

PROCEDURE FOR ANALYSIS

دلته دا اړینه ده چې مواد یو شان وي او خطي ایلیستیک ډول چلند ولري. او هم ، د سینټ وینانت (Saint-Venant's principal) اصول ته اړتیا لري چې سټریس په داسې یوه نقطه کې وټاکل شي چې د هر ډول انی تغیر په غوڅه کې او د پلي شوی بار د عمل له ټکی څخه لیرې وي .

داخلي بارول (Internal Loading)

- په هغه نقطه کې چېرته چې سټریس باید وټاکل شي ، غړی عمودی په خپل محور سره قطع کړئ؛ او د مساواتو له معادلو څخه کار واخلي تر څو د داخلي نارمل او شیبیرقواوو اجزاوو پایلی اود تاو او کزیدومؤمنت اجزاوی ترلاسه شي.
- د قوو اجزاوی باید د غوڅی برخی د ثقل مرکز له لارې عمل وکړي، او د مؤمنت اجزاوی باید د مرکز ثقل محورونو باندی محاسبه شي، کوم چې د غوڅی برخی د اصلي انرشیايي محورونو استازیتوب کوي.

د سټریس اجزاوی (Stress Components)

- د هر داخلي بار سره تړلي د سټریس اجزاوی مشخصی کړئ .

نارمل قوه (Normal Force)

- نارمل قوه د ویشلشوی نارمل سټریس ویش سره تړاو لري ، او د $s = N/A$ څخه ټاکل کيږي.

شیبیرقوه (Shear Force)

- د شیبیر قوه د ویشلشوی شیبیر سټریس سره تړاو لري او له دی شیبیر فورمول څخه لاس ته راځي، $t = VQ/It$.

د تحلیل کرنلاره (ادامه)

کرونکی مؤمنت (Bending Moment)

- د مستقیم غرو لپاره کورونکی مؤمنت تراو لري د نارمل سټریس ویش سره ، چې له صفر څخه په صفری محور په خطي ډول توپیر لري تر اعظمي حد پورې د غړي په بهرنی پوله. دا سټریس ویش د کوروالي فورمول (flexure formula) چې هغه عبارت دی په $s = -My/I$ ټاکل کيږي. که غړی منحنی وي، د سټریس ویش غیر خطي دی او له دې فورمول $s = My/[Ae(R-y)]$ څخه ټاکل کيږي.

د تاو مؤمنت (Torsional Moment)

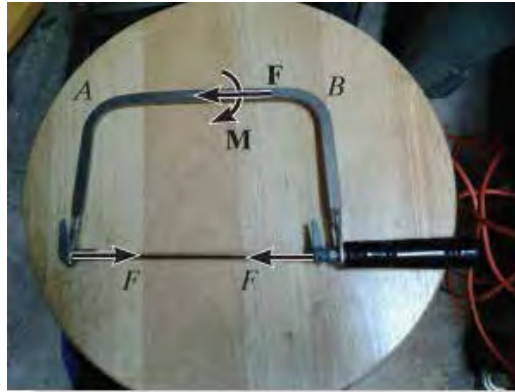
- د گردی شافتونو او تیبونو لپاره د تاو (تورژنل) مؤمنت د شیبیر سټریس ویش سره اړوند دی ، چې په خطي ډول توپیر لري، له صفر په مرکز د شافت څخه تر اعظمي حد پورې د شافت بهرنی سرحد (پوله). د سټریس دا ویش د تورژن له فورمول څخه $t = Tr/J$ ټاکل شوی.

د نری دیوال د فشار ټانکونه (Thin-Walled Pressure Vessels)

- که ټانک له یو نری دیوال لرونکی سلنډر څخه جوړ شوي وي ، داخلي فشار p به په موادو کې د سټریس دوه اړخیز حالت رامینځته کړي چې د حلقوی یا محیطي سټریس برخه یې $s_1 = pr/t$ ، او د اوږدوالي سټریس برخه یې $s_2 = pr/2t$ ده. که چیرې ټانک له یوه نری دیوال کوري جوړ شوی وي ، نو بیا د سټریس دوه اړخیز حالت په دوو مساوي اجزاوو بنودل کيږي، چې هر یو د $s_2 = pr/2t$ اندازه لري.

سوپر پوزیشن (Superposition)

- یوځل چې د نارمل او شیبیر سټریس اجزاوی د هر بار کولو لپاره محاسبه شوي ، د سوپرپوزیشن اصول وکاروئ او د پایلي نارمل او شیبیر سټریس اجزا وټاکئ.
- پایلي د موادو په یوه ټوټه چې په یو نقطه کې موقعیت لري په نښه کړئ، یا پایلي د سټریس ویش د غړي د غوڅی برخې په ساحه وښيي.

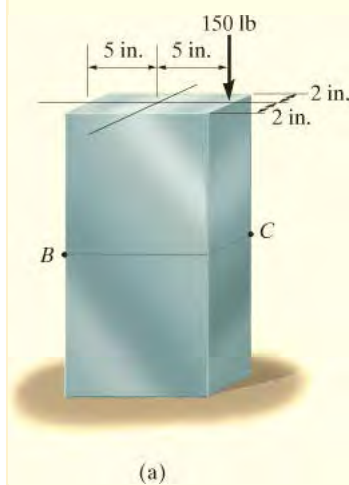


کله چې دمخ کی کش شوی قوه (pretension) F ددی اری په تیغه کې رامینځته کیږي، دا ګډ تیلو هونکی قوه F او کږیدونکی مؤمنت M په برخه AB د چوکاټ کی منځ ته راوړي. له همدې امله مواد باید مقاومت ولري د دواړو لودونو لخوا تولید شوی نارمل سټریس

سوالونه په دې برخه کې، چې ګډ بارونه په کې شامل دي، د پورته ذکر شوي سټریس معادلو پلي کولو اساسي بیاکنته ده. د دې معادلو په اړه بشپړه پوهه چې څنګه پلي کیږي، لکه په تیرو فصلونو کې چې اشاره شوي، اړینه ده. تر څوپه بریالیتوب سره د دې برخې په پای کې سوالونه حل کړئ. لاندې مثالونه مخکې له دې چې د سوالونو د حل لپاره پرمخ ولاړ شي باید په دقت سره مطالعه کړي.

مثالونه

مثال 8.2



یوه قوه 150 lb (پونډ) د غږي په څنډه لکه چې په انځور 8-3a کې بنودل شوی پلي شوي. د غږی وزن له پامه وغورځوي، د سټریس حالت په B او C ټکیو کې مشخص کړي.

انځور 8-3

حل (SOLUTION)**داخلي بارونه (Internal Loadings)**

دا غړی په ټکیو B او C کې غوڅ شوی ، انځور 8-3b .
د توازن لپاره په دې قطع شوی برخه کې باید یوه محوری قوه د 150 lb چې له مرکز ثقل تیریري او کږیدونکی مؤمنت د $750 \text{ lb}\cdot\text{in}$ په اصلی ثقل محور انځور 8-3b ، شتون لري.

د ستیریس اجزای (Stress Components)

نارمل قوه (Normal Force). ویشل شوی نارمل ستیریس ویش د نارمل قوی له امله په انځور 8-3c کې بنودل شوي.
اعظمی ستیریس عبارت دی په:

$$\sigma = \frac{N}{A} = \frac{150 \text{ lb}}{(10 \text{ in.})(4 \text{ in.})} = 3.75 \text{ psi}$$

کږیدونکی مؤمنت (Bending Moment). ویشل شوی نارمل- ستیریس ویش د کږیدونکی مؤمنت له امله په انځور 8-3d کې بنودل شوي. اعظمی ستیریس عبارت دی په

$$\sigma_{\max} = \frac{Mc}{I} = \frac{750 \text{ lb} \cdot \text{in.} (5 \text{ in.})}{\frac{1}{12} (4 \text{ in.}) (10 \text{ in.})^3} = 11.25 \text{ psi}$$

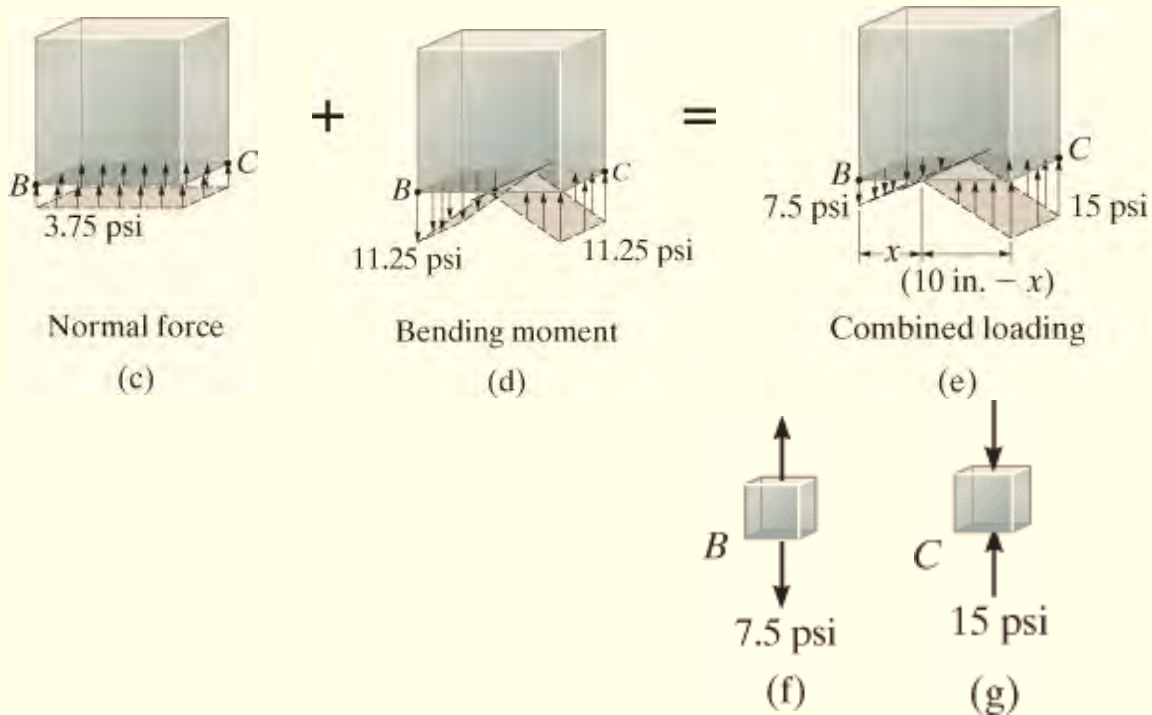
سوپرپوزیشن (Superposition). په ټکیو B او C کې ستیریسونه په الجبري ډول یو ځای کوو.

$$\sigma_B = -\frac{N}{A} + \frac{Mc}{I} = -3.75 \text{ psi} + 11.25 \text{ psi} = 7.5 \text{ psi (tension) } \textit{Ans.}$$

$$\sigma_C = -\frac{N}{A} - \frac{Mc}{I} = -3.75 \text{ psi} - 11.25 \text{ psi} = -15 \text{ psi (compression) } \textit{Ans.}$$

يادونه: په غوڅه برخه د ستريس پايلي وپش په لاندی ډول په انځور 8-3e کی بنودل شوي، کوم چی د صفر ستريس کرښی موقعیت د مثلثونو د تناسب څخه لاس ته راځي، يعني

$$\frac{7.5 \text{ psi}}{x} = \frac{15 \text{ psi}}{(10 \text{ in.} - x)}; \quad x = 3.33 \text{ in.}$$



انځور 8-3 (تکرار)

مثال 8.3

د گازو د ټانک داخلي شعاع 24 in او 0.25 in پندوالی لري. که ددی په سر یو وزن د 1500-lb شتون ولري، او د گاز فشار 2 lb/in^2 وی، د سټریس حالت په ټکی A کی مشخص کړي.

حل (SOLUTION)

داخلي بارونه (Internal Loadings).

د جسم آزاد ډایگرام د ټکی A نه پورته خوا په انځور 8-4b کی بنودل شوي.

د سټریس اجزاي (Stress Components)

محیطی سټریس (Circumferential Stress). ځکه چی $r/t = 24 \text{ in}/0.5 \text{ in} = 48 > 10$

دا ټانگ د نری-دیوال ټانگ په ډله کی راځی. له معادلی 8-1 کار اخلو او داخلي شعاع $r = 24 \text{ in}$ دی، مور لرو

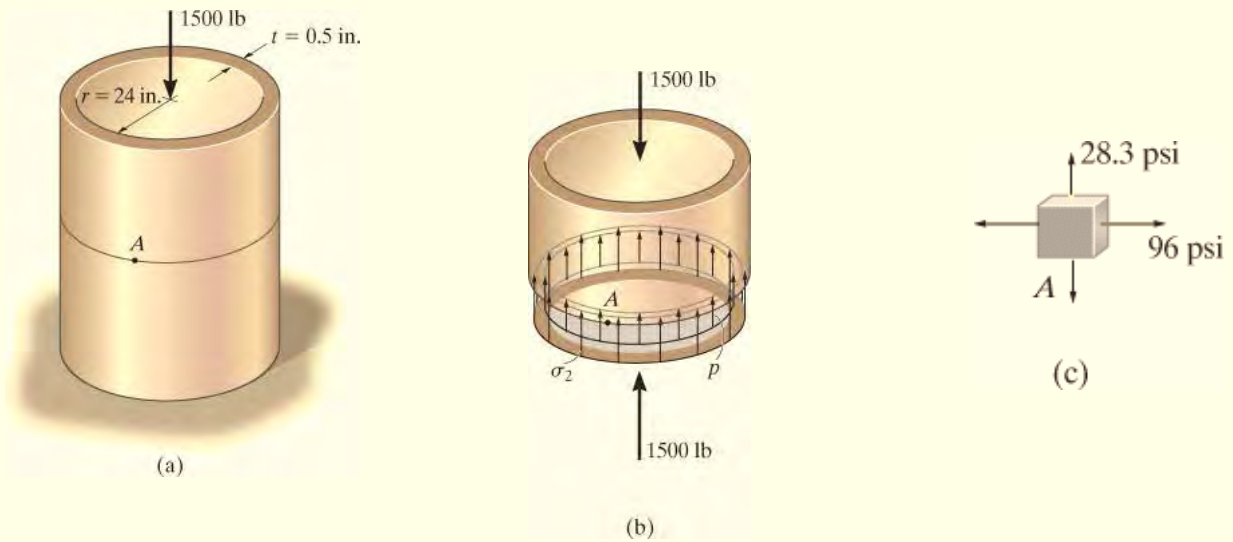
$$\sigma_1 = \frac{pr}{t} = \frac{2 \text{ lb/in}^2 (24 \text{ in.})}{0.5 \text{ in.}} = 96 \text{ psi} \quad \text{Ans.}$$

د اوږدوالی سټریس (Longitudinal Stress). دلته د ټانگ په دیوال په مساوی توگه ویشل شوی بار 1500 lb (تیلوهونکي) او د فشار سټریس (کششی) پلي کړي. په دی توگه مور لرو

$$\sigma_2 = -\frac{N}{A} + \frac{pr}{2t} = -\frac{1500 \text{ lb}}{\pi[(24.5 \text{ in.})^2 - (24 \text{ in.})^2]} + \frac{2 \text{ lb/in}^2 (24 \text{ in.})}{2 (0.5 \text{ in.})}$$

$$= 28.3 \text{ psi} \quad \text{Ans.}$$

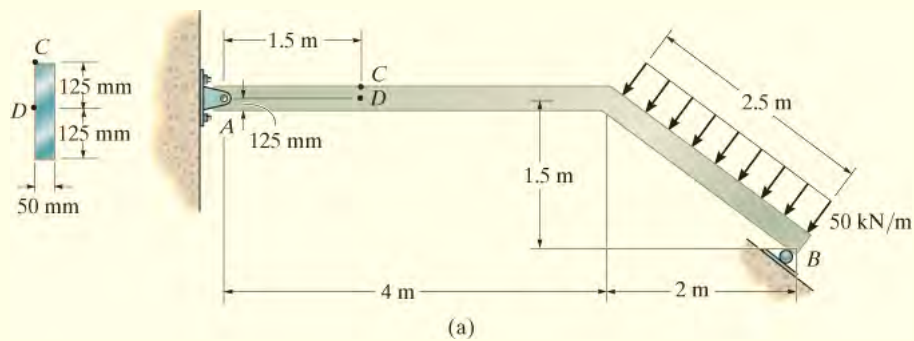
له همدی امله ټکي A له دوه اړخیزه سټریس سره مخ دي، انځور 8-4c .

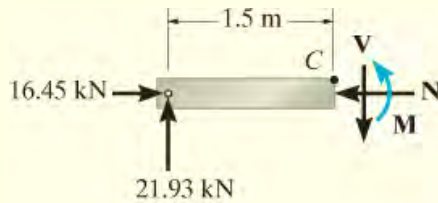
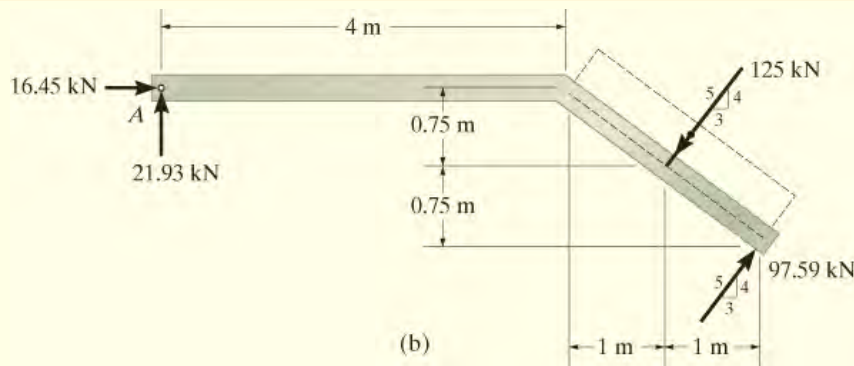


انځور 8-4

مثال 8.4

دا لاندی غړي چی په انځور 8-5a کی بنودل شوي یو مستطیلي غوڅه برخه لري. د سټریس حالت په ټکیو C او D کی د پلي شوی بار له امله وټاکي.





(c)

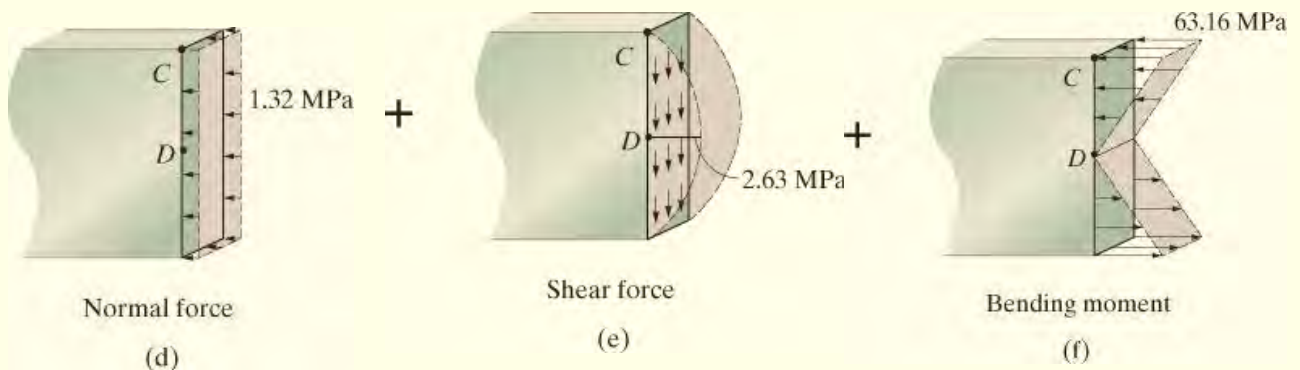
انځور 8-5

حل (SOLUTION)

داخلي بارونه (Internal Loadings).

د اتکا ریکشنونه په غړي باندې ټاکل شوي، انځور 8-5b وویښی. (د ستاتیک بیا کتنې په توګه لرو $SM_A = 0$ چې $F_B = 97.59 \text{ kN}$ وښودل شي.) که چیرې د غړي چپه برخه AC په پام کې ونیسو، انځور 8-5c، بیا محصله د داخلي بارونو په دې برخه کې عبارت دی له یو نارمل قوه، یوه شیبېر قوه او یو کږیدونکي مؤمنت. چې عبارت دی په

$$N = 16.45 \text{ kN} \quad V = 21.93 \text{ kN} \quad M = 32.89 \text{ kN} \cdot \text{m}$$



انځور 8-5 (تکرار)

د ستريس اجزاوي په C کې (Stress Components at C)

نارمل قوه (Normal Force). د ویشل شوی نارمل - ستريس ویش چې په غوڅه برخه پلي شوي د نارمل قوه له امله په انځور 8-5d کې بنودل شوي. په ټکی C کې

$$\sigma_C = \frac{N}{A} = \frac{16.45(10^3) \text{ N}}{(0.050 \text{ m})(0.250 \text{ m})} = 1.32 \text{ MPa}$$

شيير قوه (Shear Force). دلته ساحه $A' = 0$ ، ځکه چې ټکی C په سر د غړي کې موقعيت لري. په دی توگه

$$Q = \bar{y}' A' = 0, \text{ انځور 8-5e. له همدې امله شيير ستريس عبارت دی په}$$

$$\tau_C = 0$$

کريډونکی مؤمنت (Bending Moment). ټکی C موقعيت لري په $y = c = 0.125 \text{ m}$ له صفري محور څخه

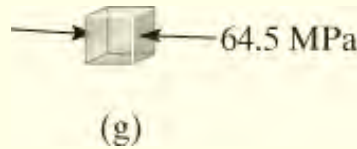
بيا ستريس د کريډونکی مؤمنت له امله په C کې، انځور 8-5f، عبارت دی په

$$\sigma_C = \frac{Mc}{I} = \frac{(32.89(10^3) \text{ N} \cdot \text{m})(0.125 \text{ m})}{\left[\frac{1}{12} (0.050 \text{ m})(0.250 \text{ m})^3\right]} = 63.16 \text{ MPa}$$

سوپرپوزيشن (Superposition). د شيير ستريس جز شتون نه لري. نارمل ستريسونه سره يو ځای کوو او په C کې ټيلوهونکي ستريس حاصليري او هغه عبارت دی په

$$\sigma_C = 1.32 \text{ MPa} + 63.16 \text{ MPa} = 64.5 \text{ MPa} \quad \text{Ans.}$$

پایلي د ستريس په C کې په انځور 8-5g کې بنودل شوي.



د ستريس اجزاي په D کې (Stress Components at D)

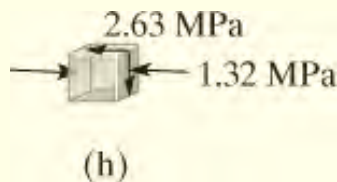
نارمل قوه (Normal Force). دا قوه په D کې ورته د C ده، $s_D = 1.32 \text{ MPa}$ انځور 8-5e.

شيبير قوه (Shear Force). ځکه چې D په صفری محور موقعیت لري، او غوڅه برخه مستطیلي شکل لري، مور کولای شوی چې د شيبير فورمول ځانگړي بڼه و کاروو

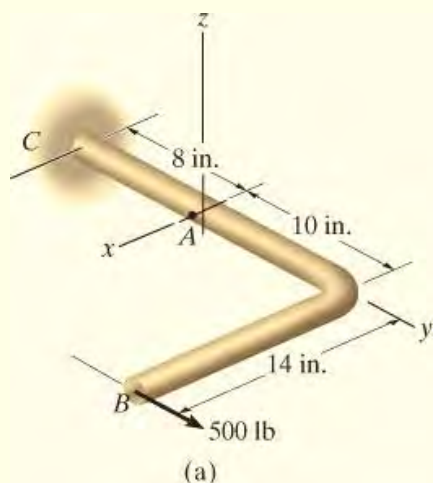
$$\tau_D = 1.5 \frac{V}{A} = 1.5 \frac{21.93(10^3) \text{ N}}{(0.25 \text{ m})(0.05 \text{ m})} = 2.63 \text{ MPa} \quad \text{Ans.}$$

کريډونکی مؤمنت (Bending Moment). دلته ټکی D په صفری محور موقعیت لري، نو بيا $s_D = 0$.

سوپرپوزیشن (Superposition). پایلی محصله ستريس په عنصر باندی په انځور 8-5h کې بنودل شوي.



مثال 8.5



يو جامد راډ چي په انځور 8-7a كې بنودل شوي شعاع يي 0.75 in ده. كه چيري يوه قوه 500 lb ورباندي پلي شي د ستريس حالت په تكي A كې معلوم كړي.

حل (SOLUTION)

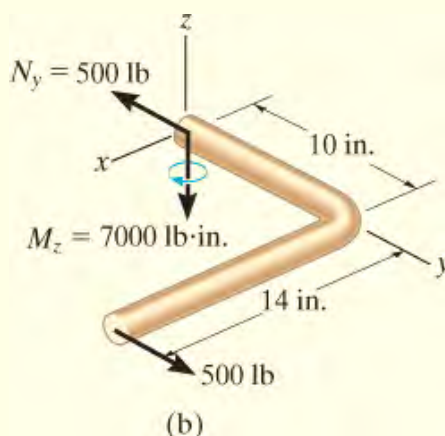
داخلي بارونه (Internal Loadings).

په تكي A كې راډ قطع كوو. د برخي AB آزاد ډايگرام چي په انځور 8-6b كې بنودل شوي، د داخلي بارونو محصله د توازن له معادلو په انځور 8-6 كارولو پيدا كوو

$$\sum F_y = 0; \quad 500 \text{ lb} - N_y = 0; \quad N_y = 500 \text{ lb}$$

$$\sum M_z = 0; \quad 500 \text{ lb}(14 \text{ in.}) - M_z = 0; \quad M_z = 7000 \text{ lb} \cdot \text{in.}$$

د دي له پاره چي د ستريس ویش ددی بارونو له امله بنه "ولیدل" شي، مور کولی شو مساوي مگر مخالف پایلي چي په دی برخه AC عمل کوي په پام کي ونیسو ، انځور 8-6c و وینی.



انځور 8-6 (تکرار)

د ستريس اجزاي (Stress Components)

د نارمل قوه (Normal Force). د نارمل ستريس ویش په انځور 8-6d کی بنودل شوي. په ټکي A کی مور لرو

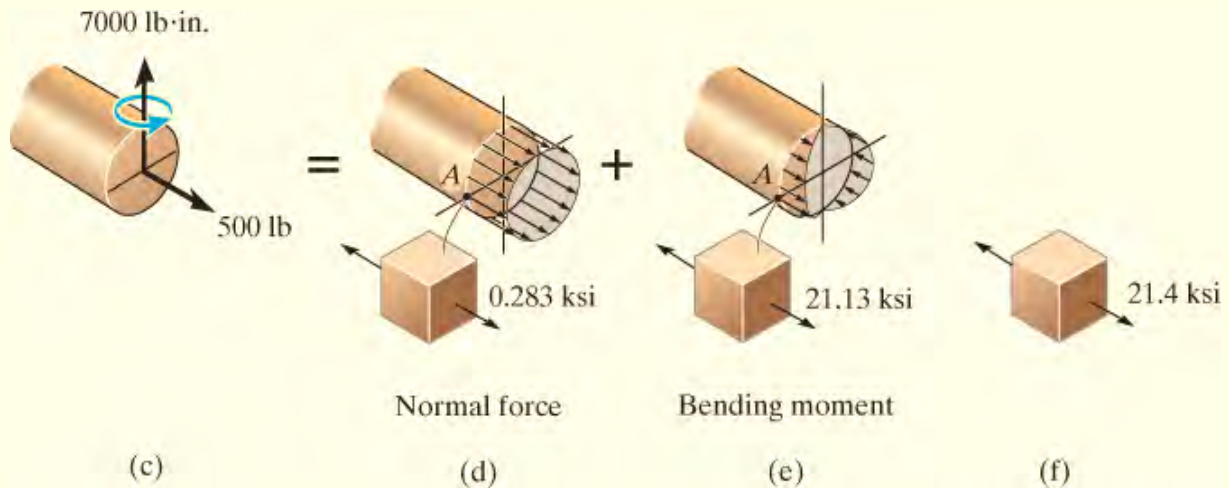
$$(\sigma_A)_y = \frac{N}{A} = \frac{500 \text{ lb}}{\pi(0.75 \text{ in.})^2} = 283 \text{ psi} = 0.283 \text{ ksi}$$

کريډونکی مؤمنت (Bending Moment). د مؤمنت لپاره $c = 0.75 \text{ in}$ بيا کريډونکی ستريس په ټکي A کی ، انځور 8-6e عبارت دی په

$$\begin{aligned} (\sigma_A)_y &= \frac{Mc}{I} = \frac{7000 \text{ lb} \cdot \text{in.}(0.75 \text{ in.})}{\left[\frac{1}{4}\pi(0.75 \text{ in.})^4\right]} \\ &= 21126 \text{ psi} = 21.13 \text{ ksi} \end{aligned}$$

سوپرپوزيشن (Superposition). کله چی پورتي پایلی يو بل سره يو ځاي کرو، مور په ټاکي A کی ، انځور 8-6f ، کی دا لاندی نارمل ستريس لرو

$$(\sigma_A)_y = 0.283 \text{ ksi} + 21.13 \text{ ksi} = 21.4 \text{ ksi} \quad \text{Ans.}$$



انځور 8-6 (تکرار)

مثال 8.6

یو جامد راډ چی په انځور 8-7a کی بنودل شوي شعاع یې 0.75 in دي. که چیری یوه قوه 800 lb ورباندی پلی شي د ستریس حالت په ټکی A کی معلوم کړي.

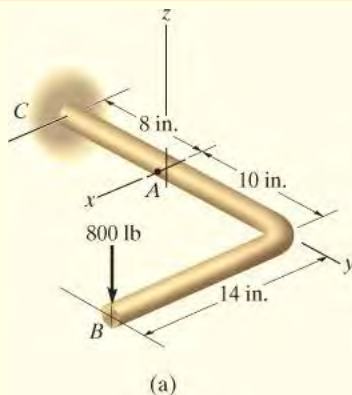
حل (SOLUTION)

داخلي بارونه (Internal Loadings). په ټکی A کی راډ قطع کوو. د برخې AB آزاد ډایگرام چی په انځور 8-7b کی بنودل شوي، د داخلي بارونو محصله د توازن له معادلو په کارولو پیدا کوو. د دی پایلو تصدیق کولو لپاره مؤمنت په پام کی نیسو. مساوي مگر مخالف پایلي په برخه AC عمل کوي بنودل شوي، انځور 8-7c و وینی.

$$\sum F_z = 0; \quad \bar{V}_z - 800 \text{ lb} = 0; \quad \bar{V}_z = 800 \text{ lb}$$

$$\sum M_x = 0; \quad M_x - 800 \text{ lb}(10 \text{ in.}) = 0; \quad M_x = 8000 \text{ lb} \cdot \text{in.}$$

$$\sum M_y = 0; \quad -M_y + 800 \text{ lb}(14 \text{ in.}) = 0; \quad M_y = 11\,200 \text{ lb} \cdot \text{in.}$$



انځور 8-7 (تکرار)

د ستیریس اجزای (Stress Components)

شیر قوه (Shear Force). شیر ستیریس ویش په انځور 8-7d کی بنودل شوي. په ټکي A کی د Q ارزښت له

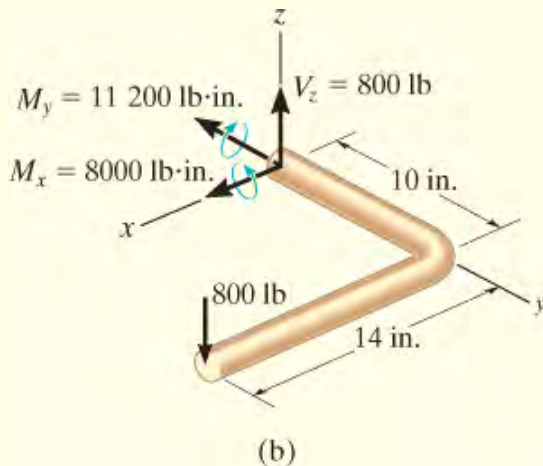
خړ سیوري لرونکی نیمگردی ساحه. کله هغه جدول چی ددی کتاب په اول پوښ د ننه شتون لری کار واخلو مور لیکلی شو

$$Q = \bar{y}' A' = \frac{4(0.75 \text{ in.})}{3\pi} \left[\frac{1}{2} \pi (0.75 \text{ in.})^2 \right] = 0.28125 \text{ in}^3$$

نو داسي

$$(\tau_{yz})_A = \frac{VQ}{It} = \frac{800 \text{ lb}(0.28125 \text{ in}^3)}{\left[\frac{1}{4} \pi (0.75 \text{ in.})^4 \right] 2(0.75 \text{ in.})}$$

$$= 604 \text{ psi} = 0.604 \text{ ksi}$$



(b)

انځور 8-7 (تکرار)

کریدونکی مؤمنت (Bending Moment). له دی سببه چی تکی A په صفری محور پروت دی ، انځور 8-7e ، کریدونکی ستریس عبارت دی

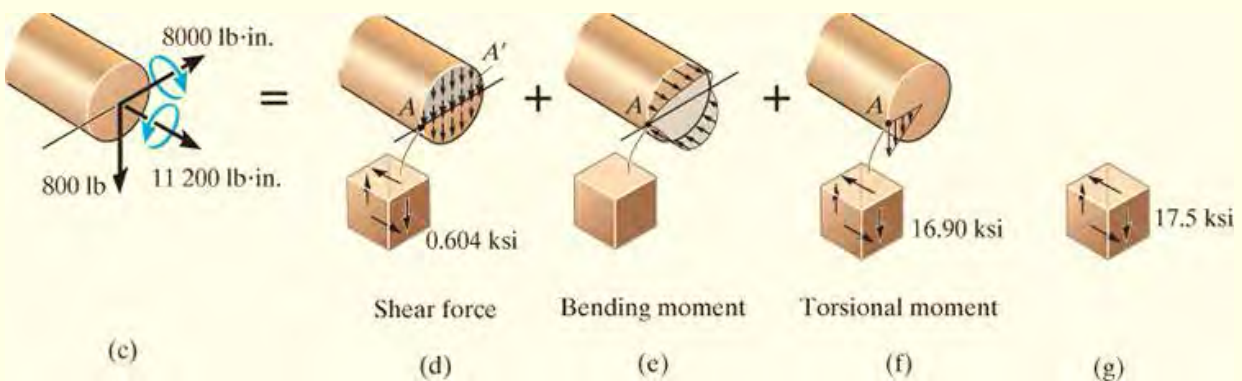
$$\sigma_A = 0$$

تورک (Torque). په تکی A کی $r_A = c = 0.75\text{in}$ انځور 8-7f . په دی توگه د شپیر ستریس دی

$$(\tau_{yz})_A = \frac{Tc}{J} = \frac{11\,200\text{ lb}\cdot\text{in.}(0.75\text{ in.})}{\left[\frac{1}{2}\pi(0.75\text{ in.})^4\right]} = 16\,901\text{ psi} = 16.90\text{ ksi}$$

سوپرپوزیشن (Superposition). دلته په تکی A د موادو عنصر باندي یوازي د شپیر ستریس جز عمل کری، انځور 8-7g ، کوم چی

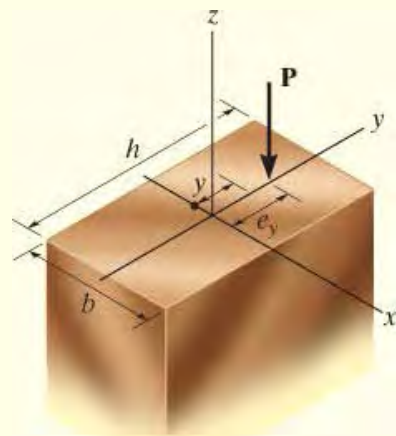
$$(\tau_{yz})_A = 0.604\text{ ksi} + 16.90\text{ ksi} = 17.5\text{ ksi} \quad \text{Ans.}$$



انځور 8-7 (تکرار)

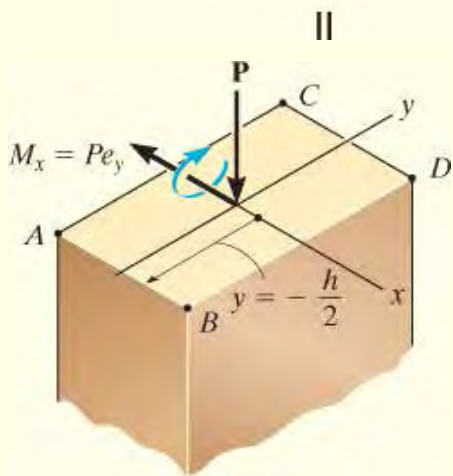
مثال 8.7

په مستطیلی بلاک باندی یو عمودی قوه P ، انځور 8-8a ، پلي شوي. ددی بلاک وزن د پام وړ نه دي. (a) د e_y (eccentricity) د ارزښتونو ساحه له مرکز ثقل څخه د قوی دپاره د y دمحور په اوږدوکی په داسی ډول معلومه کړی تر څو دا قوه کششي ستریس په بلاک کی جوړ نه کړي. (b) په غوڅه برخه کې هغه سیمه مشخص کړی چیرې چې P پلي کیدی شي پرته له دې چې د کششي ستریس لامل شي .



(a)

حل (SOLUTION)



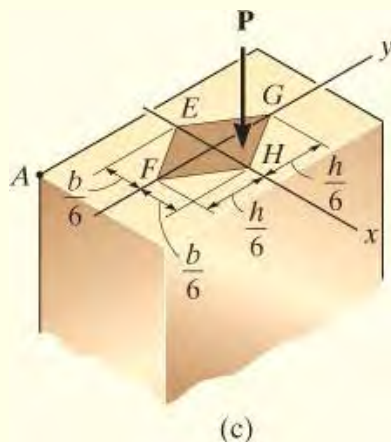
(b)

برخه (a). کله چې قوه P د مرکز ثقل د غوڅی برخې ته ولیردول شي، انځور 8-8b ، د ستاتیکی بارونو د تعادل ساتلو لپاره دا اړینه ده چې یو مؤمنت $M_x = Pe_y$ اضافه کړی . گډ نارمل ستریسونه په موقعیت y د هر محور د غوڅی برخې د دې دوو بارونو له امله عبارت دی په:

انځور 8-8

$$\sigma = -\frac{P}{A} - \frac{(Pe_y)y}{I_x} = -\frac{P}{A} \left(1 + \frac{Ae_y y}{I_x} \right)$$

دلته منفي نښه د تیلوهونکي سټریس څرگندوي. د مثبت e_y لپاره، انځور 8-8a ، تر ټولو کوچنی تیلوهونکی سټریس به د AB په څنډه کې واقع شي، چیرته چې $y = -h/2$ ، انځور 8-8b . (د کتنې له مخې، P هلته د تیلوهولو لامل کیږي، مگر M_x د کشش لامل کیږي). نو:



$$\sigma_{\min} = -\frac{P}{A} \left(1 - \frac{Ae_y h}{2I_x} \right)$$

دا سټریس به منفي پاتې شي، د بیلگې په توګه، تیلوهونکی ، په دې پورتنۍ قوس کې مثبت دی؛ یعنی

انځور 8-8 (تکرار)

$$1 > \frac{Ae_y h}{2I_x}$$

ځکه چې $A = bh$ او $I = (1/12)bh^3$ ، نو بیا

$$1 > \frac{6e_y}{h} \quad \text{or} \quad e_y < \frac{1}{6} h$$

Ans.

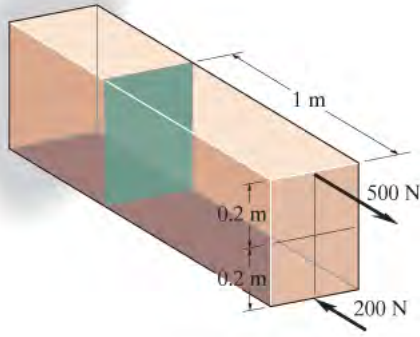
په بل عبارت که چیرې $-1/6h \leq e_y \leq 1/6h$ وی سټریس په څنډه AB یا CD به صفر وی او یا به تیلوهونکي پاتې شي.

یادونه: دا ځینې وختونه د “**د منځنی دریمې قاعده**” په نوم یادېږي. دا ډیره مهمه ده چې دا قاعده په ذهن کې وساتئ کله چې د کالمونو بارول یا آرچونو (قوسونو) چې د مستطیل غوڅه برخه لري او د موادو لکه ډبره یا کانکریت، څخه جوړ شوي، کوم چې کولی نه شي لږ یا هیڅ کششی سټریس تحمل کړي. موږ کولی شو په ورته ډول تحلیل وځوو او قوه P په اوږدو د محور x کېږدو، لکه په انځور 8-8b کې. د پایله به یو سیوري شوي متوازی الاضلاع جوړ کړي، انځور 8-8c کې بنودل شوي. دا سیمه دهستی برخه یا کرن (**kern**) بلل کیږي. کله چې P د کرن دننه پلي شي ، د غوڅې برخې په کونجونو کې به نارمل سټریس تل تیلوهونکي وي.

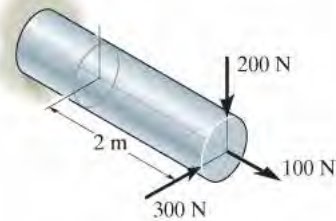
لمرئی سوالونه

PRELIMINARY PROBLEMS

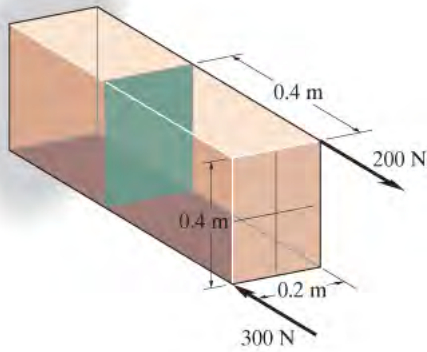
ل 8-1. په دی لاندی حالتونو کی داخلی بارونه په بنودل شوی برخه کی وتاکی. پایلی په چپه برخه کی وښی.



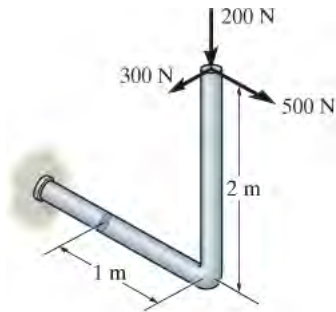
(a)



(b)

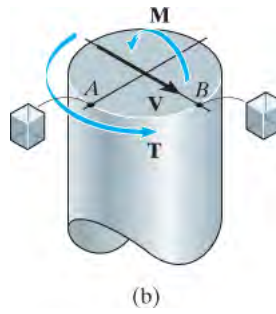
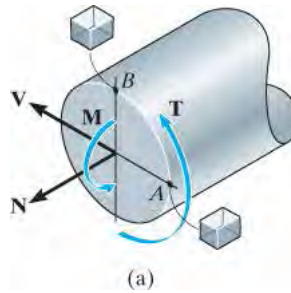


(c)



(d)

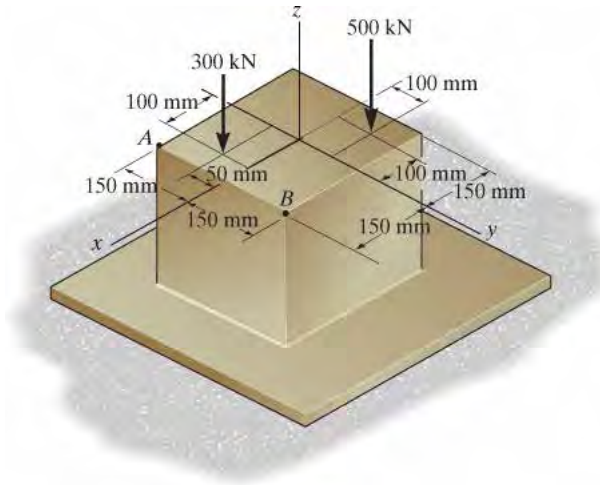
ل 8-2. داخلی بارونه په دا لاندی برخو وټاکي. او هم سټریسونه چی دا بارونه یی جوړه وی په وړو توتو چی په ټکیو A او B کی موقعیت لری وښیی.



بنسټيز سوالونه

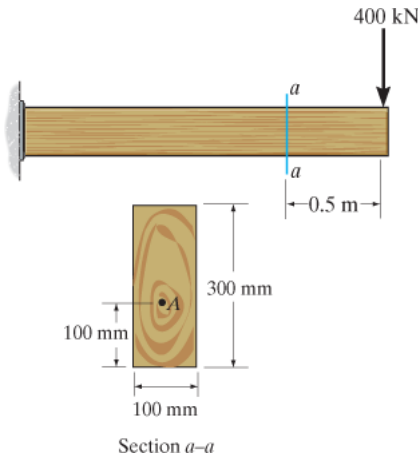
FUNDAMENTAL PROBLEMS

ب 8-1. نارمل سټريس په A او B کنجونو د لاندی بنودل شوی سنتي معلوم کړي.



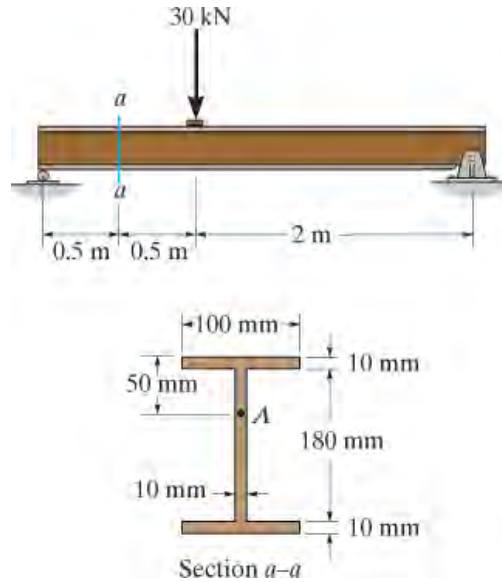
ب 8-1

ب 8-1. دا لاندی کنټیلیور بیم په سطحه $a-a$ قطع شوي او دلته د غوڅی برخی په ټکی A کی د سټريس حالت معلوم کړي. او د سټريس حالت په یوه وړه ټوټه دلته وښیي.



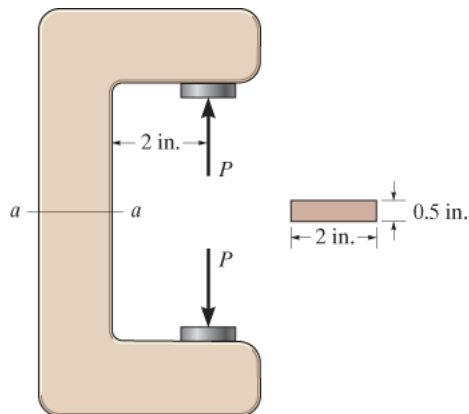
ب 8-2

ب 8-3. دا لاندی بیم په سطحه a-a کی قطع شوي او دلته د غوڅی برخی په ټکی A کی د ستریس حالت معلوم کړي. او د ستریس حالت په یوه وړه ټوټه دلته وښیي.



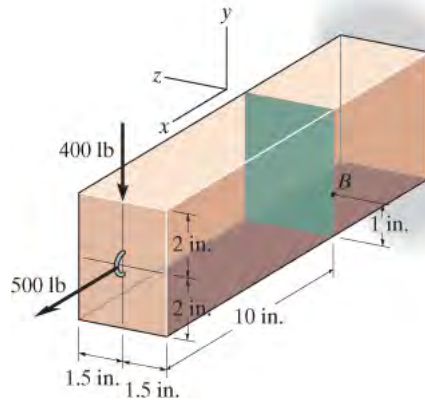
ب 8-3

ب 8-4. د بار P مقدار داسی معلوم کړي تر څو اعظمی نارمل ستریس $s_{\max} = 30 \text{ ksi}$ په برخه a-a کی جوړ کړي.



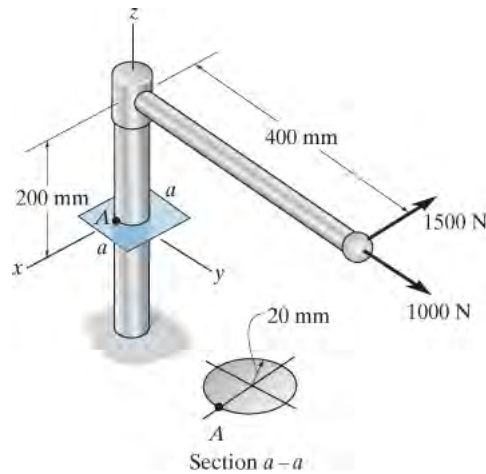
ب 8-4

ب 8-5. دالاندی بنودل شوی بیم مستطیلی غوڅه برخه لري او بنودل شوی بار ورباندی پلي شوي. د ستریس حالت په تکی B کی معلوم کړي. او د ستریس حالت په یوه وړه توتنه دلته وښایي.



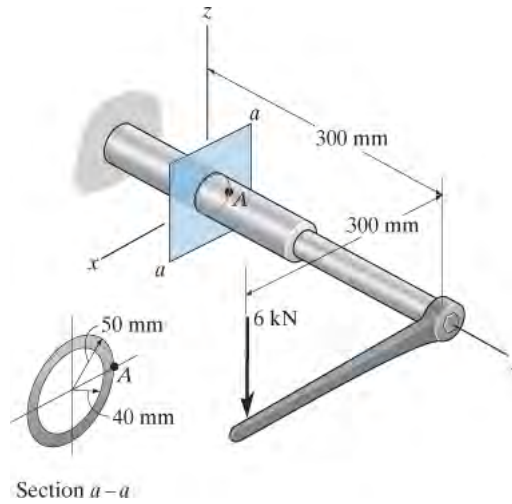
ب 8-5

ب 8-6. دا لاندی پایپ اسمبلی په سطحه $a-a$ کی قطع شوي ، د غوڅی برخي په تکی A کی د ستریس حالت وټاکي. او د ستریس حالت دلته په یوه وړه توتنه دلته وښایي.



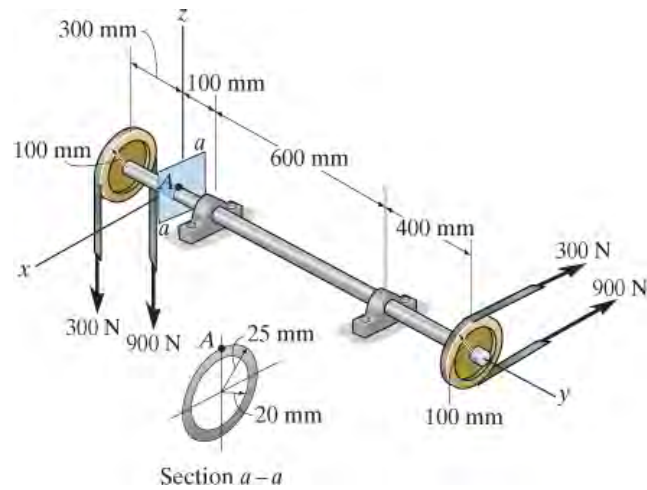
ب 8-6

ب 8-7. دا لاندی پایپ اسمبلی په سطحه $a-a$ کی قطعہ شوي ، د غوڅی برخی په په ټکی A کی د ستریس حالت وټاکي. او د ستریس حالت دلته په یوه وړه ټوټه وښیي.



ب 8-7

ب 8-8. دا لاندی شافت په سطحه $a-a$ کی قطعہ شوي ، د غوڅی برخی په ټکی A کی د ستریس حالت وټاکي. او د ستریس حالت دلته په یوه وړه ټوټه وښیي.

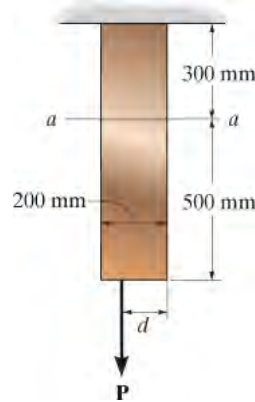


ب 8-8

سوالونه

PROBLEMS

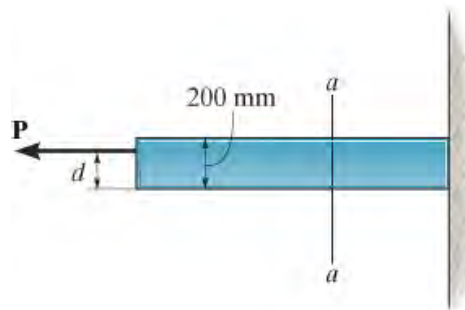
س 8-18. د تختی تر څنډې پورې لنډه فاصله d مشخص کړئ، په کوم ځای کې چې قوه P کیدي شي داسې پلي شي چې دا قوه په $a-a$ برخه کې په تخته کې کوم تیلو هونکي ستریس رامینځته نکړي. تخته 10 mm (ملي متره) پنډوالی لری او P د دې پنډوالی په منځنی کرښه عمل کوی.



س 8-18

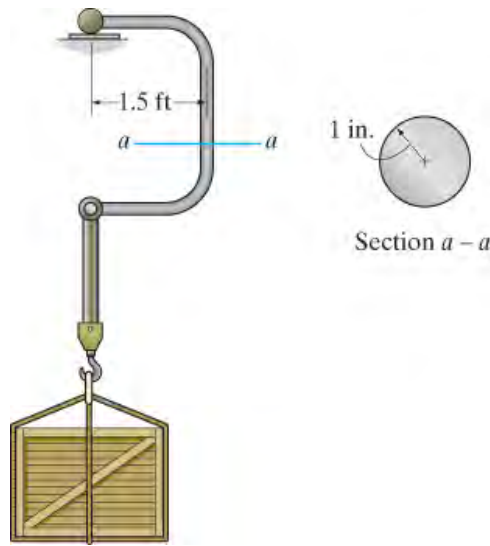
س 8-19. د تختي تر څنډې پورې لنډه فاصله d مشخص کړئ، په کوم ځای کې چې قوه P کیدي شي داسې پلي شي چې دا قوه د تختی په $a-a$ برخه کې کوم تیلو هونکي ستریس رامینځته نکړي. تخته 10 mm (ملي متره) پنډوالی لری او P د دې پنډوالی په منځنی کرښه عمل کوی.

س *8-20. دا لاندی تخته 20 mm پنډوالی لری او یوه قوه $P = 3\text{ kN}$ د دې پنډوالی په منځنی کرښه عمل کړي. چې $d = 150\text{ mm}$ دی. د نارمل ستریس ویش په برخه $a-a$ باندی پلات کړي.



س 8-19/20

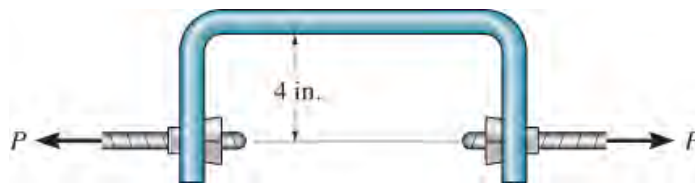
س 8-21. که چیری د بار وزن 600 lb (پونډه) وی اعظمی نارمل ستریس په غوڅه برخه د لاندی بنودل شوی غړي په برخه $a-a$ کی مشخص کړی. او هم نارمل ستریس په دی غوڅه برخه پلات کړي.



س 8-21

س 8-22. دا لاندی فولادی برکیټ (bracket) د کیبل دوه څنډی سره نښلوي. که چیری د منلو وړ نارمل ستریس د فولادو $s_{allow} = 30 \text{ ksi}$ وی، تر ټولو لوی کششي قوه P چی کیدی شي په کیلونو پلي شي مشخص کړي. فرض کړی چی برکیټ له یوه راډه جوړ شوی چی قطر 1.5 in لري.

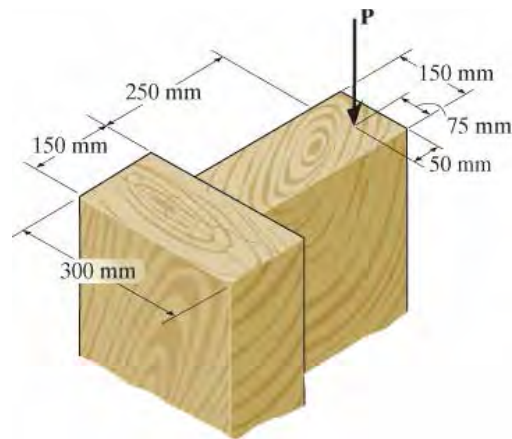
س 8-23. دا لاندی فولادی برکیټ (bracket) د کیبل دوه څنډی سره نښلوي. که چیری یوه قوه $P = 1.50 \text{ kip}$ پلي شي، اعظمی نارمل ستریس په برکیټ کی وټاکي. فرض کړی چی برکیټ له یوه راډه جوړ شوی چی قطر لري 1.5 in.



س 8-22/23

س 8-24* دا لاندی پایه له دو تختو چی یو بل سره سریش شوي جور شوي ده. کله یوه قوه $P = 50 \text{ kN}$ چی له مرکز وتلي موقعیت (eccentricity) لري په دی پایه پلی شي، اعظمی نارمل ستریس په غوڅه برخه ددی پایي کی و ټاکي.

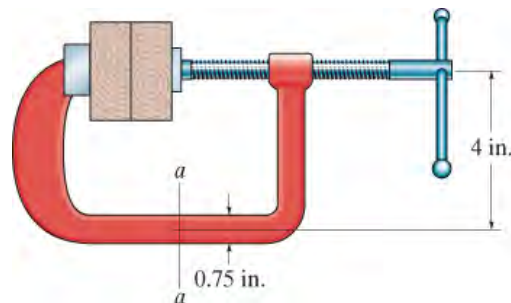
س 8-25 دا لاندی پایه له دو تختو چی یو بل سره سریش شوي جور شوي ده. که چیری د لرگی د منلو وړ نارمل ستریس $s_{\text{allow}} = 6 \text{ MPa}$ وی، اعظمی د منلو وړ له مرکز وتلي قوه P چی کیدی شي په دی پایه پلی شي و ټاکي.



س 8-24/25

س 8-26 د کلمپ (clamp) پیچ یوه تیلوهونکي قوه 500 lb د لرگیو په بلاک پلی کوي. اعظمی نارمل ستریس په برخه a-a د کلمپ کی و ټاکي. غوڅه برخه مستطیلی دی او ابعاد یی 0.75 in په 0.50 in دي.

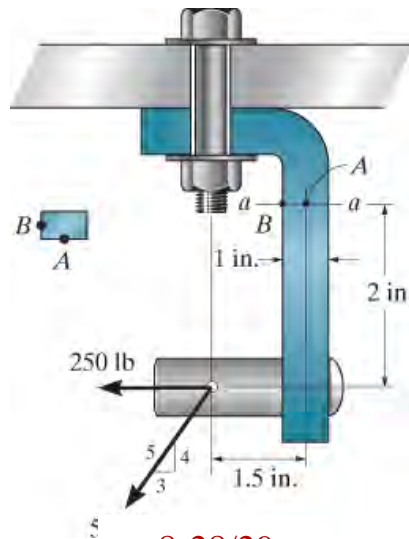
س 8-27 د کلمپ (clamp) پیچ یوه تیلوهونکي قوه 500 lb د لرگیو په بلاک پلی کوي. د ستریس ویش په برخه a-a د کلمپ کی پلات کړي. غوڅه برخه مستطیلی دی او ابعاد یی 0.75 in په 0.50 in دي.



س 8-25/26

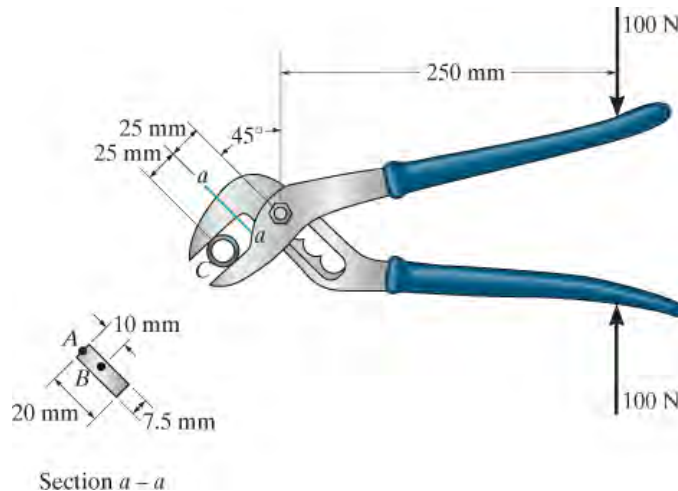
س 8-28* په بند ونکی (joint) د قواوو یو سیستم چی بنودل شوی عمل کړي. د ستریس ویش په برخه a-a د غړي پلات کړي. د غړي غوڅه برخه مستطیلی ده چی سور یی 0.5 in او پنډوالی یی 1.0 in دي.

س 8-29 په بند ونکی (joint) د قواوو یو سیستم چی بنودل شوی عمل کړي. د ستریس حالت په A او B ټکیوکی معلوم کړي ، او بیا پایلی په یوه وړه ټوټه په دی ټکیو کی سکچ کړي. غړي مستطیلی غوڅه برخه لري چی سور یی 0.5 in او پنډوالی یی 1.0 in دي.



س 8-28/29

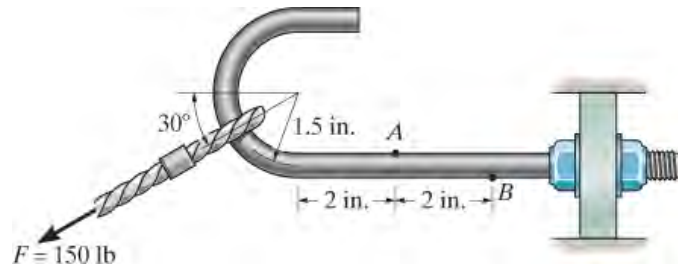
س 8-30 لاندی بناخدار بندوونکی پلاس (pliers) د یوه اوار پایپ نیولو لپاره کارول کيږي. که چیری یوه قوه د 100 N په لاس نیوکو پری پلی شي په A او B ټکیو د غوڅی برخي د بناخو په برخه a-a کی د ستریس حالت معلوم کړي . پایلی په هر ټکی کی په یوه ټوټه سره وښیي.



س 8-30

س 8-31. د یوه بولت چې $1/2$ in قطر لري په چنگک یې یو بار $F = 150$ lb پلي شوي. د ستریس اجزا په تکی A د پندی (shank) وټاکي. پایلی په یوه حجمی ټوټه په دی خای کی وښی.

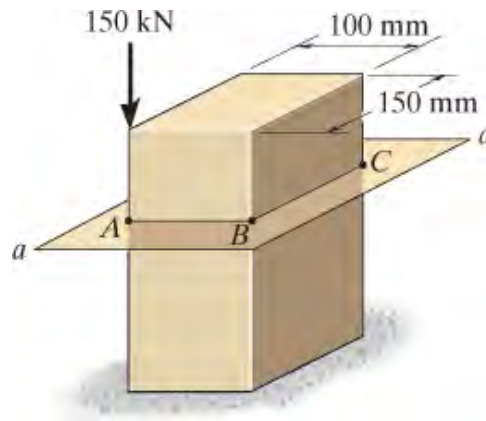
س 8-32*. د یوه بولت چې $1/2$ in قطر لري په چنگک یې یو بار $F = 150$ lb پلي شوي. د ستریس اجزا په تکی B د پندی (shank) وټاکي. پایلی په یوه حجمی ټوټه په دی خای کی وښی.



س 8-31/32

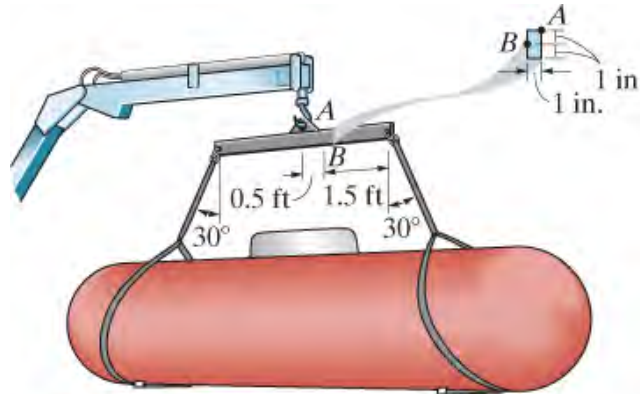
س 8-33. په د لاندی بلاک باندی یو نا متمرکز (eccentric) بار پلي شوي. په تکیو A او B کی جوړ شوی نارمل ستریس وټاکي. د بلاک وزن د محاسبی وړ ندي.

س 8-34. په د لاندی بلاک باندی یو نا متمرکز (eccentric) بار پلي شوي. په برخه $a-a$ کی د نارمل ستریس ویش په غوڅه برخه سکچ کړي. د بلاک وزن د محاسبی وړ ندي.



س 8-33/34

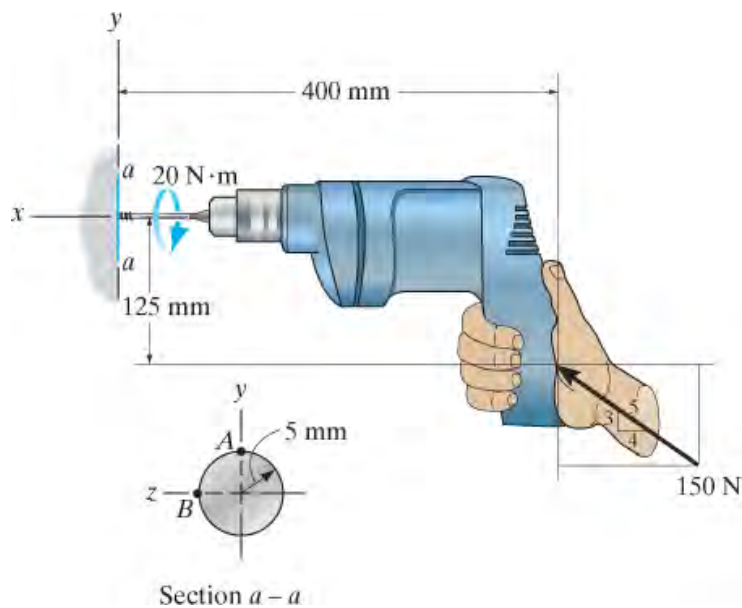
س 8-35. د یوه وینونکي څخه د یوه ټانک د پورته کولو د پاره چې 2000 lb وزن لری کار اخیستل شوي. د سټریس حالت په A او B ټکیو کی مشخص کړي او پایلی په یوه حجمی ټوټه و بنیلي.



س 8-35

س 8-36*. دا لاندی برمه په دیوال کی جام شوي، او یو تورک او بنودل شوي قوه ورباندی عمل کوي. د سټریس حالت په ټکی A د برمی تاویدونکي (bit) په هغه برخه کی چی په سطحه $a-a$ غوڅه شوي معلوم کړي.

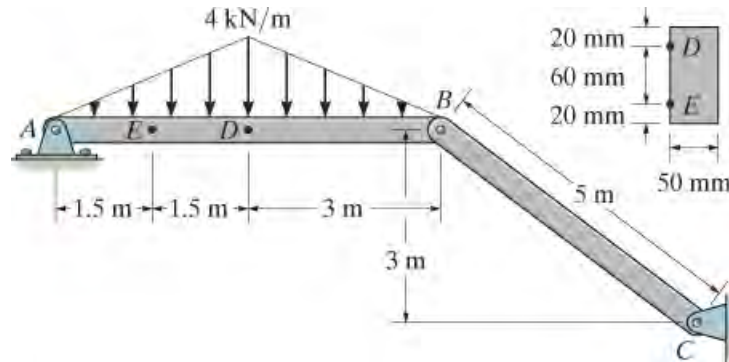
س 8-37. دا لاندی برمه په دیوال کی جام شوي، او یو تورک او بنودل شوي قوه ورباندی عمل کوي. د سټریس حالت په ټکی B د برمی تاویدونکي (bit) په هغه برخه کی چی په سطحه $a-a$ غوڅه شوي معلوم کړي.



س 8-36/37

س 8-38. په دی لاندی چوکاټ یو ویشل شوی بار پلی شوي. د سټریس حالت په ټکی D کی معلوم کړي. پایلی په دی ټکی کی په یوه کوچنی ټوټه وښی.

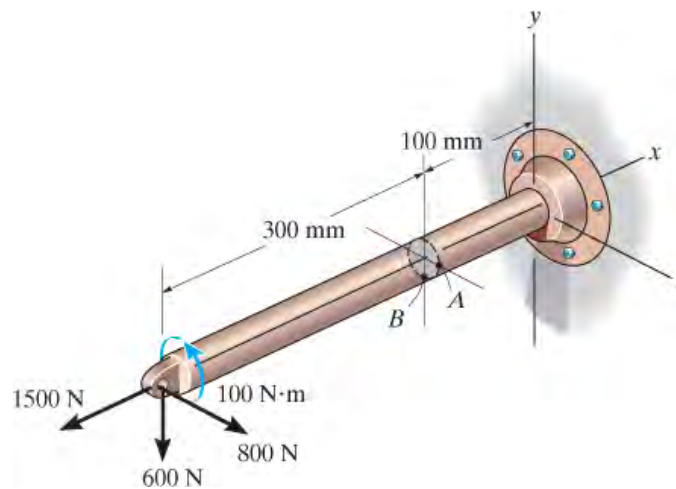
س 8-39. په دی لاندی چوکاټ یو ویشل شوی بار پلی شوي. د سټریس حالت په ټکی E کی معلوم کړي. پایلی په دی ټکی کی په یوه کوچنی ټوټه وښی.



س 8-38/39

س 8-40* د لاندی راډ قطر 40 mm دي. که چیری په انځور کی بنودل شوي د قوو سیستم ورباندی پلی شي د سټریس حالت په ټکی A کی وټاکی، او پایلی په یوه حجمی ټوټه په دی ټکی کی وښی.

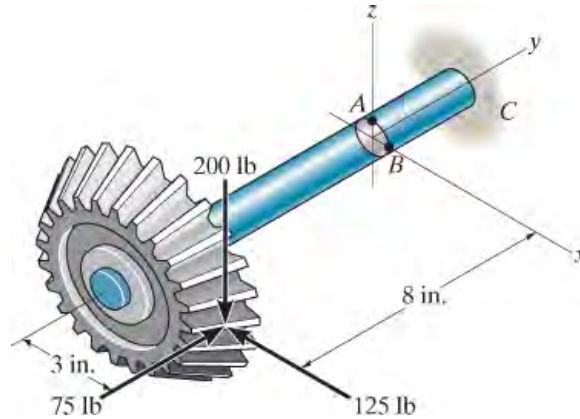
س 8-41. سوال 8-40 د ټکی B لپاره حل کړي.



س 8-40/41

س 8-42. په دی لاندی بیول (beveled) گیر بنودل شویو بارونو عمل کړي. د ستیریس اجزای په ټکی A ددی شافت کی وټاکي، او پایلی په یوه حجمی ټوټه په دی ټکی کی و بنیي. ددی شافت قطر 1 in دی، او په دیوال C کی کلک تړل شوي.

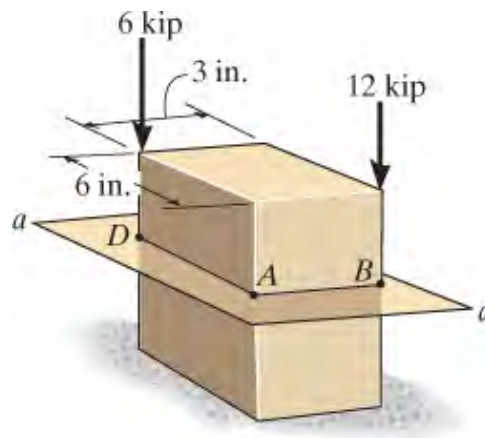
س 8-43. په دی لاندی بیول (beveled) گیر بنودل شویو بارونو عمل کړي. د ستیریس اجزای په ټکی B ددی شافت کی وټاکي، او پایلی په یوه حجمی ټوټه په دی ټکی کی و بنیي. ددی شافت قطر 1 in دی، او په دیوال C کی کلک تړل شوي.



س 8-42/43

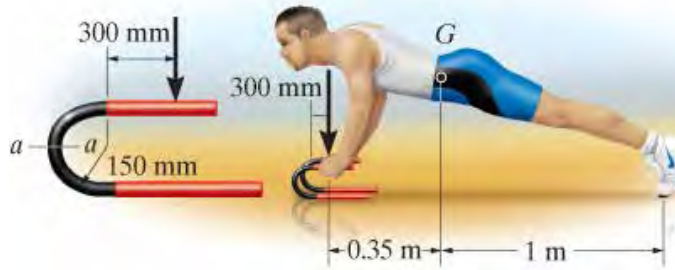
س 8-44*. نارمل ستیریس په ټکیو A او B کی وټاکیر د بلاک وزن د محاسبی وړ نه دي.

س 8-45. د نارمل ستیریس ویش په غوڅه برخه ددی لاندی بلاک، په هغه ځای چی په سطحه $a-a$ غوڅه شوي وټاکي. د بلاک وزن د محاسبی وړ نه دي.



س 8-44/45

س 8-46. یوسری 100 کیلو گرامه وزن لري او ثقل مرکزي په G کی دی. که هغه خپل ځان په بنودل شوي حالت کې وساتي، نو مشخص کړئ اعظمي کششي ستریس چی د کاره بار په برخه $a-a$ کې رامینځته شوی. هغه د دوو بارونو لخوا په مساوي توگه ملاتړ کيږي، هر یو یې 25 ملي میتر قطر لري. فرض کړئ فرش اواردی. د کاره بیم فورمول څخه د محاسبې لپاره کار واخلي تر څو کربدونکي ستریس وټاکي.

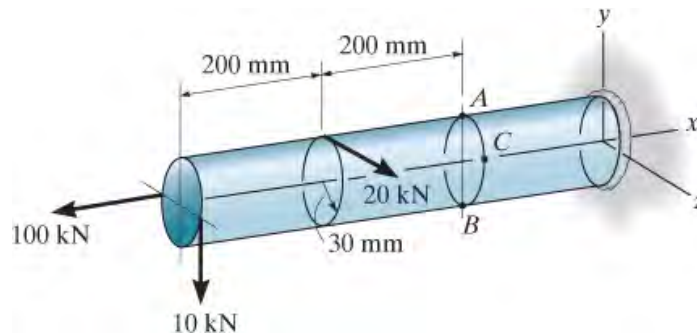


س 8-46

س 8-47. په جامد راډ بنودل شوی بار عمل کړي. د ستریس حالت په ټکی A کې وټاکي، او پایلی په یوه حجمی ټوټه په دی ټکی کې و بنیي.

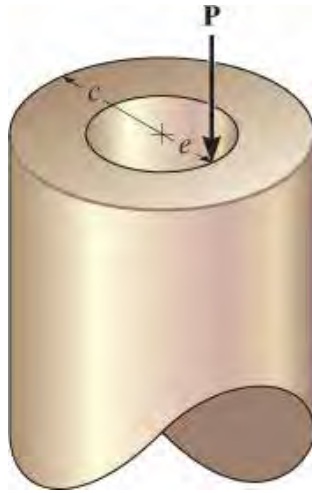
س 8-48. په جامد راډ بنودل شوی بار عمل کړي. د ستریس حالت په ټکی B کې وټاکي، او پایلی په یوه حجمی ټوټه په دی ټکی کې و بنیي.

س 8-49. په جامد راډ بنودل شوی بار عمل کړي. د ستریس حالت په ټکی C کې وټاکي، او پایلی په یوه حجمی ټوټه په دی ټکی کې و بنیي.



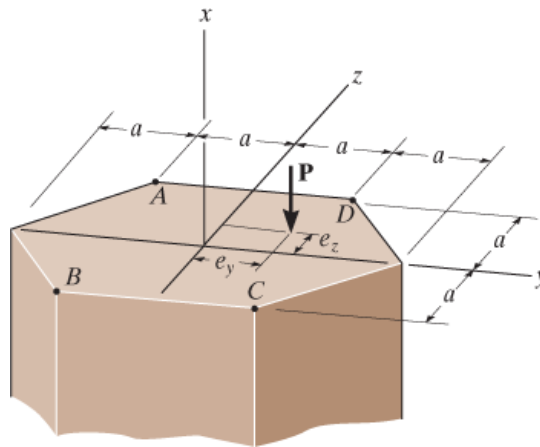
س 8-47/48/49

س 8-50. دا پایه گردی غوڅه برخه لري او شعاع يي c دی. هغه اعظمی شعاع e داسي وټاکي چې کیدی شي P بار هاته پلي شي ترڅو په هیڅ برخه د پایي کی کششی سټریس جوړ نه شي.



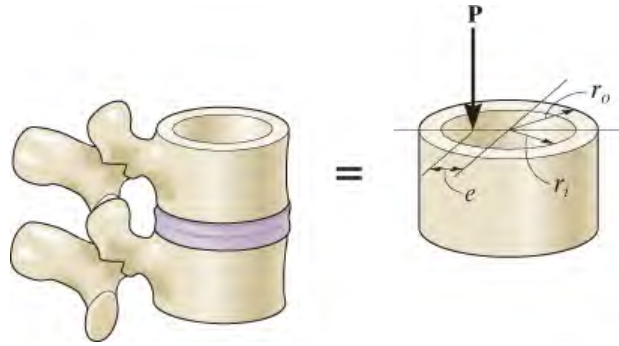
س 8-50

س 8-51. په دی لاندی پایه چی ابعاد يي په انځور کی بنودل شوي یو بار P ورباندی پلي شوي. هغه ساحه مشخص کړي کوم چی دا بار هلته داسي پلي شي ترڅو کششی سټریس په ټکیو A, B, C او D کی جوړ نه شي.



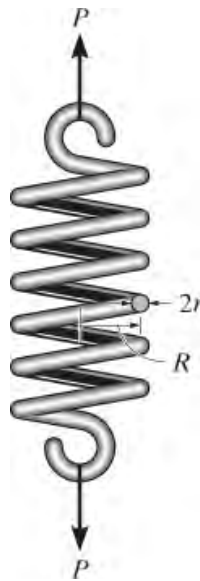
س 8-51

س 8-52* د ستون فقرات مهره (vertebra) کولی شي د اعظمی تیلو هونکي ستریس S_{\max} ، ملاتړ وکړي مخکې له دې چې کمپریشن فریکچر وکړي. تر ټولو کوچنی قوه P معلوم کړئ، کوم چې کیدی شي په مهره پلي شي. دلته مور فرض کوو چې دا قوه له مرکز وتلي فاصله e کی په هډوکي پلي شوي او هډوکي ایلستیکي پاتي کيږي. مهره یو خالي سلنډر په شان ده چې داخلي شعاع یې r_i او بهرنی شعاع یې r_o ده.



س 8-52

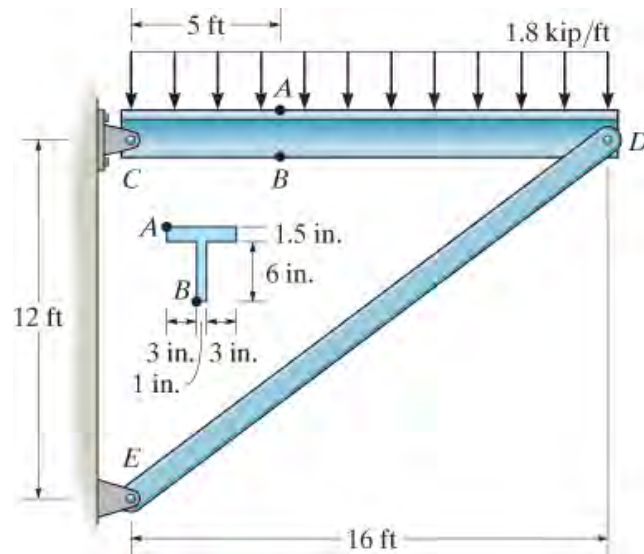
س 8-53 په دی لاندی تاو شوی فنر یو ه قوه P پلي شوي. که چیری مور فرض کړو چې شپیر قوه په هر عمودي برخه د تاو شوی فنر یو شان ویشل شوی ده، وبنیي چې اعظمی شپیر ستریس په فنر کی $t_{\max} = P/A + PRr/J$ دی. دلته J قطبی انرشیايي مؤمنت د تاو شوی سیم او A یې د غوڅی برخي ساحه ده.



س 8-53

س 8-54. په دی لاندی چوکاټ یو مرکزي ویشل شوی بار 1.8 kip/ft پلي شوي. د سټریس حالت په ټکی A او B د غړي CD وټاکی، او پایلی د کوچنی ټوټی په حجمی انځور په دی ټکیو کی و بنیي.

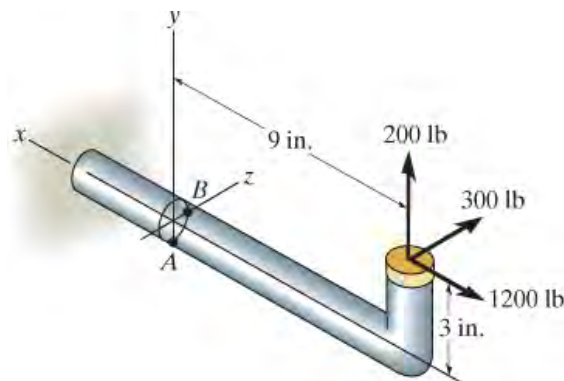
په C او D کی د پښ اتکاوی د غوڅی برخی د صفری محور سره یو شان موقعیت لري.



س 8-54

س 8-55. د لاندی راډ قطر 1-in دي. که چیری په انځور کی بنودل شوي بارونه ورباندی پلي شي د سټریس حالت په ټکی A کی وټاکی، او پایلی د کوچنی ټوټی په حجمی انځور کی په دی ټکیو کی و بنیي.

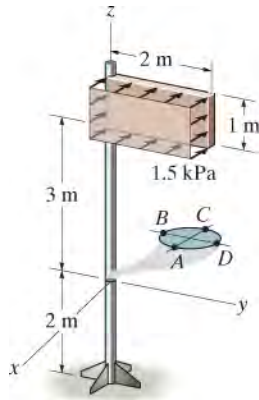
س 8-56*. د لاندی راډ قطر 1-in دي. که چیری په انځور کی بنودل شوي بارونه ورباندی پلي شي د سټریس حالت په ټکی B کی وټاکی، او پایلی د کوچنی ټوټی په حجمی انځور کی په دی ټکیو کی و بنیي.



س 8-55/86

س 8-57. د سرک یا کوڅی نښه د مساویانه ویشلشوی باد بار تابع ده. دا نښه یا علامت په یوه پایه چی قطر لري ټینګه شوي ده. د ستریس اجزای په ټکو A او B ددی پایي وټاکي. پایلي په کوچنی حجمی ټوته په هر یوه ټکی کی وښی.

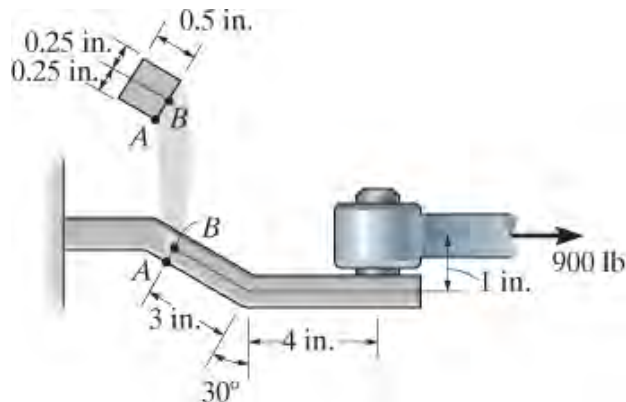
س 8-58. د سرک یا کوڅی نښه د مساویانه ویشلشوی باد بار تابع ده. دا نښه یا علامت په یوه پایه چی قطر لري ټینګه شوي ده. د ستریس اجزای په ټکو C او D ددی پایي وټاکي. پایلي په کوچنی حجمی ټوته په هر یوه ټکی کی وښی.



س 8-57/58

س 8-59. د بیرینگ پن اتکای د 900 lb بار ملاتړ کوي. د ستریس اجزای د غړي په اتکاء په ټکی A کی وټاکي. د ستریس حالت په ټکی A کی په یو یوه کوچنی ټوته وښی.

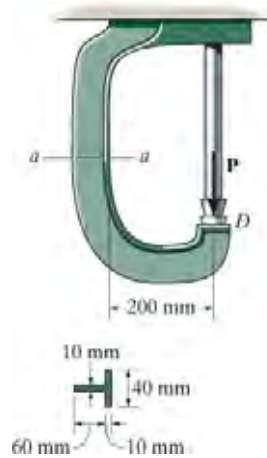
س 8-60*. د بیرینگ پن اتکای د 900 lb بار ملاتړ کوي. د ستریس اجزای د غړي په اتکاء په ټکی B کی وټاکي. د ستریس حالت په ټکی B کی په یو یوه کوچنی ټوته وښی.



س 8-59/60

س 8-61. له دی C چوکاټه د ریویټ (rivet) ماشین په توګه ګټه اخیستل کیږي. که چیری د ساتول (ram) قوه په D کی عبارت په $P = 8 \text{ kN}$ وي، د ستیریس حالت ویش په هغه برخه چی په سطحه $a-a$ قطع شوی سکیچ کړي.

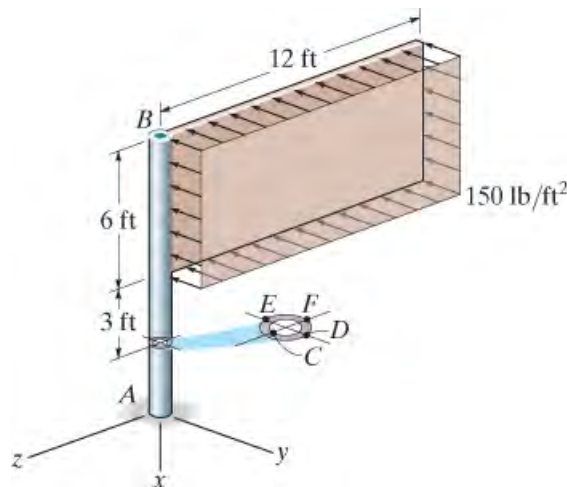
س 8-62. د ساتول (ram) اعظمی قوه P چی کیدی شي په ترونکی (D clamp) پلي شي وټاکي. د منلو وړ ستیریس د موادو $s_{\text{allow}} = 180 \text{ MPa}$ دي.



س 8-61/62

س 8-63. د سرک همواره نښونکی یا نښان (sign) وزن 1500 lb لري او په یوه پایپ AB چی داخلی شعاع یې 2.75 in او بهرنی شعاع یې 3.00 دی تړل شوي. که چیری په مخه ددی نښونکی د باد فشار $p = 150 \text{ ft/ft}^2$ پلی شوي وی د ستیریس حالت په ټکیو C او D کی مشخص کړي. پایلی په یوه کوچنی حجمی ټوټه په دی ټکیو کی و ښيي.

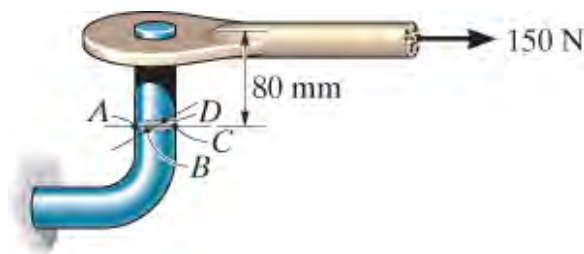
س 8-64*. سوال 8-63 د ټکیو E او F لپاره حل کړي.



س 8-63/64

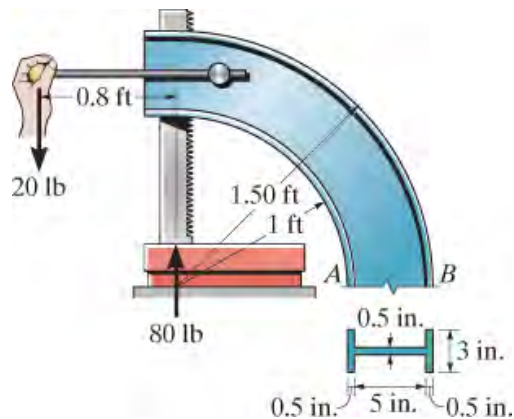
س 8-65. د پڼ اتکاء له فولادی راد چي 20 mm قطر لري جوړ شوي. د ستریس اجزای په تکیو A او B کی وټاکي، او پایلی په یوه کوچنی حجمی ټوټه په دی تکیو کی و بنیي.

س 8-66. سوال 8-65 د تکیو C او D لپاره حل کړي.



س 8-65/66

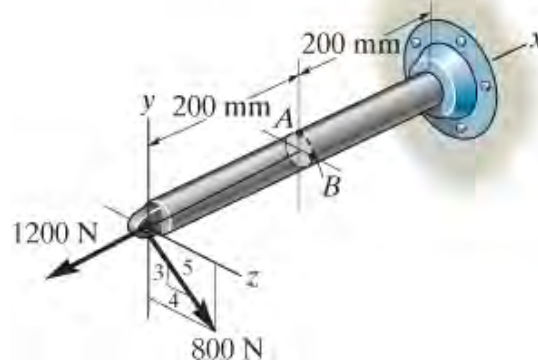
س 8-67. د فشار جوړه ونکي (press) دستگیر 20 lb قوه جوړه وي. دا قوه د داخلي گیر له امله په بلاک باندی تیلوهونکي 80 lb قوه جوړوي. د فریم په فلنج په تکیو A او B کی نارمل ستریس مشخص کړي. د کاره بیم له فورمول کار واخلي تر څو کربیدونکی ستریس پیدا کړي.



س 8-67

س 8-68. د لاندی بار قطر 40 mm دی. د ستریس حالت په تکی A کی و ټاکي او پایلی په یوه کوچنی حجمی ټوټه په دی تکی کی و بنیي.

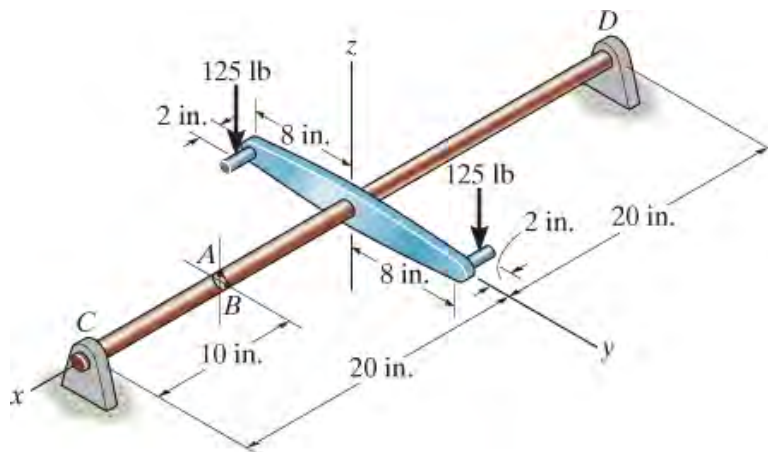
س 8-69. سوال 8-68 د تکی B لپاره حل کړي.



س 8-68/69

س 8-70. په دا لاندی د $\frac{3}{4}$ in قطر لرونکي شافت باندې بنودل شوي بار عمل کړي. په ټکی A کې د سټریس حالت و ټاکي. او پایلی په یوه کوچنی حجمی ټوټه په دی ټکی کې و بنیي. جورنال بیرینګ په C کې تنها د C_y او C_z قوی اجزای په شافت جوړه وي، د ترست (thrust) بیرینګ په D کې د D_x , D_y او D_z قوی اجزای په شافت جوړه وي.

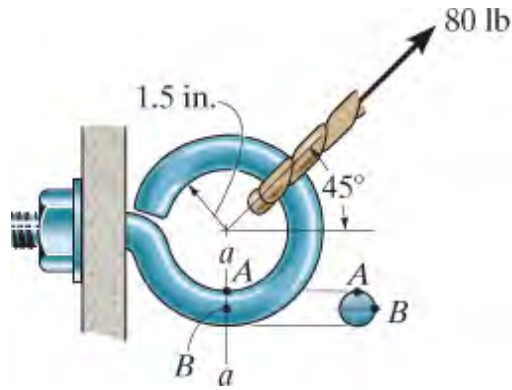
س 8-71. سوال 8-70 دستریس اجزای د ټکی B لپاره حل کړي.



س 8-70/71

س 8-72*. په دی لاندی چنگک یوه 80 lb قوه پلي شوي ده. د سټریس حالت په ټکی A په $a-a$ غوڅه کې و ټاکي. د چنگک غوڅه برخه گردې ده او قطر یې 0.50 in دی. د کربیدونکی سټریس معلومولو لپاره د کبری بیم له فورمول څخه کار واخلي.

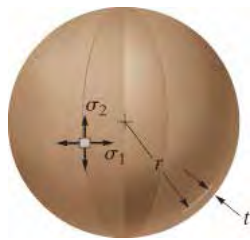
س 8-73. په دی لاندی چنگک یوه 80 lb قوه پلي شوي ده. د ستریس حالت په ټکی B په $a-a$ غوڅه کی وټاکي. د چنگک غوڅه برخه گردی ده او قطر یی 0.50 in دی. د کربیدونکی ستریس معلومولو لپار د کبری بیم له فورمول څخه کار واخلي.



س 8-72/73

د فصل بیا کتنه

CHAPTER REVIEW



یو د فشار مخزن که چیری له نری دیوال جور شوي وی بیا $r/t = > 10$ لري. که چیری په دی مخزن یا ټانگ کی گاز چی د گيج فشار یی p وی بیا د سلندري ټانگ لپاره محیطی یا حلقوي ستیریس عبارت دی په

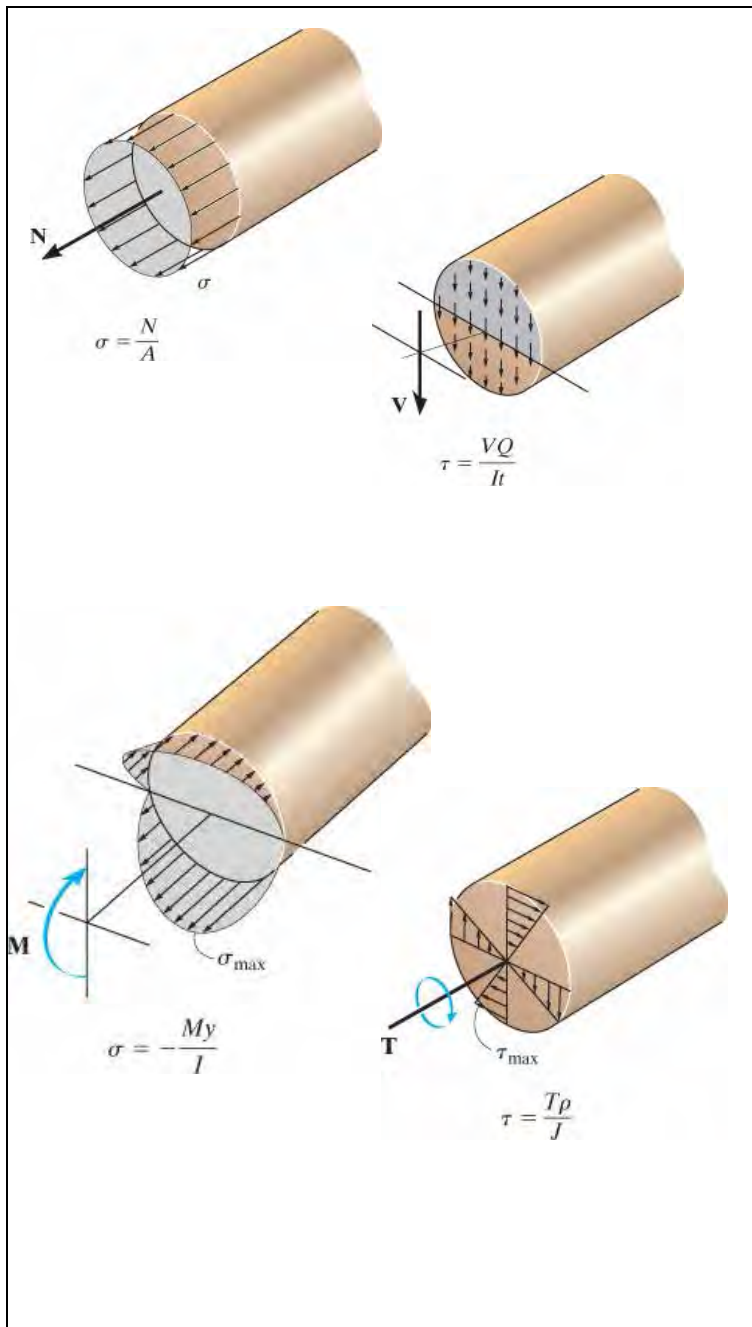
$$\sigma_1 = \frac{pr}{t}$$

دا ستیریس له اوږدمهاله (longitudinal) ستیریس دوه چنده لوی دی،

$$\sigma_2 = \frac{pr}{2t}$$

د نري دیوال لرونکي کروی ټانگ یا مخزن فشاري ورته ستیریس په دیولونو کی په هر لور لري.

$$\sigma_1 = \sigma_2 = \frac{pr}{2t}$$



که چیری په یو غړی گد بارونو عمل کړی وی کیدای شي د نارمل ستریس او شیبیر ستریس ټاکلو لپاره په یوه نقطه د غړي کی د ستریس اجزاوو معلومولو لپاره له سوپرپوزیشن (superposition) څخه کار واخیستل شي. د دې کار لپاره اړین دی چی لومړی محصولی د محوری بار، او شیبیر قوه او محصولی د کزیدونکی مؤمنت او د تاویدونکی مؤمنت په هغه برخه کی چی ټکی موقعیت لري، محاسبه شي. بیا د نارمل او شیبیر ستریس اجزاوو محصولی په غوښتل شوی ټکی کی په الجبری ډول د نارمل او شیبیر ستریس د اجزاوو یو ځای کولو د هر بار لپاره ټاکل کیری.

مفهومی سوالونه

CONCEPTUAL PROBLEMS

م 8-1 تشریح کړی چی ولی ددی پایپ چاودیدنه یی په پای کی جوړه شوه، او ولی درز په اوږدوالي د پایپ کی منخ ته راغلي. د تشریح کولو لپاره له ارقامو کار واخلي. فرض کړی چی د اوبو فشار 30 psi دی.



م 8-1

م 8-2

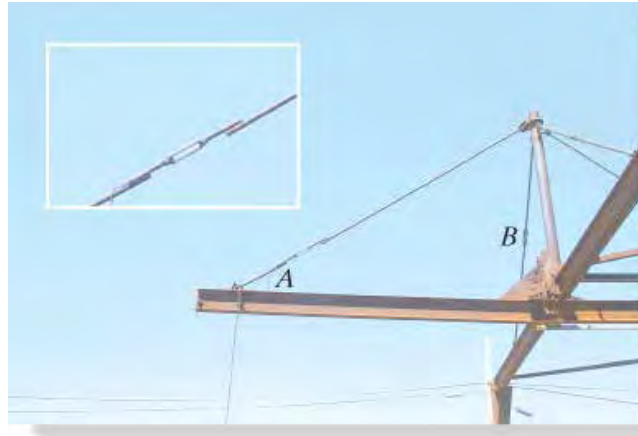
د لاندی بنودل شوی سیلو پای خلاص دی، او د حبوبات دانی پکی ساتل کیري. د لرگیو له سلنټ (slats) یا تختو جوړ اودا سلتونه په فولادی کمر بند سره ټینگ نیول شوي دي. په کارولو د عددي ارزښتونو سره تشریح کړی، ولی کمر بندونه د دي سلنډر د لوړوالي سره په مساوي ډول فاصله نلري. همدارنگه، تاسو به دا فاصله څنگه ومومئ که چیرې هر کمر بند د ورته سټریس سره مخ شوي وی؟



م 8-2

م 4-8 یو دومداره باد په لاندی دودکش باندی لگیری، او دا لامل د کریپ سترین (creep strain) د بندونو په موادو کی شوی، او دودکش کی بیخایی راغلی. تشریح کړي چی څنگه د سترین ویش د دودکش په بیخ کی و موندل شي، او د سترین ویش په دی برخه کی سکیچ کړي .

م 8-3 د B د ټرنیکل (turnbuckle) خلاف، کوم چې د راډ محور سره وصل دی، په پای A د راډ کی پر څنډه ویلډ شوی، او له دې امله دا به د اضافي سترین سره مخ شي. ورته شمیري ارزښتونه د کشیدونگی بار په هر راډ کی چی یو ډول قطرونه لری موجود دی. سترینونه په راډو کی پرتله کړي.



م 8-3

م 8-4 یو دومداره باد په لاندی دودکش باندی لگیری، او دا لامل د کریپ سترین (creep strain) د بندونو په موادو کی شوی، او دودکش کی بیخایی راغلی. تشریح کړي چی څنگه د سترین ویش د دودکش په بیخ کی و موندل شي، او د سترین ویش په دی برخه کی سکیچ کړي.

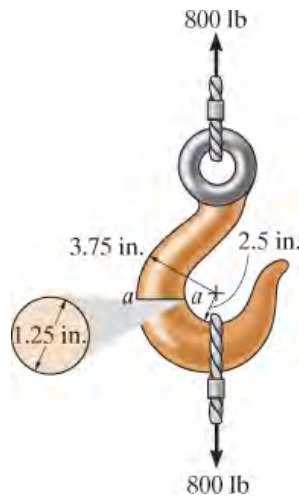


م 8-4

د بيا کتنی سوالونه

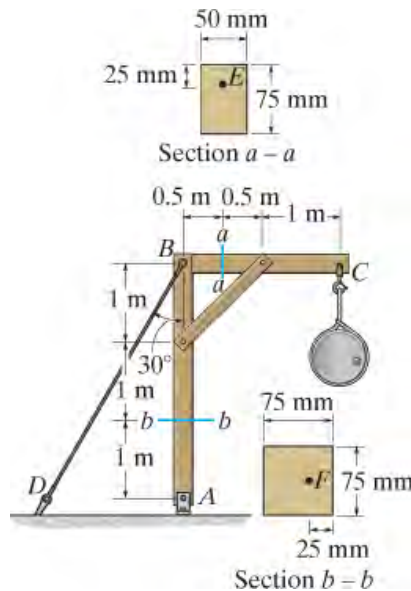
REVIEW PROBLEMS

ب 8-1 د سترگی په نامه چنگک د ابعادو سره په لاندی انځور کی بنودل شوي. که چیری د یو کیبل بار 800 lb ورباندی پلی شي، اعظمی نارمل ستریس په برخه $a-a$ کی وټاکی او هم د ستریس ویش په دی برخه کی سکچ کړي. د کبری بیم له فورمول د ستریس پیدا کولو لپاره کار واخلي.



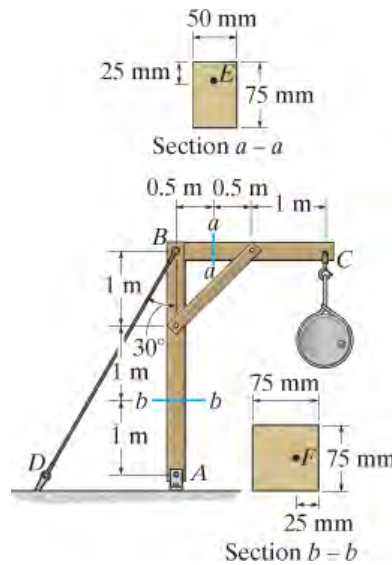
ب 1- 8

ب 8-2 یو 20-kg وزن د چنگک په واسطه د لرگیو جوړ شوی چوکات څخه ځړول شوي. د ستریس حالت په ټکی E د برخې $a-a$ په غوڅه برخه وټاکی. او پایلی په یو کوچنی ټوټه وښیي.



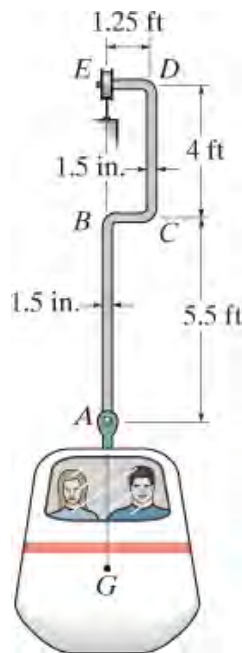
ب 2- 8

ب 8-3 يو 20-kg وزن د چنگک په واسطه د لرگيو جوړ شوی چوکات څخه ځړول شوي. د سټريس حالت په ټکی F د برخې $b-b$ په غوڅه برخه وټاکي. او پایلی په يو کوچنی توتېه وښيي



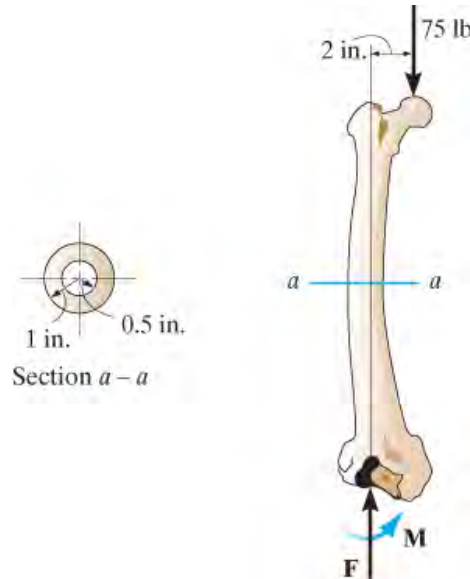
ب 3- 8

ب 8-4* گاندولا (gondola) او مسافرین 1500 lb وزن لري، او مرکز ثقل يې په G کی دی. د څوړیدو بازو AE مربع غوڅه برخه 1.5 in په 1.5 in لري او په پای A او E کی پڼ اتکاوی لري. اعظمی سټريس په برخو AB او DC د بازو کی معلوم کړي.



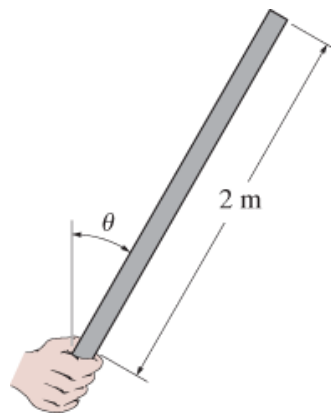
ب 4- 8

ب 8-5 که چیری غوڅه برخه د ورانه د هډوکي په سطحه $a-a$ کی یو دایروی تیوب فرض شي ، څنگه چی په لاندی انځور کی بنودل شوي ، اعظمی نارمل سټریس په غوڅه برخه په $a-a$ دیوه 75- lb بار له امله وټاکي.



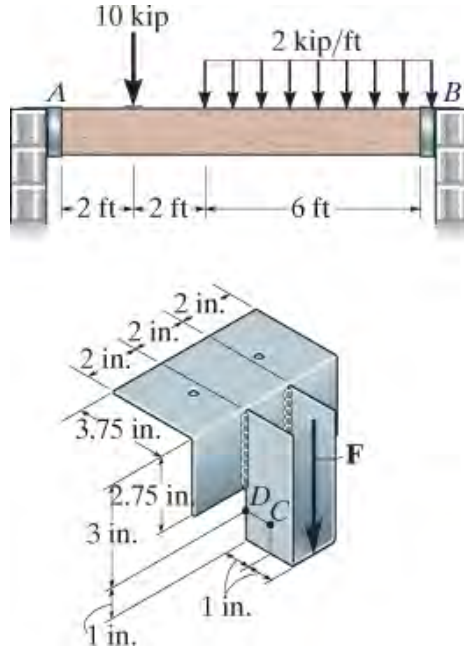
ب 5- 8

ب 8-6 یوه میله چی مربع غوڅه برخه 30 mm په 30 mm او 2 m اوږوالی لري ، پورته ساتل شوي. که چیری کتله یی 5 kg/m وی ، اعظمی زاویه q چی له عمود څخه اندازه کیږی او مخ کی له دی چی کششي سټریس په اوږده محور نږدی لاس نیو ته جوړ شي ، وټاکي.



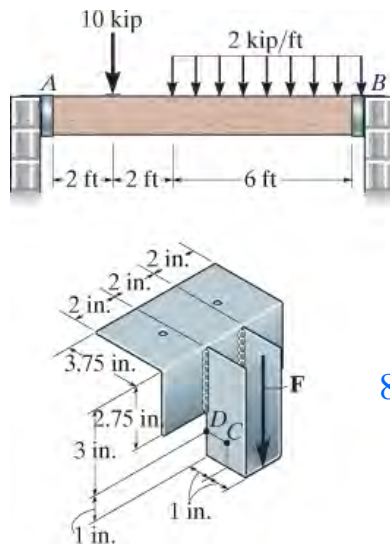
ب 6- 8

ب 8-7 دیوالي خړیدونکي (hanger) 0.25 in ضخامت لري ، او عمودي اتکاء د لاندی بنودل شوی بیم لپاره جوړه وي. که چیری بار په مساوی ډول هری تسمي ته انتقال شي، د ستریس حالت په تکیو C او D د تسمی په A کی و ټاکي. فرض کری چی عمودی ریکشن قوه F په دی پای کی لکه څنگه چی بنودل شوي په مرکز او څنډه د برکت عمل کړي.



ب 8-7

ب* 8-8 دیوالي خړیدونکي (hanger) 0.25 in ضخامت لري ، او عمودي اتکاء د لاندی بنودل شوی بیم لپاره جوړه وي. که چیری بار په مساوی ډول هری تسمي ته انتقال شي، د ستریس حالت په تکیو C او D د تسمی په B کی و ټاکي. فرض کری چی عمودی ریکشن قوه F په دی پای کی لکه څنگه چی بنودل شوي په مرکز او څنډه د برکت عمل کړي.



ب 8-8

ضمیمه

A

د یو ساحی هندسی خاصیتونه

GEOMETRIC PROPERTIES)
(OF AN AREA

هندسي خاصیتونه د یو ساحی (GEOMETRIC

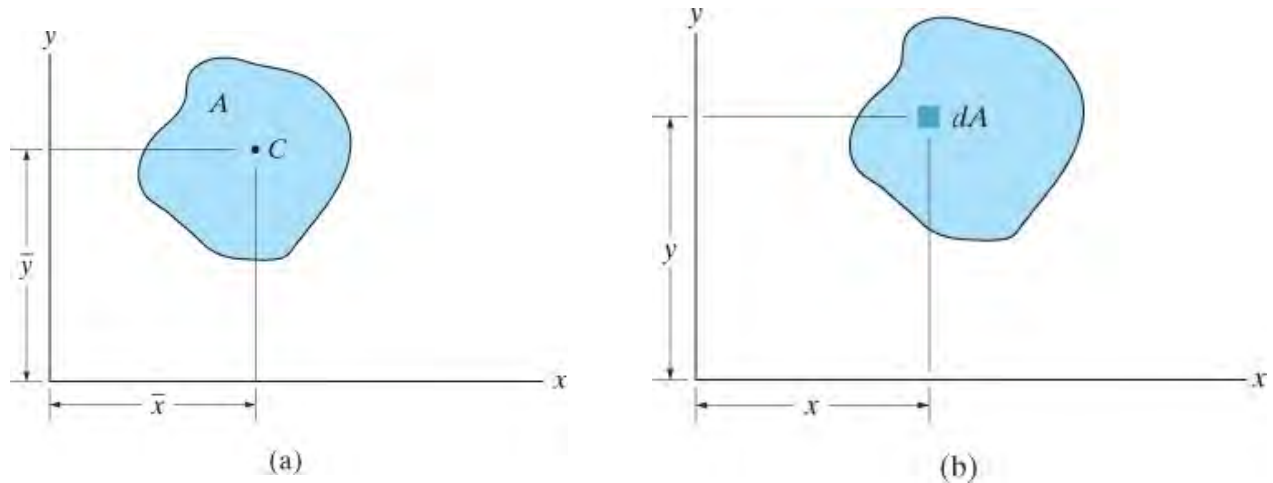
PROPERTIES OF AN AREA)

A.1 ثقل مرکز د یوی ساحی (CENTROID OF AN AREA)

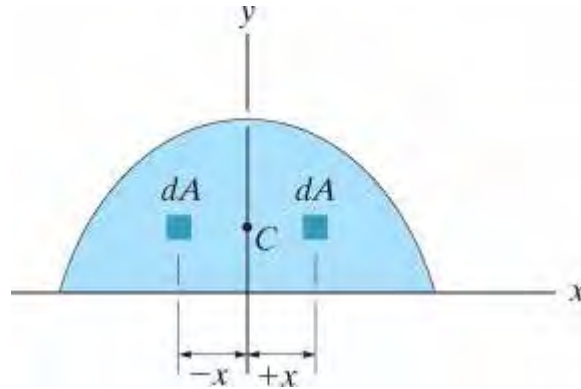
د یوی سیمې مرکز ثقل هغه یوه نقطه ده، کوم چی د ساحی هندسي مرکز تعریفوي. که چیری یوه ساحه یو خپل سري شکل ولري، لکه هغه چی په انخور A-1a کی بنودل شوي، د x او y کوردینات د مرکز ثقل C یی په دی لاندی ډول موندل کیري

$$\bar{x} = \frac{\int_A x \, dA}{\int_A dA} \quad \bar{y} = \frac{\int_A y \, dA}{\int_A dA} \quad (A-1)$$

د کسر پورتنی عدد (numerators) په دی معادلاتو کی استازیتوب د ساحی د عنصر dA مؤمنت په محورونو y او x په ترتیب سره کوي، انخور A-1b، او د کسر لاندی عدد (denominators) استازیتوب د شکل د ټولی ساحی A کوي.



انځور A-1



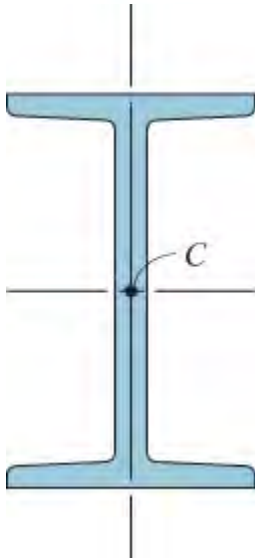
انځور A-2

که چیری ساحه متناظر په یوه محور وي ، د داسې شکلونو ثقل مرکز په جزوي یا بشپړ ډول به مشخص وی. دلته د ثقل مرکز به د ساحې په دی محور موقعیت ولری، انځور A-2 . همدارنگه به په تقاطع د دی محورونو کی وي، انځور A-3 . پردی بنسټ ، یا په کارولو د معادلی A-1 ، د ثقل مرکز موقعیت د معمولو شکلونو ساحې لپاره په داخل د مخکنیې پوښ ددی کتاب کی بنودل شوي.

مرکب ساحې (Composite Areas) . ډیری وختونه کیدی شي چی یوه ساحه په څو برخو چی ساده شکلونه لری وویشل شي. ددی ساده مرکب شکلونو د ثقل مرکز معلوم دی، او په

دی ډول ددی شکلونو د انټیگرشن نیولو ته اړتیا نه لیدل کیږي، په دی حالتونو کی معادلی ورته په معادله A-1 باید وکارول شي، چی دلت د مجموعی علامه د انټیگرال های نیسي، د بیلگی په توگه

$$\bar{x} = \frac{\sum \tilde{x}A}{\sum A} \quad \bar{y} = \frac{\sum \tilde{y}A}{\sum A} \quad (A-2)$$

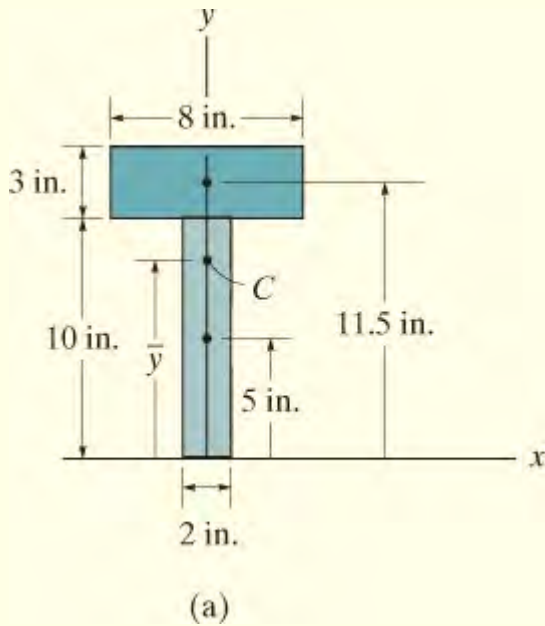


انځور A-3

دلته \tilde{x} او \tilde{y} استازیتوب د الجبري فاصلو (algebraic distances) یا x او y کوردینات د ثقل مرکز د هر ی مرکبی برخي کوي، او $\sum A$ استازیتوب د مرکبو ساحو د مجموعی، یا ټولی ساحی وکړی. که چیری سوري یا خالي برخه په مرکبه سیمه کی شتون ولري، هغه به یو بله مرکبه برخه وی کوم چی منفي ساحه لري. دا لاندی مثال، پلی کول د معادلی A-2 دي.

مثالونه

مثال A.1



لاندی انځور A-4a کی د T-beam د غوڅی برخي ساحه بنودل شوي، د ثقل مرکز C یی وټاکي.

حل I

y محور د شکل په متناظر محور ایښودل شوي، تر څو $\bar{x} = 0$ ، انځور A-4a شي.

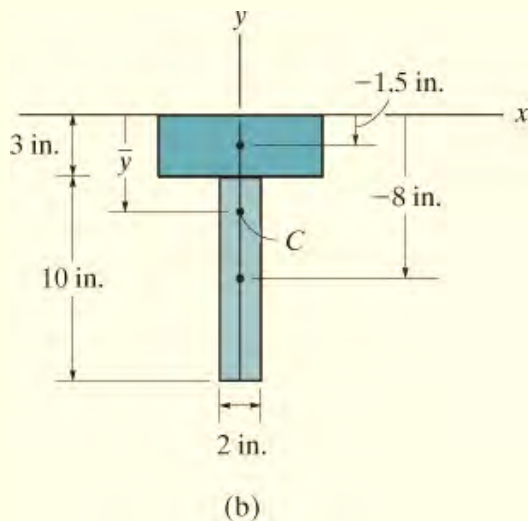
د y -موندلو لپاره مور به x محور (ریفرینس محور) د ساحی له ټیټي برخي سره برابر کړو. د غوڅی برخي ساحه په دوو مستطیلو، لکه څنګه چی بنودل شوي، وویشو او د هری برخي د ثقل مرکز موقعیت y - ټاکل شوي. معادله A-2 پلی کوو مور لرو .

$$\bar{y} = \frac{\sum \tilde{y}A}{\sum A} = \frac{[5 \text{ in.}](10 \text{ in.})(2 \text{ in.}) + [11.5 \text{ in.}](3 \text{ in.})(8 \text{ in.})}{(10 \text{ in.})(2 \text{ in.}) + (3 \text{ in.})(8 \text{ in.})}$$

$$= 8.55 \text{ in.}$$

Ans.

حل II



د ورته دوه برخو په کارولو سره، د x محور په په پورتنی ساحه کی بنیو. انځور A-4b، دلته

انځور A-4

$$\bar{y} = \frac{\sum \tilde{y}A}{\sum A} = \frac{[-1.5 \text{ in.}](3 \text{ in.})(8 \text{ in.}) + [-8 \text{ in.}](10 \text{ in.})(2 \text{ in.})}{(3 \text{ in.})(8 \text{ in.}) + (10 \text{ in.})(2 \text{ in.})}$$

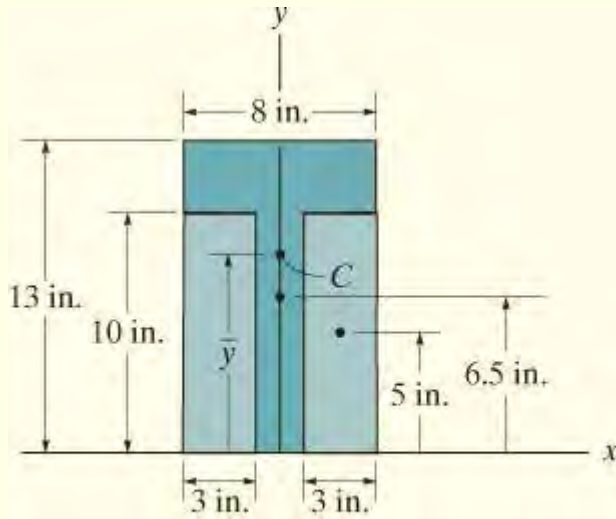
$$= -4.45 \text{ in.}$$

Ans.

منفی علامه بنیوي، چی C د x محور لاندی موقعیت لری. همدا رنگه دواړو ځوابونو $8.55 \text{ in.} + 4.45 \text{ in.} = 13.0 \text{ in.}$ ، کوم چی د بیم لوړوالی دی .

حل III

دا هم امکان لري چې غوڅه برخه يو لوي مستطيل ، منفي دوه واړه مستطيلونه ، کوم چې په سيوره بنودل شوي په انځور A - 4c کې د لته مور لرو:



(c)

انځور A-4 (تکرار)

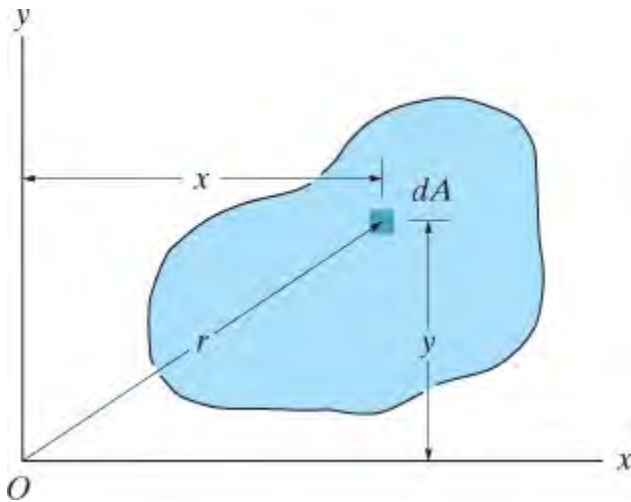
$$\bar{y} = \frac{\sum \tilde{y}A}{\sum A} = \frac{[6.5 \text{ in.}](13 \text{ in.})(8 \text{ in.}) - 2[5 \text{ in.}](10 \text{ in.})(3 \text{ in.})}{(13 \text{ in.})(8 \text{ in.}) - 2(10 \text{ in.})(3 \text{ in.})}$$

$$= 8.55 \text{ in.}$$

Ans.

A.2 د یو ساحی انرشیايي مؤمنت (MOMENT OF INERIA FOR AN AREA)

انرشیايي مؤمنت د یو ساحی، هندسي خاصیت دی. او هغه په محور x او محور y ، لکه څنګه چې په انځور A-5 کی بنودل شوي، محاسبه کيږي. د هغه تعریف دی



$$I_x = \int_A y^2 dA$$

$$I_y = \int_A x^2 dA$$

(A-3)

انځور A-5

دا انټیګرالونه هیڅ فزیکي معنی نلري، مګر دوی ځکه نومول شوي چې د یو د یوې کتلې د انرشیا خاصیت سره، کوم چې ډینامیک خاصیت دی، ورته دي.

مور همدا ډول کولی شو چې انرشیايي مؤمنت د یو ساحی په قطب O یا په z محور، انځور A-5 محاسبه کړو. دې ته **قطبي انرشیايي مؤمنت** (*polar moment of inertia*) ویل کيږي، کوم چې په دی توګه تعریف شوی

$$J_O = \int_A r^2 dA = I_x + I_y$$

(A-4)

دلته r عمودی فاصله له قطب (z محور) تر عنصر dA پورې. ځکه چې $r^2 = x^2 + y^2$ نو بیا $J_o = I_x + I_y$ ، انځور A-5.

له پورتنی فورمولونو داسې څرگندېږي چې I_x, I_y او J_o به تل مثبت وي، ځکه دوی د فاصلې مربع او مساحت محصول دی. برسیره پر دې د انرشیايي مؤمنت واحدونه د اوږدوالی څلورم طاقت ته لورېږي، د بیلګې په توګه m^4, mm^4 یا ft^4, in^4 .

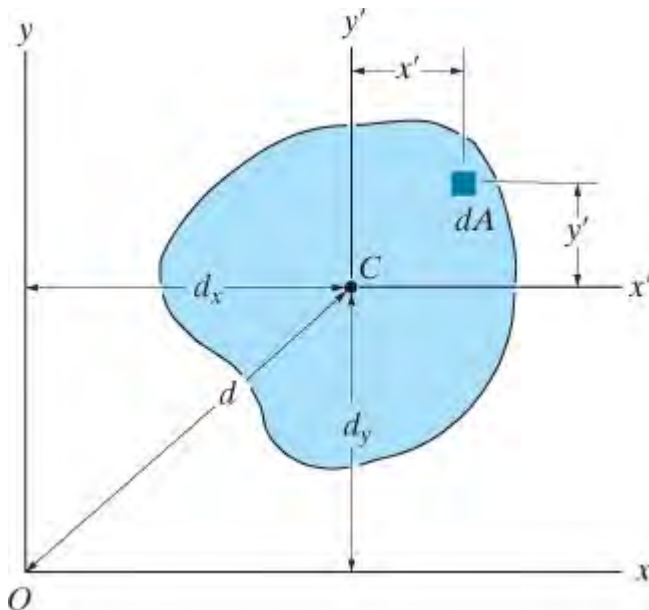
د پورتنیو معادلو په کارولو، انرشیايي مؤمنت د ځینو عامو شکلونو ددوی په ثقلی مرکز محورونو محاسبه شوی او د دې کتاب د مخ په داخل پوښ کی بنودل شوي.

د یوه مساحت لپاره د موازي-محور قضیه (Parallel-Axis Theorem) . (for an Area)

کله چې انرشیايي مؤمنت د یوه مساحت ثقلی محور ته معلوم وي، مور کولای شو انرشیايي مؤمنت د مساحت یوه بل محوره ته چې موازي ثقلی محوره وي، د موازي-محور قضیې (Parallel-Axis Theorem) په کارولو سره محاسبه کړو. ددې نظریې تر لاسه کولو لپاره غواړو چې انرشیايي مؤمنت د یوه عنصر dA ، انځور A-6، کوم چې په فاصله $y' + dy$ له x محور موقعیت لري، هغه دی

$$dI_x = (y' + d_y)^2 dA$$

بیا د ټول مساحت لپاره مور لرو



انځور A-6

$$I_x = \int_A (y' + d_y)^2 dA = \int_A y'^2 dA + 2d_y \int_A y' dA + d_y^2 \int_A dA$$

لمری اصطلاح په بني اړخ کی څرگندوی د انرشیايي مؤمنت $I_{x'}$ د مساحت په x' محور دي. دوهم اصطلاح صفر دی ځکه x' محور د مساحت له ثقل مرکز C څخه تیریري، هغه دی $\int y' dA = y' A = 0$ چې $y' = 0$. له همدی امله وروستی پایله ده

$$I_x = \bar{I}_{x'} + A d_y^2 \quad (A-5)$$

ورته اصطلاح د I_y لپاره لیکلي شو، هغه ده

$$I_y = \bar{I}_{y'} + A d_x^2 \quad (A-6)$$

او په نهایت کی، قطبی انرشیايي مؤمنت په یوه محور چی عمود په $x-y$ سطحه دی او کوم چی له قطب O (محور z) څخه تیریري، انځور A-6، مور لرو

$$J_O = \bar{J}_C + A d^2 \quad (A-7)$$

پورتنی معادلي داسی توضیح کوي، انرشیايي مؤمنت په یوه محور مساوی دی په د مساحت انرشیايي مؤمنت په یو موازی محور کوم چی له ثقل مرکز د مساحت تیریري جمع حاصل د مساحت ضرب مربع د عمودی فاصلی د دواړو محورونو تر مینځ.

مرکب مساحتونه (Composite Areas)

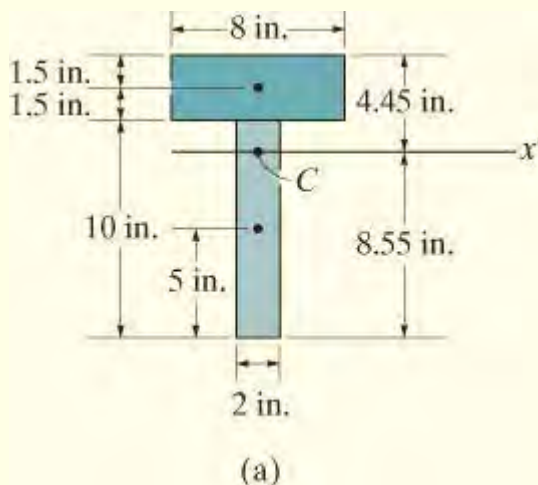
ډیری سیمې له نښلولوډ یو لړ ساده شکلونو، لکه مستطیل، مثلث، او نیمه دایری څخه جوړه دي. ددی لپاره چی په سمه توگه د دې مرکبې ساحې انرشیايي مؤمنت په یو محور سره وټاکو، لومړی اړین دی چې ساحه په خپلو برخو وویشو، او عمودی فاصله د محور څخه تر موازي ثقل مرکز محور ته د هرې برخې لپاره په گوته کړو. د کتاب د مخ په داخلي پوښ کې د جدول په کارولو سره، د هرې برخې انرشیايي مؤمنت د ثقل مرکز محور سره ټاکل کیږي. که دا محور د ټاکل شوي محور سره سمون نه لري، بیا انرشیايي مؤمنت د برخې په ټاکل شوي محور د موازي-محور قضي

$I = I' + Ad^2$ په کارولو سره ټاکل کیږي. د ټولې ساحې انرشیايي مؤمنت د دې محور په اړه بیا د هغې مرکبو برخو ټولو پایلو په جمع کولو سره موندل کیږي. په ځانگړې توگه، که یوه مرکبه برخه خالي (سوری) سیمه ولري، انرشیايي مؤمنت د مرکبې برخې لپاره په واسطه د "تفریق" د انرشیايي مؤمنت د برخې له انرشیايي مؤمنت د ټولې ساحې د سیمې په گډون موندل کیږي.

مثالونه

مثال A.2

انرشیايي مؤمنت په مرکزی محور x' ، د ټي بيم (T-beam) چی غوڅه برخه یې په انځور A-7a کی ښودل شوی، و ټاکئ.



انځور A-7

حل I

بنودل شوي ساحه په دوو مستطیلونو ویشل شوی ده، لکه څنگه چې په انځور A-7a کی بنودل شوي. فاصله له x' محور څخه تر مرکزی محور د هری برخي معلوموو. په کارولو دهغه جدول چې د کتاب په پوښ کی بنودل شوي، انرشیايي مؤمنت په مرکزی محور د یو مستطیلی ساحی د پاره عبارت دی په

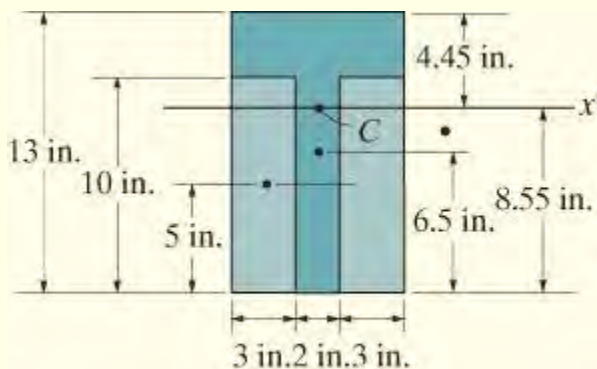
$I = \frac{1}{12} b h^3$. د موازی-محور قضیه، معادله A-5، په هر مستطیل پلی کوو، او بیا ټولی پایلی سره جمع کوو، مور لرو

$$\begin{aligned}
 I &= \Sigma(\bar{I}_{x'} + A d_y^2) \\
 &= \left[\frac{1}{12} (2 \text{ in.})(10 \text{ in.})^3 + (2 \text{ in.})(10 \text{ in.})(8.55 \text{ in.} - 5 \text{ in.})^2 \right] \\
 &\quad + \left[\frac{1}{12} (8 \text{ in.})(3 \text{ in.})^3 + (8 \text{ in.})(3 \text{ in.})(4.45 \text{ in.} - 1.5 \text{ in.})^2 \right] \\
 I &= 646 \text{ in}^4
 \end{aligned}$$

Ans.

حل II (SOLUTION II)

دا هم امکان لري چې غوڅه برخه یو لوي مستطیل، منفي دوه واړه مستطیلونه، کوم چې په سیوری بنودل شوي په انځور A-7b کی. دلته مور لرو



(b)

انځور A-7 (ادامه)

$$I = \Sigma(\bar{I}_{x'} + A d_y^2)$$

$$= \left[\frac{1}{12}(8 \text{ in.})(13 \text{ in.})^3 + (8 \text{ in.})(13 \text{ in.})(8.55 \text{ in.} - 6.5 \text{ in.})^2 \right]$$

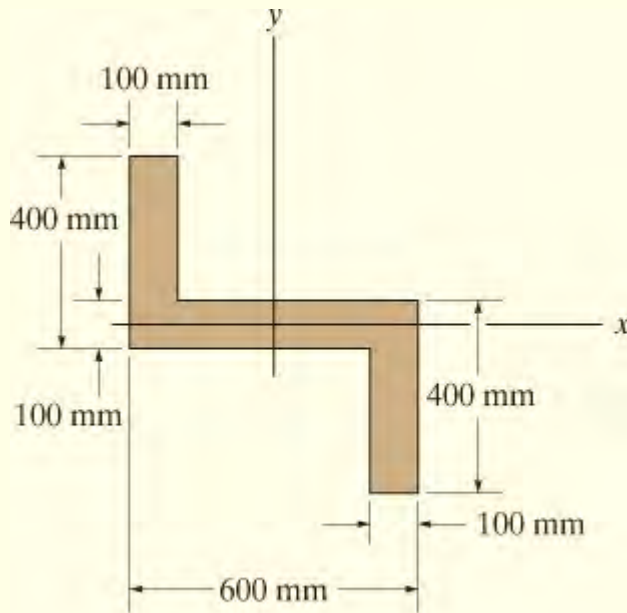
$$- 2 \left[\frac{1}{12}(3 \text{ in.})(10 \text{ in.})^3 + (3 \text{ in.})(10 \text{ in.})(8.55 \text{ in.} - 5 \text{ in.})^2 \right]$$

$$I = 646 \text{ in}^4$$

Ans.

مثال A.3

انرشیایی مؤمنت په مرکزی محور x او y محورونو، د غوڅی برخی چی په انځور A-8a کی بنودل شوی، و ټاکئ.



(a)

انځور A-8

حل

یوه غوڅه برخه مرکب له دریو مستطیلی برخو A ، B او D په انځور A-8b کی بنودل شوي. د محاسبی لپاره د ثقل مرکز ددی مستطیلونو په انځور کی بنودل شوي. له هغه جدول چی ددی کتاب په پوښ کی بنودل شوي، انرشیایی مؤمنت د مستطیلی برخی په ثقلی محور عبارت دی په

$$\frac{1}{12} b h^3$$

له همدی امله د مستطیونو A

او D په کارولو د موازي-محور قضیي سره محاسبی په لاندی ډول دی

مستطیل A (Rectangle A)

$$I_x = \bar{I}_{x'} + A d_y^2 = \frac{1}{12}(100 \text{ mm})(300 \text{ mm})^3 + (100 \text{ mm})(300 \text{ mm})(200 \text{ mm})^2$$

$$= 1.425(10^9) \text{ mm}^4$$

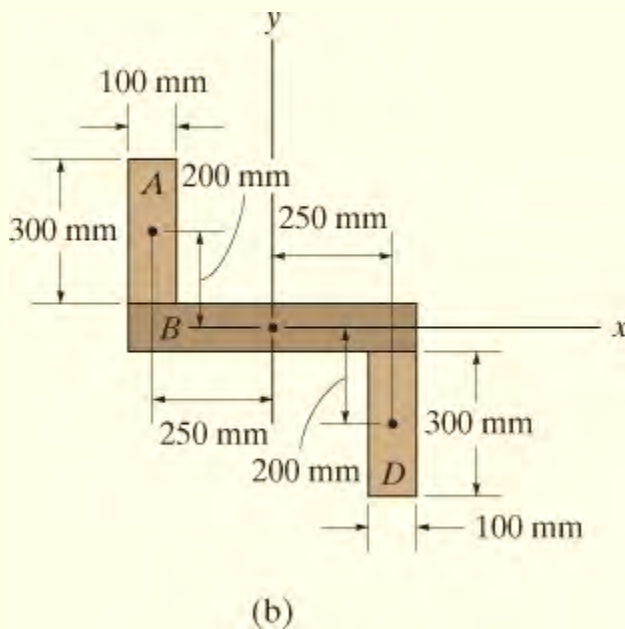
$$I_y = \bar{I}_{y'} + A d_x^2 = \frac{1}{12}(300 \text{ mm})(100 \text{ mm})^3 + (100 \text{ mm})(300 \text{ mm})(250 \text{ mm})^2$$

$$= 1.90(10^9) \text{ mm}^4$$

مستطیل B (Rectangle B)

$$I_x = \frac{1}{12}(600 \text{ mm})(100 \text{ mm})^3 = 0.05(10^9) \text{ mm}^4$$

$$I_y = \frac{1}{12}(100 \text{ mm})(600 \text{ mm})^3 = 1.80(10^9) \text{ mm}^4$$

**مستطیل D (Rectangle D)**

انخور A-8 (ادامه)

$$I_x = \bar{I}_{x'} + A d_y^2 = \frac{1}{12}(100 \text{ mm})(300 \text{ mm})^3 + (100 \text{ mm})(300 \text{ mm})(200 \text{ mm})^2$$

$$= 1.425(10^9) \text{ mm}^4$$

$$I_y = \bar{I}_{y'} + A d_x^2 = \frac{1}{12}(300 \text{ mm})(100 \text{ mm})^3 + (100 \text{ mm})(300 \text{ mm})(250 \text{ mm})^2$$

$$= 1.90(10^9) \text{ mm}^4$$

د ټول غوڅی برخی لپاره انرشیايي مؤمنت په دی دی ډول دی

$$I_x = 1.425(10^9) + 0.05(10^9) + 1.425(10^9)$$

$$= 2.90(10^9) \text{ mm}^4$$

Ans.

$$I_y = 1.90(10^9) + 1.80(10^9) + 1.90(10^9)$$

$$= 5.60(10^9) \text{ mm}^4$$

Ans.

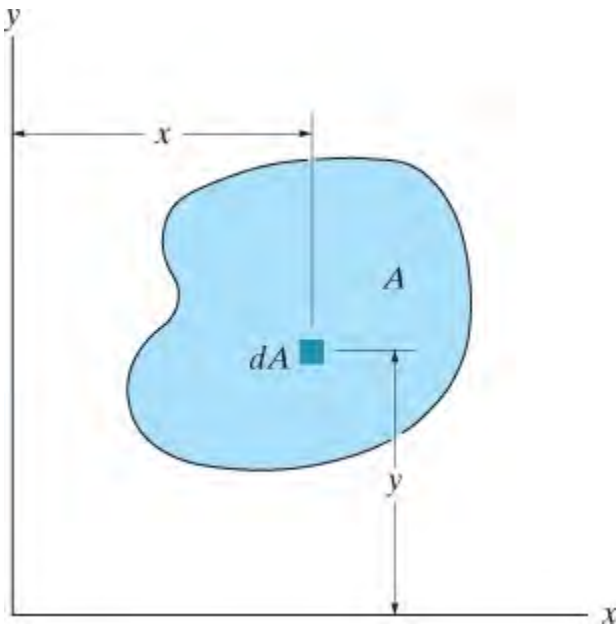
A.3 د یوې ساحې د انرشیا د ضرب محصول (PRODUCT OF INERTIA FOR AN AREA)

په عموم کې، د یوې سیمې لپاره انرشیايي مؤمنت د هر محور لپاره چې محاسبه کېږي توپیر لري. په ځینو حالتونو کې دا اړینه ده چې پوه شو د هغو محورونو جهت چې په ترتیب سره، اعظمي او لږ تر لږه انرشیايي مؤمنت د ساحې لپاره لری. د ټاکلو طریقه یی په A.4 برخه کې بحث کېږي. په هر صورت، د دې طریقي کارولو لپاره، دا اړینه ده چې لومړی د ساحې د انرشیا ضرب محصول د انرشیا او همدارنگه د هغې انرشیايي مؤمنت د x ، y محور و څخه مشخص شي.

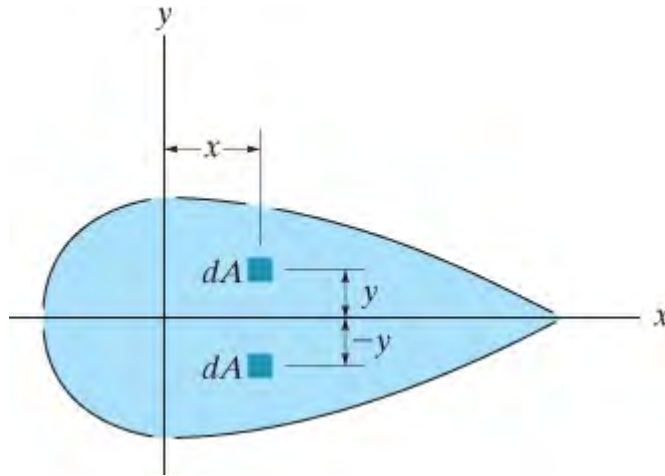
د انرشیا د ضرب محصول (*product of inertia*) د ساحې A لپاره په انځور A-9 کې ښودل شوي په دی توگه تعریف شوی

$$I_{xy} = \int_A xy \, dA \quad (A-8)$$

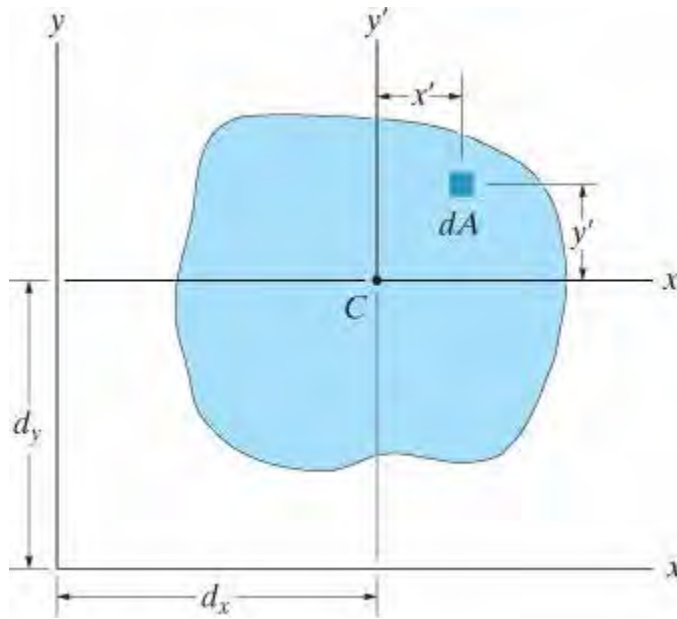
د انرشیايي مؤمنت په څیر، د انرشیا د ضرب محصول هم د اوږدوالي واحدونو څلورم طاقت ته پورته شوی، د بیلګې په توګه، m^4 ، mm^4 یا ft^4 ، in^4 . په هر صورت، x یا y کیدای شي منفي مقدار وي، پداسې حال کې چې dA تل مثبت وي. د انرشیا د ضرب محصول ممکن مثبت، منفي یا صفر وي، چې په موقعیت او جهت د محورونو پورې اړه لري. د مثال په توګه، انرشیا د ضرب محصول I_{xy} د یوې ساحې لپاره صفر وي که چېرې x یا y محور متناظر محور د ساحې وي. د دې بنودلو لپاره، د سیوري ساحه په انځور A-10 کې پام کې ونیسئ، چېرته چې د هر عنصر dA لپاره کوم چې په ټکی (x, y) کې موقعیت لري، ددی اړونده عنصر dA په $(x, -y)$ کې موقعیت لري. ځکه چې د انرشیا د ضرب محصول، په ترتیب سره، $xy \, dA$ او $-xy \, dA$ ، ددی چې د دوی الجبریک مجموعه یا د ټولو ورته عناصرو ساحې انټیګریشن چې غوره شوی په دې ډول به دوی یو بل به کنسل کړي. په پایله کې، د ضرب انرشیا د ټولې ساحې لپاره صفر کیږي.



انځور A-9



انخور A-10



انخور A-11

د موازي-محور قضیه (Parallel-Axis Theorem). سیوری شوي مساحت چی په انخوړ A-11 کی بنودل شوي په پام کی ونیسی. ځکه چی د انرشیا د ضرب محصول د یو ساحی dA په اړه د x او y محورونولپاره کیږي په $dI_{xy} = (x' + d_x)(y' + d_y)dA$ نو بیا د ټولی ساحی لپاره،

$$I_{xy} = \int_A (x' + d_x)(y' + d_y) dA$$

$$= \int_A x'y' dA + d_x \int_A y' dA + d_y \int_A x' dA + d_x d_y \int_A dA$$

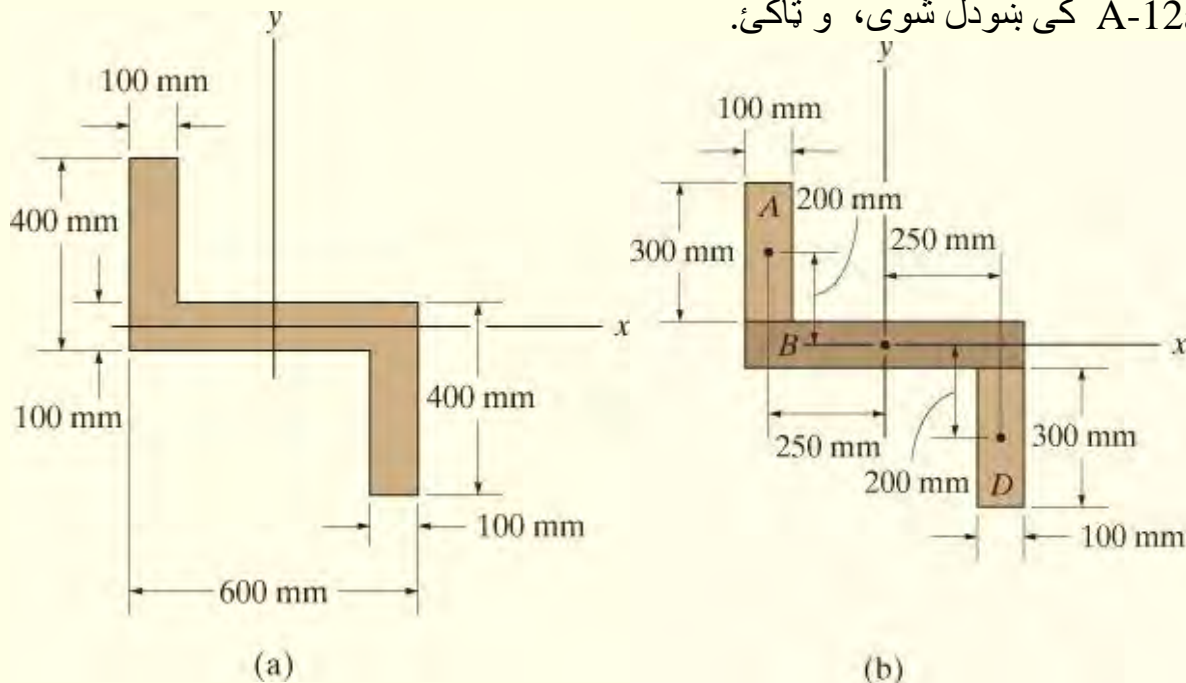
لمړي اصطلاح په بني اړخ د معادلی کی ، استازیتوب د انرشیا د ضرب محصول د ساحی ، نظر ثقلی محور $\bar{x}'y'$ ته دی. دوهم او دریم اصطلاحی صفر دی ځکه چی مؤمنت د ساحی په مرکزي x' او y' محورونو نیول شوي. په دی پوهیدلو څلورم انتیگرال استازیتوب د ټولی ساحی A کوی ، نو بیا مور لرو ،

$$I_{xy} = \bar{I}_{x'y'} + Ad_x d_y \quad (A-9)$$

ورته والی ددی معادلی او د موازي-محور قضیې د انرشیايي مؤمنت لپاره باید ولیدل شي. دلته ، مهمه ده چی الجبری علامه د dx او dy کله چی معادله A-9 پلی کیږی په پام کی ونیول شي.

مثال A.4

انرشیا د ضرب محصول په مرکزی محور x او y محورونو، د بیم د غوڅی برخی کوم چی په انځور A-12a کی بنودل شوی، و ټاکئ.



انځور A-12

حل

لکه مثال A.3، غوڅه برخه مرکبه له دریو مستطیلی برخو A, B او D په انځور A-12b کی بنودل شوي. کوردینات د هر ثقل مرکز د مستطیل په انځور کی بنودل شوي دی. د متناظر والي له امله، د هر مستطیل انرشیا ضربی محصول په x او y محورونو، کوم چی د مستطیل له ثقل مرکز نه تیریري، صفر دي. له همدی امله د د موازي-محور قضیې پلی کول په هر مستطیل به لاندی پایلی راکوي

مستطیل A (Rectangle A)

$$\begin{aligned}
 I_{xy} &= \bar{I}_{x'y'} + A d_x d_y \\
 &= 0 + (300 \text{ mm})(100 \text{ mm})(-250 \text{ mm})(200 \text{ mm}) \\
 &= -1.50(10^9) \text{ mm}^4
 \end{aligned}$$

مستطیل B (Rectangle B)

$$\begin{aligned} I_{xy} &= \bar{I}_{x'y'} + A d_x d_y \\ &= 0 + 0 \\ &= 0 \end{aligned}$$

مستطیل D (Rectangle D)

$$\begin{aligned} I_{xy} &= \bar{I}_{x'y'} + A d_x d_y \\ &= 0 + (300 \text{ mm})(100 \text{ mm})(250 \text{ mm})(-200 \text{ mm}) \\ &= -1.50(10^9) \text{ mm}^4 \end{aligned}$$

د ټولې غوڅې برخې لپاره انرشیا ضربی محصول په دې ډول دی

$$\begin{aligned} I_{xy} &= [-1.50(10^9) \text{ mm}^4] + 0 + [-1.50(10^9) \text{ mm}^4] \\ &= -3.00(10^9) \text{ mm}^4 \end{aligned}$$

Ans.

A.3 د یوی ساحی په مایل محور د انرشیايي مؤمنت (MOMENT OF INERTIA FOR AN AREA ABOUT INCLINED AXIS)

مؤمنت او حاصل ضرب د انرشیا I_x, I_y او I_{xy} د یوی ساحی نسبت په یو جوړه مایل محورونو x' او y' کیدی شي چی وموندل شي، کله چی I_x, I_y او I_{xy} معلوم وي. لکه څنگه چی په انځور A-13 کی کوردینات د یوه عنصر dA له هر دوه کوردینات سیستم کوم چی مایل په یوه زاویه دی په دی لاندی د بدلون معادلسره تړاو لري:

$$x' = x \cos \theta + y \sin \theta$$

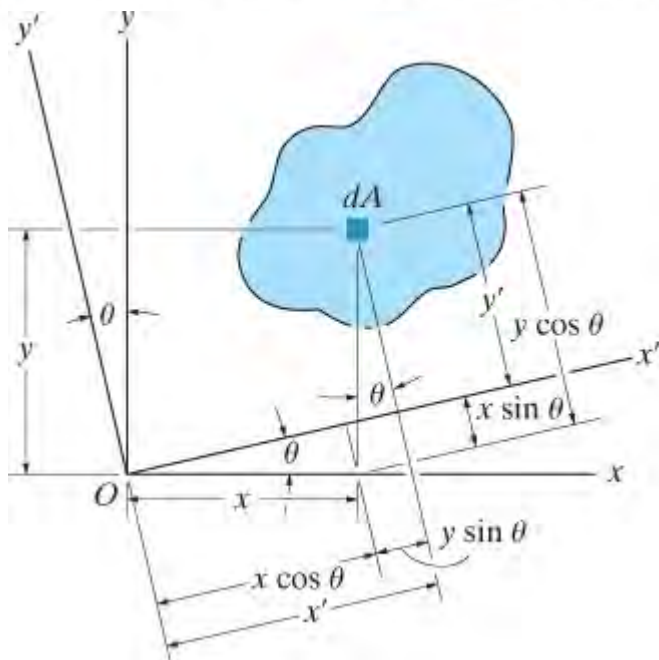
$$y' = y \cos \theta - x \sin \theta$$

ددی معادلو په کارولو سره مؤمنت او حاصل ضرب د انرشیا د عنصر dA په x' او y' محورونو عبارت دی په:

$$dI_{x'} = y'^2 dA = (y \cos \theta - x \sin \theta)^2 dA$$

$$dI_{y'} = x'^2 dA = (x \cos \theta + y \sin \theta)^2 dA$$

$$dI_{x'y'} = x'y' dA = (x \cos \theta + y \sin \theta)(y \cos \theta - x \sin \theta) dA$$



انځور A-13

دا اصطلاحگانی پراخه کوو او انتیگرال یی نیسو، او درک کوچی $I_x = \int y^2 dA$, $I_y = \int x^2 dA$ او $I_{xy} = \int xy dA$ مور لرو:

$$I_{x'} = I_x \cos^2 \theta + I_y \sin^2 \theta - 2I_{xy} \sin \theta \cos \theta$$

$$I_{y'} = I_x \sin^2 \theta + I_y \cos^2 \theta + 2I_{xy} \sin \theta \cos \theta$$

$$I_{x'y'} = I_x \sin \theta \cos \theta - I_y \sin \theta \cos \theta + I_{xy}(\cos^2 \theta - \sin^2 \theta)$$

دا معادلی کله چی د مثلثاتی ورته والی وکاروو نوری هم ساده کیدی شي، $\sin 2q = 2 \sin q \cos q$ ، او $\cos 2q = \cos^2 q - \sin^2 q$ ، چی پدی حالت کی:

$$\begin{aligned} I_{x'} &= \frac{I_x + I_y}{2} + \frac{I_x - I_y}{2} \cos 2\theta - I_{xy} \sin 2\theta \\ I_{y'} &= \frac{I_x + I_y}{2} - \frac{I_x - I_y}{2} \cos 2\theta + I_{xy} \sin 2\theta \\ I_{x'y'} &= \frac{I_x - I_y}{2} \sin 2\theta + I_{xy} \cos 2\theta \end{aligned} \quad (A-10)$$

اصلی انرشیايي مؤمنتونه (Principal Moments of Inertia)

څرنګه چی I_x ، I_y ، او $I_{x'y'}$ اړه لري، د محورونو x' ، y' د زاویې q په میلان سره، مور کولی شو معلومه کړو د دې محورونو لور، تر څو انرشیايي مؤمنت د ساحې، I_x او I_y ، اعظمي او لږ تر لږه شي. د محورونو دې ځانګړې جوړې ته **اصلي محورونه** د ساحې ویل کیږي، او اړونده انرشیايي مؤمنتونه د دې محورونو په اړه په نامه د **اصلي انرشیايي مؤمنتونو** یادول کیږي. په عموم کې، د هر ټاکل شوي اصلي مبدا O لپاره یو جوړه اصلي محورونه شتون لري؛ په هر صورت، د موادو په میخانیکونو کې د ساحې ثقل مرکز تر ټولو ډیر مهم موقعیت د O لپاره دی.

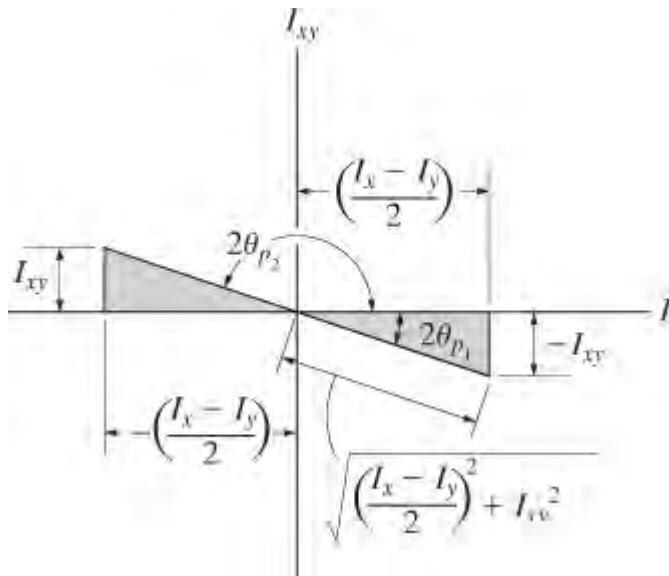
زاویه $q = q_p$ ، کوم چې د اصلي محورونو سمت تعریف کوي، په مشتق نیولو د لومړي حصی د معادلې A-10 نسبت q ته، او بیا پایلی مساوی په صفر شی. مور ترلاسه کوو

$$\frac{dI_{x'}}{d\theta} = -2\left(\frac{I_x - I_y}{2}\right) \sin 2\theta - 2I_{xy} \cos 2\theta = 0$$

نو دلته $q = q_p$

$$\tan 2\theta_p = \frac{-I_{xy}}{(I_x - I_y)/2} \quad (\text{A-11})$$

دا معادله دوه جذرونه لري q_{p1} او q_{p2} کوم چې 90° له یو بل جلا دی او په دی توگه د هر اصلي محور میلان مشخص کوي.



انخور A-14

ساین او کوساین د $2q_{p1}$ او $2q_{p2}$ له دو مثلثونو، انخور A-14 ، کوم چې پر بنسټ د معادلې A-11 ولار دي، په لاس راځي که چیری دا مثلثاتي اړیکې په اوله یا دوهمه اصطلاح د معادلې A-10 کی ځای په ځای او بیا ساده شي ، دا لاندی به حاصل شي:

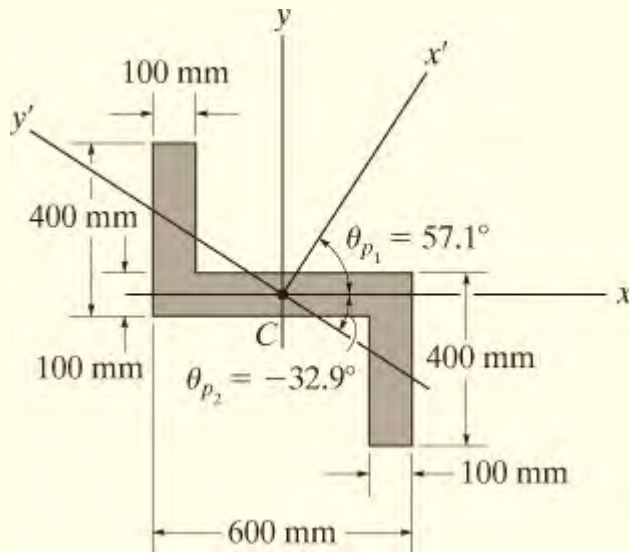
$$I_{\min}^{\max} = \frac{I_x + I_y}{2} \pm \sqrt{\left(\frac{I_x - I_y}{2}\right)^2 + I_{xy}^2} \quad (A-12)$$

دا پایله، اعظمي یا لږ تر لږ انرشيايي مؤمنت د ساحي ورکوي او هغه اړه لري په انتخاب شوي علامه پوري. برسېره پردې، که پورته مثلثاتي اړیکې د ساین او کوساین د $2q_{p1}$ او $2q_{p2}$ د دریم اصطلاح د معادلي A-10 کی حای په حای شي، دا به ولیدل شي چې $I_{x'y'} = 0$ ؛ یعنی د انرشيا محصول د اصلي محورونو صفر دی. څرنګه چې دا په برخه A.3 کې اشاره شوي چې د انرشيا ضرب محصول په هر متناظر محور صفر دی، پدی ډول دا تعقیبوي چې هر متناظر محور او یوبل محور ورباندې عمودي، استازیتوب د اصلي محور د انرشيا د ساحي کوي. په دې برخه کې ترلاسه شوي معادلي دي د سترس او سترین بدلون معادلو ورته دی کوم چې په فصلونه 9 او 10 کې په ترتیب سره رامینځته شوی، او د سترس او سترین په څیر، مور هم کولی شو دا معادلي د نیمه گرافیکي تخنیک په کارولو سره، چې د موهر د انرشيا دایری (*Mohr's Circle of inertia) په نوم یادېږي، حل کړی.*

* انجینری میکانیزم (*Engineering Mechanics*): ستاتیک 14th ed, R.C. Hibbeler, Pearson education, Inc. و گوري.

مثال A.5

اصلی انرشیايي مؤمنت د بیم د غوڅې برخې کوم چې په انځور A-15 کې ښودل شوی، نسبت یوه محورته چې له ثقل مرکز C تیرېږي، وټاکئ.



انځور A-15

حل

مؤمنتونه او د انرشیا ضرب د غوڅې برخې په اړه د x او y محورونو لپاره، په مثال A.3 او A.4 کې موندل شوی. پایلې یې عبارت دی په

$$I_x = 2.90(10^9) \text{ mm}^4 \quad I_y = 5.60(10^9) \text{ mm}^4 \quad I_{xy} = -3.00(10^9) \text{ mm}^4$$

د معادلی A-11 په کارولو، د تمایل زاویه د اصلی محورونو x' او y' عبارت ده په

$$\tan 2\theta_p = \frac{-I_{xy}}{(I_x - I_y)/2} = \frac{3.00(10^9)}{[2.90(10^9) - 5.60(10^9)]/2} = -2.22$$

$$2\theta_{p_1} = 114.2^\circ \quad \text{and} \quad 2\theta_{p_2} = -65.8^\circ$$

په دی توگه، څرنګه چی په انځور A-15 کی بنودل شوي

$$\theta_{p1} = 57.1^\circ \quad \text{and} \quad \theta_{p2} = -32.9^\circ$$

اصلی انرشیايي مؤمنتونه د x' او y' محورونولپاره، په کارولو د معادلی A-12 عبارت دی په

$$\begin{aligned}
I_{\max/\min} &= \frac{I_x + I_y}{2} \pm \sqrt{\left(\frac{I_x - I_y}{2}\right)^2 + I_{xy}^2} \\
&= \frac{2.90(10^9) + 5.60(10^9)}{2} \pm \sqrt{\left[\frac{2.90(10^9) - 5.60(10^9)}{2}\right]^2 + [-3.00(10^9)]^2} \\
&= 4.25(10^9) \pm 3.29(10^9)
\end{aligned}$$

یا

$$I_{\max} = 7.54(10^9) \text{ mm}^4 \quad I_{\min} = 0.960(10^9) \text{ mm}^4 \quad \text{Ans.}$$

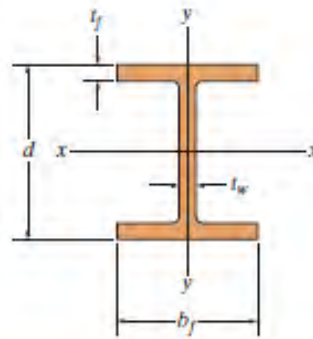
په ځانګړي توگه اعظمی انرشیايي مؤمنت $I_{\max} = 7.54 (10^9) \text{ mm}^4$ ، جوړیږی په اړه د x' محور (لوی محور)، دلته لیدل کیږی چی د غوڅی برخی اکثریت ساحه له دی محوره لری موقعیت لری. چی دا وبنودل شي، دیتا د $q = 57.1^\circ$ په اوله برخه د معادله A-10 کی ځای پر ځای کړي.

ضمیمه (APPENDIX) B

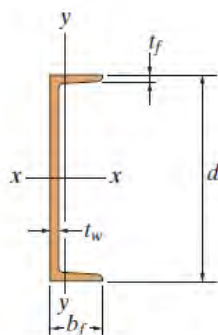
د ساختماني شکلونو هندسي خاصیتونه (GEOMETRIC PROPERTIES OF STRUCTURAL SHAPES)

Wide-Flange Sections or W Shapes FPS Units											
Designation	Area A	Depth d	Web thickness t _w	Flange		x-x axis			y-y axis		
				width b _f	thickness t _f	I	S	r	I	S	r
in. × lb/ft	in ²	in.	in.	in.	in.	in ⁴	in ³	in.	in ⁴	in ³	in.
W24 × 104	30.6	24.06	0.500	12.750	0.750	3100	258	10.1	259	40.7	2.91
W24 × 94	27.7	24.31	0.515	9.065	0.875	2700	222	9.87	109	24.0	1.98
W24 × 84	24.7	24.10	0.470	9.020	0.770	2370	196	9.79	94.4	20.9	1.95
W24 × 76	22.4	23.92	0.440	8.990	0.680	2100	176	9.69	82.5	18.4	1.92
W24 × 68	20.1	23.73	0.415	8.965	0.585	1830	154	9.55	70.4	15.7	1.87
W24 × 62	18.2	23.74	0.430	7.040	0.590	1550	131	9.23	34.5	9.80	1.38
W24 × 55	16.2	23.57	0.395	7.005	0.505	1350	114	9.11	29.1	8.30	1.34
W18 × 65	19.1	18.35	0.450	7.590	0.750	1070	117	7.49	54.8	14.4	1.69
W18 × 60	17.6	18.24	0.415	7.555	0.695	984	108	7.47	50.1	13.3	1.69
W18 × 55	16.2	18.11	0.390	7.530	0.630	890	98.3	7.41	44.9	11.9	1.67
W18 × 50	14.7	17.99	0.355	7.495	0.570	800	88.9	7.38	40.1	10.7	1.65
W18 × 46	13.5	18.06	0.360	6.060	0.605	712	78.8	7.25	22.5	7.43	1.29
W18 × 40	11.8	17.90	0.315	6.015	0.525	612	68.4	7.21	19.1	6.35	1.27
W18 × 35	10.3	17.70	0.300	6.000	0.425	510	57.6	7.04	15.3	5.12	1.22
W16 × 57	16.8	16.43	0.430	7.120	0.715	758	92.2	6.72	43.1	12.1	1.60
W16 × 50	14.7	16.26	0.380	7.070	0.630	659	81.0	6.68	37.2	10.5	1.59
W16 × 45	13.3	16.13	0.345	7.035	0.565	586	72.7	6.65	32.8	9.34	1.57
W16 × 36	10.6	15.86	0.295	6.985	0.430	448	56.5	6.51	24.5	7.00	1.52
W16 × 31	9.12	15.88	0.275	5.525	0.440	375	47.2	6.41	12.4	4.49	1.17
W16 × 26	7.68	15.69	0.250	5.500	0.345	301	38.4	6.26	9.59	3.49	1.12
W14 × 53	15.6	13.92	0.370	8.060	0.660	541	77.8	5.89	57.7	14.3	1.92
W14 × 43	12.6	13.66	0.305	7.995	0.530	428	62.7	5.82	45.2	11.3	1.89
W14 × 38	11.2	14.10	0.310	6.770	0.515	385	54.6	5.87	26.7	7.88	1.55
W14 × 34	10.0	13.98	0.285	6.745	0.455	340	48.6	5.83	23.3	6.91	1.53
W14 × 30	8.85	13.84	0.270	6.730	0.385	291	42.0	5.73	19.6	5.82	1.49
W14 × 26	7.69	13.91	0.255	5.025	0.420	245	35.3	5.65	8.91	3.54	1.08
W14 × 22	6.49	13.74	0.230	5.000	0.335	199	29.0	5.54	7.00	2.80	1.04

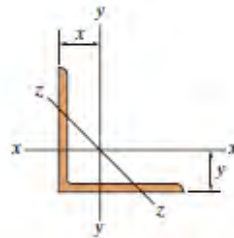
806



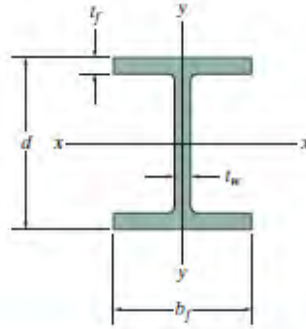
Wide-Flange Sections or W Shapes FPS Units											
Designation	Area <i>A</i>	Depth <i>d</i>	Web thickness <i>t_w</i>	Flange		x-x axis			y-y axis		
				width <i>b_f</i>	thickness <i>t_f</i>	<i>I</i>	<i>S</i>	<i>r</i>	<i>I</i>	<i>S</i>	<i>r</i>
in. × lb/ft	in ²	in.	in.	in.	in.	in ⁴	in ³	in.	in ⁴	in ³	in.
W12 × 87	25.6	12.53	0.515	12.125	0.810	740	118	5.38	241	39.7	3.07
W12 × 50	14.7	12.19	0.370	8.080	0.640	394	64.7	5.18	56.3	13.9	1.96
W12 × 45	13.2	12.06	0.335	8.045	0.575	350	58.1	5.15	50.0	12.4	1.94
W12 × 26	7.65	12.22	0.230	6.490	0.380	204	33.4	5.17	17.3	5.34	1.51
W12 × 22	6.48	12.31	0.260	4.030	0.425	156	25.4	4.91	4.66	2.31	0.847
W12 × 16	4.71	11.99	0.220	3.990	0.265	103	17.1	4.67	2.82	1.41	0.773
W12 × 14	4.16	11.91	0.200	3.970	0.225	88.6	14.9	4.62	2.36	1.19	0.753
W10 × 100	29.4	11.10	0.680	10.340	1.120	623	112	4.60	207	40.0	2.65
W10 × 54	15.8	10.09	0.370	10.030	0.615	303	60.0	4.37	103	20.6	2.56
W10 × 45	13.3	10.10	0.350	8.020	0.620	248	49.1	4.32	53.4	13.3	2.01
W10 × 39	11.5	9.92	0.315	7.985	0.530	209	42.1	4.27	45.0	11.3	1.98
W10 × 30	8.84	10.47	0.300	5.810	0.510	170	32.4	4.38	16.7	5.75	1.37
W10 × 19	5.62	10.24	0.250	4.020	0.395	96.3	18.8	4.14	4.29	2.14	0.874
W10 × 15	4.41	9.99	0.230	4.000	0.270	68.9	13.8	3.95	2.89	1.45	0.810
W10 × 12	3.54	9.87	0.190	3.960	0.210	53.8	10.9	3.90	2.18	1.10	0.785
W8 × 67	19.7	9.00	0.570	8.280	0.935	272	60.4	3.72	88.6	21.4	2.12
W8 × 58	17.1	8.75	0.510	8.220	0.810	228	52.0	3.65	75.1	18.3	2.10
W8 × 48	14.1	8.50	0.400	8.110	0.685	184	43.3	3.61	60.9	15.0	2.08
W8 × 40	11.7	8.25	0.360	8.070	0.560	146	35.5	3.53	49.1	12.2	2.04
W8 × 31	9.13	8.00	0.285	7.995	0.435	110	27.5	3.47	37.1	9.27	2.02
W8 × 24	7.08	7.93	0.245	6.495	0.400	82.8	20.9	3.42	18.3	5.63	1.61
W8 × 15	4.44	8.11	0.245	4.015	0.315	48.0	11.8	3.29	3.41	1.70	0.876
W6 × 25	7.34	6.38	0.320	6.080	0.455	53.4	16.7	2.70	17.1	5.61	1.52
W6 × 20	5.87	6.20	0.260	6.020	0.365	41.4	13.4	2.66	13.3	4.41	1.50
W6 × 16	4.74	6.28	0.260	4.030	0.405	32.1	10.2	2.60	4.43	2.20	0.966
W6 × 15	4.43	5.99	0.230	5.990	0.260	29.1	9.72	2.56	9.32	3.11	1.46
W6 × 12	3.55	6.03	0.230	4.000	0.280	22.1	7.31	2.49	2.99	1.50	0.918
W6 × 9	2.68	5.90	0.170	3.940	0.215	16.4	5.56	2.47	2.19	1.11	0.905



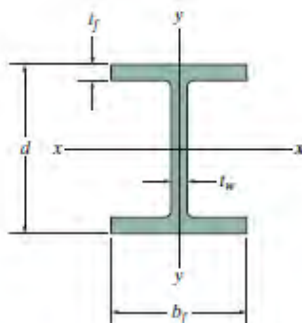
American Standard Channels or C Shapes FPS Units														
Designation	Area <i>A</i>	Depth <i>d</i>	Web thickness <i>t_w</i>		Flange			x-x axis			y-y axis			
					width <i>b_f</i>	thickness <i>t_f</i>		<i>I</i>	<i>S</i>	<i>r</i>	<i>I</i>	<i>S</i>	<i>r</i>	
in. × lb/ft	in ²	in.	in.		in.	in.		in ⁴	in ³	in.	in ⁴	in ³	in.	
C15 × 50	14.7	15.00	0.716	11/16	3.716	3 3/4	0.650	5/8	404	53.8	5.24	11.0	3.78	0.867
C15 × 40	11.8	15.00	0.520	1/2	3.520	3 1/2	0.650	5/8	349	46.5	5.44	9.23	3.37	0.886
C15 × 33.9	9.96	15.00	0.400	3/8	3.400	3 3/8	0.650	5/8	315	42.0	5.62	8.13	3.11	0.904
C12 × 30	8.82	12.00	0.510	1/2	3.170	3 1/8	0.501	1/2	162	27.0	4.29	5.14	2.06	0.763
C12 × 25	7.35	12.00	0.387	3/8	3.047	3	0.501	1/2	144	24.1	4.43	4.47	1.88	0.780
C12 × 20.7	6.09	12.00	0.282	5/16	2.942	3	0.501	1/2	129	21.5	4.61	3.88	1.73	0.799
C10 × 30	8.82	10.00	0.673	11/16	3.033	3	0.436	7/16	103	20.7	3.42	3.94	1.65	0.669
C10 × 25	7.35	10.00	0.526	1/2	2.886	2 7/8	0.436	7/16	91.2	18.2	3.52	3.36	1.48	0.676
C10 × 20	5.88	10.00	0.379	3/8	2.739	2 3/4	0.436	7/16	78.9	15.8	3.66	2.81	1.32	0.692
C10 × 15.3	4.49	10.00	0.240	1/4	2.600	2 5/8	0.436	7/16	67.4	13.5	3.87	2.28	1.16	0.713
C9 × 20	5.88	9.00	0.448	7/16	2.648	2 5/8	0.413	7/16	60.9	13.5	3.22	2.42	1.17	0.642
C9 × 15	4.41	9.00	0.285	5/16	2.485	2 1/2	0.413	7/16	51.0	11.3	3.40	1.93	1.01	0.661
C9 × 13.4	3.94	9.00	0.233	1/4	2.433	2 3/8	0.413	7/16	47.9	10.6	3.48	1.76	0.962	0.669
C8 × 18.75	5.51	8.00	0.487	1/2	2.527	2 1/2	0.390	3/8	44.0	11.0	2.82	1.98	1.01	0.599
C8 × 13.75	4.04	8.00	0.303	5/16	2.343	2 3/8	0.390	3/8	36.1	9.03	2.99	1.53	0.854	0.615
C8 × 11.5	3.38	8.00	0.220	1/4	2.260	2 1/4	0.390	3/8	32.6	8.14	3.11	1.32	0.781	0.625
C7 × 14.75	4.33	7.00	0.419	7/16	2.299	2 1/4	0.366	3/8	27.2	7.78	2.51	1.38	0.779	0.564
C7 × 12.25	3.60	7.00	0.314	5/16	2.194	2 1/4	0.366	3/8	24.2	6.93	2.60	1.17	0.703	0.571
C7 × 9.8	2.87	7.00	0.210	3/16	2.090	2 1/8	0.366	3/8	21.3	6.08	2.72	0.968	0.625	0.581
C6 × 13	3.83	6.00	0.437	7/16	2.157	2 1/8	0.343	5/16	17.4	5.80	2.13	1.05	0.642	0.525
C6 × 10.5	3.09	6.00	0.314	5/16	2.034	2	0.343	5/16	15.2	5.06	2.22	0.866	0.564	0.529
C6 × 8.2	2.40	6.00	0.200	3/16	1.920	1 7/8	0.343	5/16	13.1	4.38	2.34	0.693	0.492	0.537
C5 × 9	2.64	5.00	0.325	5/16	1.885	1 7/8	0.320	5/16	8.90	3.56	1.83	0.632	0.450	0.489
C5 × 6.7	1.97	5.00	0.190	3/16	1.750	1 3/4	0.320	5/16	7.49	3.00	1.95	0.479	0.378	0.493
C4 × 7.25	2.13	4.00	0.321	5/16	1.721	1 3/4	0.296	5/16	4.59	2.29	1.47	0.433	0.343	0.450
C4 × 5.4	1.59	4.00	0.184	3/16	1.584	1 5/8	0.296	5/16	3.85	1.93	1.56	0.319	0.283	0.449
C3 × 6	1.76	3.00	0.356	3/8	1.596	1 5/8	0.273	1/4	2.07	1.38	1.08	0.305	0.268	0.416
C3 × 5	1.47	3.00	0.258	1/4	1.498	1 1/2	0.273	1/4	1.85	1.24	1.12	0.247	0.233	0.410
C3 × 4.1	1.21	3.00	0.170	3/16	1.410	1 3/8	0.273	1/4	1.66	1.10	1.17	0.197	0.202	0.404



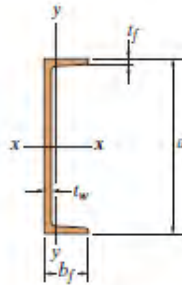
Angles Having Equal Legs FPS Units											
Size and thickness	Weight per foot	Area A	x-x axis				y-y axis				z-z axis
			I	S	r	y	I	S	r	x	r
in.	lb	in ²	in ⁴	in ³	in.	in.	in ⁴	in ³	in.	in.	in.
L8 × 8 × 1	51.0	15.0	89.0	15.8	2.44	2.37	89.0	15.8	2.44	2.37	1.56
L8 × 8 × 3/4	38.9	11.4	69.7	12.2	2.47	2.28	69.7	12.2	2.47	2.28	1.58
L8 × 8 × 1/2	26.4	7.75	48.6	8.36	2.50	2.19	48.6	8.36	2.50	2.19	1.59
L6 × 6 × 1	37.4	11.0	35.5	8.57	1.80	1.86	35.5	8.57	1.80	1.86	1.17
L6 × 6 × 3/4	28.7	8.44	28.2	6.66	1.83	1.78	28.2	6.66	1.83	1.78	1.17
L6 × 6 × 1/2	19.6	5.75	19.9	4.61	1.86	1.68	19.9	4.61	1.86	1.68	1.18
L6 × 6 × 3/8	14.9	4.36	15.4	3.53	1.88	1.64	15.4	3.53	1.88	1.64	1.19
L5 × 5 × 3/4	23.6	6.94	15.7	4.53	1.51	1.52	15.7	4.53	1.51	1.52	0.975
L5 × 5 × 1/2	16.2	4.75	11.3	3.16	1.54	1.43	11.3	3.16	1.54	1.43	0.983
L5 × 5 × 3/8	12.3	3.61	8.74	2.42	1.56	1.39	8.74	2.42	1.56	1.39	0.990
L4 × 4 × 3/4	18.5	5.44	7.67	2.81	1.19	1.27	7.67	2.81	1.19	1.27	0.778
L4 × 4 × 1/2	12.8	3.75	5.56	1.97	1.22	1.18	5.56	1.97	1.22	1.18	0.782
L4 × 4 × 3/8	9.8	2.86	4.36	1.52	1.23	1.14	4.36	1.52	1.23	1.14	0.788
L4 × 4 × 1/4	6.6	1.94	3.04	1.05	1.25	1.09	3.04	1.05	1.25	1.09	0.795
L3 1/2 × 3 1/2 × 1/2	11.1	3.25	3.64	1.49	1.06	1.06	3.64	1.49	1.06	1.06	0.683
L3 1/2 × 3 1/2 × 1/4	8.5	2.48	2.87	1.15	1.07	1.01	2.87	1.15	1.07	1.01	0.687
L3 1/2 × 3 1/2 × 1/8	5.8	1.69	2.01	0.794	1.09	0.968	2.01	0.794	1.09	0.968	0.694
L3 × 3 × 1/2	9.4	2.75	2.22	1.07	0.898	0.932	2.22	1.07	0.898	0.932	0.584
L3 × 3 × 3/4	7.2	2.11	1.76	0.833	0.913	0.888	1.76	0.833	0.913	0.888	0.587
L3 × 3 × 1/4	4.9	1.44	1.24	0.577	0.930	0.842	1.24	0.577	0.930	0.842	0.592
L2 1/2 × 2 1/2 × 1/2	7.7	2.25	1.23	0.724	0.739	0.806	1.23	0.724	0.739	0.806	0.487
L2 1/2 × 2 1/2 × 3/8	5.9	1.73	0.984	0.566	0.753	0.762	0.984	0.566	0.753	0.762	0.487
L2 1/2 × 2 1/2 × 1/4	4.1	1.19	0.703	0.394	0.769	0.717	0.703	0.394	0.769	0.717	0.491
L2 × 2 × 3/8	4.7	1.36	0.479	0.351	0.594	0.636	0.479	0.351	0.594	0.636	0.389
L2 × 2 × 1/4	3.19	0.938	0.348	0.247	0.609	0.592	0.348	0.247	0.609	0.592	0.391
L2 × 2 × 3/16	1.65	0.484	0.190	0.131	0.626	0.546	0.190	0.131	0.626	0.546	0.398



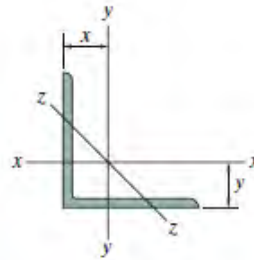
Wide-Flange Sections or W Shapes SI Units											
Designation	Area A	Depth d	Web thickness t_w	Flange		x-x axis			y-y axis		
				width b_f	thickness t_f	I	S	r	I	S	r
mm × kg/m	mm ²	mm	mm	mm	mm	10 ⁶ mm ⁴	10 ³ mm ³	mm	10 ⁶ mm ⁴	10 ³ mm ³	mm
W610 × 155	19 800	611	12.70	324.0	19.0	1 290	4 220	255	108	667	73.9
W610 × 140	17 900	617	13.10	230.0	22.2	1 120	3 630	250	45.1	392	50.2
W610 × 125	15 900	612	11.90	229.0	19.6	985	3 220	249	39.3	343	49.7
W610 × 113	14 400	608	11.20	228.0	17.3	875	2 880	247	34.3	301	48.8
W610 × 101	12 900	603	10.50	228.0	14.9	764	2 530	243	29.5	259	47.8
W610 × 92	11 800	603	10.90	179.0	15.0	646	2 140	234	14.4	161	34.9
W610 × 82	10 500	599	10.00	178.0	12.8	560	1 870	231	12.1	136	33.9
W460 × 97	12 300	466	11.40	193.0	19.0	445	1 910	190	22.8	236	43.1
W460 × 89	11 400	463	10.50	192.0	17.7	410	1 770	190	20.9	218	42.8
W460 × 82	10 400	460	9.91	191.0	16.0	370	1 610	189	18.6	195	42.3
W460 × 74	9 460	457	9.02	190.0	14.5	333	1 460	188	16.6	175	41.9
W460 × 68	8 730	459	9.14	154.0	15.4	297	1 290	184	9.41	122	32.8
W460 × 60	7 590	455	8.00	153.0	13.3	255	1 120	183	7.96	104	32.4
W460 × 52	6 640	450	7.62	152.0	10.8	212	942	179	6.34	83.4	30.9
W410 × 85	10 800	417	10.90	181.0	18.2	315	1 510	171	18.0	199	40.8
W410 × 74	9 510	413	9.65	180.0	16.0	275	1 330	170	15.6	173	40.5
W410 × 67	8 560	410	8.76	179.0	14.4	245	1 200	169	13.8	154	40.2
W410 × 53	6 820	403	7.49	177.0	10.9	186	923	165	10.1	114	38.5
W410 × 46	5 890	403	6.99	140.0	11.2	156	774	163	5.14	73.4	29.5
W410 × 39	4 960	399	6.35	140.0	8.8	126	632	159	4.02	57.4	28.5
W360 × 79	10 100	354	9.40	205.0	16.8	227	1 280	150	24.2	236	48.9
W360 × 64	8 150	347	7.75	203.0	13.5	179	1 030	148	18.8	185	48.0
W360 × 57	7 200	358	7.87	172.0	13.1	160	894	149	11.1	129	39.3
W360 × 51	6 450	355	7.24	171.0	11.6	141	794	148	9.68	113	38.7
W360 × 45	5 710	352	6.86	171.0	9.8	121	688	146	8.16	95.4	37.8
W360 × 39	4 960	353	6.48	128.0	10.7	102	578	143	3.75	58.6	27.5
W360 × 33	4 190	349	5.84	127.0	8.5	82.9	475	141	2.91	45.8	26.4



Wide-Flange Sections or W Shapes SI Units											
Designation	Area A	Depth d	Web thickness t_w	Flange		x-x axis			y-y axis		
				width b_f	thickness t_f	I	S	r	I	S	r
mm × kg/m	mm ²	mm	mm	mm	mm	10 ⁶ mm ⁴	10 ³ mm ³	mm	10 ⁶ mm ⁴	10 ³ mm ³	mm
W310 × 129	16 500	318	13.10	308.0	20.6	308	1940	137	100	649	77.8
W310 × 74	9 480	310	9.40	205.0	16.3	165	1060	132	23.4	228	49.7
W310 × 67	8 530	306	8.51	204.0	14.6	145	948	130	20.7	203	49.3
W310 × 39	4 930	310	5.84	165.0	9.7	84.8	547	131	7.23	87.6	38.3
W310 × 33	4 180	313	6.60	102.0	10.8	65.0	415	125	1.92	37.6	21.4
W310 × 24	3 040	305	5.59	101.0	6.7	42.8	281	119	1.16	23.0	19.5
W310 × 21	2 680	303	5.08	101.0	5.7	37.0	244	117	0.986	19.5	19.2
W250 × 149	19 000	282	17.30	263.0	28.4	259	1840	117	86.2	656	67.4
W250 × 80	10 200	256	9.40	255.0	15.6	126	984	111	43.1	338	65.0
W250 × 67	8 560	257	8.89	204.0	15.7	104	809	110	22.2	218	50.9
W250 × 58	7 400	252	8.00	203.0	13.5	87.3	693	109	18.8	185	50.4
W250 × 45	5 700	266	7.62	148.0	13.0	71.1	535	112	7.03	95	35.1
W250 × 28	3 620	260	6.35	102.0	10.0	39.9	307	105	1.78	34.9	22.2
W250 × 22	2 850	254	5.84	102.0	6.9	28.8	227	101	1.22	23.9	20.7
W250 × 18	2 280	251	4.83	101.0	5.3	22.5	179	99.3	0.919	18.2	20.1
W200 × 100	12 700	229	14.50	210.0	23.7	113	987	94.3	36.6	349	53.7
W200 × 86	11 000	222	13.00	209.0	20.6	94.7	853	92.8	31.4	300	53.4
W200 × 71	9 100	216	10.20	206.0	17.4	76.6	709	91.7	25.4	247	52.8
W200 × 59	7 580	210	9.14	205.0	14.2	61.2	583	89.9	20.4	199	51.9
W200 × 46	5 890	203	7.24	203.0	11.0	45.5	448	87.9	15.3	151	51.0
W200 × 36	4 570	201	6.22	165.0	10.2	34.4	342	86.8	7.64	92.6	40.9
W200 × 22	2 860	206	6.22	102.0	8.0	20.0	194	83.6	1.42	278	22.3
W150 × 37	4 730	162	8.13	154.0	11.6	22.2	274	68.5	7.07	91.8	38.7
W150 × 30	3 790	157	6.60	153.0	9.3	17.1	218	67.2	5.54	72.4	38.2
W150 × 22	2 860	152	5.84	152.0	6.6	12.1	159	65.0	3.87	50.9	36.8
W150 × 24	3 060	160	6.60	102.0	10.3	13.4	168	66.2	1.83	35.9	24.5
W150 × 18	2 290	153	5.84	102.0	7.1	9.19	120	63.3	1.26	24.7	23.5
W150 × 14	1 730	150	4.32	100.0	5.5	6.84	91.2	62.9	0.912	18.2	23.0



American Standard Channels or C Shapes SI Units											
Designation	Area A	Depth d	Web thickness t_w	Flange		x-x axis			y-y axis		
				width b_f	thickness t_f	I	S	r	I	S	r
mm × kg/m	mm ²	mm	mm	mm	mm	10 ⁶ mm ⁴	10 ³ mm ³	mm	10 ⁶ mm ⁴	10 ³ mm ³	mm
C380 × 74	9 480	381.0	18.20	94.4	16.50	168	882	133	4.58	61.8	22.0
C380 × 60	7 610	381.0	13.20	89.4	16.50	145	761	138	3.84	55.1	22.5
C380 × 50	6 430	381.0	10.20	86.4	16.50	131	688	143	3.38	50.9	22.9
C310 × 45	5 690	305.0	13.00	80.5	12.70	67.4	442	109	2.14	33.8	19.4
C310 × 37	4 740	305.0	9.83	77.4	12.70	59.9	393	112	1.86	30.9	19.8
C310 × 31	3 930	305.0	7.16	74.7	12.70	53.7	352	117	1.61	28.3	20.2
C250 × 45	5 690	254.0	17.10	77.0	11.10	42.9	338	86.8	1.61	27.1	17.0
C250 × 37	4 740	254.0	13.40	73.3	11.10	38.0	299	89.5	1.40	24.3	17.2
C250 × 30	3 790	254.0	9.63	69.6	11.10	32.8	258	93.0	1.17	21.6	17.6
C250 × 23	2 900	254.0	6.10	66.0	11.10	28.1	221	98.4	0.949	19.0	18.1
C230 × 30	3 790	229.0	11.40	67.3	10.50	25.3	221	81.7	1.01	19.2	16.3
C230 × 22	2 850	229.0	7.24	63.1	10.50	21.2	185	86.2	0.803	16.7	16.8
C230 × 20	2 540	229.0	5.92	61.8	10.50	19.9	174	88.5	0.733	15.8	17.0
C200 × 28	3 550	203.0	12.40	64.2	9.90	18.3	180	71.8	0.824	16.5	15.2
C200 × 20	2 610	203.0	7.70	59.5	9.90	15.0	148	75.8	0.637	14.0	15.6
C200 × 17	2 180	203.0	5.59	57.4	9.90	13.6	134	79.0	0.549	12.8	15.9
C180 × 22	2 790	178.0	10.60	58.4	9.30	11.3	127	63.6	0.574	12.8	14.3
C180 × 18	2 320	178.0	7.98	55.7	9.30	10.1	113	66.0	0.487	11.5	14.5
C180 × 15	1 850	178.0	5.33	53.1	9.30	8.87	99.7	69.2	0.403	10.2	14.8
C150 × 19	2 470	152.0	11.10	54.8	8.70	7.24	95.3	54.1	0.437	10.5	13.3
C150 × 16	1 990	152.0	7.98	51.7	8.70	6.33	83.3	56.4	0.360	9.22	13.5
C150 × 12	1 550	152.0	5.08	48.8	8.70	5.45	71.7	59.3	0.288	8.04	13.6
C130 × 13	1 700	127.0	8.25	47.9	8.10	3.70	58.3	46.7	0.263	7.35	12.4
C130 × 10	1 270	127.0	4.83	44.5	8.10	3.12	49.1	49.6	0.199	6.18	12.5
C100 × 11	1 370	102.0	8.15	43.7	7.50	1.91	37.5	37.3	0.180	5.62	11.5
C100 × 8	1 030	102.0	4.67	40.2	7.50	1.60	31.4	39.4	0.133	4.65	11.4
C75 × 9	1 140	76.2	9.04	40.5	6.90	0.862	22.6	27.5	0.127	4.39	10.6
C75 × 7	948	76.2	6.55	38.0	6.90	0.770	20.2	28.5	0.103	3.83	10.4
C75 × 6	781	76.2	4.32	35.8	6.90	0.691	18.1	29.8	0.082	3.32	10.2

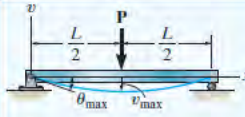
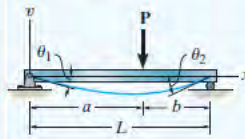
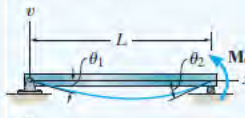
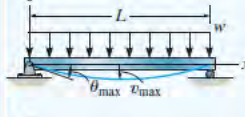
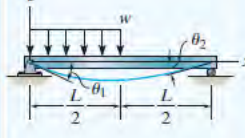
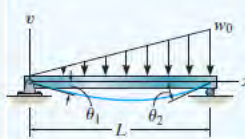


Angles Having Equal Legs SI Units											
Size and thickness	Mass per Meter	Area	x-x axis				y-y axis				z-z axis
			I	S	r	y	I	S	r	x	r
mm	kg	mm ²	10 ⁶ mm ⁴	10 ⁶ mm ³	mm	mm	10 ⁶ mm ⁴	10 ⁶ mm ³	mm	mm	mm
L203 × 203 × 25.4	75.9	9 680	36.9	258	61.7	60.1	36.9	258	61.7	60.1	39.6
L203 × 203 × 19.0	57.9	7 380	28.9	199	62.6	57.8	28.9	199	62.6	57.8	40.1
L203 × 203 × 12.7	39.3	5 000	20.2	137	63.6	55.5	20.2	137	63.6	55.5	40.4
L152 × 152 × 25.4	55.7	7 100	14.6	139	45.3	47.2	14.6	139	45.3	47.2	29.7
L152 × 152 × 19.0	42.7	5 440	11.6	108	46.2	45.0	11.6	108	46.2	45.0	29.7
L152 × 152 × 12.7	29.2	3 710	8.22	75.1	47.1	42.7	8.22	75.1	47.1	42.7	30.0
L152 × 152 × 9.5	22.2	2 810	6.35	57.4	47.5	41.5	6.35	57.4	47.5	41.5	30.2
L127 × 127 × 19.0	35.1	4 480	6.54	73.9	38.2	38.7	6.54	73.9	38.2	38.7	24.8
L127 × 127 × 12.7	24.1	3 060	4.68	51.7	39.1	36.4	4.68	51.7	39.1	36.4	25.0
L127 × 127 × 9.5	18.3	2 330	3.64	39.7	39.5	35.3	3.64	39.7	39.5	35.3	25.1
L102 × 102 × 19.0	27.5	3 510	3.23	46.4	30.3	32.4	3.23	46.4	30.3	32.4	19.8
L102 × 102 × 12.7	19.0	2 420	2.34	32.6	31.1	30.2	2.34	32.6	31.1	30.2	19.9
L102 × 102 × 9.5	14.6	1 840	1.84	25.3	31.6	29.0	1.84	25.3	31.6	29.0	20.0
L102 × 102 × 6.4	9.8	1 250	1.28	17.3	32.0	27.9	1.28	17.3	32.0	27.9	20.2
L89 × 89 × 12.7	16.5	2 100	1.52	24.5	26.9	26.9	1.52	24.5	26.9	26.9	17.3
L89 × 89 × 9.5	12.6	1 600	1.20	19.0	27.4	25.8	1.20	19.0	27.4	25.8	17.4
L89 × 89 × 6.4	8.6	1 090	0.840	13.0	27.8	24.6	0.840	13.0	27.8	24.6	17.6
L76 × 76 × 12.7	14.0	1 770	0.915	17.5	22.7	23.6	0.915	17.5	22.7	23.6	14.8
L76 × 76 × 9.5	10.7	1 360	0.726	13.6	23.1	22.5	0.726	13.6	23.1	22.5	14.9
L76 × 76 × 6.4	7.3	927	0.514	9.39	23.5	21.3	0.514	9.39	23.5	21.3	15.0
L64 × 64 × 12.7	11.5	1 450	0.524	12.1	19.0	20.6	0.524	12.1	19.0	20.6	12.4
L64 × 64 × 9.5	8.8	1 120	0.420	9.46	19.4	19.5	0.420	9.46	19.4	19.5	12.4
L64 × 64 × 6.4	6.1	766	0.300	6.59	19.8	18.2	0.300	6.59	19.8	18.2	12.5
L51 × 51 × 9.5	7.0	877	0.202	5.82	15.2	16.2	0.202	5.82	15.2	16.2	9.88
L51 × 51 × 6.4	4.7	605	0.146	4.09	15.6	15.1	0.146	4.09	15.6	15.1	9.93
L51 × 51 × 3.2	2.5	312	0.080	2.16	16.0	13.9	0.080	2.16	16.0	13.9	10.1

APPENDIX
C

د بيمونو ميلان او بيخايه كيدنه

SLOPES AND DEFLECTIONS OF BEAMS

Beam	Slope	Deflection	Elastic Curve
	$\theta_{max} = \frac{-PL^2}{16EI}$	$v_{max} = \frac{-PL^3}{48EI}$	$v = \frac{-Px}{48EI} (3L^2 - 4x^2)$ $0 \leq x \leq L/2$
	$\theta_1 = \frac{-Pab(L+b)}{6EIL}$ $\theta_2 = \frac{Pab(L+a)}{6EIL}$	$v _{x=a} = \frac{-Pba}{6EIL} (L^2 - b^2 - a^2)$	$v = \frac{-Pbx}{6EIL} (L^2 - b^2 - x^2)$ $0 \leq x \leq a$
	$\theta_1 = \frac{-M_0L}{6EI}$ $\theta_2 = \frac{M_0L}{3EI}$	$v_{max} = \frac{-M_0L^2}{9\sqrt{3}EI}$ at $x = 0.5774L$	$v = \frac{-M_0x}{6EIL} (L^2 - x^2)$
	$\theta_{max} = \frac{-wL^3}{24EI}$	$v_{max} = \frac{-5wL^4}{384EI}$	$v = \frac{-wx}{24EI} (x^3 - 2Lx^2 + L^3)$
	$\theta_1 = \frac{-3wL^3}{128EI}$ $\theta_2 = \frac{7wL^3}{384EI}$	$v _{x=L/2} = \frac{-5wL^4}{768EI}$ $v_{max} = -0.006563 \frac{wL^4}{EI}$ at $x = 0.4598L$	$v = \frac{-wx}{384EI} (16x^3 - 24Lx^2 + 9L^3)$ $0 \leq x \leq L/2$ $v = \frac{-wL}{384EI} (8x^3 - 24Lx^2 + 17L^2x - L^3)$ $L/2 \leq x < L$
	$\theta_1 = \frac{-7w_0L^3}{360EI}$ $\theta_2 = \frac{w_0L^3}{45EI}$	$v_{max} = -0.00652 \frac{w_0L^4}{EI}$ at $x = 0.5193L$	$v = \frac{-w_0x}{360EI} (3x^4 - 10L^2x^2 + 7L^4)$

814

Cantilevered Beam Slopes and Deflections			
Beam	Slope	Deflection	Elastic Curve
	$\theta_{\max} = \frac{-PL^2}{2EI}$	$v_{\max} = \frac{-PL^3}{3EI}$	$v = \frac{-Px^2}{6EI} (3L - x)$
	$\theta_{\max} = \frac{-PL^2}{8EI}$	$v_{\max} = \frac{-5PL^3}{48EI}$	$v = \frac{-Px^2}{12EI} (3L - 2x) \quad 0 \leq x \leq L/2$ $v = \frac{-PL^2}{48EI} (6x - L) \quad L/2 \leq x \leq L$
	$\theta_{\max} = \frac{-wL^3}{6EI}$	$v_{\max} = \frac{-wL^4}{8EI}$	$v = \frac{-wx^2}{24EI} (x^2 - 4Lx + 6L^2)$
	$\theta_{\max} = \frac{M_0L}{EI}$	$v_{\max} = \frac{M_0L^2}{2EI}$	$v = \frac{M_0x^2}{2EI}$
	$\theta_{\max} = \frac{-wL^3}{48EI}$	$v_{\max} = \frac{-7wL^4}{384EI}$	$v = \frac{-wx^2}{24EI} (x^2 - 2Lx + \frac{3}{2}L^2) \quad 0 \leq x \leq L/2$ $v = \frac{-wL^3}{384EI} (8x - L) \quad L/2 \leq x \leq L$
	$\theta_{\max} = \frac{-w_0L^3}{24EI}$	$v_{\max} = \frac{-w_0L^4}{30EI}$	$v = \frac{-w_0x^2}{120EIL} (10L^3 - 10L^2x + 5Lx^2 - x^3)$

C

د ابتدایي سوالونو ځوابونه

ضمیمه

Solutions and Answers)
for Preliminary
(Problems

د ابتدایي سوالونو ځوابونه
(Solution and Answers for
Preliminary Problems)

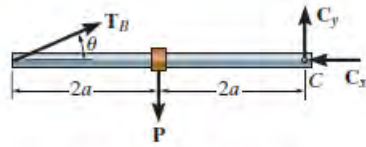
په دی برخه کی د پوښتنو اول ټکی د پښتو او انگلیسی
په دی لاندی ډول بدل شوي دي . حرف د P بدل کړي
په ل

د بیلگی په توگه

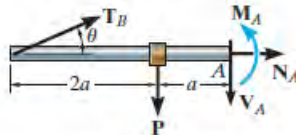
$$P1-1 = 1-1 \quad L$$

Solutions and Answers for Preliminary Problems

P1-1a.

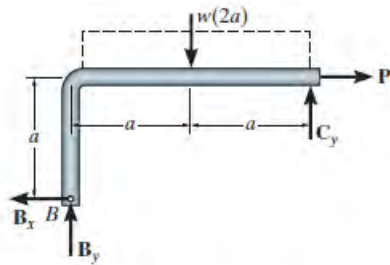


$$\zeta + \sum M_C = 0; \text{ get } T_B$$

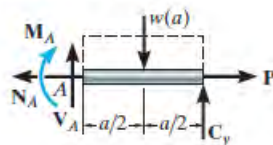


$$\begin{aligned} \pm \sum F_x = 0; & \text{ get } N_A \\ + \uparrow \sum F_y = 0; & \text{ get } V_A \\ \zeta + \sum M_A = 0; & \text{ get } M_A \end{aligned}$$

P1-1b.

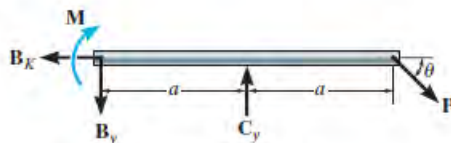


$$\zeta + \sum M_B = 0; \text{ get } C_y$$



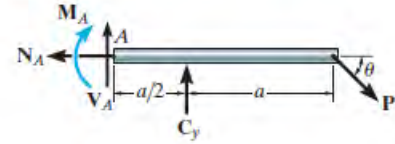
$$\begin{aligned} \pm \sum F_x = 0; & \text{ get } N_A \\ + \uparrow \sum F_y = 0; & \text{ get } V_A \\ \zeta + \sum M_A = 0; & \text{ get } M_A \end{aligned}$$

P1-1c.



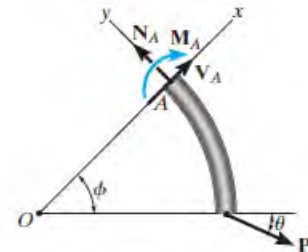
$$\zeta + \sum M_B = 0; \text{ get } C_y$$

816



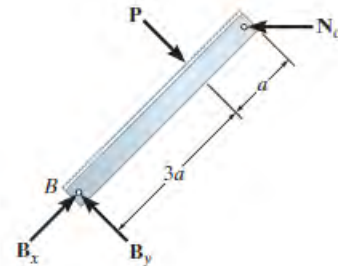
$$\begin{aligned} \pm \sum F_x = 0; & \text{ get } N_A \\ + \uparrow \sum F_y = 0; & \text{ get } V_A \\ \zeta + \sum M_A = 0; & \text{ get } M_A \end{aligned}$$

P1-1d.

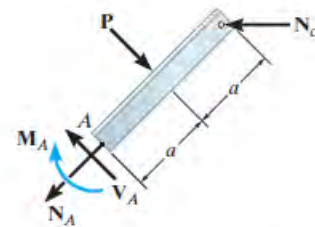


$$\begin{aligned} + \curvearrowright \sum F_y = 0; & \text{ get } N_A \\ + \curvearrowright \sum F_x = 0; & \text{ get } V_A \\ \zeta + \sum M_O = 0 \text{ or } \sum M_A = 0; & \text{ get } M_A \end{aligned}$$

P1-1e.

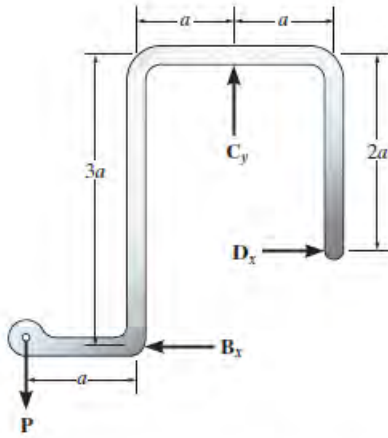


$$\zeta + \sum M_B = 0; \text{ get } N_C$$

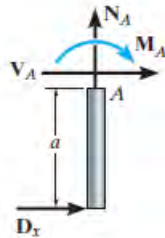


$$\begin{aligned} + \curvearrowright \sum F_x = 0; & \text{ get } N_A \\ + \curvearrowright \sum F_y = 0; & \text{ get } V_A \\ \zeta + \sum M_A = 0; & \text{ get } M_A \end{aligned}$$

P1-1f.

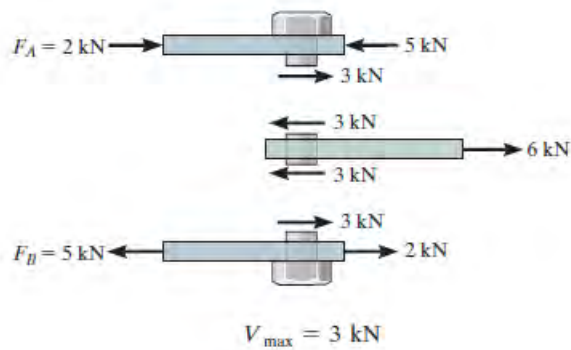


$+\uparrow \sum F_y = 0$; get $C_y (= P)$
 $\zeta + \sum M_B = 0$; get D_x



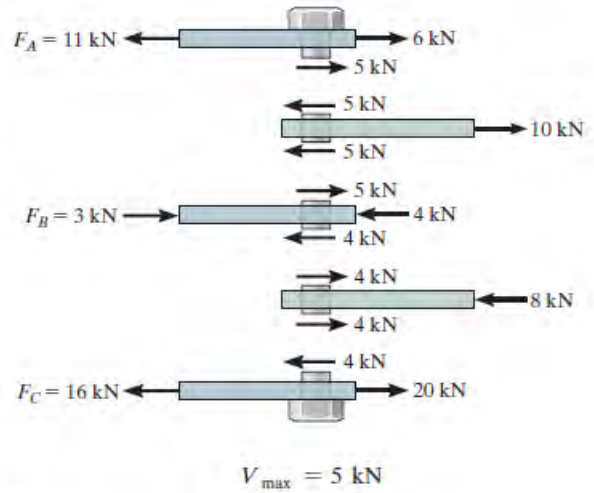
$+\uparrow \sum F_y = 0$; get $N_A (= 0)$
 $\pm \sum F_x = 0$; get V_A
 $\zeta + \sum M_A = 0$; get M_A

P1-2a.



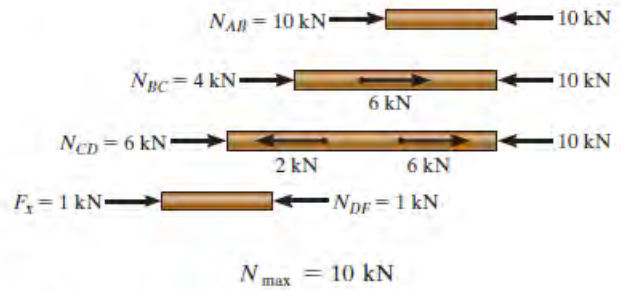
$V_{max} = 3 \text{ kN}$

P1-2b.



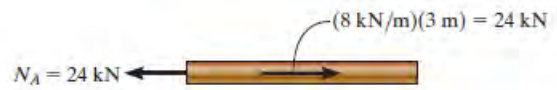
$V_{max} = 5 \text{ kN}$

P1-3.

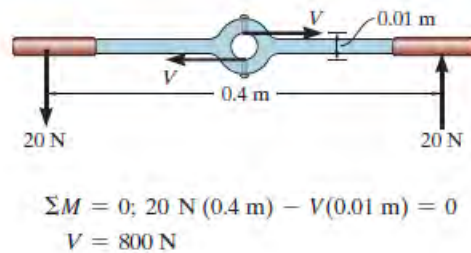


$N_{max} = 10 \text{ kN}$

P1-4.



P1-5.



$\sum M = 0$; $20 \text{ N}(0.4 \text{ m}) - V(0.01 \text{ m}) = 0$
 $V = 800 \text{ N}$

818 SOLUTIONS AND ANSWERS FOR PRELIMINARY PROBLEMS

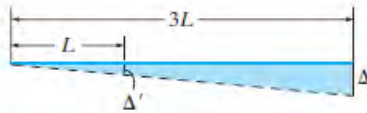
P1-6.



$$N = (5 \text{ kN}) \cos 30^\circ = 4.33 \text{ kN}$$

$$V = (5 \text{ kN}) \sin 30^\circ = 2.5 \text{ kN}$$

P2-1.



$$\frac{\Delta'}{L} = \frac{\Delta}{3L}, \quad \Delta' = \frac{\Delta}{3}$$

$$\epsilon_{AB} = \frac{\Delta/3}{L/2} = \frac{2\Delta}{3L}$$

$$\epsilon_{CD} = \frac{\Delta}{L}$$

P2-2.



$$\frac{\Delta'}{2L} = \frac{\Delta}{L}, \quad \Delta' = 2\Delta$$

$$\epsilon_{CD} = \frac{\Delta}{L}$$

$$\epsilon_{AB} = \frac{2\Delta}{L/2} = \frac{4\Delta}{L}$$

P2-3.

$$\epsilon_{AB} = \frac{L_{A'B} - L_{AB}}{L_{AB}}$$

P2-4.

$$\epsilon_{AB} = \frac{L_{AB'} - L_{AB}}{L_{AB}}, \quad \epsilon_{AC} = \frac{L_{AC'} - L_{AC}}{L_{AC}}$$

$$\epsilon_{BC} = \frac{L_{B'C} - L_{BC}}{L_{BC}}, \quad (\gamma_A)_{xy} = \left(\frac{\pi}{2} - \theta\right) \text{ rad}$$

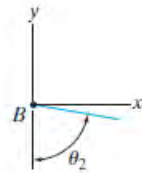
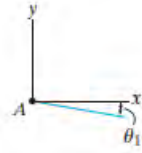
P2-5.

$$(\gamma_A)_{xy} = \frac{\pi}{2} - \left(\frac{\pi}{2} + \theta_1\right)$$

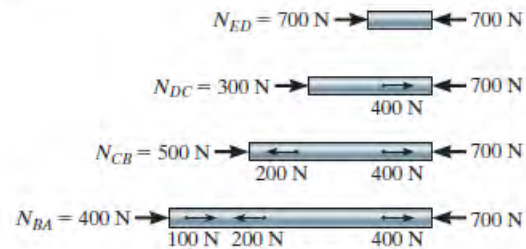
$$= (-\theta_1) \text{ rad}$$

$$(\gamma_B)_{xy} = \frac{\pi}{2} - (\pi - \theta_2)$$

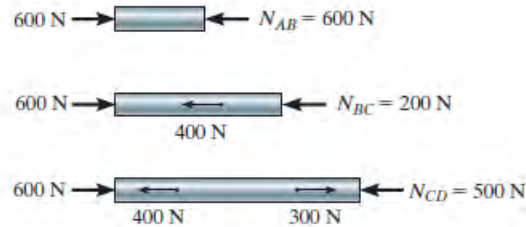
$$= \left(-\frac{\pi}{2} + \theta_2\right) \text{ rad}$$



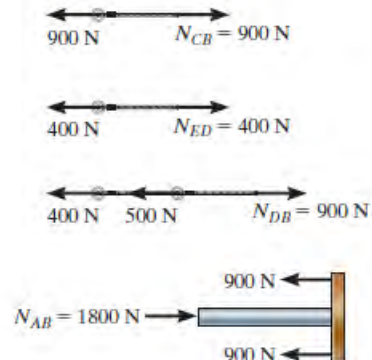
P4-1a.



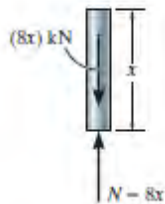
P4-1b.



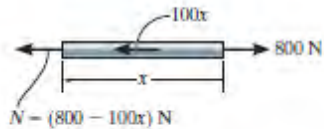
P4-2.



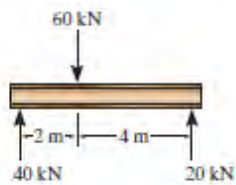
P4-3.



P4-4.

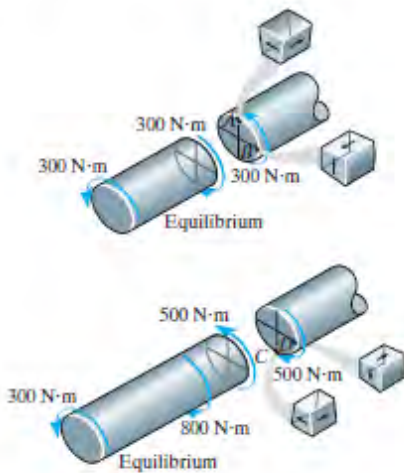


P4-5.

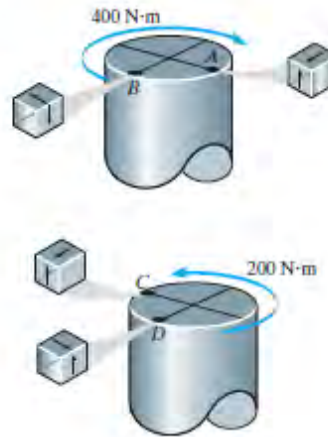


$$\Delta_B = \frac{PL}{AE} = \frac{20(10^3) \text{ N} (3 \text{ m})}{2(10^{-3}) \text{ m}^2 (60(10^9) \text{ N/m}^2)} = 0.5(10^{-3}) \text{ m} = 0.5 \text{ mm}$$

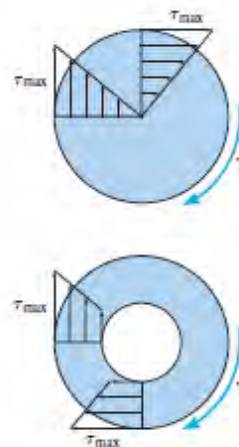
P5-1.



P5-2.



P5-3.



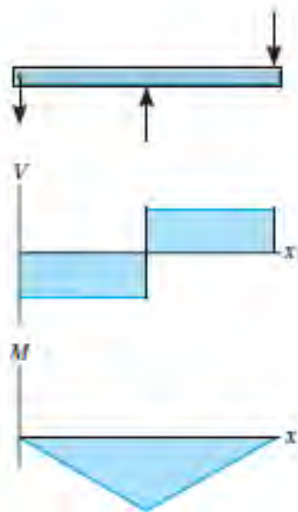
P5-4.

$$P = T\omega$$

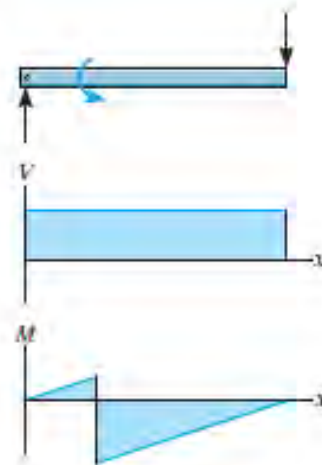
$$(10 \text{ hp}) \left(\frac{550 \text{ ft} \cdot \text{lb/s}}{1 \text{ hp}} \right) = T \left(1200 \frac{\text{rev}}{\text{min}} \right) \left(\frac{1 \text{ min}}{60 \text{ s}} \right) \frac{2\pi \text{ rad}}{1 \text{ rev}}$$

$$T = 43.8 \text{ lb} \cdot \text{ft}$$

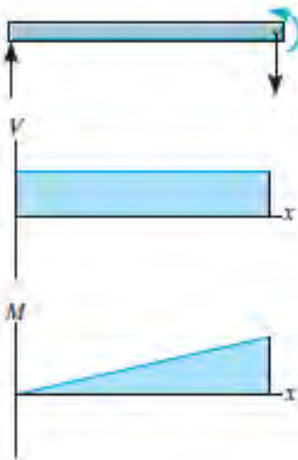
P6-1a.



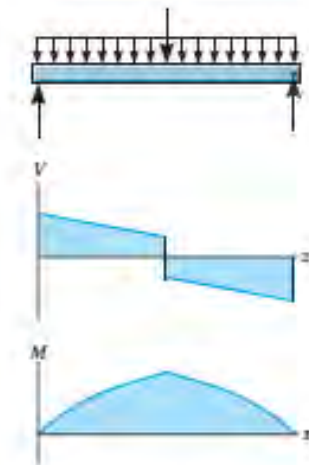
P6-1d.



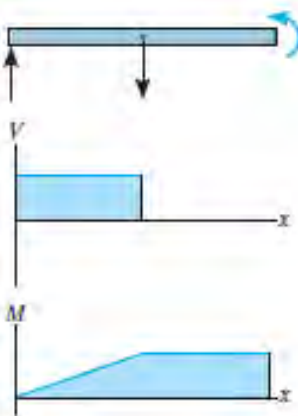
P6-1b.



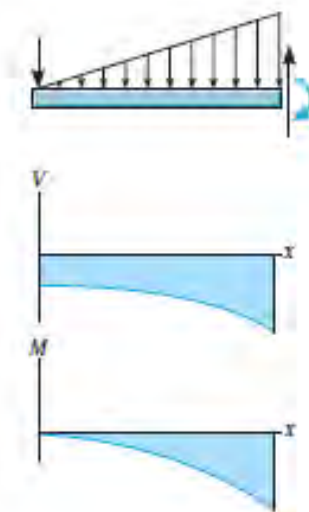
P6-1e.



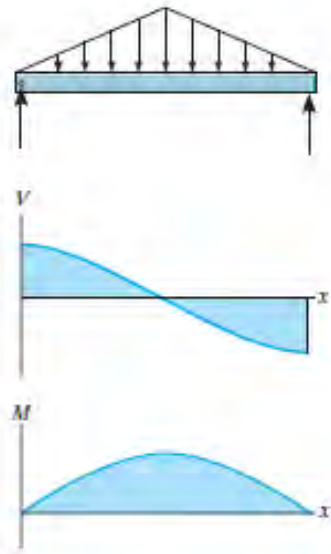
P6-1c.



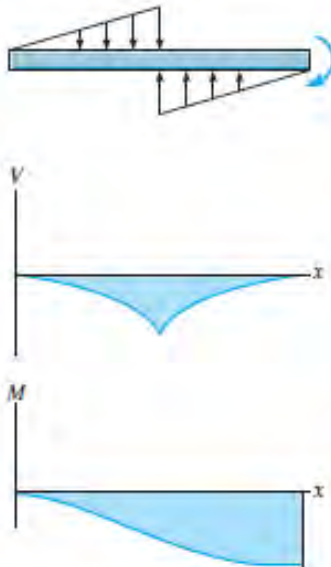
P6-1f.



P6-1g.



P6-1h.



P6-2.
$$I = \left[\frac{1}{12} (0.2 \text{ m})(0.4 \text{ m})^3 \right] - \left[\frac{1}{12} (0.1 \text{ m})(0.2 \text{ m})^3 \right]$$

$$= 1.0 (10^{-3}) \text{ m}^4$$

P6-3.

$$\bar{y} = \frac{\Sigma \bar{y}A}{\Sigma A} = \frac{(0.05 \text{ m})(0.2 \text{ m})(0.1 \text{ m}) + (0.25 \text{ m})(0.1 \text{ m})(0.3 \text{ m})}{(0.2 \text{ m})(0.1 \text{ m}) + (0.1 \text{ m})(0.3 \text{ m})}$$

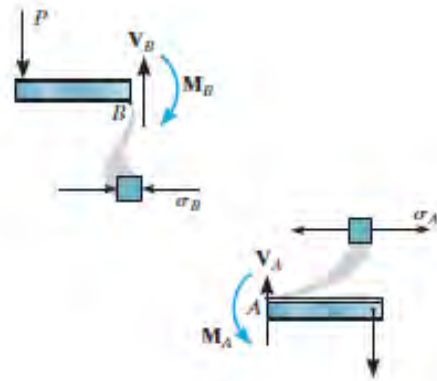
$$= 0.17 \text{ m}$$

$$I = \left[\frac{1}{12} (0.2 \text{ m})(0.1 \text{ m})^3 + (0.2 \text{ m})(0.1 \text{ m})(0.17 \text{ m} - 0.05 \text{ m})^2 \right]$$

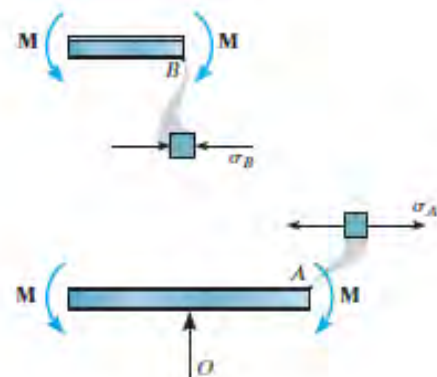
$$+ \left[\frac{1}{12} (0.1 \text{ m})(0.3 \text{ m})^3 + (0.1 \text{ m})(0.3 \text{ m})(0.25 \text{ m} - 0.17 \text{ m})^2 \right]$$

$$= 0.722 (10^{-3}) \text{ m}^4$$

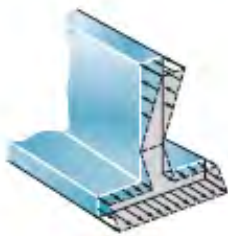
P6-4a.



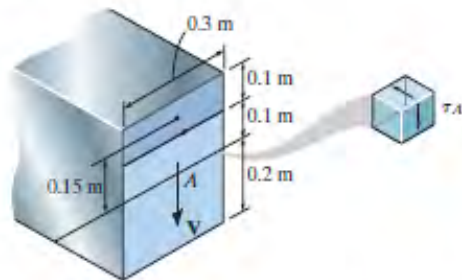
P6-4b.



P6-5a.



P7-1b.



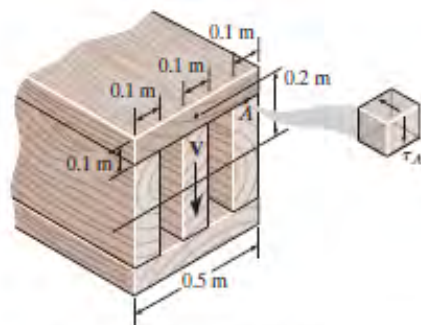
$$Q = \bar{y}'A' = (0.15 \text{ m})(0.3 \text{ m})(0.1 \text{ m}) = 4.5(10^{-3}) \text{ m}^3$$

$$t = 0.3 \text{ m}$$

P6-5b.



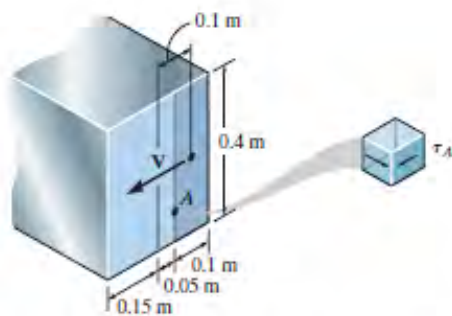
P7-1c.



$$Q = \bar{y}'A' = (0.2 \text{ m})(0.1 \text{ m})(0.5 \text{ m}) = 0.01 \text{ m}^3$$

$$t = 3(0.1 \text{ m}) = 0.3 \text{ m}$$

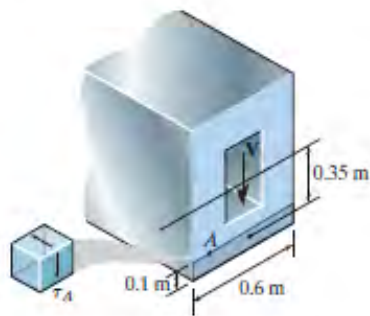
P7-1a.



$$Q = \bar{y}'A' = (0.1 \text{ m})(0.1 \text{ m})(0.4 \text{ m}) = 4(10^{-3}) \text{ m}^3$$

$$t = 0.4 \text{ m}$$

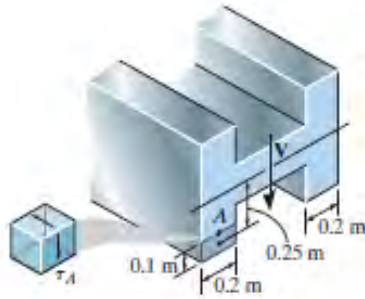
P7-1d.



$$Q = \bar{y}'A' = (0.35 \text{ m})(0.6 \text{ m})(0.1 \text{ m}) = 0.021 \text{ m}^3$$

$$t = 0.6 \text{ m}$$

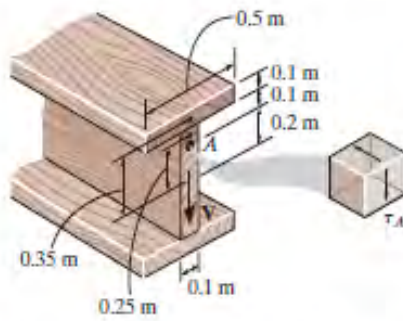
P7-1e.



$$Q = \bar{y}'A' = (0.25 \text{ m})(0.2 \text{ m})(0.1 \text{ m}) = 5(10^{-3}) \text{ m}^3$$

$$t = 0.2 \text{ m}$$

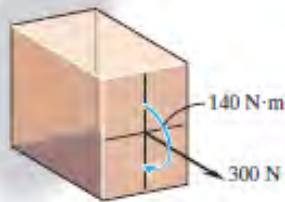
P7-1f.



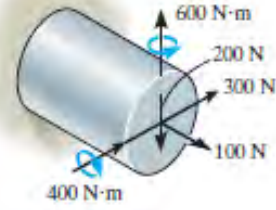
$$Q = \Sigma \bar{y}'A' = (0.25 \text{ m})(0.1 \text{ m})(0.1 \text{ m}) + (0.35 \text{ m})(0.1 \text{ m})(0.5 \text{ m}) = 0.02 \text{ m}^3$$

$$t = 0.1 \text{ m}$$

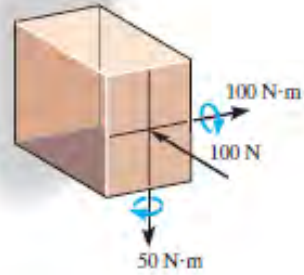
P8-1a.



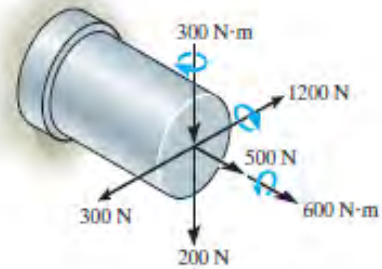
P8-1b.



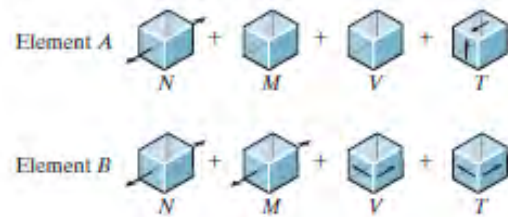
P8-1c.



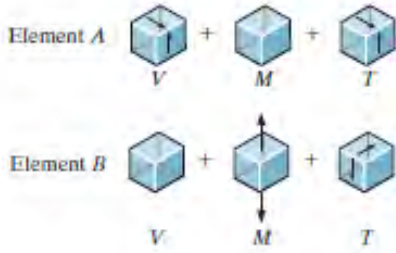
P8-1d.



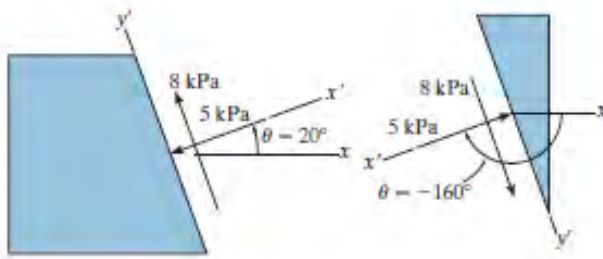
P8-2a.



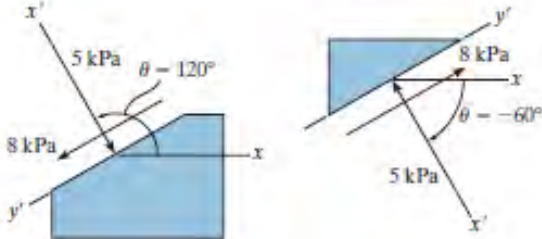
P8-2b.



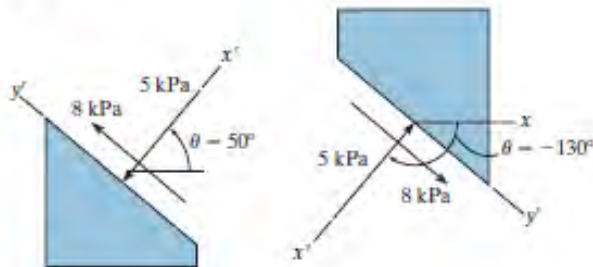
P9-1.



P9-1b.



P9-1c.



P9-2.

$$\tau_{\max} = \sqrt{\left(\frac{\sigma_x - \sigma_y}{2}\right)^2 + \tau_{xy}^2} = \sqrt{\left(\frac{4 - (-4)}{2}\right)^2 + (0)^2}$$

$$= 4 \text{ MPa}$$

$$\sigma_{\text{avg}} = \frac{\sigma_x + \sigma_y}{2} = \frac{4 - 4}{2} = 0$$

$$\tan 2\theta_s = \frac{(\sigma_x - \sigma_y)/2}{\tau_{xy}} = \frac{[4 - (-4)]/2}{0} = -\infty$$

$$\theta_s = -45^\circ$$

$$\tau_{x'y'} = \frac{\sigma_x - \sigma_y}{2} \sin 2\theta + \tau_{xy} \cos 2\theta$$

$$= \frac{4 - (-4)}{2} \sin 2(-45^\circ) + 0 = 4 \text{ MPa}$$

P12-1a.

$$M = (8x - 32) \text{ kN} \cdot \text{m}$$

$$x = 0, \frac{dy}{dx} = 0$$

$$x = 0, y = 0$$

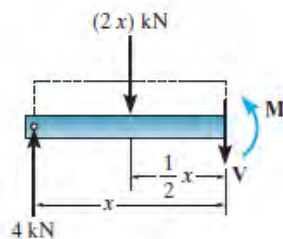
P12-1b.

$$M = (5x) \text{ kN} \cdot \text{m}$$

$$x = 0, y = 0$$

$$x = 2 \text{ m}, y = 0$$

P12-1c.

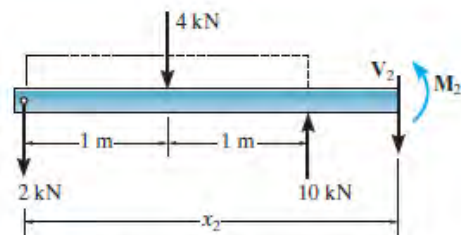


$$M = 4x - (2x)\left(\frac{1}{2}x\right)$$

$$M = (4x - x^2) \text{ kN} \cdot \text{m}$$

$$x = 0, \quad y = 0$$

$$x = 4 \text{ m}, \quad y = 0$$



$$M_2 = 10(x_2 - 2) - 4(x_2 - 1) - 2x_2$$

$$M_2 = (4x_2 - 16) \text{ kN} \cdot \text{m}$$

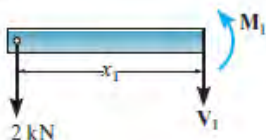
$$x_1 = 0, \quad y_1 = 0$$

$$x_1 = 2 \text{ m}, \quad y_1 = 0$$

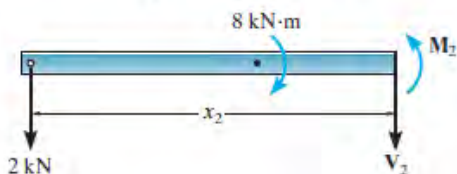
$$x_2 = 2 \text{ m}, \quad y_2 = 0$$

$$x_1 = x_2 = 2 \text{ m}, \quad \frac{dy_1}{dx_1} = \frac{dy_2}{dx_2}$$

P12-1d.



$$M_1 = (-2x_1) \text{ kN} \cdot \text{m}$$



$$M_2 = (-2x + 8) \text{ kN} \cdot \text{m}$$

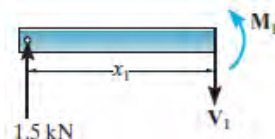
$$x_1 = 0, \quad y_1 = 0$$

$$x_2 = 4 \text{ m}, \quad y_2 = 0$$

$$x_1 = x_2 = 2 \text{ m}, \quad \frac{dy_1}{dx_1} = \frac{dy_2}{dx_2}$$

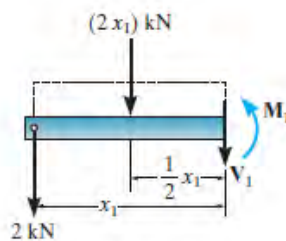
$$x_1 = x_2 = 2 \text{ m}, \quad y_1 = y_2$$

P12-1f.



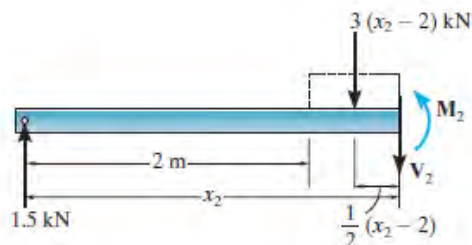
$$M_1 = (1.5x_1) \text{ kN} \cdot \text{m}$$

P12-1e.



$$M_1 = -2x_1 - (2x_1)\left(\frac{1}{2}x_1\right)$$

$$M_1 = (-2x_1 - x_1^2) \text{ kN} \cdot \text{m}$$



$$M_2 = 1.5x_2 - 3(x_2 - 2)\left(\frac{1}{2}\right)(x_2 - 2)$$

$$M_2 = -1.5x_2^2 + 7.5x_2 - 6$$

$$x_1 = 0, \quad y_1 = 0$$

$$x_2 = 4 \text{ m}, \quad y_2 = 0$$

$$x_1 = x_2 = 2 \text{ m}, \quad \frac{dy_1}{dx_1} = \frac{dy_2}{dx_2}$$

$$x_1 = x_2 = 2 \text{ m}, \quad y_1 = y_2$$

بنسټيز پوښتنو ځوابونه

ضمیمه (APPENDIX)

د بنسټيزي پوښتنو ځوابونه (Fundamental Problems Partial Solutions and Answers)

په دې برخه کې د پوښتنو اول ټکي د پښتو او انگليسي
په دې لاندې ډول بدل شوي دي . حرف د F بدل کړي
په ب

د بيلگي په توگه

$$F \ 1-1 = \ 1-1 \text{ ب}$$

Fundamental Problems Partial Solutions and Answers

Chapter 1

F1-1	Entire beam:			
	$\zeta + \Sigma M_B = 0;$	$60 - 10(2) - A_y(2) = 0$	$A_y = 20 \text{ kN}$	
	Left segment:			
	$\rightarrow \Sigma F_x = 0;$	$N_C = 0$		<i>Ans.</i>
	$+\uparrow \Sigma F_y = 0;$	$20 - V_C = 0$	$V_C = 20 \text{ kN}$	<i>Ans.</i>
	$\zeta + \Sigma M_C = 0;$	$M_C + 60 - 20(1) = 0$	$M_C = -40 \text{ kN} \cdot \text{m}$	<i>Ans.</i>
F1-2	Entire beam:			
	$\zeta + \Sigma M_A = 0;$	$B_y(3) - 100(1.5)(0.75) - 200(1.5)(2.25) = 0$ $B_y = 262.5 \text{ N}$		
	Right segment:			
	$\rightarrow \Sigma F_x = 0;$	$N_C = 0$		<i>Ans.</i>
	$+\uparrow \Sigma F_y = 0;$	$V_C + 262.5 - 200(1.5) = 0$	$V_C = 37.5 \text{ N}$	<i>Ans.</i>
	$\zeta + \Sigma M_C = 0;$	$262.5(1.5) - 200(1.5)(0.75) - M_C = 0$	$M_C = 169 \text{ N} \cdot \text{m}$	<i>Ans.</i>
F1-3	Entire beam:			
	$\rightarrow \Sigma F_x = 0;$	$B_x = 0$		
	$\zeta + \Sigma M_A = 0;$	$20(2)(1) - B_y(4) = 0$	$B_y = 10 \text{ kN}$	
	Right segment:			
	$\rightarrow \Sigma F_x = 0;$	$N_C = 0$		<i>Ans.</i>
	$+\uparrow \Sigma F_y = 0;$	$V_C - 10 = 0$	$V_C = 10 \text{ kN}$	<i>Ans.</i>
	$\zeta + \Sigma M_C = 0;$	$-M_C - 10(2) = 0$	$M_C = -20 \text{ kN} \cdot \text{m}$	<i>Ans.</i>
F1-4	Entire beam:			
	$\zeta + \Sigma M_B = 0;$	$\frac{1}{2}(10)(3)(2) + 10(3)(4.5) - A_y(6) = 0$	$A_y = 27.5 \text{ kN}$	
	Left segment:			
	$\rightarrow \Sigma F_x = 0;$	$N_C = 0$		<i>Ans.</i>
	$+\uparrow \Sigma F_y = 0;$	$27.5 - 10(3) - V_C = 0$	$V_C = -2.5 \text{ kN}$	<i>Ans.</i>
	$\zeta + \Sigma M_C = 0;$	$M_C + 10(3)(1.5) - 27.5(3) = 0$	$M_C = 37.5 \text{ kN} \cdot \text{m}$	<i>Ans.</i>
F1-5	Entire beam:			
	$\rightarrow \Sigma F_x = 0;$	$A_x = 0$		
	$\zeta + \Sigma M_B = 0;$	$300(6)(3) - \frac{1}{2}(300)(3)(1) - A_y(6) = 0$	$A_y = 825 \text{ lb}$	
	Left segment:			
	$\rightarrow \Sigma F_x = 0;$	$N_C = 0$		<i>Ans.</i>
	$+\uparrow \Sigma F_y = 0;$	$825 - 300(3) - V_C = 0$	$V_C = -75 \text{ lb}$	<i>Ans.</i>
	$\zeta + \Sigma M_C = 0;$	$M_C + 300(3)(1.5) - 825(3) = 0$	$M_C = 1125 \text{ lb} \cdot \text{ft}$	<i>Ans.</i>

F1-6 Entire beam:

$$\zeta + \Sigma M_A = 0; \quad F_{BD} \left(\frac{3}{5} \right) (4) - 5(6)(3) = 0 \quad F_{BD} = 375 \text{ kN}$$

$$\rightarrow \Sigma F_x = 0; \quad 37.5 \left(\frac{4}{5} \right) - A_x = 0 \quad A_x = 30 \text{ kN}$$

$$+\uparrow \Sigma F_y = 0; \quad A_y + 37.5 \left(\frac{3}{5} \right) - 5(6) = 0 \quad A_y = 75 \text{ kN}$$

Left segment:

$$\rightarrow \Sigma F_x = 0; \quad N_C - 30 = 0 \quad N_C = 30 \text{ kN} \quad \text{Ans.}$$

$$+\uparrow \Sigma F_y = 0; \quad 7.5 - 5(2) - V_C = 0 \quad V_C = -2.5 \text{ kN} \quad \text{Ans.}$$

$$\zeta + \Sigma M_C = 0; \quad M_C + 5(2)(1) - 7.5(2) = 0 \quad M_C = 5 \text{ kN} \cdot \text{m} \quad \text{Ans.}$$

F1-7 Beam:

$$\Sigma M_A = 0; T_{CD} = 2w$$

$$\Sigma F_y = 0; T_{AB} = w$$

Rod AB:

$$\sigma = \frac{N}{A}; 300(10^3) = \frac{w}{10};$$

$$w = 3 \text{ N/m}$$

Rod CD:

$$\sigma = \frac{N}{A}; 300(10^3) = \frac{2w}{15};$$

$$w = 2.25 \text{ N/m}$$

F1-8 $A = \pi(0.1^2 - 0.08^2) = 3.6(10^{-3})\pi \text{ m}^2$

$$\sigma_{\text{avg}} = \frac{N}{A} = \frac{300(10^3)}{3.6(10^{-3})\pi} = 26.5 \text{ MPa} \quad \text{Ans.}$$

F1-9 $A = 3[4(1)] = 12 \text{ in}^2$

$$\sigma_{\text{avg}} = \frac{N}{A} = \frac{15}{12} = 1.25 \text{ ksi} \quad \text{Ans.}$$

F1-10 Consider the cross section to be a rectangle and two triangles.

$$\bar{y} = \frac{\Sigma \bar{y}A}{\Sigma A} = \frac{0.15[(0.3)(0.12)] + (0.1) \left[\frac{1}{2} (0.16)(0.3) \right]}{0.3(0.12) + \frac{1}{2} (0.16)(0.3)}$$

$$= 0.13 \text{ m} = 130 \text{ mm} \quad \text{Ans.}$$

$$\sigma_{\text{avg}} = \frac{N}{A} = \frac{600(10^3)}{0.06} = 10 \text{ MPa} \quad \text{Ans.}$$

F1-11

$$A_A = A_C = \frac{\pi}{4} (0.5^2) = 0.0625\pi \text{ in}^2, A_B = \frac{\pi}{4} (1^2) = 0.25\pi \text{ in}^2$$

$$\sigma_A = \frac{N_A}{A_A} = \frac{3}{0.0625\pi} = 15.3 \text{ ksi (T)} \quad \text{Ans.}$$

$$\sigma_B = \frac{N_B}{A_B} = \frac{-6}{0.25\pi} = -7.64 \text{ ksi} = 7.64 \text{ ksi (C)} \quad \text{Ans.}$$

$$\sigma_C = \frac{N_C}{A_C} = \frac{2}{0.0625\pi} = 10.2 \text{ ksi (T)} \quad \text{Ans.}$$

F1-12 Pin at A:

$$F_{AD} = 50(9.81) \text{ N} = 490.5 \text{ N}$$

$$+\uparrow \Sigma F_y = 0; \quad F_{AC} \left(\frac{3}{5} \right) - 490.5 = 0 \quad F_{AC} = 817.5 \text{ N}$$

$$\rightarrow \Sigma F_x = 0; \quad 817.5 \left(\frac{4}{5} \right) - F_{AB} = 0 \quad F_{AB} = 654 \text{ N}$$

$$A_{AB} = \frac{\pi}{4} (0.008^2) = 16(10^{-6})\pi \text{ m}^2$$

$$(\sigma_{AB})_{\text{avg}} = \frac{F_{AB}}{A_{AB}} = \frac{654}{16(10^{-6})\pi} = 13.0 \text{ MPa} \quad \text{Ans.}$$

F1-13 Ring C:

$$+\uparrow \Sigma F_y = 0; \quad 2F \cos 60^\circ - 200(9.81) = 0 \quad F = 1962 \text{ N}$$

$$(\sigma_{\text{allow}})_{\text{avg}} = \frac{F}{A}; \quad 150(10^6) = \frac{1962}{\frac{\pi}{4} d^2} \quad d = 0.00408 \text{ m} = 4.08 \text{ mm}$$

$$\text{Use } d = 5 \text{ mm.} \quad \text{Ans.}$$

F1-14 Entire frame:
 $\Sigma F_y = 0; A_y = 600 \text{ lb}$
 $\Sigma M_B = 0; A_x = 800 \text{ lb}$
 $F_A = \sqrt{(600)^2 + (800)^2} = 1000 \text{ lb}$
 $(\tau_A)_{\text{avg}} = \frac{F_A/2}{A} = \frac{1000/2}{\frac{\pi}{4}(0.25)^2} = 10.2 \text{ ksi}$ *Ans.*

F1-15 Center plate, bolts have double shear:
 $\Sigma F_x = 0; 4V - 10 = 0 \quad V = 2.5 \text{ kip}$
 $A = \frac{\pi}{4} \left(\frac{3}{4}\right)^2 = 0.140625\pi \text{ in}^2$
 $\tau_{\text{avg}} = \frac{V}{A} = \frac{2.5}{0.140625\pi} = 5.66 \text{ ksi}$ *Ans.*

F1-16 Nails have single shear:
 $\Sigma F_x = 0; P - 3V = 0 \quad V = \frac{P}{3}$
 $A = \frac{\pi}{4} (0.004)^2 = 4(10^{-6})\pi \text{ m}^2$
 $(\tau_{\text{avg}})_{\text{allow}} = \frac{V}{A}; 60(10^6) = \frac{P/3}{4(10^{-6})\pi}$
 $P = 2.262(10^3) \text{ N} = 2.26 \text{ kN}$ *Ans.*

F1-17 Strut:
 $\Sigma F_x = 0; V - P \cos 60^\circ = 0 \quad V = 0.5P$
 $A = \left(\frac{0.05}{\sin 60^\circ}\right)(0.025) = 1.4434(10^{-3}) \text{ m}^2$
 $(\tau_{\text{avg}})_{\text{allow}} = \frac{V}{A}; 600(10^3) = \frac{0.5P}{1.4434(10^{-3})}$
 $P = 1.732(10^3) \text{ N} = 1.73 \text{ kN}$ *Ans.*

F1-18 The resultant force on the pin is
 $F = \sqrt{30^2 + 40^2} = 50 \text{ kN}$.
 We have double shear:
 $V = \frac{F}{2} = \frac{50}{2} = 25 \text{ kN}$
 $A = \frac{\pi}{4} (0.03)^2 = 0.225(10^{-3})\pi \text{ m}^2$
 $\tau_{\text{avg}} = \frac{V}{A} = \frac{25(10^3)}{0.225(10^{-3})\pi} = 35.4 \text{ MPa}$ *Ans.*

F1-19 Eyebolt:
 $\Sigma F_x = 0; 30 - N = 0 \quad N = 30 \text{ kN}$
 $\sigma_{\text{allow}} = \frac{\sigma_Y}{\text{F.S.}} = \frac{250}{1.5} = 166.67 \text{ MPa}$
 $\sigma_{\text{allow}} = \frac{N}{A}; 166.67(10^6) = \frac{30(10^3)}{\frac{\pi}{4}d^2}$
 $d = 15.14 \text{ mm}$
 Use $d = 16 \text{ mm}$. *Ans.*

F1-20 Right segment through AB :
 $\Sigma F_x = 0; N_{AB} - 30 = 0 \quad N_{AB} = 30 \text{ kip}$

Right segment through CB :
 $\Sigma F_x = 0; N_{BC} - 15 - 15 - 30 = 0 \quad N_{BC} = 60 \text{ kip}$

$\sigma_{\text{allow}} = \frac{\sigma_Y}{\text{F.S.}} = \frac{50}{1.5} = 33.33 \text{ ksi}$

Segment AB :
 $\sigma_{\text{allow}} = \frac{N_{AB}}{A_{AB}}; 33.33 = \frac{30}{h_1(0.5)}$
 $h_1 = 1.8 \text{ in.}$

Segment BC :
 $\sigma_{\text{allow}} = \frac{N_{BC}}{A_{BC}}; 33.33 = \frac{60}{h_2(0.5)}$
 $h_2 = 3.6 \text{ in.}$

Use $h_1 = 1\frac{7}{8} \text{ in.}$ and $h_2 = 3\frac{5}{8} \text{ in.}$ *Ans.*

F1-21 $N = P$
 $\sigma_{\text{allow}} = \frac{\sigma_Y}{\text{F.S.}} = \frac{250}{2} = 125 \text{ MPa}$

$A_r = \frac{\pi}{4} (0.04)^2 = 1.2566(10^{-3}) \text{ m}^2$

$A_{a-a} = 2(0.06 - 0.03)(0.05) = 3(10^{-3}) \text{ m}^2$

The rod will fail first.

$\sigma_{\text{allow}} = \frac{N}{A_r}; 125(10^6) = \frac{P}{1.2566(10^{-3})}$
 $P = 15708(10^3) \text{ N} = 157 \text{ kN}$ *Ans.*

F1-22 Pin has double shear:
 $\Sigma F_x = 0; 80 - 2V = 0 \quad V = 40 \text{ kN}$

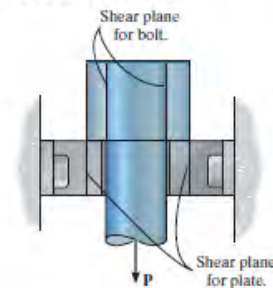
$\tau_{\text{allow}} = \frac{\tau_{\text{fail}}}{\text{F.S.}} = \frac{100}{2.5} = 40 \text{ MPa}$

$\tau_{\text{allow}} = \frac{V}{A}; 40(10^6) = \frac{40(10^3)}{\frac{\pi}{4}d^2}$

$d = 0.03568 \text{ m} = 35.68 \text{ mm}$

Use $d = 36 \text{ mm}$. *Ans.*

F1-23



$$V = P$$

$$\tau_{\text{allow}} = \frac{\tau_{\text{fail}}}{\text{F.S.}} = \frac{120}{2.5} = 48 \text{ MPa}$$

Area of shear plane for bolt head and plate:

$$A_b = \pi dt = \pi(0.04)(0.075) = 0.003\pi \text{ m}^2$$

$$A_p = \pi dt = \pi(0.08)(0.03) = 0.0024\pi \text{ m}^2$$

Since the area of shear plane for the plate is smaller,

$$\tau_{\text{allow}} = \frac{V}{A_p}; \quad 48(10^6) = \frac{P}{0.0024\pi}$$

$$P = 361.91(10^3) \text{ N} = 362 \text{ kN}$$

Ans.

F1-24 Support reaction at A:

$$\zeta + \sum M_B = 0; \quad \frac{1}{2}(300)(9)(6) - A_y(9) = 0 \quad A_y = 900 \text{ lb}$$

Each nail has single shear:

$$V = 900 \text{ lb}/6 = 150 \text{ lb}$$

$$\tau_{\text{allow}} = \frac{\tau_{\text{fail}}}{\text{F.S.}} = \frac{16}{2} = 8 \text{ ksi}$$

$$\tau_{\text{allow}} = \frac{V}{A}; \quad 8(10^3) = \frac{150}{\frac{\pi}{4}d^2}$$

$$d = 0.1545 \text{ in.}$$

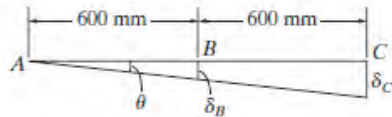
829 Use $d = \frac{3}{16} \text{ in.}$

Chapter 2

F2-1 $\frac{\delta_C}{600} = \frac{0.2}{400}; \quad \delta_C = 0.3 \text{ mm}$

$$\epsilon_{CD} = \frac{\delta_C}{L_{CD}} = \frac{0.3}{300} = 0.001 \text{ mm/mm}$$

F2-2



$$\theta = \left(\frac{0.02^\circ}{180^\circ}\right)\pi \text{ rad} = 0.3491(10^{-3}) \text{ rad}$$

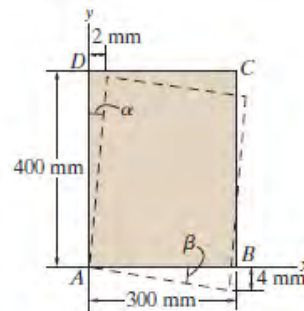
$$\delta_B = \theta L_{AB} = 0.3491(10^{-3})(600) = 0.2094 \text{ mm}$$

$$\delta_C = \theta L_{AC} = 0.3491(10^{-3})(1200) = 0.4189 \text{ mm}$$

$$\epsilon_{BD} = \frac{\delta_B}{L_{BD}} = \frac{0.2094}{400} = 0.524(10^{-3}) \text{ mm/mm}$$

$$\epsilon_{CE} = \frac{\delta_C}{L_{CE}} = \frac{0.4189}{600} = 0.698(10^{-3}) \text{ mm/mm}$$

F2-3

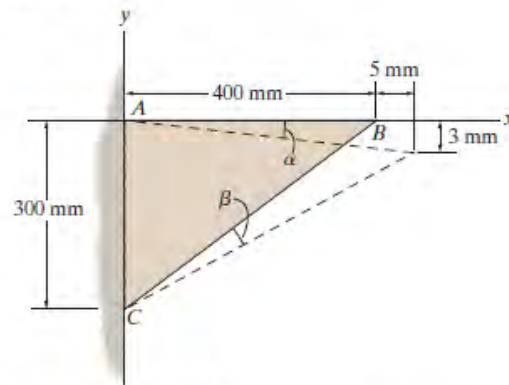


$$\alpha = \frac{2}{400} = 0.005 \text{ rad} \quad \beta = \frac{4}{300} = 0.01333 \text{ rad}$$

$$\begin{aligned} (\gamma_A)_{xy} &= \frac{\pi}{2} - \theta \\ &= \frac{\pi}{2} - \left(\frac{\pi}{2} - \alpha + \beta\right) \\ &= \alpha - \beta \\ &= 0.005 - 0.01333 \\ &= -0.00833 \text{ rad} \end{aligned}$$

Ans.

F2-4



Ans.

Ans.

$$L_{BC} = \sqrt{300^2 + 400^2} = 500 \text{ mm}$$

$$L_{B'C} = \sqrt{(300 - 3)^2 + (400 + 5)^2} = 502.2290 \text{ mm}$$

$$\alpha = \frac{3}{405} = 0.007407 \text{ rad}$$

$$(\epsilon_{BC})_{\text{avg}} = \frac{L_{B'C} - L_{BC}}{L_{BC}} = \frac{502.2290 - 500}{500}$$

Ans.

$$= 0.00446 \text{ mm/mm}$$

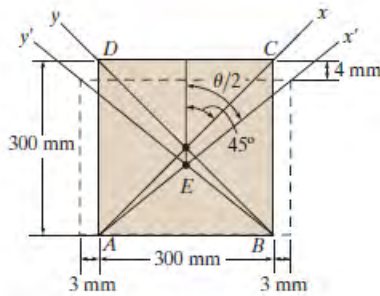
Ans.

$$(\gamma_A)_{xy} = \frac{\pi}{2} - \theta = \frac{\pi}{2} - \left(\frac{\pi}{2} + \alpha\right) = -\alpha = -0.00741 \text{ rad}$$

Ans.

Ans.

F2-5



$$L_{AC} = \sqrt{L_{CD}^2 + L_{AD}^2} = \sqrt{300^2 + 300^2} = 424.2641 \text{ mm}$$

$$L_{A'C'} = \sqrt{L_{C'D'}^2 + L_{A'D'}^2} = \sqrt{306^2 + 296^2} = 425.7370 \text{ mm}$$

$$\frac{\theta}{2} = \tan^{-1}\left(\frac{L_{C'D'}}{L_{A'D'}}\right); \theta = 2 \tan^{-1}\left(\frac{306}{296}\right) = 1.6040 \text{ rad}$$

$$(\epsilon_{AC})_{\text{avg}} = \frac{L_{A'C'} - L_{AC}}{L_{AC}} = \frac{425.7370 - 424.2641}{424.2641} = 0.00347 \text{ mm/mm} \quad \text{Ans.}$$

$$(\gamma_E)_{xy} = \frac{\pi}{2} - \theta = \frac{\pi}{2} - 1.6040 = -0.0332 \text{ rad} \quad \text{Ans.}$$

Chapter 3

F3-1 Material has uniform properties throughout. *Ans.*

F3-2 Proportional limit is A. *Ans.*
Ultimate stress is D. *Ans.*

F3-3 The initial slope of the $\sigma - \epsilon$ diagram. *Ans.*

F3-4 True. *Ans.*

F3-5 False. Use the *original* cross-sectional area and length. *Ans.*

F3-6 False. It will normally decrease. *Ans.*

F3-7 $\epsilon = \frac{\sigma}{E} = \frac{N}{AE}$

$$\delta = \epsilon L = \frac{NL}{AE} = \frac{100(10^3)(0.100)}{\frac{\pi}{4}(0.015)^2 200(10^9)}$$

$$= 0.283 \text{ mm} \quad \text{Ans.}$$

F3-8 $\epsilon = \frac{\sigma}{E} = \frac{N}{AE}$

$$\delta = \epsilon L = \frac{NL}{AE}$$

$$0.003 = \frac{(10\,000)(8)}{12E}$$

$$E = 2.22(10^6) \text{ psi} \quad \text{Ans.}$$

F3-9 $\epsilon = \frac{\sigma}{E} = \frac{N}{AE}$

$$\delta = \epsilon L = \frac{NL}{AE} = \frac{6(10^3)4}{\frac{\pi}{4}(0.01)^2 100(10^9)}$$

$$= 3.06 \text{ mm} \quad \text{Ans.}$$

F3-10 $\sigma = \frac{N}{A} = \frac{100(10^3)}{\frac{\pi}{4}(0.02)^2} = 318.31 \text{ MPa}$

Since $\sigma < \sigma_Y = 450 \text{ MPa}$, Hooke's Law is applicable.

$$E = \frac{\sigma_Y}{\epsilon_Y} = \frac{450(10^6)}{0.00225} = 200 \text{ GPa}$$

$$\epsilon = \frac{\sigma}{E} = \frac{318.31(10^6)}{200(10^9)} = 0.001592 \text{ mm/mm}$$

$$\delta = \epsilon L = 0.001592(50) = 0.0796 \text{ mm} \quad \text{Ans.}$$

F3-11 $\sigma = \frac{N}{A} = \frac{150(10^3)}{\frac{\pi}{4}(0.02)^2} = 477.46 \text{ MPa}$

Since $\sigma > \sigma_Y = 450 \text{ MPa}$, Hooke's Law is not applicable. From the geometry of the shaded triangle,

$$\frac{\epsilon - 0.00225}{0.03 - 0.00225} = \frac{477.46 - 450}{500 - 450}$$

$$\epsilon = 0.017493$$

When the load is removed, the strain recovers along a line AB which is parallel to the original elastic line.

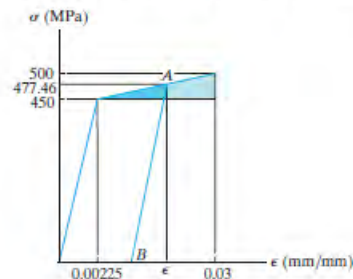
Here $E = \frac{\sigma_Y}{\epsilon_Y} = \frac{450(10^6)}{0.00225} = 200 \text{ GPa}$.

The elastic recovery is

$$\epsilon_r = \frac{\sigma}{E} = \frac{477.46(10^6)}{200(10^9)} = 0.002387 \text{ mm/mm}$$

$$\epsilon_p = \epsilon - \epsilon_r = 0.017493 - 0.002387 = 0.01511 \text{ mm/mm}$$

$$\delta_p = \epsilon_p L = 0.01511(50) = 0.755 \text{ mm} \quad \text{Ans.}$$

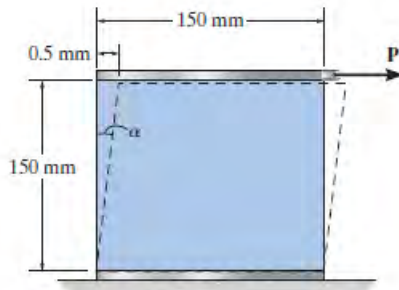


F3-12 $\epsilon_{BC} = \frac{\delta_{BC}}{L_{BC}} = \frac{0.2}{300} = 0.6667(10^{-3}) \text{ mm/mm}$
 $\sigma_{BC} = E\epsilon_{BC} = 200(10^9)[0.6667(10^{-3})]$
 $= 133.33 \text{ MPa}$
 Since $\sigma_{BC} < \sigma_Y = 250 \text{ MPa}$, Hooke's Law is valid.
 $\sigma_{BC} = \frac{F_{BC}}{A_{BC}}; \quad 133.33(10^6) = \frac{F_{BC}}{\frac{\pi}{4}(0.003^2)}$
 $F_{BC} = 942.48 \text{ N}$
 $\zeta + \sum M_A = 0; \quad 942.48(0.4) - P(0.6) = 0$
 $P = 628.31 \text{ N} = 628 \text{ N}$ *Ans*

F3-13 $\sigma = \frac{N}{A} = \frac{10(10^3)}{\frac{\pi}{4}(0.015)^2} = 56.59 \text{ MPa}$
 $\epsilon_{\text{long}} = \frac{\sigma}{E} = \frac{56.59(10^6)}{70(10^9)} = 0.808(10^{-3})$
 $\epsilon_{\text{lat}} = -\nu\epsilon_{\text{long}} = -0.35(0.808(10^{-3}))$
 $= -0.283(10^{-3})$
 $\delta d = (-0.283(10^{-3}))(15 \text{ mm}) = -4.24(10^{-3}) \text{ mm}$ *Ans*

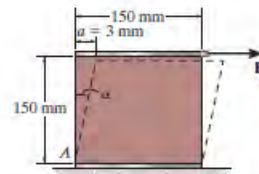
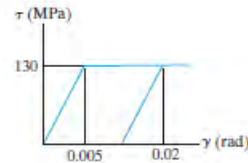
F3-14 $\sigma = \frac{N}{A} = \frac{50(10^3)}{\frac{\pi}{4}(0.02)^2} = 159.15 \text{ MPa}$
 $\epsilon_{\text{long}} = \frac{\delta}{L} = \frac{1.40}{600} = 0.002333 \text{ mm/mm}$
 $E = \frac{\sigma}{\epsilon_{\text{long}}} = \frac{159.15(10^6)}{0.002333} = 68.2 \text{ GPa}$ *Ans*
 $\epsilon_{\text{lat}} = \frac{d' - d}{d} = \frac{19.9837 - 20}{20} = -0.815(10^{-3}) \text{ mm/mm}$
 $\nu = \frac{\epsilon_{\text{lat}}}{\epsilon_{\text{long}}} = \frac{-0.815(10^{-3})}{0.002333} = 0.3493$
 $G = \frac{E}{2(1 + \nu)} = \frac{68.21}{2(1 + 0.3493)} = 25.3 \text{ GPa}$ *Ans*

F3-15



$\alpha = \frac{0.5}{150} = 0.003333 \text{ rad}$
 $\gamma = \frac{\pi}{2} - \theta = \frac{\pi}{2} - \left(\frac{\pi}{2} - \alpha\right)$
 $= \alpha = 0.003333 \text{ rad}$
 $\tau = G\gamma = [26(10^9)](0.003333) = 86.67 \text{ MPa}$
 $\tau = \frac{V}{A}; \quad 86.67(10^6) = \frac{P}{0.15(0.02)}$
 $P = 260 \text{ kN}$ *Ans*

F3-16



$\alpha = \frac{3}{150} = 0.02 \text{ rad}$
 $\gamma = \frac{\pi}{2} - \theta = \frac{\pi}{2} - \left(\frac{\pi}{2} - \alpha\right) = \alpha = 0.02 \text{ rad}$
 When P is removed, the shear strain recovers along a line parallel to the original elastic line.
 $\gamma_r = \gamma_Y = 0.005 \text{ rad}$
 $\gamma_p = \gamma - \gamma_r = 0.02 - 0.005 = 0.015 \text{ rad}$ *Ans*

Chapter 4

F4-1 $A = \frac{\pi}{4}(0.02^2) = 0.1(10^{-3})\pi \text{ m}^2$
 $N_{BC} = 40 \text{ kN}, \quad N_{AB} = -60 \text{ kN}$
 $\delta_C = \frac{1}{AE} \{40(10^3)(400) + [-60(10^3)(600)]\}$
 $= \frac{-20(10^6) \text{ N} \cdot \text{mm}}{AE}$
 $= -0.318 \text{ mm}$ *Ans*

F4-2

$$A_{AB} = A_{CD} = \frac{\pi}{4}(0.02^2) = 0.1(10^{-3})\pi \text{ m}^2$$

$$A_{BC} = \frac{\pi}{4}(0.04^2 - 0.03^2) = 0.175(10^{-3})\pi \text{ m}^2$$

$$N_{AB} = -10 \text{ kN}, N_{BC} = 10 \text{ kN}, N_{CD} = -20 \text{ kN}$$

$$\delta_{D/A} = \frac{[-10(10^3)](400)}{[0.1(10^{-3})\pi][68.9(10^9)]} + \frac{[10(10^3)](400)}{[0.175(10^{-3})\pi][68.9(10^9)]} + \frac{[-20(10^3)](400)}{[0.1(10^{-3})\pi][68.9(10^9)]}$$

$$= -0.449 \text{ mm} \quad \text{Ans.}$$

F4-3

$$A = \frac{\pi}{4}(0.03^2) = 0.225(10^{-3})\pi \text{ m}^2$$

$$N_{BC} = -90 \text{ kN}, N_{AB} = -90 + 2\left(\frac{4}{5}\right)(30) = -42 \text{ kN}$$

$$\delta_C = \frac{1}{0.225(10^{-3})\pi[200(10^9)]} \{ [-42(10^3)(0.4)] + [-90(10^3)(0.6)] \}$$

$$= -0.501(10^{-3}) \text{ m} = -0.501 \text{ mm} \quad \text{Ans.}$$

F4-4

$$\delta_{A/B} = \frac{NL}{AE} = \frac{[60(10^3)](0.8)}{[0.1(10^{-3})\pi][200(10^9)]}$$

$$= 0.7639(10^{-3}) \text{ m} \downarrow$$

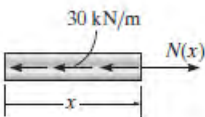
$$\delta_B = \frac{F_{sp}}{k} = \frac{60(10^3)}{50(10^6)} = 1.2(10^{-3}) \text{ m} \downarrow$$

$$+\downarrow \delta_A = \delta_B + \delta_{A/B}$$

$$\delta_A = 1.2(10^{-3}) + 0.7639(10^{-3})$$

$$= 1.9639(10^{-3}) \text{ m} = 1.96 \text{ mm} \downarrow \quad \text{Ans.}$$

F4-5



$$A = \frac{\pi}{4}(0.02^2) = 0.1(10^{-3})\pi \text{ m}^2$$

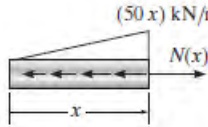
Internal load $N(x) = 30(10^3)x$

$$\delta_A = \int_0^{0.9} \frac{N(x)dx}{AE}$$

$$= \frac{1}{[0.1(10^{-3})\pi][73.1(10^9)]} \int_0^{0.9} 30(10^3)x \, dx$$

$$= 0.529(10^{-3}) \text{ m} = 0.529 \text{ mm} \quad \text{Ans.}$$

F4-6



$$\text{Distributed load } N(x) = \frac{45(10^3)}{0.9}x = 50(10^3)x \text{ N/m}$$

$$\text{Internal load } N(x) = \frac{1}{2}(50(10^3))x(x) = 25(10^3)x^2$$

$$\delta_A = \int_0^L \frac{N(x)dx}{AE}$$

$$= \frac{1}{[0.1(10^{-3})\pi][73.1(10^9)]} \int_0^{0.9} [25(10^3)x^2]dx$$

$$= 0.265 \text{ mm} \quad \text{Ans.}$$

Chapter 5

F5-1

$$J = \frac{\pi}{2}(0.04^4) = 1.28(10^{-6})\pi \text{ m}^4$$

$$\tau_A = \tau_{\max} = \frac{Tc}{J} = \frac{5(10^3)(0.04)}{1.28(10^{-6})\pi} = 49.7 \text{ MPa} \quad \text{Ans.}$$

$$\tau_B = \frac{T\rho_B}{J} = \frac{5(10^3)(0.03)}{1.28(10^{-6})\pi} = 37.3 \text{ MPa} \quad \text{Ans.}$$



F5-2

$$J = \frac{\pi}{2}(0.06^4 - 0.04^4) = 5.2(10^{-6})\pi \text{ m}^4$$

$$\tau_B = \tau_{\max} = \frac{Tc}{J} = \frac{10(10^3)(0.06)}{5.2(10^{-6})\pi} = 36.7 \text{ MPa} \quad \text{Ans.}$$

$$\tau_A = \frac{T\rho_A}{J} = \frac{10(10^3)(0.04)}{5.2(10^{-6})\pi} = 24.5 \text{ MPa} \quad \text{Ans.}$$



F5-3 $J_{AB} = \frac{\pi}{2}(0.04^4 - 0.03^4) = 0.875(10^{-6})\pi \text{ m}^4$

$J_{BC} = \frac{\pi}{2}(0.04^4) = 1.28(10^{-6})\pi \text{ m}^4$

$(\tau_{AB})_{\max} = \frac{T_{AB} c_{AB}}{J_{AB}} = \frac{[2(10^3)](0.04)}{0.875(10^{-6})\pi} = 29.1 \text{ MPa}$

$(\tau_{BC})_{\max} = \frac{T_{BC} c_{BC}}{J_{BC}} = \frac{[6(10^3)](0.04)}{1.28(10^{-6})\pi} = 59.7 \text{ MPa}$

Ans.

F5-4 $T_{AB} = 0, T_{BC} = 600 \text{ N} \cdot \text{m}, T_{CD} = 0$

$J = \frac{\pi}{2}(0.02^4) = 80(10^{-9})\pi \text{ m}^4$

$\tau_{\max} = \frac{T_C}{J} = \frac{600(0.02)}{80(10^{-9})\pi} = 47.7 \text{ MPa}$

Ans.

F5-5 $J_{BC} = \frac{\pi}{2}(0.04^4 - 0.03^4) = 0.875(10^{-6})\pi \text{ m}^4$

$(\tau_{BC})_{\max} = \frac{T_{BC} c_{BC}}{J_{BC}} = \frac{2100(0.04)}{0.875(10^{-6})\pi} = 30.6 \text{ MPa}$

Ans.

F5-6 $t = 5(10^3) \text{ N} \cdot \text{m/m}$

Internal torque is $T = 5(10^3)(0.8) = 4000 \text{ N} \cdot \text{m}$

$J = \frac{\pi}{2}(0.04^4) = 1.28(10^{-6})\pi \text{ m}^4$

$\tau_{AB} = \frac{T c}{J} = \frac{4000(0.04)}{1.28(10^{-6})\pi} = 39.8 \text{ MPa}$

Ans.

F5-7 $T_{AB} = 250 \text{ N} \cdot \text{m}, T_{BC} = 175 \text{ N} \cdot \text{m}, T_{CD} = -150 \text{ N} \cdot \text{m}$

Maximum internal torque is in region AB.

$T_{AB} = 250 \text{ N} \cdot \text{m}$

$\tau_{\max}^{\text{abs}} = \frac{T_{AB} c}{J} = \frac{250(0.025)}{\frac{\pi}{2}(0.025)^4} = 10.2 \text{ MPa}$

Ans.

F5-8 $P = T\omega; 3(550) \text{ ft} \cdot \text{lb/s} = T \left[150 \left(\frac{2\pi}{60} \right) \text{ rad/s} \right]$

$T = 105.04 \text{ ft} \cdot \text{lb}$

$\tau_{\text{allow}} = \frac{T_C}{J}; 12(10^3) = \frac{105.04(12)(d/2)}{\frac{\pi}{2}(d/2)^4}$

$d = 0.812 \text{ in.}$

Use $d = \frac{7}{8} \text{ in.}$

Ans.

F5-9 $T_{AB} = -2 \text{ kN} \cdot \text{m}, T_{BC} = 1 \text{ kN} \cdot \text{m}$

$J = \frac{\pi}{2}(0.03^4) = 0.405(10^{-6})\pi \text{ m}^4$

$\phi_{A/C} = \frac{-2(10^3)(0.6) + (10^3)(0.4)}{[0.405(10^{-6})\pi][75(10^9)]} = -0.00838 \text{ rad} = -0.480^\circ$

Ans.

F5-10 $T_{AB} = 600 \text{ N} \cdot \text{m}$

$J = \frac{\pi}{2}(0.02^4) = 80(10^{-9})\pi \text{ m}^4$

$\phi_{B/A} = \frac{600(0.45)}{[80(10^{-9})\pi][75(10^9)]} = 0.01432 \text{ rad} = 0.821^\circ$

Ans.

F5-11 $J = \frac{\pi}{2}(0.04^4 - 0.03^4) = 0.875(10^{-6})\pi \text{ m}^4$

$\phi_{A/B} = \frac{T_{AB} L_{AB}}{JG} = \frac{3(10^3)(0.9)}{[0.875(10^{-6})\pi][26(10^9)]} = 0.03778 \text{ rad}$

$\phi_B = \frac{T_B}{k_B} = \frac{3(10^3)}{90(10^3)} = 0.03333 \text{ rad}$

$\phi_A = \phi_B + \phi_{A/B}$

$= 0.03333 + 0.03778$

$= 0.07111 \text{ rad} = 4.07^\circ$

Ans.

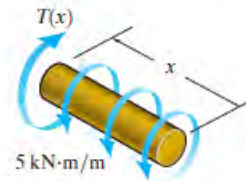
F5-12 $T_{AB} = 600 \text{ N} \cdot \text{m}, T_{BC} = -300 \text{ N} \cdot \text{m}, T_{CD} = 200 \text{ N} \cdot \text{m}, T_{DE} = 500 \text{ N} \cdot \text{m}$

$J = \frac{\pi}{2}(0.02^4) = 80(10^{-9})\pi \text{ m}^4$

$\phi_{E/A} = \frac{[600 + (-300) + 200 + 500]0.2}{[80(10^{-9})\pi][75(10^9)]} = 0.01061 \text{ rad} = 0.608^\circ$

Ans.

F5-13



$J = \frac{\pi}{2}(0.04^4) = 1.28(10^{-6})\pi \text{ m}^4$

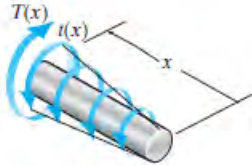
$t = 5(10^3) \text{ N} \cdot \text{m/m}$

Internal torque is $5(10^3)x \text{ N} \cdot \text{m}$

$$\begin{aligned} \phi_{A/B} &= \int_0^L \frac{T(x)dx}{JG} \\ &= \frac{1}{[1.28(10^{-6})\pi][75(10^9)]} \int_0^{0.8 \text{ m}} 5(10^3)x dx \\ &= 0.00531 \text{ rad} = 0.304^\circ \end{aligned}$$

Ans.

F5-14



$$J = \frac{\pi}{2} (0.04^4) = 1.28(10^{-6})\pi \text{ m}^4$$

$$\begin{aligned} \text{Distributed torque is } t &= \frac{15(10^3)}{0.6} (x) \\ &= 25(10^3)x \text{ N} \cdot \text{m/m} \end{aligned}$$

$$\begin{aligned} \text{Internal torque in segment } AB, T(x) &= \frac{1}{2} (25x)(10^3)(x) \\ &= 12.5(10^3)x^2 \text{ N} \cdot \text{m} \end{aligned}$$

In segment BC,

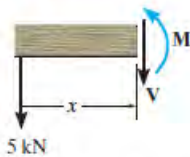
$$T_{BC} = \frac{1}{2} [25(10^3)(0.6)](0.6) = 4500 \text{ N} \cdot \text{m}$$

$$\begin{aligned} \phi_{A/C} &= \int_0^L \frac{T(x)dx}{JG} + \frac{T_{BC}L_{BC}}{JG} \\ &= \frac{1}{[1.28(10^{-6})\pi][75(10^9)]} \left[\int_0^{0.6 \text{ m}} 12.5(10^3)x^2 dx + 4500(0.4) \right] \\ &= 0.008952 \text{ rad} = 0.513^\circ \end{aligned}$$

Ans.

Chapter 6

F6-1



5 kN

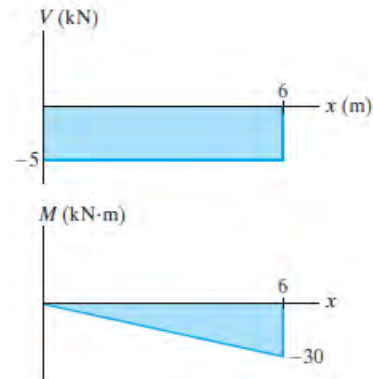
$$\zeta + \sum M_B = 0; \quad A_y(6) - 30 = 0 \quad A_y = 5 \text{ kN}$$

$$+\uparrow \sum F_y = 0; \quad -V - 5 = 0 \quad V = -5 \text{ kN}$$

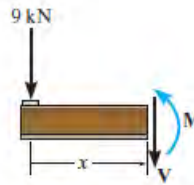
Ans.

$$\zeta + \sum M_0 = 0; \quad M + 5x = 0 \quad M = \{-5x\} \text{ kN} \cdot \text{m}$$

Ans.

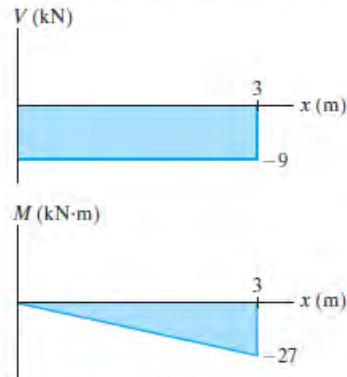


F6-2

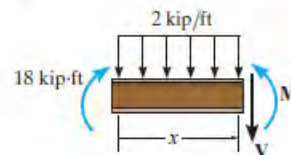


$$+\uparrow \sum F_y = 0; \quad -V - 9 = 0 \quad V = -9 \text{ kN} \quad \text{Ans.}$$

$$\zeta + \sum M_O = 0; \quad M + 9x = 0 \quad M = \{-9x\} \text{ kN} \cdot \text{m} \quad \text{Ans.}$$

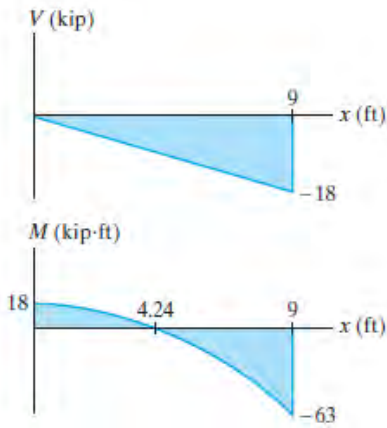


F6-3

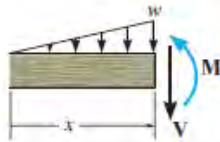


$$+\uparrow \sum F_y = 0; \quad -V - 2x = 0 \quad V = \{-2x\} \text{ kip} \quad \text{Ans.}$$

$$\zeta + \sum M_O = 0; \quad M + 2x\left(\frac{x}{2}\right) - 18 = 0 \quad M = \{18 - x^2\} \text{ kip} \cdot \text{ft} \quad \text{Ans.}$$



F6-4



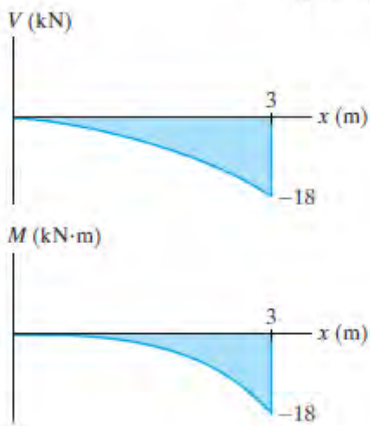
$$\frac{w}{x} = \frac{12}{3} \quad w = 4x$$

$$+\uparrow \sum F_y = 0; \quad -V - \frac{1}{2}(4x)(x) = 0$$

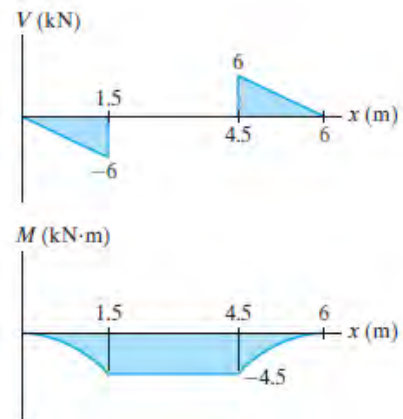
$$V = \{-2x^2\} \text{ kN} \quad \text{Ans.}$$

$$\zeta + \sum M_O = 0; \quad M + \left[\frac{1}{2}(4x)(x) \right] \left(\frac{x}{3} \right) = 0$$

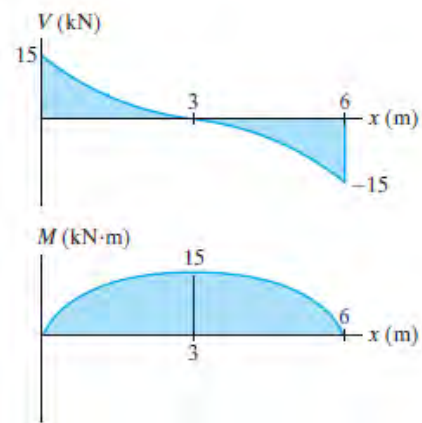
$$M = \left\{ -\frac{2}{3}x^3 \right\} \text{ kN} \cdot \text{m} \quad \text{Ans.}$$



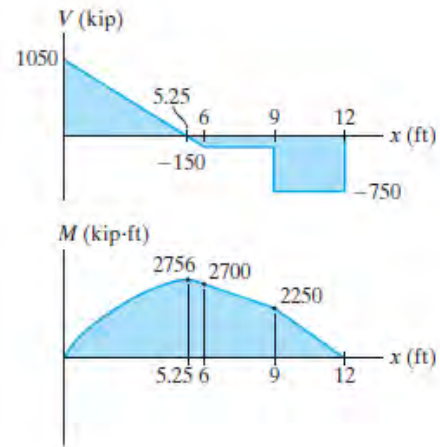
F6-5

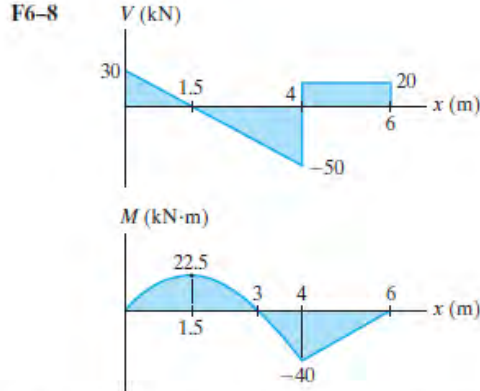


F6-6



F6-7





F6-9 Consider two vertical rectangles and a horizontal rectangle.

$$I = 2 \left[\frac{1}{12} (0.02)(0.2^3) \right] + \frac{1}{12} (0.26)(0.02^3)$$

$$= 26.84(10^{-6}) \text{ m}^4$$

$$\sigma_{\max} = \frac{Mc}{I} = \frac{20(10^3)(0.1)}{26.84(10^{-6})} = 74.5 \text{ MPa} \quad \text{Ans.}$$

F6-10 See inside front cover.

$$\bar{y} = \frac{0.5}{3} = 0.1 \text{ m}$$

$$I = \frac{1}{36} (0.3)(0.3^3) = 0.225(10^{-3}) \text{ m}^4$$

$$(\sigma_{\max})_c = \frac{Mc}{I} = \frac{50(10^3)(0.3 - 0.1)}{0.225(10^{-3})}$$

$$= 44.4 \text{ MPa (C)} \quad \text{Ans.}$$

$$(\sigma_{\max})_t = \frac{My}{I} = \frac{50(10^3)(0.1)}{0.225(10^{-3})} = 22.2 \text{ MPa (T)} \quad \text{Ans.}$$

F6-11 Consider large rectangle minus the two side rectangles.

$$I = \frac{1}{12} (0.2)(0.3^3) - (2) \frac{1}{12} (0.09)(0.26^3)$$

$$= 0.18636(10^{-3}) \text{ m}^4$$

$$\sigma_{\max} = \frac{Mc}{I} = \frac{50(10^3)(0.15)}{0.18636(10^{-3})} = 40.2 \text{ MPa} \quad \text{Ans.}$$

F6-12 Consider two vertical rectangles and two horizontal rectangles.

$$I = 2 \left[\frac{1}{12} (0.03)(0.4^3) \right] + 2 \left[\frac{1}{12} (0.14)(0.03^3) + 0.14(0.03)(0.15^2) \right]$$

$$= 0.50963(10^{-3}) \text{ m}^4$$

$$\sigma_{\max} = \frac{Mc}{I} = \frac{10(10^3)(0.2)}{0.50963(10^{-3})} = 3.92 \text{ MPa} \quad \text{Ans.}$$

$$\sigma_A = 3.92 \text{ MPa (C)}$$

$$\sigma_B = 3.92 \text{ MPa (T)}$$

F6-13 Consider center rectangle and two side rectangles.

$$I = \frac{1}{12} (0.05)(0.4^3) + 2 \left[\frac{1}{12} (0.025)(0.3^3) \right]$$

$$= 0.37917(10^{-3}) \text{ m}^4$$

$$\sigma_A = \frac{My_A}{I} = \frac{5(10^3)(-0.15)}{0.37917(10^{-3})} = 1.98 \text{ MPa (T)} \quad \text{Ans.}$$

F6-14 $M_y = 50 \left(\frac{4}{5} \right) = 40 \text{ kN} \cdot \text{m}$

$$M_z = 50 \left(\frac{3}{5} \right) = 30 \text{ kN} \cdot \text{m}$$

$$I_y = \frac{1}{12} (0.3)(0.2^3) = 0.2(10^{-3}) \text{ m}^4$$

$$I_z = \frac{1}{12} (0.2)(0.3^3) = 0.45(10^{-3}) \text{ m}^4$$

$$\sigma = -\frac{M_z y}{I_z} + \frac{M_y z}{I_y}$$

$$\sigma_A = -\frac{[30(10^3)](-0.15)}{0.45(10^{-3})} + \frac{[40(10^3)](0.1)}{0.2(10^{-3})}$$

$$= 30 \text{ MPa (T)} \quad \text{Ans.}$$

$$\sigma_B = -\frac{[30(10^3)](0.15)}{0.45(10^{-3})} + \frac{[40(10^3)](0.1)}{0.2(10^{-3})}$$

$$= 10 \text{ MPa (T)} \quad \text{Ans.}$$

$$\tan \alpha = \frac{I_z}{I_y} \tan \theta$$

$$\tan \alpha = \left[\frac{0.45(10^{-3})}{0.2(10^{-3})} \right] \left(\frac{4}{3} \right)$$

$$\alpha = 71.6^\circ \quad \text{Ans.}$$

F6-15 Maximum stress occurs at *D* or *A*.

$$(\sigma_{\max})_D = \frac{(50 \cos 30^\circ) 12(3)}{\frac{1}{12}(4)(6)^3} + \frac{(50 \sin 30^\circ) 12(2)}{\frac{1}{12}(6)(4)^3}$$

$$= 40.4 \text{ psi} \quad \text{Ans.}$$

Chapter 7

F7-1 Consider two vertical rectangles and a horizontal rectangle.

$$I = 2 \left[\frac{1}{12} (0.02)(0.2^3) \right] + \frac{1}{12} (0.26)(0.02^3) = 26.84(10^{-6}) \text{ m}^4$$

Take two rectangles above A.

$$Q_A = 2[0.055(0.09)(0.02)] = 198(10^{-6}) \text{ m}^3$$

$$\tau_A = \frac{VQ_A}{It} = \frac{100(10^3)[198(10^{-6})]}{[26.84(10^{-6})][2(0.02)]} = 18.4 \text{ MPa}$$

Ans.

F7-2 Consider a vertical rectangle and two squares.

$$I = \frac{1}{12} (0.1)(0.3^3) + (2) \frac{1}{12} (0.1)(0.1^3) = 0.24167(10^{-3}) \text{ m}^4$$

Take top half of area (above A).

$$Q_A = y'_1 A'_1 + y'_2 A'_2 = \left[\frac{1}{2} (0.05) \right] (0.05)(0.3) + 0.1(0.1)(0.1) = 1.375(10^{-3}) \text{ m}^3$$

$$\tau_A = \frac{VQ}{It} = \frac{600(10^3)[1.375(10^{-3})]}{[0.24167(10^{-3})](0.3)} = 11.4 \text{ MPa}$$

Ans.

Take top square (above B).

$$Q_B = y'_2 A'_2 = 0.1(0.1)(0.1) = 1(10^{-3}) \text{ m}^3$$

$$\tau_B = \frac{VQ}{It} = \frac{600(10^3)[1(10^{-3})]}{[0.24167(10^{-3})](0.1)} = 24.8 \text{ MPa}$$

Ans.

F7-3 $V_{\max} = 4.5 \text{ kip}$

$$I = \frac{1}{12} (3)(6^3) = 54 \text{ in}^4$$

Take top half of area.

$$Q_{\max} = y' A' = 1.5(3) = 13.5 \text{ in}^3$$

$$(\tau_{\max})_{\text{abs}} = \frac{V_{\max} Q_{\max}}{It} = \frac{4.5(10^3)(13.5)}{54(3)} = 375 \text{ psi}$$

Ans.

F7-4 Consider two vertical rectangles and two horizontal rectangles.

$$I = 2 \left[\frac{1}{12} (0.03)(0.4^3) \right] + 2 \left[\frac{1}{12} (0.14)(0.03^3) + 0.14(0.03)(0.15^2) \right] = 0.50963(10^{-3}) \text{ m}^4$$

Take the top half of area.

$$Q_{\max} = 2y'_1 A'_1 + y'_2 A'_2 = 2(0.1)(0.2)(0.03) + (0.15)(0.14)(0.03) = 1.83(10^{-3}) \text{ m}^3$$

$$\tau_{\max} = \frac{VQ_{\max}}{It} = \frac{20(10^3)[1.83(10^{-3})]}{0.50963(10^{-3})[2(0.03)]} = 1.20 \text{ MPa}$$

Ans.

F7-5 Consider one large vertical rectangle and two side rectangles.

$$I = \frac{1}{12} (0.05)(0.4^3) + 2 \left[\frac{1}{12} (0.025)(0.3^3) \right] = 0.37917(10^{-3}) \text{ m}^4$$

Take the top half of area.

$$Q_{\max} = 2y'_1 A'_1 + y'_2 A'_2 = 2(0.075)(0.025)(0.15) + (0.1)(0.05)(0.2) = 1.5625(10^{-3}) \text{ m}^3$$

$$\tau_{\max} = \frac{VQ_{\max}}{It} = \frac{20(10^3)[1.5625(10^{-3})]}{[0.37917(10^{-3})][2(0.025)]} = 1.65 \text{ MPa}$$

Ans.

F7-6 $I = \frac{1}{12} (0.3)(0.2^3) = 0.2(10^{-3}) \text{ m}^4$

Top (or bottom) board

$$Q = y' A' = 0.05(0.1)(0.3) = 1.5(10^{-3}) \text{ m}^3$$

Two rows of nails

$$q_{\text{allow}} = 2 \left(\frac{F}{s} \right) = \frac{2[15(10^3)]}{s} = \frac{30(10^3)}{s}$$

$$q_{\text{allow}} = \frac{VQ}{I}; \quad \frac{30(10^3)}{s} = \frac{50(10^3)[1.5(10^{-3})]}{0.2(10^{-3})}$$

$$s = 0.08 \text{ m} = 80 \text{ mm}$$

Ans.

F7-7 Consider large rectangle minus two side rectangles.

$$I = \frac{1}{12} (0.2)(0.34^3) - (2) \frac{1}{12} (0.095)(0.28^3) = 0.3075(10^{-3}) \text{ m}^4$$

Top plate

$$Q = y' A' = 0.16(0.02)(0.2) = 0.64(10^{-3}) \text{ m}^3$$

Two rows of bolts

$$q_{\text{allow}} = 2 \left(\frac{F}{s} \right) = \frac{2[30(10^3)]}{s} = \frac{60(10^3)}{s}$$

$$q_{\text{allow}} = \frac{VQ}{I}; \quad \frac{60(10^3)}{s} = \frac{300(10^3)[0.64(10^{-3})]}{0.3075(10^{-3})}$$

$$s = 0.09609 \text{ m} = 96.1 \text{ mm}$$

Use $s = 96 \text{ mm}$

Ans.

F7-8 Consider two large rectangles and two side rectangles.

$$I = 2 \left[\frac{1}{12} (0.025)(0.3^3) \right] + 2 \left[\frac{1}{12} (0.05)(0.2^3) + 0.05(0.2)(0.15^2) \right]$$

$$= 0.62917(10^{-3}) \text{ m}^4$$

Top center board is held onto beam by the top row of bolts.

$$Q = y' A' = 0.15(0.2)(0.05) = 1.5(10^{-3}) \text{ m}^3$$

Each bolt has two shearing surfaces.

$$q_{\text{allow}} = 2 \left(\frac{F}{s} \right) = \frac{2[8(10^3)]}{s} = \frac{16(10^3)}{s}$$

$$q_{\text{allow}} = \frac{VQ}{I}; \quad \frac{16(10^3)}{s} = \frac{20(10^3)[1.5(10^{-3})]}{0.62917(10^{-3})}$$

$$s = 0.3356 \text{ m} = 335.56 \text{ mm}$$

Use $s = 335 \text{ mm}$ Ans.

F7-9 Consider center board and four side boards.

$$I = \frac{1}{12} (1)(6^3) + 4 \left[\frac{1}{12} (0.5)(4^3) + 0.5(4)(3^2) \right]$$

$$= 100.67 \text{ in}^4$$

Top-right board is held onto beam by a row of bolts.

$$Q = y' A' = 3(4)(0.5) = 6 \text{ in}^3$$

Bolts have one shear surface.

$$q_{\text{allow}} = \frac{F}{s} = \frac{6}{s}$$

$$q_{\text{allow}} = \frac{VQ}{I}; \quad \frac{6}{s} = \frac{15(6)}{100.67}$$

$$s = 6.711 \text{ in.}$$

Use $s = 6 \frac{5}{8} \text{ in.}$ Ans.

Also, can consider the top *two* boards held onto beam by a row of bolts with two shearing surfaces.

Chapter 8

F8-1 $+\uparrow \sum F_z = (F_R)_z; \quad -500 - 300 = P$

$$P = -800 \text{ kN}$$

$$\sum M_x = 0; \quad 300(0.05) - 500(0.1) = M_x$$

$$M_x = -35 \text{ kN} \cdot \text{m}$$

$$\sum M_y = 0; \quad 300(0.1) - 500(0.1) = M_y$$

$$M_y = -20 \text{ kN} \cdot \text{m}$$

$$A = 0.3(0.3) = 0.09 \text{ m}^2$$

$$I_x = I_y = \frac{1}{12} (0.3)(0.3^3) = 0.675(10^{-3}) \text{ m}^4$$

$$\sigma_A = \frac{-800(10^3)}{0.09} + \frac{[20(10^3)](0.15)}{0.675(10^{-3})} + \frac{[35(10^3)](0.15)}{0.675(10^{-3})}$$

$$= 3.3333 \text{ MPa} = 3.33 \text{ MPa (T)} \quad \text{Ans.}$$

$$\sigma_B = \frac{-800(10^3)}{0.09} + \frac{[20(10^3)](0.15)}{0.675(10^{-3})} - \frac{[35(10^3)](0.15)}{0.675(10^{-3})}$$

$$= -12.22 \text{ MPa} = 12.2 \text{ MPa (C)} \quad \text{Ans.}$$

F8-2 $+\uparrow \sum F_y = 0; \quad V - 400 = 0 \quad V = 400 \text{ kN}$
 $\zeta + \sum M_A = 0; \quad -M - 400(0.5) = 0 \quad M = -200 \text{ kN} \cdot \text{m}$

$$I = \frac{1}{12} (0.1)(0.3^3) = 0.225(10^{-3}) \text{ m}^4$$

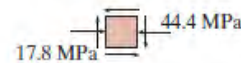
Bottom segment

$$\sigma_A = \frac{My}{I} = \frac{[200(10^3)](-0.05)}{0.225(10^{-3})}$$

$$= -44.44 \text{ MPa} = 44.4 \text{ MPa (C)} \quad \text{Ans.}$$

$$Q_A = y' A' = 0.1(0.1)(0.1) = 1(10^{-3}) \text{ m}^3$$

$$\tau_A = \frac{VQ}{It} = \frac{400(10^3)[1(10^{-3})]}{0.225(10^{-3})(0.1)} = 17.8 \text{ MPa} \quad \text{Ans.}$$



F8-3 Left reaction is 20 kN.

Left segment:

$$+\uparrow \sum F_y = 0; \quad 20 - V = 0 \quad V = 20 \text{ kN}$$

$$\zeta + \sum M_s = 0; \quad M - 20(0.5) = 0 \quad M = 10 \text{ kN} \cdot \text{m}$$

Consider large rectangle minus two side rectangles.

$$I = \frac{1}{12} (0.1)(0.2^3) - (2) \frac{1}{12} (0.045)(0.18^3)$$

$$= 22.9267(10^{-6}) \text{ m}^4$$

Top segment above A

$$Q_A = y'_1 A'_1 + y'_2 A'_2 = 0.07(0.04)(0.01)$$

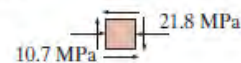
$$+ 0.095(0.1)(0.01) = 0.123(10^{-3}) \text{ m}^3$$

$$\sigma_A = -\frac{My_A}{I} = -\frac{[10(10^3)](0.05)}{22.9267(10^{-6})}$$

$$= -21.81 \text{ MPa} = 21.8 \text{ MPa (C)} \quad \text{Ans.}$$

$$\tau_A = \frac{VQ_A}{It} = \frac{20(10^3)[0.123(10^{-3})]}{[22.9267(10^{-6})](0.01)}$$

$$= 10.7 \text{ MPa} \quad \text{Ans.}$$



F8-4 At the section through centroidal axis:

$$N = P$$

$$V = 0$$

$$M = (2 + 1)P = 3P$$

$$\sigma = \frac{N}{A} + \frac{Mc}{I}$$

$$30 = \frac{P}{2(0.5)} + \frac{(3P)(1)}{\frac{1}{12}(0.5)(2)^3}$$

$$P = 3 \text{ kip}$$

Ans.

F8-5 At section through B:

$$N = 500 \text{ lb}, V = 400 \text{ lb}$$

$$M = 400(10) = 4000 \text{ lb} \cdot \text{in.}$$

Axial load:

$$\sigma_x = \frac{N}{A} = \frac{500}{4(3)} = 41.667 \text{ psi (T)}$$

Shear load:

$$\tau_{xy} = \frac{VQ}{It} = \frac{400[(1.5)(3)(1)]}{[\frac{1}{12}(3)(4)^3]3} = 37.5 \text{ psi}$$

Bending moment:

$$\sigma_x = \frac{My}{I} = \frac{4000(1)}{\frac{1}{12}(3)(4)^3} = 250 \text{ psi (C)}$$

Thus

$$\sigma_x = 41.667 - 250 = 208 \text{ psi (C)}$$

$$\sigma_y = 0$$

$$\tau_{xy} = 37.5 \text{ psi}$$

Ans.

Ans.

Ans.



F8-6 Top segment:

$$\sum F_y = 0; \quad V_y + 1000 = 0 \quad V_y = -1000 \text{ N}$$

$$\sum F_x = 0; \quad V_x - 1500 = 0 \quad V_x = 1500 \text{ N}$$

$$\sum M_z = 0; \quad T_z - 1500(0.4) = 0 \quad T_z = 600 \text{ N} \cdot \text{m}$$

$$\sum M_y = 0; \quad M_y - 1500(0.2) = 0 \quad M_y = 300 \text{ N} \cdot \text{m}$$

$$\sum M_x = 0; \quad M_x - 1000(0.2) = 0 \quad M_x = 200 \text{ N} \cdot \text{m}$$

$$I_y = I_x = \frac{\pi}{4}(0.02^4) = 40(10^{-9})\pi \text{ m}^4$$

$$J = \frac{\pi}{2}(0.02^4) = 80(10^{-9})\pi \text{ m}^4$$

$$(Q_y)_A = \frac{4(0.02)}{3\pi} \left[\frac{\pi}{2}(0.02^2) \right] = 5.3333(10^{-6}) \text{ m}^3$$

$$\sigma_A = \frac{M_x y}{I_x} - \frac{M_y x}{I_y} = \frac{-200(0)}{40(10^{-9})\pi} - \frac{-300(0.02)}{40(10^{-9})\pi} = 477 \text{ MPa (T)}$$

Ans.

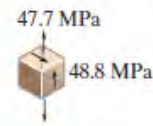
$$[(\tau_{xy})_T]_A = \frac{T_z c}{J} = \frac{600(0.02)}{80(10^{-9})\pi} = 47746 \text{ MPa}$$

$$[(\tau_{xy})_V]_A = \frac{V_y(Q_y)_A}{I_x t} = \frac{1000[5.3333(10^{-6})]}{[40(10^{-9})\pi](0.04)} = 1.061 \text{ MPa}$$

Combining these two shear stress components,

$$(\tau_{xy})_A = 47746 + 1.061 = 48.8 \text{ MPa}$$

Ans.



F8-7 Right Segment:

$$\sum F_z = 0; \quad V_z - 6 = 0 \quad V_z = 6 \text{ kN}$$

$$\sum M_y = 0; \quad T_y - 6(0.3) = 0 \quad T_y = 1.8 \text{ kN} \cdot \text{m}$$

$$\sum M_x = 0; \quad M_x - 6(0.3) = 0 \quad M_x = 1.8 \text{ kN} \cdot \text{m}$$

$$I_x = \frac{\pi}{4}(0.05^4 - 0.04^4) = 0.9225(10^{-6})\pi \text{ m}^4$$

$$J = \frac{\pi}{2}(0.05^4 - 0.04^4) = 1.845(10^{-6})\pi \text{ m}^4$$

$$(Q_z)_A = y_2' A_2' - y_1' A_1' = \frac{4(0.05)}{3\pi} \left[\frac{\pi}{2}(0.05^2) \right] - \frac{4(0.04)}{3\pi} \left[\frac{\pi}{2}(0.04^2) \right] = 40.6667(10^{-6}) \text{ m}^3$$

$$\sigma_A = \frac{M_x z}{I_x} = \frac{1.8(10^3)(0)}{0.9225(10^{-6})\pi} = 0$$

Ans.

$$[(\tau_{yz})_T]_A = \frac{T_y c}{J} = \frac{[1.8(10^3)](0.05)}{1.845(10^{-6})\pi} = 15.53 \text{ MPa}$$

$$[(\tau_{yz})_V]_A = \frac{V_z(Q_z)_A}{I_x t} = \frac{6(10^3)[40.6667(10^{-6})]}{[0.9225(10^{-6})\pi](0.02)} = 4.210 \text{ MPa}$$

Combining these two shear stress components,

$$(\tau_{yz})_A = 15.53 - 4.210 = 11.3 \text{ MPa}$$

Ans.



F8-8 Left Segment:

$$\Sigma F_z = 0; \quad V_z - 900 - 300 = 0 \quad V_z = 1200 \text{ N}$$

$$\Sigma M_y = 0; \quad T_y + 300(0.1) - 900(0.1) = 0 \quad T_y = 60 \text{ N} \cdot \text{m}$$

$$\Sigma M_x = 0; \quad M_x + (900 + 300)0.3 = 0 \quad M_x = -360 \text{ N} \cdot \text{m}$$

$$I_x = \frac{\pi}{4} (0.025^4 - 0.02^4) = 57.65625(10^{-9})\pi \text{ m}^4$$

$$J = \frac{\pi}{2} (0.025^4 - 0.02^4) = 0.1153125(10^{-6})\pi \text{ m}^4$$

$$(Q_y)_A = 0$$

$$\sigma_A = \frac{M_x y}{I_x} = \frac{(360)(0.025)}{57.65625(10^{-9})\pi} = 49.7 \text{ MPa} \quad \text{Ans.}$$

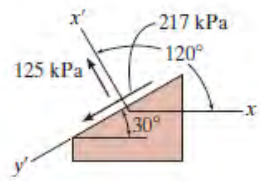
$$[(\tau_{xy})_T]_A = \frac{T_y \rho_A}{J} = \frac{60(0.025)}{0.1153125(10^{-6})\pi} = 4.14 \text{ MPa} \quad \text{Ans.}$$

$$[(\tau_{yz})_V]_A = \frac{V_z (Q_z)_A}{I_x t} = 0 \quad \text{Ans.}$$



Chapter 9

F9-1 $\theta = 120^\circ$ $\sigma_x = 500 \text{ kPa}$ $\sigma_y = 0$ $\tau_{xy} = 0$
 Apply Eqs. 9-1, 9-2.
 $\sigma_{x'} = 125 \text{ kPa} \quad \text{Ans.}$
 $\tau_{x'y'} = 217 \text{ kPa} \quad \text{Ans.}$



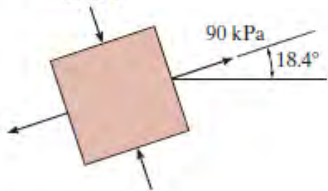
F9-2

$\theta = -45^\circ$ $\sigma_x = 0$ $\sigma_y = -400 \text{ kPa}$
 $\tau_{xy} = -300 \text{ kPa}$
 Apply Eqs. 9-1, 9-3, 9-2.
 $\sigma_{x'} = 100 \text{ kPa} \quad \text{Ans.}$
 $\sigma_{y'} = -500 \text{ kPa} \quad \text{Ans.}$
 $\tau_{x'y'} = 200 \text{ kPa} \quad \text{Ans.}$

F9-3 $\theta_x = 80 \text{ kPa}$ $\sigma_y = 0$ $\tau_{xy} = 30 \text{ kPa}$
 Apply Eqs. 9-5, 9-4.
 $\sigma_1 = 90 \text{ kPa}$ $\sigma_2 = -10 \text{ kPa} \quad \text{Ans.}$
 $\theta_p = 18.43^\circ$ and 108.43°
 From Eq. 9-1,

$$\sigma_{x'} = \frac{80 + 0}{2} + \frac{80 - 0}{2} \cos 2(18.43^\circ) + 30 \sin 2(18.43^\circ) = 90 \text{ kPa} = \sigma_1$$

Thus, $(\theta_p)_1 = 18.4^\circ$ for σ_1 Ans.



F9-4 $\sigma_x = 100 \text{ kPa}$ $\sigma_y = 700 \text{ kPa}$
 $\tau_{xy} = -400 \text{ kPa}$
 Apply Eqs. 9-7, 9-8.
 $\tau_{\text{max in-plane}} = 500 \text{ kPa} \quad \text{Ans.}$
 $\sigma_{\text{avg}} = 400 \text{ kPa} \quad \text{Ans.}$

F9-5 At the cross section through B:
 $N = 4 \text{ kN}$ $V = 2 \text{ kN}$
 $M = 2(2) = 4 \text{ kN} \cdot \text{m}$
 $\sigma_B = \frac{P}{A} + \frac{Mc}{I} = \frac{4(10^3)}{0.03(0.06)} + \frac{4(10^3)(0.03)}{\frac{1}{12}(0.03)(0.06)^3} = 224 \text{ MPa (T)}$
 Note $\tau_B = 0$ since $Q = 0$.
 Thus $\sigma_1 = 224 \text{ MPa} \quad \text{Ans.}$
 $\sigma_2 = 0$

F9-6 $A_y = B_y = 12 \text{ kN}$
 Segment AC:
 $V_C = 0$ $M_C = 24 \text{ kN} \cdot \text{m}$
 $\tau_C = 0$ (since $V_C = 0$)
 $\sigma_C = 0$ (since C is on neutral axis)
 $\sigma_1 = \sigma_2 = 0 \quad \text{Ans.}$

F9-7 $\sigma_{avg} = \frac{\sigma_x + \sigma_y}{2} = \frac{500 + 0}{2} = 250 \text{ kPa}$

The coordinates of the center C of the circle and the reference point A are

$A(500, 0) \quad C(250, 0)$

$R = CA = 500 - 250 = 250 \text{ kPa}$

$\theta = 120^\circ$ (counterclockwise). Rotate the radial line CA counterclockwise $2\theta = 240^\circ$ to the coordinates of point $P(\sigma_{x'}, \tau_{x'y'})$.

$\alpha = 240^\circ - 180^\circ = 60^\circ$

$\sigma_{x'} = 250 - 250 \cos 60^\circ = 125 \text{ kPa}$ Ans.

$\tau_{x'y'} = 250 \sin 60^\circ = 217 \text{ kPa}$ Ans.

F9-8 $\sigma_{avg} = \frac{\sigma_x + \sigma_y}{2} = \frac{80 + 0}{2} = 40 \text{ kPa}$

The coordinates of the center C of the circle and the reference point A are

$A(80, 30) \quad C(40, 0)$

$R = CA = \sqrt{(80 - 40)^2 + 30^2} = 50 \text{ kPa}$

$\sigma_1 = 40 + 50 = 90 \text{ kPa}$ Ans.

$\sigma_2 = 40 - 50 = -10 \text{ kPa}$ Ans.

$\tan 2(\theta_p)_1 = \frac{30}{80 - 40} = 0.75$

$(\theta_p)_1 = 18.4^\circ$ (counterclockwise) Ans.

F9-9 The coordinates of the reference point A and the center C of the circle are

$A(30, 40) \quad C(0, 0)$

$R = CA = 50 \text{ MPa}$

$\sigma_1 = 50 \text{ MPa}$

$\sigma_2 = -50 \text{ MPa}$

F9-10 $J = \frac{\pi}{2} (0.04^4 - 0.03^4) = 0.875(10^{-6})\pi \text{ m}^4$

$\tau = \frac{Tc}{J} = \frac{4(10^3)(0.04)}{0.875(10^{-6})\pi} = 58.21 \text{ MPa}$

$\sigma_x = \sigma_y = 0$ and $\tau_{xy} = -58.21 \text{ MPa}$

$\sigma_{avg} = \frac{\sigma_x + \sigma_y}{2} = 0$

The coordinates of the reference point A and the center C of the circle are

$A(0, -58.21) \quad C(0, 0)$

$R = CA = 58.21 \text{ MPa}$

$\sigma_1 = 0 + 58.21 = 58.2 \text{ MPa}$ Ans.

$\sigma_2 = 0 - 58.21 = -58.2 \text{ MPa}$ Ans.

F9-11

$+\uparrow \Sigma F_y = 0; \quad V - 30 = 0 \quad V = 30 \text{ kN}$

$\zeta + \Sigma M_O = 0; \quad -M - 30(0.3) = 0 \quad M = -9 \text{ kN} \cdot \text{m}$

$I = \frac{1}{12} (0.05)(0.15^3) = 14.0625(10^{-6}) \text{ m}^4$

Segment above A ,

$Q_A = y' A' = 0.05(0.05)(0.05) = 0.125(10^{-3}) \text{ m}^3$

$\sigma_A = \frac{My_A}{I} = \frac{[-9(10^3)](0.025)}{14.0625(10^{-6})} = 16 \text{ MPa (T)}$

$\tau_A = \frac{VQ_A}{It} = \frac{30(10^3)[0.125(10^{-3})]}{14.0625(10^{-6})(0.05)} = 5.333 \text{ MPa}$

$\sigma_x = 16 \text{ MPa}, \sigma_y = 0,$ and $\tau_{xy} = -5.333 \text{ MPa}$

$\sigma_{avg} = \frac{\sigma_x + \sigma_y}{2} = \frac{16 + 0}{2} = 8 \text{ MPa}$

The coordinates of the reference point A and the center C of the circle are

$A(16, -5.333) \quad C(8, 0)$

$R = CA = \sqrt{(16 - 8)^2 + (-5.333)^2} = 9.615 \text{ MPa}$

$\sigma_1 = 8 + 9.615 = 17.6 \text{ MPa}$ Ans.

$\sigma_2 = 8 - 9.615 = -1.61 \text{ MPa}$ Ans.

F9-12

$\zeta + \Sigma M_B = 0; \quad 60(1) - A_y(1.5) = 0 \quad A_y = 40 \text{ kN}$

$+\uparrow \Sigma F_y = 0; \quad 40 - V = 0 \quad V = 40 \text{ kN}$

$\zeta + \Sigma M_O = 0; \quad M - 40(0.5) = 0 \quad M = 20 \text{ kN} \cdot \text{m}$

Consider large rectangle minus two side rectangles.

$I = \frac{1}{12} (0.1)(0.2^3) - (2)\frac{1}{12} (0.045)(0.18^3) = 22.9267(10^{-6}) \text{ m}^4$

Top rectangle,

$Q_A = y' A' = 0.095(0.01)(0.1) = 95(10^{-6}) \text{ m}^3$

$\sigma_A = \frac{My_A}{I} = \frac{[20(10^3)](0.09)}{22.9267(10^{-6})} = -78.51 \text{ MPa}$

$= 78.51 \text{ MPa (C)}$

$\tau_A = \frac{VQ_A}{It} = \frac{40(10^3)[95(10^{-6})]}{[22.9267(10^{-6})](0.01)} = 16.57 \text{ MPa}$

$\sigma_x = -78.51 \text{ MPa}, \sigma_y = 0,$ and $\tau_{xy} = -16.57 \text{ MPa}$

$\sigma_{avg} = \frac{\sigma_x + \sigma_y}{2} = \frac{-78.51 + 0}{2} = -39.26 \text{ MPa}$

The coordinates of the reference point A and the center C of the circle are

$A(-78.51, -16.57) \quad C(-39.26, 0)$

$$R = CA = \sqrt{[-78.51 - (-39.26)]^2 + (-16.57)^2} = 42.61 \text{ MPa}$$

$$\tau_{\text{max in-plane}} = |R| = 42.6 \text{ MPa}$$

Chapter 11

F11-1

At support,

$$V_{\text{max}} = 12 \text{ kN} \quad M_{\text{max}} = 18 \text{ kN} \cdot \text{m}$$

$$I = \frac{1}{12}(a)(2a)^3 = \frac{2}{3}a^4$$

$$\sigma_{\text{allow}} = \frac{M_{\text{max}}c}{I}; \quad 10(10^6) = \frac{18(10^3)(a)}{\frac{2}{3}a^4}$$

$$a = 0.1392 \text{ m} = 139.2 \text{ mm}$$

Use $a = 140 \text{ mm}$

$$I = \frac{2}{3}(0.14^4) = 0.2561(10^{-3}) \text{ m}^4$$

$$Q_{\text{max}} = \frac{0.14}{2}(0.14)(0.14) = 1.372(10^{-3}) \text{ m}^3$$

$$\tau_{\text{max}} = \frac{V_{\text{max}}Q_{\text{max}}}{It} = \frac{12(10^3)[1.372(10^{-3})]}{[0.2561(10^{-3})](0.14)} = 0.459 \text{ MPa} < \tau_{\text{allow}} = 1 \text{ MPa (OK)}$$

F11-2

At support,

$$V_{\text{max}} = 3 \text{ kip} \quad M_{\text{max}} = 12 \text{ kip} \cdot \text{ft}$$

$$I = \frac{\pi}{4}\left(\frac{d}{2}\right)^4 = \frac{\pi d^4}{64}$$

$$\sigma_{\text{allow}} = \frac{M_{\text{max}}c}{I}; \quad 20 = \frac{12(12)\left(\frac{d}{2}\right)}{\frac{\pi d^4}{64}}$$

$$d = 4.19 \text{ in.}$$

Use $d = 4 \frac{1}{4} \text{ in.}$

$$I = \frac{\pi}{64}(4.25^4) = 16.015 \text{ in}^4$$

Semicircle,

$$Q_{\text{max}} = \frac{4(4.25/2)}{3\pi} \left[\frac{1}{2} \left(\frac{\pi}{4} \right) (4.25^2) \right] = 6.397 \text{ in}^3$$

$$\tau_{\text{max}} = \frac{V_{\text{max}}Q_{\text{max}}}{It} = \frac{3(6.397)}{16.015(4.25)} = 0.282 \text{ ksi} < \tau_{\text{allow}} = 10 \text{ ksi (OK)}$$

F11-3

At the supports,

$$V_{\text{max}} = 10 \text{ kN}$$

Under 15-kN load,

$$M_{\text{max}} = 5 \text{ kN} \cdot \text{m}$$

$$I = \frac{1}{12}(a)(2a)^3 = \frac{2}{3}a^4$$

$$\sigma_{\text{allow}} = \frac{M_{\text{max}}c}{I}; \quad 12(10^6) = \frac{5(10^3)(a)}{\frac{2}{3}a^4}$$

$$a = 0.0855 \text{ m} = 85.5 \text{ mm}$$

Use $a = 86 \text{ mm}$

$$I = \frac{2}{3}(0.086^4) = 36.4672(10^{-6}) \text{ m}^4$$

Top half of rectangle,

$$Q_{\text{max}} = \frac{0.086}{2}(0.086)(0.086) = 0.318028(10^{-3}) \text{ m}^3$$

$$\tau_{\text{max}} = \frac{V_{\text{max}}Q_{\text{max}}}{It} = \frac{10(10^3)[0.318028(10^{-3})]}{[36.4672(10^{-6})](0.086)} = 1.01 \text{ MPa} < \tau_{\text{allow}} = 1.5 \text{ MPa (OK)}$$

F11-4

At the supports,

$$V_{\text{max}} = 4.5 \text{ kip}$$

At the center,

$$M_{\text{max}} = 6.75 \text{ kip} \cdot \text{ft}$$

$$I = \frac{1}{12}(4)(h^3) = \frac{h^3}{3}$$

$$\sigma_{\text{allow}} = \frac{M_{\text{max}}c}{I}; \quad 2 = \frac{6.75(12)\left(\frac{h}{2}\right)}{\frac{h^3}{3}}$$

$$h = 7794 \text{ in.}$$

Top half of rectangle,

$$Q_{\text{max}} = y' A' = \frac{h}{4}\left(\frac{h}{2}\right)(4) = \frac{h^2}{2}$$

$$\tau_{\text{max}} = \frac{V_{\text{max}}Q_{\text{max}}}{It}; \quad 0.2 = \frac{4.5\left(\frac{h^2}{2}\right)}{\frac{h^3}{3}(4)}$$

$$h = 8.4375 \text{ in. (controls)}$$

Use $h = 8 \frac{1}{2} \text{ in.}$

Ans.

Ans.

Ans.

Ans.

Ans.

F11-5

At the supports,

$$V_{\max} = 25 \text{ kN}$$

At the center,

$$M_{\max} = 20 \text{ kN} \cdot \text{m}$$

$$I = \frac{1}{12}(b)(3b)^3 = 2.25b^4$$

$$\sigma_{\text{allow}} = \frac{M_{\max}c}{I}; \quad 12(10^6) = \frac{20(10^3)(1.5b)}{2.25b^4}$$

$$b = 0.1036 \text{ m} = 103.6 \text{ mm}$$

Use $b = 104 \text{ mm}$

$$I = 2.25(0.104^4) = 0.2632(10^{-3}) \text{ m}^4$$

Top half of rectangle,

$$Q_{\max} = 0.75(0.104)[1.5(0.104)(0.104)] = 1.2655(10^{-3}) \text{ m}^3$$

$$\tau_{\max} = \frac{V_{\max} Q_{\max}}{It} = \frac{25(10^3)[1.2655(10^{-3})]}{[0.2632(10^{-3})](0.104)} = 1.156 \text{ MPa} < \tau_{\text{allow}} = 1.5 \text{ MPa (OK)}$$

F11-6

Within the overhang,

$$V_{\max} = 150 \text{ kN}$$

At B,

$$M_{\max} = 150 \text{ kN} \cdot \text{m}$$

$$S_{\text{reqd}} = \frac{M_{\max}}{\sigma_{\text{allow}}} = \frac{150(10^3)}{150(10^6)} = 0.001 \text{ m}^3 = 1000(10^3) \text{ mm}^3$$

Select W410 \times 67 [$S_x = 1200(10^3) \text{ mm}^3$, $d = 410 \text{ mm}$, and $t_w = 8.76 \text{ mm}$].

$$\tau_{\max} = \frac{V}{t_w d} = \frac{150(10^3)}{0.00876(0.41)} = 41.76 \text{ MPa} < \tau_{\text{allow}} = 75 \text{ MPa (OK)}$$

Chapter 12

F12-1

Use left segment,

$$M(x) = 30 \text{ kN} \cdot \text{m}$$

$$EI \frac{d^2v}{dx^2} = 30$$

$$EI \frac{dv}{dx} = 30x + C_1$$

$$Elv = 15x^2 + C_1x + C_2$$

$$\text{At } x = 3 \text{ m, } \frac{dv}{dx} = 0.$$

$$C_1 = -90 \text{ kN} \cdot \text{m}^2$$

$$\text{At } x = 3 \text{ m, } v = 0.$$

$$C_2 = 135 \text{ kN} \cdot \text{m}^3$$

$$\frac{dv}{dx} = \frac{1}{EI}(30x - 90)$$

$$v = \frac{1}{EI}(15x^2 - 90x + 135)$$

For end A, $x = 0$

$$\theta_A = \frac{dv}{dx} \Big|_{x=0} = -\frac{90(10^3)}{200(10^9)[65.0(10^{-6})]} = -0.00692 \text{ rad}$$

Ans.

$$v_A = v \Big|_{x=0} = \frac{135(10^3)}{200(10^9)[65.0(10^{-6})]} = 0.01038 \text{ m} = 10.4 \text{ mm}$$

Ans.

F12-2

Use left segment,

$$M(x) = (-10x - 10) \text{ kN} \cdot \text{m}$$

$$EI \frac{d^2v}{dx^2} = -10x - 10$$

$$EI \frac{dv}{dx} = -5x^2 - 10x + C_1$$

$$Elv = -\frac{5}{3}x^3 - 5x^2 + C_1x + C_2$$

$$\text{At } x = 3 \text{ m, } \frac{dv}{dx} = 0.$$

$$EI(0) = -5(3^2) - 10(3) + C_1 \quad C_1 = 75 \text{ kN} \cdot \text{m}^2$$

$$\text{At } x = 3 \text{ m, } v = 0.$$

$$EI(0) = -\frac{5}{3}(3^3) - 5(3^2) + 75(3) + C_2 \quad C_2 = -135 \text{ kN} \cdot \text{m}^3$$

$$\frac{dv}{dx} = \frac{1}{EI}(-5x^2 - 10x + 75)$$

$$v = \frac{1}{EI} \left(-\frac{5}{3}x^3 - 5x^2 + 75x - 135 \right)$$

For end A, $x = 0$

$$\theta_A = \frac{dv}{dx} \Big|_{x=0} = \frac{1}{EI}[-5(0) - 10(0) + 75] = \frac{75(10^3)}{200(10^9)[65.0(10^{-6})]} = 0.00577 \text{ rad}$$

Ans.

$$v_A = v \Big|_{x=0} = \frac{1}{EI} \left[-\frac{5}{3}(0^3) - 5(0^2) + 75(0) - 135 \right] = -\frac{135(10^3)}{200(10^9)[65.0(10^{-6})]} = -0.01038 \text{ m} = -10.4 \text{ mm}$$

Ans.

F12-3

Use left segment,

$$M(x) = \left(-\frac{3}{2}x^2 - 10x \right) \text{ kN} \cdot \text{m}$$

$$EI \frac{d^2v}{dx^2} = -\frac{3}{2}x^2 - 10x$$

$$EI \frac{dv}{dx} = -\frac{1}{2}x^3 - 5x^2 + C_1$$

$$\text{At } x = 3 \text{ m, } \frac{dv}{dx} = 0.$$

$$EI(0) = -\frac{1}{2}(3^3) - 5(3^2) + C_1 \quad C_1 = 58.5 \text{ kN} \cdot \text{m}^2$$

$$\frac{dv}{dx} = \frac{1}{EI} \left(-\frac{1}{2}x^3 - 5x^2 + 58.5 \right)$$

For end A, $x = 0$

$$\theta_A = \frac{dv}{dx} \Big|_{x=0} = \frac{58.5(10^3)}{200(10^9)[65.0(10^{-6})]} = 0.0045 \text{ rad} \quad \text{Ans}$$

F12-4

$$A_y = 600 \text{ lb}$$

Use left segment,

$$M(x) = (600x - 50x^2) \text{ lb} \cdot \text{ft}$$

$$EI \frac{d^2v}{dx^2} = 600x - 50x^2$$

$$EI \frac{dv}{dx} = 300x^2 - 16.667x^3 + C_1$$

$$EIv = 100x^3 - 4.1667x^4 + C_1x + C_2$$

$$\text{At } x = 0, v = 0.$$

$$EI(0) = 100(0^3) - 4.1667(0^4) + C_1(0) + C_2 \quad C_2 = 0$$

$$\text{At } x = 12 \text{ ft, } v = 0.$$

$$EI(0) = 100(12^3) - 4.1667(12^4) + C_1(12) \quad C_1 = -7200 \text{ lb} \cdot \text{ft}^2$$

$$\frac{dv}{dx} = \frac{1}{EI} (300x^2 - 16.667x^3 - 7200)$$

$$v = \frac{1}{EI} (100x^3 - 4.1667x^4 - 7200x)$$

$$v_{\max} \text{ occurs where } \frac{dv}{dx} = 0.$$

$$300x^2 - 16.667x^3 - 7200 = 0$$

$$x = 6 \text{ ft}$$

$$\begin{aligned} v &= \frac{1}{EI} [100(6^3) - 4.1667(6^4) - 7200(6)] \\ &= \frac{-27\,000(12 \text{ in./ft})^3}{1.5(10^6) \left[\frac{1}{12} (3)(6^3) \right]} \\ &= -0.576 \text{ in.} \end{aligned}$$

F12-5

$$A_y = -5 \text{ kN}$$

Use left segment,

$$M(x) = (40 - 5x) \text{ kN} \cdot \text{m}$$

$$EI \frac{d^2v}{dx^2} = 40 - 5x$$

$$EI \frac{dv}{dx} = 40x - 2.5x^2 + C_1$$

$$EIv = 20x^2 - 0.8333x^3 + C_1x + C_2$$

$$\text{At } x = 0, v = 0.$$

$$EI(0) = 20(0^2) - 0.8333(0^3) + C_1(0) + C_2 \quad C_2 = 0$$

$$\text{At } x = 6 \text{ m, } v = 0.$$

$$EI(0) = 20(6^2) - 0.8333(6^3) + C_1(6) + 0 \quad C_1 = -90 \text{ kN} \cdot \text{m}^2$$

$$\frac{dv}{dx} = \frac{1}{EI} (40x - 2.5x^2 - 90)$$

$$v = \frac{1}{EI} (20x^2 - 0.8333x^3 - 90x)$$

$$v_{\max} \text{ occurs where } \frac{dv}{dx} = 0.$$

$$40x - 2.5x^2 - 90 = 0$$

$$x = 2.7085 \text{ m}$$

$$v = \frac{1}{EI} [20(2.7085^2) - 0.8333(2.7085^3) - 90(2.7085)]$$

$$= \frac{113.60(10^3)}{200(10^9)[39.9(10^{-6})]} = -0.01424 \text{ m} = -14.2 \text{ mm} \quad \text{Ans}$$

F12-6

$$A_y = 10 \text{ kN}$$

Use left segment,

$$M(x) = (10x + 10) \text{ kN} \cdot \text{m}$$

$$EI \frac{d^2v}{dx^2} = 10x + 10$$

$$EI \frac{dv}{dx} = 5x^2 + 10x + C_1$$

$$\text{Due to symmetry, } \frac{dv}{dx} = 0 \text{ at } x = 3 \text{ m.}$$

$$EI(0) = 5(3^2) + 10(3) + C_1 \quad C_1 = -75 \text{ kN} \cdot \text{m}^2$$

$$\frac{dv}{dx} = \frac{1}{EI} [5x^2 + 10x - 75]$$

$$\text{At } x = 0,$$

$$\text{Ans: } \frac{dv}{dx} = \frac{-75(10^3)}{200(10^9)(39.9(10^{-6}))} = -9.40(10^{-3}) \text{ rad} \quad \text{Ans}$$

F12-7

Since B is a fixed support, $\theta_B = 0$.

$$\theta_A = |\theta_{A/B}| = \frac{1}{2} \left(\frac{38}{EI} + \frac{20}{EI} \right) (3) = \frac{87 \text{ kN} \cdot \text{m}^2}{EI}$$

$$= \frac{87(10^3)}{200(10^9)[65(10^{-6})]} = 0.00669 \text{ rad} \curvearrowright$$

$$v_A = |t_{A/B}| = (1.5) \left[\frac{20}{EI} (3) \right] + 2 \left[\frac{1}{2} \left(\frac{18}{EI} \right) (3) \right]$$

$$= \frac{144(10^3)}{200(10^9)[65(10^{-6})]} = 0.01108 \text{ m} = 11.1 \text{ mm} \downarrow$$

Ans.

F12-8

Since B is a fixed support, $\theta_B = 0$.

$$\theta_A = |\theta_{A/B}| = \frac{1}{2} \left(\frac{50}{EI} + \frac{20}{EI} \right) (1) + \frac{1}{2} \left(\frac{20}{EI} \right) (1) = \frac{45 \text{ kN} \cdot \text{m}^2}{EI}$$

$$= \frac{45(10^3)}{200(10^9)[126(10^{-6})]} = 0.00179 \text{ rad} \curvearrowright$$

$$v_A = |t_{A/B}| =$$

$$(1.6667) \left[\frac{1}{2} \left(\frac{30}{EI} \right) (1) \right] + 1.5 \left[\frac{20}{EI} (1) \right] + 0.6667 \left[\frac{1}{2} \left(\frac{20}{EI} \right) (1) \right]$$

$$= \frac{61.667 \text{ kN} \cdot \text{m}^3}{EI} = \frac{61.667(10^3)}{200(10^9)[126(10^{-6})]}$$

$$= 0.002447 \text{ m} = 2.48 \text{ mm} \downarrow$$

Ans.

F12-9

Since B is a fixed support, $\theta_B = 0$.

$$\theta_A = |\theta_{A/B}| = \frac{1}{2} \left[\frac{60}{EI} (1) \right] + \frac{30}{EI} (2) = \frac{90 \text{ kN} \cdot \text{m}^2}{EI}$$

$$= \frac{90(10^3)}{200(10^9)[121(10^{-6})]} = 0.00372 \text{ rad} \curvearrowright$$

$$v_A = |t_{A/B}| = 1.6667 \left[\frac{1}{2} \left(\frac{60}{EI} \right) (1) \right] + (1) \left[\frac{30}{EI} (2) \right]$$

$$= \frac{110 \text{ kN} \cdot \text{m}^3}{EI}$$

$$= \frac{110(10^3)}{200(10^9)[121(10^{-6})]} = 0.004545 \text{ m} = 4.55 \text{ mm} \downarrow$$

Ans.

Ans.

F12-10

Since B is a fixed support, $\theta_B = 0$.

$$\theta_A = |\theta_{A/B}| = \frac{1}{2} \left(\frac{18}{EI} \right) (6) + \frac{1}{3} \left(\frac{9}{EI} \right) (3) = \frac{63 \text{ kip} \cdot \text{ft}^2}{EI}$$

$$= \frac{63(12^2)}{29(10^3)(245)} = 0.00128 \text{ rad} \curvearrowright$$

Ans.

$$v_A = |t_{A/B}| = 4 \left[\frac{1}{2} \left(\frac{18}{EI} \right) (6) \right] + (3 + 2.25) \left[\frac{1}{3} \left(\frac{9}{EI} \right) (3) \right]$$

$$= \frac{263.25 \text{ kip} \cdot \text{ft}^3}{EI} = \frac{263.25(12^3)}{29(10^3)(245)} = 0.0640 \text{ in.} \downarrow$$

Ans.

F12-11

Due to symmetry, the slope at the midspan of the beam (point C) is zero, i.e., $\theta_C = 0$.

$$v_{\max} = v_C = |t_{A/C}| = (2) \left[\frac{1}{2} \left(\frac{30}{EI} \right) (3) \right] + 1.5 \left[\frac{10}{EI} (3) \right]$$

$$= \frac{135 \text{ kN} \cdot \text{m}^3}{EI}$$

$$= \frac{135(10^3)}{200(10^9)[42.8(10^{-6})]} = 0.0158 \text{ m} = 15.8 \text{ mm} \downarrow$$

Ans.

F12-12

$$t_{A/B} = 2 \left[\frac{1}{2} \left(\frac{30}{EI} \right) (6) \right] + 3 \left[\frac{10}{EI} (6) \right] = \frac{360}{EI}$$

$$\theta_B = \frac{|t_{A/B}|}{L} = \frac{\frac{360}{EI}}{6} = \frac{60}{EI}$$

The maximum deflection occurs at point C where the slope of the elastic curve is zero.

$$\theta_B = \theta_{B/C}$$

$$\frac{60}{EI} = \left(\frac{10}{EI} \right) x + \frac{1}{2} \left(\frac{5x}{EI} \right) x$$

$$2.5x^2 + 10x - 60 = 0$$

$$x = 3.2915 \text{ m}$$

$$v_{\max} = |t_{B/C}| =$$

$$\frac{2}{3} (3.2915) \left\{ \frac{1}{2} \left[\frac{5(3.2915)}{EI} \right] (3.2915) \right\} + \frac{1}{2} (3.2915) \left[\frac{10}{EI} (3.2915) \right]$$

$$= \frac{113.60 \text{ kN} \cdot \text{m}^3}{EI}$$

$$= \frac{113.60(10^3)}{200(10^9)[39.9(10^{-6})]} = 0.01424 \text{ m} = 14.2 \text{ mm} \downarrow$$

Ans.

F12-13

Remove B_y ,

$$(v_B)_1 = \frac{Px^2}{6EI} (3L - x) = \frac{40(4^2)}{6EI} [3(6) - 4] = \frac{1493.33}{EI} \downarrow$$

Apply B_y ,

$$(v_B)_2 = \frac{PL^3}{3EI} = \frac{B_y(4^3)}{3EI} = \frac{21.33B_y}{EI} \uparrow$$

Ans.

$$(+\uparrow) v_B = 0 = (v_B)_1 + (v_B)_2$$

$$0 = -\frac{1493.33}{EI} + \frac{21.33B_y}{EI}$$

$$B_y = 70 \text{ kN}$$

For the beam,

$$\rightarrow \Sigma F_x = 0; \quad A_x = 0$$

$$+\uparrow \Sigma F_y = 0; \quad 70 - 40 - A_y = 0 \quad A_y = 30 \text{ kN}$$

$$\zeta + \Sigma M_A = 0; \quad 70(4) - 40(6) - M_A = 0$$

$$M_A = 40 \text{ kN} \cdot \text{m}$$

F12-14

Remove B_y ,

To use the deflection tables, consider loading as a superposition of uniform distributed load minus a triangular load.

$$(v_B)_1 = \frac{w_0 L^4}{8EI} \downarrow \quad (v_B)_2 = \frac{w_0 L^4}{30EI} \uparrow$$

Apply B_y ,

$$(+\uparrow) \quad (v_B)_3 = \frac{B_y L^3}{3EI} \uparrow \quad v_B = 0 = (v_B)_1 + (v_B)_2 + (v_B)_3$$

$$0 = -\frac{w_0 L^4}{8EI} + \frac{w_0 L^4}{30EI} + \frac{B_y L^3}{3EI}$$

$$B_y = \frac{11w_0 L}{40}$$

For the beam,

$$\rightarrow \Sigma F_x = 0; \quad A_x = 0$$

$$+\uparrow \Sigma F_y = 0; \quad A_y + \frac{11w_0 L}{40} - \frac{1}{2} w_0 L = 0$$

$$A_y = \frac{9w_0 L}{40}$$

$$\zeta + \Sigma M_A = 0; \quad M_A + \frac{11w_0 L}{40} (L) - \frac{1}{2} w_0 L \left(\frac{2}{3} L \right) = 0$$

$$M_A = \frac{7w_0 L^2}{120}$$

F12-15

Remove B_y ,

$$(v_B)_1 = \frac{wL^4}{8EI} = \frac{[10(10^3)](6^4)}{8[200(10^9)][65.0(10^{-6})]} = 0.12461 \text{ m} \downarrow$$

Apply B_y ,

$$(v_B)_2 = \frac{B_y L^3}{3EI} = \frac{B_y (6^3)}{3[200(10^9)][65.0(10^{-6})]} = 5.5385(10^{-6})B_y \uparrow$$

$$(+\downarrow) \quad v_B = (v_B)_1 + (v_B)_2$$

$$0.002 = 0.12461 - 5.5385(10^{-6})B_y$$

$$B_y = 22.314(10^3) \text{ N} = 22.1 \text{ kN}$$

Ans.

Ans.

Ans.

Ans.

Ans.

Ans.

Ans.

Ans.

Ans.

For the beam,

$$\rightarrow \Sigma F_x = 0; \quad A_x = 0$$

Ans.

$$+\uparrow \Sigma F_y = 0; \quad A_y + 22.14 - 10(6) = 0 \quad A_y = 379 \text{ kN}$$

Ans.

$$\zeta + \Sigma M_A = 0; \quad M_A + 22.14(6) - 10(6)(3) = 0$$

$$M_A = 472 \text{ kN} \cdot \text{m}$$

Ans.

F12-16

Remove B_y ,

$$(v_B)_1 = \frac{M_0 L}{6EI(2L)} [(2L)^2 - L^2] = \frac{M_0 L^2}{4EI} \downarrow$$

Apply B_y ,

$$(v_B)_2 = \frac{B_y (2L)^3}{48EI} = \frac{B_y L^3}{6EI} \uparrow$$

$$(+\uparrow) \quad v_B = 0 = (v_B)_1 + (v_B)_2$$

$$0 = -\frac{M_0 L^2}{4EI} + \frac{B_y L^3}{6EI}$$

$$B_y = \frac{3M_0}{2L}$$

Ans.

F12-17

Remove B_y ,

$$(v_B)_1 = \frac{Pbx}{6EI} (L^2 - b^2 - x^2) = \frac{50(4)(6)}{6EI(12)} (12^2 - 4^2 - 6^2)$$

$$= \frac{1533.3 \text{ kN} \cdot \text{m}^3}{EI} \downarrow$$

Apply B_y ,

$$(v_B)_2 = \frac{B_y L^3}{48EI} = \frac{B_y (12^3)}{48EI} = \frac{36B_y}{EI} \uparrow$$

$$(+\uparrow) \quad v_B = 0 = (v_B)_1 + (v_B)_2$$

$$0 = -\frac{1533.3 \text{ kN} \cdot \text{m}^3}{EI} + \frac{36B_y}{EI}$$

$$B_y = 42.6 \text{ kN}$$

Ans.

F12-18

Remove B_y ,

$$(v_B)_1 = \frac{5wL^4}{384EI} = \frac{5[10(10^3)](12^4)}{384[200(10^9)][65.0(10^{-6})]} = 0.20769 \downarrow$$

Apply B_y ,

$$(v_B)_2 = \frac{B_y L^3}{48EI} = \frac{B_y (12^3)}{48[200(10^9)][65.0(10^{-6})]}$$

$$= 2.7692(10^{-6})B_y \uparrow$$

$$(+\uparrow) \quad v_B = (v_B)_1 + (v_B)_2$$

$$-0.005 = -0.20769 + 2.7692(10^{-6})B_y$$

$$B_y = 73.19(10^3) \text{ N} = 73.2 \text{ kN}$$

Ans.

Chapter 13

F13-1

$$P = \frac{\pi^2 EI}{(KL)^2} = \frac{\pi^2 [29(10^3)] \left[\frac{\pi}{4} (0.5)^4 \right]}{[0.5(50)]^2} = 22.5 \text{ kip}$$

$$\sigma = \frac{P}{A} = \frac{22.5}{\pi(0.5)^2} = 28.6 \text{ ksi} < \sigma_Y \quad \text{OK}$$

F13-2

$$P = \frac{\pi^2 EI}{(KL)^2} = \frac{\pi^2 [1.6(10^3)] \left[\frac{1}{12} (4)(2)^3 \right]}{[1(12)(12)]^2}$$

$$= 2.03 \text{ kip}$$

F13-3

For buckling about the x axis, $K_x = 1$ and $L_x = 12$ m.

$$P_{cr} = \frac{\pi^2 EI_x}{(K_x L_x)^2} = \frac{\pi^2 [200(10^9)] [87.3(10^{-6})]}{[1(12)]^2} = 1.197(10^6) \text{ N}$$

For buckling about the y axis, $K_y = 1$ and $L_y = 6$ m.

$$P_{cr} = \frac{\pi^2 EI_y}{(K_y L_y)^2} = \frac{\pi^2 [200(10^9)] [18.8(10^{-6})]}{[1(6)]^2}$$

$$= 1.031(10^6) \text{ N (controls)}$$

$$P_{\text{allow}} = \frac{P_{cr}}{\text{F.S.}} = \frac{1.031(10^6)}{2} = 515 \text{ kN}$$

$$\sigma_{cr} = \frac{P_{cr}}{A} = \frac{1.031(10^6)}{7.4(10^{-3})} = 139.30 \text{ MPa} < \sigma_Y = 345 \text{ MPa (OK)}$$

F13-4

$$A = \pi[(0.025)^2 - (0.015)^2] = 1.257(10^{-3}) \text{ m}^2$$

$$I = \frac{1}{4} \pi [(0.025)^4 - (0.015)^4] = 267.04(10^{-9}) \text{ m}^4$$

$$P = \frac{\pi^2 EI}{(KL)^2} = \frac{\pi^2 [200(10^9)] [267.04(10^{-9})]}{[0.5(5)]^2} = 84.3 \text{ kN}$$

$$\sigma = \frac{P}{A} = \frac{84.3(10^3)}{1.257(10^{-3})} = 67.1 \text{ MPa} < 250 \text{ MPa (OK)}$$

F13-5

Joint A,

$$+\uparrow \Sigma F_y = 0; \quad F_{AB} \left(\frac{3}{5} \right) - P = 0 \quad F_{AB} = 1.6667P \text{ (T)}$$

$$\rightarrow \Sigma F_x = 0; \quad 1.6667P \left(\frac{4}{5} \right) - F_{AC} = 0$$

$$F_{AC} = 1.3333P \text{ (C)}$$

$$A = \frac{\pi}{4} (2)^2 = \pi \text{ in}^2$$

$$I = \frac{\pi}{4} (1^4) = \frac{\pi}{4} \text{ in}^4$$

$$P_{cr} = F(\text{F.S.}) = 1.3333P(2) = 2.6667P$$

$$P_{cr} = \frac{\pi^2 EI}{(KL)^2}$$

$$2.6667P = \frac{\pi^2 [29(10^3)] \left(\frac{\pi}{4} \right)}{[1(4)(12)]^2}$$

$$P = 36.59 \text{ kip} = 36.6 \text{ kip}$$

$$\sigma_{cr} = \frac{P_{cr}}{A} = \frac{2.6667(36.59)}{\pi} = 31.06 \text{ ksi} < \sigma_Y = 50 \text{ ksi}$$

Ans.

(OK)

F13-6

Beam AB,

$$\zeta + \Sigma M_A = 0; \quad w(6)(3) - F_{BC}(6) = 0 \quad F_{BC} = 3w$$

Strut BC,

$$A_{BC} = \frac{\pi}{4} (0.05)^2 = 0.625(10^{-3})\pi \text{ m}^2 \quad I = \frac{\pi}{4} (0.025^4)$$

$$= 97.65625(10^{-9})\pi \text{ m}^4$$

$$P_{cr} = F_{BC}(\text{F.S.}) = 3w(2) = 6w$$

$$P_{cr} = \frac{\pi^2 EI}{(KL)^2}$$

$$6w = \frac{\pi^2 [200(10^9)] [97.65625(10^{-9})\pi]}{[1(3)]^2}$$

$$w = 11.215(10^3) \text{ N/m} = 11.2 \text{ kN/m}$$

$$\sigma_{cr} = \frac{P_{cr}}{A} = \frac{6[11.215(10^3)]}{0.625(10^{-3})\pi} = 34.27 \text{ MPa} < \sigma_Y = 345 \text{ MPa}$$

Ans.

(OK)

د انتخاب شویو سوالونو ځوابونه

Selected Answers

Chapter 1

- 1-1. $N_E = 0, V_E = -200 \text{ lb}, M_E = -2.40 \text{ kip} \cdot \text{ft}$
- 1-2. (a) $N_a = 500 \text{ lb}, V_a = 0,$
(b) $N_b = 433 \text{ lb}, V_b = 250 \text{ lb}$
- 1-3. $V_{b-b} = 2.475 \text{ kip}, N_{b-b} = 0.390 \text{ kip},$
 $M_{b-b} = 3.60 \text{ kip} \cdot \text{ft}$
- 1-5. $N_B = 0, V_B = 288 \text{ lb},$
 $M_B = -1.15 \text{ kip} \cdot \text{ft}$
- 1-6. $N_D = 0.703 \text{ kN}, V_D = 0.3125 \text{ kN},$
 $M_D = 0.3125 \text{ kN} \cdot \text{m}$
- 1-7. $N_F = 1.17 \text{ kN}, V_F = 0, M_F = 0, N_E = 0.703 \text{ kN},$
 $V_E = -0.3125 \text{ kN}, M_E = 0.3125 \text{ kN} \cdot \text{m}$
- 1-9. $N_D = 0, V_D = -3.25 \text{ kN}, M_D = 5.625 \text{ kN} \cdot \text{m}$
- 1-10. $N_A = 0, V_A = 450 \text{ lb}, M_A = -1.125 \text{ kip} \cdot \text{ft},$
 $N_B = 0, V_B = 850 \text{ lb}, M_B = -6.325 \text{ kip} \cdot \text{ft},$
 $V_C = 0, N_C = -1.20 \text{ kip}, M_C = -8.125 \text{ kip} \cdot \text{ft}$
- 1-11. $N_D = -527 \text{ lb}, V_D = -373 \text{ lb}, M_D = -373 \text{ lb} \cdot \text{ft},$
 $N_E = 75.0 \text{ lb}, V_E = 355 \text{ lb}, M_E = -727 \text{ lb} \cdot \text{ft}$
- 1-13. $N_{a-a} = -100 \text{ N}, V_{a-a} = 0, M_{a-a} = -15 \text{ N} \cdot \text{m}$
- 1-14. $N_{b-b} = -86.6 \text{ N}, V_{b-b} = 50 \text{ N}, M_{b-b} = -15 \text{ N} \cdot \text{m}$
- 1-15. $N_C = 0, V_C = -1.40 \text{ kip}, M_C = 8.80 \text{ kip} \cdot \text{ft}$
- 1-17. $(N_D)_x = 0, (V_D)_y = 154 \text{ N}, (V_D)_z = -171 \text{ N},$
 $(T_D)_x = 0, (M_D)_y = -94.3 \text{ N} \cdot \text{m},$
 $(M_D)_z = -149 \text{ N} \cdot \text{m}$
- 1-18. $(N_C)_x = 0, (V_C)_y = -246 \text{ N}, (V_C)_z = -171 \text{ N},$
 $(T_C)_x = 0, (M_C)_y = -154 \text{ N} \cdot \text{m},$
 $(M_C)_z = -123 \text{ N} \cdot \text{m}$
- 1-19. $(V_A)_x = 0, (N_A)_y = -25 \text{ lb}, (V_A)_z = 43.3 \text{ lb},$
 $(M_A)_x = 303 \text{ lb} \cdot \text{in.}, (T_A)_y = -130 \text{ lb} \cdot \text{in.},$
 $(M_A)_z = -75 \text{ lb} \cdot \text{in.}$
- 1-21. $N_E = -2.94 \text{ kN}, V_E = -2.94 \text{ kN},$
 $M_E = -2.94 \text{ kN} \cdot \text{m}$
- 1-22. $F_{BC} = 1.39 \text{ kN}, F_A = 1.49 \text{ kN}, N_D = 120 \text{ N},$
 $V_D = 0, M_D = 36.0 \text{ N} \cdot \text{m}$
- 1-23. $N_E = 0, V_E = 120 \text{ N}, M_E = 48.0 \text{ N} \cdot \text{m},$
Short link: $V = 0, N = 1.39 \text{ kN}, M = 0$
- 1-25. $V_B = 496 \text{ lb}, N_B = 59.8 \text{ lb}, M_B = 480 \text{ lb} \cdot \text{ft},$
 $N_C = 495 \text{ lb}, V_C = 70.7 \text{ lb}, M_C = 1.59 \text{ kip} \cdot \text{ft}$
- 1-26. $N_F = 0, V_F = 80 \text{ lb}, M_F = 160 \text{ lb} \cdot \text{ft},$
 $N_G = 16.7 \text{ lb}, V_G = 72.0 \text{ lb}, M_G = 108 \text{ lb} \cdot \text{ft}$
- 1-27. $(V_B)_x = -300 \text{ N}, (N_B)_y = -800 \text{ N}, (V_B)_z = 771 \text{ N},$
 $(M_B)_x = 2.11 \text{ kN} \cdot \text{m}, (T_B)_y = -600 \text{ N} \cdot \text{m},$
 $(M_B)_z = 600 \text{ N} \cdot \text{m}$
- 1-29. $V_B = 0.785 \text{ wr}, N_B = 0, T_B = 0.0783 \text{ wr}^2,$
 $M_B = -0.293 \text{ wr}^2$
- 1-31. $\tau_{\text{avg}} = 119 \text{ MPa}$
- 1-33. $\sigma_{\text{avg}} = \frac{P}{A} \sin^2 \theta, \tau_{\text{avg}} = \frac{P}{2A} \sin 2\theta$
- 1-34. $F = 22.5 \text{ kip}, d = 0.833 \text{ in.}$
- 1-35. $P_{\text{allow}} = 9.12 \text{ kip}$
- 1-37. $P = 40 \text{ MN}, d = 2.40 \text{ m}$
- 1-38. $\sigma = 2.92 \text{ psi}, \tau = 8.03 \text{ psi}$
- 1-39. $\sigma_{BC} = \left\{ \frac{1.528 \cos \theta}{\sin(45^\circ + \theta/2)} \right\} \text{ ksi}$
- 1-41. $P = 37.7 \text{ kN}$
- 1-42. $(\tau_{\text{avg}})_A = 50.9 \text{ MPa}$
- 1-43. $\tau_B = \tau_C = 81.9 \text{ MPa}, \tau_A = 88.1 \text{ MPa}$
- 1-45. $\sigma = (238 - 22.6z) \text{ kPa}$
- 1-46. $\sigma_{AB} = 333 \text{ MPa}, \sigma_{CD} = 250 \text{ MPa}$
- 1-47. $d = 1.20 \text{ m}$
- 1-49. $\tau_{\text{avg}} = 11.1 \text{ ksi}$
- 1-50. $\sigma_{a-a} = 90.0 \text{ kPa}, \tau_{a-a} = 52.0 \text{ kPa}$
- 1-51. $\sigma = 4.69 \text{ MPa}, \tau = 8.12 \text{ MPa}$
- 1-53. $\sigma = [43.75 - 22.5x] \text{ MPa}$
- 1-54. $\sigma = 66.7 \text{ psi}, \tau = 115 \text{ psi}$
- 1-55. $\sigma_{AB} = 127 \text{ MPa}, \sigma_{AC} = 129 \text{ MPa}$
- 1-57. $w = w_1 e^{(w_1^2 r)/z} / (2P)$
- 1-58. $\theta = 30.7^\circ, \sigma = 152 \text{ MPa}$
- 1-59. $\sigma = \frac{m\omega^2}{8A} (L^2 - 4x^2)$
- 1-61. $\sigma = (32.5 - 20.0x) \text{ MPa}$
- 1-62. $\sigma = \frac{w_0}{2aA} (2a^2 - x^2)$
- 1-63. $\sigma = \frac{w_0}{2aA} (2a - x)^2$
- 1-65. $P = 9.375 \text{ kip}$
- 1-66. $P = 62.5 \text{ kN}$
- 1-67. $\omega = 6.85 \text{ rad/s}$
- 1-69. Use $h = 2\frac{3}{4} \text{ in.}$
- 1-70. $d = 5.71 \text{ mm}$
- 1-71. $P = 0.491 \text{ kip}$
- 1-73. $F = 3.09 \text{ kip}$
- 1-74. $F_H = 20.0 \text{ kN}, F_{BF} = F_{AG} = 15.0 \text{ kN},$
 $d_{EF} = d_{CG} = 11.3 \text{ mm}$
- 1-75. For A' : Use a 3 in. \times 3 in. plate,
For B' : Use a $4\frac{1}{2}$ in. \times $4\frac{1}{2}$ in. plate
- 1-77. Use $d_A = \frac{5}{8} \text{ in.}, d_B = \frac{1}{16} \text{ in.}$
- 1-78. $d_{AB} = 4.81 \text{ mm}, d_{AC} = 5.22 \text{ mm}$
- 1-79. $P = 5.83 \text{ kN}$
- 1-81. $d_A = d_B = 5.20 \text{ mm}$
- 1-82. $(F.S.)_{st} = 2.14, (F.S.)_{con} = 3.53$
- 1-83. $W = 680 \text{ lb}$
- 1-85. $d_2 = 35.7 \text{ mm}, d_3 = 27.6 \text{ mm}, d_1 = 22.6 \text{ mm}$
- 1-86. $d_{AB} = 15.5 \text{ mm}, d_{AC} = 13.0 \text{ mm}$
- 1-87. $P = 7.54 \text{ kN}$
- 1-89. $P = 9.09 \text{ kip}$
- 1-90. $d_B = 6.11 \text{ mm}, d_w = 15.4 \text{ mm}$

- 1-91. $P = 55.0 \text{ kN}$
 1-93. $d_{AB} = 6.90 \text{ mm}$, $d_{CD} = 6.20 \text{ mm}$
 1-94. $h = 1.74 \text{ in.}$
 1-95. $d = 0.620 \text{ in.}$, $P_{\max} = 7.25 \text{ kip}$
 1-96. $l = 0.800 \text{ in.}$, $P_{\max} = 24.0 \text{ kip}$, $w = 2.50 \text{ in.}$
 R1-1. $N_D = -2.16 \text{ kip}$, $V_D = 0$, $M_D = 2.16 \text{ kip} \cdot \text{ft}$,
 $V_E = 0.540 \text{ kip}$, $N_E = 4.32 \text{ kip}$, $M_E = 2.16 \text{ kip} \cdot \text{ft}$
 R1-2. $\sigma_x = 208 \text{ MPa}$, $(\tau_{\text{avg}})_a = 4.72 \text{ MPa}$,
 $(\tau_{\text{avg}})_b = 45.5 \text{ MPa}$
 R1-3. Use $l = \frac{1}{4} \text{ in.}$, $d_A = \frac{1}{8} \text{ in.}$, $d_B = \frac{13}{16} \text{ in.}$
 R1-5. $\tau_{\text{avg}} = 25.5 \text{ MPa}$, $\sigma_b = 4.72 \text{ MPa}$
 R1-6. $\sigma_{a-a} = 200 \text{ kPa}$, $\tau_{a-a} = 115 \text{ kPa}$
 R1-7. $\sigma_{40} = 3.98 \text{ MPa}$, $\sigma_{30} = 7.07 \text{ MPa}$,
 $\tau_{\text{avg}} = 5.09 \text{ MPa}$

Chapter 2

- 2-1. $\epsilon = 0.167 \text{ in./in.}$
 2-2. $\epsilon = 0.0472 \text{ in./in.}$
 2-3. $\epsilon_{CE} = 0.00250 \text{ mm/mm}$, $\epsilon_{BD} = 0.00107 \text{ mm/mm}$
 2-5. $\gamma_{xy} = -0.0200 \text{ rad}$
 2-6. $(\gamma_A)_{xy} = -0.0262 \text{ rad}$, $(\gamma_B)_{xy} = -0.205 \text{ rad}$
 $(\gamma_C)_{xy} = -0.205 \text{ rad}$, $(\gamma_D)_{xy} = -0.0262 \text{ rad}$
 2-7. $(\epsilon_{\text{avg}})_{AC} = 6.04(10^{-3}) \text{ mm/mm}$
 2-9. $\epsilon_{AB} = \frac{0.5\Delta L}{L}$
 2-10. $(\gamma_A)_{xy} = 27.8(10^{-3}) \text{ rad}$, $(\gamma_B)_{xy} = 35.1(10^{-3}) \text{ rad}$
 2-11. $(\gamma_{xy})_C = 25.5(10^{-3}) \text{ rad}$, $(\gamma_{xy})_D = 18.1(10^{-3}) \text{ rad}$
 2-13. $\epsilon_{AD} = 0.0566 \text{ mm/mm}$, $\epsilon_{CF} = -0.0255 \text{ mm/mm}$
 2-14. $\epsilon_{AB} = 0.00418 \text{ mm/mm}$
 2-15. $\Delta_B = 6.68 \text{ mm}$
 2-17. $\epsilon = 2kx$
 2-18. $(\gamma_B)_{xy} = 11.6(10^{-3}) \text{ rad}$, $(\gamma_A)_{xy} = 11.6(10^{-3}) \text{ rad}$
 2-19. $(\gamma_C)_{xy} = 11.6(10^{-3}) \text{ rad}$, $(\gamma_D)_{xy} = 11.6(10^{-3}) \text{ rad}$
 2-21. $\epsilon_x = -0.03 \text{ in./in.}$, $\epsilon_y = 0.02 \text{ in./in.}$
 2-22. $\gamma_{xy} = 0.00880 \text{ rad}$
 2-23. $\epsilon_x = 0.00443 \text{ mm/mm}$
 2-25. $\gamma_A = 0$, $\gamma_B = 0.199 \text{ rad}$
 2-26. $(\gamma_{x'y'})_A = -0.0672 \text{ rad}$, $(\gamma_{x'y'})_B = 0.0672 \text{ rad}$
 2-27. $\epsilon_{AB} = -7.77(10^{-3}) \text{ in./in.}$, $\epsilon_{BD} = 0.025 \text{ in./in.}$,
 $\epsilon_{AC} = -0.0417 \text{ in./in.}$
 2-29. $(\epsilon_{\text{avg}})_{AC} = 0.0168 \text{ mm/mm}$, $(\gamma_A)_{xy} = 0.0116 \text{ rad}$
 2-30. $(\epsilon_{\text{avg}})_{BD} = 1.60(10^{-3}) \text{ mm/mm}$,
 $(\gamma_B)_{xy} = 0.0148 \text{ rad}$
 2-31. $(\Delta x)_C = \frac{kL}{\pi}$, $\epsilon_{\text{avg}} = \frac{2k}{\pi}$
 2-33. $\epsilon_{AB} = \frac{v_B \sin \theta}{L} - \frac{u_A \cos \theta}{L}$

Chapter 3

- 3-1. $(\sigma_u)_{\text{approx}} = 110 \text{ ksi}$, $(\sigma_f)_{\text{approx}} = 93.1 \text{ ksi}$,
 $(\sigma_Y)_{\text{approx}} = 55 \text{ ksi}$, $E_{\text{approx}} = 32.0(10^3) \text{ ksi}$
 3-2. $E = 55.3(10^3) \text{ ksi}$, $u_r = 9.96 \frac{\text{in} \cdot \text{lb}}{\text{in}^3}$
 3-3. $(u_t)_{\text{approx}} = 85.0 \frac{\text{in} \cdot \text{lb}}{\text{in}^3}$
 3-5. Elastic recovery = 0.00350 in.,
 Permanent elongation = 0.1565 in.
 3-6. $(u_r)_{\text{approx}} = 20.0 \frac{\text{in} \cdot \text{lb}}{\text{in}^3}$, $(u_t)_{\text{approx}} = 18.0 \frac{\text{in} \cdot \text{kip}}{\text{in}^3}$
 3-7. $\delta_{AB} = 0.152 \text{ in.}$
 3-9. $\delta = 0.979 \text{ in.}$
 3-10. $E_{\text{approx}} = 10.0(10^3) \text{ ksi}$, $P_Y = 9.82 \text{ kip}$,
 $P_u = 13.4 \text{ kip}$
 3-11. Elastic recovery = 0.012 in.,
 Permanent elongation = 0.0680 in.
 3-13. $E = 28.6(10^3) \text{ ksi}$
 3-14. $\delta_{BD} = 0.0632 \text{ in.}$
 3-15. $P = 570 \text{ lb}$
 3-17. $\delta_{AB} = 0.0913 \text{ in.}$
 3-18. $w = 228 \text{ lb/ft}$
 3-19. $\sigma_{YS} = 2.03 \text{ MPa}$
 3-21. $P = 15.0 \text{ kip}$
 3-22. $A_{BC} = 0.8 \text{ in}^2$, $A_{BA} = 0.2 \text{ in}^2$
 3-23. $\delta_{AB} = 0.304 \text{ in.}$
 3-25. $\delta = 0.126 \text{ mm}$, $\Delta d = -0.00377 \text{ mm}$
 3-26. $P = 741 \text{ kPa}$, $\delta = 7.41 \text{ mm}$
 3-27. $v = 0.350$
 3-29. $\gamma = 0.250 \text{ rad}$
 3-30. $\gamma = 3.06(10^{-3}) \text{ rad}$
 3-31. $\gamma_P = 0.0189 \text{ rad}$
 3-33. $E = 32.5(10^3) \text{ ksi}$, $P = 2.45 \text{ kip}$
 3-34. $\delta = \frac{Pa}{2bhG}$
 R3-1. $G_{\text{al}} = 4.31(10^3) \text{ ksi}$
 R3-2. $d' = 0.4989 \text{ in.}$
 R3-3. $x = 1.53 \text{ m}$, $d'_A = 30.008 \text{ mm}$
 R3-5. $P = 6.48 \text{ kip}$
 R3-6. $\epsilon = 0.000999 \text{ in./in.}$, $\epsilon_{\text{unscr}} = 0$
 R3-7. $L = 10.17 \text{ in.}$
 R3-9. $\epsilon_b = 0.00227 \text{ mm/mm}$, $\epsilon_s = 0.000884 \text{ mm/mm}$
 R3-10. $G = 5 \text{ MPa}$

Chapter 4

- 4-1. $\delta_B = 2.93 \text{ mm} \downarrow$, $\delta_A = 3.55 \text{ mm} \downarrow$
 4-2. $\delta_{A/D} = 0.111 \text{ in. away from end } D$
 4-3. $\sigma_{AB} = 22.2 \text{ ksi (T)}$, $\sigma_{BC} = 41.7 \text{ ksi (C)}$,
 $\sigma_{CD} = 25.0 \text{ ksi (C)}$,
 $\delta_{A/D} = 0.00157 \text{ in. towards end } D$

- 4-5. $\delta_{A/E} = 0.697 \text{ mm}$
 4-6. $\sigma_A = 13.6 \text{ ksi}$, $\sigma_B = 10.3 \text{ ksi}$, $\sigma_C = 3.2 \text{ ksi}$,
 $\delta_D = 2.99 \text{ ft}$
 4-7. $\delta_C = 0.0975 \text{ mm} \rightarrow$
 4-9. $\delta_F = 0.453 \text{ mm}$
 4-10. $P = 4.97 \text{ kN}$
 4-11. $\delta_I = 0.0260 \text{ in.}$
 4-13. $\delta_D = 17.3 \text{ mm}$
 4-14. $F = 8.00 \text{ kN}$, $\delta_{A/B} = -0.311 \text{ mm}$
 4-15. $F = 4.00 \text{ kN}$, $\delta_{A/B} = -0.259 \text{ mm}$
 4-17. $P = \frac{F_{\max} L}{2}$, $\delta = \frac{F_{\max} L^2}{3AE}$
 4-18. $\delta_B = 0.262 \text{ in.}$
 4-19. $P = 57.3 \text{ kip}$
 4-21. $d_{AB} = 0.841 \text{ in.}$, $d_{CD} = 0.486 \text{ in.}$
 4-22. $x = 4.24 \text{ ft}$, $w = 1.02 \text{ kip/ft}$
 4-23. $\delta_{A/D} = 0.129 \text{ mm}$,
 $h' = 49.9988 \text{ mm}$, $w' = 59.9986 \text{ mm}$
 4-25. $\delta_C = 0.00843 \text{ in.}$, $\delta_E = 0.00169 \text{ in.}$, $\delta_B = 0.0333 \text{ in.}$
 4-26. $P = 6.80 \text{ kip}$
 4-27. $P = 11.8 \text{ kip}$
 4-29. $\delta = 2.37 \text{ mm}$
 4-30. $\delta = \frac{2.63 P}{\pi r E}$
 4-31. $\sigma_{\text{con}} = 2.29 \text{ ksi}$, $\sigma_{\text{st}} = 15.8 \text{ ksi}$
 4-33. $\sigma_{\text{al}} = 27.5 \text{ MPa}$, $\sigma_{\text{st}} = 79.9 \text{ MPa}$
 4-34. $\sigma_{\text{con}} = 1.64 \text{ ksi}$, $\sigma_{\text{st}} = 11.3 \text{ ksi}$
 4-35. $P = 114 \text{ kip}$
 4-37. $F_C = \left[\frac{9(8ka + \pi d^2 E)}{136ka + 18\pi d^2 E} \right] P$,
 $F_A = \left(\frac{64ka + 9\pi d^2 E}{136ka + 18\pi d^2 E} \right) P$
 4-38. $T_{AC} = 0.806 \text{ kip}$, $T_{AB} = 1.19 \text{ kip}$
 4-39. $A_{AB} = 0.0144 \text{ in}^2$
 4-41. $P = 126 \text{ kN}$
 4-42. $\sigma_{\text{st}} = 102 \text{ MPa}$, $\sigma_{\text{br}} = 50.9 \text{ MPa}$
 4-43. $\sigma_{AB} = \sigma_{CD} = 26.5 \text{ MPa}$, $\sigma_{EF} = 33.8 \text{ MPa}$
 4-45. $P_b = 14.4 \text{ kN}$
 4-46. $F_D = 20.4 \text{ kN}$, $F_A = 180 \text{ kN}$
 4-47. $P = 198 \text{ kN}$
 4-49. $\delta_B = 0.0733 \text{ in.}$
 4-50. $\theta = 0.0875^\circ$
 4-51. $\delta_B = 0.00257 \text{ in.}$
 4-53. $F_D = 71.4 \text{ kN}$, $F_C = 329 \text{ kN}$
 4-54. $F_D = 219 \text{ kN}$, $F_C = 181 \text{ kN}$
 4-55. $\sigma_{BE} = 96.3 \text{ MPa}$, $\sigma_{AD} = 79.6 \text{ MPa}$,
 $\sigma_{CF} = 113 \text{ MPa}$
 4-57. $d_{AC} = 1.79 \text{ mm}$
 4-58. $F_B = 16.9 \text{ kN}$, $F_A = 16.9 \text{ kN}$
 4-59. $\delta_{\text{sp}} = 0.0390 \text{ mm}$
 4-61. $s = 0.133(10^{-3}) \text{ in.}$
 4-62. $F_A = F_B = 25.6 \text{ kN}$
 4-63. $\delta_A = \delta_B = 4.42 \text{ mm}$
 4-65. $A'_1 = \left(\frac{E_1}{E_2} \right) A_1$
 4-66. $A'_2 = \left(\frac{E_2}{E_1} \right) A_2$
 4-67. $F_{AB} = 12.0 \text{ kN (T)}$, $F_{AC} = F_{AD} = 6.00 \text{ kN (C)}$
 4-69. $\sigma_{\text{al}} = 2.46 \text{ ksi}$, $\sigma_{\text{br}} = 5.52 \text{ ksi}$, $\sigma_{\text{st}} = 22.1 \text{ ksi}$
 4-70. $F = 0.510 \text{ kip}$
 4-71. $T_2 = 112^\circ\text{F}$, $\sigma_{\text{al}} = \sigma_{\text{cu}} = 25.6 \text{ ksi}$
 4-73. $\sigma = 19.1 \text{ ksi}$
 4-74. $F = 7.60 \text{ kip}$
 4-75. $\delta = 0.348 \text{ in.}$, $F = 19.5 \text{ kip}$
 4-77. $F = \frac{\alpha AE}{2} (T_B - T_A)$
 4-78. $\sigma = 180 \text{ MPa}$
 4-79. $\sigma = 105 \text{ MPa}$
 4-81. $F = 904 \text{ N}$
 4-82. $T_2 = 244^\circ\text{C}$
 4-83. $F_{AC} = F_{AB} = 10.0 \text{ lb}$, $F_{AD} = 136 \text{ lb}$
 4-85. $F_{AB} = F_{EF} = 1.85 \text{ kN}$
 4-86. $d = \left(\frac{2E_2 + E_1}{3(E_2 + E_1)} \right) w$
 4-87. $\sigma_{\text{max}} = 168 \text{ MPa}$
 4-89. $P = 49.1 \text{ kN}$
 4-90. $P = 77.1 \text{ kN}$, $\delta = 0.429 \text{ mm}$
 4-91. $P = 1.34 \text{ kip}$
 4-93. $w = 2.32 \text{ in.}$
 4-94. $P = 16.8 \text{ kip}$, $K = 1.29$
 4-95. $P = 19 \text{ kN}$, $K = 1.26$
 4-97. $F_{\text{st}} = 444 \text{ N}$, $F_{\text{al}} = 156 \text{ N}$
 $F_{\text{st}} = 480 \text{ N}$, $F_{\text{al}} = 240 \text{ N}$
 4-98. $\delta_{\text{tot}} = 0.432 \text{ in.}$
 4-99. $\sigma_A = \sigma_B = \sigma_C = 53.3 \text{ ksi}$, $\delta = 8.69 \text{ in.}$
 4-101. $F_{AB} = 3.14 \text{ kN}$, $F_{CD} = 2.72 \text{ kN}$,
 $\delta_{CD} = 0.324 \text{ mm}$, $\delta_{AB} = 0.649 \text{ mm}$
 4-102. (a) $P = 2.62 \text{ kN}$, (b) $P = 3.14 \text{ kN}$
 4-103. $\sigma_{\text{st}} = 36.0 \text{ ksi}$, $\sigma_{\text{al}} = 19.8 \text{ ksi}$
 4-105. $(\sigma_{CF})_r = 17.7 \text{ MPa (C)}$, $(\sigma_{BE})_r = 53.2 \text{ MPa (T)}$
 $(\sigma_{AD})_r = 35.5 \text{ MPa (C)}$
 4-106. $P = 92.8 \text{ kN}$, $P = 181 \text{ kN}$
 4-107. $d_B = 17.8 \text{ mm}$
 4-109. $\delta = 0.0120 \text{ in.}$
 4-110. $w = 0.130 \text{ kip/ft}$, $\delta = 0.0596 \text{ in.}$
 R4-1. $\sigma_b = 33.5 \text{ MPa}$, $\sigma_r = 16.8 \text{ MPa}$
 R4-2. $T = 507^\circ\text{C}$
 R4-3. $F_{AB} = F_{AC} = F_{AD} = 58.9 \text{ kN (C)}$

- R4-5. At yielding of section AB :
 $(F_{AB})_Y = 30 \text{ kip}$, $(F_{BC})_Y = 120 \text{ kip}$, $P = 150 \text{ kip}$
 R4-6. $F_B = 2.13 \text{ kip}$, $F_A = 2.14 \text{ kip}$
 R4-7. $P = 4.85 \text{ kip}$
 R4-9. $\delta_{A/B} = 0.491 \text{ mm}$

Chapter 5

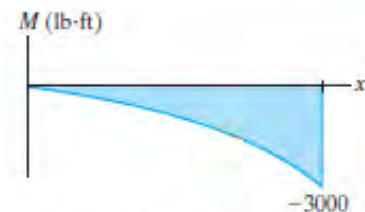
- 5-1. $r' = 0.841r$
 5-2. $r' = 0.707r$
 5-3. $T = 19.6 \text{ kN} \cdot \text{m}$, $T' = 13.4 \text{ kN} \cdot \text{m}$
 5-5. $\tau_A = 3.45 \text{ ksi}$, $\tau_B = 2.76 \text{ ksi}$
 5-6. $(T_1)_{\max} = 2.37 \text{ kN} \cdot \text{m}$, $(\tau_{\max})_{CD} = 35.6 \text{ MPa}$,
 $(\tau_{\max})_{DE} = 23.3 \text{ MPa}$
 5-7. $\tau_{\max}^{\text{abs}} = 44.8 \text{ MPa}$
 5-9. $\tau_B = 6.79 \text{ MPa}$, $\tau_A = 7.42 \text{ MPa}$
 5-10. $\tau_{\max} = 14.5 \text{ MPa}$
 5-11. $\tau_{AB} = 7.82 \text{ ksi}$, $\tau_{BC} = 2.36 \text{ ksi}$
 5-13. $\tau_i = 34.5 \text{ MPa}$, $\tau_o = 43.1 \text{ MPa}$
 5-14. Use $d = 1\frac{3}{4} \text{ in.}$
 5-15. $(\tau_{AB})_{\max} = 23.9 \text{ MPa}$, $(\tau_{BC})_{\max} = 15.9 \text{ MPa}$
 5-17. $\tau_{\max} = 4.89 \text{ ksi}$
 5-18. $\tau_{\max} = 7.33 \text{ ksi}$
 5-19. $\tau_A = 1.31 \text{ ksi}$, $\tau_B = 2.62 \text{ ksi}$
 5-21. $\tau_A = 9.43 \text{ MPa}$, $\tau_B = 14.1 \text{ MPa}$
 5-22. $\tau_{\max}^{\text{abs}} = 0$ occurs at $x = 0.700 \text{ m}$,
 $\tau_{\max}^{\text{abs}} = 33.0 \text{ MPa}$ occurs at $x = 0$.
 5-23. $d = 34.4 \text{ mm}$
 5-25. $d = 46.7 \text{ mm}$
 5-26. $T_B = \frac{2T_A + t_A L}{2}$, $\tau_{\max} = \frac{(2T_A + t_A L)r_o}{\pi(r_o^4 - r_i^4)}$
 5-27. $t = 0.174 \text{ in.}$
 5-29. $c = (2.98x) \text{ mm}$
 5-30. Use $d = 1\frac{3}{8} \text{ in.}$
 5-31. $(\tau_{AB})_{\max} = 1.04 \text{ MPa}$, $(\tau_{BC})_{\max} = 3.11 \text{ MPa}$
 5-33. $\tau_{\max} = 856 \text{ psi}$
 5-34. Use $d = \frac{1}{2} \text{ in.}$
 5-35. $\tau_{\max} = 1.07 \text{ ksi}$
 5-37. Use $d = \frac{11}{16} \text{ in.}$
 5-38. $\tau_{\max} = 6.57 \text{ ksi}$
 5-39. $(\tau_{\max})_{CF} = 12.5 \text{ MPa}$, $(\tau_{\max})_{BC} = 7.26 \text{ MPa}$
 5-41. $t = 2.28 \text{ mm}$
 5-42. $\omega = 17.7 \text{ rad/s}$
 5-43. $\tau_{\max} = \frac{2TL^3}{\pi[r_A(L-x) + r_B x]^3}$
 5-45. $(\tau_{\max})_B = 12.2 \text{ ksi}$

- 5-46. Use $d_i = 1\frac{5}{8} \text{ in.}$
 5-47. $\tau_{\max} = 44.3 \text{ MPa}$, $\phi = 11.9^\circ$
 5-49. $\phi_{B/A} = 0.730^\circ \text{ } \mathcal{R}$
 5-50. $\tau_{\max}^{\text{abs}} = 10.2 \text{ MPa}$
 5-51. $T = 5.09 \text{ kN} \cdot \text{m}$, $\phi_{A/C} = 3.53^\circ$
 5-53. $\phi_A = 1.57^\circ \text{ } \mathcal{R}$
 5-54. Use $d = 22 \text{ mm}$, $\phi_{A/D} = 2.54^\circ \text{ } \mathcal{R}$
 5-55. Use $d = 25 \text{ mm}$
 5-57. $\tau_{\max} = 9.12 \text{ MPa}$, $\phi_{E/B} = 0.585^\circ$
 5-58. $\tau_{\max} = 14.6 \text{ MPa}$, $\phi_{B/E} = 1.11^\circ$
 5-59. $\phi_{B/D} = 1.15^\circ$
 5-61. $\tau_{\max}^{\text{abs}} = 20.4 \text{ MPa}$,
 For $0 \leq x < 0.5 \text{ m}$,
 $\phi(x) = \{0.005432(x^2 + x)\} \text{ rad}$
 For $0.5 \text{ m} < x \leq 1 \text{ m}$,
 $\phi(x) = [-0.01086x^2 + 0.02173x - 0.004074] \text{ rad}$
 5-62. $\tau_{\max}^{\text{abs}} = 24.3 \text{ MPa}$, $\phi_{D/A} = 0.929^\circ$
 5-63. $\phi_{A/C} = 5.45^\circ$
 5-65. $\phi_{D/C} = 0.0823 \text{ rad}$, $\tau_{\max}^{\text{abs}} = 34.0 \text{ ksi}$
 5-66. $t = 7.53 \text{ mm}$
 5-67. $\omega = 131 \text{ rad/s}$
 5-69. $k = 1.20(10^6) \text{ N/m}^2$, $\phi = 3.56^\circ$
 5-70. $k = 12.3(10^3) \text{ N/m}^2$, $\phi = 2.97^\circ$
 5-71. $d_i = 201 \text{ mm}$, $\phi = 3.30^\circ$
 5-73. $\phi_{F/E} = 0.999(10)^{-3} \text{ rad}$, $\phi_{F/D} = 0.999(10)^{-3} \text{ rad}$,
 $\tau_{\max} = 3.12 \text{ MPa}$
 5-74. $\phi = \frac{t_0 L^2}{\pi c^4 G}$
 5-75. $\phi_A = 0.432^\circ \text{ } \mathcal{R}$
 5-77. $(\tau_{AC})_{\max} = 14.3 \text{ MPa}$, $(\tau_{CB})_{\max} = 9.55 \text{ MPa}$
 5-78. $\tau_{\max}^{\text{abs}} = 9.77 \text{ MPa}$
 5-79. $\tau_{\max} = 29.3 \text{ ksi}$
 5-81. $\tau_{\max} = 389 \text{ psi}$
 5-82. $(\tau_{\max})_{AC} = 68.2 \text{ MPa}$, $(\tau_{\max})_{BC} = 90.9 \text{ MPa}$
 5-83. $(\tau_{AC})_{\max} = 9.55 \text{ MPa}$, $(\tau_{CB})_{\max} = 6.37 \text{ MPa}$
 5-85. $(\tau_{st})_{\max} = 86.5 \text{ MPa}$, $(\tau_{\text{mg}})_{\max} = 41.5 \text{ MPa}$,
 $(\tau_{\text{mg}})|_{\rho=0.02 \text{ m}} = 20.8 \text{ MPa}$
 5-86. $T_B = 22.2 \text{ N} \cdot \text{m}$, $T_A = 55.6 \text{ N} \cdot \text{m}$
 5-87. $\phi_E = 1.66^\circ$
 5-89. $\tau_{\max}^{\text{abs}} = 64.1 \text{ MPa}$
 5-90. $(\tau_{BD})_{\max} = 4.35 \text{ ksi}$, $(\tau_{AC})_{\max} = 2.17 \text{ ksi}$
 5-91. $\phi_{C/D} = 6.22^\circ$
 5-93. $T_B = \frac{37}{189}T$, $T_A = \frac{152}{189}T$
 5-94. $T_B = \frac{7t_0 L}{12}$, $T_A = \frac{3t_0 L}{4}$
 5-95. $T = 0.0820 \text{ N} \cdot \text{m}$, $\phi = 25.5 \text{ rad}$
 5-97. Factor of increase = $\frac{1}{k^2}$

- 5-98. $(\tau_{BC})_{\max} = 0.955 \text{ MPa}$, $(\tau_{AC})_{\max} = 1.59 \text{ MPa}$,
 $\phi_{B/A} = 0.207^\circ$
- 5-99. $(\tau_{BC})_{\max} = 0.955 \text{ MPa}$, $(\tau_{AC})_{\max} = 1.59 \text{ MPa}$,
 $\phi_{B/C} = 0.0643^\circ$
- 5-101. $T = 1.35 \text{ kip} \cdot \text{ft}$, $\phi = 3.42^\circ$
- 5-102. $T_B = 26.7 \text{ lb} \cdot \text{ft}$, $T_A = 33.3 \text{ lb} \cdot \text{ft}$, $\phi_C = 0.0626^\circ$
- 5-103. $\tau_{\text{avg}} = 3.35 \text{ ksi}$
- 5-105. $\tau_{\max} = 61.1 \text{ MPa}$, $\phi_B = 0.700^\circ$
- 5-106. Use $a = 47 \text{ mm}$, $\phi_B = 0.897^\circ$
- 5-107. $T = 6.65 \text{ kip} \cdot \text{ft}$
- 5-109. Factor of increase = 1.66
- 5-110. $a = 28.9 \text{ mm}$
- 5-111. $\tau_{\text{avg}} = 1.25 \text{ MPa}$
- 5-113. $t = 0.231 \text{ in.}$
- 5-114. $T = 9.00 \text{ kip} \cdot \text{ft}$
- 5-115. $b = 0.773 \text{ in.}$
- 5-117. $T = 3.36 \text{ kN} \cdot \text{m}$, $\phi = 11.6^\circ$
- 5-118. $\tau_{\text{avg}} = 1.19 \text{ MPa}$
- 5-119. $(\tau_{\text{avg}})_A = (\tau_{\text{avg}})_B = 357 \text{ kPa}$
- 5-121. It is possible.
- 5-122. $P = 250 \text{ kW}$
- 5-123. $\tau_{\max} = 2.76 \text{ ksi}$
- 5-125. $T_Y = 1.26 \text{ kN} \cdot \text{m}$, $\phi = 3.58^\circ$, $\phi' = 4.86^\circ$
- 5-126. $\rho_Y = 13.0 \text{ mm}$
- 5-127. $T_P = 0.105 \text{ N} \cdot \text{m}$
- 5-129. $T = 20.8 \text{ kN} \cdot \text{m}$, $\phi = 34.4^\circ$, $(\tau_r)_{\max} = 56.7 \text{ MPa}$,
 $\phi_r = 12.2^\circ$
- 5-130. $T = 14.4 \text{ kip} \cdot \text{ft}$
- 5-131. $\rho_Y = 1.29 \text{ in.}$
- 5-133. $T_P = 34.3 \text{ kN} \cdot \text{m}$, $\phi_r = 5.24^\circ$, $(\tau_r)_o = 15.3 \text{ MPa}$,
 $(\tau_r)_i = -17.3 \text{ MPa}$
- 5-134. $T_P = 80.6 \text{ kN} \cdot \text{m}$, $\phi_r = 1.47^\circ$
- 5-135. $\rho_Y = 1.00 \text{ in.}$, $\phi = 12.4^\circ$
- 5-137. $T = 148 \text{ kN} \cdot \text{m}$
- 5-138. $T_P = 11.6 \text{ kN} \cdot \text{m}$, $\phi = 3.82^\circ$
- 5-139. $\rho_Y = 26.7 \text{ mm}$
- 5-141. $T = 193 \text{ lb} \cdot \text{ft}$, $\phi = 17.2^\circ$
- 5-142. $T_P = 218 \text{ lb} \cdot \text{ft}$
- 5-143. $T_i = 7.39 \text{ kN} \cdot \text{m}$, $T_c = 7.61 \text{ kN} \cdot \text{m}$
- R5-1. Use $d = 26 \text{ mm}$, $\phi_{A/C} = 2.11^\circ$
- R5-2. Use $d = 28 \text{ mm}$.
- R5-3. $\tau = 88.3 \text{ MPa}$, $\phi = 4.50^\circ$
- R5-5. The circular shaft will resist the largest torque.
 For the square shaft: 73.7%,
 For the triangular shaft: 62.2%
- R5-6. $(\tau_{\max})_{AB} = 3.60 \text{ ksi}$, $(\tau_{\max})_{BC} = 10.7 \text{ ksi}$
- R5-7. $P = 2.80 \text{ kip}$
- R5-9. $P = 1.10 \text{ kW}$, $\tau_{\max} = 825 \text{ kPa}$

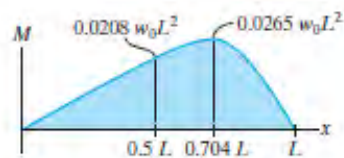
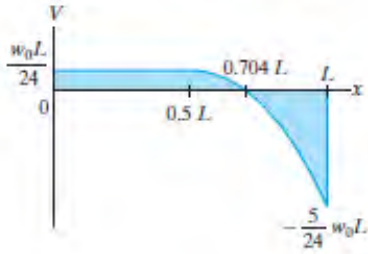
Chapter 6

- 6-1. For $0 \leq x < 3 \text{ ft}$:
 $V = 170 \text{ lb}$,
 $M = (170x) \text{ lb} \cdot \text{ft}$,
 For $3 \text{ ft} < x < 5 \text{ ft}$:
 $V = -630 \text{ lb}$,
 $M = (-630x + 2400) \text{ lb} \cdot \text{ft}$,
 For $5 \text{ ft} < x \leq 6 \text{ ft}$:
 $V = 500 \text{ lb}$,
 $M = (500x - 3250) \text{ lb} \cdot \text{ft}$
- 6-2. For $0 < x \leq 4 \text{ ft}$:
 $V = -250 \text{ lb}$,
 $M = (-250x) \text{ lb} \cdot \text{ft}$,
 For $4 \text{ ft} \leq x \leq 10 \text{ ft}$: $V = (1050 - 150x) \text{ lb}$,
 $M = (-75x^2 + 1050x - 4000) \text{ lb} \cdot \text{ft}$,
 For $10 \text{ ft} < x \leq 14 \text{ ft}$: $V = 250 \text{ lb}$,
 $M = (250x - 3500) \text{ lb} \cdot \text{ft}$
- 6-3. For $0 \leq x < 6 \text{ ft}$:
 $V = (30.0 - 2x) \text{ kip}$,
 $M = (-x^2 + 30.0x - 216) \text{ kip} \cdot \text{ft}$,
 For $6 \text{ ft} < x \leq 10 \text{ ft}$:
 $V = 8.00 \text{ kip}$,
 $M = (8.00x - 120) \text{ kip} \cdot \text{ft}$
- 6-5. $V = (-300 - 16.67x^2) \text{ lb}$,
 $M = (-300x - 5.556x^3) \text{ lb} \cdot \text{ft}$

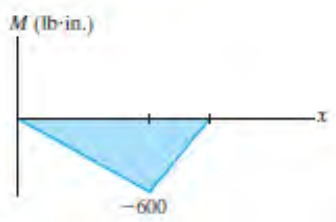
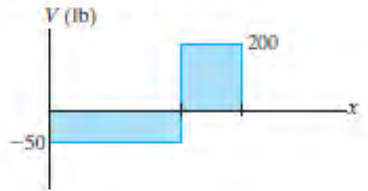


- 6-6. $V = 15.6 \text{ N}$, $M = (15.6x + 100) \text{ N} \cdot \text{m}$

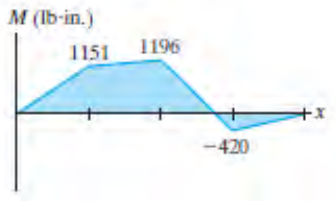
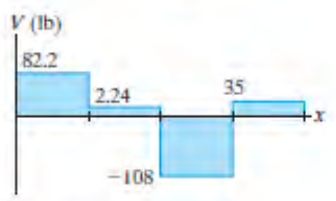
6-7. For $0 \leq x < \frac{L}{2}$: $V = \frac{w_0 L}{24}$, $M = \frac{w_0 L}{24} x$,
 For $\frac{L}{2} < x \leq L$: $V = \frac{w_0}{24L} [L^2 - 6(2x - L)^2]$,
 $M = \frac{w_0}{24L} [L^2 x - (2x - L)^3]$



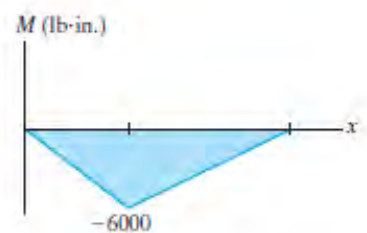
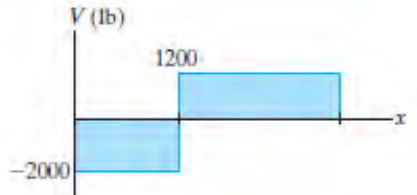
6-9. $T_1 = 250 \text{ lb}$, $T_2 = 200 \text{ lb}$



6-10.



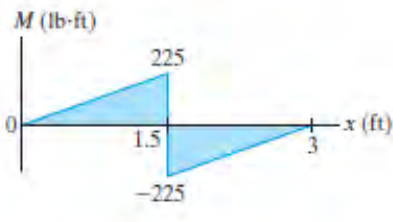
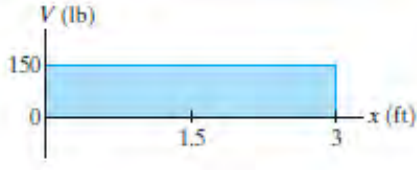
6-11.



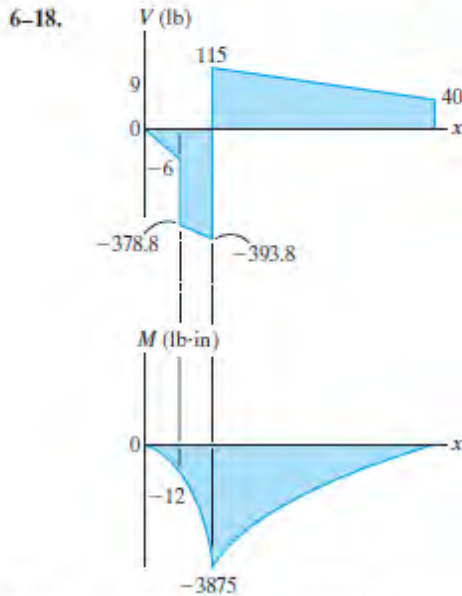
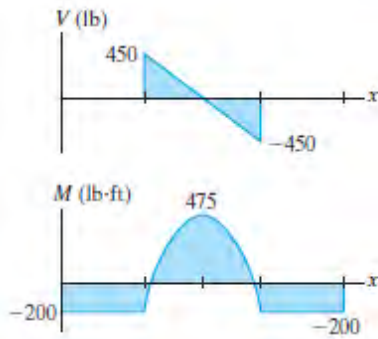
6-13. $V = -\frac{M_0}{L}$,
 For $0 \leq x < \frac{L}{2}$, $M = M_0 - \left(\frac{M_0}{L}\right)x$,
 For $\frac{L}{2} < x \leq L$, $M = -\left(\frac{M_0}{L}\right)x$

6-14. For $0 \leq x < 5 \text{ ft}$:
 $V = [-2x] \text{ kip}$,
 $M = \{-x^2\} \text{ kip} \cdot \text{ft}$,
 For $5 \text{ ft} < x < 10 \text{ ft}$:
 $V = -0.5 \text{ kip}$,
 $M = [-22.5 - 0.5x] \text{ kip} \cdot \text{ft}$,
 For $10 \text{ ft} < x \leq 15 \text{ ft}$:
 $V = -0.5 \text{ kip}$,
 $M = [7.5 - 0.5x] \text{ kip} \cdot \text{ft}$

6-15.



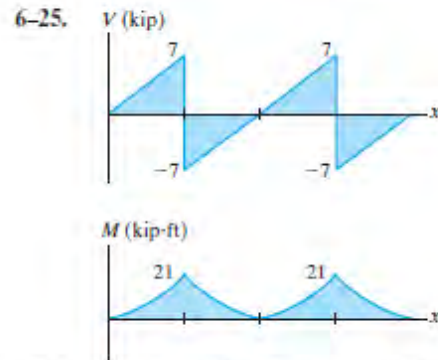
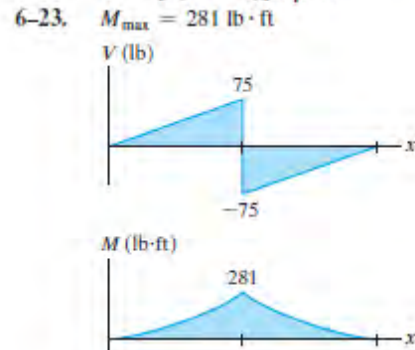
6-17. $V = 1050 - 150x$
 $M = -75x^2 + 1050x - 3200$



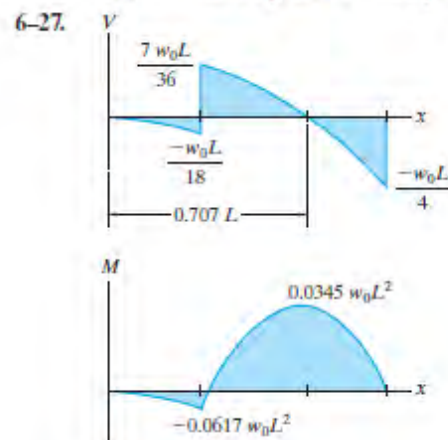
6-19. $a = 0.866L, M_{max} = 0.134 PL$

6-21. For $0 \leq x < 5$ ft:
 $V = \{-2x\}$ kip,
 $M = \{-20.0 - x^2\}$ kip·ft,
 For $5 \text{ ft} < x < 10$ ft:
 $V = 3.00$ kip,
 $M = \{-20.0 + 3x\}$ kip·ft,
 For $10 \text{ ft} < x \leq 15$ ft:
 $V = \{23 - 2x\}$ kip,
 $M = \{-120 + 23x - x^2\}$ kip·ft

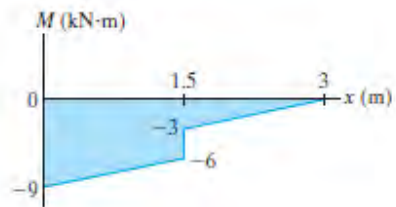
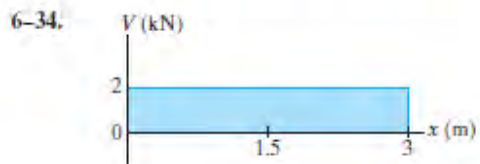
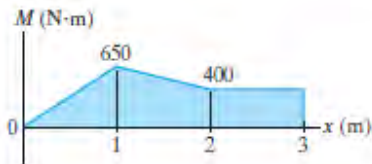
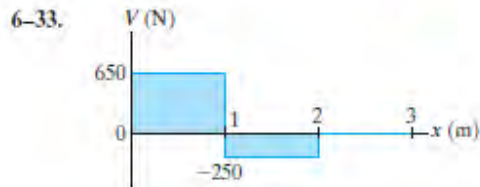
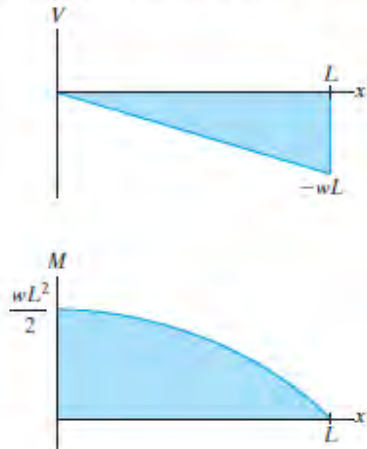
6-22. For $0 \leq x < 12$ ft:
 $V = \left\{10 - \frac{1}{8}x^2\right\}$ kip,
 $M = \left\{10x - \frac{1}{24}x^3\right\}$ kip·ft,
 For $12 \text{ ft} < x \leq 18$ ft:
 $V = -8$ kip,
 $M = [8(18 - x)]$ kip·ft



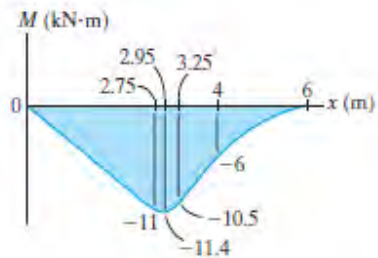
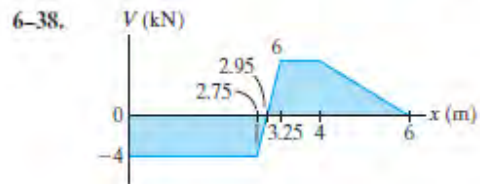
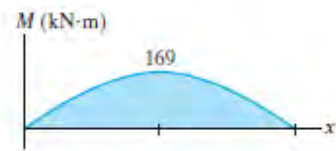
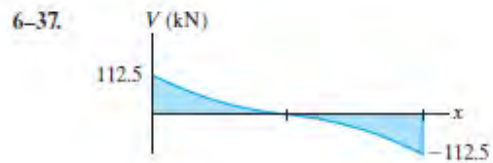
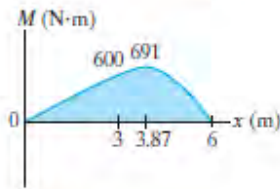
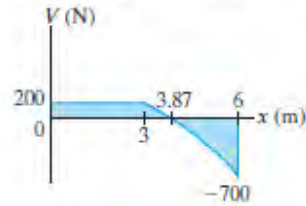
6-26. $V_{AB} = -1.625$ kip, $M_B = -18$ kip·ft

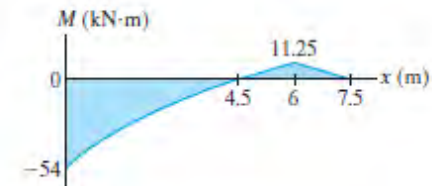
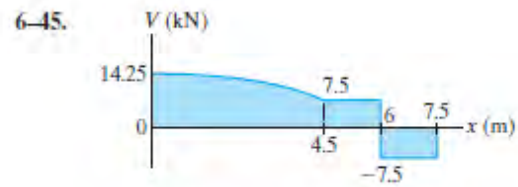
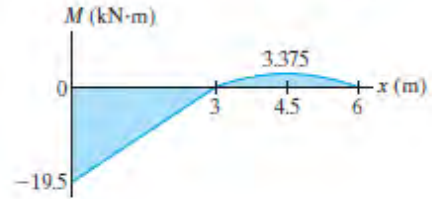
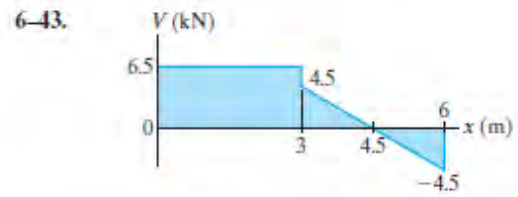
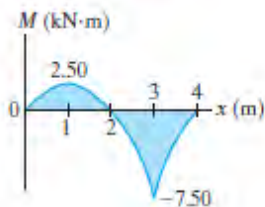
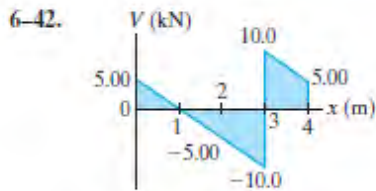
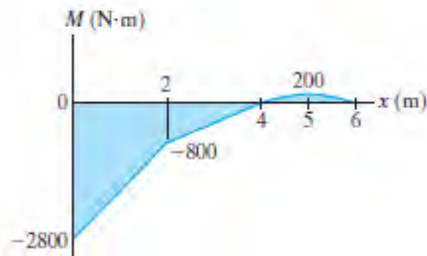
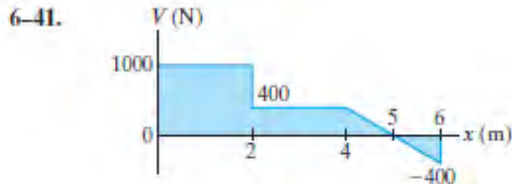
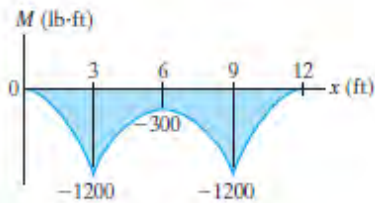
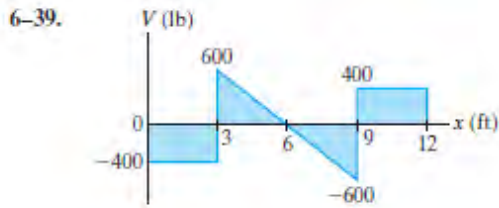


- 6-29. $V_B = -45 \text{ kN}, M_B = -63 \text{ kN} \cdot \text{m}$
 6-30. $V|_{x=15 \text{ ft}} = 1.12 \text{ kip}, M|_{x=15} = -1.95 \text{ kip} \cdot \text{ft}$
 6-31.



- 6-35. For $0 \leq x < 3 \text{ m}$: $V = 200 \text{ N}, M = (200x) \text{ N} \cdot \text{m}$.
 For $3 \text{ m} < x \leq 6 \text{ m}$: $V = \left\{ -\frac{100}{3}x^2 + 500 \right\} \text{ N}$,
 $M = \left\{ -\frac{100}{9}x^3 + 500x - 600 \right\} \text{ N} \cdot \text{m}$





- 6-46. $a = 0.207L$
- 6-47. $r = 909 \text{ mm}, M = 61.9 \text{ N} \cdot \text{m}$
- 6-49. $(\sigma_t)_{\max} = 3.72 \text{ ksi}, (\sigma_c)_{\max} = 1.78 \text{ ksi}$
- 6-50. $\sigma_{\max} = 1.46 \text{ ksi}$
- 6-51. $F = 10.5 \text{ kip}$
- 6-53. $F = 4.56 \text{ kN}$
- 6-54. $(\sigma_{\max})_c = 78.1 \text{ MPa}, (\sigma_{\max})_t = 165 \text{ MPa}$
- 6-55. $M = 50.3 \text{ kN} \cdot \text{m}$
- 6-57. $M = 15.6 \text{ kN} \cdot \text{m}, \sigma_{\max} = 12.0 \text{ MPa}$
- 6-58. $\sigma_{\max} = 93.0 \text{ psi}$
- 6-59. $F = 753 \text{ lb}$
- 6-61. % of moment carried by web = 22.6%
- 6-62. $\sigma_A = 199 \text{ MPa}, \sigma_B = 66.2 \text{ MPa}$
- 6-63. $\sigma_{\max} = 20.4 \text{ ksi}$
- 6-65. (a) $\sigma_{\max} = 497 \text{ kPa}$, (b) $\sigma_{\max} = 497 \text{ kPa}$
- 6-66. (a) $\sigma_{\max} = 249 \text{ kPa}$, (b) $\sigma_{\max} = 249 \text{ kPa}$
- 6-67. $\sigma_{\max} = 158 \text{ MPa}$
- 6-69. $\sigma_{\max} = 12.2 \text{ ksi}$
- 6-70. $\sigma_{\max} = 2.70 \text{ ksi}$
- 6-71. $\sigma_{\max} = 21.1 \text{ ksi}$
- 6-73. $d = 1.28 \text{ in.}$

- 6-74. $\sigma_{\max} = 45.1 \text{ ksi}$
 6-75. $\sigma_{\max} = 52.8 \text{ MPa}$
 6-77. $(\sigma_{\max})_c = 1.87 \text{ ksi}$, $(\sigma_{\max})_t = 1.37 \text{ ksi}$
 6-78. $M = 2.92 \text{ kip} \cdot \text{ft}$
 6-79. $F_R = 4.23 \text{ kip}$
 6-81. $M = 123 \text{ kN} \cdot \text{m}$
 6-82. $\sigma_{\max} = 24.4 \text{ ksi}$
 6-83. Use $d = 3\frac{1}{16} \text{ in.}$
 6-85. $w = 18.75 \text{ kN/m}$
 6-86. Use $b = 3\frac{5}{8} \text{ in.}$
 6-87. $w_0 = 415 \text{ lb/ft}$
 6-89. $a = 66.9 \text{ mm}$
 6-90. $\sigma_{\max} = \frac{23w_0 L^2}{36 bh^2}$
 6-91. $\sigma_{\max} = 119 \text{ MPa}$
 6-93. $\sigma_{\text{abs}}^{\max} = 24.0 \text{ ksi}$
 6-94. $\sigma_{\text{abs}}^{\max} = 6.88 \text{ ksi}$
 6-95. Use $d = 1\frac{3}{8} \text{ in.}$
 6-97. $P = 114 \text{ kip}$
 6-98. $\sigma_{\max} = 7.59 \text{ ksi}$
 6-99. $\sigma_{\max} = 22.1 \text{ ksi}$
 6-101. $d = 410 \text{ mm}$
 6-102. $w = 937.5 \text{ N/m}$
 6-103. $\sigma_{\text{abs}}^{\max} = 10.7 \text{ MPa}$
 6-105. $\sigma_A = -119 \text{ kPa}$, $\sigma_B = 446 \text{ kPa}$, $\sigma_D = -446 \text{ kPa}$,
 $\sigma_E = 119 \text{ kPa}$
 6-106. $a = 0$, $b = -\left(\frac{M_z I_y + M_y I_{yz}}{I_y I_z - I_{yz}^2}\right)$, $c = \frac{M_y I_z + M_z I_{yz}}{I_y I_z - I_{yz}^2}$
 6-107. $\sigma_A = 21.0 \text{ ksi (C)}$
 6-109. $d = 62.9 \text{ mm}$
 6-110. $\sigma_{\max} = 163 \text{ MPa}$
 6-111. $\sigma_A = 20.6 \text{ MPa (C)}$
 6-113. $\sigma_D = 8.72 \text{ ksi (T)}$, $\sigma_B = 8.72 \text{ ksi (C)}$, $\alpha = -36.9^\circ$
 6-114. $M = 25.8 \text{ kip} \cdot \text{ft}$
 6-115. $d = 28.9 \text{ mm}$
 6-117. $\sigma_A = 2.59 \text{ MPa (T)}$
 6-118. $\sigma_{\max} = 151 \text{ MPa}$, $\alpha = 72.5^\circ$
 6-119. $w = 4.37 \text{ kN/m}$
 6-121. $M = 128 \text{ kN} \cdot \text{m}$
 6-122. $(\sigma_{\max})_{st} = 22.6 \text{ ksi}$, $(\sigma_{\max})_{al} = 13.3 \text{ ksi}$
 6-123. $w = 0.875 \text{ kip/ft}$
 6-125. $M = 35.0 \text{ kN} \cdot \text{m}$
 6-126. $(\sigma_{\max})_{st} = 123 \text{ MPa}$, $(\sigma_{\max})_w = 5.14 \text{ MPa}$
 6-127. $(\sigma_{st})_{\max} = 56.5 \text{ MPa}$, $(\sigma_w)_{\max} = 3.70 \text{ MPa}$
 6-129. $(\sigma_{st})_{\max} = 43.4 \text{ MPa}$, $(\sigma_w)_{\max} = 1.81 \text{ MPa}$
 6-130. $M = 154 \text{ lb} \cdot \text{ft}$
 6-131. $w_0 = 1.03 \text{ kip/ft}$
 6-133. $M = 58.8 \text{ kN} \cdot \text{m}$
 6-134. $(\sigma_{\max})_{st} = 154 \text{ MPa}$, $(\sigma_{\max})_{al} = 171 \text{ MPa}$
 6-135. $(\sigma_{\max})_{st} = 4.55 \text{ MPa}$, $(\sigma_{\max})_w = 0.298 \text{ MPa}$
 6-137. % of error = 22.3%
 6-138. $M = 51.8 \text{ kN} \cdot \text{m}$
 6-139. $\sigma_{\max} = 842 \text{ psi (T)}$
 6-141. $\sigma_A = 43.7 \text{ MPa (T)}$, $\sigma_B = 7.77 \text{ MPa (T)}$,
 $\sigma_C = -65.1 \text{ MPa (C)}$
 6-142. $P = 6.91 \text{ kN}$
 6-143. $(\sigma_{\max})_t = 204 \text{ psi}$, $(\sigma_{\max})_c = 120 \text{ psi}$
 6-145. $(\sigma_{\max})_t = 0.978 \text{ MPa (T)}$, $(\sigma_{\max})_c = 0.673 \text{ MPa (C)}$
 6-146. $\sigma_A = 144 \text{ psi (T)}$, $\sigma_B = 106 \text{ psi (C)}$,
 $\sigma_C = 6.11 \text{ psi (C)}$
 6-147. $\sigma_A = 8.48 \text{ MPa (C)}$, $\sigma_B = 5.04 \text{ MPa (T)}$.
 No, it is not the same.
 6-149. $(\sigma_T)_{\max} = 11.1 \text{ MPa (T)}$, $(\sigma_C)_{\max} = 8.45 \text{ MPa (C)}$
 6-150. $\sigma_{\max} = 187.5 \text{ MPa}$
 6-151. $M = 107 \text{ N} \cdot \text{m}$
 6-153. $\sigma_{\max} = 22.3 \text{ ksi}$
 6-154. $M = 347 \text{ lb} \cdot \text{ft}$
 6-155. $M = 4.46 \text{ kN} \cdot \text{m}$
 6-157. $\sigma_{\max} = 34.6 \text{ ksi}$
 6-158. $k = 1.17$
 6-159. $K = \frac{3h}{2} \left[\frac{4bt(h-t) + t(h-2t)^2}{bh^3 - (b-t)(h-2t)^3} \right]$
 6-161. $M_Y = 271 \text{ kN} \cdot \text{m}$, $M_P = 460 \text{ kN} \cdot \text{m}$
 6-162. $M_P = 392 \text{ kip} \cdot \text{ft}$
 6-163. $M_P = 172 \text{ kip} \cdot \text{ft}$
 6-165. $M_Y = 143 \text{ kip} \cdot \text{ft}$, $M_P = 243 \text{ kip} \cdot \text{ft}$
 6-166. $k = 1.16$
 6-167. Elastic: $P = 66.7 \text{ kN}$, Plastic: $P = 100 \text{ kN}$
 6-169. $k = 1.71$
 6-170. $k = 1.70$
 6-171. $M_Y = 63.6 \text{ kip} \cdot \text{ft}$, $M_P = 180 \text{ kip} \cdot \text{ft}$
 6-173. $M_Y = 50.7 \text{ kN} \cdot \text{m}$, $M_P = 86.25 \text{ kN} \cdot \text{m}$
 6-174. $k = 1.58$
 6-175. $k = 1.71$
 6-177. $\sigma_{\text{top}} = \sigma_{\text{bottom}} = 43.5 \text{ MPa}$
 6-178. $M = 94.7 \text{ N} \cdot \text{m}$
 6-179. Maximum elastic moment: $M = 35.0 \text{ kip} \cdot \text{ft}$,
 Ultimate moment: $M = 59.8 \text{ kip} \cdot \text{ft}$
 6-181. $M = 81.7 \text{ kip} \cdot \text{ft}$
 6-182. $w = 53.4 \text{ kN/m}$
 R6-1. $k = 1.22$
 R6-2. $V = \frac{2wL}{27} - \frac{w}{2L}x^2$, $M = \frac{2wL}{27}x - \frac{w}{6L}x^3$
 R6-3. $M = 14.9 \text{ kN} \cdot \text{m}$
 R6-5. $\sigma_{\max} = 8.41 \text{ ksi}$
 R6-6. $\sigma_A = 225 \text{ kPa (C)}$, $\sigma_B = 265 \text{ kPa (T)}$

- R6-7. $V = 20 - 2x$, $M = -x^2 + 20x - 166$
 R6-9. $V|_{x=600 \text{ mm}} = -233 \text{ N}$, $M|_{x=600 \text{ mm}} = -50 \text{ N} \cdot \text{m}$
 R6-10. $\sigma_{\max} = \frac{6M}{t^3} (\cos \theta + \sin \theta)$, $\theta = 45^\circ$, $\alpha = 45^\circ$

Chapter 7

- 7-1. $\tau_A = 2.56 \text{ MPa}$
 7-2. $\tau_{\max} = 3.46 \text{ MPa}$
 7-3. $V_w = 19.0 \text{ kN}$
 7-5. $\tau_{\max} = 3.91 \text{ MPa}$
 7-6. $V_{\max} = 100 \text{ kN}$
 7-7. $\tau_{\max} = 17.9 \text{ MPa}$
 7-9. $V_{\max} = 32.1 \text{ kip}$
 7-10. $\tau_{\max} = 4.48 \text{ ksi}$
 7-11. $\tau_{\max} = 45.0 \text{ MPa}$
 7-13. $\tau_{\max} = 4.22 \text{ MPa}$
 7-14. $V_{\max} = 190 \text{ kN}$
 7-15. $V = 9.96 \text{ kip}$
 7-17. $\tau_A = 1.99 \text{ MPa}$, $\tau_B = 1.65 \text{ MPa}$
 7-18. $\tau_{\max} = 4.62 \text{ MPa}$
 7-19. $V_w = 27.1 \text{ kN}$
 7-21. $P_{\max} = 1.28 \text{ kip}$
 7-22. $w_{\max} = 2.15 \text{ kip/ft}$
 7-23. $\tau_{\max} = 298 \text{ psi}$
 7-25. $\tau_{\max} = 4.85 \text{ MPa}$
 7-26. $w = 11.3 \text{ kip/ft}$, $\tau_{\max} = 531 \text{ psi}$
 7-27. $\tau_{\max} = 22.0 \text{ MPa}$, $(\tau_{\max})_s = 66.0 \text{ MPa}$
 7-29. $\tau_{\max} = 1.05 \text{ MPa}$
 7-33. $F = 300 \text{ lb}$
 7-34. $s_t = 1.42 \text{ in.}$, $s_b = 1.69 \text{ in.}$
 7-35. $V = 4.97 \text{ kip}$, $s_t = 1.14 \text{ in.}$,
 $s_b = 1.36 \text{ in.}$
 7-37. $V = 499 \text{ kN}$
 7-38. $P = 4.97 \text{ kip}$.
 For regions AC and BD, $s_{\text{top}} = 1.14 \text{ in.}$,
 $s_{\text{bottom}} = 1.36 \text{ in.}$
 For region CD, theoretically no nails are
 required.
 7-39. $F = 12.5 \text{ kN}$
 7-41. $s = 11.3 \text{ mm}$
 7-42. $V_{\max} = 8.82 \text{ kip}$, use $s = 1\frac{1}{8} \text{ in.}$
 7-43. $P_{\max} = 317 \text{ lb}$
 7-45. $\tau_{\max} = 1.83 \text{ ksi}$
 7-46. $w_0 = 983 \text{ lb/ft}$
 7-47. $s = 8.66 \text{ in.}$, $s' = 1.21 \text{ in.}$
 7-50. $q_A = 228 \text{ kN/m}$, $q_B = 462 \text{ kN/m}$
 7-51. $q_C = 0$, $q_D = 601 \text{ kN/m}$
 7-53. $q_C = 38.6 \text{ kN/m}$
 7-54. $q_A = 1.39 \text{ kN/m}$, $q_B = 1.25 \text{ kN/m}$
 7-55. $q_{\max} = 1.63 \text{ kN/m}$

- 7-57. $q_{\max} = 2.79 \text{ kip/in.}$
 7-58. $q_A = 200 \text{ kN/m}$
 7-59. $\tau_{\max} = 9.36 \text{ MPa}$
 7-61. $q_A = 196 \text{ lb/in.}$, $q_B = 452 \text{ lb/in.}$,
 $q_{\max} = 641 \text{ lb/in.}$
 7-62. $q_B = 12.6 \text{ kN/m}$, $q_{\max} = 22.5 \text{ kN/m}$
 7-63. $e = 10 \text{ mm}$
 7-65. $V_{AB} = 1.47 \text{ kip}$
 7-66. $q_{AB} = 207 - 51.6x$, $q_{CD} = 44.3 - 22.1x$,
 $F_{AB} = 413 \text{ lb}$, $F_{CD} = 44.3 \text{ lb}$
 7-67. $q_A = 0$, $q_B = 417 \text{ lb/in.}$
 7-69. $e = \left[\frac{3(\pi + 4)}{4 + 3\pi} \right] r$
 7-70. $e = 2r$
 R7-1. $F_C = 197 \text{ lb}$, $F_D = 1.38 \text{ kip}$
 R7-2. $V = 131 \text{ kN}$
 R7-3. $q_A = 0$, $q_B = 1.21 \text{ kN/m}$, $q_C = 3.78 \text{ kN/m}$
 R7-5. $\tau_B = 795 \text{ psi}$, $\tau_C = 596 \text{ psi}$

Chapter 8

- 8-1. $t = 18.8 \text{ mm}$
 8-2. $r_o = 75.5 \text{ in.}$
 8-3. (a) $\sigma_1 = 1.04 \text{ ksi}$, $\sigma_2 = 0$,
 (b) $\sigma_1 = 1.04 \text{ ksi}$, $\sigma_2 = 520 \text{ psi}$
 8-5. $\sigma_1 = 7.07 \text{ MPa}$, $\sigma_2 = 0$
 8-6. $P = 848 \text{ N}$
 8-7. (a) $\sigma_1 = 127 \text{ MPa}$,
 (b) $\sigma_1' = 79.1 \text{ MPa}$,
 (c) $(\tau_{\text{avg}})_b = 322 \text{ MPa}$
 8-9. $\sigma_{\text{hoop}} = 7.20 \text{ ksi}$, $\sigma_{\text{long}} = 3.60 \text{ ksi}$
 8-10. $\sigma_1 = 1.60 \text{ ksi}$, $p = 25 \text{ psi}$, $\delta = 0.00140 \text{ in.}$
 8-11. $\sigma_2 = 11.5 \text{ ksi}$, $\sigma_1 = 24 \text{ ksi}$
 8-13. $T_1 = 128^\circ\text{F}$, $\sigma_1 = 12.1 \text{ ksi}$, $p = 252 \text{ psi}$
 8-14. $\delta r_i = \frac{pr_i^2}{E(r_o - r_i)}$
 8-15. $p = \frac{E(r_2 - r_3)}{\frac{r_2^2}{r_2 - r_1} + \frac{r_3^2}{r_4 - r_3}}$
 8-17. $\sigma_{fl} = \frac{pr}{t + t'w/L} + \frac{T}{wt'}$, $\sigma_w = \frac{pr}{t + t'w/L} - \frac{T}{Lt}$
 8-18. $d = 66.7 \text{ mm}$
 8-19. $d = 133 \text{ mm}$
 8-21. $\sigma_{\max} = \sigma_B = 13.9 \text{ ksi (T)}$, $\sigma_A = 13.6 \text{ ksi (C)}$
 8-22. $P_{\max} = 2.01 \text{ kip}$
 8-23. $\sigma_{\max} = 22.4 \text{ ksi (T)}$
 8-25. $P_{\max} = 128 \text{ kN}$
 8-26. $\sigma_{\max} = 44.0 \text{ ksi (T)}$
 8-27. $\sigma_{\max} = 44.0 \text{ ksi (T)}$, $\sigma_{\min} = 41.3 \text{ ksi (C)}$
 8-29. $\sigma_A = 0.800 \text{ ksi (T)}$, $\sigma_B = 5.20 \text{ ksi (C)}$,
 $\tau_A = 1.65 \text{ ksi}$, $\tau_B = 0$

- 8-30. $\sigma_A = 25 \text{ MPa (C)}$, $\sigma_B = 0$, $\tau_A = 0$, $\tau_B = 5 \text{ MPa}$
 8-31. $\sigma_A = 28.8 \text{ ksi}$, $\tau_A = 0$
 8-33. $\sigma_A = 70.0 \text{ MPa (C)}$, $\sigma_B = 10.0 \text{ MPa (C)}$
 8-34. $\sigma_A = 70.0 \text{ MPa (C)}$, $\sigma_B = 10.0 \text{ MPa (C)}$,
 $\sigma_C = 50.0 \text{ MPa (T)}$, $\sigma_D = 10.0 \text{ MPa (C)}$
 8-35. $\sigma_A = 27.3 \text{ ksi (T)}$, $\sigma_B = 0.289 \text{ ksi (T)}$,
 $\tau_A = 0$, $\tau_B = 0.750 \text{ ksi}$
 8-37. $\sigma_B = 1.53 \text{ MPa (C)}$, $(\tau_{xz})_B = 0$,
 $(\tau_{xy})_B = 100 \text{ MPa}$
 8-38. $\sigma_D = -88.0 \text{ MPa}$, $\tau_D = 0$
 8-39. $\sigma_E = 57.8 \text{ MPa}$, $\tau_E = 864 \text{ kPa}$
 8-41. $\sigma_B = 27.5 \text{ MPa (C)}$, $(\tau_{xz})_B = -8.81 \text{ MPa}$,
 $(\tau_{xy})_B = 0$
 8-42. $(\sigma_A)_y = 16.2 \text{ ksi (T)}$, $(\tau_A)_{yx} = -2.84 \text{ ksi}$,
 $(\tau_A)_{yz} = 0$
 8-43. $(\sigma_B)_y = 7.80 \text{ ksi (T)}$, $(\tau_B)_{yz} = 3.40 \text{ ksi}$,
 $(\tau_B)_{yx} = 0$
 8-45. $\sigma_A = 1.00 \text{ ksi (C)}$, $\sigma_B = 3.00 \text{ ksi (C)}$,
 $\sigma_C = 1.00 \text{ ksi (C)}$, $\sigma_D = 1.00 \text{ ksi (T)}$
 8-46. $(\sigma_t)_{\max} = 103 \text{ MPa (T)}$, $(\sigma_c)_{\max} = 117 \text{ MPa (C)}$
 8-47. $\sigma_A = 224 \text{ MPa (T)}$, $(\tau_{xz})_A = -30.7 \text{ MPa}$,
 $(\tau_{xy})_A = 0$
 8-49. $\sigma_C = 295 \text{ MPa (C)}$, $(\tau_{xy})_C = 25.9 \text{ MPa}$,
 $(\tau_{xz})_C = 0$
 8-50. $e = \frac{c}{4}$
 8-51. $6e_y + 18e_z < 5a$
 8-54. $\sigma_A = 15.9 \text{ ksi (C)}$, $\sigma_B = 44.6 \text{ ksi (T)}$,
 $\tau_A = \tau_B = 0$
 8-55. $\sigma_A = 16.8 \text{ ksi (C)}$, $(\tau_{xz})_A = 4.07 \text{ ksi}$, $(\tau_{xy})_A = 0$
 8-57. $\sigma_A = 107 \text{ MPa (T)}$, $\tau_A = 15.3 \text{ MPa}$,
 $\sigma_B = 0$, $\tau_B = 14.8 \text{ MPa}$
 8-58. $\sigma_C = 107 \text{ MPa (C)}$, $\tau_C = 15.3 \text{ MPa}$,
 $\sigma_D = 0$, $\tau_D = 15.8 \text{ MPa}$
 8-59. $\sigma_A = 24.7 \text{ ksi (T)}$, $\tau_A = 0$
 8-61. $(\sigma_{\max})_t = 106 \text{ MPa}$, $(\sigma_{\max})_c = -159 \text{ MPa}$
 8-62. $P_{\max} = 9.08 \text{ kN}$
 8-63. $\sigma_C = 15.6 \text{ ksi (T)}$, $\sigma_D = 124 \text{ ksi (T)}$,
 $(\tau_{xz})_D = 62.4 \text{ ksi}$, $(\tau_{xy})_D = 0$, $(\tau_{xy})_C = -52.4 \text{ ksi}$,
 $(\tau_{xz})_C = 0$
 8-65. $\sigma_A = 15.3 \text{ MPa}$, $\tau_A = 0$, $\sigma_B = 0$,
 $\tau_B = 0.637 \text{ MPa}$
 8-66. $\sigma_C = 15.3 \text{ MPa}$, $\tau_C = 0$, $\sigma_D = 0$,
 $\tau_D = 0.637 \text{ MPa}$
 8-67. $\sigma_A = 94.4 \text{ psi (T)}$, $\sigma_B = 59.0 \text{ psi (C)}$
 8-69. $\sigma_B = 19.4 \text{ MPa (C)}$, $(\tau_{xy})_B = 0.509 \text{ MPa}$,
 $(\tau_{xz})_B = 0$
 8-70. $\tau_A = 0$, $\sigma_A = 30.2 \text{ ksi (C)}$
 8-71. $\sigma_B = 0$, $\tau_B = 0.377 \text{ ksi}$
 8-73. $\sigma = 1.48 \text{ psi (T)}$, $\tau = 384 \text{ psi}$
 R8-1. $(\sigma_t)_{\max} = 15.8 \text{ ksi}$, $(\sigma_c)_{\max} = -10.5 \text{ ksi}$
 R8-2. $\sigma_E = 802 \text{ kPa}$, $\tau_E = 69.8 \text{ kPa}$

- R8-3. $\sigma_F = 695 \text{ kPa (C)}$, $\tau_F = 31.0 \text{ kPa}$
 R8-5. $\sigma_{\max} = 236 \text{ psi (C)}$
 R8-6. $\theta = 0.286^\circ$
 R8-7. $\sigma_C = 11.6 \text{ ksi}$, $\tau_C = 0$, $\sigma_D = -23.2 \text{ ksi}$, $\tau_D = 0$

Chapter 9

- 9-2. $\sigma_{x'} = 31.4 \text{ MPa}$, $\tau_{x'y'} = 38.1 \text{ MPa}$
 9-3. $\sigma_{x'} = -388 \text{ psi}$, $\tau_{x'y'} = 455 \text{ psi}$
 9-5. $\sigma_{x'} = 1.45 \text{ ksi}$, $\tau_{x'y'} = 3.50 \text{ ksi}$
 9-6. $\sigma_{x'} = -4.05 \text{ ksi}$, $\tau_{x'y'} = -0.404 \text{ ksi}$
 9-7. $\sigma_{x'} = -61.5 \text{ MPa}$, $\tau_{x'y'} = 62.0 \text{ MPa}$
 9-9. $\sigma_{x'} = 36.0 \text{ MPa}$, $\tau_{x'y'} = -37.0 \text{ MPa}$
 9-10. $\sigma_{x'} = 36.0 \text{ MPa}$, $\tau_{x'y'} = -37.0 \text{ MPa}$
 9-11. $\sigma_{x'} = 47.5 \text{ MPa}$, $\sigma_{y'} = 202 \text{ MPa}$,
 $\tau_{x'y'} = -15.8 \text{ MPa}$
 9-13. $\sigma_{x'} = -62.5 \text{ MPa}$, $\tau_{x'y'} = -65.0 \text{ MPa}$
 9-14. $\sigma_1 = 319 \text{ MPa}$, $\sigma_2 = -219 \text{ MPa}$, $\theta_{p1} = 10.9^\circ$,
 $\theta_{p2} = -79.1^\circ$, $\tau_{\max}^{\text{in-plane}} = 269 \text{ MPa}$,
 $\theta_s = -34.1^\circ$ and 55.9° , $\sigma_{\text{avg}} = 50.0 \text{ MPa}$
 9-15. $\sigma_1 = 53.0 \text{ MPa}$, $\sigma_2 = -68.0 \text{ MPa}$, $\theta_{p1} = 14.9^\circ$,
 $\theta_{p2} = -75.1^\circ$, $\tau_{\max}^{\text{in-plane}} = 60.5 \text{ MPa}$,
 $\sigma_{\text{avg}} = -7.50 \text{ MPa}$, $\theta_s = -30.1^\circ$ and 59.9°
 9-17. $\sigma_1 = 137 \text{ MPa}$, $\sigma_2 = -86.8 \text{ MPa}$,
 $\theta_{p1} = -13.3^\circ$, $\theta_{p2} = 76.7^\circ$, $\tau_{\max}^{\text{in-plane}} = 112 \text{ MPa}$,
 $\theta_s = 31.7^\circ$ and 122° , $\sigma_{\text{avg}} = 25 \text{ MPa}$
 9-18. $\sigma_x = 33.0 \text{ MPa}$, $\sigma_y = 137 \text{ MPa}$, $\tau_{xy} = -30 \text{ MPa}$
 9-19. $\sigma_1 = 5.90 \text{ MPa}$, $\sigma_2 = -106 \text{ MPa}$,
 $\theta_{p1} = 76.7^\circ$ and $\theta_{p2} = -13.3^\circ$,
 $\tau_{\max}^{\text{in-plane}} = 55.9 \text{ MPa}$, $\sigma_{\text{avg}} = -50 \text{ MPa}$,
 $\theta_s = 31.7^\circ$ and 122°
 9-21. $\tau_a = -1.96 \text{ ksi}$, $\sigma_1 = 80.1 \text{ ksi}$, $\sigma_2 = 19.9 \text{ ksi}$
 9-22. $\sigma_{x'} = -63.3 \text{ MPa}$, $\tau_{x'y'} = 35.7 \text{ MPa}$
 9-23. $\sigma_{x'} = 19.5 \text{ kPa}$, $\tau_{x'y'} = -53.6 \text{ kPa}$
 9-25. $\sigma_1 = 0$, $\sigma_2 = -36.6 \text{ MPa}$, $\tau_{\max}^{\text{in-plane}} = 18.3 \text{ MPa}$
 9-26. $\sigma_1 = 16.6 \text{ MPa}$, $\sigma_2 = 0$, $\tau_{\max}^{\text{in-plane}} = 8.30 \text{ MPa}$
 9-27. $\sigma_1 = 14.2 \text{ MPa}$, $\sigma_2 = -8.02 \text{ MPa}$,
 $\tau_{\max}^{\text{in-plane}} = 11.1 \text{ MPa}$
 9-29. Point D: $\sigma_1 = 7.56 \text{ kPa}$, $\sigma_2 = -603 \text{ kPa}$,
 Point E: $\sigma_1 = 395 \text{ kPa}$, $\sigma_2 = -17.8 \text{ kPa}$
 9-30. Point A: $\sigma_1 = \sigma_y = 0$, $\sigma_2 = \sigma_x = -30.5 \text{ MPa}$,
 Point B: $\sigma_1 = 0.541 \text{ MPa}$, $\sigma_2 = -1.04 \text{ MPa}$,
 $\theta_{p1} = -54.2^\circ$, $\theta_{p2} = 35.8^\circ$
 9-31. $\tau_{x'y'} = 160 \text{ kPa}$
 9-33. $\sigma_1 = 4.38 \text{ ksi}$, $\sigma_2 = -1.20 \text{ ksi}$,
 $\tau_{\max}^{\text{in-plane}} = 2.79 \text{ ksi}$

- 9-34. Point A: $\sigma_1 = 37.8 \text{ kPa}$, $\sigma_2 = -10.8 \text{ MPa}$
Point B: $\sigma_1 = 42.0 \text{ MPa}$, $\sigma_2 = -10.6 \text{ kPa}$
- 9-35. $\sigma_1 = 233 \text{ psi}$, $\sigma_2 = -774 \text{ psi}$, $\tau_{\text{max in-plane}} = 503 \text{ psi}$
- 9-37. $\sigma_1 = \frac{4}{\pi d^2} \left(\frac{2PL}{d} - F \right)$, $\sigma_2 = 0$,
 $\tau_{\text{max in-plane}} = \frac{2}{\pi d^2} \left(\frac{2PL}{d} - F \right)$
- 9-38. $\sigma_1 = 838 \text{ psi}$, $\sigma_2 = -37.8 \text{ psi}$
- 9-39. $\sigma_1 = 628 \text{ psi}$, $\sigma_2 = -166 \text{ psi}$
- 9-41. $\sigma_1 = 1.37 \text{ MPa}$, $\sigma_2 = -198 \text{ MPa}$
- 9-42. $\sigma_1 = 111 \text{ MPa}$, $\sigma_2 = 0$
- 9-43. $\sigma_1 = 2.40 \text{ MPa}$, $\sigma_2 = -6.68 \text{ MPa}$
- 9-45. $\sigma_{x'} = -388 \text{ psi}$, $\tau_{x'y'} = 455 \text{ psi}$
- 9-46. $\sigma_{x'} = -4.05 \text{ ksi}$, $\tau_{x'y'} = -0.404 \text{ ksi}$
- 9-47. $\sigma_{x'} = 47.5 \text{ MPa}$, $\tau_{x'y'} = -15.8 \text{ MPa}$,
 $\sigma_{y'} = 202 \text{ MPa}$
- 9-49. $\sigma_{\text{avg}} = 25 \text{ MPa}$, $\sigma_1 = 54.2 \text{ MPa}$, $\sigma_2 = -4.15 \text{ MPa}$,
 $\theta_p = -15.5^\circ$, $\tau_{\text{max in-plane}} = 29.2 \text{ MPa}$
- 9-51. $\sigma_{\text{avg}} = -40.0 \text{ MPa}$, $\sigma_1 = 32.1 \text{ MPa}$,
 $\sigma_2 = -112 \text{ MPa}$, $\theta_{p1} = 28.2^\circ$, $\tau_{\text{max in-plane}} = 72.1 \text{ MPa}$,
 $\theta_s = -16.8^\circ$
- 9-53. $\sigma_{x'} = -56.3 \text{ ksi}$, $\sigma_{y'} = 56.3 \text{ ksi}$, $\tau_{x'y'} = -32.5 \text{ ksi}$
- 9-57. $\sigma_{\text{avg}} = 15.0 \text{ ksi}$, $\sigma_1 = 32.5 \text{ ksi}$, $\sigma_2 = -2.49 \text{ ksi}$,
 $\theta_{p1} = -15.5^\circ$, $\tau_{\text{max in-plane}} = -17.5 \text{ ksi}$, $\theta_s = 29.5^\circ$
- 9-58. $\sigma_1 = 64.1 \text{ MPa}$, $\sigma_2 = -14.1 \text{ MPa}$, $\theta_p = 25.1^\circ$,
 $\sigma_{\text{avg}} = 25.0 \text{ MPa}$, $\tau_{\text{max in-plane}} = 39.1 \text{ MPa}$, $\theta_s = -19.9^\circ$
- 9-59. $\theta_p = -14.9^\circ$, $\sigma_1 = 227 \text{ MPa}$, $\sigma_2 = -177 \text{ MPa}$,
 $\tau_{\text{max in-plane}} = 202 \text{ MPa}$, $\sigma_{\text{avg}} = 25 \text{ MPa}$, $\theta_s = 30.1^\circ$
- 9-62. $\sigma_{x'} = 19.5 \text{ kPa}$, $\tau_{x'y'} = -53.6 \text{ kPa}$
- 9-63. $\tau_{\text{max in-plane}} = 41.0 \text{ psi}$, $\sigma_1 = 0.976 \text{ psi}$, $\sigma_2 = -81.0 \text{ psi}$
- 9-65. $\sigma_1 = 29.4 \text{ ksi}$, $\sigma_2 = -17.0 \text{ ksi}$
- 9-66. $\sigma_{x'} = 75.3 \text{ kPa}$, $\tau_{x'y'} = -78.5 \text{ kPa}$
- 9-67. $\sigma_{x'} = -45.0 \text{ kPa}$, $\tau_{x'y'} = 45.0 \text{ kPa}$
- 9-69. $\sigma_1 = 4.71 \text{ ksi}$, $\sigma_2 = -0.0262 \text{ ksi}$
- 9-70. Mohr's circle is a point located at $(4.80, 0)$.
- 9-71. $\sigma_{x'} = 500 \text{ MPa}$, $\tau_{x'y'} = -167 \text{ MPa}$
- 9-73. $\sigma_1 = 1.15 \text{ MPa}$, $\sigma_2 = -0.0428 \text{ MPa}$
- 9-74. $\sigma_1 = 2.97 \text{ ksi}$, $\sigma_2 = -2.97 \text{ ksi}$, $\theta_{p1} = 45.0^\circ$,
 $\theta_{p2} = -45.0^\circ$, $\tau_{\text{max in-plane}} = 2.97 \text{ ksi}$, $\theta_s = 0$
- 9-75. $\sigma_1 = 2.59 \text{ ksi}$, $\sigma_2 = -3.61 \text{ ksi}$, $\theta_{p1} = -40.3^\circ$,
 $\theta_{p2} = -49.7^\circ$, $\tau_{\text{max in-plane}} = 3.10 \text{ ksi}$, $\theta_s = 4.73^\circ$
- 9-81. $\sigma_1 = 24.4 \text{ ksi}$, $\sigma_2 = 5.57 \text{ ksi}$, $\tau_{\text{abs max}} = 12.2 \text{ ksi}$
- 9-82. $\sigma_1 = 222 \text{ MPa}$, $\sigma_2 = -102 \text{ MPa}$, $\tau_{\text{abs max}} = 162 \text{ MPa}$
- 9-83. $\sigma_1 = 6.73 \text{ ksi}$, $\sigma_2 = -4.23 \text{ ksi}$, $\tau_{\text{abs max}} = 5.48 \text{ ksi}$

- 9-85. $\sigma_1 = 5.50 \text{ MPa}$, $\sigma_2 = -0.611 \text{ MPa}$,
 $\sigma_1 = 1.29 \text{ MPa}$, $\sigma_2 = -1.29 \text{ MPa}$,
 $\tau_{\text{abs max}} = 3.06 \text{ MPa}$, $\tau_{\text{abs max}} = 1.29 \text{ MPa}$
- 9-86. $\sigma_1 = 6.27 \text{ kPa}$, $\sigma_2 = -806 \text{ kPa}$,
 $\tau_{\text{abs max}} = 406 \text{ kPa}$
- 9-87. $\sigma_1 = 48.8 \text{ ksi}$, $\sigma_2 = -25.4 \text{ ksi}$,
 $\tau_{\text{abs max}} = 31.1 \text{ ksi}$
- R9-1. $\sigma_1 = 119 \text{ psi}$, $\sigma_2 = -119 \text{ psi}$
- R9-2. $\sigma_1 = 329 \text{ psi}$, $\sigma_2 = -72.1 \text{ psi}$
- R9-3. $\sigma_{x'} = -0.611 \text{ ksi}$, $\tau_{x'y'} = 7.88 \text{ ksi}$, $\sigma_{y'} = -3.39 \text{ ksi}$
- R9-5. $\sigma_1 = 3.03 \text{ ksi}$, $\sigma_2 = -33.0 \text{ ksi}$,
 $\theta_{p1} = -16.8^\circ$ and $\theta_{p2} = 73.2^\circ$,
 $\tau_{\text{max in-plane}} = 18.0 \text{ ksi}$, $\sigma_{\text{avg}} = -15 \text{ ksi}$,
 $\theta_s = 28.2^\circ$ and 118°
- R9-6. $\sigma_1 = 3.29 \text{ MPa}$, $\sigma_2 = -4.30 \text{ MPa}$
- R9-7. Point A: $\sigma_1 = 61.7 \text{ psi}$, $\sigma_2 = 0$,
Point B: $\sigma_1 = 0$, $\sigma_2 = -46.3 \text{ psi}$
- R9-9. $\sigma_{x'} = -16.5 \text{ ksi}$, $\tau_{x'y'} = 2.95 \text{ ksi}$

Chapter 10

- 10-2. $\epsilon_{x'} = 248(10^{-6})$, $\gamma_{x'y'} = -233(10^{-6})$,
 $\epsilon_{y'} = -348(10^{-6})$
- 10-3. $\epsilon_{x'} = 55.1(10^{-6})$, $\gamma_{x'y'} = 133(10^{-6})$,
 $\epsilon_{y'} = 325(10^{-6})$
- 10-5. $\epsilon_{x'} = 77.4(10^{-6})$, $\gamma_{x'y'} = 1279(10^{-6})$,
 $\epsilon_{y'} = 383(10^{-6})$
- 10-6. $\epsilon_{x'} = -116(10^{-6})$, $\epsilon_{y'} = 466(10^{-6})$,
 $\gamma_{x'y'} = 393(10^{-6})$
- 10-7. $\epsilon_{x'} = 466(10^{-6})$, $\epsilon_{y'} = -116(10^{-6})$,
 $\gamma_{x'y'} = -393(10^{-6})$
- 10-9. $\epsilon_1 = 188(10^{-6})$, $\epsilon_2 = -128(10^{-6})$,
 $(\theta_p)_1 = -9.22^\circ$, $(\theta_p)_2 = 80.8^\circ$,
 $\gamma_{\text{max in-plane}} = 316(10^{-6})$,
 $\epsilon_{\text{avg}} = 30(10^{-6})$,
 $\theta_s = 35.8^\circ$ and -54.2°
- 10-10. (a) $\epsilon_1 = 713(10^{-6})$, $\epsilon_2 = 36.6(10^{-6})$, $\theta_{p1} = 133^\circ$,
(b) $\gamma_{\text{max in-plane}} = 677(10^{-6})$, $\epsilon_{\text{avg}} = 375(10^{-6})$,
 $\theta_s = -2.12^\circ$
- 10-11. $\epsilon_{x'} = 649(10^{-6})$, $\gamma_{x'y'} = -85.1(10^{-6})$,
 $\epsilon_{y'} = 201(10^{-6})$
- 10-13. $\epsilon_1 = 17.7(10^{-6})$, $\epsilon_2 = -318(10^{-6})$,
 $\theta_{p1} = 76.7^\circ$ and $\theta_{p2} = -13.3^\circ$,
 $\gamma_{\text{max in-plane}} = 335(10^{-6})$, $\theta_s = 31.7^\circ$ and 122° ,
 $\epsilon_{\text{avg}} = -150(10^{-6})$

- 10-14. $\epsilon_1 = 368(10^{-6})$, $\epsilon_2 = 182(10^{-6})$,
 $\theta_{p1} = -52.8^\circ$ and $\theta_{p2} = 37.2^\circ$,
 $\gamma_{\max}^{\text{in-plane}} = 187(10^{-6})$, $\theta_s = -7.76^\circ$ and 82.2° ,
 $\epsilon_{\text{avg}} = 275(10^{-6})$
- 10-17. $\epsilon_{x'} = 55.1(10^{-6})$, $\gamma_{x'y'} = 133(10^{-6})$,
 $\epsilon_{y'} = 325(10^{-6})$
- 10-18. $\epsilon_{x'} = 325(10^{-6})$, $\gamma_{x'y'} = -133(10^{-6})$,
 $\epsilon_{y'} = 55.1(10^{-6})$
- 10-19. $\epsilon_{x'} = 77.4(10^{-6})$, $\gamma_{x'y'} = 1279(10^{-6})$,
 $\epsilon_{y'} = 383(10^{-6})$
- 10-21. $\epsilon_{x'} = 466(10^{-6})$, $\gamma_{x'y'} = -393(10^{-6})$,
 $\epsilon_{y'} = -116(10^{-6})$
- 10-22. (a) $\epsilon_1 = 773(10^{-6})$, $\epsilon_2 = 76.8(10^{-6})$,
 (b) $\gamma_{\max}^{\text{in-plane}} = 696(10^{-6})$, (c) $\gamma_{\max}^{\text{abs}} = 773(10^{-6})$
- 10-23. $\epsilon_1 = 870(10^{-6})$, $\epsilon_2 = 405(10^{-6})$,
 $\gamma_{\max}^{\text{in-plane}} = 465(10^{-6})$, $\gamma_{\max}^{\text{abs}} = 870(10^{-6})$
- 10-25. $\epsilon_1 = 380(10^{-6})$, $\epsilon_2 = -330(10^{-6})$
- 10-26. $\epsilon_1 = 517(10^{-6})$, $\epsilon_2 = -402(10^{-6})$
- 10-27. $\epsilon_1 = 862(10^{-6})$, $\epsilon_2 = -782(10^{-6})$,
 $\theta_{p1} = 88.0^\circ$ (clockwise),
 $\epsilon_{\text{avg}} = 40.0(10^{-6})$, $\gamma_{\max}^{\text{in-plane}} = -1644(10^{-6})$,
 $\theta_s = 43.0^\circ$ (clockwise)
- 10-33. $E = 17.4$ GPa, $\Delta d = -12.6(10^{-6})$ mm
- 10-34. $\Delta\theta = -0.0103^\circ$
- 10-35. $\nu_{\text{pvc}} = 0.164$
- 10-37. (a) $k_r = 3.33$ ksi, (b) $k_g = 5.13(10^3)$ ksi
- 10-38. $p = 0.967$ ksi, $\gamma_{\max}^{\text{in-plane}} = 1.30(10^{-3})$
- 10-39. $\sigma_1 = 10.2$ ksi, $\sigma_2 = 7.38$ ksi
- 10-41. $\epsilon_x = 23.0(10^{-6})$, $\gamma_{xy} = -3.16(10^{-6})$
- 10-42. $\epsilon_x = 2.35(10^{-3})$, $\epsilon_y = -0.972(10^{-3})$,
 $\epsilon_z = -2.44(10^{-3})$
- 10-43. $\sigma_1 = 8.37$ ksi, $\sigma_2 = 6.26$ ksi
- 10-45. $\theta = \tan^{-1}\left(\frac{1}{\sqrt{\nu}}\right)$
- 10-46. $\epsilon_1 = 289(10^{-6})$, $\epsilon_2 = -289(10^{-6})$
- 10-47. $P = 83.0$ lb
- 10-49. $\sigma_x = -15.5$ ksi, $\sigma_y = -16.8$ ksi
- 10-50. $\epsilon_x = \epsilon_y = 0$, $\gamma_{xy} = -160(10^{-6})$, $T = 65.2$ N·m
- 10-51. $\epsilon_{x'} = -2.52(10^{-3})$, $\epsilon_{y'} = 2.52(10^{-3})$
- 10-53. $\Delta d = 0.800$ mm, $\sigma_{AB} = 315$ MPa
- 10-54. $\Delta d = 0.680$ mm
- 10-57. $\Delta V = 0.0168$ m³
- 10-58. $k = 1.35$
- 10-59. $\sigma_x^2 + \sigma_y^2 - \sigma_x\sigma_y + 3\tau_{xy}^2 = \sigma_y^2$
- 10-61. $\sigma_1 = 10.2$ ksi
- 10-62. $\sigma_1 = 11.6$ ksi
- 10-63. $\sigma_1 = 68.0$ ksi
- 10-65. $T_c = \sqrt{\frac{4}{3}M^2 + T^2}$
- 10-66. $\tau = 43.3$ MPa
- 10-67. $\tau = 37.5$ ksi
- 10-69. No
- 10-70. $M_c = \sqrt{M^2 + \frac{3}{4}T^2}$
- 10-71. $\sigma_x = 16.7$ ksi
- 10-73. $d = 1.59$ in.
- 10-74. $\sigma_1 = 924$ MPa, $\sigma_1 = 1.07$ GPa
- 10-75. No
- 10-77. No
- 10-78. No
- 10-79. Yes
- 10-81. (a) F.S. = 1.32, (b) F.S. = 1.52
- 10-82. Yes
- 10-83. Yes
- 10-85. $\sigma_y = 424$ MPa
- 10-86. $T_{\max} = 8.38$ kN·m
- 10-87. $T_{\max} = 9.67$ kN·m
- 10-89. (a) F.S. = 2.05, (b) F.S. = 2.35
- 10-90. (a) $t = 22.5$ mm, (b) $t = 19.5$ mm
- 10-91. $d = 1.50$ in.
- 10-93. F.S. = 1.25
- R10-2. $\delta_a = 0.367$ mm, $\delta_b = -0.255$ mm,
 $\delta_t = -0.00167$ mm
- R10-3. F.S. = 2
- R10-5. $\epsilon_{\text{avg}} = 83.3(10^{-6})$, $\epsilon_1 = 880(10^{-6})$,
 $\epsilon_2 = -713(10^{-6})$, $\theta_p = 54.8^\circ$ (clockwise),
 $\gamma_{\max}^{\text{in-plane}} = -1593(10^{-6})$,
 $\theta_s = 9.78^\circ$ (clockwise)
- R10-6. $\epsilon_{x'} = -380(10^{-6})$, $\epsilon_{y'} = -130(10^{-6})$,
 $\gamma_{x'y'} = 1.21(10^{-3})$
- R10-7. $P_2 = 11.4$ kip, $P_1 = 136$ kip
- R10-9. $\epsilon_1 = 283(10^{-6})$, $\epsilon_2 = -133(10^{-6})$,
 $\theta_{p1} = 84.8^\circ$, $\theta_{p2} = -5.18^\circ$, $\gamma_{\max}^{\text{in-plane}} = 417(10^{-6})$,
 $\epsilon_{\text{avg}} = 75.0(10^{-6})$, $\theta_s = 39.8^\circ$ and 130°
- R10-10. $\epsilon_1 = 480(10^{-6})$, $\epsilon_2 = 120(10^{-6})$,
 $\theta_{p1} = 28.2^\circ$ (clockwise),
 $\gamma_{\max}^{\text{in-plane}} = -361(10^{-6})$,
 $\theta_s = 16.8^\circ$ (counterclockwise), $\epsilon_{\text{avg}} = 300(10^{-6})$

Chapter 11

- 11-1. $b = 211 \text{ mm}, h = 264 \text{ mm}$
 11-2. Use $b = 4 \text{ in.}$
 11-3. Use $b = 5 \text{ in.}$
 11-5. Use W12 \times 16.
 11-6. Yes
 11-7. Use W12 \times 22.
 11-9. Use W360 \times 45.
 11-10. Yes, it can.
 11-11. Use $s = s'' = 2 \text{ in.},$
 Use $s' = 1 \text{ in.}$
 11-13. $h = 8.0 \text{ in.}, P = 3.20 \text{ kip}$
 11-14. $s = 1.93 \text{ in.}, s' = 2.89 \text{ in.},$
 $s'' = 5.78 \text{ in.}$
 11-15. Use $s = 1\frac{5}{8} \text{ in.}, s' = 1\frac{1}{8} \text{ in.},$
 $s'' = 3\frac{1}{8} \text{ in.}$
 11-17. $P = 103 \text{ kN}$
 11-18. Use $a = 3\frac{1}{8} \text{ in.}$
 11-19. $P = 750 \text{ lb}$
 11-21. $P = 85.9 \text{ N}$
 11-22. $b = 3.40 \text{ in.}$
 11-23. Use W16 \times 31.
 11-25. Use $d = 3 \text{ in.}$
 11-26. Use W14 \times 22.
 11-27. The beam fails.
 11-29. $b = 5.86 \text{ in.}$
 11-30. $P = 9.52 \text{ kN}$
 11-31. $w = \frac{w_0}{L}x$
 11-33. $\sigma_{\max} = \frac{8PL}{27\pi r_0^3}$
 11-34. $h = \frac{h_0}{L^{3/2}}(3L^2x - 4x^3)^{1/2}$
 11-35. $d = h\sqrt{\frac{x}{L}}$
 11-37. $\sigma_{\max} = \frac{3wL^2}{b_0h^2}$
 11-38. $b = \frac{b_0}{L^2}x^2$
 11-39. Use $d = 21 \text{ mm.}$
 11-41. $\sigma_{\max} = 13.4 \text{ MPa}$
 11-42. Use $d = 1\frac{1}{2} \text{ in.}$
 11-43. Use $d = 1\frac{5}{8} \text{ in.}$
 11-45. Use $d = 1\frac{1}{8} \text{ in.}$

- 11-46. Use $d = 1\frac{1}{4} \text{ in.}$
 R11-1. $y = \left[\frac{4P}{\pi \sigma_{\text{allow}}}x \right]^{1/3}$
 R11-2. Use W10 \times 12
 R11-3. Use $d = 44 \text{ mm.}$
 R11-5. Use W18 \times 50.
 R11-6. $P = 556 \text{ lb}, h = 0.595 \text{ in.}$
 R11-7. $h = 0.643 \text{ in.}$ Yes.

Chapter 12

- 12-1. $\sigma = 3.02 \text{ ksi}$
 12-2. $\sigma = 75.5 \text{ ksi}$
 12-3. $\sigma = 582 \text{ MPa}$
 12-5. $v_C = -6.11 \text{ mm}$
 12-6. $\theta_{\max} = -\frac{M_0L}{EI},$
 $v = -\frac{M_0x^2}{2EI},$
 $v_{\max} = -\frac{M_0L^2}{2EI}$
 12-7. $\rho = 336 \text{ ft},$
 $\theta_{\max} = \frac{M_0L}{EI} \curvearrowright,$
 $v_{\max} = -\frac{M_0L^2}{2EI}$
 12-9. $v_1 = \frac{P}{12EI}(2x_1^3 - 3Lx_1^2),$
 $v_2 = \frac{PL^2}{48EI}(-6x_2 + L)$
 12-10. $v_1 = \frac{wax_1}{12EI}(2x^2 - 9ax_1),$
 $v_2 = \frac{w}{24EI}(-x_2^4 + 28a^3x_2 - 41a^4),$
 $\theta_C = -\frac{wa^3}{EI}, v_B = -\frac{41wa^4}{24EI}$
 12-11. $v_1 = \frac{wax_1}{12EI}(2x^2 - 9ax_1),$
 $v_3 = \frac{w}{24EI}(-x_3^4 + 8ax_3^3 - 24a^2x_3^2 + 4a^3x_3 - a^4),$
 $\theta_B = -\frac{7wa^3}{6EI}, v_C = -\frac{7wa^4}{12EI}$
 12-13. $\theta_A = -\frac{M_0a}{2EI}, v_{\max} = -\frac{5M_0a^2}{8EI}$
 12-14. $v_{\max} = -\frac{3PL^3}{256EI}$
 12-15. $P = 40.0 \text{ lb}, s = 0.267 \text{ in.}$

$$12-17. v_1 = \frac{Px_1}{12EI} (-x_1^2 + L^2),$$

$$v_2 = \frac{P}{24EI} (-4x_2^3 + 7L^2x_2 - 3L^3),$$

$$v_{\max} = \frac{PL^3}{8EI}$$

$$12-18. \theta_A = -\frac{3PL^2}{8EI}, v_C = -\frac{PL^3}{6EI}$$

$$12-19. v_B = -\frac{11PL^3}{48EI}$$

$$12-21. v_{\max} = -11.5 \text{ mm}$$

$$12-22. v = \frac{1}{EI} (2.25x^3 - 0.002778x^5 - 40.5x^2) \text{ kip} \cdot \text{ft}^3,$$

$$\theta_{\max} = -0.00466 \text{ rad}, v_{\max} = -0.369 \text{ in.}$$

$$12-23. \theta_C = \frac{4M_0L}{3EI}, v_1 = \frac{M_0}{6EIL} (-x_1^3 + L^2x_1),$$

$$v_2 = \frac{M_0}{6EIL} (-3Lx_2^2 + 8L^2x_2 - 5L^3),$$

$$v_C = \frac{5M_0L^2}{6EI}$$

$$12-25. v_{\max} = \frac{18.8 \text{ kip} \cdot \text{ft}^3}{EI}$$

$$12-26. v_{\max} = -0.396 \text{ in.}$$

$$12-27. \theta_A = \frac{2\gamma L^3}{3I^2E},$$

$$v_A = -\frac{\gamma L^4}{2I^2E}$$

$$12-29. \theta_B = \frac{wa^3}{6EI},$$

$$v_1 = \frac{w}{24EI} (-x_1^4 + 4ax_1^3 - 6a^2x_1^2),$$

$$v_2 = \frac{wa^3}{24EI} (-4x_2 + a),$$

$$v_B = \frac{wa^3}{24EI} (-4L + a)$$

$$12-30. \theta_B = \frac{wa^3}{6EI}, v_1 = \frac{wx_1^2}{24EI} (-x_1^2 + 4ax_1 - 6a^2),$$

$$v_2 = \frac{wa^3}{24EI} (4x_3 + a - 4L), v_B = \frac{wa^3}{24EI} (a - 4L)$$

$$12-31. v = \frac{1}{EI} \left[\frac{Pb}{6a} x^3 + \frac{P(a+b)}{6a} (x-a)^3 + \frac{Pab}{6} x \right]$$

$$12-33. E = \frac{Pa}{24\Delta I} (3L^2 - 4a^2)$$

$$12-34. v = \frac{P}{12EI} [-2(x-a)^3 + 4(x-2a)^3 + a^2x],$$

$$(v_{\max})_{AB} = \frac{0.106Pa^3}{EI}, v_C = -\frac{3Pa^3}{4EI}$$

$$12-35. v = \frac{1}{EI} [-2.5x^2 + 2(x-4)^3 - \frac{1}{8}(x-4)^4$$

$$+ 2(x-12)^3 + \frac{1}{8}(x-12)^4$$

$$- 24x + 136] \text{ kip} \cdot \text{ft}^3$$

$$12-37. v = \frac{M_0}{6EI} \left[3\left(x - \frac{L}{3}\right)^2 - 3\left(x - \frac{2}{3}L\right)^2 - Lx \right],$$

$$v_{\max} = -\frac{5M_0L^2}{72EI}$$

$$12-38. v = \frac{1}{EI} [-8.33x^3 + 17.1(x-12)^3$$

$$- 13.3(x-36)^3 + 1680x - 5760] \text{ lb} \cdot \text{in}^3$$

$$12-39. v_{\max} = -12.9 \text{ mm}$$

$$12-41. (v_{\max})_{AB} = 0.0867 \text{ in.}$$

$$12-42. \theta_A = -\frac{1920}{EI}, \theta_B = \frac{6720 \text{ lb} \cdot \text{in}^2}{EI}$$

$$12-43. v = \frac{1}{EI} [-0.0833x^3 + 3(x-8)^2$$

$$+ 3(x-16)^2 + 8.00x] \text{ kip} \cdot \text{ft}^3$$

$$12-45. v_C = -0.501 \text{ mm}, v_D = -0.698 \text{ mm},$$

$$v_E = -0.501 \text{ mm}$$

$$12-46. \theta_A = -0.128^\circ, \theta_B = 0.128^\circ$$

$$12-47. \theta_A = -\frac{3wa^3}{16EI},$$

$$\theta_B = \frac{7wa^3}{48EI},$$

$$v = \frac{w}{48EI} [6ax^3 - 2x^4 + 2(x-a)^4 - 9a^3x]$$

$$12-49. \theta_A = \frac{302}{EI} \text{ kip} \cdot \text{ft}^2, v_C = -\frac{3110}{EI} \text{ kip} \cdot \text{ft}^3$$

$$12-50. \frac{dv}{dx} = \frac{1}{EI} [2.25x^2 - 0.5x^3 + 5.25(x-5)^2$$

$$+ 0.5(x-5)^3 - 3.125] \text{ kN} \cdot \text{m}^2,$$

$$v = \frac{1}{EI} [0.75x^3 - 0.125x^4 + 1.75(x-5)^3$$

$$+ 0.125(x-5)^4 - 3.125x] \text{ kN} \cdot \text{m}^3$$

$$12-51. \theta_C = -\frac{3937.5}{EI}, v_C = \frac{50625}{EI} \downarrow$$

$$12-53. v_B = \frac{7PL^3}{16EI} \downarrow$$

$$12-54. \theta_B = -\frac{Pa^2}{12EI}, v_C = \frac{Pa^3}{12EI}$$

$$12-55. v_{\max} = 12.2 \text{ mm}$$

$$12-57. v_{\max} = \frac{3PL^3}{256EI} \downarrow$$

$$12-58. v_C = -\frac{84}{EI}, \theta_A = \frac{8}{EI}, \theta_B = -\frac{16}{EI}, \theta_C = -\frac{40}{EI}$$

- 12-59. $v_{\max} = 8.16 \text{ mm} \downarrow$
 12-61. $a = 0.858L$
 12-62. $\theta_A = 0.0181 \text{ rad}, \theta_B = 0.00592 \text{ rad}$
 12-63. $\theta_B = -\frac{3M_0L}{2EI}, v_B = \frac{7M_0L^2}{8EI} \downarrow$
 12-65. $\theta_A = -\frac{5Pa^2}{2EI}, v_C = \frac{19Pa^3}{6EI} \downarrow$
 12-66. $v_C = \frac{PL^3}{12EI}, \theta_A = \frac{PL^2}{24EI}, \theta_B = -\frac{PL^2}{12EI}$
 12-67. $v_{\max} = \frac{0.00802PL^3}{EI}$
 12-69. $\theta_C = -\frac{5Pa^2}{2EI}, v_B = \frac{25Pa^3}{6EI} \downarrow$
 12-70. $\theta_A = -\frac{336 \text{ kip} \cdot \text{ft}^2}{EI}, v_{\max} = \frac{3048 \text{ kip} \cdot \text{ft}^3}{EI} \downarrow$
 12-71. $v_D = 4.98 \text{ mm} \downarrow$
 12-73. $a = 0.152L$
 12-74. $\theta_{\max} = \frac{5PL^2}{16EI}, v_{\max} = \frac{3PL^3}{16EI} \downarrow$
 12-75. $\theta_B = 0.00658 \text{ rad}, v_C = 13.8 \text{ mm} \downarrow$
 12-77. $a = 0.865L$
 12-78. $\theta_B = \frac{7wa^3}{12EI}, v_C = \frac{25wa^4}{48EI} \downarrow$
 12-79. $\theta_C = -\frac{a^2}{6EI}(12P + wa),$
 $v_C = \frac{a^3}{24EI}(64P + 7wa) \downarrow$
 12-81. $\theta_A = \frac{PL^2}{12EI}, v_D = \frac{PL^3}{8EI} \downarrow$
 12-82. $v_{\max} = \frac{3wa^4}{8EI}$
 12-83. $\theta_B = -0.00778 \text{ rad}, v_B = 0.981 \text{ in.} \downarrow$
 12-85. $v_C = 1.20 \text{ in.} \downarrow$
 12-86. $\theta_A = -0.822^\circ, \theta_B = 0.806^\circ$
 12-87. $v_C = 0.429 \text{ in.} \downarrow$
 12-89. $\theta_A = 0.00458 \text{ rad}, v_C = 0.187 \text{ in.} \downarrow$
 12-90. Use W16 \times 50.
 12-91. $(v_A)_v = 0.0737 \text{ in.}, (v_A)_k = 0.230 \text{ in.}$
 12-93. $v = PL^2 \left(\frac{1}{k} + \frac{L}{3EI} \right)$
 12-94. $v_A = \frac{72}{EI} \downarrow, \theta_A = \frac{36}{EI} \curvearrowright$
 12-95. $v_A = PL^3 \left(\frac{1}{12EI} + \frac{1}{8GJ} \right) \downarrow$
 12-97. $F = 0.349 \text{ N}, a = 0.800 \text{ mm}$
 12-98. $M_0 = \frac{Pa}{6}$

- 12-99. $A_x = B_x = 0, A_y = \frac{20}{27}P,$
 $M_A = \frac{4}{27}PL, B_y = \frac{7}{27}P, M_B = \frac{2}{27}PL$
 12-101. $A_x = 0, C_y = \frac{5}{16}P, B_y = \frac{11}{8}P, A_y = \frac{5}{16}P$
 12-102. $A_x = 0, B_y = \frac{5}{16}P, A_y = \frac{11}{16}P, M_A = \frac{3PL}{16}$
 12-103. $A_x = 0, B_y = \frac{3wL}{8}, A_y = \frac{5wL}{8}, M_A = \frac{wL^2}{8}$
 12-105. $A_x = 0, A_y = \frac{3M_0}{2L}, B_y = \frac{3M_0}{2L}, M_B = \frac{M_0}{2}$
 12-106. $A_x = 0, B_y = \frac{w_0L}{10}, A_y = \frac{2w_0L}{5}, M_A = \frac{w_0L^2}{15}$
 12-107. $B_x = 0, A_y = \frac{17wL}{24}, B_y = \frac{7wL}{24}, M_B = \frac{wL^2}{36}$
 12-109. $T_{AC} = \frac{3A_2E_2wL_1^4}{8(A_2E_2L_1^3 + 3E_1I_1L_2)}$
 12-110. $A_x = 0, F_C = 112 \text{ kN}, A_y = 34.0 \text{ kN},$
 $B_y = 34.0 \text{ kN}$
 12-111. $M_A = \frac{5wL^2}{192}, M_B = \frac{11wL^2}{192}$
 12-113. $A_y = 1.48 \text{ kip}, B_x = 0, B_y = 3.52 \text{ kip},$
 $M_B = 7.67 \text{ kip} \cdot \text{ft}$
 12-114. $B_y = \frac{2}{3}P, M_A = \frac{PL}{3}, A_y = \frac{4}{3}P, A_x = 0$
 12-115. $A_x = 0, B_y = \frac{M_0}{6a}, A_y = \frac{M_0}{6a}, M_A = \frac{M_0}{2}$
 12-117. $B_y = 550 \text{ N}, A_y = 125 \text{ N}, C_y = 125 \text{ N}$
 12-118. $A_x = 0, B_y = \frac{5wL}{4}, C_y = \frac{3wL}{8}$
 12-119. $B_y = \frac{5}{8}wL \uparrow, C_y = \frac{wL}{16} \downarrow, A_y = \frac{7}{16}wL \uparrow$
 12-121. $A_x = 0, B_y = 35.0 \text{ kip}, A_y = 15.0 \text{ kip},$
 $M_A = 40.0 \text{ kip} \cdot \text{ft}$
 12-122. $A_x = 0, B_y = \frac{7P}{4}, A_y = \frac{3P}{4}, M_A = \frac{PL}{4}$
 12-123. $A_x = 0, B_y = \frac{7wL}{128}, A_y = \frac{57wL}{128}, M_A = \frac{9wL^2}{128}$
 12-125. $M_A = M_B = \frac{1}{24}PL, A_y = B_y = \frac{1}{6}P,$
 $C_y = D_y = \frac{1}{3}P, D_x = 0$
 12-126. $T_{AC} = \frac{3wA_2E_2L_1^4}{8(3E_1I_1L_2 + A_2E_2L_1^3)}$
 12-127. $M = \frac{PL}{8} - \frac{2EI}{L}\alpha, \Delta_{\max} = \frac{PL^3}{192EI} + \frac{\alpha L}{4}$

$$12-129. a = L - \left(\frac{72\Delta EI}{w_0} \right)^{1/4}$$

$$12-130. F_{CD} = 7.48 \text{ kip}$$

$$12-131. M_{\max} = \frac{\pi^2 b t \gamma \omega^2 r^3}{108g}$$

$$R12-1. v = \frac{1}{EI} [-30x^3 + 46.25(x-12)^3 - 11.7(x-24)^3 + 38,700x - 412,560] \text{ lb} \cdot \text{in}^3$$

$$R12-2. v_1 = \frac{1}{EI}(4.44x_1^3 - 640x_1) \text{ lb} \cdot \text{in}^3,$$

$$v_2 = \frac{1}{EI}(-4.44x_2^3 + 640x_2) \text{ lb} \cdot \text{in}^3$$

$$R12-3. M_B = \frac{w_0 L^2}{30}, M_A = \frac{w_0 L^2}{20}$$

$$R12-5. (v_2)_{\max} = \frac{wL^4}{18\sqrt{3}EI}$$

$$R12-6. \theta_B = \frac{Pa^2}{4EI}, \Delta_C = \frac{Pa^3}{4EI} \uparrow$$

$$R12-7. B_y = 138 \text{ N} \uparrow, A_y = 81.3 \text{ N} \uparrow, C_y = 18.8 \text{ N} \downarrow$$

$$R12-9. \Delta_C = 0.644 \text{ in.} \downarrow$$

Chapter 13

$$13-1. P_{cr} = \frac{5kL}{4}$$

$$13-2. P_{cr} = kL$$

$$13-3. \text{Use } d = \frac{9}{16} \text{ in.}$$

$$13-5. P_{cr} = 1.84 \text{ MN}$$

$$13-6. P_{cr} = 902 \text{ kN}$$

$$13-7. \text{F.S.} = 1.87$$

$$13-9. P_{cr} = 1.30 \text{ MN}$$

$$13-10. P_{cr} = 325 \text{ kN}$$

$$13-11. P_{cr} = 20.4 \text{ kip}$$

$$13-13. P = 42.8 \text{ kN}$$

$$13-14. P_{cr} = 575 \text{ kip}$$

$$13-15. P_{cr} = 70.4 \text{ kip}$$

$$13-17. P_{cr} = 2.92 \text{ kip}$$

$$13-18. P_{cr} = 5.97 \text{ kip}$$

$$13-19. P = 17.6 \text{ kip}$$

$$13-21. \text{Use } d_i = 1\frac{1}{8} \text{ in.}$$

$$13-22. W = 4.31 \text{ kN}$$

$$13-23. W = 5.24 \text{ kN}, d = 1.64 \text{ m}$$

$$13-25. P = 62.3 \text{ kip}$$

$$13-26. P = 2.42 \text{ kip}$$

$$13-27. \text{Use } d_{AB} = 2\frac{1}{8} \text{ in.}, d_{BC} = 2\frac{1}{4} \text{ in.}$$

$$13-29. \text{Use } d_{AB} = 1\frac{1}{2} \text{ in.}, d_{BC} = 1\frac{3}{8} \text{ in.}$$

$$13-30. P = 129 \text{ lb}$$

$$13-31. w = 1.17 \text{ kN/m}$$

$$13-33. P = 14.8 \text{ kN}$$

$$13-34. \text{Use } d = 62 \text{ mm.}$$

$$13-35. \text{Use } d = 52 \text{ mm.}$$

$$13-37. P = 37.5 \text{ kip}$$

$$13-38. P = 5.79 \text{ kip}$$

$$13-39. \text{Use } d = 1\frac{3}{4} \text{ in.}$$

$$13-41. M_{\max} = -\frac{wEI}{P} \left[\sec \left(\frac{L}{2} \sqrt{\frac{P}{EI}} \right) - 1 \right]$$

$$13-42. M_{\max} = -\frac{F}{2} \sqrt{\frac{EI}{P}} \tan \left(\frac{L}{2} \sqrt{\frac{P}{EI}} \right)$$

$$13-43. P_{cr} = \frac{\pi^2 EI}{4L^2}$$

$$13-46. P = 31.4 \text{ kN}$$

$$13-47. v_{\max} = 0.387 \text{ in.}$$

$$13-49. P_{\text{allow}} = 7.89 \text{ kN}$$

$$13-50. E_t = 14.6(10^3) \text{ ksi}$$

$$13-51. L = 8.34 \text{ m}$$

$$13-53. P = 65.8 \text{ kip}$$

$$13-54. P = 45.7 \text{ kip}$$

$$13-55. \text{Yes}$$

$$13-57. P_{\max} = 61.2 \text{ kip}$$

$$13-58. L = 21.2 \text{ ft}$$

$$13-59. P_{\max} = 16.9 \text{ kN}$$

$$13-61. L = 1.71 \text{ m}$$

$$13-62. P = 174 \text{ kN}, v_{\max} = 16.5 \text{ mm}$$

$$13-63. P = 129 \text{ kip}$$

$$13-65. P_{cr} = 83.5 \text{ kN}$$

$$13-66. L = 2.53 \text{ m}$$

$$13-67. d = 98.3 \text{ mm}$$

$$13-69. P = 88.5 \text{ kip}$$

$$13-70. P_{cr} = 1.32(10^3) \text{ kN}$$

$$13-71. P_{cr} = 5.29(10^3) \text{ kN}$$

$$13-73. \text{For } 49.7 < KL/r < 99.3,$$

$$P/A = 200 \text{ MPa}$$

$$13-74. \text{For } 49.7 < L/r < 99.3,$$

$$P/A = 25 \text{ ksi}$$

$$13-75. P_{cr} = 661 \text{ kN}$$

$$13-77. P_{cr} = 1.35(10^3)$$

$$13-78. L = 8.99 \text{ ft}$$

$$13-79. \text{Use } W6 \times 9.$$

$$13-81. L = 20.3 \text{ ft}$$

$$13-82. \text{Use } W6 \times 12.$$

$$13-83. L = 18.0 \text{ ft}$$

$$13-85. L = 33.7 \text{ ft}$$

$$13-86. \text{Use } W6 \times 9.$$

$$13-87. d = 1.42 \text{ in.}$$

$$13-89. \text{Yes}$$

- 13-90. Yes
 13-91. $b = 0.704$ in.
 13-93. $L = 1.92$ ft
 13-94. $L = 3.84$ ft
 13-95. $P_{\text{allow}} = 380$ kip
 13-97. $P_{\text{allow}} = 129$ kip
 13-98. $P_{\text{allow}} = 143$ kip
 13-99. $P_{\text{allow}} = 109$ kip
 13-101. $P_{\text{allow}} = 8.61$ kip
 13-102. $L = 8.89$ ft
 13-103. Use $a = 7\frac{1}{2}$ in.
 13-105. $P_{\text{allow}} = 8.68$ kip
 13-106. $P_{\text{allow}} = 27.7$ kip
 13-107. $P = 8.83$ kip
 13-109. $P = 18.4$ kip
 13-110. $P = 5.93$ kip
 13-111. $P = 32.7$ kip
 13-113. $P = 0.967$ kip
 13-114. $P = 0.554$ kip
 13-115. The column is not adequate.
 13-117. $P = 33.1$ kip
 13-118. $P = 57.7$ kip
 13-119. $P = 2.79$ kip
 13-121. $P = 98.0$ kip
 13-122. $P = 132$ kip
 13-123. No
 13-125. Yes
 13-126. $P = 1.69$ kip
 13-127. $P = 3.44$ kip
 R13-1. $P = 5.76$ kip
 R13-2. $P = 9.01$ kip
 R13-3. $P_{\text{cr}} = 12.1$ kN
 R13-5. $P = 12.5$ kip
 R13-6. Use $d = 2\frac{1}{8}$ in.
 R13-7. $t = 5.92$ mm
 R13-9. $P_{\text{allow}} = 77.2$ kN
 R13-10. It does not buckle or yield.

Chapter 14

$$14-1. \frac{U_i}{V} = \frac{1}{2E}(\sigma_x^2 + \sigma_y^2 - 2\nu\sigma_x\sigma_y) + \frac{\tau_{xy}^2}{2G}$$

$$14-3. a = \sqrt{\frac{\pi}{2}} r$$

$$14-5. (a) U_a = \frac{N^2 L_1}{2AE}, (b) U_b = \frac{N^2 L_2}{2AE}$$

Since $U_b > U_a$, i.e., $L_2 > L_1$, the design for case (b) is better able to absorb energy.

$$14-6. U_i = 43.2 \text{ J}$$

$$14-7. P = 375 \text{ kN}, U_i = 1.69 \text{ kJ}$$

$$14-9. U_i = 149 \text{ J}$$

$$14-10. U_i = 0.0638 \text{ J}$$

$$14-11. U_i = 64.4 \text{ J}$$

$$14-13. P = 113 \text{ kip}, U_i = 7.37 \text{ in.} \cdot \text{kip}$$

$$14-15. U_i = 0.125 \text{ ft} \cdot \text{kip}$$

$$14-17. U_i = \frac{17w_0^2 L^5}{10080 EI}$$

$$14-18. (U_i)_{\text{sp}} = 1.00 \text{ J}, (U_i)_b = 0.400 \text{ J}$$

$$14-19. U_i = 3.24 \text{ in.} \cdot \text{lb}$$

$$14-21. U_i = \frac{w_0^2 L^5}{504 EI}$$

$$14-22. (U_i)_b = 0.477 (10^{-3}) \text{ J}, (U_i)_t = 0.0171 \text{ J}$$

$$14-23. U_i = \frac{w^2 L^5}{40 EI}$$

$$14-25. (\Delta_D)_v = \frac{3.50PL}{AE}$$

$$14-26. (\Delta_C)_h = \frac{3PL}{2AE}$$

$$14-27. (\Delta_A)_h = 0.0710 \text{ in.}$$

$$14-29. (\Delta_C)_v = 13.3 \text{ mm}$$

$$14-30. \Delta_B = 3.46 \text{ mm}$$

$$14-31. \Delta_B = 11.7 \text{ mm}$$

$$14-33. \Delta_B = 0.100 \text{ mm}$$

$$14-34. \Delta_E = 5.46 \text{ in.}$$

$$14-35. \theta_A = \frac{M_0 L}{3EI}$$

$$14-37. \Delta_A = \frac{3\pi Pr^3}{2EI}$$

$$14-38. \Delta_A = \frac{\pi Pr^3}{2EI}$$

$$14-39. \Delta_B = 1.82 \text{ in.}$$

$$14-41. \Delta_B = 15.2 \text{ mm}$$

$$14-42. (a) U_i = 4.52 \text{ kJ}, (b) U_i = 3.31 \text{ kJ}$$

$$14-43. d = 5.35 \text{ in.}$$

$$14-45. (a) \sigma_{\text{max}} = 45.4 \text{ ksi}, (b) \sigma_{\text{max}} = 509 \text{ psi}, (c) \sigma_{\text{max}} = 254 \text{ psi}$$

$$14-46. h = 1.75 \text{ ft}$$

$$14-47. \sigma_{\text{max}} = 20.3 \text{ ksi}$$

$$14-49. L = 850 \text{ mm}$$

$$14-50. \text{Yes}$$

$$14-51. h = 5.29 \text{ mm}$$

$$14-53. \sigma_{\text{max}} = 307 \text{ MPa}$$

$$14-54. h = 95.6 \text{ mm}$$

$$14-55. \text{Use } d = 2\frac{1}{8} \text{ in.}$$

$$14-57. \text{Yes, from any position}$$

$$14-58. (\Delta_A)_{\text{max}} = 15.4 \text{ in.}$$

$$14-59. \sigma_{\text{max}} = 6.20 \text{ ksi}$$

$$14-61. n = 19.7$$

$$14-62. h = 4.20 \text{ ft}$$

$$14-63. \sigma_{\text{max}} = 35.2 \text{ ksi}$$

14-65. $\Delta_B = 0.247 \text{ in.}, \sigma_{\max} = 2.34 \text{ ksi}$

14-66. $\sigma_{\max} = 137 \text{ MPa}$

14-67. $h = 8.66 \text{ m}$

14-69. $h = 7.45 \text{ in.}$

14-70. $(\Delta_B)_{\max} = 0.661 \text{ in.}$

14-71. $\Delta_{\max} = 23.3 \text{ mm}, \sigma_{\max} = 4.89 \text{ MPa}$

14-73. $(\Delta_B)_h = 0.223(10^{-3}) \text{ in.} \leftarrow$

14-74. $(\Delta_B)_v = 0.00112 \text{ in.} \downarrow$

14-75. $(\Delta_B)_v = 0.0132 \text{ in.} \downarrow$

14-77. $(\Delta_B)_h = 0.699(10^{-3}) \text{ in.} \rightarrow$

14-78. $(\Delta_B)_v = 0.0931(10^{-3}) \text{ in.} \downarrow$

14-79. $(\Delta_B)_h = 0.367 \text{ mm} \leftarrow$

14-81. $(\Delta_C)_h = 0.234 \text{ mm} \leftarrow$

14-82. $(\Delta_D)_v = 1.16 \text{ mm} \downarrow$

14-83. $(\Delta_A)_v = 3.18 \text{ mm} \downarrow$

14-85. $(\Delta_D)_h = 4.12 \text{ mm} \rightarrow$

14-86. $(\Delta_E)_h = 0.889 \text{ mm} \rightarrow$

14-87. $\Delta_C = \frac{23Pa^3}{24EI}$

14-89. $\Delta_C = \frac{2Pa^3}{3EI}$

14-90. $\theta_C = \frac{5Pa^2}{6EI}$

14-91. $\theta_A = \frac{Pa^2}{6EI}$

14-93. $\theta_B = -0.353^\circ$

14-94. $\theta_C = 0.337^\circ$

14-95. $\Delta_B = 47.8 \text{ mm} \downarrow$

14-97. $\theta_A = 0.289^\circ$

14-98. $\theta_B = 0.124^\circ$

14-99. $\Delta_C = \frac{PL^3}{8EI} \downarrow$

14-101. $\theta_C = \frac{13wL^3}{576EI}$

14-102. $\Delta_D = \frac{wL^4}{96EI} \downarrow$

14-103. $\theta_A = -1.28^\circ$

14-105. $\Delta_C = \frac{PL^3}{48EI} \downarrow, \theta_B = \frac{PL^2}{16EI}$

14-106. $\Delta_C = 0.122 \text{ in.} \downarrow$

14-107. $\theta_A = 0.232^\circ$

14-109. $\theta_C = -1.14^\circ$

14-110. $\Delta_D = 0.219 \text{ in.} \uparrow$

14-111. $\Delta_{\text{tot}} = \left(\frac{w}{G}\right)\left(\frac{L}{a}\right)^2 \left[\left(\frac{5}{96}\right)\left(\frac{L}{a}\right)^2 + \frac{3}{20} \right],$

$$\Delta_b = \frac{5w}{96G} \left(\frac{L}{a}\right)^4$$

14-113. $\theta_A = \frac{5w_0L^3}{192EI}$

14-114. $(\Delta_C)_h = \frac{640\,000 \text{ lb} \cdot \text{ft}^3}{EI} \leftarrow,$

$$(\Delta_C)_v = \frac{1\,228\,800 \text{ lb} \cdot \text{ft}^3}{EI} \downarrow$$

14-115. $\Delta_B = 43.5 \text{ mm} \downarrow$

14-117. $\Delta_C = 17.9 \text{ mm} \downarrow$

14-118. $\theta_A = -0.0568^\circ$

14-119. $(\Delta_C)_h = \frac{5wL^4}{8EI} \rightarrow$

14-121. $(\Delta_B)_v = \frac{Pr^3}{4\pi EI} (\pi^2 - 8) \downarrow$

14-122. $(\Delta_A)_h = \frac{\pi Pr^3}{2EI} \leftarrow$

14-123. $(\Delta_B)_h = 0.223(10^{-3}) \text{ in.} \leftarrow$

14-125. $(\Delta_B)_v = 0.0132 \text{ in.} \downarrow$

14-126. $(\Delta_E)_v = 0.0149 \text{ in.} \downarrow$

14-127. $(\Delta_B)_h = 0.699(10^{-3}) \text{ in.} \rightarrow$

14-129. $(\Delta_C)_h = 0.234 \text{ mm} \leftarrow$

14-130. $(\Delta_C)_v = 0.0375 \text{ mm} \downarrow$

14-131. $(\Delta_D)_h = 4.12 \text{ mm} \rightarrow$

14-133. $\theta_C = \frac{5Pa^2}{6EI}$

14-134. $\theta_A = \frac{Pa^2}{6EI}$

14-135. $\Delta_C = 0.369 \text{ in.}$

14-137. $\Delta_B = 47.8 \text{ mm}$

14-138. $\Delta_D = 3.24 \text{ mm}$

14-139. $\theta_A = 0.289^\circ$

14-141. $\theta_A = \frac{wL^3}{24EI}$

14-142. $\Delta_C = \frac{5wL^4}{8EI}$

14-143. $\Delta_B = \frac{wL^4}{4EI}$

14-145. $\theta_B = \frac{wL^3}{8EI}$

R14-1. $U_i = 496 \text{ J}$

R14-2. $\sigma_{\max} = 116 \text{ MPa}$

R14-3. $h = 10.3 \text{ m}$

R14-5. $\sigma_{\max} = 43.6 \text{ ksi}$

R14-6. $U_i = 45.5 \text{ ft} \cdot \text{lb}$

R14-7. $(\Delta_C)_v = 0.114 \text{ in.} \downarrow$

R14-9. $\theta_B = \frac{M_0L}{EI}$

R14-10. $\theta_B = \frac{M_0L}{EI}$

R14-11. $\theta_C = -\frac{2wa^3}{3EI}, \Delta_C = \frac{5wa^4}{8EI} \downarrow$

د انجینرۍ موادو اوسط میخانیکي مشخصات

Average Mechanical Properties of Typical Engineering Materials^a
(SI Units)

Materials	Density ρ (Mg/m ³)	Modulus of Elasticity E (GPa)	Modulus of Rigidity G (GPa)	Yield Strength (MPa)		Ultimate Strength (MPa)		% Elongation in 50 mm specimen	Poisson's Ratio ν	Coef. of Therm. Expansion α (10 ⁻⁶)/°C
				Tens. σ_y	Comp. ^b Shear	Tens. σ_u	Comp. ^b Shear			
Metallic Aluminum Wrought Alloys [2014-T6 6061-T6]	2.79	73.1	27	41.4	41.4	46.9	46.9	10	0.35	23
	2.71	68.9	26	25.5	25.5	290	290	1.2	0.35	24
Cast Iron Alloys [Gray ASTM 20 Malleable ASTM A-87]	7.19	6.70	27	-	-	179	669	0.6	0.28	12
	7.28	172	68	-	-	276	572	5	0.28	12
Copper Alloys [Red Brass C83400 Bronze C86100]	8.74	101	37	70.0	70.0	241	241	35	0.35	18
	8.83	103	38	34.5	34.5	655	655	20	0.34	17
Magnesium Alloy [Am 1004-T61]	1.83	44.7	18	152	152	276	276	1	0.30	26
	7.85	200	75	250	250	400	400	30	0.32	12
Steel Alloys [Structural A-36 Structural A-992 Stainless 304 Tool L2]	7.85	200	75	34.5	34.5	450	450	30	0.32	12
	7.86	193	75	20.7	20.7	517	517	40	0.27	17
	8.16	200	75	70.3	70.3	800	800	22	0.32	12
Titanium Alloy [Ti-6Al-4V]	4.43	1.20	44	924	924	1,000	1,000	16	0.36	9.4
Nonmetallic Concrete [Low Strength High Strength]	2.38	22.1	-	-	-	-	-	-	0.15	11
	2.37	29.0	-	-	-	-	-	-	0.15	11
Plastic Reinforced [Kevlar 49 30% Glass]	1.45	131	-	-	-	717	483	2.8	0.34	-
	1.45	724	-	-	-	90	131	-	0.34	-
Wood Select Structural [Douglas Fir White Spruce Grade]	0.47	13.1	-	-	-	2.1 ^c	2.6 ^d	-	0.29 ^e	-
	0.36	9.65	-	-	-	2.5 ^e	3.6 ^d	-	0.31 ^e	-

^a Specific values may vary for a particular material due to alloy or mineral composition, mechanical working of the specimen, or heat treatment. For a more exact value reference books for the material should be consulted.

^b The yield and ultimate strengths for ductile materials can be assumed equal for both tension and compression.

^c Measured perpendicular to the grain.

^d Measured parallel to the grain.

^e Deformation measured perpendicular to the grain when the load is applied along the grain.

د انجینری موادو اوسط میخانیکي مشخصات

Average Mechanical Properties of Typical Engineering Materials^a
(U.S. Customary Units)

Materials	Specific Weight (lb/in ³)	Modulus of Elasticity <i>E</i> (10 ³) ksi	Modulus of Rigidity <i>G</i> (10 ³) ksi	Yield Strength (<i>σ_y</i>) (ksi)		Ultimate Strength (<i>σ_u</i>) (ksi)		% Elongation in 2 in. specimen	Poisson's Ratio <i>ν</i>	Coef. of Therm. Expansion <i>α</i> (10 ⁻⁶)/°F
				Tens.	Comp. ^b	Tens.	Comp. ^b			
Metallic										
Aluminum Wrought Alloys [2014-T6 6061-T6]	0.101 0.098	10.6 10.0	3.9 3.7	60 37	25 19	68 42	42 27	10 12	0.35 0.35	128 13.1
Cast Iron Gray ASTM 20 Alloys [Malleable ASTM A-19]	0.260 0.265	11.0 25.0	3.9 9.8	- -	- -	26 40	96 83	0.6 5	0.28 0.28	6.70 6.60
Copper [Red Brass C83400 Alloys [Bronze C86100]]	0.316 0.319	14.6 15.0	5.4 5.6	11.4 50	- -	35 35	- -	35 20	0.35 0.34	9.90 9.60
Magnesium Alloy [AM 1004-T61]	0.066	6.48	2.5	22	22	40	40	1	0.30	14.3
Steel Alloys [Structural A-36 Structural A992 Stainless 304 Tool L2]	0.284 0.284 0.284 0.295	29.0 29.0 28.0 29.0	11.0 11.0 11.0 11.0	36 50 30 102	36 50 30 102	58 65 75 116	- - - -	30 30 40 22	0.32 0.32 0.27 0.32	6.60 6.60 9.60 6.90
Titanium Alloy [Ti-6Al-4V]	0.160	17.4	6.4	134	134	145	145	16	0.36	5.20
Nonmetallic										
Concrete [Low Strength High Strength]	0.086 0.086	3.20 4.20	- -	- -	1.8 5.5	- -	- -	- -	0.15 0.15	6.0 6.0
Plastic [Kevlar 49 Reinforced 30% Glass]	0.0524 0.0524	19.0 10.5	- -	- -	- -	104 13	70 19	2.8 -	0.34 0.34	- -
Wood Select Structural Grade [Douglas Fir White Spruce]	0.017 0.013	1.90 1.40	- -	- -	- -	0.30 ^c 0.36 ^c	3,780 ^d 5,180 ^d	- -	0.29 ^e 0.31 ^e	- -

^a Specific values may vary for a particular material due to alloy or mineral composition, mechanical working of the specimen, or heat treatment. For a more exact value reference books for the material should be consulted.

^b The yield and ultimate strengths for ductile materials can be assumed equal for both tension and compression.

^c Measured perpendicular to the grain.

^d Measured parallel to the grain.

^e Deformation measured perpendicular to the grain when the load is applied along the grain.



د ژباورنکی (حفیظ الله وردګ) لنډه پیژندنه نوم او کورنۍ:

نوم مي حفیظ الله وردګ د حاجي بسم الله خان زوی او د وکیل محمد زرین خان (د امیر امان الله خان د سلطنت په وخت کې د وردګو وکیل) لمسي ، د جغتو د محمد قولې په کلی کې زیږدلي يم. الحمدلله دوی لوراني او دوه زامن او لس لمسیان خدای راکړي.

علمی زدکړي:

لمړني زدکړي: لمړني زدکړي مي د غازی محمد جانخان د وردګو په جغتوکی اود قاری عبدالله خان نوآباد ده افغانان کابل کې تر سره کړي.

لیسه: د لیسې دوره مي د حبیبی په عالی لیسې په کابل کې تر سره کړي. د حبیبی لیسې له لسم ټولګی نه امریکا ته د (American Field Service) سکالرشپ په اخیستلو سره د یوه کال زدکړو لپاره ولاړم، او هلته می یو کال لپاره په من هایم ټونشپ لیسې (Manheim Township High School) کې چی په لنکستر پنسلوانیا (Lancaster Pennsylvania) کې ده زده کړه درلوده. یو کال وروسته بیرته کابل ته ستون شوم او یولسم او دولسم ټولګی می دی حبیبی په عالی لیسې کې پای ته ورساوه. د لیسې دوری په وخت کې ما د کابل ټایمز (Kabul times) ، د انیس ورځپاڼې او کابل رادیو سره د راپورتر په توګه همکاري کوله. له کابل ټایمز نه می د لیکلو یوه جایزه هم تر لاس کړه.

لوري زدکړي: د پوهنتون کانکور له لاري د کابل پوهنتون (Kabul University) د انجینری پوهنځی ته شامل شوم. په دوهم صنف کې د ایست ویست سنتر (East West Center) سکالرشپ په اخیستلو د امریکا هاوایی پوهنتون (University of Hawaii) ته ولاړم او لیسانس مي په سیول انجینری کې هلته واخیست او بیا د کیس وسترن ریزرو یونیورسټی (Case Western Reserve University) چی په کلیولند اوها یو (Cleveland Ohio) د امریکا ولایت کې ده د ما ستری شهادت نامه په سټرکچر انجینری کې تر لاسه کړه .

د روسانو له یرغل وروسته امریکا ته مهاجر شوم د الاباما یونیورسټی (University of Alabama, Huntsville) چی په هنتسویل د امریکا کې ده د ډاکټری (PhD) ټول مضامین تکمیل کړل او دیسرتیشن می د کورنی مصروفیت او د اولادونودی زدکړي لازمی پاملرنی د ضرورت له کبله تکمیل نشوای کړی. د دیسرتیشن تکمیلولو لپاره باید یوتر دوکلونو ما باید کار پریښوی اما تصمیم پر دی شو چی د یوه وخت لپاره پوهنتون پریږدم او کار ته ادامه ورکړم.

کاري مصروفیتونه او علمي تجربې:

کله چې وروسته له ماستری اخیستلو له امریکا بیرته کابل ته ستون شوم م کاري تجربه می پدی لاندی ډول شروع شوه:

افغاني ساختماني دستگاه: د فواید عامی وزارت په چوکاټ کی دا لویه او مهمه ساختمانی دستگاه وه. کله چې کابل ته ستون شوم هلته می د انجینر په توګه کار شروع کا او پدی کار کی د څو میاشتو د پاره پاتی شوم.

د کابل پوهنتون د انجینري پوهنځي: وروسته له څو میاشتو په افغاني ساختمانی دستگاه کی د کابل پوهنتون د انجینري پوهنځي د سیول انجینري ډیپارټمنټ کی د استاد په حیث ومنل شوم. شپږ کاله هلته په تدریس او ریسرچ مصروف وم تر څو اتحاد جاهر شوروي په افغانستان یرغل وکړ. پدی وخت کی زما علمی رتبه پوهنمل وه.

د شوروي له یرغل وروسته هندوستان ته لاړم، دری میاشتی په نوی ډیلی کی پاتی شوم، او له هغه ځایه په جنوري د ۱۹۸۱ کی امریکا ته راغلم. د کالورادو پوهنتون په بولدر او د واشنگتن یونیورسټی په سنټلویس میزوري کی د دکتورا اخیستلو لپاره کله چې په هندوستان کی وم شمولیت او اسیستنشیپ رالږلي وه. کله چې له هندوستان نه امریکا ته را ورسیدم د پوهنتونو د شروع کیدو وخت تیر شوی وا او مجبور شوم چی کار وکړم.

پایل ډینامیک او ډیلونو انجیری کمپني: څو میاشتو لپاره می له یوی کمپني سره چی په اوهایو کی د پلونو او پایل ډینامیکس (Pile Dynamics) په نامه یادیده د انجینر په توګه کار وکا.

سا رجنت لنډی د اتومی انرژي انجینری کمپني: په شیکاګو ایلینویز ایالت کی له سارجنت لنډی چی د اتومی انرژي د انجینري یوه مشهوره کمپنی ده دسترکچر متخصص (structural Specialist) په حیث شپږ کاله د دی کمپنی سره د سترکچرل انجینر په حیث کار وکا.

یونایتید تیکنالوجي کمپني: وروسته له 6 کلونو په شیکاګو کی د دو کلونو لپاره د یونایتید تیکنالوجي سره په هنتسول الاباما کی چی د هوایي راکتونو، د جیت الوتکو اینجین جوړه ولو او فضاي راکیتونو یو لویه کمپنی ده په حیث د سترکچر انجینر کار وکړ.

بوینگ کمپنی: د یونایتید تکنالوجی د کمپنی دکار ورسته د بوینگ له کمپنی سره کار پیل کړ. بوینگ د الوتکو جوړه ولو او هوایي بیړیو د دنیا لویه او مشهوره کمپني ده. زه تر دیرش (30 years) کاله د سترکچرانجینری په برخه کی د یوه عالی مقام (تیکنیکل فیلو) انجینر په توګه کار وکړ او تصمیم می ونیو چی په ۲۰۱۹ کال کی رسمی کار بس کړم. په بوینگ کی اول لس کاله د فضاي هدی (International Space Station) د ناسا (NASA) مربوطه (په فضا کی د ژوندکولو او علمي تحقیقاتو بیړي چی بین الملی فضا یي ستیشن نومیري) د مشر سترکچر انجینر په حیث مصروف د کار وم. پدی وخت کی وروسته له رسمي کاره د دکتورا لپاره په یونیورسټی الباما

هنتسویل کی درس شروع کړ. شل کاله نورمی په بوینگ کی د ډول ډول موډلونو د نویو الوتکو په انجینری کارونو د عالی رتبی انجینر (تیکنیکل فیلو) په صفت په بوینگ کی کار وکړ. د بوینگ سره یوه اختراع هم لرم او دا اختراع د امریکا د پتنت په اداره کی رسمی ثبت شوي. د انجینری مسؤلیت او کار برسیره ما پنځه ویشته (25) کاله په بوینگ کمپنی کی نورو انجینرانو ته د سترکچر په رشته کی وروسته له رسمی کاره تدریس هم وکړ.

په دی 40 کاله کاري مصروفیتونو په امریکا کی، زیات شمیر تخنیکي لیکنی درلودلی او هم زیات شمیر کاري جایزی، ستایني، او پیرندني له یونایتید تیکنالوجی، ناسا (NASA)، او له بوینگ ماته راکړل شوي. په کال 2022 کی د انجینری په مسلک کی د رهبری او لاسته راوړنو پر بنسټ د نری د انجینرانو په لست کی (Who's Who Worldwide) د انجینر په توگه پیژندل شوي دي.

له کومه وخته چی رسمی کار می بس کړی، یو کتاب د جوربستونو تحلیل په نامه په پښتو ژبه په دری ټوکونوکی ولیکه او هغه اوس په افغانستان کی په پوهنتونو کی تدریسی کتاب دی. په دی کتاب کی محترم ډاکتر بها د انجینری پوهنځی پخوانی رییس هم شریک دی. او هیله ده چی دا دوهم کتاب (د انجینری میخانیک) په نامه هم د زده کونکیو او راتلونکیو افغانی انجینرانو د پاره گټور تمام شی.



د ژباړونکی (زرجان بها) لنډه پېژندنه

(دا معلومات د اکتوبر په ۲۹ کال ۲۰۲۳ تیار شوي)

نوم او کورنی:

زما نوم زرجان دی او کله می چی پوهنتون شروع کاوا (۱۹۵۸) د تعلیم او تربیې مودیر راته وویل چی بنایې چی د کورنی نوم هم ولرم نو د پلار د نامه لمړنی برخه می په همغه ساعت کی د کورنی د نامه د پاره وټاکله او د هغو راهیسی می نوم **زرجان بها** دی. د پلار نوم می **بهاول خان** او د مور نوم می **کجه** دی. د یوسفخیلو په کلی کی چی دوردگو د سید اباد په ولسوالی کی دی زیږیدلی یم. زموږ په کلی کی چی کابو سل کوره وا یوازی زما پلار وا چی لوستل او لیکل یی کولی شوی. زما تره اغاجان خان د ولس ملک وا او د لیکل شویو اړین سندونو برابرول یی زما د پلار په غاړه وو. دواړه وروڼه د یوی کورنی په توگه یو خای اوسیدل.

زما د اوو یشپیتو کالو د ژوند شریکه **فاطمه** اودری اولاده لرم چی دوه یی د طب ډاکتران او یو یی انجینر دی. دری سره د ژوند د شریکانو او اولادو سره په خپلو کورو کنبی د امریکا په مختلیفو بڼه رو کی ژوند کوی. همدارنگه لس لمسیان لرم چی اوو یی پوهنتونونه خلاص کړی، کار کوی او یا لوری تخصصی زده کړی کوی، دوه یی په پوهنتون کی او یو یی په متوسطه بنونخی کی دی. زه به د خپل خان په هکله به لاندی کرښوکی په لنډیزه توگه شننه وکړم.

رسمی زده کړی:

لمړنی بنونخی دوره (د ۱ نه تر ۶ ټولگی): لمړنی زد کړی می د وردگو د تکیی به بنونخی کی بشپړی کړی او لدی کبله چی د شپږم ټولگینه د اول نمره په توگه فارغ شوم د پوهنی د وزارت د تعامل له مخی ددی مستحق شوم چی کابل ته د نورو زده کړو د پاره په کوم لیله بنونخی کی شامل شم.

د لیسی دوره (۷ نه تر ۱۲ ټولگی): د لیسی دوره می د کابل په دارالمعلمین کی تر سره کړه. د کابل دارالمعلمین دوی برخی درلودی چی یوی مسلکی برخه وه چی د نهم ټولگی فارغان دبنونکیو په توگه دافغانستان په شپږکلنه بنونخیو کی د بنونکیو په توگه وظیفه قبلوله چی زموږ په وخت کی مسلکی برخه یولسم ټولگی ته لوړه شوه، بله برخه یی متوسطه وه چی شپږ کاله وه او فارغانو یی کړی شوی د کابل په لیسو کی دبنونکی په توگه کار وکا او یا به د پوهنتون د ادبیاتو او ساینس پوهنخیوته تلل چی د کابل په لیسو کی د ساینس او یا اجتماعیاتو بنونکی شی. زه اول مسلکی برخی ته معرفی شوی وم او بیا می دمکتب د مودیر نه وغوښتل چی متوسطی ته بدل شم چی زما غوښتنه یی قبوله کړه. د یادولو وړده چی په هغه وخت کی تر کابل پرته په ټول افغانستان کی یوازی تر

شپږم ټولگي پوري زده کړي وي. زموږ ټولگي ته د افغانستان د ټولو ولايتو نه اول نمره گان راغلي وو.

کله چې زه په يولسم ټولگي کې وم د زراعت معين د يو شمير نورو غړيو سره زموږ مکتب ته راغی او غوښتل یې چې ځنی زدکونکی د زراعت د تحصیل د پارترکيې ته انتخاب کړی. عبدالصمد خان چې زموږ د کميا معلم او هم د ليسي معاون و زه یې اول ورته معرفي کړم چې زه د ټولگي اول نمره او کپتان هم وم. دري نور زموږ د ټولگي نه پدی ډله کې گډ شول. زه دی سکالر شیب ته پیر نه وم خوشحاله او د دی اند پینه را سره وه چې که پدی سکالر شیب کې کومه ستونځه پیداشی زما تحصیل به نیمگري پاتی شی. بڼه داشوه چې زموږ د دی نه د یوه ملگري پچه ختلی وه. پدی توگه نوموړی به اول د عسکري دوره تیره وله او بیا به یې د دی سکالر شیب نه گټه اخلسنله او پدی توگه د دی سکالر شیب نه پښیمانه شو. ماته هم لاره جوړه شوه چې زه هم تر دی سکالر شیب نه تیر شم. زموږ د ټولگي نه ځنی نورکاند یدان دنوموړی سکالر شیب دپاره پیداشول چې رښتیا یې تحصیل نیمگري شو.

د لوړو زدکړو دوره:

په افغانستان کې:

زموږ په وخت کې د پوهنتون د پاره کانکور نه و او زموږ نه یې یو امتحان واخیست چې دا امتحان د کانکور د جوړولو د پاره آزما یښتی امتحان و. ماته وویل شول چې د کابل په ټولو لیسو کې زما نمری دریمه درجه وي. اول او دوهم نمره گان د استقلال او نجات له ښونځیو نه وو. دی ازموینی زموږ د پوهنځیو په خوښید و کې هیڅ اغیزه نه درلودله. لکه چې پخوا می وویل چې زموږ د مکتب نه یوازی د ادبیاتو او ساینس پوهنځیو ته فارغان تللی شوی او زما دپاره یو طلايي چانس پیدا شو چې دانجینری پوهنځی ته شامل شم. د پوهنځی نه دوهم نمره فارغ شوم او پوهنځی موږ دواړه، اول نمره او دوهم نمره، د استادانو په توگه ومنلو چې په هغه وخت کې د یوه فارغ دپاره تر نورو ټولو ځایونه ښه انتخاب و. په پوهنځی کې می د ۱۹۶۲ کال د جنوری نه د ۱۹۶۳ کال تر سپتمبره پوری د استاد په توگه ډنډه درلوده او په سپتمبر کې د نورو لوړو زدکړو له پاره امریکاته ولاړم.

د پوهنځی په دوره کې ما د ملگريو میلتو د (Food and Agriculture Organization, FAO) په دفتر کې د ډرافتمین په توگه کار کا. دا کار ماته د عبدال محبوب خان په مرسته پیدا شوی و. نوموړی د امریکا د وایومینگ پوهنتون نه لیسانس او د دیوس پوهنتون نه یې ما ستری اخستی وه. پیر وخت یې د هلمند په پورژه کې کار وکا او په آخر وختو کې د پروان د ابیاری د پروژې د امر او بیا د کود او برق د فابریکی چې په شبرغان ن کې وه دریس په توگه ډنډه درلوده. د FAO د دفتر مشر د کرهني د وزارت په موافقه د ما دپاره یو بورس جوړ کا چې په امریکا کې د ابیاری په انجینری کې ما ستری واخلم.

کله چې زه د پوهنځي نه فارغ شوم له یوا خوا د FAO سکالرشپ و او له بلې خوا د پوهنځي له خوا د استاد په توګه کار راته پیدا شو. رښتیا هم چې دا یوه سخته فیصله وه چې زه کوم انتخاب کړم. په پای کې می د خپل ژوند د پرنسپل په اساس بی د چا د مشورې نه د پوهنتون کار انتخاب کا او پدی فیصله تر اوسه پوری خوشحاله یم.

په امریکا کې:

د ماستري د پاره: زه چې امریکاته راغلم اول د واشنگتن پوهنتون چې په سنټلویس کې دی ولاړم تر څو زما د یوه همکار، Walter Pilkey، چې زموږ په پوهنځي کې یی درس ورکاوا، په سپارښتنه د ده د یوه ملګري پرو فیسر تر لاس لاندې خپله ماستري هلته واخلم. پدی پوهنتون کې یو لړ داخلی ستونځي پیدا شوی وی چې ډیر پروفیسران، د ما د انتخاب شوی پروفیسر په ګډون، نورو پوهنتونو ته ولاړل او ما هم پس له دوو سمسترو چې زیاتره می د ایسانس دوری مضمونونه نیولی وو د پورډو پوهنتون ته چې زموږ د پوهنځي سره یی د نورو لسو امریکا پوهنتونو تر څنګ مرسته کوله انتخاب او د (۱۹۶۴) کال په پسرلی کې ځان بدل کا. د ۱۹۶۶ په جنوری کې می دسیول انجینیریه ساحه کې ماستري واخستله. د فراغت نه ورسته افغانستان ته ولاړم او په پوهنځي کې می خپل کار ته دوام ورکا.

کله چې د پورډو په پوهنتون کې وم د (۱۹۶۵) کال په اوږی کې شیکاګو ته د عملی کار زده کولو د پاره ولاړم او هلته می د شپي له خوا د پریسترس کانکریت یوکورس په ایلونیا انستیتیوت اف تکنالوجی (IIT) کې واخیست چې ډیر په زړه پوری یوه پروفیسر درس راکاوا.

د ډاکتری د پاره: د ۱۹۶۹ کال په جنوری کې د نارت کرلینا ستیت پوهنتون ته چې په رالی کې دی د ډاکتری د تحصیل د پاره ولاړم او د ۱۹۷۳ کال په اوږی کې می په سیول انجینری کښی ډاکتری شهادت نامه واخسته او پیرته افغانستان ته ولاړم او د کابل د پوهنتون د انجینری په پوهنځي کې می کار ته دوام ورکا. زما د تیسس موضوع پریسترس پریکسټ کانکریت و او ما دا هیله درلوده چې ددی موادو کمپنی به په افغانستان کې جوړه وو تر څو دا مواد د فولادو ځای د ودانیو په جوړولو کې ونیسی.

کله چې هلته په پوهنتون کې وم یو څه وخت می د Nuclear Engineering به ډیپارتمنت کې د Coastal Erosion د اندازکولو په پروژه کې کار وکا.

زما د کارشنه:

د ۱۹۶۲ کال د جنوری نه د ۱۹۸۲ کال تر جنوری پوری (شل کاله) می د کابل پوهنتون د انجینری په پوهنځي کې کار درلود. په ۱۹۷۴ کال کې په پوهنځي کې د زراعت او سیول انجینری ډیپارتمنت

د مشر په توګه د استادانو له خوا انتخاب شوم. په ۱۹۷۵ کال کې د پوهنتون په پېشنهاد، د کابینې په مجلس کې د پوهنځی د رییس په توګه وټاکل شوم او تر څو چې په افغانستان کې کمونستانو قدرت ونیو (۱۹۷۸) د رییس په توګه پاتې شوم او بیا د ۱۹۸۲ کال تر جنوري پورې په پوهنځی کې استاد وم او زما علمي رتبه پوهنوالی وه. زموږ په پوهنځی کې تر دې لورې علمي رتبه یوازې د فزیک یو پوهاند درلوده.

د پوهنځی د کار په اولو کلو کې می د کرهڼی په وزارت کې د احصایی او وترنری کورسو کې درس ورکړی. همدارنگه د پوهنځی په

Center for Engineering Consulting Services and Applied Research (CECSAR)

کې می د مشاور په توګه د کار په ټوله دوره کې (بی دریاست د وخت نه) په آتلسو پروژو کې کار کړی.

کله چې د ۱۹۸۲ کال په جنوري کې د سیستم انجینری ورکشاپ د پاره د یونسکو له خوا IIT Bombay, India ته ولاړم تصمیم می ونیو چې امریکا ته راشم. د ځینې امریکایی ملګریو سره می تماس ونیو چې امریکا ته به راځم او د کار په پیدا کولو کې به ددوی مرسته غواړم. په پورډو پوهنتون کې د تکنالوجی د کالج رییس Dr. George McNelly له خوا می لیک تر لاسه کا چې د

Building Construction and Contracting

په ډیپارټمنټ کې دی میلمه پروفیسر په توګه د یوه کال د پاره وظيفه درلودی شم. کله چې زه په جون د ۱۹۸۲ کال کې امریکا ته راغلم نو زما د پخوانی ملګری Walter Pilkey په کور کې چې په شارلټزویل ورجینیا کې اوسیدای د میلمه په توګه ووسیدم او د لنډ وخت د پاره می په University of Virginia کې کار وکا. په همدې دوبي کې د انټروویو د پاره پورډو ته راغلم او دا کار می قبول کا. په ۱۹۸۴ کال کې د ټینیرټرک اسوسیشټ پروفیسر په توګه ومنل شوم او په ۱۹۹۰ کال کې می د پروفیسری (پوهاندی) علمي رتبه تر لاسه کړه او د ۲۰۲۲ کال د می تر میاشتی چې څلورنست کاله کیری په پرډو کې کار وکا. د ۲۰۱۹ کال په منی کې می تصمیم ونیو چې د کار مسولیت می نیمایی کړم او په دريو کالو کې خپله ډنډه په پوهنتون کې پای ته ورسوم. زما د ورسټیو کلو کې د کالج د مشاور (College Mentor) په توګه کار کاوا او کوم معین مضمون درس می نه ورکاوا.

په ۱۹۹۵ کال کې د پورډو انټرنشنل پروګرام د جهانی بانک یوه شل ملیونه ډالره پروژه واخسته او زمانه یی و غوښتل که ددی پروژې د پر مخ وړلو دپاره د Resident Program Coordinator په توګه چې په مالیزیا کې وه ولاړ شم چې ما دا کار قبول کا او د پنځوکالو پروژه می د ۱۹۹۹ کال په پای کې تکمیل کړه. پدی پروژه کې کابو یو سل استادانو چې د امریکا، انگلستان، کاناډا او استراليا

وو د لنډی او یا څه ووردی مودی د پاره کار وکا. پدی پروژہ کی مورکابو ۹۰۰ استادان د مالیزیا د پولیتخنیکو د پاره وروزل. زما په دفتر کی څلورو مالیزیاپانوچی ما خوښ کړی وو، کار کاوا، چی د موترچلولو، سکرتریت، اداری او مالی چارو مسولیت ورپه غاړه وا.

د ۲۰۰۲ کال راهیسی پنځه واری (د ۲۰۰۲ نه تر ۲۰۱۶) افغانستان ته د نورو پوریدو استادانو سره تللي یم تر څو د افغانستان د لوړو زده کړو، په ځا نگرې توگه د نویي تکنالوجی، په برخه کی مرسته وکړو. یو شمیر د پوهنتونو استادان مو امریکا ته د لنډ وخت د پاره راوستل او هلته مو څو ورکشاپونه جوړ کړل تر څو د پوهنتون یو شمیر استادان او نورانجیران د نویو تکنالوجیو سره بلد شی. همدارنگه مو یو سپین سرخلاصی را پور ولیکا چی په افغانستان کی د تکنالوجی زده کړو پنځه مرکزونه جوړشی چی یو په کابل، بل په کندار، بل په هرات، بل په مزار، او بل په ننگرار کی وی. په هر مرکز کی کوشش وشی چی د خیلی منطیقی د ضرورت وړ تکنالوجستان وروزی. دا مرکزونه ښایی چی مالی استقلال ولری تر څو د ضرورت وړشیان په بیړه د خپلو مرکزو د پاره تیار کړی شی.

BRIEF INTRODUCTION TO THIS BOOK

This book provides the student with a clear and thorough presentation of the theory and application of the principles of mechanics of materials. It is hoped that both the instructor and student will benefit greatly from it.

The translation to Pushto language has kept all the contents of the original book, tenth edition by R.C. Hibbeler.

The book is organized in 14 chapters, problems sets are located after each group of examples. In this way the students can have a better understanding of the covered materials. Solutions to the problem sets are provided at the end of the book.

Due to printing requirements the book is divided into two volumes. The first volume covers Chapters 1-8, and the second volume covers chapters 9-14. Appendices and problem solutions are provided at the end of each chapter.

CONTENTS

The subject matter is organized into 14 chapters. Chapter 1 begins with a review of the important concepts of statics, followed by a formal definition of both normal and shear stress, and a discussion of normal stress in axially loaded members and average shear stress caused by direct shear.

In Chapter 2 normal and shear strain are defined, and in Chapter 3 a discussion of some of the important mechanical properties of materials is given. Separate treatments of axial load, torsion, and bending are presented in Chapters 4, 5, and 6, respectively. In each of these chapters, both linear-elastic and plastic behavior of the material covered in the previous chapters, where the state of stress results from combined loadings. In Chapter 9 the concepts for transforming multiaxial states of stress are presented. In a similar manner, Chapter 10 discusses the methods for strain transformation, including the application of various theories of failure. Chapter 11 provides a means for a further summary and review of previous material by covering design applications of beams and shafts. In Chapter 12 various methods for computing deflections of beams and shafts are covered. Also included is a discussion about finding the reactions of these members if they are statically indeterminate. Chapter 13 provides a discussion of column buckling, and lastly, in Chapter 14 the problem of impact and the application of various energy methods for computing deflections are considered.

Sections of the book that contain more advanced material are indicated by a star (*).

Time permitting, some of these topics may be included in the course. Furthermore, this material provides a suitable reference for basic principles when it is covered in other courses, and it can be used as a basis for assigning special projects.

د افغانستان د ۹ پوهنتونونو د ۳۸۹ چاپ شويو درسي کتابونو لېست

(کابل، کابل طبي پوهنتون، کابل پولي تخنيک، ننگرهار، خوست، کندهار، هرات، بلخ او کاپيسا) ۲۰۲۳ - ۲۰۱۰

پوهنتون	ليکوال	د کتاب نوم	د کتاب نوم	پوهنتون	ليکوال	د کتاب نوم	د کتاب نوم
۱. اخلاق، طبي لارښود او ترمينولوژي							
کابل طبي پوهنتون	پوهاند دوکتور نادر احمد اکسير	رهنمای تدریس طب	۲	بلخ	پوهاند داکتر عبدالغفور همدل صديقي	اخلاق طبابت	۱
ننگرهار	دوکتور گل سيما ابراهيم خيل قادری	طبي ترمينولوژي	۴	ننگرهار	پوهاند عبدالحی مومنی	د طبابت لنډ تاريخ	۳
کاپيسا	پوهنوال دوکتور محمد فرید برنایار	رهنمود PBL در افغانستان	۶	ننگرهار	ننگرهار طب پوهنځی	د ننگرهار طب پوهنځی نصاب او درسي مفردات (انگليسي)	۵
ننگرهار	زنخوړمل دوکتور عجب گل مومند	انگليسي- پښتو طبي قاموس I	۸	ننگرهار	زنخوړمل دوکتور عجب گل مومند	انگليسي- پښتو طبي قاموس I	۷
تول پوهنتونونه	بېلا بېل مؤلفين	۱۴۰ طبي کتابونه په ډي وي ډي کې (پښتو، دري او انگليسي)	۱۰	تول پوهنتونونه	داکتر يحيی وردک	د طب محصلينو درسي کتابونه	۹
ننگرهار	پوهنوال داکتر نظر محمد سلطانزی خدران	د طبيعي علومو انگليسي- پښتو قاموس	۱۲	تول پوهنتونونه	بېلا بېل مؤلفين	۲۱۴ طبي کتابونه په ډي وي ډي کې (پښتو، دري او انگليسي)	۱۱
۲. فزيک							
ننگرهار	پښتانه بنايي	بيوفزيک	۱۴	ننگرهار	گل احمد سهيل	په معاصر طب کې د فزيک پېژندنه	۱۳
بلخ	پوهاند مير محمد ظاهر حيدري	بيوفزيک	۱۶	ننگرهار	پوهنيار گل احمد سهيل	بيوفزيک	۱۵
بلخ	پوهاند مير محمد ظاهر حيدري	فزيک طبي بخش ميخانيک	۱۸	ننگرهار	پوهنيار هدايت الله مهمند	طبي فزيک	۱۷
بلخ	پوهاند مير محمد ظاهر حيدري	توضیح اساسات فزيکي، وسايل تشخيصيه طبي	۲۰	بلخ	پوهاند مير محمد ظاهر حيدري	فزيک طبي بخش حرارت	۱۹
هرات	پوهنوال غلام قادر دهگان	فزيک اوپتيک	۲۲	بلخ	پوهاند مير محمد ظاهر حيدري	فزيک نور	۲۱
ننگرهار	پوهنيار هدايت الله مهمند	د نور فزيک	۲۴	هرات	پوهنوال غلام قادر دهگان	نور و فزيک جديد	۲۳
ننگرهار	پوهنيار هدايت الله	ميخانيک او د نور فزيک	۲۶	ننگرهار	پوهنيار هدايت الله	د برق فزيک	۲۵
هرات	پوهنوال غلام قادر دهگان	حرارت و ترمودينامیک	۲۸	ننگرهار	پوهنيار اکرام الله وقار	کوانتم ميخانيک	۲۷
ننگرهار	پوهندوی علي جان عادل	ميخانيک، اهتزازات او نسيبت	۳۰	ننگرهار	پوهندوی توريالی همدرد	برنسا، مقناطيسيت او الکترو مقناطيسي تيوري	۲۹
۳. کيميا							
کابل طبي پوهنتون	پوهاند خان محمد احمدزی	طبي بيوشي	۲۲	خوست	پوهنوال امرالله آصفي	طبي کيميا	۳۱
ننگرهار	محمد طاهر کانی	کيميايي عنصرونه، دوهم ټوک	۲۴	ننگرهار	محمد طاهر کانی	کيميايي عنصرونه، لومړی ټوک	۳۳
ننگرهار	حبيب الله نوابزاده	فزيکی کيميا دوهم جلد، ترمودينامیک	۳۶	ننگرهار	پوهاند خير محمد ماموند	فزيکی کيميا گازونه او کيمياوي ترمودينامیک	۳۵
ننگرهار	پوهاند دوکتور خير محمد ماموند	فزيکی کيميا III	۳۸	ننگرهار	پوهاند دوکتور محمد غوث حکيمي	عضوي کيميا، کربوال ترکيبونه	۳۷
ننگرهار	پوهاند دوکتور خير محمد ماموند	عمومي کيميا	۴۰	ننگرهار	پوهاند دوکتور خير محمد ماموند	فزيکی کيميا III، کيمياوي کنتک او کنسلنس، کروماتوگرافي او اسپکټروسکوپي	۳۹
کابل	پوهنوال داکتر گل حسن وليزی	عضوي کيميا، د اروماتیک او هيترو سيکليک برخه	۴۲	خوست	پوهنوال داکتر گل حسن وليزی	عضوي کيميا، د اليفاتیک برخه	۴۱
ننگرهار	دوکتور محمد عظيم عظيمي	د شحمياتو استقلال	۴۴	ننگرهار	پوهيالی دوکتور يحيی فهميم	د قندونو هضم، جذب او استقلال	۴۳
۴. بيولوژي او جنيتيک							
ننگرهار	پوهندوی الفت شيرزی	عمومي بيولوژي	۴۶	ننگرهار	پوهندوی جماعت خان همت	عمومي بيولوژي	۴۵
کابل طبي پوهنتون	پوهنوال علی يوسف پور	بيولوژي ماليکولي حجره، بخش دوم	۴۸	کابل طبي پوهنتون	پوهنوال علی يوسف پور	بيولوژي ماليکولي حجره، بخش اول	۴۷
ننگرهار	پوهندوی جماعت خان همت	ماليکولي بيولوژي	۵۰	ننگرهار	پوهندوی جماعت خان همت	د حجري بيولوژي	۴۹
ننگرهار	دوکتور محمد صابر	کلاسيک او ماليکولي جنيتيک	۵۲	ننگرهار	پوهنوال دوکتور گل سالم شرافت	وراثت	۵۱
ننگرهار	پوهندوی الفت شيرزی	طبي جنيتيک	۵۴	ننگرهار	پوهنوال داکتر مسيح الله مسيح	وراثت او د سډورفولوژي	۵۳
ننگرهار	ډاکتره بابکر خيل	زولوجی غيرفقاريه	۵۶	ننگرهار	ډاکتره بابکر خيل	زولوجی فقاريه	۵۵
				هرات	پروفيسور داکتر ديپلوم علی آقا نحيف	حيوانات مفصليه	۵۷

۵. اناتومي او هستالوژي						
۵۸	اناتومي لومړی جلد (هډوکي، مفاصل او عضلات)	پوهنمل ډاکتر محمد ناصر نصرتي	ننگرهار	۵۹	د هډوکو او مفاصلو اناتومي	پوهنوال دوکتور حميدالله حامد
۶۰	د سر او غاړې اناتومي درسي کتاب I	پوهندوی دوکتور یم صديقي	ننگرهار	۶۱	د سر او غاړې اناتومي درسي کتاب II	پوهندوی دوکتور یم صديقي
۶۲	د تتر اناتومي	پوهنپار دوکتور یم صديقي	ننگرهار	۶۳	اناتومي	پوهنمل ډاکترحفيظ الله سهار
۶۴	د سينې بطن او حوصلي اناتومي	پوهنوال دوکتور حميدالله حامد	خوست	۶۵	د چهاراتو اناتومي	پوهنوال ډاکتر محمد حسين يار
۶۶	د عصبي سيستم اناتومي	پوهنپار دوکتور یم صديقي	ننگرهار	۶۷	اناتومي دريم جلد، عصبي سيستم، حواس او اندوکراين غدوات	پوهنمل ډاکتر محمد ناصر نصرتي
۶۸	د زړه او د وينې د رگونو اناتومي	پوهنمل ډاکتر محمد ناصر نصرتي	ننگرهار	۶۹	د هضمي سيستم اناتومي	پوهنمل ډاکتر محمد ناصر نصرتي
۷۰	د بولي تناسلي سيستم اناتومي	پوهنمل ډاکتر محمد ناصر نصرتي	ننگرهار	۷۱	د انسان فزيولوژي او اناتومي	عبدالملک پرهېز
۷۲	د انسان اناتومي (پورتنی طرف او صدر) ناحیوي او عملي له تسليخ او کلينیک سره	پوهندوی ډاکتر توريالی سهاک	ننگرهار	۷۳	اناتومي و فزيولوژي انسان، جلد دوم	پوهندوی محمد طاهر نسیمی
۷۴	اناتومي و فزيولوژي انسان، جلد اول	پوهندوی محمد طاهر نسیمی	بلخ	۷۵	عمومي هستالوژي	پوهندوی ډاکتر فضل الهي
۷۶	عمومي هستالوژي	پوهاند ډاکتر خليل احمد بهسودوال	ننگرهار	۷۷	طبي هستالوژي	پوهاند ډاکتر خليل احمد بهسودوال
۷۸	طبي هستالوژي	پوهاند ډاکتر بری صديقي	خوست	۷۹	هستالوژي	پوهاند ډاکتر بری صديقي
۸۰	د سيستمونو هستالوژي	پوهاند ډاکتر خليل احمد بهسودوال	ننگرهار			
۶. امبريولوژي						
۸۱	عمومي امبريولوژي	پوهاند دوکتور بری صديقي	خوست	۸۲	امبريولوژي	پوهنوال ډاکتر محمد حسين يار
۸۳	امبريولوژي طبی	پوهندوی ډاکتر بشير نورمل	کابل طبي پوهنتون	۸۴	طبي امبريولوژي	پوهنمل ډاکتر ناصر نصرتي
۸۵	امبريولوژي عمومي انسان	پوهندوی ډاکتر بشير نورمل	کابل طبي پوهنتون	۸۶	د انسان عمومي کلينيکي امبريولوژي	پوهنپار ډاکتر عبدالله جان شينواری
۷. فزيولوژي او پتولوژي						
۸۷	طبي فزيولوژي	ډاکتر شريف الله	ننگرهار	۸۸	د ځانگړو حسيتونو، پوستکي، اوتونوميک او مرکزي سستم فزيولوژي	پوهنوال دوکتور محب الله شينواری
۸۹	د اندوکراين، زړه، رگونو او پښتورگو فزيولوژي	پوهنوال دوکتور احسان الله احسان	ننگرهار	۹۰	د تنفسي سيستم فزيولوژي	پوهنوال دوکتور احسان الله احسان
۹۱	د وينې فزيولوژي	پوهنمل ډاکتر ولي محمد وياړ	کندهار	۹۲	عمومي پتالوژي	پوهاند دوکتور خليل احمد بهسودوال
۹۳	پتالوژي عمومي	پوهندوی ډاکتر زهرا فروغ	هرات	۹۴	عمومي پتالوژي	پوهندوی دوکتور محمد آصف
۹۵	د سيستمونو پتالوژي	پوهندوی ډاکتر خليل احمد بهسودوال	ننگرهار	۹۶	د سيستمونو پتالوژي دوهمه برخه	پوهاند دوکتور خليل احمد بهسودوال
۹۷	د قلبي وعايي، وينې، تنفسي او هضمي جهاز پتالوژي	پوهاند دوکتور خليل احمد بهسودوال	ننگرهار	۹۸	د وينې، ججرو، تنفسي جهاز، هضمي جهاز او نويو زېږېدلو فزيولوژي	پوهنوال دوکتور جنت مير مومند
۹۹	مالیکولي ايمینولوژي	پوهاند ډاکتر خليل احمد بهسودوال	ننگرهار			
۸. مايکروبيولوژي او پرازیتولوژي						
۱۰۰	مايکرو بيولوژي طبی، جلد اول	پوهاند دوکتور عبیدالله عبید	کابل طبي پوهنتون	۱۰۱	مايکرو بيولوژي طبی، جلد دوم	پوهاند دوکتور عبیدالله عبید
۱۰۲	مايکروبيولوژي	پوهاند محمد جمعه حنيف	هرات	۱۰۳	مايکروبيولوژي عمومي	دوکتور شعیب احمد شاخص
۱۰۴	پرازیتولوژي طبی	پوهاند دوکتور عبیدالله عبید	کابل طبي پوهنتون	۱۰۵	اساسات پرازیتولوژي طبی	پوهنمل دوکتور محمد يوسف مبارک
۱۰۶	د پرازیتولوژي اساسات	ډاکتر محمد صابر	ننگرهار	۱۰۷	طبي پرازیتولوژي	پوهنوال دوکتور غلام جيلاني ولي
۱۰۸	هلمنتولوژي	پوهنوال ډاکتر سيد رفيع الله حلیم	ننگرهار			

۹. فارمکولوژی							
۱۰۹	فارمکولوژی	پوهنوال داکتر قمبرعلي حیدري	ننگرهار	۱۱۰	فارمکولوژی، دریم ټوک	پوهنوال سید قمبر علي حیدري	ننگرهار
۱۱۱	فارمکولوژی، دوهم ټوک	پوهنوال داکتر قمبرعلي حیدري	ننگرهار	۱۱۲	د اتونوم او مرکزي عصبي سیستمونو فارمکولوژی	داکتر غلام ربی بهسودوال	ننگرهار
۱۱۳	گیاهان طبی مستعمله در تداوی امراض قلبی و وعایی	پوهنوال محمد عثمان بابری	کابل طبي پوهنتون	۱۱۴	امینو فارمکولوژی	پوهنوال سید قمبر علي حیدري	ننگرهار
۱۱۵	د درملو د استعمال عملي لارښود (انگلیسی / پښتو)	داکتر مالتی ایل وان بلومرودر	خوست	۱۱۶	فارمکولوژی (دریم کال، دوهم سمستر لپاره)	پوهنوال دوکتور غلام ربی بهسودوال	ننگرهار
۱۱۷	د درملو بدي اغیزې	پوهنوال سید قمبر علي حیدري	ننگرهار				
۱۰. عامه روغتیا							
۱۱۸	د عامې روغتیا اساسات او اداره	پوهنوال داکتر محمدعارف رحمانی	ننگرهار	۱۱۹	ډیموگرافي او کورنۍ تنظیم	پوهیالی داکتر محمد ابراهیم شیرزی	ننگرهار
۱۲۰	د چاپیریال او اندیزه روغتیا	پوهنوال داکتر محمدعارف رحمانی	ننگرهار	۱۲۱	تغذیه او روغتیا	پوهیالی داکتر محمد هارون	ننگرهار
۱۲۲	تغذیه او سوټغذیه	پوهنوال داکتر عبدالواحد وثیق	قندهار				
۱۱. داخله							
۱۲۳	فزیکل دیاگنوزس	پوهنوال داکتر حفیظ الله ابریدی	ننگرهار	۱۲۴	فزیکي تشخیص او د تاریخچې اخیستنه	پوهاند داکتر شریف الله	ننگرهار
۱۲۵	فزیکي تشخیص	داکتر ناصر جبارخیل	ننگرهار	۱۲۶	فزیکي تشخیص (هادي کلینیکل مېتود)	پوهاند داکتر سیف الله هادي	ټول پوهنتونونه
۱۲۷	د داخله ناروغیو تفریقي تشخیص I	پوهاند دوکتور سیف الله هادي	ننگرهار	۱۲۸	د داخله ناروغیو تفریقي تشخیص I	پوهاند دوکتور سیف الله هادي	ننگرهار
۱۲۹	د زړه برقي گراف (ECG)	زنخرووال داکتر سید عبدالله سادات	ننگرهار	۱۳۰	رهنمای عملی مشکلات عام طبی (دری)	داکتر مالتی ال-وان بلومرودر	بلخ
۱۳۱	هیماتولوژی، ایمینولوژی او د ویتامینونو کموالي ناروغی	پوهندوی دوکتور ایمل شیرزی	ننگرهار	۱۳۲	د طبي عامو ستونځو عملي لارښود (انگلیسی)	داکتر مالتی ال-وان بلومرودر	ننگرهار
۱۳۳	د وینې ناروغی	پوهاند داکتر محمد ظاهرظفرزی	ننگرهار	۱۳۴	د وینې ناروغی	پوهنوال دوکتور حیات الله احمدزی	ننگرهار
۱۳۵	اندوکرینولوژی او روماتولوژی	پوهاند داکتر محمد طیب نشاط	ننگرهار	۱۳۶	د پښتورگو ناروغی	پوهاند داکتر محمد ظاهرظفرزی	ننگرهار
۱۳۷	د هضمي سیستم او پښتورگو ناروغی	پوهندوی داکتر سیف الله هادي	ننگرهار	۱۳۸	اندوکرینولوژی او روماتولوژی	پوهاند دوکتور سیف الله هادي	ننگرهار
۱۳۹	د خوډې او د هضمي سیستم ناروغی	پوهاند داکتر محمد ظاهرظفرزی	ننگرهار	۱۴۰	د هضمي جهاز ناروغی	پوهاند داکتر محمد ظاهرظفرزی	ننگرهار
۱۴۱	امراض جهاز هضمي و کېد	دوکتور محمد یونس فخری	بلخ	۱۴۲	د هضمي جهاز او پښتورگو ناروغی	پوهنوال داکتر عبدالواحد وثیق	کندهار
۱۴۳	د زړه او رگونو ناروغی	پوهندوی داکتر دل آقا دل	ننگرهار	۱۴۴	د ځیگر ناروغی	پوهاند داکتر محمد ظاهرظفرزی	ننگرهار
۱۴۵	د تنفسي سیستم او د زړه روماتیزمل ناروغی	پوهاند دوکتور سیف الله هادي	ننگرهار	۱۴۶	تنفسي او د زړه د دسامونو روماتیزمل ناروغی	پوهاند داکتر محمد طیب نشاط	ننگرهار
۱۴۷	د شکرې ناروغی	داکتر محمد نعیم همدرد	ننگرهار	۱۴۸	د تنفسي او د زړه روماتیزمل ناروغی	پوهندوی داکتر سلام جان شمس	ننگرهار
۱۲. بېړنۍ درملنه							
۱۴۹	بېړنۍ طبي پېښې	پوهنوال داکتر عبدالواحد وثیق	قندهار	۱۵۰	د داخلي بېړنې پېښې او د بحران څارنه	پوهنوال داکتر حفیظ الله ابریدی	ننگرهار
۱۵۱	بېړنۍ درملنې	داکتر عبدالولی زنجورمل وردک	خوست	۱۵۲	د بېړنیو پېښو د درملنې لارښود (انگلیسی)	پوهنوال داکتر ایمل شیرزی	ننگرهار
۱۵۳	بېړنۍ طبي درملنې	داکتر سید ملیار سادات	ننگرهار	۱۵۴	کمک های اولیه	پوهاند دوکتور نجیب الله امرخیل	کابل طبي پوهنتون
۱۳. انکالوژی							
۱۵۵	د سینې سرطان، پېژندنه، درملنه او مخنیوی	پوهنوال داکتر نظر محمد سلطانزی خدران	ننگرهار	۱۵۶	د سرطاني ناروغیو اساسات	پوهاند داکتر محمد ظاهر ظفرزی	ننگرهار
۱۵۷	د وینې سرطان	پوهنوال داکتر نظر محمد سلطانزی	ننگرهار	۱۵۸	سرطان او د چاپیریال رادیو اکتیویټي	پوهنوال داکتر نظر محمد سلطانزی خدران	ننگرهار
۱۵۹	د سرطاني ناروغیو رادیوتراپی	پوهنوال داکتر نظر محمد سلطانزی خدران	خوست				

۱۴. جراحی						
۱۶۰	نرسنگ عملیات خانه	پوهاند دوکتورنجیب الله امرخیل	کابل طبي پوهنتون	۱۶۱	جراحی، د کلینیکي معایناتو سیستم	پوهندوی داکتر بادشاه زارعبدالی
۱۶۲	د عمومي جراحي اساسات	پوهندوی داکتر بادشاه زارعبدالی	خوست	۱۶۳	اساسات جراحی	پوهاند داکترنجیب الله امرخیل
۱۶۴	عمومي جراحي I	پوهندوی داکتر بادشاه زارعبدالی	خوست	۱۶۵	عمومي جراحي II	پوهندوی داکتر بادشاه زارعبدالی
۱۶۶	عمومي جراحي	داکترگل سیمه ابراهیم خیل قادري	خوست	۱۶۷	امراض جراحی سیستم هضمی وملحقات آن	پوهاند دوکتورعبدالوهاب نورا
۱۶۸	امراض جراحی بطن و ملحقات ان	پوهاند دوکتورمحمد معصوم عزیزي	کابل طبي پوهنتون	۱۶۹	امراض جراحی بطن و ملحقات ان دوست	پوهندوی داکترعبدالخالق
۱۷۰	جراحی بطن ، چاپ دوم	پوهاند دوکتورمحمد معصوم عزیزي	کابل طبي پوهنتون	۱۷۱	د گېډې د ملحقاتو د جراحي ناروغی	پوهنوال دوکتور بادشاه زار عبدالی
۱۷۲	بطن حاد و مزمن	پوهنوال داکترعبدالغفور ارصاد	هرات	۱۷۳	د پلاستیک جراحی اساسات او تخنیکونه	داکتر الفت هاشمي
۱۷۴	د کولمو بندش او د پریطوان جراحي ناروغی	پوهاند داکترعبدالرؤف حسان	ننګرهار	۱۷۵	امراض یورولوژی	پوهندوی دوکتورغلام سخی حسنی
۱۷۶	یورولوژی	پوهندوی دوکتور غازي جمال عبدالناصر	ننګرهار	۱۷۷	یورولوژی	پوهنوال داکترعبدالحد حمید
۱۷۸	جراحی عصبی	پوهنوال دوکتور عبدالغفور ارصاد	هرات	۱۷۹	عصبی جراحی	پوهندوی دوکتور فضل الرحیم شگیوال
۱۸۰	عصبی جراحی	پوهندوی داکتر عبدالصیر منگل	ننګرهار	۱۸۱	عصبی جراحی	پوهاند دکتور بادشاه زار عبدالی
۱۸۲	د جراحي انکال	رنځوربار داکتر عجب گل مومند	ننګرهار	۱۸۳	جراحی عمومی اطفال	پوهنیار داکتر نوربالی حکیمی
۱۸۴	د کوچنیانو جراحي	پوهاند داکتر فضل الرحیم شگیوال	ننګرهار	۱۸۵	حاد اپنډیساییتیس، تشخیص، اختلاطات او تداوي	پروفیسور دوکتور محمد شریف سروري
۱۸۶	تروماتولوژی	پوهنوال عبدالغفور ارصاد	هرات	۱۸۷	د صدر ترخیصات	پروفیسور دوکتور محمد شریف سروري
۱۵. ارتوپیدی او انستیز یولوژی						
۱۸۸	کسرونه او خلعي	پوهندوی سید بها کریمي	ننګرهار	۱۸۹	اورتوپیدی	پوهندوی داکترسید شال سیدی
۱۹۰	اورتوپیدی اوکسرونه	پوهنمل داکتر محمد همایون مصطفی	کندهار	۱۹۱	د عامو کسرونو تړلې درملنه	پوهندوی دوکتور ظاهر گل منگل
۱۹۲	رهنمای انستیزی برای کشورهای رو به انکشاف، جلد اول	دانیل دی موس	کابل طبي پوهنتون	۱۹۳	رهنمای انستیزی برای کشورهای رو به انکشاف، جلد دوم	دانیل دی موس
۱۹۴	د اورتوپیدی د انتاناتو اساسات، وپلی او د ستون فقرات انتانات	رنځوروال دوکتور سیدالرحمن حکیمی	شیخ زاید			
۱۶. انتانی						
۱۹۵	انتانی ناروغی	پوهنوال داکترعبدالناصر جبارخیل	ننګرهار	۱۹۶	امراض انتانی (انگلیسی)	پوهنمل داکتر محمد ذکریا امیرزاده
۱۹۷	انتانی ناروغی	پوهنوال داکتر حفیظ الله اپریدی	ننګرهار	۱۹۸	د ساري ناروغیو کنترول	پوهندوی داکتر محمد عظیم منگل
۱۹۹	د کوچنیانو ساري ناروغی	پوهاند دوکتورسلطان محمد صافی	خوست	۲۰۰	د کوچنیانو ساري ناروغی	پوهندوی دوکتور نجیب الله امین
۲۰۱	امراض ساری اطفال	پوهاند داکترسلطان محمد صافی	کابل طبي پوهنتون	۲۰۲	د ماشومانو انتانی ناروغی	پوهاند دوکتور عبدالستار نیازی
۲۰۳	توبرکلوز	پوهندوی داکترسید انعام سیدی	ننګرهار	۲۰۴	په ماشومانو کې نری زنج	پوهنمل داکتر حقیق الله چارډیوال
۲۰۵	د توبرکلوز ناروغی	داکترمحمد ناصرناصری	کندهار	۲۰۶	د سینې ناروغی او توبرکلوز	داکتر ناصر محمد شینواری
۲۰۷	ملاریا	دوکتور محمد اسحاق شریفی	ننګرهار	۲۰۸	سارس - ۲ او کووید- 19	پروفیسور دوکتور محمد شریف سروري
۲۰۹	د خیگر ویروسي التهاب (طبي تشخیص او درملنه)	دوکتور محمد اسحاق شریفی	ننګرهار	۲۱۰	شل خپري ساري ناروغی	داکتر غلام سرور ظهیر

۱۷. اطفال						
۲۱۱	اطفال	پوهنوال ډاکټر محمد رسول فضلي	ننگرهار	۲۱۲	د کوچنيانو ناروغي I	پوهنوال دوکتور عبدالستار نيازی ننگرهار
۲۱۲	د کوچنيانو ناروغي II	پوهنوال دوکتور عبدالستار نيازی	ننگرهار	۲۱۴	د ماشومانو کلينيکي معاينات	پوهنوال ډاکټر ناصر کاموال ننگرهار
۲۱۵	روش های ارزيايي کلينيکي اطفال	پوهندوی ډاکټر فاروق حميدي	کابل طبي پوهنتون	۲۱۶	د کوچنيانو ناروغي تکست بوک	پوهاند ډاکټر سلطان محمد صافي کابل طبي پوهنتون
۲۱۷	د کوچنيانو د درملن X لارښود (انگليسي)	پوهندوی ډاکټر منصور اسلمزی	ننگرهار	۲۱۸	د کوچنيانو تغذيه	پوهنمل ډاکټر نجيب الله امين ننگرهار
۲۱۹	د کوچنيانو خواړخواکي	پوهندوی ډاکټر سميع الله حيات	ننگرهار	۲۲۰	د کوچنيانو د وينې ناروغي	پوهندوی ډاکټر منصور اسلمزی ننگرهار
۲۲۱	د نوي زيږيدلي ماشوم څارنه	پوهندوی ډاکټر ناصر خان کامه وال	ننگرهار	۲۲۲	د نيونالوژي او کوچنيانو ناروغيو کلينيکي هندبوک	پوهندوی ډاکټر منصور اسلمزی ننگرهار
۲۲۳	د ماشومانو د ناروغيو عملي لارښود	ډاکټر مالتی ال-وان بلومرودر	ننگرهار	۲۲۴	نيونالوژي	پوهنوال ډاکټر عبدالستار نيازی ننگرهار
۲۲۵	د کوچنيانو د جهازاتو معمولي ناروغي I	پوهنوال ډاکټر عبدالستار نيازی	ننگرهار	۲۲۶	د کوچنيانو ناروغي د پنځم صف لپاره لومړی سمیستر	پوهنوال ډاکټر عبدالستار نيازی ننگرهار
۲۲۷	د ماشومانو د معدې معايبي سيستم او يني ناروغي	پوهنمل ډاکټر ولي گل مخلص	خوست	۲۲۸	د کوچنيانو د جهازاتو معمولي ناروغي II	پوهنوال ډاکټر عبدالستار نيازی ننگرهار
۲۲۹	د کوچنيانو ناروغي I	پوهاند دوکتور احمد سير احمدي	ننگرهار	۲۳۰	د کوچنيانو ناروغي II	پوهاند دوکتور احمد سير احمدي ننگرهار
۲۳۱	د ماشومانو تنفسي، زړه، وينې او پښتورگي ناروغي	پوهاند ډاکټر نجيب الله امين	ننگرهار	۲۳۲	د کوچنيانو ناروغي	پوهاند ډاکټر سلطان محمد صافي کابل طبي پوهنتون
۲۳۳	د ماشومانو اساسات، هضمي، اندوکراين او عصبي ناروغي	پوهاند ډاکټر سميع الله حيات	ننگرهار	۲۳۴	معاينات کلينيکي اطفال بطور ساده	پوهندوی ډاکټر سيد نجم الدين جلال کابل طبي پوهنتون
۱۸. ولادي/ نسايي						
۲۳۵	زېږون	پوهنمل ډاکټر مريم اکرم معصوم	ننگرهار	۲۳۶	ولادي جراحي، لمړی ټوک	ډاکټر عجب گل مومند قندهار
۲۳۷	کتاب ولادي	پوهندوی ډاکټر حسن فريد	هرات	۲۳۸	ولادي جراحي، دوهم ټوک	ډاکټر عجب گل مومند قندهار
۲۳۹	امراض نسايي	پوهندوی ډاکټر حسن فريد	هرات	۲۴۰	د تدبې ناروغي	پروفیسور دوکتور محمد شريف سروري ټول پوهنتونونه
۲۴۱	نسايي ناروغي	پوهندوی دوکتورس تور بېکې اږيدی	ننگرهار	۲۴۲	امېندواري او زېږون	پوهنوال دوکتورس حفيظه سهاک ننگرهار
۱۹. روانشناسي، رواني/عقلي او عصبي						
۲۴۳	امراض روانی I	پوهندوی دوکتور عبدالعزيز نادری	کابل طبي پوهنتون	۲۴۴	امراض روانی II	پوهندوی دوکتور عبدالعزيز نادری کابل طبي پوهنتون
۲۴۵	رواني رنځپوهنه	پوهندوی ډاکټر جهان شاه تنی	خوست	۲۴۶	نشه يي توکي او اړونده ناروغي	ډاکټر محمد سمين ستانکزی ننگرهار
۲۴۷	د رواني روغتيايي ستونځو عملي لارښود (انگليسي)	سيان نيکولاس	ننگرهار	۲۴۸	عصبي ناروغي	پوهنمل ډاکټر بلال پاينده ننگرهار
۲۴۹	عقلي ناروغي	پوهنمل ډاکټر بلال پاينده	ننگرهار	۲۵۰	روانشناسي و ضرورت آن در جامعه افغانستان	ډاکټر اعظم دادفر کابل
۲۵۱	روانشناسی عمومی	پوهاند ماریا صاعد سلطانی	بلخ	۲۵۲	عصبي معاينات او سلوکپوهنه	پوهنوال دوکتور جهان شاه تنی خوست
۲۰. راډيولوژي/ تصوير برداری طبي						
۲۵۳	کلينيکي راډيولوژي	پوهنوال ډاکټر غلام سخي رحمانزی	ننگرهار	۲۵۴	د زړه او سپرو د ناروغيو تشخيصه راډيولوژي	پوهنيار ډاکټر شاه محمد زنجورمل خوست
۲۵۵	تشخيصي راډيولوژي	پوهنوال ډاکټر غلام سخي رحمانزی	ننگرهار	۲۵۶	تصويري يا ترسيبي راډيولوژي	پوهنوال ډاکټر غلام سخي رحمانزی ننگرهار
۲۵۷	راډيولوژي ازمويني او ناروغتياوي	پوهنوال ډاکټر غلام سخي رحمانزی	ننگرهار	۲۵۸	التراسونډ تشخيصه	پوهندوی ډاکټر محمد نواب کمال کابل طبي پوهنتون
۲۵۹	راډيولوژي	پوهنوال ډاکټر سيد عارف وياړ	ننگرهار	۲۶۰	التراسونډ	ډاکټر محمد يونس سلطاني ننگرهار
۲۶۱	تشخيصه راډيولوژي، سينه يا صدر، دوهمه برخه	پوهنوال دوکتور نور محمد شينواری	ننگرهار	۲۶۲	تلويزيوني آزمويني	پوهندوی ډاکټر نجيب الله خليلي ننگرهار
۲۶۳	د التراسونډ طبي کارول	پوهنوال ډاکټر نظر محمد سلطانی خدران				
۲۱. چشم، گوش و گلو، جلدی						
۲۶۴	د پوستکي ناروغي	پوهندوی دوکتور اسدالله شينواری	ننگرهار	۲۶۵	دغور، پزي او ستوني ناروغي	ډاکټر عزيز الله فقير کندهار
۲۶۶	د سترگو ناروغي	پوهنمل ډاکټر خالد يار	ننگرهار	۲۶۷	دغور، پزي او ستوني ناروغي	پوهنمل دوکتور مير محمد اسحاق خاورين ننگرهار

۲۶۸	د پوستکي ناروغی	پوهنمل ډاکټر سید انور اکبري	ننگرهار	۲۶۹	د سترگي کلينيکي ناروغی	پوهنوال ډاکټر عبدالصير صافي	ننگرهار
۲۲. غاښونه							
۲۷۰	رهنمای کلينيکي برای ډاکتران دندان	ډاکتر سيد معروف سيرت			ټول پوهنتونونه		
۲۳. انجنيري							
۲۷۱	د اوبو رسولو انجنيري	پروفیسور انجنير محمد عیسی تنها	ننگرهار	۲۷۲	د فاضله اوبو انجنيري	پوهاند انجنير زلمی خالقي	ننگرهار
۲۷۳	چگونگی مصرف انرژی در ساختمان های رهائشی	دوکتور انجنير محمد عمر تیموری	ننگرهار	۲۷۴	تاسیسات و تجهیزات تخنیکي ساختمان	دوکتور انجنير محمد عمر تیموری	پولی تخنیک کابل
۲۷۵	د ساختمانونو تحلیل، لومړی برخه	پوهاند محمد اسحق رازقي	ننگرهار	۲۷۶	د ساختمانونو تحلیل، دوهمه برخه	پوهاند محمد اسحق رازقي	ننگرهار
۲۷۷	د مهندسانو د پاره ساختماني ستاتیک زده کړه	ديپلوم انجنير اسدالله ملکزى	ننگرهار	۲۷۸	د جوړښتونو تحلیل، لومړی برخه	پروفیسور حفیظ الله وردک او پروفیسور ډکتور زرجان بها	خوست
۲۷۹	د جوړښتونو تحلیل، دوهمه برخه	پروفیسور حفیظ الله وردک او پروفیسور ډکتور زرجان بها	خوست	۲۸۰	۴۵ انجنيري درسي کتابونه (DVD)	ټول پوهنتونونه	ټول پوهنتونونه
۲۸۱	د موادو مقاومت	پوهنمل بهرام اميري	خوست	۲۸۲	اوسپنيز کانکريټي عناصر I	پوهنوال ديپلوم انجنير عبادالرحمن مومند	ننگرهار
۲۸۳	اوسپنيز کانکريټي عناصر ډيزاين دوهمه برخه، لومړی ټوک	پوهاند ديپلوم انجنير عبادالرحمن مومند	ننگرهار	۲۸۴	اوسپنيز کانکريټي عناصر ډيزاين دوهمه برخه، دوهم ټوک	پوهاند ديپلوم انجنير عبادالرحمن مومند	ننگرهار
۲۸۵	د اوسپنيز کانکريټي عناصرو د لومړی صنفی کار مټوډيکي لارښود	پوهندوی انجنير عبادالرحمن مومند	ننگرهار	۲۸۶	د جامداتو ميخانيک	پوهنوال محمد اسحق رازقي	ننگرهار
۲۸۷	په سيول انجنيري کې د اټوکلډ استعمال	پوهنوال ميا پاچا ميخېل	ننگرهار	۲۸۸	د سرخلاصو کاناوونو هايډرولیک	پوهنوال ميا پاچا ميخېل	ننگرهار
۲۸۹	د لويو لارو د هندسي عناصرو ډيزاين	پوهنيار انجنير م. شاکر فاروقي	ننگرهار	۲۹۰	د ودانيو د تودولو تخنیک، لومړی برخه، د سون تخنیک	ډاکتر غلام فاروق مير احمدي	ننگرهار
۲۹۱	د تهاد انجنيري	پوهاند انجنير زلمی خالقي	ننگرهار	۲۹۲	معياري جديد اعمار ساختمان	دوکتور انجنير محمد عمر تیموری	ننگرهار
۲۹۳	د انجنيري ميخانيک	پوهنوال محمد اسحق رازقي	ننگرهار	۲۹۴	عمومي تخنیکي رسم	پوهيالی فضل اکبر	ننگرهار
۲۹۵	انرژي سپما کوونکي ودانۍ	انجنير اسد الله ملکزى	ننگرهار	۲۹۶	انجنيري جيوډوزي (سروي)	پوهندی گل حکيم شاه سيدي	ننگرهار
۲۹۷	د ساختمان د جوړولو طريقې I	پوهاند انجنير محمد عیسی تنها	ننگرهار	۲۹۸	رهنمود موثريت حفظ انرژي در تعميرات	ډاکتر انجنير محمد عمر تیموری	کابل
۲۹۹	اعمار ساختمانيها (اساسات، مواد و سيستم قفيري ها)	پوهندوی انجنير امان الله فقيري	کابل پوليتخنیک	۳۰۰	د ساختمان د جوړولو طريقې II	پوهاند انجنير محمد عیسی تنها	ننگرهار
۳۰۱	د ودانيو د جوړولو مهندسي اساسات II	ديپلوم انجنير اسدالله ملکزى	ننگرهار	۳۰۲	کيد او گرافیک	پوهنوال ديپلوم انجنير بهاوالدين جلالي	ننگرهار
۳۰۳	د اوبو لگولو انجنيري	پوهندوی ديپلوم انجنير اصغر غفورزی	ننگرهار	۳۰۴	د ودانيو د جوړولو مهندسي اساسات، لومړی ټوک	ديپلوم انجنير اسدالله ملکزى	ننگرهار
۳۰۵	د جوړښتونو تحلیل، درېيمه برخه	پروفیسور حفیظ الله وردک او پروفیسور ډکتور زرجان بها	خوست	۳۰۶	اساسات هندسه ترسيمی مسطح	پوهنوال سيد يوسف مانووال	بلخ
۳۰۷	د پولادي عناصرو ډيزاين لومړی ټوک	محمد ذکريا محمدي	ننگرهار	۳۰۸	د پولادي عناصرو ډيزاين دوهم ټوک	محمد ذکريا محمدي	ننگرهار
۳۰۹	د موادو ميخانيک لومړی برخه	حفیظ الله وردک او زرجان بها	خوست	۳۱۰	د موادو ميخانيک لومړی برخه	حفیظ الله وردک او زرجان بها	خوست
۲۴. زراعت							
۳۱۱	د خاوري تخريب او د چاپيريال ککړتيا	پوهنيار محمد حنيف هاشمي	خوست	۳۱۲	د کرنيزو محصولاتو بازار موندنه	پوهاند محمد طيب	ننگرهار
۳۱۳	د کرنې تشريحي قاموس، انگليسي-پښتو	پوهاند محمد بشير دوديال	ننگرهار	۳۱۴	د کورنيو الوتونکو د روزنې بنسټونه	پوهاند مير حاتم نيازی	ننگرهار
۳۱۵	نېمانټولوژي	پوهنوال حسين آرمان	ننگرهار	۳۱۶	نېاتي فزيولوژي لومړی جلد	پوهنمل محمد طاهر ميخېل	خوست
۳۱۷	نېاتي فزيولوژي، دوهم جلد	پوهنمل محمد طاهر ميخېل	خوست	۳۱۸	عمومي نباتات	پوهنوال عبدالخليل افغاني	شيخ زايد
۲۵. وترنري							
۳۱۹	وترنري عمومي پټالوژي	پوهندوی محمد طاهر کاکر	ننگرهار	۳۲۰	حيواني تغذيه، لومړی برخه	پوهندوی روزي خان صادق	ننگرهار
۳۲۱	حيواني تغذيه، دوهمه برخه	پوهندوی روزي خان صادق	ننگرهار	۳۲۲	وترنري داخله	پوهنوال پير محمد ستانکزى	ننگرهار
۳۲۳	وترنري فارمکولوژي دوهمه برخه	پوهنوال محمد باير درمل	ننگرهار	۳۲۴	د ژويو فزيولوژي	پوهاند غنچه گل حبيب صافي	ننگرهار
۲۶. ژورنالېزم							
۳۲۵	د راډيو خپرونو توليد	پوهنوال دوکتور ماستر واحدی	خوست	۳۲۶	د ټلويزيوني خپرونو توليد	پوهنوال ډاکتر ماستر واحدی	خوست
۳۲۷	اطلاعاتو ته د لاسرسۍ لارې چارې	دانش کروخيل	ننگرهار				
۲۷. اقتصاد او مديريت							
۳۲۸	د اقتصادي پرمختيا تيوري	پوهاند محمد بشير دويال	ننگرهار	۳۲۹	د اقتصاد او تجارت اصطلاحات (انگليسي-پښتو تشريحي قاموس)	پوهنيار عبدالله عادل او امان الله وړين	ننگرهار
۳۳۰	تيوري و سياست بودجه عامه	پوهنوال ډاکتر سيد محمد ټينگار	کابل	۳۳۱	د پروژې مديريت په عمل کې	محمد داود علم او يو اف. گېل	ننگرهار
۳۳۲	د پروژې تحليل او مديريت	پوهاند محمد بشير دويال	ننگرهار	۳۳۳	مبادی اقتصاد زراعتی	پوهاند ولي محمد فائز	بلخ
۳۳۴	صنعتي اقتصاد	پوهاند محمد بشير دويال	ننگرهار	۳۳۵	د اقتصاد د علم اساسات	شېر خان حساس	ننگرهار

۳۳۶	مرکزي بانک او پرمختللي ټولې سياستونه	پوهاند دوکتور عبدالقيوم عارف	خوست	۳۳۷	اقتصادي جيولوجي (کانپوهنه-فلزي کانونه)	پوهاند دوکتور شريف الله سهاک	ننگرهار
۳۳۸	عامه اقتصاد	پوهندوی ریحان الله رحيمي	ننگرهار	۳۳۹	احصايه	پوهاند محمد بشير دوديال	ننگرهار
۳۴۰	د احصايې اساسات	پوهنيار محمد اغا ضياء	کندهار	۳۴۱	د اقتصاد تشريحي قاموس انگليسي - پښتو	پوهاند محمد بشير دوديال	ننگرهار
۳۴۲	د ادارې اومدبريت تشريحي قاموس انگليسي - پښتو	پوهاند محمد بشير دوديال	ننگرهار				
۲۸. عامه اداره او پالیسي							
۳۴۳	د څېړنې مېتودولوژي	پوهنيار نثار احمد مصلح	ننگرهار	۳۴۴	رهبري له تيوري تر عمله	پوهنمل محمد عرفان قریشي	ننگرهار
۳۴۵	د سازمانې اړیکو مدبريت	پوهاند محمد بشير دوديال	ننگرهار	۳۴۶	نړيوالې ټولني	احسان الله آرينزی	ننگرهار
۳۴۷	د بشري سرچينو مدبريت	پوهنمل منصور فقيرزی	ننگرهار	۳۴۸	پېداگوژي	پوهنيار راز محمد فيضي	ننگرهار
۳۴۹	گروه‌های اجتماعی بسته (مطالعه جامعه شناختی سکتها)	داکتر احمد سير مهجور	کابل پوهنتون	۳۵۰	د رهبري اصول	پوهنمل محمد عرفان قریشي	ننگرهار
۳۵۱	د بشري سرچينو د مدبريت اړين توکي	پوهندوی نعيم جان سروري	ننگرهار				
۲۹. چاپېريال او جغرافيه							
۳۵۲	د نفوسو جغرافيه	پوهنوال لطف الله صافی	ننگرهار	۳۵۳	حياتي جغرافيه	پوهاند لطف الله صافی	ننگرهار
۳۵۴	جيومورفولوژي	پوهنوال عزت الله	ننگرهار	۳۵۵	اقليم پوهنه	پوهاند عزت الله سايل	ننگرهار
۳۵۶	کارټو گرافي يا اساسات توپوگرافي	پوهنوال دوکتور محمد طاهر عنایت	ننگرهار	۳۵۷	د مټيورولوژي مبادي	پوهنوال عبدالغياث صافی	ننگرهار
۳۵۸	د ژوند چاپېريال	پوهاند عارف الله مندوزی	ننگرهار	۳۵۹	گرم شدن کره زمين	محمد نعيم نسين	بلخ
۳۰. رياضيات							
۳۶۰	عمومي رياضيات	پوهنوال گل محمد جنت زی	خوست	۳۶۱	د عالي رياضياتو عمومي کورس	پوهندوی محب الرحمن جنتي	ننگرهار
۳۶۲	عالي کلکولس I, 434 A رياضي	پوهندوی حميدالله يار	ننگرهار	۳۶۳	عالي کلکولس II	پوهندوی نظر محمد	ننگرهار
۳۶۴	الجبر او د عددونو تيوري، لومړی برخه	سلطان احمد نيازمين	ننگرهار	۳۶۵	خطي الجبر	داکتر عبدالله مهمند	ننگرهار
۳۶۶	کلکولس او تحليلي هندسه I	پوهندوی سيد شير آقا سيدي	ننگرهار	۳۶۷	کلکولس او تحليلي هندسه II	پوهندوی سيد شير آقا سيدي	ننگرهار
۳۶۸	الجبر او د عددونو تيوري، دوهمه برخه	سلطان احمد نيازمين	ننگرهار	۳۶۹	د رياضي په هکله خبرې اترې	سلطان احمد نيازمين	ننگرهار
۳۷۰	الجبر معاصر	داکتر عبدالله مهمند	بلخ	۳۷۱	معاصر الجبر	داکتر عبدالله مهمند	خوست
۳۷۲	سپټونه او هر څه د هغوی په هکله	ليف بوکوفسکي / سلطان احمد نيازمين	ننگرهار	۳۷۳	د رياضي منطق	سلطان احمد نيازمين	ننگرهار
۳۷۴	د انجنيري اساسي رياضي I	پوهندوی عبدالغفور نيازی	ننگرهار	۳۷۵	د انجنيري اساسي رياضي II	پوهندوی عبدالغفور نيازی	ننگرهار
۳۷۶	د تحليلي هندسي I	سيد شير آقا سيدي	ننگرهار	۳۷۷	اناليز رياضي I	سيد يوسف مانووال	بلخ
۳۷۸	عالي رياضي د تشريحي مثالونو سره	داکتر عبدالله وردک	شيخ زايد				
۳۱. ژبه او ادبيات							
۳۷۹	آلماني د افغانانو لپاره	داکتر يحيی وردک	بېلابېل	۳۸۰	آلماني برای افغانها به دری	داکتر يحيی وردک	بېلابېل
۳۸۱	د جرمني ژبې آسانه زده کړه، له اساساتو نه تر ادبياتو پورې	داکتر اکرم ملکزی	ننگرهار	۳۸۲	د افغانستان د پوهنتونونو د درسي کتابونو چاپول (پښتو)	داکتر يحيی وردک	ټولو ته
۳۸۳	د افغانستان د پوهنتونونو د درسي کتابونو چاپول (انگليسي)	داکتر يحيی وردک	ټولو ته	۳۸۴	د کتاب خپرولو لنډ لارښود	داکتر يحيی وردک	ټولو ته
۳۸۵	د کتاب خپرولو لنډ لارښود (انگليسي)	داکتر يحيی وردک	ټولو ته	۳۸۶	جرمني - پښتو ستر قاموس (لومړی ټوک)	داکتر اکرم ملکزی	شيخ زايد پوهنتون
۳۸۷	جرمني - پښتو ستر قاموس (دوهم ټوک)	داکتر اکرم ملکزی	شيخ زايد پوهنتون				
۳۲. کمپيوټر ساينس							
۳۸۸	د ډېټابېس اساسات	زگي حبيبي	ننگرهار	۳۸۹	د کمپيوټر جوړښت او اسمبلي ژبه	پوهندوی يادام نيازی	ننگرهار

مرسته کوونکي: (x4) Michael Klett(x6), DAUG (x7), Konrad Adenauer Stiftung (x8), DAAD (x96), Kinderhilfe-Afghanistan (x250).

سرکنسولگری جمهوری فدرال آلمان مزارشريف (x1) inasys (x1), humedica(x2), SlovakAid (x2), صافی بنسټ (x1) او افغانیک

تطبيق کوونکي: داکتر يحيی وردک، د لوړو زده کړو وزارت، څلورمه کارته، کابل افغانستان، مې ۲۰۲۳

موبایل: 0780232310, ۰۰۷۰۷۳۲۲۰۸۴۴ ایمیل: info@ecampus-afghanistan.org, www.mohe.gov.af

ټول کتابونه له دې وېب پاڼو څخه ډولودلای شئ: www.ecampus-afghanistan.org

افغاني درسي کتابونو ته آنلاين لاس رسي Access to Online Afghan Textbooks

 **ecampus-Afghanistan.org**

Full version of all textbooks can be downloaded as PDF from above website.



If you want to publish your textbooks please contact us: Dr. Yahya Wardak, Ministry of Higher Education, Kabul, Office: 0706320844, Email: info@ecampus-afghanistan.org

افغانيسټان پوهنتونونو
د درسي کتابونو چاپولو

داکتر يحيی وردک

افغانيسټان

د کتاب خپرولو لنډ لارښود

داکتر يحيی وردک

Publishing Textbooks

Honorable lecturers and dear students!

The lack of quality textbooks in the universities of Afghanistan is a serious issue, which is repeatedly challenging students and teachers alike. To tackle this issue, we have initiated the process of providing textbooks to the students of Afghan universities.

For this reason, we have published 389 different textbooks of Medicine, Engineering, Science, Economics, Journalism, and Agriculture from Nangarhar, Khost, Kandahar, Herat, Balkh, Al-Beroni, Kabul, Kabul Polytechnic, and Kabul Medical universities since 2010. The book you are holding in your hands is a sample of a printed textbook. It should be mentioned that all these books have been distributed among all Afghan universities and many other institutions and organizations for free. All the published textbooks can be downloaded from www.ecampus-afghanistan.org.

The Afghan National Higher Education Strategy (2010-2014) states:

"Funds will be made available to encourage the writing and publication of textbooks in Dari and Pashto. Especially in priority areas, to improve the quality of teaching and learning and give students access to state-of-the-art information. In the meantime, translation of English language textbooks and journals into Dari and Pashto is a major challenge for curriculum reform. Without this facility it would not be possible for university students and faculty to access modern developments as knowledge in all disciplines accumulates at a rapid and exponential pace, in particular this is a huge obstacle for establishing a research culture. The Ministry of Higher Education together with the universities will examine strategies to overcome this deficit."

We would like to continue this project and to end the method of manual notes and papers. Based on the request of higher education institutions, there is the need to publish about 100 different textbooks each year.

I would like to ask all the lecturers to write new textbooks, translate or revise their lecture notes or written books and share them with us to be published. We will ensure quality composition, printing and distribution to Afghan universities free of charge. I would like the students to encourage and assist their lecturers in this regard. We welcome any recommendations and suggestions for improvement.

It is worth mentioning that the authors and publishers tried to prepare the books according to the international standards, but if there is any problem in the book, we kindly request the readers to send their comments to us or the authors in order to be corrected for future revised editions.

We are very thankful to Kinderhilfe-Afghanistan (German Aid for Afghan Children) and its director Dr. Eroes, who has provided fund for this book. We would also like to mention that he has provided funds for 250 medical and non-medical textbooks so far.

I would like to cordially thank Chancellor of Universities, Deans of faculties, and lecturers for their continuous cooperation and support for this project.

I am also thankful to all those lecturers who encouraged us and gave us all these books to be published and distributed all over Afghanistan. Finally, I would like to express my appreciation for the efforts of my colleagues Hekmatullah Aziz, Fahim Habibi, Gul Agha Ahmadi and Hewad Safi in the office for publishing and distributing the textbooks.

Dr. Yahya Wardak

Ministry of Higher Education, Kabul, Afghanistan, June, 2023

Mobile: 0706320844, 0780232310

Email: info@ecampus-afghanistan.org

Book Name Mechanics of Materials I
Translators Hafizullah Wardak & Zarjon Baha
Publisher Nangarhar University, Faculty of Engineering
Website www.szu.edu.af
Published 2023, First Edition
Copies 1000
Serial No 387
Download www.ecampus-afghanistan.org



This publication was financed by **Kinderhilfe-Afghanistan** (German Aid for Afghan Children) a private initiative of the Eroes family in Germany.

Administrative and technical support by Afghanic.

The contents and textual structure of this book have been developed by concerning translator and relevant faculty and being responsible for it.

Funding and supporting agencies are not holding any responsibilities.

If you want to publish your textbooks, please contact us:

Dr. Yahya Wardak, Ministry of Higher Education, Karte – 4, Kabul

Office 0780232310, 0706320844

Email info@ecampus-afghanistan.org

All rights reserved with the author.

Printed in Afghanistan 2023

ISBN 978-9936-622-66-1